



ΕΛΛΗΝΙΚΗ ΔΗΜΟΚΡΑΤΙΑ



**ΓΕΝΙΚΗ ΓΡΑΜΜΑΤΕΙΑ ΦΥΣΙΚΟΥ ΠΕΡΙΒΑΛΛΟΝΤΟΣ
ΚΑΙ ΥΔΑΤΩΝ
ΓΕΝΙΚΗ ΔΙΕΥΘΥΝΣΗ ΥΔΑΤΩΝ**



**1^η ΑΝΑΘΕΩΡΗΣΗ
ΣΧΕΔΙΟΥ ΔΙΑΧΕΙΡΙΣΗΣ ΚΙΝΔΥΝΩΝ ΠΛΗΜΜΥΡΑΣ
των Λεκανών Απορροής Ποταμών του
Υδατικού Διαμερίσματος Δυτικής Στερεάς Ελλάδας (EL04)**

Στάδιο 1 – Παραδοτέο 4

ΠΛΗΜΜΥΡΙΚΑ ΥΔΡΟΓΡΑΦΗΜΑΤΑ

**Παράρτημα Π4.5:
Υδρολογική Ανάλυση συστήματος λεκανών λιμνών
Τριχωνίδας-Λυσιμαχίας**



Ευρωπαϊκή Ένωση
Ταμείο Συνοχής



Με τη συγχρηματοδότηση της Ελλάδας και της Ευρωπαϊκής Ένωσης

Περιεχόμενα

1. ΜΟΝΤΕΛΟ ΥΔΡΟΛΟΓΙΚΗΣ ΠΡΟΣΟΜΟΙΩΣΗΣ ΛΕΚΑΝΗΣ ΑΠΟΡΡΟΗΣ	4
2. ΔΕΔΟΜΕΝΑ ΕΙΣΟΔΟΥ ΚΑΙ ΑΠΟΤΕΛΕΣΜΑΤΑ ΥΔΡΟΛΟΓΙΚΟΥ ΣΕΝΑΡΙΟΥ T=50	9
2.1 Αποτελέσματα, υετογραφήματα και υδρογραφήματα σχεδιασμού υπολεκανών	9
2.2 Δεδομένα και υδρογραφήματα σχεδιασμού Κλάδων υδρογραφικού δικτύου	34
2.3 Δεδομένα και υδρογραφήματα σχεδιασμού Κόμβων υδρογραφικού δικτύου	55
3. ΔΕΔΟΜΕΝΑ ΕΙΣΟΔΟΥ ΚΑΙ ΑΠΟΤΕΛΕΣΜΑΤΑ ΥΔΡΟΛΟΓΙΚΟΥ ΣΕΝΑΡΙΟΥ T=50 L	78
3.1 Αποτελέσματα, υετογραφήματα και υδρογραφήματα σχεδιασμού υπολεκανών	78
3.2 Δεδομένα και υδρογραφήματα σχεδιασμού Κλάδων υδρογραφικού δικτύου	103
3.3 Δεδομένα και υδρογραφήματα σχεδιασμού Κόμβων υδρογραφικού δικτύου	124
4. ΔΕΔΟΜΕΝΑ ΕΙΣΟΔΟΥ ΚΑΙ ΑΠΟΤΕΛΕΣΜΑΤΑ ΥΔΡΟΛΟΓΙΚΟΥ ΣΕΝΑΡΙΟΥ T=50 U	147
4.1 Αποτελέσματα, υετογραφήματα και υδρογραφήματα σχεδιασμού υπολεκανών	147
4.2 Δεδομένα και υδρογραφήματα σχεδιασμού Κλάδων υδρογραφικού δικτύου	172
4.3 Δεδομένα και υδρογραφήματα σχεδιασμού Κόμβων υδρογραφικού δικτύου	193
5. ΔΕΔΟΜΕΝΑ ΕΙΣΟΔΟΥ ΚΑΙ ΑΠΟΤΕΛΕΣΜΑΤΑ ΥΔΡΟΛΟΓΙΚΟΥ ΣΕΝΑΡΙΟΥ T=100	216
5.1 Αποτελέσματα, υετογραφήματα και υδρογραφήματα σχεδιασμού υπολεκανών	216
5.2 Δεδομένα και υδρογραφήματα σχεδιασμού Κλάδων υδρογραφικού δικτύου	241
5.3 Δεδομένα και υδρογραφήματα σχεδιασμού Κόμβων υδρογραφικού δικτύου	262
6. ΔΕΔΟΜΕΝΑ ΕΙΣΟΔΟΥ ΚΑΙ ΑΠΟΤΕΛΕΣΜΑΤΑ ΥΔΡΟΛΟΓΙΚΟΥ ΣΕΝΑΡΙΟΥ T=100 L	285
6.1 Αποτελέσματα, υετογραφήματα και υδρογραφήματα σχεδιασμού υπολεκανών	285
6.2 Δεδομένα και υδρογραφήματα σχεδιασμού Κλάδων υδρογραφικού δικτύου	310
6.3 Δεδομένα και υδρογραφήματα σχεδιασμού Κόμβων υδρογραφικού δικτύου	331
7. ΔΕΔΟΜΕΝΑ ΕΙΣΟΔΟΥ ΚΑΙ ΑΠΟΤΕΛΕΣΜΑΤΑ ΥΔΡΟΛΟΓΙΚΟΥ ΣΕΝΑΡΙΟΥ T=100 U	354
7.1 Αποτελέσματα, υετογραφήματα και υδρογραφήματα σχεδιασμού υπολεκανών	354
7.2 Δεδομένα και υδρογραφήματα σχεδιασμού Κλάδων υδρογραφικού δικτύου	379
7.3 Δεδομένα και υδρογραφήματα σχεδιασμού Κόμβων υδρογραφικού δικτύου	400
8. ΔΕΔΟΜΕΝΑ ΕΙΣΟΔΟΥ ΚΑΙ ΑΠΟΤΕΛΕΣΜΑΤΑ ΥΔΡΟΛΟΓΙΚΟΥ ΣΕΝΑΡΙΟΥ T=1000	423
8.1 Αποτελέσματα, υετογραφήματα και υδρογραφήματα σχεδιασμού υπολεκανών	423

8.2	Δεδομένα και υδρογραφήματα σχεδιασμού Κλάδων υδρογραφικού δικτύου	448
8.3	Δεδομένα και υδρογραφήματα σχεδιασμού Κόμβων υδρογραφικού δικτύου	469
<u>9. ΔΕΔΟΜΕΝΑ ΕΙΣΟΔΟΥ ΚΑΙ ΑΠΟΤΕΛΕΣΜΑΤΑ ΥΔΡΟΛΟΓΙΚΟΥ ΣΕΝΑΡΙΟΥ T=1000L492</u>		
9.1	Αποτελέσματα, υετογραφήματα και υδρογραφήματα σχεδιασμού υπολεκανών	492
9.2	Δεδομένα και υδρογραφήματα σχεδιασμού Κλάδων υδρογραφικού δικτύου	517
9.3	Δεδομένα και υδρογραφήματα σχεδιασμού Κόμβων υδρογραφικού δικτύου	538
<u>10. ΔΕΔΟΜΕΝΑ ΕΙΣΟΔΟΥ ΚΑΙ ΑΠΟΤΕΛΕΣΜΑΤΑ ΥΔΡΟΛΟΓΙΚΟΥ ΣΕΝΑΡΙΟΥ T=1000U 561</u>		
10.1	Αποτελέσματα, υετογραφήματα και υδρογραφήματα σχεδιασμού υπολεκανών	561
10.2	Δεδομένα και υδρογραφήματα σχεδιασμού Κλάδων υδρογραφικού δικτύου	586
10.3	Δεδομένα και υδρογραφήματα σχεδιασμού Κόμβων υδρογραφικού δικτύου	607

1. Μοντέλο Υδρολογικής Προσομοίωσης Λεκάνης Απορροής

Εξετάζεται το σύστημα των λεκανών απορροής των λιμνών Τριχωνίδα και Λυσιμαχία, και τη λεκάνη της τάφρου Διμήκου, οι οποίες συνδέονται μεταξύ τους και με τον Αχελώο μέσω τεχνικών έργων. Ειδικότερα, τα πλεονάζοντα νερά της λίμνης Τριχωνίδας διοχετεύονται στη Λυσιμαχία, μέσω της Ενωτικής Τάφρου (τάφρος Αλαμπέη), που με τη σειρά της διοχετεύει τα πλεονάζοντα νερά της στον Αχελώο, μέσω της τάφρου Διμήκου (Ζαρρής κ.ά., 1999). Η συμβολή της τάφρου Διμήκου με τον Αχελώο γίνεται στο ύψος της γέφυρας της Ιονίας Οδού, και αποτελεί σημείο εξόδου του υδρολογικού συστήματος. Το μοντέλο υδρολογικής προσομοίωσης του ενοποιημένου συστήματος περιλαμβάνει 24 υπολεκάνες, 23 κόμβους και 21 κλάδους υδρογραφικού δικτύου, αρκετοί από τους οποίους είναι εικονικοί. Η υδρολογική λειτουργία του συστήματος αναπαρίσταται ως εξής:

Η Τριχωνίδα και η Λυσιμαχία προσομοιώνονται ως υπολεκάνες (EL0415FL005010 και EL0415FL005001, αντίστοιχα), που είναι πλήρως αδιαπέρατες (συνεπώς, το σύνολο της βροχόπτωσης των υπολεκανών μετατρέπεται σε εισροή στις λίμνες). Περιμετρικά της Τριχωνίδας συμβάλλουν διάφορες υπολεκάνες, με κόμβους εξόδου τους J11, J12, J13, J14, J15, J16, J17, J18 και J19. Οι κόμβοι αυτοί συνδέονται με τον «κατάντη» κόμβο J10, μέσω εικονικών κλάδων, για τους οποίους θεωρείται μηδενικός χρόνος ροής. Ο κόμβος αυτός θεωρείται το εννοιολογικό σημείο συγκέντρωσης των εισροών της λίμνης Τριχωνίδας, μέρος των οποίων διοχετεύεται προς τη Λυσιμαχία, μέσω της Ενωτικής Τάφρου (κλάδος R95). Τονίζεται ότι στο μοντέλο υδρολογικής προσομοίωσης δεν γίνεται προσομοίωση των υπερχειλίσεων. Για τον λόγο αυτό, οι κόμβοι J10 (έξοδος Τριχωνίδας) και J9 (είσοδος Ενωτικής Τάφρου) δεν είναι συνδεδεμένοι, παρόλο που στην πραγματικότητα ταυτίζονται.

Κατ' αντιστοιχία με την Τριχωνίδα, περιμετρικά της Λυσιμαχίας συμβάλλουν διάφορες υπολεκάνες, που απορρέουν στους κόμβους J2, J3, J4 και J5. Η σημαντικότερη είναι η υπολεκάνη του Ερμίτσα, το κατάντη τμήμα του οποίου αναπαρίσταται από τον κλάδο R74. Η απορροή του Ερμίτσα καταλήγει στον κόμβο J4, ενώ οι υπερχειλίσεις της Τριχωνίδας, μέσω της Ενωτικής Τάφρου, καταλήγουν στον κόμβο J5. Οι τέσσερις κόμβοι εισόδου της Λυσιμαχίας συνδέονται με τον «κατάντη» κόμβο J1 μέσω εικονικών κλάδων, για τους οποίους θεωρείται μηδενικός χρόνος ροής. Κατά συνέπεια, το σύνολο της απορροής της λεκάνης της Λυσιμαχίας, μαζί με τις υπερχειλίσεις της Τριχωνίδας, συγκεντρώνεται στον κόμβο J1. Ο κόμβος αυτός αποτελεί το εννοιολογικό σημείο συγκέντρωσης των εισροών της Λυσιμαχίας, μέρος των οποίων διοχετεύεται προς τον Αχελώο, μέσω της τάφρου Διμήκου (κλάδος R16). Στην τάφρο αυτή καταλήγουν και οι απορροές της υπολεκάνης EL0415FL005002. Συνεπώς, στον κόμβο J6, που αποτελεί έξοδο του ενοποιημένου συστήματος, καταλήγει το σύνολο των πλημμυρικών παροχών της ίδιας λεκάνης απορροής, καθώς και μέρος των πλημμυρικών παροχών των λεκανών απορροής της Τριχωνίδας και Λυσιμαχίας.

Η σχηματοποίηση του ενοποιημένου συστήματος απεικονίζεται στον χάρτη της Εικόνας 5-8.

Τα χαρακτηριστικά μεγέθη του είναι:

- Έκταση $A = 727.64 \text{ km}^2$
- Μέσο υψόμετρο $z_m = 270 \text{ m}$
- Υψόμετρο κόμβου εξόδου $z_k = 14.5 \text{ m}$
- Μέγιστο μήκος ροής $L_{\max} = 35.92 \text{ km}$
- Χρόνος συγκέντρωσης $t_c = 12.9 \text{ h}$

Για την υδρολογική προσομοίωση επιλέγεται διάρκεια βροχής $D = 48 \text{ h}$ και χρονικό βήμα $\Delta t = 15 \text{ min}$.

Για την παραπάνω έκταση και διάρκεια προκύπτει συντελεστής επιφανειακής αναγωγής $\varphi = 0.913$.

Επισημαίνεται ότι ο χρόνος συγκέντρωσης του συστήματος εκτιμάται με βάση τα χαρακτηριστικά της λεκάνης απορροής του ρέματος Ερμίτσα (έκταση 98.5 km^2 , μέσο υψόμετρο 400 m , μέγιστο μήκος ροής 35.9 km).

Τα χαρακτηριστικά γεωμετρικά μεγέθη των κλάδων και υπολεκανών του υδρογραφικού δικτύου δίνονται στους Πίνακες 5-14 και 5-15, αντίστοιχα, ενώ τα συγκεντρωτικά αποτελέσματα του συνολικού υδρολογικού συστήματος δίνονται στον Πίνακα 2-3. Σημειώνεται ότι οι παροχές αιχμής των υδρογραφημάτων αναφέρονται στον κόμβο J1, που είναι έξοδος μίας εκ των τριών λεκανών απορροής που απαρτίζουν το υδρολογικό σύστημα (μάλιστα, στην περίπτωση αυτή, επειδή η έξοδος αναφέρεται σε λίμνη, και συγκεκριμένα στη Λυσιμαχία, δεν έχει νόημα η έννοια της παροχής αιχμής), ενώ οι όγκοι αναφέρονται στο σύνολο του συστήματος λεκανών. Στο Παράρτημα Π5 δίνονται τα πλήρη δεδομένα εισόδου και εξόδου του μοντέλου προσομοίωσης για όλες τις συνιστώσες του δικτύου (υπολεκάνες, κόμβοι, κλάδοι), και τα αντίστοιχα γραφήματα.

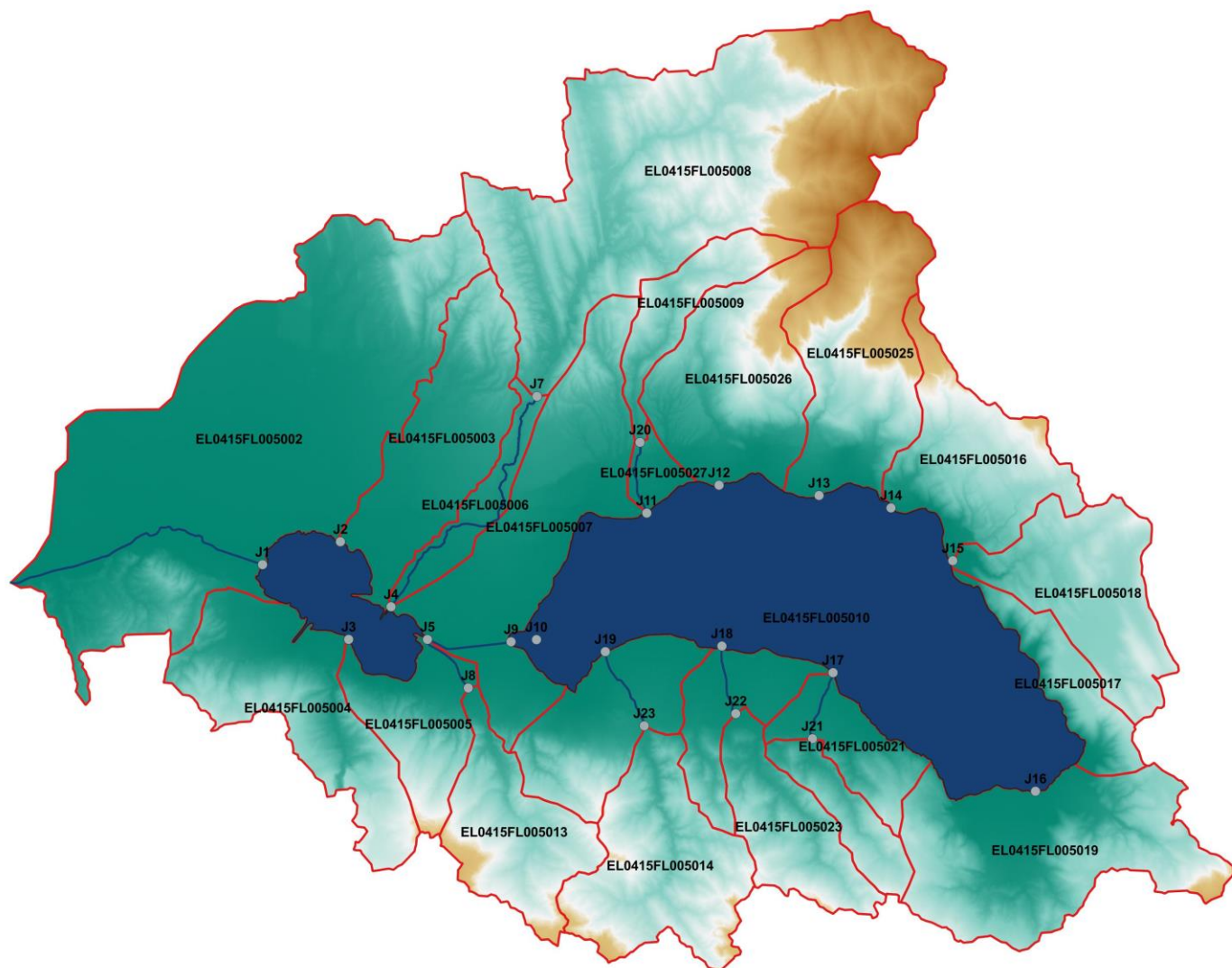
Πίνακας 2-1 Χαρακτηριστικά μεγέθη κλάδων υδρογραφικού δικτύου (υδατορεύματα)

Κωδικός	Ονομασία	Ανάντη	Κατάντη	Μήκος (km)	Μέση κλίση
R21	ΕΙΚΟΝΙΚΟ	J2	J1	-	-
R31	ΕΙΚΟΝΙΚΟ	J3	J1	-	-
R41	ΕΙΚΟΝΙΚΟ	J4	J1	-	-
R51	ΕΙΚΟΝΙΚΟ	J5	J1	-	-
R1110	ΕΙΚΟΝΙΚΟ	J11	J10	-	-
R1210	ΕΙΚΟΝΙΚΟ	J12	J10	-	-
R1310	ΕΙΚΟΝΙΚΟ	J13	J10	-	-
R1410	ΕΙΚΟΝΙΚΟ	J14	J10	-	-
R1510	ΕΙΚΟΝΙΚΟ	J15	J10	-	-
R1610	ΕΙΚΟΝΙΚΟ	J16	J10	-	-
R1710	ΕΙΚΟΝΙΚΟ	J17	J10	-	-
R1810	ΕΙΚΟΝΙΚΟ	J18	J10	-	-
R1910	ΕΙΚΟΝΙΚΟ	J19	J10	-	-
R16	ΤΑΦΡΟΣ ΔΙΜΗΚΟΥ	J1	J6	9.170	0.0001
R74	ΕΡΜΙΤΣΑΣ	J7	J4	10.640	0.0082
R85		J8	J5	2.170	0.0092
R95	ΕΝΩΤΙΚΗ ΤΑΦΡΟΣ	J9	J5	2.830	0.0005
R2011		J20	J11	2.510	0.0185
R2117	ΜΠΟΥΡΛΑ	J21	J17	2.340	0.0182
R2218		J22	J18	2.380	0.0076
R2319	ΠΛΑΤΑΝΙΑΣ	J23	J19	2.850	0.0188

Πίνακας 2-2 Χαρακτηριστικά μεγέθη υπολεκανών

Κωδικός	Λεκάνη απορροής	Κλάδος	Κόμβος εξόδου	Έκταση (km ²)	Μέσο υψόμετρο (m)	Υψόμετρο εξόδου (m)	Μέγιστο μήκος ροής (km)
EL0415FL005001	EL0415FL00005		J1	13.048	15.2	14.5	1.383
EL0415FL005002	EL0415FL00005	R16	J6	107.527	69.0	13.4	21.898
EL0415FL005003	EL0415FL00005		J2	28.369	105.3	15.0	14.082
EL0415FL005004	EL0415FL00005		J3	30.041	250.7	11.3	10.788
EL0415FL005005	EL0415FL00005	R85	J5	15.382	240.9	13.5	8.169
EL0415FL005006	EL0415FL00005	R74	J4	8.041	62.4	16.5	6.311
EL0415FL005007	EL0415FL00005	R95	J5	40.814	79.8	13.2	7.773
EL0415FL005008	EL0415FL00005		J7	90.428	651.3	100.4	25.279
EL0415FL005009	EL0415FL00005		J20	11.219	431.0	59.9	12.705
EL0415FL005010	EL0415FL00005		J10	96.519	14.1	14.0	3.069
EL0415FL005013	EL0415FL00005		J8	20.400	494.9	33.6	11.413
EL0415FL005014	EL0415FL00005		J23	28.808	489.3	69.7	11.977
EL0415FL005016	EL0415FL00005		J14	24.489	441.6	14.6	9.544
EL0415FL005017	EL0415FL00005		J15	11.251	238.4	15.2	3.205
EL0415FL005018	EL0415FL00005		J15	25.291	379.8	19.1	13.981
EL0415FL005019	EL0415FL00005		J16	41.833	254.1	14.9	8.571
EL0415FL005020	EL0415FL00005		J21	8.467	304.8	56.1	7.747
EL0415FL005021	EL0415FL00005	R2117	J17	11.074	119.0	14.9	5.029
EL0415FL005022	EL0415FL00005	R2218	J18	12.412	94.2	16.2	8.873

Κωδικός	Λεκάνη απορροής	Κλάδος	Κόμβος εξόδου	Έκταση (km ²)	Μέσο υψόμετρο (m)	Υψόμετρο εξόδου (m)	Μέγιστο μήκος ροής (km)
EL0415FL005023	EL0415FL00005		J22	16.399	337.6	34.8	11.302
EL0415FL005024	EL0415FL00005	R2319	J19	20.381	152.2	15.6	5.608
EL0415FL005025	EL0415FL00005		J13	32.017	715.8	14.0	12.612
EL0415FL005026	EL0415FL00005		J12	30.032	381.8	14.8	12.471
EL0415FL005027	EL0415FL00005	R2011	J11	3.339	37.2	16.1	3.202

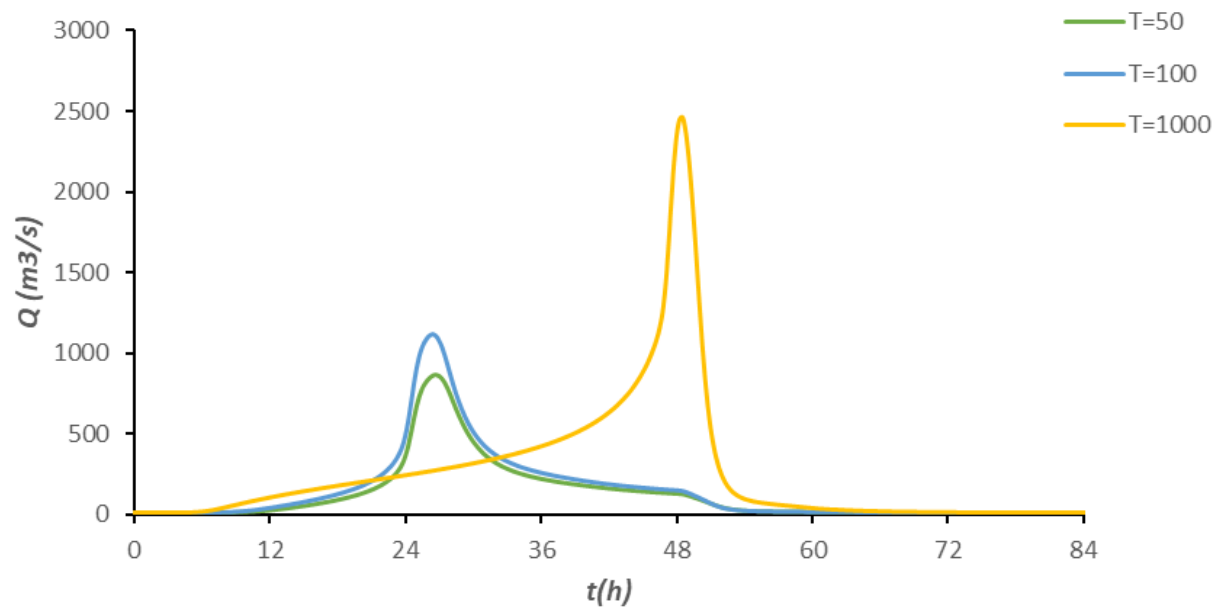


Εικόνα 2-1 Χάρτης περιοχής μελέτης, στον οποίο απεικονίζεται η σχηματοποίηση των κόμβων και κλάδων του υδρογραφικού δικτύου και των υπολεκανών

Πίνακας 2-3 Συγκεντρωτικά αποτελέσματα υδρολογικής προσομοίωσης περιοχής μελέτης

Χαρακτηριστικά μεγέθη λεκανών απορροής Τριγωνίδας-Λυσιμαχίας			
Έκταση (km ²)	772.64	Υψόμετρο εξόδου (m)	14.5
Αδιαπέρατη επιφάνεια (%)	14.18	Χρόνος συγκέντρωσης (h)	12.90
Μέγιστο μήκος ροής (km)	35.92	Διάρκεια βροχόπτωσης σχεδιασμού (h)	48.00
Μέσο υψόμετρο (m)	270.5	Χρονικό βήμα (h)	0.25
Συγκεντρωτικά αποτελέσματα υδρολογικής προσομοίωσης λεκάνης			
	Ευμενείς συνθήκες	Μέσες συνθήκες	Δυσμενείς συνθήκες
	Ολικό ύψος επιφανειακής βροχής (mm)		
T = 50	195.8	195.8	195.8
T = 100	229.3	229.3	229.3
T = 1000	376.0	376.0	376.0
	Ολικό ύψος πλημμυρικής απορροής (mm)		
T = 50	86.0	129.9	160.9
T = 100	110.5	160.2	193.5
T = 1000	229.9	298.2	337.8
	Συντελεστής απορροής		
T = 50	0.439	0.663	0.821
T = 100	0.482	0.698	0.844
T = 1000	0.611	0.793	0.898
	Πλημμυρική παροχή αιχμής (m³/s)		
T = 50	510.9	847.6	1013.4
T = 100	717.1	1096.4	1267.8
T = 1000	2182.1	2441.8	2512.4
	Πλημμυρικός όγκος (hm³)		
T = 50	62.593	94.492	117.040
T = 100	80.413	116.549	140.752
T = 1000	167.282	216.955	245.800
	Συνολική παροχή αιχμής (m³/s)		
T = 50	529	865.8	1031.6
T = 100	737.4	1116.8	1288.2
T = 1000	2207.6	2467.3	2537.9
	Συνολικός όγκος υδρογραφήματος (hm³)		
T = 50	86.166	118.065	140.6132
T = 100	106.815	142.951	167.154
T = 1000	200.282	249.955	278.800

Υδρογραφήματα σχεδιασμού στον κόμβο εξόδου(μέσες συνθήκες)



2. Δεδομένα εισόδου και αποτελέσματα υδρολογικού σεναρίου T=50

2.1 Αποτελέσματα, υετογραφήματα και υδρογραφήματα σχεδιασμού υπολεκανών

Υπολεκάνη: EL0415FL5001

Έκταση (KM2) : 13.05

Κατάνη : J1

Μέθοδος Απωλειών: SCS

Ποσοστό αδιαπέρατης επιφάνειας	100
Αριθμός Καμπύλης Απορροής-CN	99
Αρχικές Απώλειες	0.51

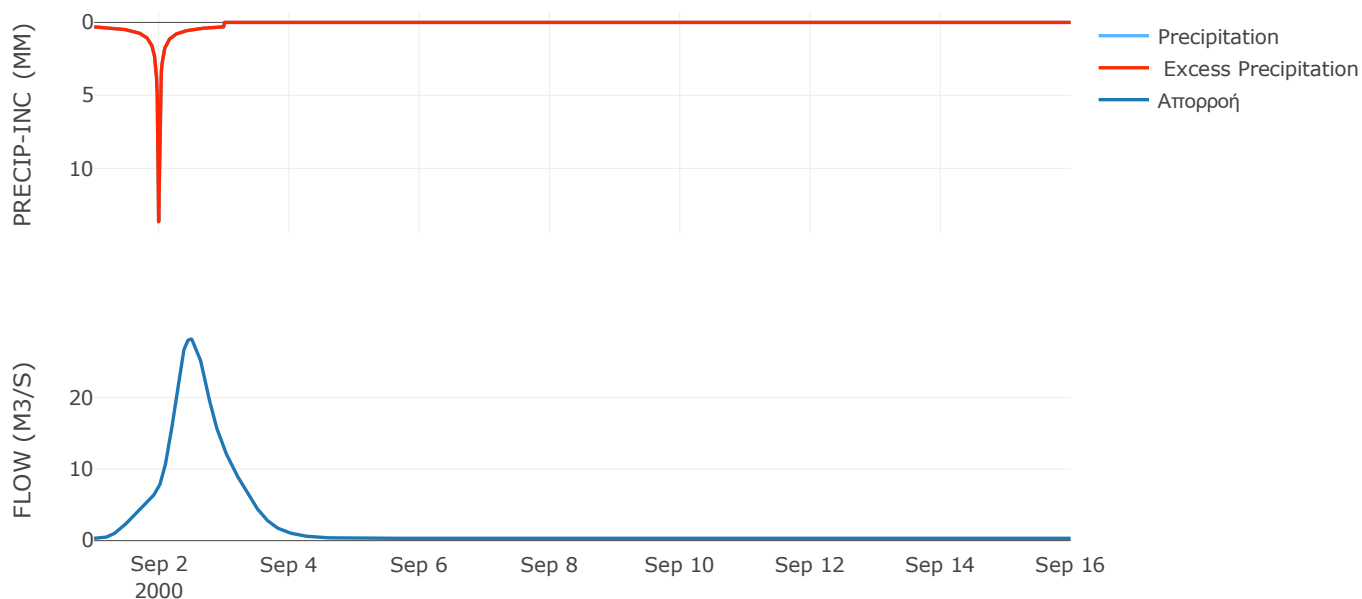
Μέθοδος
Μετασχηματισμού: SCS

Χρόνος Υστέρησης	673.19
------------------	--------

Αποτελέσματα:
EL0415FL5001

Παροχή αιχμής (M3/S)	28.18
Χρονική στιγμή αιχμής	02Sep2000, 11:30
Όγκος (MM)	213.11
Όγκος βροχόπτωσης (M3)	2.36E6
Όγκος απωλειών (M3)	0
Ενεργός Όγκος (M3)	2.36E6
Όγκος άμεσης απορροής (M3)	2.36E6
Όγκος βασικής απορροής (M3)	4.23E5

Βροχόπτωση και Απορροή



Υπολεκάνη: EL0415FL5002

Έκταση (KM2) : 107.53

Κατάντη : J6

Μέθοδος Απωλειών: SCS

Ποσοστό αδιαπέρατης επιφάνειας	0
Αριθμός Καμπύλης Απορροής-CN	80.86
Αρχικές Απώλειες	12.03

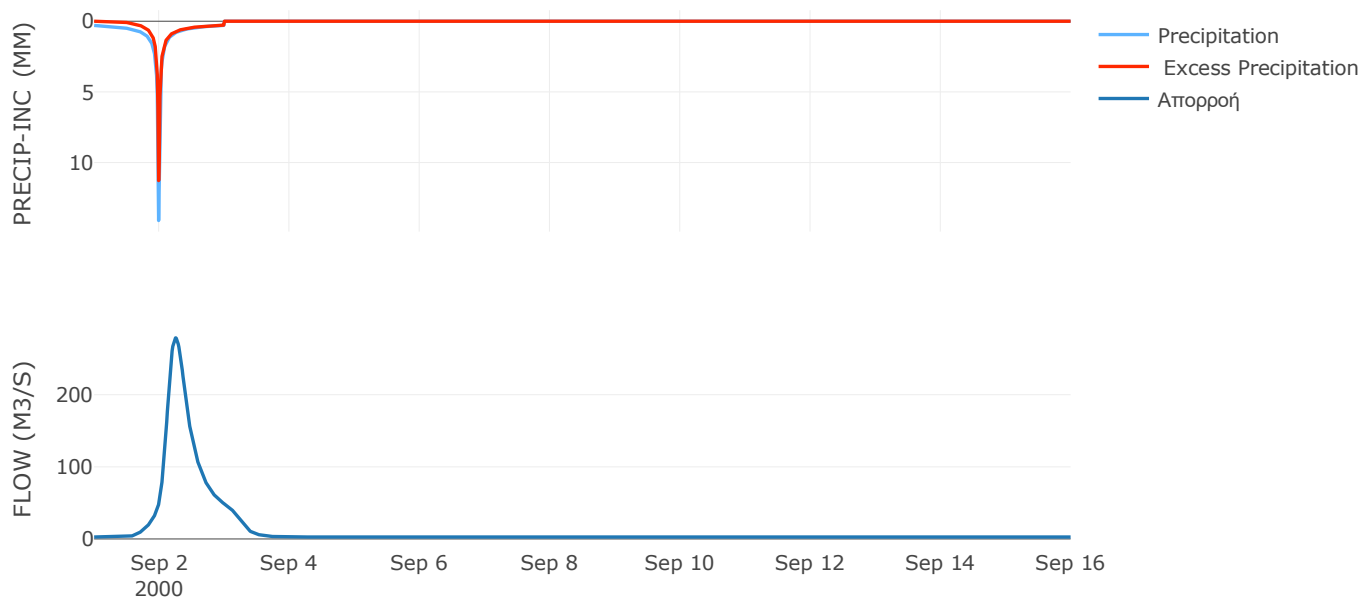
Μέθοδος
Μετασχηματισμού: SCS

Χρόνος Υστέρησης	336.61
------------------	--------

Αποτελέσματα:
EL0415FL5002

Παροχή αιχμής (M3/S)	278.89
Χρονική στιγμή αιχμής	02Sep2000, 06:00
Όγκος (MM)	155.93
Όγκος βροχόπτωσης (M3)	1.93E7
Όγκος απωλειών (M3)	6.05E6
Ενεργός Όγκος (M3)	1.33E7
Όγκος άμεσης απορροής (M3)	1.33E7
Όγκος βασικής απορροής (M3)	3.48E6

Βροχόπτωση και Απορροή



Υπολεκάνη: EL0415FL5003

Έκταση (KM2) : 28.37

Κατάντη : J2

Μέθοδος Απωλειών: SCS

Ποσοστό αδιαπέρατης επιφάνειας	0
Αριθμός Καμπύλης Απορροής-CN	82.49
Αρχικές Απώλειες	10.78

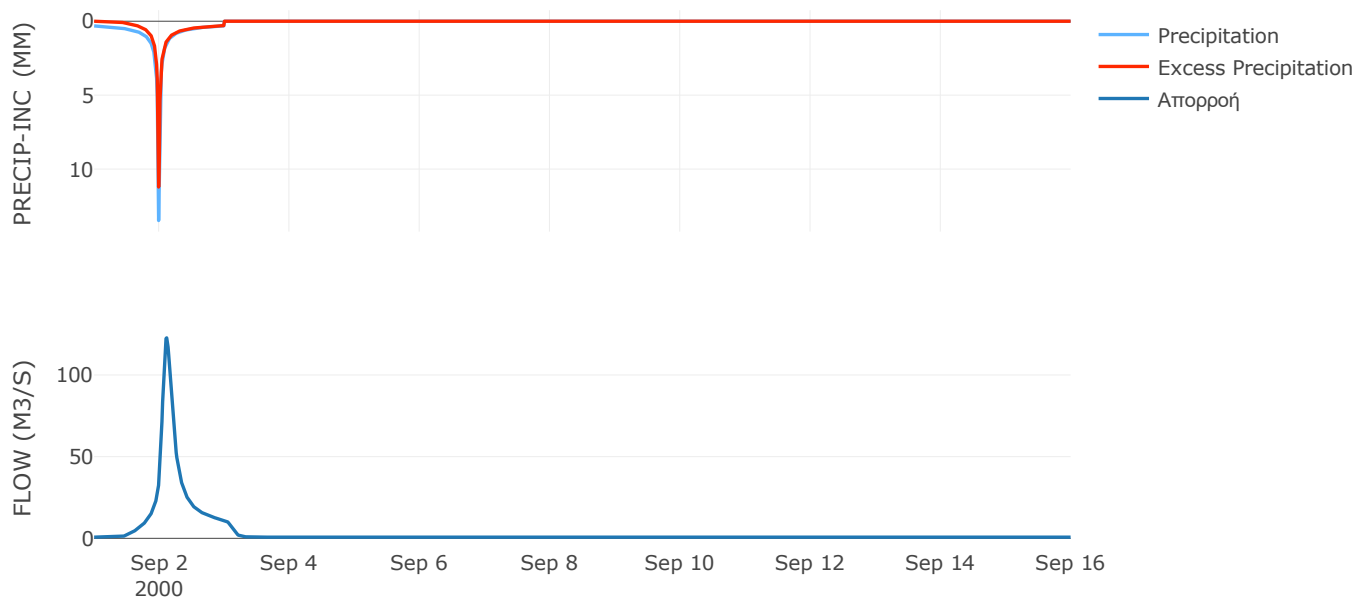
Μέθοδος
Μετασχηματισμού: SCS

Χρόνος Υστέρησης	150.8
------------------	-------

Αποτελέσματα:
EL0415FL5003

Παροχή αιχμής (M3/S)	122.71
Χρονική στιγμή αιχμής	02Sep2000, 02:45
Όγκος (MM)	164.18
Όγκος βροχόπτωσης (M3)	5.21E6
Όγκος απωλειών (M3)	1.47E6
Ενεργός Όγκος (M3)	3.74E6
Όγκος άμεσης απορροής (M3)	3.74E6
Όγκος βασικής απορροής (M3)	9.19E5

Βροχόπτωση και Απορροή



Υπολεκάνη: EL0415FL5004

Έκταση (KM2) : 30.04

Κατάντη : J3

Μέθοδος Απωλειών: SCS

Ποσοστό αδιαπέρατης επιφάνειας	0
Αριθμός Καμπύλης Απορροής-CN	76.69
Αρχικές Απώλειες	15.44

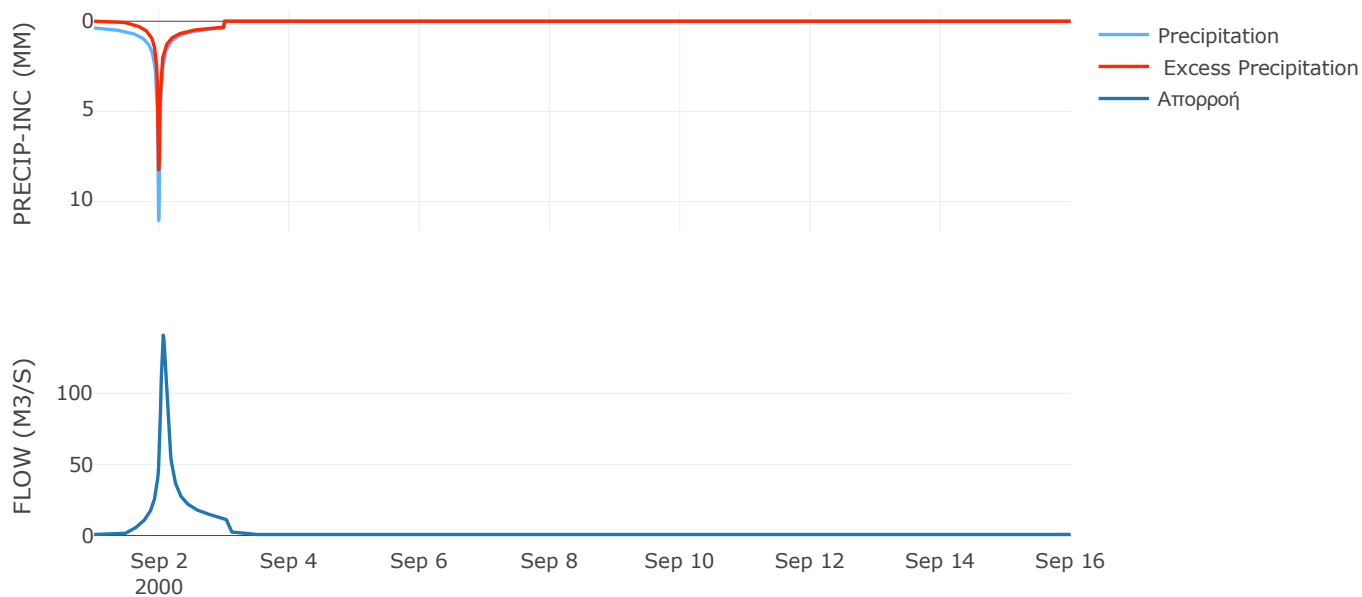
Μέθοδος
Μετασχηματισμού: SCS

Χρόνος Υστέρησης	83.08
------------------	-------

Αποτελέσματα:
EL0415FL5004

Παροχή αιχμής (M3/S)	140.85
Χρονική στιγμή αιχμής	02Sep2000, 01:30
Όγκος (MM)	152.14
Όγκος βροχόπτωσης (M3)	5.66E6
Όγκος απωλειών (M3)	2.07E6
Ενεργός Όγκος (M3)	3.6E6
Όγκος άμεσης απορροής (M3)	3.6E6
Όγκος βασικής απορροής (M3)	9.73E5

Βροχόπτωση και Απορροή



Υπολεκάνη: EL0415FL5005

Έκταση (KM2) : 15.38

Κατάντη : J5

Μέθοδος Απωλειών: SCS

Ποσοστό αδιαπέρατης επιφάνειας	0
Αριθμός Καμπύλης Απορροής-CN	80.44
Αρχικές Απώλειες	12.35

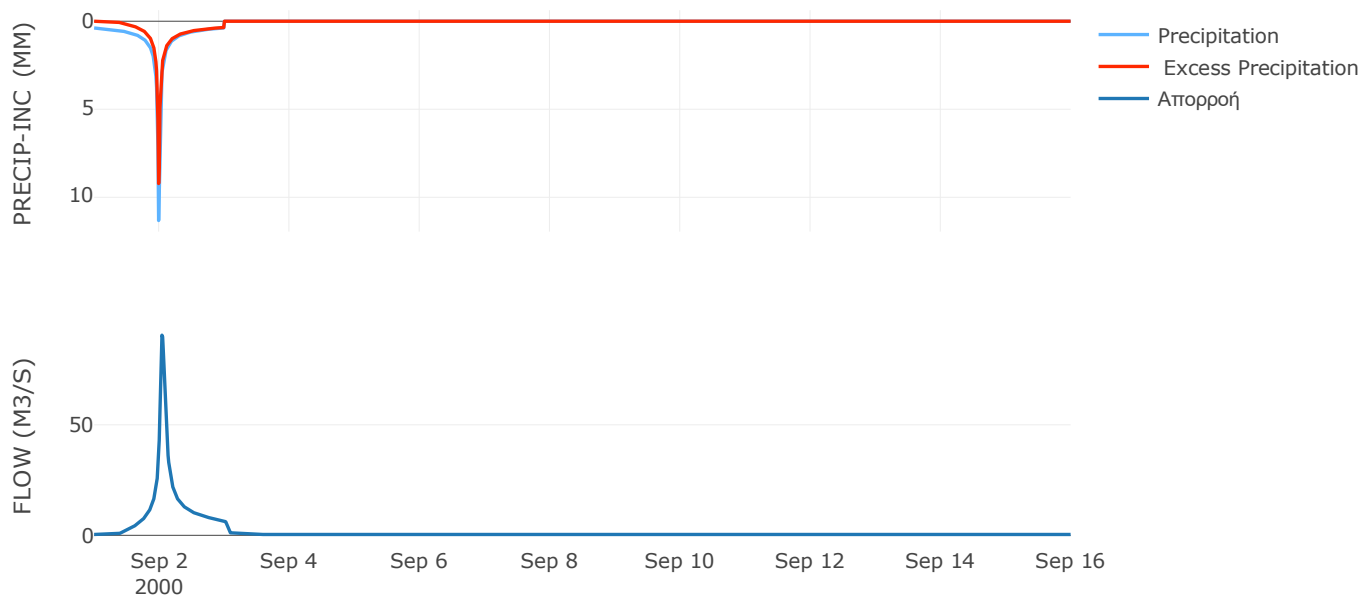
Μέθοδος
Μετασχηματισμού: SCS

Χρόνος Υστέρησης	62.51
------------------	-------

Αποτελέσματα:
EL0415FL5005

Παροχή αιχμής (M3/S)	90.55
Χρονική στιγμή αιχμής	02Sep2000, 01:00
Όγκος (MM)	167.98
Όγκος βροχόπτωσης (M3)	2.98E6
Όγκος απωλειών (M3)	8.99E5
Ενεργός Όγκος (M3)	2.09E6
Όγκος άμεσης απορροής (M3)	2.09E6
Όγκος βασικής απορροής (M3)	4.98E5

Βροχόπτωση και Απορροή



Υπολεκάνη: EL0415FL5006

Έκταση (KM2) : 8.04

Κατάντη : J4

Μέθοδος Απωλειών: SCS

Ποσοστό αδιαπέρατης επιφάνειας	0
Αριθμός Καμπύλης Απορροής-CN	80.52
Αρχικές Απώλειες	12.29

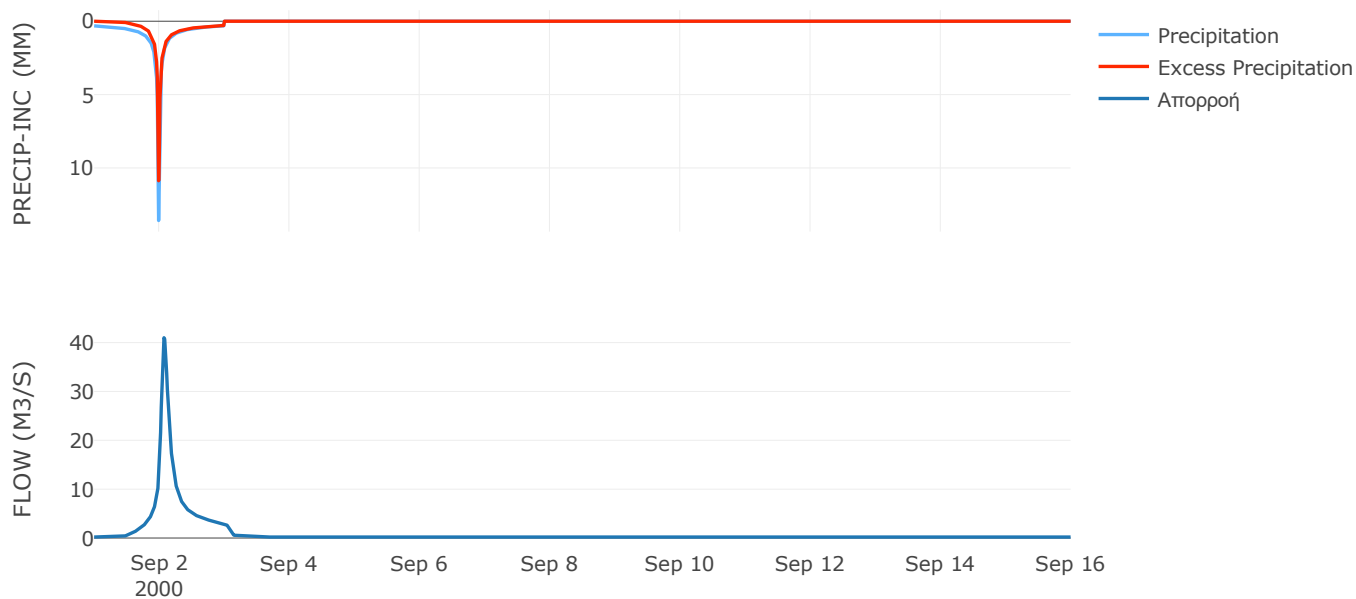
Μέθοδος
Μετασχηματισμού: SCS

Χρόνος Υστέρησης	103.66
------------------	--------

Αποτελέσματα:
EL0415FL5006

Παροχή αιχμής (M3/S)	40.99
Χρονική στιγμή αιχμής	02Sep2000, 01:45
Όγκος (MM)	158.65
Όγκος βροχόπτωσης (M3)	1.48E6
Όγκος απωλειών (M3)	4.63E5
Ενεργός Όγκος (M3)	1.02E6
Όγκος άμεσης απορροής (M3)	1.02E6
Όγκος βασικής απορροής (M3)	2.61E5

Βροχόπτωση και Απορροή



Υπολεκάνη: EL0415FL5007

Έκταση (KM2) : 40.81

Κατάντη : J5

Μέθοδος Απωλειών: SCS

Ποσοστό αδιαπέρατης επιφάνειας	0
Αριθμός Καμπύλης Απορροής-CN	80.19
Αρχικές Απώλειες	12.55

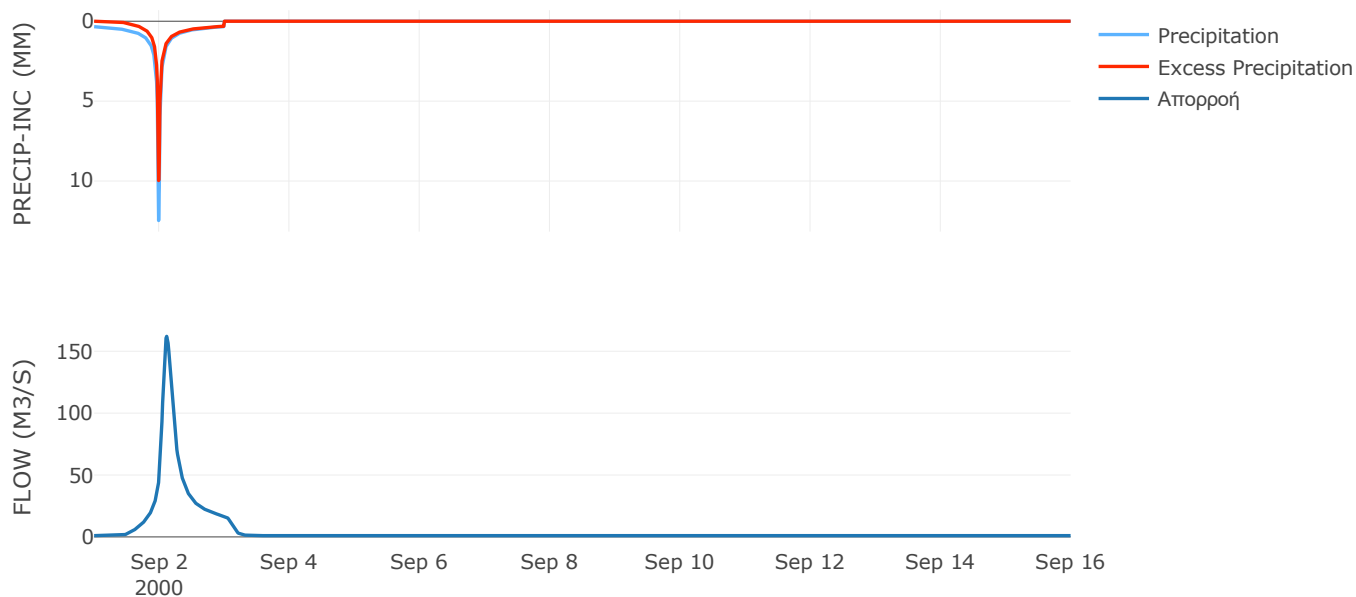
Μέθοδος
Μετασχηματισμού: SCS

Χρόνος Υστέρησης	154.01
------------------	--------

Αποτελέσματα:
EL0415FL5007

Παροχή αιχμής (M3/S)	162.04
Χρονική στιγμή αιχμής	02Sep2000, 02:45
Όγκος (MM)	160.09
Όγκος βροχόπτωσης (M3)	7.6E6
Όγκος απωλειών (M3)	2.39E6
Ενεργός Όγκος (M3)	5.21E6
Όγκος άμεσης απορροής (M3)	5.21E6
Όγκος βασικής απορροής (M3)	1.32E6

Βροχόπτωση και Απορροή



Υπολεκάνη: EL0415FL5008

Έκταση (KM2) : 90.43

Κατάντη : J7

Μέθοδος Απωλειών: SCS

Ποσοστό αδιαπέρατης επιφάνειας	0
Αριθμός Καμπύλης Απορροής-CN	74.6
Αρχικές Απώλειες	17.29

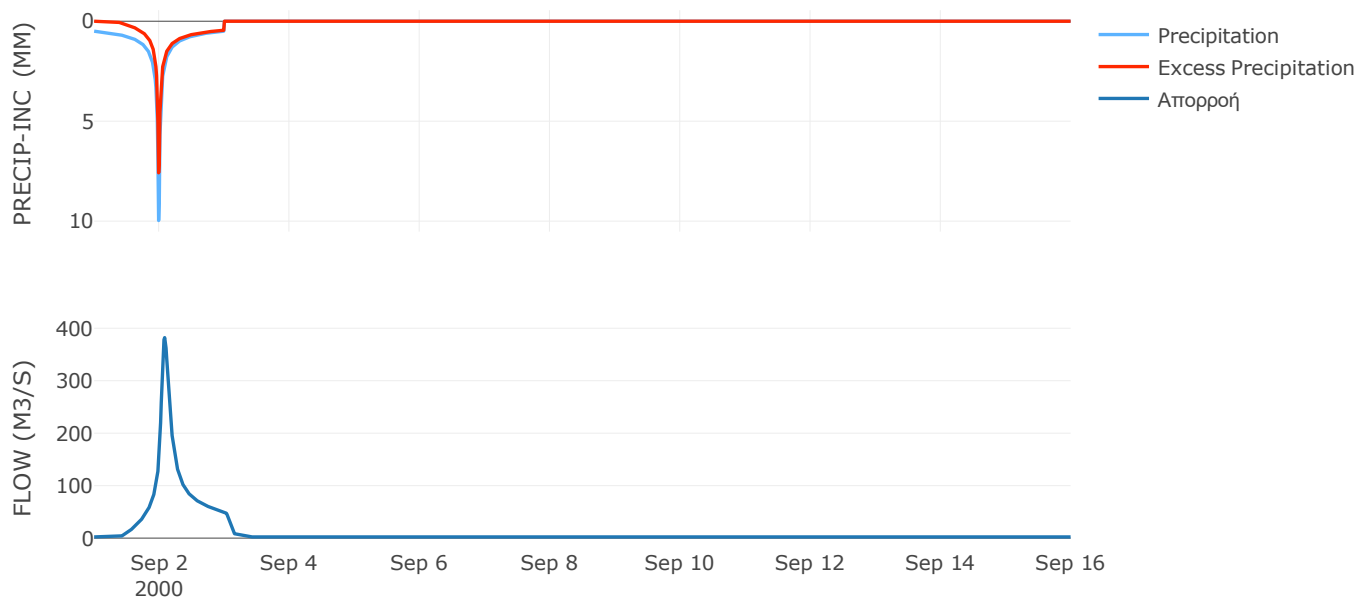
Μέθοδος
Μετασχηματισμού: SCS

Χρόνος Υστέρησης	109.38
------------------	--------

Αποτελέσματα:
EL0415FL5008

Παροχή αιχμής (M3/S)	382.15
Χρονική στιγμή αιχμής	02Sep2000, 02:00
Όγκος (MM)	175.15
Όγκος βροχόπτωσης (M3)	2E7
Όγκος απωλειών (M3)	7.05E6
Ενεργός Όγκος (M3)	1.29E7
Όγκος άμεσης απορροής (M3)	1.29E7
Όγκος βασικής απορροής (M3)	2.93E6

Βροχόπτωση και Απορροή



Υπολεκάνη: EL0415FL5009

Έκταση (KM2) : 11.22

Κατάντη : J20

Μέθοδος Απωλειών: SCS

Ποσοστό αδιαπέρατης επιφάνειας	0
Αριθμός Καμπύλης Απορροής-CN	78.15
Αρχικές Απώλειες	14.21

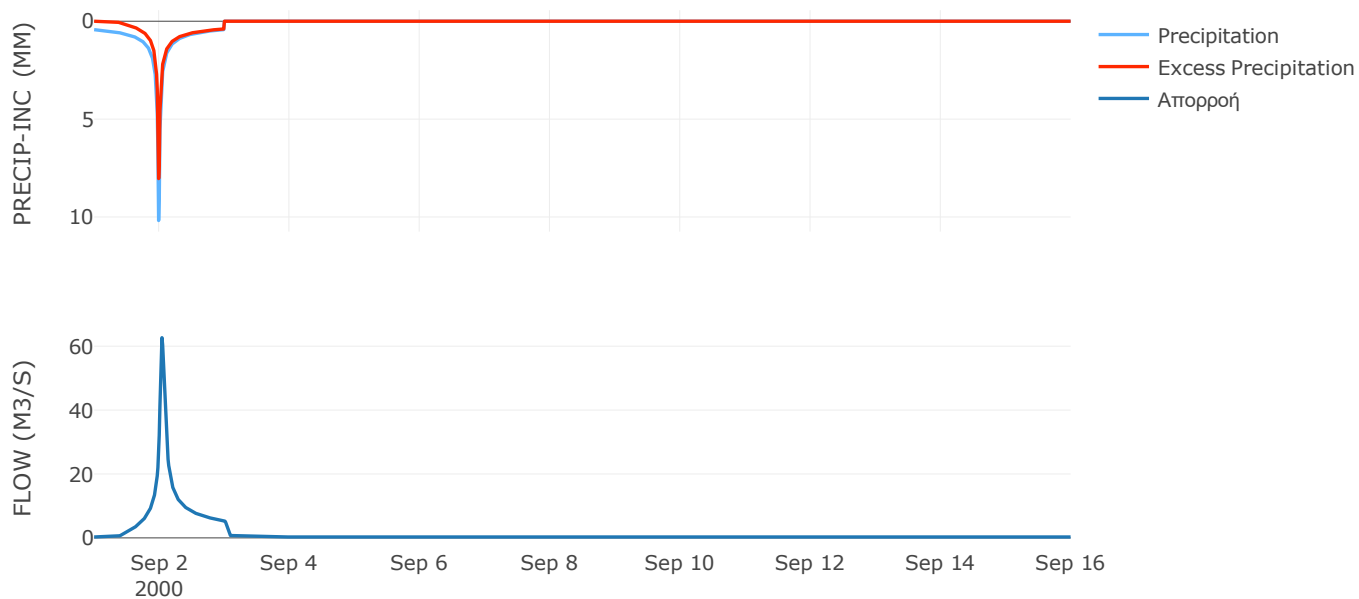
Μέθοδος
Μετασχηματισμού: SCS

Χρόνος Υστέρησης	56.94
------------------	-------

Αποτελέσματα:
EL0415FL5009

Παροχή αιχμής (M3/S)	62.66
Χρονική στιγμή αιχμής	02Sep2000, 01:00
Όγκος (MM)	168.31
Όγκος βροχόπτωσης (M3)	2.26E6
Όγκος απωλειών (M3)	7.37E5
Ενεργός Όγκος (M3)	1.52E6
Όγκος άμεσης απορροής (M3)	1.52E6
Όγκος βασικής απορροής (M3)	3.63E5

Βροχόπτωση και Απορροή



Υπολεκάνη: EL0415FL5010

Έκταση (KM2) : 96.52

Κατάντη : J10

Μέθοδος Απωλειών: SCS

Ποσοστό αδιαπέρατης επιφάνειας	100
Αριθμός Καμπύλης Απορροής-CN	99
Αρχικές Απώλειες	0.51

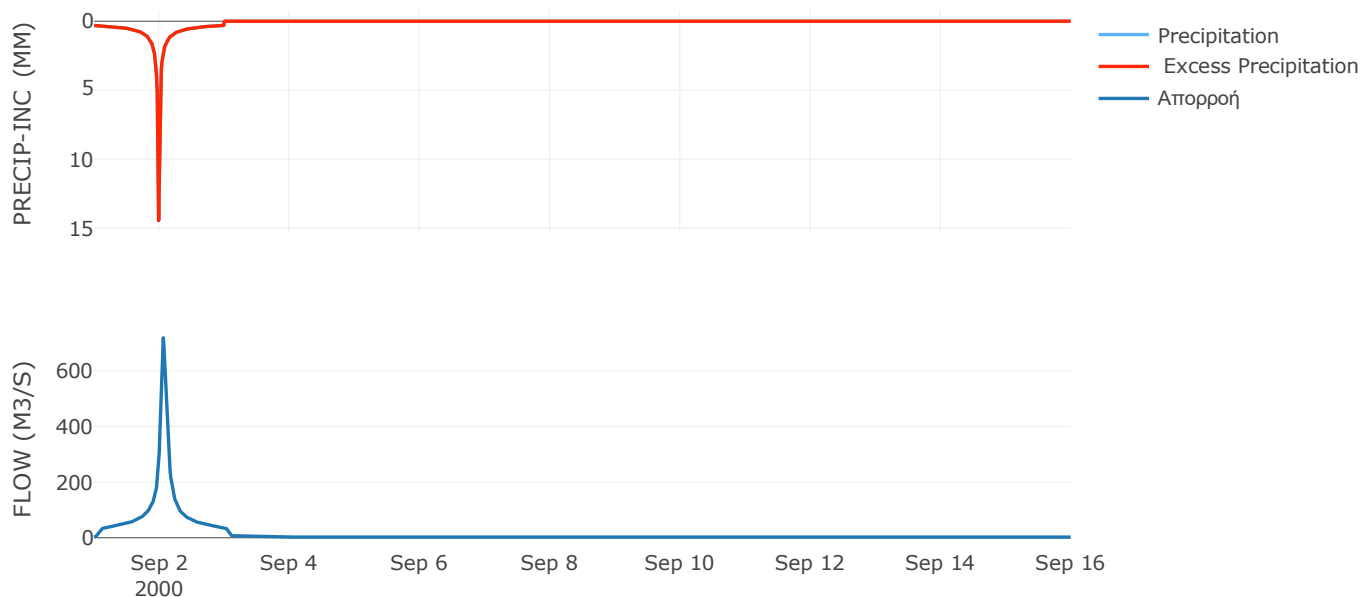
Μέθοδος
Μετασχηματισμού: SCS

Χρόνος Υστέρησης	82.01
------------------	-------

Αποτελέσματα:
EL0415FL5010

Παροχή αιχμής (M3/S)	719.11
Χρονική στιγμή αιχμής	02Sep2000, 01:30
Όγκος (MM)	217.32
Όγκος βροχόπτωσης (M3)	1.78E7
Όγκος απωλειών (M3)	0
Ενεργός Όγκος (M3)	1.78E7
Όγκος άμεσης απορροής (M3)	1.78E7
Όγκος βασικής απορροής (M3)	3.13E6

Βροχόπτωση και Απορροή



Υπολεκάνη: EL0415FL00013

Έκταση (KM2) : 20.4

Κατάντη : J8

Μέθοδος Απωλειών: SCS

Ποσοστό αδιαπέρατης επιφάνειας	0
Αριθμός Καμπύλης Απορροής-CN	80.77
Αρχικές Απώλειες	12.1

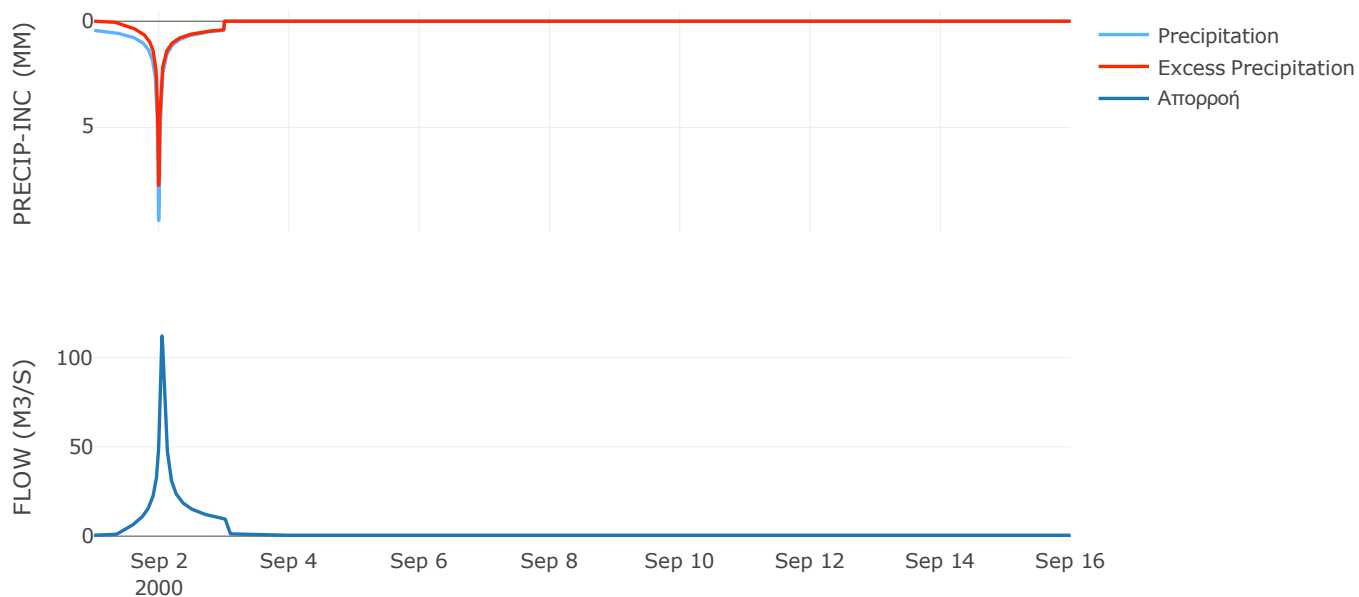
Μέθοδος
Μετασχηματισμού: SCS

Χρόνος Υστέρησης	55.27
------------------	-------

Αποτελέσματα:
EL0415FL00013

Παροχή αιχμής (M3/S)	112.1
Χρονική στιγμή αιχμής	02Sep2000, 01:00
Όγκος (MM)	170.45
Όγκος βροχόπτωσης (M3)	3.99E6
Όγκος απωλειών (M3)	1.17E6
Ενεργός Όγκος (M3)	2.82E6
Όγκος άμεσης απορροής (M3)	2.82E6
Όγκος βασικής απορροής (M3)	6.61E5

Βροχόπτωση και Απορροή



Υπολεκάνη: EL0415FL00014

Έκταση (KM2) : 28.81

Κατάντη : J23

Μέθοδος Απωλειών: SCS

Ποσοστό αδιαπέρατης επιφάνειας	0
Αριθμός Καμπύλης Απορροής-CN	80.56
Αρχικές Απώλειες	12.26

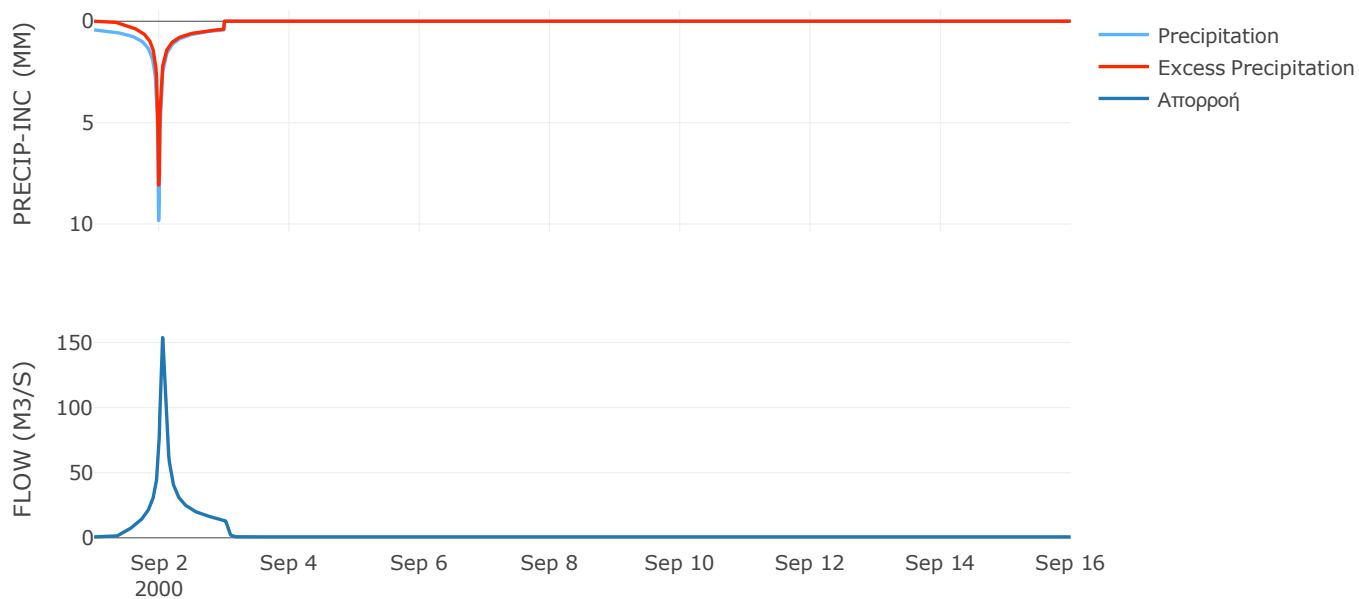
Μέθοδος
Μετασχηματισμού: SCS

Χρόνος Υστέρησης	64.97
------------------	-------

Αποτελέσματα:
EL0415FL00014

Παροχή αιχμής (M3/S)	153.85
Χρονική στιγμή αιχμής	02Sep2000, 01:15
Όγκος (MM)	172.15
Όγκος βροχόπτωσης (M3)	5.71E6
Όγκος απωλειών (M3)	1.68E6
Ενεργός Όγκος (M3)	4.03E6
Όγκος άμεσης απορροής (M3)	4.03E6
Όγκος βασικής απορροής (M3)	9.33E5

Βροχόπτωση και Απορροή



Υπολεκάνη: EL0415FL00016

Έκταση (KM2) : 24.49

Κατάντη : J14

Μέθοδος Απωλειών: SCS

Ποσοστό αδιαπέρατης επιφάνειας	0
Αριθμός Καμπύλης Απορροής-CN	53.08
Αρχικές Απώλειες	44.9

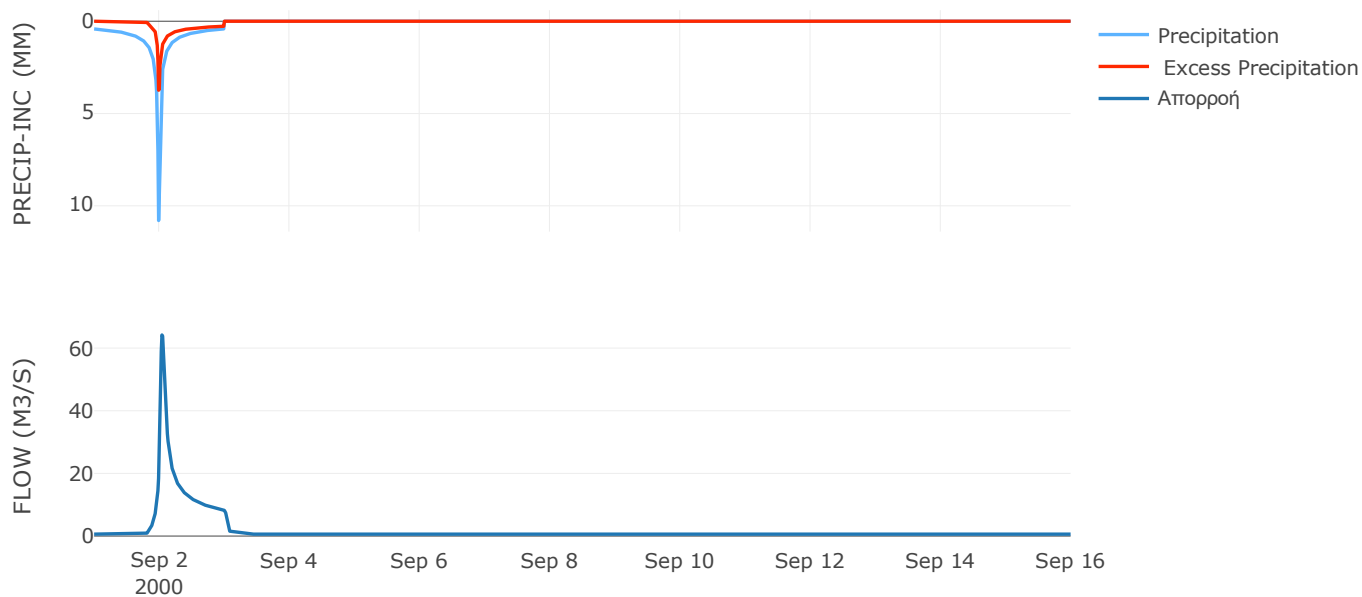
Μέθοδος
Μετασχηματισμού: SCS

Χρόνος Υστέρησης	55.77
------------------	-------

Αποτελέσματα:
EL0415FL00016

Παροχή αιχμής (M3/S)	64.19
Χρονική στιγμή αιχμής	02Sep2000, 01:00
Όγκος (MM)	97
Όγκος βροχόπτωσης (M3)	4.94E6
Όγκος απωλειών (M3)	3.36E6
Ενεργός Όγκος (M3)	1.58E6
Όγκος άμεσης απορροής (M3)	1.58E6
Όγκος βασικής απορροής (M3)	7.93E5

Βροχόπτωση και Απορροή



Υπολεκάνη: EL0415FL00017

Έκταση (KM2) : 11.25

Κατάντη : J15

Μέθοδος Απωλειών: SCS

Ποσοστό αδιαπέρατης επιφάνειας	0
Αριθμός Καμπύλης Απορροής-CN	55.44
Αρχικές Απώλειες	40.83

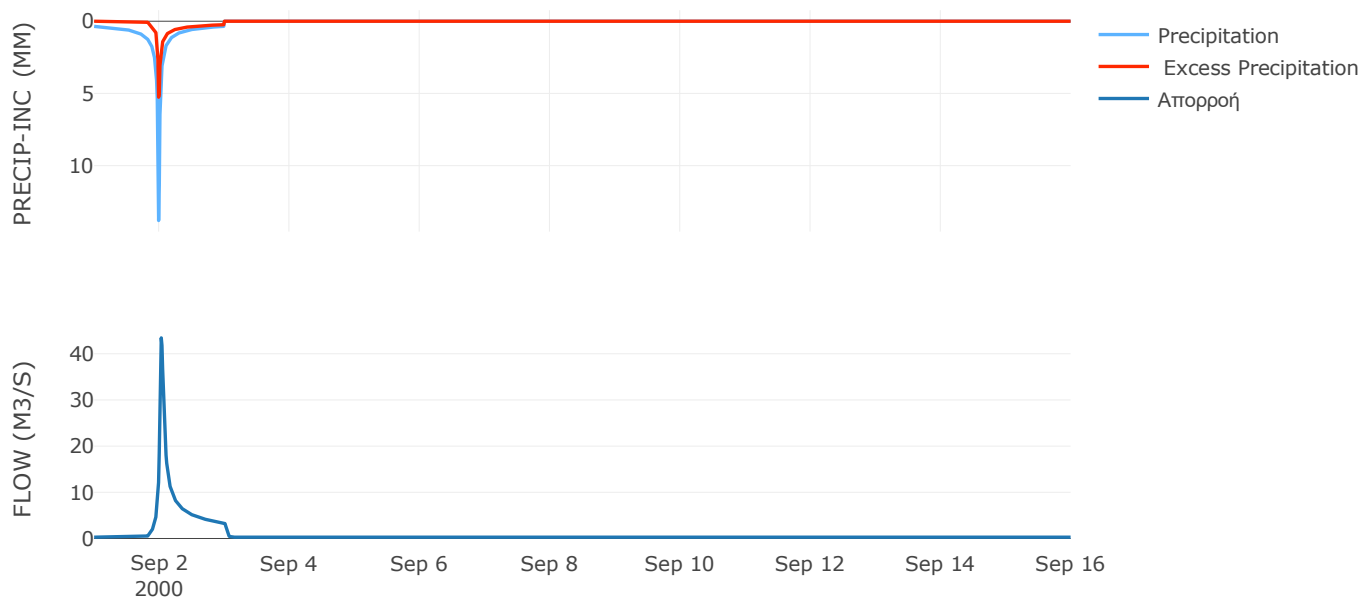
Μέθοδος
Μετασχηματισμού: SCS

Χρόνος Υστέρησης	41.2
------------------	------

Αποτελέσματα:
EL0415FL00017

Παροχή αιχμής (M3/S)	43.44
Χρονική στιγμή αιχμής	02Sep2000, 00:45
Όγκος (MM)	101.83
Όγκος βροχόπτωσης (M3)	2.25E6
Όγκος απωλειών (M3)	1.46E6
Ενεργός Όγκος (M3)	7.81E5
Όγκος άμεσης απορροής (M3)	7.81E5
Όγκος βασικής απορροής (M3)	3.65E5

Βροχόπτωση και Απορροή



Υπολεκάνη: EL0415FL00018

Έκταση (KM2) : 25.29

Κατάντη : J15

Μέθοδος Απωλειών: SCS

Ποσοστό αδιαπέρατης επιφάνειας	0
Αριθμός Καμπύλης Απορροής-CN	60.21
Αρχικές Απώλειες	33.57

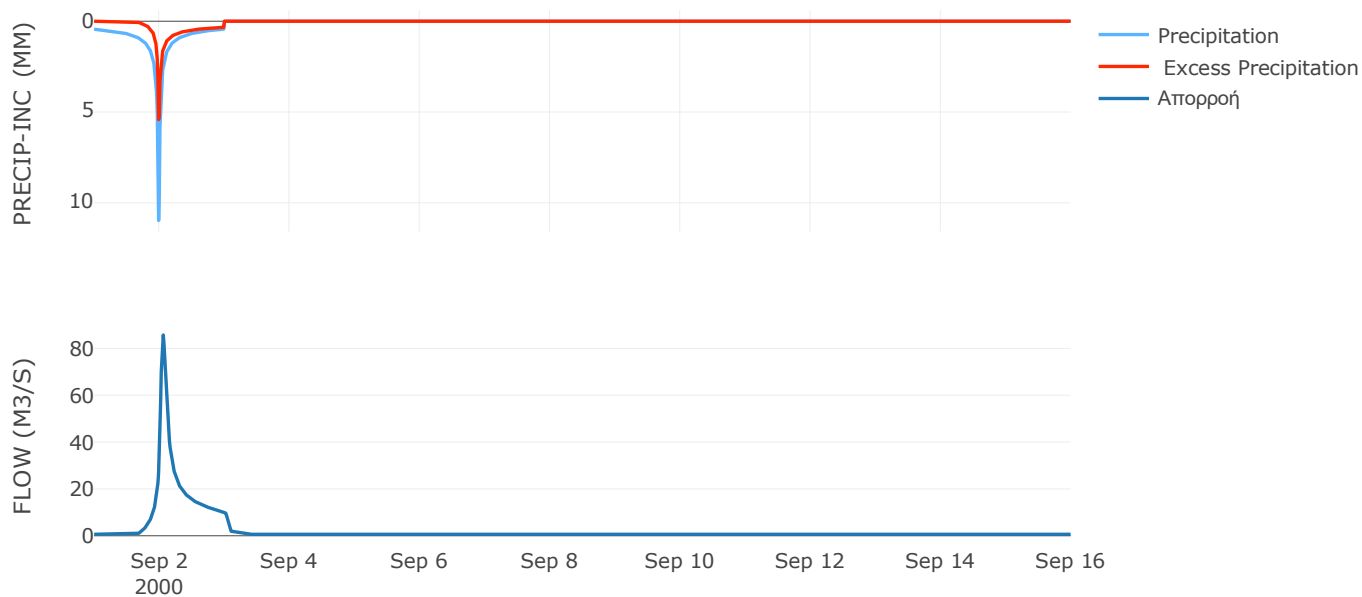
Μέθοδος
Μετασχηματισμού: SCS

Χρόνος Υστέρησης	73.09
------------------	-------

Αποτελέσματα:
EL0415FL00018

Παροχή αιχμής (M3/S)	85.74
Χρονική στιγμή αιχμής	02Sep2000, 01:30
Όγκος (MM)	122.11
Όγκος βροχόπτωσης (M3)	5.29E6
Όγκος απωλειών (M3)	3.02E6
Ενεργός Όγκος (M3)	2.27E6
Όγκος άμεσης απορροής (M3)	2.27E6
Όγκος βασικής απορροής (M3)	8.19E5

Βροχόπτωση και Απορροή



Υπολεκάνη: EL0415FL00019

Έκταση (KM2) : 41.83

Κατάντη : J16

Μέθοδος Απωλειών: SCS

Ποσοστό αδιαπέρατης επιφάνειας	0
Αριθμός Καμπύλης Απορροής-CN	66.79
Αρχικές Απώλειες	25.26

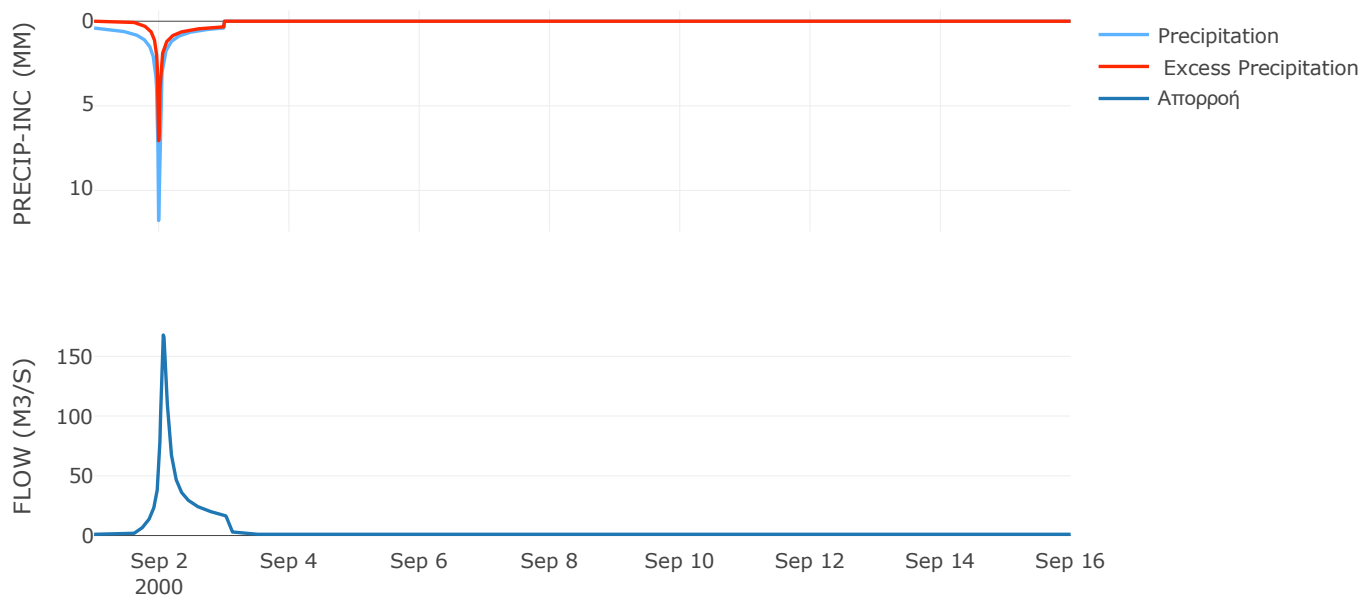
Μέθοδος
Μετασχηματισμού: SCS

Χρόνος Υστέρησης	84.64
------------------	-------

Αποτελέσματα:
EL0415FL00019

Παροχή αιχμής (M3/S)	167.85
Χρονική στιγμή αιχμής	02Sep2000, 01:30
Όγκος (MM)	136.7
Όγκος βροχόπτωσης (M3)	8.51E6
Όγκος απωλειών (M3)	4.15E6
Ενεργός Όγκος (M3)	4.36E6
Όγκος άμεσης απορροής (M3)	4.36E6
Όγκος βασικής απορροής (M3)	1.36E6

Βροχόπτωση και Απορροή



Υπολεκάνη: EL0415FL00020

Έκταση (KM2) : 8.47

Κατάντη : J21

Μέθοδος Απωλειών: SCS

Ποσοστό αδιαπέρατης επιφάνειας	0
Αριθμός Καμπύλης Απορροής-CN	81.19
Αρχικές Απώλειες	11.77

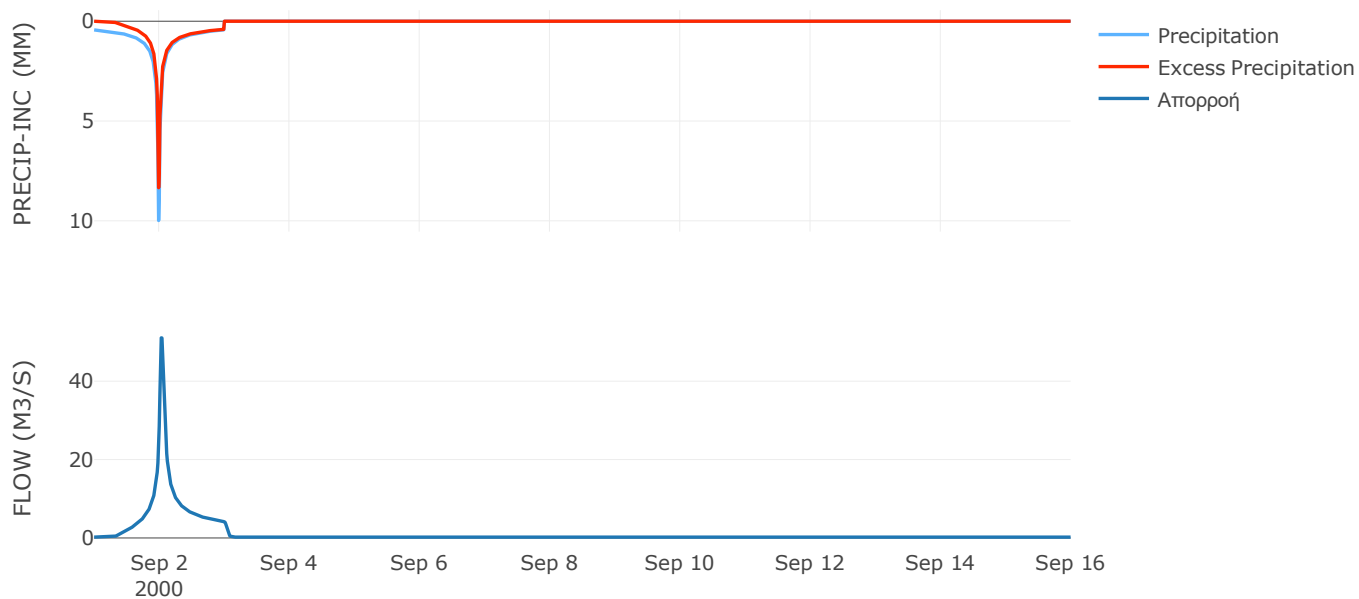
Μέθοδος
Μετασχηματισμού: SCS

Χρόνος Υστέρησης	49.81
------------------	-------

Αποτελέσματα:
EL0415FL00020

Παροχή αιχμής (M3/S)	51.06
Χρονική στιγμή αιχμής	02Sep2000, 00:45
Όγκος (MM)	177.18
Όγκος βροχόπτωσης (M3)	1.71E6
Όγκος απωλειών (M3)	4.8E5
Ενεργός Όγκος (M3)	1.23E6
Όγκος άμεσης απορροής (M3)	1.23E6
Όγκος βασικής απορροής (M3)	2.74E5

Βροχόπτωση και Απορροή



Υπολεκάνη: EL0415FL00021

Έκταση (KM2) : 11.07

Κατάντη : J17

Μέθοδος Απωλειών: SCS

Ποσοστό αδιαπέρατης επιφάνειας	0
Αριθμός Καμπύλης Απορροής-CN	75.38
Αρχικές Απώλειες	16.59

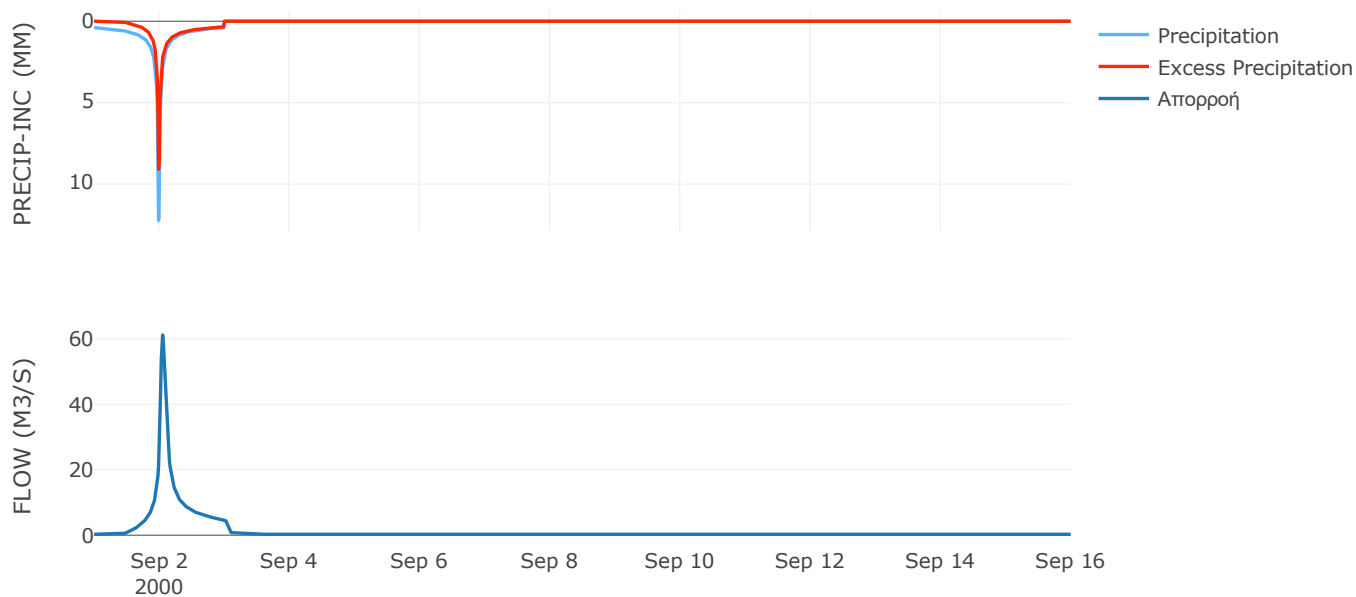
Μέθοδος
Μετασχηματισμού: SCS

Χρόνος Υστέρησης	69.03
------------------	-------

Αποτελέσματα:
EL0415FL00021

Παροχή αιχμής (M3/S)	61.14
Χρονική στιγμή αιχμής	02Sep2000, 01:15
Όγκος (MM)	159.42
Όγκος βροχόπτωσης (M3)	2.22E6
Όγκος απωλειών (M3)	8.17E5
Ενεργός Όγκος (M3)	1.41E6
Όγκος άμεσης απορροής (M3)	1.41E6
Όγκος βασικής απορροής (M3)	3.59E5

Βροχόπτωση και Απορροή



Υπολεκάνη: EL0415FL00022

Έκταση (KM2) : 12.41

Κατάντη : J18

Μέθοδος Απωλειών: SCS

Ποσοστό αδιαπέρατης επιφάνειας	0
Αριθμός Καμπύλης Απορροής-CN	80.14
Αρχικές Απώλειες	12.59

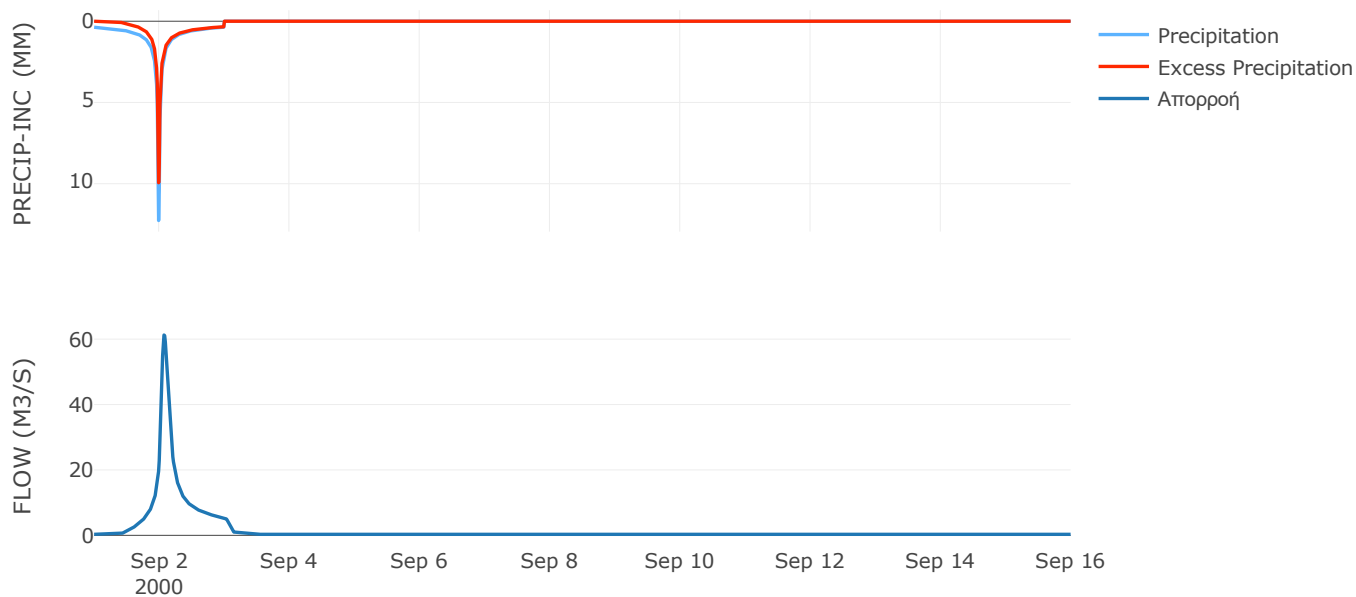
Μέθοδος
Μετασχηματισμού: SCS

Χρόνος Υστέρησης	104.79
------------------	--------

Αποτελέσματα:
EL0415FL00022

Παροχή αιχμής (M3/S)	61.25
Χρονική στιγμή αιχμής	02Sep2000, 01:45
Όγκος (MM)	167.96
Όγκος βροχόπτωσης (M3)	2.42E6
Όγκος απωλειών (M3)	7.37E5
Ενεργός Όγκος (M3)	1.68E6
Όγκος άμεσης απορροής (M3)	1.68E6
Όγκος βασικής απορροής (M3)	4.02E5

Βροχόπτωση και Απορροή



Υπολεκάνη: EL0415FL00023

Έκταση (KM2) : 16.4

Κατάντη : J22

Μέθοδος Απωλειών: SCS

Ποσοστό αδιαπέρατης επιφάνειας	0
Αριθμός Καμπύλης Απορροής-CN	80.96
Αρχικές Απώλειες	11.95

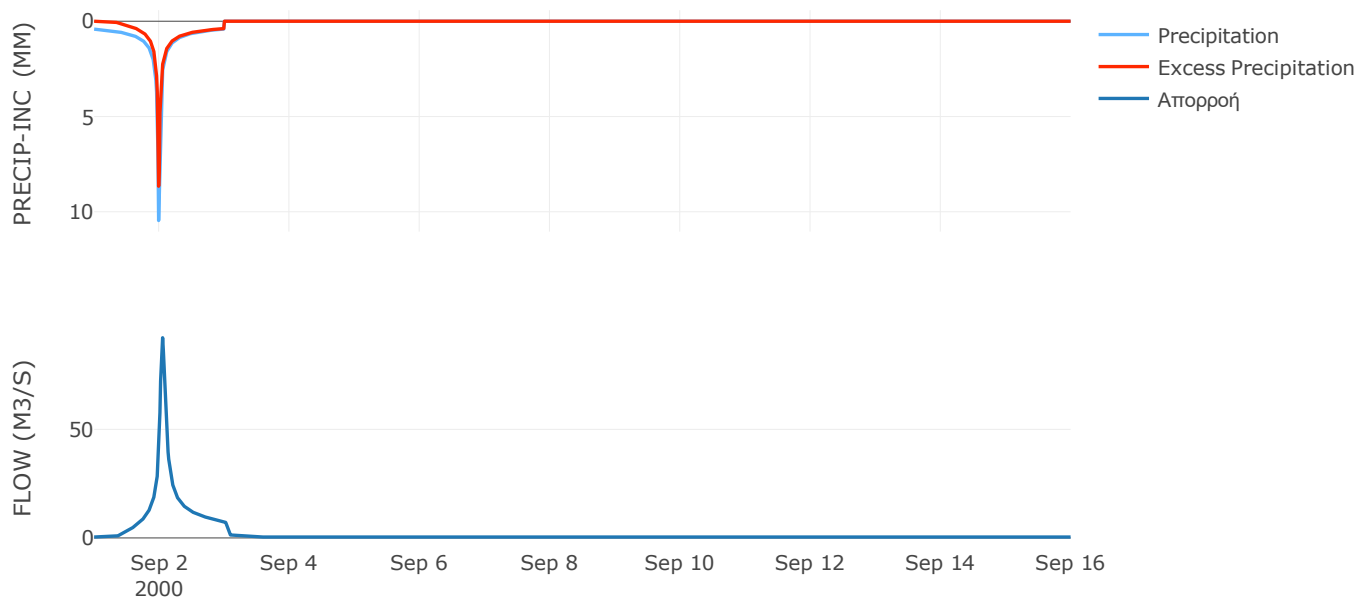
Μέθοδος
Μετασχηματισμού: SCS

Χρόνος Υστέρησης	64.33
------------------	-------

Αποτελέσματα:
EL0415FL00023

Παροχή αιχμής (M3/S)	92.23
Χρονική στιγμή αιχμής	02Sep2000, 01:15
Όγκος (MM)	173.49
Όγκος βροχόπτωσης (M3)	3.25E6
Όγκος απωλειών (M3)	9.38E5
Ενεργός Όγκος (M3)	2.31E6
Όγκος άμεσης απορροής (M3)	2.31E6
Όγκος βασικής απορροής (M3)	5.31E5

Βροχόπτωση και Απορροή



Υπολεκάνη: EL0415FL00024

Έκταση (KM2) : 20.38

Κατάντη : J19

Μέθοδος Απωλειών: SCS

Ποσοστό αδιαπέρατης επιφάνειας	0
Αριθμός Καμπύλης Απορροής-CN	79.61
Αρχικές Απώλειες	13.01

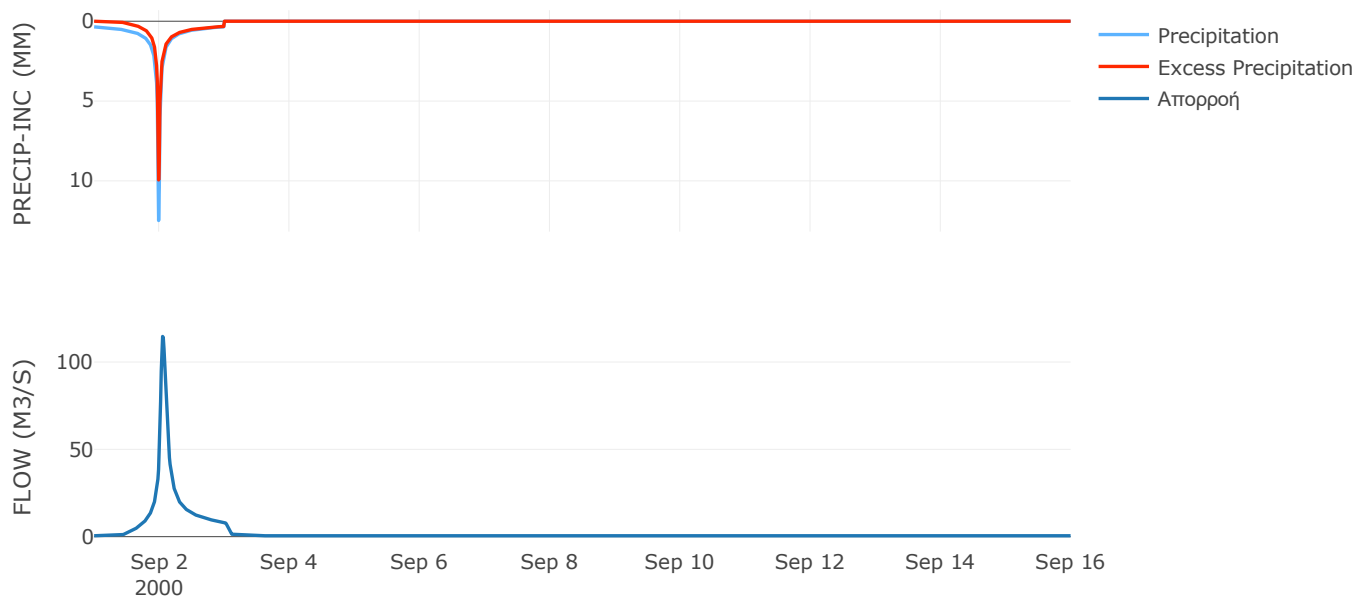
Μέθοδος
Μετασχηματισμού: SCS

Χρόνος Υστέρησης	76.44
------------------	-------

Αποτελέσματα:
EL0415FL00024

Παροχή αιχμής (M3/S)	114.66
Χρονική στιγμή αιχμής	02Sep2000, 01:15
Όγκος (MM)	162.56
Όγκος βροχόπτωσης (M3)	3.89E6
Όγκος απωλειών (M3)	1.24E6
Ενεργός Όγκος (M3)	2.65E6
Όγκος άμεσης απορροής (M3)	2.65E6
Όγκος βασικής απορροής (M3)	6.6E5

Βροχόπτωση και Απορροή



Υπολεκάνη: EL0415FL00025

Έκταση (KM2) : 32.02

Κατάντη : J13

Μέθοδος Απωλειών: SCS

Ποσοστό αδιαπέρατης επιφάνειας	0
Αριθμός Καμπύλης Απορροής-CN	51.09
Αρχικές Απώλειες	48.62

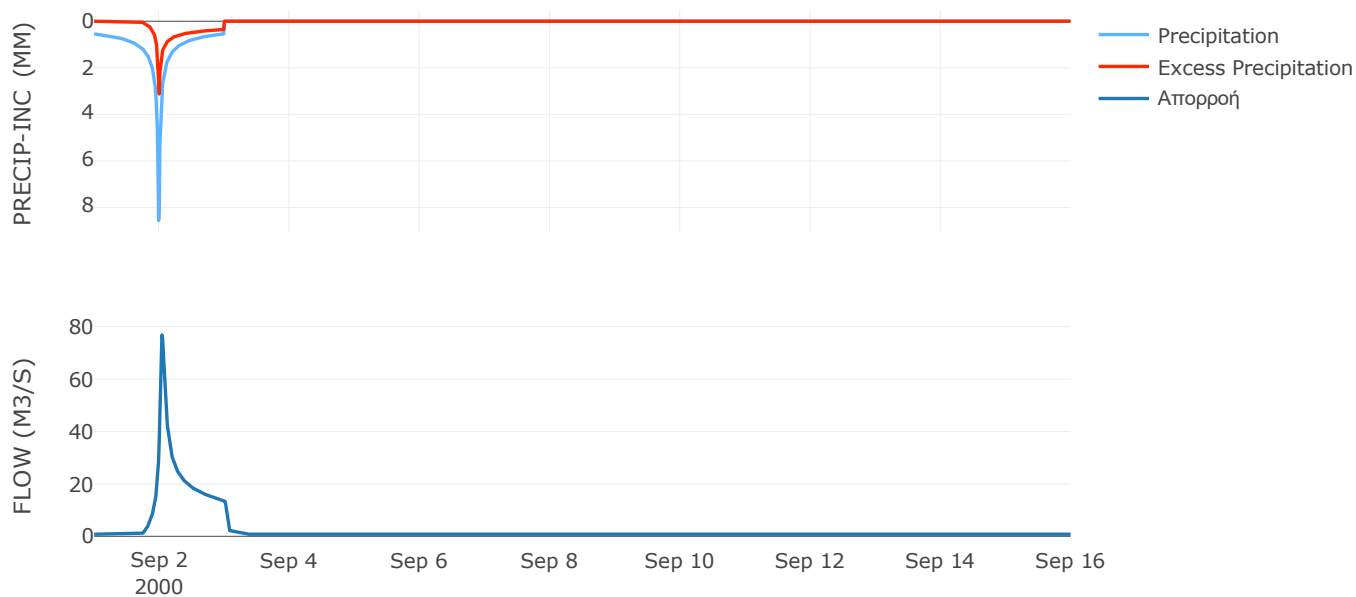
Μέθοδος
Μετασχηματισμού: SCS

Χρόνος Υστέρησης	53
------------------	----

Αποτελέσματα:
EL0415FL00025

Παροχή αιχμής (M3/S)	76.85
Χρονική στιγμή αιχμής	02Sep2000, 01:00
Όγκος (MM)	104.96
Όγκος βροχόπτωσης (M3)	7.13E6
Όγκος απωλειών (M3)	4.8E6
Ενεργός Όγκος (M3)	2.32E6
Όγκος άμεσης απορροής (M3)	2.32E6
Όγκος βασικής απορροής (M3)	1.04E6

Βροχόπτωση και Απορροή



Υπολεκάνη: EL0415FL00026

Έκταση (KM2) : 30.03

Κατάντη : J12

Μέθοδος Απωλειών: SCS

Ποσοστό αδιαπέρατης επιφάνειας	0
Αριθμός Καμπύλης Απορροής-CN	68.31
Αρχικές Απώλειες	23.56

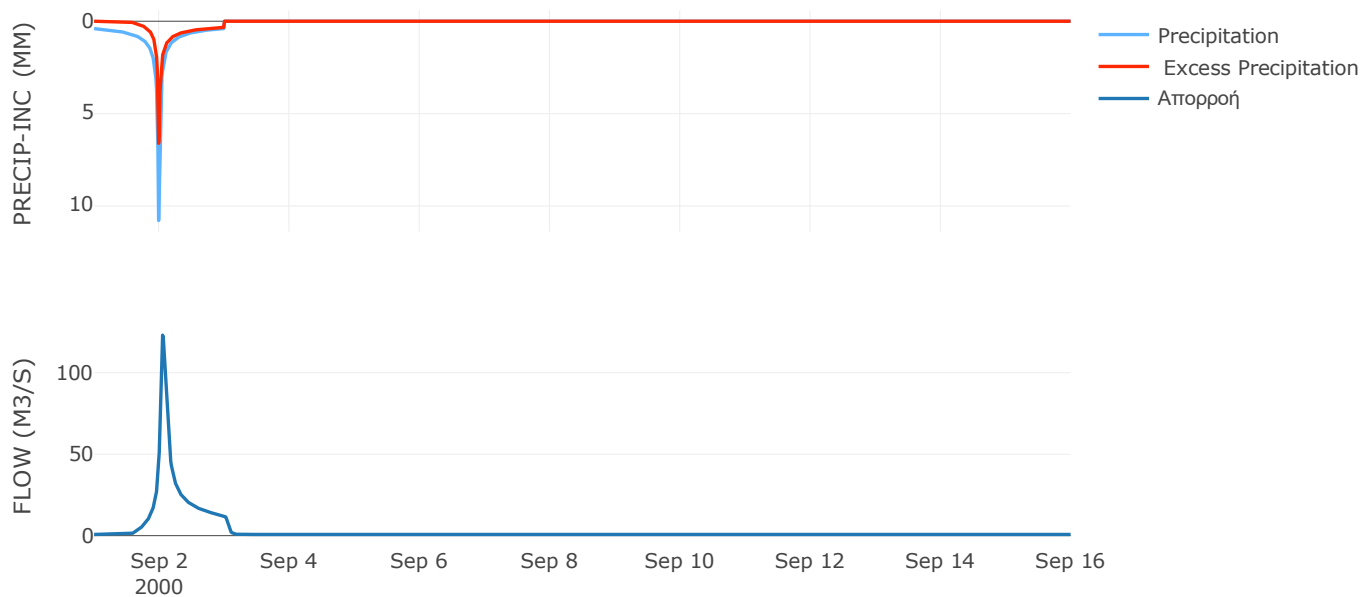
Μέθοδος
Μετασχηματισμού: SCS

Χρόνος Υστέρησης	71.65
------------------	-------

Αποτελέσματα:
EL0415FL00026

Παροχή αιχμής (M3/S)	123.08
Χρονική στιγμή αιχμής	02Sep2000, 01:15
Όγκος (MM)	134.74
Όγκος βροχόπτωσης (M3)	5.88E6
Όγκος απωλειών (M3)	2.81E6
Ενεργός Όγκος (M3)	3.07E6
Όγκος άμεσης απορροής (M3)	3.07E6
Όγκος βασικής απορροής (M3)	9.73E5

Βροχόπτωση και Απορροή



Υπολεκάνη: EL0415FL00027

Έκταση (KM2) : 3.34

Κατάντη : J11

Μέθοδος Απωλειών: SCS

Ποσοστό αδιαπέρατης επιφάνειας	0
Αριθμός Καμπύλης Απορροής-CN	79.69
Αρχικές Απώλειες	12.94

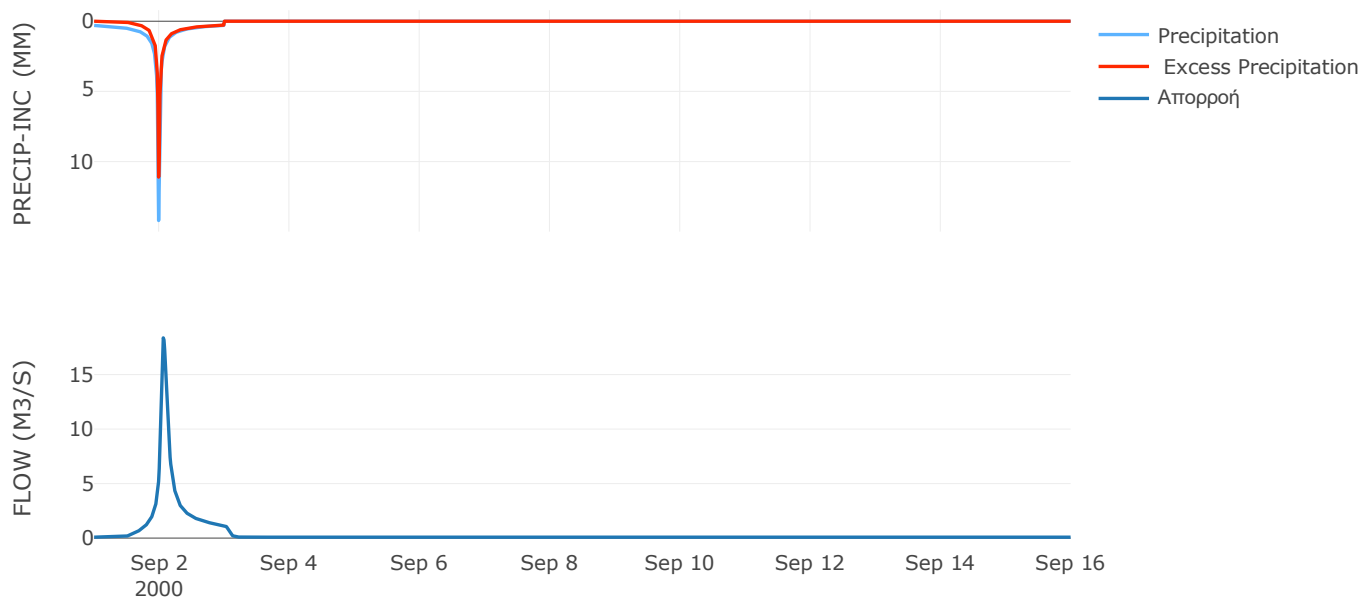
Μέθοδος
Μετασχηματισμού: SCS

Χρόνος Υστέρησης	89.02
------------------	-------

Αποτελέσματα:
EL0415FL00027

Παροχή αιχμής (M3/S)	18.36
Χρονική στιγμή αιχμής	02Sep2000, 01:30
Όγκος (MM)	153.79
Όγκος βροχόπτωσης (M3)	6.05E5
Όγκος απωλειών (M3)	1.99E5
Ενεργός Όγκος (M3)	4.05E5
Όγκος άμεσης απορροής (M3)	4.05E5
Όγκος βασικής απορροής (M3)	1.08E5

Βροχόπτωση και Απορροή



Δεδομένα και υδρογραφήματα σχεδιασμού Κλάδων υδρογραφικού δικτύου

Κλάδος: R21

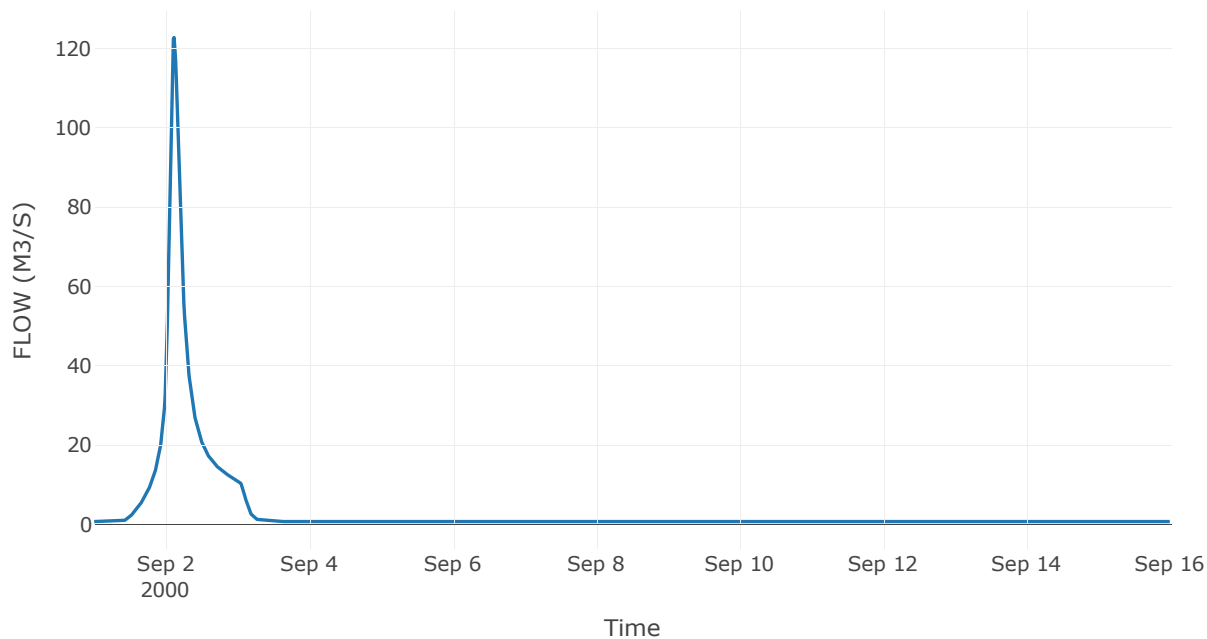
Κατάντη : J1

Μέθοδος Διόδευσης	Χρόνος
Αρχική Μεταβλητή	Combined Inflow
Χρόνος Υστέρησης	0

Αποτελέσματα: R21

Παροχή Αιχμής(M3/S)	122.71
Χρονική στιγμή αιχμής	02Sep2000, 02:45
Όγκος(MM)	164.18
Παροχή Αιχμής Εισόδου (M3/S)	122.71
Όγκος Εισροής(M3)	4.66E6

Απορροή



Κλάδος: R31

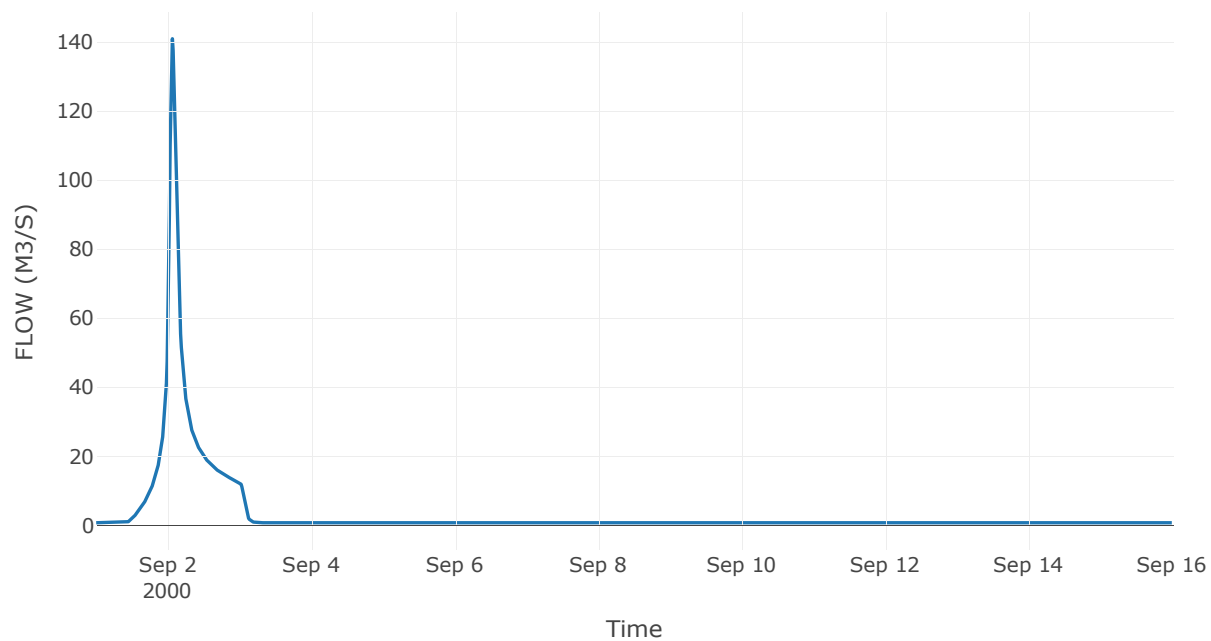
Κατάντη : J1

Μέθοδος Διόδευσης	Χρόνος
Αρχική Μεταβλητή	Combined Inflow
Χρόνος Υστέρησης	0

Αποτελέσματα: R31

Παροχή Αιχμής(M3/S)	140.85
Χρονική στιγμή αιχμής	02Sep2000, 01:30
Όγκος(MM)	152.14
Παροχή Αιχμής Εισόδου (M3/S)	140.85
Όγκος Εισροής(M3)	4.57E6

Απορροή



Κλάδος: R41

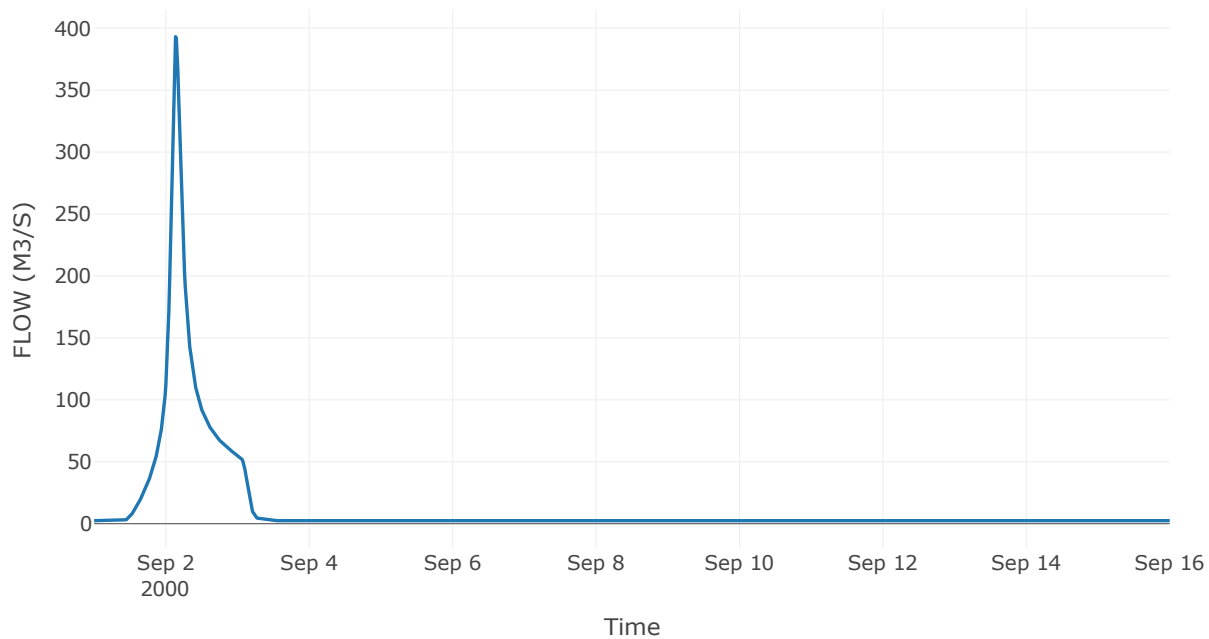
Κατάντη : J1

Μέθοδος Διόδευσης	Χρόνος
Αρχική Μεταβλητή	Combined Inflow
Χρόνος Υστέρησης	0

Αποτελέσματα: R41

Παροχή Αιχμής(M3/S)	393.16
Χρονική στιγμή αιχμής	02Sep2000, 03:15
Όγκος(MM)	173.8
Παροχή Αιχμής Εισόδου (M3/S)	393.16
Όγκος Εισροής(M3)	1.71E7

Απορροή



Κλάδος: R51

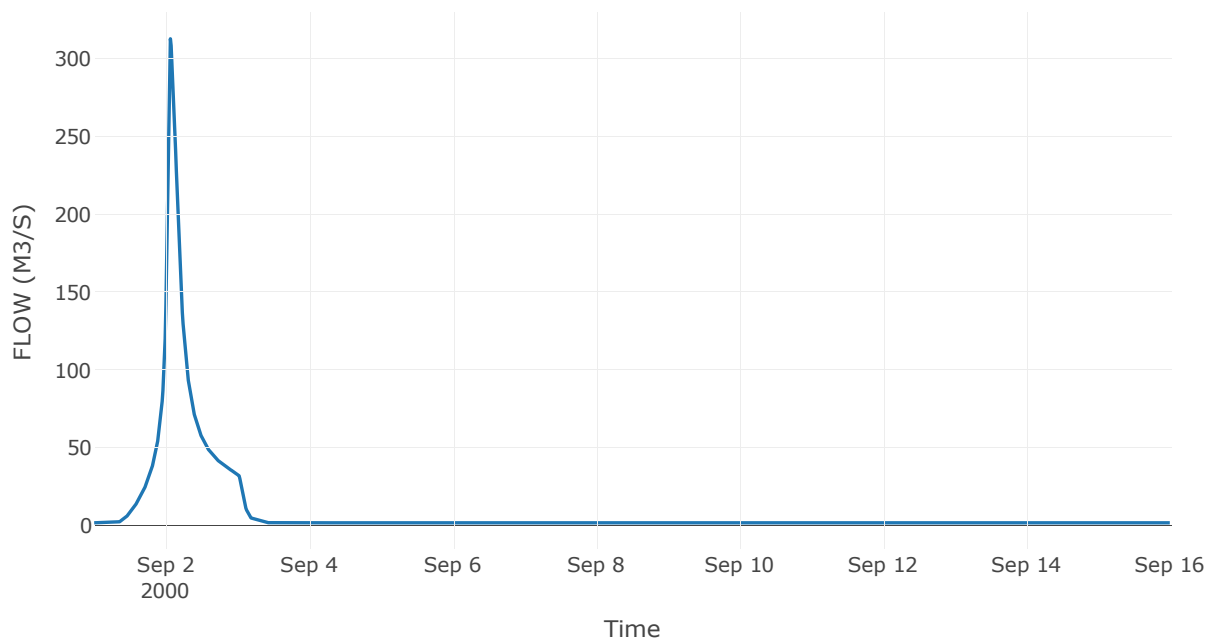
Κατάντη : J1

Μέθοδος Διόδευσης	Χρόνος
Αρχική Μεταβλητή	Combined Inflow
Χρόνος Υστέρησης	0

Αποτελέσματα: R51

Παροχή Αιχμής(M3/S)	312.81
Χρονική στιγμή αιχμής	02Sep2000, 01:30
Όγκος(MM)	164.43
Παροχή Αιχμής Εισόδου (M3/S)	312.81
Όγκος Εισροής(M3)	1.26E7

Απορροή



Κλάδος: R1110

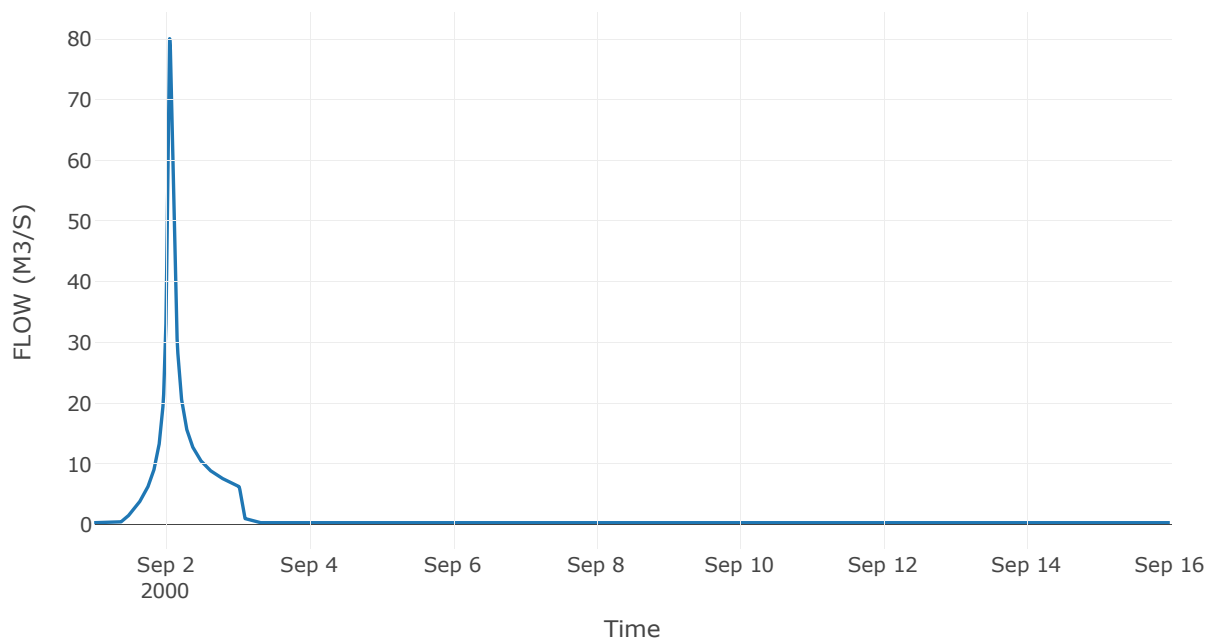
Κατάντη : J10

Μέθοδος Διόδευσης	Χρόνος
Αρχική Μεταβλητή	Combined Inflow
Χρόνος Υστέρησης	0

Αποτελέσματα: R1110

Παροχή Αιχμής(M3/S)	80
Χρονική στιγμή αιχμής	02Sep2000, 01:15
Όγκος(MM)	164.98
Παροχή Αιχμής Εισόδου (M3/S)	80
Όγκος Εισροής(M3)	2.4E6

Απορροή



Κλάδος: R1210

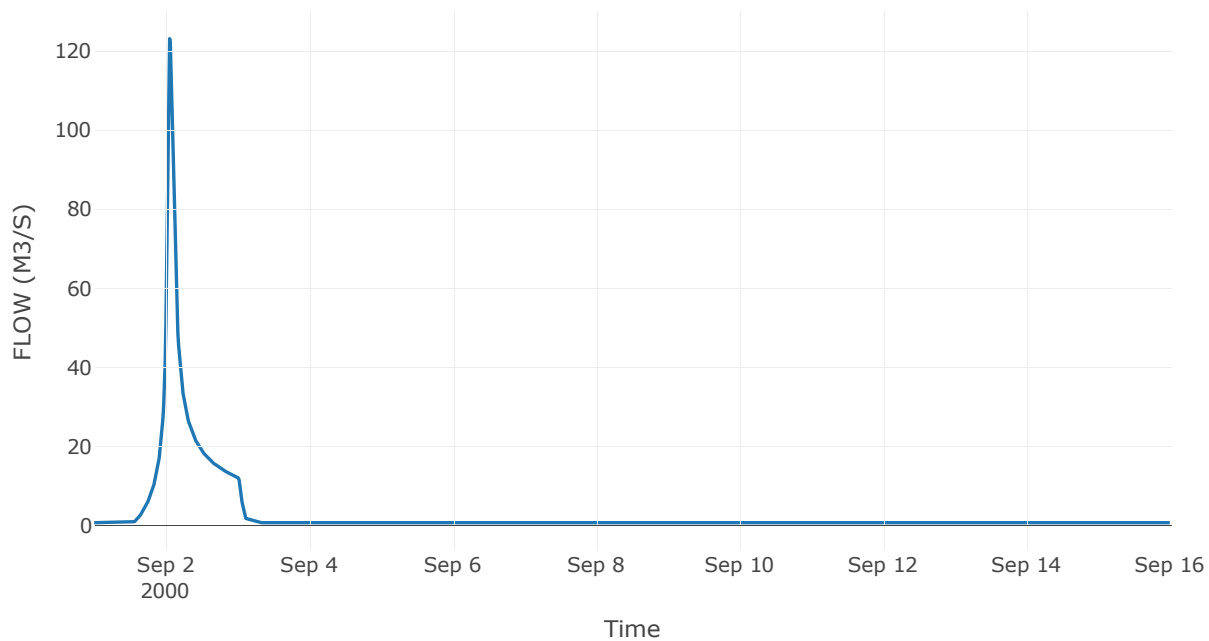
Κατάντη : J10

Μέθοδος Διόδευσης	Χρόνος
Αρχική Μεταβλητή	Combined Inflow
Χρόνος Υστέρησης	0

Αποτελέσματα: R1210

Παροχή Αιχμής(M3/S)	123.08
Χρονική στιγμή αιχμής	02Sep2000, 01:15
Όγκος(MM)	134.74
Παροχή Αιχμής Εισόδου (M3/S)	123.08
Όγκος Εισροής(M3)	4.05E6

Απορροή



Κλάδος: R1310

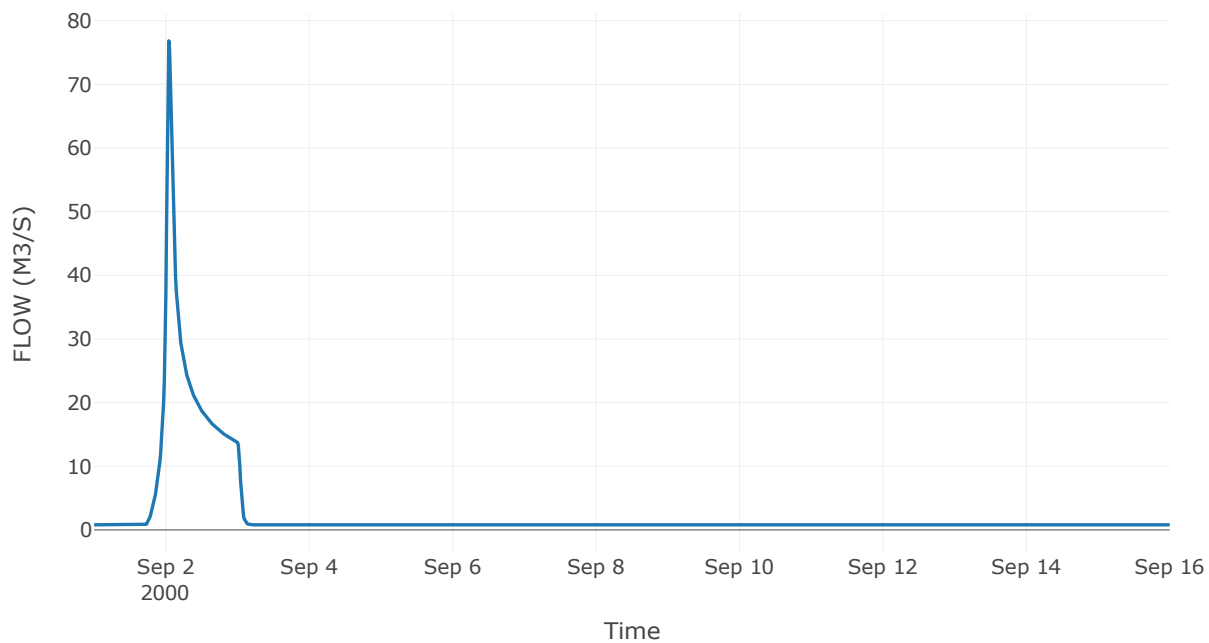
Κατάντη : J10

Μέθοδος Διόδευσης	Χρόνος
Αρχική Μεταβλητή	Combined Inflow
Χρόνος Υστέρησης	0

Αποτελέσματα: R1310

Παροχή Αιχμής(M3/S)	76.85
Χρονική στιγμή αιχμής	02Sep2000, 01:00
Όγκος(MM)	104.96
Παροχή Αιχμής Εισόδου (M3/S)	76.85
Όγκος Εισροής(M3)	3.36E6

Απορροή



Κλάδος: R1410

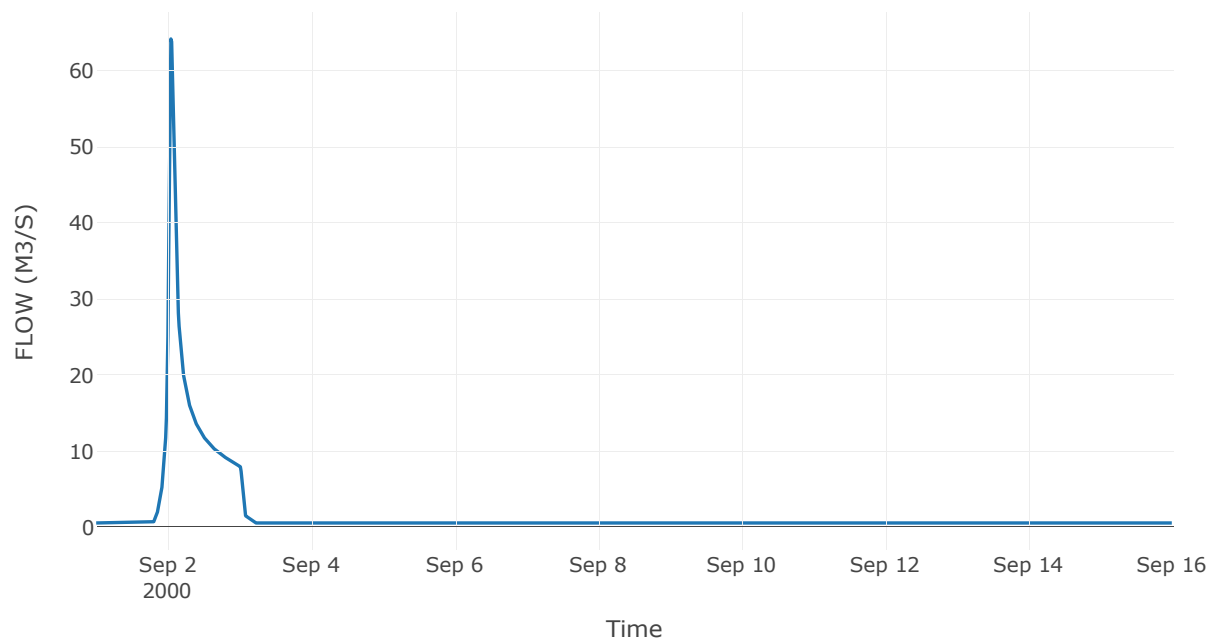
Κατάντη : J10

Μέθοδος Διόδευσης	Χρόνος
Αρχική Μεταβλητή	Combined Inflow
Χρόνος Υστέρησης	0

Αποτελέσματα: R1410

Παροχή Αιχμής(M3/S)	64.19
Χρονική στιγμή αιχμής	02Sep2000, 01:00
Όγκος(MM)	97
Παροχή Αιχμής Εισόδου (M3/S)	64.19
Όγκος Εισροής(M3)	2.38E6

Απορροή



Κλάδος: R1510

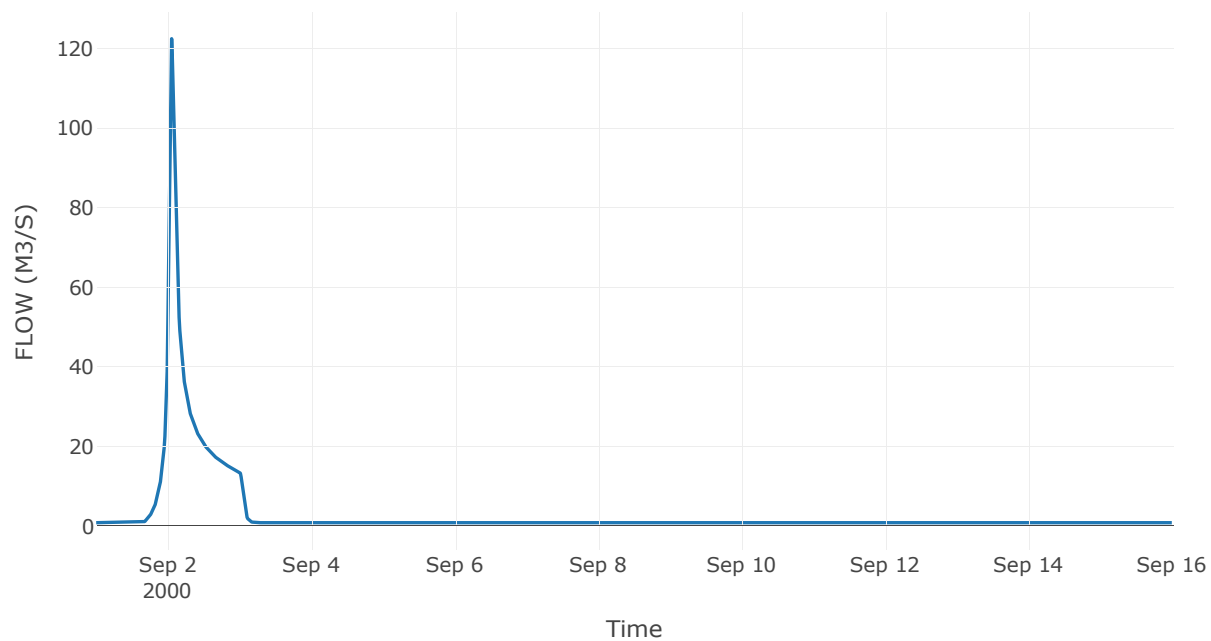
Κατάντη : J10

Μέθοδος Διόδευσης	Χρόνος
Αρχική Μεταβλητή	Combined Inflow
Χρόνος Υστέρησης	0

Αποτελέσματα: R1510

Παροχή Αιχμής(M3/S)	122.33
Χρονική στιγμή αιχμής	02Sep2000, 01:15
Όγκος(MM)	115.87
Παροχή Αιχμής Εισόδου (M3/S)	122.33
Όγκος Εισροής(M3)	4.23E6

Απορροή



Κλάδος: R1610

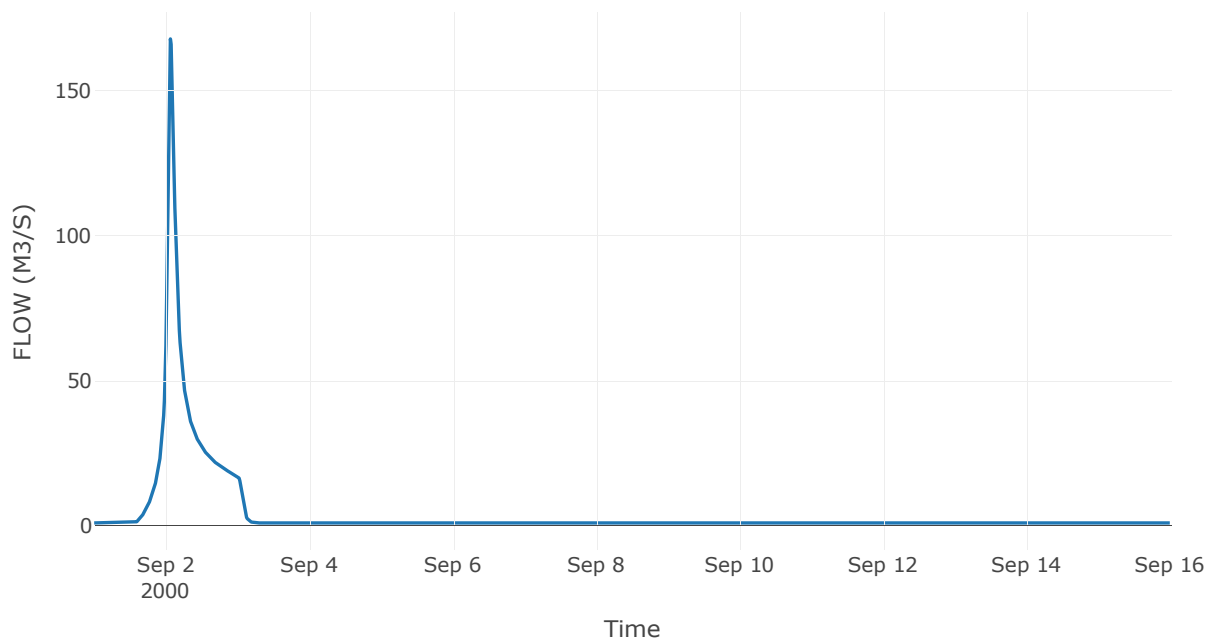
Κατάντη : J10

Μέθοδος Διόδευσης	Χρόνος
Αρχική Μεταβλητή	Combined Inflow
Χρόνος Υστέρησης	0

Αποτελέσματα: R1610

Παροχή Αιχμής(M3/S)	167.85
Χρονική στιγμή αιχμής	02Sep2000, 01:30
Όγκος(MM)	136.7
Παροχή Αιχμής Εισόδου (M3/S)	167.85
Όγκος Εισροής(M3)	5.72E6

Απορροή



Κλάδος: R1710

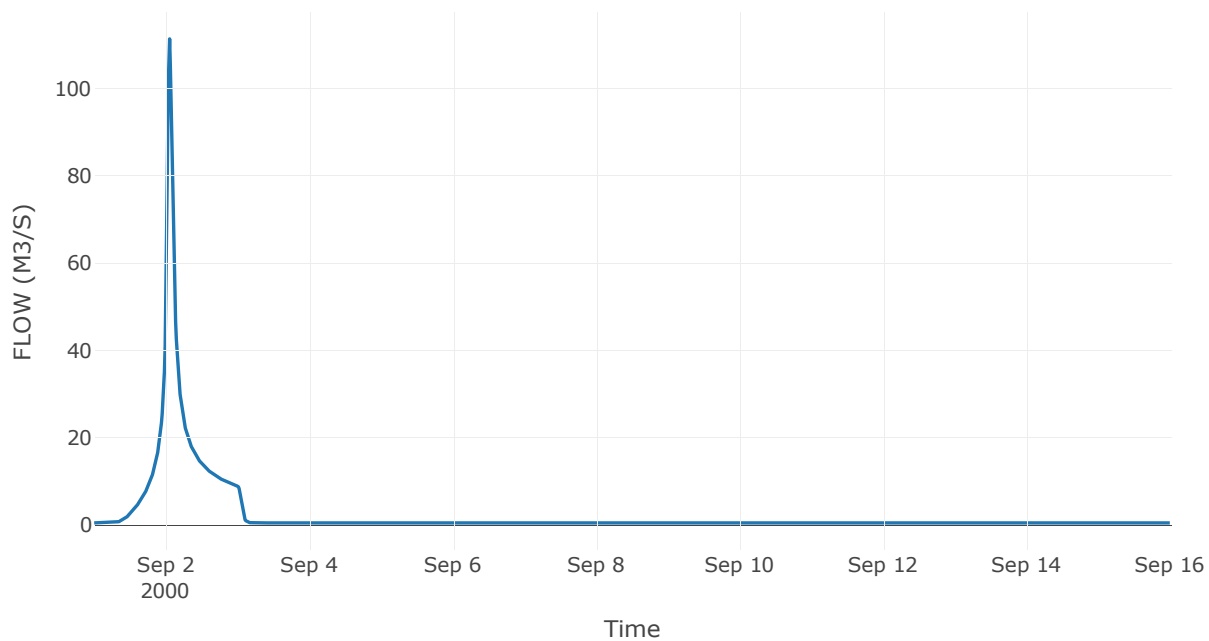
Κατάντη : J10

Μέθοδος Διόδευσης	Χρόνος
Αρχική Μεταβλητή	Combined Inflow
Χρόνος Υστέρησης	0

Αποτελέσματα: R1710

Παροχή Αιχμής(M3/S)	111.33
Χρονική στιγμή αιχμής	02Sep2000, 01:15
Όγκος(MM)	167.12
Παροχή Αιχμής Εισόδου (M3/S)	111.33
Όγκος Εισροής(M3)	3.27E6

Απορροή



Κλάδος: R1810

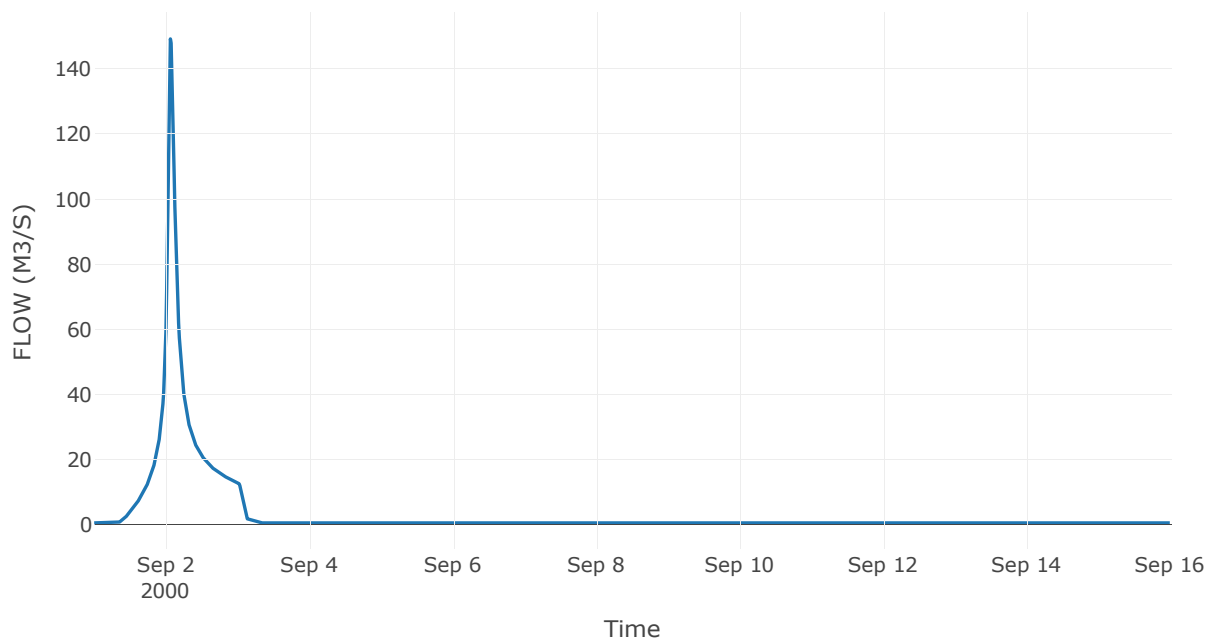
Κατάντη : J10

Μέθοδος Διόδευσης	Χρόνος
Αρχική Μεταβλητή	Combined Inflow
Χρόνος Υστέρησης	0

Αποτελέσματα: R1810

Παροχή Αιχμής(M3/S)	149.23
Χρονική στιγμή αιχμής	02Sep2000, 01:30
Όγκος(MM)	171.11
Παροχή Αιχμής Εισόδου (M3/S)	149.23
Όγκος Εισροής(M3)	4.93E6

Απορροή



Κλάδος: R1910

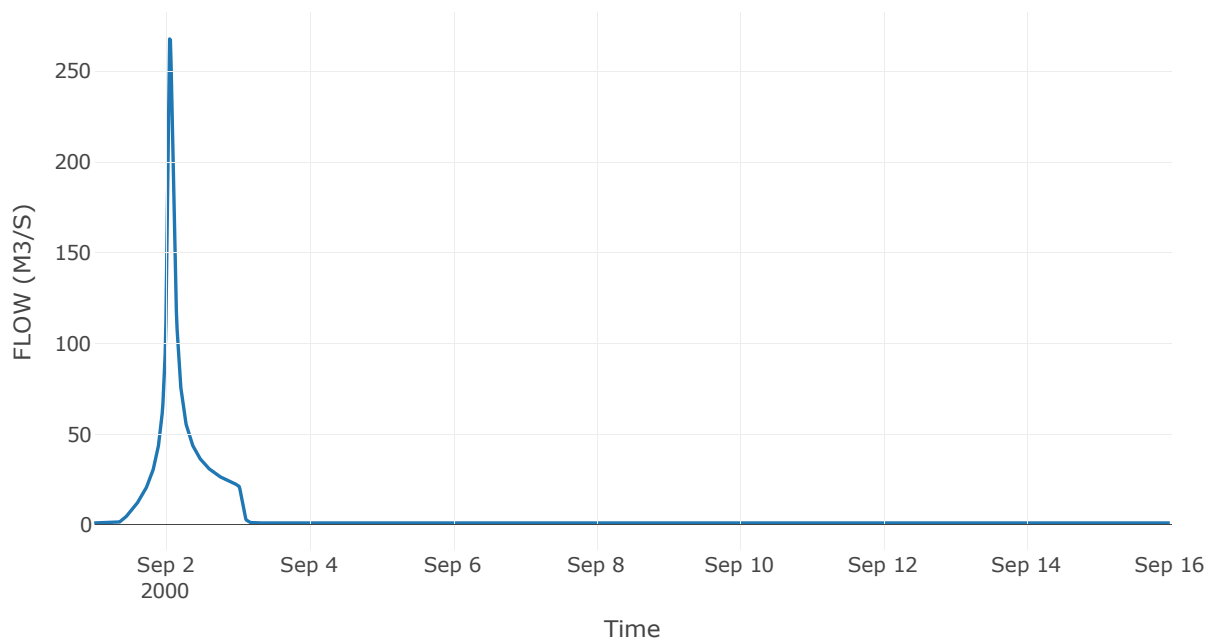
Κατάντη : J10

Μέθοδος Διόδευσης	Χρόνος
Αρχική Μεταβλητή	Combined Inflow
Χρόνος Υστέρησης	0

Αποτελέσματα: R1910

Παροχή Αιχμής(M3/S)	267.83
Χρονική στιγμή αιχμής	02Sep2000, 01:15
Όγκος(MM)	168.18
Παροχή Αιχμής Εισόδου (M3/S)	267.83
Όγκος Εισροής(M3)	8.27E6

Απορροή



Κλάδος: R16

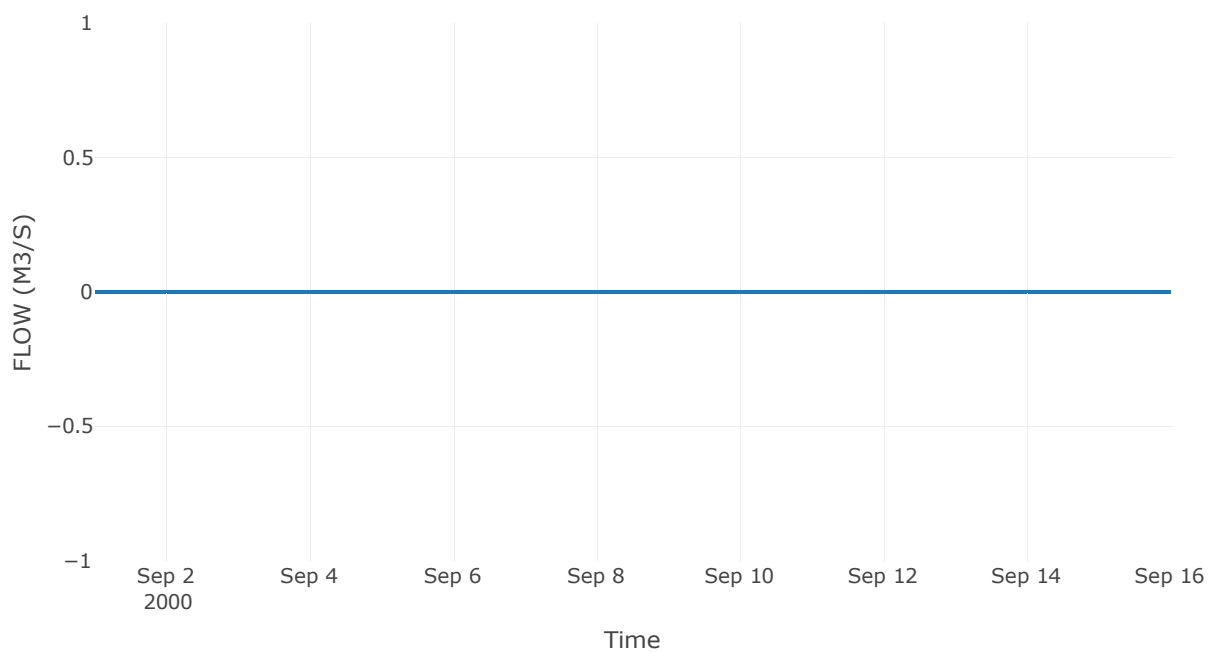
Κατάντη : J6

Μέθοδος Διόδευσης	Muskingum
Αρχική Μεταβλητή	Combined Inflow
Χρόνος Ροής K	14.66
Συντελεστής βάρους x	0.2
Πλήθος Υποκλάδων	59

Αποτελέσματα: R16

Παροχή Αιχμής(M3/S)	0
Χρονική στιγμή αιχμής	31Aug2000, 24:00
Εισροή Αιχμής(M3/S)	0
Όγκος Εισροής (M3)	0

Απορροή



Κλάδος: R74

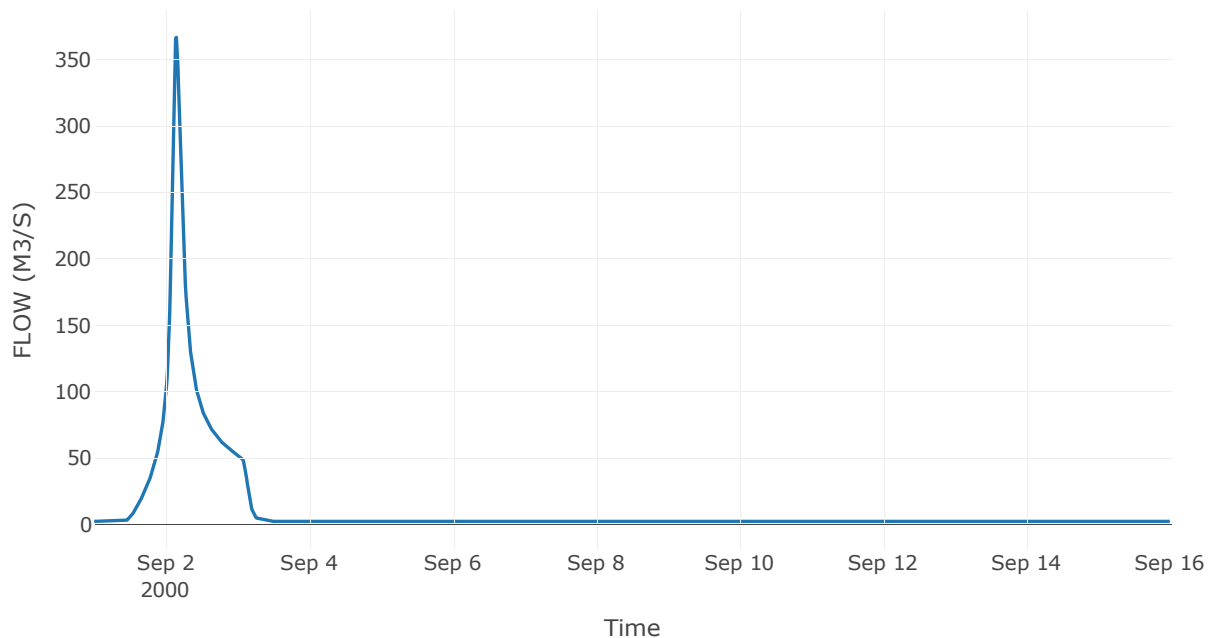
Κατάντη : J4

Μέθοδος Διόδευσης	Muskingum
Αρχική Μεταβλητή	Combined Inflow
Χρόνος Ροής Κ	1.39
Συντελεστής βάρους α	0.2
Πλήθος Υποκλάδων	6

Αποτελέσματα: R74

Παροχή Αιχμής(M3/S)	366.73
Χρονική στιγμή αιχμής	02Sep2000, 03:30
Όγκος(MM)	175.15
Παροχή Αιχμής Εισόδου (M3/S)	382.15
Όγκος Εισροής(M3)	1.58E7

Απορροή



Κλάδος: R85

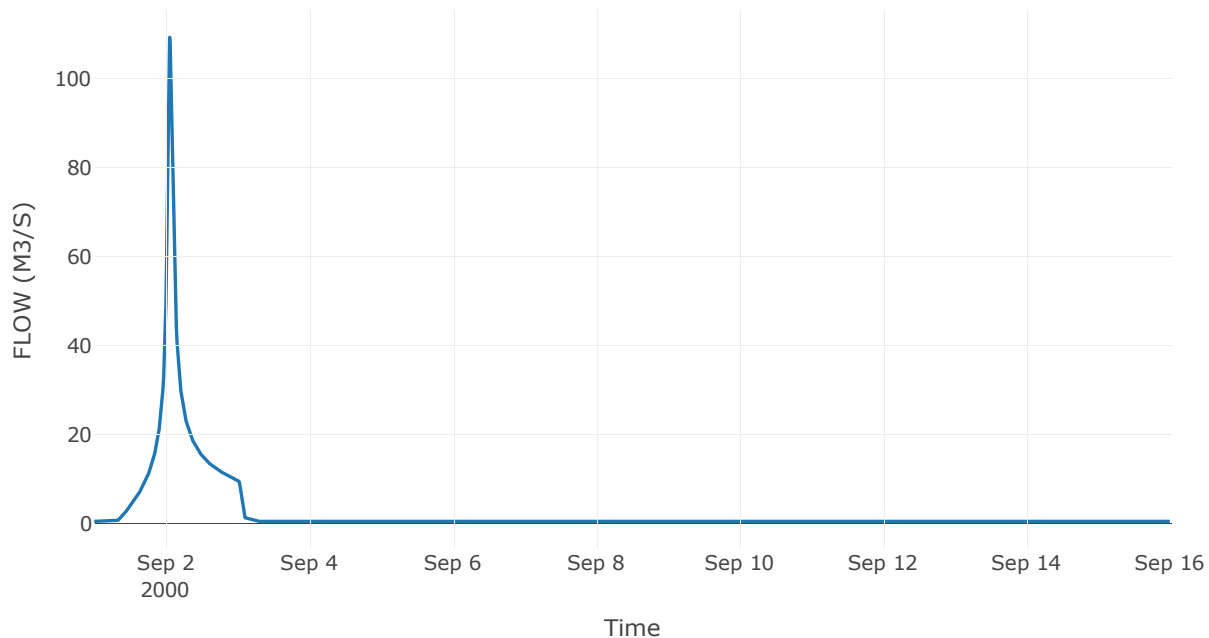
Κατάντη : J5

Μέθοδος Διόδευσης	Muskingum
Αρχική Μεταβλητή	Combined Inflow
Χρόνος Ροής Κ	0.27
Συντελεστής βάρους x	0.2
Πλήθος Υποκλάδων	1

Αποτελέσματα: R85

Παροχή Αιχμής(M3/S)	109.2
Χρονική στιγμή αιχμής	02Sep2000, 01:15
Όγκος(MM)	170.45
Παροχή Αιχμής Εισόδου (M3/S)	112.1
Όγκος Εισροής(M3)	3.48E6

Απορροή



Κλάδος: R95

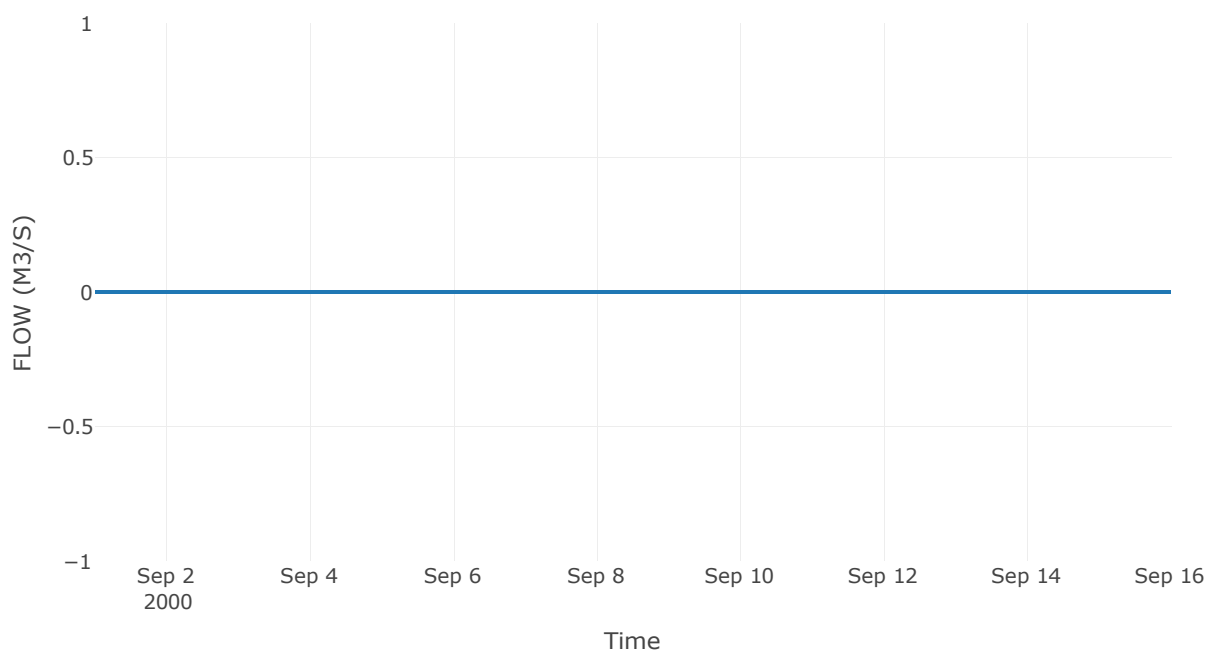
Κατάντη : J5

Μέθοδος Διόδευσης	Χρόνος
Αρχική Μεταβλητή	Combined Inflow
Χρόνος Υστέρησης	87.09

Αποτελέσματα: R95

Παροχή Αιχμής(M3/S)	0
Χρονική στιγμή αιχμής	31Aug2000, 24:00
Εισροή Αιχμής(M3/S)	0
Όγκος Εισροής (M3)	0

Απορροή



Κλάδος: R2011

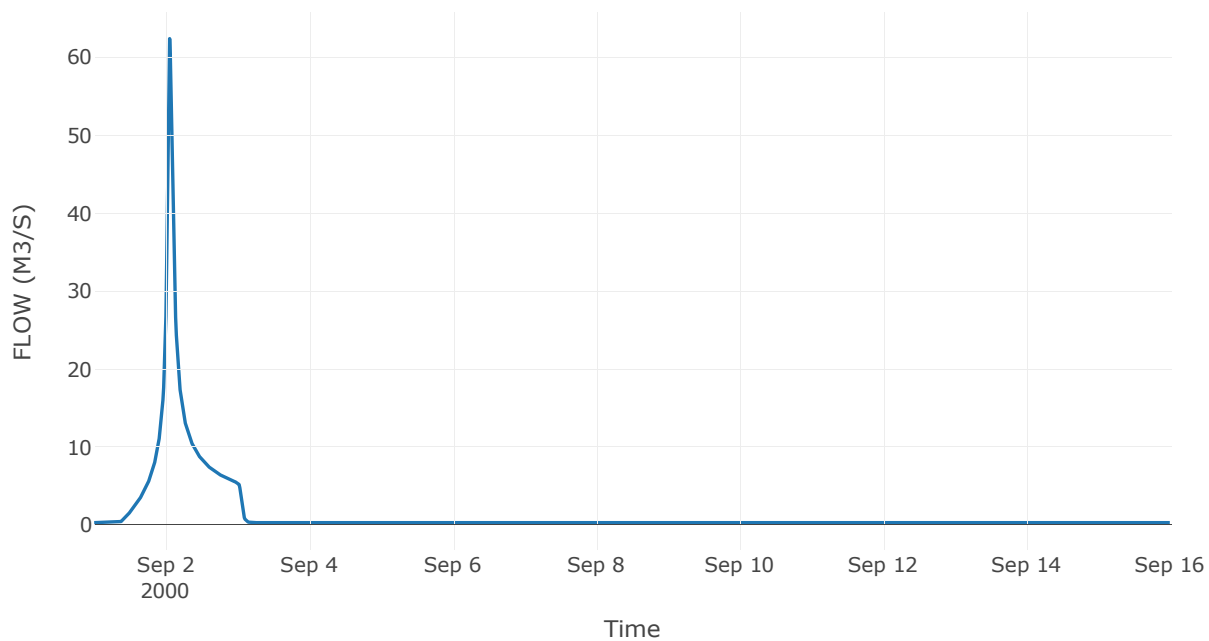
Κατάντη : J11

Μέθοδος Διόδευσης	Χρόνος
Αρχική Μεταβλητή	Combined Inflow
Χρόνος Υστέρησης	13.08

Αποτελέσματα: R2011

Παροχή Αιχμής(M3/S)	62.38
Χρονική στιγμή αιχμής	02Sep2000, 01:15
Όγκος(MM)	168.31
Παροχή Αιχμής Εισόδου (M3/S)	62.66
Όγκος Εισροής(M3)	1.89E6

Απορροή



Κλάδος: R2117

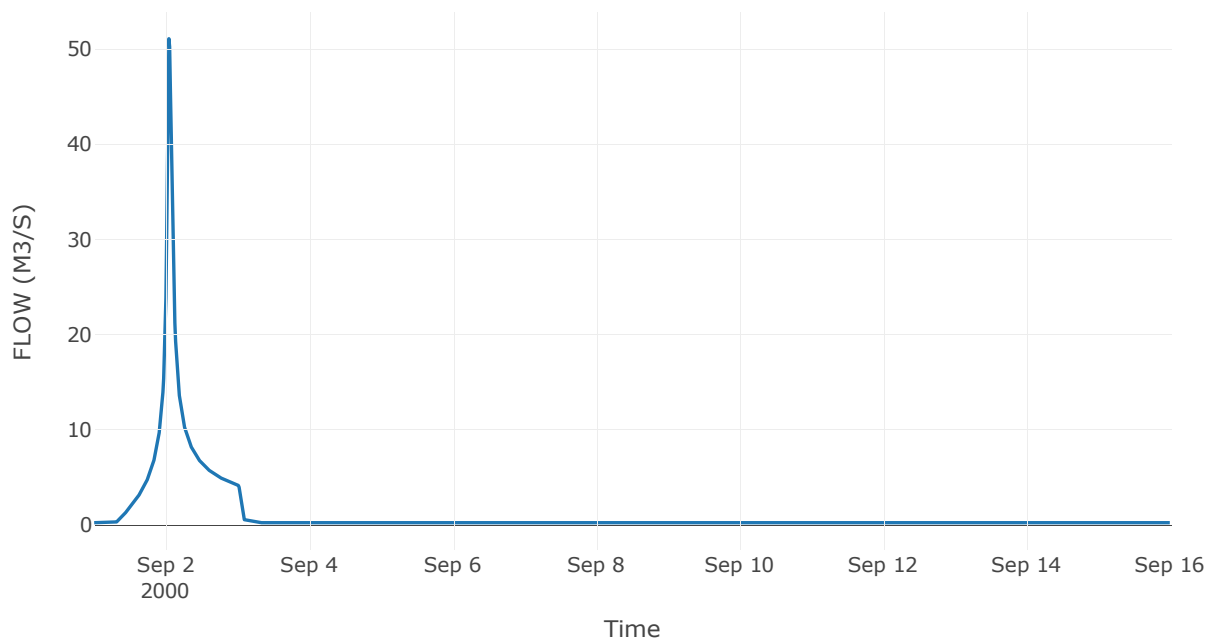
Κατάντη : J17

Μέθοδος Διόδευσης	Χρόνος
Αρχική Μεταβλητή	Combined Inflow
Χρόνος Υστέρησης	12.27

Αποτελέσματα: R2117

Παροχή Αιχμής(M3/S)	51.05
Χρονική στιγμή αιχμής	02Sep2000, 01:00
Όγκος(MM)	177.18
Παροχή Αιχμής Εισόδου (M3/S)	51.06
Όγκος Εισροής(M3)	1.5E6

Απορροή



Κλάδος: R2218

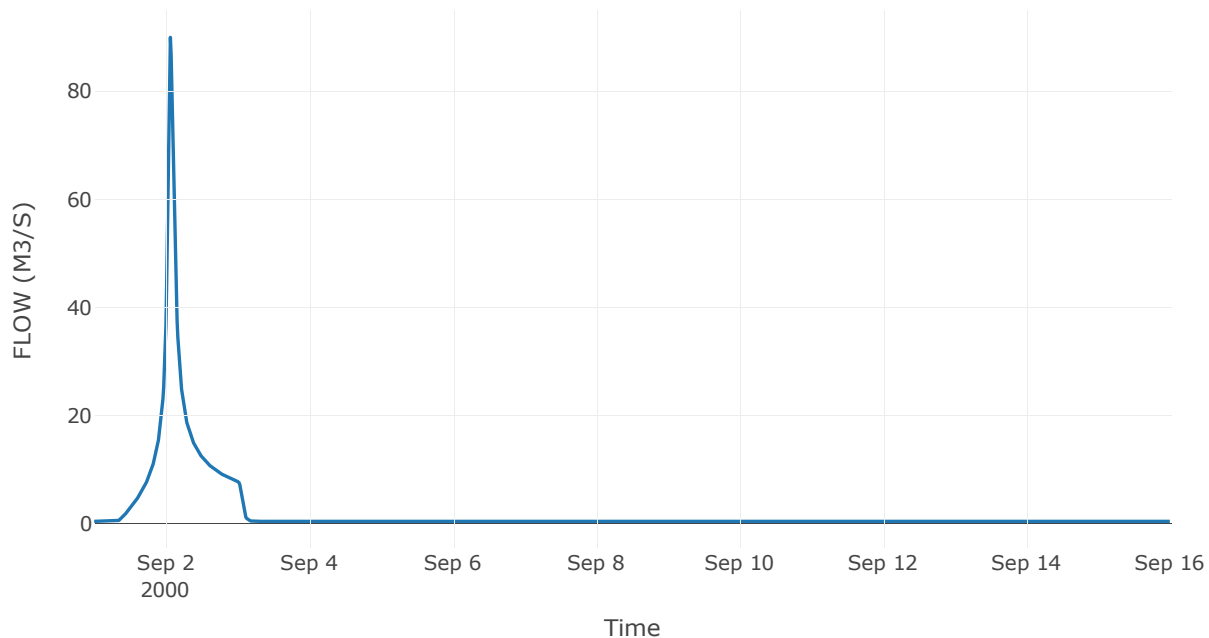
Κατάντη : J18

Μέθοδος Διόδευσης	Muskingum
Αρχική Μεταβλητή	Combined Inflow
Χρόνος Ροής Κ	0.32
Συντελεστής βάρους x	0.2
Πλήθος Υποκλάδων	1

Αποτελέσματα: R2218

Παροχή Αιχμής(M3/S)	89.97
Χρονική στιγμή αιχμής	02Sep2000, 01:30
Όγκος(MM)	173.49
Παροχή Αιχμής Εισόδου (M3/S)	92.23
Όγκος Εισροής(M3)	2.85E6

Απορροή



Κλάδος: R2319

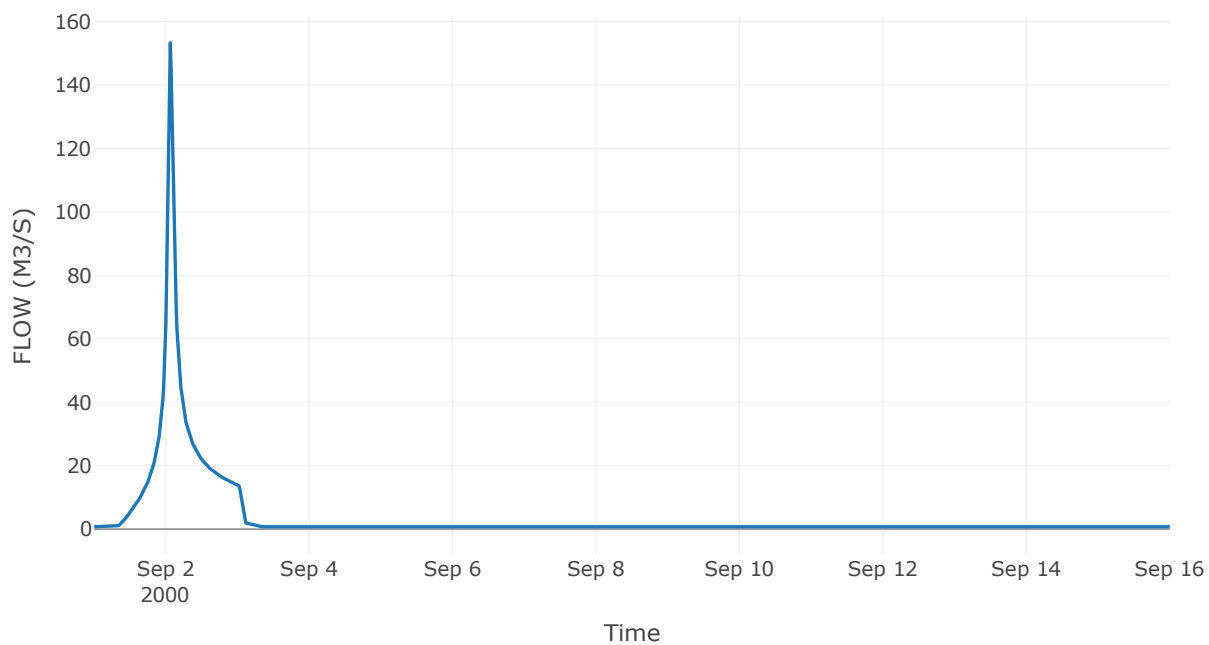
Κατάντη : J19

Μέθοδος Διόδευσης	Χρόνος
Αρχική Μεταβλητή	Combined Inflow
Χρόνος Υστέρησης	14.71

Αποτελέσματα: R2319

Παροχή Αιχμής(M3/S)	153.32
Χρονική στιγμή αιχμής	02Sep2000, 01:30
Όγκος(MM)	172.15
Παροχή Αιχμής Εισόδου (M3/S)	153.85
Όγκος Εισροής(M3)	4.96E6

Απορροή



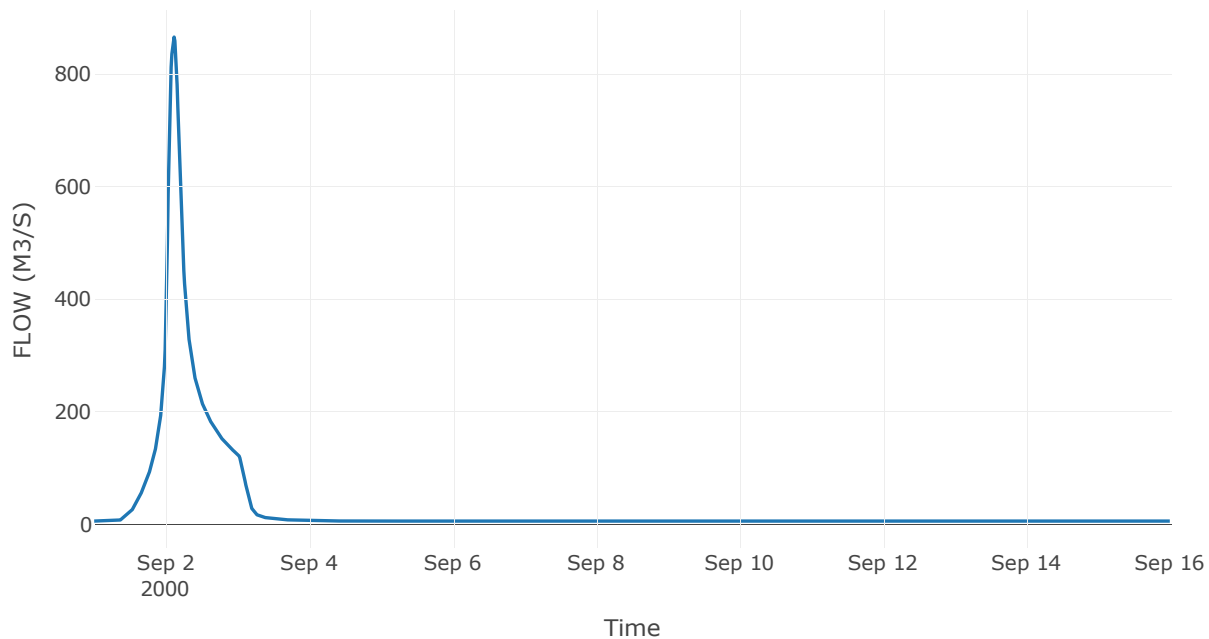
Δεδομένα και υδρογραφήματα σχεδιασμού Κόμβων υδρογραφικού δικτύου

Κόμβος εξόδου: J1

Αποτέλεσμα
τα: J1

Παροχή αιχμής (M3/S)	865.75
Χρονική στιγμή αιχμής	02Sep2000, 02:45
Όγκος (MM)	169.22

Απορροή



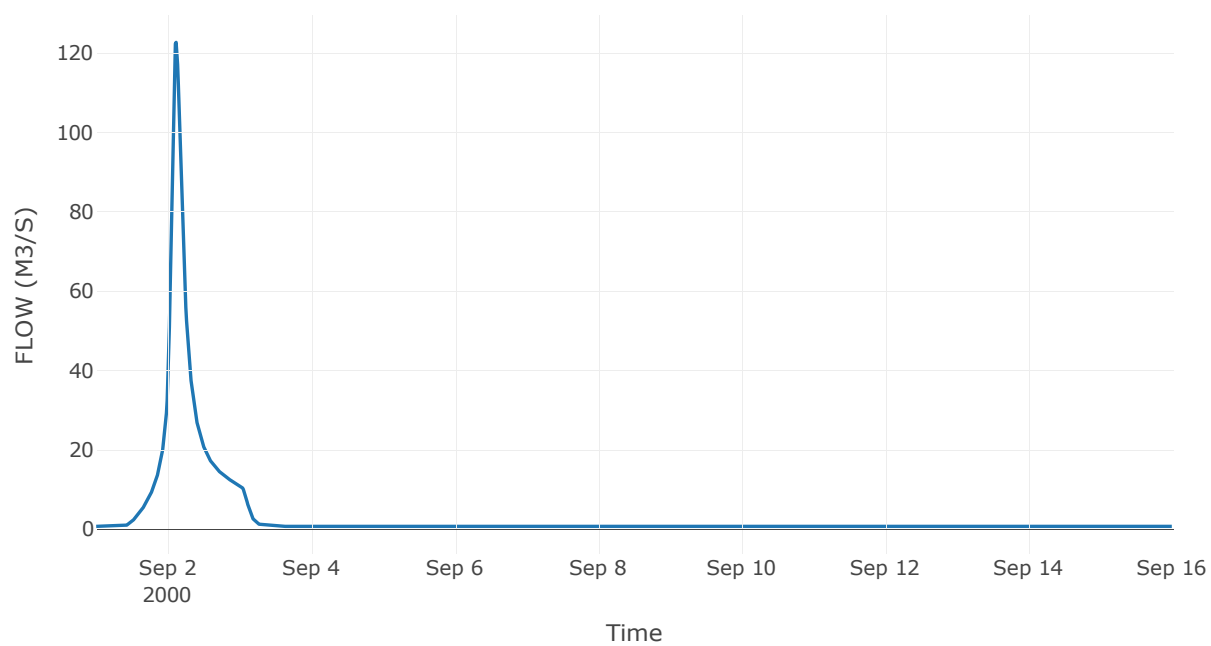
Κόμβος: J2

Κατάντη : R21

Αποτελέσματα: J2

Παροχή Αιχμής(M3/S)	122.71
Χρονική στιγμή αιχμής	02Sep2000, 02:45
Όγκος(MM)	164.18

Απορροή



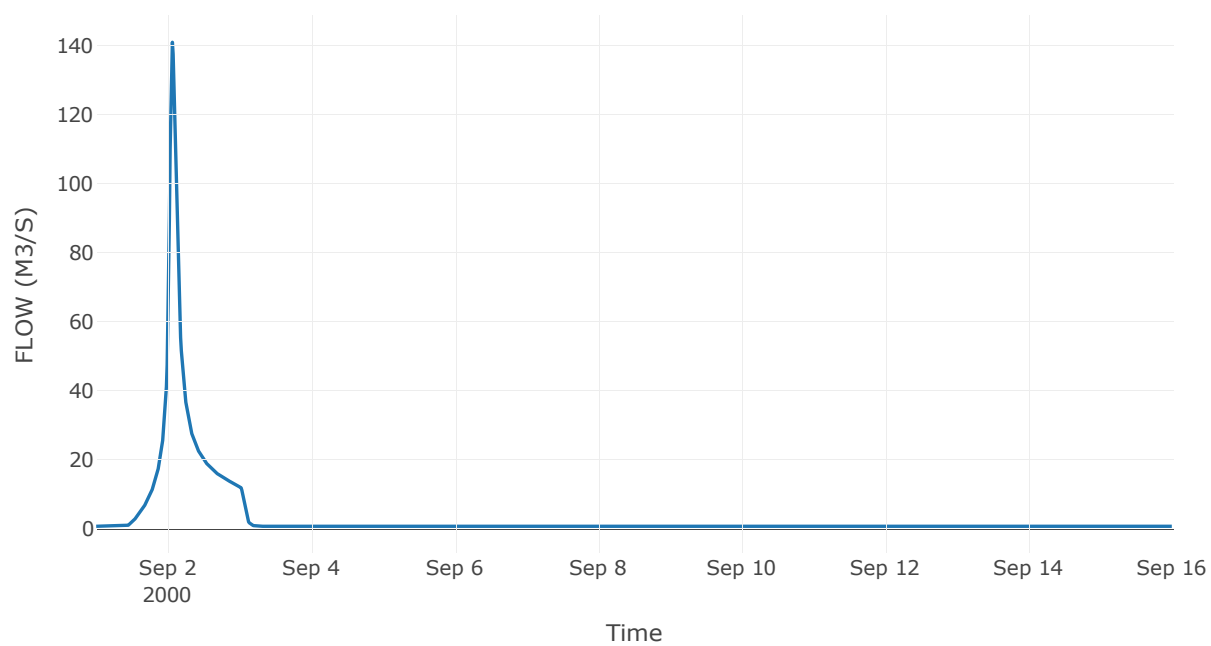
Κόμβος: J3

Κατάντη : R31

Αποτελέσματα: J3

Παροχή Αιχμής(M3/S)	140.85
Χρονική στιγμή αιχμής	02Sep2000, 01:30
Όγκος(MM)	152.14

Απορροή



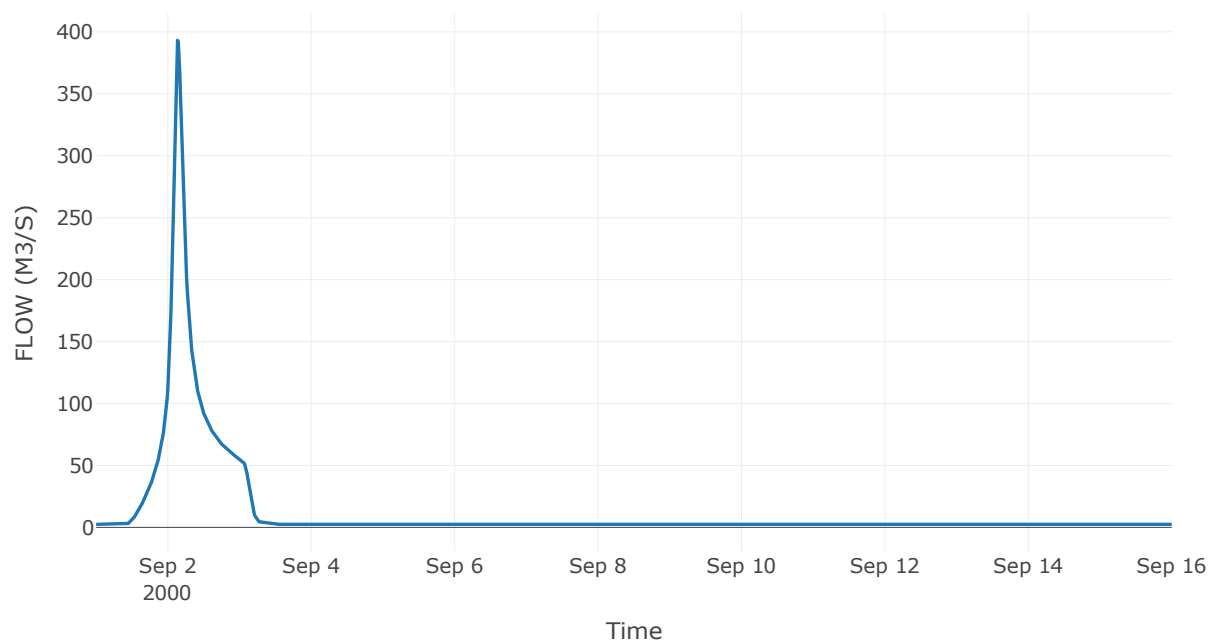
Κόμβος: J4

Κατάντη : R41

Αποτελέσματα: J4

Παροχή Αιχμής(M3/S)	393.16
Χρονική στιγμή αιχμής	02Sep2000, 03:15
Όγκος(MM)	173.8

Απορροή



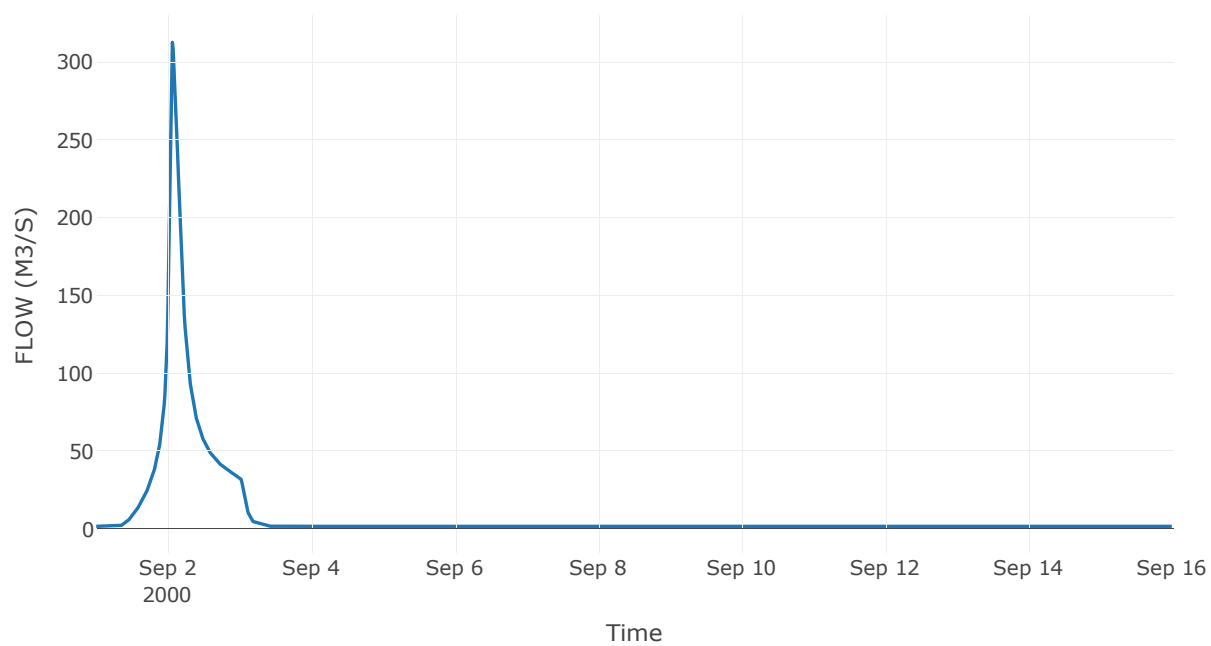
Κόμβος: J5

Κατάντη : R51

Αποτελέσματα: J5

Παροχή Αιχμής(M3/S)	312.81
Χρονική στιγμή αιχμής	02Sep2000, 01:30
Όγκος(MM)	164.43

Απορροή

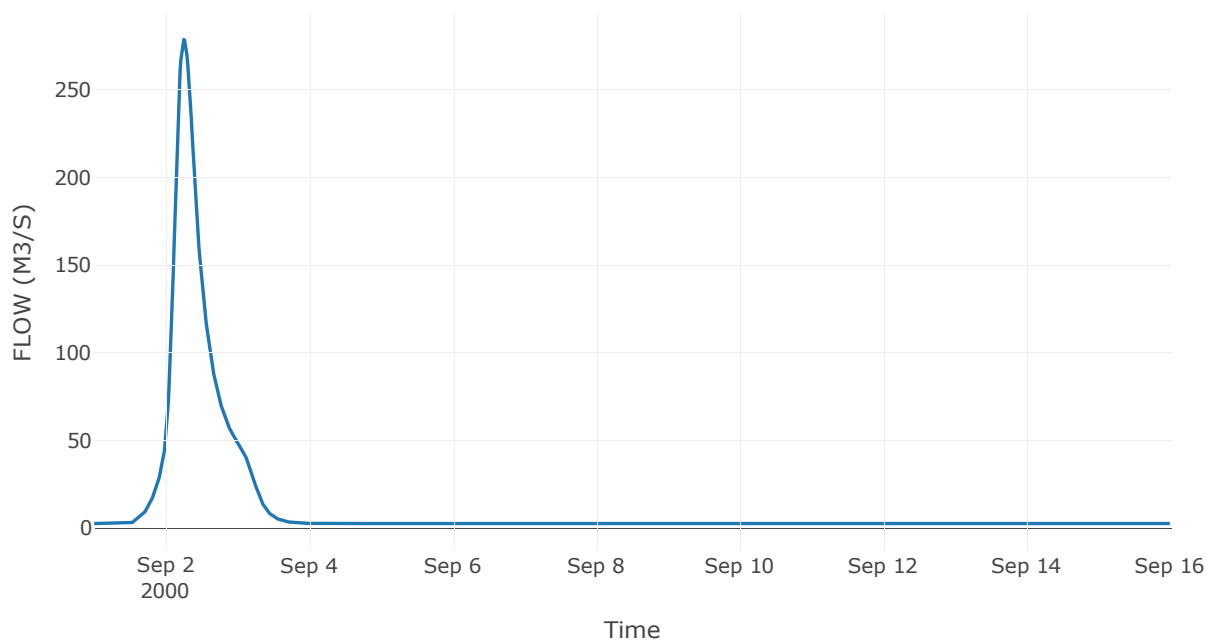


Κόμβος εξόδου: J6

Αποτέλεσμα
τα: J6

Παροχή αιχμής (M3/S)	278.89
Χρονική στιγμή αιχμής	02Sep2000, 06:00
Όγκος (MM)	155.93

Απορροή



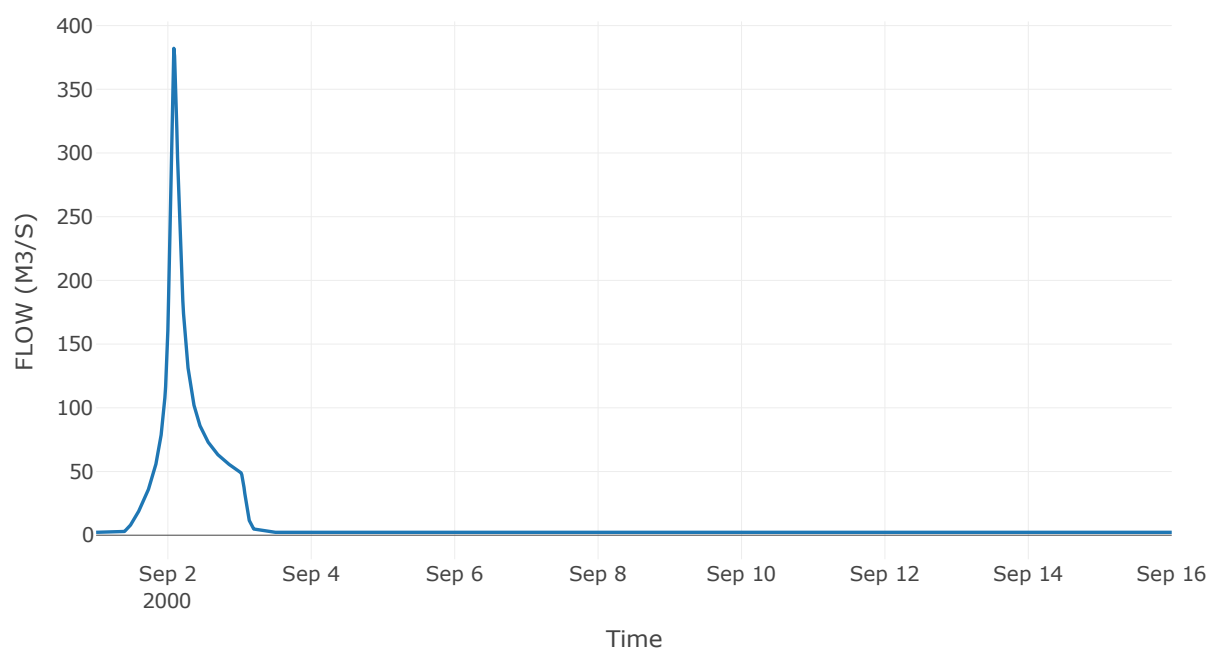
Κόμβος: J7

Κατάντη : R74

Αποτελέσματα: J7

Παροχή Αιχμής(M3/S)	382.15
Χρονική στιγμή αιχμής	02Sep2000, 02:00
Όγκος(MM)	175.15

Απορροή



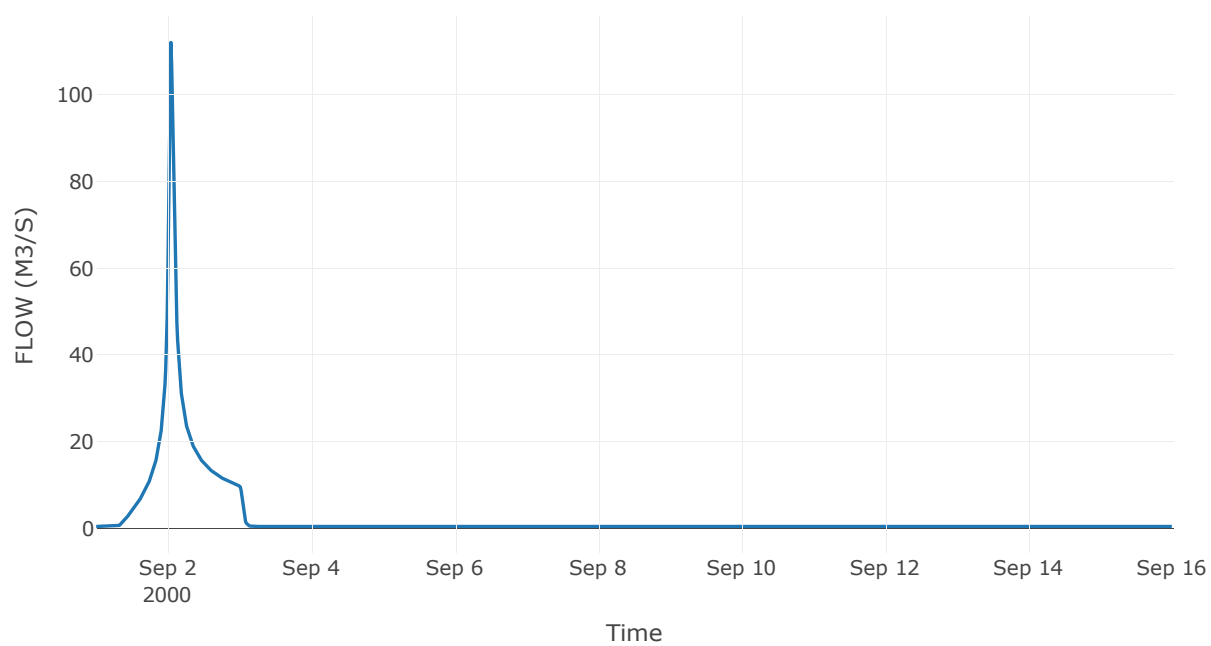
Κόμβος: J8

Κατάντη : R85

Αποτελέσματα: J8

Παροχή Αιχμής(M3/S)	112.1
Χρονική στιγμή αιχμής	02Sep2000, 01:00
Όγκος(MM)	170.45

Απορροή



Κόμβος: J9

Κατάντη : R95

Αποτελέσματα: J9

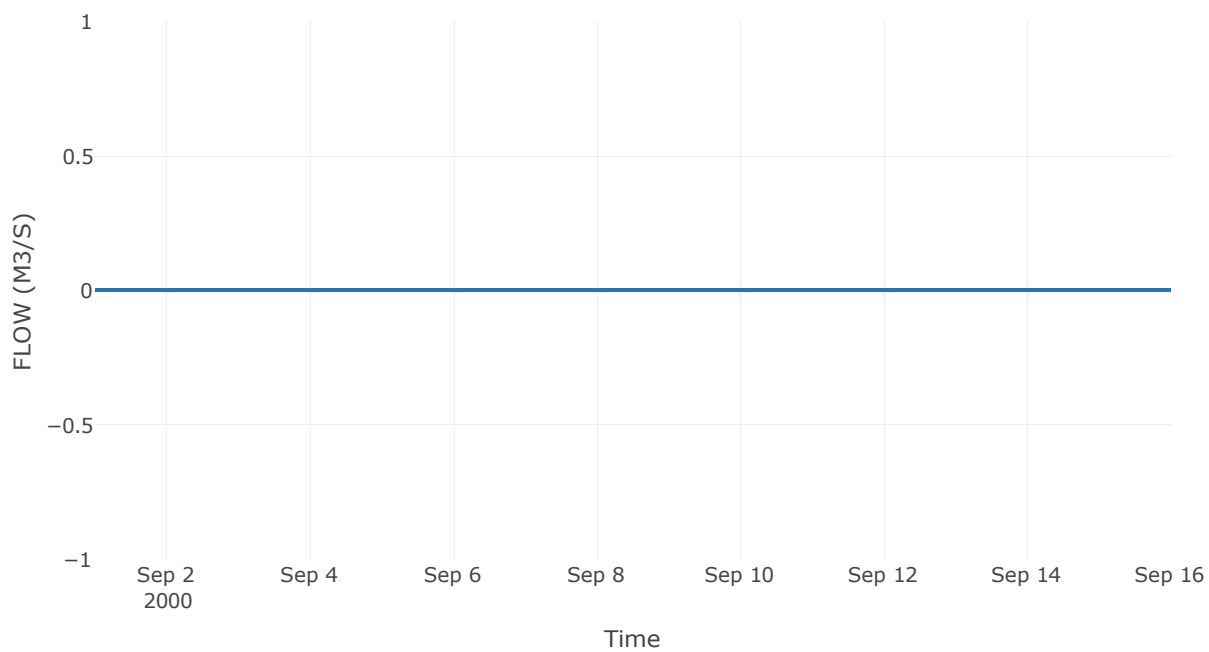
Παροχή Αιχμής(M3/S)

0

Χρονική στιγμή αιχμής

31Aug2000, 24:00

Απορροή

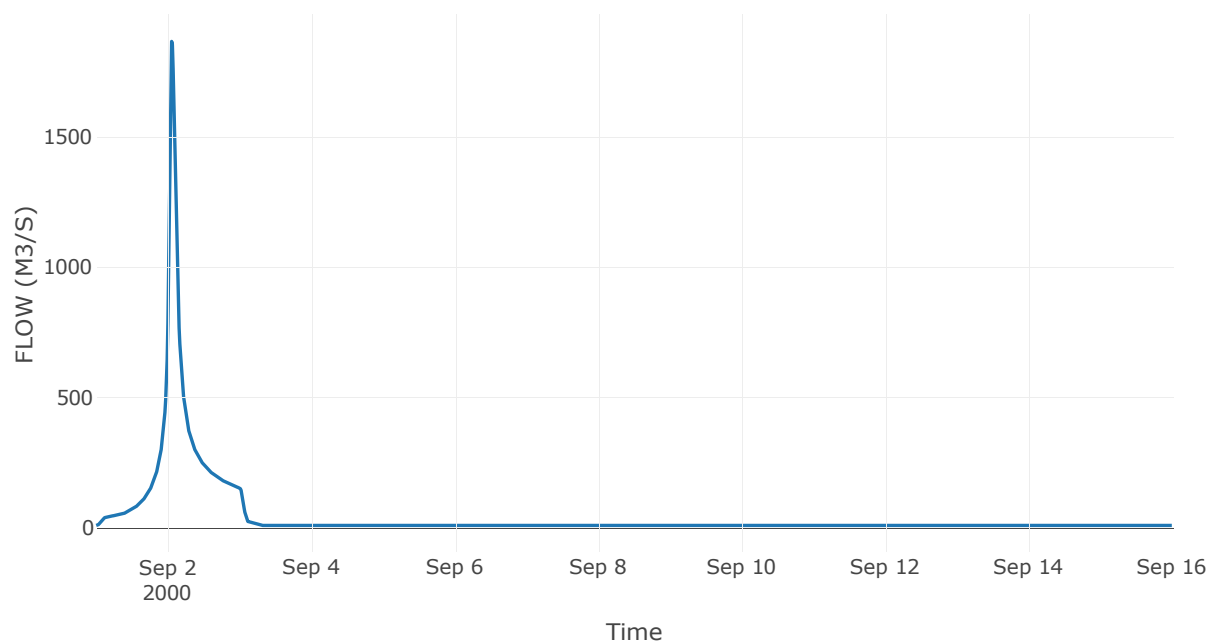


Κόμβος εξόδου: J10

Αποτελέσματ
α: J10

Παροχή αιχμής (M3/S)	1866.79
Χρονική στιγμή αιχμής	02Sep2000, 01:15
Όγκος (MM)	159.51

Απορροή



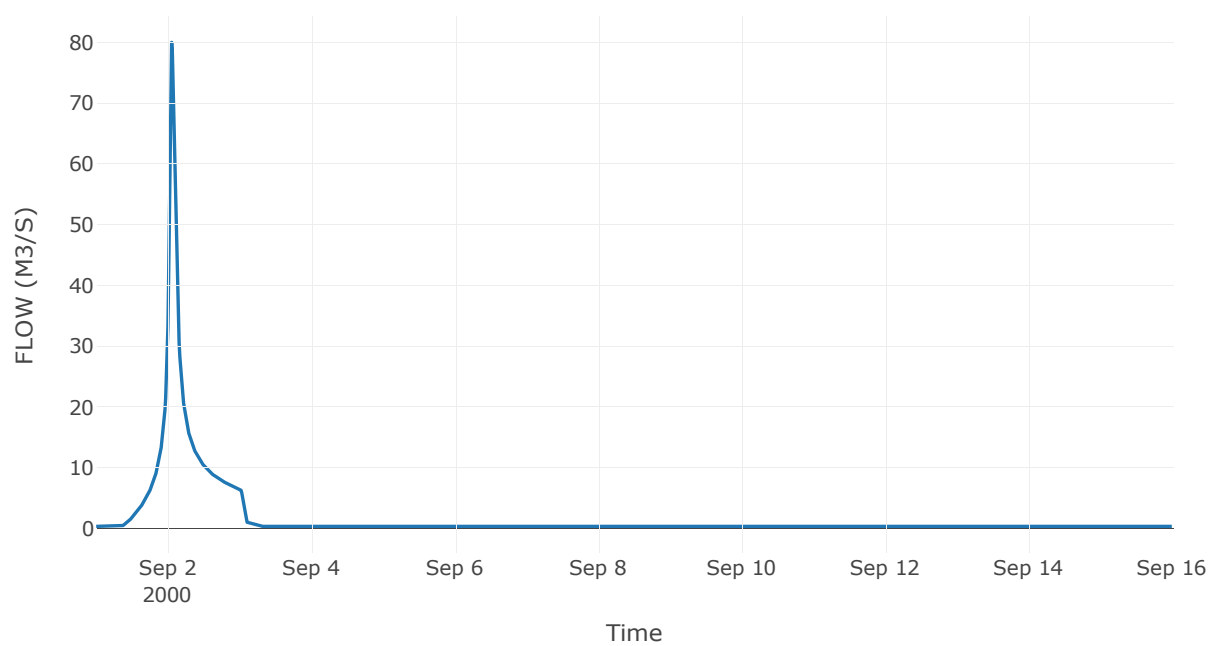
Κόμβος: J11

Κατάντη : R1110

Αποτελέσματα: J11

Παροχή Αιχμής(M3/S)	80
Χρονική στιγμή αιχμής	02Sep2000, 01:15
Όγκος(MM)	164.98

Απορροή



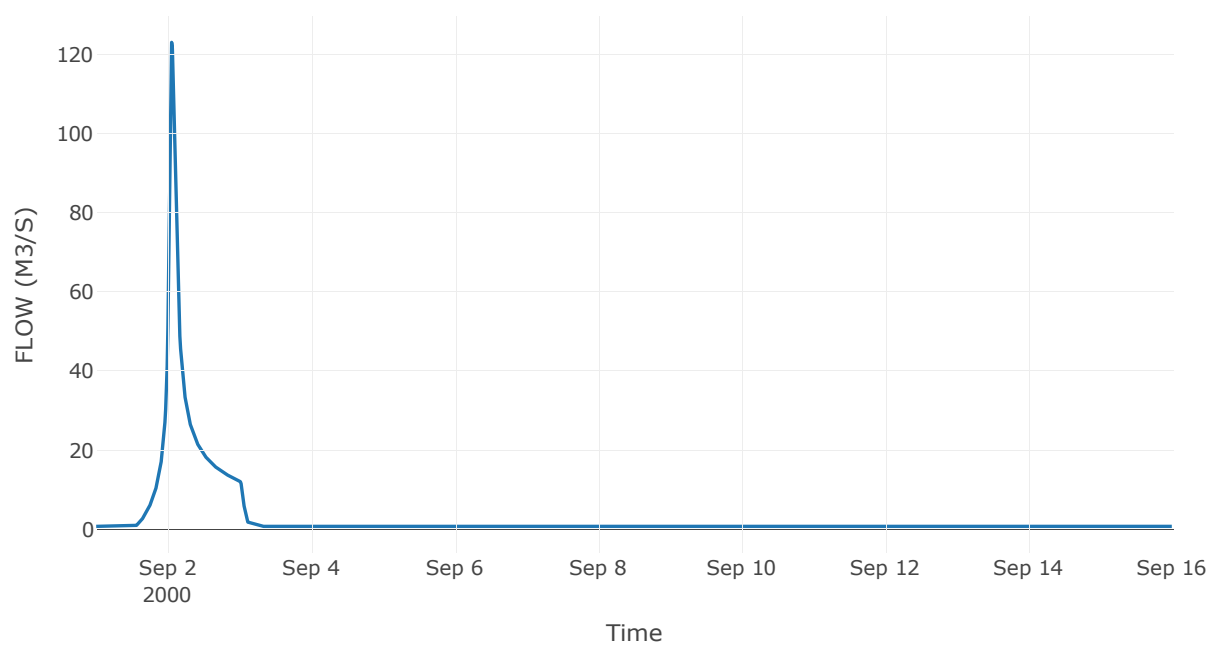
Κόμβος: J12

Κατάντη : R1210

Αποτελέσματα: J12

Παροχή Αιχμής(M3/S)	123.08
Χρονική στιγμή αιχμής	02Sep2000, 01:15
Όγκος(MM)	134.74

Απορροή



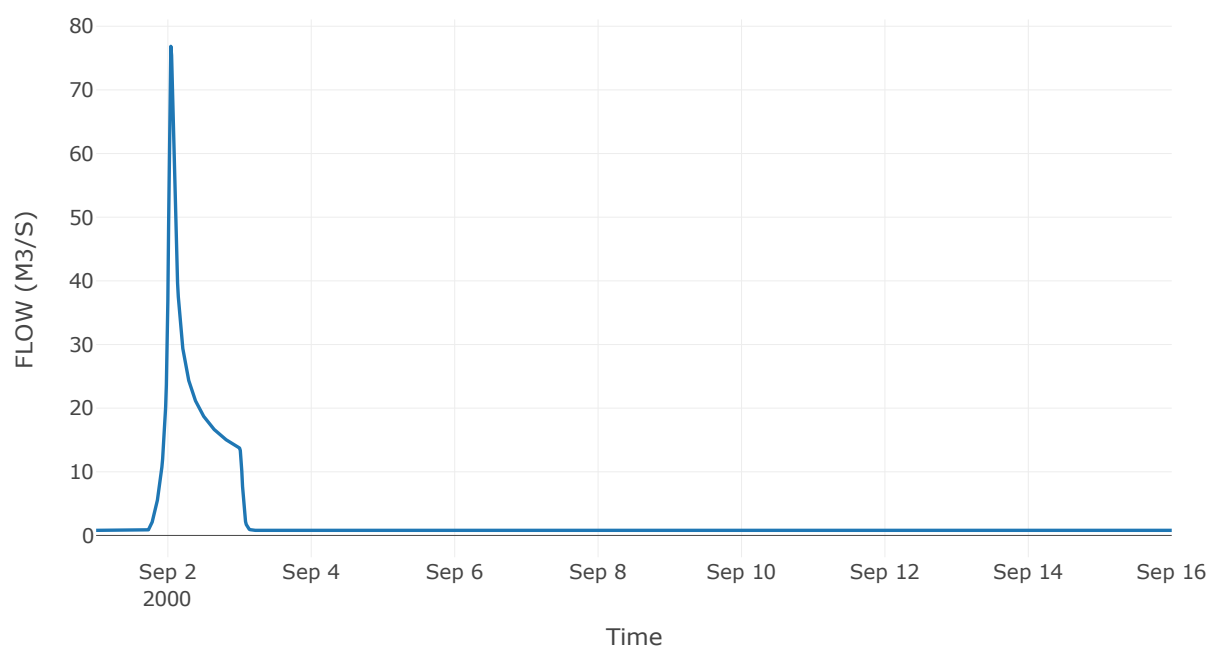
Κόμβος: J13

Κατάντη : R1310

Αποτελέσματα: J13

Παροχή Αιχμής(M3/S)	76.85
Χρονική στιγμή αιχμής	02Sep2000, 01:00
Όγκος(MM)	104.96

Απορροή



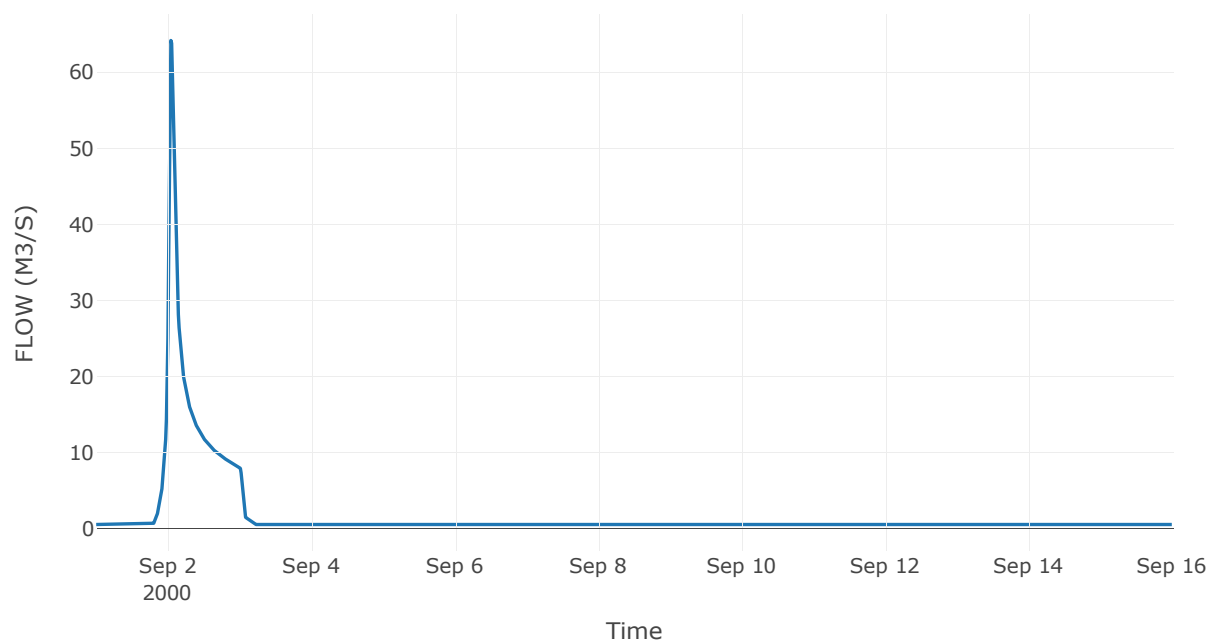
Κόμβος: J14

Κατάντη : R1410

Αποτελέσματα: J14

Παροχή Αιχμής(M3/S)	64.19
Χρονική στιγμή αιχμής	02Sep2000, 01:00
Όγκος(MM)	97

Απορροή



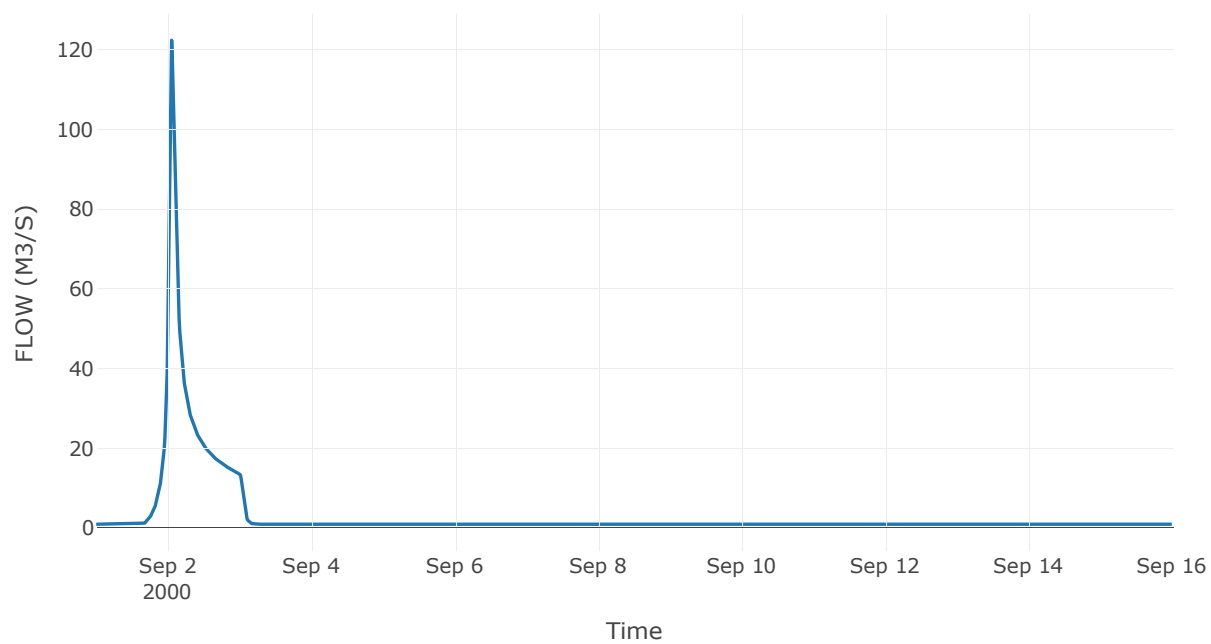
Κόμβος: J15

Κατάντη : R1510

Αποτελέσματα: J15

Παροχή Αιχμής(M3/S)	122.33
Χρονική στιγμή αιχμής	02Sep2000, 01:15
Όγκος(MM)	115.87

Απορροή



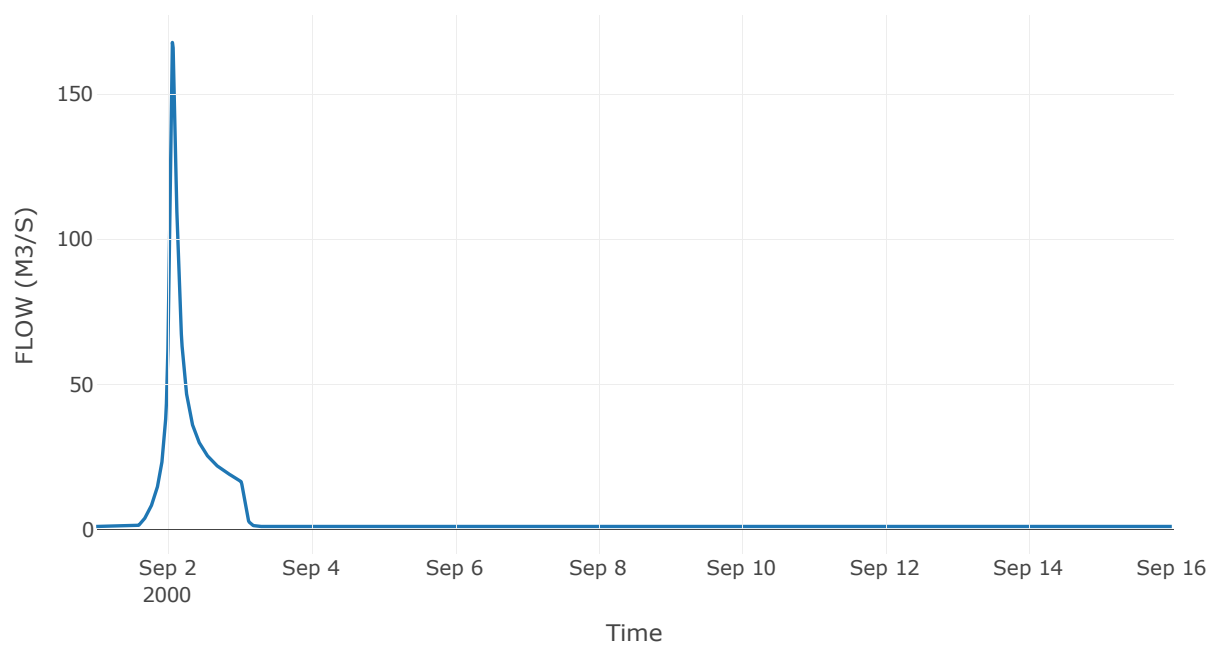
Κόμβος: J16

Κατάντη : R1610

Αποτελέσματα: J16

Παροχή Αιχμής(M3/S)	167.85
Χρονική στιγμή αιχμής	02Sep2000, 01:30
Όγκος(MM)	136.7

Απορροή



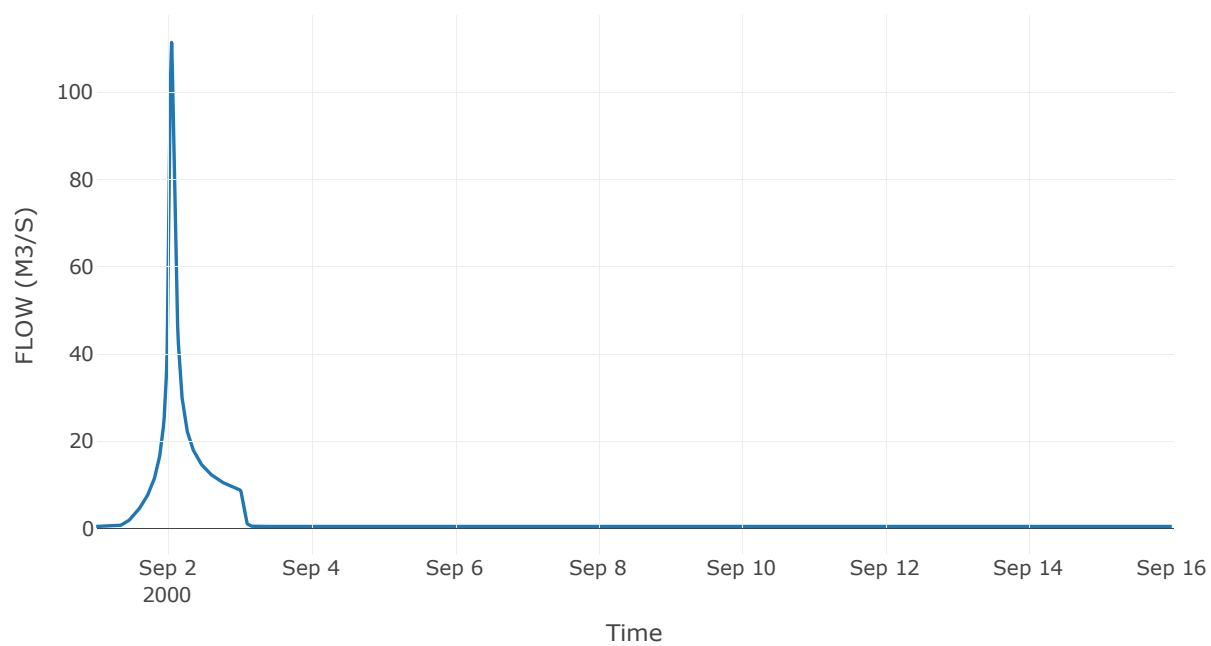
Κόμβος: J17

Κατάντη : R1710

Αποτελέσματα: J17

Παροχή Αιχμής(M3/S)	111.33
Χρονική στιγμή αιχμής	02Sep2000, 01:15
Όγκος(MM)	167.12

Απορροή



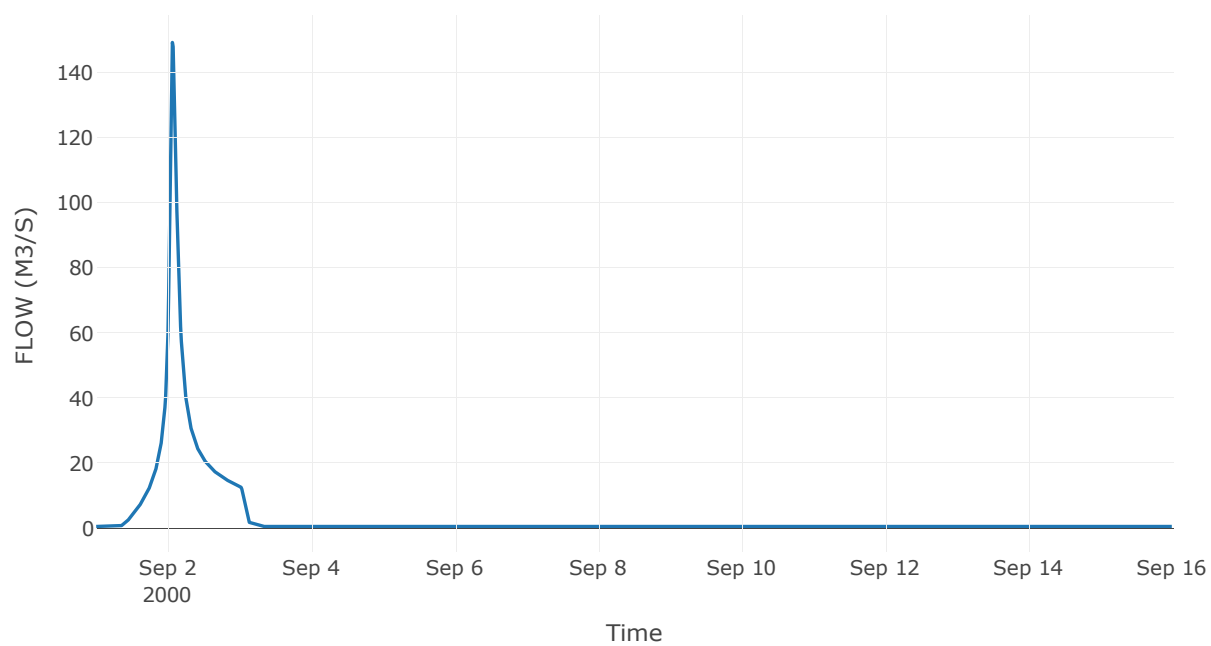
Κόμβος: J18

Κατάντη : R1810

Αποτελέσματα: J18

Παροχή Αιχμής(M3/S)	149.23
Χρονική στιγμή αιχμής	02Sep2000, 01:30
Όγκος(MM)	171.11

Απορροή



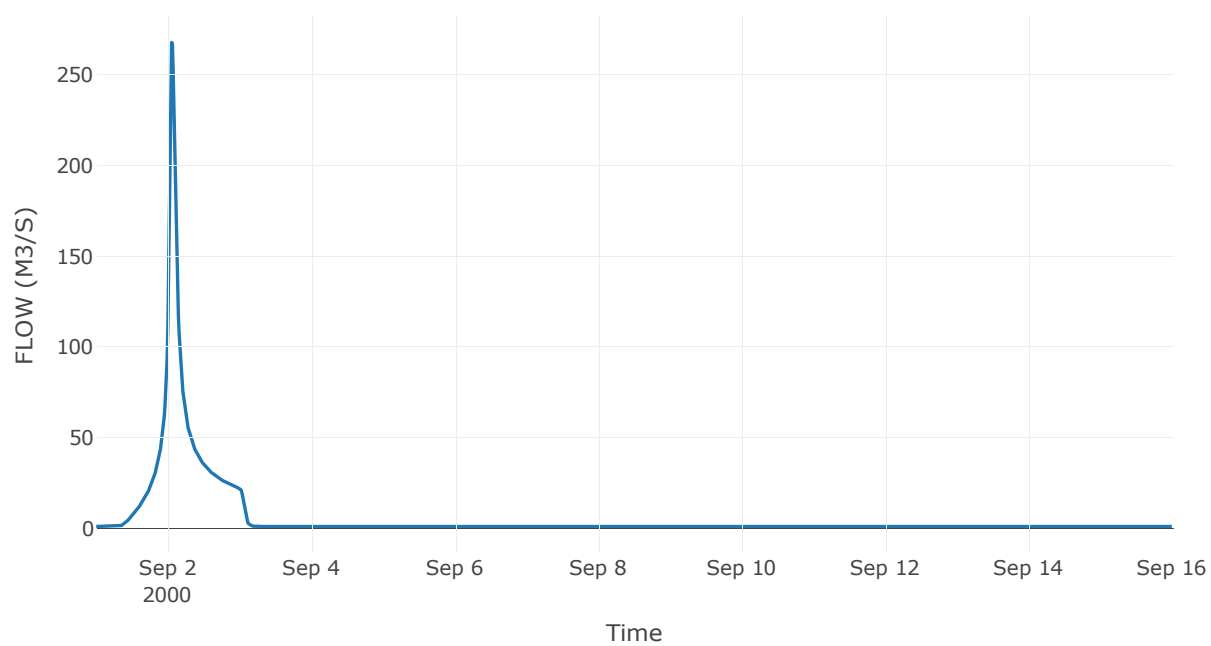
Κόμβος: J19

Κατάντη : R1910

Αποτελέσματα: J19

Παροχή Αιχμής(M3/S)	267.83
Χρονική στιγμή αιχμής	02Sep2000, 01:15
Όγκος(MM)	168.18

Απορροή



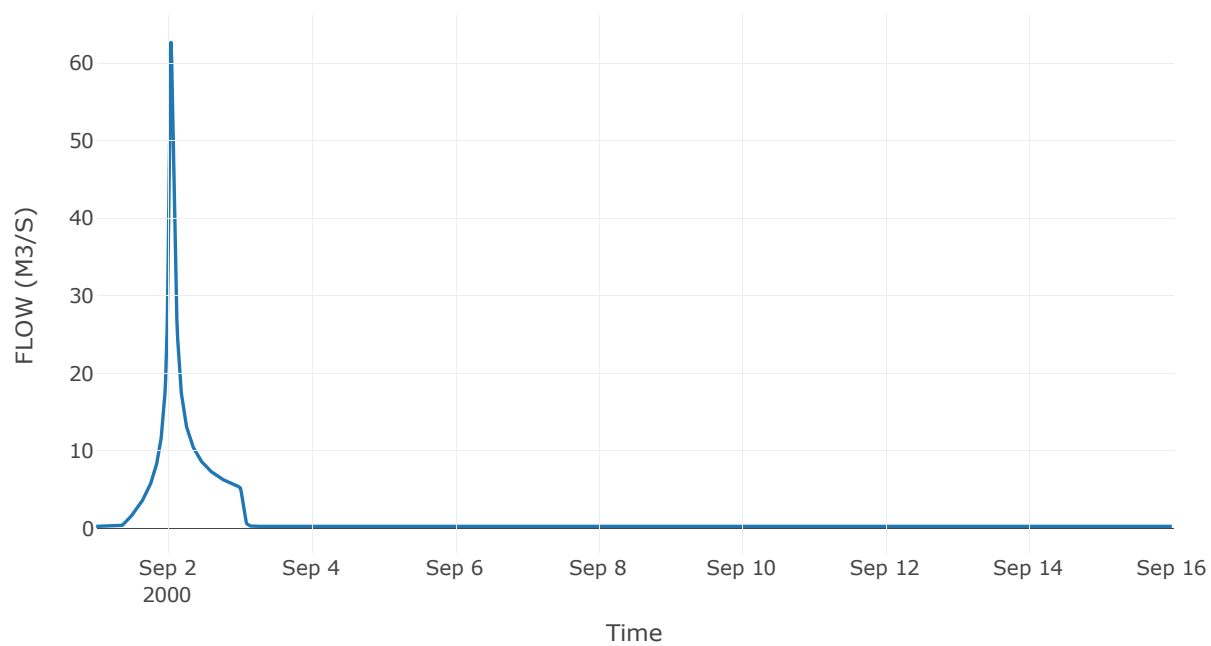
Κόμβος: J20

Κατάντη : R2011

Αποτελέσματα: J20

Παροχή Αιχμής(M3/S)	62.66
Χρονική στιγμή αιχμής	02Sep2000, 01:00
Όγκος(MM)	168.31

Απορροή



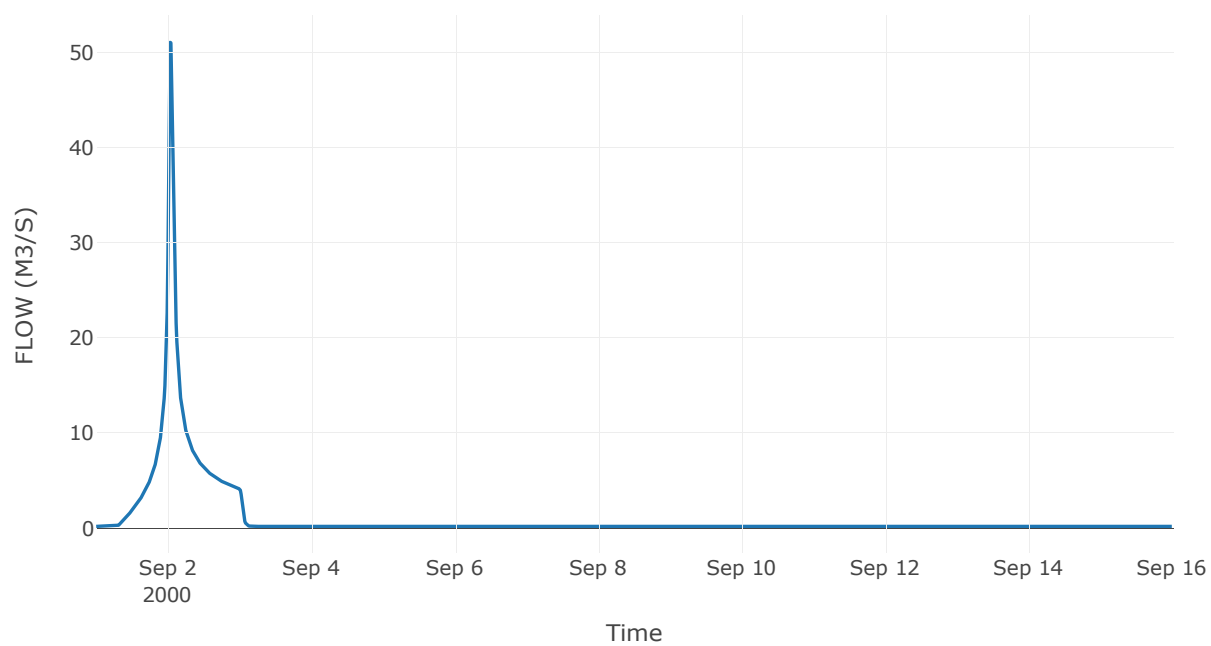
Κόμβος: J21

Κατάντη : R2117

Αποτελέσματα: J21

Παροχή Αιχμής(M3/S)	51.06
Χρονική στιγμή αιχμής	02Sep2000, 00:45
Όγκος(MM)	177.18

Απορροή



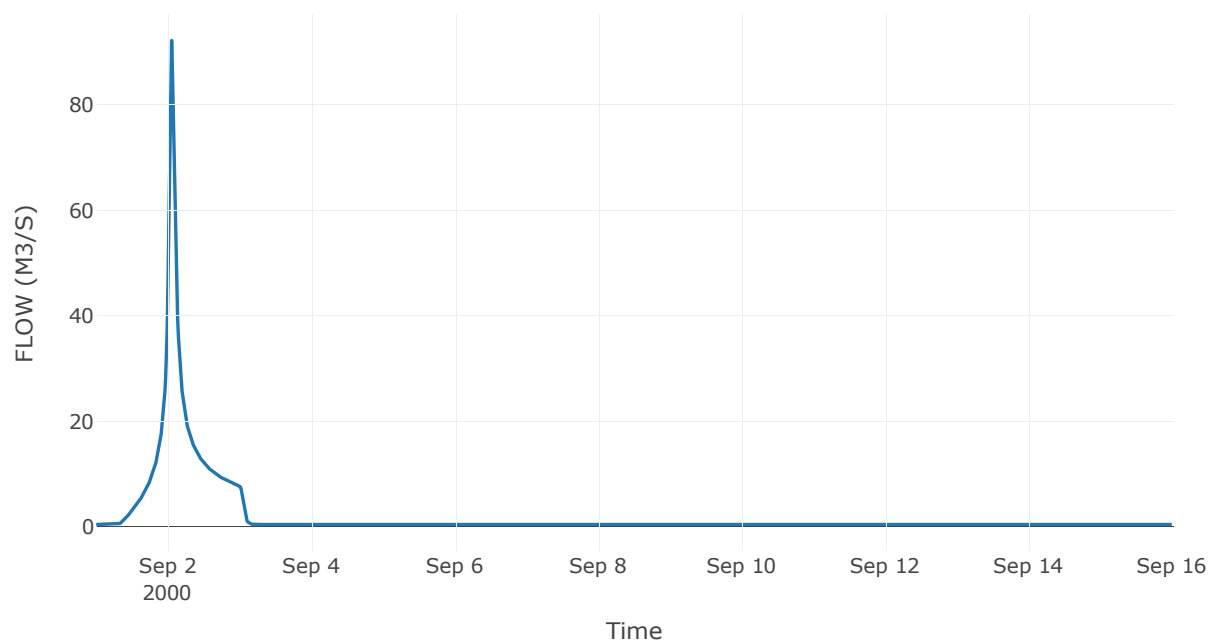
Κόμβος: J22

Κατάντη : R2218

Αποτελέσματα: J22

Παροχή Αιχμής(M3/S)	92.23
Χρονική στιγμή αιχμής	02Sep2000, 01:15
Όγκος(MM)	173.49

Απορροή



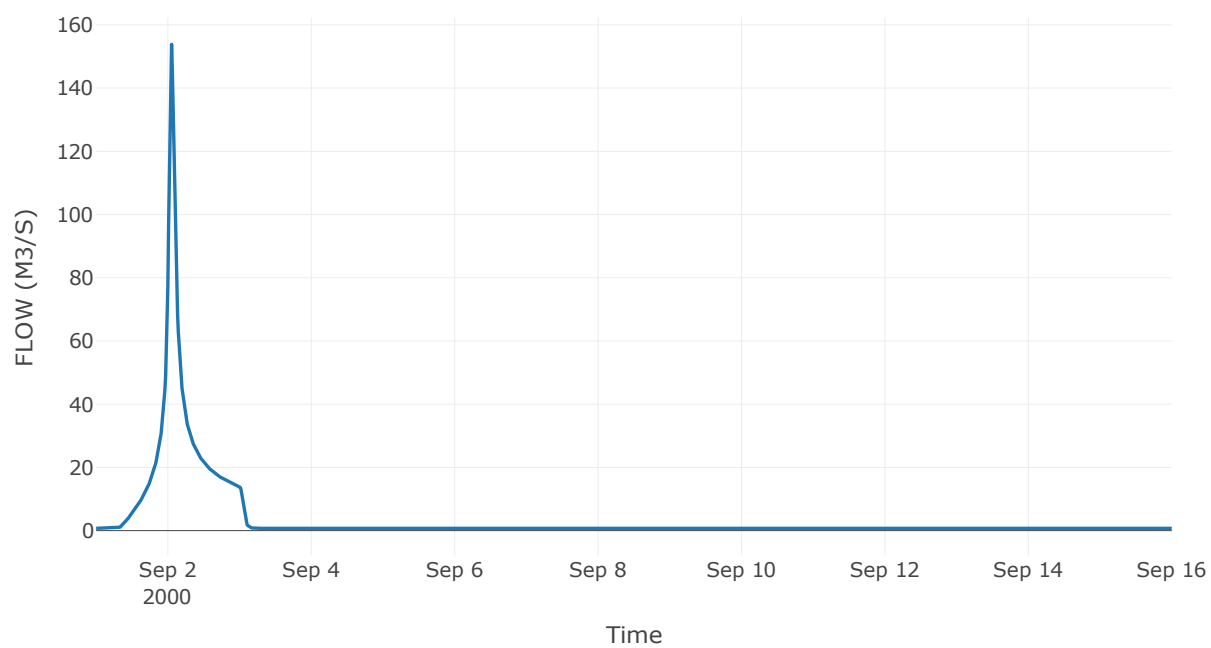
Κόμβος: J23

Κατάντη : R2319

Αποτελέσματα: J23

Παροχή Αιχμής(M3/S)	153.85
Χρονική στιγμή αιχμής	02Sep2000, 01:15
Όγκος(MM)	172.15

Απορροή



3. Δεδομένα εισόδου και αποτελέσματα υδρολογικού σεναρίου T=50L

3.1 Αποτελέσματα, υετογραφήματα και υδρογραφήματα σχεδιασμού υπολεκανών

Υπολεκάνη: EL0415FL5001

Έκταση (KM2) : 13.05

Κατάνη : J1

Μέθοδος Απωλειών: SCS

Ποσοστό αδιαπέρατης επιφάνειας	100
Αριθμός Καμπύλης Απορροής-CN	99
Αρχικές Απώλειες	0.48

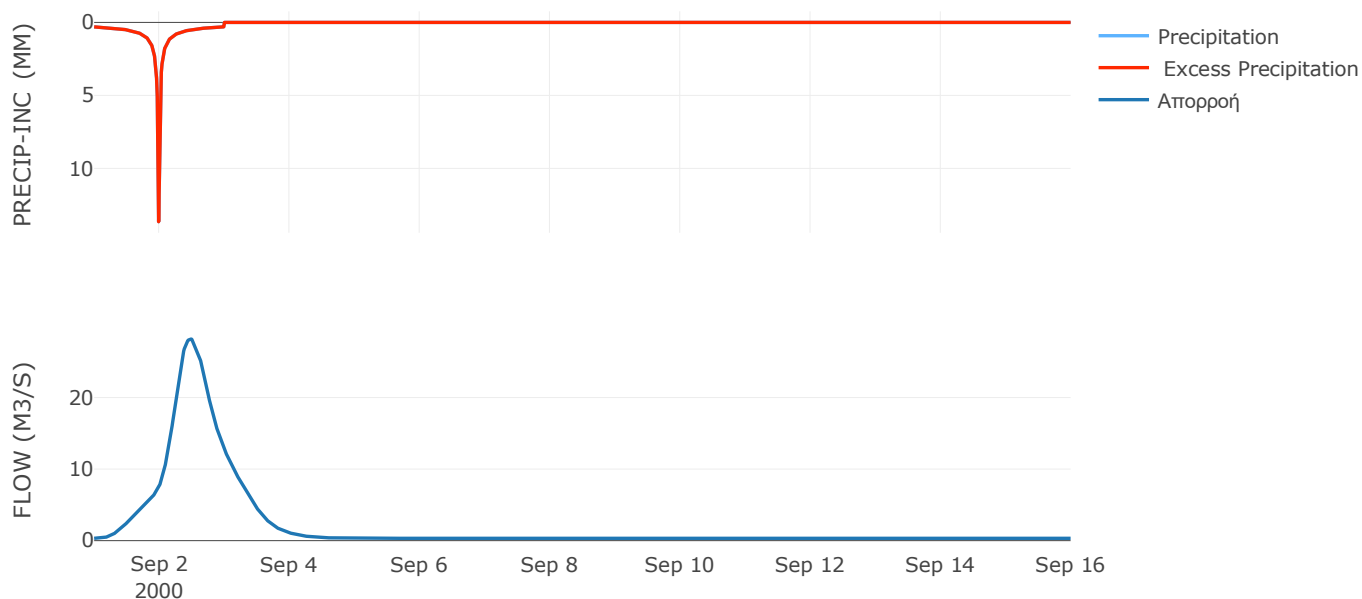
Μέθοδος
Μετασχηματισμού: SCS

Χρόνος Υστέρησης	673.19
------------------	--------

Αποτελέσματα:
EL0415FL5001

Παροχή αιχμής (M3/S)	28.18
Χρονική στιγμή αιχμής	02Sep2000, 11:30
Όγκος (MM)	213.11
Όγκος βροχόπτωσης (M3)	2.36E6
Όγκος απωλειών (M3)	0
Ενεργός Όγκος (M3)	2.36E6
Όγκος άμεσης απορροής (M3)	2.36E6
Όγκος βασικής απορροής (M3)	4.23E5

Βροχόπτωση και Απορροή



Υπολεκάνη: EL0415FL5002

Έκταση (KM2) : 107.53

Κατάντη : J6

Μέθοδος Απωλειών: SCS

Ποσοστό αδιαπέρατης επιφάνειας	0
Αριθμός Καμπύλης Απορροής-CN	63.95
Αρχικές Απώλειες	28.63

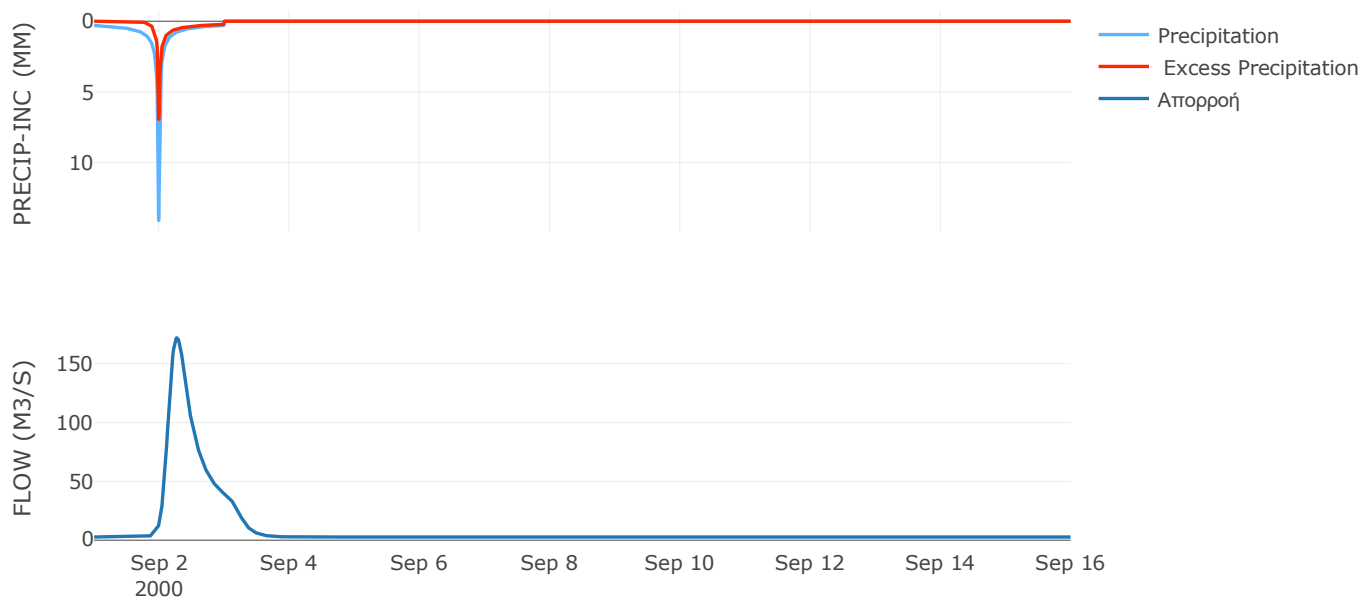
Μέθοδος
Μετασχηματισμού: SCS

Χρόνος Υστέρησης	336.61
------------------	--------

Αποτελέσματα:
EL0415FL5002

Παροχή αιχμής (M3/S)	171.98
Χρονική στιγμή αιχμής	02Sep2000, 06:30
Όγκος (MM)	110.06
Όγκος βροχόπτωσης (M3)	1.93E7
Όγκος απωλειών (M3)	1.1E7
Ενεργός Όγκος (M3)	8.35E6
Όγκος άμεσης απορροής (M3)	8.35E6
Όγκος βασικής απορροής (M3)	3.48E6

Βροχόπτωση και Απορροή



Υπολεκάνη: EL0415FL5003

Έκταση (KM2) : 28.37

Κατάντη : J2

Μέθοδος Απωλειών: SCS

Ποσοστό αδιαπέρατης επιφάνειας	0
Αριθμός Καμπύλης Απορροής-CN	66.43
Αρχικές Απώλειες	25.67

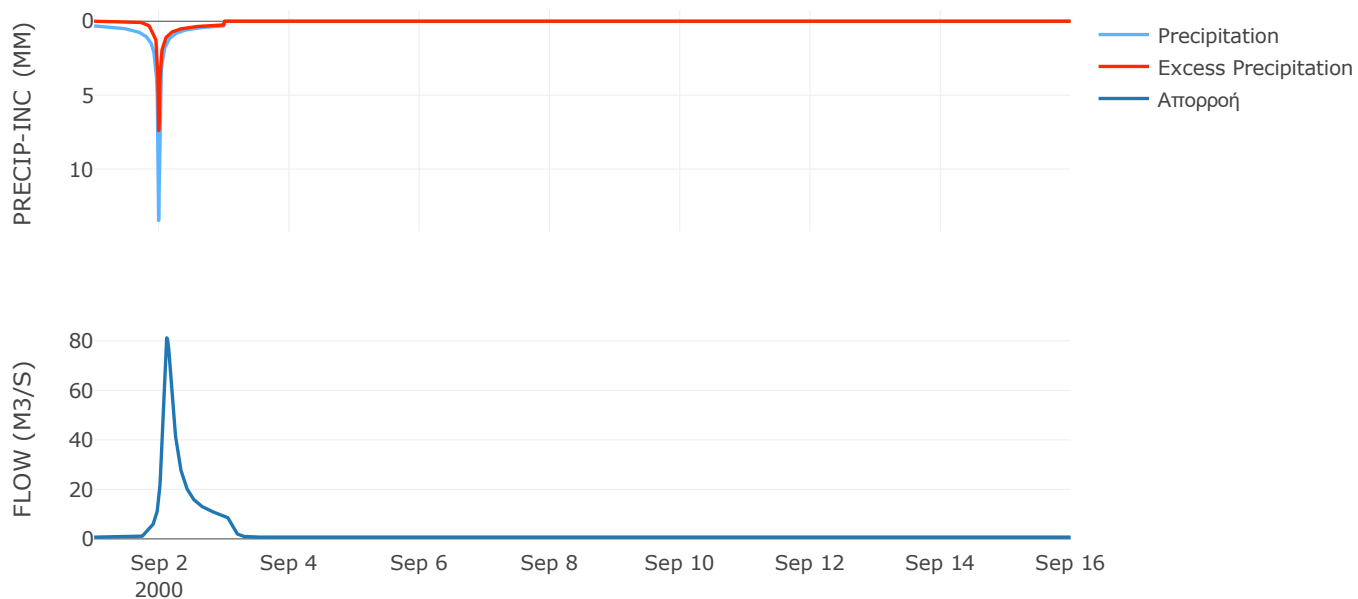
Μέθοδος
Μετασχηματισμού: SCS

Χρόνος Υστέρησης	150.8
------------------	-------

Αποτελέσματα:
EL0415FL5003

Παροχή αιχμής (M3/S)	81.19
Χρονική στιγμή αιχμής	02Sep2000, 02:45
Όγκος (MM)	119.57
Όγκος βροχόπτωσης (M3)	5.21E6
Όγκος απωλειών (M3)	2.74E6
Ενεργός Όγκος (M3)	2.47E6
Όγκος άμεσης απορροής (M3)	2.47E6
Όγκος βασικής απορροής (M3)	9.19E5

Βροχόπτωση και Απορροή



Υπολεκάνη: EL0415FL5004

Έκταση (KM2) : 30.04

Κατάνη : J3

Μέθοδος Απωλειών: SCS

Ποσοστό αδιαπέρατης επιφάνειας	0
Αριθμός Καμπύλης Απορροής-CN	58.02
Αρχικές Απώλειες	36.76

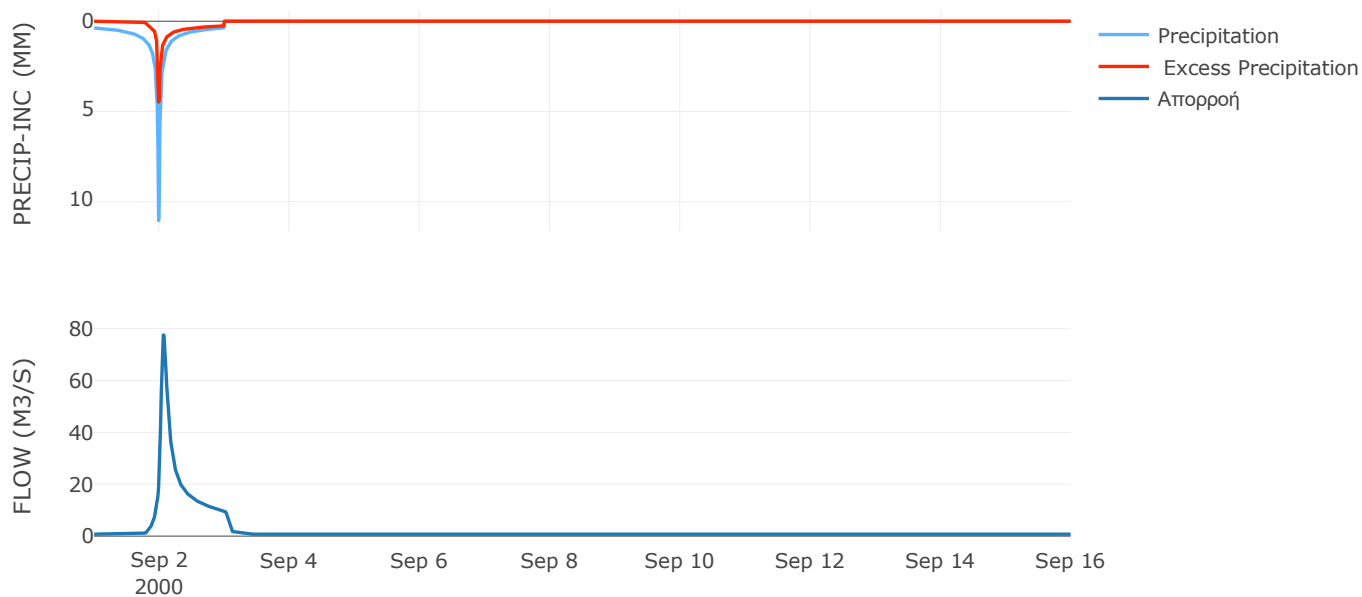
Μέθοδος
Μετασχηματισμού: SCS

Χρόνος Υστέρησης	83.08
------------------	-------

Αποτελέσματα:
EL0415FL5004

Παροχή αιχμής (M3/S)	77.56
Χρονική στιγμή αιχμής	02Sep2000, 01:30
Όγκος (MM)	101.07
Όγκος βροχόπτωσης (M3)	5.66E6
Όγκος απωλειών (M3)	3.6E6
Ενεργός Όγκος (M3)	2.06E6
Όγκος άμεσης απορροής (M3)	2.06E6
Όγκος βασικής απορροής (M3)	9.73E5

Βροχόπτωση και Απορροή



Υπολεκάνη: EL0415FL5005

Έκταση (KM2) : 15.38

Κατάντη : J5

Μέθοδος Απωλειών: SCS

Ποσοστό αδιαπέρατης επιφάνειας	0
Αριθμός Καμπύλης Απορροής-CN	63.33
Αρχικές Απώλειες	29.41

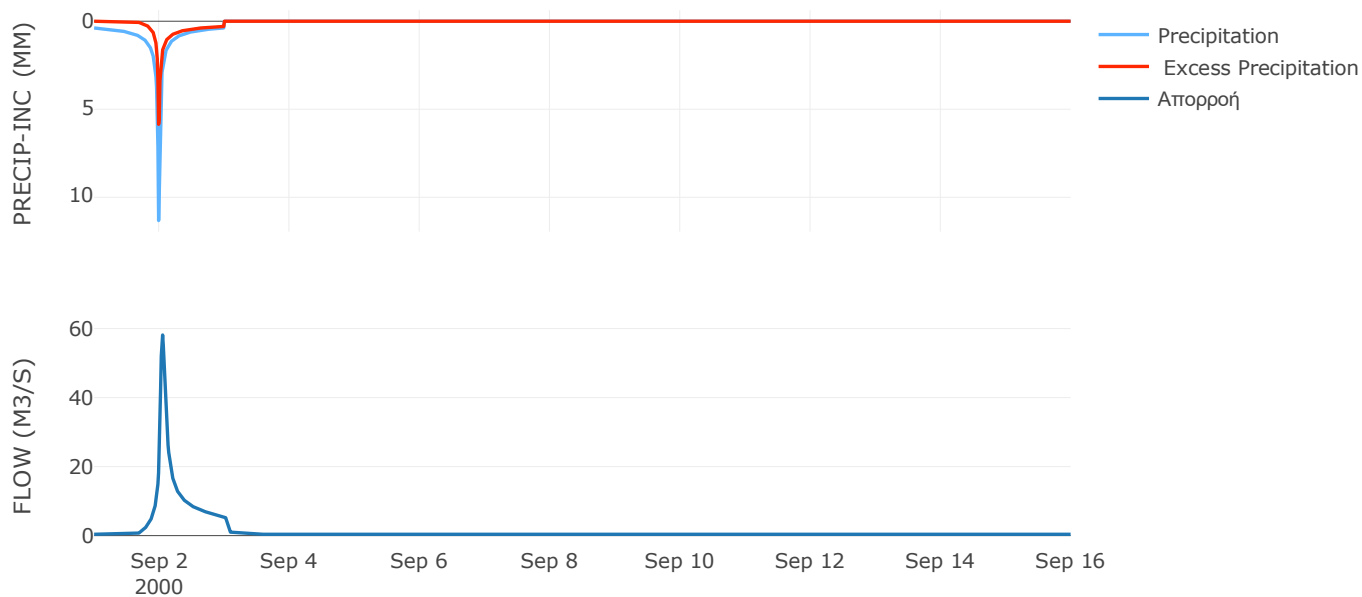
Μέθοδος
Μετασχηματισμού: SCS

Χρόνος Υστέρησης	62.51
------------------	-------

Αποτελέσματα:
EL0415FL5005

Παροχή αιχμής (M3/S)	58.14
Χρονική στιγμή αιχμής	02Sep2000, 01:15
Όγκος (MM)	119.35
Όγκος βροχόπτωσης (M3)	2.98E6
Όγκος απωλειών (M3)	1.65E6
Ενεργός Όγκος (M3)	1.34E6
Όγκος άμεσης απορροής (M3)	1.34E6
Όγκος βασικής απορροής (M3)	4.98E5

Βροχόπτωση και Απορροή



Υπολεκάνη: EL0415FL5006

Έκταση (KM2) : 8.04

Κατάντη : J4

Μέθοδος Απωλειών: SCS

Ποσοστό αδιαπέρατης επιφάνειας	0
Αριθμός Καμπύλης Απορροής-CN	63.45
Αρχικές Απώλειες	29.26

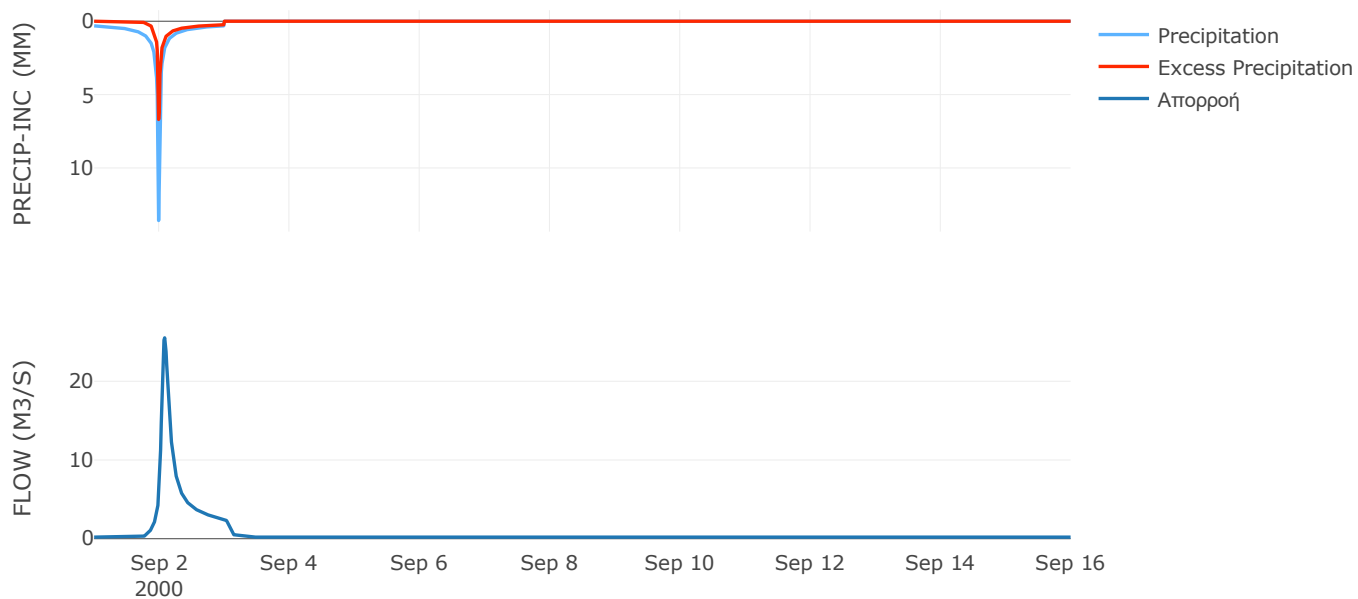
Μέθοδος
Μετασχηματισμού: SCS

Χρόνος Υστέρησης	103.66
------------------	--------

Αποτελέσματα:
EL0415FL5006

Παροχή αιχμής (M3/S)	25.52
Χρονική στιγμή αιχμής	02Sep2000, 02:00
Όγκος (MM)	111.77
Όγκος βροχόπτωσης (M3)	1.48E6
Όγκος απωλειών (M3)	8.4E5
Ενεργός Όγκος (M3)	6.38E5
Όγκος άμεσης απορροής (M3)	6.38E5
Όγκος βασικής απορροής (M3)	2.61E5

Βροχόπτωση και Απορροή



Υπολεκάνη: EL0415FL5007

Έκταση (KM2) : 40.81

Κατάντη : J5

Μέθοδος Απωλειών: SCS

Ποσοστό αδιαπέρατης επιφάνειας	0
Αριθμός Καμπύλης Απορροής-CN	62.97
Αρχικές Απώλειες	29.87

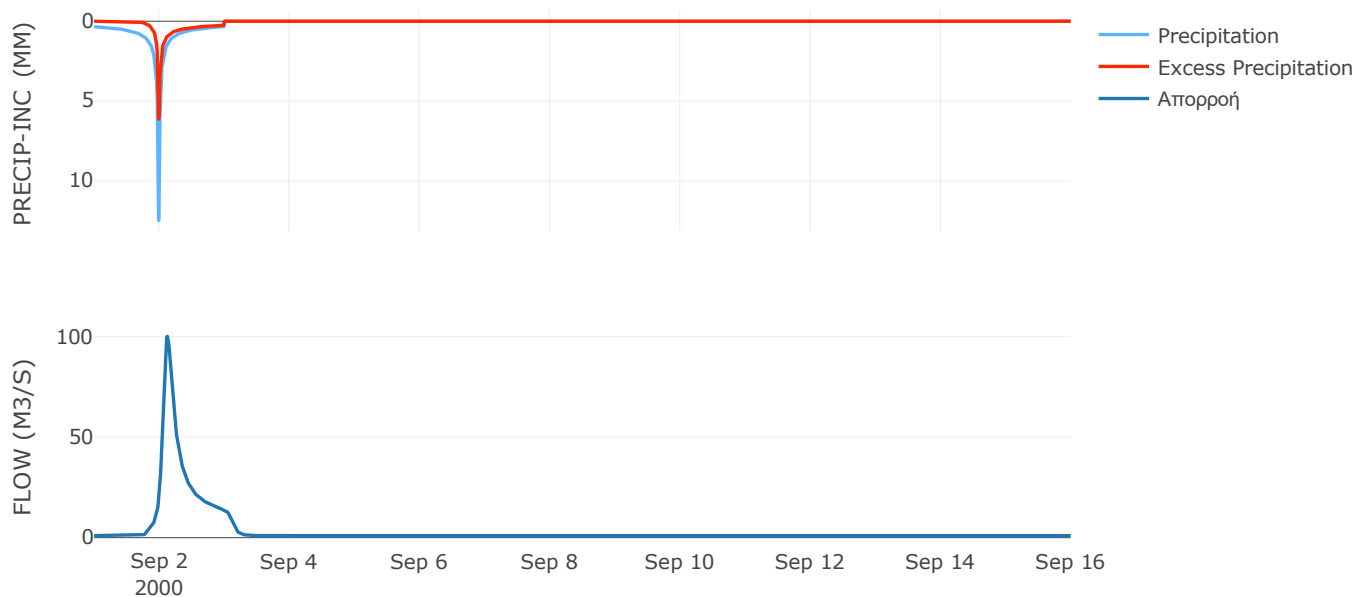
Μέθοδος
Μετασχηματισμού: SCS

Χρόνος Υστέρησης	154.01
------------------	--------

Αποτελέσματα:
EL0415FL5007

Παροχή αιχμής (M3/S)	100.16
Χρονική στιγμή αιχμής	02Sep2000, 03:00
Όγκος (MM)	112.44
Όγκος βροχόπτωσης (M3)	7.6E6
Όγκος απωλειών (M3)	4.34E6
Ενεργός Όγκος (M3)	3.27E6
Όγκος άμεσης απορροής (M3)	3.27E6
Όγκος βασικής απορροής (M3)	1.32E6

Βροχόπτωση και Απορροή



Υπολεκάνη: EL0415FL5008

Έκταση (KM2) : 90.43

Κατάντη : J7

Μέθοδος Απωλειών: SCS

Ποσοστό αδιαπέρατης επιφάνειας	0
Αριθμός Καμπύλης Απορροής-CN	55.23
Αρχικές Απώλειες	41.17

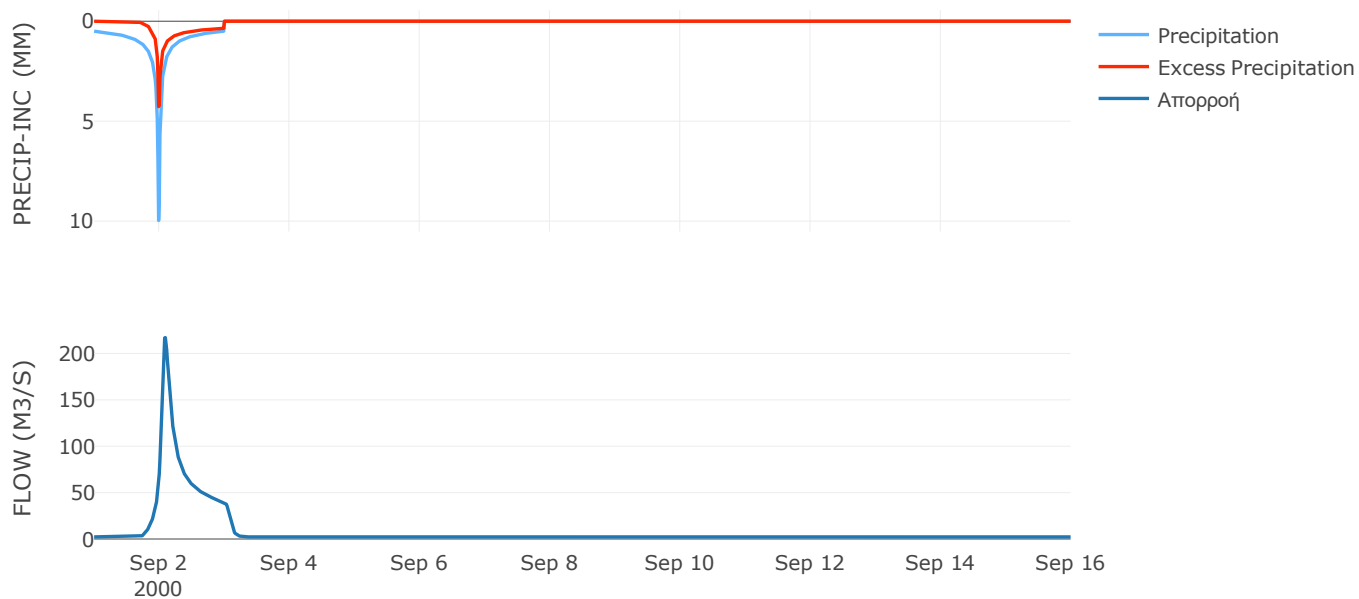
Μέθοδος
Μετασχηματισμού: SCS

Χρόνος Υστέρησης	109.38
------------------	--------

Αποτελέσματα:
EL0415FL5008

Παροχή αιχμής (M3/S)	217.08
Χρονική στιγμή αιχμής	02Sep2000, 02:15
Όγκος (MM)	116.04
Όγκος βροχόπτωσης (M3)	2E7
Όγκος απωλειών (M3)	1.24E7
Ενεργός Όγκος (M3)	7.56E6
Όγκος άμεσης απορροής (M3)	7.56E6
Όγκος βασικής απορροής (M3)	2.93E6

Βροχόπτωση και Απορροή



Υπολεκάνη: EL0415FL5009

Έκταση (KM2) : 11.22

Κατάντη : J20

Μέθοδος Απωλειών: SCS

Ποσοστό αδιαπέρατης επιφάνειας	0
Αριθμός Καμπύλης Απορροής-CN	60.03
Αρχικές Απώλειες	33.82

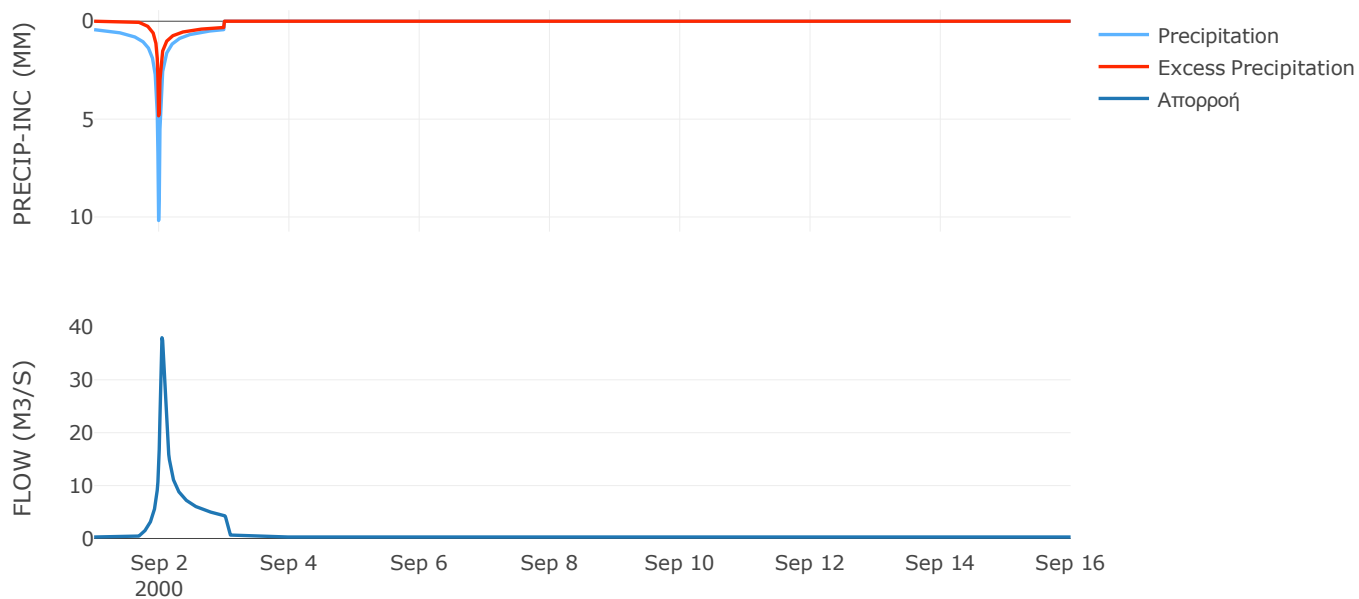
Μέθοδος
Μετασχηματισμού: SCS

Χρόνος Υστέρησης	56.94
------------------	-------

Αποτελέσματα:
EL0415FL5009

Παροχή αιχμής (M3/S)	37.96
Χρονική στιγμή αιχμής	02Sep2000, 01:00
Όγκος (MM)	115.97
Όγκος βροχόπτωσης (M3)	2.26E6
Όγκος απωλειών (M3)	1.32E6
Ενεργός Όγκος (M3)	9.38E5
Όγκος άμεσης απορροής (M3)	9.38E5
Όγκος βασικής απορροής (M3)	3.63E5

Βροχόπτωση και Απορροή



Υπολεκάνη: EL0415FL5010

Έκταση (KM2) : 96.52

Κατάντη : J10

Μέθοδος Απωλειών: SCS

Ποσοστό αδιαπέρατης επιφάνειας	100
Αριθμός Καμπύλης Απορροής-CN	99
Αρχικές Απώλειες	0.11

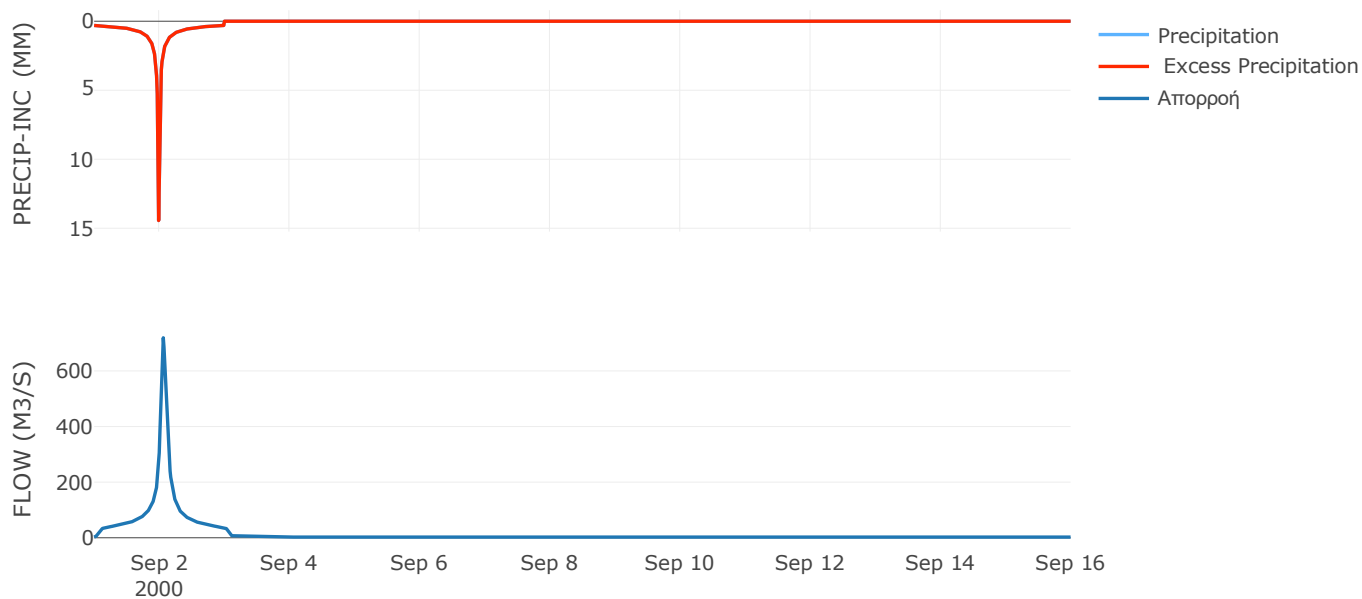
Μέθοδος
Μετασχηματισμού: SCS

Χρόνος Υστέρησης	82.01
------------------	-------

Αποτελέσματα:
EL0415FL5010

Παροχή αιχμής (M3/S)	719.11
Χρονική στιγμή αιχμής	02Sep2000, 01:30
Όγκος (MM)	217.32
Όγκος βροχόπτωσης (M3)	1.78E7
Όγκος απωλειών (M3)	0
Ενεργός Όγκος (M3)	1.78E7
Όγκος άμεσης απορροής (M3)	1.78E7
Όγκος βασικής απορροής (M3)	3.13E6

Βροχόπτωση και Απορροή



Υπολεκάνη: EL0415FL00013

Έκταση (KM2) : 20.4

Κατάντη : J8

Μέθοδος Απωλειών: SCS

Ποσοστό αδιαπέρατης επιφάνειας	0
Αριθμός Καμπύλης Απορροής-CN	63.82
Αρχικές Απώλειες	28.8

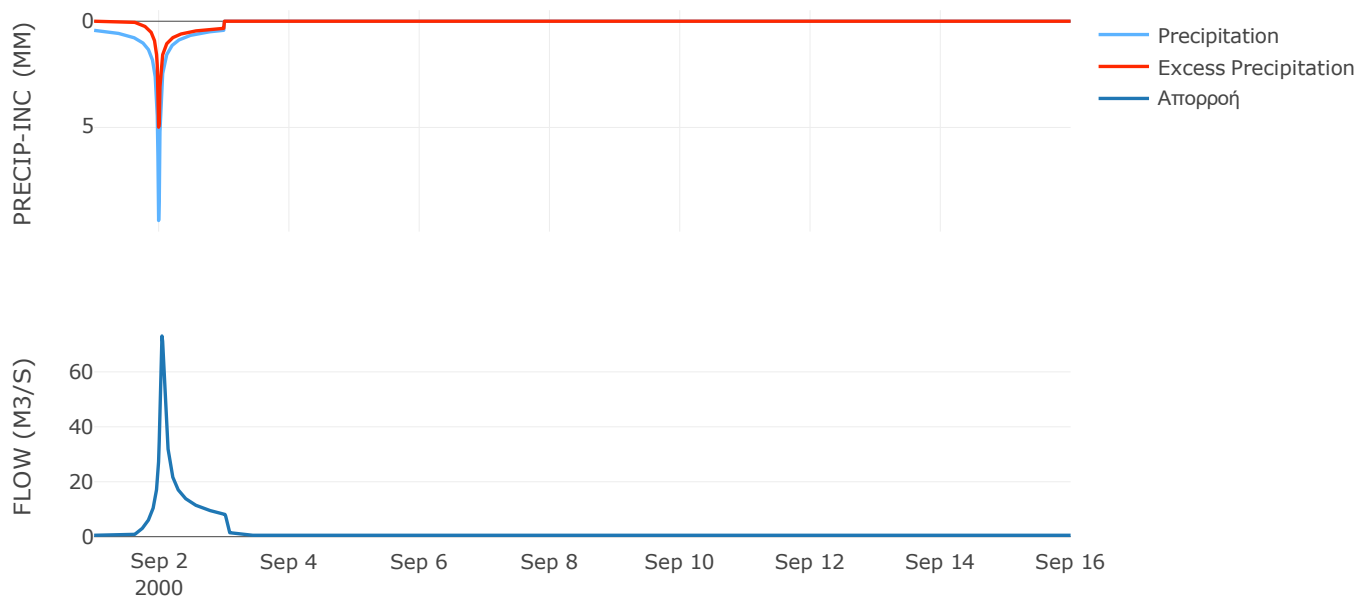
Μέθοδος
Μετασχηματισμού: SCS

Χρόνος Υστέρησης	55.27
------------------	-------

Αποτελέσματα:
EL0415FL00013

Παροχή αιχμής (M3/S)	73.07
Χρονική στιγμή αιχμής	02Sep2000, 01:00
Όγκος (MM)	121.95
Όγκος βροχόπτωσης (M3)	3.99E6
Όγκος απωλειών (M3)	2.16E6
Ενεργός Όγκος (M3)	1.83E6
Όγκος άμεσης απορροής (M3)	1.83E6
Όγκος βασικής απορροής (M3)	6.61E5

Βροχόπτωση και Απορροή



Υπολεκάνη: EL0415FL00014

Έκταση (KM2) : 28.81

Κατάντη : J23

Μέθοδος Απωλειών: SCS

Ποσοστό αδιαπέρατης επιφάνειας	0
Αριθμός Καμπύλης Απορροής-CN	63.51
Αρχικές Απώλειες	29.18

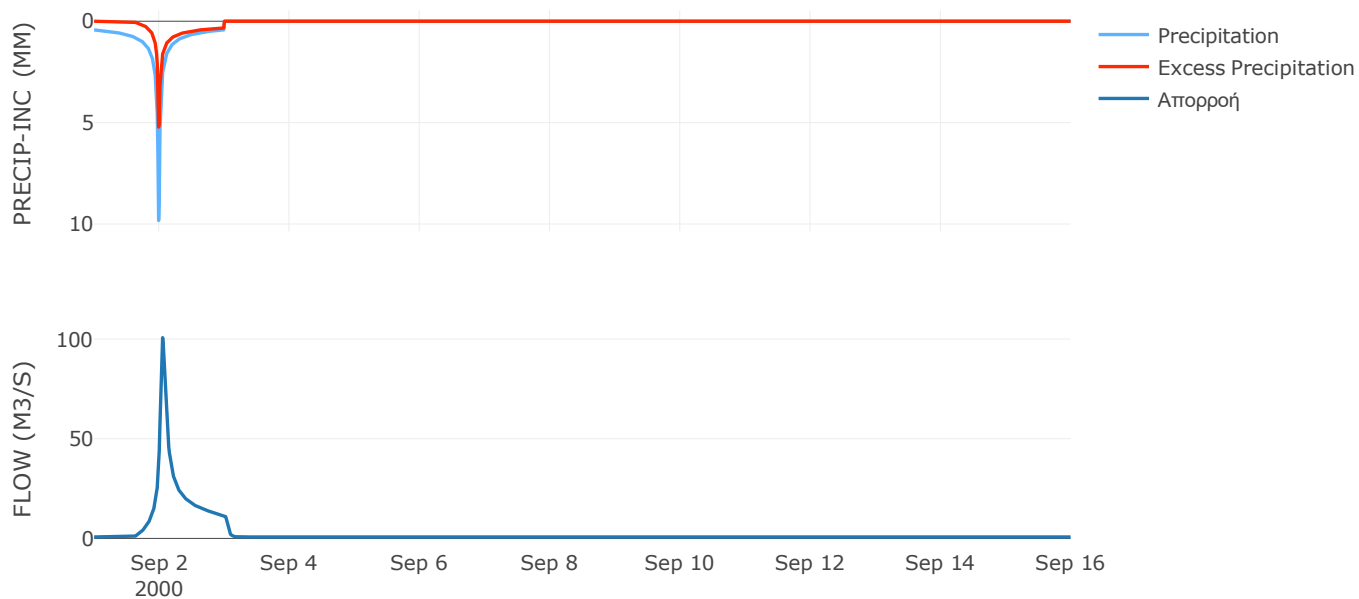
Μέθοδος
Μετασχηματισμού: SCS

Χρόνος Υστέρησης	64.97
------------------	-------

Αποτελέσματα:
EL0415FL00014

Παροχή αιχμής (M3/S)	100.68
Χρονική στιγμή αιχμής	02Sep2000, 01:15
Όγκος (MM)	123.03
Όγκος βροχόπτωσης (M3)	5.71E6
Όγκος απωλειών (M3)	3.1E6
Ενεργός Όγκος (M3)	2.61E6
Όγκος άμεσης απορροής (M3)	2.61E6
Όγκος βασικής απορροής (M3)	9.33E5

Βροχόπτωση και Απορροή



Υπολεκάνη: EL0415FL00016

Έκταση (KM2) : 24.49

Κατάντη : J14

Μέθοδος Απωλειών: SCS

Ποσοστό αδιαπέρατης επιφάνειας	0
Αριθμός Καμπύλης Απορροής-CN	32.21
Αρχικές Απώλειες	106.9

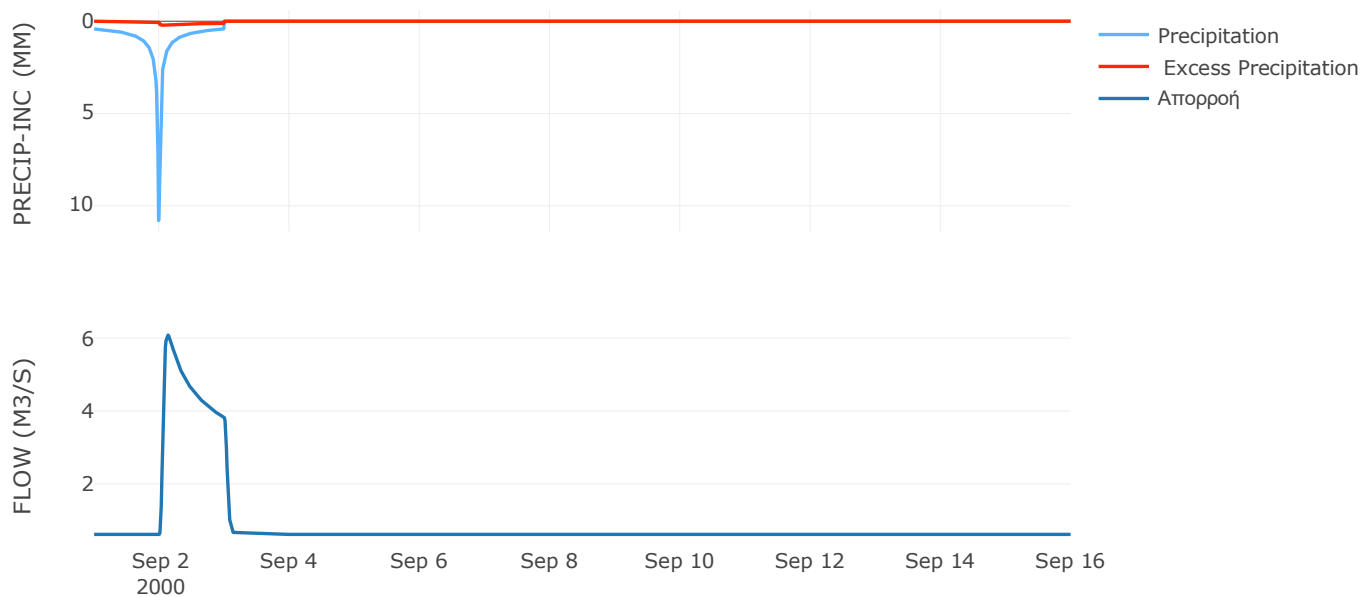
Μέθοδος
Μετασχηματισμού: SCS

Χρόνος Υστέρησης	55.77
------------------	-------

Αποτελέσματα:
EL0415FL00016

Παροχή αιχμής (M3/S)	6.08
Χρονική στιγμή αιχμής	02Sep2000, 03:15
Όγκος (MM)	46.73
Όγκος βροχόπτωσης (M3)	4.94E6
Όγκος απωλειών (M3)	4.59E6
Ενεργός Όγκος (M3)	3.51E5
Όγκος άμεσης απορροής (M3)	3.51E5
Όγκος βασικής απορροής (M3)	7.93E5

Βροχόπτωση και Απορροή



Υπολεκάνη: EL0415FL00017

Έκταση (KM2) : 11.25

Κατάνη : J15

Μέθοδος Απωλειών: SCS

Ποσοστό αδιαπέρατης επιφάνειας	0
Αριθμός Καμπύλης Απορροής-CN	34.32
Αρχικές Απώλειες	97.22

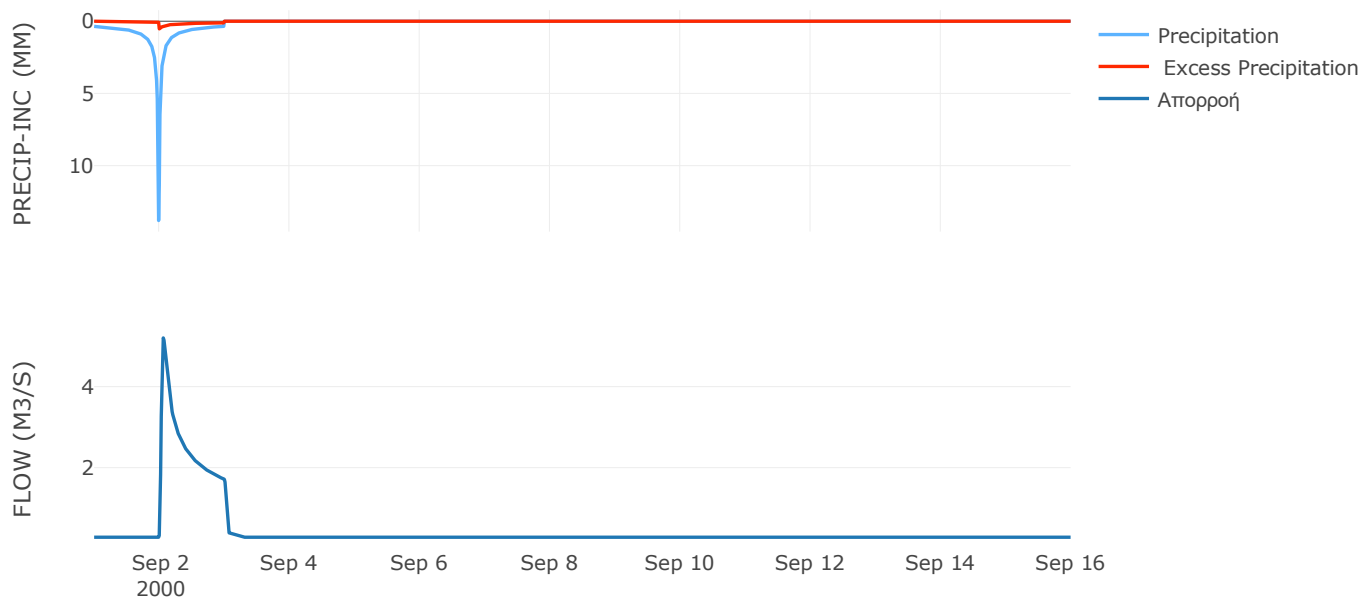
Μέθοδος
Μετασχηματισμού: SCS

Χρόνος Υστέρησης	41.2
------------------	------

Αποτελέσματα:
EL0415FL00017

Παροχή αιχμής (M3/S)	5.2
Χρονική στιγμή αιχμής	02Sep2000, 01:30
Όγκος (MM)	50.2
Όγκος βροχόπτωσης (M3)	2.25E6
Όγκος απωλειών (M3)	2.05E6
Ενεργός Όγκος (M3)	2E5
Όγκος άμεσης απορροής (M3)	2E5
Όγκος βασικής απορροής (M3)	3.65E5

Βροχόπτωση και Απορροή



Υπολεκάνη: EL0415FL00018

Έκταση (KM2) : 25.29

Κατάντη : J15

Μέθοδος Απωλειών: SCS

Ποσοστό αδιαπέρατης επιφάνειας	0
Αριθμός Καμπύλης Απορροής-CN	38.86
Αρχικές Απώλειες	79.94

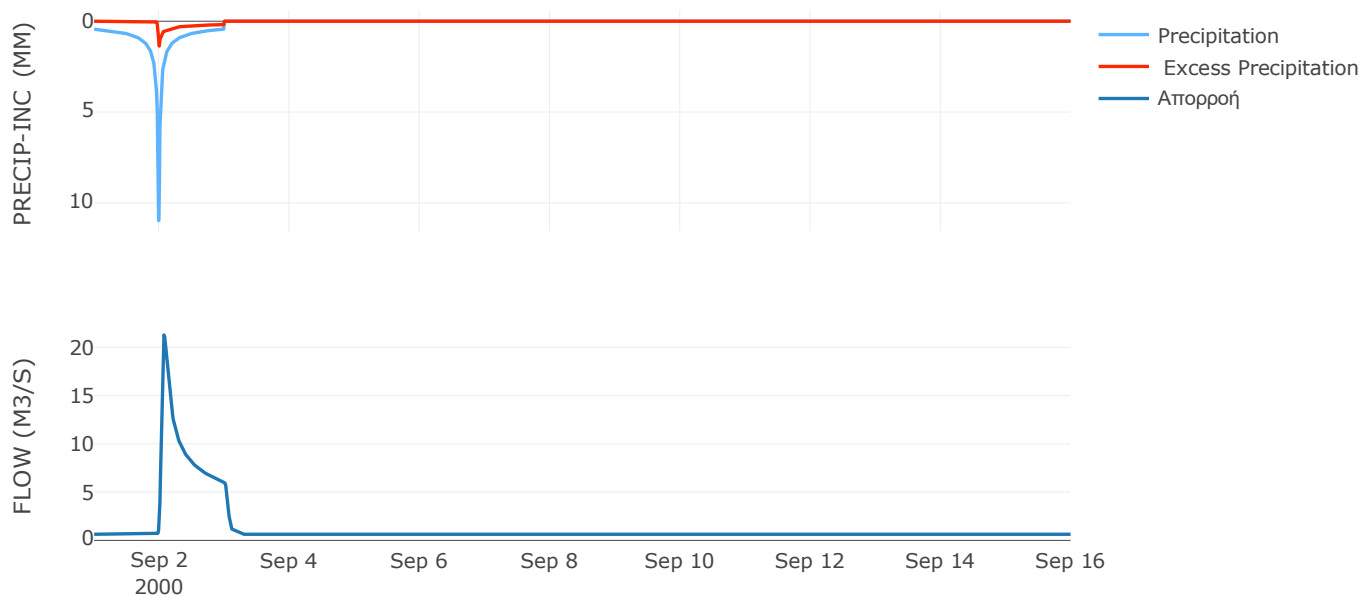
Μέθοδος
Μετασχηματισμού: SCS

Χρόνος Υστέρησης	73.09
------------------	-------

Αποτελέσματα:
EL0415FL00018

Παροχή αιχμής (M3/S)	21.28
Χρονική στιγμή αιχμής	02Sep2000, 01:45
Όγκος (MM)	63.94
Όγκος βροχόπτωσης (M3)	5.29E6
Όγκος απωλειών (M3)	4.49E6
Ενεργός Όγκος (M3)	7.98E5
Όγκος άμεσης απορροής (M3)	7.98E5
Όγκος βασικής απορροής (M3)	8.19E5

Βροχόπτωση και Απορροή



Υπολεκάνη: EL0415FL00019

Έκταση (KM2) : 41.83

Κατάντη : J16

Μέθοδος Απωλειών: SCS

Ποσοστό αδιαπέρατης επιφάνειας	0
Αριθμός Καμπύλης Απορροής-CN	45.78
Αρχικές Απώλειες	60.15

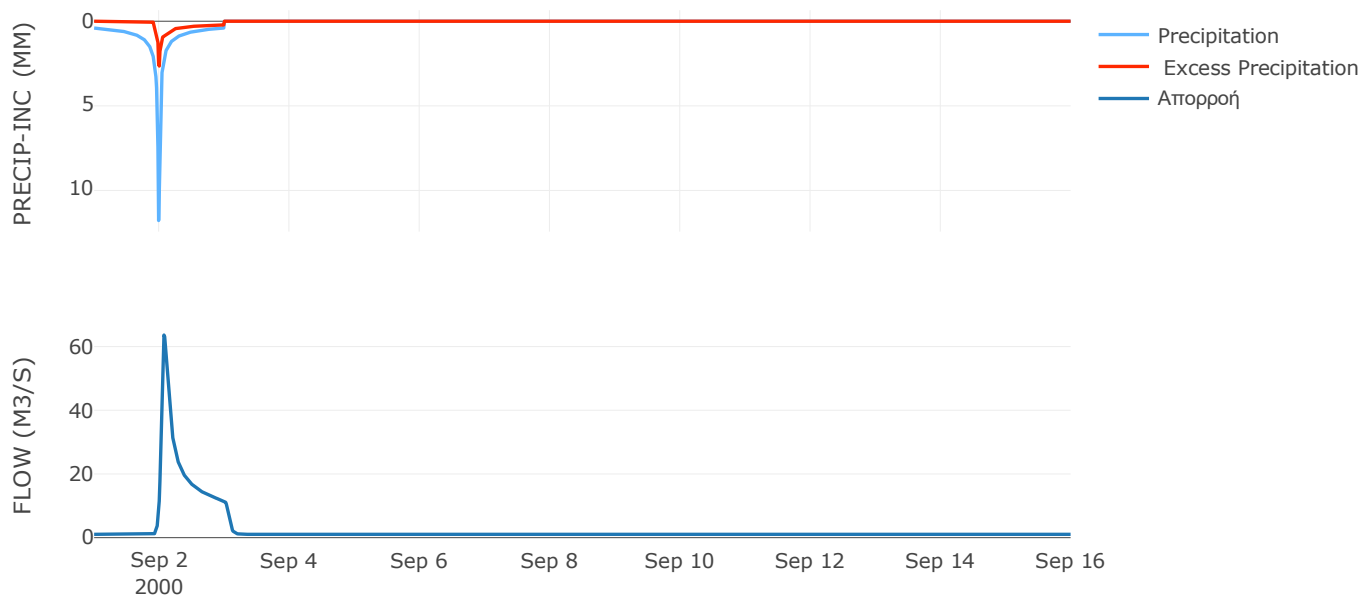
Μέθοδος
Μετασχηματισμού: SCS

Χρόνος Υστέρησης	84.64
------------------	-------

Αποτελέσματα:
EL0415FL00019

Παροχή αιχμής (M3/S)	63.62
Χρονική στιγμή αιχμής	02Sep2000, 01:45
Όγκος (MM)	78.66
Όγκος βροχόπτωσης (M3)	8.51E6
Όγκος απωλειών (M3)	6.58E6
Ενεργός Όγκος (M3)	1.94E6
Όγκος άμεσης απορροής (M3)	1.94E6
Όγκος βασικής απορροής (M3)	1.36E6

Βροχόπτωση και Απορροή



Υπολεκάνη: EL0415FL00020

Έκταση (KM2) : 8.47

Κατάντη : J21

Μέθοδος Απωλειών: SCS

Ποσοστό αδιαπέρατης επιφάνειας	0
Αριθμός Καμπύλης Απορροής-CN	64.45
Αρχικές Απώλειες	28.02

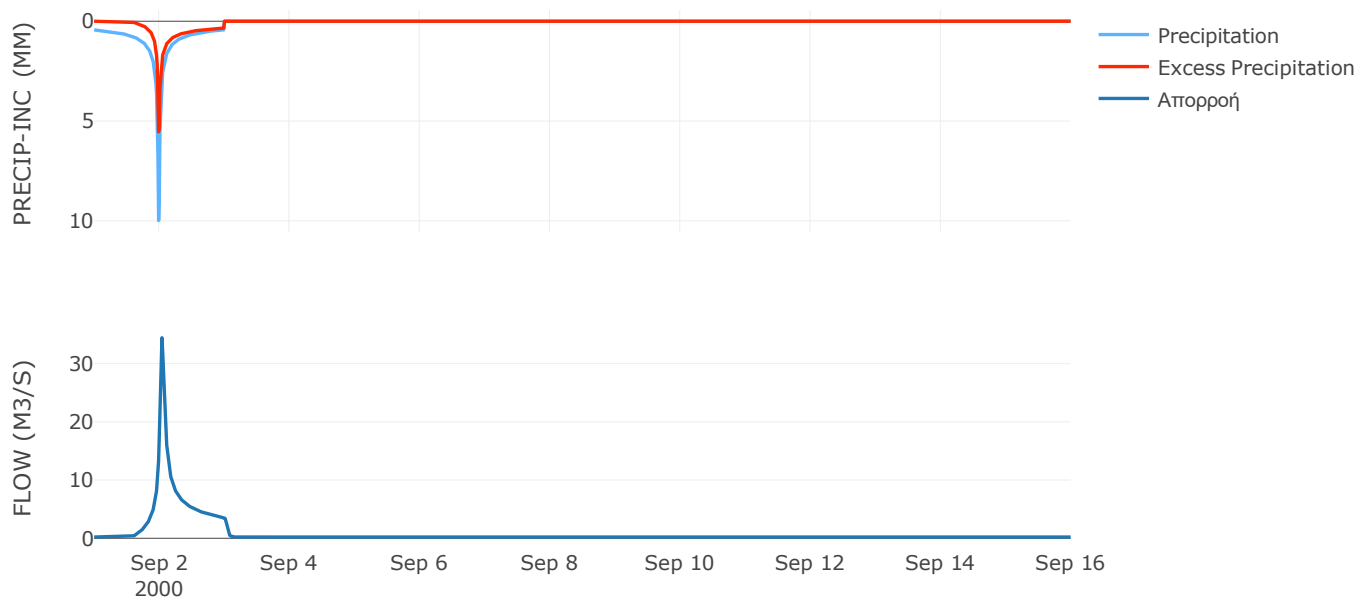
Μέθοδος
Μετασχηματισμού: SCS

Χρόνος Υστέρησης	49.81
------------------	-------

Αποτελέσματα:
EL0415FL00020

Παροχή αιχμής (M3/S)	34.45
Χρονική στιγμή αιχμής	02Sep2000, 01:00
Όγκος (MM)	128.34
Όγκος βροχόπτωσης (M3)	1.71E6
Όγκος απωλειών (M3)	8.93E5
Ενεργός Όγκος (M3)	8.12E5
Όγκος άμεσης απορροής (M3)	8.12E5
Όγκος βασικής απορροής (M3)	2.74E5

Βροχόπτωση και Απορροή



Υπολεκάνη: EL0415FL00021

Έκταση (KM2) : 11.07

Κατάντη : J17

Μέθοδος Απωλειών: SCS

Ποσοστό αδιαπέρατης επιφάνειας	0
Αριθμός Καμπύλης Απορροής-CN	56.26
Αρχικές Απώλειες	39.5

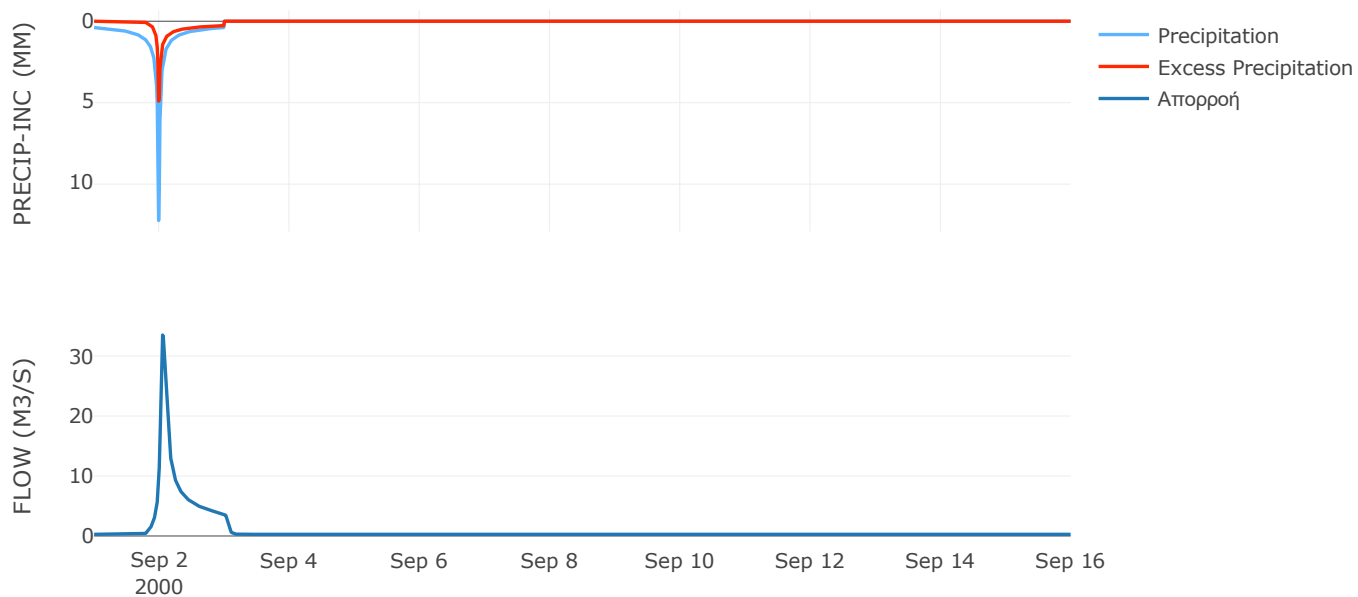
Μέθοδος
Μετασχηματισμού: SCS

Χρόνος Υστέρησης	69.03
------------------	-------

Αποτελέσματα:
EL0415FL00021

Παροχή αιχμής (M3/S)	33.51
Χρονική στιγμή αιχμής	02Sep2000, 01:15
Όγκος (MM)	104.92
Όγκος βροχόπτωσης (M3)	2.22E6
Όγκος απωλειών (M3)	1.42E6
Ενεργός Όγκος (M3)	8.03E5
Όγκος άμεσης απορροής (M3)	8.03E5
Όγκος βασικής απορροής (M3)	3.59E5

Βροχόπτωση και Απορροή



Υπολεκάνη: EL0415FL00022

Έκταση (KM2) : 12.41

Κατάντη : J18

Μέθοδος Απωλειών: SCS

Ποσοστό αδιαπέρατης επιφάνειας	0
Αριθμός Καμπύλης Απορροής-CN	62.88
Αρχικές Απώλειες	29.98

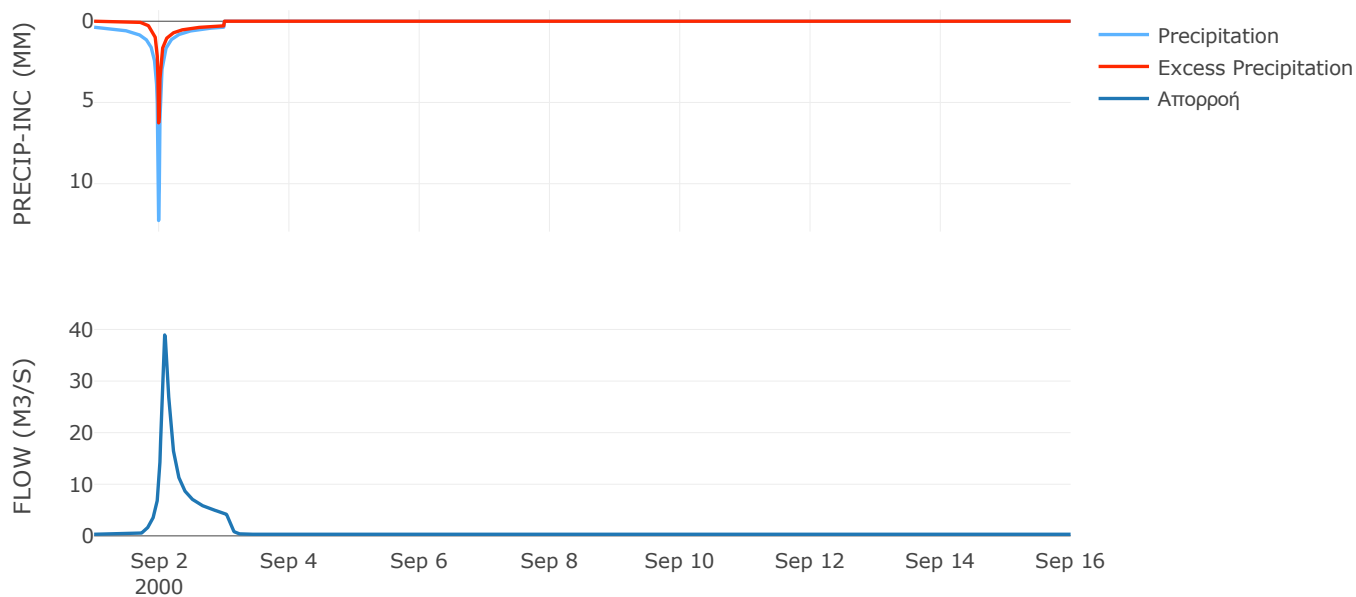
Μέθοδος
Μετασχηματισμού: SCS

Χρόνος Υστέρησης	104.79
------------------	--------

Αποτελέσματα:
EL0415FL00022

Παροχή αιχμής (M3/S)	38.93
Χρονική στιγμή αιχμής	02Sep2000, 02:00
Όγκος (MM)	118.83
Όγκος βροχόπτωσης (M3)	2.42E6
Όγκος απωλειών (M3)	1.35E6
Ενεργός Όγκος (M3)	1.07E6
Όγκος άμεσης απορροής (M3)	1.07E6
Όγκος βασικής απορροής (M3)	4.02E5

Βροχόπτωση και Απορροή



Υπολεκάνη: EL0415FL00023

Έκταση (KM2) : 16.4

Κατάντη : J22

Μέθοδος Απωλειών: SCS

Ποσοστό αδιαπέρατης επιφάνειας	0
Αριθμός Καμπύλης Απορροής-CN	64.1
Αρχικές Απώλειες	28.45

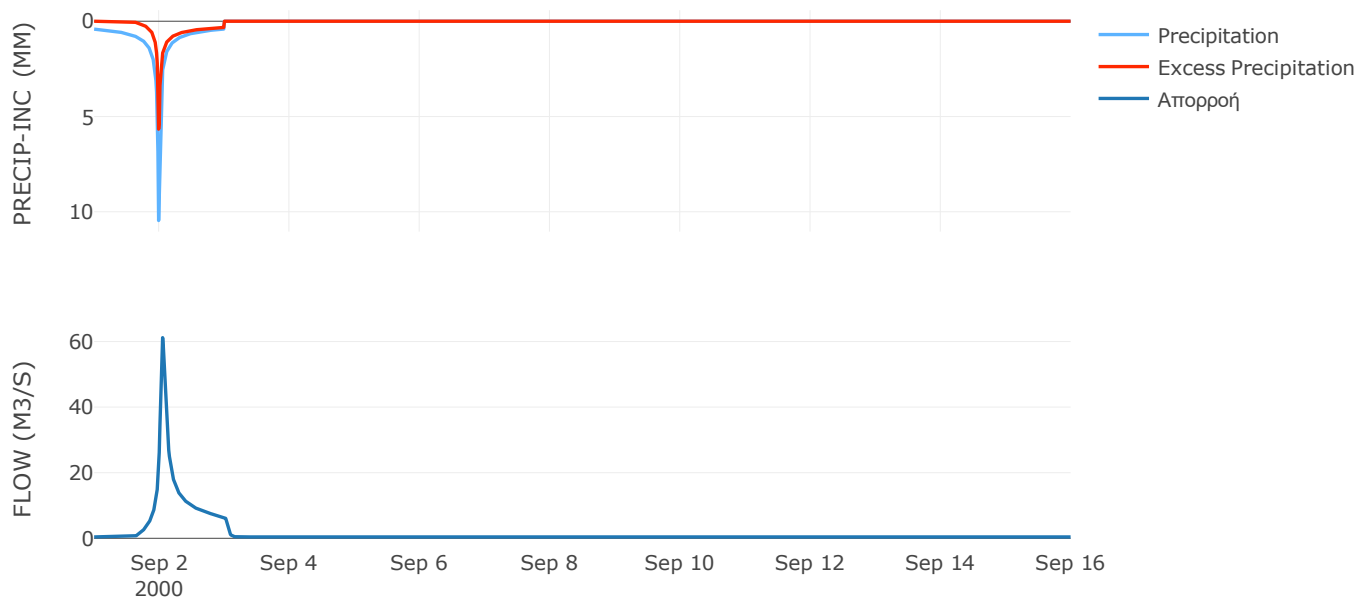
Μέθοδος
Μετασχηματισμού: SCS

Χρόνος Υστέρησης	64.33
------------------	-------

Αποτελέσματα:
EL0415FL00023

Παροχή αιχμής (M3/S)	61.18
Χρονική στιγμή αιχμής	02Sep2000, 01:15
Όγκος (MM)	124.82
Όγκος βροχόπτωσης (M3)	3.25E6
Όγκος απωλειών (M3)	1.74E6
Ενεργός Όγκος (M3)	1.52E6
Όγκος άμεσης απορροής (M3)	1.52E6
Όγκος βασικής απορροής (M3)	5.31E5

Βροχόπτωση και Απορροή



Υπολεκάνη: EL0415FL00024

Έκταση (KM2) : 20.38

Κατάντη : J19

Μέθοδος Απωλειών: SCS

Ποσοστό αδιαπέρατης επιφάνειας	0
Αριθμός Καμπύλης Απορροής-CN	62.12
Αρχικές Απώλειες	30.97

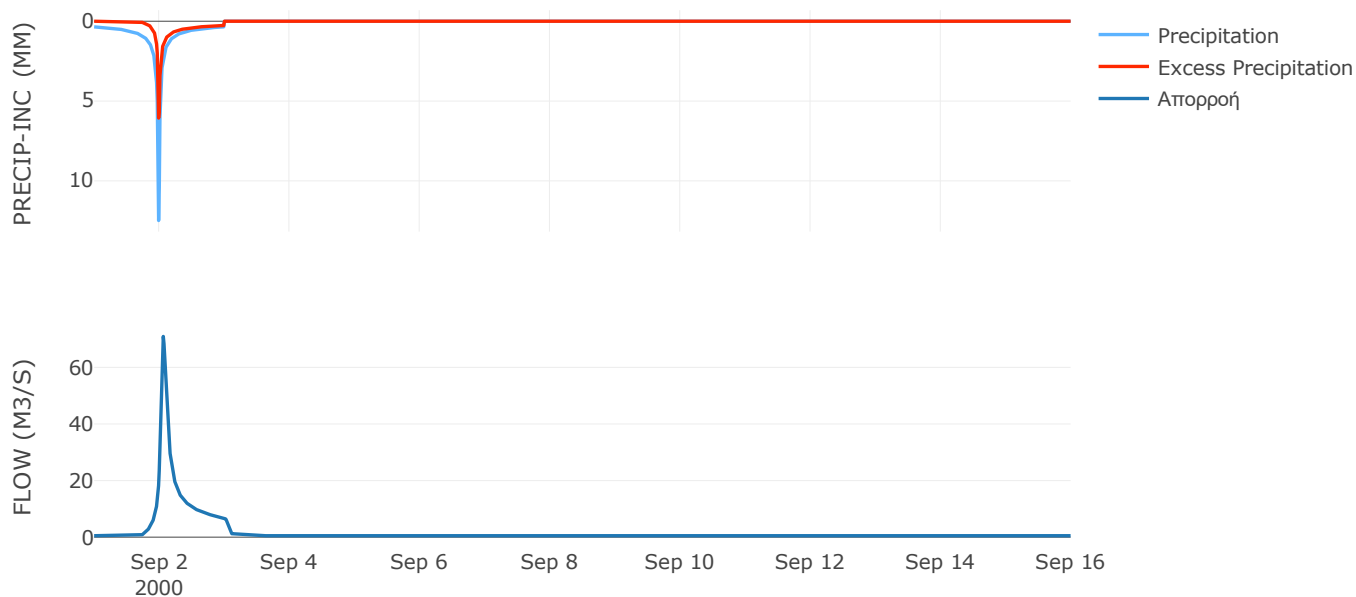
Μέθοδος
Μετασχηματισμού: SCS

Χρόνος Υστέρησης	76.44
------------------	-------

Αποτελέσματα:
EL0415FL00024

Παροχή αιχμής (M3/S)	70.95
Χρονική στιγμή αιχμής	02Sep2000, 01:30
Όγκος (MM)	113.56
Όγκος βροχόπτωσης (M3)	3.89E6
Όγκος απωλειών (M3)	2.23E6
Ενεργός Όγκος (M3)	1.65E6
Όγκος άμεσης απορροής (M3)	1.65E6
Όγκος βασικής απορροής (M3)	6.6E5

Βροχόπτωση και Απορροή



Υπολεκάνη: EL0415FL00025

Έκταση (KM2) : 32.02

Κατάντη : J13

Μέθοδος Απωλειών: SCS

Ποσοστό αδιαπέρατης επιφάνειας	0
Αριθμός Καμπύλης Απορροής-CN	30.5
Αρχικές Απώλειες	115.77

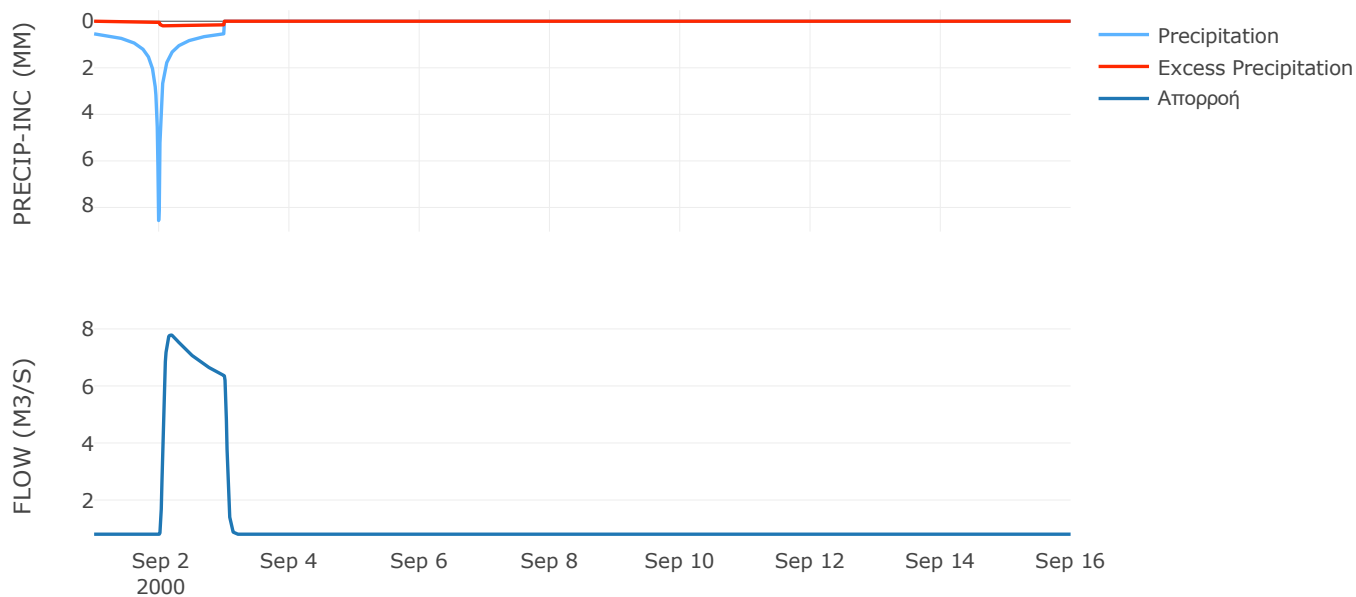
Μέθοδος
Μετασχηματισμού: SCS

Χρόνος Υστέρησης	53
------------------	----

Αποτελέσματα:
EL0415FL00025

Παροχή αιχμής (M3/S)	7.79
Χρονική στιγμή αιχμής	02Sep2000, 04:15
Όγκος (MM)	49.04
Όγκος βροχόπτωσης (M3)	7.13E6
Όγκος απωλειών (M3)	6.59E6
Ενεργός Όγκος (M3)	5.33E5
Όγκος άμεσης απορροής (M3)	5.33E5
Όγκος βασικής απορροής (M3)	1.04E6

Βροχόπτωση και Απορροή



Υπολεκάνη: EL0415FL00026

Έκταση (KM2) : 30.03

Κατάντη : J12

Μέθοδος Απωλειών: SCS

Ποσοστό αδιαπέρατης επιφάνειας	0
Αριθμός Καμπύλης Απορροής-CN	47.52
Αρχικές Απώλειες	56.1

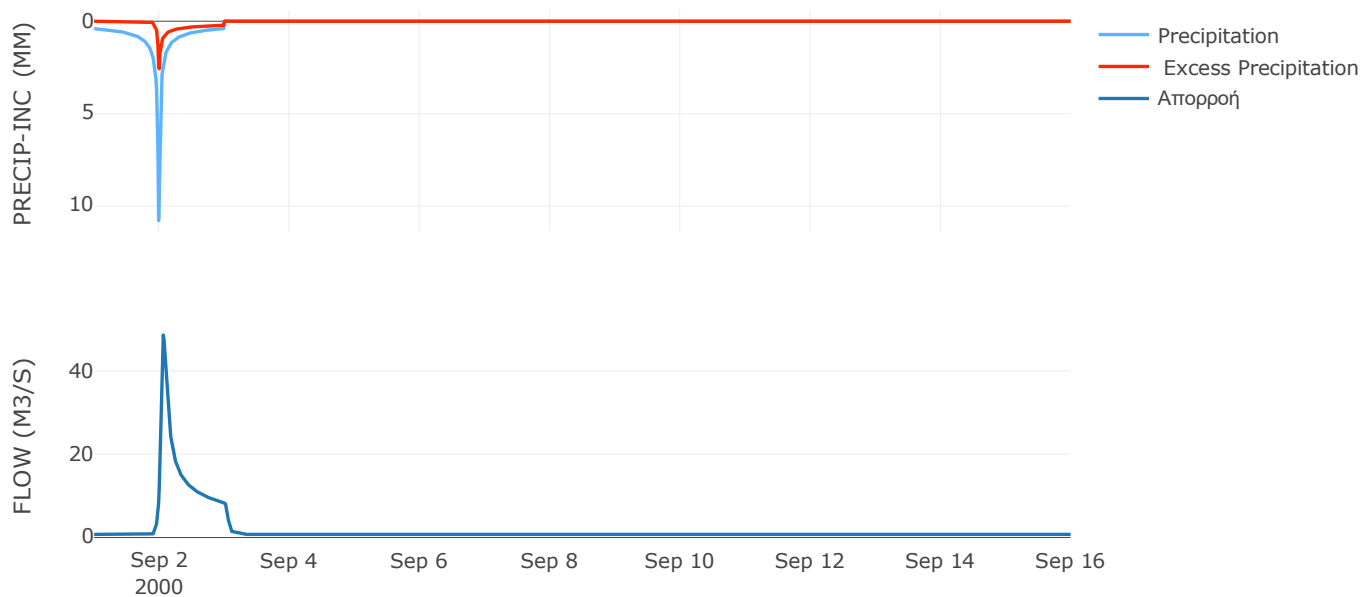
Μέθοδος
Μετασχηματισμού: SCS

Χρόνος Υστέρησης	71.65
------------------	-------

Αποτελέσματα:
EL0415FL00026

Παροχή αιχμής (M3/S)	48.55
Χρονική στιγμή αιχμής	02Sep2000, 01:30
Όγκος (MM)	78.88
Όγκος βροχόπτωσης (M3)	5.88E6
Όγκος απωλειών (M3)	4.49E6
Ενεργός Όγκος (M3)	1.4E6
Όγκος άμεσης απορροής (M3)	1.4E6
Όγκος βασικής απορροής (M3)	9.73E5

Βροχόπτωση και Απορροή



Υπολεκάνη: EL0415FL00027

Έκταση (KM2) : 3.34

Κατάνη : J11

Μέθοδος Απωλειών: SCS

Ποσοστό αδιαπέρατης επιφάνειας	0
Αριθμός Καμπύλης Απορροής-CN	62.24
Αρχικές Απώλειες	30.82

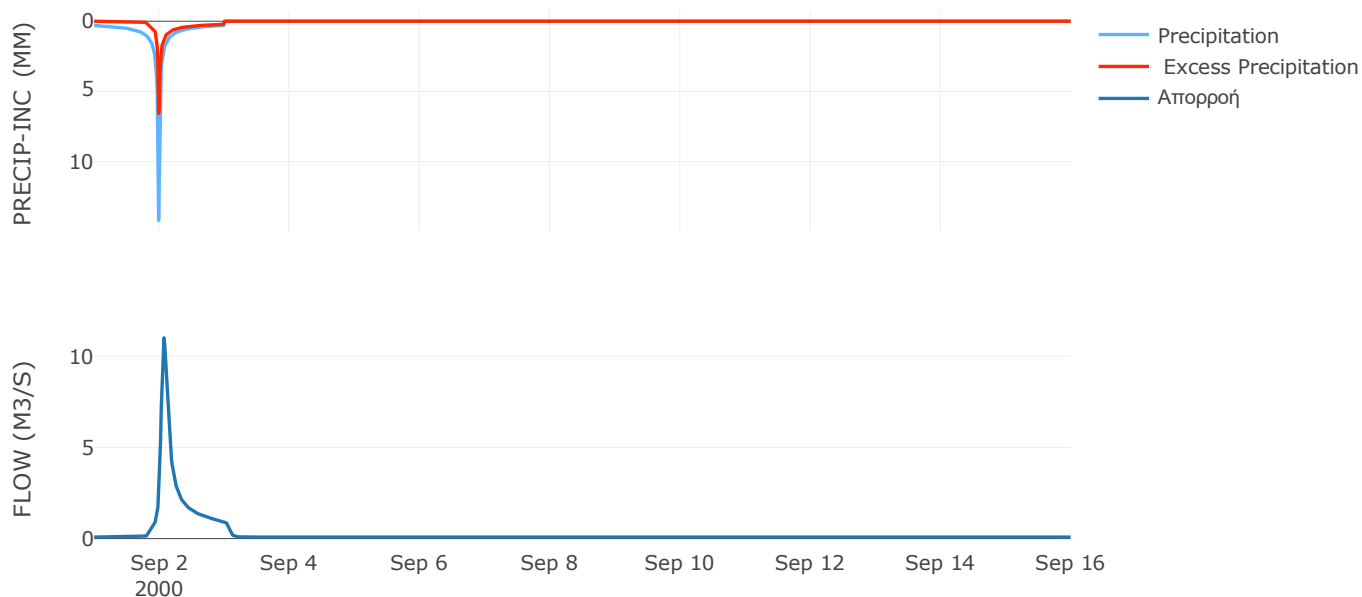
Μέθοδος
Μετασχηματισμού: SCS

Χρόνος Υστέρησης	89.02
------------------	-------

Αποτελέσματα:
EL0415FL00027

Παροχή αιχμής (M3/S)	11.02
Χρονική στιγμή αιχμής	02Sep2000, 01:45
Όγκος (MM)	106.57
Όγκος βροχόπτωσης (M3)	6.05E5
Όγκος απωλειών (M3)	3.57E5
Ενεργός Όγκος (M3)	2.48E5
Όγκος άμεσης απορροής (M3)	2.48E5
Όγκος βασικής απορροής (M3)	1.08E5

Βροχόπτωση και Απορροή



Δεδομένα και υδρογραφήματα σχεδιασμού Κλάδων υδρογραφικού δικτύου

Κλάδος: R21

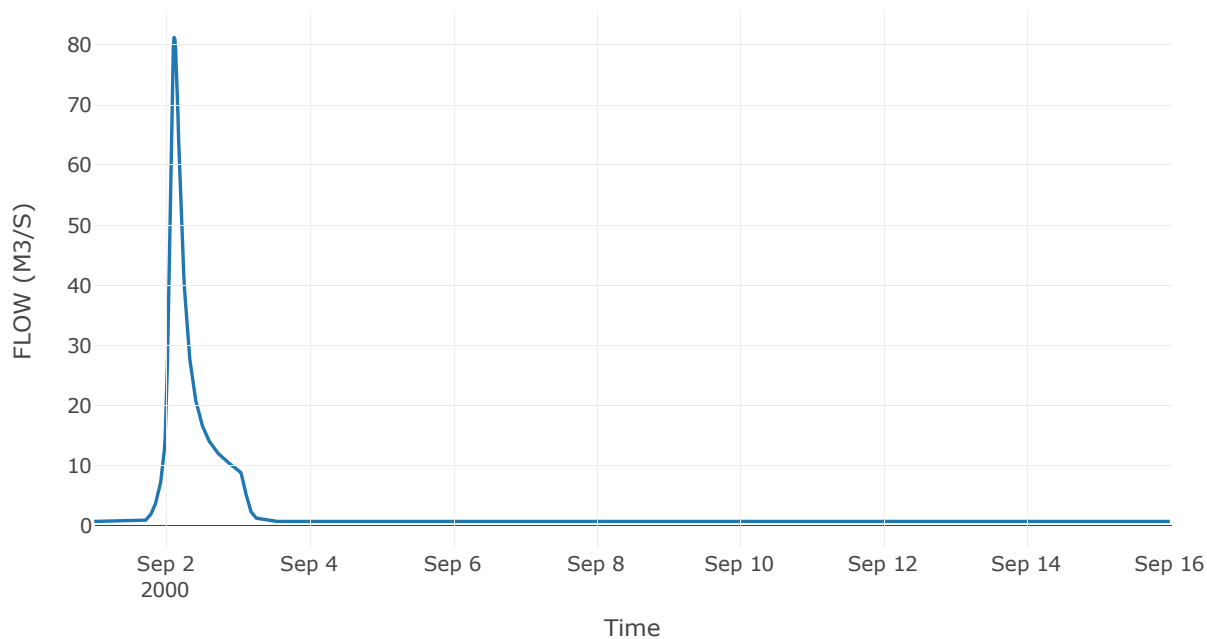
Κατάντη : J1

Μέθοδος Διόδευσης	Χρόνος
Αρχική Μεταβλητή	Combined Inflow
Χρόνος Υστέρησης	0

Αποτελέσματα: R21

Παροχή Αιχμής(M3/S)	81.19
Χρονική στιγμή αιχμής	02Sep2000, 02:45
Όγκος(MM)	119.57
Παροχή Αιχμής Εισόδου (M3/S)	81.19
Όγκος Εισροής(M3)	3.39E6

Απορροή



Κλάδος: R31

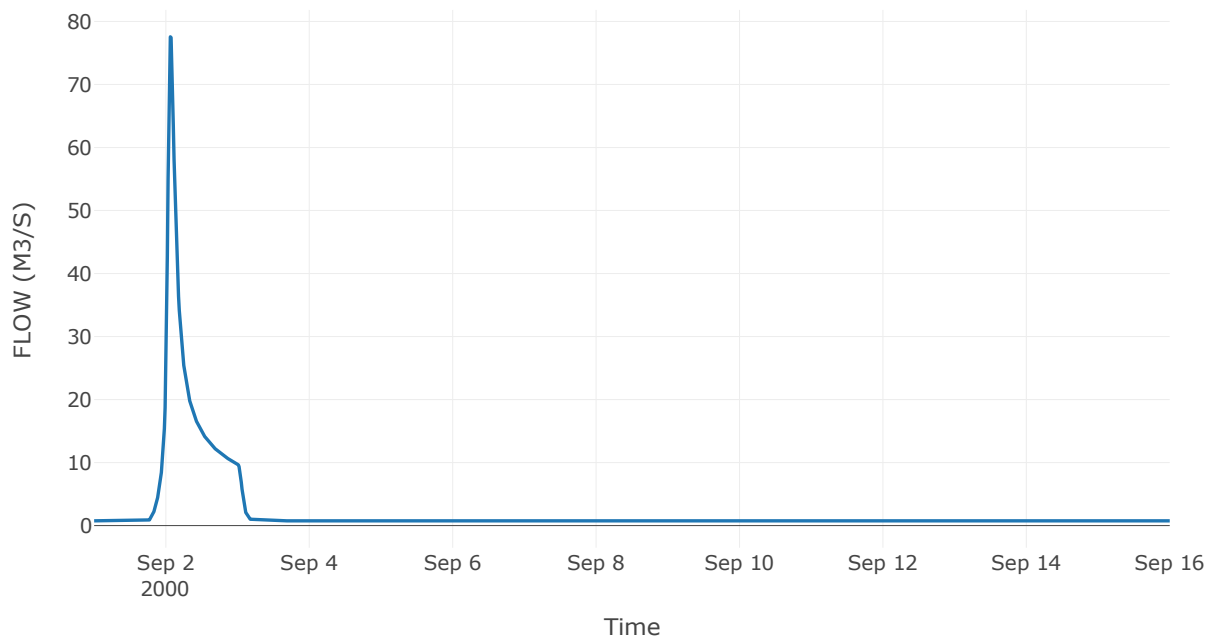
Κατάντη : J1

Μέθοδος Διόδευσης	Χρόνος
Αρχική Μεταβλητή	Combined Inflow
Χρόνος Υστέρησης	0

Αποτελέσματα: R31

Παροχή Αιχμής(M3/S)	77.56
Χρονική στιγμή αιχμής	02Sep2000, 01:30
Όγκος(MM)	101.07
Παροχή Αιχμής Εισόδου (M3/S)	77.56
Όγκος Εισροής(M3)	3.04E6

Απορροή



Κλάδος: R41

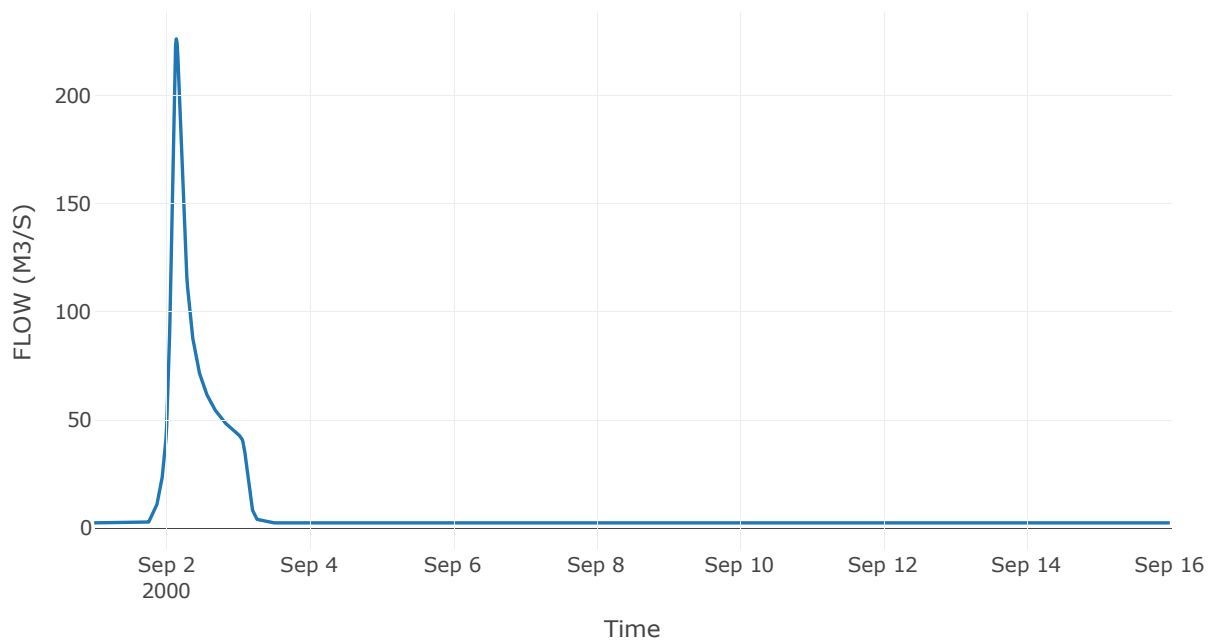
Κατάντη : J1

Μέθοδος Διόδευσης	Χρόνος
Αρχική Μεταβλητή	Combined Inflow
Χρόνος Υστέρησης	0

Αποτελέσματα: R41

Παροχή Αιχμής(M3/S)	226.23
Χρονική στιγμή αιχμής	02Sep2000, 03:30
Όγκος(MM)	115.69
Παροχή Αιχμής Εισόδου (M3/S)	226.23
Όγκος Εισροής(M3)	1.14E7

Απορροή



Κλάδος: R51

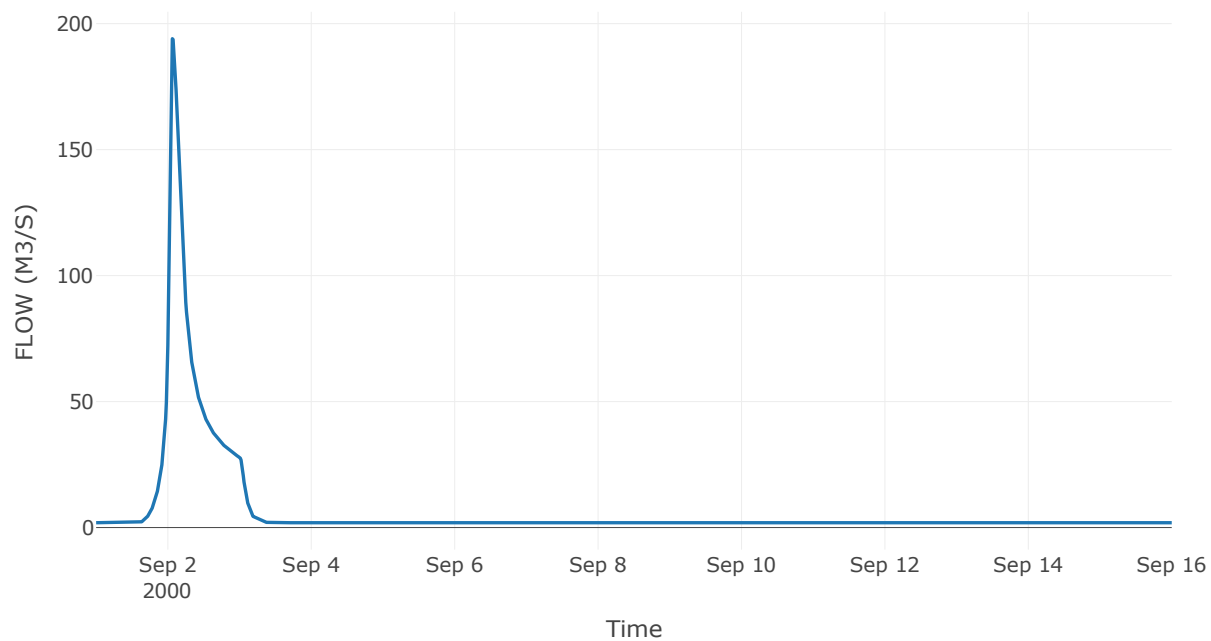
Κατάντη : J1

Μέθοδος Διόδευσης	Χρόνος
Αρχική Μεταβλητή	Combined Inflow
Χρόνος Υστέρησης	0

Αποτελέσματα: R51

Παροχή Αιχμής(M3/S)	194
Χρονική στιγμή αιχμής	02Sep2000, 01:30
Όγκος(MM)	116.36
Παροχή Αιχμής Εισόδου (M3/S)	194
Όγκος Εισροής(M3)	8.91E6

Απορροή



Κλάδος: R1110

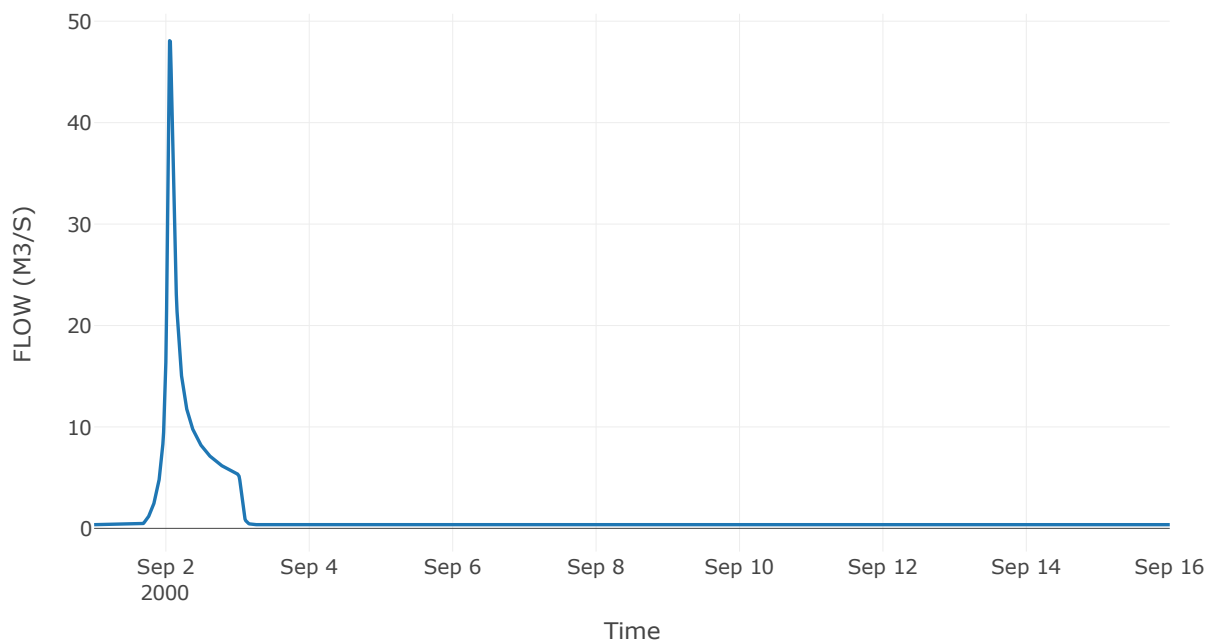
Κατάντη : J10

Μέθοδος Διόδευσης	Χρόνος
Αρχική Μεταβλητή	Combined Inflow
Χρόνος Υστέρησης	0

Αποτελέσματα: R1110

Παροχή Αιχμής(M3/S)	48.08
Χρονική στιγμή αιχμής	02Sep2000, 01:15
Όγκος(MM)	113.81
Παροχή Αιχμής Εισόδου (M3/S)	48.08
Όγκος Εισροής(M3)	1.66E6

Απορροή



Κλάδος: R1210

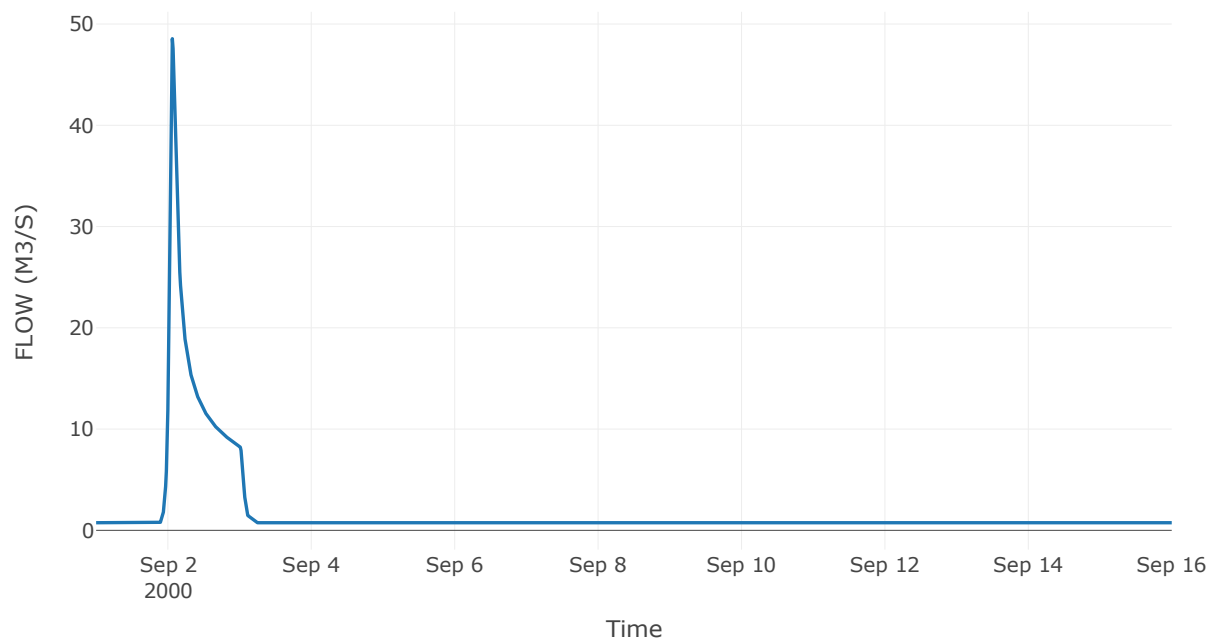
Κατάντη : J10

Μέθοδος Διόδευσης	Χρόνος
Αρχική Μεταβλητή	Combined Inflow
Χρόνος Υστέρησης	0

Αποτελέσματα: R1210

Παροχή Αιχμής(M3/S)	48.55
Χρονική στιγμή αιχμής	02Sep2000, 01:30
Όγκος(MM)	78.88
Παροχή Αιχμής Εισόδου (M3/S)	48.55
Όγκος Εισροής(M3)	2.37E6

Απορροή



Κλάδος: R1310

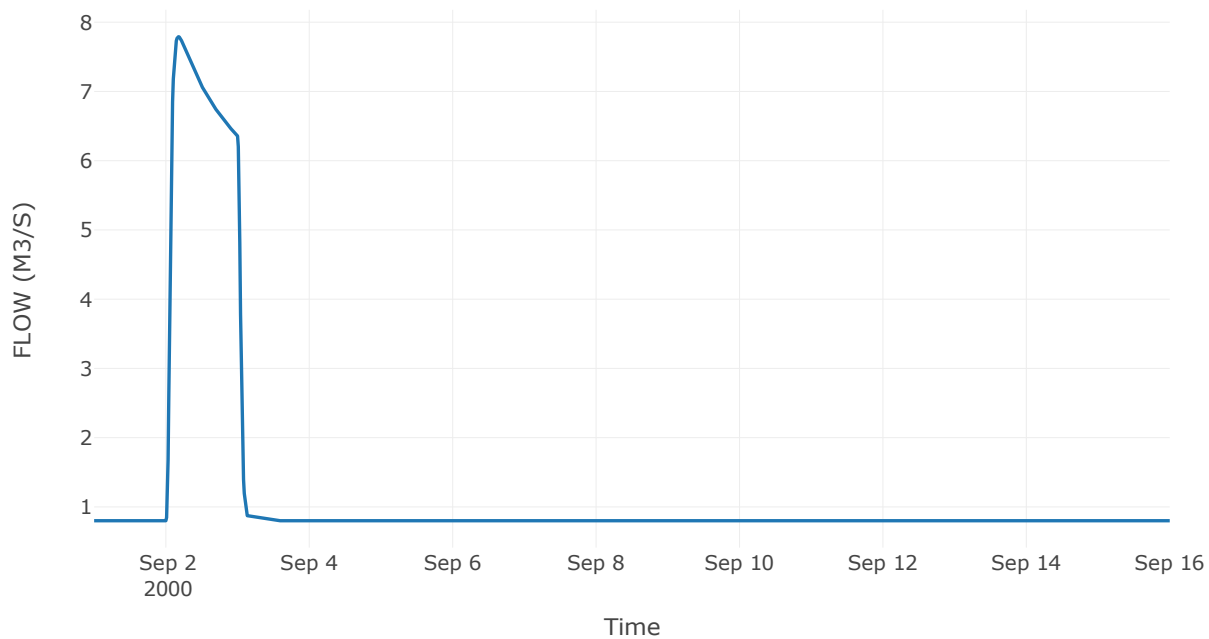
Κατάντη : J10

Μέθοδος Διόδευσης	Χρόνος
Αρχική Μεταβλητή	Combined Inflow
Χρόνος Υστέρησης	0

Αποτελέσματα: R1310

Παροχή Αιχμής(M3/S)	7.79
Χρονική στιγμή αιχμής	02Sep2000, 04:15
Όγκος(MM)	49.04
Παροχή Αιχμής Εισόδου (M3/S)	7.79
Όγκος Εισροής(M3)	1.57E6

Απορροή



Κλάδος: R1410

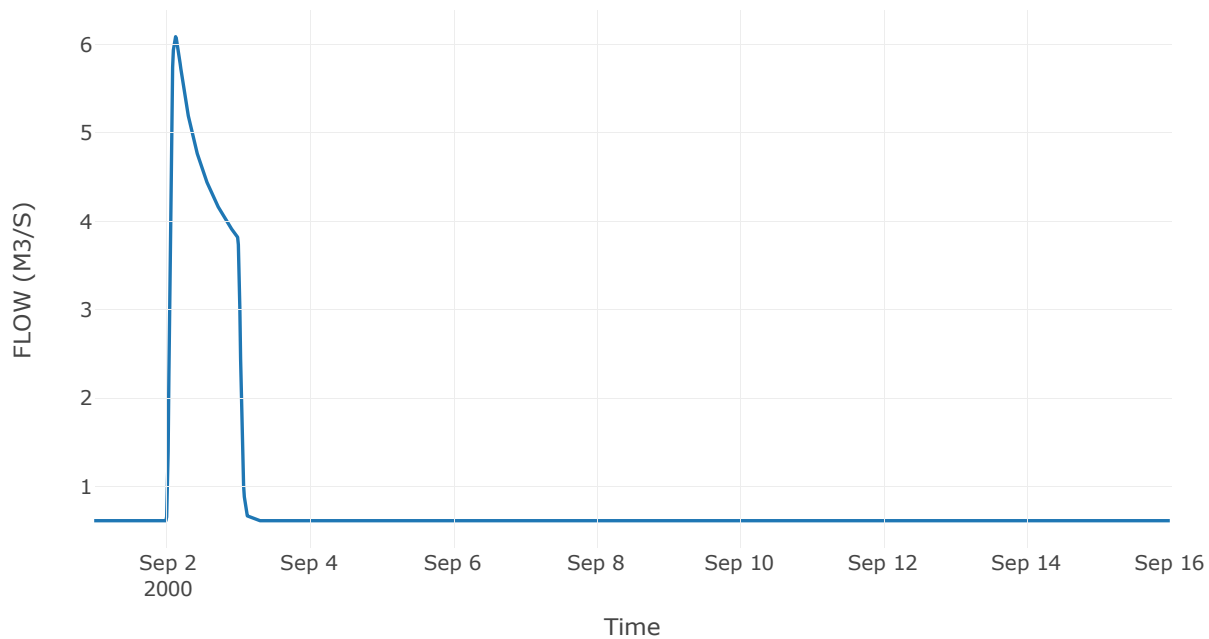
Κατάντη : J10

Μέθοδος Διόδευσης	Χρόνος
Αρχική Μεταβλητή	Combined Inflow
Χρόνος Υστέρησης	0

Αποτελέσματα: R1410

Παροχή Αιχμής(M3/S)	6.08
Χρονική στιγμή αιχμής	02Sep2000, 03:15
Όγκος(MM)	46.73
Παροχή Αιχμής Εισόδου (M3/S)	6.08
Όγκος Εισροής(M3)	1.14E6

Απορροή



Κλάδος: R1510

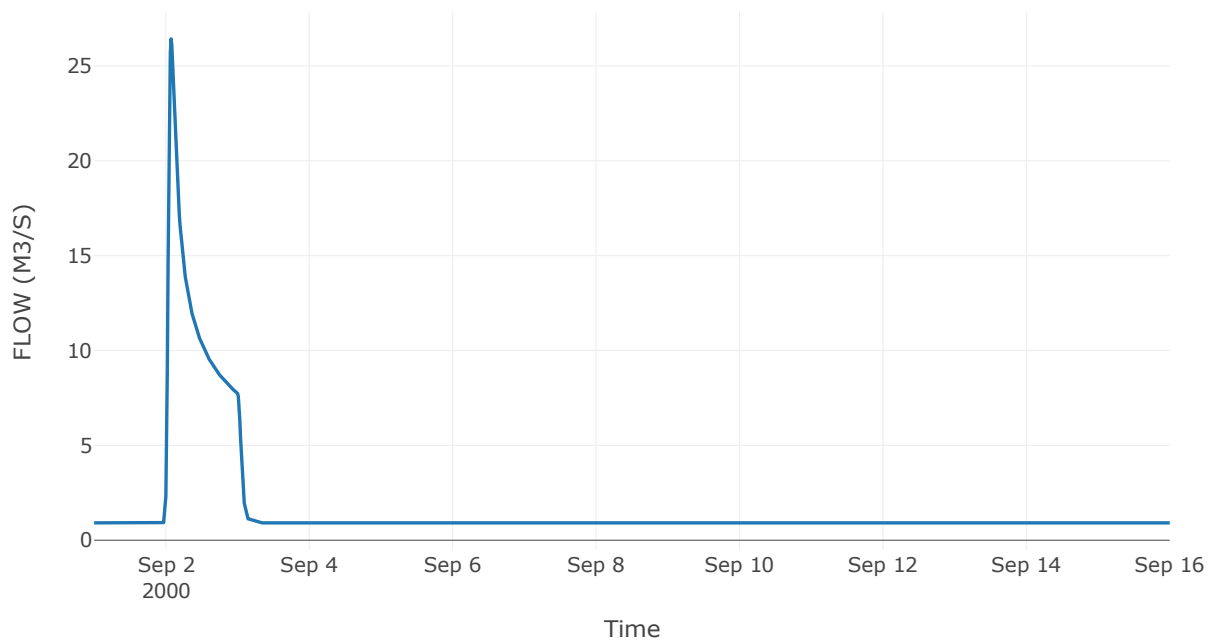
Κατάντη : J10

Μέθοδος Διόδευσης	Χρόνος
Αρχική Μεταβλητή	Combined Inflow
Χρόνος Υστέρησης	0

Αποτελέσματα: R1510

Παροχή Αιχμής(M3/S)	26.42
Χρονική στιγμή αιχμής	02Sep2000, 01:45
Όγκος(MM)	59.71
Παροχή Αιχμής Εισόδου (M3/S)	26.42
Όγκος Εισροής(M3)	2.18E6

Απορροή



Κλάδος: R1610

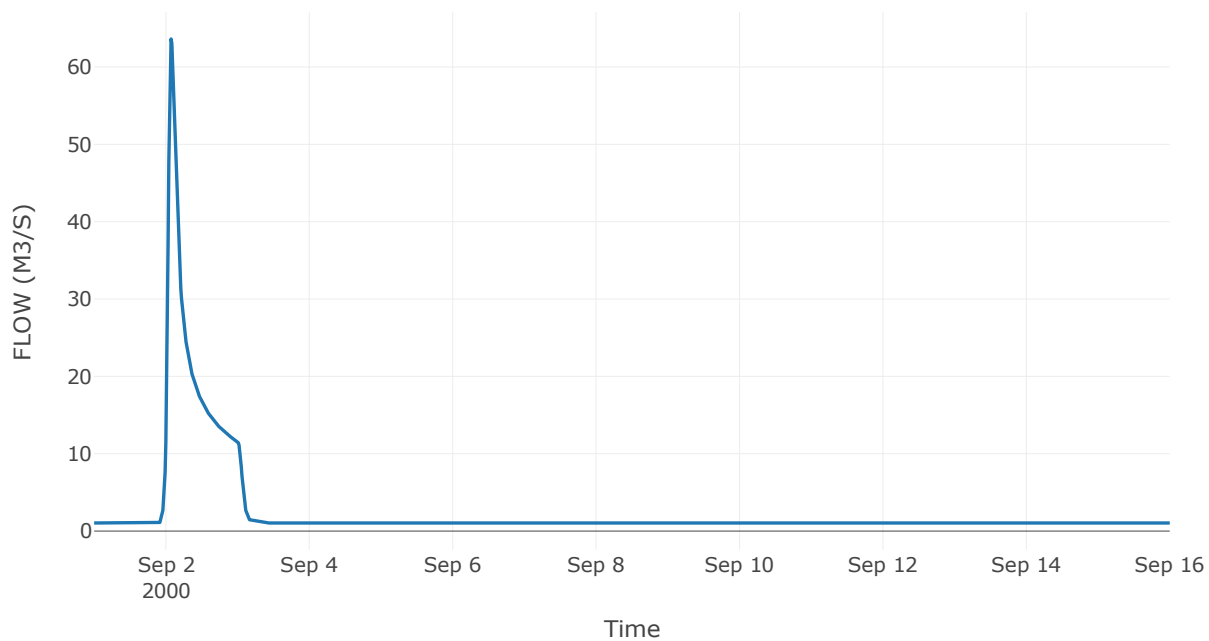
Κατάντη : J10

Μέθοδος Διόδευσης	Χρόνος
Αρχική Μεταβλητή	Combined Inflow
Χρόνος Υστέρησης	0

Αποτελέσματα: R1610

Παροχή Αιχμής(M3/S)	63.62
Χρονική στιγμή αιχμής	02Sep2000, 01:45
Όγκος(MM)	78.66
Παροχή Αιχμής Εισόδου (M3/S)	63.62
Όγκος Εισροής(M3)	3.29E6

Απορροή



Κλάδος: R1710

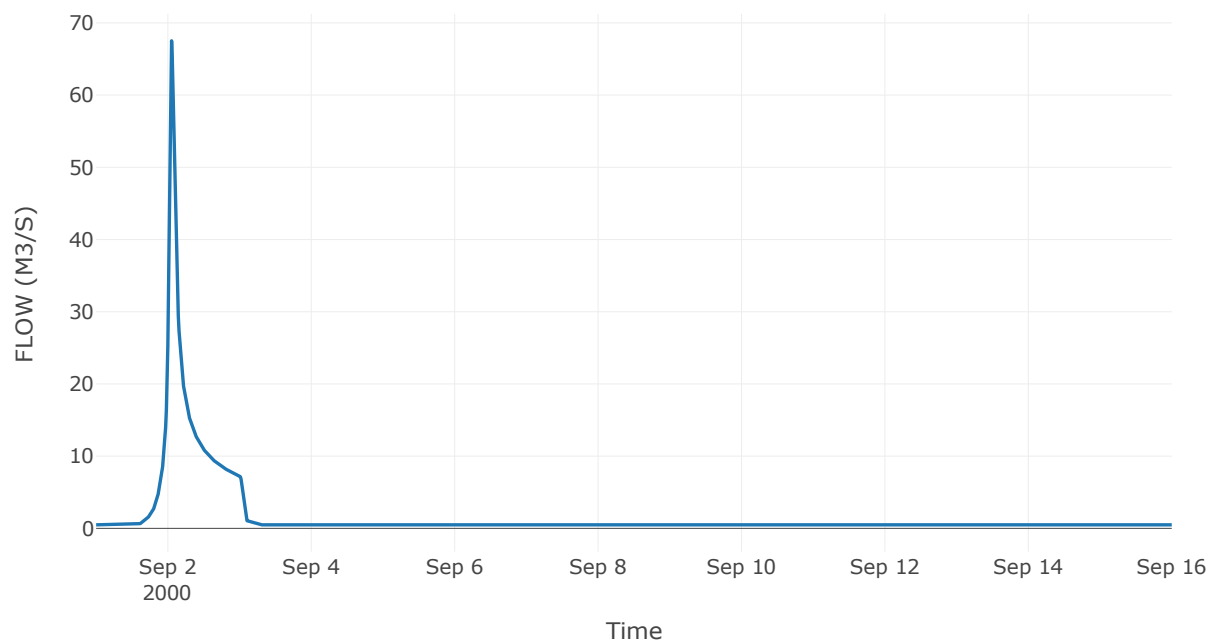
Κατάντη : J10

Μέθοδος Διόδευσης	Χρόνος
Αρχική Μεταβλητή	Combined Inflow
Χρόνος Υστέρησης	0

Αποτελέσματα: R1710

Παροχή Αιχμής(M3/S)	67.52
Χρονική στιγμή αιχμής	02Sep2000, 01:15
Όγκος(MM)	115.07
Παροχή Αιχμής Εισόδου (M3/S)	67.52
Όγκος Εισροής(M3)	2.25E6

Απορροή



Κλάδος: R1810

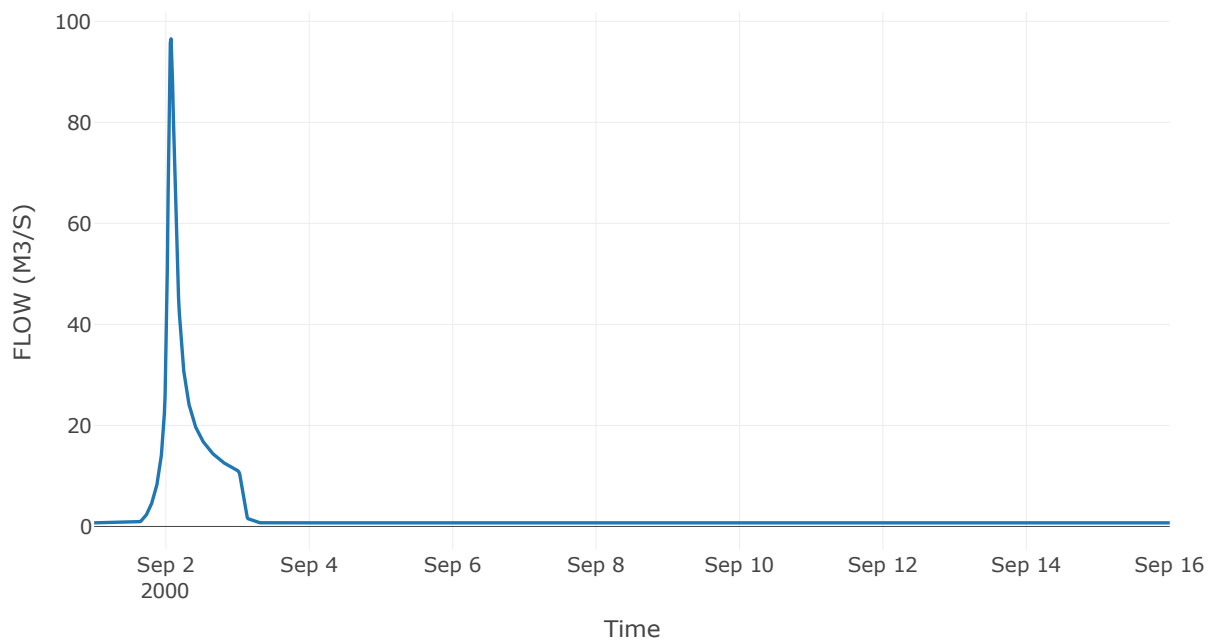
Κατάντη : J10

Μέθοδος Διόδευσης	Χρόνος
Αρχική Μεταβλητή	Combined Inflow
Χρόνος Υστέρησης	0

Αποτελέσματα: R1810

Παροχή Αιχμής(M3/S)	96.54
Χρονική στιγμή αιχμής	02Sep2000, 01:45
Όγκος(MM)	122.24
Παροχή Αιχμής Εισόδου (M3/S)	96.54
Όγκος Εισροής(M3)	3.52E6

Απορροή



Κλάδος: R1910

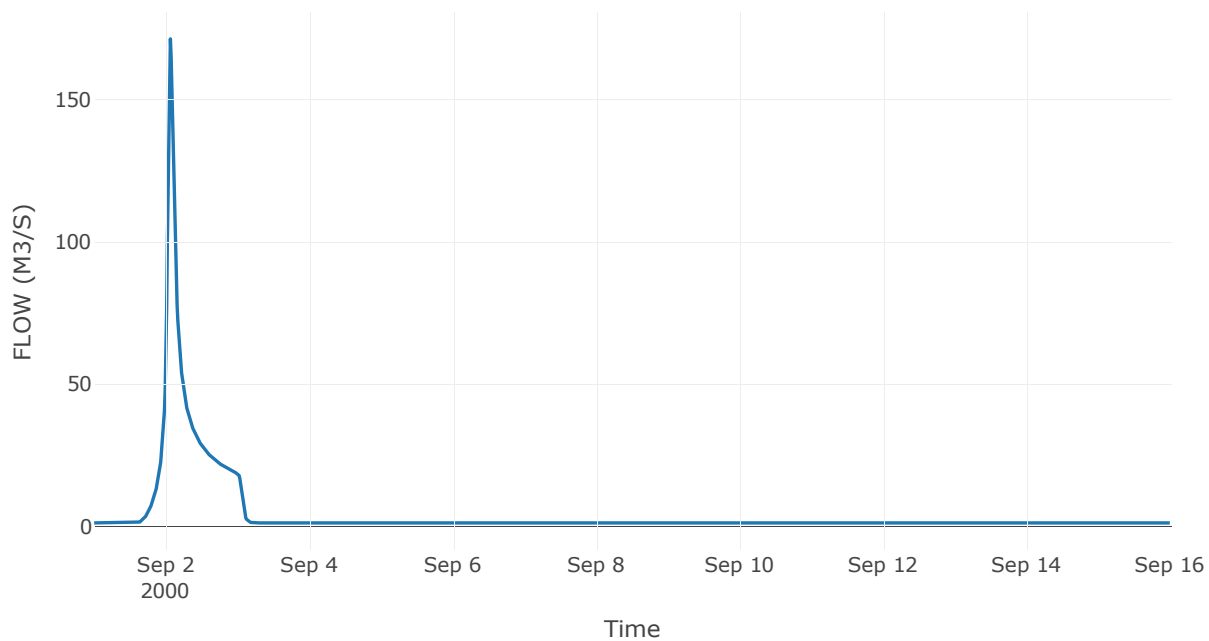
Κατάντη : J10

Μέθοδος Διόδευσης	Χρόνος
Αρχική Μεταβλητή	Combined Inflow
Χρόνος Υστέρησης	0

Αποτελέσματα: R1910

Παροχή Αιχμής(M3/S)	171.38
Χρονική στιγμή αιχμής	02Sep2000, 01:30
Όγκος(MM)	119.11
Παροχή Αιχμής Εισόδου (M3/S)	171.38
Όγκος Εισροής(M3)	5.86E6

Απορροή



Κλάδος: R16

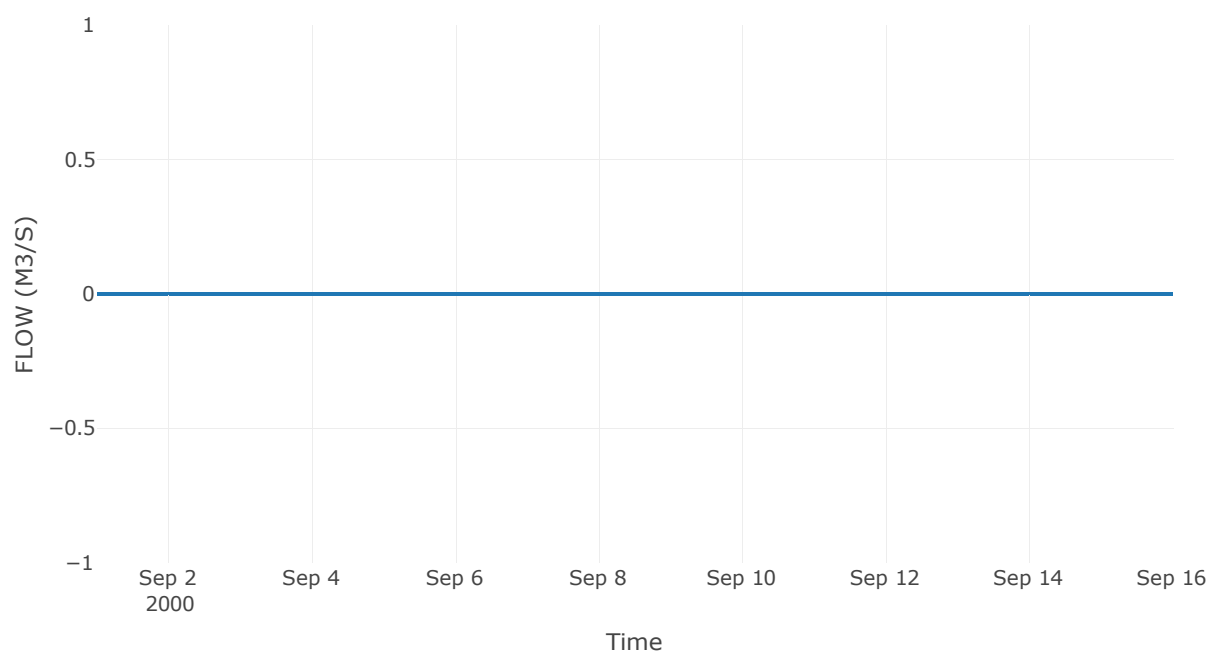
Κατάντη : J6

Μέθοδος Διόδευσης	Muskingum
Αρχική Μεταβλητή	Combined Inflow
Χρόνος Ροής K	14.66
Συντελεστής βάρους x	0.2
Πλήθος Υποκλάδων	59

Αποτελέσματα: R16

Παροχή Αιχμής(M3/S)	0
Χρονική στιγμή αιχμής	31Aug2000, 24:00
Εισροή Αιχμής(M3/S)	0
Όγκος Εισροής (M3)	0

Απορροή



Κλάδος: R74

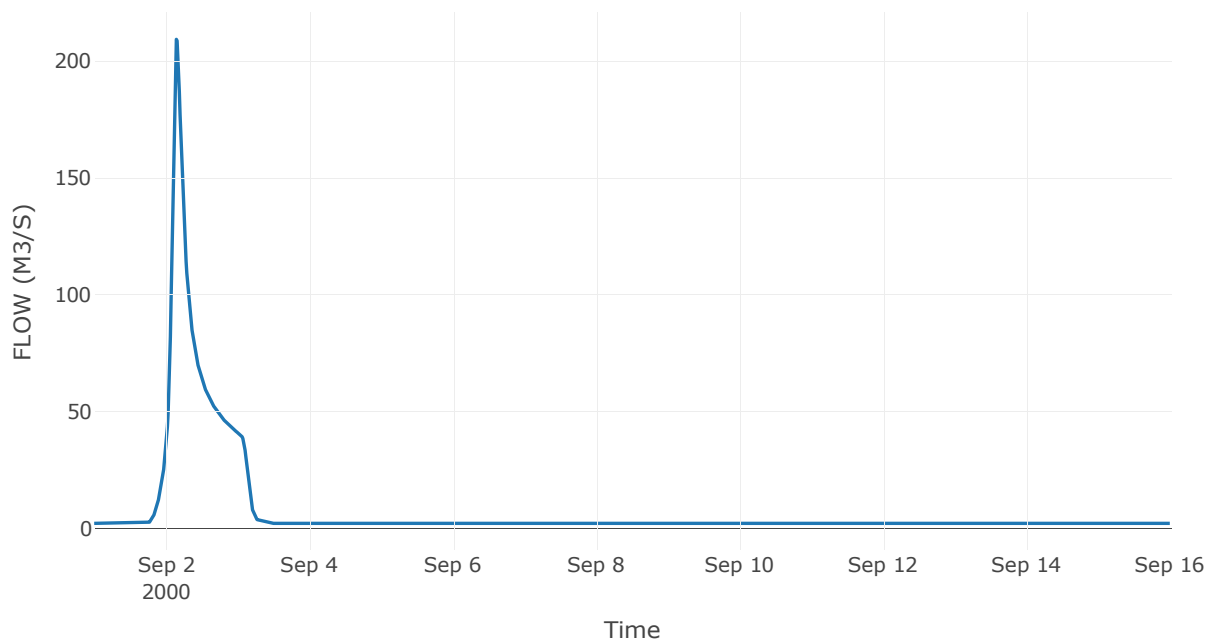
Κατάντη : J4

Μέθοδος Διόδευσης	Muskingum
Αρχική Μεταβλητή	Combined Inflow
Χρόνος Ροής K	1.39
Συντελεστής βάρους x	0.2
Πλήθος Υποκλάδων	6

Αποτελέσματα: R74

Παροχή Αιχμής(M3/S)	209.26
Χρονική στιγμή αιχμής	02Sep2000, 03:30
Όγκος(MM)	116.04
Παροχή Αιχμής Εισόδου (M3/S)	217.08
Όγκος Εισροής(M3)	1.05E7

Απορροή



Κλάδος: R85

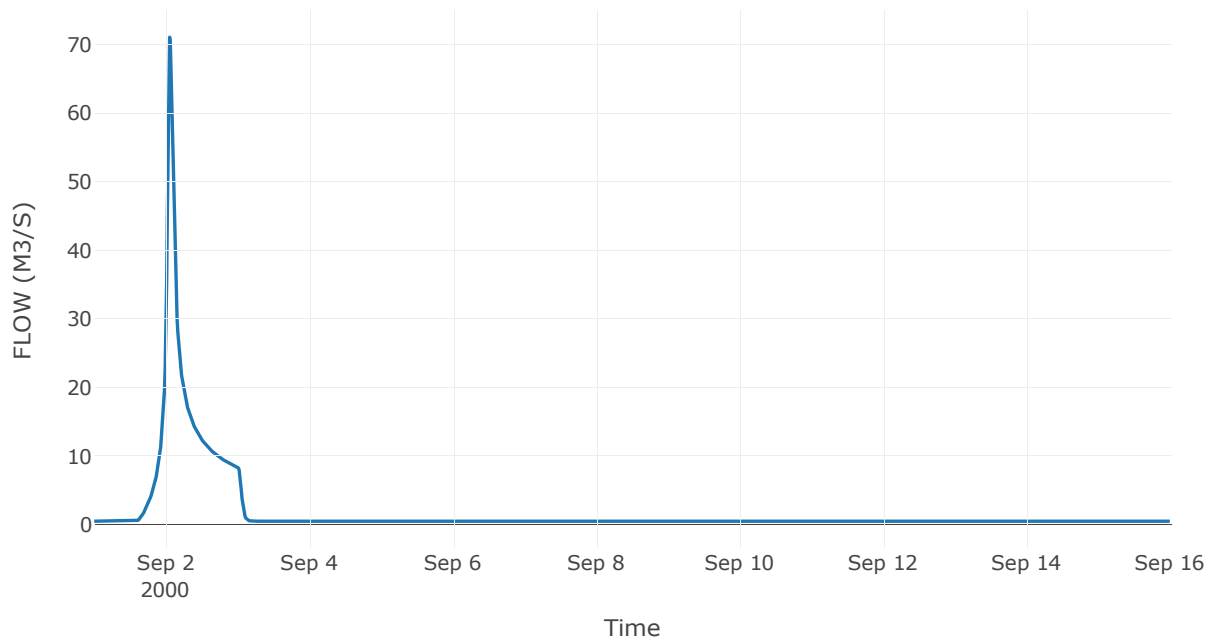
Κατάντη : J5

Μέθοδος Διόδευσης	Muskingum
Αρχική Μεταβλητή	Combined Inflow
Χρόνος Ροής Κ	0.27
Συντελεστής βάρους x	0.2
Πλήθος Υποκλάδων	1

Αποτελέσματα: R85

Παροχή Αιχμής(M3/S)	71.05
Χρονική στιγμή αιχμής	02Sep2000, 01:15
Όγκος(MM)	121.95
Παροχή Αιχμής Εισόδου (M3/S)	73.07
Όγκος Εισροής(M3)	2.49E6

Απορροή



Κλάδος: R95

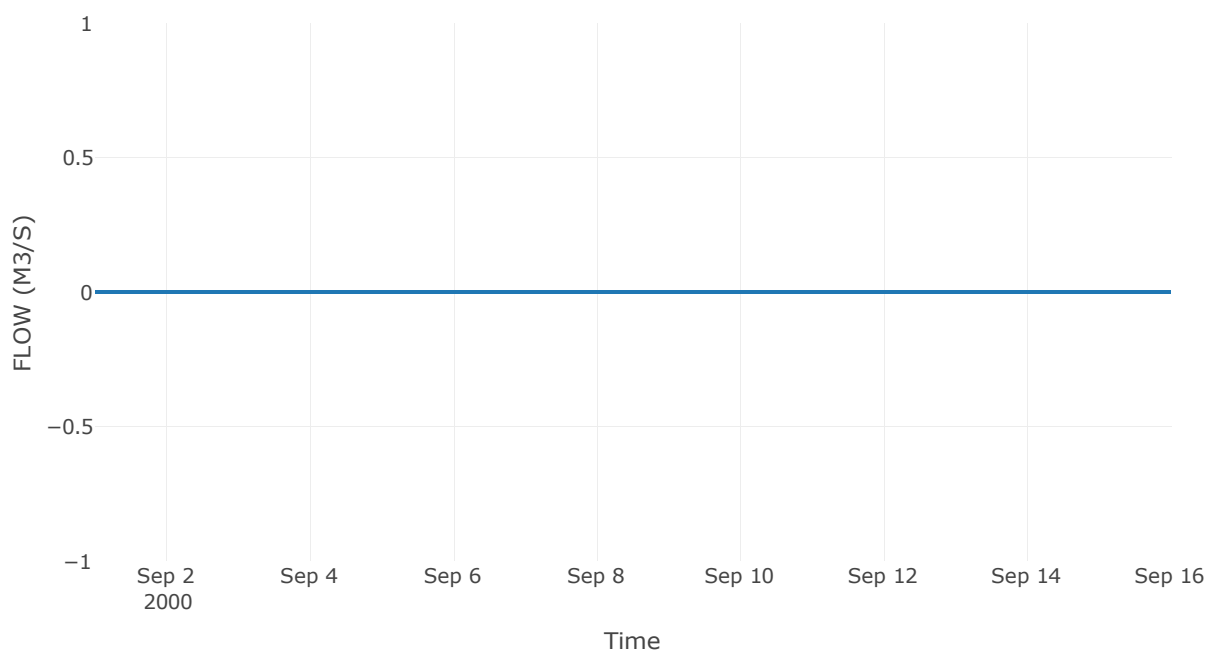
Κατάντη : J5

Μέθοδος Διόδευσης	Χρόνος
Αρχική Μεταβλητή	Combined Inflow
Χρόνος Υστέρησης	87.09

Αποτελέσματα: R95

Παροχή Αιχμής(M3/S)	0
Χρονική στιγμή αιχμής	31Aug2000, 24:00
Εισροή Αιχμής(M3/S)	0
Όγκος Εισροής (M3)	0

Απορροή



Κλάδος: R2011

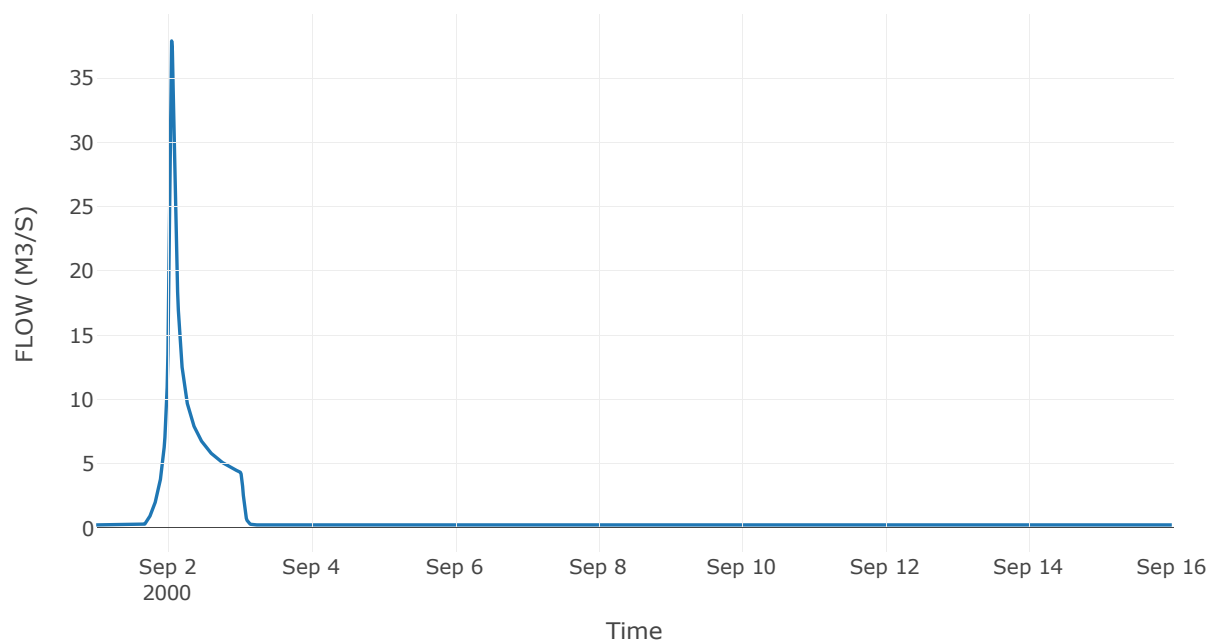
Κατάντη : J11

Μέθοδος Διόδευσης	Χρόνος
Αρχική Μεταβλητή	Combined Inflow
Χρόνος Υστέρησης	13.08

Αποτελέσματα: R2011

Παροχή Αιχμής(M3/S)	37.9
Χρονική στιγμή αιχμής	02Sep2000, 01:15
Όγκος(MM)	115.97
Παροχή Αιχμής Εισόδου (M3/S)	37.96
Όγκος Εισροής(M3)	1.3E6

Απορροή



Κλάδος: R2117

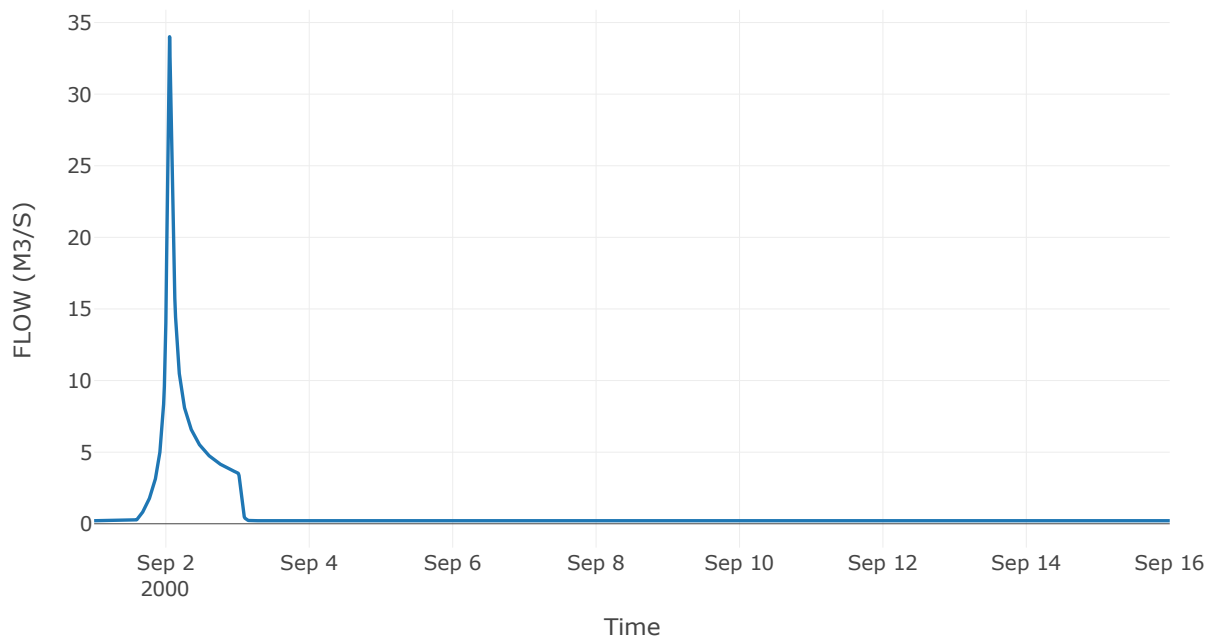
Κατάντη : J17

Μέθοδος Διόδευσης	Χρόνος
Αρχική Μεταβλητή	Combined Inflow
Χρόνος Υστέρησης	12.27

Αποτελέσματα: R2117

Παροχή Αιχμής(M3/S)	34.01
Χρονική στιγμή αιχμής	02Sep2000, 01:15
Όγκος(MM)	128.34
Παροχή Αιχμής Εισόδου (M3/S)	34.45
Όγκος Εισροής(M3)	1.09E6

Απορροή



Κλάδος: R2218

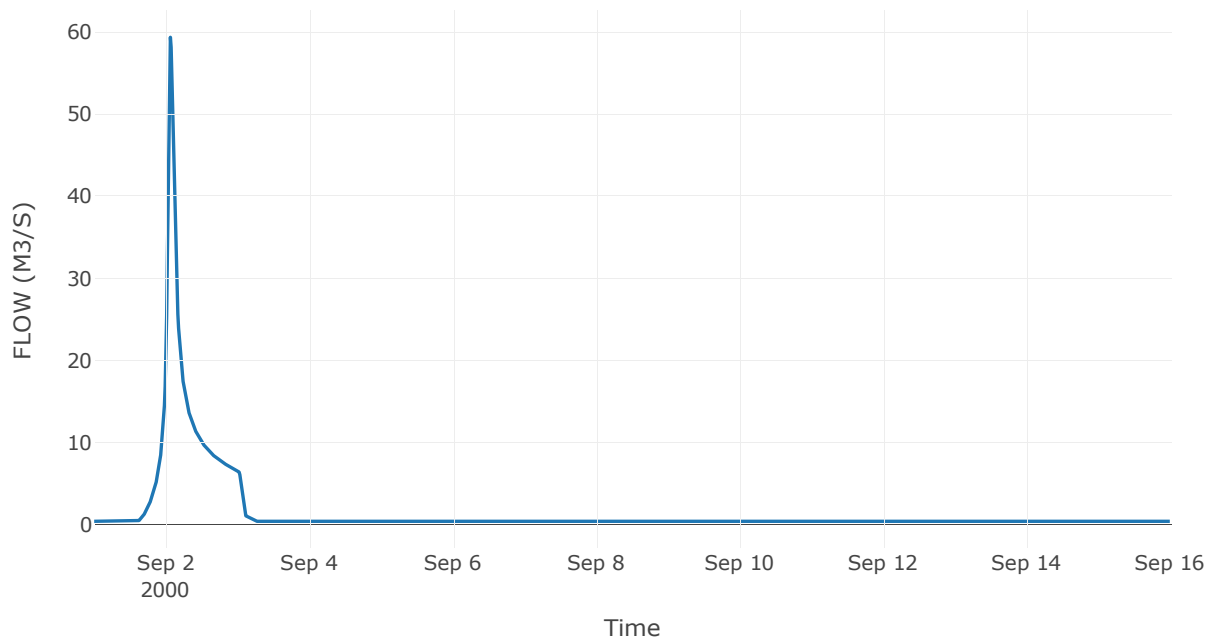
Κατάντη : J18

Μέθοδος Διόδευσης	Muskingum
Αρχική Μεταβλητή	Combined Inflow
Χρόνος Ροής Κ	0.32
Συντελεστής βάρους x	0.2
Πλήθος Υποκλάδων	1

Αποτελέσματα: R2218

Παροχή Αιχμής(M3/S)	59.34
Χρονική στιγμή αιχμής	02Sep2000, 01:30
Όγκος(MM)	124.82
Παροχή Αιχμής Εισόδου (M3/S)	61.18
Όγκος Εισροής(M3)	2.05E6

Απορροή



Κλάδος: R2319

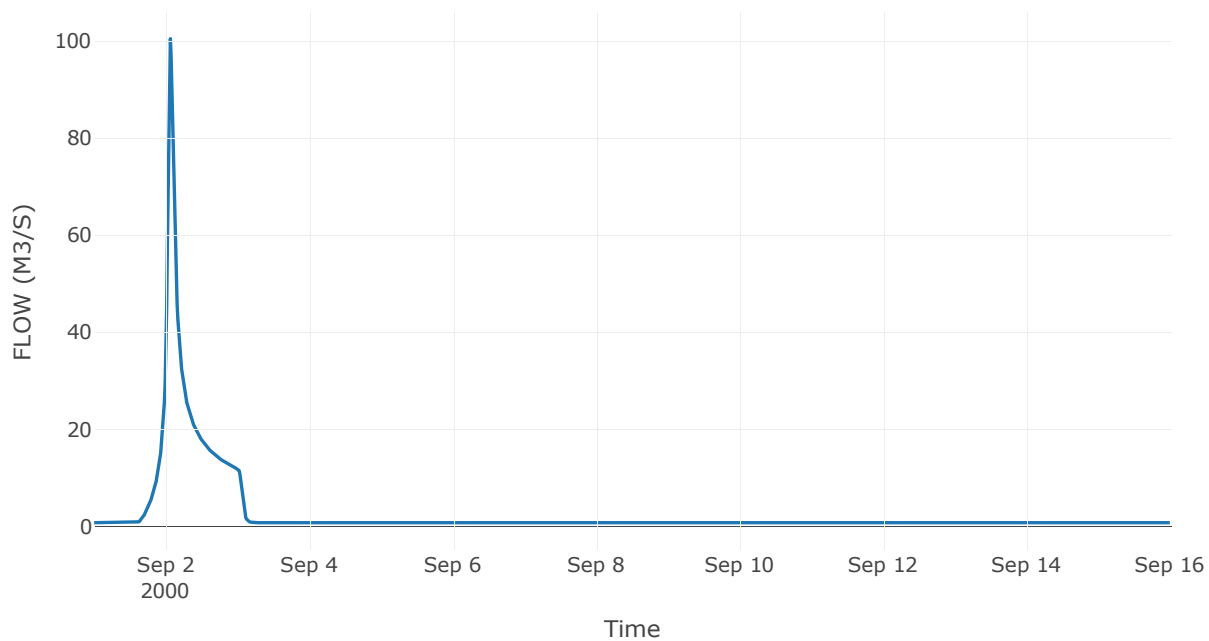
Κατάντη : J19

Μέθοδος Διόδευσης	Χρόνος
Αρχική Μεταβλητή	Combined Inflow
Χρόνος Υστέρησης	14.71

Αποτελέσματα: R2319

Παροχή Αιχμής(M3/S)	100.44
Χρονική στιγμή αιχμής	02Sep2000, 01:30
Όγκος(MM)	123.03
Παροχή Αιχμής Εισόδου (M3/S)	100.68
Όγκος Εισροής(M3)	3.54E6

Απορροή



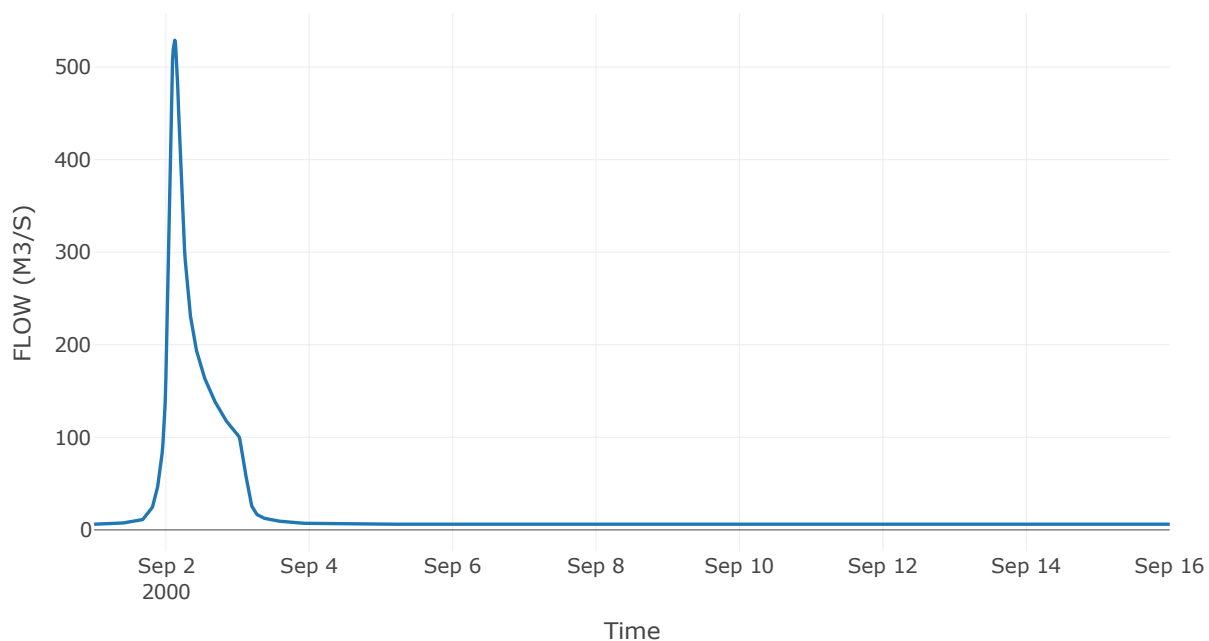
Δεδομένα και υδρογραφήματα σχεδιασμού Κόμβων υδρογραφικού δικτύου

Κόμβος εξόδου: J1

Αποτέλεσμα
τα: J1

Παροχή αιχμής (M3/S)	529.04
Χρονική στιγμή αιχμής	02Sep2000, 03:00
Όγκος (MM)	119.72

Απορροή



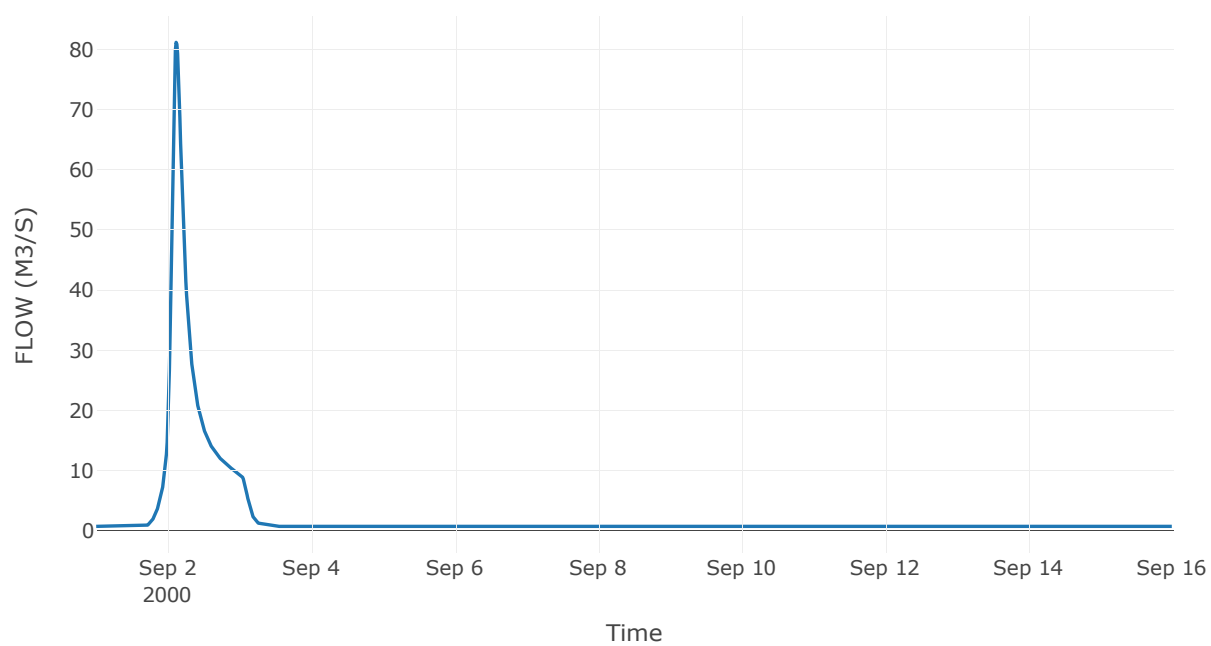
Κόμβος: J2

Κατάντη : R21

Αποτελέσματα: J2

Παροχή Αιχμής(M3/S)	81.19
Χρονική στιγμή αιχμής	02Sep2000, 02:45
Όγκος(MM)	119.57

Απορροή



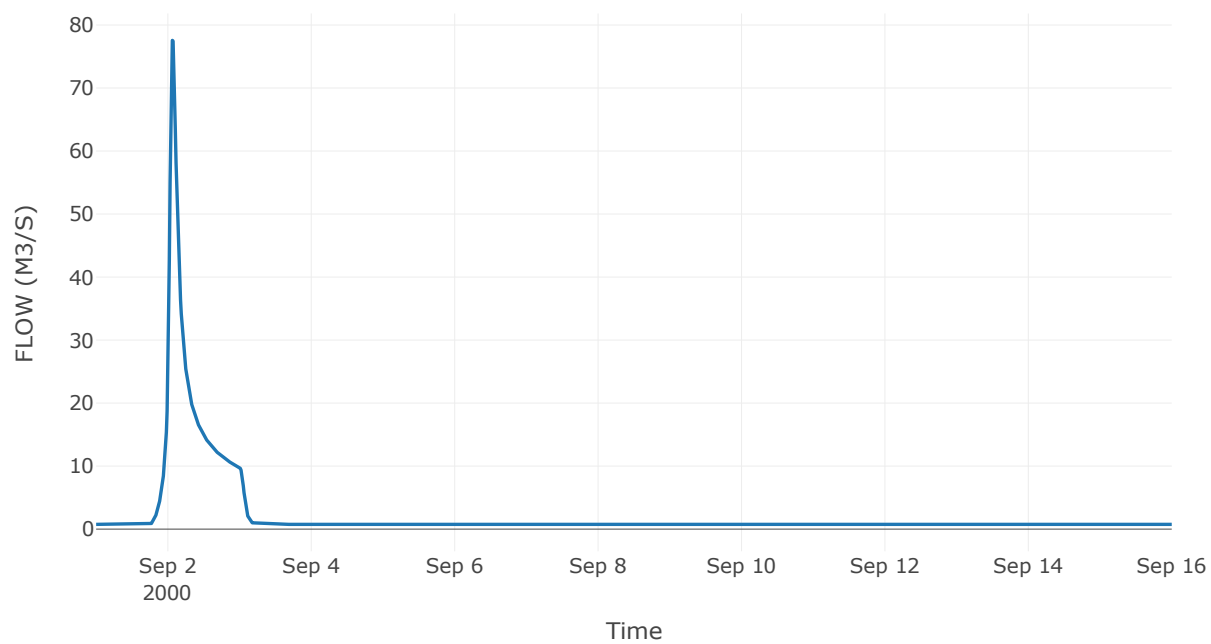
Κόμβος: J3

Κατάντη : R31

Αποτελέσματα: J3

Παροχή Αιχμής(M3/S)	77.56
Χρονική στιγμή αιχμής	02Sep2000, 01:30
Όγκος(MM)	101.07

Απορροή



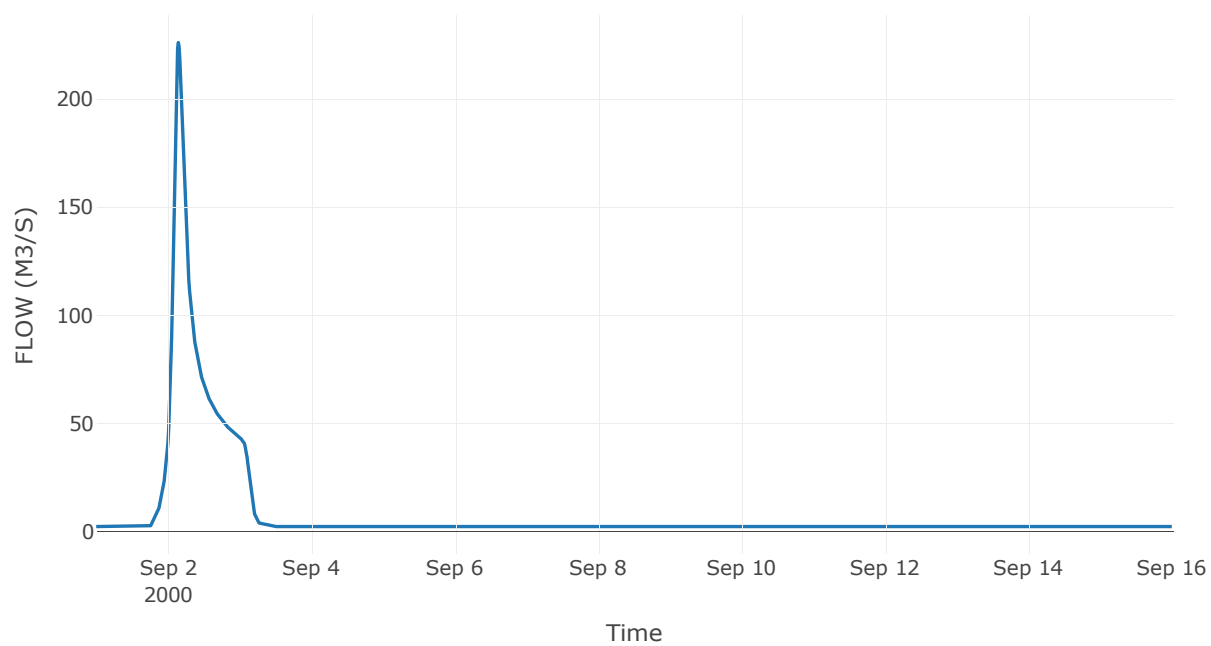
Κόμβος: J4

Κατάντη : R41

Αποτελέσματα: J4

Παροχή Αιχμής(M3/S)	226.23
Χρονική στιγμή αιχμής	02Sep2000, 03:30
Όγκος(MM)	115.69

Απορροή



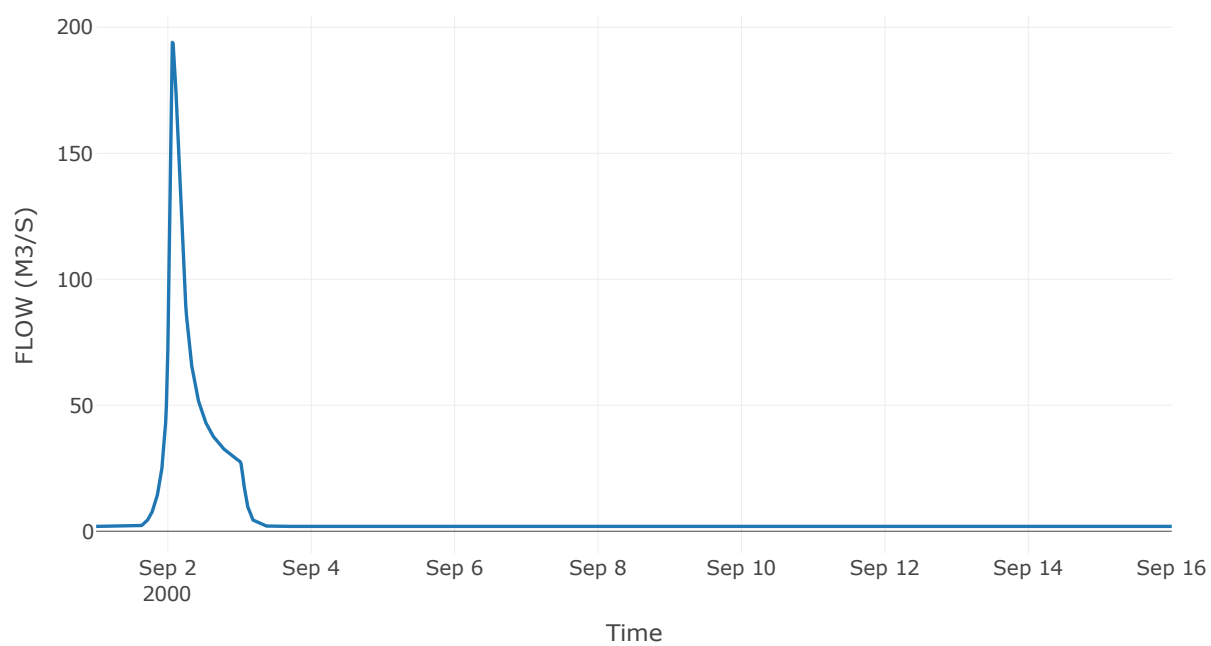
Κόμβος: J5

Κατάντη : R51

Αποτελέσματα: J5

Παροχή Αιχμής(M3/S)	194
Χρονική στιγμή αιχμής	02Sep2000, 01:30
Όγκος(MM)	116.36

Απορροή

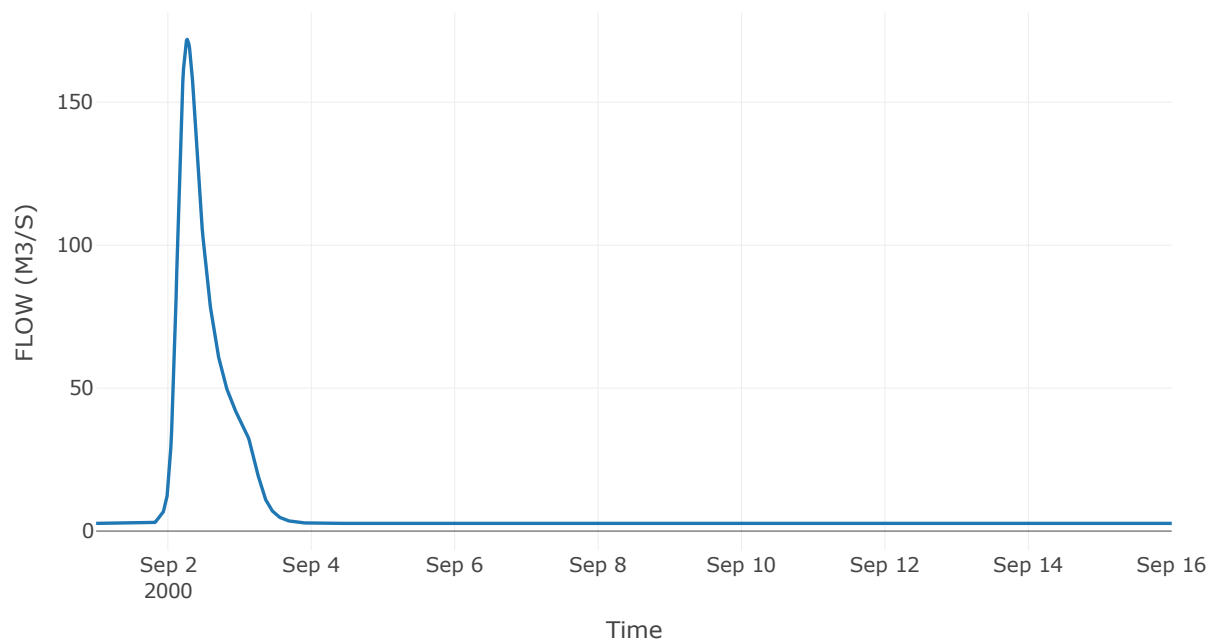


Κόμβος εξόδου: J6

Αποτέλεσμα
τα: J6

Παροχή αιχμής (M3/S)	171.98
Χρονική στιγμή αιχμής	02Sep2000, 06:30
Όγκος (MM)	110.06

Απορροή



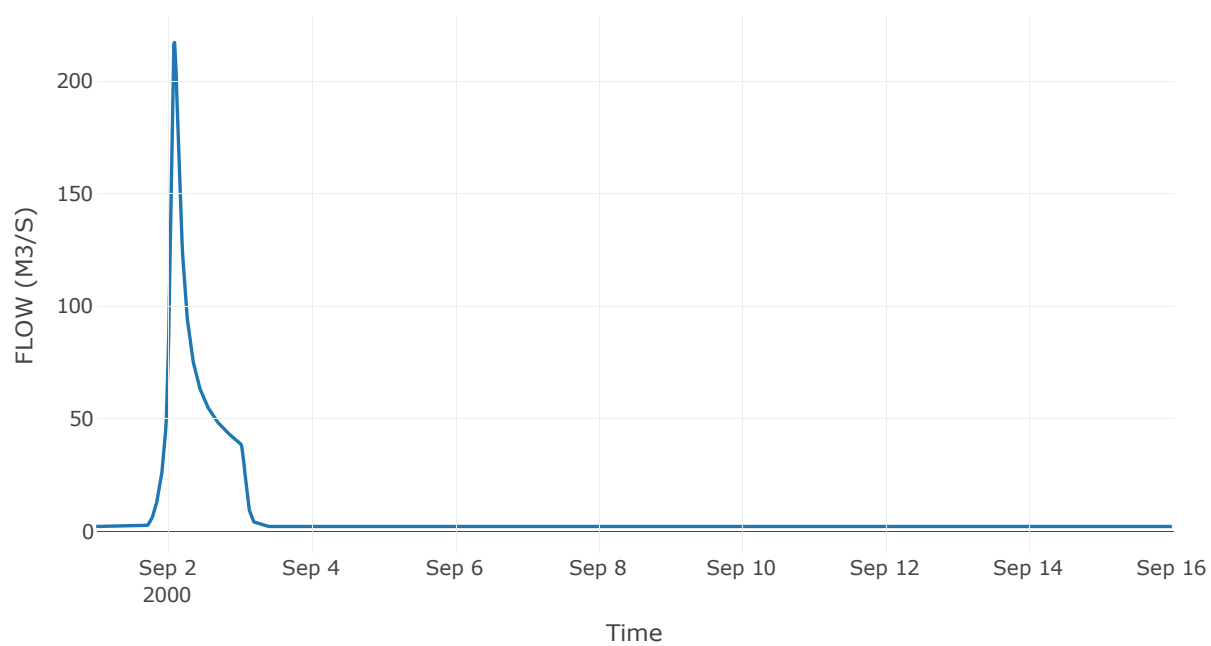
Κόμβος: J7

Κατάντη : R74

Αποτελέσματα: J7

Παροχή Αιχμής(M3/S)	217.08
Χρονική στιγμή αιχμής	02Sep2000, 02:15
Όγκος(MM)	116.04

Απορροή



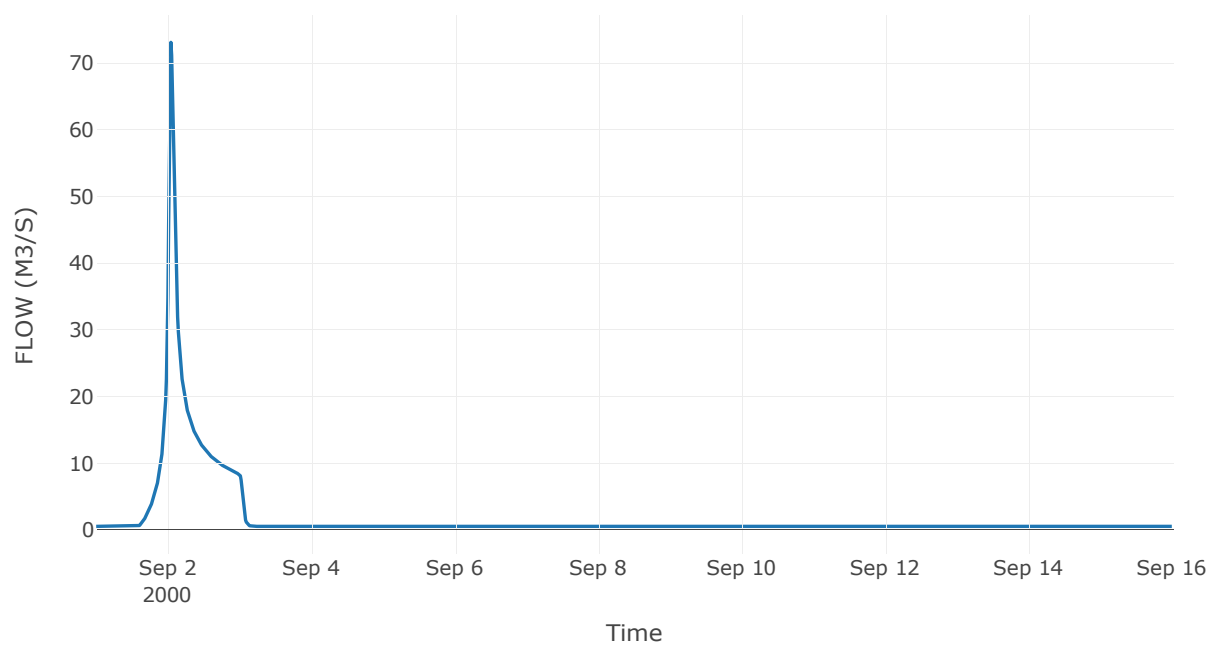
Κόμβος: J8

Κατάντη : R85

Αποτελέσματα: J8

Παροχή Αιχμής(M3/S)	73.07
Χρονική στιγμή αιχμής	02Sep2000, 01:00
Όγκος(MM)	121.95

Απορροή



Κόμβος: J9

Κατάντη : R95

Αποτελέσματα: J9

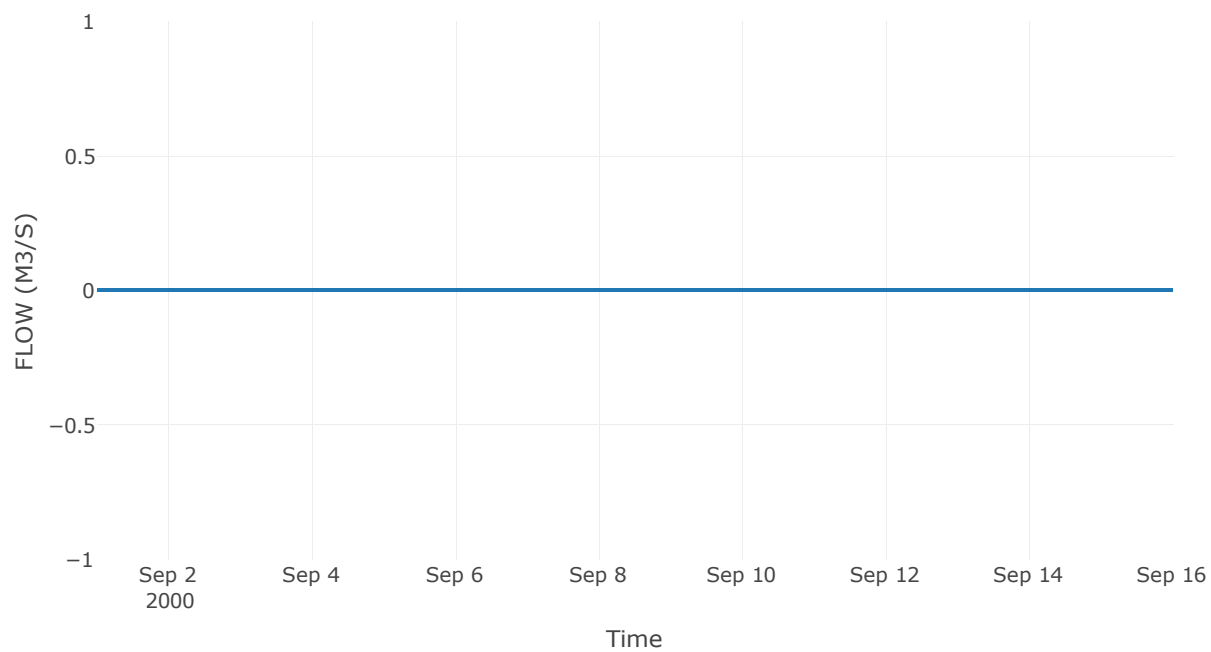
Παροχή Αιχμής(M3/S)

0

Χρονική στιγμή αιχμής

31Aug2000, 24:00

Απορροή

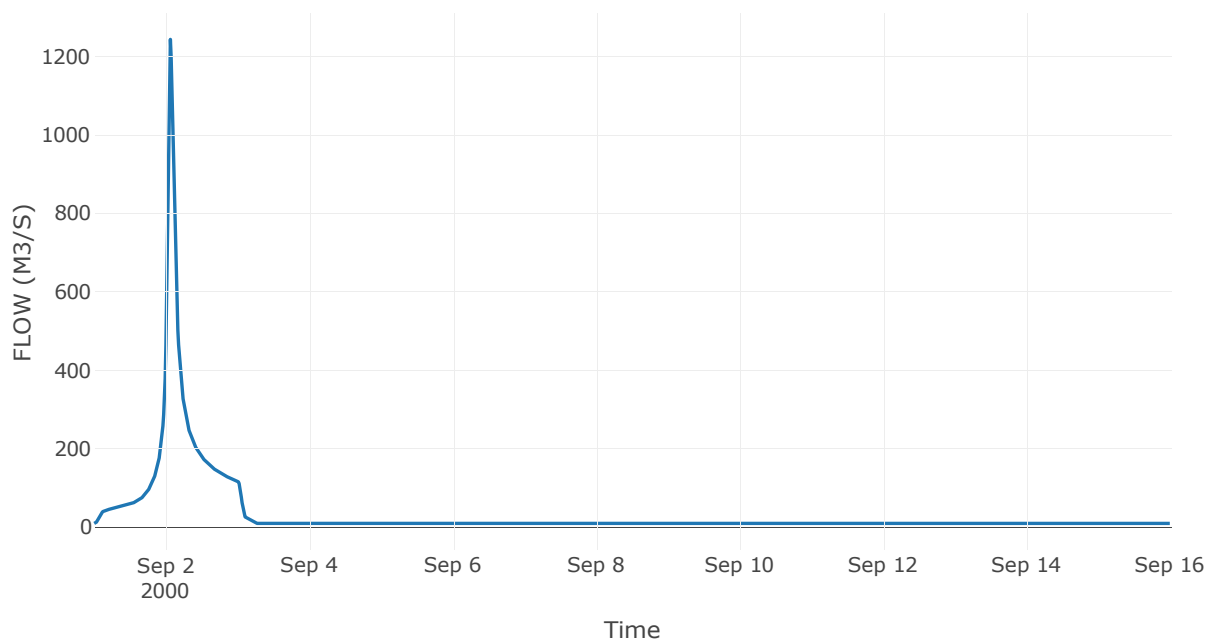


Κόμβος εξόδου: J10

Αποτελέσματ
α: J10

Παροχή αιχμής (M3/S)	1243.79
Χρονική στιγμή αιχμής	02Sep2000, 01:30
Όγκος (MM)	119.98

Απορροή



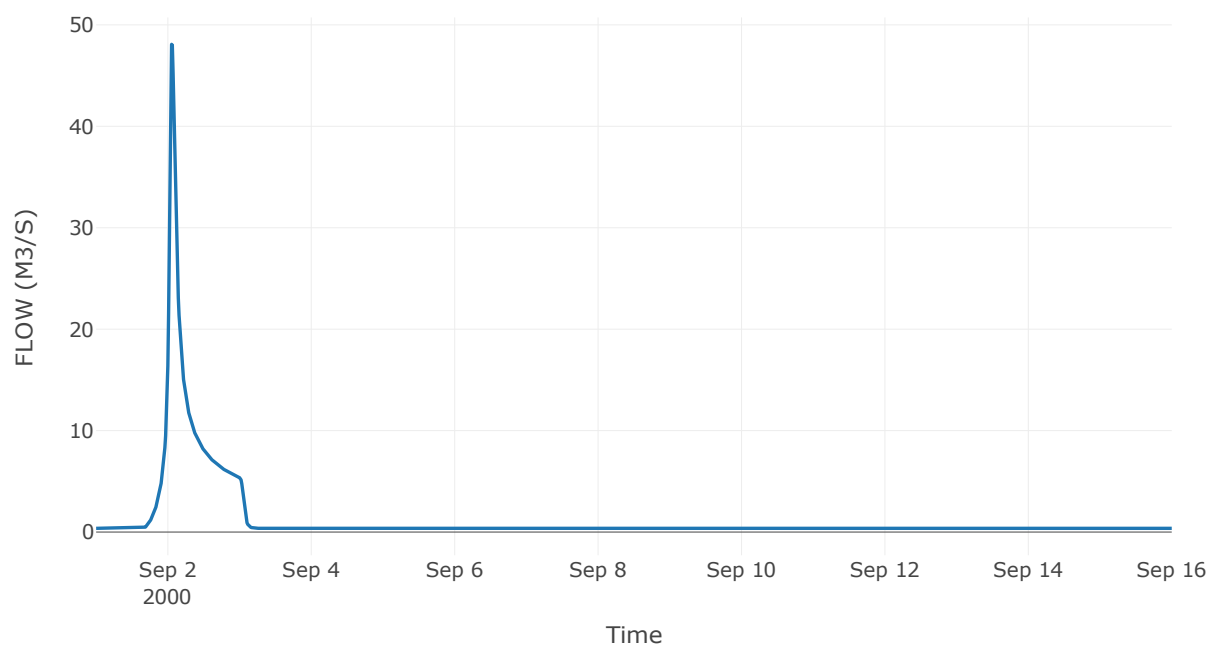
Κόμβος: J11

Κατάντη : R1110

Αποτελέσματα: J11

Παροχή Αιχμής(M3/S)	48.08
Χρονική στιγμή αιχμής	02Sep2000, 01:15
Όγκος(MM)	113.81

Απορροή



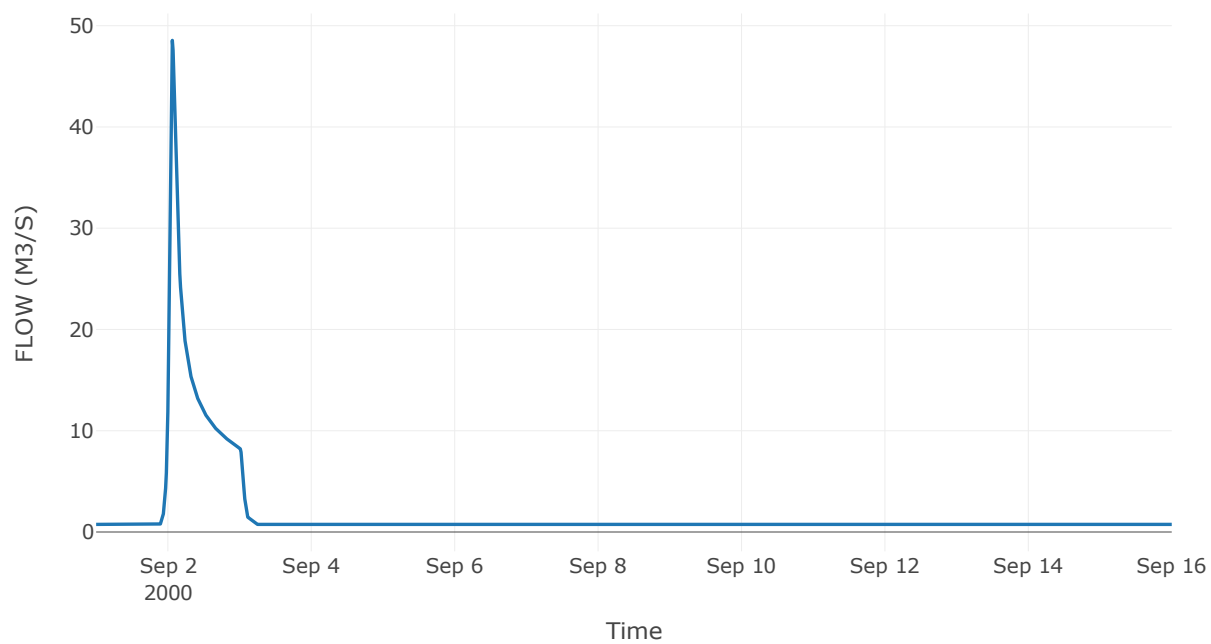
Κόμβος: J12

Κατάντη : R1210

Αποτελέσματα: J12

Παροχή Αιχμής(M3/S)	48.55
Χρονική στιγμή αιχμής	02Sep2000, 01:30
Όγκος(MM)	78.88

Απορροή



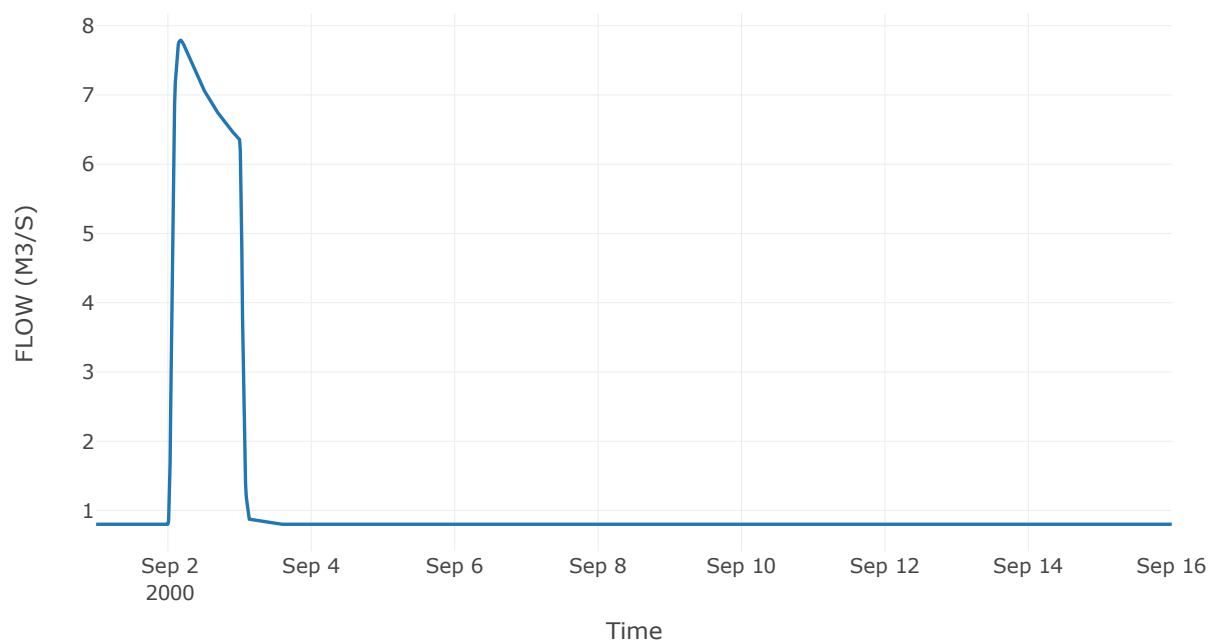
Κόμβος: J13

Κατάντη : R1310

Αποτελέσματα: J13

Παροχή Αιχμής(M3/S)	7.79
Χρονική στιγμή αιχμής	02Sep2000, 04:15
Όγκος(MM)	49.04

Απορροή



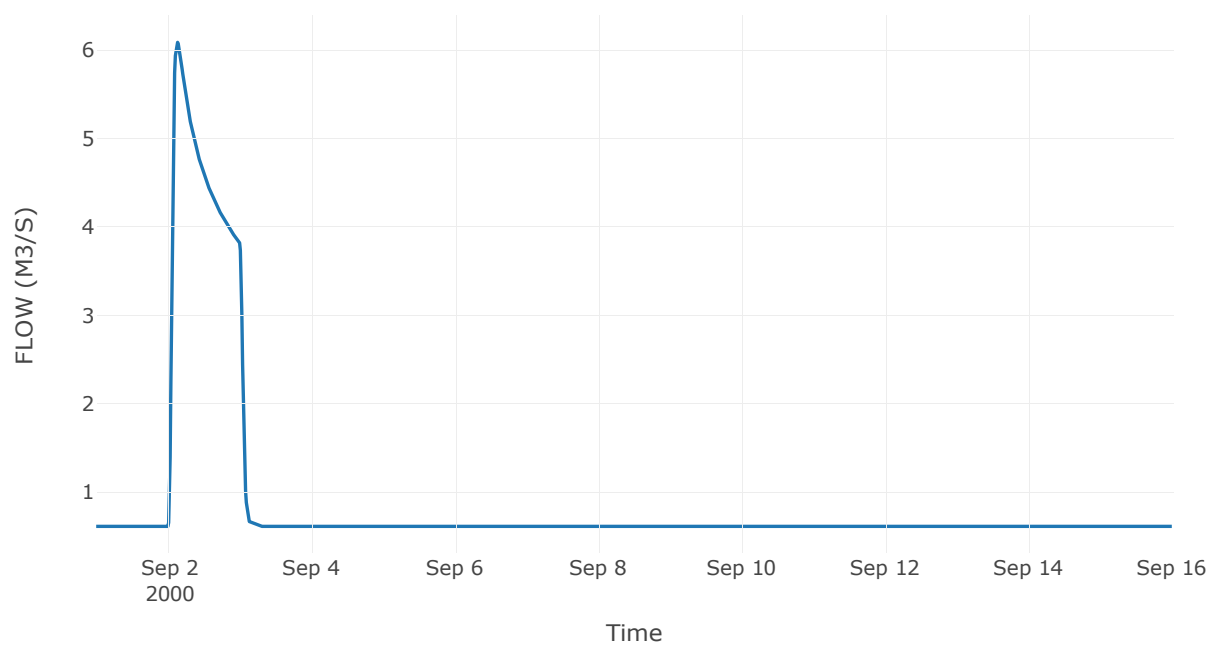
Κόμβος: J14

Κατάντη : R1410

Αποτελέσματα: J14

Παροχή Αιχμής(M3/S)	6.08
Χρονική στιγμή αιχμής	02Sep2000, 03:15
Όγκος(MM)	46.73

Απορροή



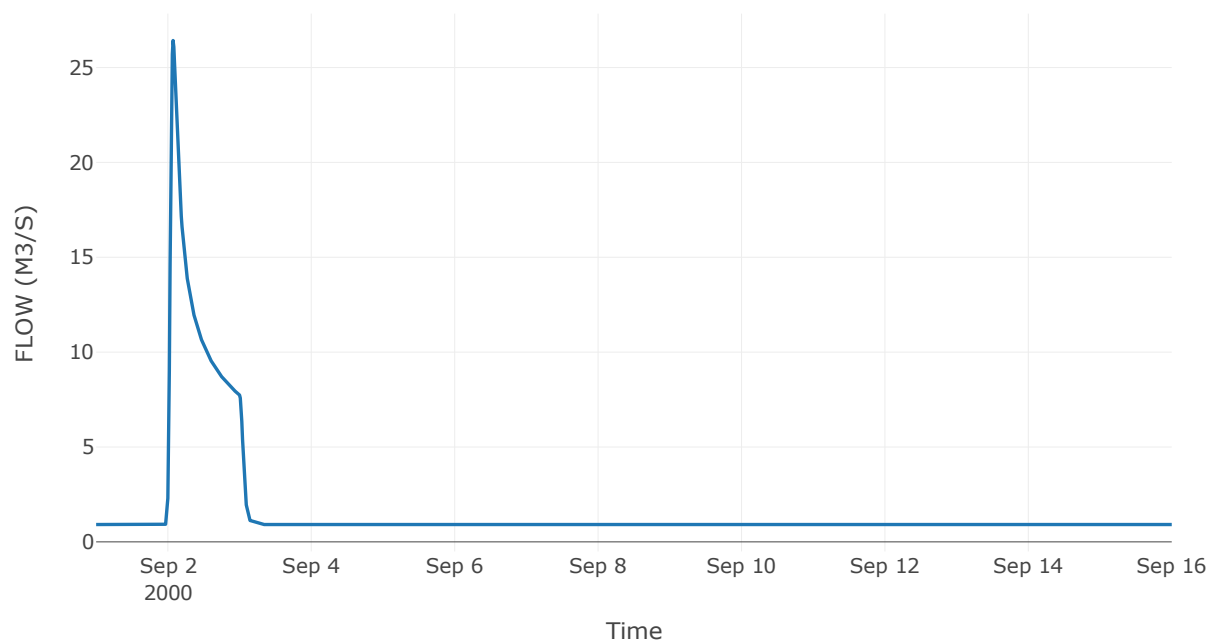
Κόμβος: J15

Κατάντη : R1510

Αποτελέσματα: J15

Παροχή Αιχμής(M3/S)	26.42
Χρονική στιγμή αιχμής	02Sep2000, 01:45
Όγκος(MM)	59.71

Απορροή



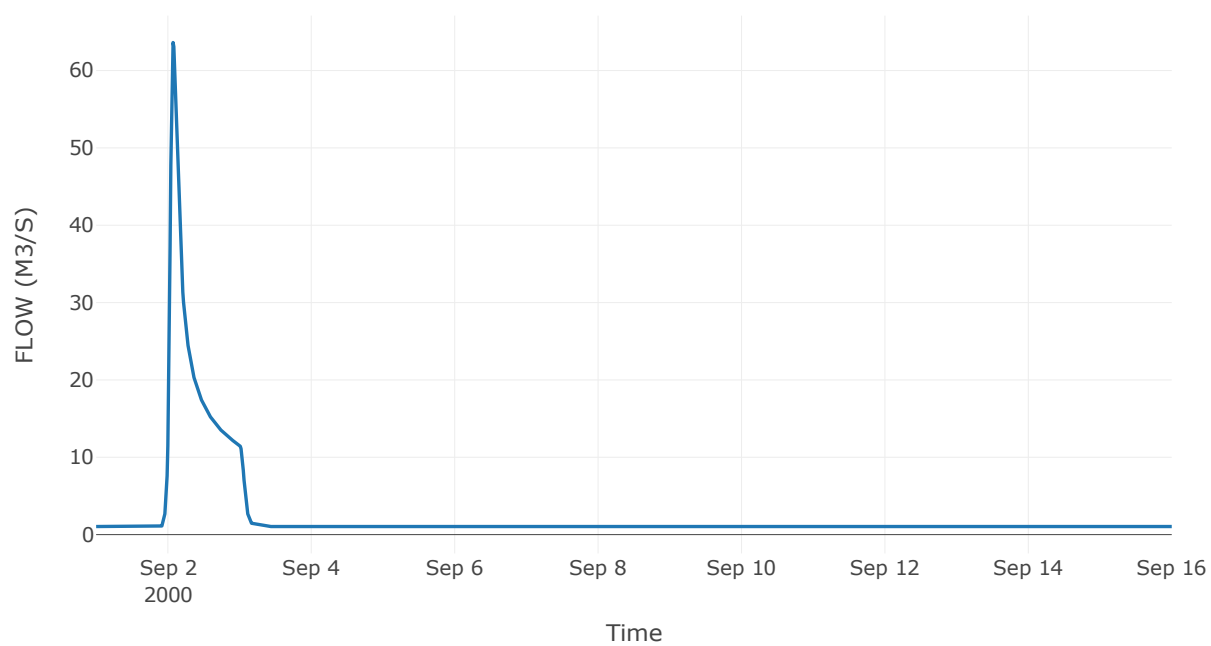
Κόμβος: J16

Κατάντη : R1610

Αποτελέσματα: J16

Παροχή Αιχμής(M3/S)	63.62
Χρονική στιγμή αιχμής	02Sep2000, 01:45
Όγκος(MM)	78.66

Απορροή



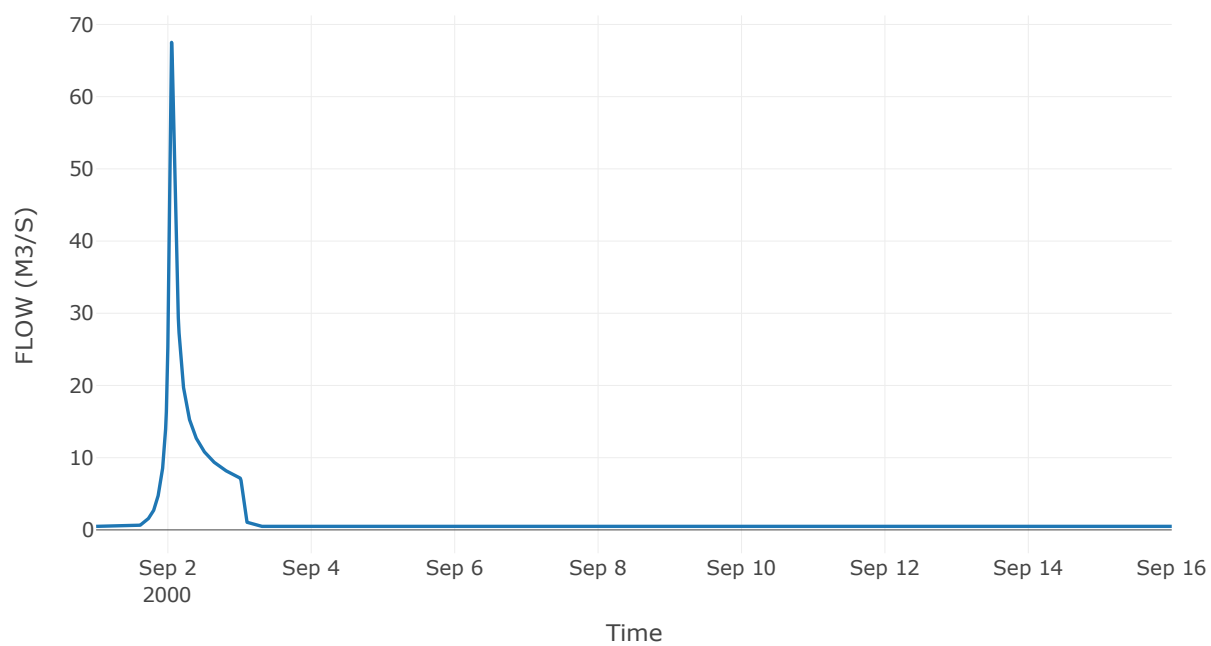
Κόμβος: J17

Κατάντη : R1710

Αποτελέσματα: J17

Παροχή Αιχμής(M3/S)	67.52
Χρονική στιγμή αιχμής	02Sep2000, 01:15
Όγκος(MM)	115.07

Απορροή



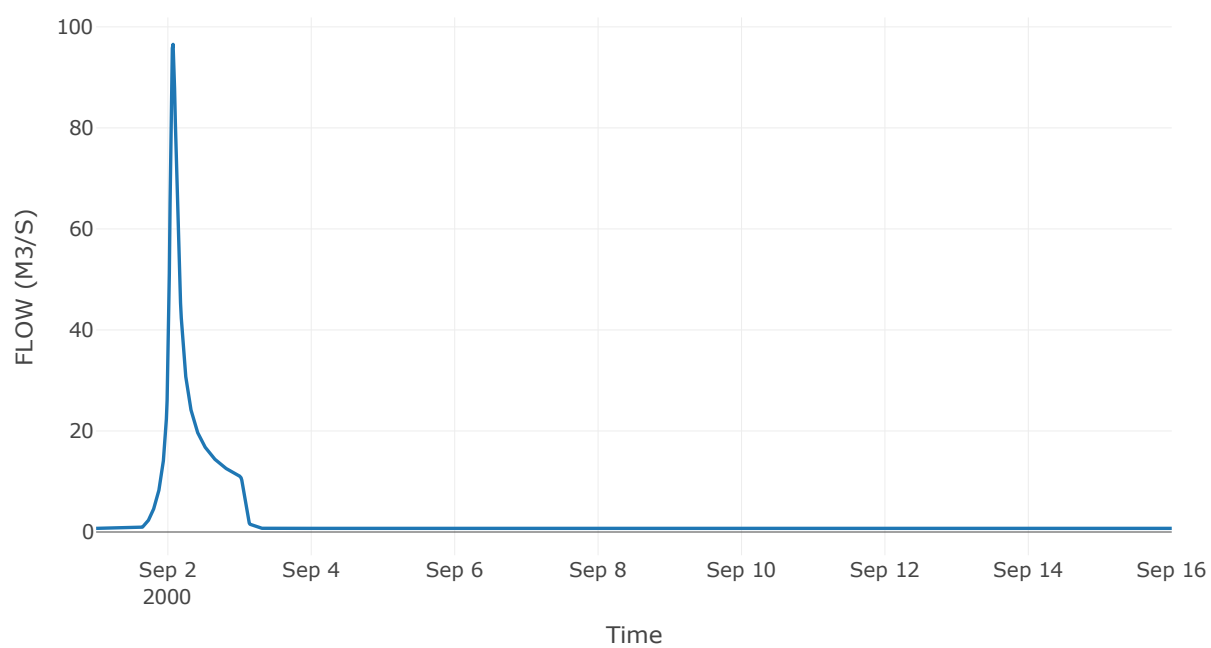
Κόμβος: J18

Κατάντη : R1810

Αποτελέσματα: J18

Παροχή Αιχμής(M3/S)	96.54
Χρονική στιγμή αιχμής	02Sep2000, 01:45
Όγκος(MM)	122.24

Απορροή



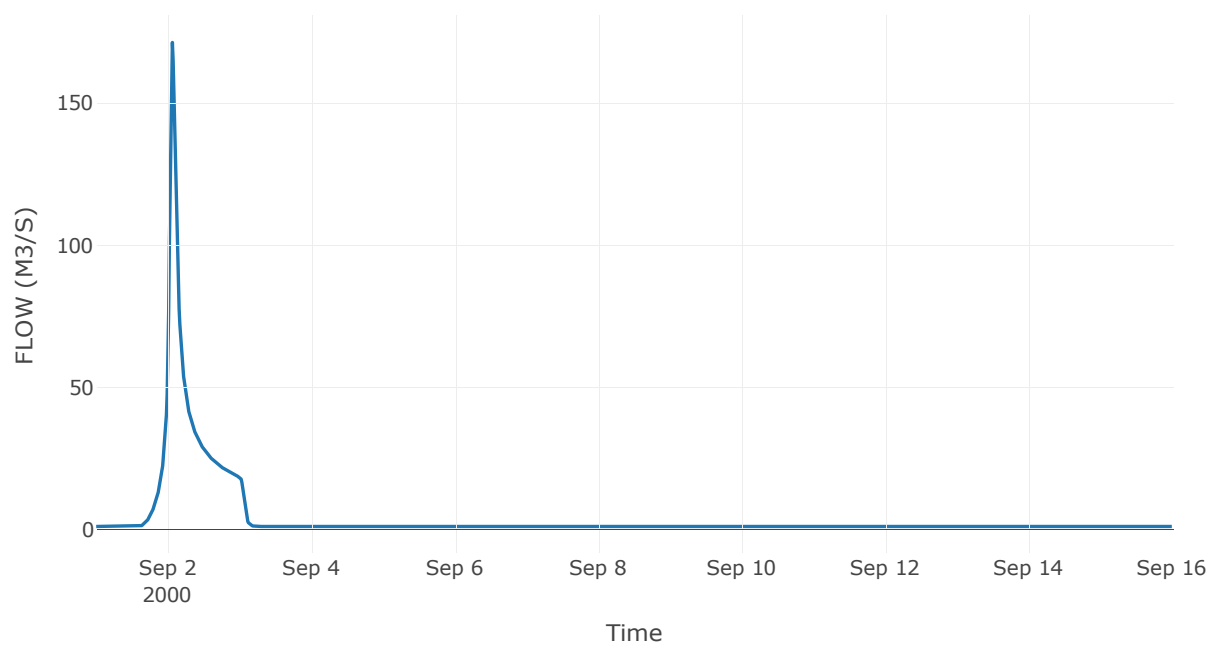
Κόμβος: J19

Κατάντη : R1910

Αποτελέσματα: J19

Παροχή Αιχμής(M3/S)	171.38
Χρονική στιγμή αιχμής	02Sep2000, 01:30
Όγκος(MM)	119.11

Απορροή



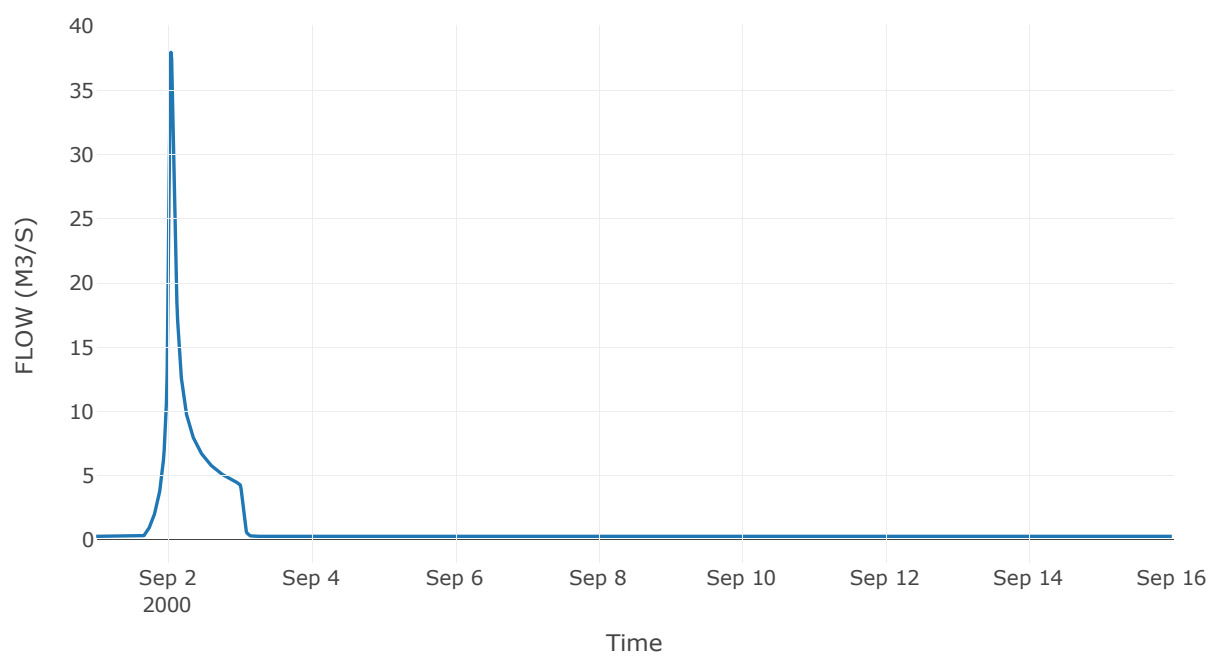
Κόμβος: J20

Κατάντη : R2011

Αποτελέσματα: J20

Παροχή Αιχμής(M3/S)	37.96
Χρονική στιγμή αιχμής	02Sep2000, 01:00
Όγκος(MM)	115.97

Απορροή



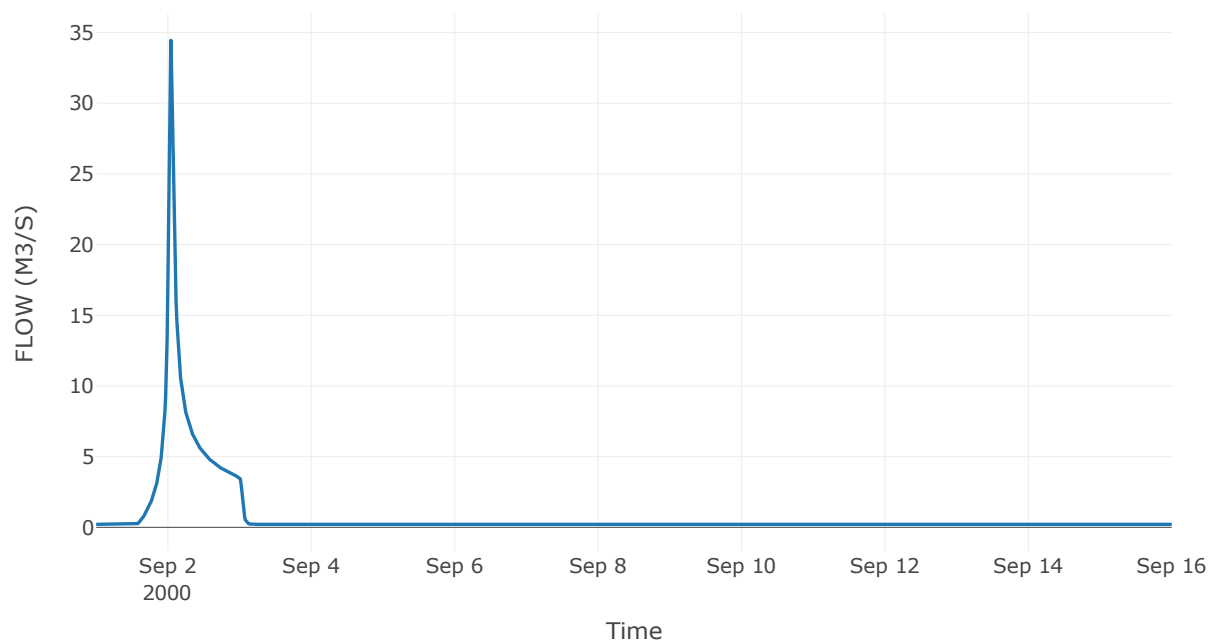
Κόμβος: J21

Κατάντη : R2117

Αποτελέσματα: J21

Παροχή Αιχμής(M3/S)	34.45
Χρονική στιγμή αιχμής	02Sep2000, 01:00
Όγκος(MM)	128.34

Απορροή



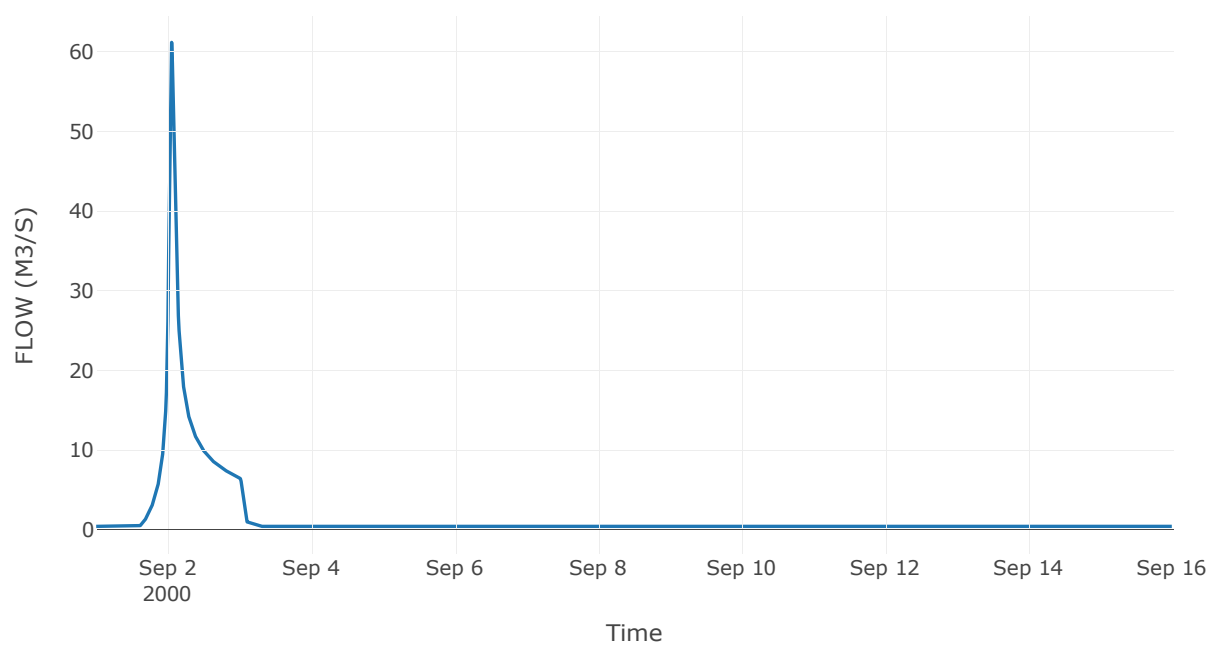
Κόμβος: J22

Κατάντη : R2218

Αποτελέσματα: J22

Παροχή Αιχμής(M3/S)	61.18
Χρονική στιγμή αιχμής	02Sep2000, 01:15
Όγκος(MM)	124.82

Απορροή



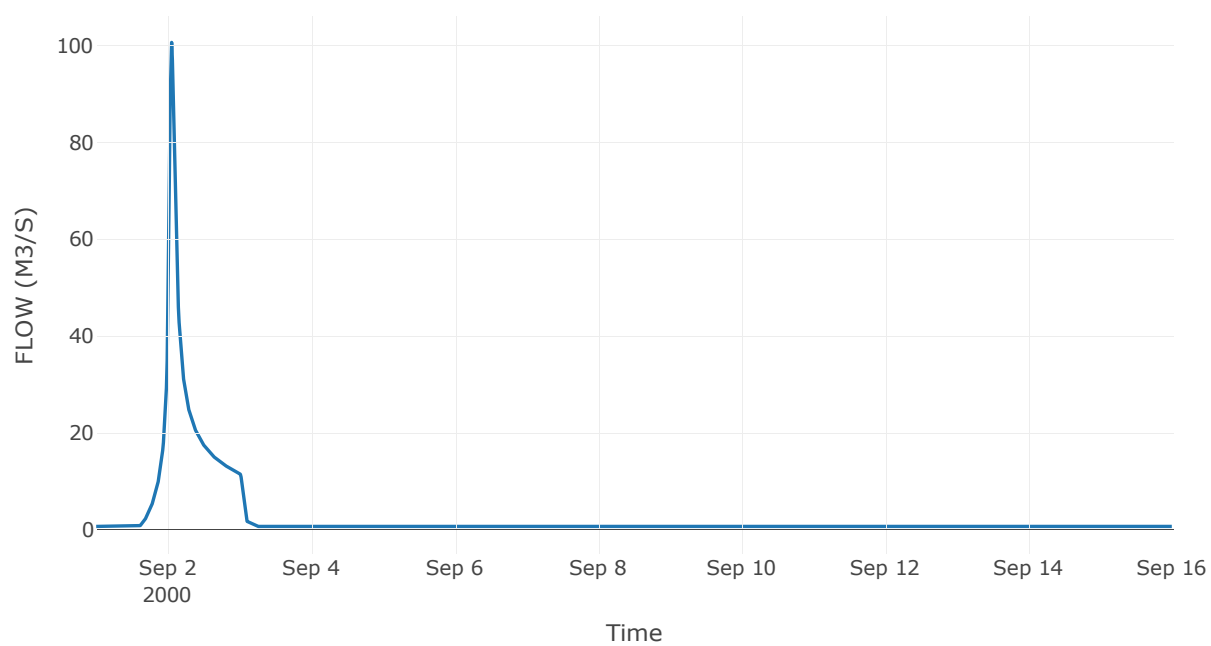
Κόμβος: J23

Κατάντη : R2319

Αποτελέσματα: J23

Παροχή Αιχμής(M3/S)	100.68
Χρονική στιγμή αιχμής	02Sep2000, 01:15
Όγκος(MM)	123.03

Απορροή



4. Δεδομένα εισόδου και αποτελέσματα υδρολογικού σεναρίου T=50U

4.1 Αποτελέσματα, υετογραφήματα και υδρογραφήματα σχεδιασμού υπολεκανών

Υπολεκάνη: EL0415FL5001

Έκταση (KM2) : 13.05

Κατάνη : J1

Μέθοδος Απωλειών: SCS

Ποσοστό αδιαπέρατης επιφάνειας	100
Αριθμός Καμπύλης Απορροής-CN	99
Αρχικές Απώλειες	0.09

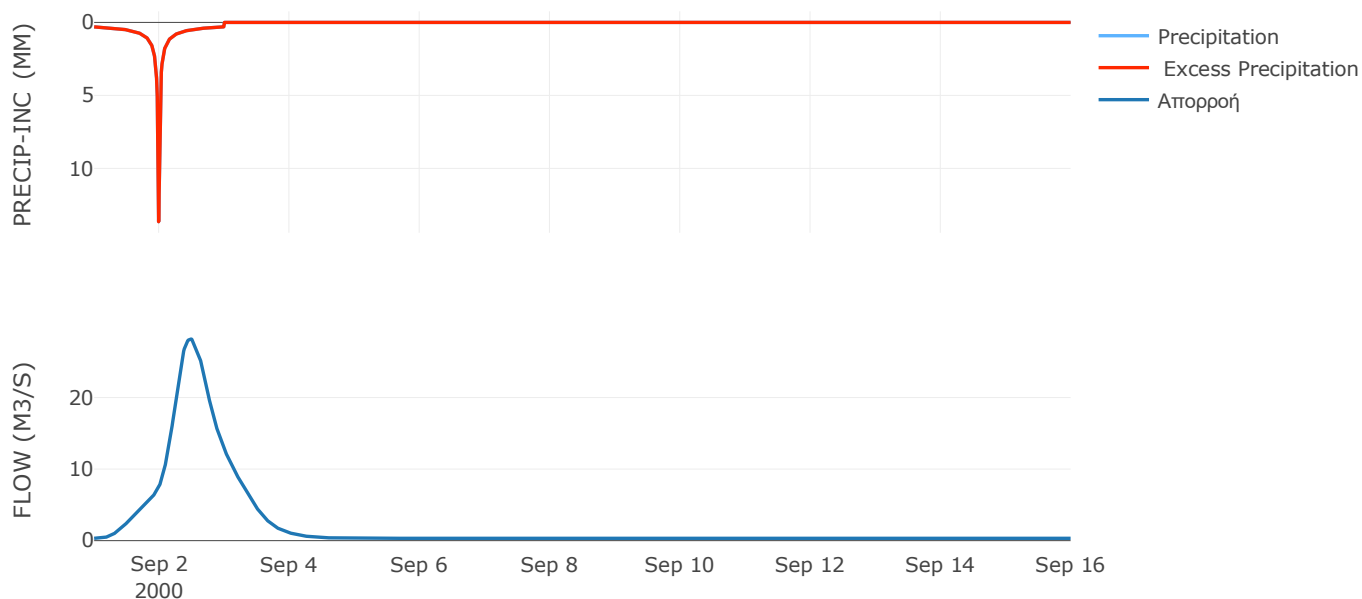
Μέθοδος
Μετασχηματισμού: SCS

Χρόνος Υστέρησης	673.19
------------------	--------

Αποτελέσματα:
EL0415FL5001

Παροχή αιχμής (M3/S)	28.18
Χρονική στιγμή αιχμής	02Sep2000, 11:30
Όγκος (MM)	213.11
Όγκος βροχόπτωσης (M3)	2.36E6
Όγκος απωλειών (M3)	0
Ενεργός Όγκος (M3)	2.36E6
Όγκος άμεσης απορροής (M3)	2.36E6
Όγκος βασικής απορροής (M3)	4.23E5

Βροχόπτωση και Απορροή



Υπολεκάνη: EL0415FL5002

Έκταση (KM2) : 107.53

Κατάντη : J6

Μέθοδος Απωλειών: SCS

Ποσοστό αδιαπέρατης επιφάνειας	0
Αριθμός Καμπύλης Απορροής-CN	90.67
Αρχικές Απώλειες	5.23

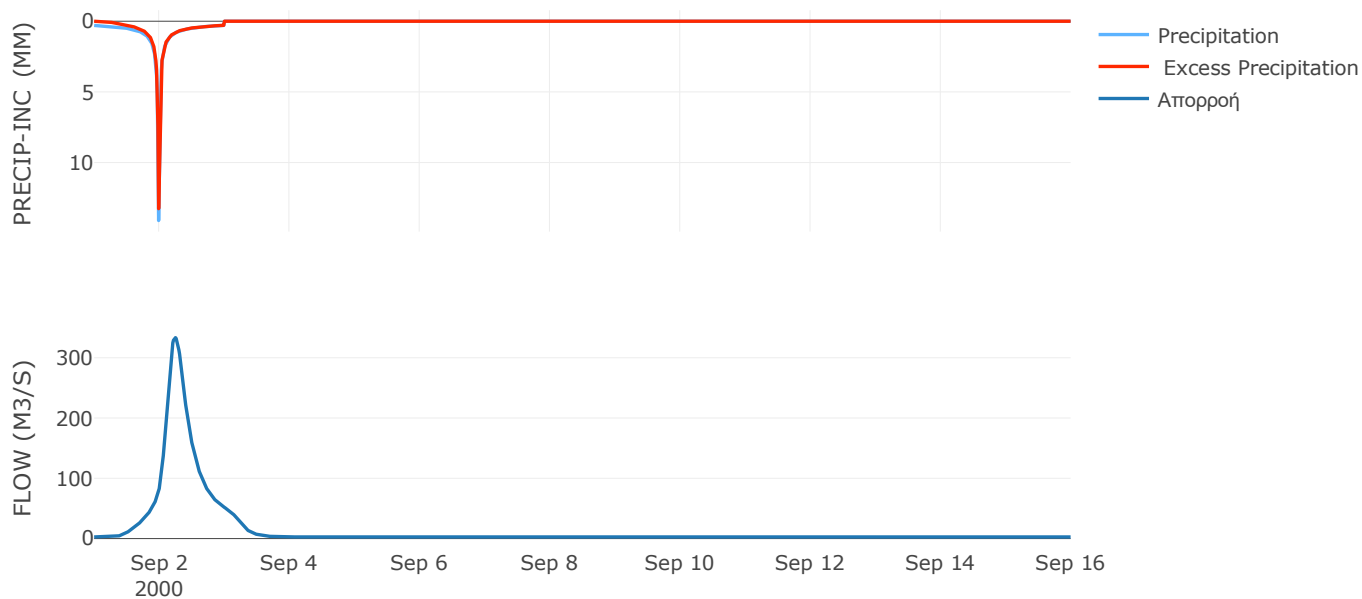
Μέθοδος
Μετασχηματισμού: SCS

Χρόνος Υστέρησης	336.61
------------------	--------

Αποτελέσματα:
EL0415FL5002

Παροχή αιχμής (M3/S)	333.29
Χρονική στιγμή αιχμής	02Sep2000, 06:00
Όγκος (MM)	184.26
Όγκος βροχόπτωσης (M3)	1.93E7
Όγκος απωλειών (M3)	3.01E6
Ενεργός Όγκος (M3)	1.63E7
Όγκος άμεσης απορροής (M3)	1.63E7
Όγκος βασικής απορροής (M3)	3.48E6

Βροχόπτωση και Απορροή



Υπολεκάνη: EL0415FL5003

Έκταση (KM2) : 28.37

Κατάντη : J2

Μέθοδος Απωλειών: SCS

Ποσοστό αδιαπέρατης επιφάνειας	0
Αριθμός Καμπύλης Απορροής-CN	91.55
Αρχικές Απώλειες	4.69

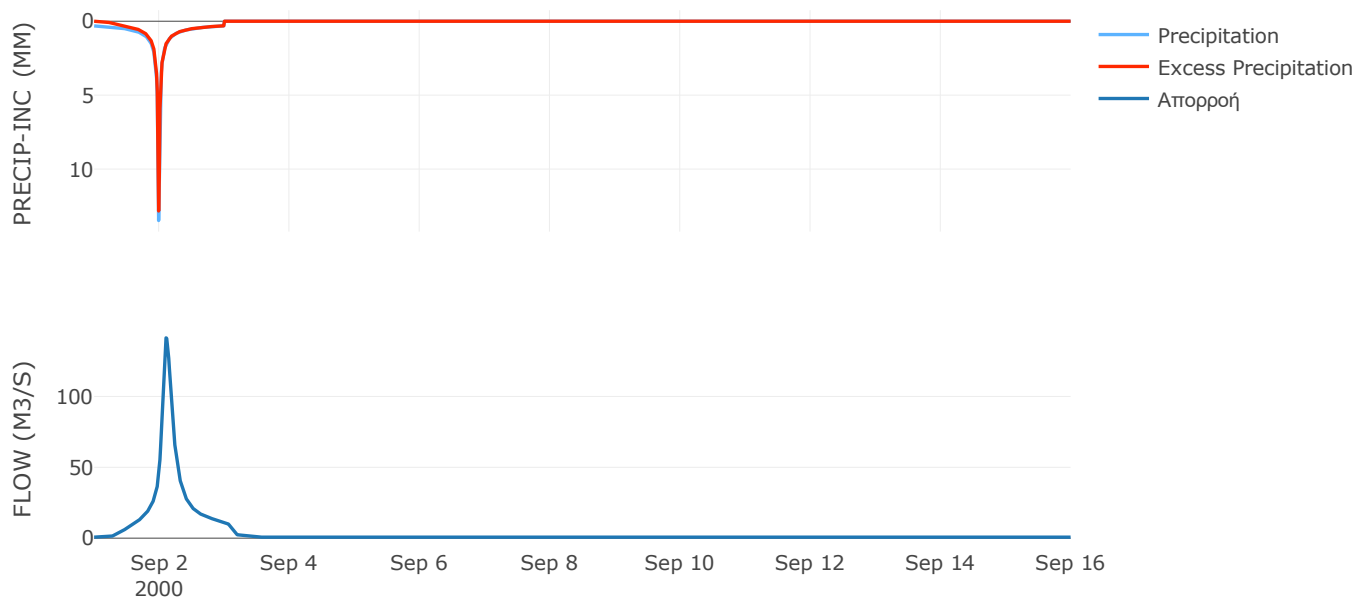
Μέθοδος
Μετασχηματισμού: SCS

Χρόνος Υστέρησης	150.8
------------------	-------

Αποτελέσματα:
EL0415FL5003

Παροχή αιχμής (M3/S)	141.36
Χρονική στιγμή αιχμής	02Sep2000, 02:30
Όγκος (MM)	190.64
Όγκος βροχόπτωσης (M3)	5.21E6
Όγκος απωλειών (M3)	7.21E5
Ενεργός Όγκος (M3)	4.49E6
Όγκος άμεσης απορροής (M3)	4.49E6
Όγκος βασικής απορροής (M3)	9.19E5

Βροχόπτωση και Απορροή



Υπολεκάνη: EL0415FL5004

Έκταση (KM2) : 30.04

Κατάντη : J3

Μέθοδος Απωλειών: SCS

Ποσοστό αδιαπέρατης επιφάνειας	0
Αριθμός Καμπύλης Απορροής-CN	88.33
Αρχικές Απώλειες	6.71

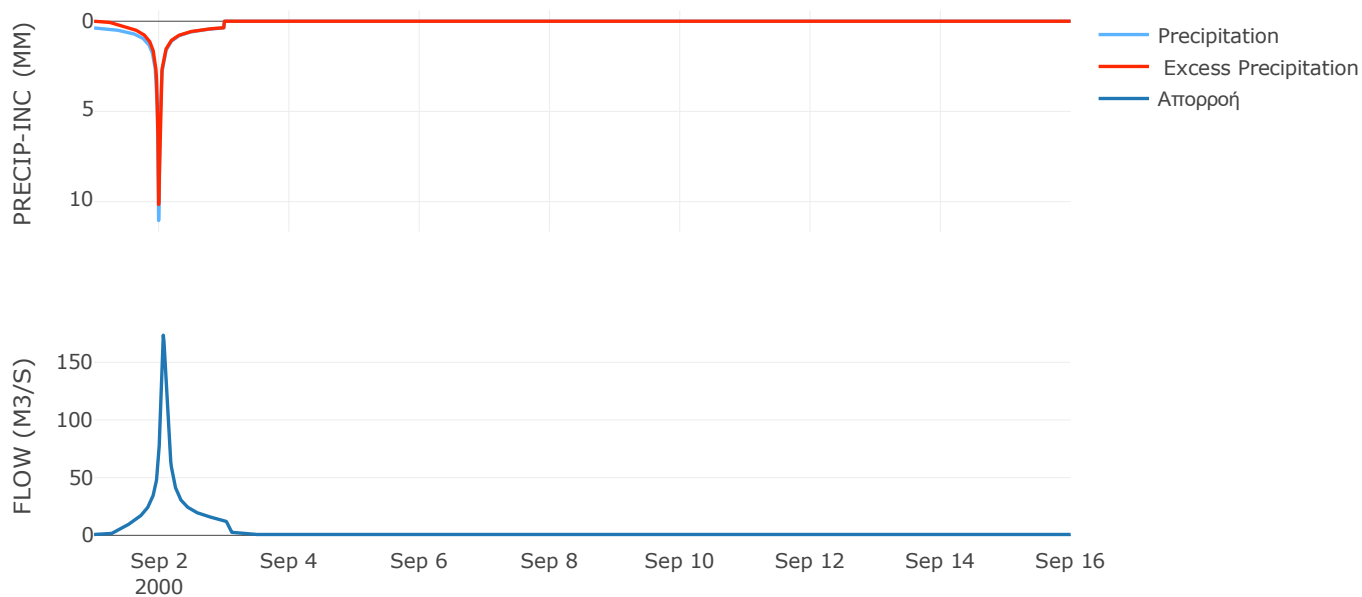
Μέθοδος
Μετασχηματισμού: SCS

Χρόνος Υστέρησης	83.08
------------------	-------

Αποτελέσματα:
EL0415FL5004

Παροχή αιχμής (M3/S)	173.45
Χρονική στιγμή αιχμής	02Sep2000, 01:30
Όγκος (MM)	185.92
Όγκος βροχόπτωσης (M3)	5.66E6
Όγκος απωλειών (M3)	1.05E6
Ενεργός Όγκος (M3)	4.61E6
Όγκος άμεσης απορροής (M3)	4.61E6
Όγκος βασικής απορροής (M3)	9.73E5

Βροχόπτωση και Απορροή



Υπολεκάνη: EL0415FL5005

Έκταση (KM2) : 15.38

Κατάντη : J5

Μέθοδος Απωλειών: SCS

Ποσοστό αδιαπέρατης επιφάνειας	0
Αριθμός Καμπύλης Απορροής-CN	90.44
Αρχικές Απώλειες	5.37

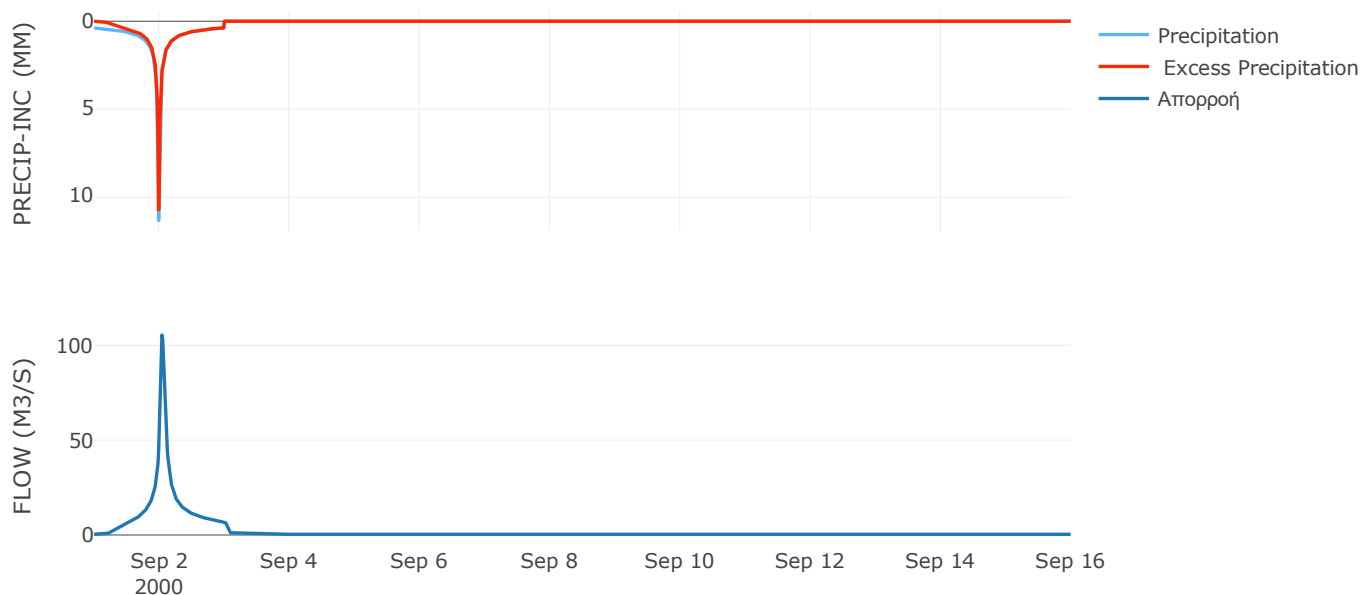
Μέθοδος
Μετασχηματισμού: SCS

Χρόνος Υστέρησης	62.51
------------------	-------

Αποτελέσματα:
EL0415FL5005

Παροχή αιχμής (M3/S)	105.47
Χρονική στιγμή αιχμής	02Sep2000, 01:00
Όγκος (MM)	197.55
Όγκος βροχόπτωσης (M3)	2.98E6
Όγκος απωλειών (M3)	4.44E5
Ενεργός Όγκος (M3)	2.54E6
Όγκος άμεσης απορροής (M3)	2.54E6
Όγκος βασικής απορροής (M3)	4.98E5

Βροχόπτωση και Απορροή



Υπολεκάνη: EL0415FL5006

Έκταση (KM2) : 8.04

Κατάντη : J4

Μέθοδος Απωλειών: SCS

Ποσοστό αδιαπέρατης επιφάνειας	0
Αριθμός Καμπύλης Απορροής-CN	90.48
Αρχικές Απώλειες	5.34

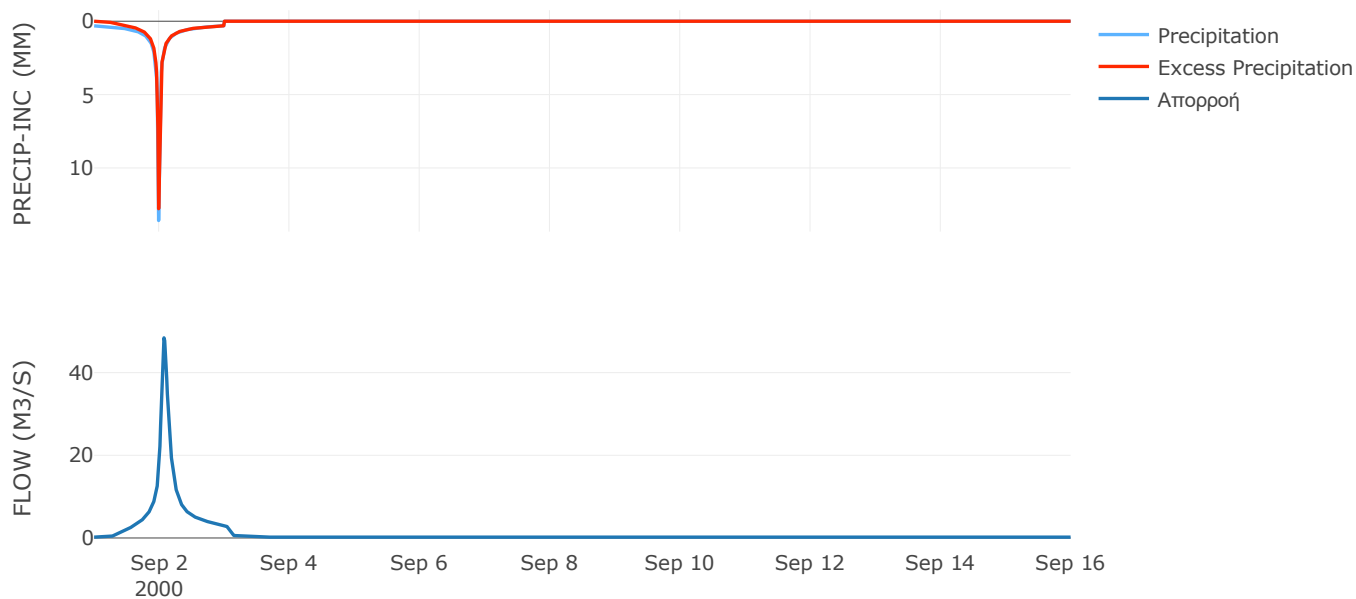
Μέθοδος
Μετασχηματισμού: SCS

Χρόνος Υστέρησης	103.66
------------------	--------

Αποτελέσματα:
EL0415FL5006

Παροχή αιχμής (M3/S)	48.41
Χρονική στιγμή αιχμής	02Sep2000, 01:45
Όγκος (MM)	187.6
Όγκος βροχόπτωσης (M3)	1.48E6
Όγκος απωλειών (M3)	2.3E5
Ενεργός Όγκος (M3)	1.25E6
Όγκος άμεσης απορροής (M3)	1.25E6
Όγκος βασικής απορροής (M3)	2.61E5

Βροχόπτωση και Απορροή



Υπολεκάνη: EL0415FL5007

Έκταση (KM2) : 40.81

Κατάντη : J5

Μέθοδος Απωλειών: SCS

Ποσοστό αδιαπέρατης επιφάνειας	0
Αριθμός Καμπύλης Απορροής-CN	90.3
Αρχικές Απώλειες	5.45

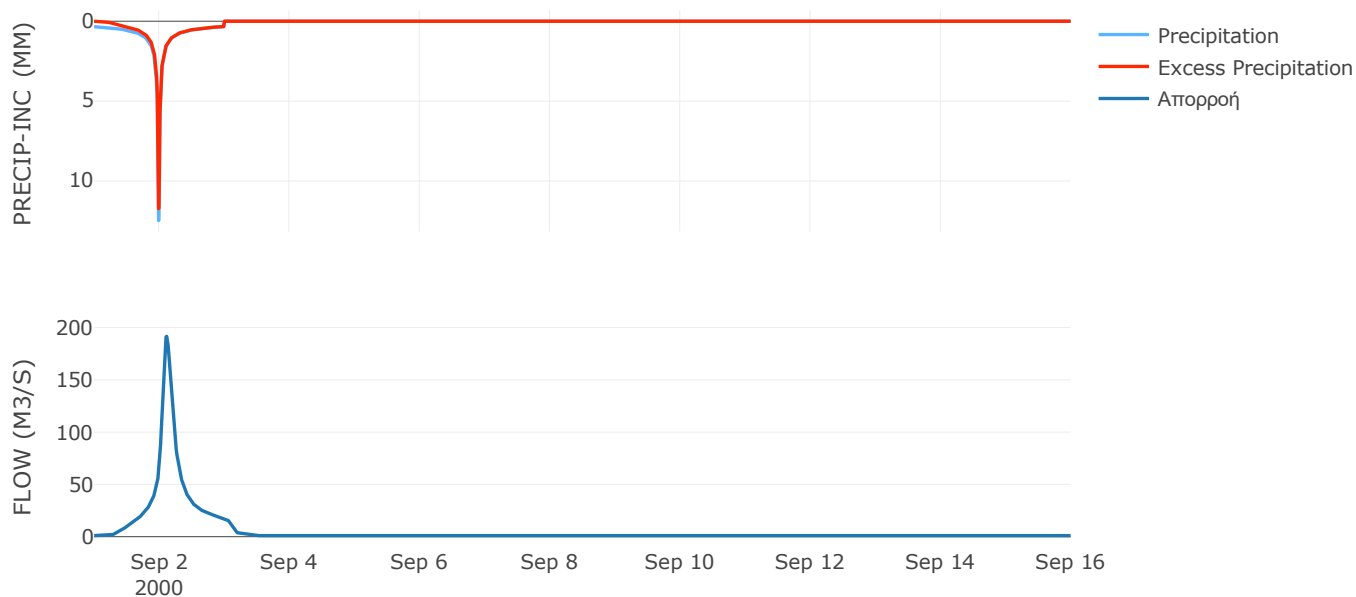
Μέθοδος
Μετασχηματισμού: SCS

Χρόνος Υστέρησης	154.01
------------------	--------

Αποτελέσματα:
EL0415FL5007

Παροχή αιχμής (M3/S)	191.61
Χρονική στιγμή αιχμής	02Sep2000, 02:45
Όγκος (MM)	189.57
Όγκος βροχόπτωσης (M3)	7.6E6
Όγκος απωλειών (M3)	1.19E6
Ενεργός Όγκος (M3)	6.41E6
Όγκος άμεσης απορροής (M3)	6.41E6
Όγκος βασικής απορροής (M3)	1.32E6

Βροχόπτωση και Απορροή



Υπολεκάνη: EL0415FL5008

Έκταση (KM2) : 90.43

Κατάντη : J7

Μέθοδος Απωλειών: SCS

Ποσοστό αδιαπέρατης επιφάνειας	0
Αριθμός Καμπύλης Απορροής-CN	87.11
Αρχικές Απώλειες	7.52

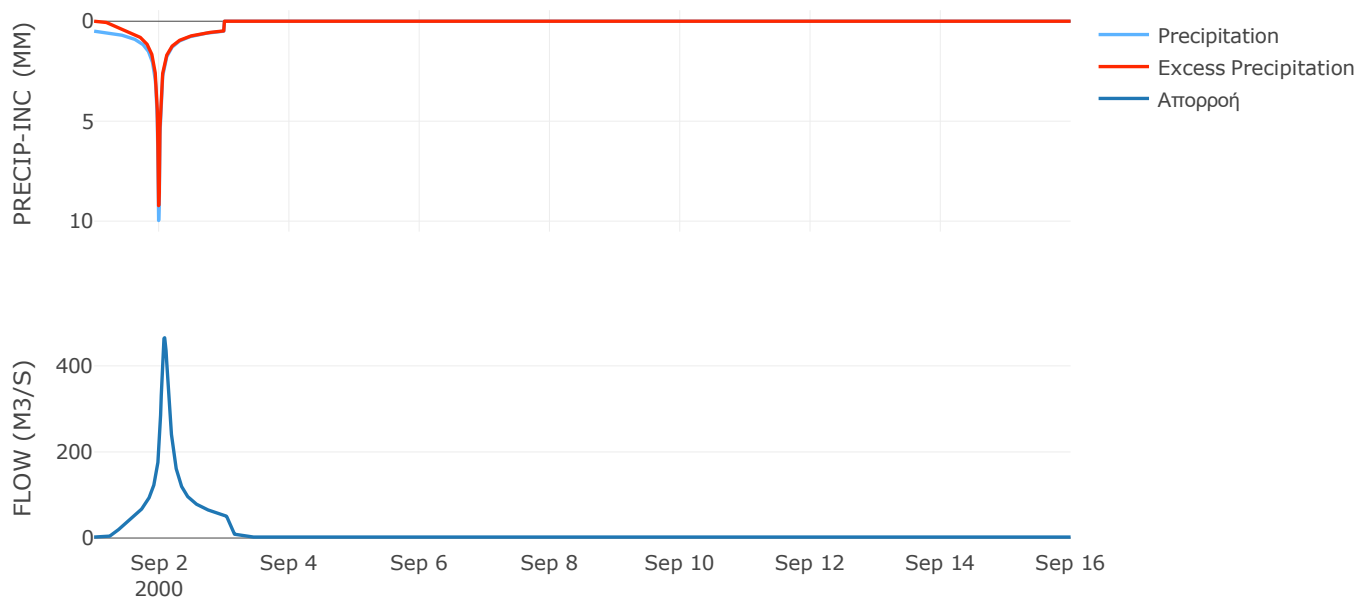
Μέθοδος
Μετασχηματισμού: SCS

Χρόνος Υστέρησης	109.38
------------------	--------

Αποτελέσματα:
EL0415FL5008

Παροχή αιχμής (M3/S)	465.27
Χρονική στιγμή αιχμής	02Sep2000, 02:00
Όγκος (MM)	213.64
Όγκος βροχόπτωσης (M3)	2E7
Όγκος απωλειών (M3)	3.57E6
Ενεργός Όγκος (M3)	1.64E7
Όγκος άμεσης απορροής (M3)	1.64E7
Όγκος βασικής απορροής (M3)	2.93E6

Βροχόπτωση και Απορροή



Υπολεκάνη: EL0415FL5009

Έκταση (KM2) : 11.22

Κατάντη : J20

Μέθοδος Απωλειών: SCS

Ποσοστό αδιαπέρατης επιφάνειας	0
Αριθμός Καμπύλης Απορροής-CN	89.16
Αρχικές Απώλειες	6.18

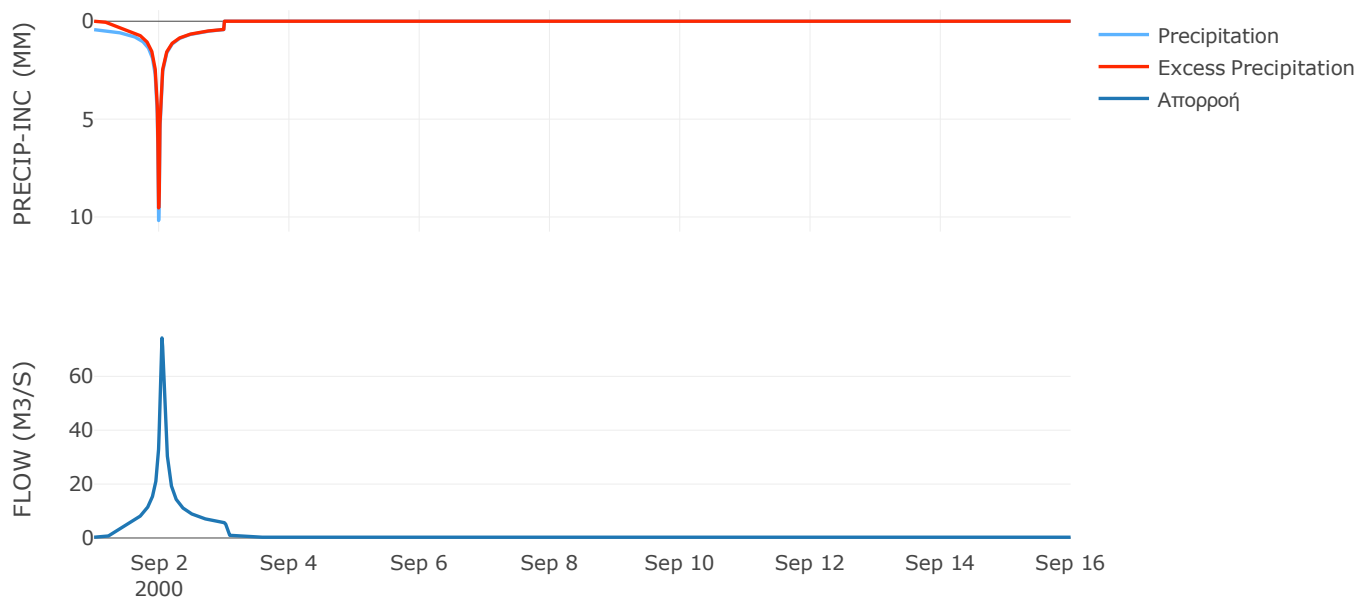
Μέθοδος
Μετασχηματισμού: SCS

Χρόνος Υστέρησης	56.94
------------------	-------

Αποτελέσματα:
EL0415FL5009

Παροχή αιχμής (M3/S)	74.26
Χρονική στιγμή αιχμής	02Sep2000, 01:00
Όγκος (MM)	201.17
Όγκος βροχόπτωσης (M3)	2.26E6
Όγκος απωλειών (M3)	3.68E5
Ενεργός Όγκος (M3)	1.89E6
Όγκος άμεσης απορροής (M3)	1.89E6
Όγκος βασικής απορροής (M3)	3.63E5

Βροχόπτωση και Απορροή



Υπολεκάνη: EL0415FL5010

Έκταση (KM2) : 96.52

Κατάντη : J10

Μέθοδος Απωλειών: SCS

Ποσοστό αδιαπέρατης επιφάνειας	100
Αριθμός Καμπύλης Απορροής-CN	99
Αρχικές Απώλειες	0.02

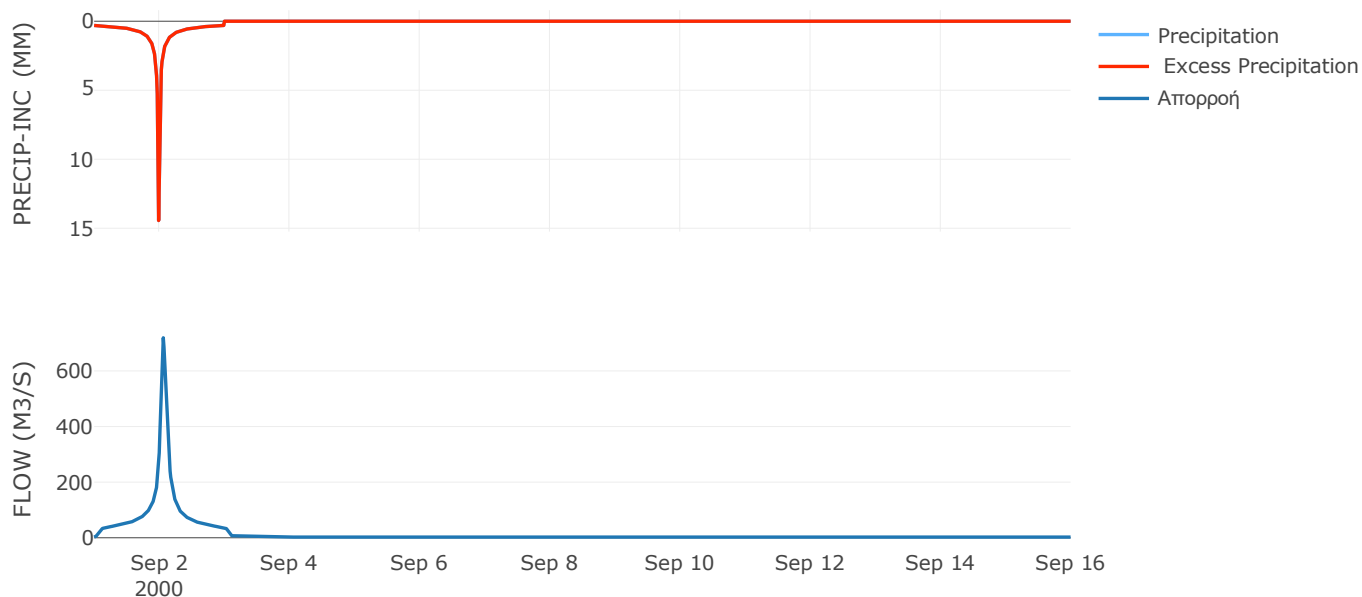
Μέθοδος
Μετασχηματισμού: SCS

Χρόνος Υστέρησης	82.01
------------------	-------

Αποτελέσματα:
EL0415FL5010

Παροχή αιχμής (M3/S)	719.11
Χρονική στιγμή αιχμής	02Sep2000, 01:30
Όγκος (MM)	217.32
Όγκος βροχόπτωσης (M3)	1.78E7
Όγκος απωλειών (M3)	0
Ενεργός Όγκος (M3)	1.78E7
Όγκος άμεσης απορροής (M3)	1.78E7
Όγκος βασικής απορροής (M3)	3.13E6

Βροχόπτωση και Απορροή



Υπολεκάνη: EL0415FL00013

Έκταση (KM2) : 20.4

Κατάντη : J8

Μέθοδος Απωλειών: SCS

Ποσοστό αδιαπέρατης επιφάνειας	0
Αριθμός Καμπύλης Απορροής-CN	90.62
Αρχικές Απώλειες	5.26

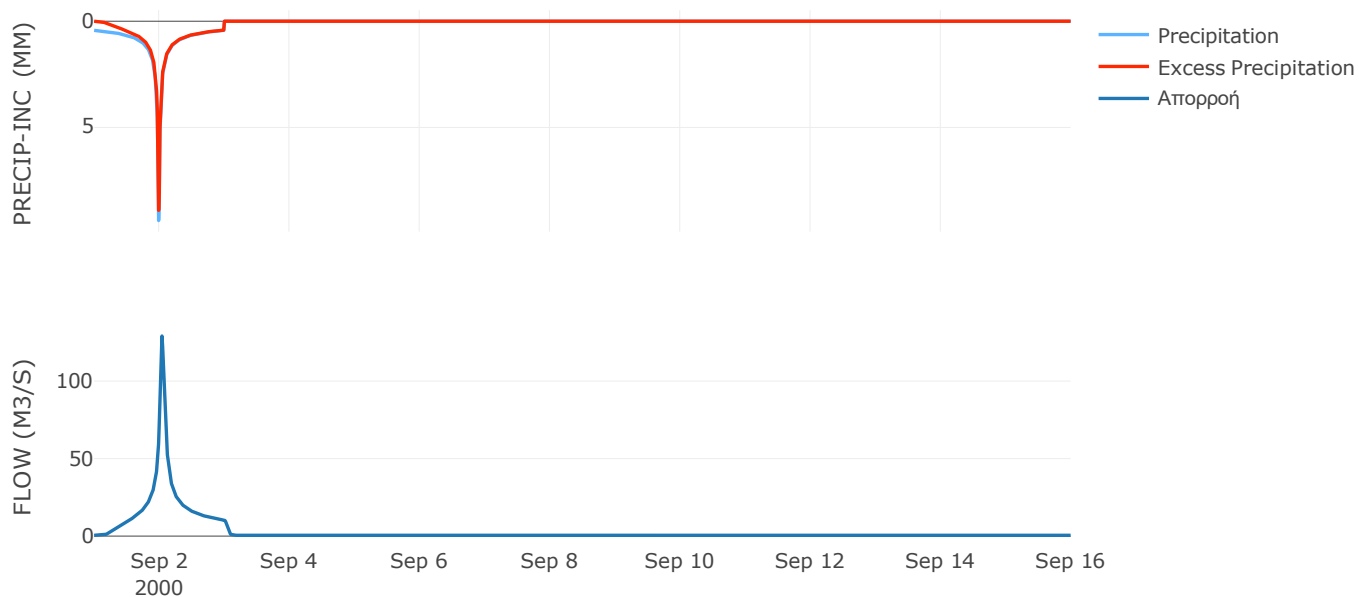
Μέθοδος
Μετασχηματισμού: SCS

Χρόνος Υστέρησης	55.27
------------------	-------

Αποτελέσματα:
EL0415FL00013

Παροχή αιχμής (M3/S)	129.08
Χρονική στιγμή αιχμής	02Sep2000, 01:00
Όγκος (MM)	199.68
Όγκος βροχόπτωσης (M3)	3.99E6
Όγκος απωλειών (M3)	5.79E5
Ενεργός Όγκος (M3)	3.41E6
Όγκος άμεσης απορροής (M3)	3.41E6
Όγκος βασικής απορροής (M3)	6.61E5

Βροχόπτωση και Απορροή



Υπολεκάνη: EL0415FL00014

Έκταση (KM2) : 28.81

Κατάντη : J23

Μέθοδος Απωλειών: SCS

Ποσοστό αδιαπέρατης επιφάνειας	0
Αριθμός Καμπύλης Απορροής-CN	90.51
Αρχικές Απώλειες	5.33

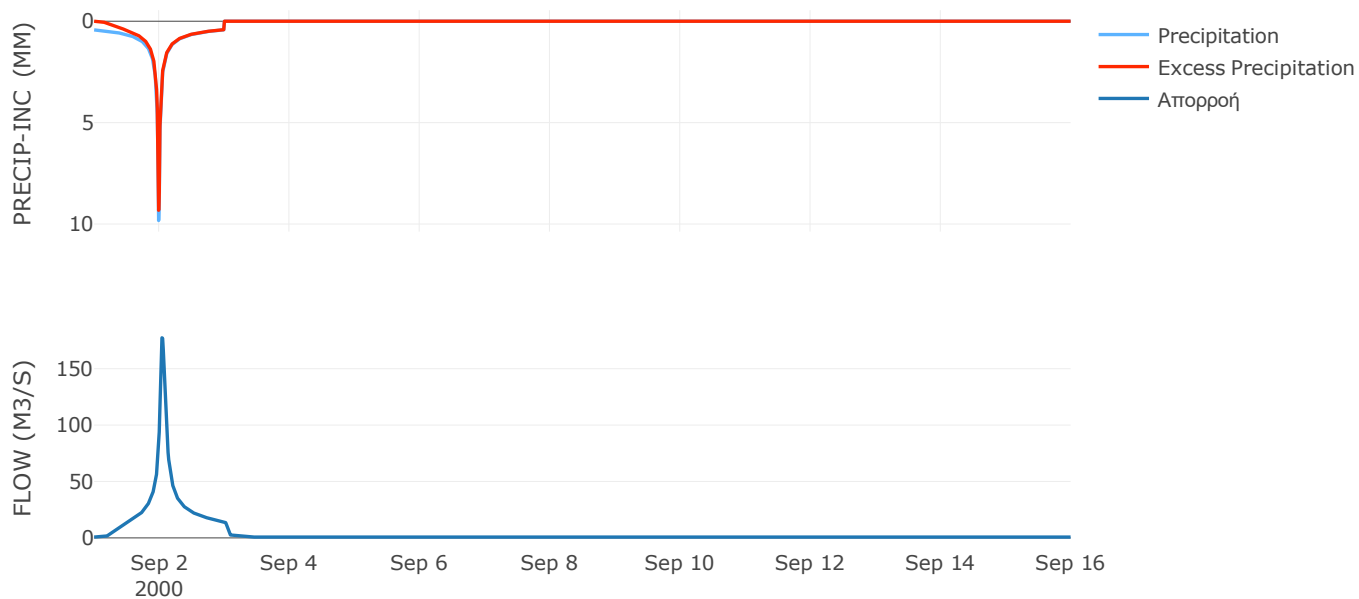
Μέθοδος
Μετασχηματισμού: SCS

Χρόνος Υστέρησης	64.97
------------------	-------

Αποτελέσματα:
EL0415FL00014

Παροχή αιχμής (M3/S)	177.43
Χρονική στιγμή αιχμής	02Sep2000, 01:00
Όγκος (MM)	201.76
Όγκος βροχόπτωσης (M3)	5.71E6
Όγκος απωλειών (M3)	8.28E5
Ενεργός Όγκος (M3)	4.88E6
Όγκος άμεσης απορροής (M3)	4.88E6
Όγκος βασικής απορροής (M3)	9.33E5

Βροχόπτωση και Απορροή



Υπολεκάνη: EL0415FL00016

Έκταση (KM2) : 24.49

Κατάντη : J14

Μέθοδος Απωλειών: SCS

Ποσοστό αδιαπέρατης επιφάνειας	0
Αριθμός Καμπύλης Απορροής-CN	72.24
Αρχικές Απώλειες	19.52

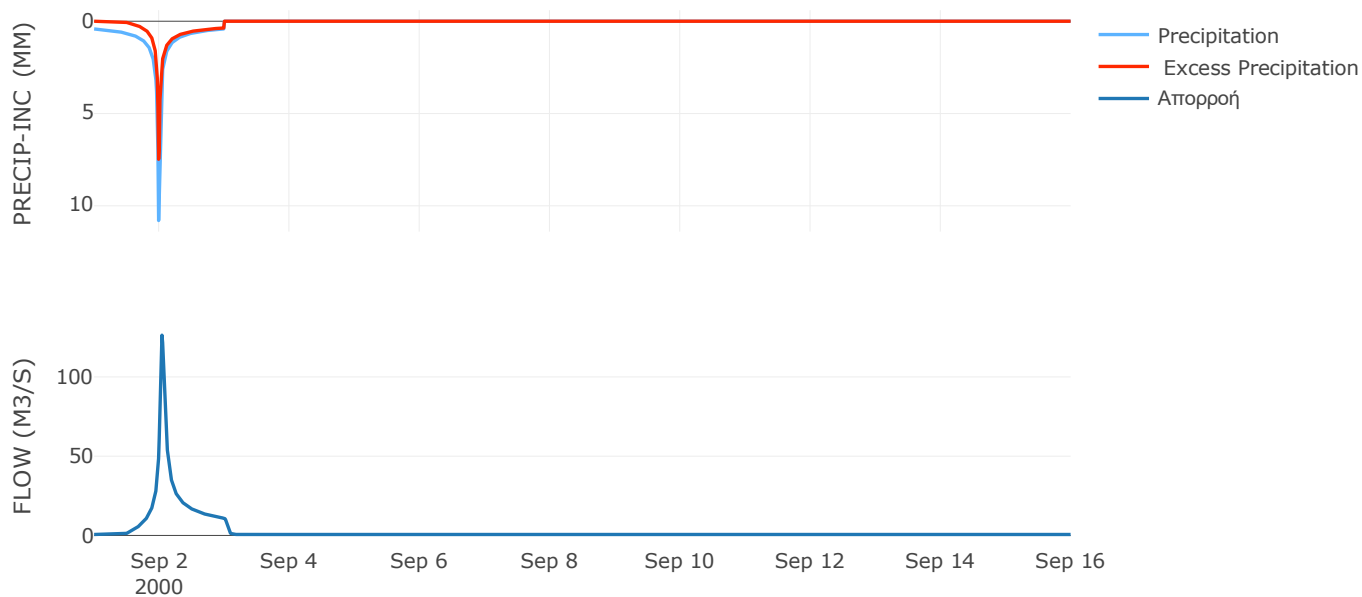
Μέθοδος
Μετασχηματισμού: SCS

Χρόνος Υστέρησης	55.77
------------------	-------

Αποτελέσματα:
EL0415FL00016

Παροχή αιχμής (M3/S)	126.32
Χρονική στιγμή αιχμής	02Sep2000, 01:00
Όγκος (MM)	151.18
Όγκος βροχόπτωσης (M3)	4.94E6
Όγκος απωλειών (M3)	2.03E6
Ενεργός Όγκος (M3)	2.91E6
Όγκος άμεσης απορροής (M3)	2.91E6
Όγκος βασικής απορροής (M3)	7.93E5

Βροχόπτωση και Απορροή



Υπολεκάνη: EL0415FL00017

Έκταση (KM2) : 11.25

Κατάνη : J15

Μέθοδος Απωλειών: SCS

Ποσοστό αδιαπέρατης επιφάνειας	0
Αριθμός Καμπύλης Απορροής-CN	74.1
Αρχικές Απώλειες	17.75

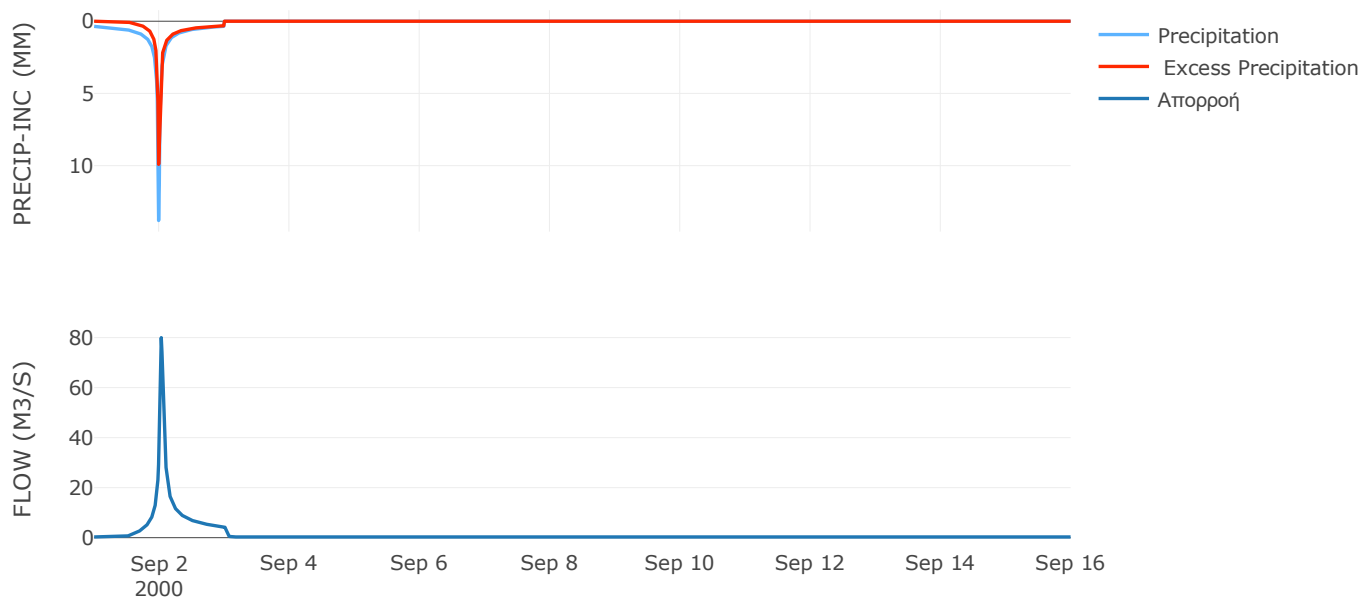
Μέθοδος
Μετασχηματισμού: SCS

Χρόνος Υστέρησης	41.2
------------------	------

Αποτελέσματα:
EL0415FL00017

Παροχή αιχμής (M3/S)	79.97
Χρονική στιγμή αιχμής	02Sep2000, 00:45
Όγκος (MM)	154.56
Όγκος βροχόπτωσης (M3)	2.25E6
Όγκος απωλειών (M3)	8.71E5
Ενεργός Όγκος (M3)	1.37E6
Όγκος άμεσης απορροής (M3)	1.37E6
Όγκος βασικής απορροής (M3)	3.65E5

Βροχόπτωση και Απορροή



Υπολεκάνη: EL0415FL00018

Έκταση (KM2) : 25.29

Κατάνη : J15

Μέθοδος Απωλειών: SCS

Ποσοστό αδιαπέρατης επιφάνειας	0
Αριθμός Καμπύλης Απορροής-CN	77.68
Αρχικές Απώλειες	14.6

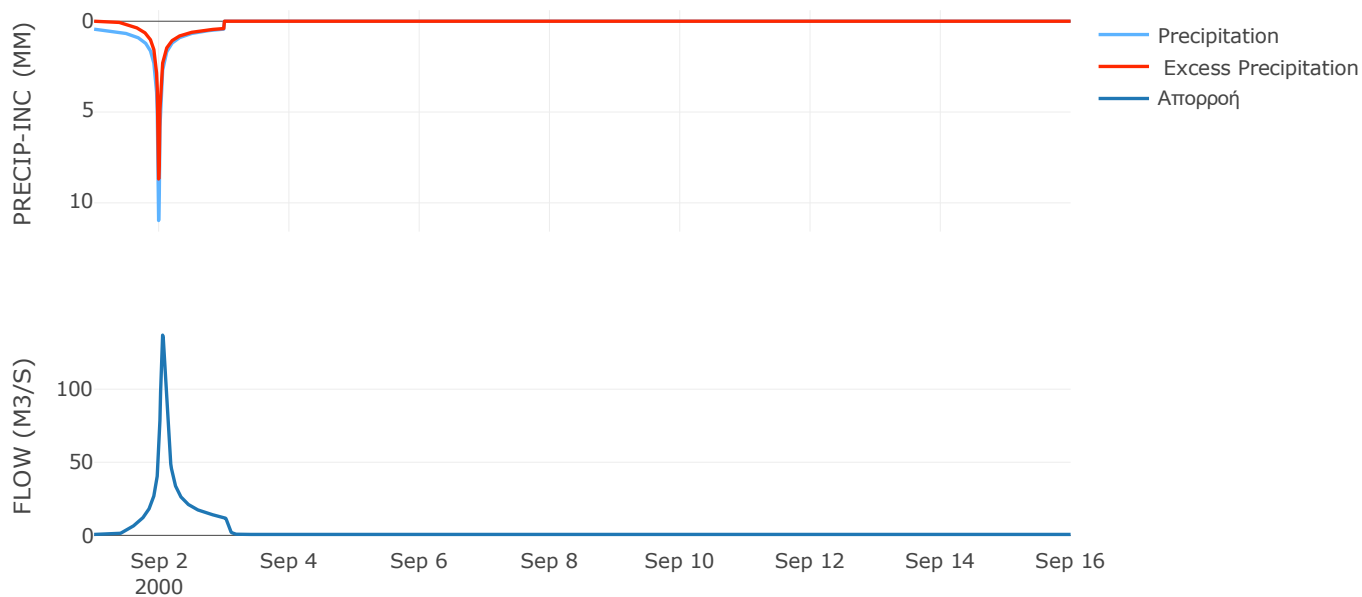
Μέθοδος
Μετασχηματισμού: SCS

Χρόνος Υστέρησης	73.09
------------------	-------

Αποτελέσματα:
EL0415FL00018

Παροχή αιχμής (M3/S)	136.99
Χρονική στιγμή αιχμής	02Sep2000, 01:15
Όγκος (MM)	173.82
Όγκος βροχόπτωσης (M3)	5.29E6
Όγκος απωλειών (M3)	1.71E6
Ενεργός Όγκος (M3)	3.58E6
Όγκος άμεσης απορροής (M3)	3.58E6
Όγκος βασικής απορροής (M3)	8.19E5

Βροχόπτωση και Απορροή



Υπολεκάνη: EL0415FL00019

Έκταση (KM2) : 41.83

Κατάντη : J16

Μέθοδος Απωλειών: SCS

Ποσοστό αδιαπέρατης επιφάνειας	0
Αριθμός Καμπύλης Απορροής-CN	82.22
Αρχικές Απώλειες	10.98

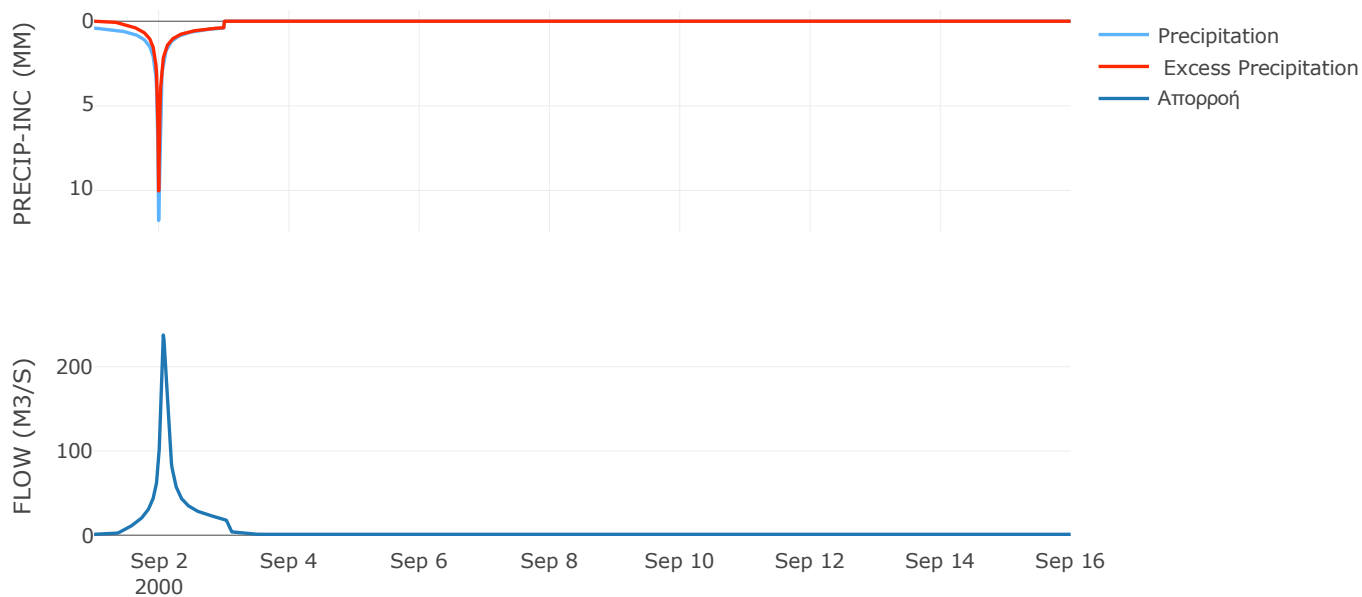
Μέθοδος
Μετασχηματισμού: SCS

Χρόνος Υστέρησης	84.64
------------------	-------

Αποτελέσματα:
EL0415FL00019

Παροχή αιχμής (M3/S)	237.72
Χρονική στιγμή αιχμής	02Sep2000, 01:30
Όγκος (MM)	182.18
Όγκος βροχόπτωσης (M3)	8.51E6
Όγκος απωλειών (M3)	2.25E6
Ενεργός Όγκος (M3)	6.27E6
Όγκος άμεσης απορροής (M3)	6.27E6
Όγκος βασικής απορροής (M3)	1.36E6

Βροχόπτωση και Απορροή



Υπολεκάνη: EL0415FL00020

Έκταση (KM2) : 8.47

Κατάντη : J21

Μέθοδος Απωλειών: SCS

Ποσοστό αδιαπέρατης επιφάνειας	0
Αριθμός Καμπύλης Απορροής-CN	90.85
Αρχικές Απώλειες	5.12

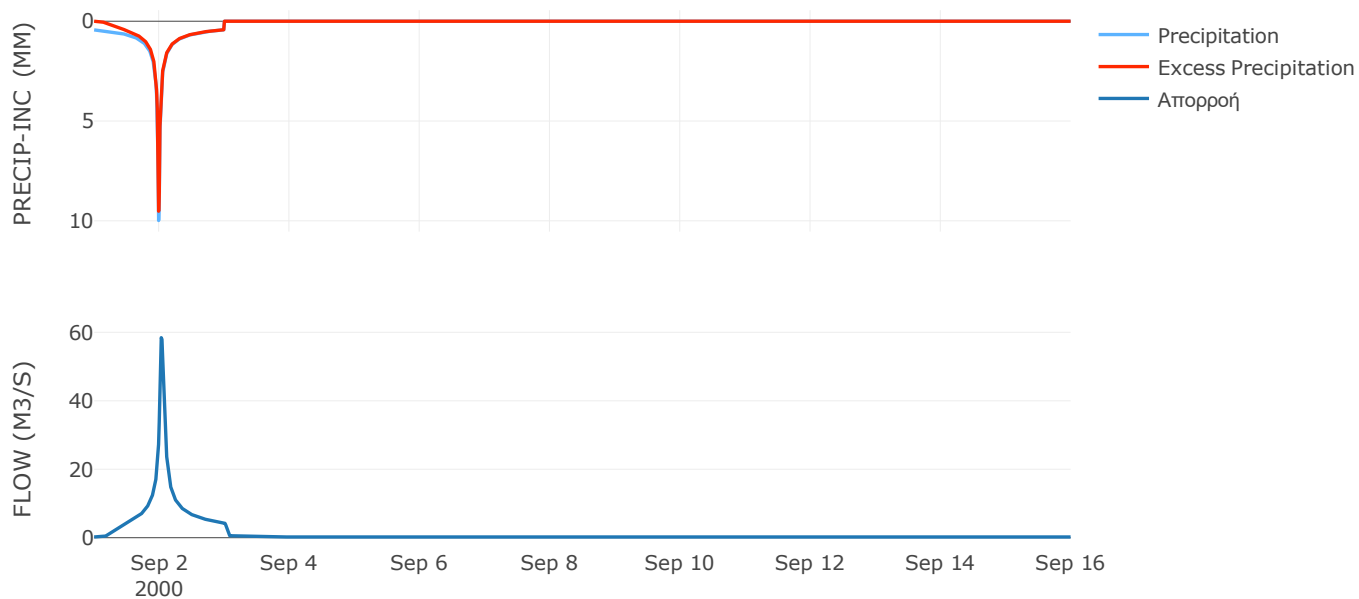
Μέθοδος
Μετασχηματισμού: SCS

Χρόνος Υστέρησης	49.81
------------------	-------

Αποτελέσματα:
EL0415FL00020

Παροχή αιχμής (M3/S)	58.44
Χρονική στιγμή αιχμής	02Sep2000, 00:45
Όγκος (MM)	206.1
Όγκος βροχόπτωσης (M3)	1.71E6
Όγκος απωλειών (M3)	2.35E5
Ενεργός Όγκος (M3)	1.47E6
Όγκος άμεσης απορροής (M3)	1.47E6
Όγκος βασικής απορροής (M3)	2.74E5

Βροχόπτωση και Απορροή



Υπολεκάνη: EL0415FL00021

Έκταση (KM2) : 11.07

Κατάντη : J17

Μέθοδος Απωλειών: SCS

Ποσοστό αδιαπέρατης επιφάνειας	0
Αριθμός Καμπύλης Απορροής-CN	87.57
Αρχικές Απώλειες	7.21

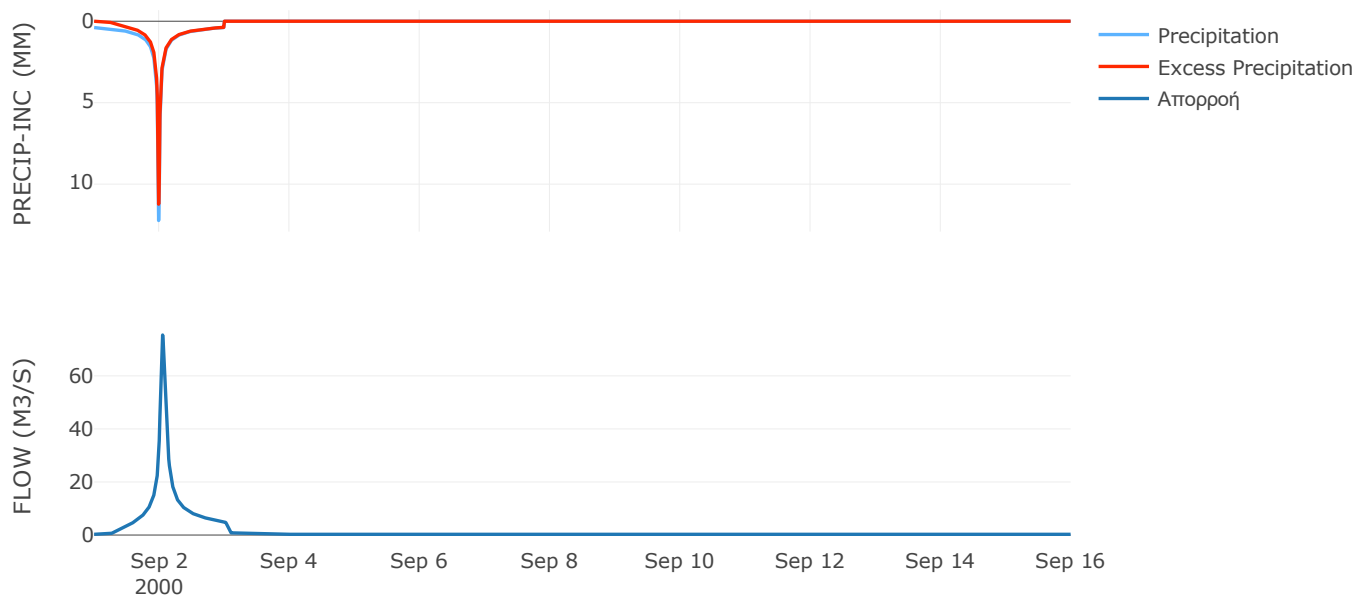
Μέθοδος
Μετασχηματισμού: SCS

Χρόνος Υστέρησης	69.03
------------------	-------

Αποτελέσματα:
EL0415FL00021

Παροχή αιχμής (M3/S)	75.39
Χρονική στιγμή αιχμής	02Sep2000, 01:15
Όγκος (MM)	195.6
Όγκος βροχόπτωσης (M3)	2.22E6
Όγκος απωλειών (M3)	4.17E5
Ενεργός Όγκος (M3)	1.81E6
Όγκος άμεσης απορροής (M3)	1.81E6
Όγκος βασικής απορροής (M3)	3.59E5

Βροχόπτωση και Απορροή



Υπολεκάνη: EL0415FL00022

Έκταση (KM2) : 12.41

Κατάντη : J18

Μέθοδος Απωλειών: SCS

Ποσοστό αδιαπέρατης επιφάνειας	0
Αριθμός Καμπύλης Απορροής-CN	90.27
Αρχικές Απώλειες	5.47

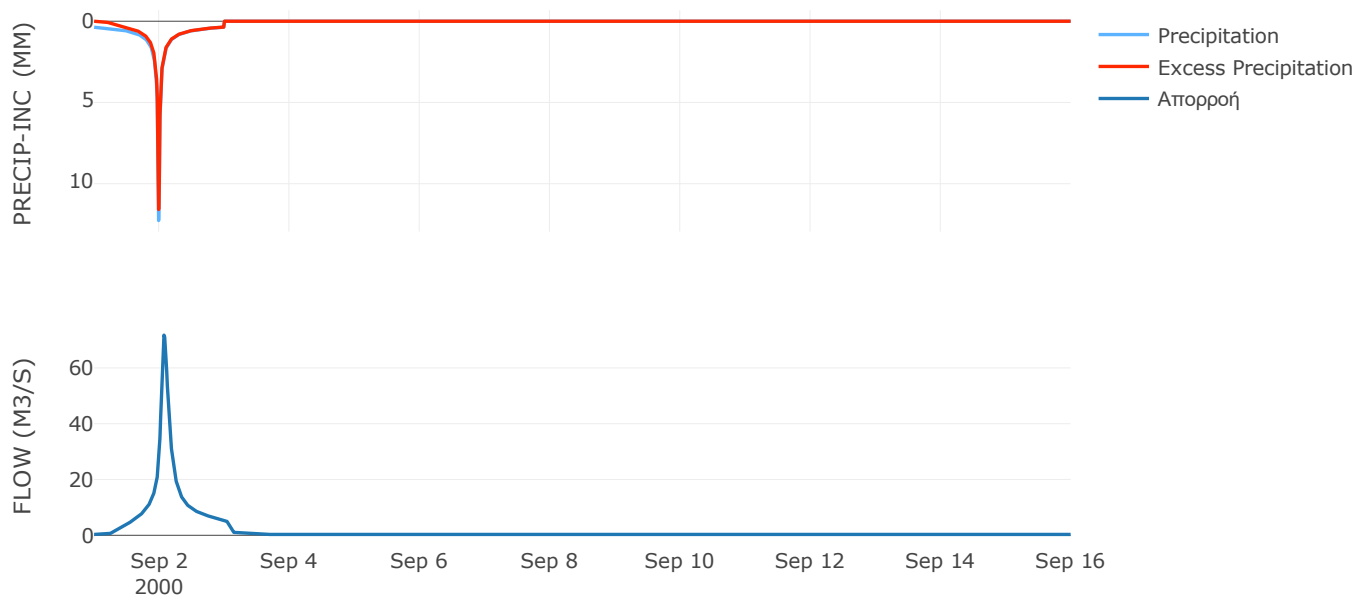
Μέθοδος
Μετασχηματισμού: SCS

Χρόνος Υστέρησης	104.79
------------------	--------

Αποτελέσματα:
EL0415FL00022

Παροχή αιχμής (M3/S)	71.76
Χρονική στιγμή αιχμής	02Sep2000, 01:45
Όγκος (MM)	197.96
Όγκος βροχόπτωσης (M3)	2.42E6
Όγκος απωλειών (M3)	3.65E5
Ενεργός Όγκος (M3)	2.05E6
Όγκος άμεσης απορροής (M3)	2.05E6
Όγκος βασικής απορροής (M3)	4.02E5

Βροχόπτωση και Απορροή



Υπολεκάνη: EL0415FL00023

Έκταση (KM2) : 16.4

Κατάντη : J22

Μέθοδος Απωλειών: SCS

Ποσοστό αδιαπέρατης επιφάνειας	0
Αριθμός Καμπύλης Απορροής-CN	90.72
Αρχικές Απώλειες	5.2

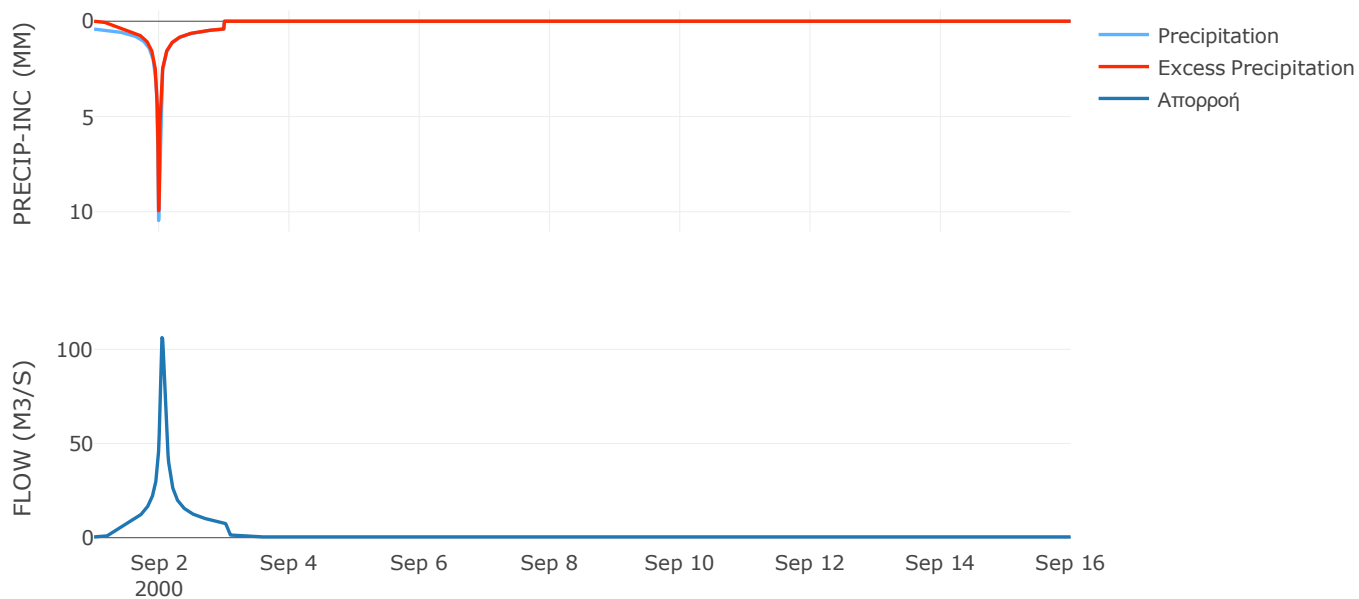
Μέθοδος
Μετασχηματισμού: SCS

Χρόνος Υστέρησης	64.33
------------------	-------

Αποτελέσματα:
EL0415FL00023

Παροχή αιχμής (M3/S)	106.21
Χρονική στιγμή αιχμής	02Sep2000, 01:00
Όγκος (MM)	202.59
Όγκος βροχόπτωσης (M3)	3.25E6
Όγκος απωλειών (M3)	4.61E5
Ενεργός Όγκος (M3)	2.79E6
Όγκος άμεσης απορροής (M3)	2.79E6
Όγκος βασικής απορροής (M3)	5.31E5

Βροχόπτωση και Απορροή



Υπολεκάνη: EL0415FL00024

Έκταση (KM2) : 20.38

Κατάντη : J19

Μέθοδος Απωλειών: SCS

Ποσοστό αδιαπέρατης επιφάνειας	0
Αριθμός Καμπύλης Απορροής-CN	89.98
Αρχικές Απώλειες	5.66

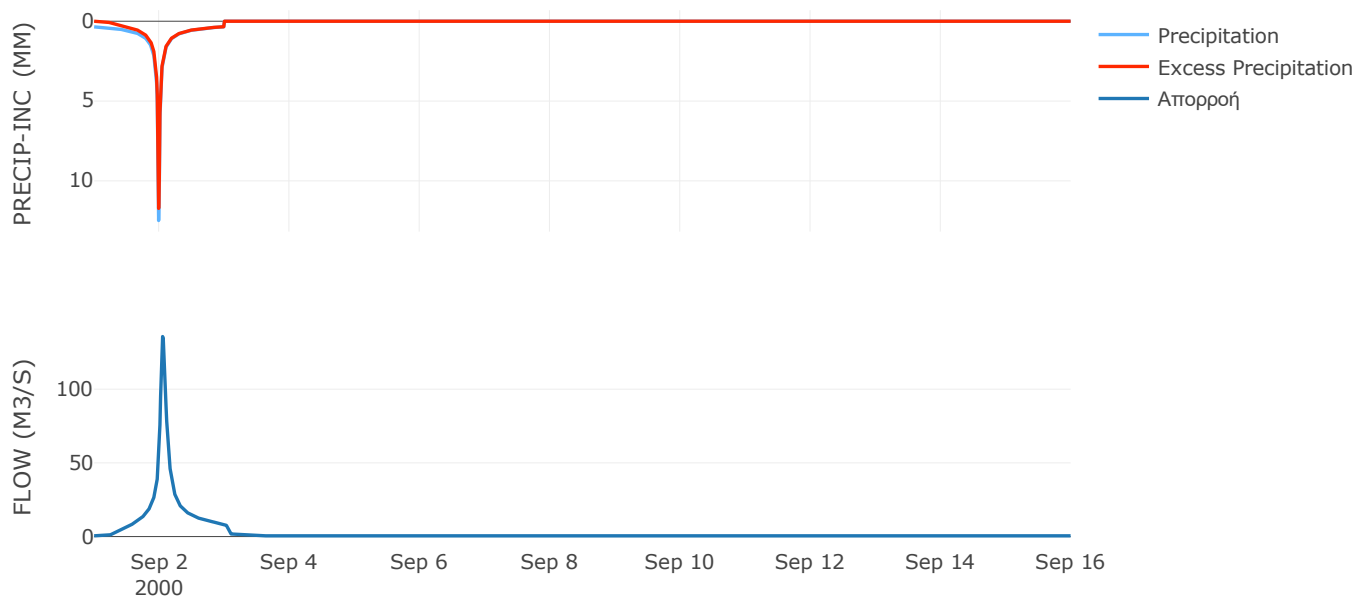
Μέθοδος
Μετασχηματισμού: SCS

Χρόνος Υστέρησης	76.44
------------------	-------

Αποτελέσματα:
EL0415FL00024

Παροχή αιχμής (M3/S)	135.73
Χρονική στιγμή αιχμής	02Sep2000, 01:15
Όγκος (MM)	193
Όγκος βροχόπτωσης (M3)	3.89E6
Όγκος απωλειών (M3)	6.15E5
Ενεργός Όγκος (M3)	3.27E6
Όγκος άμεσης απορροής (M3)	3.27E6
Όγκος βασικής απορροής (M3)	6.6E5

Βροχόπτωση και Απορροή



Υπολεκάνη: EL0415FL00025

Έκταση (KM2) : 32.02

Κατάντη : J13

Μέθοδος Απωλειών: SCS

Ποσοστό αδιαπέρατης επιφάνειας	0
Αριθμός Καμπύλης Απορροής-CN	70.61
Αρχικές Απώλειες	21.14

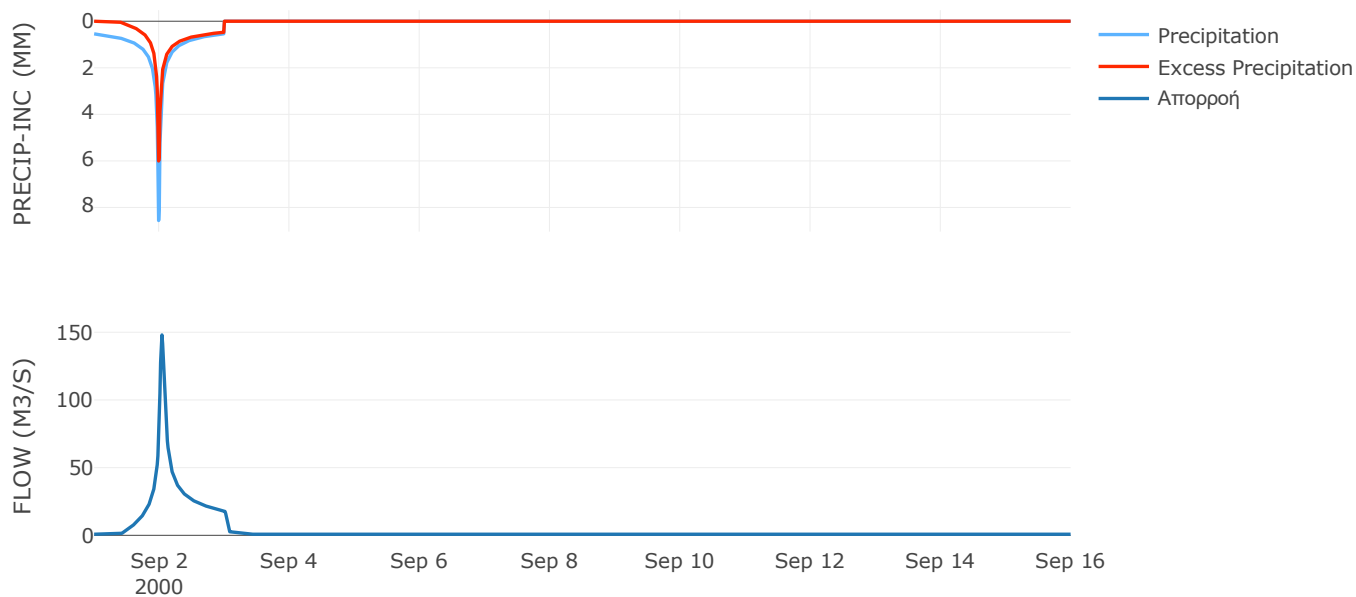
Μέθοδος
Μετασχηματισμού: SCS

Χρόνος Υστέρησης	53
------------------	----

Αποτελέσματα:
EL0415FL00025

Παροχή αιχμής (M3/S)	148.03
Χρονική στιγμή αιχμής	02Sep2000, 01:00
Όγκος (MM)	164.51
Όγκος βροχόπτωσης (M3)	7.13E6
Όγκος απωλειών (M3)	2.9E6
Ενεργός Όγκος (M3)	4.23E6
Όγκος άμεσης απορροής (M3)	4.23E6
Όγκος βασικής απορροής (M3)	1.04E6

Βροχόπτωση και Απορροή



Υπολεκάνη: EL0415FL00026

Έκταση (KM2) : 30.03

Κατάντη : J12

Μέθοδος Απωλειών: SCS

Ποσοστό αδιαπέρατης επιφάνειας	0
Αριθμός Καμπύλης Απορροής-CN	83.22
Αρχικές Απώλειες	10.24

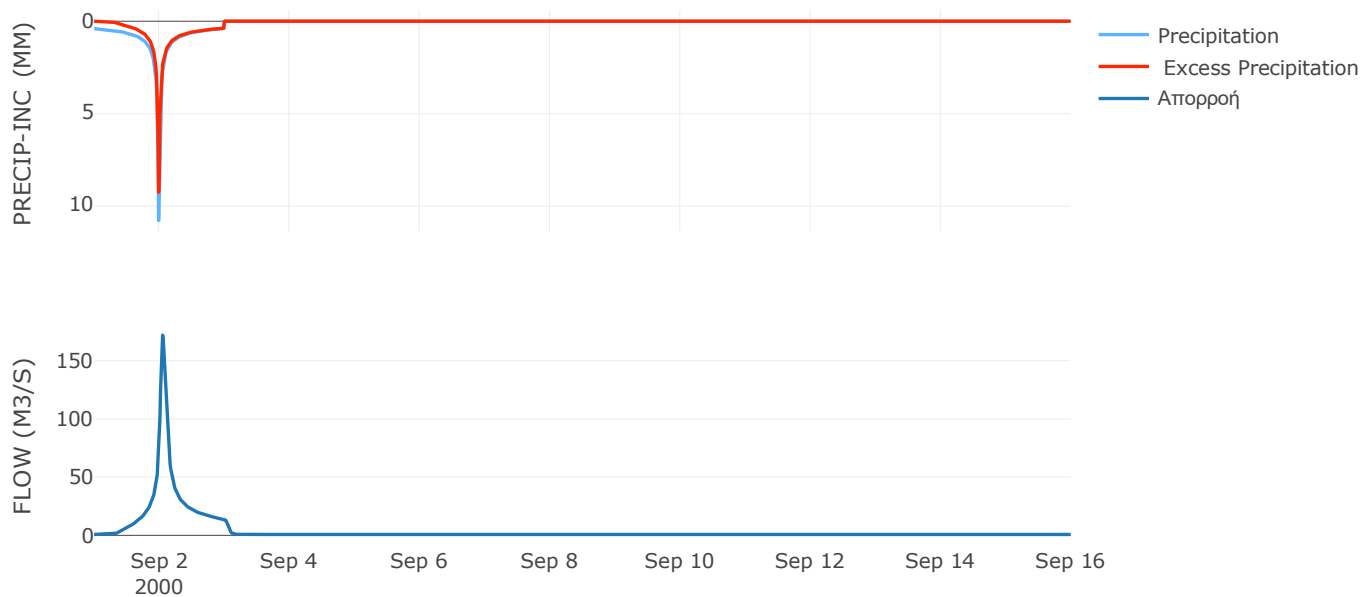
Μέθοδος
Μετασχηματισμού: SCS

Χρόνος Υστέρησης	71.65
------------------	-------

Αποτελέσματα:
EL0415FL00026

Παροχή αιχμής (M3/S)	172.02
Χρονική στιγμή αιχμής	02Sep2000, 01:15
Όγκος (MM)	177.88
Όγκος βροχόπτωσης (M3)	5.88E6
Όγκος απωλειών (M3)	1.51E6
Ενεργός Όγκος (M3)	4.37E6
Όγκος άμεσης απορροής (M3)	4.37E6
Όγκος βασικής απορροής (M3)	9.73E5

Βροχόπτωση και Απορροή



Υπολεκάνη: EL0415FL00027

Έκταση (KM2) : 3.34

Κατάνη : J11

Μέθοδος Απωλειών: SCS

Ποσοστό αδιαπέρατης επιφάνειας	0
Αριθμός Καμπύλης Απορροής-CN	90.03
Αρχικές Απώλειες	5.63

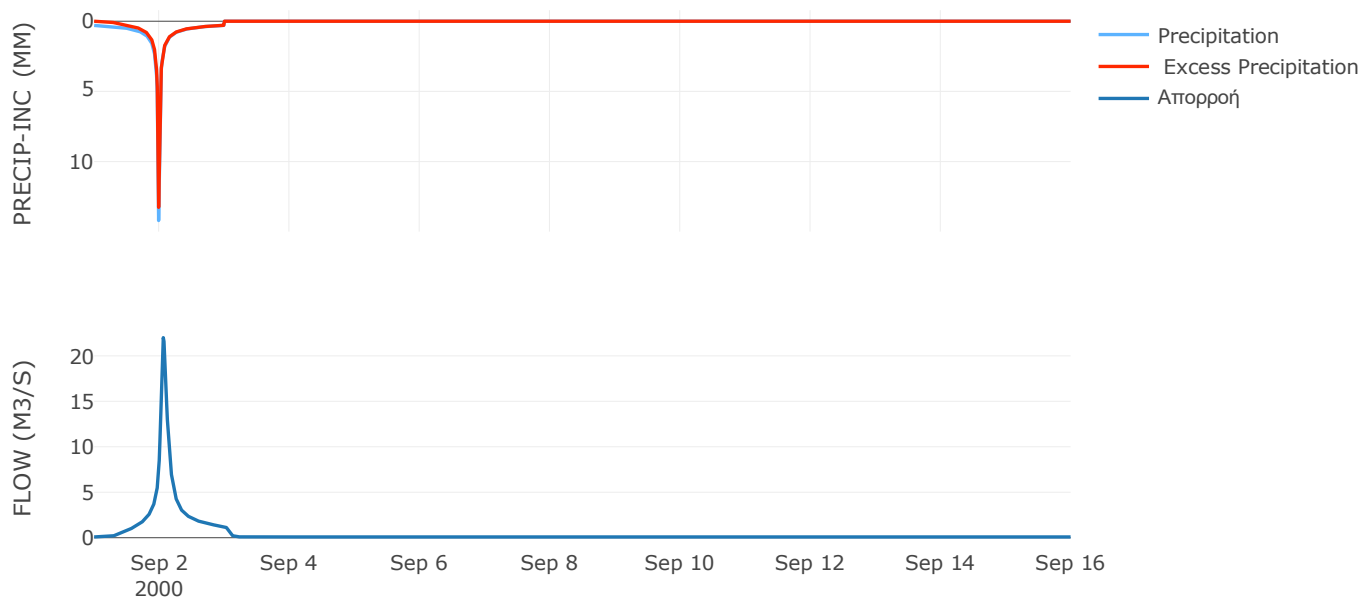
Μέθοδος
Μετασχηματισμού: SCS

Χρόνος Υστέρησης	89.02
------------------	-------

Αποτελέσματα:
EL0415FL00027

Παροχή αιχμής (M3/S)	22
Χρονική στιγμή αιχμής	02Sep2000, 01:30
Όγκος (MM)	183.59
Όγκος βροχόπτωσης (M3)	6.05E5
Όγκος απωλειών (M3)	99757.57
Ενεργός Όγκος (M3)	5.05E5
Όγκος άμεσης απορροής (M3)	5.05E5
Όγκος βασικής απορροής (M3)	1.08E5

Βροχόπτωση και Απορροή



Δεδομένα και υδρογραφήματα σχεδιασμού Κλάδων υδρογραφικού δικτύου

Κλάδος: R21

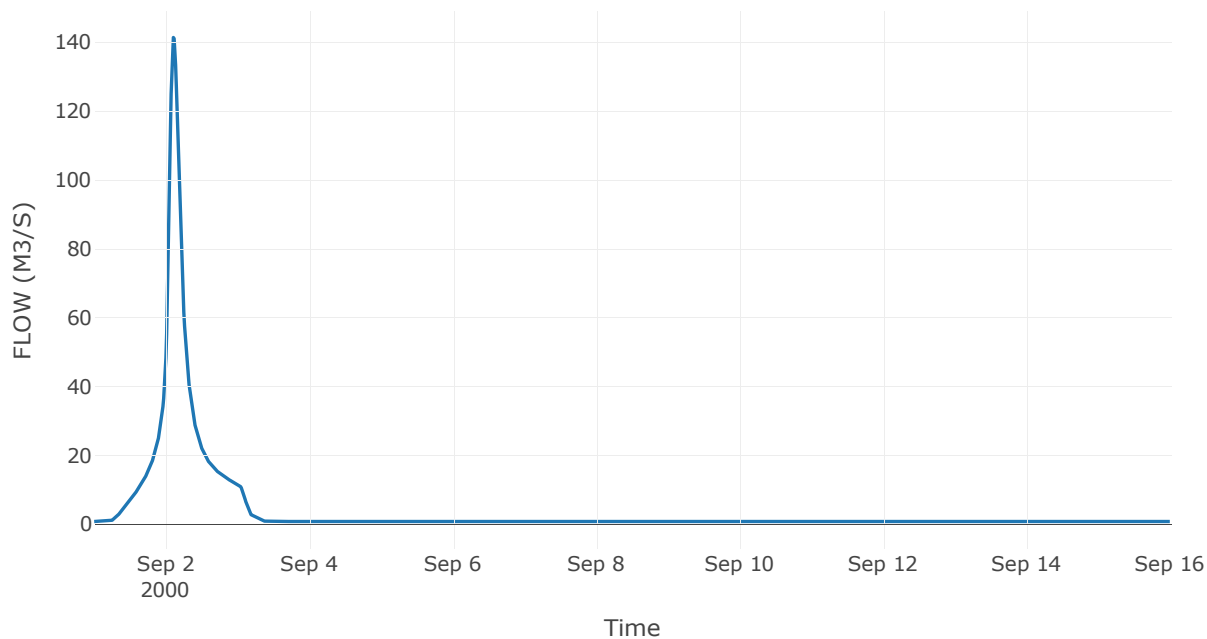
Κατάντη : J1

Μέθοδος Διόδευσης	Χρόνος
Αρχική Μεταβλητή	Combined Inflow
Χρόνος Υστέρησης	0

Αποτελέσματα: R21

Παροχή Αιχμής(M3/S)	141.36
Χρονική στιγμή αιχμής	02Sep2000, 02:30
Όγκος(MM)	190.64
Παροχή Αιχμής Εισόδου (M3/S)	141.36
Όγκος Εισροής(M3)	5.41E6

Απορροή



Κλάδος: R31

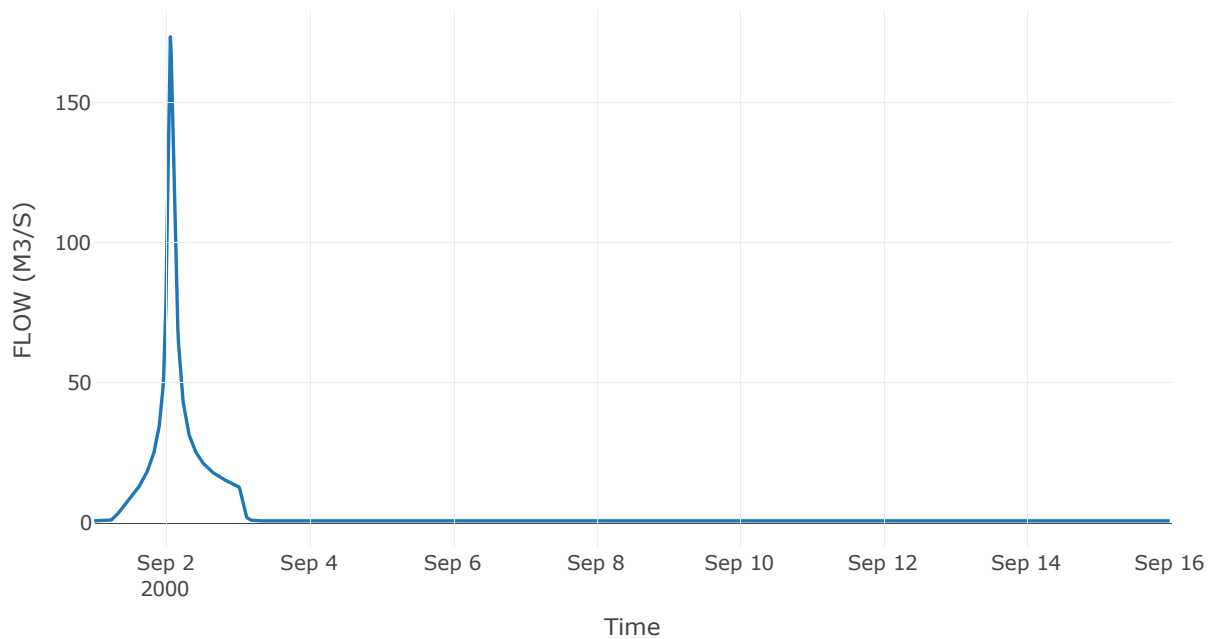
Κατάντη : J1

Μέθοδος Διόδευσης	Χρόνος
Αρχική Μεταβλητή	Combined Inflow
Χρόνος Υστέρησης	0

Αποτελέσματα: R31

Παροχή Αιχμής(M3/S)	173.45
Χρονική στιγμή αιχμής	02Sep2000, 01:30
Όγκος(MM)	185.92
Παροχή Αιχμής Εισόδου (M3/S)	173.45
Όγκος Εισροής(M3)	5.59E6

Απορροή



Κλάδος: R41

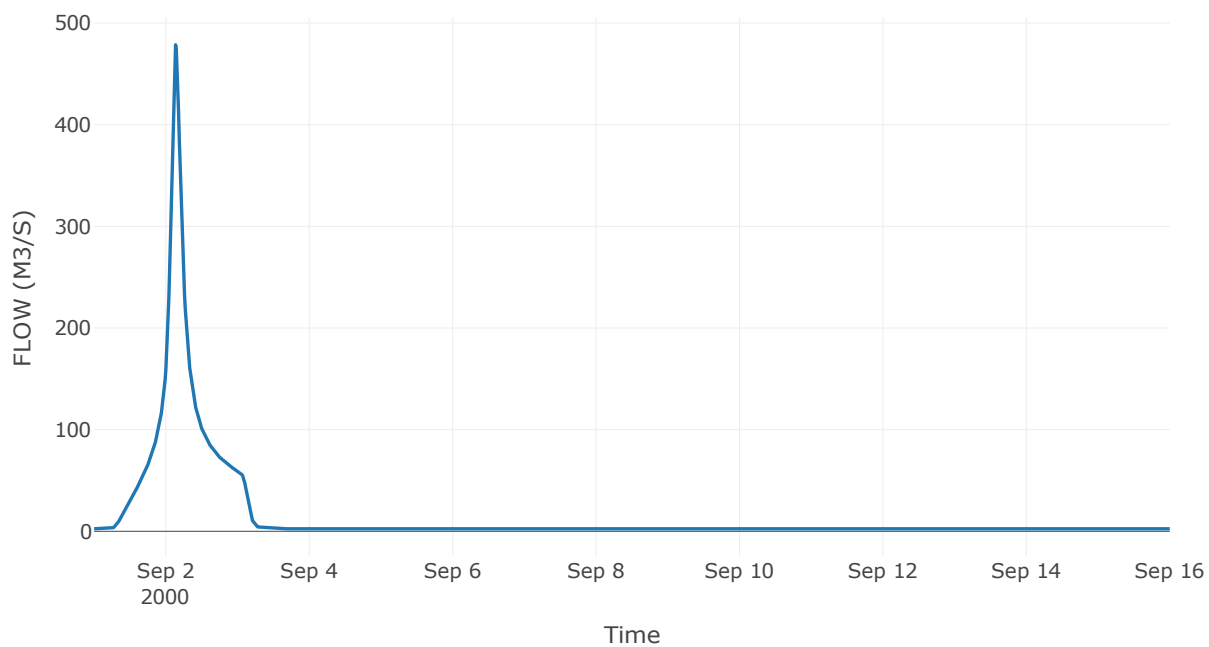
Κατάντη : J1

Μέθοδος Διόδευσης	Χρόνος
Αρχική Μεταβλητή	Combined Inflow
Χρόνος Υστέρησης	0

Αποτελέσματα: R41

Παροχή Αιχμής(M3/S)	478.66
Χρονική στιγμή αιχμής	02Sep2000, 03:15
Όγκος(MM)	211.51
Παροχή Αιχμής Εισόδου (M3/S)	478.66
Όγκος Εισροής(M3)	2.08E7

Απορροή



Κλάδος: R51

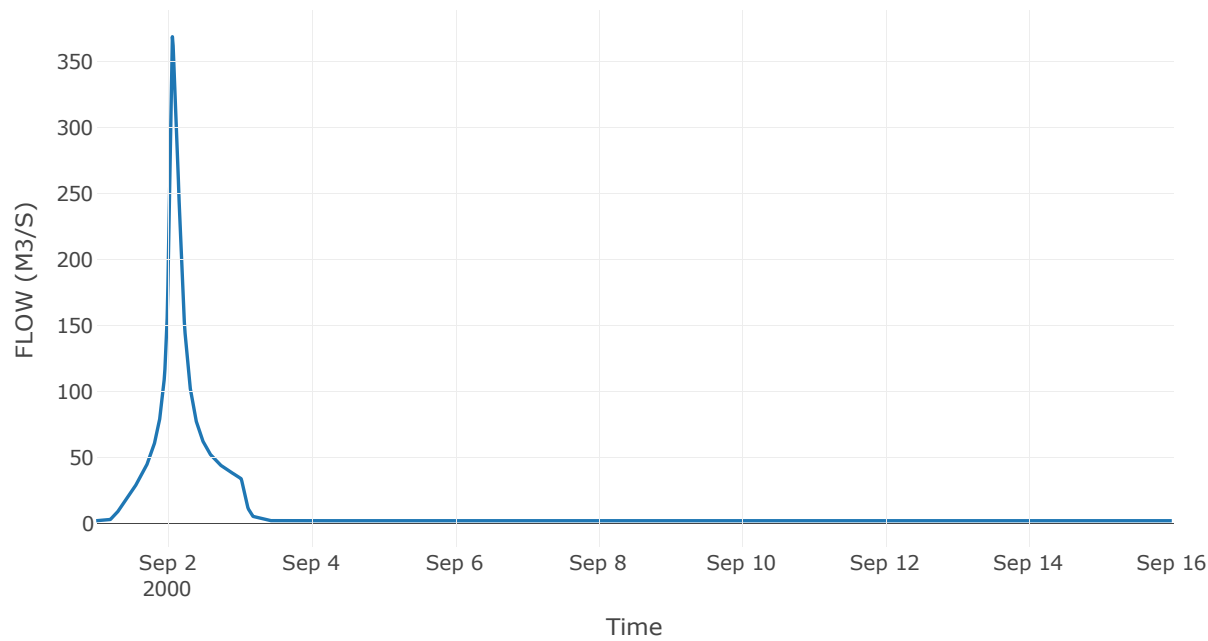
Κατάντη : J1

Μέθοδος Διόδευσης	Χρόνος
Αρχική Μεταβλητή	Combined Inflow
Χρόνος Υστέρησης	0

Αποτελέσματα: R51

Παροχή Αιχμής(M3/S)	368.81
Χρονική στιγμή αιχμής	02Sep2000, 01:30
Όγκος(MM)	193.86
Παροχή Αιχμής Εισόδου (M3/S)	368.81
Όγκος Εισροής(M3)	1.48E7

Απορροή



Κλάδος: R1110

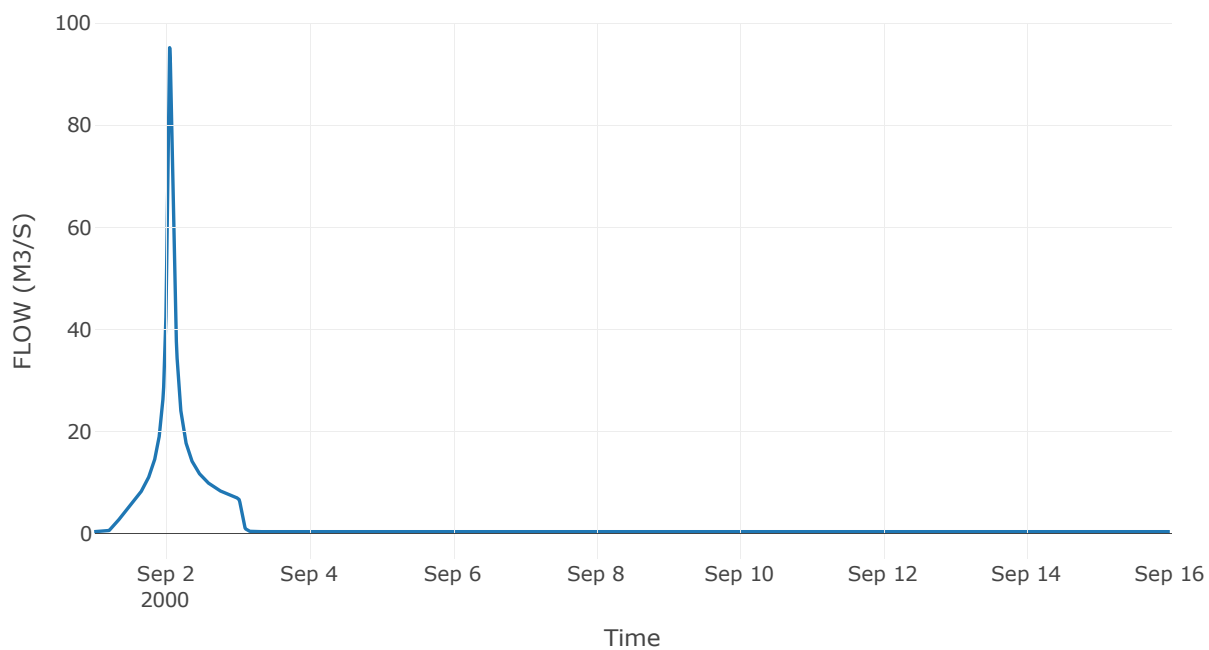
Κατάντη : J10

Μέθοδος Διόδευσης	Χρόνος
Αρχική Μεταβλητή	Combined Inflow
Χρόνος Υστέρησης	0

Αποτελέσματα: R1110

Παροχή Αιχμής(M3/S)	95.17
Χρονική στιγμή αιχμής	02Sep2000, 01:15
Όγκος(MM)	197.14
Παροχή Αιχμής Εισόδου (M3/S)	95.17
Όγκος Εισροής(M3)	2.87E6

Απορροή



Κλάδος: R1210

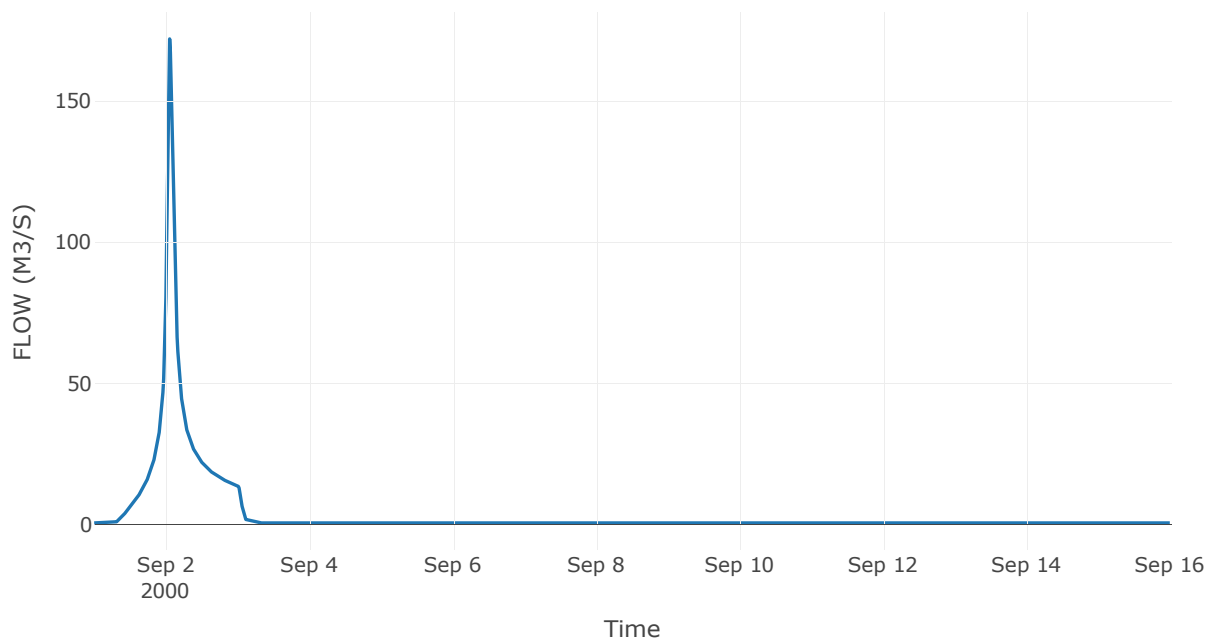
Κατάντη : J10

Μέθοδος Διόδευσης	Χρόνος
Αρχική Μεταβλητή	Combined Inflow
Χρόνος Υστέρησης	0

Αποτελέσματα: R1210

Παροχή Αιχμής(M3/S)	172.02
Χρονική στιγμή αιχμής	02Sep2000, 01:15
Όγκος(MM)	177.88
Παροχή Αιχμής Εισόδου (M3/S)	172.02
Όγκος Εισροής(M3)	5.34E6

Απορροή



Κλάδος: R1310

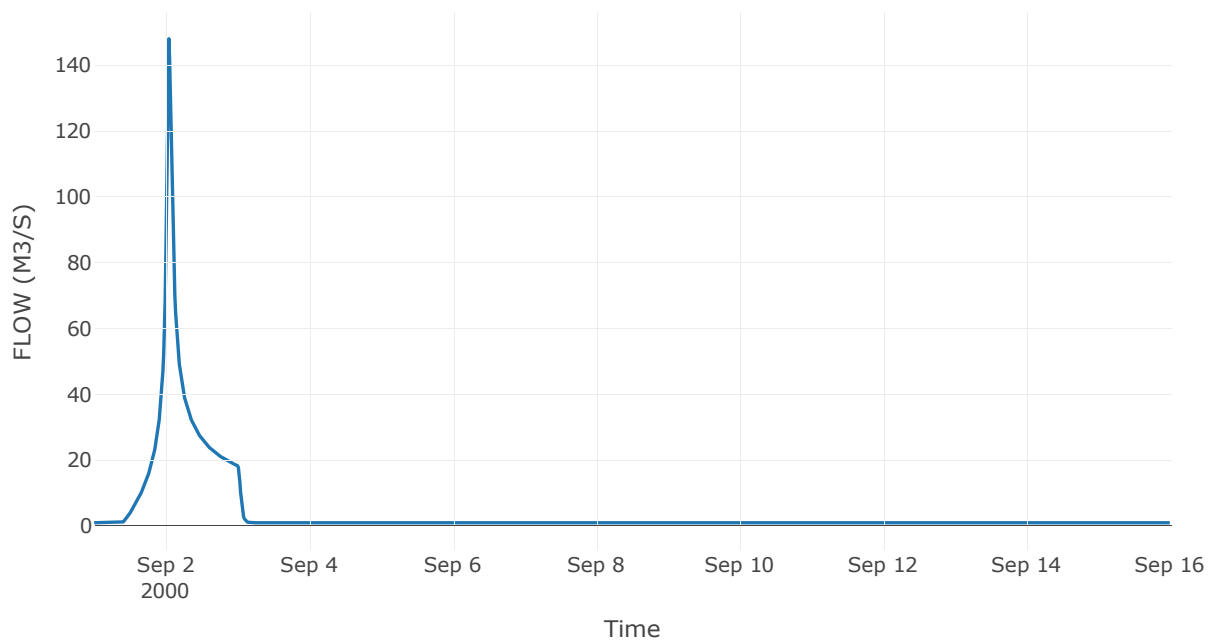
Κατάντη : J10

Μέθοδος Διόδευσης	Χρόνος
Αρχική Μεταβλητή	Combined Inflow
Χρόνος Υστέρησης	0

Αποτελέσματα: R1310

Παροχή Αιχμής(M3/S)	148.03
Χρονική στιγμή αιχμής	02Sep2000, 01:00
Όγκος(MM)	164.51
Παροχή Αιχμής Εισόδου (M3/S)	148.03
Όγκος Εισροής(M3)	5.27E6

Απορροή



Κλάδος: R1410

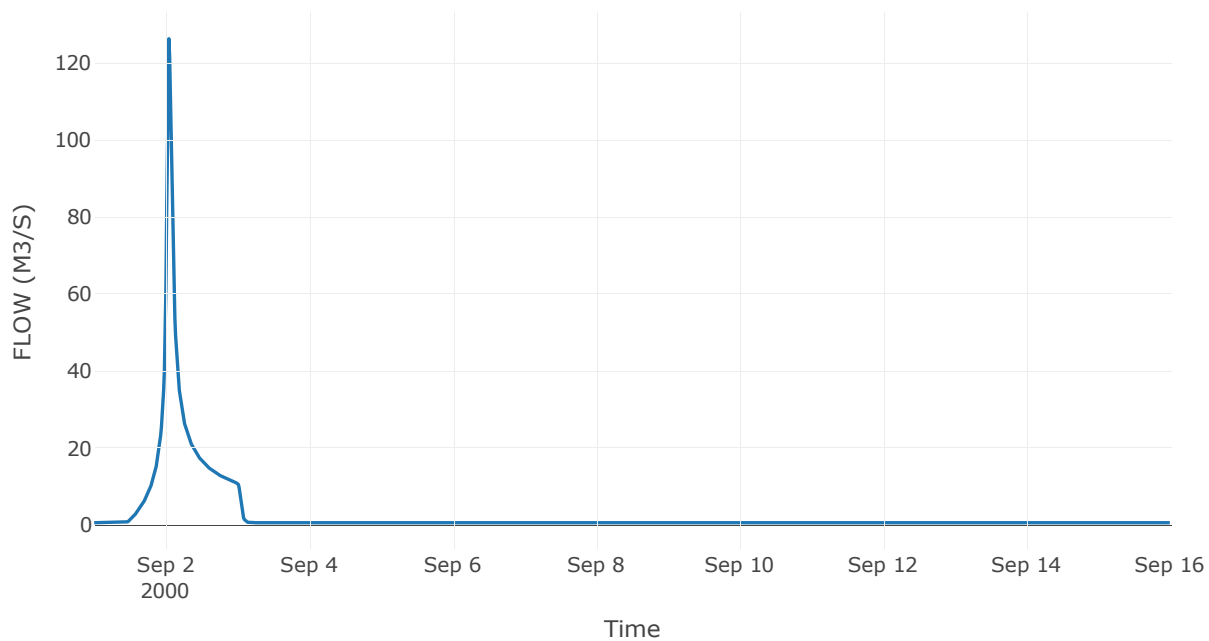
Κατάντη : J10

Μέθοδος Διόδευσης	Χρόνος
Αρχική Μεταβλητή	Combined Inflow
Χρόνος Υστέρησης	0

Αποτελέσματα: R1410

Παροχή Αιχμής(M3/S)	126.32
Χρονική στιγμή αιχμής	02Sep2000, 01:00
Όγκος(MM)	151.18
Παροχή Αιχμής Εισόδου (M3/S)	126.32
Όγκος Εισροής(M3)	3.7E6

Απορροή



Κλάδος: R1510

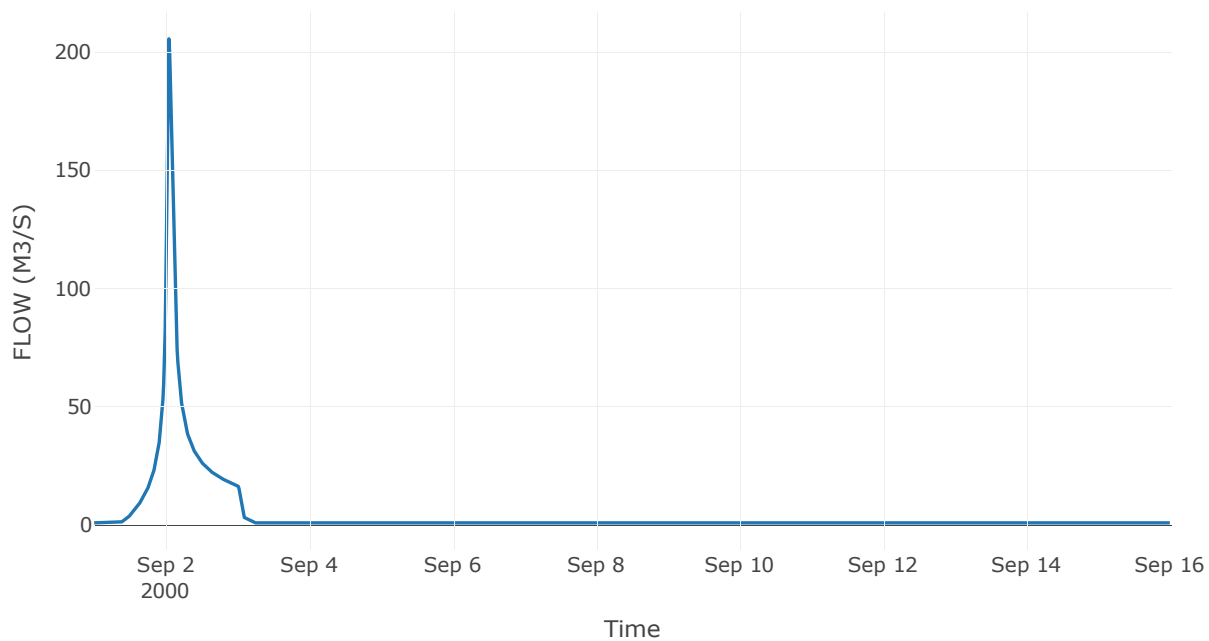
Κατάντη : J10

Μέθοδος Διόδευσης	Χρόνος
Αρχική Μεταβλητή	Combined Inflow
Χρόνος Υστέρησης	0

Αποτελέσματα: R1510

Παροχή Αιχμής(M3/S)	205.63
Χρονική στιγμή αιχμής	02Sep2000, 01:00
Όγκος(MM)	167.89
Παροχή Αιχμής Εισόδου (M3/S)	205.63
Όγκος Εισροής(M3)	6.14E6

Απορροή



Κλάδος: R1610

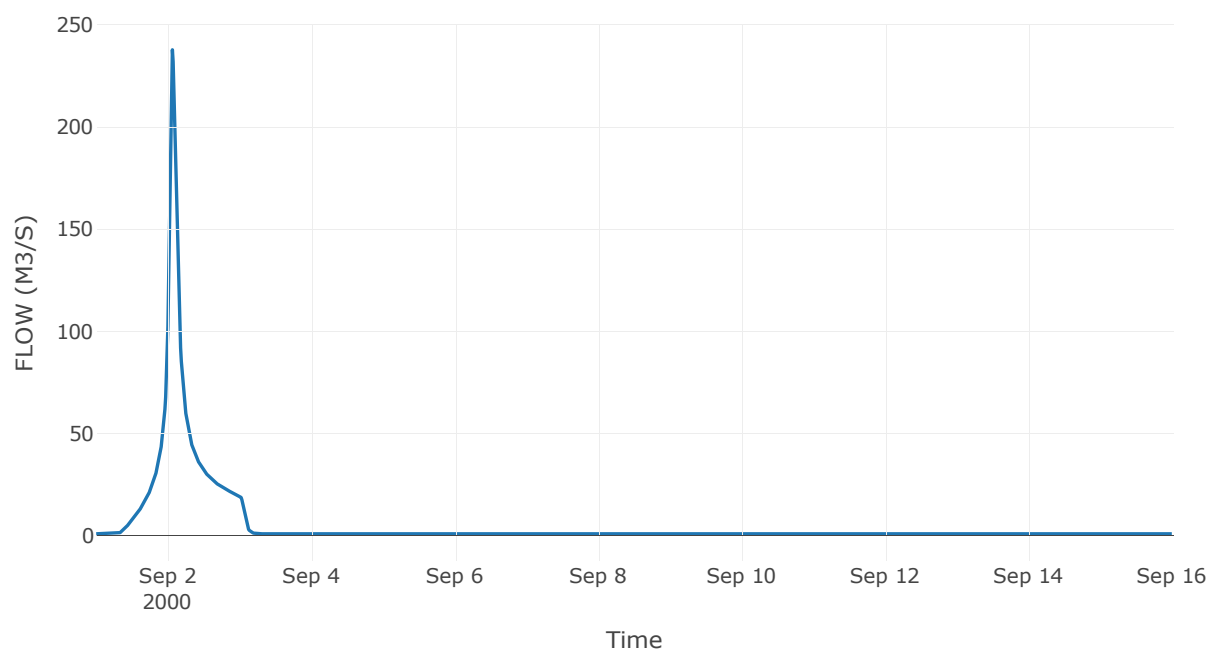
Κατάντη : J10

Μέθοδος Διόδευσης	Χρόνος
Αρχική Μεταβλητή	Combined Inflow
Χρόνος Υστέρησης	0

Αποτελέσματα: R1610

Παροχή Αιχμής(M3/S)	237.72
Χρονική στιγμή αιχμής	02Sep2000, 01:30
Όγκος(MM)	182.18
Παροχή Αιχμής Εισόδου (M3/S)	237.72
Όγκος Εισροής(M3)	7.62E6

Απορροή



Κλάδος: R1710

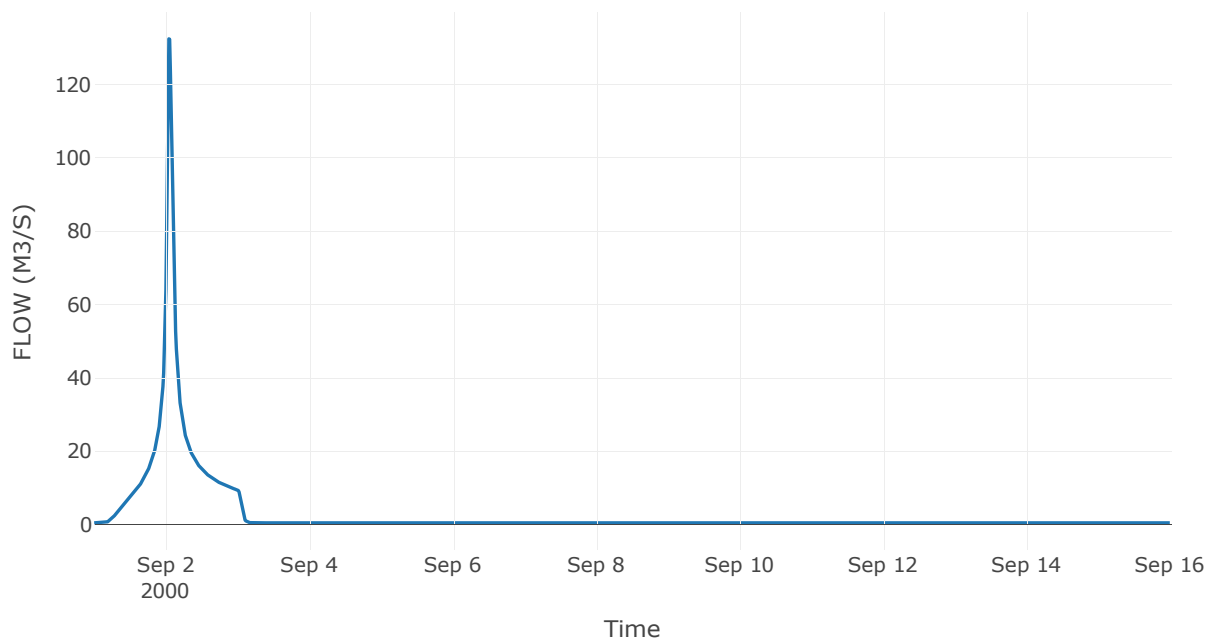
Κατάντη : J10

Μέθοδος Διόδευσης	Χρόνος
Αρχική Μεταβλητή	Combined Inflow
Χρόνος Υστέρησης	0

Αποτελέσματα: R1710

Παροχή Αιχμής(M3/S)	132.44
Χρονική στιγμή αιχμής	02Sep2000, 01:00
Όγκος(MM)	200.15
Παροχή Αιχμής Εισόδου (M3/S)	132.44
Όγκος Εισροής(M3)	3.91E6

Απορροή



Κλάδος: R1810

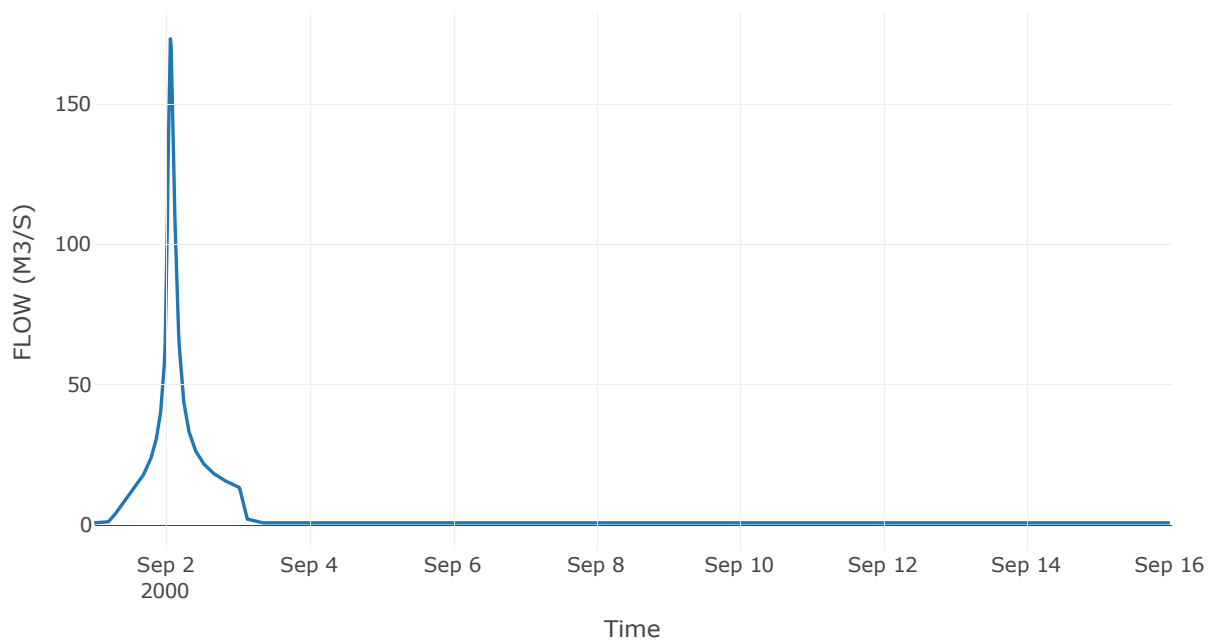
Κατάντη : J10

Μέθοδος Διόδευσης	Χρόνος
Αρχική Μεταβλητή	Combined Inflow
Χρόνος Υστέρησης	0

Αποτελέσματα: R1810

Παροχή Αιχμής(M3/S)	173.13
Χρονική στιγμή αιχμής	02Sep2000, 01:30
Όγκος(MM)	200.6
Παροχή Αιχμής Εισόδου (M3/S)	173.13
Όγκος Εισροής(M3)	5.78E6

Απορροή



Κλάδος: R1910

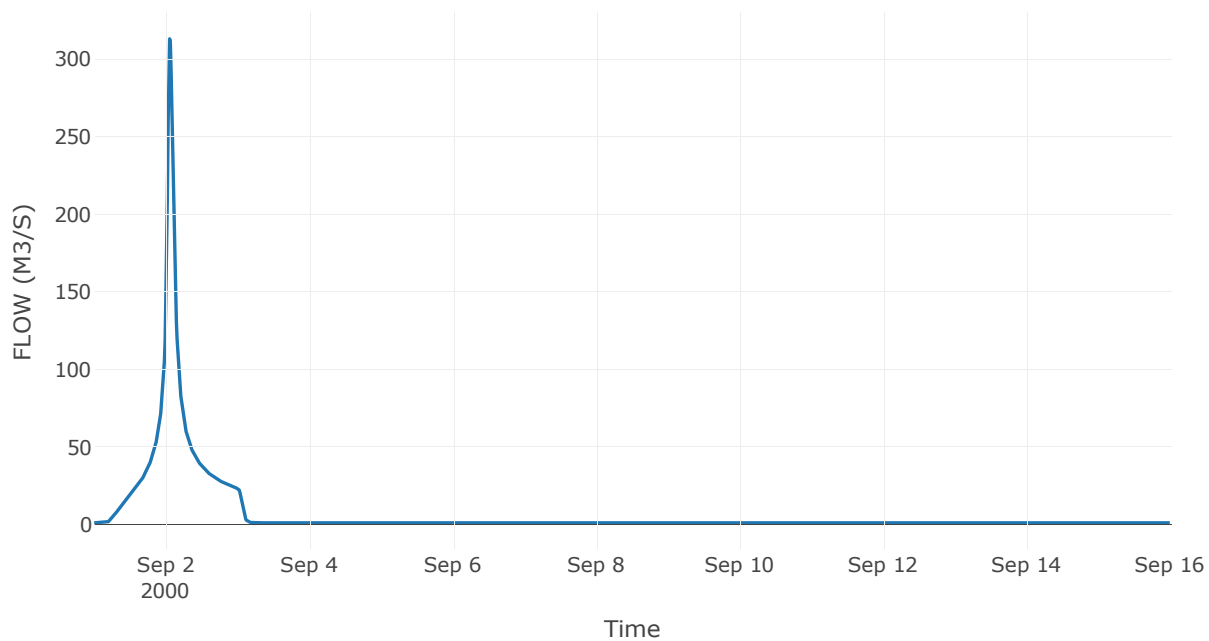
Κατάντη : J10

Μέθοδος Διόδευσης	Χρόνος
Αρχική Μεταβλητή	Combined Inflow
Χρόνος Υστέρησης	0

Αποτελέσματα: R1910

Παροχή Αιχμής(M3/S)	313.12
Χρονική στιγμή αιχμής	02Sep2000, 01:15
Όγκος(MM)	198.13
Παροχή Αιχμής Εισόδου (M3/S)	313.12
Όγκος Εισροής(M3)	9.75E6

Απορροή



Κλάδος: R16

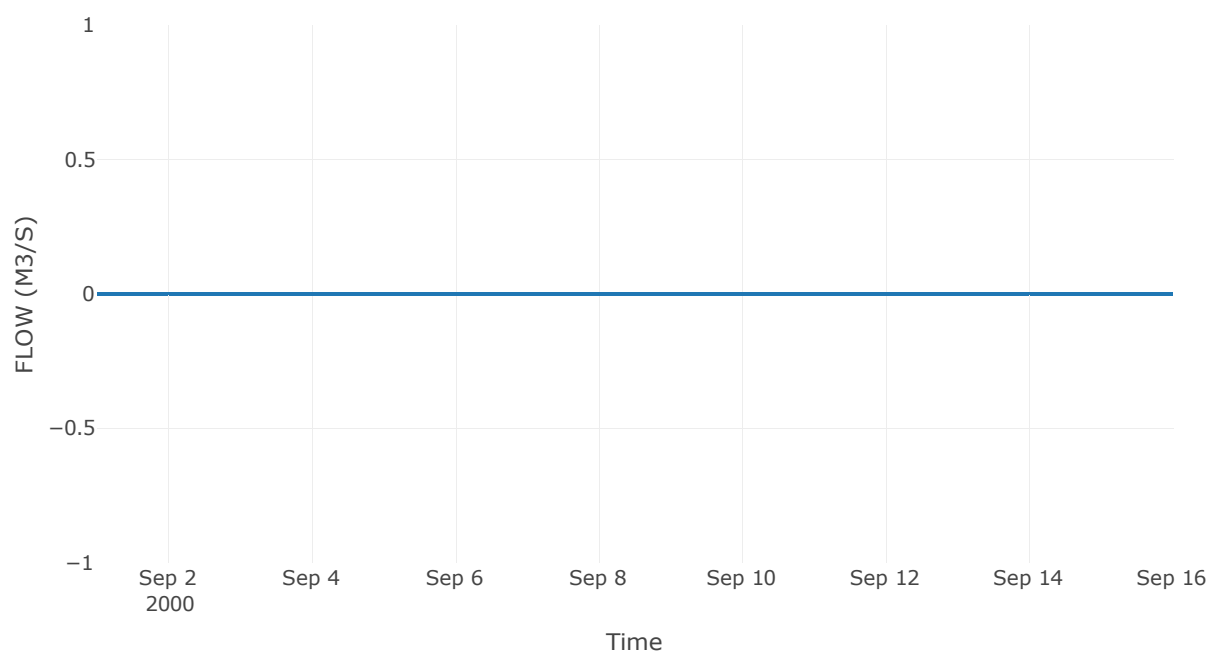
Κατάντη : J6

Μέθοδος Διόδευσης	Muskingum
Αρχική Μεταβλητή	Combined Inflow
Χρόνος Ροής Κ	14.66
Συντελεστής βάρους x	0.2
Πλήθος Υποκλάδων	59

Αποτελέσματα: R16

Παροχή Αιχμής(M3/S)	0
Χρονική στιγμή αιχμής	31Aug2000, 24:00
Εισροή Αιχμής(M3/S)	0
Όγκος Εισροής (M3)	0

Απορροή



Κλάδος: R74

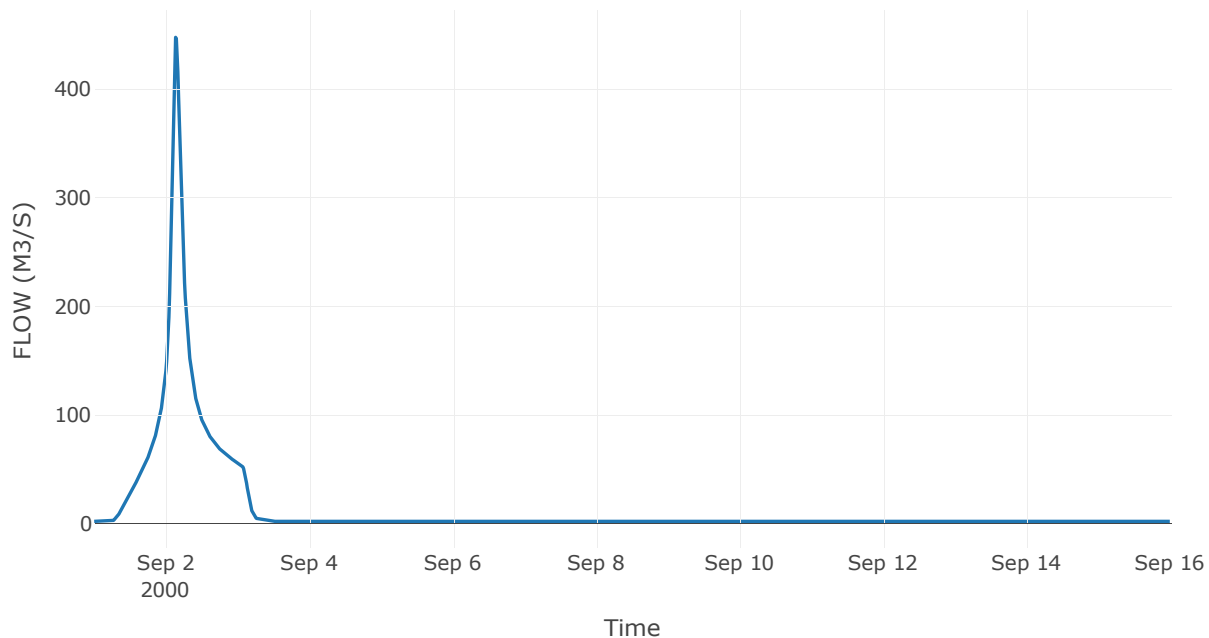
Κατάντη : J4

Μέθοδος Διόδευσης	Muskingum
Αρχική Μεταβλητή	Combined Inflow
Χρόνος Ροής K	1.39
Συντελεστής βάρους x	0.2
Πλήθος Υποκλάδων	6

Αποτελέσματα: R74

Παροχή Αιχμής(M3/S)	447.33
Χρονική στιγμή αιχμής	02Sep2000, 03:15
Όγκος(MM)	213.64
Παροχή Αιχμής Εισόδου (M3/S)	465.27
Όγκος Εισροής(M3)	1.93E7

Απορροή



Κλάδος: R85

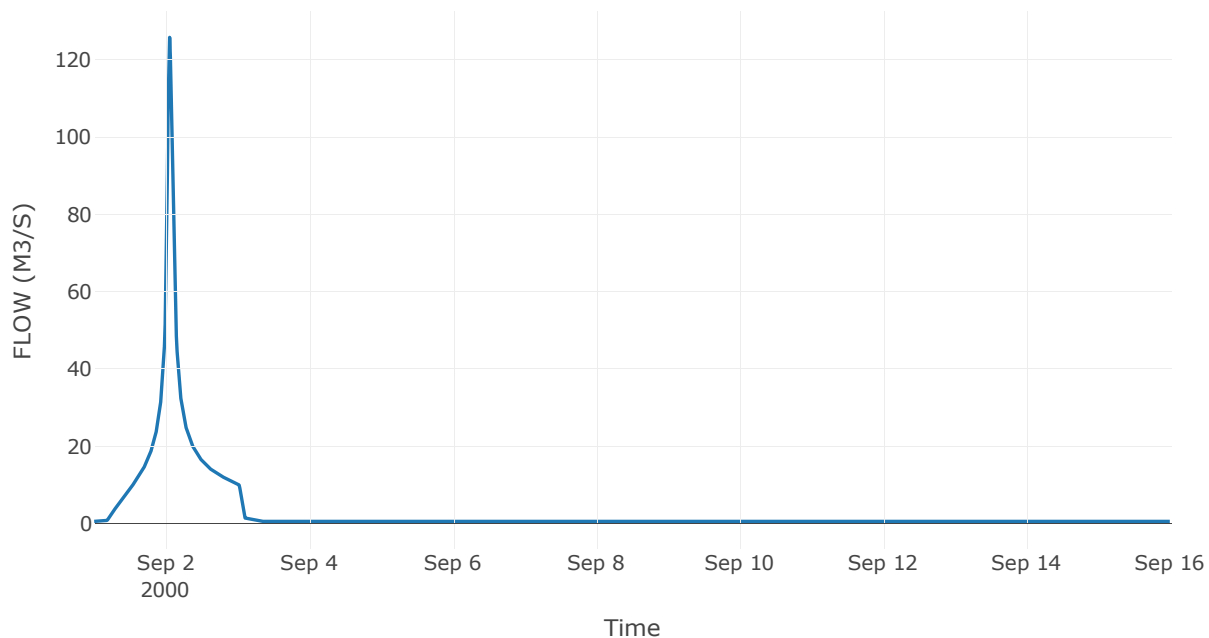
Κατάντη : J5

Μέθοδος Διόδευσης	Muskingum
Αρχική Μεταβλητή	Combined Inflow
Χρόνος Ροής Κ	0.27
Συντελεστής βάρους α	0.2
Πλήθος Υποκλάδων	1

Αποτελέσματα: R85

Παροχή Αιχμής(M3/S)	125.85
Χρονική στιγμή αιχμής	02Sep2000, 01:15
Όγκος(MM)	199.68
Παροχή Αιχμής Εισόδου (M3/S)	129.08
Όγκος Εισροής(M3)	4.07E6

Απορροή



Κλάδος: R95

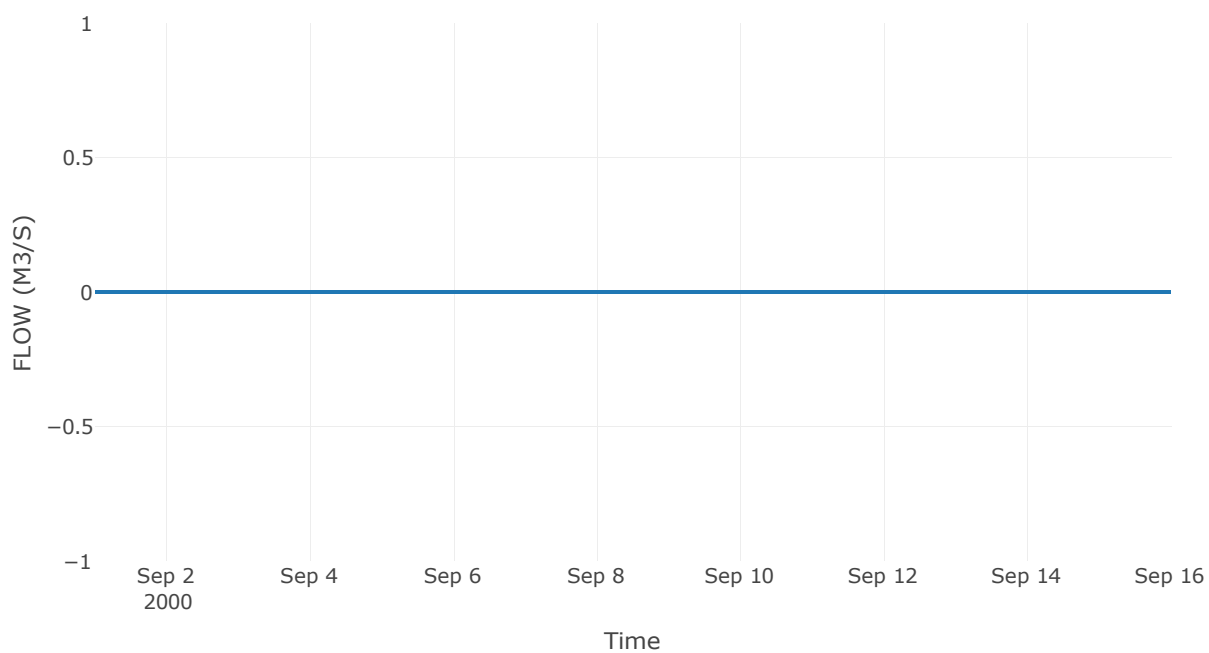
Κατάντη : J5

Μέθοδος Διόδευσης	Χρόνος
Αρχική Μεταβλητή	Combined Inflow
Χρόνος Υστέρησης	87.09

Αποτελέσματα: R95

Παροχή Αιχμής(M3/S)	0
Χρονική στιγμή αιχμής	31Aug2000, 24:00
Εισροή Αιχμής(M3/S)	0
Όγκος Εισροής (M3)	0

Απορροή



Κλάδος: R2011

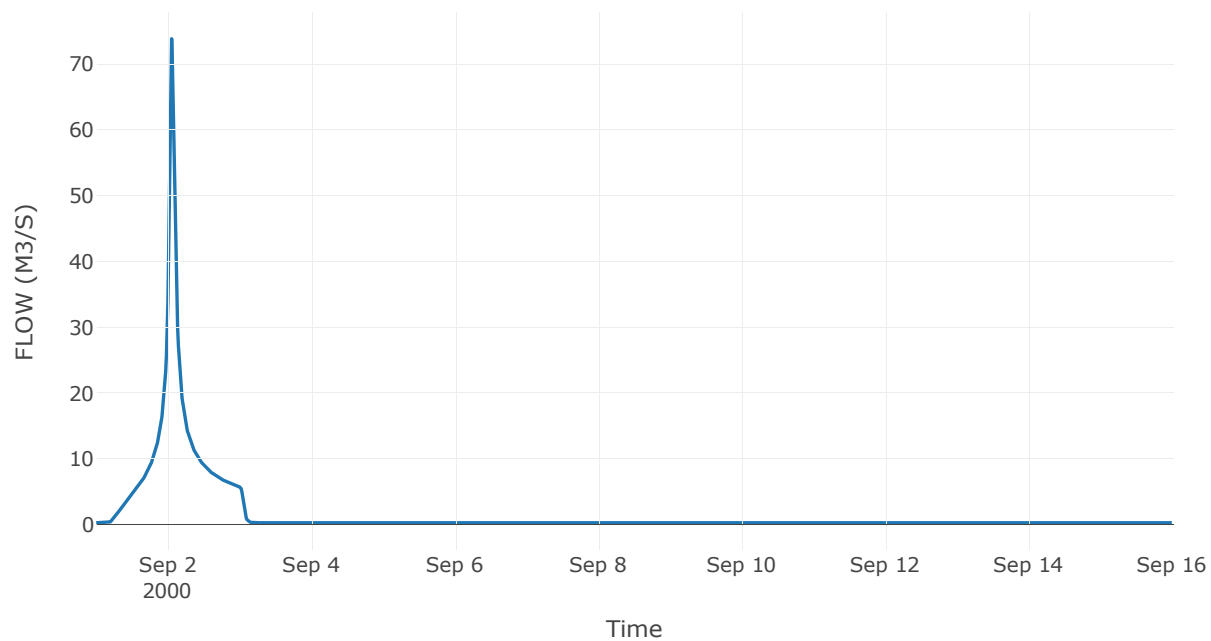
Κατάντη : J11

Μέθοδος Διόδευσης	Χρόνος
Αρχική Μεταβλητή	Combined Inflow
Χρόνος Υστέρησης	13.08

Αποτελέσματα: R2011

Παροχή Αιχμής(M3/S)	73.84
Χρονική στιγμή αιχμής	02Sep2000, 01:15
Όγκος(MM)	201.17
Παροχή Αιχμής Εισόδου (M3/S)	74.26
Όγκος Εισροής(M3)	2.26E6

Απορροή



Κλάδος: R2117

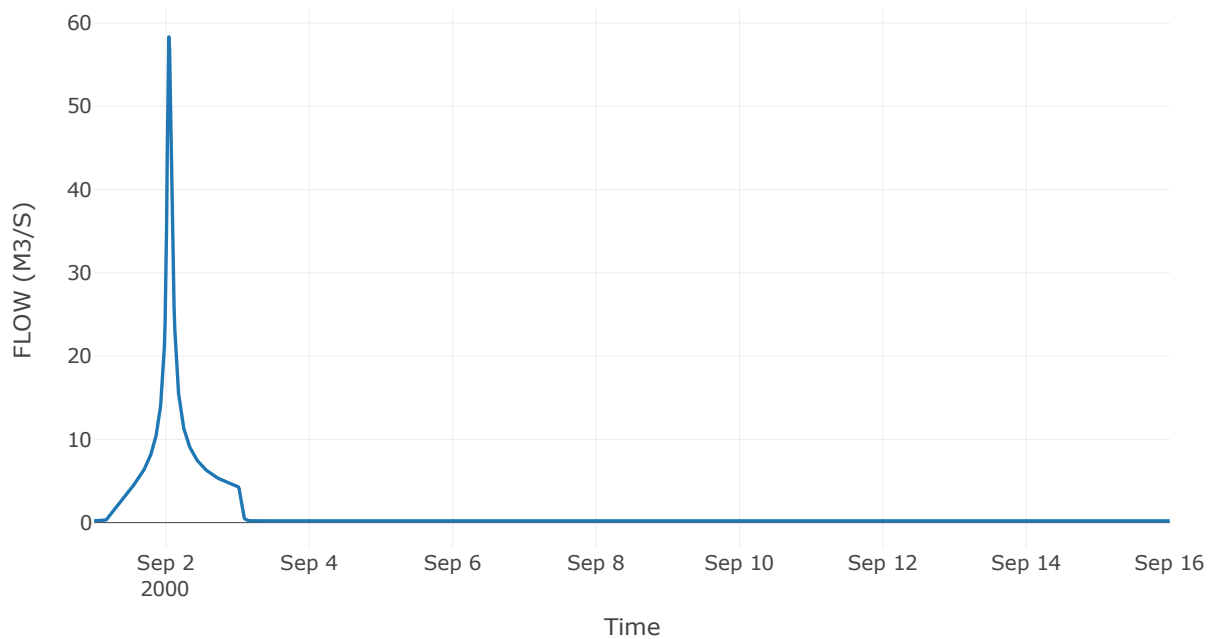
Κατάντη : J17

Μέθοδος Διόδευσης	Χρόνος
Αρχική Μεταβλητή	Combined Inflow
Χρόνος Υστέρησης	12.27

Αποτελέσματα: R2117

Παροχή Αιχμής(M3/S)	58.34
Χρονική στιγμή αιχμής	02Sep2000, 01:00
Όγκος(MM)	206.1
Παροχή Αιχμής Εισόδου (M3/S)	58.44
Όγκος Εισροής(M3)	1.75E6

Απορροή



Κλάδος: R2218

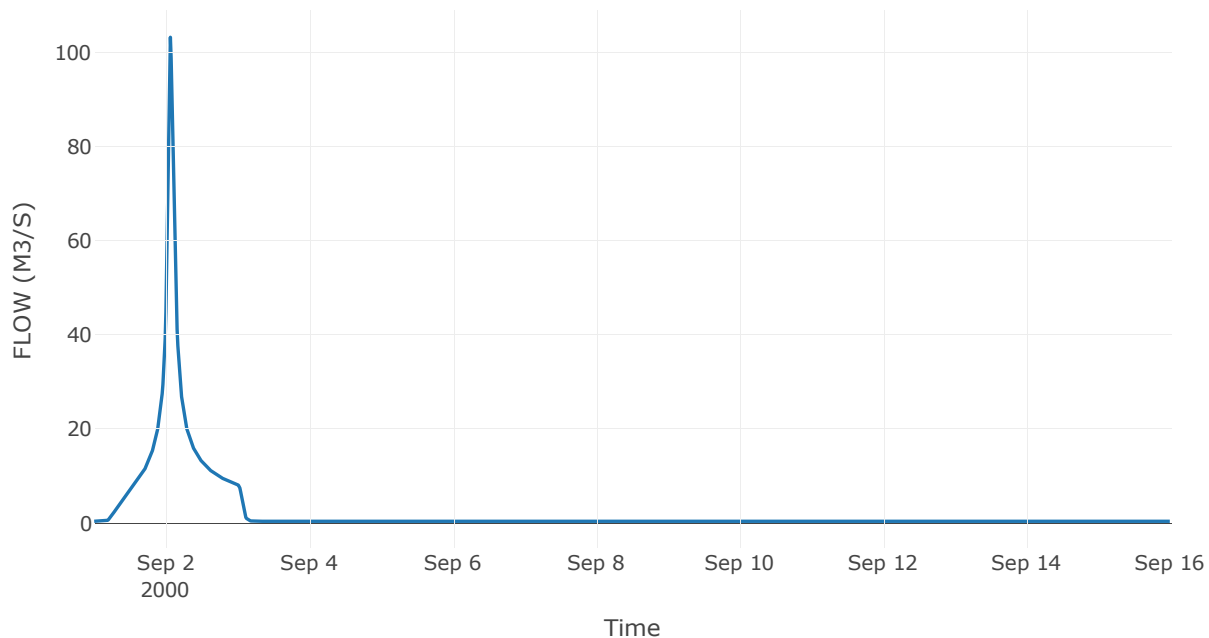
Κατάντη : J18

Μέθοδος Διόδευσης	Muskingum
Αρχική Μεταβλητή	Combined Inflow
Χρόνος Ροής Κ	0.32
Συντελεστής βάρους x	0.2
Πλήθος Υποκλάδων	1

Αποτελέσματα: R2218

Παροχή Αιχμής(M3/S)	103.18
Χρονική στιγμή αιχμής	02Sep2000, 01:30
Όγκος(MM)	202.59
Παροχή Αιχμής Εισόδου (M3/S)	106.21
Όγκος Εισροής(M3)	3.32E6

Απορροή



Κλάδος: R2319

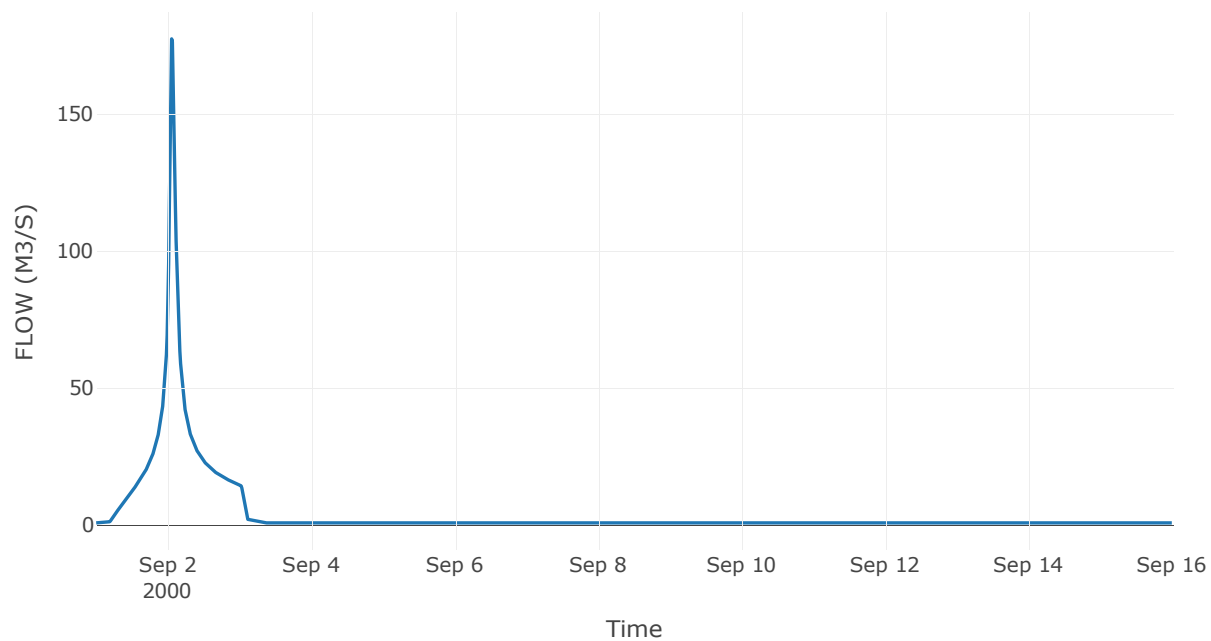
Κατάντη : J19

Μέθοδος Διόδευσης	Χρόνος
Αρχική Μεταβλητή	Combined Inflow
Χρόνος Υστέρησης	14.71

Αποτελέσματα: R2319

Παροχή Αιχμής(M3/S)	177.39
Χρονική στιγμή αιχμής	02Sep2000, 01:15
Όγκος(MM)	201.76
Παροχή Αιχμής Εισόδου (M3/S)	177.43
Όγκος Εισροής(M3)	5.81E6

Απορροή



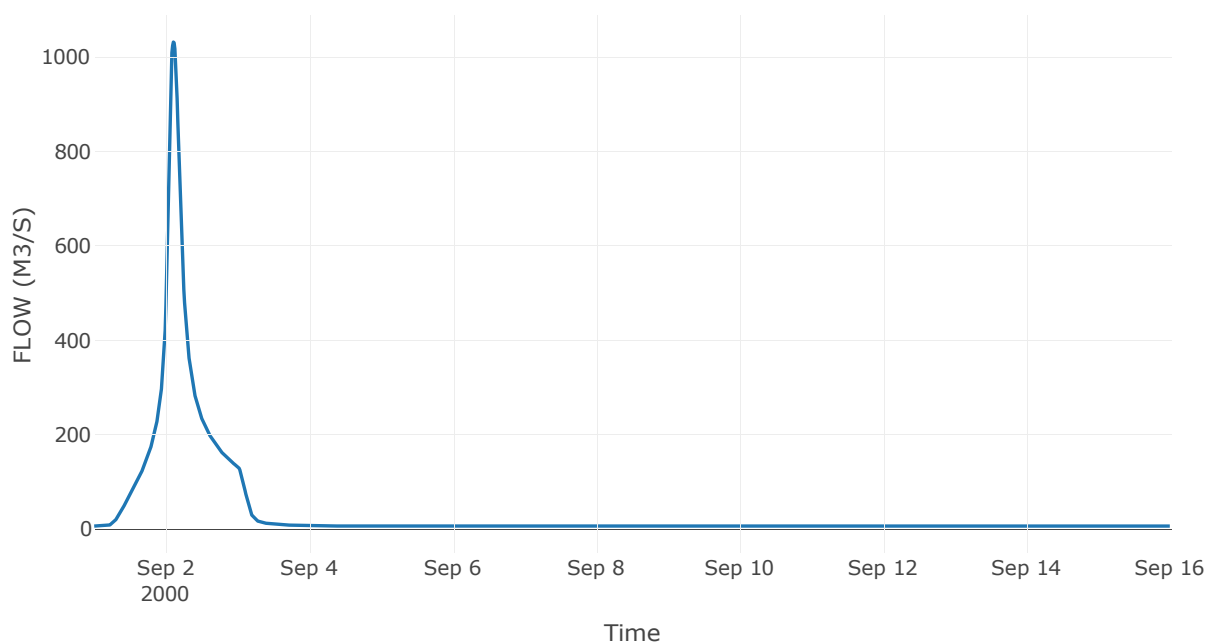
Δεδομένα και υδρογραφήματα σχεδιασμού Κόμβων υδρογραφικού δικτύου

Κόμβος εξόδου: J1

Αποτέλεσμα
τα: J1

Παροχή αιχμής (M3/S)	1031.57
Χρονική στιγμή αιχμής	02Sep2000, 02:30
Όγκος (MM)	200.59

Απορροή



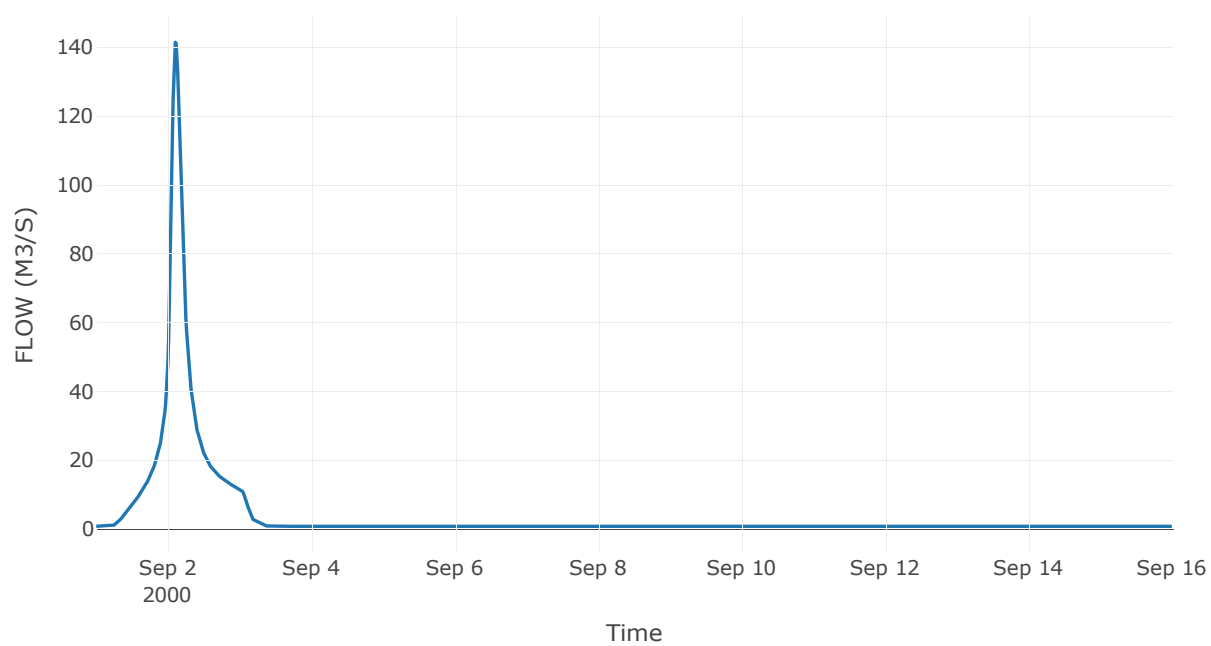
Κόμβος: J2

Κατάντη : R21

Αποτελέσματα: J2

Παροχή Αιχμής(M3/S)	141.36
Χρονική στιγμή αιχμής	02Sep2000, 02:30
Όγκος(MM)	190.64

Απορροή



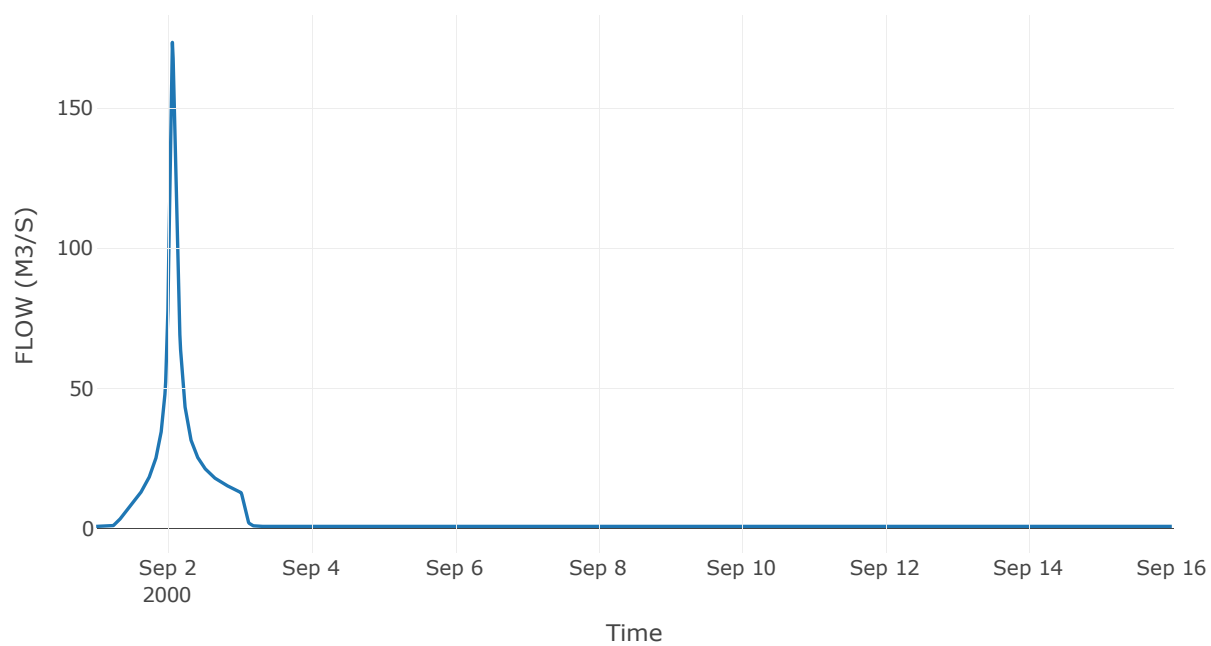
Κόμβος: J3

Κατάντη : R31

Αποτελέσματα: J3

Παροχή Αιχμής(M3/S)	173.45
Χρονική στιγμή αιχμής	02Sep2000, 01:30
Όγκος(MM)	185.92

Απορροή



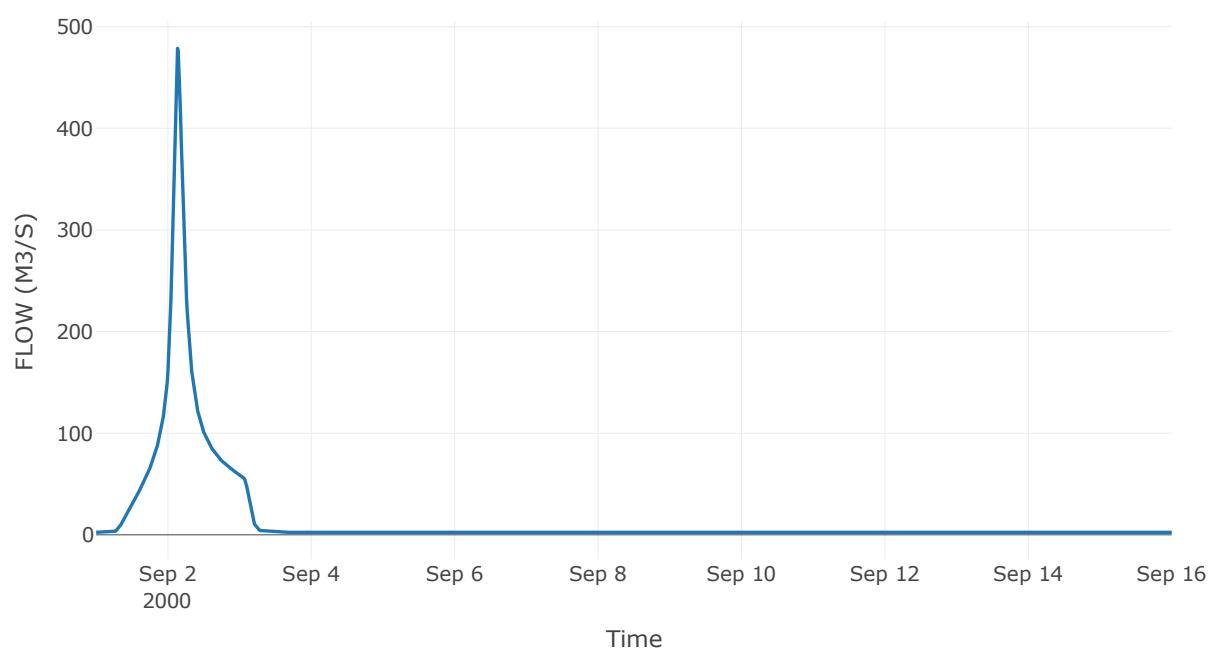
Κόμβος: J4

Κατάντη : R41

Αποτελέσματα: J4

Παροχή Αιχμής(M3/S)	478.66
Χρονική στιγμή αιχμής	02Sep2000, 03:15
Όγκος(MM)	211.51

Απορροή



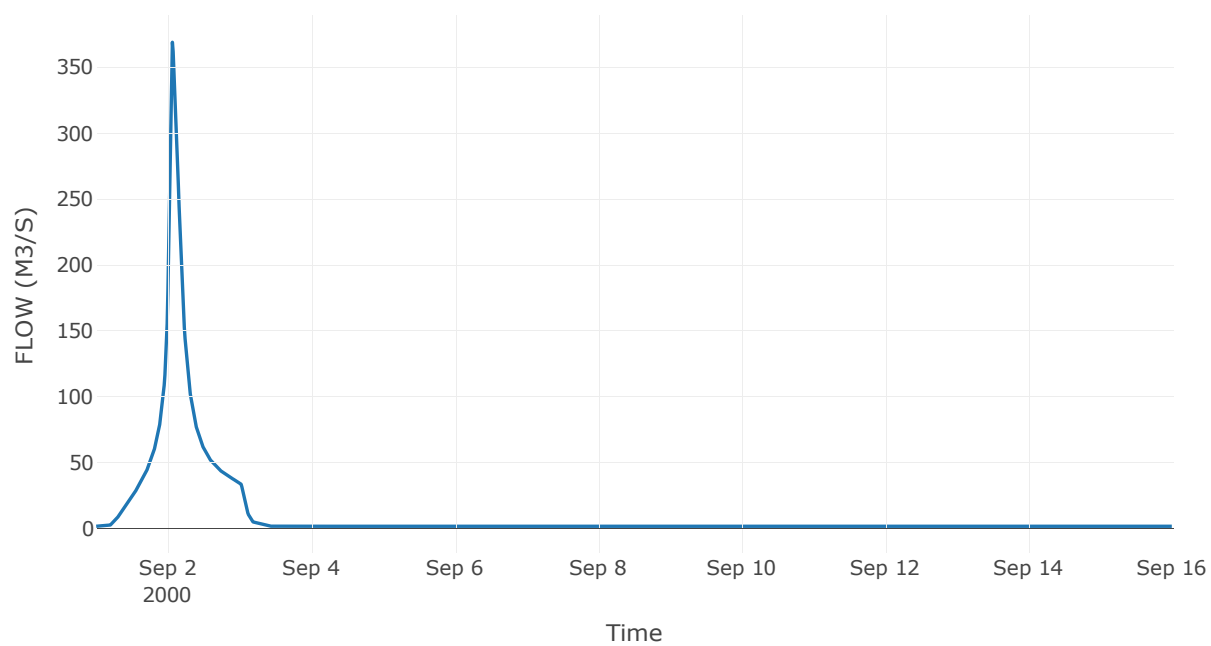
Κόμβος: J5

Κατάντη : R51

Αποτελέσματα: J5

Παροχή Αιχμής(M3/S)	368.81
Χρονική στιγμή αιχμής	02Sep2000, 01:30
Όγκος(MM)	193.86

Απορροή

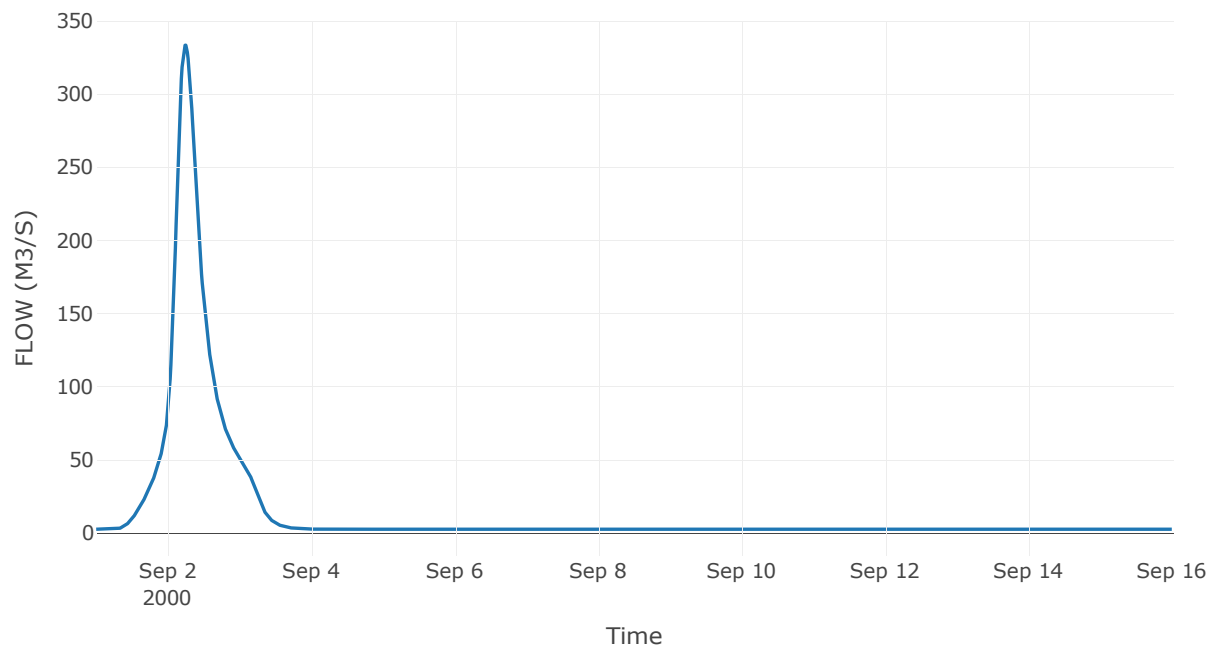


Κόμβος εξόδου: J6

Αποτελέσματα: J6

Παροχή Αιχμής(M3/S)	333.29
Χρονική στιγμή αιχμής	02Sep2000, 06:00
Όγκος(MM)	184.26

Απορροή



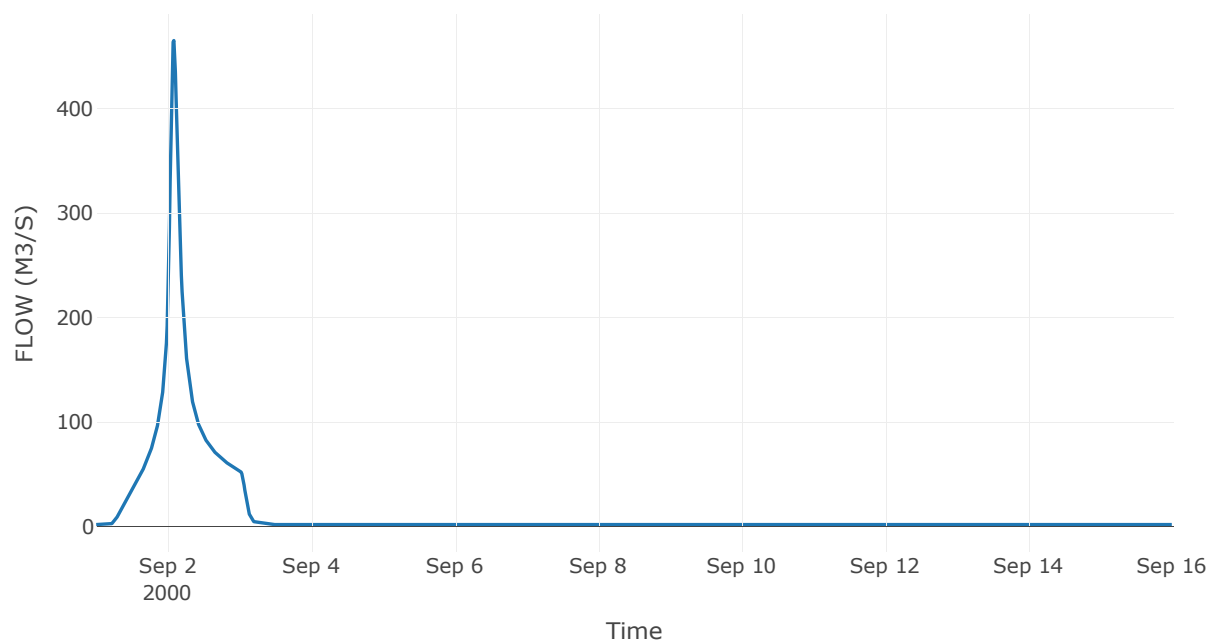
Κόμβος: J7

Κατάντη : R74

Αποτελέσματα: J7

Παροχή Αιχμής(M3/S)	465.27
Χρονική στιγμή αιχμής	02Sep2000, 02:00
Όγκος(MM)	213.64

Απορροή



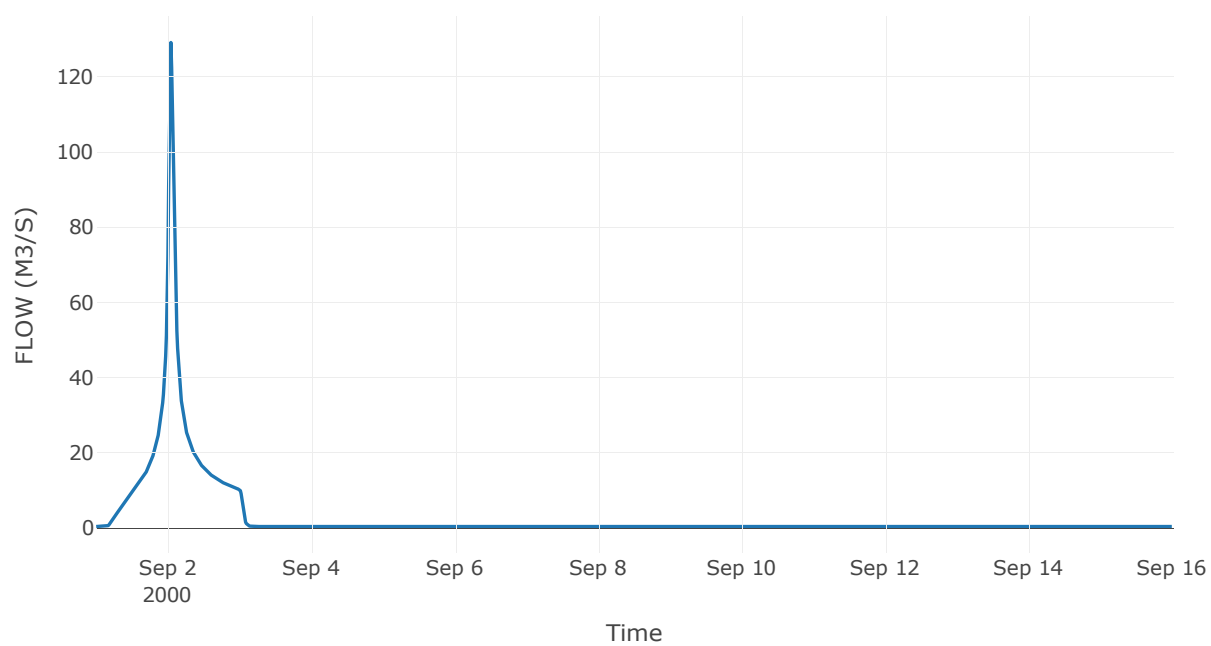
Κόμβος: J8

Κατάντη : R85

Αποτελέσματα: J8

Παροχή Αιχμής(M3/S)	129.08
Χρονική στιγμή αιχμής	02Sep2000, 01:00
Όγκος(MM)	199.68

Απορροή



Κόμβος: J9

Κατάντη : R95

Αποτελέσματα: J9

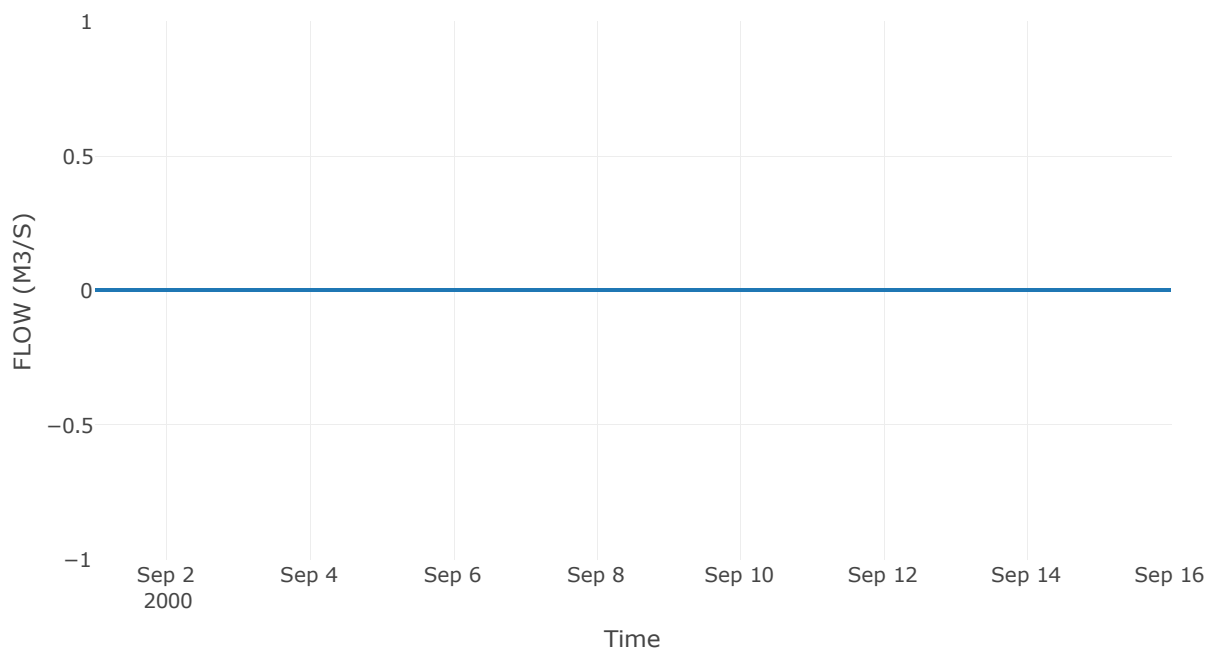
Παροχή Αιχμής(M3/S)

0

Χρονική στιγμή αιχμής

31Aug2000, 24:00

Απορροή

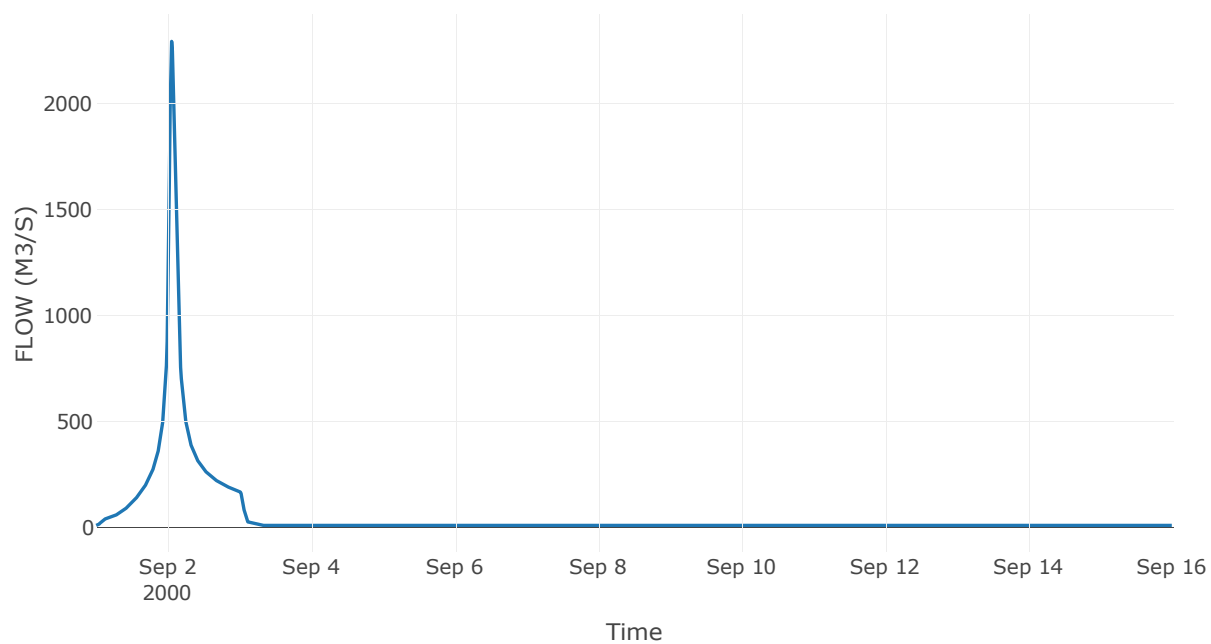


Κόμβος εξόδου: J10

Αποτελέσματ
α: J10

Παροχή αιχμής (M3/S)	2294.15
Χρονική στιγμή αιχμής	02Sep2000, 01:15
Όγκος (MM)	191.01

Απορροή



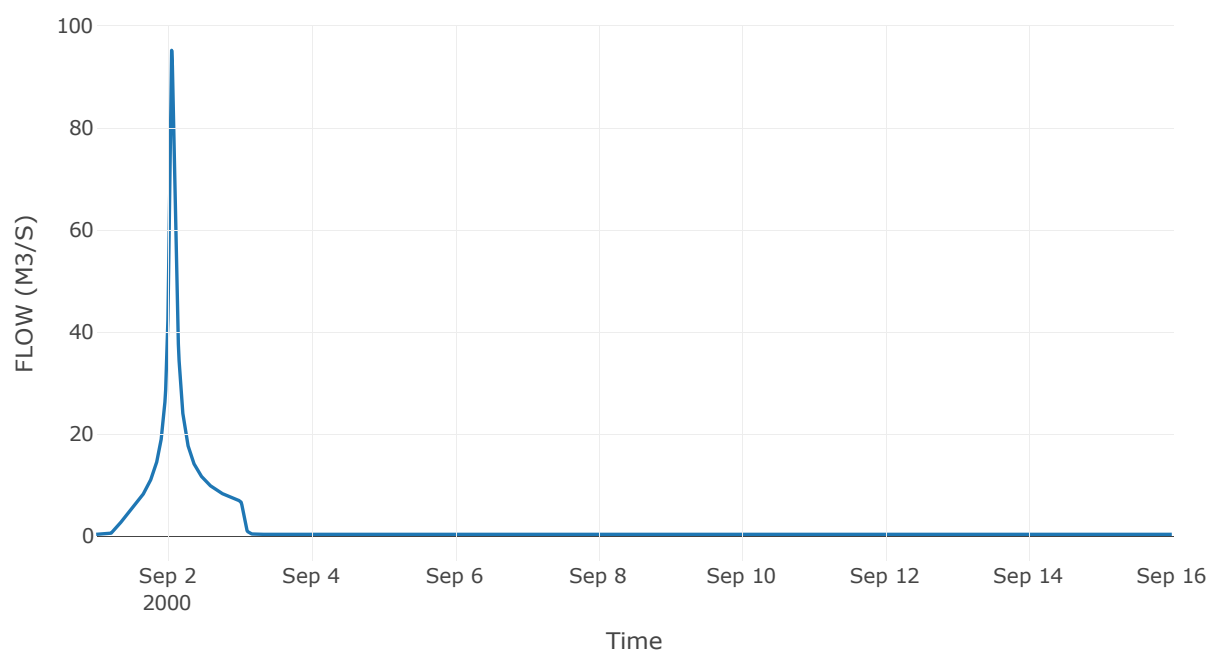
Κόμβος: J11

Κατάντη : R1110

Αποτελέσματα: J11

Παροχή Αιχμής(M3/S)	95.17
Χρονική στιγμή αιχμής	02Sep2000, 01:15
Όγκος(MM)	197.14

Απορροή



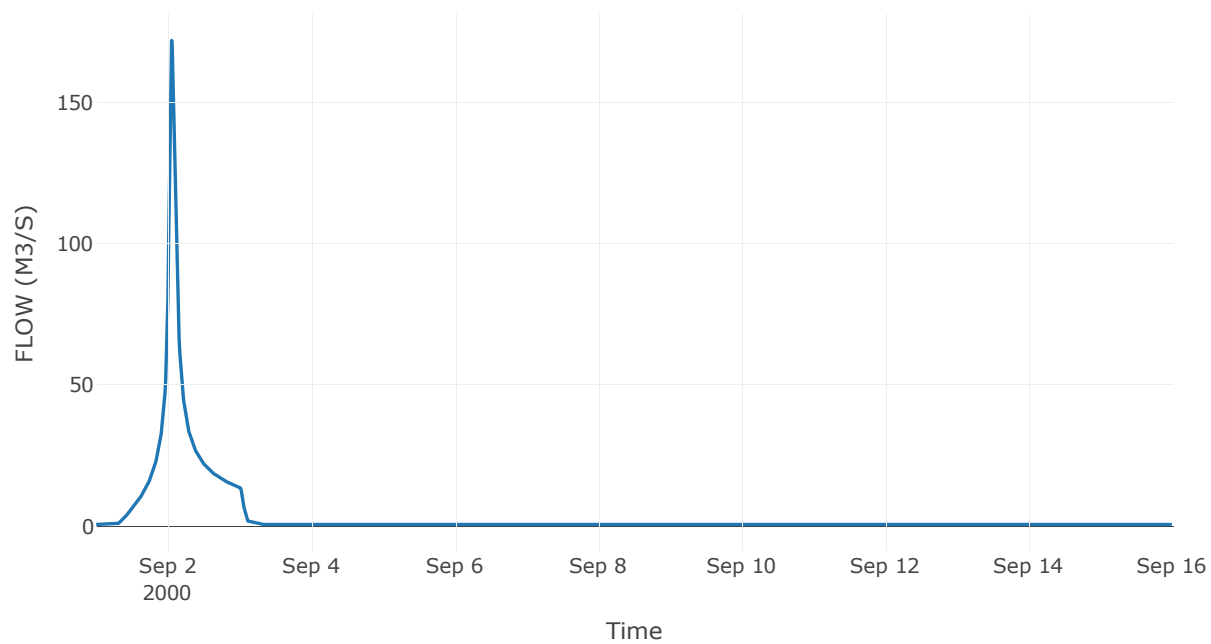
Κόμβος: J12

Κατάντη : R1210

Αποτελέσματα: J12

Παροχή Αιχμής(M3/S)	172.02
Χρονική στιγμή αιχμής	02Sep2000, 01:15
Όγκος(MM)	177.88

Απορροή



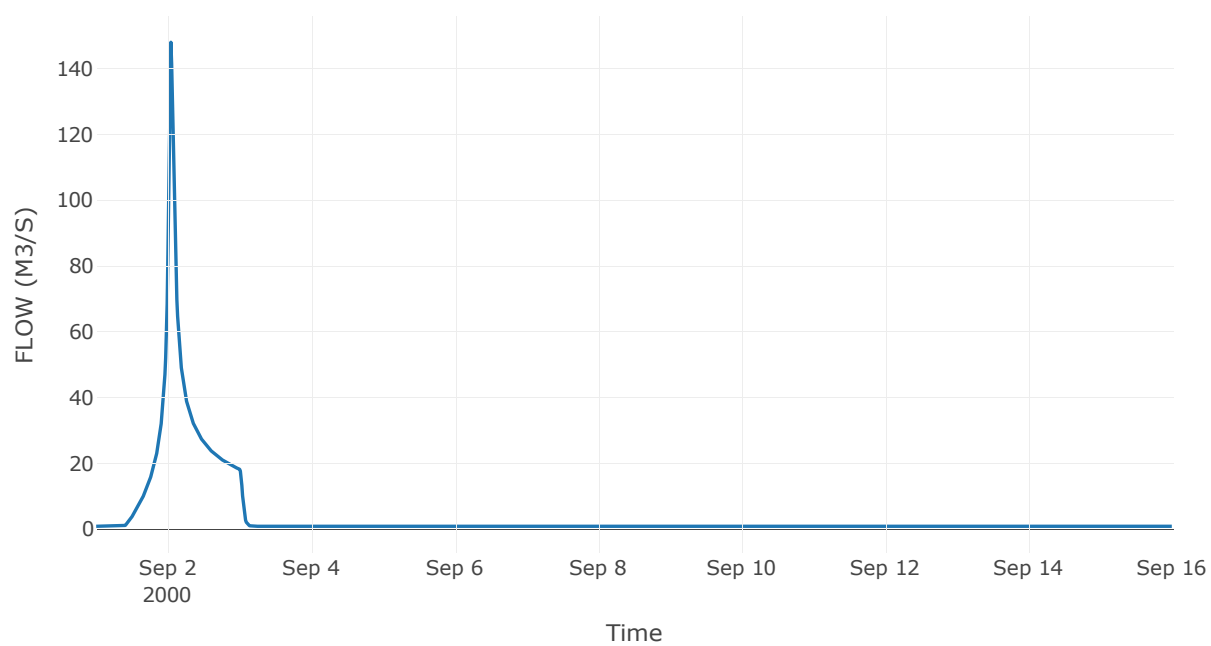
Κόμβος: J13

Κατάντη : R1310

Αποτελέσματα: J13

Παροχή Αιχμής(M3/S)	148.03
Χρονική στιγμή αιχμής	02Sep2000, 01:00
Όγκος(MM)	164.51

Απορροή



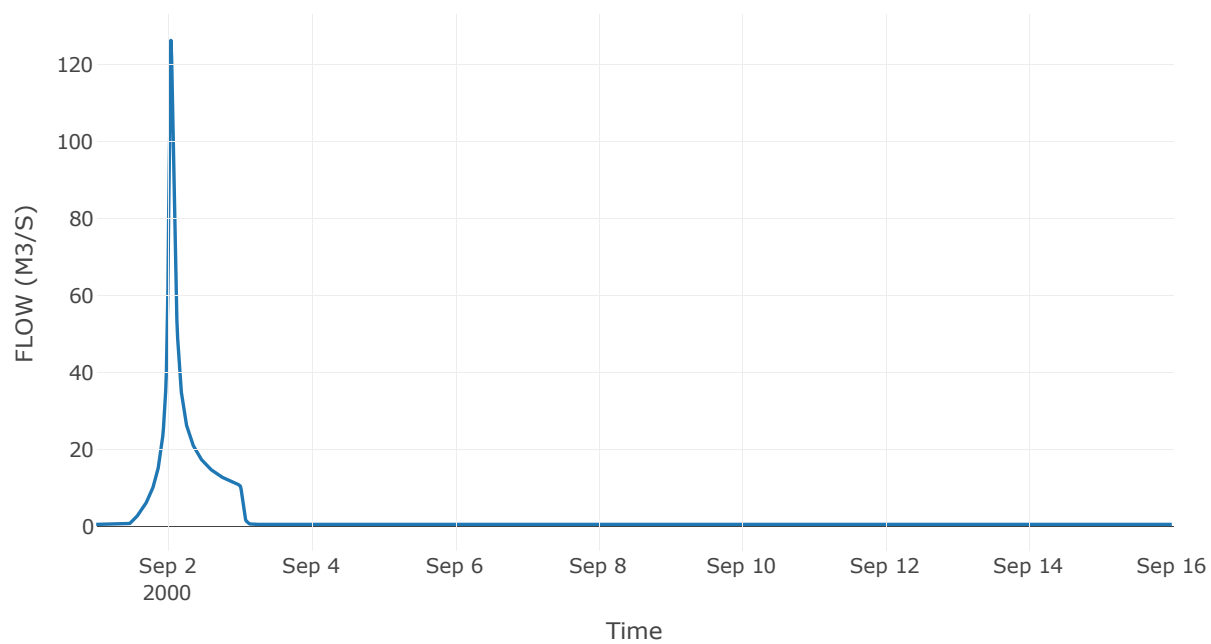
Κόμβος: J14

Κατάντη : R1410

Αποτελέσματα: J14

Παροχή Αιχμής(M3/S)	126.32
Χρονική στιγμή αιχμής	02Sep2000, 01:00
Όγκος(MM)	151.18

Απορροή



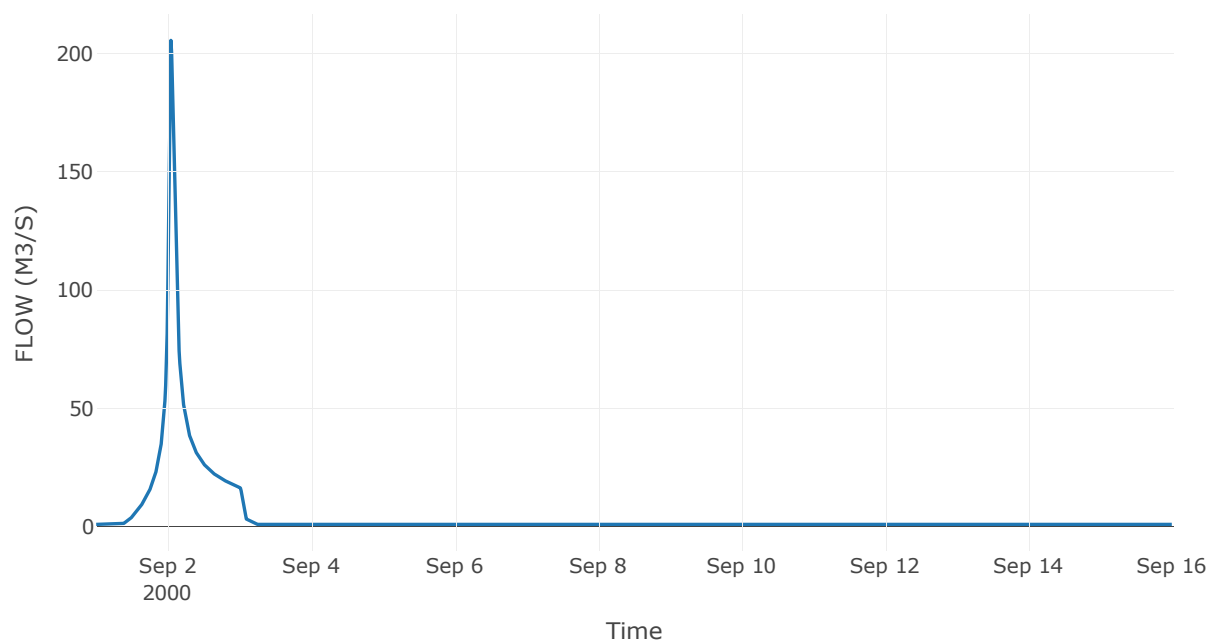
Κόμβος: J15

Κατάντη : R1510

Αποτελέσματα: J15

Παροχή Αιχμής(M3/S)	205.63
Χρονική στιγμή αιχμής	02Sep2000, 01:00
Όγκος(MM)	167.89

Απορροή



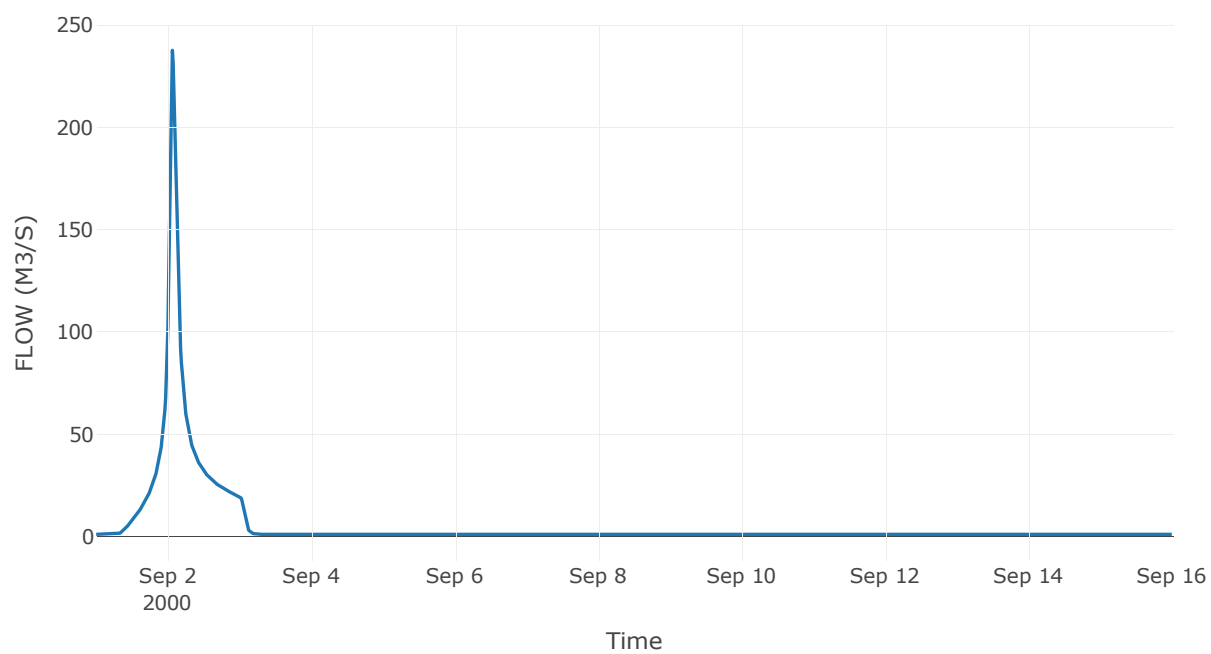
Κόμβος: J16

Κατάντη : R1610

Αποτελέσματα: J16

Παροχή Αιχμής(M3/S)	237.72
Χρονική στιγμή αιχμής	02Sep2000, 01:30
Όγκος(MM)	182.18

Απορροή



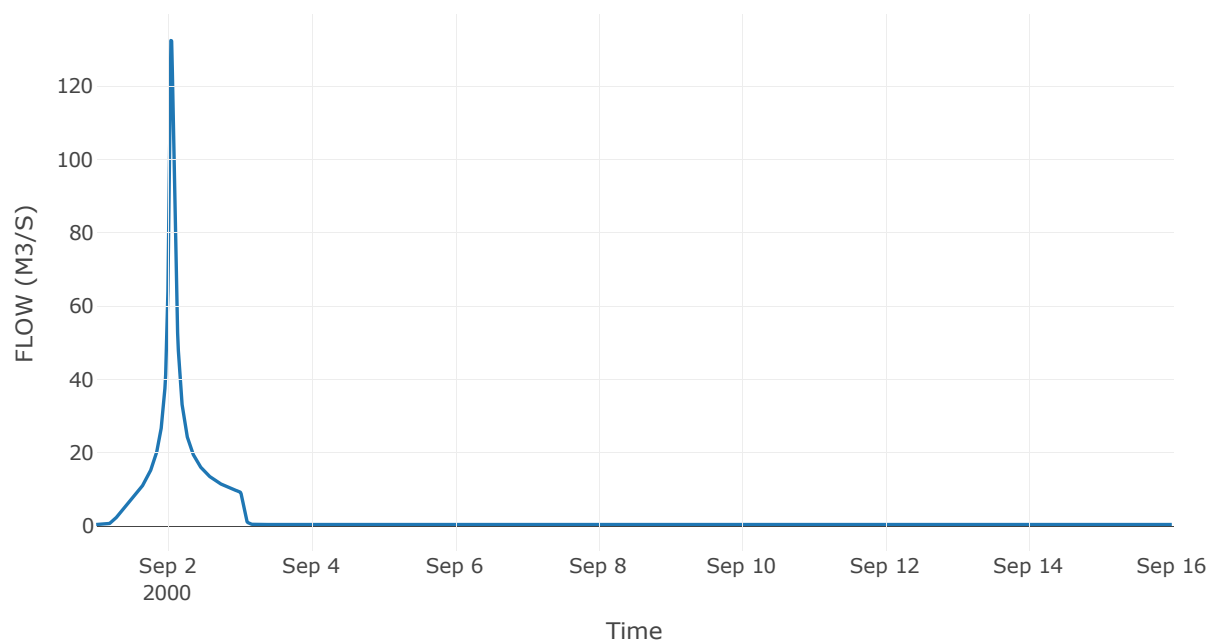
Κόμβος: J17

Κατάντη : R1710

Αποτελέσματα: J17

Παροχή Αιχμής(M3/S)	132.44
Χρονική στιγμή αιχμής	02Sep2000, 01:00
Όγκος(MM)	200.15

Απορροή



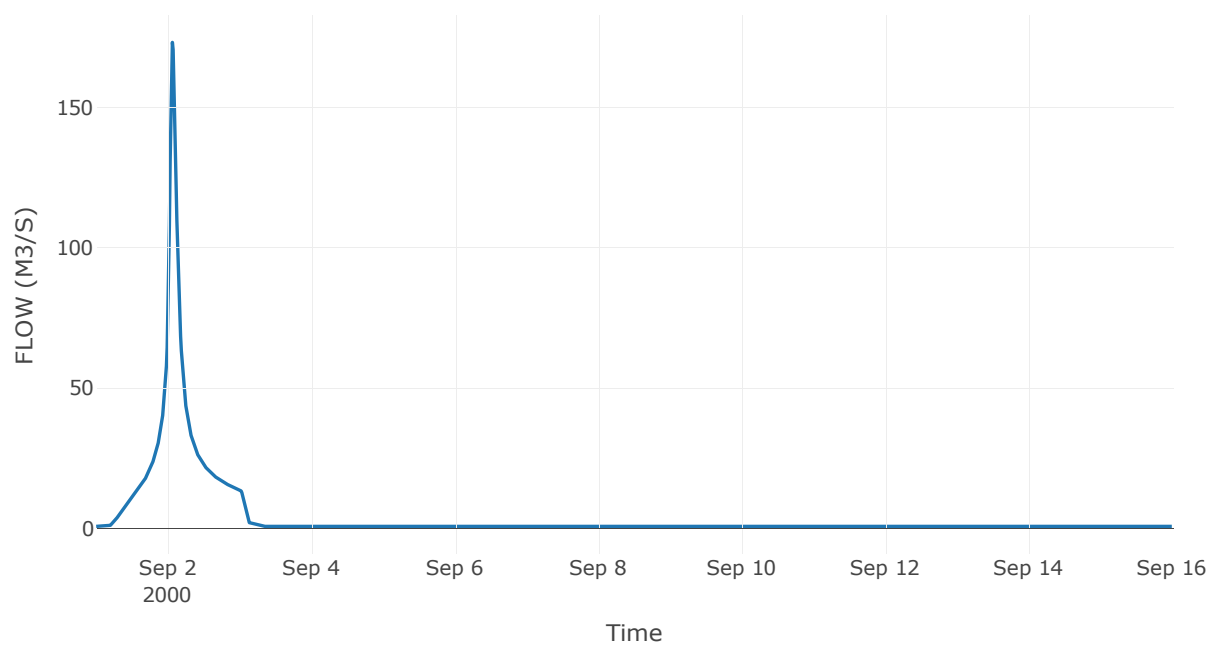
Κόμβος: J18

Κατάντη : R1810

Αποτελέσματα: J18

Παροχή Αιχμής(M3/S)	173.13
Χρονική στιγμή αιχμής	02Sep2000, 01:30
Όγκος(MM)	200.6

Απορροή



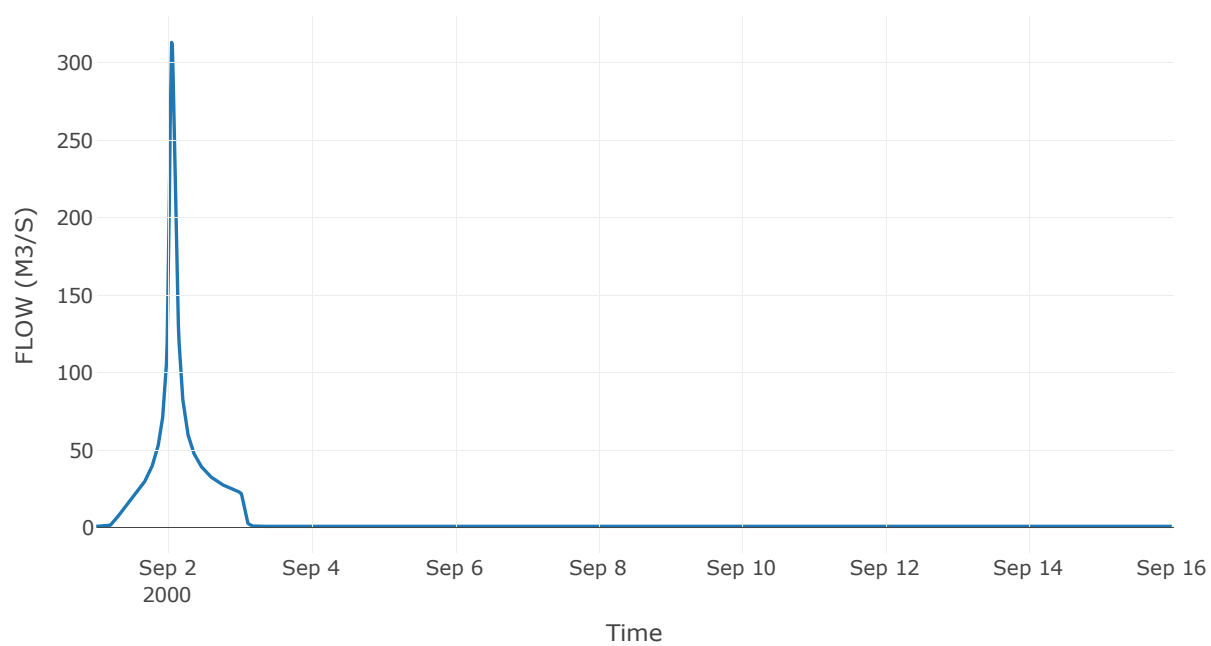
Κόμβος: J19

Κατάντη : R1910

Αποτελέσματα: J19

Παροχή Αιχμής(M3/S)	313.12
Χρονική στιγμή αιχμής	02Sep2000, 01:15
Όγκος(MM)	198.13

Απορροή



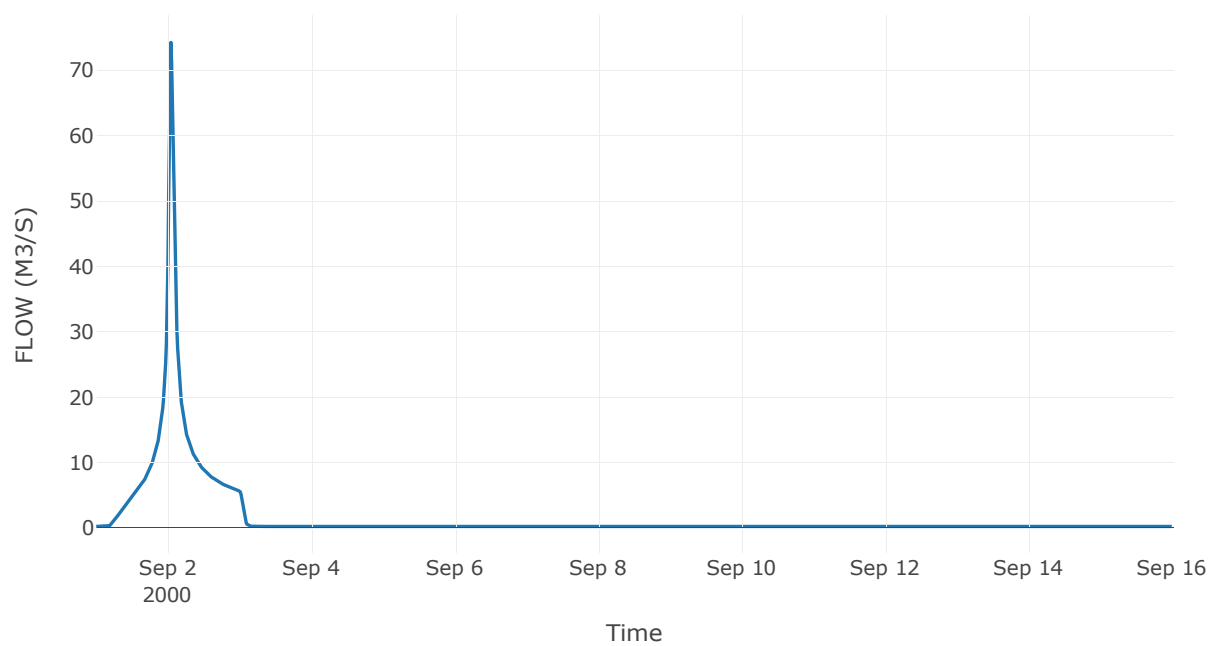
Κόμβος: J20

Κατάντη : R2011

Αποτελέσματα: J20

Παροχή Αιχμής(M3/S)	74.26
Χρονική στιγμή αιχμής	02Sep2000, 01:00
Όγκος(MM)	201.17

Απορροή



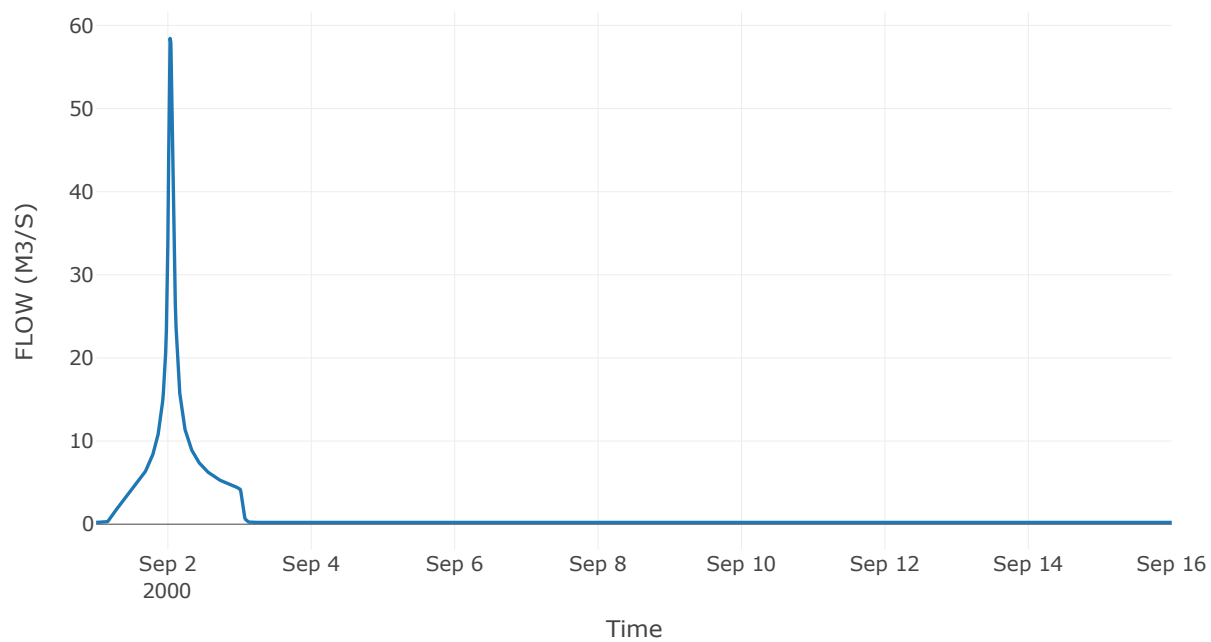
Κόμβος: J21

Κατάντη : R2117

Αποτελέσματα: J21

Παροχή Αιχμής(M3/S)	58.44
Χρονική στιγμή αιχμής	02Sep2000, 00:45
Όγκος(MM)	206.1

Απορροή



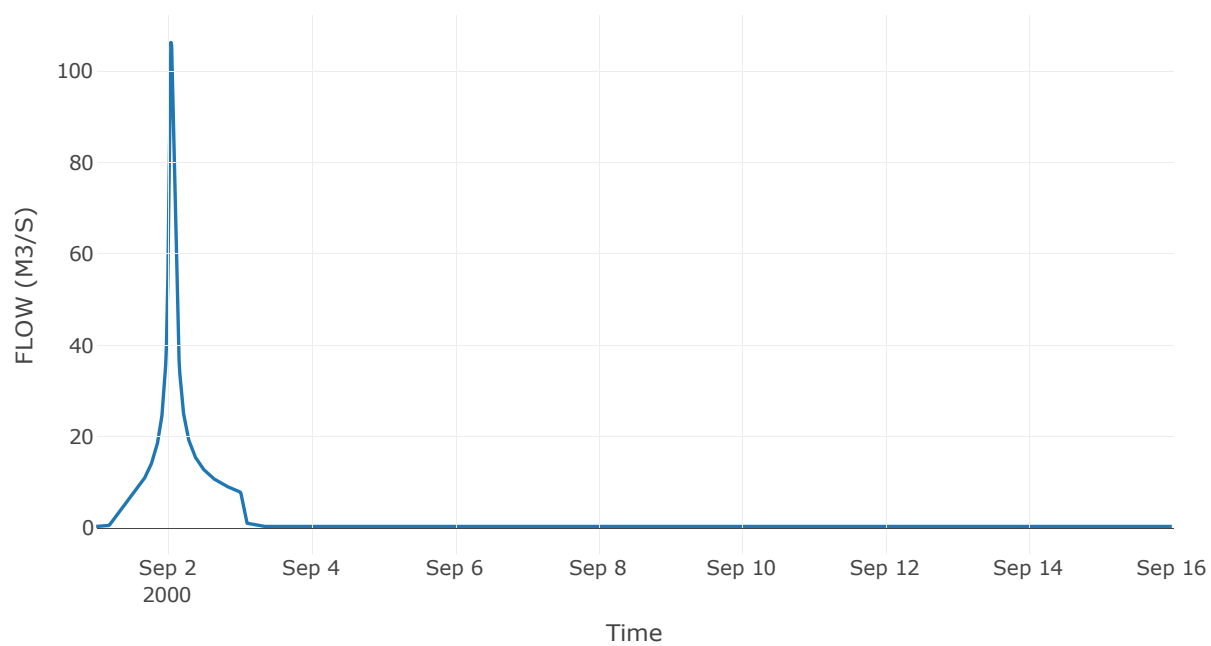
Κόμβος: J22

Κατάντη : R2218

Αποτελέσματα: J22

Παροχή Αιχμής(M3/S)	106.21
Χρονική στιγμή αιχμής	02Sep2000, 01:00
Όγκος(MM)	202.59

Απορροή



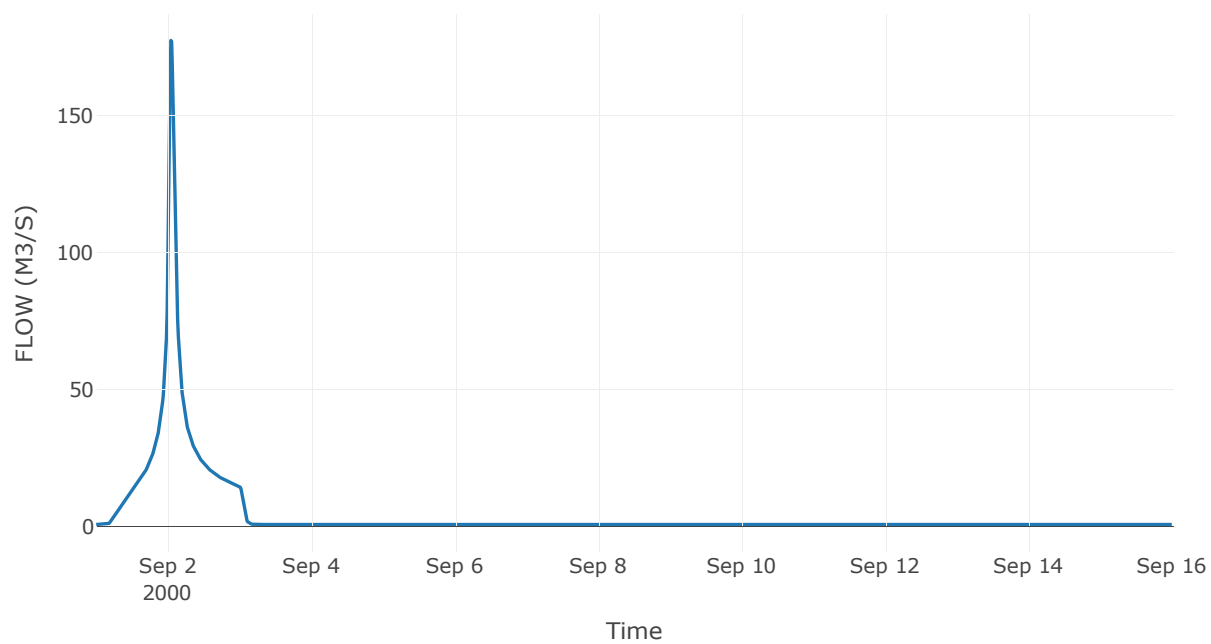
Κόμβος: J23

Κατάντη : R2319

Αποτελέσματα: J23

Παροχή Αιχμής(M3/S)	177.43
Χρονική στιγμή αιχμής	02Sep2000, 01:00
Όγκος(MM)	201.76

Απορροή



5. Δεδομένα εισόδου και αποτελέσματα υδρολογικού σεναρίου T=100

5.1 Αποτελέσματα, υετογραφήματα και υδρογραφήματα σχεδιασμού υπολεκανών

Υπολεκάνη: EL0415FL5001

Έκταση (KM2) : 13.05

Κατάνη : J1

Μέθοδος Απωλειών: SCS

Ποσοστό αδιαπέρατης επιφάνειας	100
Αριθμός Καμπύλης Απορροής-CN	99
Αρχικές Απώλειες	0.51

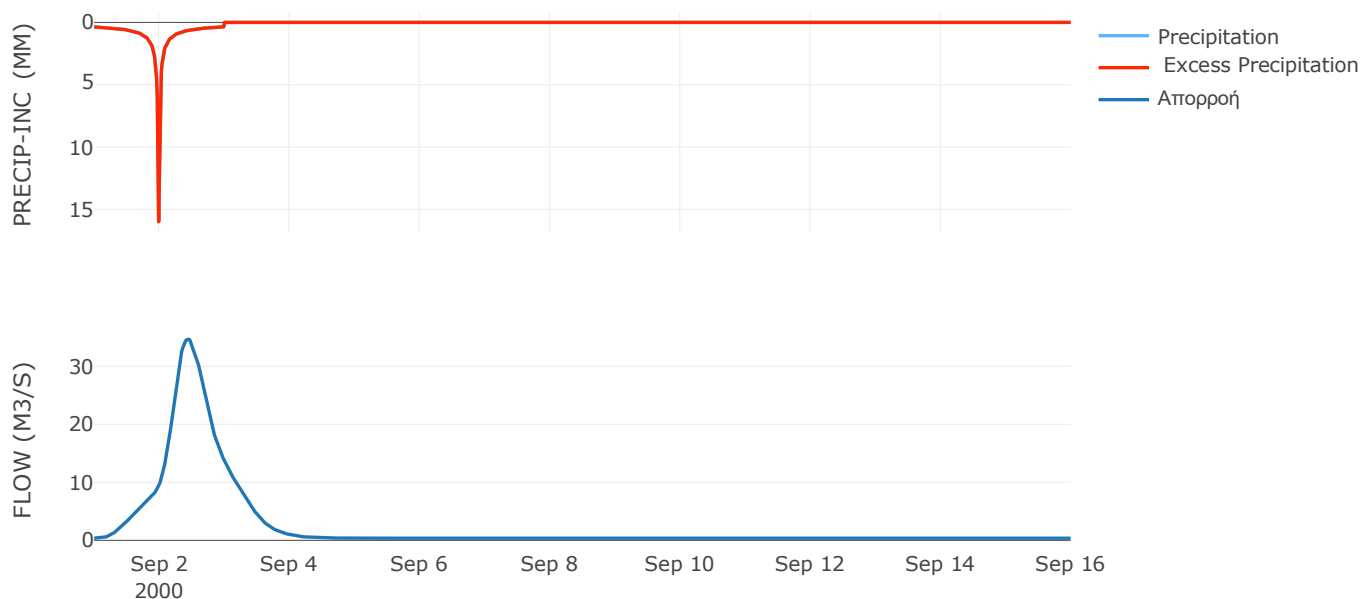
Μέθοδος
Μετασχηματισμού: SCS

Χρόνος Υστέρησης	621.99
------------------	--------

Αποτελέσματα:
EL0415FL5001

Παροχή αιχμής (M3/S)	34.71
Χρονική στιγμή αιχμής	02Sep2000, 10:45
Όγκος (MM)	247.97
Όγκος βροχόπτωσης (M3)	2.76E6
Όγκος απωλειών (M3)	0
Ενεργός Όγκος (M3)	2.76E6
Όγκος άμεσης απορροής (M3)	2.76E6
Όγκος βασικής απορροής (M3)	4.73E5

Βροχόπτωση και Απορροή



Υπολεκάνη: EL0415FL5002

Έκταση (KM2) : 107.53

Κατάντη : J6

Μέθοδος Απωλειών: SCS

Ποσοστό αδιαπέρατης επιφάνειας	0
Αριθμός Καμπύλης Απορροής-CN	80.86
Αρχικές Απώλειες	12.03

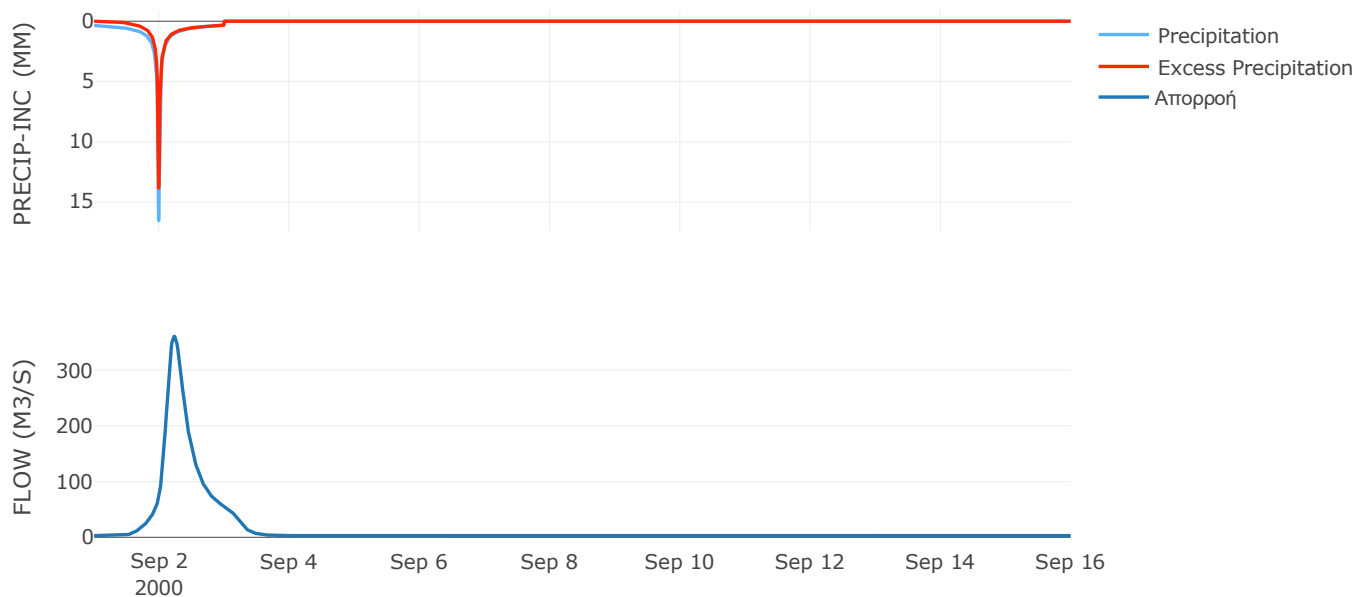
Μέθοδος
Μετασχηματισμού: SCS

Χρόνος Υστέρησης	311.03
------------------	--------

Αποτελέσματα:
EL0415FL5002

Παροχή αιχμής (M3/S)	360.66
Χρονική στιγμή αιχμής	02Sep2000, 05:30
Όγκος (MM)	188.74
Όγκος βροχόπτωσης (M3)	2.26E7
Όγκος απωλειών (M3)	6.26E6
Ενεργός Όγκος (M3)	1.64E7
Όγκος άμεσης απορροής (M3)	1.64E7
Όγκος βασικής απορροής (M3)	3.9E6

Βροχόπτωση και Απορροή



Υπολεκάνη: EL0415FL5003

Έκταση (KM2) : 28.37

Κατάντη : J2

Μέθοδος Απωλειών: SCS

Ποσοστό αδιαπέρατης επιφάνειας	0
Αριθμός Καμπύλης Απορροής-CN	82.49
Αρχικές Απώλειες	10.78

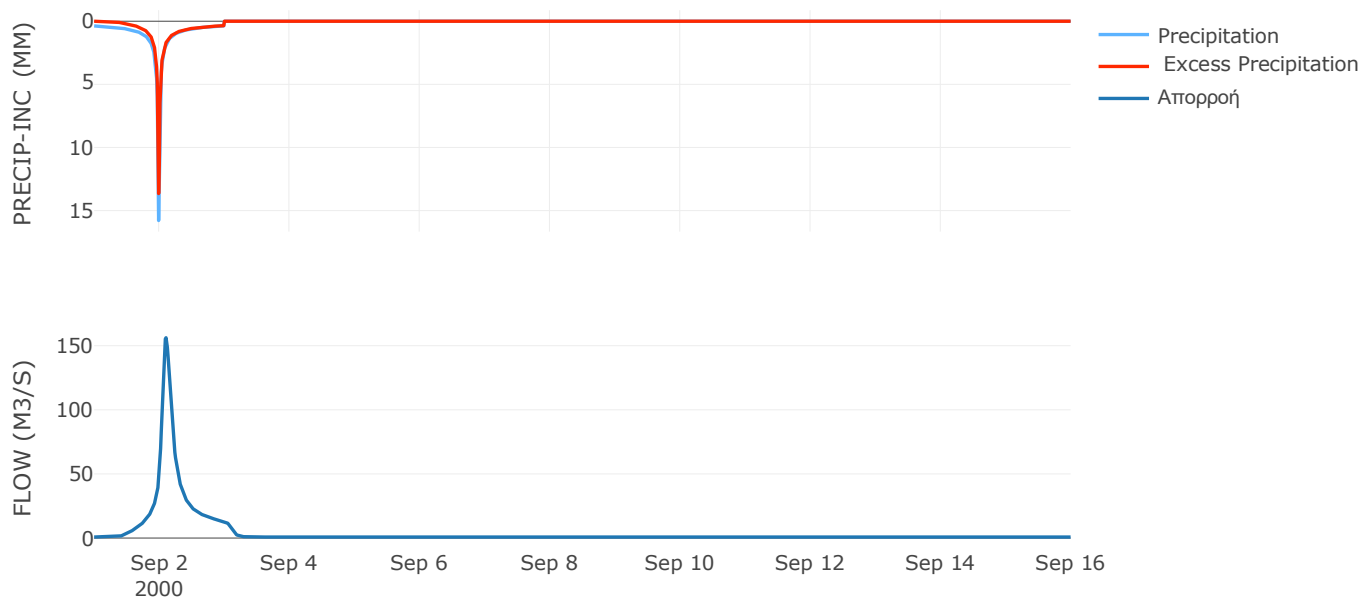
Μέθοδος
Μετασχηματισμού: SCS

Χρόνος Υστέρησης	139.35
------------------	--------

Αποτελέσματα:
EL0415FL5003

Παροχή αιχμής (M3/S)	156.19
Χρονική στιγμή αιχμής	02Sep2000, 02:30
Όγκος (MM)	197.92
Όγκος βροχόπτωσης (M3)	6.1E6
Όγκος απωλειών (M3)	1.52E6
Ενεργός Όγκος (M3)	4.59E6
Όγκος άμεσης απορροής (M3)	4.59E6
Όγκος βασικής απορροής (M3)	1.03E6

Βροχόπτωση και Απορροή



Υπολεκάνη: EL0415FL5004

Έκταση (KM2) : 30.04

Κατάντη : J3

Μέθοδος Απωλειών: SCS

Ποσοστό αδιαπέρατης επιφάνειας	0
Αριθμός Καμπύλης Απορροής-CN	76.69
Αρχικές Απώλειες	15.44

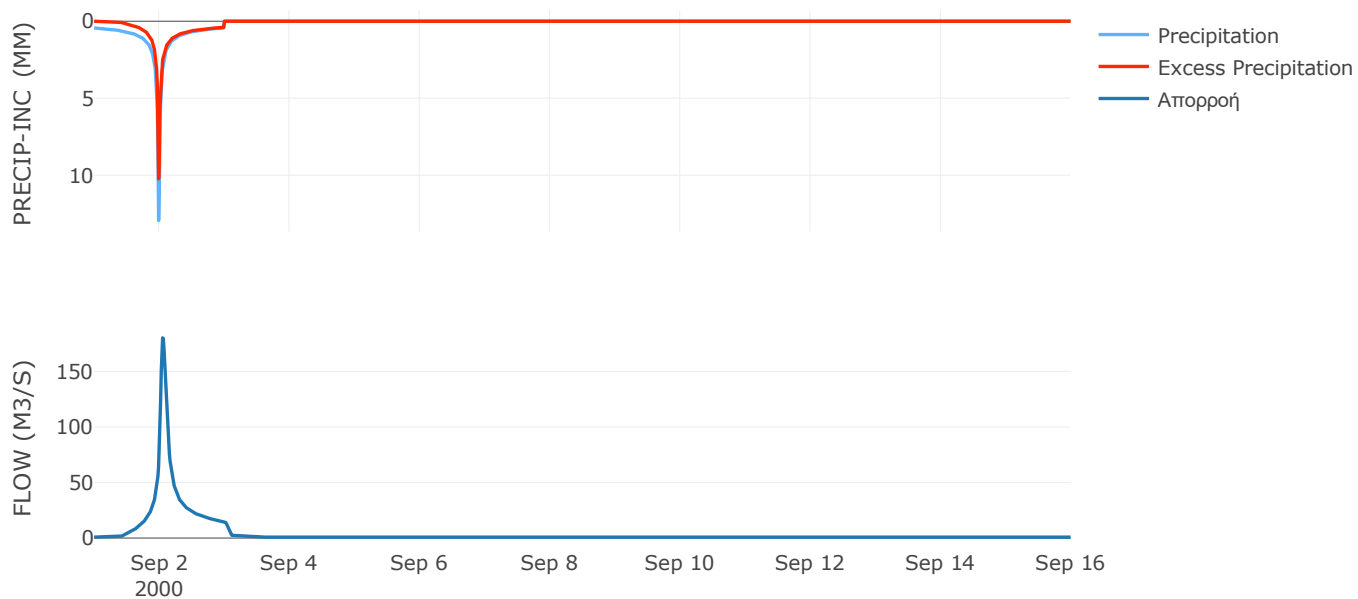
Μέθοδος
Μετασχηματισμού: SCS

Χρόνος Υστέρησης	76.76
------------------	-------

Αποτελέσματα:
EL0415FL5004

Παροχή αιχμής (M3/S)	180.22
Χρονική στιγμή αιχμής	02Sep2000, 01:15
Όγκος (MM)	185.65
Όγκος βροχόπτωσης (M3)	6.64E6
Όγκος απωλειών (M3)	2.15E6
Ενεργός Όγκος (M3)	4.49E6
Όγκος άμεσης απορροής (M3)	4.49E6
Όγκος βασικής απορροής (M3)	1.09E6

Βροχόπτωση και Απορροή



Υπολεκάνη: EL0415FL5005

Έκταση (KM2) : 15.38

Κατάντη : J5

Μέθοδος Απωλειών: SCS

Ποσοστό αδιαπέρατης επιφάνειας	0
Αριθμός Καμπύλης Απορροής-CN	80.44
Αρχικές Απώλειες	12.35

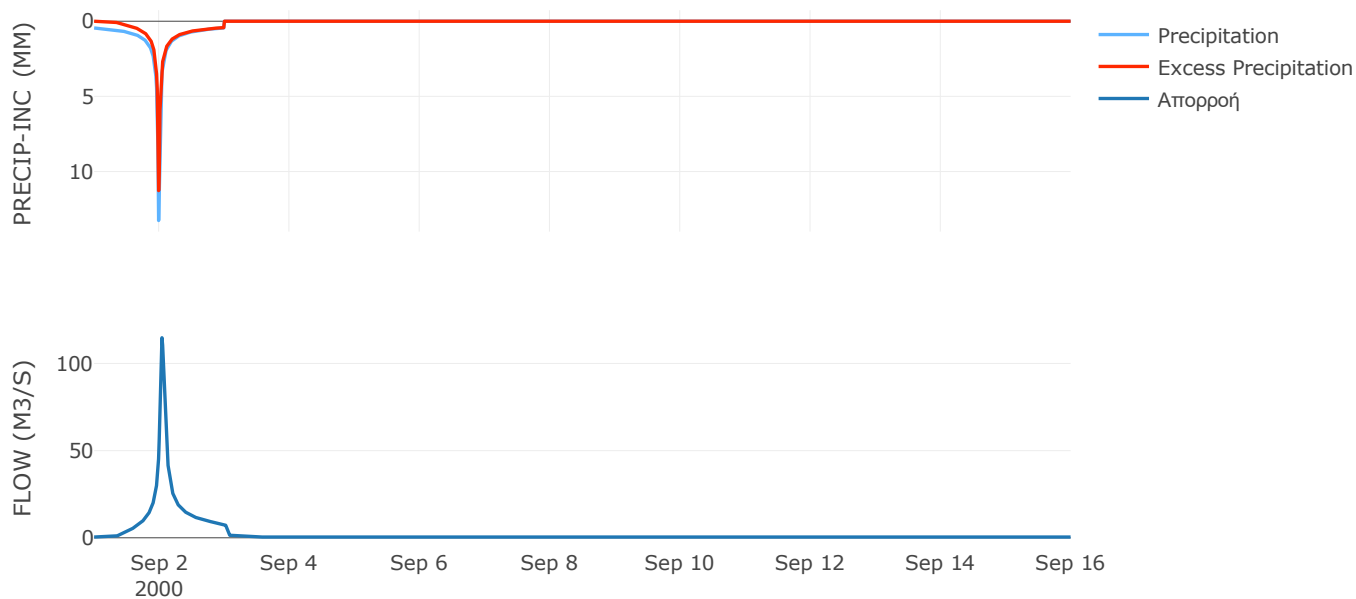
Μέθοδος
Μετασχηματισμού: SCS

Χρόνος Υστέρησης	57.75
------------------	-------

Αποτελέσματα:
EL0415FL5005

Παροχή αιχμής (M3/S)	114.78
Χρονική στιγμή αιχμής	02Sep2000, 01:00
Όγκος (MM)	203.27
Όγκος βροχόπτωσης (M3)	3.5E6
Όγκος απωλειών (M3)	9.28E5
Ενεργός Όγκος (M3)	2.57E6
Όγκος άμεσης απορροής (M3)	2.57E6
Όγκος βασικής απορροής (M3)	5.58E5

Βροχόπτωση και Απορροή



Υπολεκάνη: EL0415FL5006

Έκταση (KM2) : 8.04

Κατάντη : J4

Μέθοδος Απωλειών: SCS

Ποσοστό αδιαπέρατης επιφάνειας	0
Αριθμός Καμπύλης Απορροής-CN	80.52
Αρχικές Απώλειες	12.29

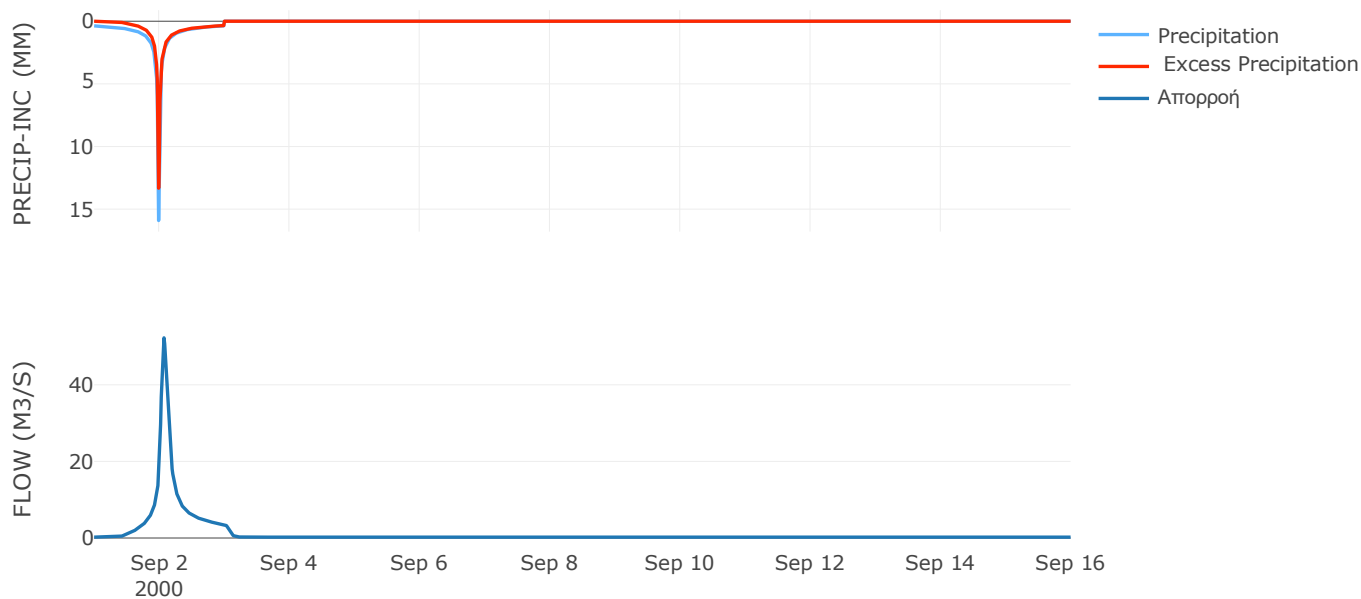
Μέθοδος
Μετασχηματισμού: SCS

Χρόνος Υστέρησης	95.79
------------------	-------

Αποτελέσματα:
EL0415FL5006

Παροχή αιχμής (M3/S)	52.27
Χρονική στιγμή αιχμής	02Sep2000, 01:45
Όγκος (MM)	192.06
Όγκος βροχόπτωσης (M3)	1.73E6
Όγκος απωλειών (M3)	4.78E5
Ενεργός Όγκος (M3)	1.25E6
Όγκος άμεσης απορροής (M3)	1.25E6
Όγκος βασικής απορροής (M3)	2.92E5

Βροχόπτωση και Απορροή



Υπολεκάνη: EL0415FL5007

Έκταση (KM2) : 40.81

Κατάντη : J5

Μέθοδος Απωλειών: SCS

Ποσοστό αδιαπέρατης επιφάνειας	0
Αριθμός Καμπύλης Απορροής-CN	80.19
Αρχικές Απώλειες	12.55

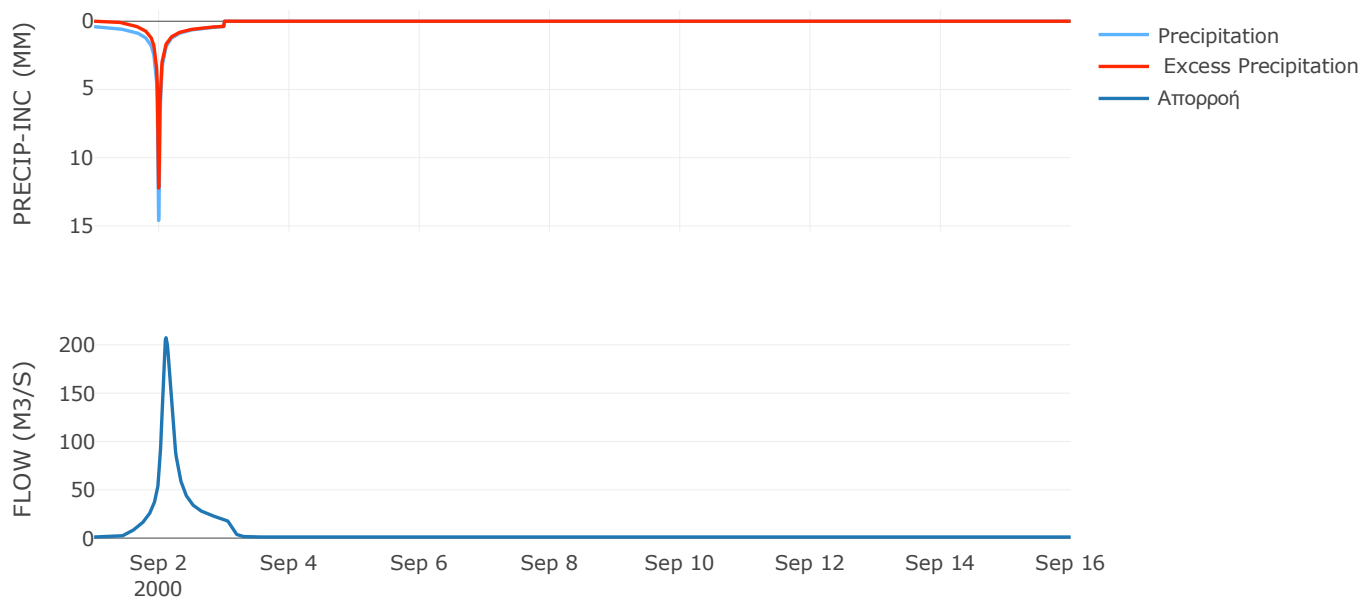
Μέθοδος
Μετασχηματισμού: SCS

Χρόνος Υστέρησης	142.31
------------------	--------

Αποτελέσματα:
EL0415FL5007

Παροχή αιχμής (M3/S)	207.38
Χρονική στιγμή αιχμής	02Sep2000, 02:30
Όγκος (MM)	193.87
Όγκος βροχόπτωσης (M3)	8.91E6
Όγκος απωλειών (M3)	2.47E6
Ενεργός Όγκος (M3)	6.43E6
Όγκος άμεσης απορροής (M3)	6.43E6
Όγκος βασικής απορροής (M3)	1.48E6

Βροχόπτωση και Απορροή



Υπολεκάνη: EL0415FL5008

Έκταση (KM2) : 90.43

Κατάντη : J7

Μέθοδος Απωλειών: SCS

Ποσοστό αδιαπέρατης επιφάνειας	0
Αριθμός Καμπύλης Απορροής-CN	74.6
Αρχικές Απώλειες	17.29

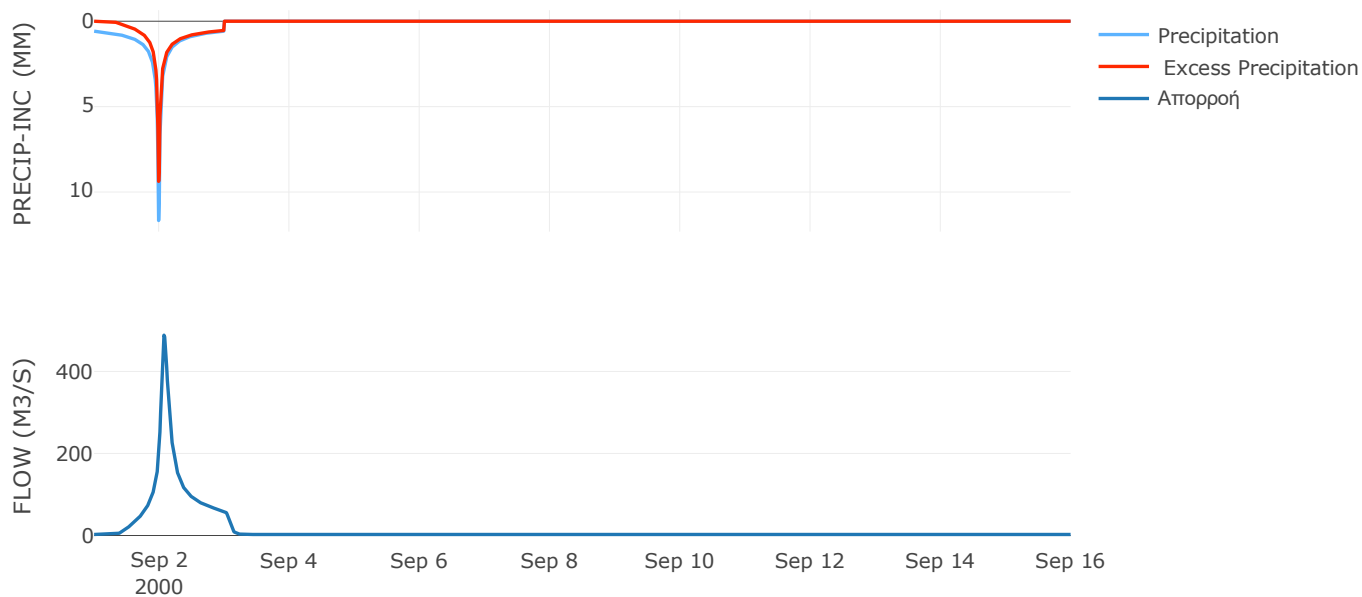
Μέθοδος
Μετασχηματισμού: SCS

Χρόνος Υστέρησης	101.09
------------------	--------

Αποτελέσματα:
EL0415FL5008

Παροχή αιχμής (M3/S)	488.5
Χρονική στιγμή αιχμής	02Sep2000, 01:45
Όγκος (MM)	213.75
Όγκος βροχόπτωσης (M3)	2.34E7
Όγκος απωλειών (M3)	7.32E6
Ενεργός Όγκος (M3)	1.6E7
Όγκος άμεσης απορροής (M3)	1.6E7
Όγκος βασικής απορροής (M3)	3.28E6

Βροχόπτωση και Απορροή



Υπολεκάνη: EL0415FL5009

Έκταση (KM2) : 11.22

Κατάντη : J20

Μέθοδος Απωλειών: SCS

Ποσοστό αδιαπέρατης επιφάνειας	0
Αριθμός Καμπύλης Απορροής-CN	78.15
Αρχικές Απώλειες	14.21

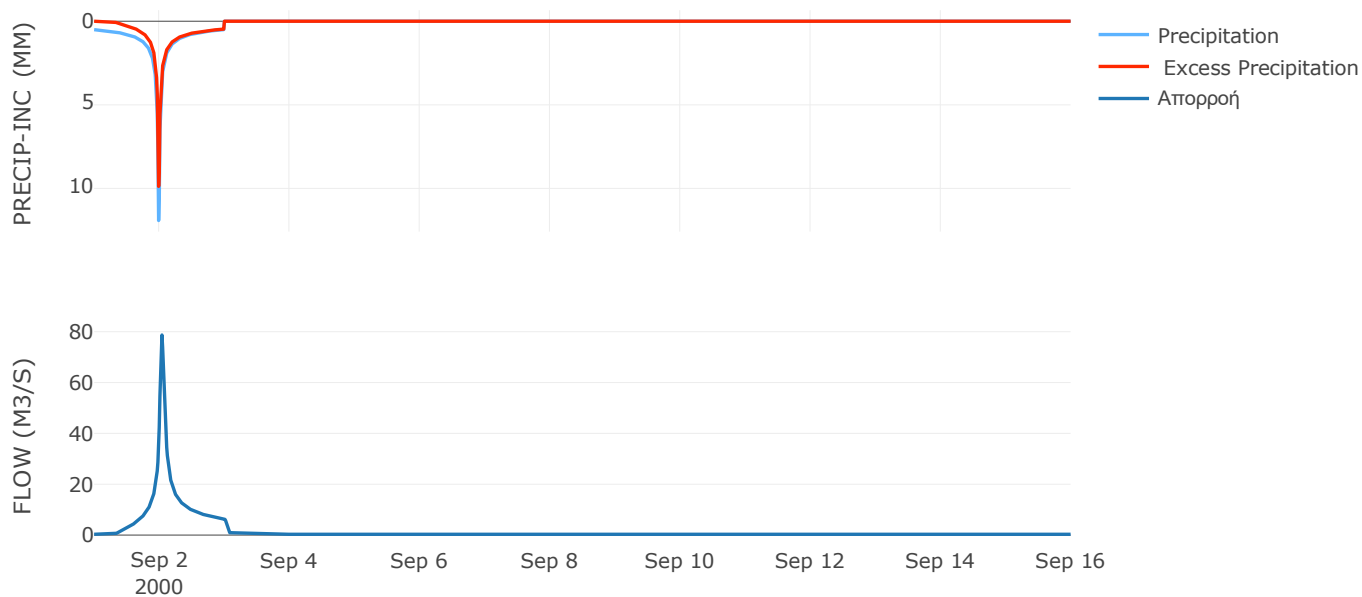
Μέθοδος
Μετασχηματισμού: SCS

Χρόνος Υστέρησης	52.62
------------------	-------

Αποτελέσματα:
EL0415FL5009

Παροχή αιχμής (M3/S)	78.71
Χρονική στιγμή αιχμής	02Sep2000, 01:00
Όγκος (MM)	204.32
Όγκος βροχόπτωσης (M3)	2.65E6
Όγκος απωλειών (M3)	7.63E5
Ενεργός Όγκος (M3)	1.89E6
Όγκος άμεσης απορροής (M3)	1.89E6
Όγκος βασικής απορροής (M3)	4.07E5

Βροχόπτωση και Απορροή



Υπολεκάνη: EL0415FL5010

Έκταση (KM2) : 96.52

Κατάντη : J10

Μέθοδος Απωλειών: SCS

Ποσοστό αδιαπέρατης επιφάνειας	100
Αριθμός Καμπύλης Απορροής-CN	99
Αρχικές Απώλειες	0.51

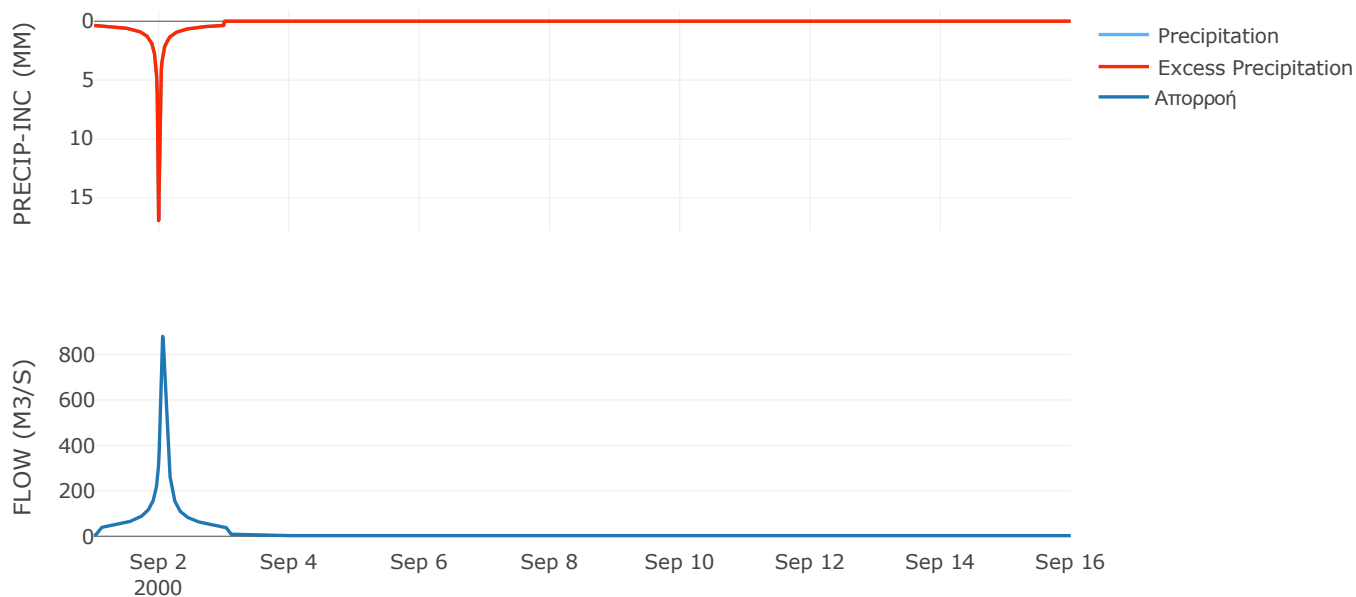
Μέθοδος
Μετασχηματισμού: SCS

Χρόνος Υστέρησης	75.79
------------------	-------

Αποτελέσματα:
EL0415FL5010

Παροχή αιχμής (M3/S)	879.92
Χρονική στιγμή αιχμής	02Sep2000, 01:15
Όγκος (MM)	252.83
Όγκος βροχόπτωσης (M3)	2.09E7
Όγκος απωλειών (M3)	0
Ενεργός Όγκος (M3)	2.09E7
Όγκος άμεσης απορροής (M3)	2.09E7
Όγκος βασικής απορροής (M3)	3.5E6

Βροχόπτωση και Απορροή



Υπολεκάνη: EL0415FL00013

Έκταση (KM2) : 20.4

Κατάντη : J8

Μέθοδος Απωλειών: SCS

Ποσοστό αδιαπέρατης επιφάνειας	0
Αριθμός Καμπύλης Απορροής-CN	80.77
Αρχικές Απώλειες	12.1

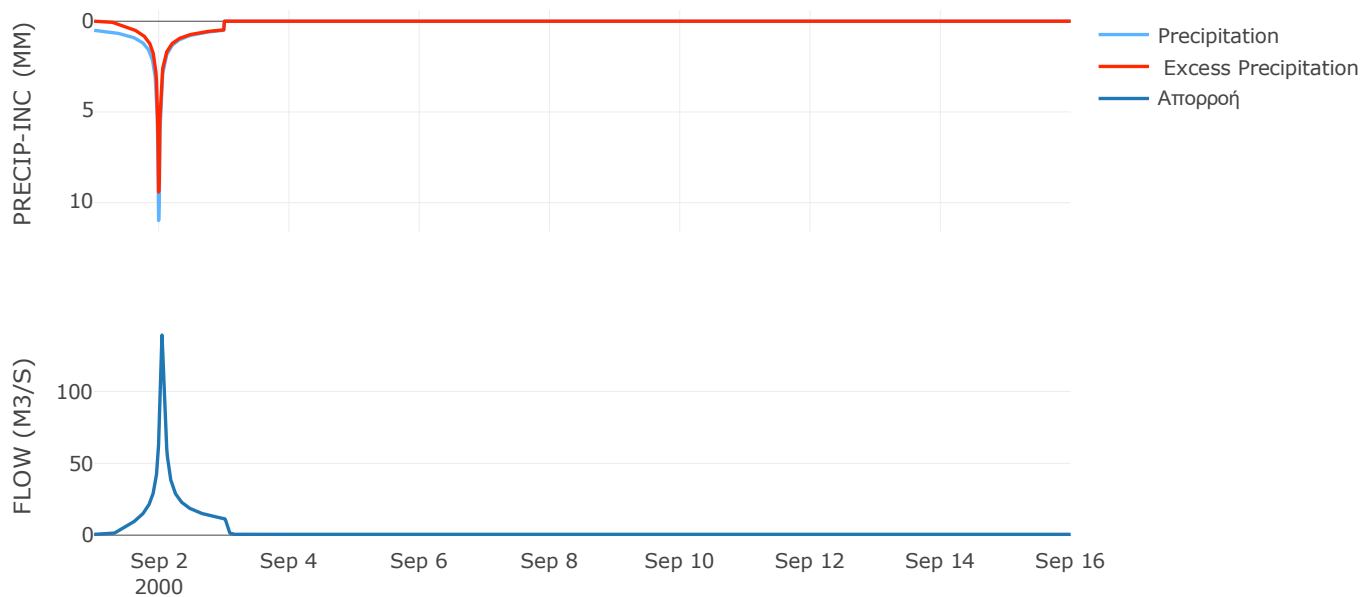
Μέθοδος
Μετασχηματισμού: SCS

Χρόνος Υστέρησης	51.06
------------------	-------

Αποτελέσματα:
EL0415FL00013

Παροχή αιχμής (M3/S)	139.29
Χρονική στιγμή αιχμής	02Sep2000, 01:00
Όγκος (MM)	206.08
Όγκος βροχόπτωσης (M3)	4.68E6
Όγκος απωλειών (M3)	1.21E6
Ενεργός Όγκος (M3)	3.46E6
Όγκος άμεσης απορροής (M3)	3.46E6
Όγκος βασικής απορροής (M3)	7.4E5

Βροχόπτωση και Απορροή



Υπολεκάνη: EL0415FL00014

Έκταση (KM2) : 28.81

Κατάντη : J23

Μέθοδος Απωλειών: SCS

Ποσοστό αδιαπέρατης επιφάνειας	0
Αριθμός Καμπύλης Απορροής-CN	80.56
Αρχικές Απώλειες	12.26

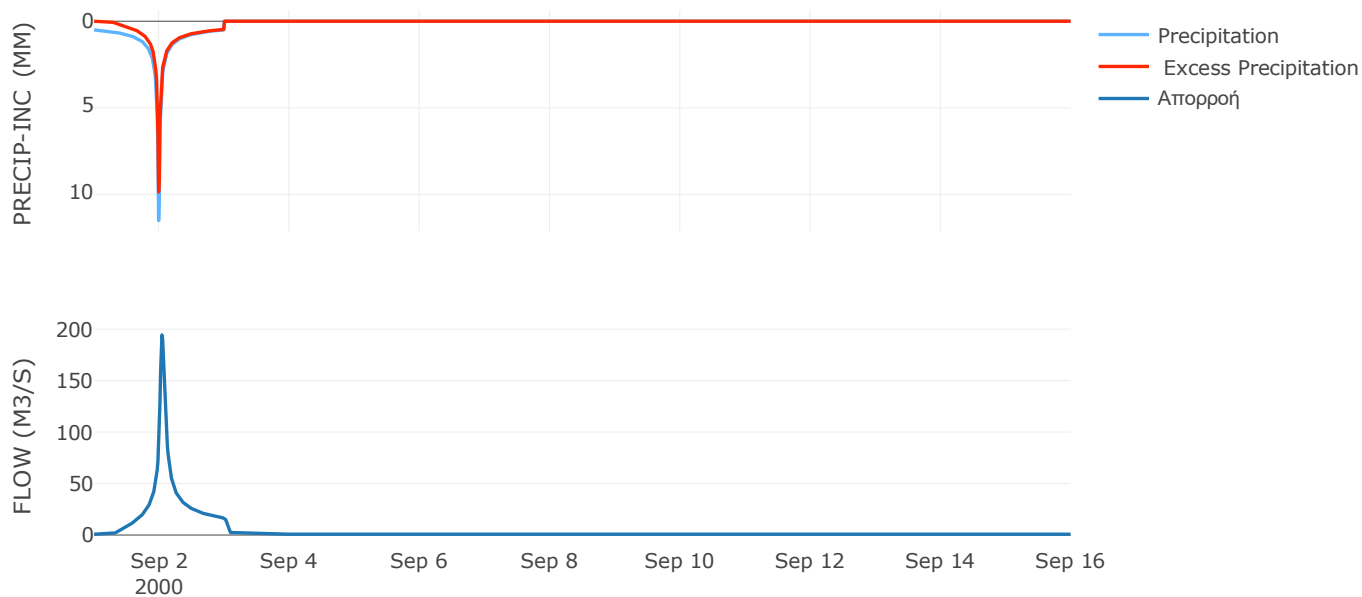
Μέθοδος
Μετασχηματισμού: SCS

Χρόνος Υστέρησης	60.03
------------------	-------

Αποτελέσματα:
EL0415FL00014

Παροχή αιχμής (M3/S)	194.39
Χρονική στιγμή αιχμής	02Sep2000, 01:00
Όγκος (MM)	208.15
Όγκος βροχόπτωσης (M3)	6.68E6
Όγκος απωλειών (M3)	1.73E6
Ενεργός Όγκος (M3)	4.95E6
Όγκος άμεσης απορροής (M3)	4.95E6
Όγκος βασικής απορροής (M3)	1.05E6

Βροχόπτωση και Απορροή



Υπολεκάνη: EL0415FL00016

Έκταση (KM2) : 24.49

Κατάντη : J14

Μέθοδος Απωλειών: SCS

Ποσοστό αδιαπέρατης επιφάνειας	0
Αριθμός Καμπύλης Απορροής-CN	53.08
Αρχικές Απώλειες	44.9

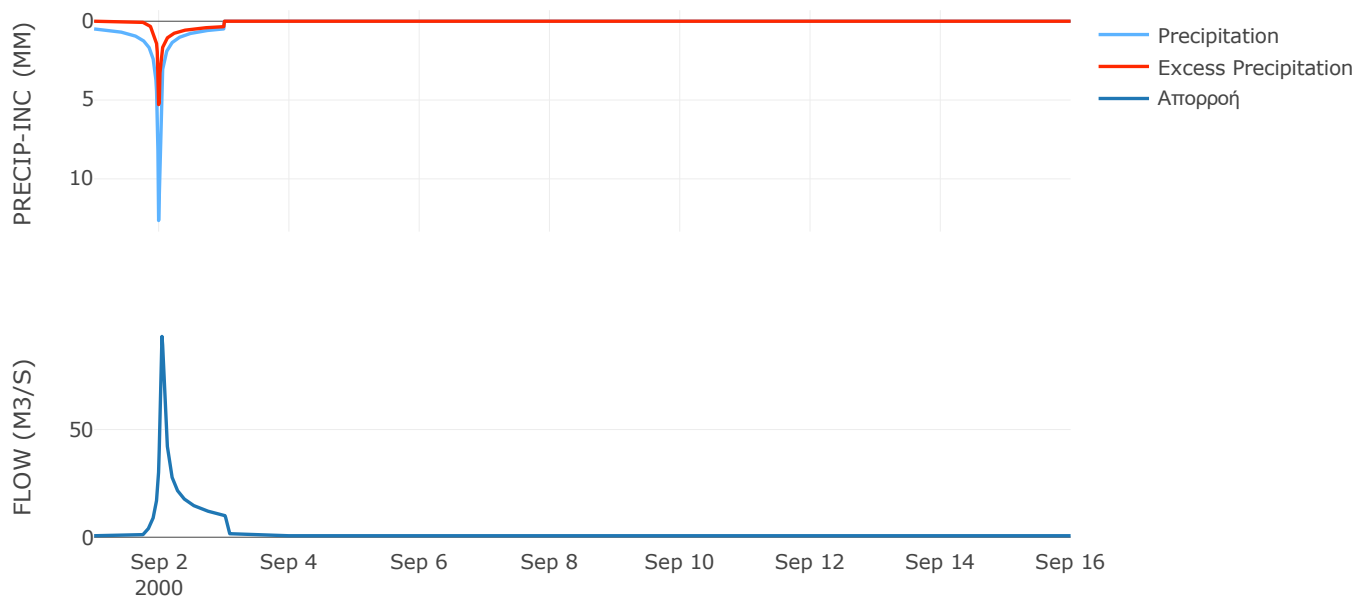
Μέθοδος
Μετασχηματισμού: SCS

Χρόνος Υστέρησης	51.54
------------------	-------

Αποτελέσματα:
EL0415FL00016

Παροχή αιχμής (M3/S)	93.23
Χρονική στιγμή αιχμής	02Sep2000, 01:00
Όγκος (MM)	124.43
Όγκος βροχόπτωσης (M3)	5.79E6
Όγκος απωλειών (M3)	3.63E6
Ενεργός Όγκος (M3)	2.16E6
Όγκος άμεσης απορροής (M3)	2.16E6
Όγκος βασικής απορροής (M3)	8.89E5

Βροχόπτωση και Απορροή



Υπολεκάνη: EL0415FL00017

Έκταση (KM2) : 11.25

Κατάντη : J15

Μέθοδος Απωλειών: SCS

Ποσοστό αδιαπέρατης επιφάνειας	0
Αριθμός Καμπύλης Απορροής-CN	55.44
Αρχικές Απώλειες	40.83

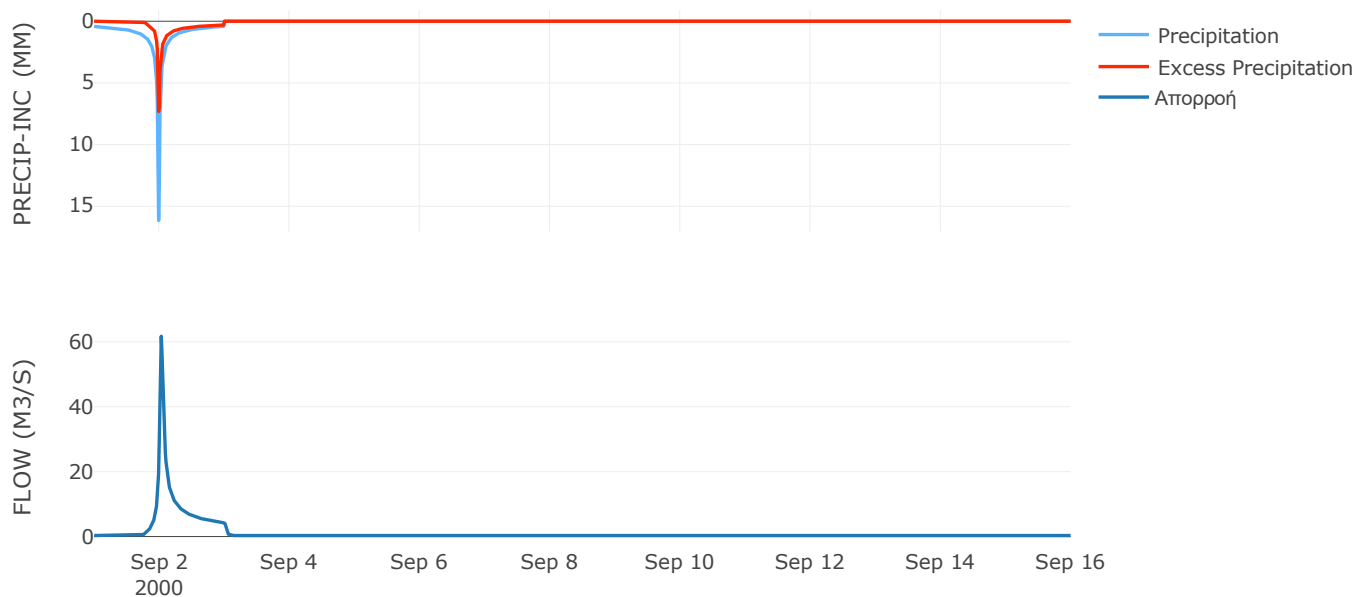
Μέθοδος
Μετασχηματισμού: SCS

Χρόνος Υστέρησης	38.07
------------------	-------

Αποτελέσματα:
EL0415FL00017

Παροχή αιχμής (M3/S)	61.72
Χρονική στιγμή αιχμής	02Sep2000, 00:45
Όγκος (MM)	129.96
Όγκος βροχόπτωσης (M3)	2.63E6
Όγκος απωλειών (M3)	1.58E6
Ενεργός Όγκος (M3)	1.05E6
Όγκος άμεσης απορροής (M3)	1.05E6
Όγκος βασικής απορροής (M3)	4.08E5

Βροχόπτωση και Απορροή



Υπολεκάνη: EL0415FL00018

Έκταση (KM2) : 25.29

Κατάντη : J15

Μέθοδος Απωλειών: SCS

Ποσοστό αδιαπέρατης επιφάνειας	0
Αριθμός Καμπύλης Απορροής-CN	60.21
Αρχικές Απώλειες	33.57

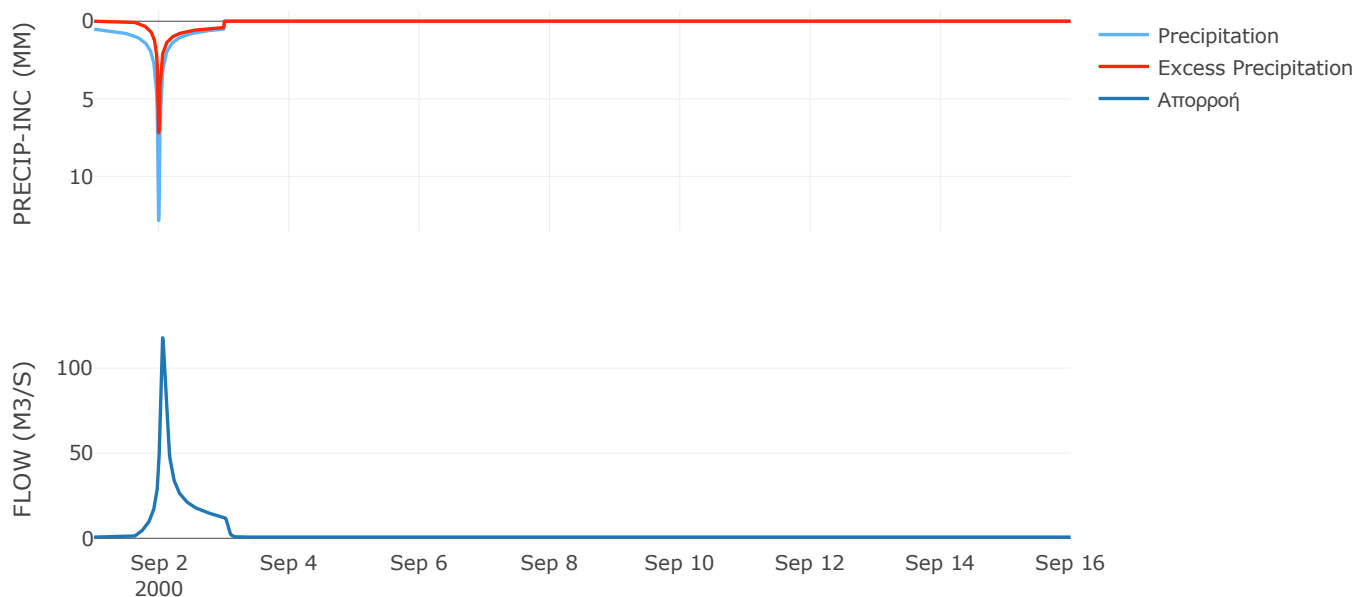
Μέθοδος
Μετασχηματισμού: SCS

Χρόνος Υστέρησης	67.54
------------------	-------

Αποτελέσματα:
EL0415FL00018

Παροχή αιχμής (M3/S)	117.8
Χρονική στιγμή αιχμής	02Sep2000, 01:15
Όγκος (MM)	154
Όγκος βροχόπτωσης (M3)	6.19E6
Όγκος απωλειών (M3)	3.21E6
Ενεργός Όγκος (M3)	2.98E6
Όγκος άμεσης απορροής (M3)	2.98E6
Όγκος βασικής απορροής (M3)	9.18E5

Βροχόπτωση και Απορροή



Υπολεκάνη: EL0415FL00019

Έκταση (KM2) : 41.83

Κατάντη : J16

Μέθοδος Απωλειών: SCS

Ποσοστό αδιαπέρατης επιφάνειας	0
Αριθμός Καμπύλης Απορροής-CN	66.79
Αρχικές Απώλειες	25.26

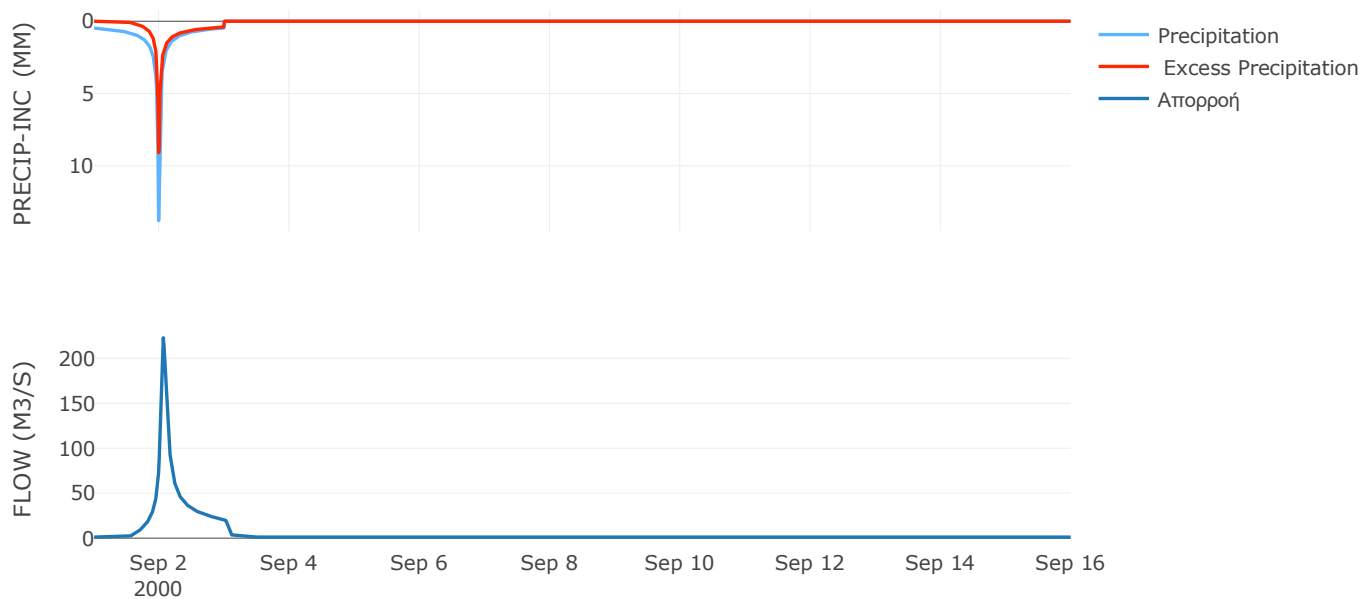
Μέθοδος
Μετασχηματισμού: SCS

Χρόνος Υστέρησης	78.22
------------------	-------

Αποτελέσματα:
EL0415FL00019

Παροχή αιχμής (M3/S)	222.84
Χρονική στιγμή αιχμής	02Sep2000, 01:30
Όγκος (MM)	169.96
Όγκος βροχόπτωσης (M3)	9.97E6
Όγκος απωλειών (M3)	4.37E6
Ενεργός Όγκος (M3)	5.59E6
Όγκος άμεσης απορροής (M3)	5.59E6
Όγκος βασικής απορροής (M3)	1.52E6

Βροχόπτωση και Απορροή



Υπολεκάνη: EL0415FL00020

Έκταση (KM2) : 8.47

Κατάντη : J21

Μέθοδος Απωλειών: SCS

Ποσοστό αδιαπέρατης επιφάνειας	0
Αριθμός Καμπύλης Απορροής-CN	81.19
Αρχικές Απώλειες	11.77

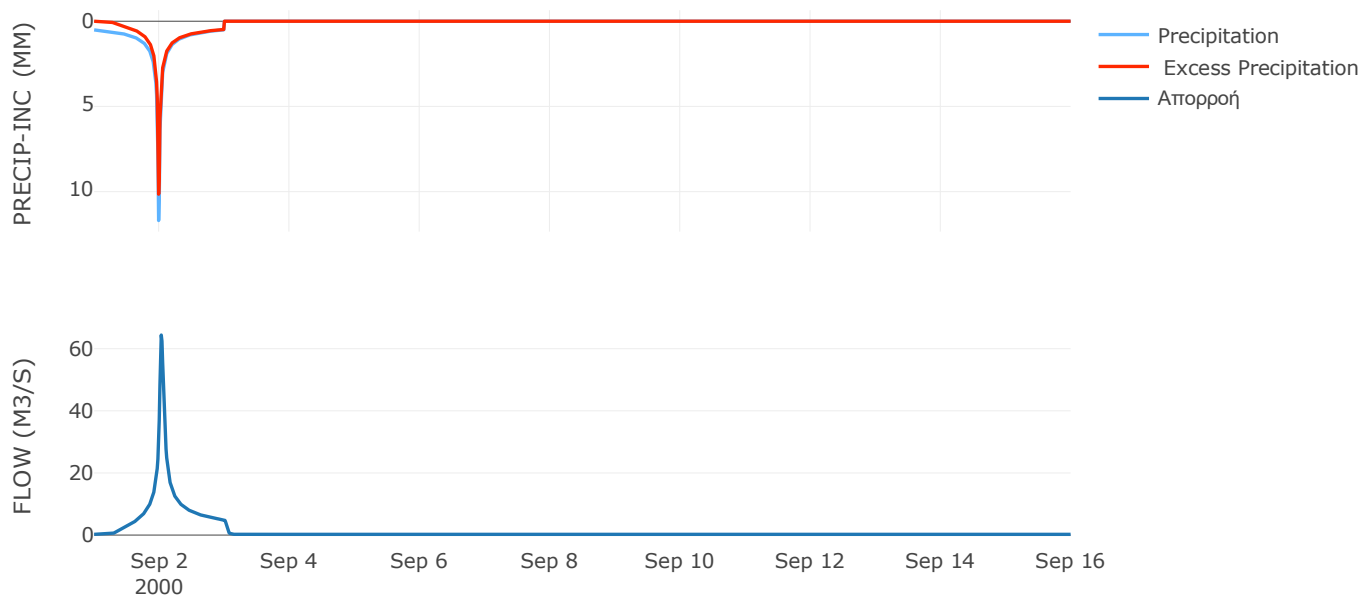
Μέθοδος
Μετασχηματισμού: SCS

Χρόνος Υστέρησης	46.03
------------------	-------

Αποτελέσματα:
EL0415FL00020

Παροχή αιχμής (M3/S)	64.41
Χρονική στιγμή αιχμής	02Sep2000, 00:45
Όγκος (MM)	213.84
Όγκος βροχόπτωσης (M3)	2E6
Όγκος απωλειών (M3)	4.94E5
Ενεργός Όγκος (M3)	1.5E6
Όγκος άμεσης απορροής (M3)	1.5E6
Όγκος βασικής απορροής (M3)	3.07E5

Βροχόπτωση και Απορροή



Υπολεκάνη: EL0415FL00021

Έκταση (KM2) : 11.07

Κατάντη : J17

Μέθοδος Απωλειών: SCS

Ποσοστό αδιαπέρατης επιφάνειας	0
Αριθμός Καμπύλης Απορροής-CN	75.38
Αρχικές Απώλειες	16.59

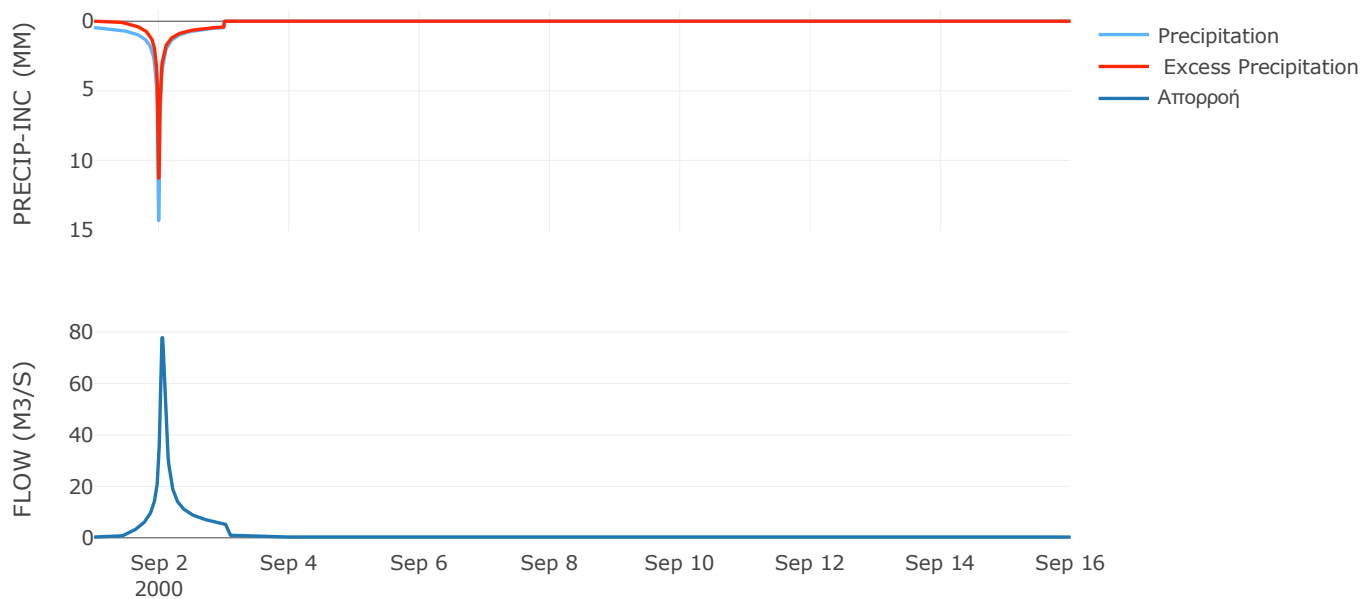
Μέθοδος
Μετασχηματισμού: SCS

Χρόνος Υστέρησης	63.79
------------------	-------

Αποτελέσματα:
EL0415FL00021

Παροχή αιχμής (M3/S)	77.78
Χρονική στιγμή αιχμής	02Sep2000, 01:00
Όγκος (MM)	194.72
Όγκος βροχόπτωσης (M3)	2.6E6
Όγκος απωλειών (M3)	8.5E5
Ενεργός Όγκος (M3)	1.75E6
Όγκος άμεσης απορροής (M3)	1.75E6
Όγκος βασικής απορροής (M3)	4.02E5

Βροχόπτωση και Απορροή



Υπολεκάνη: EL0415FL00022

Έκταση (KM2) : 12.41

Κατάντη : J18

Μέθοδος Απωλειών: SCS

Ποσοστό αδιαπέρατης επιφάνειας	0
Αριθμός Καμπύλης Απορροής-CN	80.14
Αρχικές Απώλειες	12.59

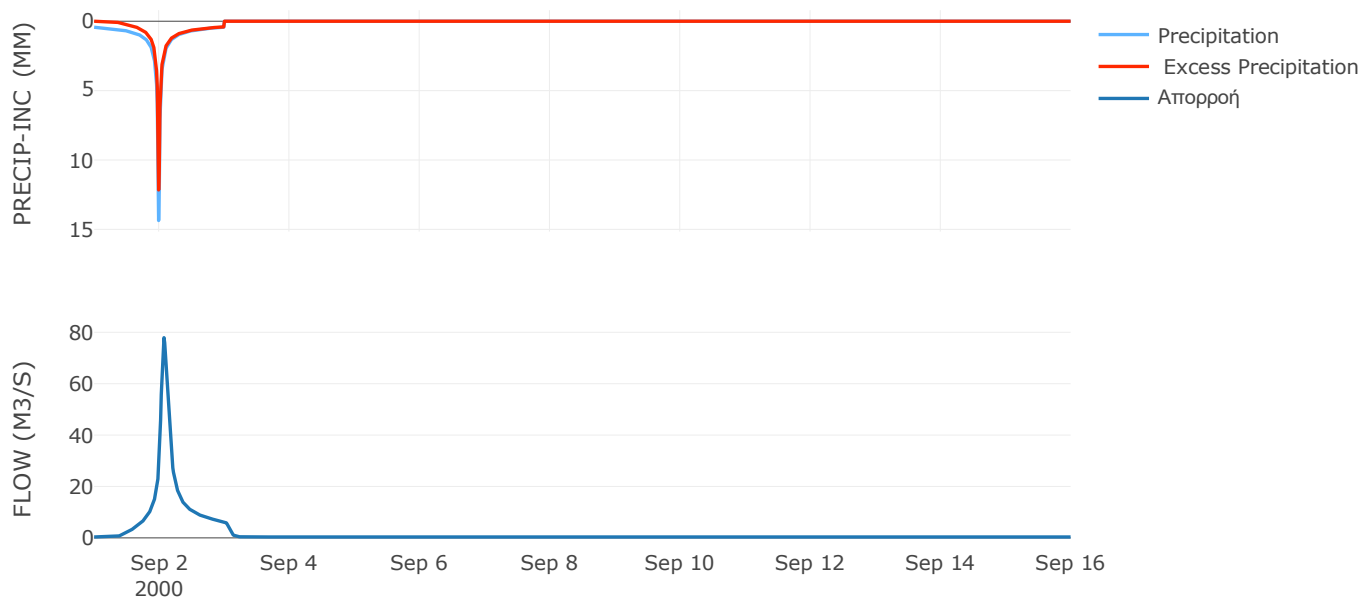
Μέθοδος
Μετασχηματισμού: SCS

Χρόνος Υστέρησης	96.84
------------------	-------

Αποτελέσματα:
EL0415FL00022

Παροχή αιχμής (M3/S)	77.91
Χρονική στιγμή αιχμής	02Sep2000, 01:45
Όγκος (MM)	203.24
Όγκος βροχόπτωσης (M3)	2.83E6
Όγκος απωλειών (M3)	7.61E5
Ενεργός Όγκος (M3)	2.07E6
Όγκος άμεσης απορροής (M3)	2.07E6
Όγκος βασικής απορροής (M3)	4.5E5

Βροχόπτωση και Απορροή



Υπολεκάνη: EL0415FL00023

Έκταση (KM2) : 16.4

Κατάντη : J22

Μέθοδος Απωλειών: SCS

Ποσοστό αδιαπέρατης επιφάνειας	0
Αριθμός Καμπύλης Απορροής-CN	80.96
Αρχικές Απώλειες	11.95

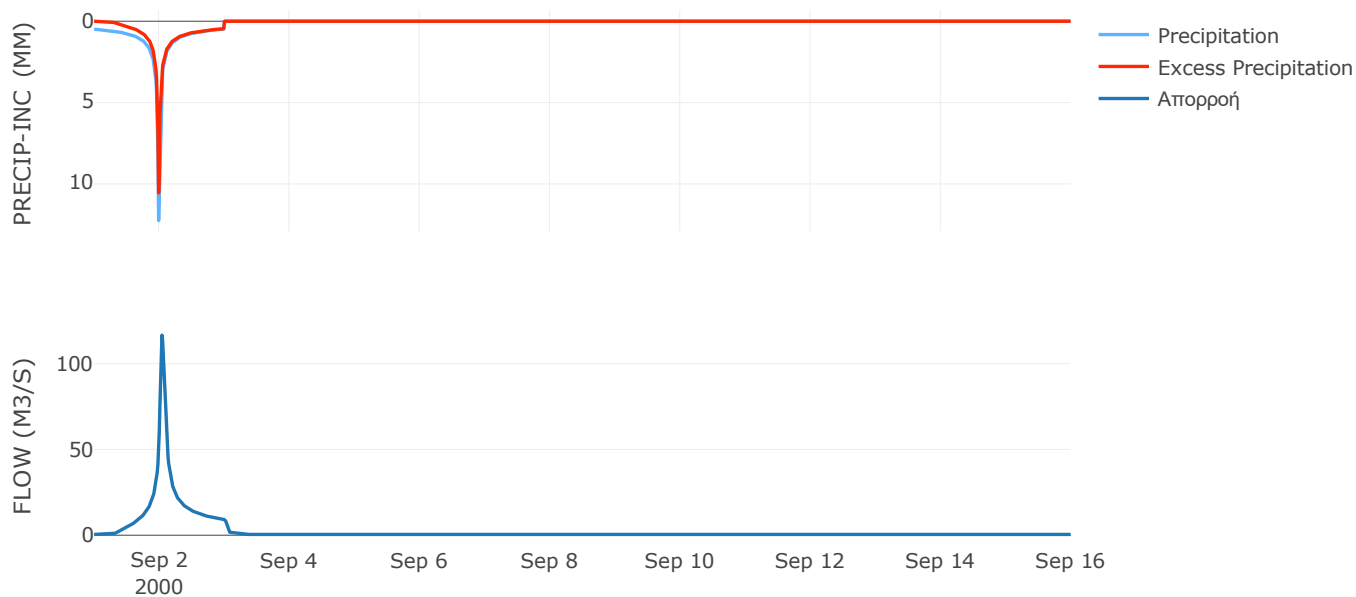
Μέθοδος
Μετασχηματισμού: SCS

Χρόνος Υστέρησης	59.45
------------------	-------

Αποτελέσματα:
EL0415FL00023

Παροχή αιχμής (M3/S)	116.71
Χρονική στιγμή αιχμής	02Sep2000, 01:00
Όγκος (MM)	209.55
Όγκος βροχόπτωσης (M3)	3.81E6
Όγκος απωλειών (M3)	9.67E5
Ενεργός Όγκος (M3)	2.84E6
Όγκος άμεσης απορροής (M3)	2.84E6
Όγκος βασικής απορροής (M3)	5.95E5

Βροχόπτωση και Απορροή



Υπολεκάνη: EL0415FL00024

Έκταση (KM2) : 20.38

Κατάντη : J19

Μέθοδος Απωλειών: SCS

Ποσοστό αδιαπέρατης επιφάνειας	0
Αριθμός Καμπύλης Απορροής-CN	79.61
Αρχικές Απώλειες	13.01

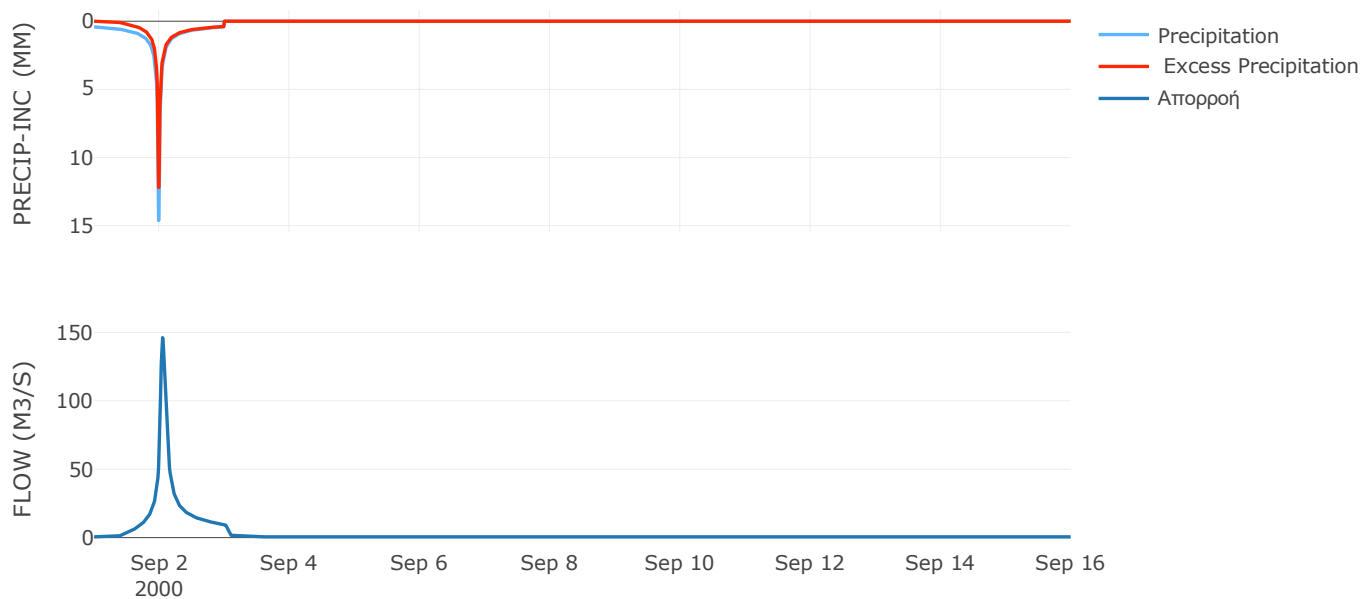
Μέθοδος
Μετασχηματισμού: SCS

Χρόνος Υστέρησης	70.63
------------------	-------

Αποτελέσματα:
EL0415FL00024

Παροχή αιχμής (M3/S)	146.15
Χρονική στιγμή αιχμής	02Sep2000, 01:15
Όγκος (MM)	197.04
Όγκος βροχόπτωσης (M3)	4.55E6
Όγκος απωλειών (M3)	1.28E6
Ενεργός Όγκος (M3)	3.28E6
Όγκος άμεσης απορροής (M3)	3.28E6
Όγκος βασικής απορροής (M3)	7.4E5

Βροχόπτωση και Απορροή



Υπολεκάνη: EL0415FL00025

Έκταση (KM2) : 32.02

Κατάντη : J13

Μέθοδος Απωλειών: SCS

Ποσοστό αδιαπέρατης επιφάνειας	0
Αριθμός Καμπύλης Απορροής-CN	51.09
Αρχικές Απώλειες	48.62

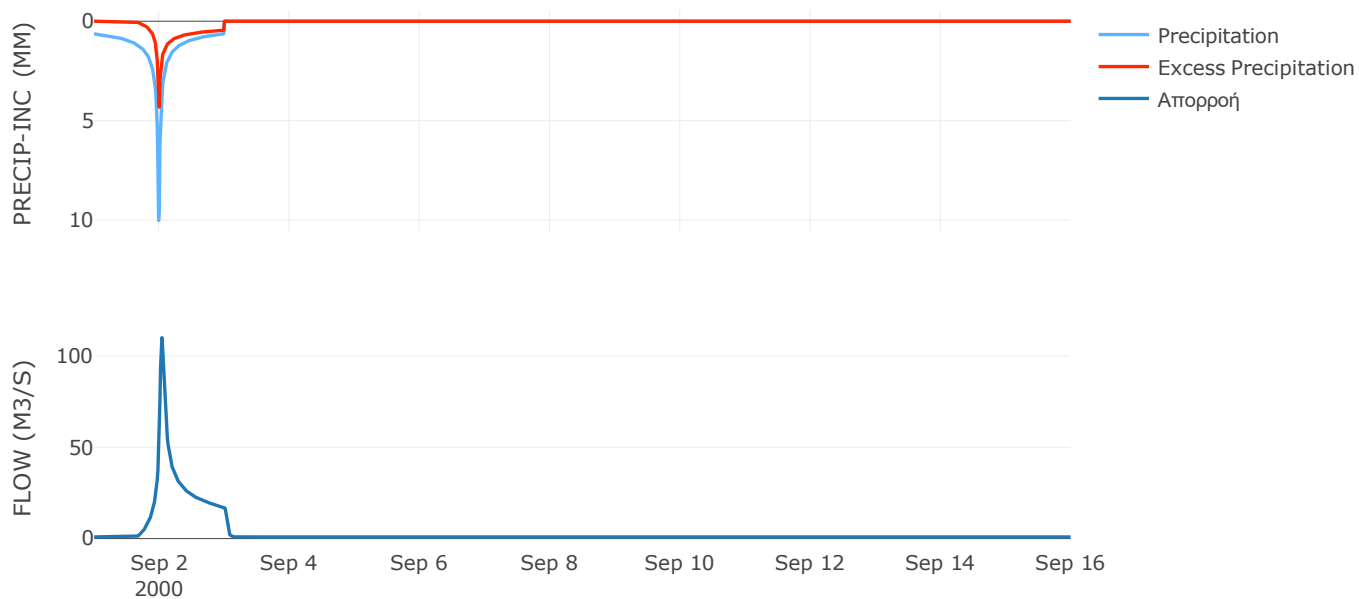
Μέθοδος
Μετασχηματισμού: SCS

Χρόνος Υστέρησης	48.98
------------------	-------

Αποτελέσματα:
EL0415FL00025

Παροχή αιχμής (M3/S)	109.99
Χρονική στιγμή αιχμής	02Sep2000, 01:00
Όγκος (MM)	135.02
Όγκος βροχόπτωσης (M3)	8.34E6
Όγκος απωλειών (M3)	5.18E6
Ενεργός Όγκος (M3)	3.16E6
Όγκος άμεσης απορροής (M3)	3.16E6
Όγκος βασικής απορροής (M3)	1.16E6

Βροχόπτωση και Απορροή



Υπολεκάνη: EL0415FL00026

Έκταση (KM2) : 30.03

Κατάντη : J12

Μέθοδος Απωλειών: SCS

Ποσοστό αδιαπέρατης επιφάνειας	0
Αριθμός Καμπύλης Απορροής-CN	68.31
Αρχικές Απώλειες	23.56

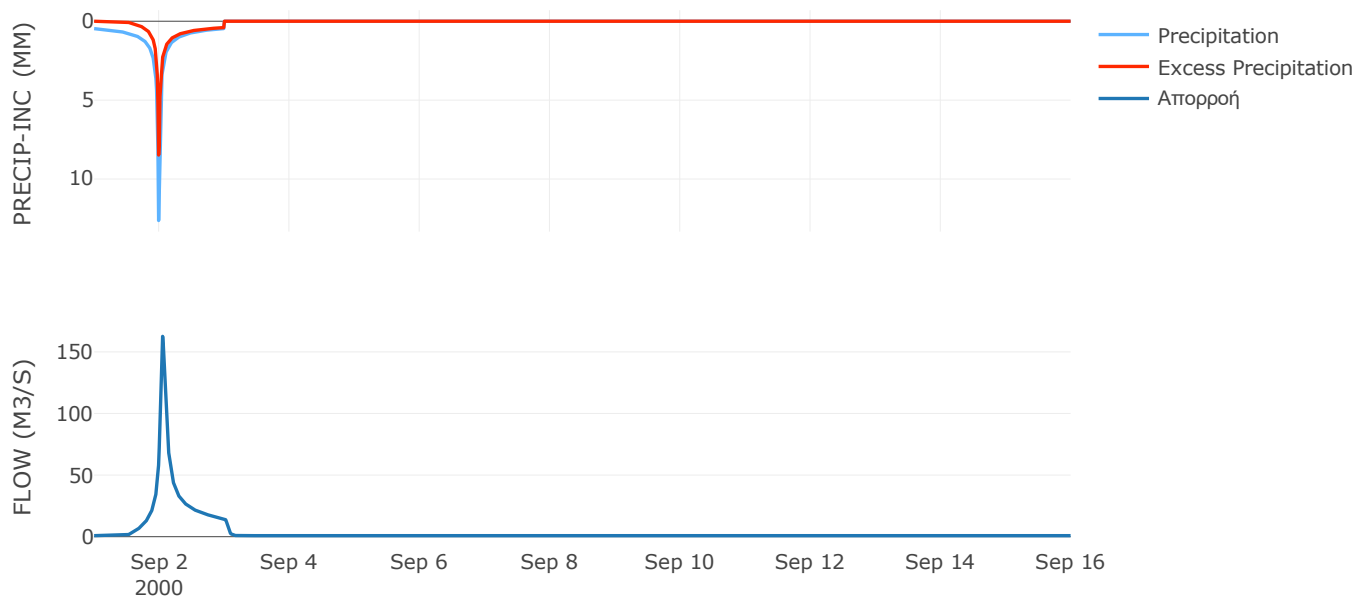
Μέθοδος
Μετασχηματισμού: SCS

Χρόνος Υστέρησης	66.22
------------------	-------

Αποτελέσματα:
EL0415FL00026

Παροχή αιχμής (M3/S)	162.62
Χρονική στιγμή αιχμής	02Sep2000, 01:15
Όγκος (MM)	167.14
Όγκος βροχόπτωσης (M3)	6.89E6
Όγκος απωλειών (M3)	2.96E6
Ενεργός Όγκος (M3)	3.93E6
Όγκος άμεσης απορροής (M3)	3.93E6
Όγκος βασικής απορροής (M3)	1.09E6

Βροχόπτωση και Απορροή



Υπολεκάνη: EL0415FL00027

Έκταση (KM2) : 3.34

Κατάνη : J11

Μέθοδος Απωλειών: SCS

Ποσοστό αδιαπέρατης επιφάνειας	0
Αριθμός Καμπύλης Απορροής-CN	79.69
Αρχικές Απώλειες	12.94

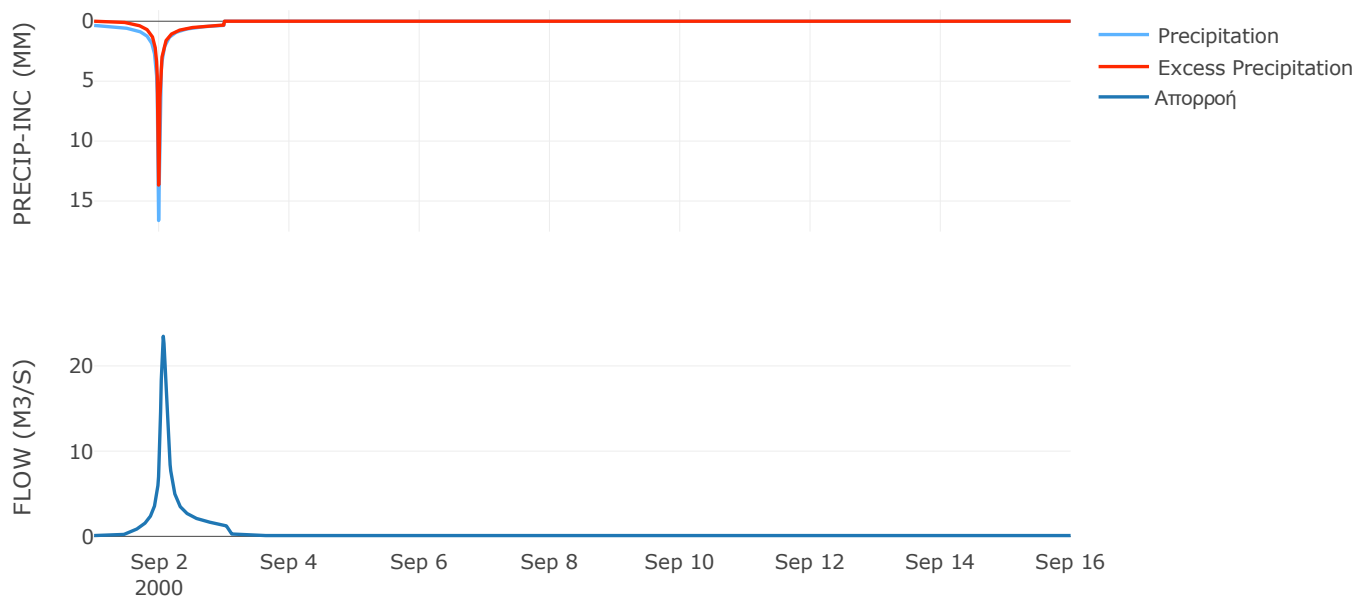
Μέθοδος
Μετασχηματισμού: SCS

Χρόνος Υστέρησης	82.27
------------------	-------

Αποτελέσματα:
EL0415FL00027

Παροχή αιχμής (M3/S)	23.48
Χρονική στιγμή αιχμής	02Sep2000, 01:30
Όγκος (MM)	186.53
Όγκος βροχόπτωσης (M3)	7.08E5
Όγκος απωλειών (M3)	2.06E5
Ενεργός Όγκος (M3)	5.02E5
Όγκος άμεσης απορροής (M3)	5.02E5
Όγκος βασικής απορροής (M3)	1.21E5

Βροχόπτωση και Απορροή



Δεδομένα και υδρογραφήματα σχεδιασμού Κλάδων υδρογραφικού δικτύου

Κλάδος: R21

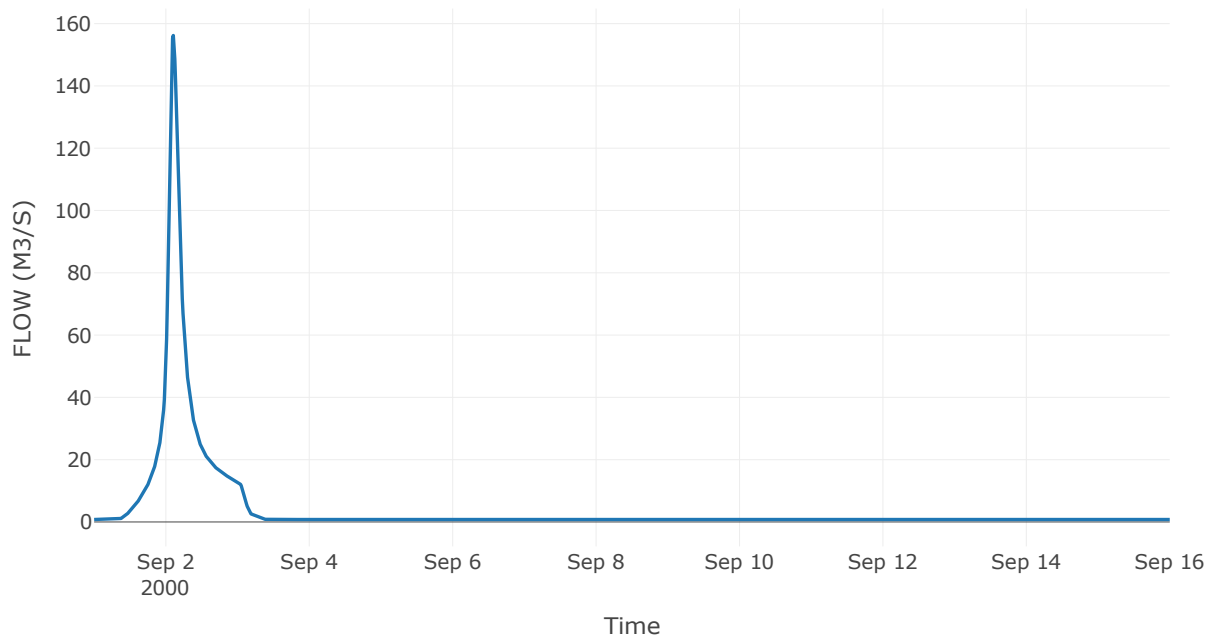
Κατάντη : J1

Μέθοδος Διόδευσης	Χρόνος
Αρχική Μεταβλητή	Combined Inflow
Χρόνος Υστέρησης	0

Αποτελέσματα: R21

Παροχή Αιχμής(M3/S)	156.19
Χρονική στιγμή αιχμής	02Sep2000, 02:30
Όγκος(MM)	197.92
Παροχή Αιχμής Εισόδου (M3/S)	156.19
Όγκος Εισροής(M3)	5.61E6

Απορροή



Κλάδος: R31

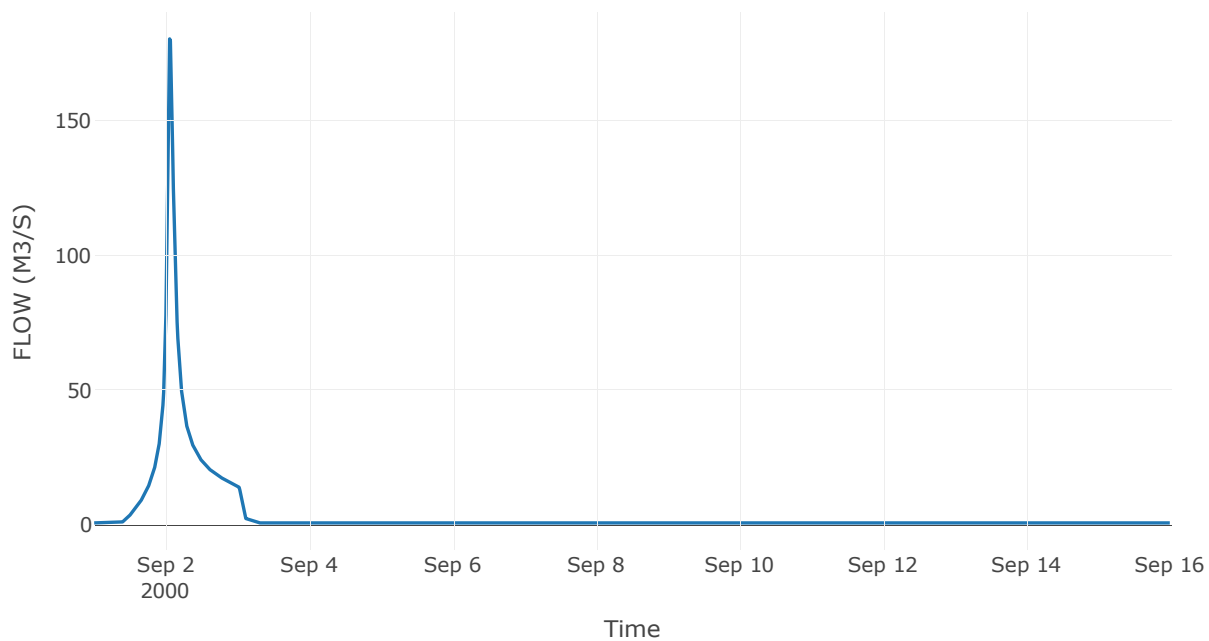
Κατάντη : J1

Μέθοδος Διόδευσης	Χρόνος
Αρχική Μεταβλητή	Combined Inflow
Χρόνος Υστέρησης	0

Αποτελέσματα: R31

Παροχή Αιχμής(M3/S)	180.22
Χρονική στιγμή αιχμής	02Sep2000, 01:15
Όγκος(MM)	185.65
Παροχή Αιχμής Εισόδου (M3/S)	180.22
Όγκος Εισροής(M3)	5.58E6

Απορροή



Κλάδος: R41

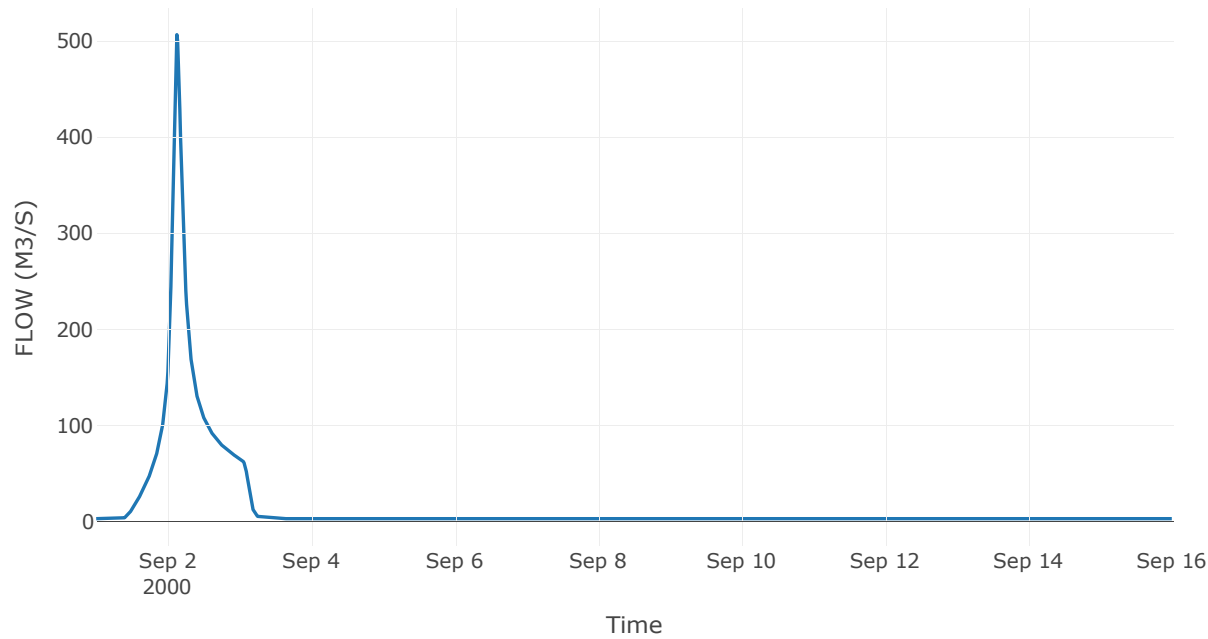
Κατάντη : J1

Μέθοδος Διόδευσης	Χρόνος
Αρχική Μεταβλητή	Combined Inflow
Χρόνος Υστέρησης	0

Αποτελέσματα: R41

Παροχή Αιχμής(M3/S)	506.37
Χρονική στιγμή αιχμής	02Sep2000, 03:00
Όγκος(MM)	211.98
Παροχή Αιχμής Εισόδου (M3/S)	506.37
Όγκος Εισροής(M3)	2.09E7

Απορροή



Κλάδος: R51

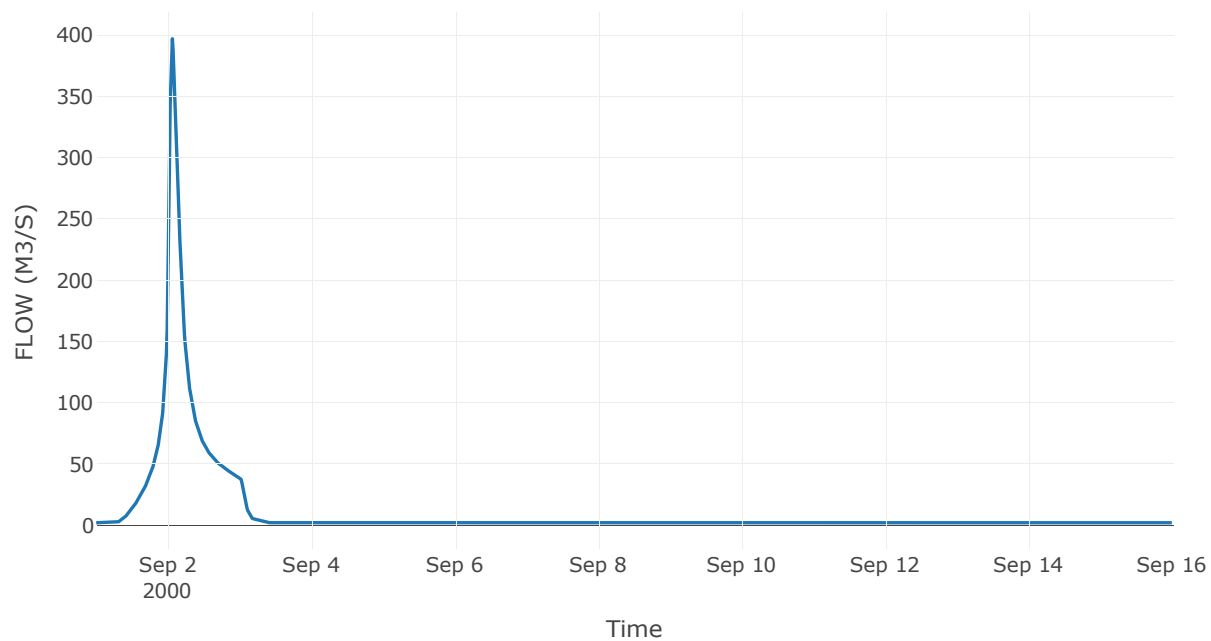
Κατάντη : J1

Μέθοδος Διόδευσης	Χρόνος
Αρχική Μεταβλητή	Combined Inflow
Χρόνος Υστέρησης	0

Αποτελέσματα: R51

Παροχή Αιχμής(M3/S)	396.73
Χρονική στιγμή αιχμής	02Sep2000, 01:30
Όγκος(MM)	199.01
Παροχή Αιχμής Εισόδου (M3/S)	396.73
Όγκος Εισροής(M3)	1.52E7

Απορροή



Κλάδος: R1110

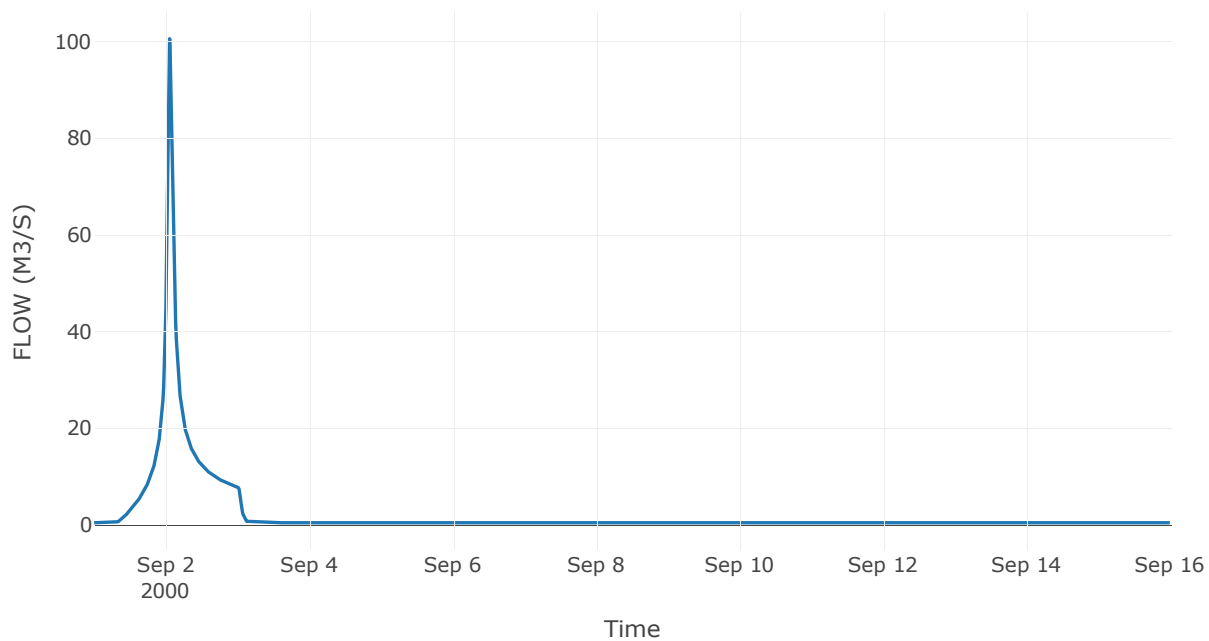
Κατάντη : J10

Μέθοδος Διόδευσης	Χρόνος
Αρχική Μεταβλητή	Combined Inflow
Χρόνος Υστέρησης	0

Αποτελέσματα: R1110

Παροχή Αιχμής(M3/S)	100.55
Χρονική στιγμή αιχμής	02Sep2000, 01:15
Όγκος(MM)	200.24
Παροχή Αιχμής Εισόδου (M3/S)	100.55
Όγκος Εισροής(M3)	2.92E6

Απορροή



Κλάδος: R1210

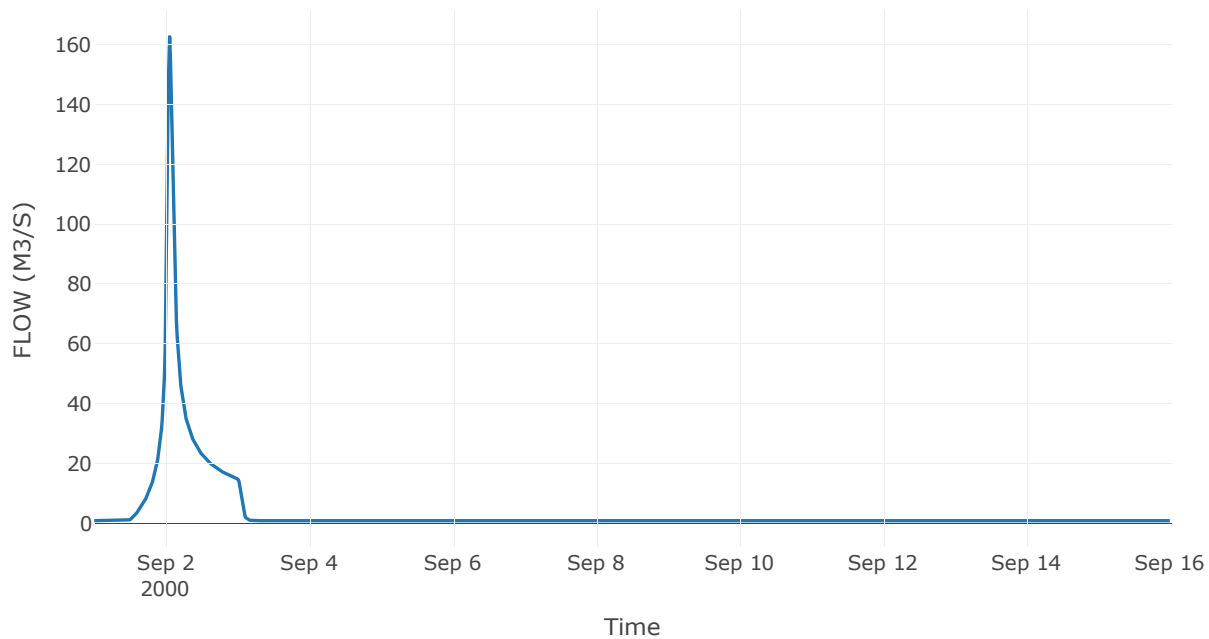
Κατάντη : J10

Μέθοδος Διόδευσης	Χρόνος
Αρχική Μεταβλητή	Combined Inflow
Χρόνος Υστέρησης	0

Αποτελέσματα: R1210

Παροχή Αιχμής(M3/S)	162.62
Χρονική στιγμή αιχμής	02Sep2000, 01:15
Όγκος(MM)	167.14
Παροχή Αιχμής Εισόδου (M3/S)	162.62
Όγκος Εισροής(M3)	5.02E6

Απορροή



Κλάδος: R1310

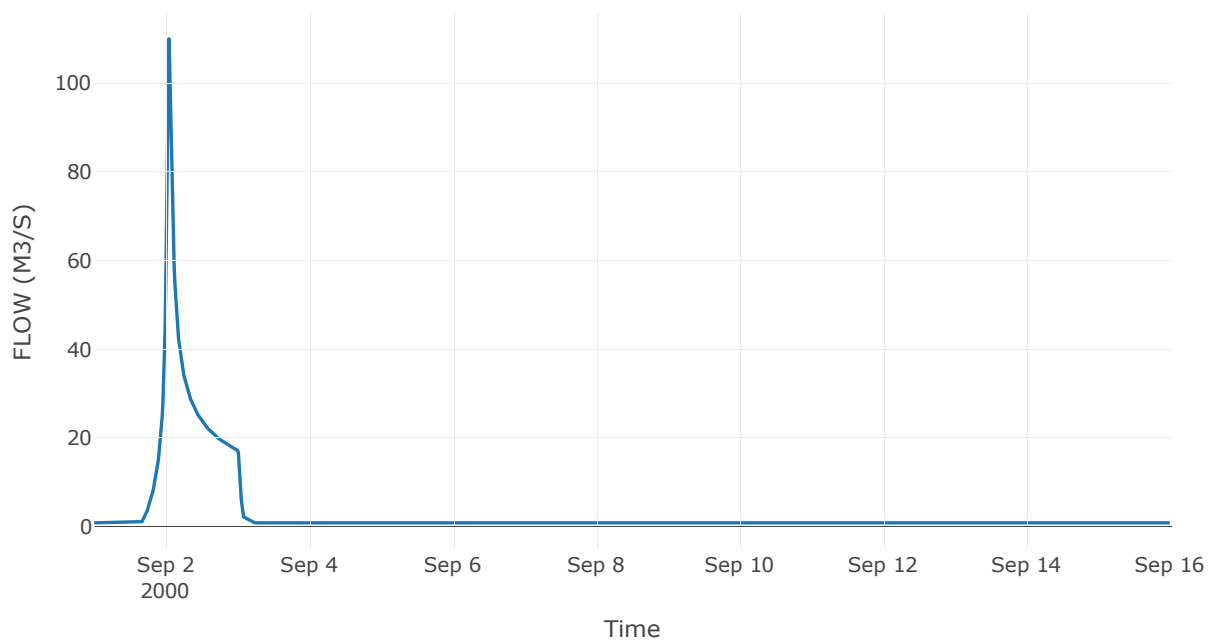
Κατάντη : J10

Μέθοδος Διόδευσης	Χρόνος
Αρχική Μεταβλητή	Combined Inflow
Χρόνος Υστέρησης	0

Αποτελέσματα: R1310

Παροχή Αιχμής(M3/S)	109.99
Χρονική στιγμή αιχμής	02Sep2000, 01:00
Όγκος(MM)	135.02
Παροχή Αιχμής Εισόδου (M3/S)	109.99
Όγκος Εισροής(M3)	4.32E6

Απορροή



Κλάδος: R1410

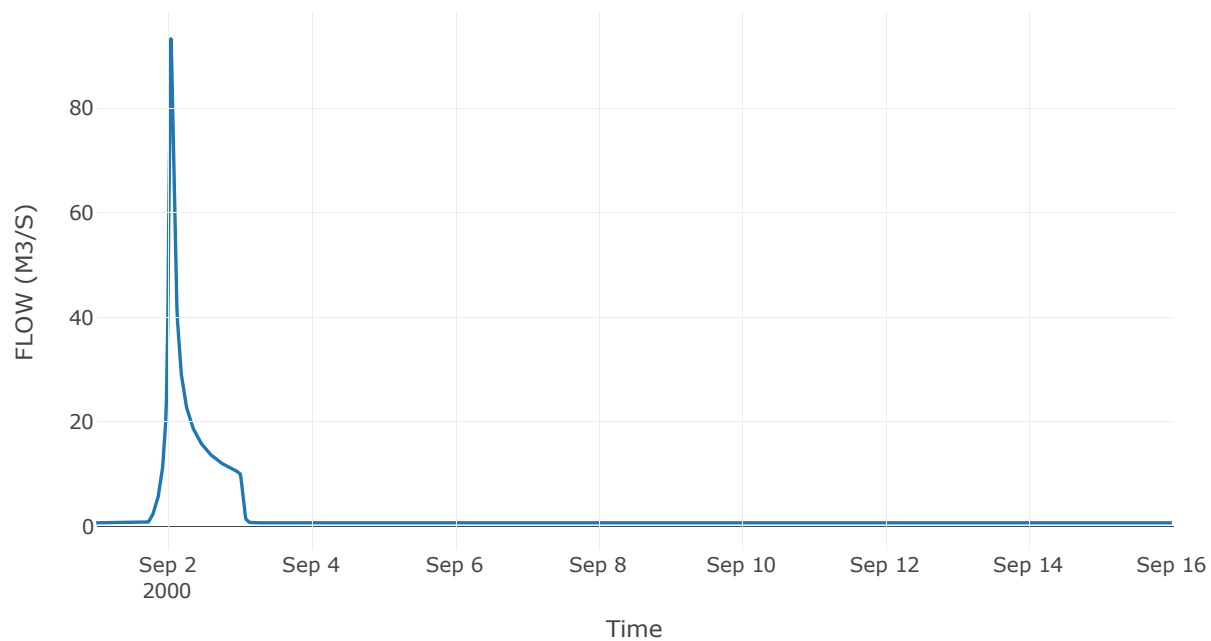
Κατάντη : J10

Μέθοδος Διόδευσης	Χρόνος
Αρχική Μεταβλητή	Combined Inflow
Χρόνος Υστέρησης	0

Αποτελέσματα: R1410

Παροχή Αιχμής(M3/S)	93.23
Χρονική στιγμή αιχμής	02Sep2000, 01:00
Όγκος(MM)	124.43
Παροχή Αιχμής Εισόδου (M3/S)	93.23
Όγκος Εισροής(M3)	3.05E6

Απορροή



Κλάδος: R1510

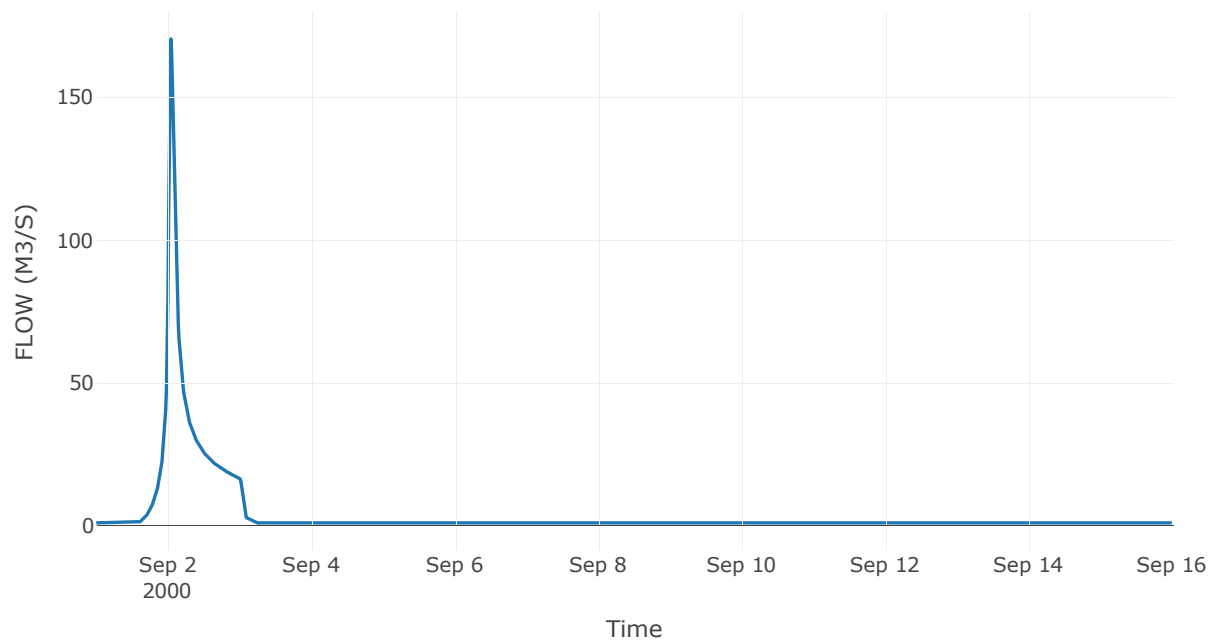
Κατάντη : J10

Μέθοδος Διόδευσης	Χρόνος
Αρχική Μεταβλητή	Combined Inflow
Χρόνος Υστέρησης	0

Αποτελέσματα: R1510

Παροχή Αιχμής(M3/S)	170.5
Χρονική στιγμή αιχμής	02Sep2000, 01:00
Όγκος(MM)	146.6
Παροχή Αιχμής Εισόδου (M3/S)	170.5
Όγκος Εισροής(M3)	5.36E6

Απορροή



Κλάδος: R1610

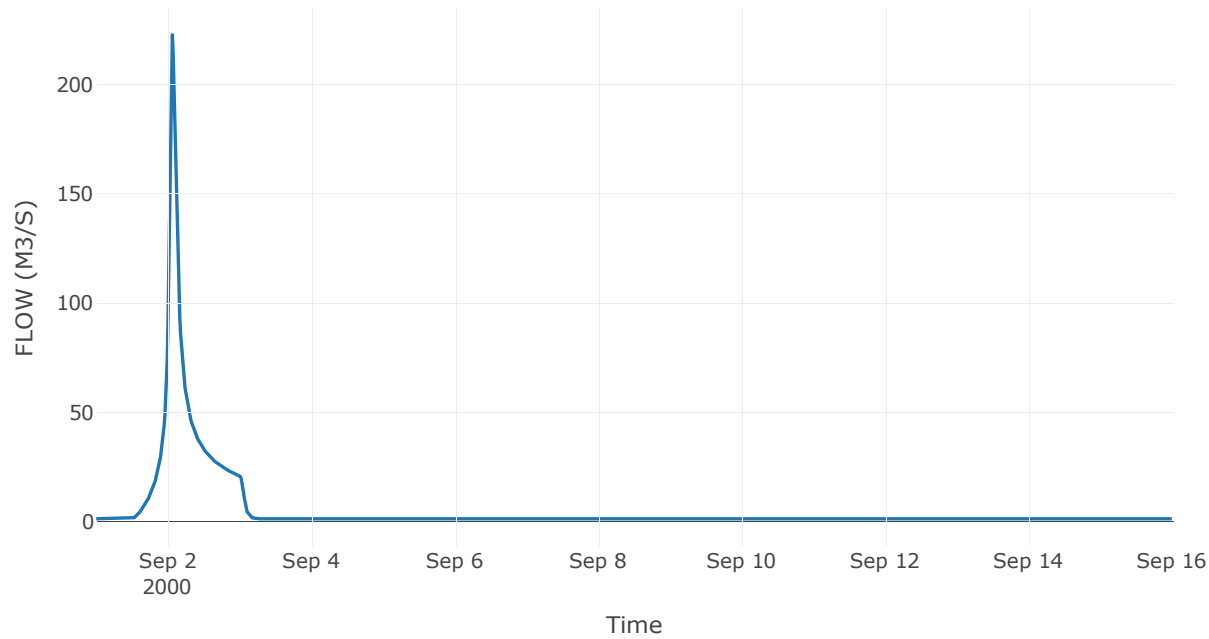
Κατάντη : J10

Μέθοδος Διόδευσης	Χρόνος
Αρχική Μεταβλητή	Combined Inflow
Χρόνος Υστέρησης	0

Αποτελέσματα: R1610

Παροχή Αιχμής(M3/S)	222.84
Χρονική στιγμή αιχμής	02Sep2000, 01:30
Όγκος(MM)	169.96
Παροχή Αιχμής Εισόδου (M3/S)	222.84
Όγκος Εισροής(M3)	7.11E6

Απορροή



Κλάδος: R1710

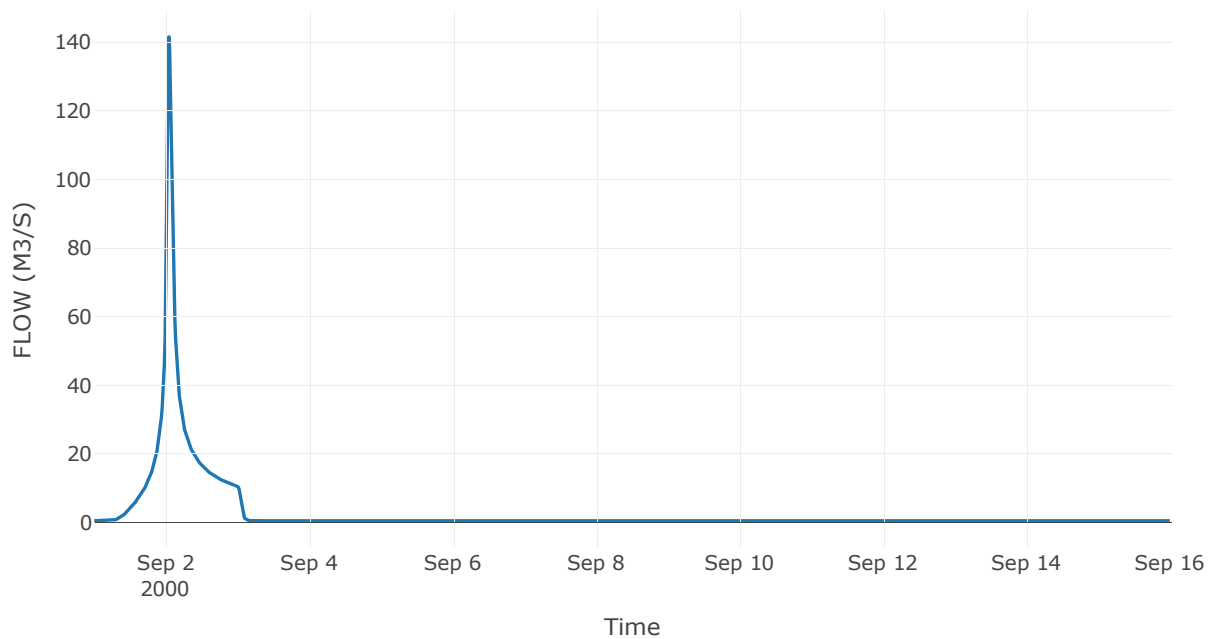
Κατάντη : J10

Μέθοδος Διόδευσης	Χρόνος
Αρχική Μεταβλητή	Combined Inflow
Χρόνος Υστέρησης	0

Αποτελέσματα: R1710

Παροχή Αιχμής(M3/S)	141.53
Χρονική στιγμή αιχμής	02Sep2000, 01:00
Όγκος(MM)	203
Παροχή Αιχμής Εισόδου (M3/S)	141.53
Όγκος Εισροής(M3)	3.97E6

Απορροή



Κλάδος: R1810

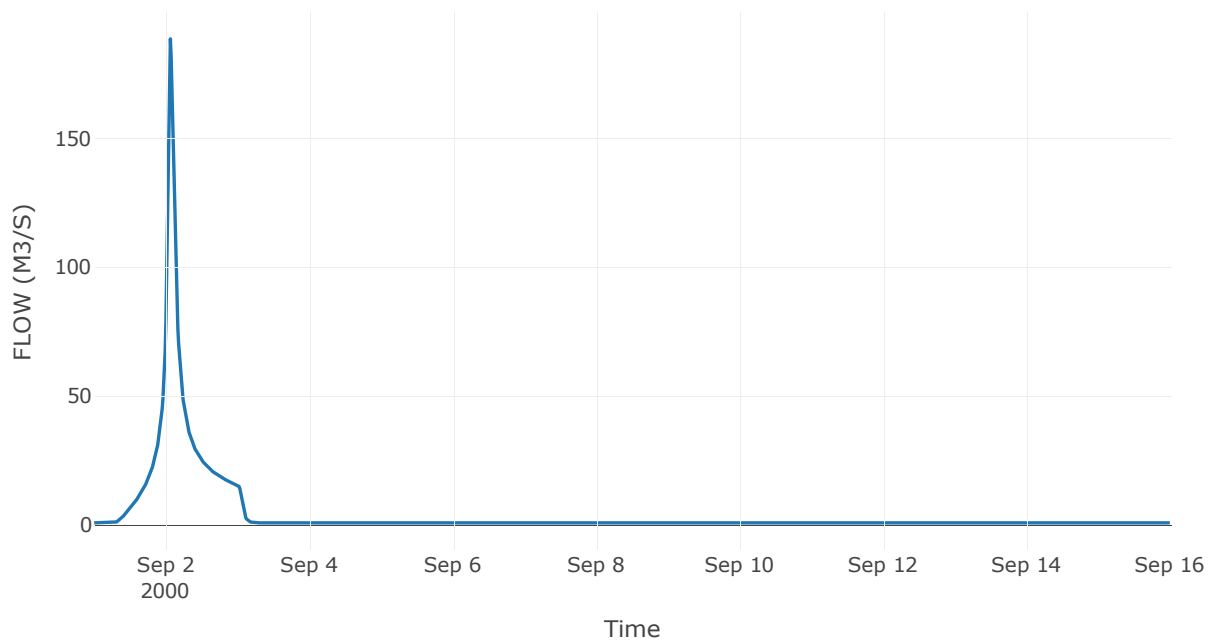
Κατάντη : J10

Μέθοδος Διόδευσης	Χρόνος
Αρχική Μεταβλητή	Combined Inflow
Χρόνος Υστέρησης	0

Αποτελέσματα: R1810

Παροχή Αιχμής(M3/S)	188.68
Χρονική στιγμή αιχμής	02Sep2000, 01:30
Όγκος(MM)	206.83
Παροχή Αιχμής Εισόδου (M3/S)	188.68
Όγκος Εισροής(M3)	5.96E6

Απορροή



Κλάδος: R1910

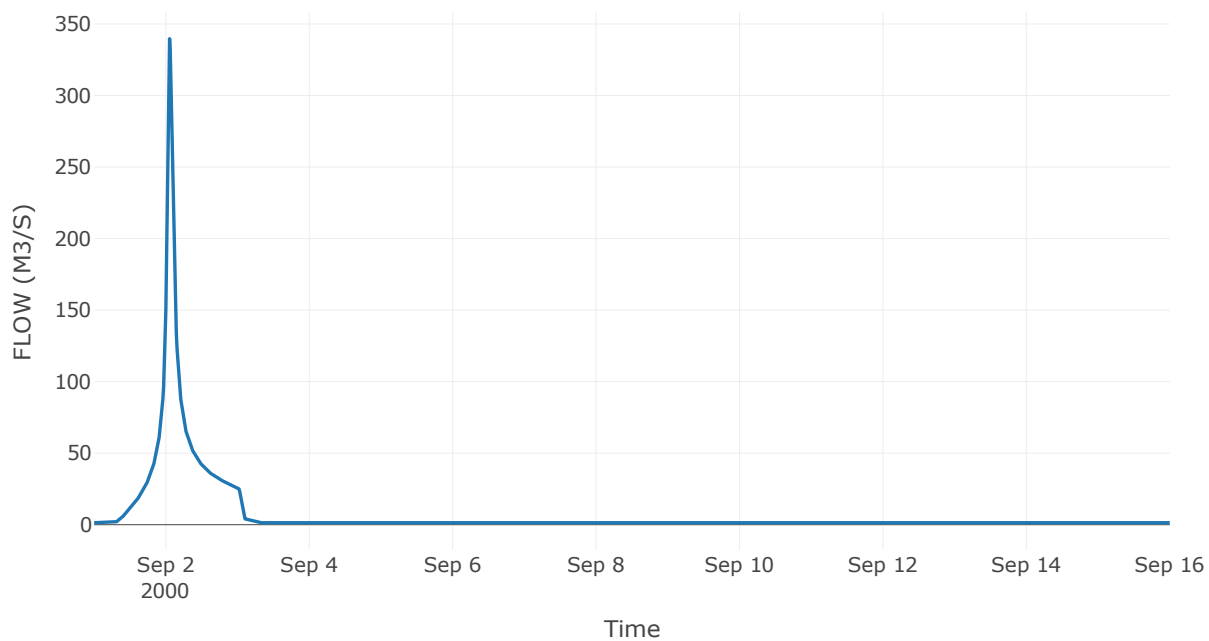
Κατάντη : J10

Μέθοδος Διόδευσης	Χρόνος
Αρχική Μεταβλητή	Combined Inflow
Χρόνος Υστέρησης	0

Αποτελέσματα: R1910

Παροχή Αιχμής(M3/S)	339.7
Χρονική στιγμή αιχμής	02Sep2000, 01:15
Όγκος(MM)	203.55
Παροχή Αιχμής Εισόδου (M3/S)	339.7
Όγκος Εισροής(M3)	1E7

Απορροή



Κλάδος: R16

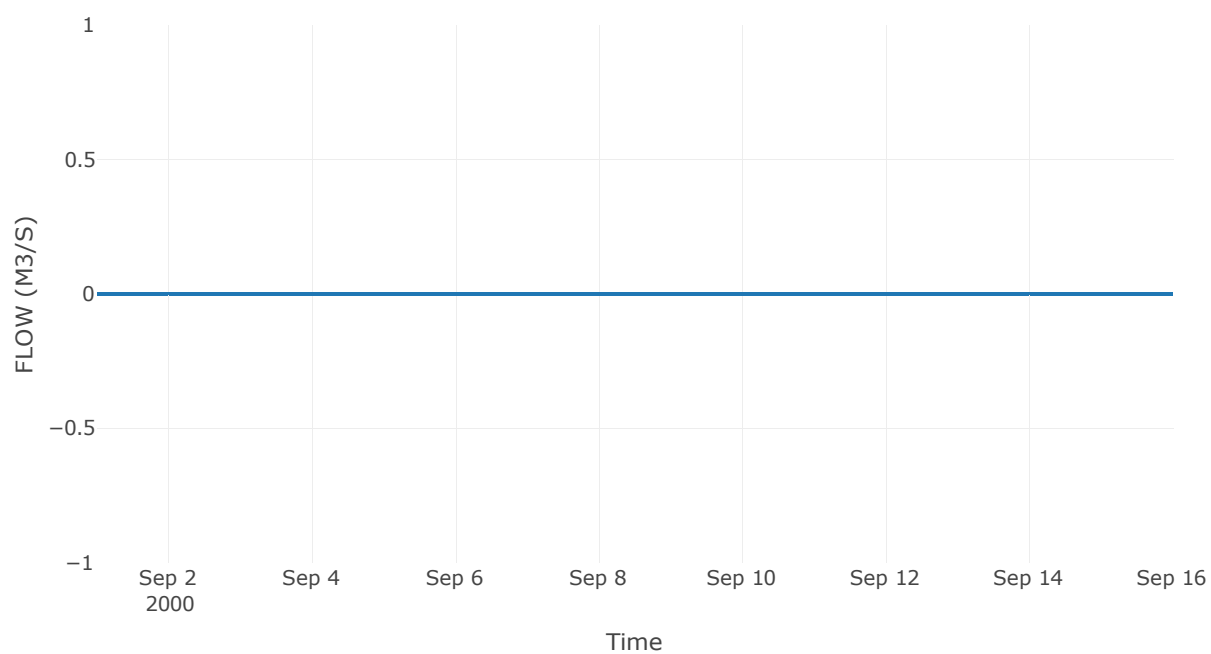
Κατάντη : J6

Μέθοδος Διόδευσης	Muskingum
Αρχική Μεταβλητή	Combined Inflow
Χρόνος Ροής K	12.92
Συντελεστής βάρους x	0.2
Πλήθος Υποκλάδων	59

Αποτελέσματα: R16

Παροχή Αιχμής(M3/S)	0
Χρονική στιγμή αιχμής	31Aug2000, 24:00
Εισροή Αιχμής(M3/S)	0
Όγκος Εισροής (M3)	0

Απορροή



Κλάδος: R74

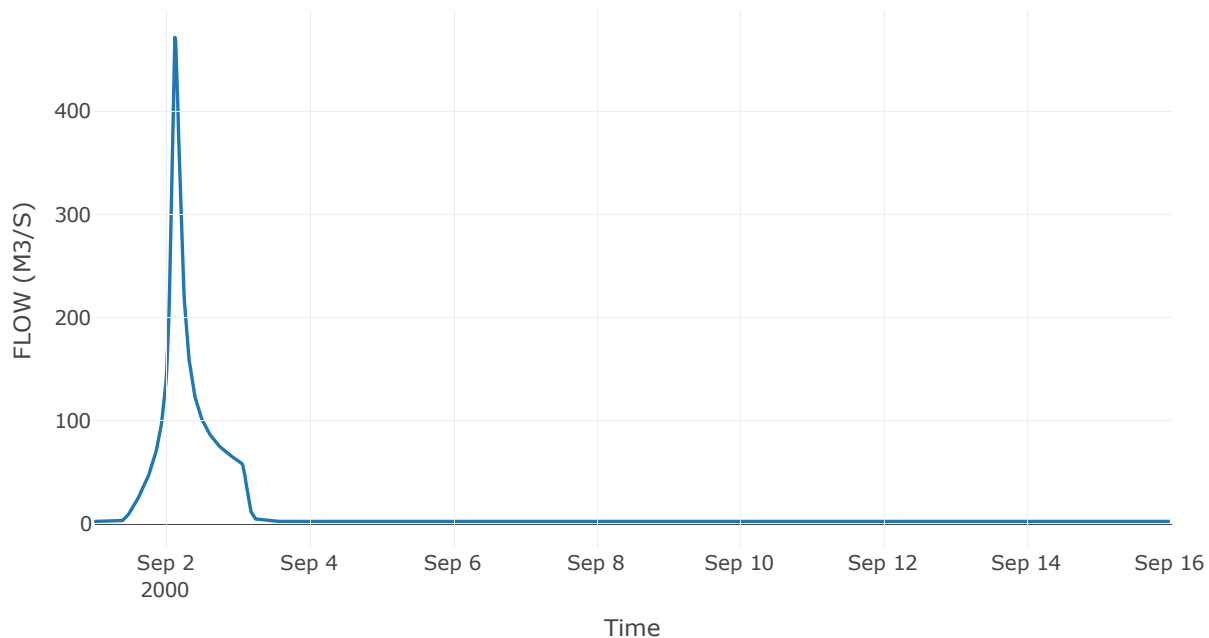
Κατάντη : J4

Μέθοδος Διόδευσης	Muskingum
Αρχική Μεταβλητή	Combined Inflow
Χρόνος Ροής Κ	1.22
Συντελεστής βάρους α	0.2
Πλήθος Υποκλάδων	6

Αποτελέσματα: R74

Παροχή Αιχμής(M3/S)	471.3
Χρονική στιγμή αιχμής	02Sep2000, 03:00
Όγκος(MM)	213.75
Παροχή Αιχμής Εισόδου (M3/S)	488.5
Όγκος Εισροής(M3)	1.93E7

Απορροή



Κλάδος: R85

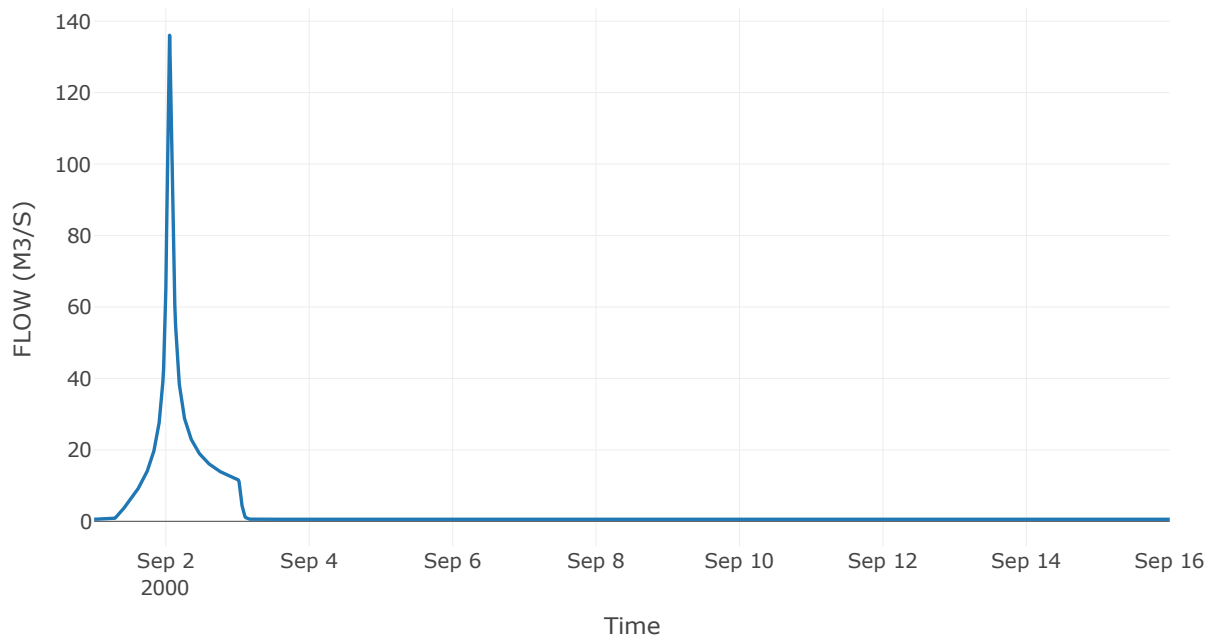
Κατάντη : J5

Μέθοδος Διόδευσης	Muskingum
Αρχική Μεταβλητή	Combined Inflow
Χρόνος Ροής K	0.24
Συντελεστής βάρους x	0.2
Πλήθος Υποκλάδων	1

Αποτελέσματα: R85

Παροχή Αιχμής(M3/S)	136.06
Χρονική στιγμή αιχμής	02Sep2000, 01:15
Όγκος(MM)	206.08
Παροχή Αιχμής Εισόδου (M3/S)	139.29
Όγκος Εισροής(M3)	4.2E6

Απορροή



Κλάδος: R95

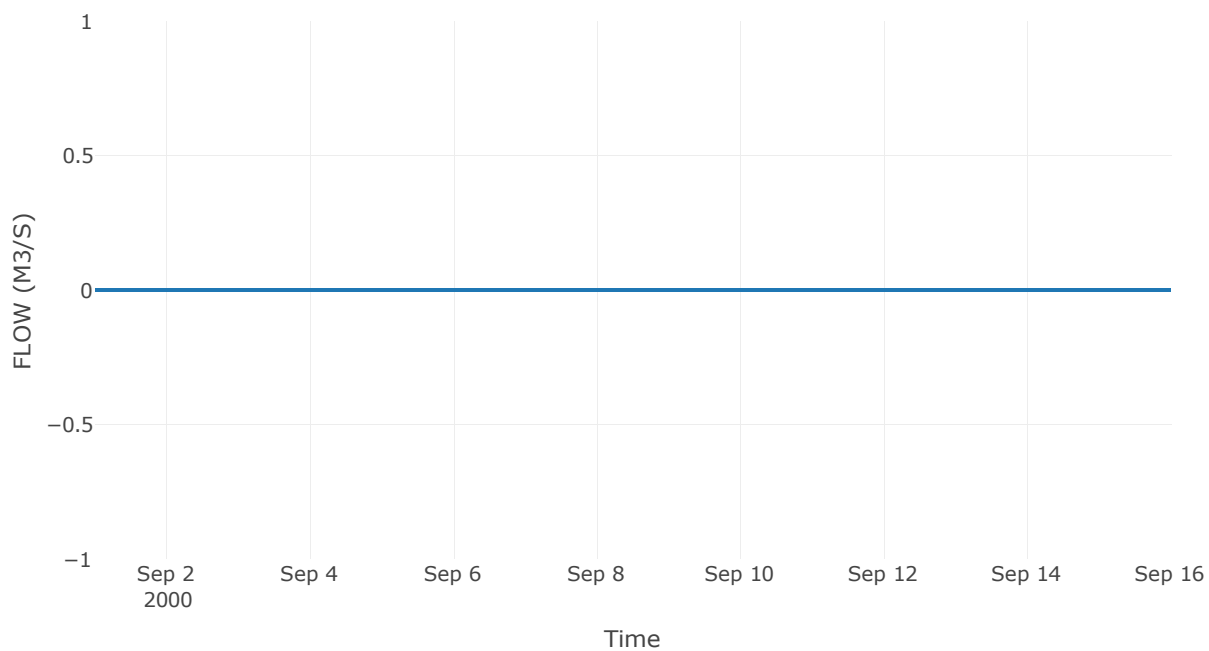
Κατάντη : J5

Μέθοδος Διόδευσης	Χρόνος
Αρχική Μεταβλητή	Combined Inflow
Χρόνος Υστέρησης	76.75

Αποτελέσματα: R95

Παροχή Αιχμής(M3/S)	0
Χρονική στιγμή αιχμής	31Aug2000, 24:00
Εισροή Αιχμής(M3/S)	0
Όγκος Εισροής (M3)	0

Απορροή



Κλάδος: R2011

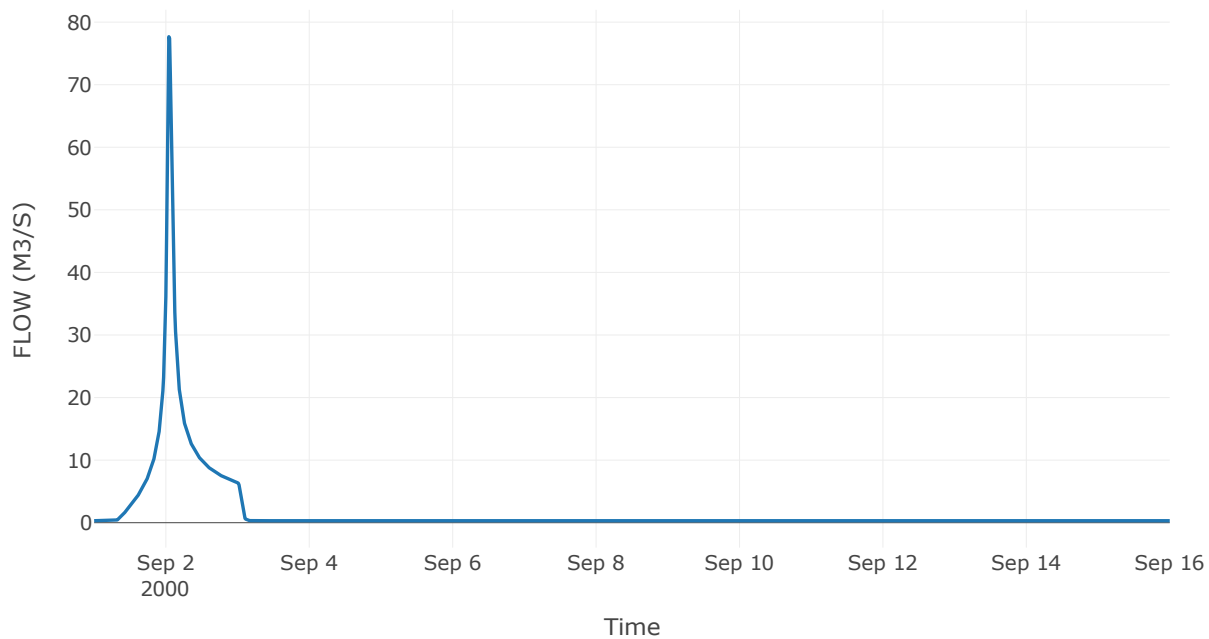
Κατάντη : J11

Μέθοδος Διόδευσης	Χρόνος
Αρχική Μεταβλητή	Combined Inflow
Χρόνος Υστέρησης	11.53

Αποτελέσματα: R2011

Παροχή Αιχμής(M3/S)	77.67
Χρονική στιγμή αιχμής	02Sep2000, 01:00
Όγκος(MM)	204.32
Παροχή Αιχμής Εισόδου (M3/S)	78.71
Όγκος Εισροής(M3)	2.29E6

Απορροή



Κλάδος: R2117

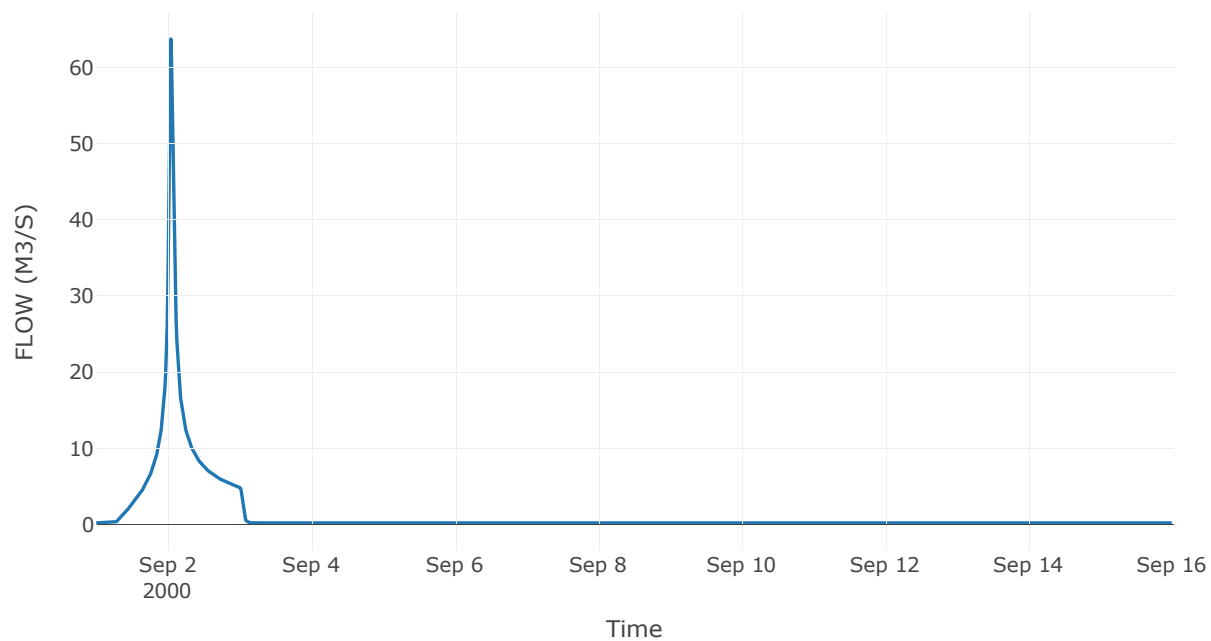
Κατάντη : J17

Μέθοδος Διόδευσης	Χρόνος
Αρχική Μεταβλητή	Combined Inflow
Χρόνος Υστέρησης	10.82

Αποτελέσματα: R2117

Παροχή Αιχμής(M3/S)	63.75
Χρονική στιγμή αιχμής	02Sep2000, 01:00
Όγκος(MM)	213.84
Παροχή Αιχμής Εισόδου (M3/S)	64.41
Όγκος Εισροής(M3)	1.81E6

Απορροή



Κλάδος: R2218

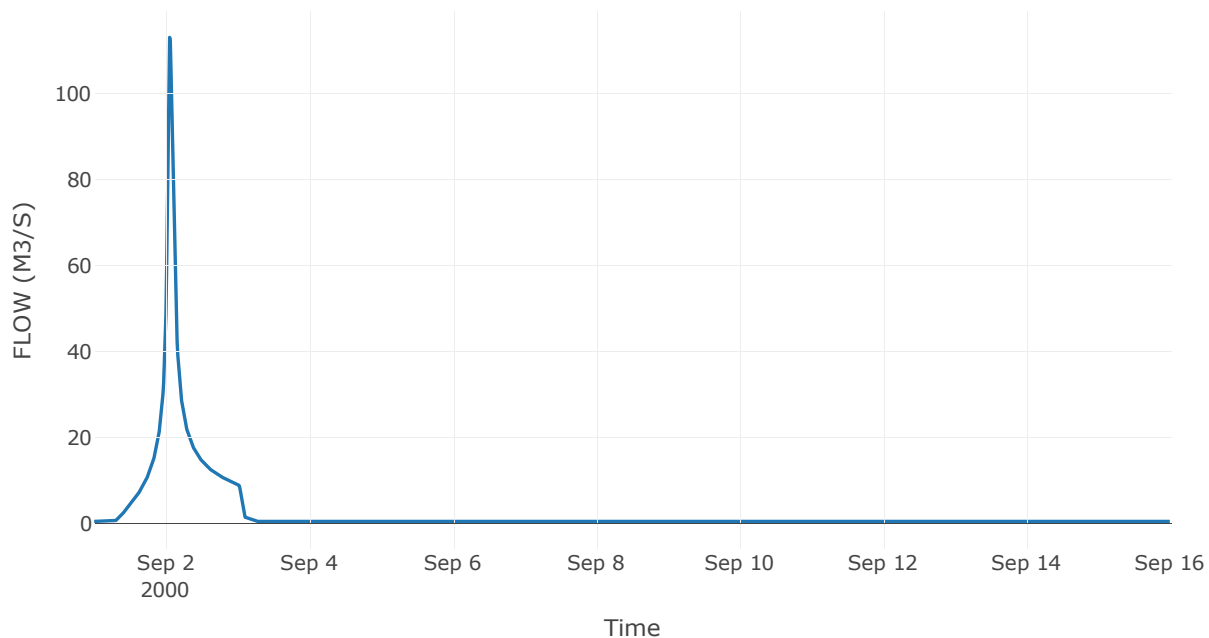
Κατάντη : J18

Μέθοδος Διόδευσης	Muskingum
Αρχική Μεταβλητή	Combined Inflow
Χρόνος Ροής Κ	0.28
Συντελεστής βάρους α	0.2
Πλήθος Υποκλάδων	1

Αποτελέσματα: R2218

Παροχή Αιχμής(M3/S)	113.13
Χρονική στιγμή αιχμής	02Sep2000, 01:15
Όγκος(MM)	209.55
Παροχή Αιχμής Εισόδου (M3/S)	116.71
Όγκος Εισροής(M3)	3.44E6

Απορροή



Κλάδος: R2319

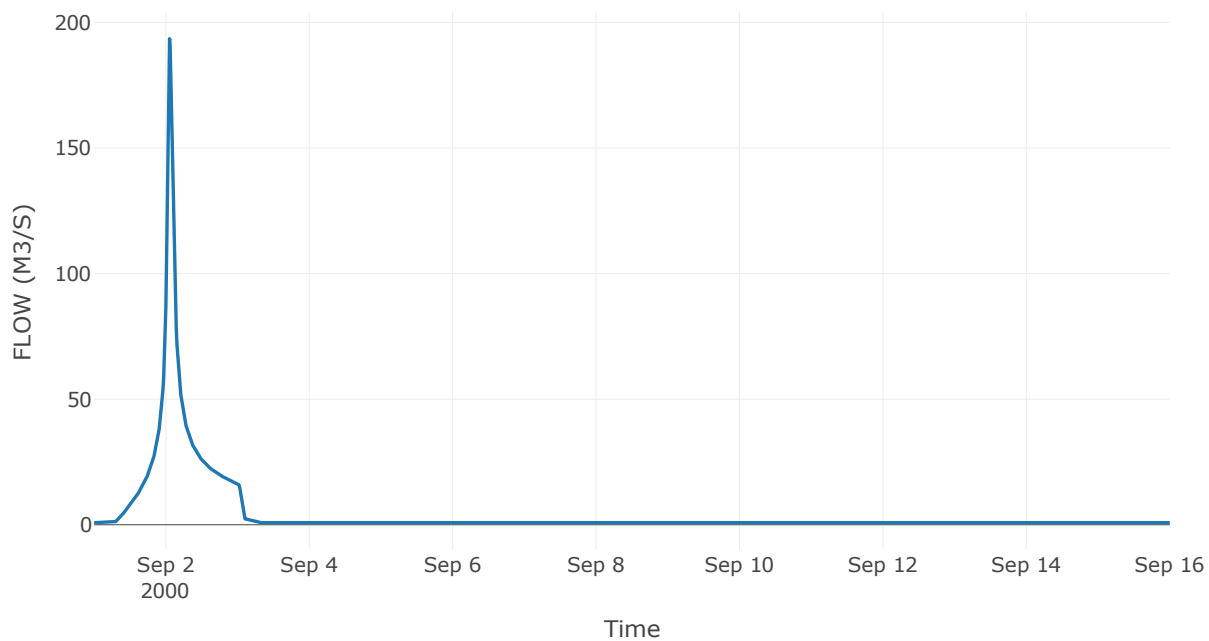
Κατάντη : J19

Μέθοδος Διόδευσης	Χρόνος
Αρχική Μεταβλητή	Combined Inflow
Χρόνος Υστέρησης	12.96

Αποτελέσματα: R2319

Παροχή Αιχμής(M3/S)	193.55
Χρονική στιγμή αιχμής	02Sep2000, 01:15
Όγκος(MM)	208.15
Παροχή Αιχμής Εισόδου (M3/S)	194.39
Όγκος Εισροής(M3)	6E6

Απορροή



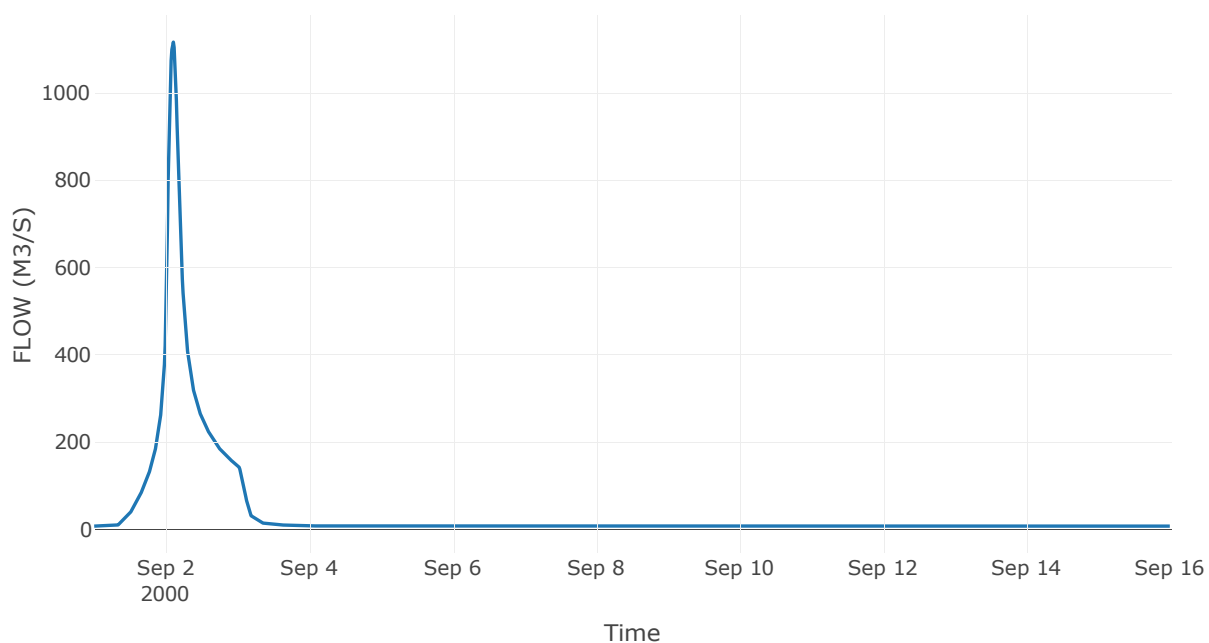
Δεδομένα και υδρογραφήματα σχεδιασμού Κόμβων υδρογραφικού δικτύου

Κόμβος εξόδου: J1

Αποτέλεσμα
τα: J1

Παροχή αιχμής (M3/S)	1116.83
Χρονική στιγμή αιχμής	02Sep2000, 02:30
Όγκος (MM)	205.03

Απορροή



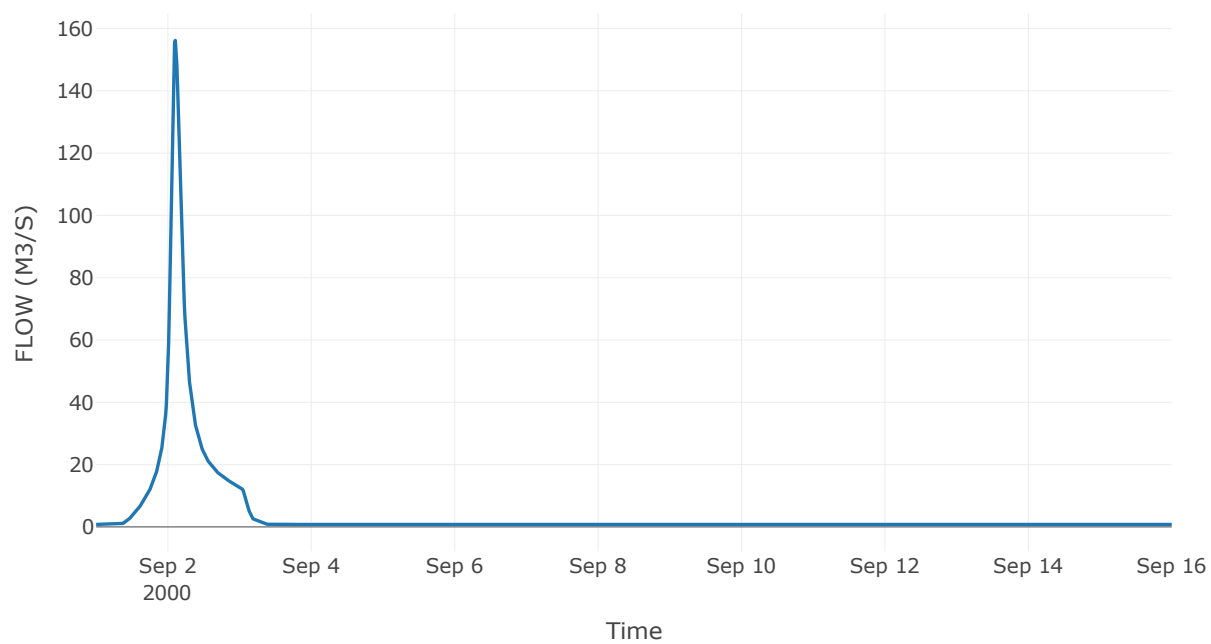
Κόμβος: J2

Κατάντη : R21

Αποτελέσματα: J2

Παροχή Αιχμής(M3/S)	156.19
Χρονική στιγμή αιχμής	02Sep2000, 02:30
Όγκος(MM)	197.92

Απορροή



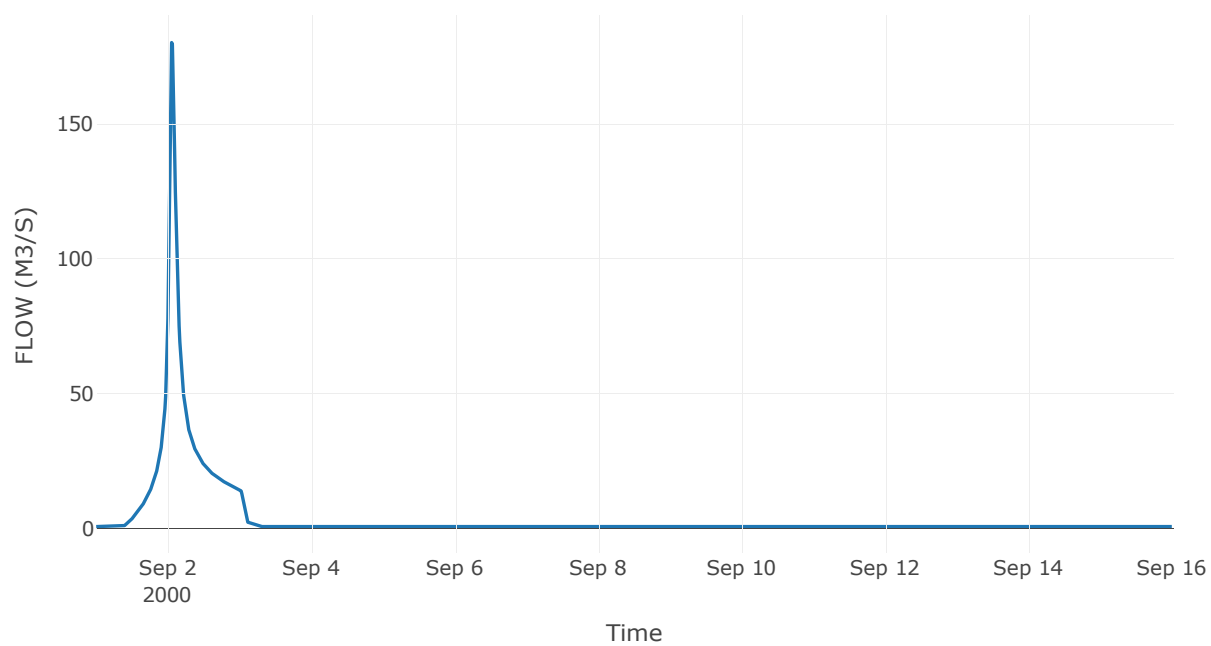
Κόμβος: J3

Κατάντη : R31

Αποτελέσματα: J3

Παροχή Αιχμής(M3/S)	180.22
Χρονική στιγμή αιχμής	02Sep2000, 01:15
Όγκος(MM)	185.65

Απορροή



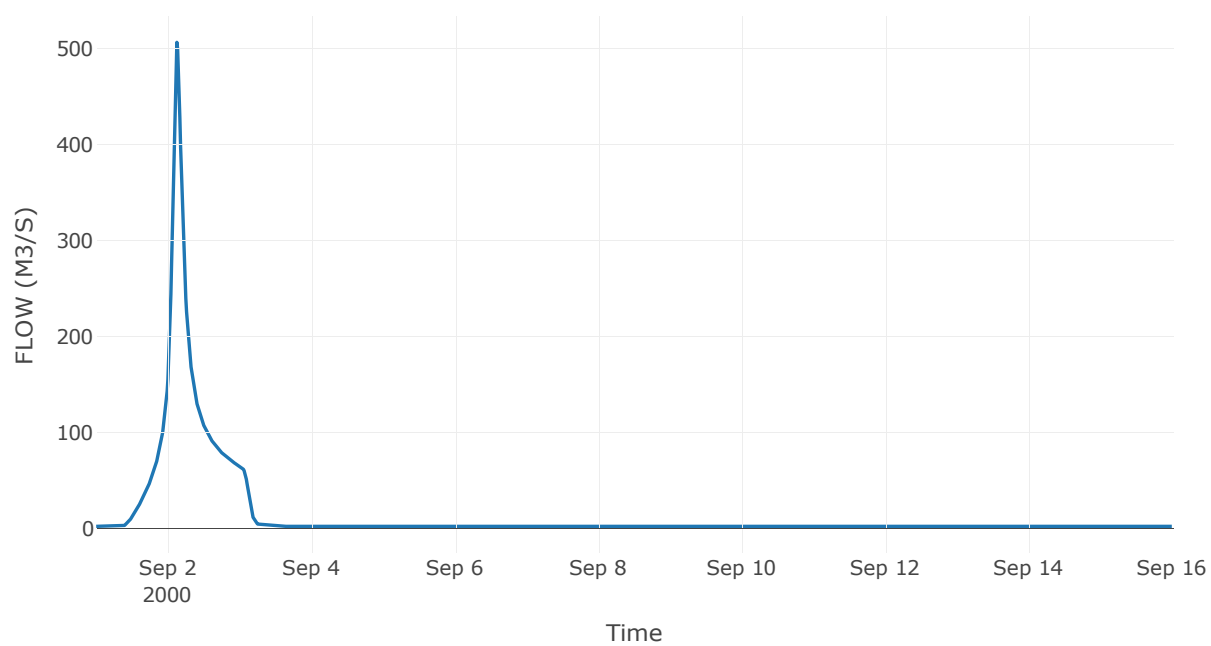
Κόμβος: J4

Κατάντη : R41

Αποτελέσματα: J4

Παροχή Αιχμής(M3/S)	506.37
Χρονική στιγμή αιχμής	02Sep2000, 03:00
Όγκος(MM)	211.98

Απορροή



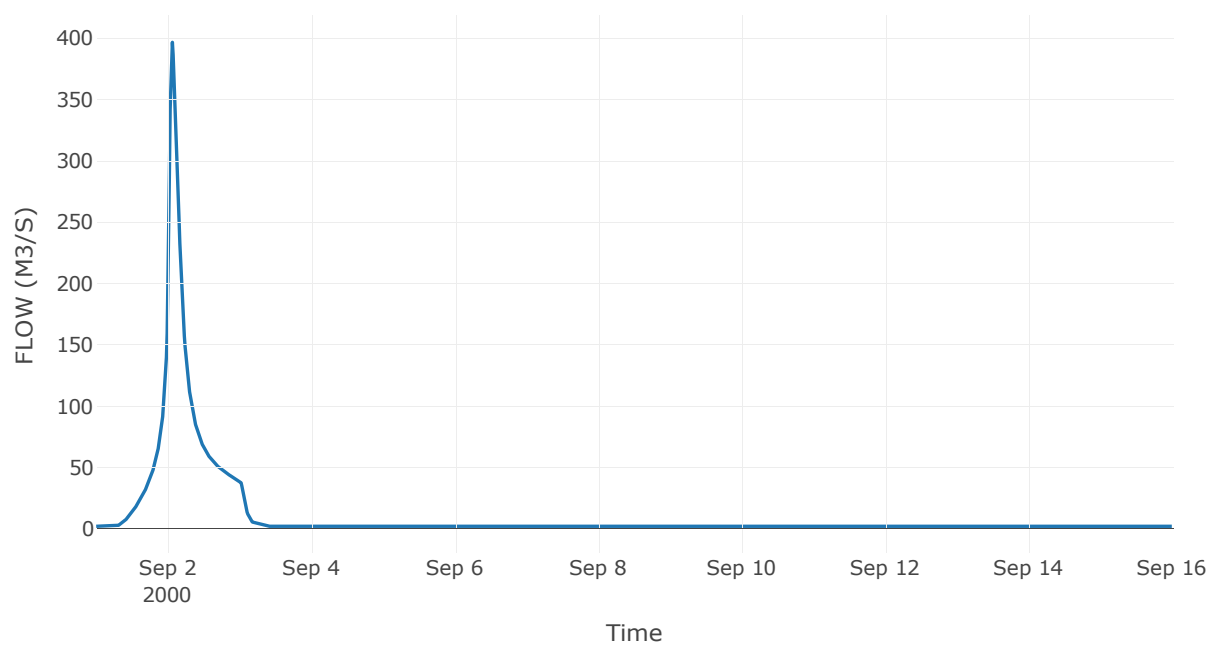
Κόμβος: J5

Κατάντη : R51

Αποτελέσματα: J5

Παροχή Αιχμής(M3/S)	396.73
Χρονική στιγμή αιχμής	02Sep2000, 01:30
Όγκος(MM)	199.01

Απορροή

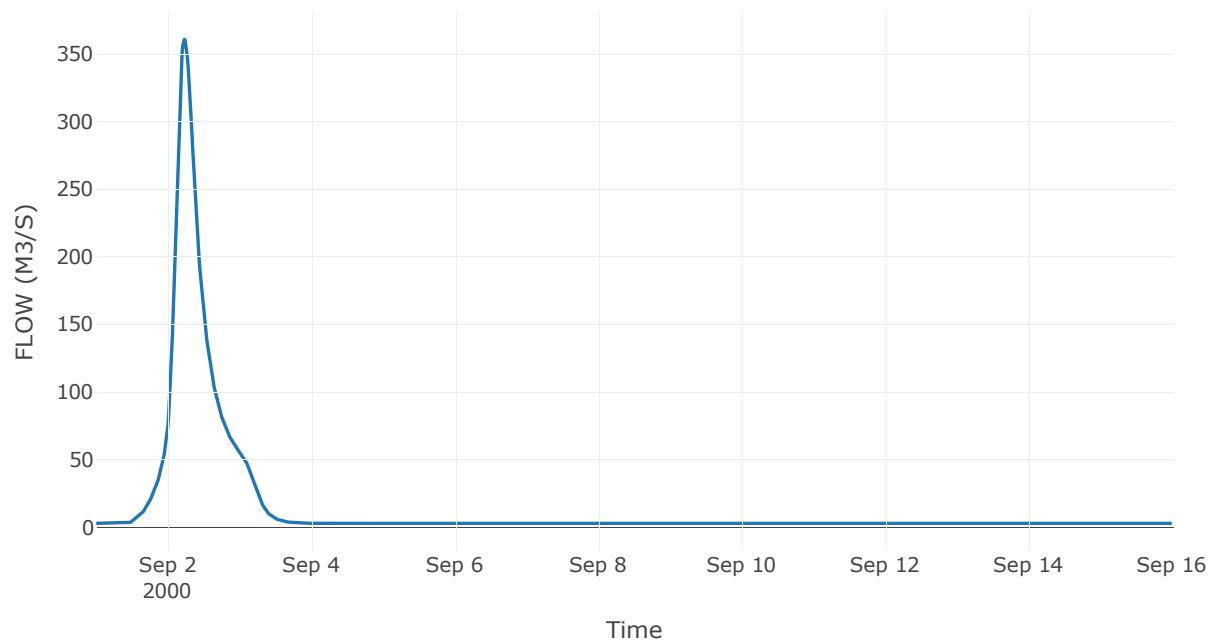


Κόμβος εξόδου: J6

Αποτελέσμα
α: J6

Παροχή αιχμής (M3/S)	360.66
Χρονική στιγμή αιχμής	02Sep2000, 05:30
Όγκος (MM)	188.74

Απορροή



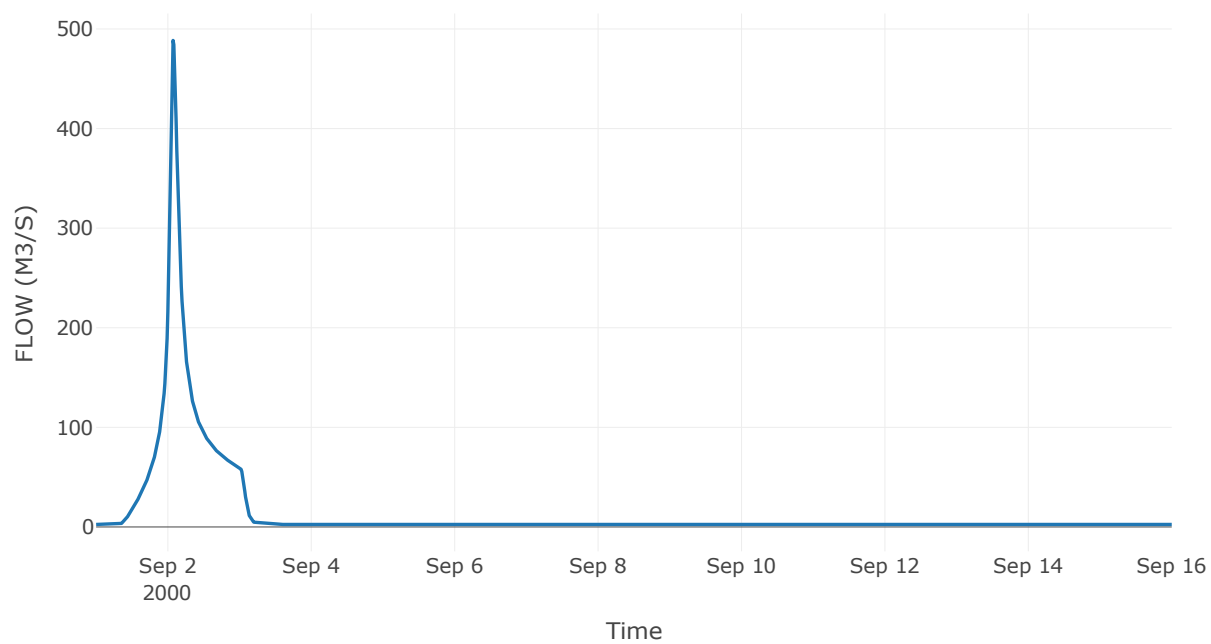
Κόμβος: J7

Κατάντη : R74

Αποτελέσματα: J7

Παροχή Αιχμής(M3/S)	488.5
Χρονική στιγμή αιχμής	02Sep2000, 01:45
Όγκος(MM)	213.75

Απορροή



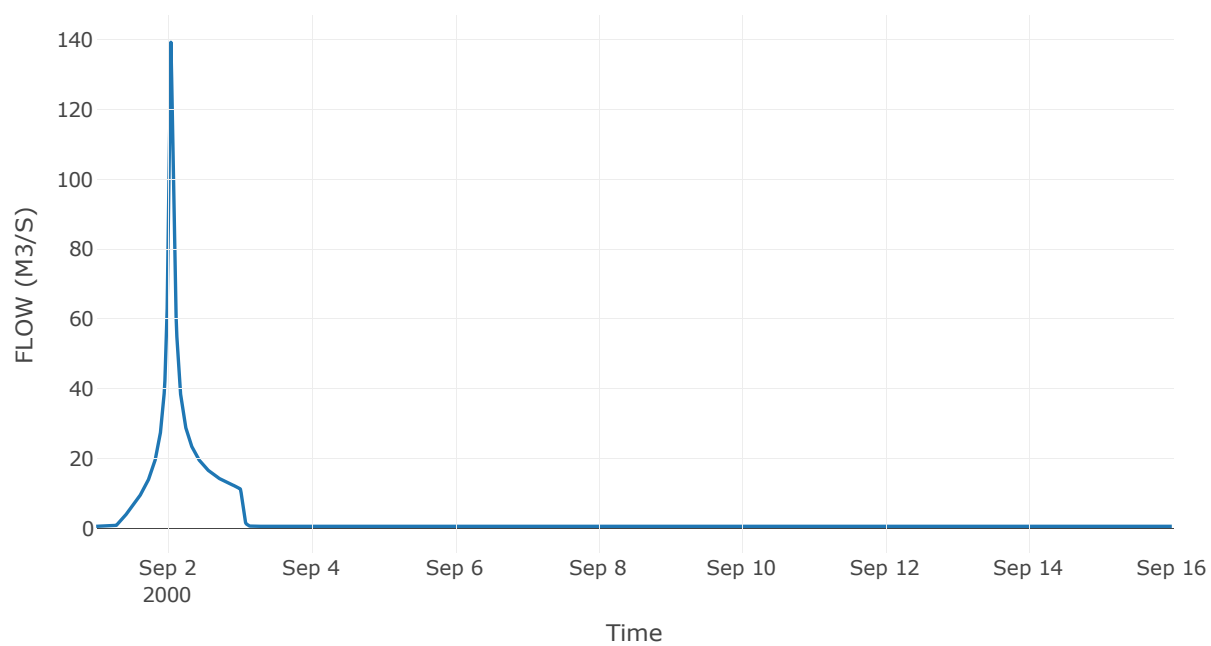
Κόμβος: J8

Κατάντη : R85

Αποτελέσματα: J8

Παροχή Αιχμής(M3/S)	139.29
Χρονική στιγμή αιχμής	02Sep2000, 01:00
Όγκος(MM)	206.08

Απορροή



Κόμβος: J9

Κατάντη : R95

Αποτελέσματα: J9

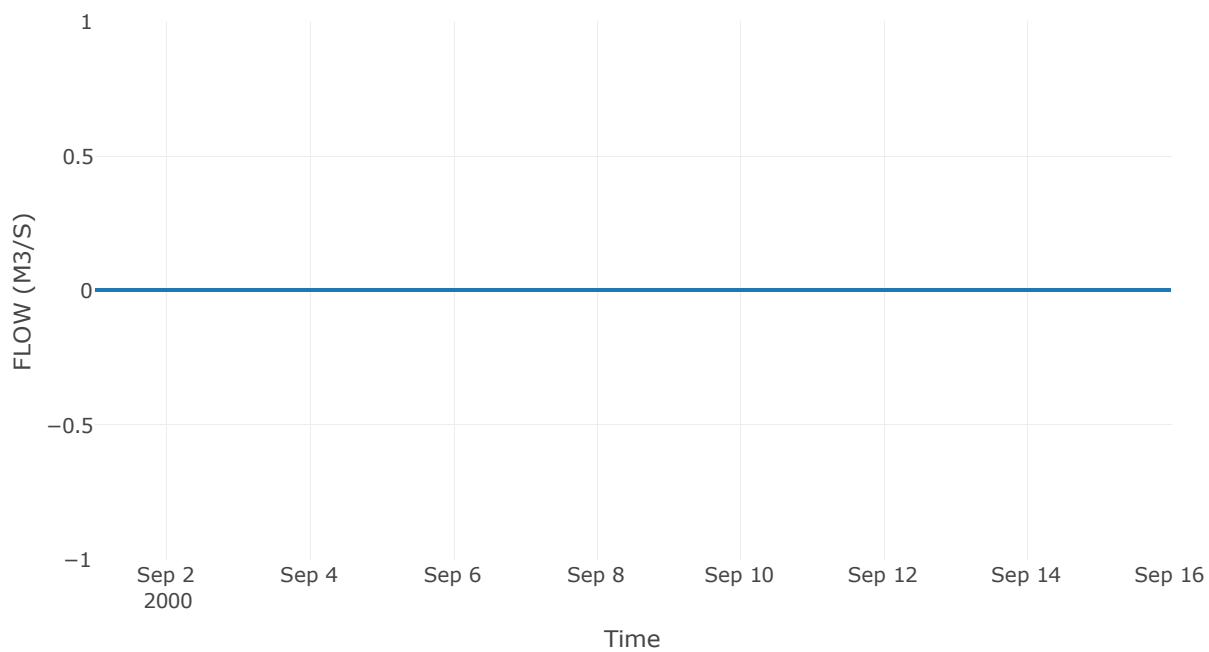
Παροχή Αιχμής(M3/S)

0

Χρονική στιγμή αιχμής

31Aug2000, 24:00

Απορροή

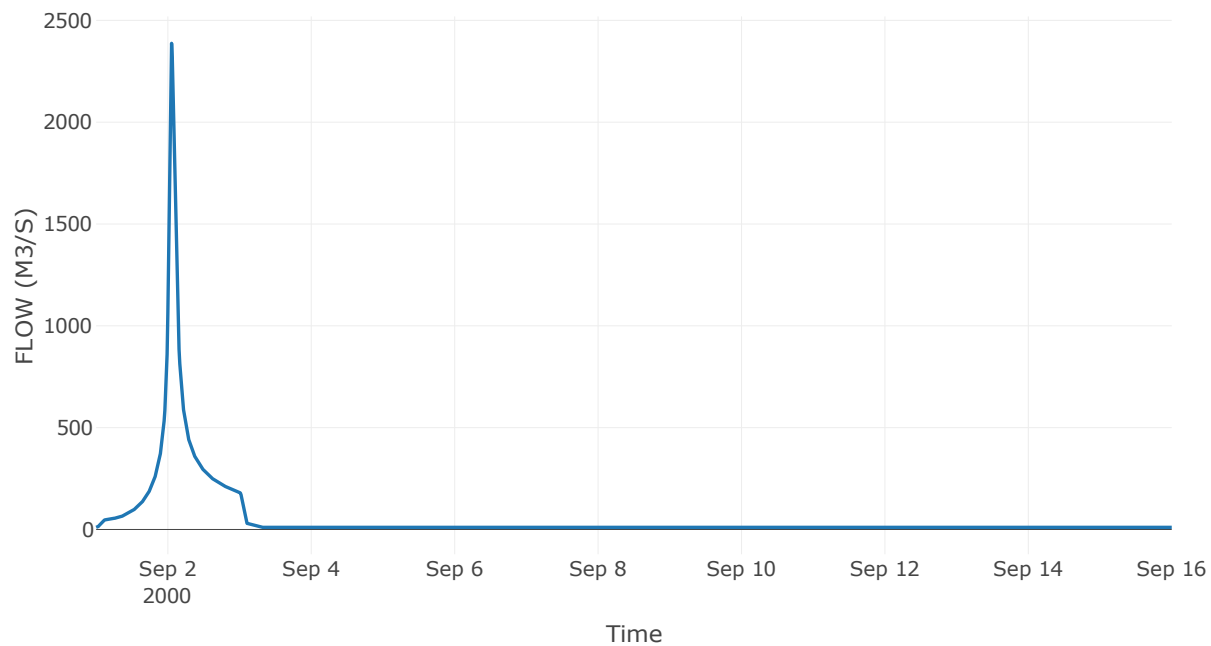


Κόμβος εξόδου: J10

Αποτελέσματα: J10

Παροχή Αιχμής(M3/S)	2387.39
Χρονική στιγμή αιχμής	02Sep2000, 01:15
Όγκος(MM)	193.06

Απορροή



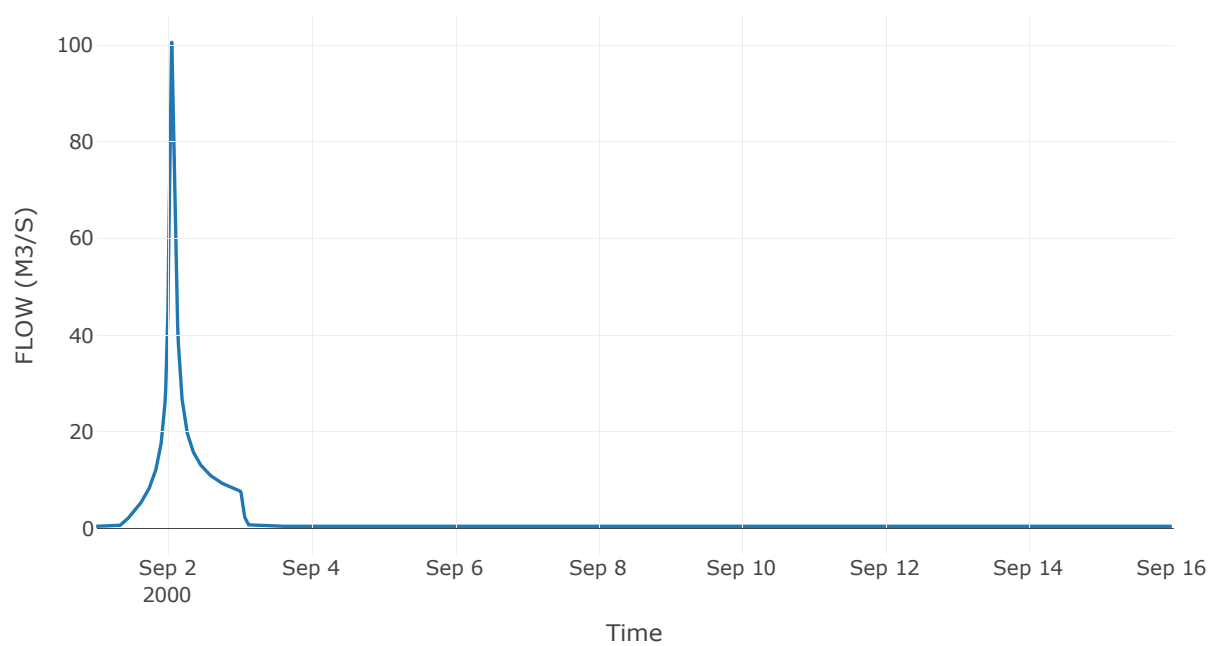
Κόμβος: J11

Κατάντη : R1110

Αποτελέσματα: J11

Παροχή Αιχμής(M3/S)	100.55
Χρονική στιγμή αιχμής	02Sep2000, 01:15
Όγκος(MM)	200.24

Απορροή



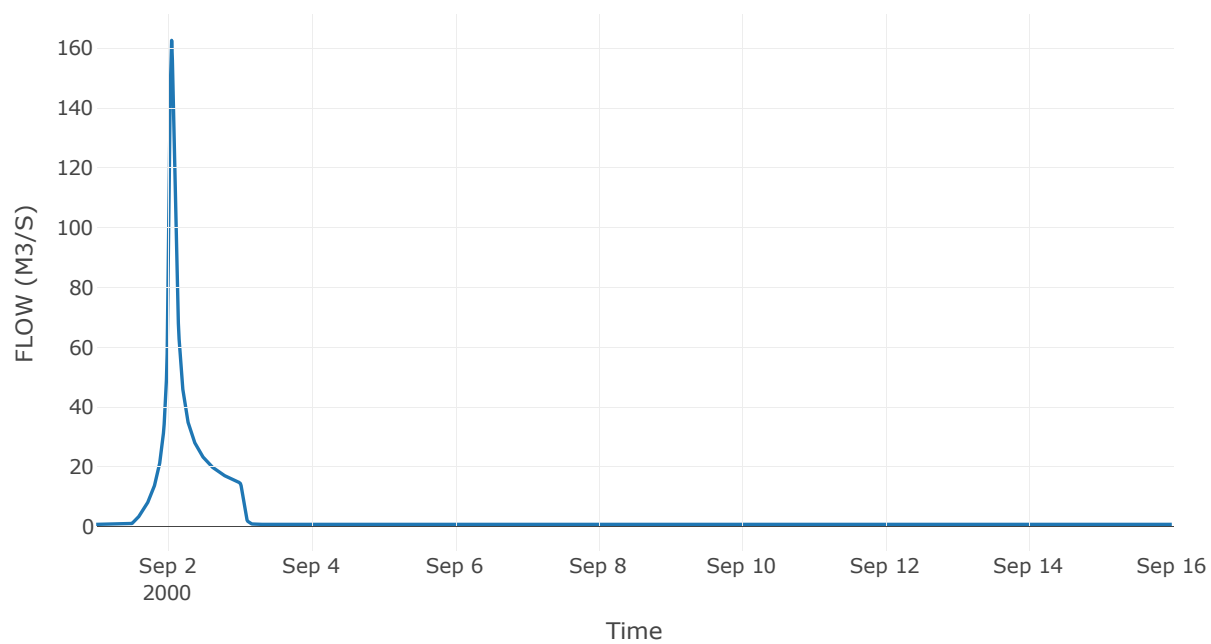
Κόμβος: J12

Κατάντη : R1210

Αποτελέσματα: J12

Παροχή Αιχμής(M3/S)	162.62
Χρονική στιγμή αιχμής	02Sep2000, 01:15
Όγκος(MM)	167.14

Απορροή



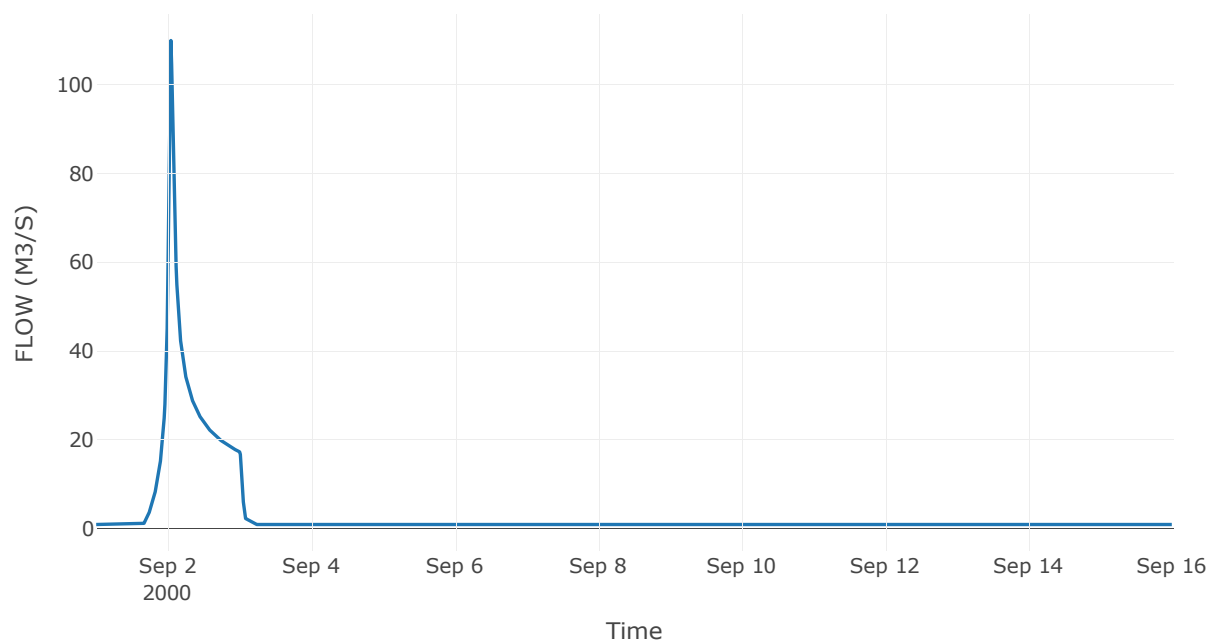
Κόμβος: J13

Κατάντη : R1310

Αποτελέσματα: J13

Παροχή Αιχμής(M3/S)	109.99
Χρονική στιγμή αιχμής	02Sep2000, 01:00
Όγκος(MM)	135.02

Απορροή



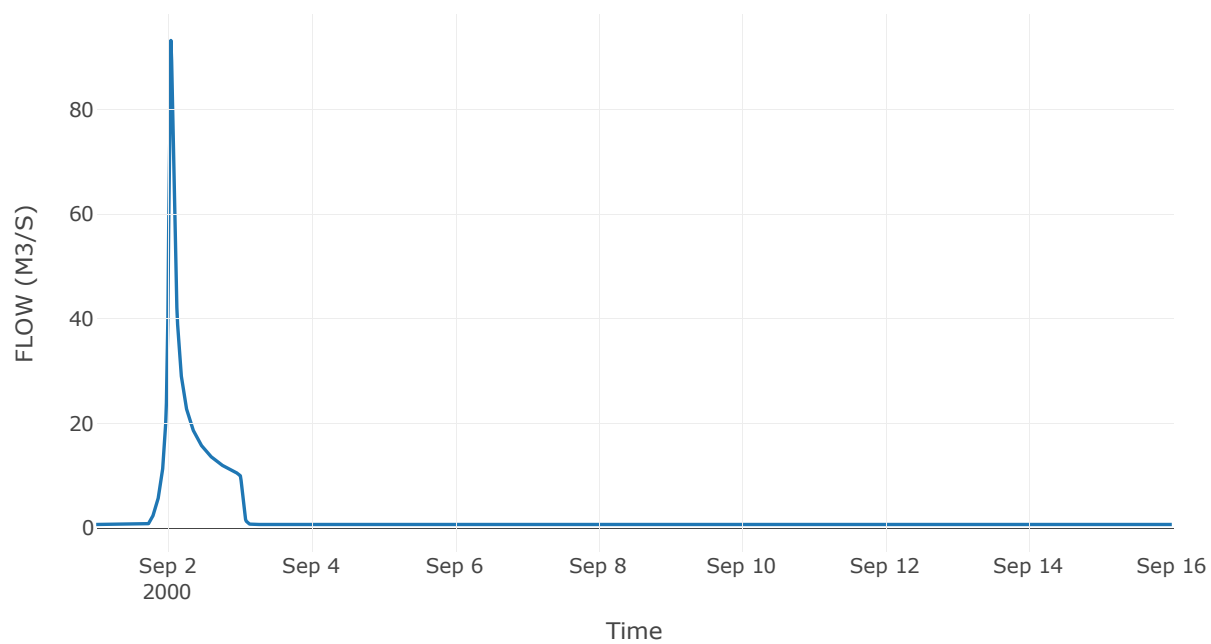
Κόμβος: J14

Κατάντη : R1410

Αποτελέσματα: J14

Παροχή Αιχμής(M3/S)	93.23
Χρονική στιγμή αιχμής	02Sep2000, 01:00
Όγκος(MM)	124.43

Απορροή



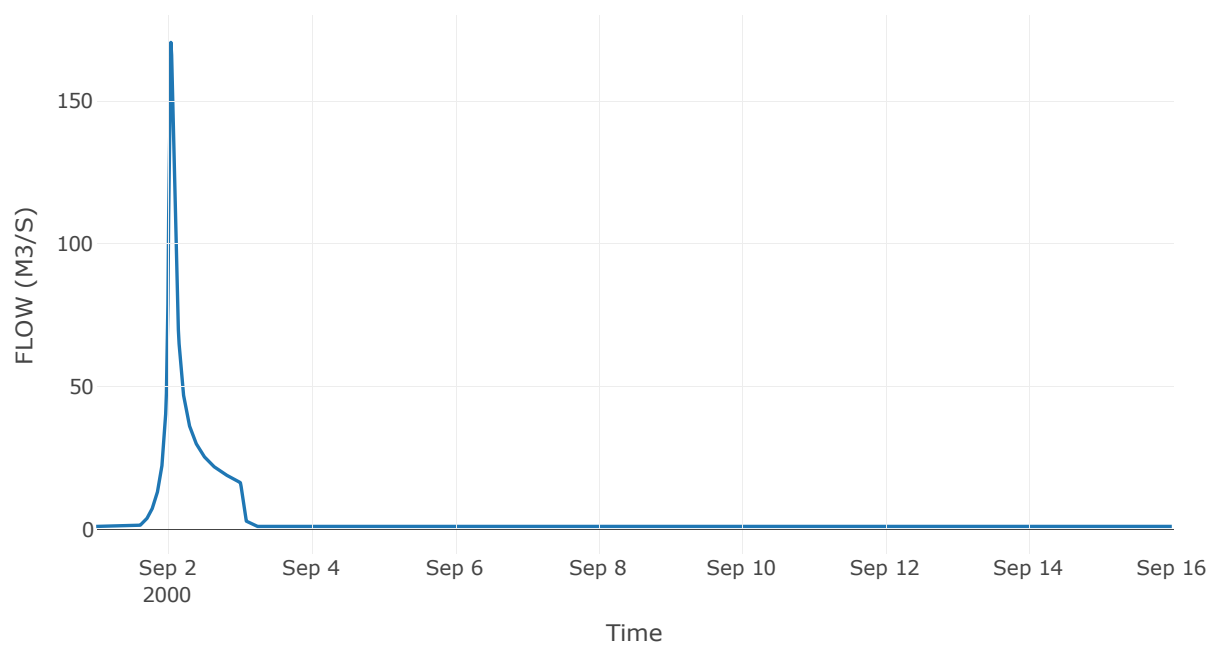
Κόμβος: J15

Κατάντη : R1510

Αποτελέσματα: J15

Παροχή Αιχμής(M3/S)	170.5
Χρονική στιγμή αιχμής	02Sep2000, 01:00
Όγκος(MM)	146.6

Απορροή



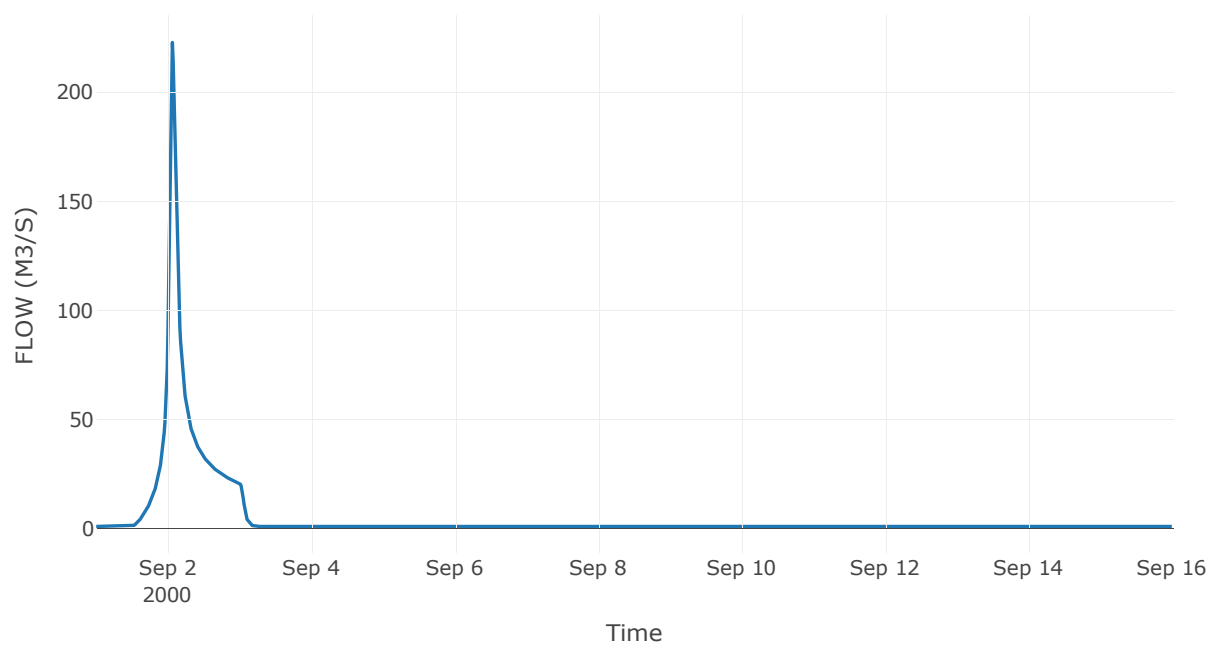
Κόμβος: J16

Κατάντη : R1610

Αποτελέσματα: J16

Παροχή Αιχμής(M3/S)	222.84
Χρονική στιγμή αιχμής	02Sep2000, 01:30
Όγκος(MM)	169.96

Απορροή



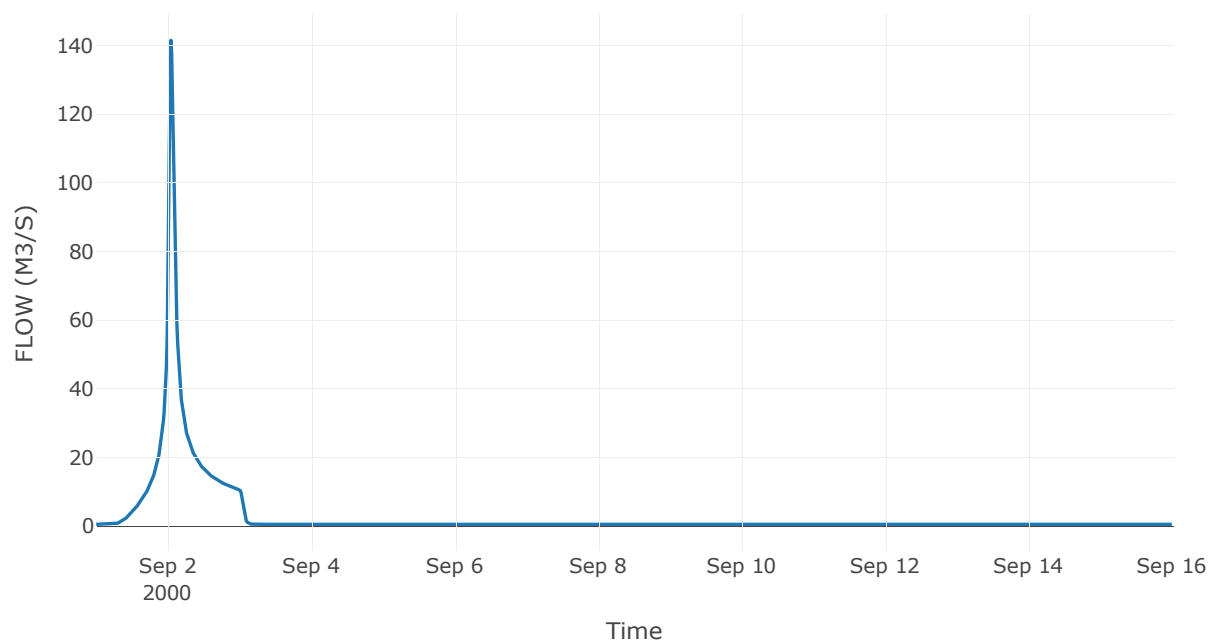
Κόμβος: J17

Κατάντη : R1710

Αποτελέσματα: J17

Παροχή Αιχμής(M3/S)	141.53
Χρονική στιγμή αιχμής	02Sep2000, 01:00
Όγκος(MM)	203

Απορροή



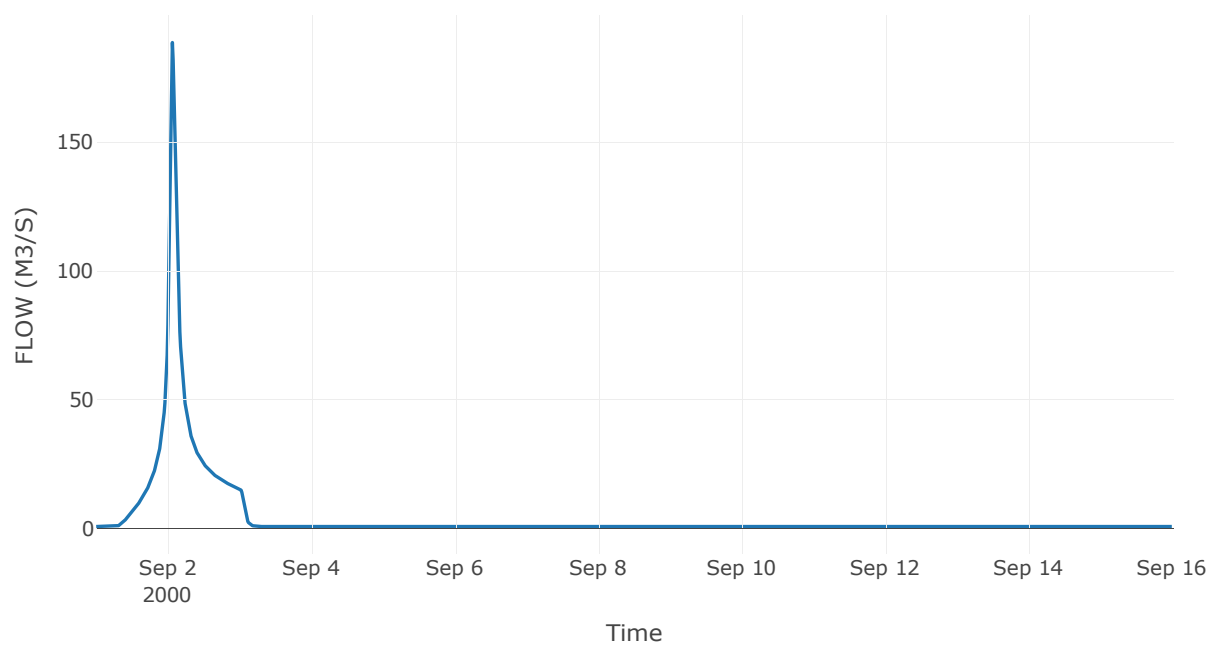
Κόμβος: J18

Κατάντη : R1810

Αποτελέσματα: J18

Παροχή Αιχμής(M3/S)	188.68
Χρονική στιγμή αιχμής	02Sep2000, 01:30
Όγκος(MM)	206.83

Απορροή



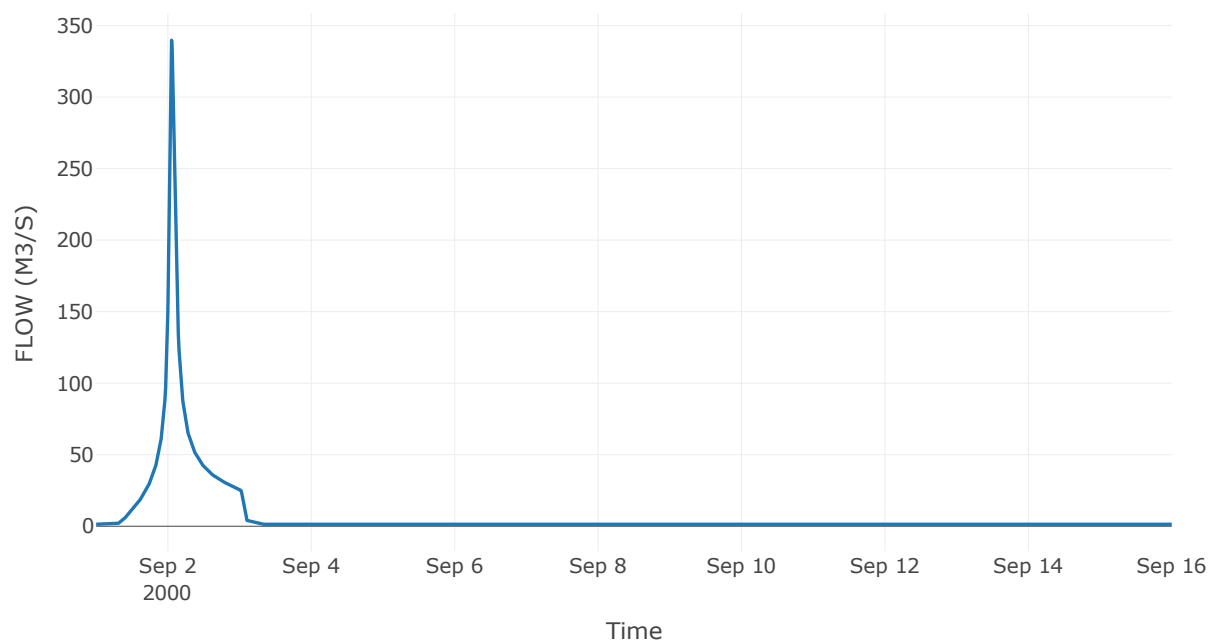
Κόμβος: J19

Κατάντη : R1910

Αποτελέσματα: J19

Παροχή Αιχμής(M3/S)	339.7
Χρονική στιγμή αιχμής	02Sep2000, 01:15
Όγκος(MM)	203.55

Απορροή



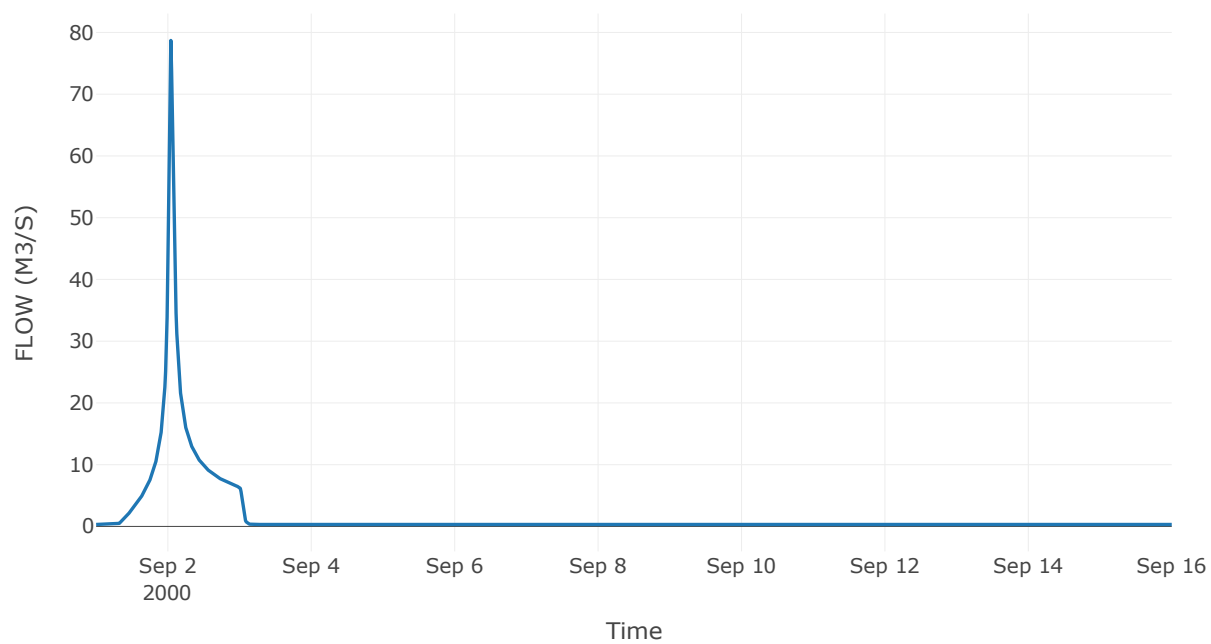
Κόμβος: J20

Κατάντη : R2011

Αποτελέσματα: J20

Παροχή Αιχμής(M3/S)	78.71
Χρονική στιγμή αιχμής	02Sep2000, 01:00
Όγκος(MM)	204.32

Απορροή



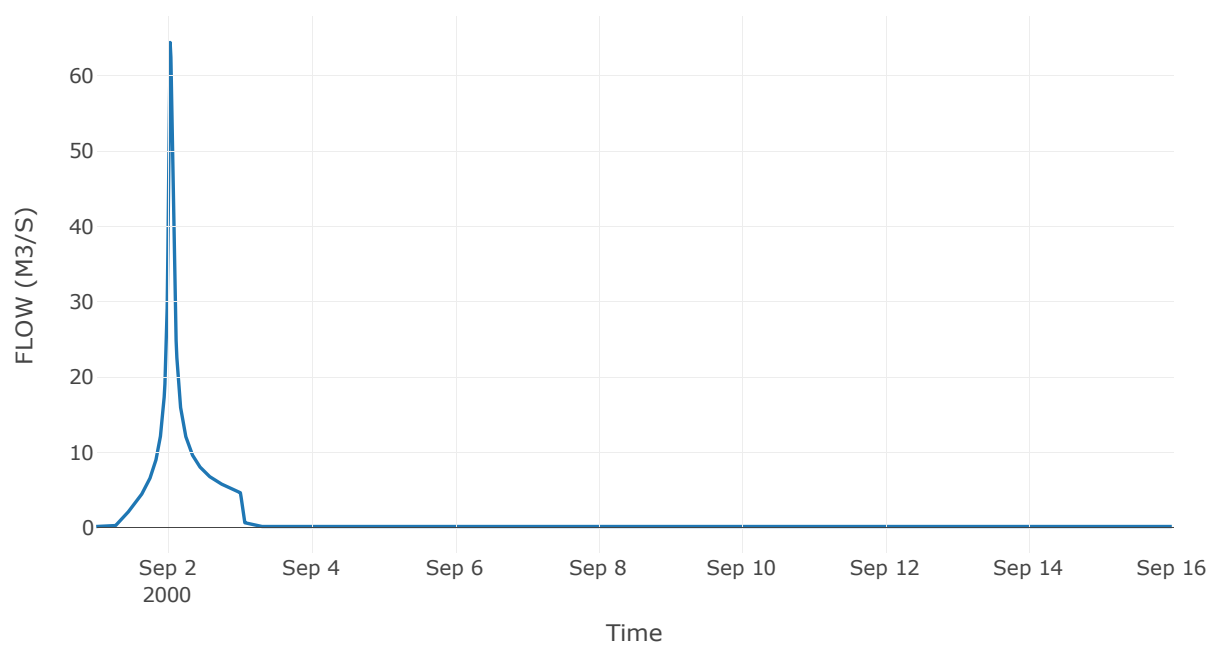
Κόμβος: J21

Κατάντη : R2117

Αποτελέσματα: J21

Παροχή Αιχμής(M3/S)	64.41
Χρονική στιγμή αιχμής	02Sep2000, 00:45
Όγκος(MM)	213.84

Απορροή



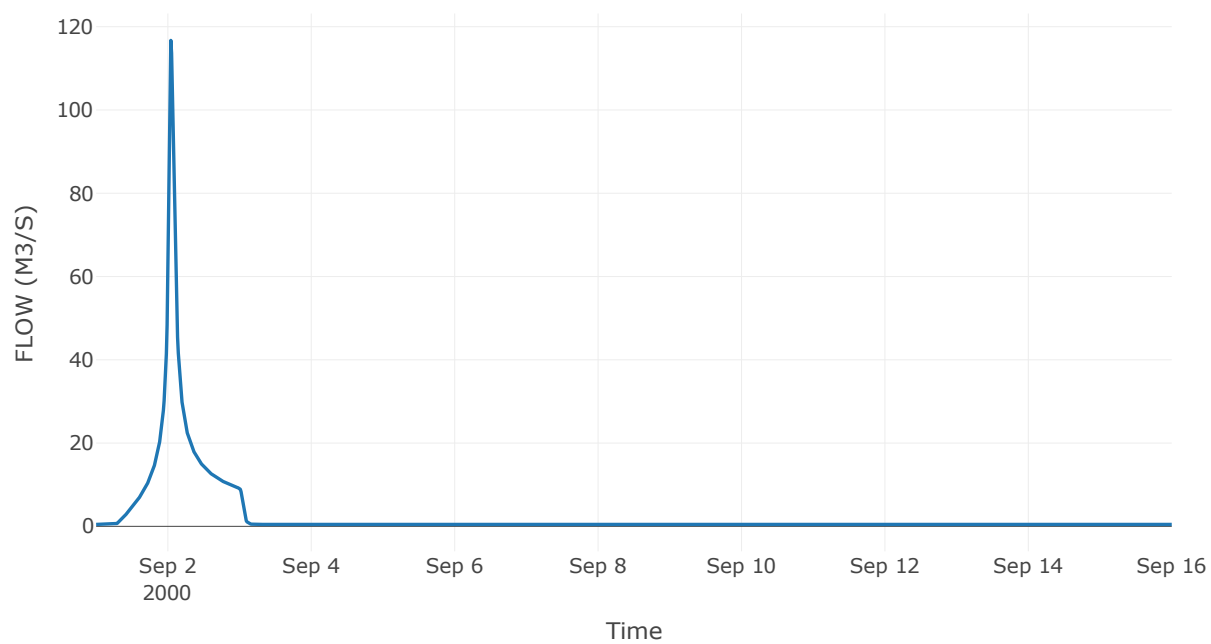
Κόμβος: J22

Κατάντη : R2218

Αποτελέσματα: J22

Παροχή Αιχμής(M3/S)	116.71
Χρονική στιγμή αιχμής	02Sep2000, 01:00
Όγκος(MM)	209.55

Απορροή



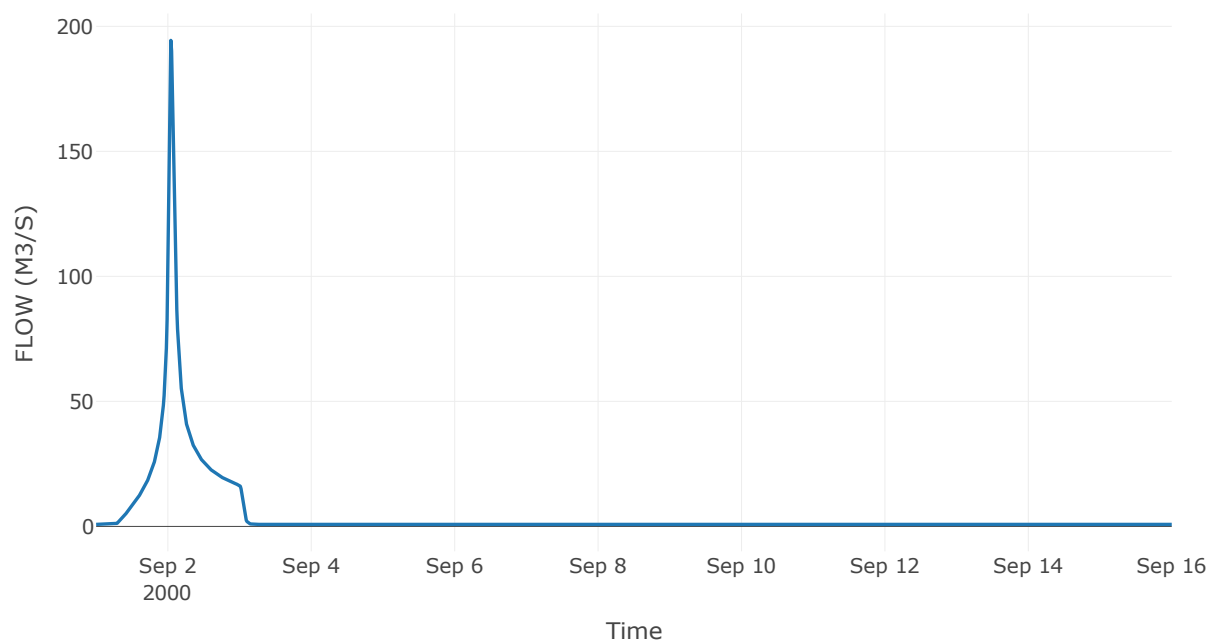
Κόμβος: J23

Κατάντη : R2319

Αποτελέσματα: J23

Παροχή Αιχμής(M3/S)	194.39
Χρονική στιγμή αιχμής	02Sep2000, 01:00
Όγκος(MM)	208.15

Απορροή



6. Δεδομένα εισόδου και αποτελέσματα υδρολογικού σεναρίου T=100L

6.1 Αποτελέσματα, υετογραφήματα και υδρογραφήματα σχεδιασμού υπολεκανών

Υπολεκάνη: EL0415FL5001

Έκταση (KM2) : 13.05

Κατάνη : J1

Μέθοδος Απωλειών: SCS

Ποσοστό αδιαπέρατης επιφάνειας	100
Αριθμός Καμπύλης Απορροής-CN	99
Αρχικές Απώλειες	0.48

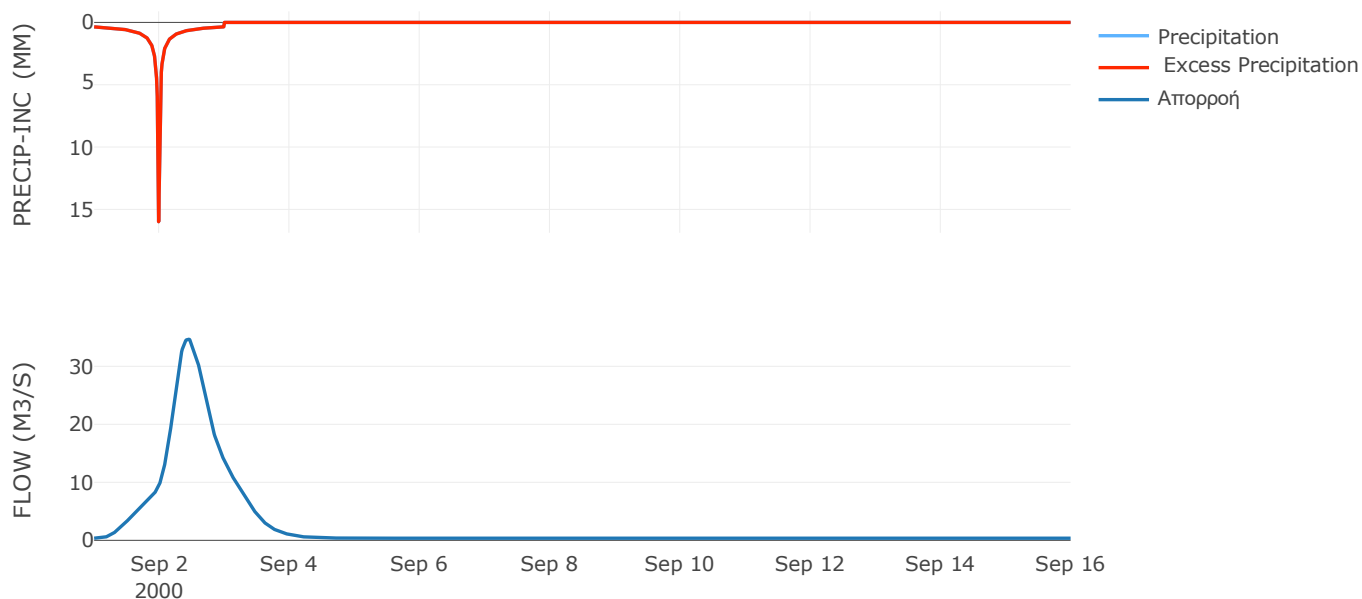
Μέθοδος
Μετασχηματισμού: SCS

Χρόνος Υστέρησης	621.99
------------------	--------

Αποτελέσματα:
EL0415FL5001

Παροχή αιχμής (M3/S)	34.71
Χρονική στιγμή αιχμής	02Sep2000, 10:45
Όγκος (MM)	247.97
Όγκος βροχόπτωσης (M3)	2.76E6
Όγκος απωλειών (M3)	0
Ενεργός Όγκος (M3)	2.76E6
Όγκος άμεσης απορροής (M3)	2.76E6
Όγκος βασικής απορροής (M3)	4.73E5

Βροχόπτωση και Απορροή



Υπολεκάνη: EL0415FL5002

Έκταση (KM2) : 107.53

Κατάντη : J6

Μέθοδος Απωλειών: SCS

Ποσοστό αδιαπέρατης επιφάνειας	0
Αριθμός Καμπύλης Απορροής-CN	63.95
Αρχικές Απώλειες	28.63

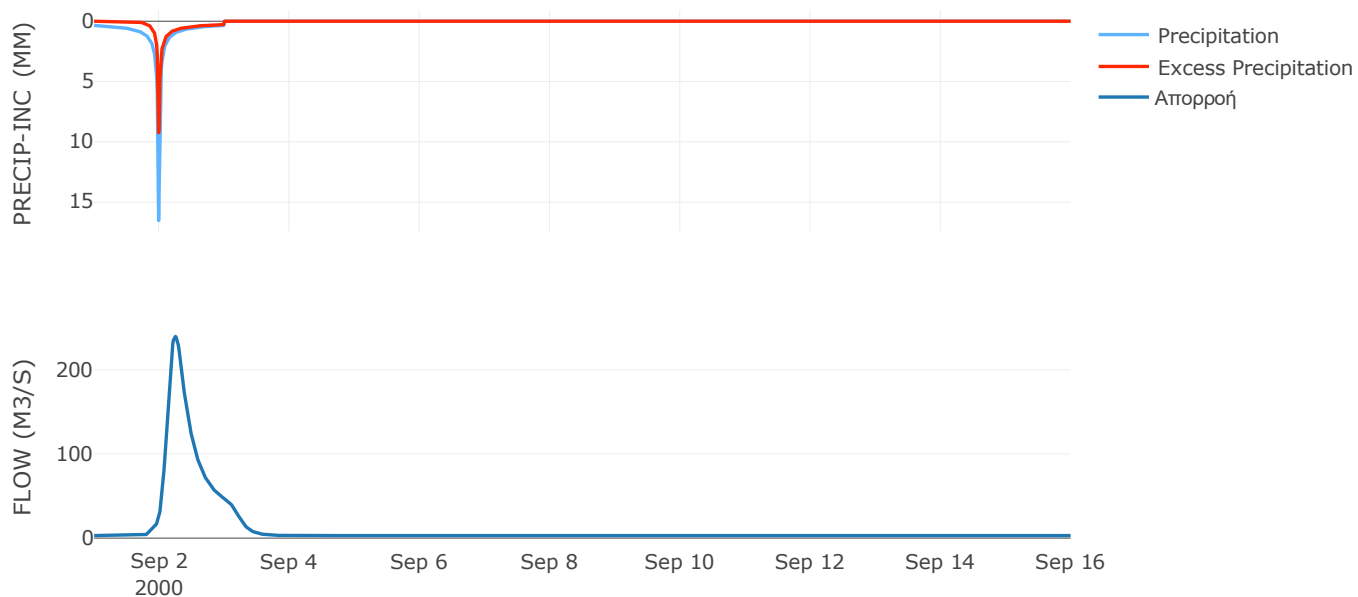
Μέθοδος
Μετασχηματισμού: SCS

Χρόνος Υστέρησης	311.03
------------------	--------

Αποτελέσματα:
EL0415FL5002

Παροχή αιχμής (M3/S)	239.59
Χρονική στιγμή αιχμής	02Sep2000, 05:45
Όγκος (MM)	138.15
Όγκος βροχόπτωσης (M3)	2.26E7
Όγκος απωλειών (M3)	1.17E7
Ενεργός Όγκος (M3)	1.1E7
Όγκος άμεσης απορροής (M3)	1.1E7
Όγκος βασικής απορροής (M3)	3.9E6

Βροχόπτωση και Απορροή



Υπολεκάνη: EL0415FL5003

Έκταση (KM2) : 28.37

Κατάντη : J2

Μέθοδος Απωλειών: SCS

Ποσοστό αδιαπέρατης επιφάνειας	0
Αριθμός Καμπύλης Απορροής-CN	66.43
Αρχικές Απώλειες	25.67

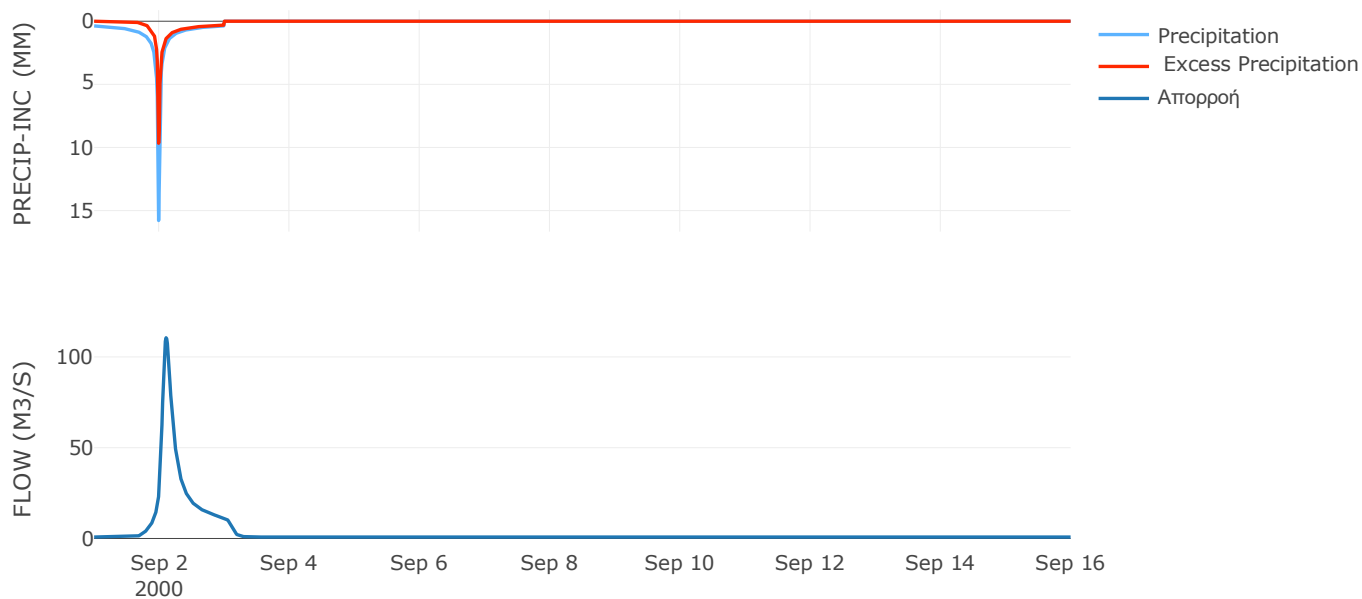
Μέθοδος
Μετασχηματισμού: SCS

Χρόνος Υστέρησης	139.35
------------------	--------

Αποτελέσματα:
EL0415FL5003

Παροχή αιχμής (M3/S)	110.56
Χρονική στιγμή αιχμής	02Sep2000, 02:30
Όγκος (MM)	149.18
Όγκος βροχόπτωσης (M3)	6.1E6
Όγκος απωλειών (M3)	2.9E6
Ενεργός Όγκος (M3)	3.2E6
Όγκος άμεσης απορροής (M3)	3.2E6
Όγκος βασικής απορροής (M3)	1.03E6

Βροχόπτωση και Απορροή



Υπολεκάνη: EL0415FL5004

Έκταση (KM2) : 30.04

Κατάντη : J3

Μέθοδος Απωλειών: SCS

Ποσοστό αδιαπέρατης επιφάνειας	0
Αριθμός Καμπύλης Απορροής-CN	58.02
Αρχικές Απώλειες	36.76

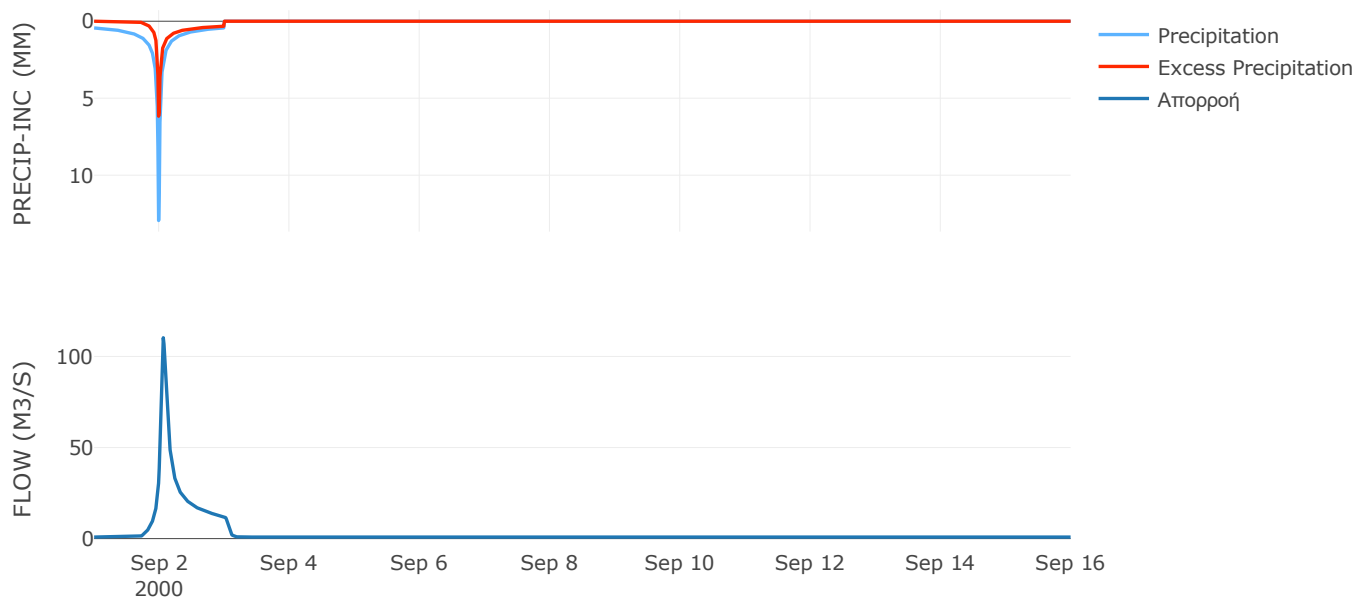
Μέθοδος
Μετασχηματισμού: SCS

Χρόνος Υστέρησης	76.76
------------------	-------

Αποτελέσματα:
EL0415FL5004

Παροχή αιχμής (M3/S)	110.25
Χρονική στιγμή αιχμής	02Sep2000, 01:30
Όγκος (MM)	128.46
Όγκος βροχόπτωσης (M3)	6.64E6
Όγκος απωλειών (M3)	3.87E6
Ενεργός Όγκος (M3)	2.77E6
Όγκος άμεσης απορροής (M3)	2.77E6
Όγκος βασικής απορροής (M3)	1.09E6

Βροχόπτωση και Απορροή



Υπολεκάνη: EL0415FL5005

Έκταση (KM2) : 15.38

Κατάντη : J5

Μέθοδος Απωλειών: SCS

Ποσοστό αδιαπέρατης επιφάνειας	0
Αριθμός Καμπύλης Απορροής-CN	63.33
Αρχικές Απώλειες	29.41

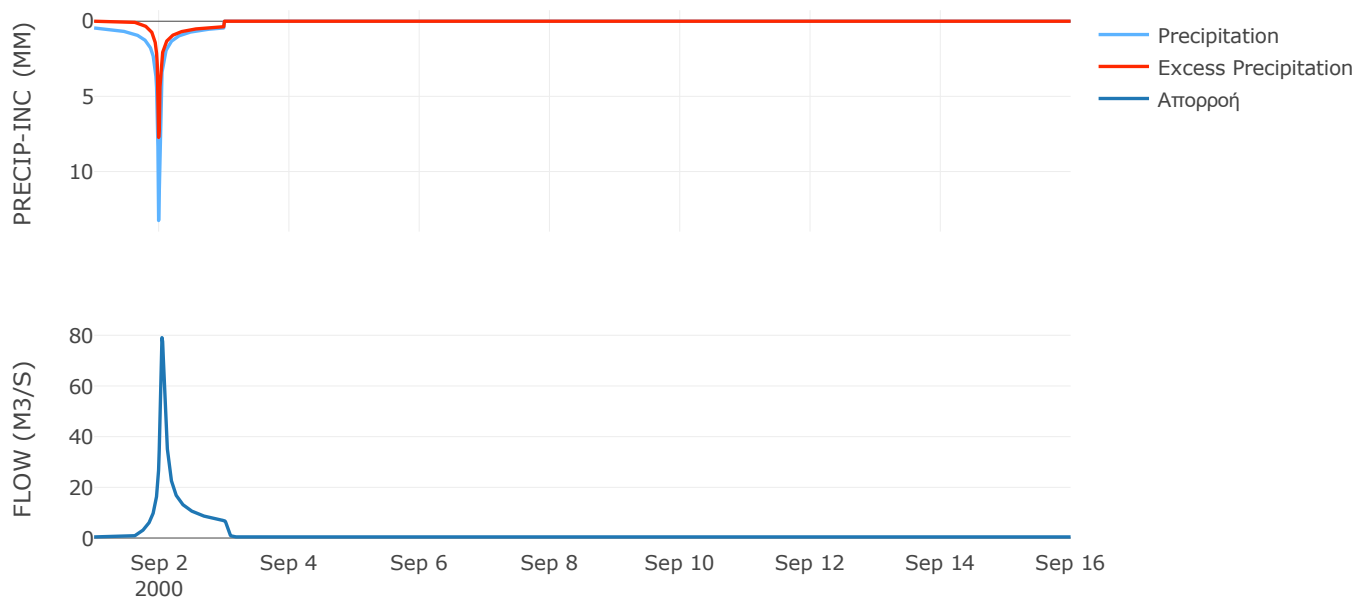
Μέθοδος
Μετασχηματισμού: SCS

Χρόνος Υστέρησης	57.75
------------------	-------

Αποτελέσματα:
EL0415FL5005

Παροχή αιχμής (M3/S)	79.08
Χρονική στιγμή αιχμής	02Sep2000, 01:00
Όγκος (MM)	149.82
Όγκος βροχόπτωσης (M3)	3.5E6
Όγκος απωλειών (M3)	1.75E6
Ενεργός Όγκος (M3)	1.75E6
Όγκος άμεσης απορροής (M3)	1.75E6
Όγκος βασικής απορροής (M3)	5.58E5

Βροχόπτωση και Απορροή



Υπολεκάνη: EL0415FL5006

Έκταση (KM2) : 8.04

Κατάντη : J4

Μέθοδος Απωλειών: SCS

Ποσοστό αδιαπέρατης επιφάνειας	0
Αριθμός Καμπύλης Απορροής-CN	63.45
Αρχικές Απώλειες	29.26

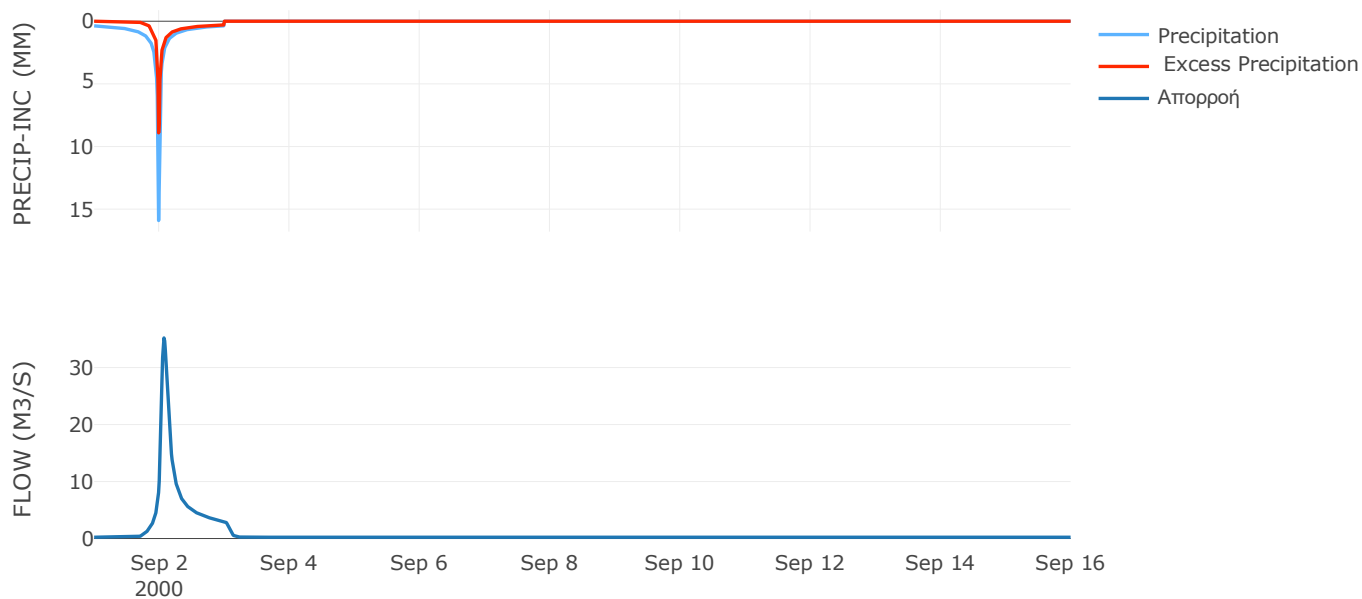
Μέθοδος
Μετασχηματισμού: SCS

Χρόνος Υστέρησης	95.79
------------------	-------

Αποτελέσματα:
EL0415FL5006

Παροχή αιχμής (M3/S)	35.2
Χρονική στιγμή αιχμής	02Sep2000, 01:45
Όγκος (MM)	140.37
Όγκος βροχόπτωσης (M3)	1.73E6
Όγκος απωλειών (M3)	8.94E5
Ενεργός Όγκος (M3)	8.37E5
Όγκος άμεσης απορροής (M3)	8.37E5
Όγκος βασικής απορροής (M3)	2.92E5

Βροχόπτωση και Απορροή



Υπολεκάνη: EL0415FL5007

Έκταση (KM2) : 40.81

Κατάντη : J5

Μέθοδος Απωλειών: SCS

Ποσοστό αδιαπέρατης επιφάνειας	0
Αριθμός Καμπύλης Απορροής-CN	62.97
Αρχικές Απώλειες	29.87

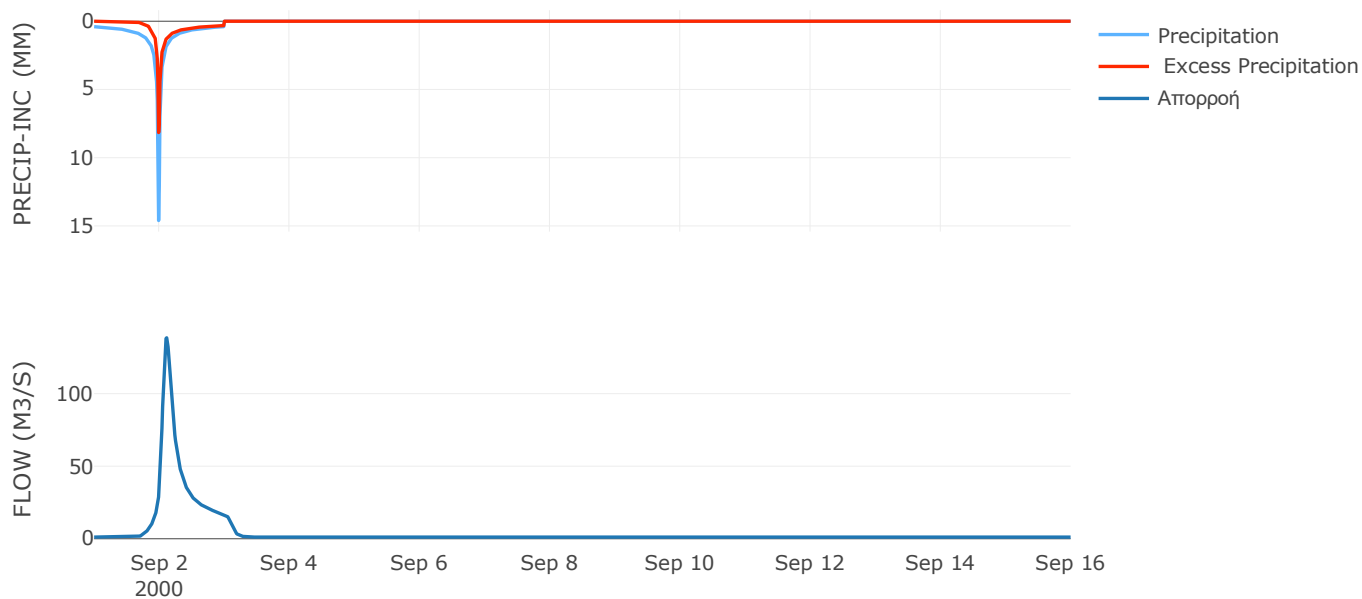
Μέθοδος
Μετασχηματισμού: SCS

Χρόνος Υστέρησης	142.31
------------------	--------

Αποτελέσματα:
EL0415FL5007

Παροχή αιχμής (M3/S)	138.48
Χρονική στιγμή αιχμής	02Sep2000, 02:45
Όγκος (MM)	141.32
Όγκος βροχόπτωσης (M3)	8.91E6
Όγκος απωλειών (M3)	4.62E6
Ενεργός Όγκος (M3)	4.29E6
Όγκος άμεσης απορροής (M3)	4.29E6
Όγκος βασικής απορροής (M3)	1.48E6

Βροχόπτωση και Απορροή



Υπολεκάνη: EL0415FL5008

Έκταση (KM2) : 90.43

Κατάντη : J7

Μέθοδος Απωλειών: SCS

Ποσοστό αδιαπέρατης επιφάνειας	0
Αριθμός Καμπύλης Απορροής-CN	55.23
Αρχικές Απώλειες	41.17

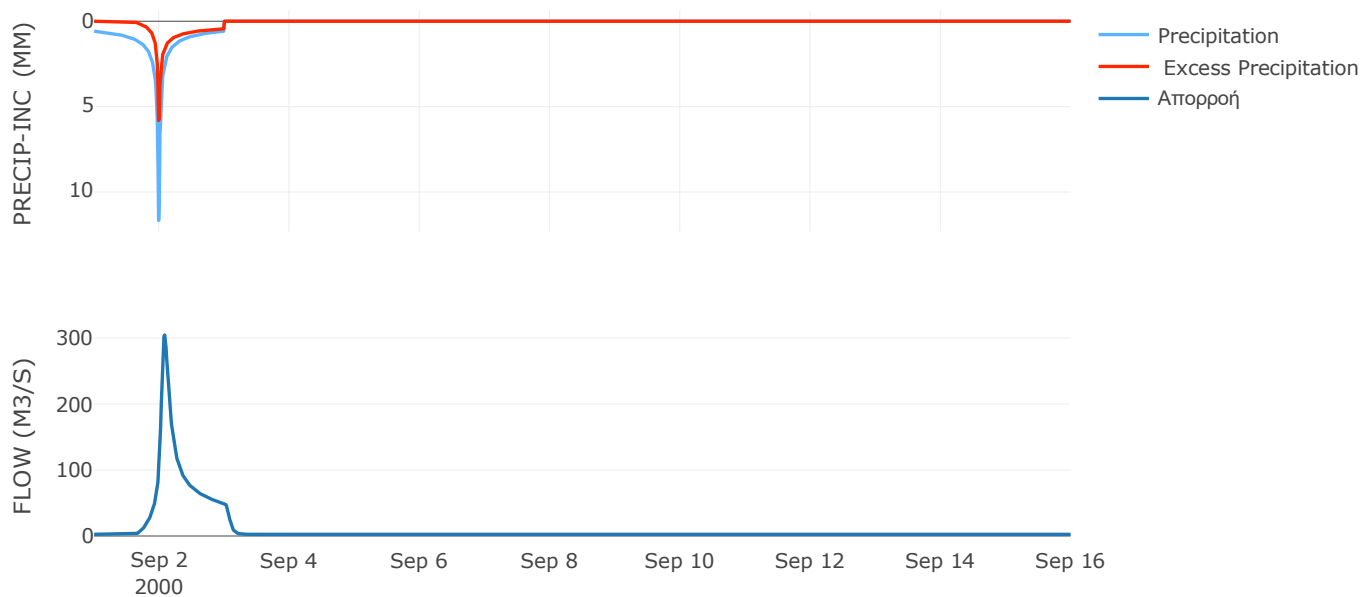
Μέθοδος
Μετασχηματισμού: SCS

Χρόνος Υστέρησης	101.09
------------------	--------

Αποτελέσματα:
EL0415FL5008

Παροχή αιχμής (M3/S)	304.62
Χρονική στιγμή αιχμής	02Sep2000, 02:00
Όγκος (MM)	147.81
Όγκος βροχόπτωσης (M3)	2.34E7
Όγκος απωλειών (M3)	1.33E7
Ενεργός Όγκος (M3)	1.01E7
Όγκος άμεσης απορροής (M3)	1.01E7
Όγκος βασικής απορροής (M3)	3.28E6

Βροχόπτωση και Απορροή



Υπολεκάνη: EL0415FL5009

Έκταση (KM2) : 11.22

Κατάντη : J20

Μέθοδος Απωλειών: SCS

Ποσοστό αδιαπέρατης επιφάνειας	0
Αριθμός Καμπύλης Απορροής-CN	60.03
Αρχικές Απώλειες	33.82

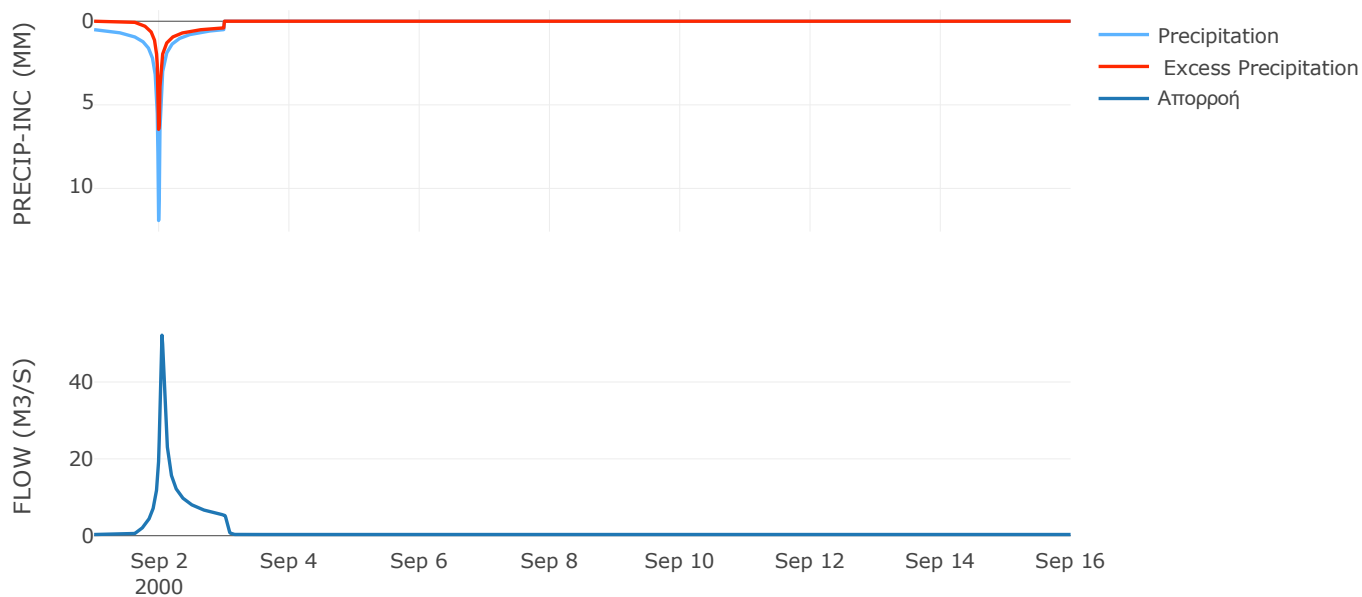
Μέθοδος
Μετασχηματισμού: SCS

Χρόνος Υστέρησης	52.62
------------------	-------

Αποτελέσματα:
EL0415FL5009

Παροχή αιχμής (M3/S)	52.17
Χρονική στιγμή αιχμής	02Sep2000, 01:00
Όγκος (MM)	146.41
Όγκος βροχόπτωσης (M3)	2.65E6
Όγκος απωλειών (M3)	1.41E6
Ενεργός Όγκος (M3)	1.24E6
Όγκος άμεσης απορροής (M3)	1.24E6
Όγκος βασικής απορροής (M3)	4.07E5

Βροχόπτωση και Απορροή



Υπολεκάνη: EL0415FL5010

Έκταση (KM2) : 96.52

Κατάντη : J10

Μέθοδος Απωλειών: SCS

Ποσοστό αδιαπέρατης επιφάνειας	100
Αριθμός Καμπύλης Απορροής-CN	99
Αρχικές Απώλειες	0.11

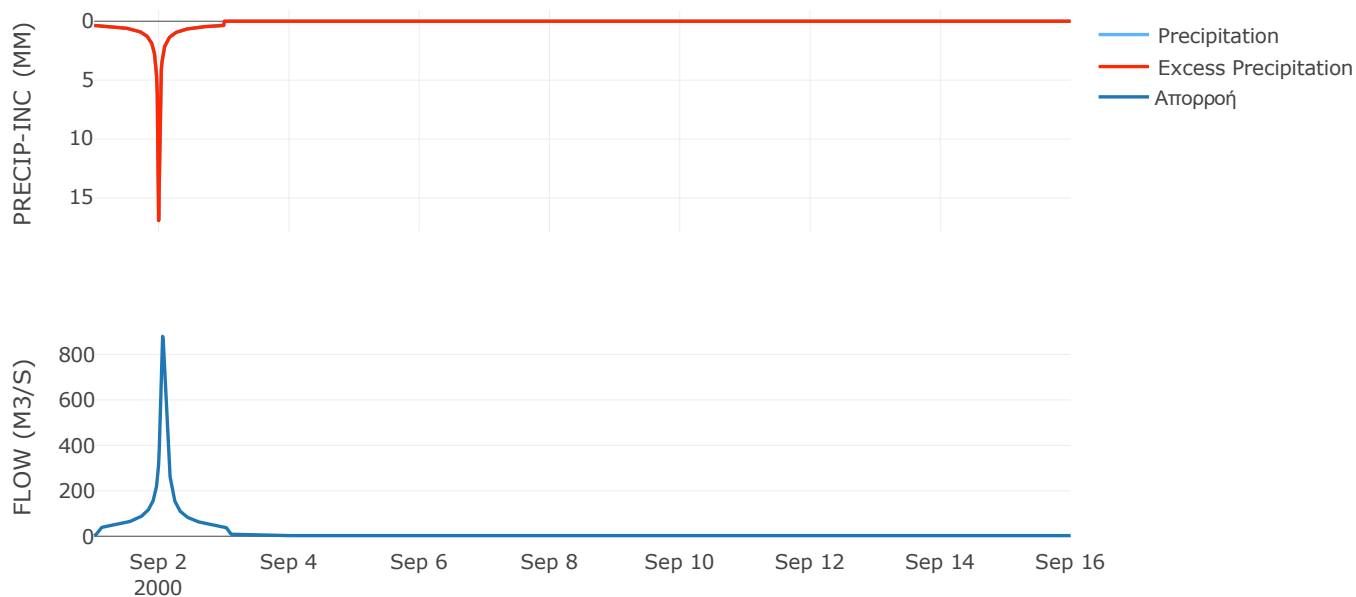
Μέθοδος
Μετασχηματισμού: SCS

Χρόνος Υστέρησης	75.79
------------------	-------

Αποτελέσματα:
EL0415FL5010

Παροχή αιχμής (M3/S)	879.92
Χρονική στιγμή αιχμής	02Sep2000, 01:15
Όγκος (MM)	252.83
Όγκος βροχόπτωσης (M3)	2.09E7
Όγκος απωλειών (M3)	0
Ενεργός Όγκος (M3)	2.09E7
Όγκος άμεσης απορροής (M3)	2.09E7
Όγκος βασικής απορροής (M3)	3.5E6

Βροχόπτωση και Απορροή



Υπολεκάνη: EL0415FL00013

Έκταση (KM2) : 20.4

Κατάντη : J8

Μέθοδος Απωλειών: SCS

Ποσοστό αδιαπέρατης επιφάνειας	0
Αριθμός Καμπύλης Απορροής-CN	63.82
Αρχικές Απώλειες	28.8

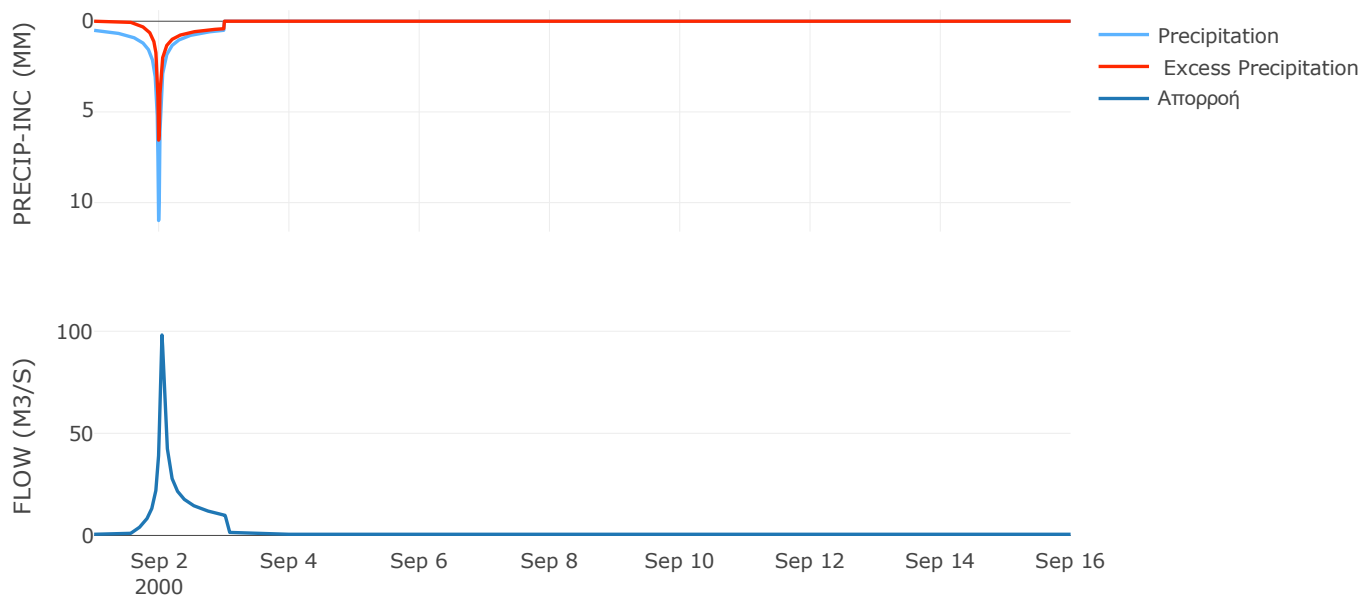
Μέθοδος
Μετασχηματισμού: SCS

Χρόνος Υστέρησης	51.06
------------------	-------

Αποτελέσματα:
EL0415FL00013

Παροχή αιχμής (M3/S)	98.16
Χρονική στιγμή αιχμής	02Sep2000, 01:00
Όγκος (MM)	152.89
Όγκος βροχόπτωσης (M3)	4.68E6
Όγκος απωλειών (M3)	2.3E6
Ενεργός Όγκος (M3)	2.38E6
Όγκος άμεσης απορροής (M3)	2.38E6
Όγκος βασικής απορροής (M3)	7.4E5

Βροχόπτωση και Απορροή



Υπολεκάνη: EL0415FL00014

Έκταση (KM2) : 28.81

Κατάντη : J23

Μέθοδος Απωλειών: SCS

Ποσοστό αδιαπέρατης επιφάνειας	0
Αριθμός Καμπύλης Απορροής-CN	63.51
Αρχικές Απώλειες	29.18

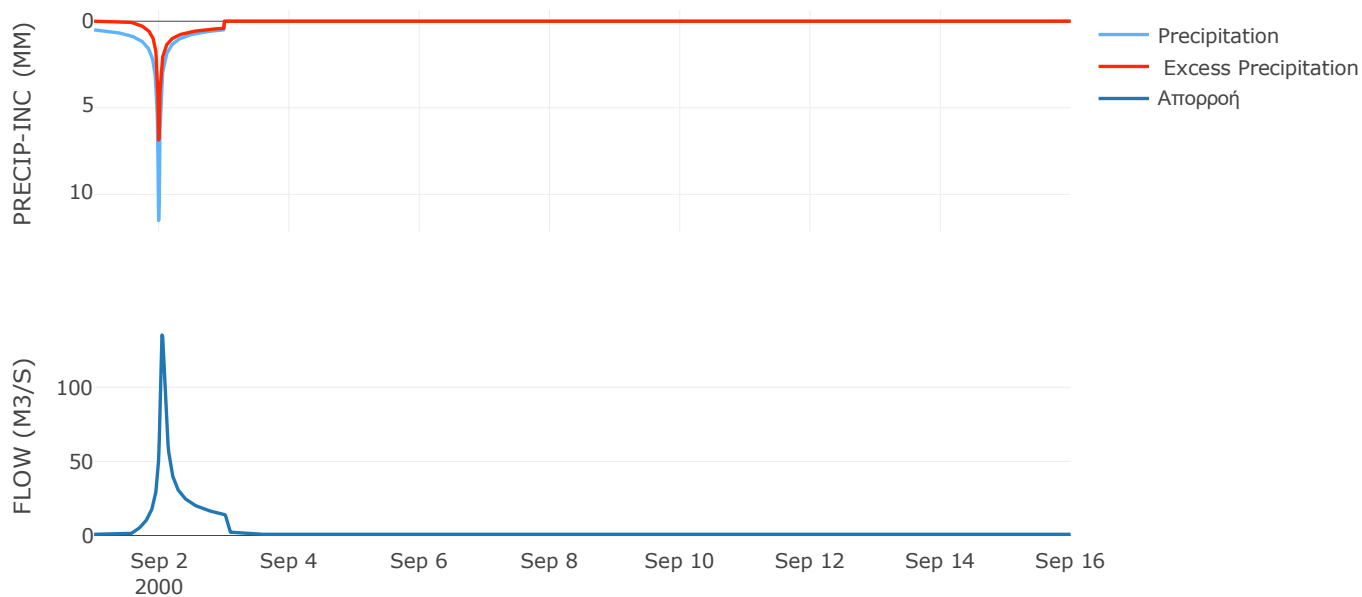
Μέθοδος
Μετασχηματισμού: SCS

Χρόνος Υστέρησης	60.03
------------------	-------

Αποτελέσματα:
EL0415FL00014

Παροχή αιχμής (M3/S)	135.29
Χρονική στιγμή αιχμής	02Sep2000, 01:00
Όγκος (MM)	154.27
Όγκος βροχόπτωσης (M3)	6.68E6
Όγκος απωλειών (M3)	3.29E6
Ενεργός Όγκος (M3)	3.4E6
Όγκος άμεσης απορροής (M3)	3.4E6
Όγκος βασικής απορροής (M3)	1.05E6

Βροχόπτωση και Απορροή



Υπολεκάνη: EL0415FL00016

Έκταση (KM2) : 24.49

Κατάντη : J14

Μέθοδος Απωλειών: SCS

Ποσοστό αδιαπέρατης επιφάνειας	0
Αριθμός Καμπύλης Απορροής-CN	32.21
Αρχικές Απώλειες	106.9

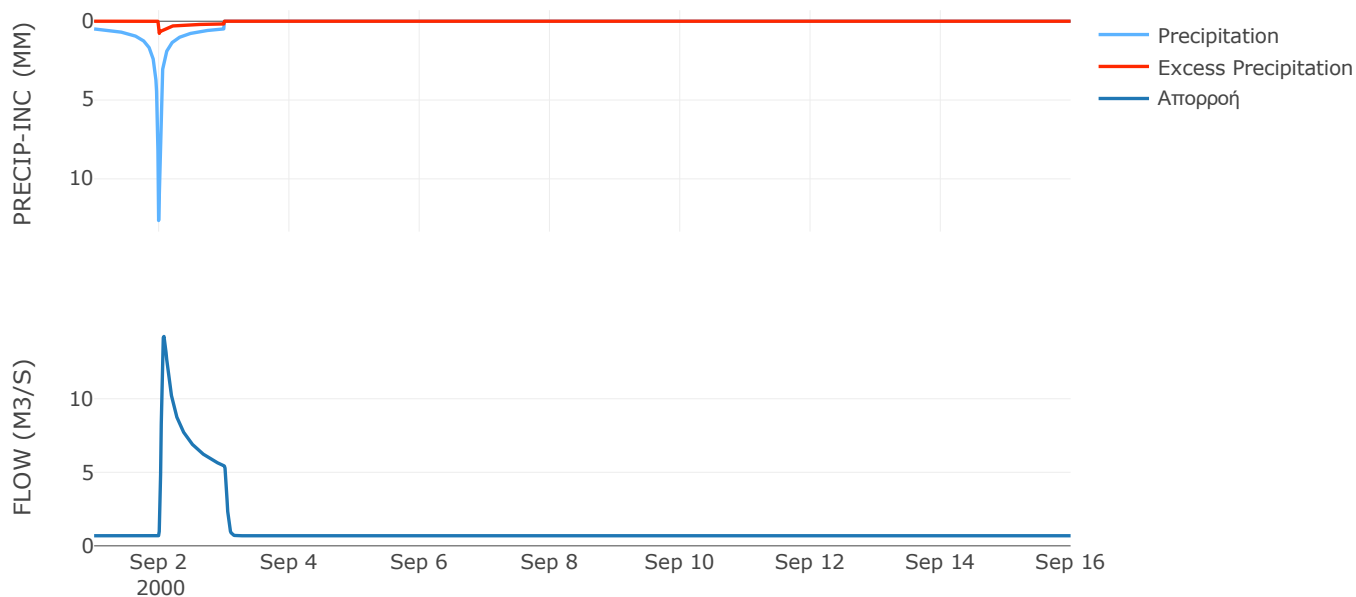
Μέθοδος
Μετασχηματισμού: SCS

Χρόνος Υστέρησης	51.54
------------------	-------

Αποτελέσματα:
EL0415FL00016

Παροχή αιχμής (M3/S)	14.24
Χρονική στιγμή αιχμής	02Sep2000, 01:45
Όγκος (MM)	61.54
Όγκος βροχόπτωσης (M3)	5.79E6
Όγκος απωλειών (M3)	5.17E6
Ενεργός Όγκος (M3)	6.18E5
Όγκος άμεσης απορροής (M3)	6.18E5
Όγκος βασικής απορροής (M3)	8.89E5

Βροχόπτωση και Απορροή



Υπολεκάνη: EL0415FL00017

Έκταση (KM2) : 11.25

Κατάντη : J15

Μέθοδος Απωλειών: SCS

Ποσοστό αδιαπέρατης επιφάνειας	0
Αριθμός Καμπύλης Απορροής-CN	34.32
Αρχικές Απώλειες	97.22

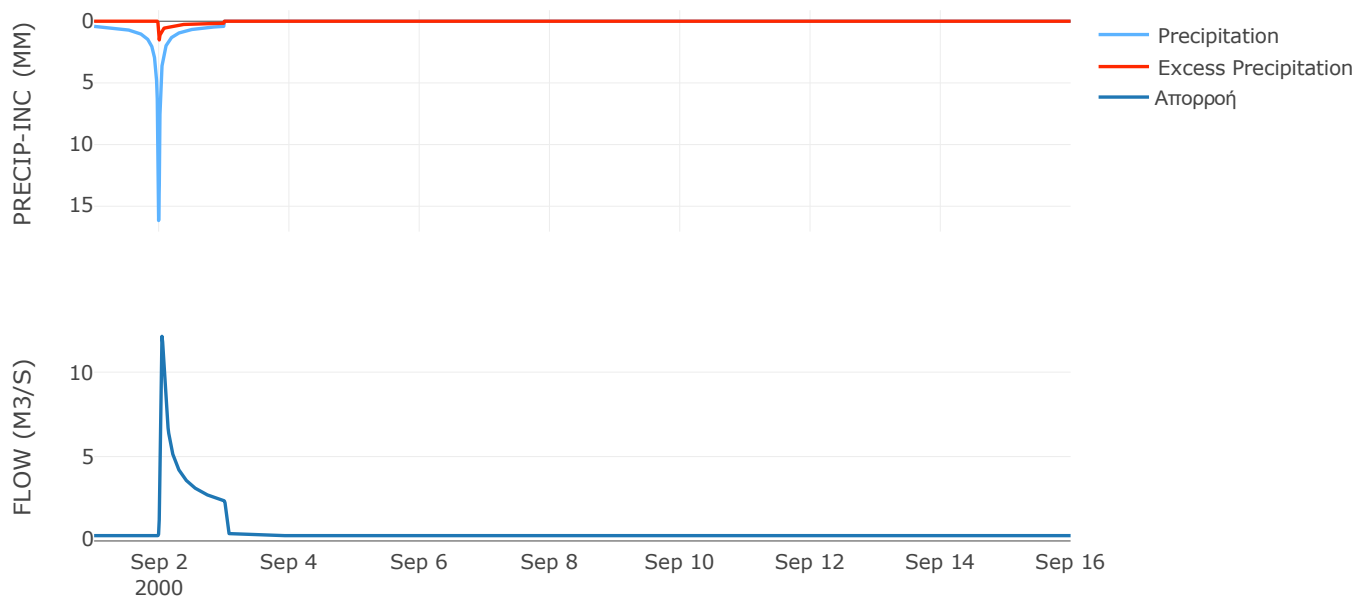
Μέθοδος
Μετασχηματισμού: SCS

Χρόνος Υστέρησης	38.07
------------------	-------

Αποτελέσματα:
EL0415FL00017

Παροχή αιχμής (M3/S)	12.12
Χρονική στιγμή αιχμής	02Sep2000, 01:00
Όγκος (MM)	66.2
Όγκος βροχόπτωσης (M3)	2.63E6
Όγκος απωλειών (M3)	2.29E6
Ενεργός Όγκος (M3)	3.37E5
Όγκος άμεσης απορροής (M3)	3.37E5
Όγκος βασικής απορροής (M3)	4.08E5

Βροχόπτωση και Απορροή



Υπολεκάνη: EL0415FL00018

Έκταση (KM2) : 25.29

Κατάνη : J15

Μέθοδος Απωλειών: SCS

Ποσοστό αδιαπέρατης επιφάνειας	0
Αριθμός Καμπύλης Απορροής-CN	38.86
Αρχικές Απώλειες	79.94

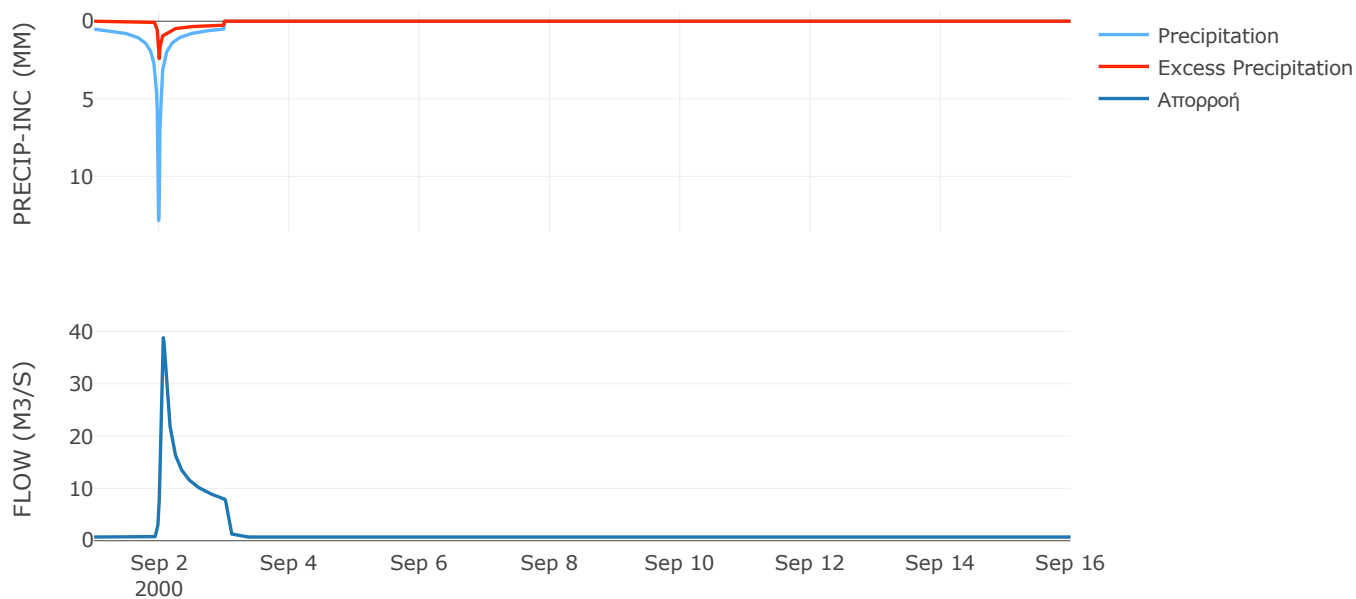
Μέθοδος
Μετασχηματισμού: SCS

Χρόνος Υστέρησης	67.54
------------------	-------

Αποτελέσματα:
EL0415FL00018

Παροχή αιχμής (M3/S)	38.79
Χρονική στιγμή αιχμής	02Sep2000, 01:30
Όγκος (MM)	84.45
Όγκος βροχόπτωσης (M3)	6.19E6
Όγκος απωλειών (M3)	4.97E6
Ενεργός Όγκος (M3)	1.22E6
Όγκος άμεσης απορροής (M3)	1.22E6
Όγκος βασικής απορροής (M3)	9.18E5

Βροχόπτωση και Απορροή



Υπολεκάνη: EL0415FL00019

Έκταση (KM2) : 41.83

Κατάντη : J16

Μέθοδος Απωλειών: SCS

Ποσοστό αδιαπέρατης επιφάνειας	0
Αριθμός Καμπύλης Απορροής-CN	45.78
Αρχικές Απώλειες	60.15

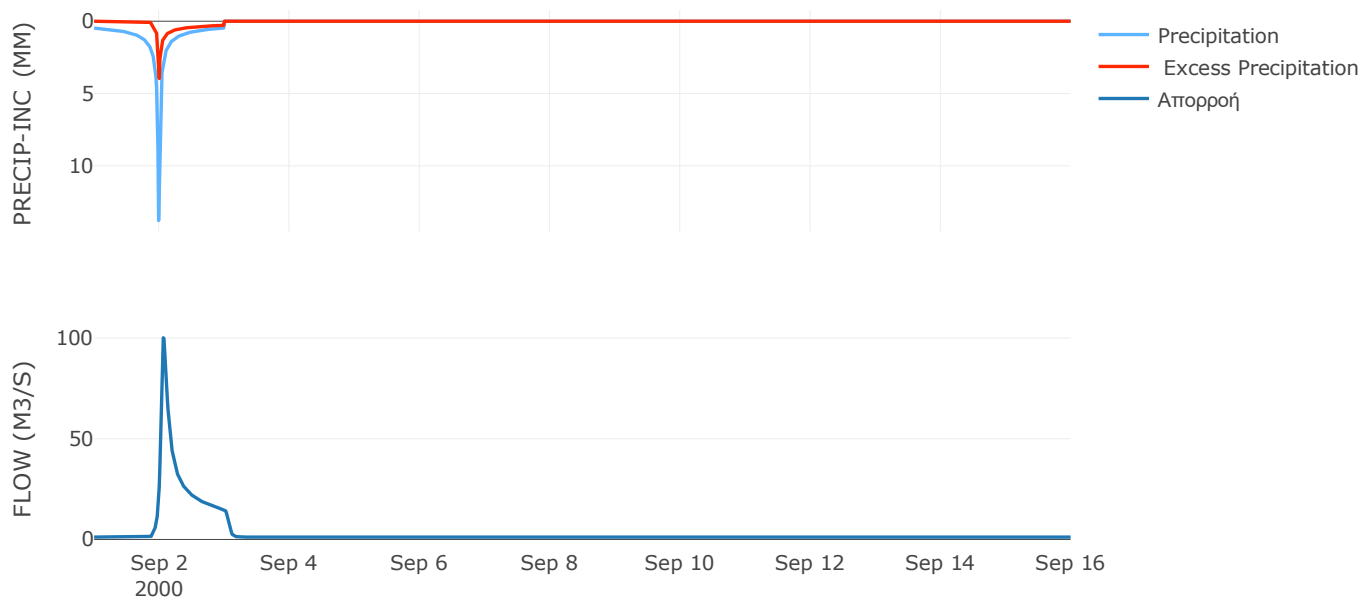
Μέθοδος
Μετασχηματισμού: SCS

Χρόνος Υστέρησης	78.22
------------------	-------

Αποτελέσματα:
EL0415FL00019

Παροχή αιχμής (M3/S)	100.15
Χρονική στιγμή αιχμής	02Sep2000, 01:30
Όγκος (MM)	102.51
Όγκος βροχόπτωσης (M3)	9.97E6
Όγκος απωλειών (M3)	7.2E6
Ενεργός Όγκος (M3)	2.77E6
Όγκος άμεσης απορροής (M3)	2.77E6
Όγκος βασικής απορροής (M3)	1.52E6

Βροχόπτωση και Απορροή



Υπολεκάνη: EL0415FL00020

Έκταση (KM2) : 8.47

Κατάντη : J21

Μέθοδος Απωλειών: SCS

Ποσοστό αδιαπέρατης επιφάνειας	0
Αριθμός Καμπύλης Απορροής-CN	64.45
Αρχικές Απώλειες	28.02

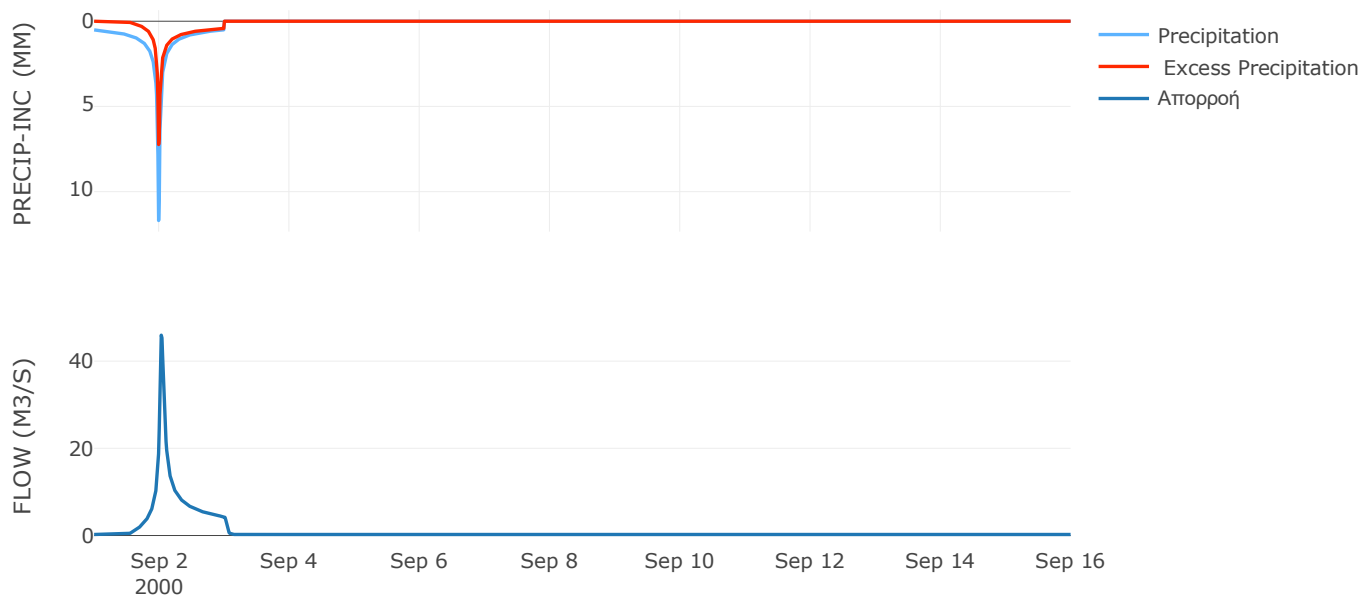
Μέθοδος
Μετασχηματισμού: SCS

Χρόνος Υστέρησης	46.03
------------------	-------

Αποτελέσματα:
EL0415FL00020

Παροχή αιχμής (M3/S)	45.96
Χρονική στιγμή αιχμής	02Sep2000, 00:45
Όγκος (MM)	160.5
Όγκος βροχόπτωσης (M3)	2E6
Όγκος απωλειών (M3)	9.46E5
Ενεργός Όγκος (M3)	1.05E6
Όγκος άμεσης απορροής (M3)	1.05E6
Όγκος βασικής απορροής (M3)	3.07E5

Βροχόπτωση και Απορροή



Υπολεκάνη: EL0415FL00021

Έκταση (KM2) : 11.07

Κατάντη : J17

Μέθοδος Απωλειών: SCS

Ποσοστό αδιαπέρατης επιφάνειας	0
Αριθμός Καμπύλης Απορροής-CN	56.26
Αρχικές Απώλειες	39.5

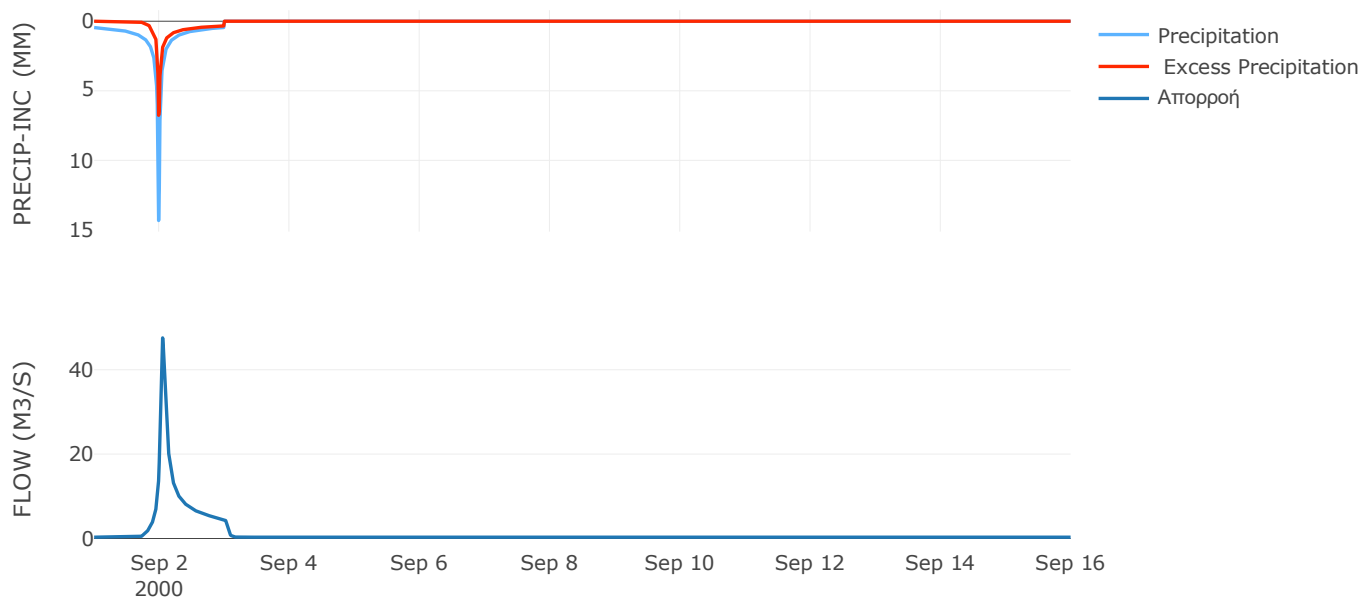
Μέθοδος
Μετασχηματισμού: SCS

Χρόνος Υστέρησης	63.79
------------------	-------

Αποτελέσματα:
EL0415FL00021

Παροχή αιχμής (M3/S)	47.54
Χρονική στιγμή αιχμής	02Sep2000, 01:15
Όγκος (MM)	133.65
Όγκος βροχόπτωσης (M3)	2.6E6
Όγκος απωλειών (M3)	1.53E6
Ενεργός Όγκος (M3)	1.08E6
Όγκος άμεσης απορροής (M3)	1.08E6
Όγκος βασικής απορροής (M3)	4.02E5

Βροχόπτωση και Απορροή



Υπολεκάνη: EL0415FL00022

Έκταση (KM2) : 12.41

Κατάντη : J18

Μέθοδος Απωλειών: SCS

Ποσοστό αδιαπέρατης επιφάνειας	0
Αριθμός Καμπύλης Απορροής-CN	62.88
Αρχικές Απώλειες	29.98

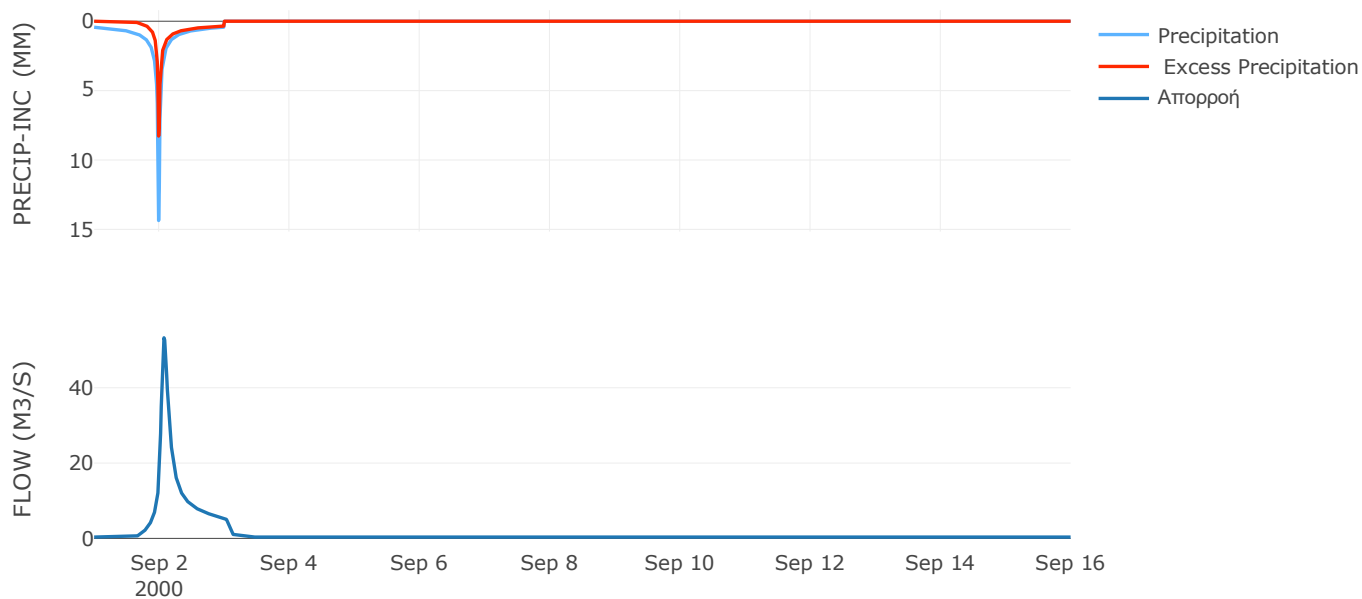
Μέθοδος
Μετασχηματισμού: SCS

Χρόνος Υστέρησης	96.84
------------------	-------

Αποτελέσματα:
EL0415FL00022

Παροχή αιχμής (M3/S)	53.27
Χρονική στιγμή αιχμής	02Sep2000, 01:45
Όγκος (MM)	149.22
Όγκος βροχόπτωσης (M3)	2.83E6
Όγκος απωλειών (M3)	1.43E6
Ενεργός Όγκος (M3)	1.4E6
Όγκος άμεσης απορροής (M3)	1.4E6
Όγκος βασικής απορροής (M3)	4.5E5

Βροχόπτωση και Απορροή



Υπολεκάνη: EL0415FL00023

Έκταση (KM2) : 16.4

Κατάντη : J22

Μέθοδος Απωλειών: SCS

Ποσοστό αδιαπέρατης επιφάνειας	0
Αριθμός Καμπύλης Απορροής-CN	64.1
Αρχικές Απώλειες	28.45

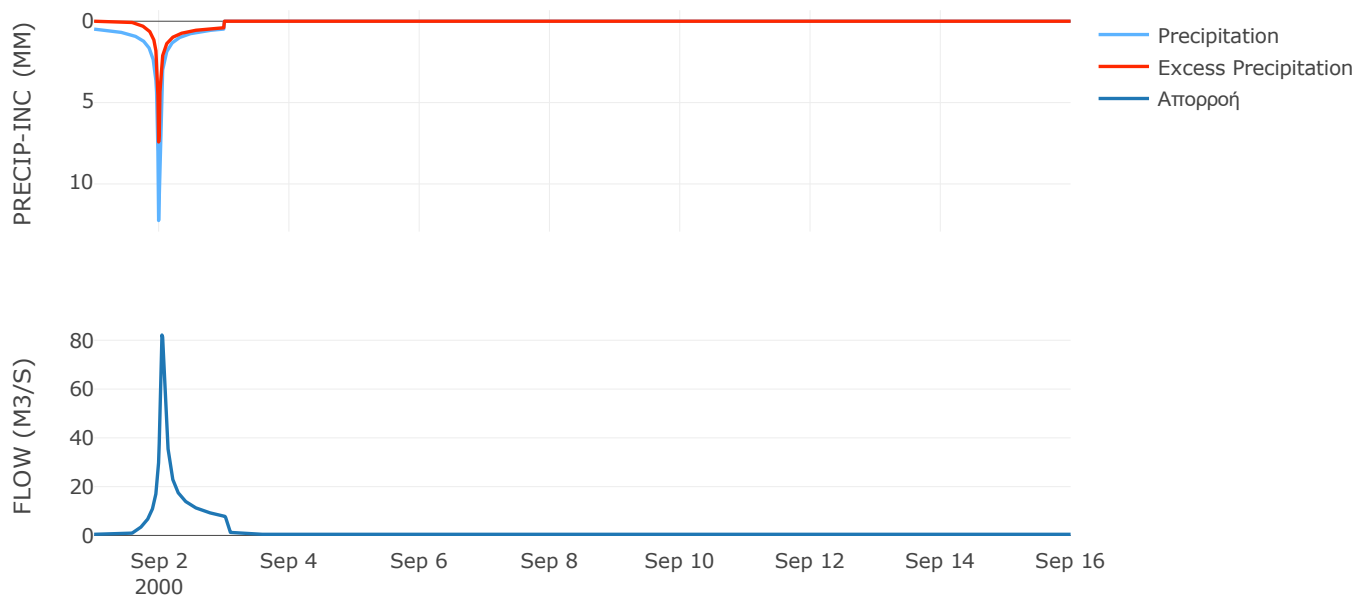
Μέθοδος
Μετασχηματισμού: SCS

Χρόνος Υστέρησης	59.45
------------------	-------

Αποτελέσματα:
EL0415FL00023

Παροχή αιχμής (M3/S)	82.16
Χρονική στιγμή αιχμής	02Sep2000, 01:00
Όγκος (MM)	156.27
Όγκος βροχόπτωσης (M3)	3.81E6
Όγκος απωλειών (M3)	1.84E6
Ενεργός Όγκος (M3)	1.97E6
Όγκος άμεσης απορροής (M3)	1.97E6
Όγκος βασικής απορροής (M3)	5.95E5

Βροχόπτωση και Απορροή



Υπολεκάνη: EL0415FL00024

Έκταση (KM2) : 20.38

Κατάντη : J19

Μέθοδος Απωλειών: SCS

Ποσοστό αδιαπέρατης επιφάνειας	0
Αριθμός Καμπύλης Απορροής-CN	62.12
Αρχικές Απώλειες	30.97

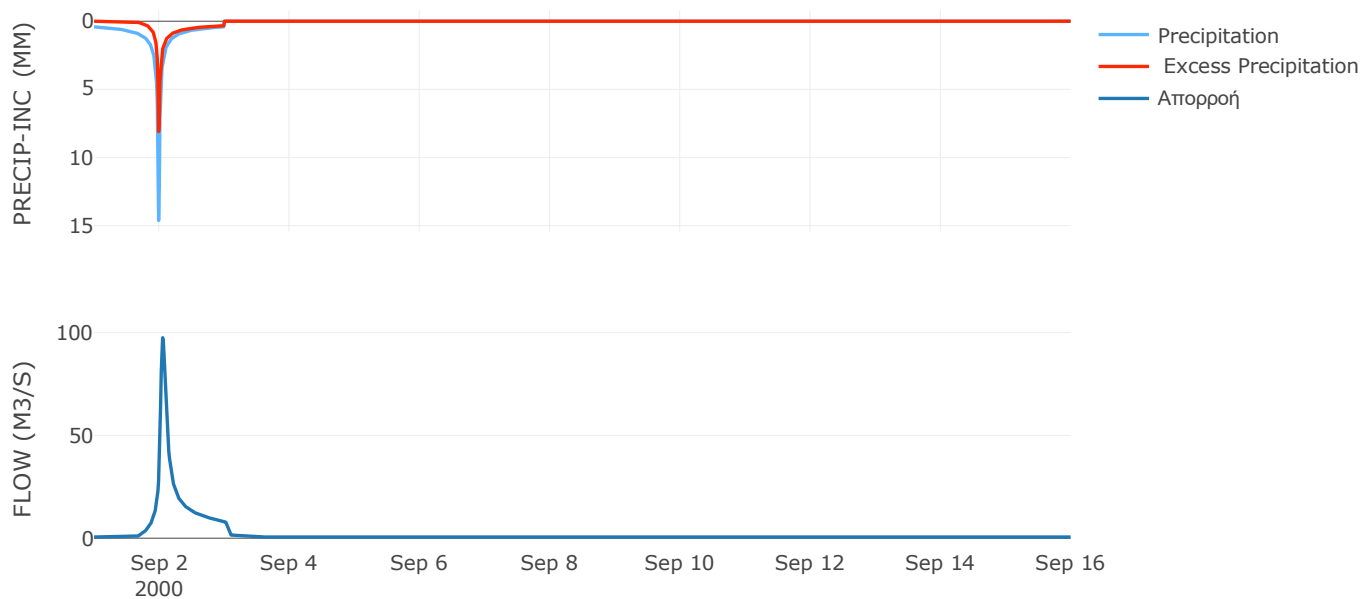
Μέθοδος
Μετασχηματισμού: SCS

Χρόνος Υστέρησης	70.63
------------------	-------

Αποτελέσματα:
EL0415FL00024

Παροχή αιχμής (M3/S)	97.55
Χρονική στιγμή αιχμής	02Sep2000, 01:15
Όγκος (MM)	142.95
Όγκος βροχόπτωσης (M3)	4.55E6
Όγκος απωλειών (M3)	2.38E6
Ενεργός Όγκος (M3)	2.17E6
Όγκος άμεσης απορροής (M3)	2.17E6
Όγκος βασικής απορροής (M3)	7.4E5

Βροχόπτωση και Απορροή



Υπολεκάνη: EL0415FL00025

Έκταση (KM2) : 32.02

Κατάντη : J13

Μέθοδος Απωλειών: SCS

Ποσοστό αδιαπέρατης επιφάνειας	0
Αριθμός Καμπύλης Απορροής-CN	30.5
Αρχικές Απώλειες	115.77

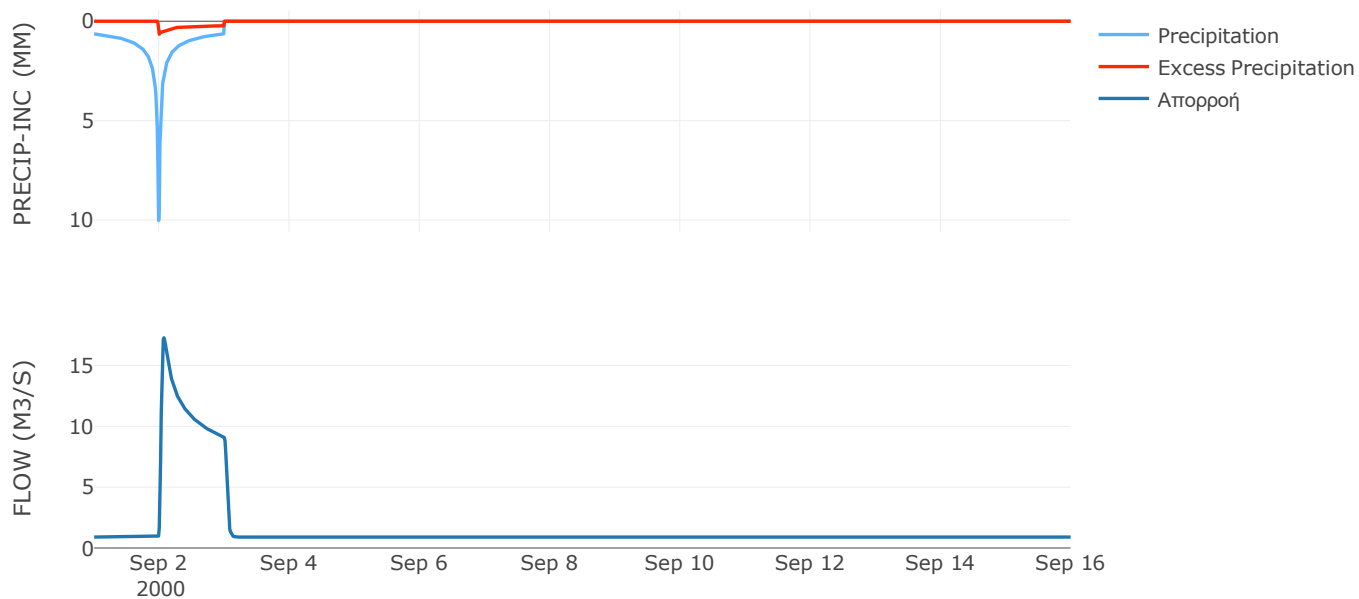
Μέθοδος
Μετασχηματισμού: SCS

Χρόνος Υστέρησης	48.98
------------------	-------

Αποτελέσματα:
EL0415FL00025

Παροχή αιχμής (M3/S)	17.28
Χρονική στιγμή αιχμής	02Sep2000, 01:45
Όγκος (MM)	65.27
Όγκος βροχόπτωσης (M3)	8.34E6
Όγκος απωλειών (M3)	7.42E6
Ενεργός Όγκος (M3)	9.28E5
Όγκος άμεσης απορροής (M3)	9.28E5
Όγκος βασικής απορροής (M3)	1.16E6

Βροχόπτωση και Απορροή



Υπολεκάνη: EL0415FL00026

Έκταση (KM2) : 30.03

Κατάντη : J12

Μέθοδος Απωλειών: SCS

Ποσοστό αδιαπέρατης επιφάνειας	0
Αριθμός Καμπύλης Απορροής-CN	47.52
Αρχικές Απώλειες	56.1

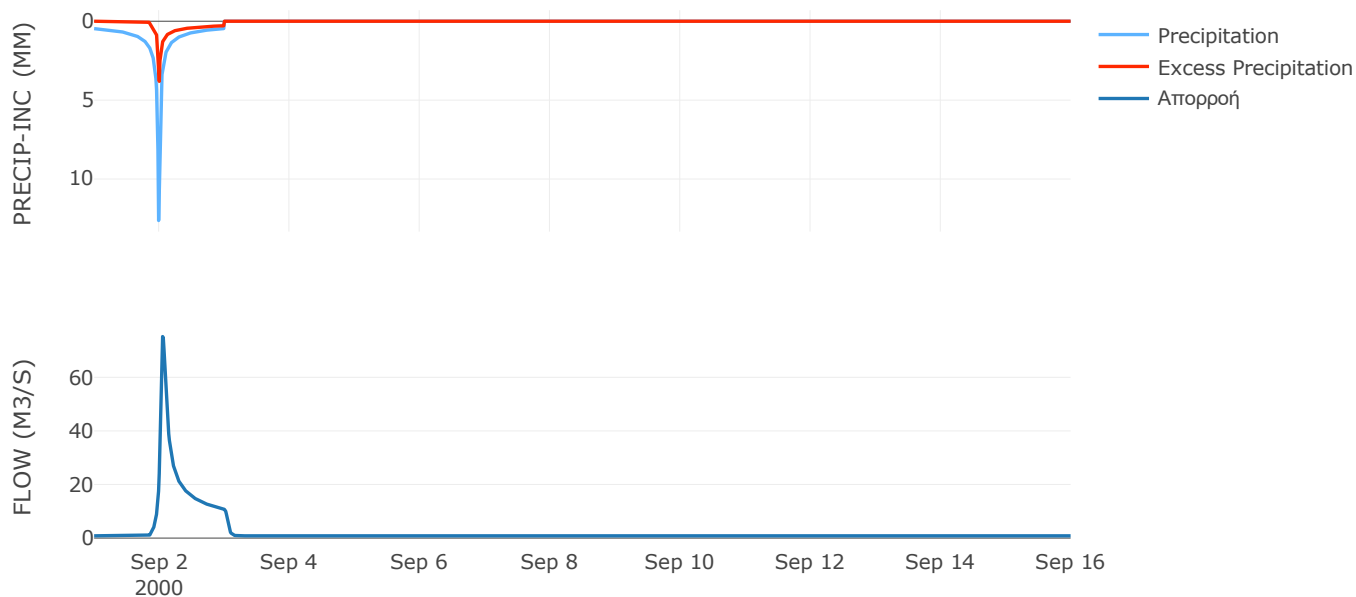
Μέθοδος
Μετασχηματισμού: SCS

Χρόνος Υστέρησης	66.22
------------------	-------

Αποτελέσματα:
EL0415FL00026

Παροχή αιχμής (M3/S)	75.23
Χρονική στιγμή αιχμής	02Sep2000, 01:15
Όγκος (MM)	102.43
Όγκος βροχόπτωσης (M3)	6.89E6
Όγκος απωλειών (M3)	4.9E6
Ενεργός Όγκος (M3)	1.99E6
Όγκος άμεσης απορροής (M3)	1.99E6
Όγκος βασικής απορροής (M3)	1.09E6

Βροχόπτωση και Απορροή



Υπολεκάνη: EL0415FL00027

Έκταση (KM2) : 3.34

Κατάνη : J11

Μέθοδος Απωλειών: SCS

Ποσοστό αδιαπέρατης επιφάνειας	0
Αριθμός Καμπύλης Απορροής-CN	62.24
Αρχικές Απώλειες	30.82

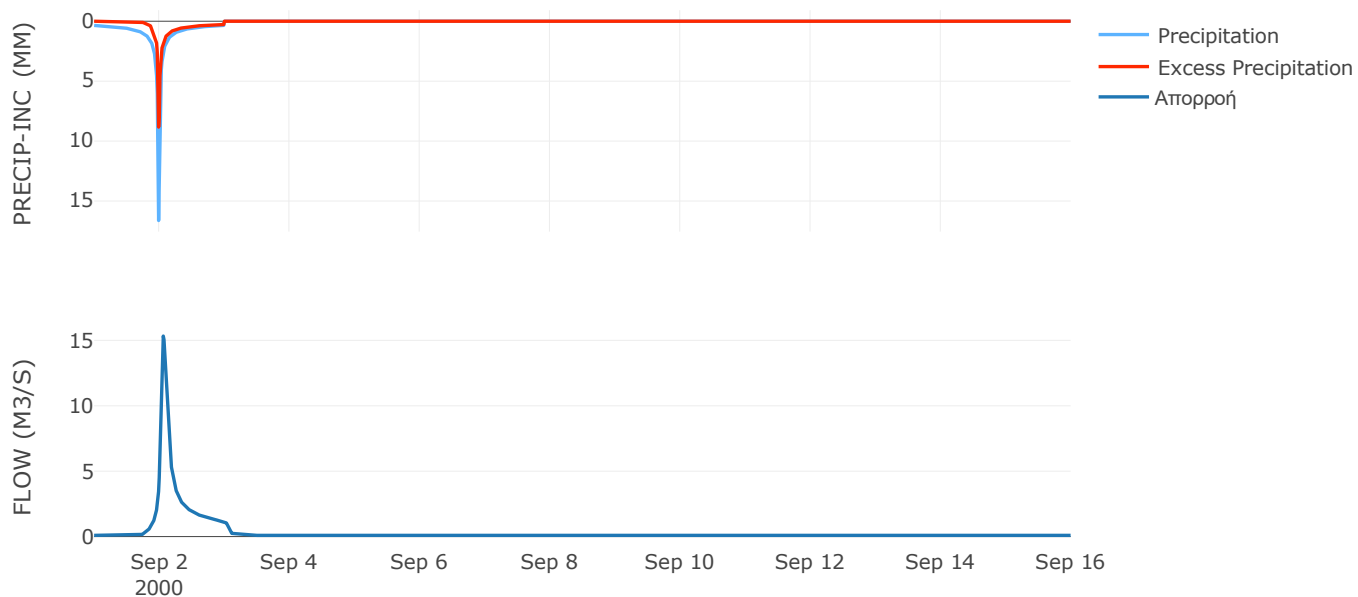
Μέθοδος
Μετασχηματισμού: SCS

Χρόνος Υστέρησης	82.27
------------------	-------

Αποτελέσματα:
EL0415FL00027

Παροχή αιχμής (M3/S)	15.33
Χρονική στιγμή αιχμής	02Sep2000, 01:30
Όγκος (MM)	134.22
Όγκος βροχόπτωσης (M3)	7.08E5
Όγκος απωλειών (M3)	3.81E5
Ενεργός Όγκος (M3)	3.27E5
Όγκος άμεσης απορροής (M3)	3.27E5
Όγκος βασικής απορροής (M3)	1.21E5

Βροχόπτωση και Απορροή



Δεδομένα και υδρογραφήματα σχεδιασμού Κλάδων υδρογραφικού δικτύου

Κλάδος: R21

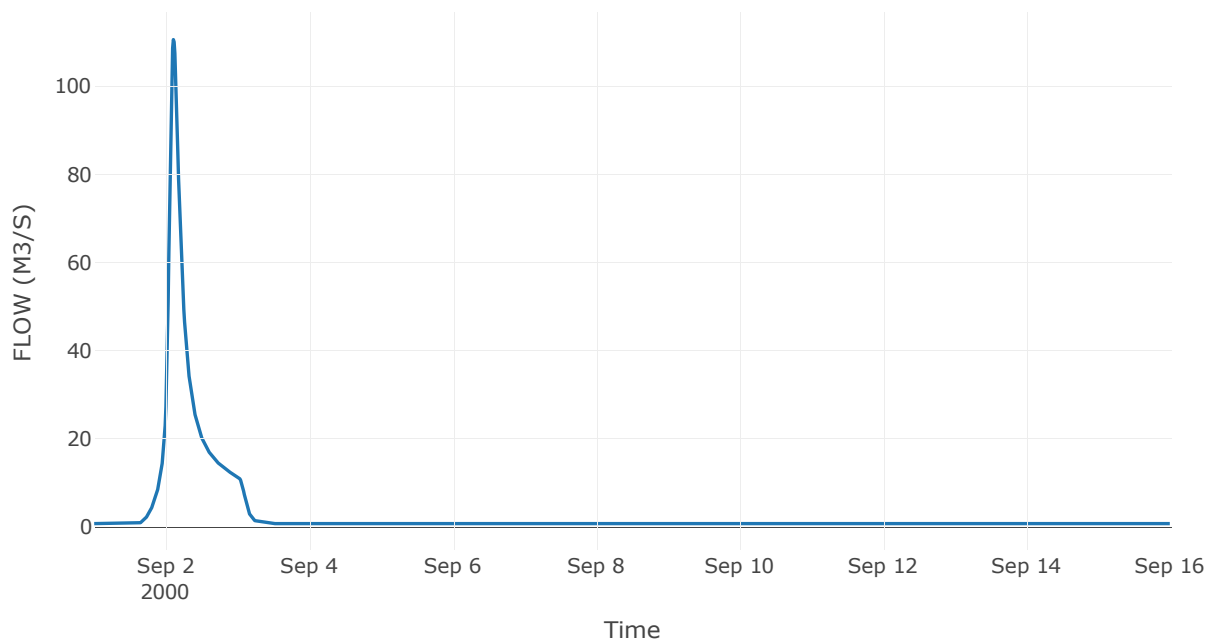
Κατάντη : J1

Μέθοδος Διόδευσης	Χρόνος
Αρχική Μεταβλητή	Combined Inflow
Χρόνος Υστέρησης	0

Αποτελέσματα: R21

Παροχή Αιχμής(M3/S)	110.56
Χρονική στιγμή αιχμής	02Sep2000, 02:30
Όγκος(MM)	149.18
Παροχή Αιχμής Εισόδου (M3/S)	110.56
Όγκος Εισροής(M3)	4.23E6

Απορροή



Κλάδος: R31

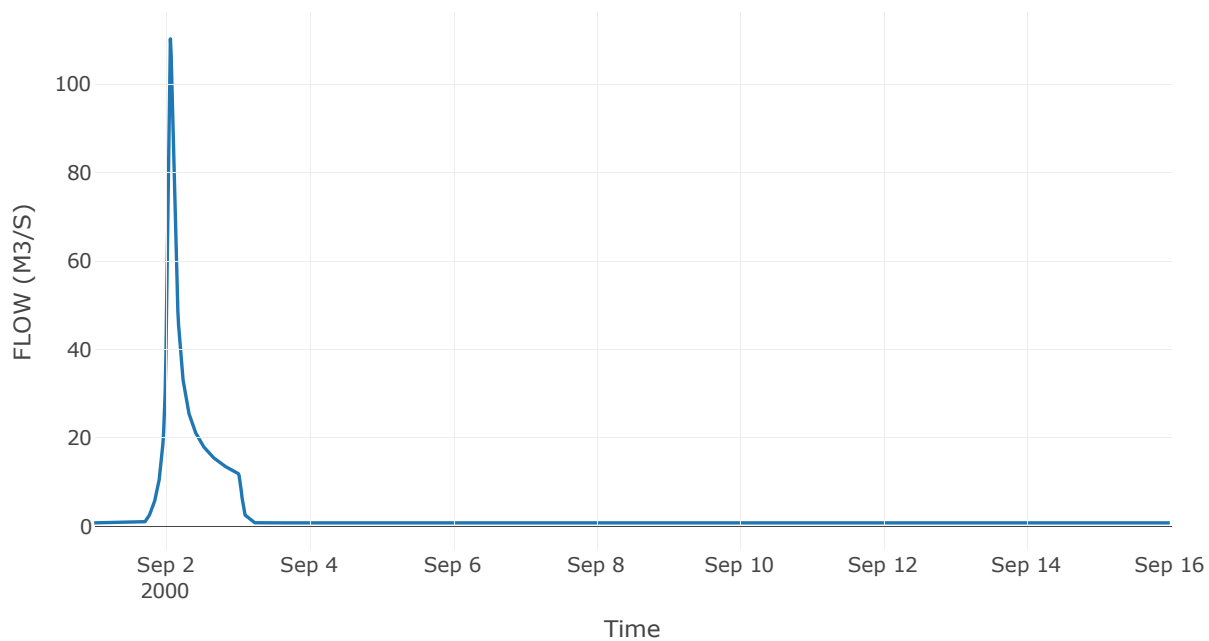
Κατάντη : J1

Μέθοδος Διόδευσης	Χρόνος
Αρχική Μεταβλητή	Combined Inflow
Χρόνος Υστέρησης	0

Αποτελέσματα: R31

Παροχή Αιχμής(M3/S)	110.25
Χρονική στιγμή αιχμής	02Sep2000, 01:30
Όγκος(MM)	128.46
Παροχή Αιχμής Εισόδου (M3/S)	110.25
Όγκος Εισροής(M3)	3.86E6

Απορροή



Κλάδος: R41

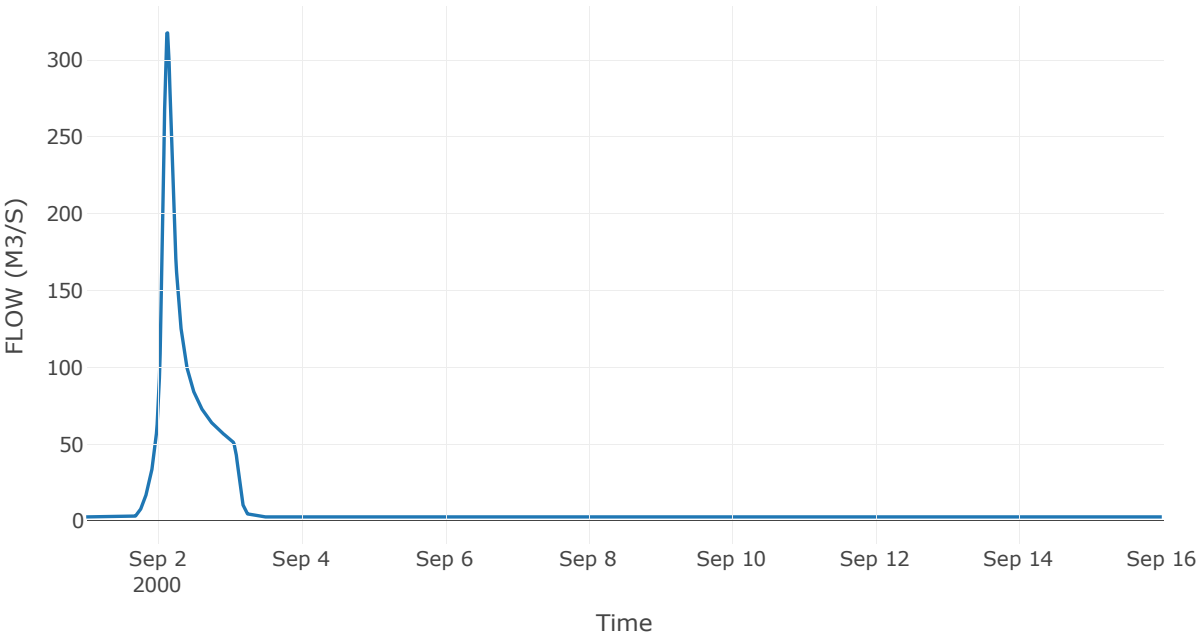
Κατάντη : J1

Μέθοδος Διόδευσης	Χρόνος
Αρχική Μεταβλητή	Combined Inflow
Χρόνος Υστέρησης	0

Αποτελέσματα: R41

Παροχή Αιχμής(M3/S)	317.53
Χρονική στιγμή αιχμής	02Sep2000, 03:15
Όγκος(MM)	147.2
Παροχή Αιχμής Εισόδου (M3/S)	317.53
Όγκος Εισροής(M3)	1.45E7

Απορροή



Κλάδος: R51

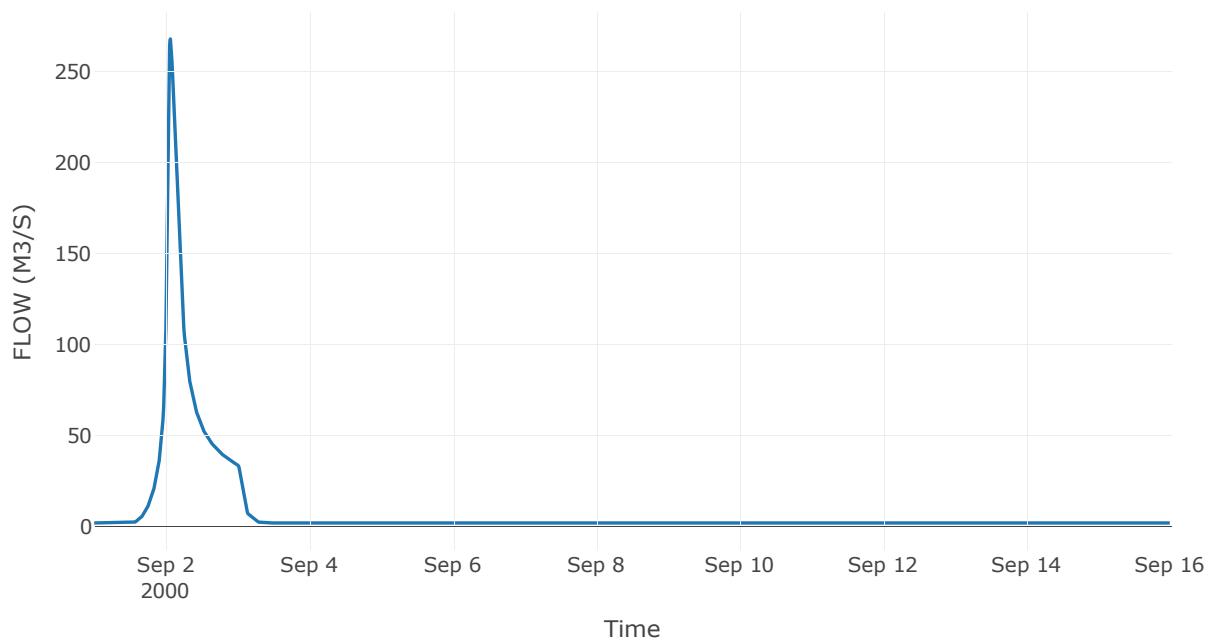
Κατάντη : J1

Μέθοδος Διόδευσης	Χρόνος
Αρχική Μεταβλητή	Combined Inflow
Χρόνος Υστέρησης	0

Αποτελέσματα: R51

Παροχή Αιχμής(M3/S)	267.82
Χρονική στιγμή αιχμής	02Sep2000, 01:30
Όγκος(MM)	146.11
Παροχή Αιχμής Εισόδου (M3/S)	267.82
Όγκος Εισροής(M3)	1.12E7

Απορροή



Κλάδος: R1110

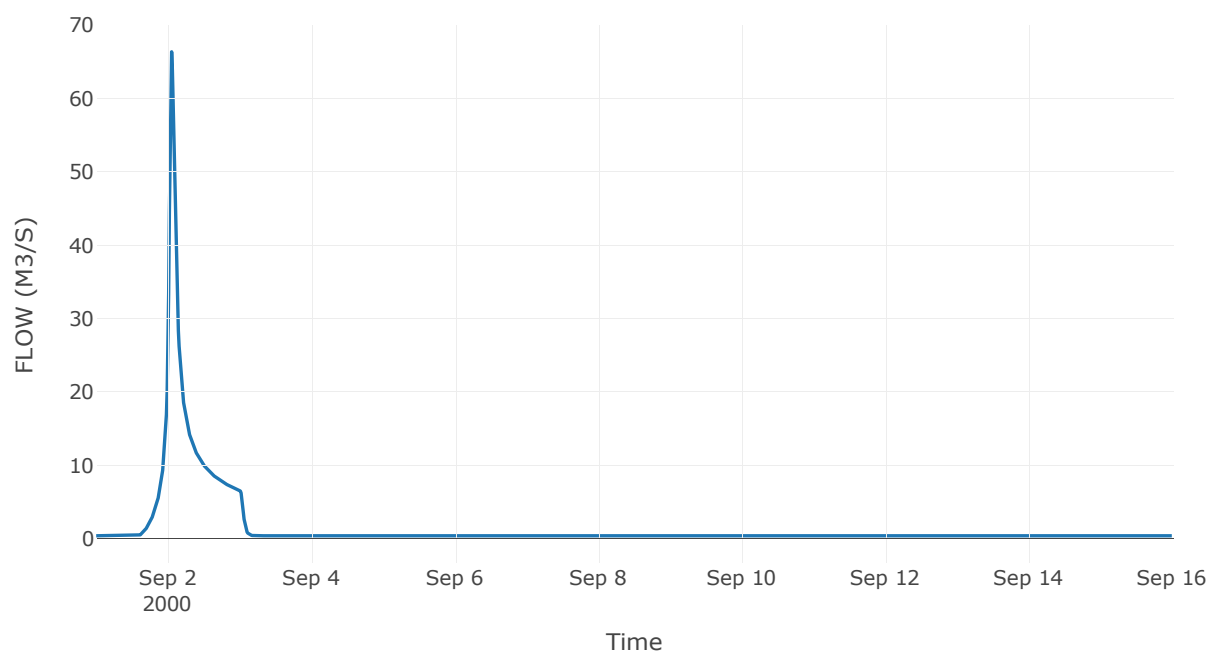
Κατάντη : J10

Μέθοδος Διόδευσης	Χρόνος
Αρχική Μεταβλητή	Combined Inflow
Χρόνος Υστέρησης	0

Αποτελέσματα: R1110

Παροχή Αιχμής(M3/S)	66.36
Χρονική στιγμή αιχμής	02Sep2000, 01:15
Όγκος(MM)	143.62
Παροχή Αιχμής Εισόδου (M3/S)	66.36
Όγκος Εισροής(M3)	2.09E6

Απορροή



Κλάδος: R1210

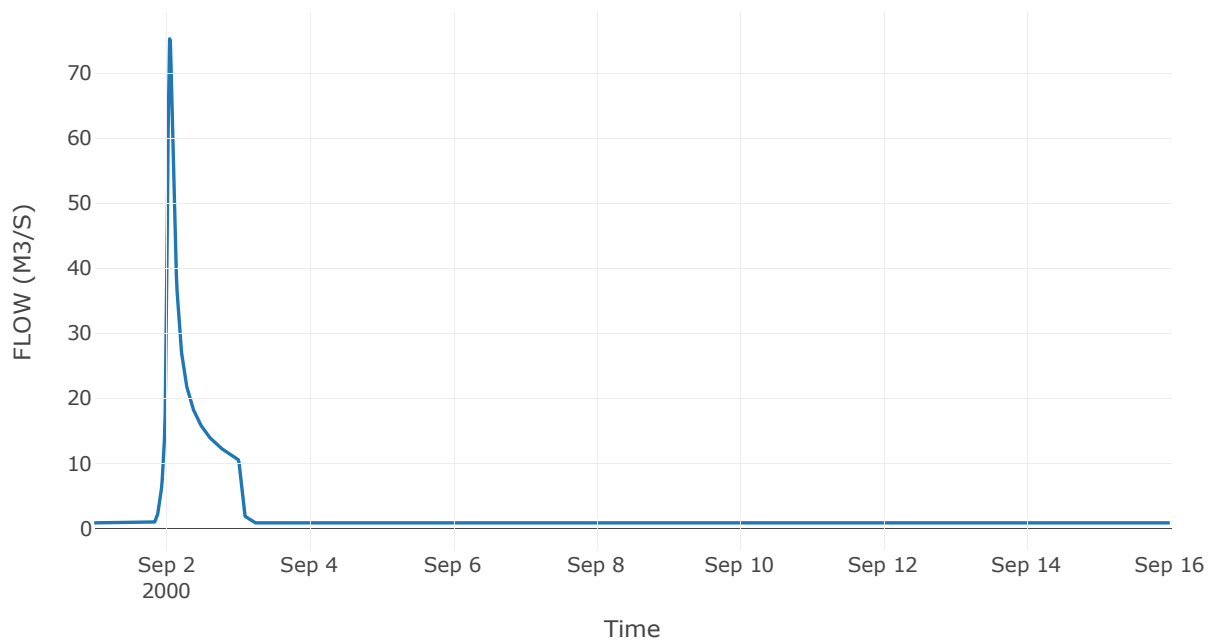
Κατάντη : J10

Μέθοδος Διόδευσης	Χρόνος
Αρχική Μεταβλητή	Combined Inflow
Χρόνος Υστέρησης	0

Αποτελέσματα: R1210

Παροχή Αιχμής(M3/S)	75.23
Χρονική στιγμή αιχμής	02Sep2000, 01:15
Όγκος(MM)	102.43
Παροχή Αιχμής Εισόδου (M3/S)	75.23
Όγκος Εισροής(M3)	3.08E6

Απορροή



Κλάδος: R1310

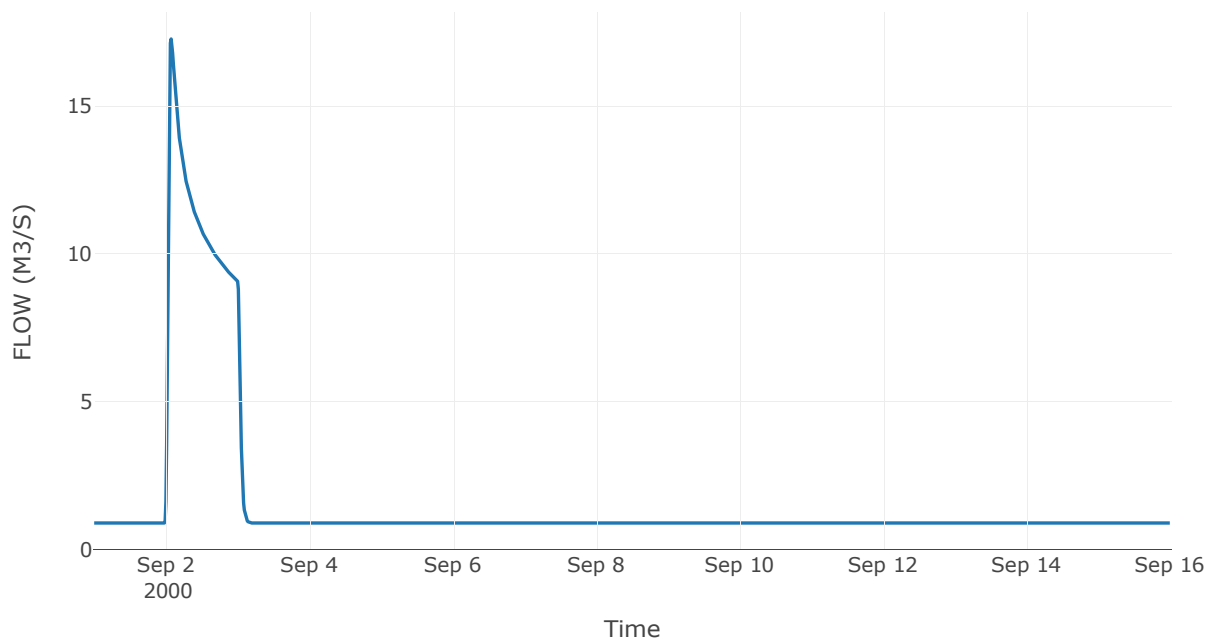
Κατάντη : J10

Μέθοδος Διόδευσης	Χρόνος
Αρχική Μεταβλητή	Combined Inflow
Χρόνος Υστέρησης	0

Αποτελέσματα: R1310

Παροχή Αιχμής(M3/S)	17.28
Χρονική στιγμή αιχμής	02Sep2000, 01:45
Όγκος(MM)	65.27
Παροχή Αιχμής Εισόδου (M3/S)	17.28
Όγκος Εισροής(M3)	2.09E6

Απορροή



Κλάδος: R1410

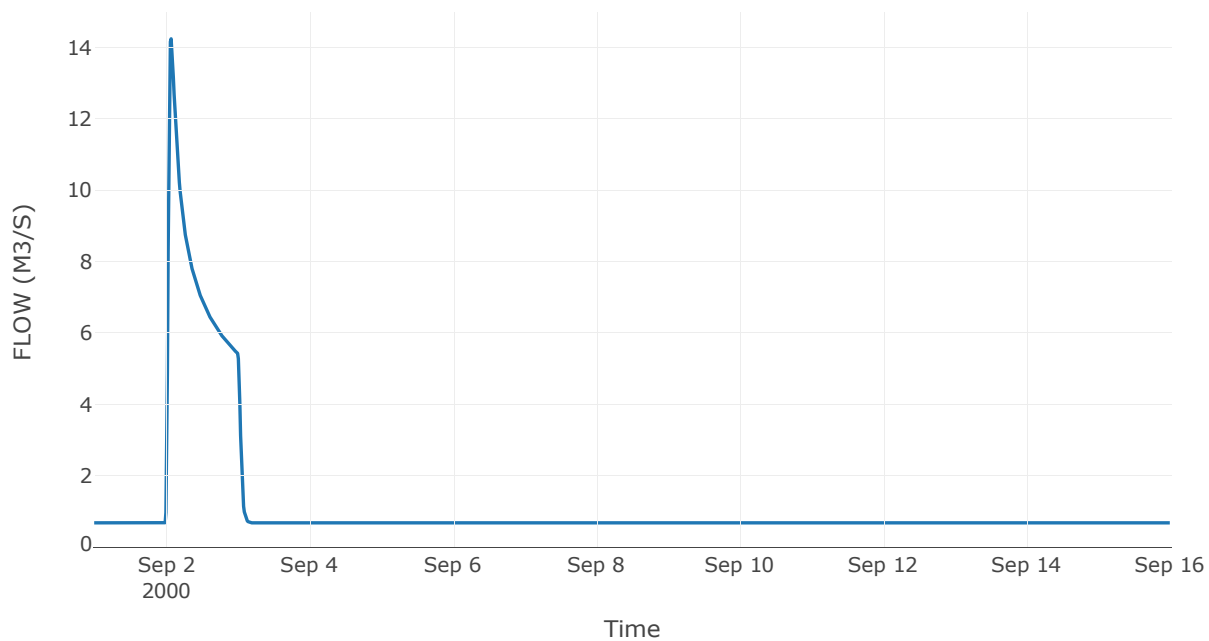
Κατάντη : J10

Μέθοδος Διόδευσης	Χρόνος
Αρχική Μεταβλητή	Combined Inflow
Χρόνος Υστέρησης	0

Αποτελέσματα: R1410

Παροχή Αιχμής(M3/S)	14.24
Χρονική στιγμή αιχμής	02Sep2000, 01:45
Όγκος(MM)	61.54
Παροχή Αιχμής Εισόδου (M3/S)	14.24
Όγκος Εισροής(M3)	1.51E6

Απορροή



Κλάδος: R1510

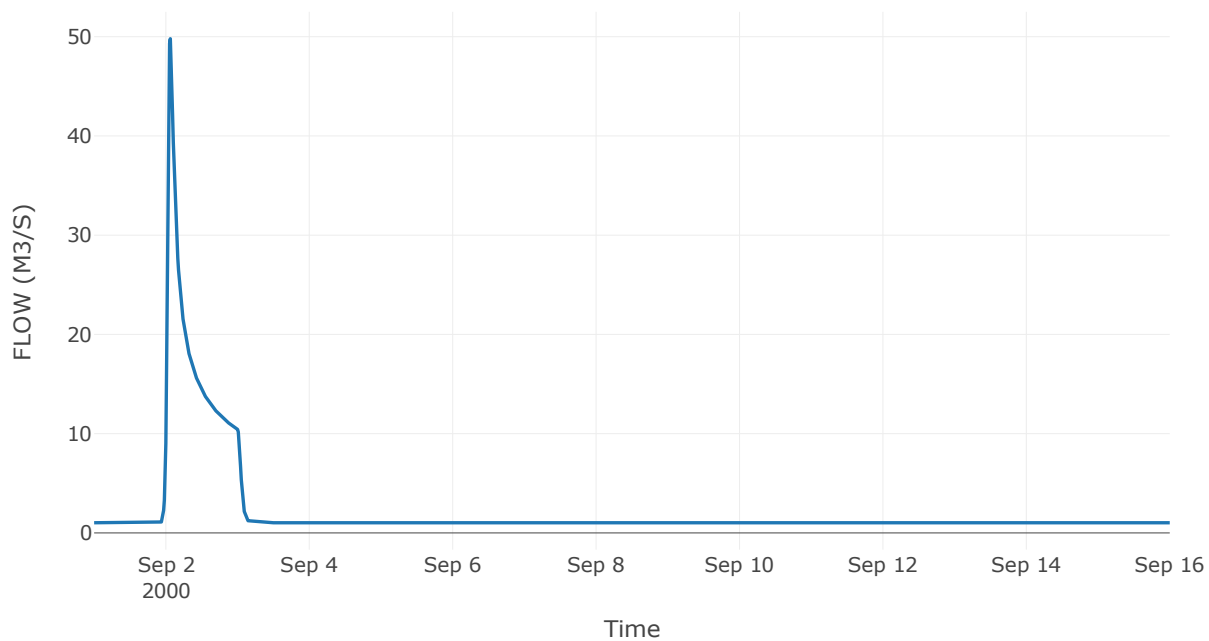
Κατάντη : J10

Μέθοδος Διόδευσης	Χρόνος
Αρχική Μεταβλητή	Combined Inflow
Χρόνος Υστέρησης	0

Αποτελέσματα: R1510

Παροχή Αιχμής(M3/S)	49.79
Χρονική στιγμή αιχμής	02Sep2000, 01:30
Όγκος(MM)	78.83
Παροχή Αιχμής Εισόδου (M3/S)	49.79
Όγκος Εισροής(M3)	2.88E6

Απορροή



Κλάδος: R1610

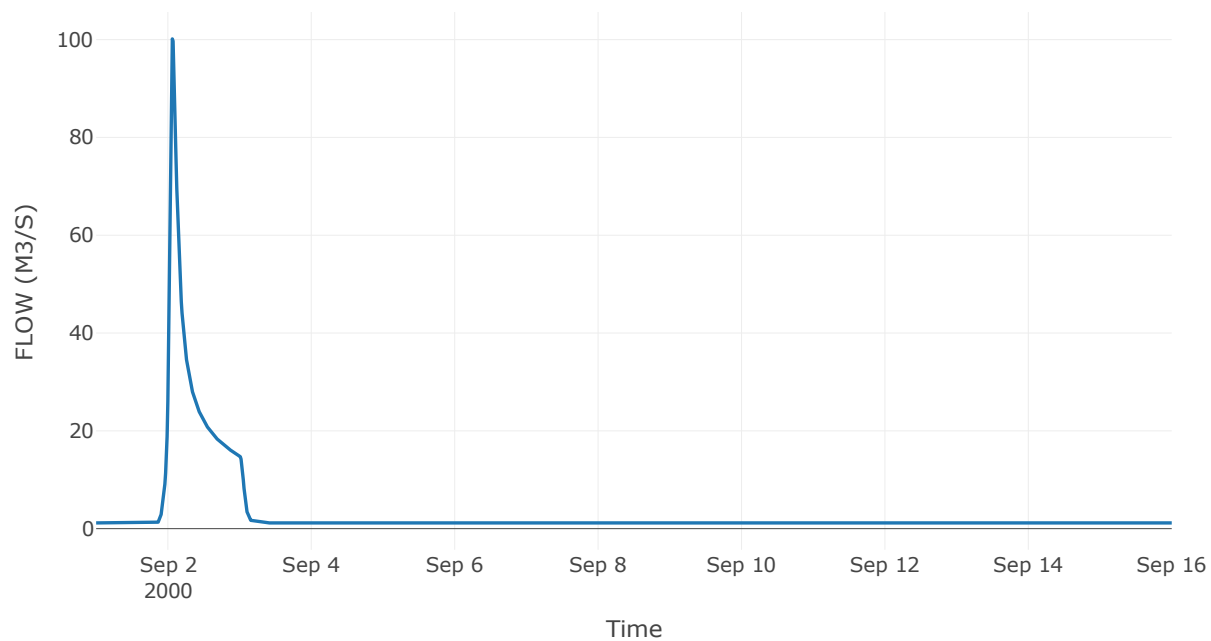
Κατάντη : J10

Μέθοδος Διόδευσης	Χρόνος
Αρχική Μεταβλητή	Combined Inflow
Χρόνος Υστέρησης	0

Αποτελέσματα: R1610

Παροχή Αιχμής(M3/S)	100.15
Χρονική στιγμή αιχμής	02Sep2000, 01:30
Όγκος(MM)	102.51
Παροχή Αιχμής Εισόδου (M3/S)	100.15
Όγκος Εισροής(M3)	4.29E6

Απορροή



Κλάδος: R1710

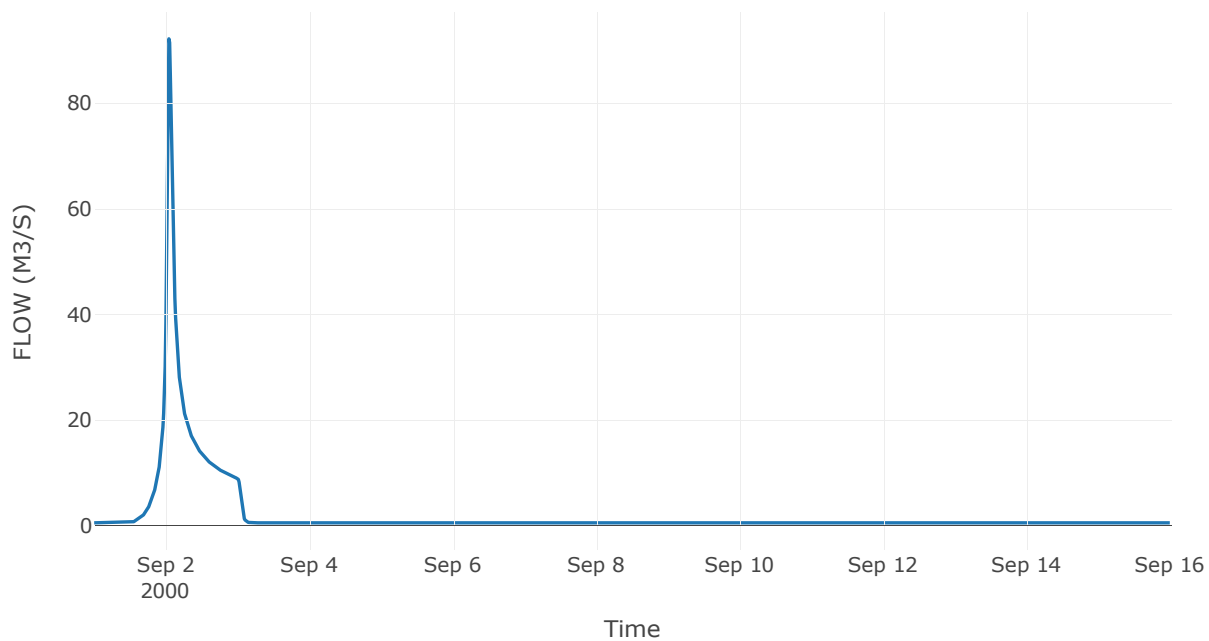
Κατάντη : J10

Μέθοδος Διόδευσης	Χρόνος
Αρχική Μεταβλητή	Combined Inflow
Χρόνος Υστέρησης	0

Αποτελέσματα: R1710

Παροχή Αιχμής(M3/S)	92.16
Χρονική στιγμή αιχμής	02Sep2000, 01:00
Όγκος(MM)	145.28
Παροχή Αιχμής Εισόδου (M3/S)	92.16
Όγκος Εισροής(M3)	2.84E6

Απορροή



Κλάδος: R1810

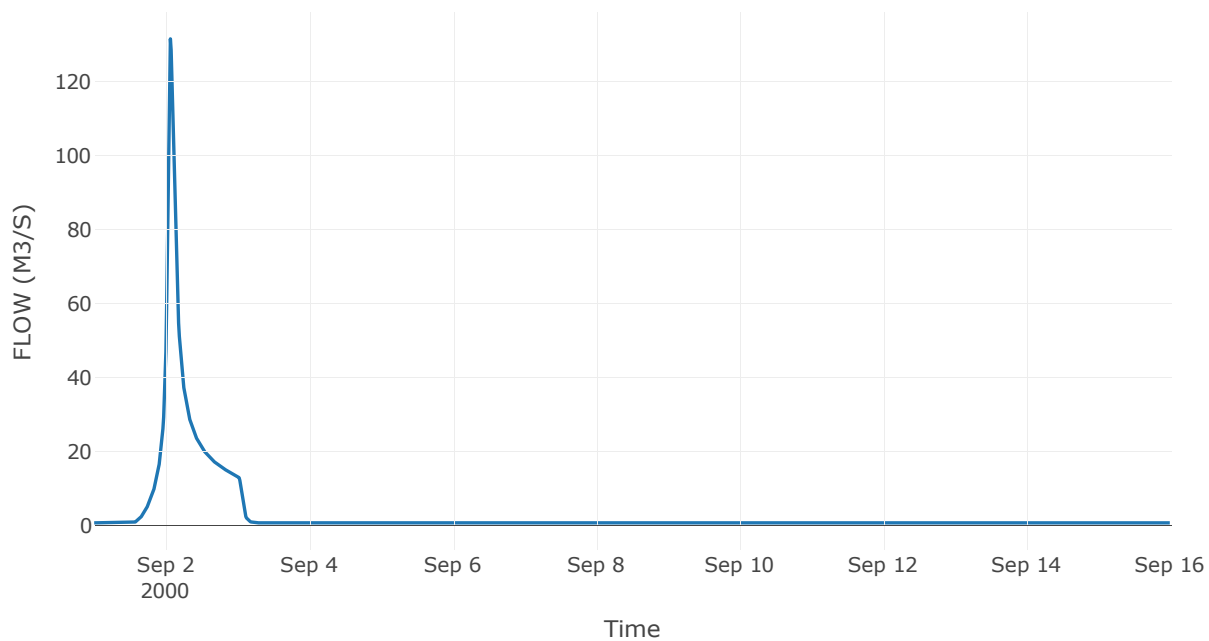
Κατάντη : J10

Μέθοδος Διόδευσης	Χρόνος
Αρχική Μεταβλητή	Combined Inflow
Χρόνος Υστέρησης	0

Αποτελέσματα: R1810

Παροχή Αιχμής(M3/S)	131.5
Χρονική στιγμή αιχμής	02Sep2000, 01:30
Όγκος(MM)	153.23
Παροχή Αιχμής Εισόδου (M3/S)	131.5
Όγκος Εισροής(M3)	4.41E6

Απορροή



Κλάδος: R1910

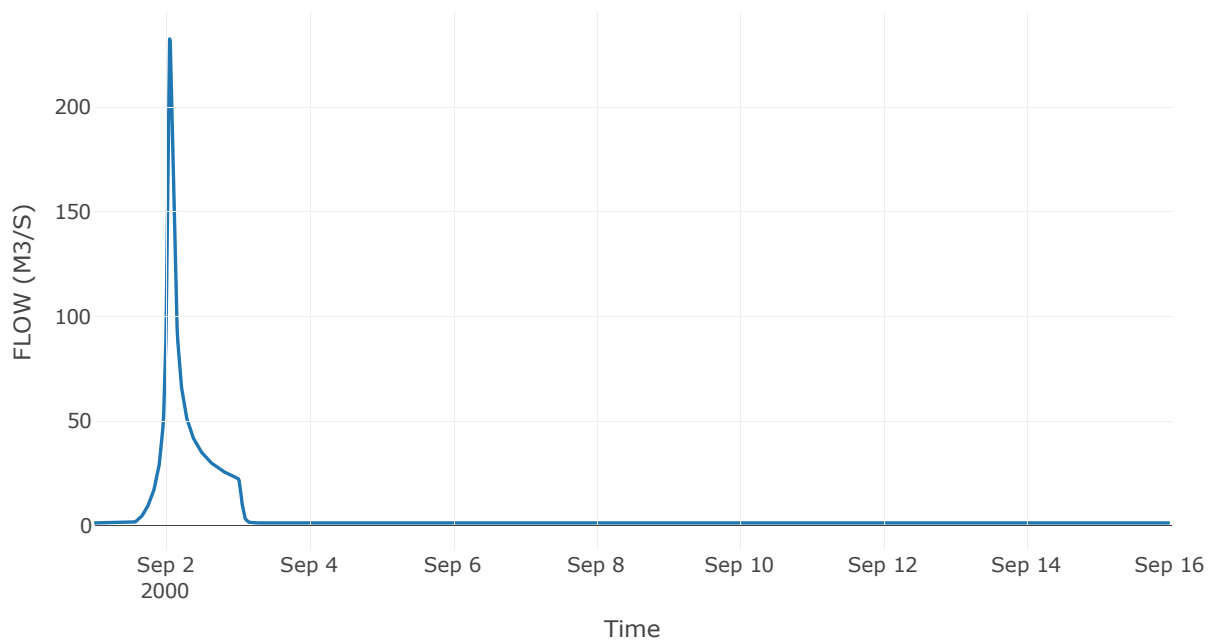
Κατάντη : J10

Μέθοδος Διόδευσης	Χρόνος
Αρχική Μεταβλητή	Combined Inflow
Χρόνος Υστέρησης	0

Αποτελέσματα: R1910

Παροχή Αιχμής(M3/S)	232.69
Χρονική στιγμή αιχμής	02Sep2000, 01:15
Όγκος(MM)	149.58
Παροχή Αιχμής Εισόδου (M3/S)	232.69
Όγκος Εισροής(M3)	7.36E6

Απορροή



Κλάδος: R16

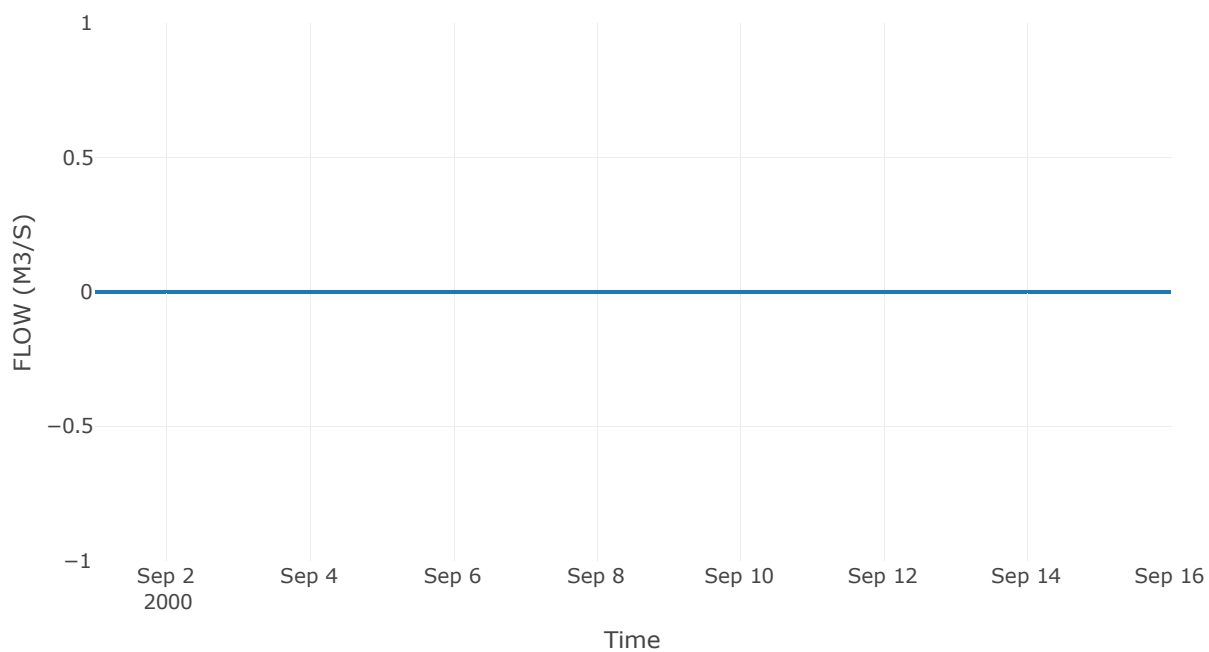
Κατάντη : J6

Μέθοδος Διόδευσης	Muskingum
Αρχική Μεταβλητή	Combined Inflow
Χρόνος Ροής Κ	12.92
Συντελεστής βάρους x	0.2
Πλήθος Υποκλάδων	59

Αποτελέσματα: R16

Παροχή Αιχμής(M3/S)	0
Χρονική στιγμή αιχμής	31Aug2000, 24:00
Εισροή Αιχμής(M3/S)	0
Όγκος Εισροής (M3)	0

Απορροή



Κλάδος: R74

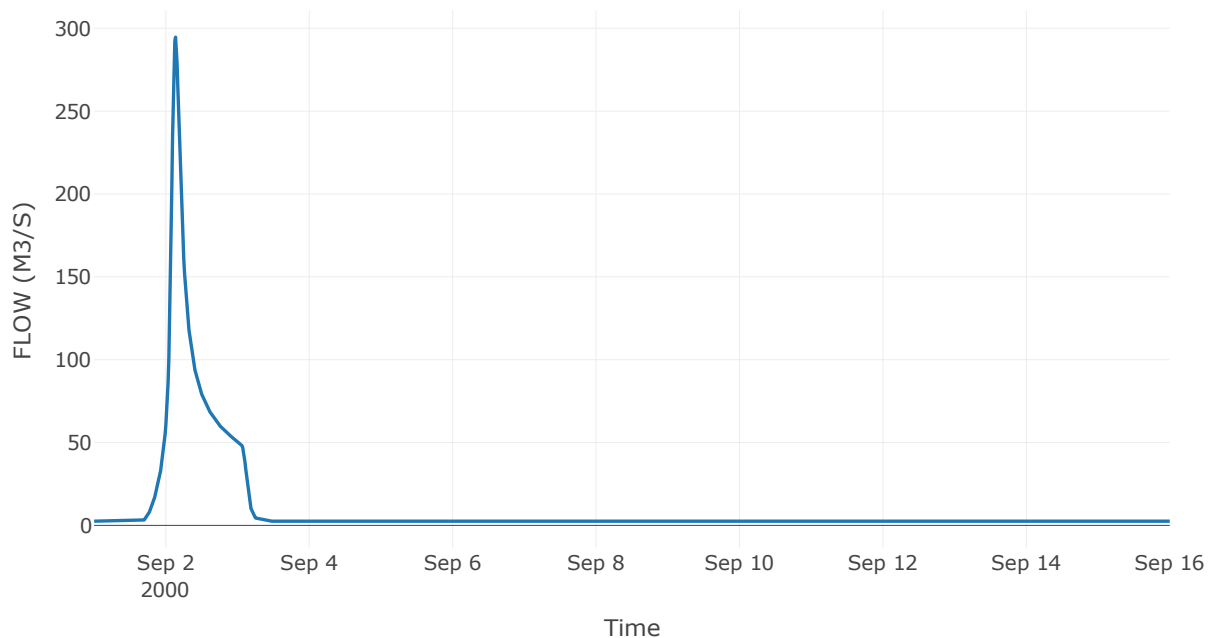
Κατάντη : J4

Μέθοδος Διόδευσης	Muskingum
Αρχική Μεταβλητή	Combined Inflow
Χρόνος Ροής Κ	1.22
Συντελεστής βάρους α	0.2
Πλήθος Υποκλάδων	6

Αποτελέσματα: R74

Παροχή Αιχμής(M3/S)	294.63
Χρονική στιγμή αιχμής	02Sep2000, 03:15
Όγκος(MM)	147.81
Παροχή Αιχμής Εισόδου (M3/S)	304.62
Όγκος Εισροής(M3)	1.34E7

Απορροή



Κλάδος: R85

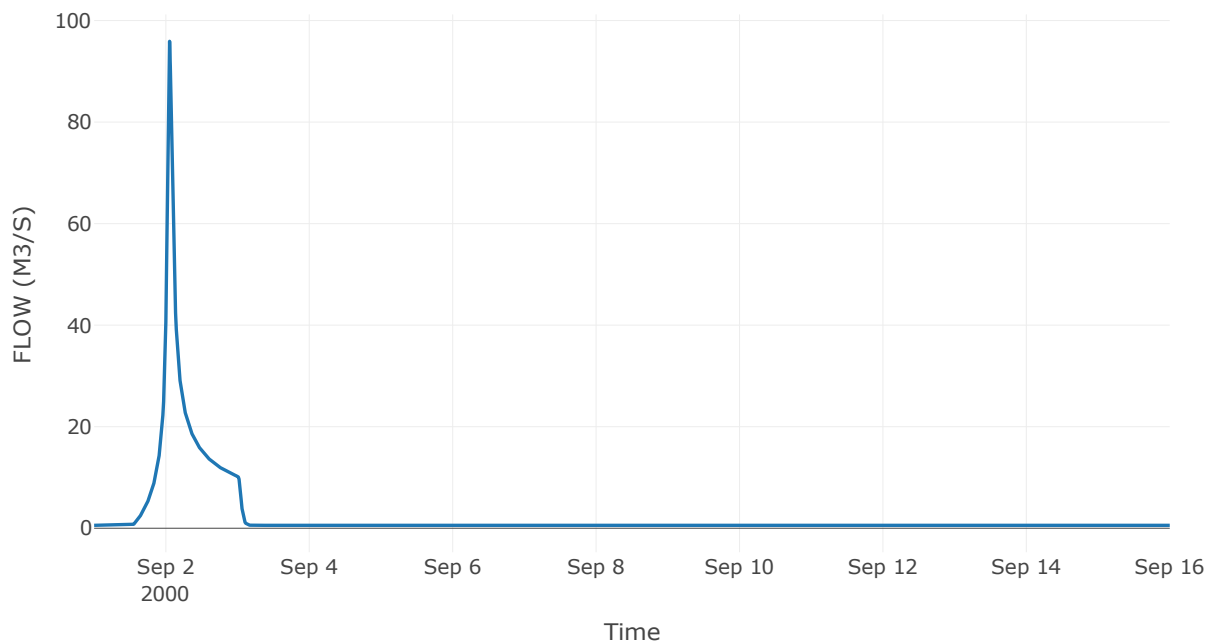
Κατάντη : J5

Μέθοδος Διόδευσης	Muskingum
Αρχική Μεταβλητή	Combined Inflow
Χρόνος Ροής Κ	0.24
Συντελεστής βάρους x	0.2
Πλήθος Υποκλάδων	1

Αποτελέσματα: R85

Παροχή Αιχμής(M3/S)	95.91
Χρονική στιγμή αιχμής	02Sep2000, 01:15
Όγκος(MM)	152.89
Παροχή Αιχμής Εισόδου (M3/S)	98.16
Όγκος Εισροής(M3)	3.12E6

Απορροή



Κλάδος: R95

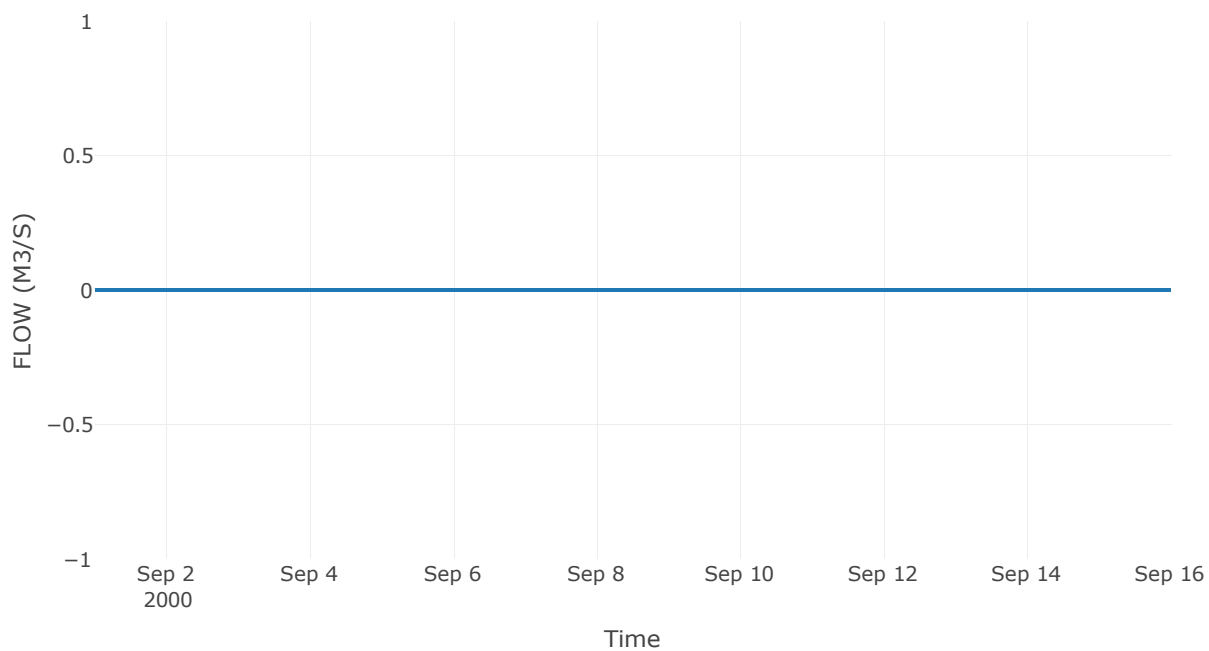
Κατάντη : J5

Μέθοδος Διόδευσης	Χρόνος
Αρχική Μεταβλητή	Combined Inflow
Χρόνος Υστέρησης	76.75

Αποτελέσματα: R95

Παροχή Αιχμής(M3/S)	0
Χρονική στιγμή αιχμής	31Aug2000, 24:00
Εισροή Αιχμής(M3/S)	0
Όγκος Εισροής (M3)	0

Απορροή



Κλάδος: R2011

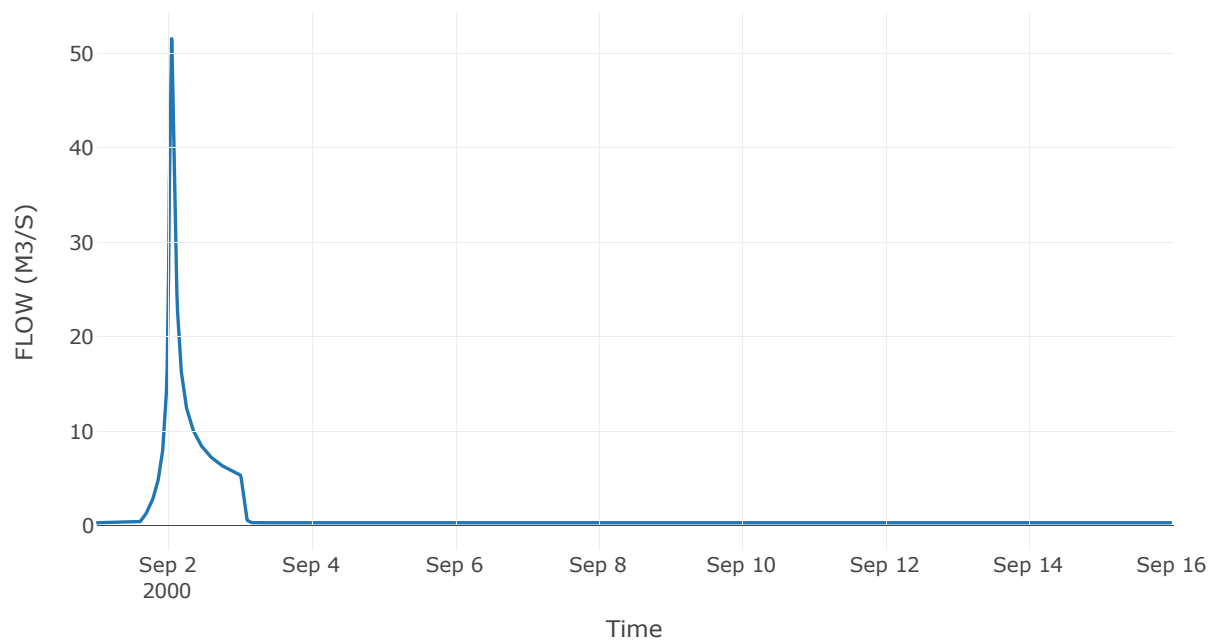
Κατάντη : J11

Μέθοδος Διόδευσης	Χρόνος
Αρχική Μεταβλητή	Combined Inflow
Χρόνος Υστέρησης	11.53

Αποτελέσματα: R2011

Παροχή Αιχμής(M3/S)	51.56
Χρονική στιγμή αιχμής	02Sep2000, 01:15
Όγκος(MM)	146.41
Παροχή Αιχμής Εισόδου (M3/S)	52.17
Όγκος Εισροής(M3)	1.64E6

Απορροή



Κλάδος: R2117

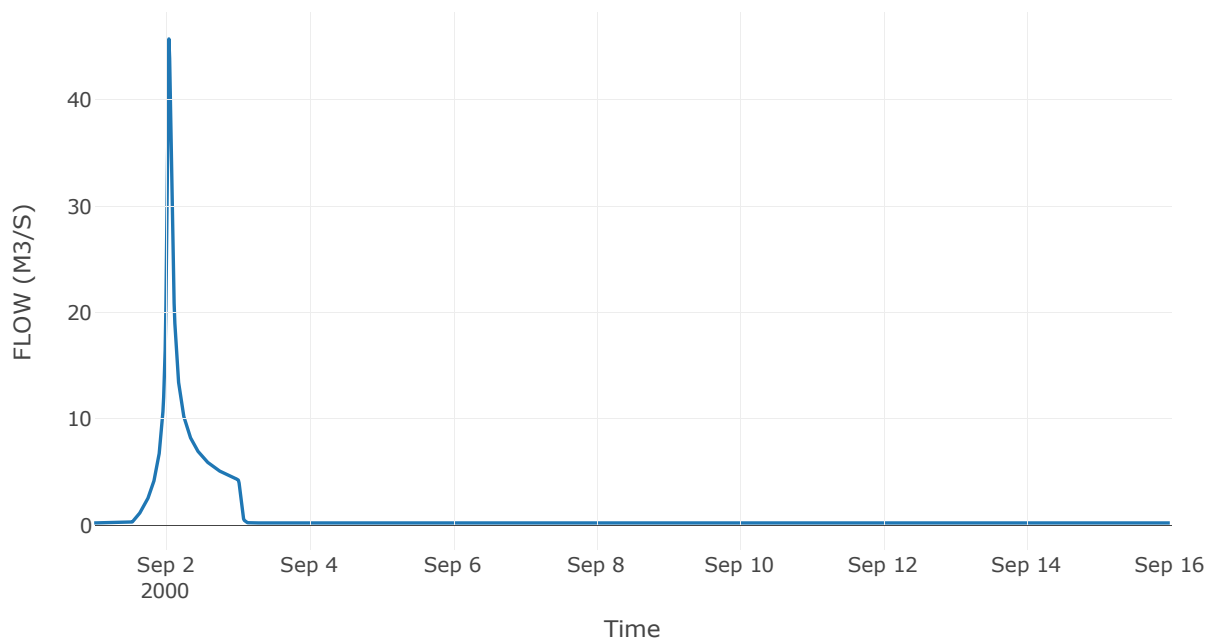
Κατάντη : J17

Μέθοδος Διόδευσης	Χρόνος
Αρχική Μεταβλητή	Combined Inflow
Χρόνος Υστέρησης	10.82

Αποτελέσματα: R2117

Παροχή Αιχμής(M3/S)	45.75
Χρονική στιγμή αιχμής	02Sep2000, 01:00
Όγκος(MM)	160.5
Παροχή Αιχμής Εισόδου (M3/S)	45.96
Όγκος Εισροής(M3)	1.36E6

Απορροή



Κλάδος: R2218

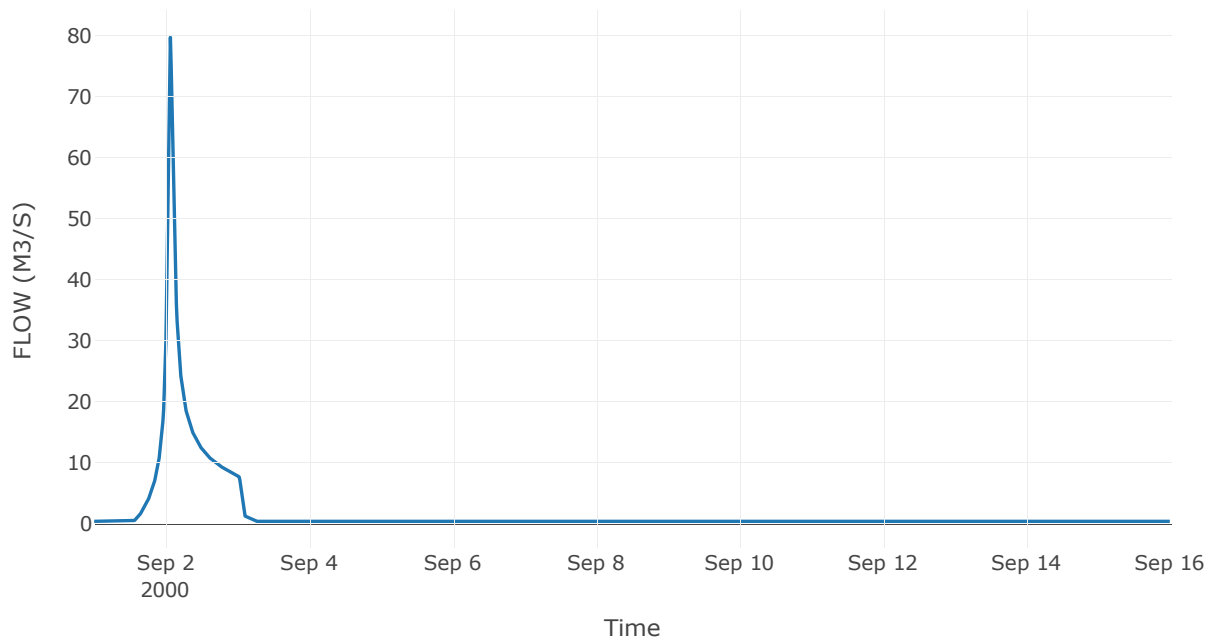
Κατάντη : J18

Μέθοδος Διόδευσης	Muskingum
Αρχική Μεταβλητή	Combined Inflow
Χρόνος Ροής Κ	0.28
Συντελεστής βάρους x	0.2
Πλήθος Υποκλάδων	1

Αποτελέσματα: R2218

Παροχή Αιχμής(M3/S)	79.67
Χρονική στιγμή αιχμής	02Sep2000, 01:30
Όγκος(MM)	156.27
Παροχή Αιχμής Εισόδου (M3/S)	82.16
Όγκος Εισροής(M3)	2.56E6

Απορροή



Κλάδος: R2319

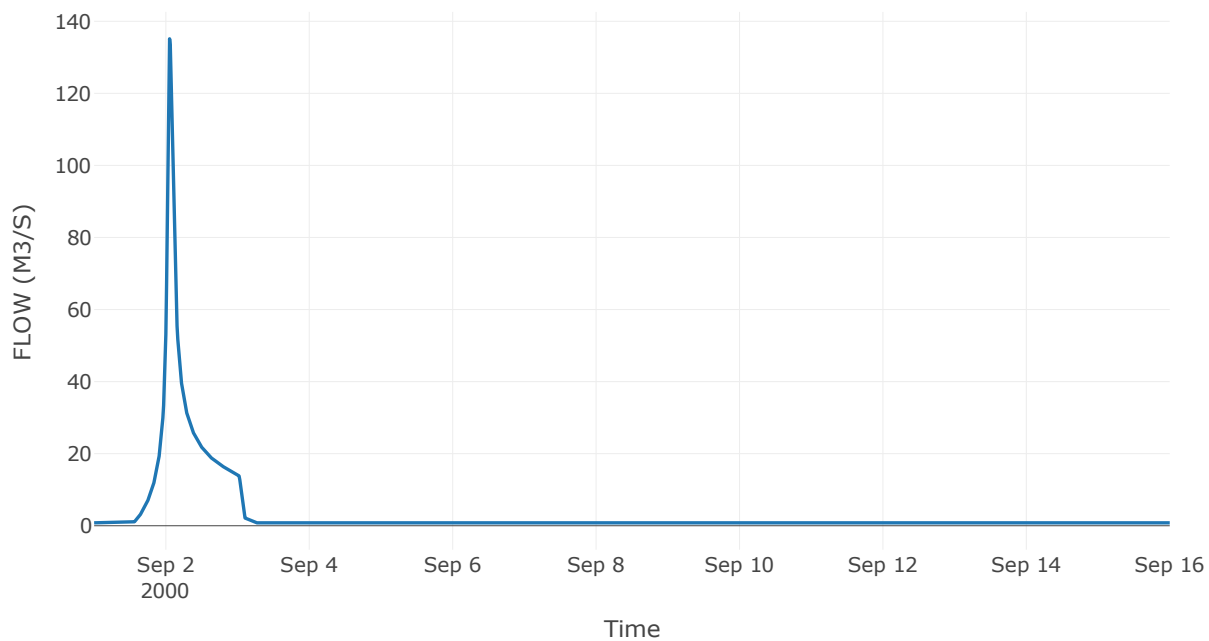
Κατάντη : J19

Μέθοδος Διόδευσης	Χρόνος
Αρχική Μεταβλητή	Combined Inflow
Χρόνος Υστέρησης	12.96

Αποτελέσματα: R2319

Παροχή Αιχμής(M3/S)	135.14
Χρονική στιγμή αιχμής	02Sep2000, 01:15
Όγκος(MM)	154.27
Παροχή Αιχμής Εισόδου (M3/S)	135.29
Όγκος Εισροής(M3)	4.44E6

Απορροή



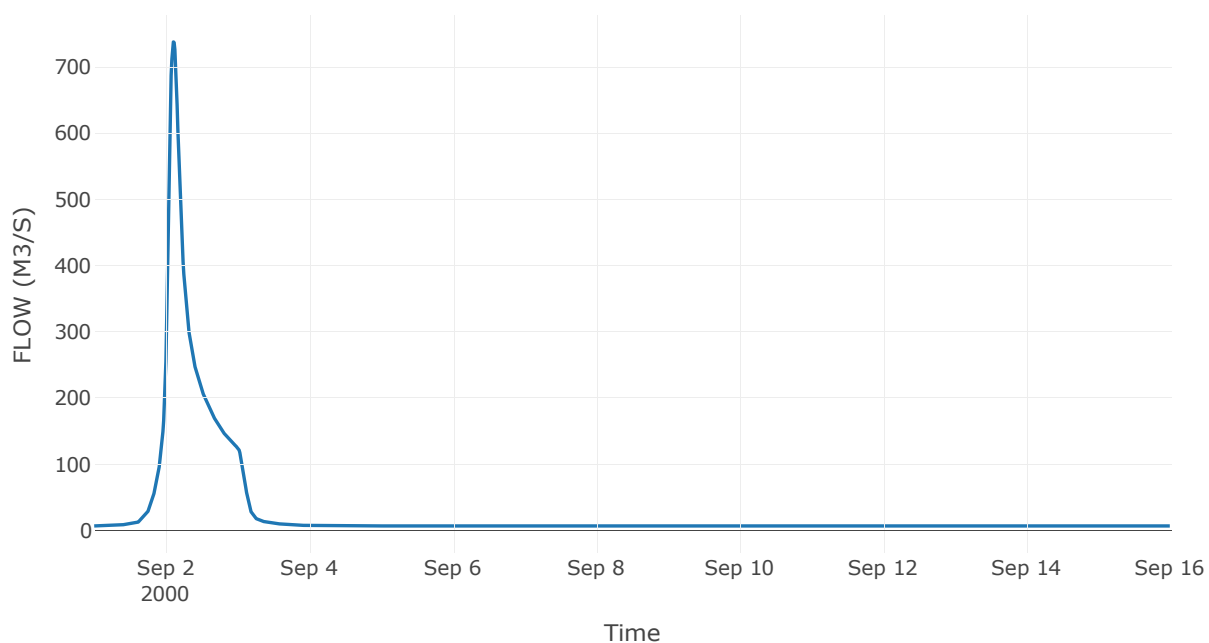
Δεδομένα και υδρογραφήματα σχεδιασμού Κόμβων υδρογραφικού δικτύου

Κόμβος εξόδου: J1

Αποτέλεσμα
τα: J1

Παροχή αιχμής (M3/S)	737.42
Χρονική στιγμή αιχμής	02Sep2000, 02:30
Όγκος (MM)	150.14

Απορροή



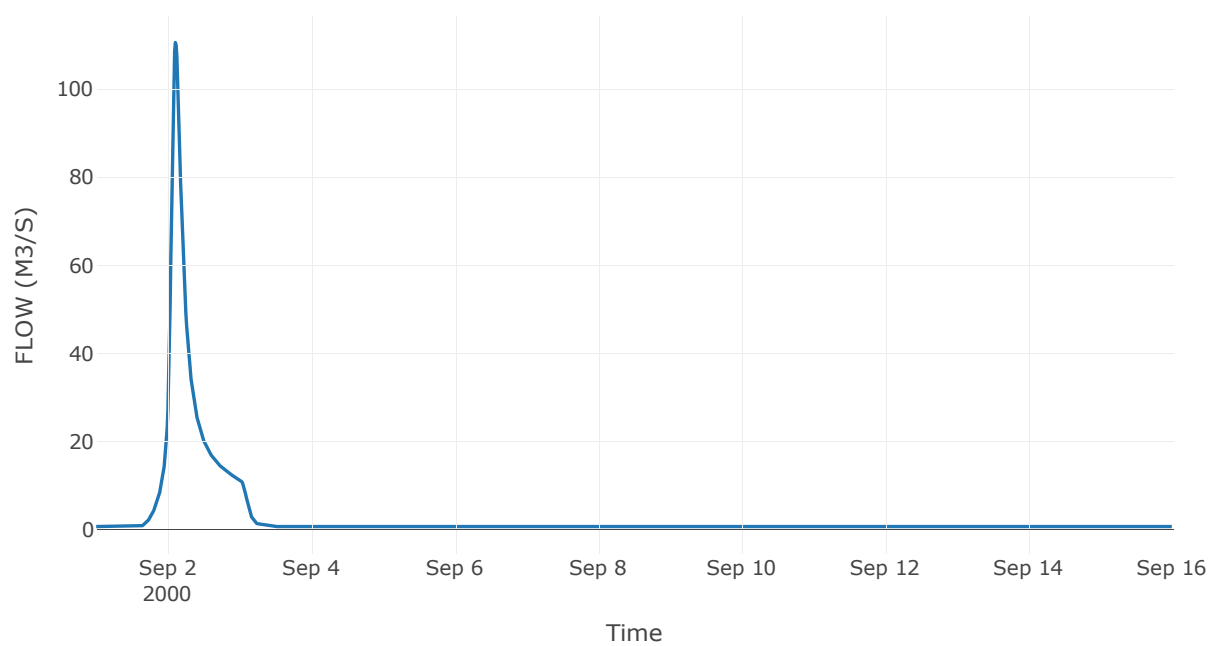
Κόμβος: J2

Κατάντη : R21

Αποτελέσματα: J2

Παροχή Αιχμής(M3/S)	110.56
Χρονική στιγμή αιχμής	02Sep2000, 02:30
Όγκος(MM)	149.18

Απορροή



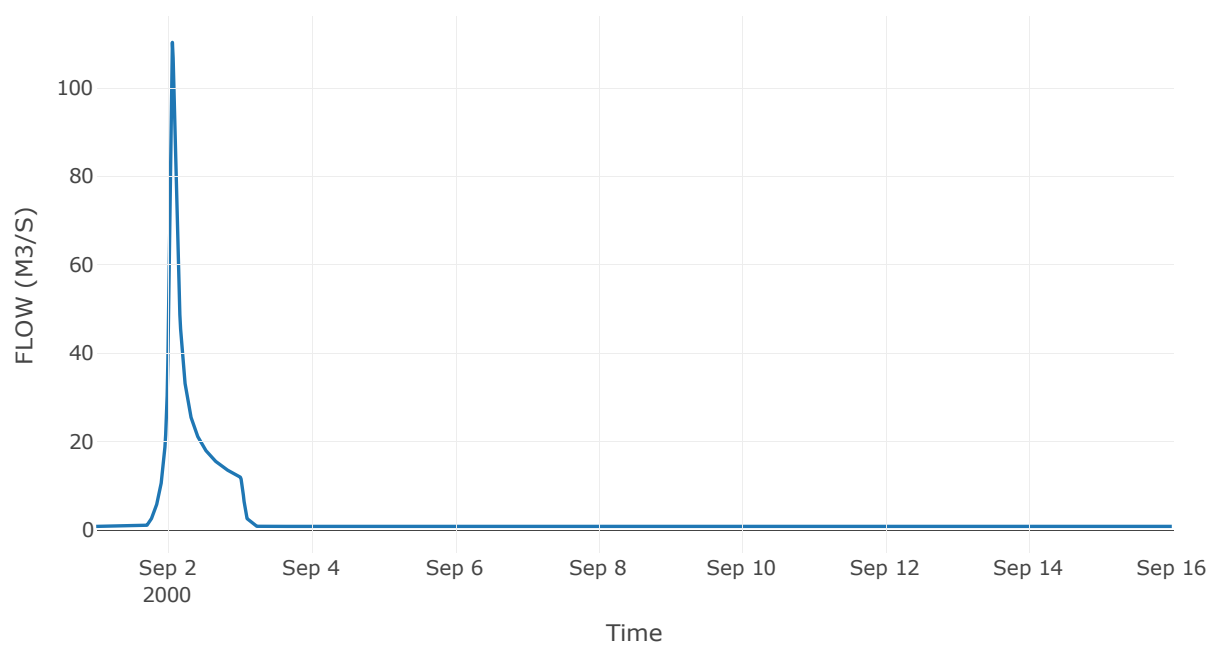
Κόμβος: J3

Κατάντη : R31

Αποτελέσματα: J3

Παροχή Αιχμής(M3/S)	110.25
Χρονική στιγμή αιχμής	02Sep2000, 01:30
Όγκος(MM)	128.46

Απορροή



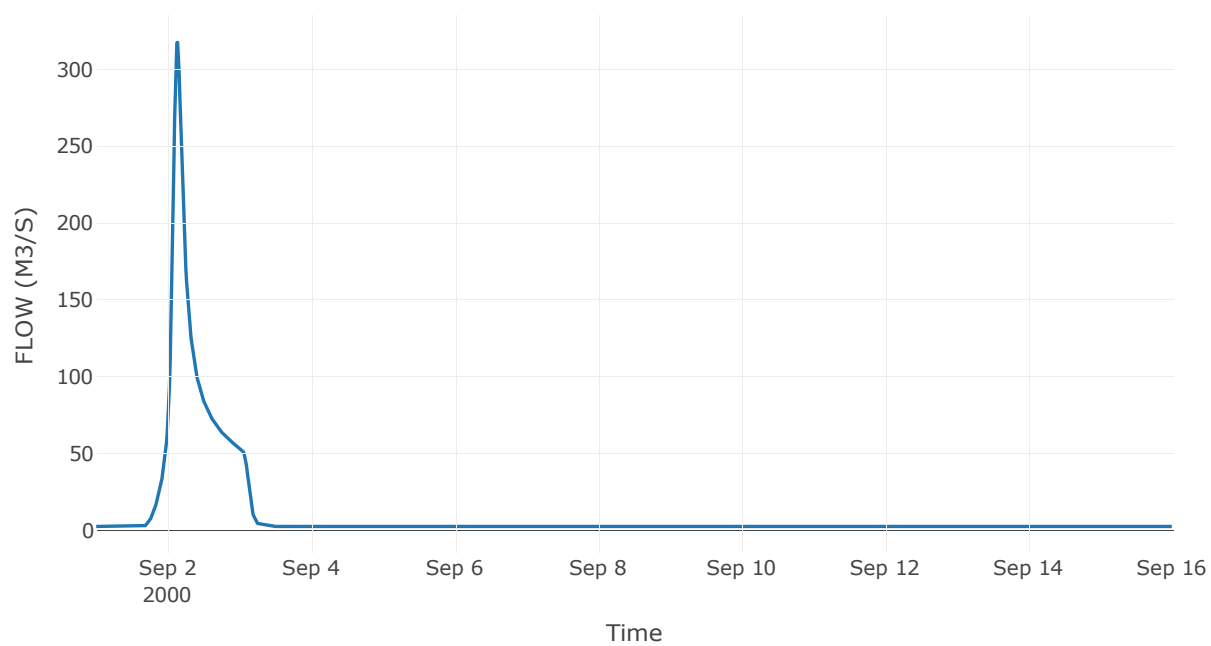
Κόμβος: J4

Κατάντη : R41

Αποτελέσματα: J4

Παροχή Αιχμής(M3/S)	317.53
Χρονική στιγμή αιχμής	02Sep2000, 03:15
Όγκος(MM)	147.2

Απορροή



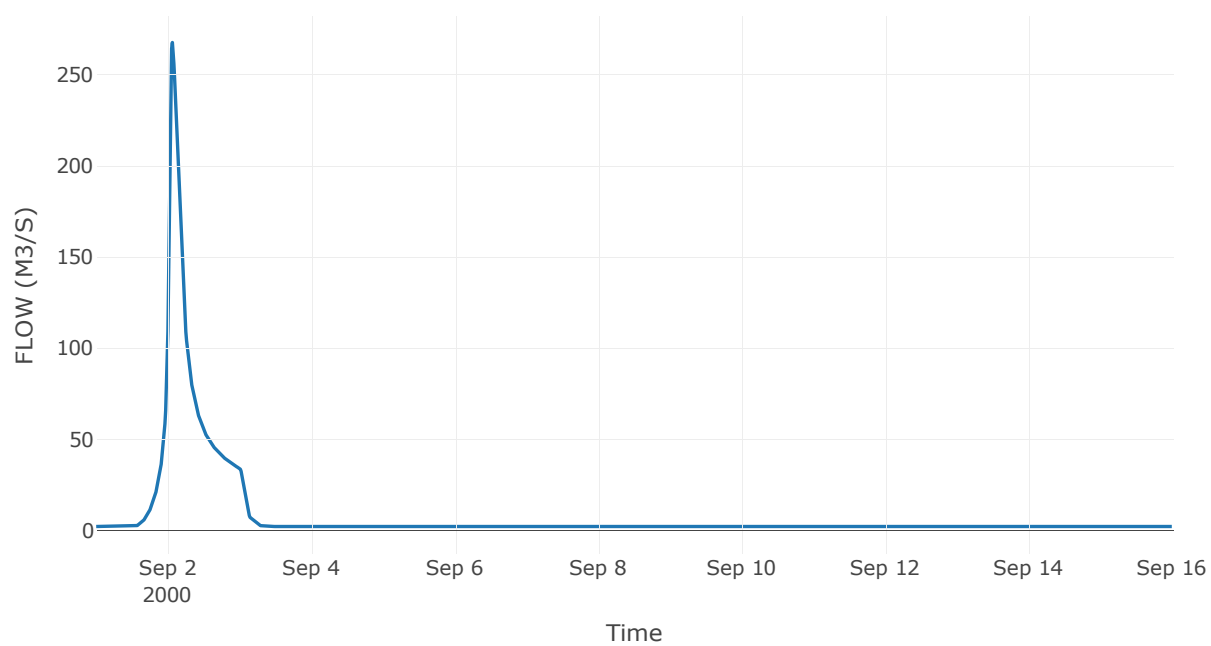
Κόμβος: J5

Κατάντη : R51

Αποτελέσματα: J5

Παροχή Αιχμής(M3/S)	267.82
Χρονική στιγμή αιχμής	02Sep2000, 01:30
Όγκος(MM)	146.11

Απορροή

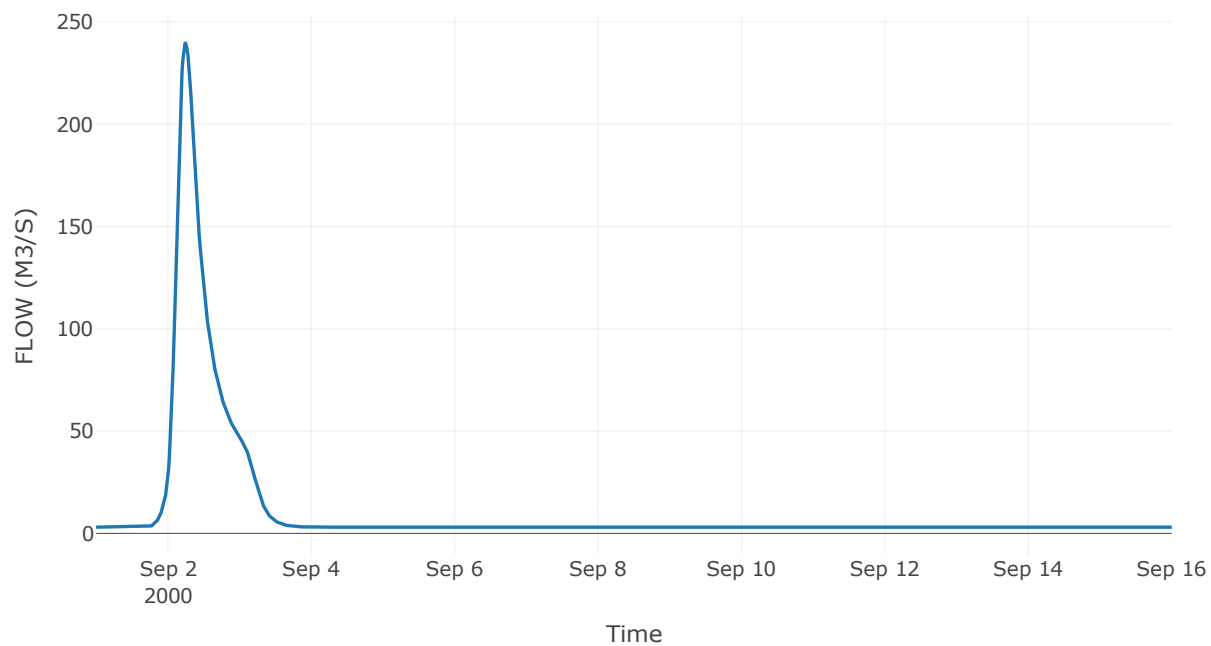


Κόμβος εξόδου: J6

Αποτελέσματα: J6

Παροχή Αιχμής(M3/S)	239.59
Χρονική στιγμή αιχμής	02Sep2000, 05:45
Όγκος(MM)	138.15

Απορροή



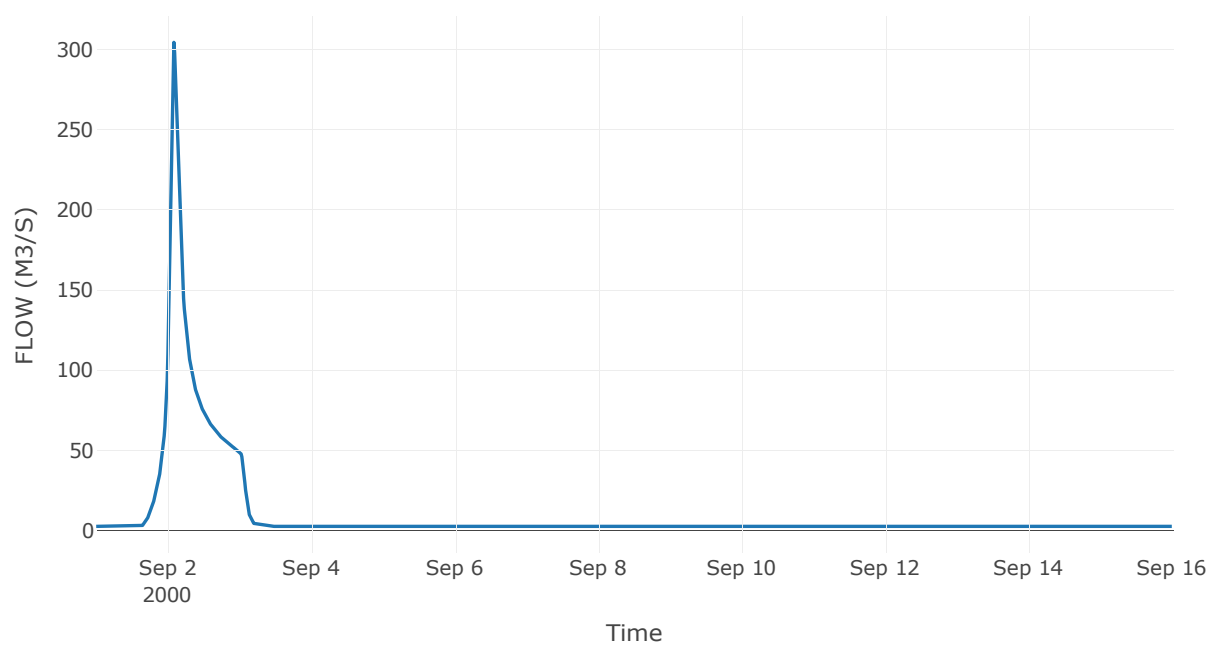
Κόμβος: J7

Κατάντη : R74

Αποτελέσματα: J7

Παροχή Αιχμής(M3/S)	304.62
Χρονική στιγμή αιχμής	02Sep2000, 02:00
Όγκος(MM)	147.81

Απορροή



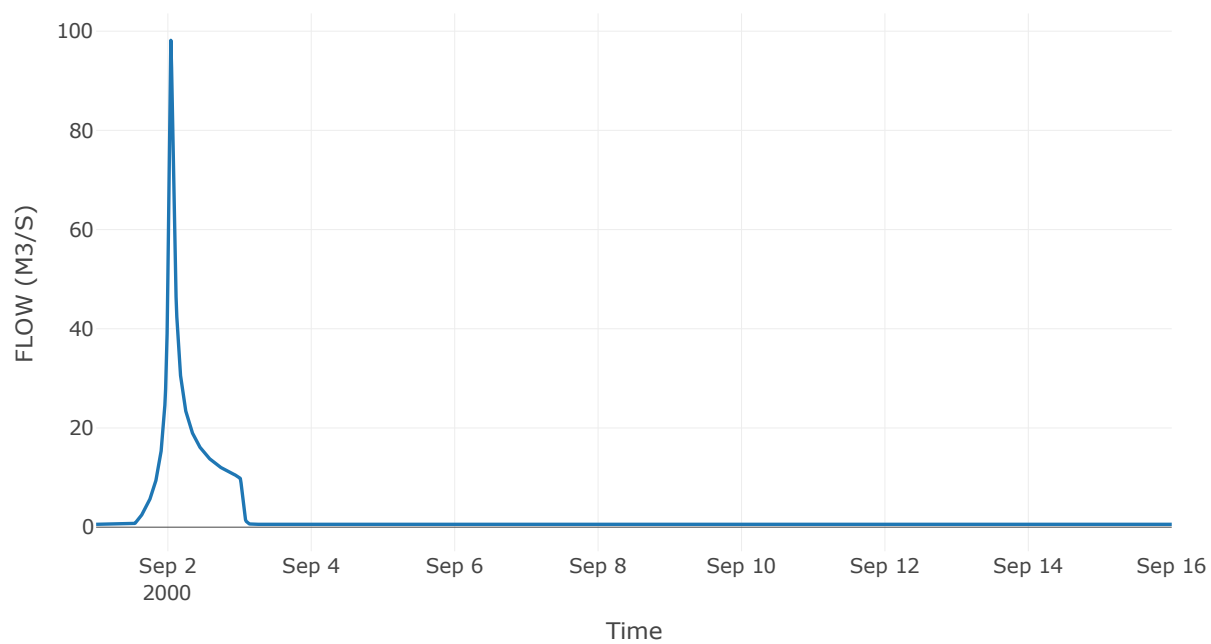
Κόμβος: J8

Κατάντη : R85

Αποτελέσματα: J8

Παροχή Αιχμής(M3/S)	98.16
Χρονική στιγμή αιχμής	02Sep2000, 01:00
Όγκος(MM)	152.89

Απορροή



Κόμβος: J9

Κατάντη : R95

Αποτελέσματα: J9

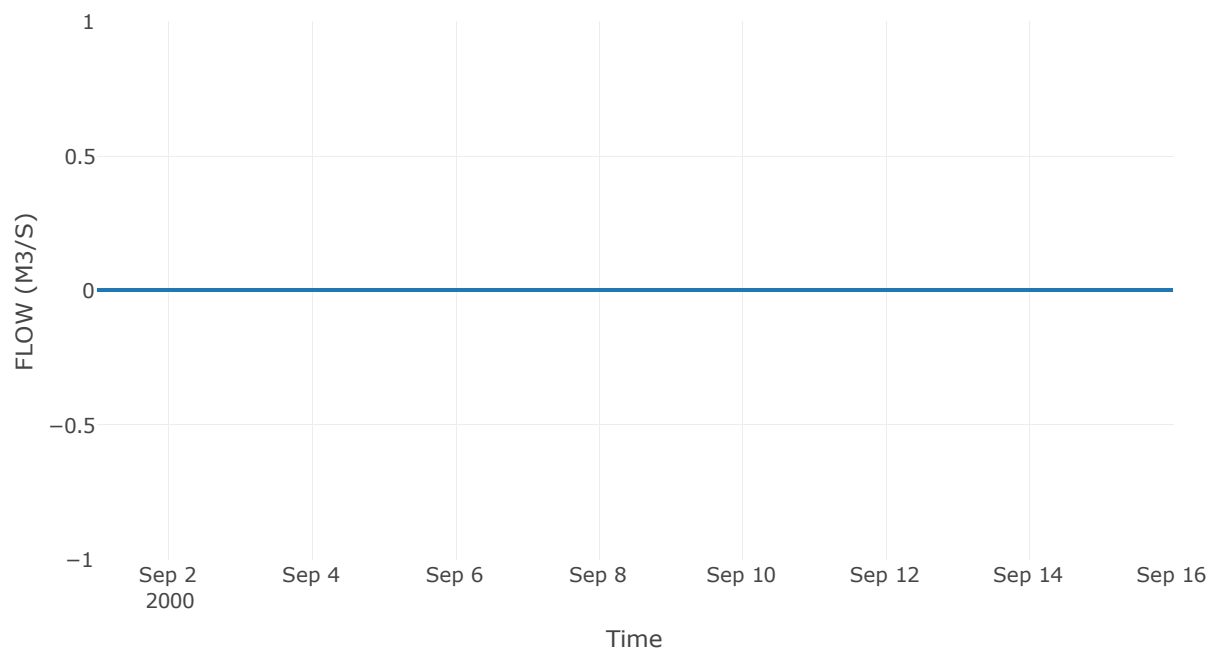
Παροχή Αιχμής(M3/S)

0

Χρονική στιγμή αιχμής

31Aug2000, 24:00

Απορροή

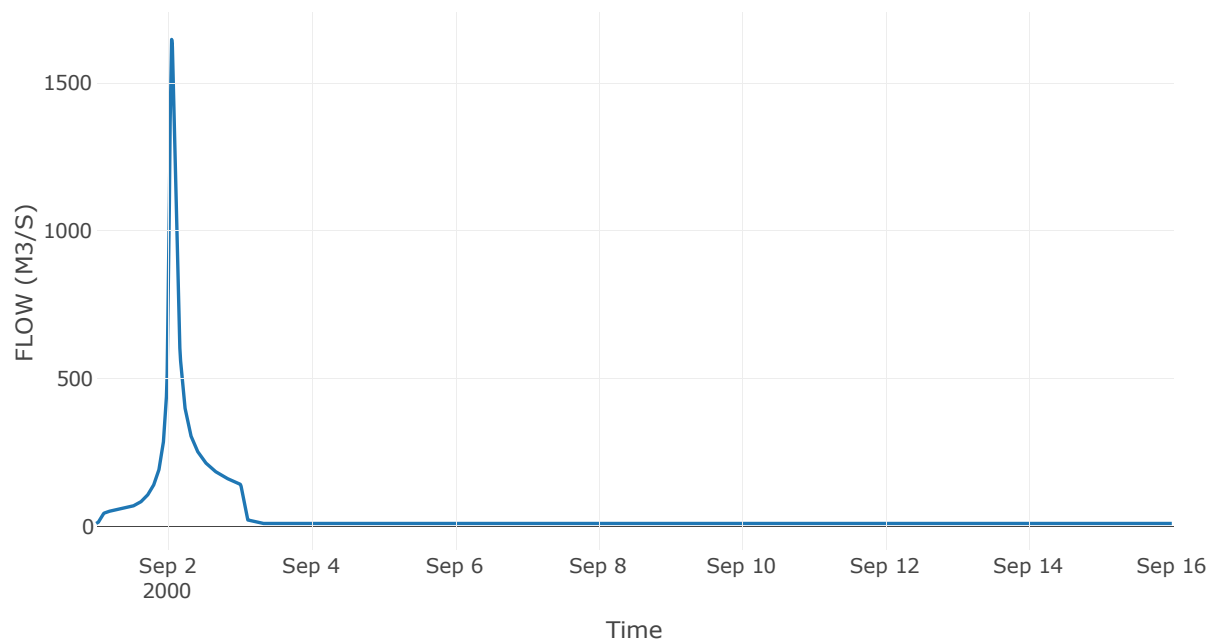


Κόμβος εξόδου: J10

Αποτελέσματ
α: J10

Παροχή αιχμής (M3/S)	1647.74
Χρονική στιγμή αιχμής	02Sep2000, 01:15
Όγκος (MM)	147.1

Απορροή



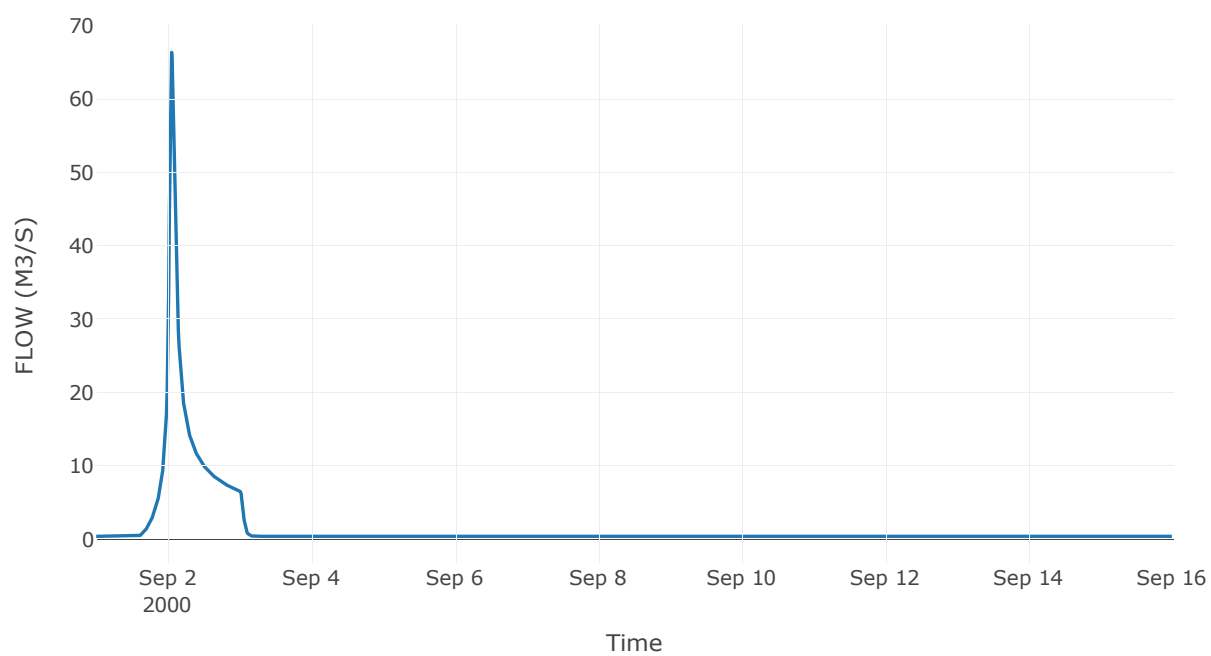
Κόμβος: J11

Κατάντη : R1110

Αποτελέσματα: J11

Παροχή Αιχμής(M3/S)	66.36
Χρονική στιγμή αιχμής	02Sep2000, 01:15
Όγκος(MM)	143.62

Απορροή



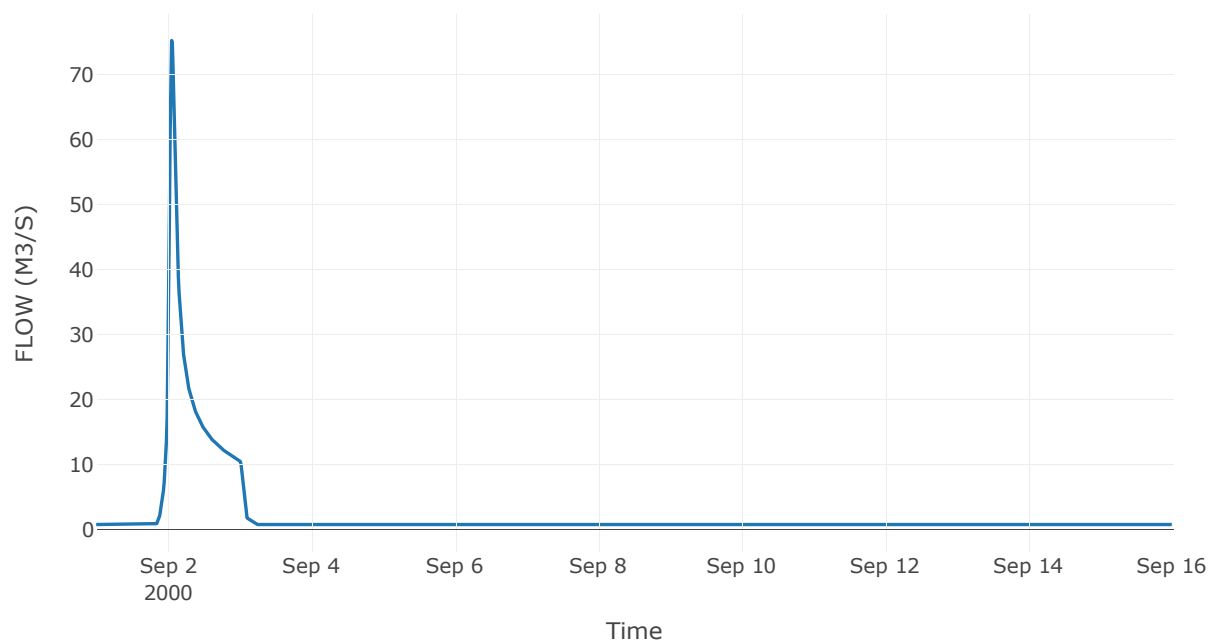
Κόμβος: J12

Κατάντη : R1210

Αποτελέσματα: J12

Παροχή Αιχμής(M3/S)	75.23
Χρονική στιγμή αιχμής	02Sep2000, 01:15
Όγκος(MM)	102.43

Απορροή



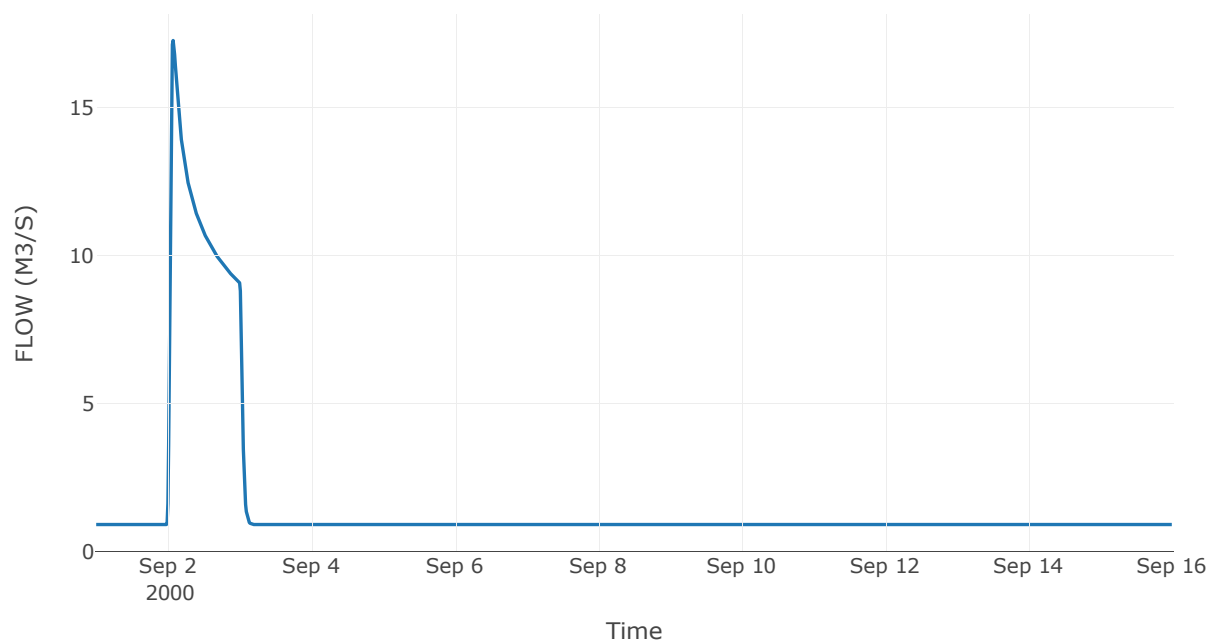
Κόμβος: J13

Κατάντη : R1310

Αποτελέσματα: J13

Παροχή Αιχμής(M3/S)	17.28
Χρονική στιγμή αιχμής	02Sep2000, 01:45
Όγκος(MM)	65.27

Απορροή



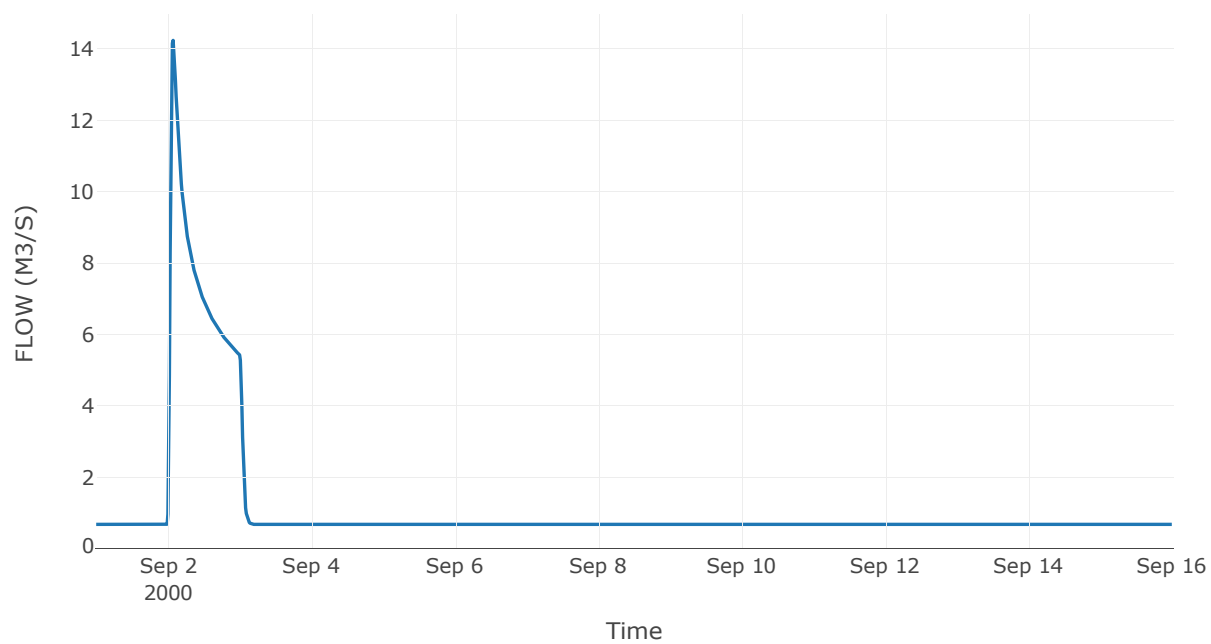
Κόμβος: J14

Κατάντη : R1410

Αποτελέσματα: J14

Παροχή Αιχμής(M3/S)	14.24
Χρονική στιγμή αιχμής	02Sep2000, 01:45
Όγκος(MM)	61.54

Απορροή



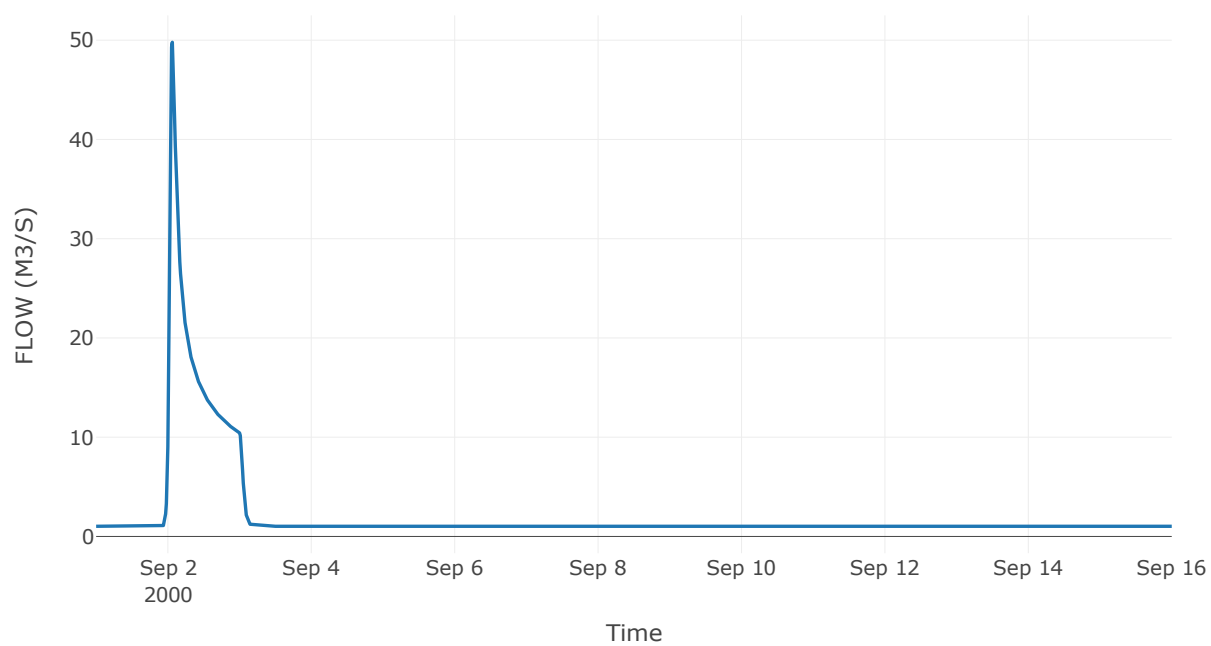
Κόμβος: J15

Κατάντη : R1510

Αποτελέσματα: J15

Παροχή Αιχμής(M3/S)	49.79
Χρονική στιγμή αιχμής	02Sep2000, 01:30
Όγκος(MM)	78.83

Απορροή



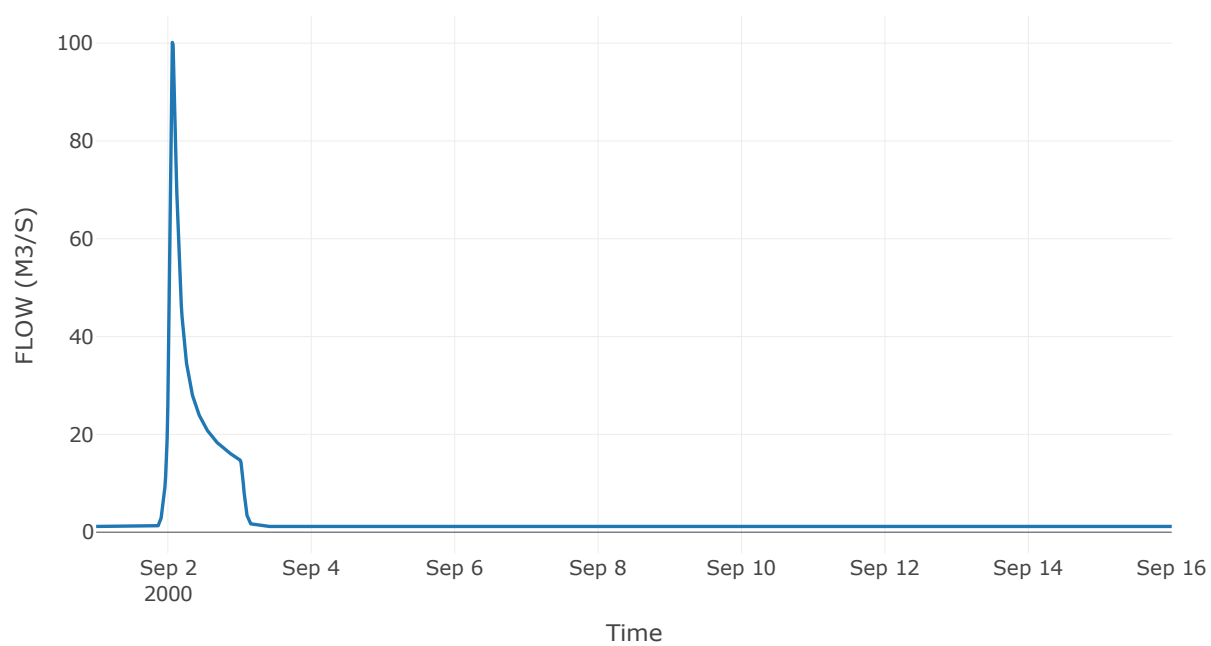
Κόμβος: J16

Κατάντη : R1610

Αποτελέσματα: J16

Παροχή Αιχμής(M3/S)	100.15
Χρονική στιγμή αιχμής	02Sep2000, 01:30
Όγκος(MM)	102.51

Απορροή



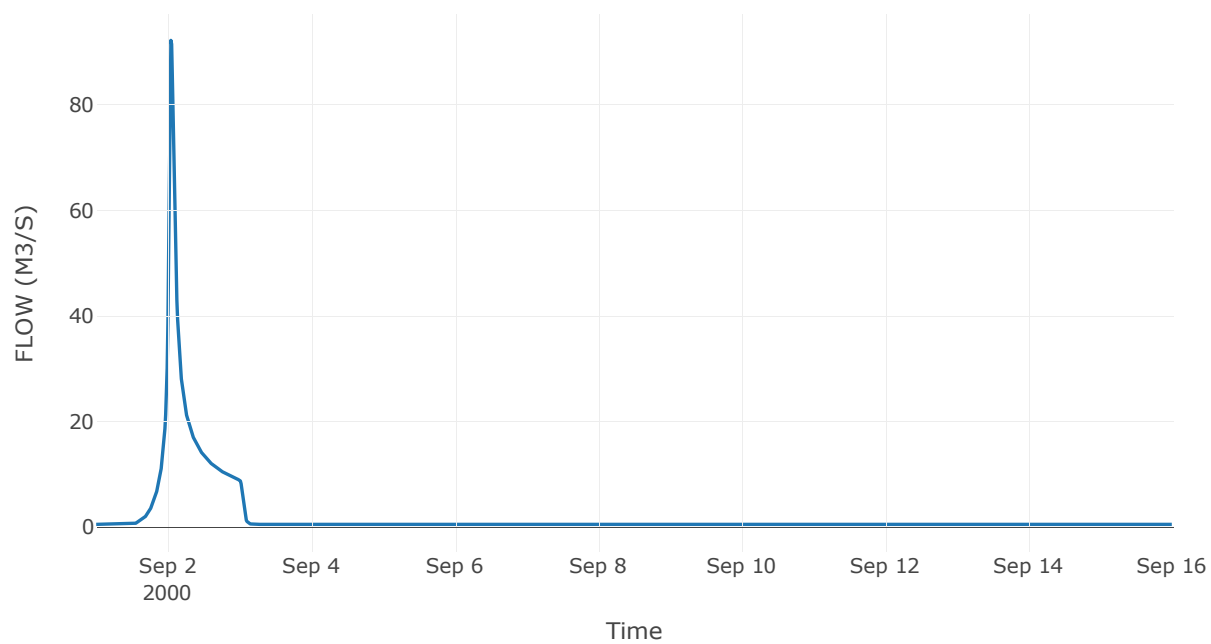
Κόμβος: J17

Κατάντη : R1710

Αποτελέσματα: J17

Παροχή Αιχμής(M3/S)	92.16
Χρονική στιγμή αιχμής	02Sep2000, 01:00
Όγκος(MM)	145.28

Απορροή



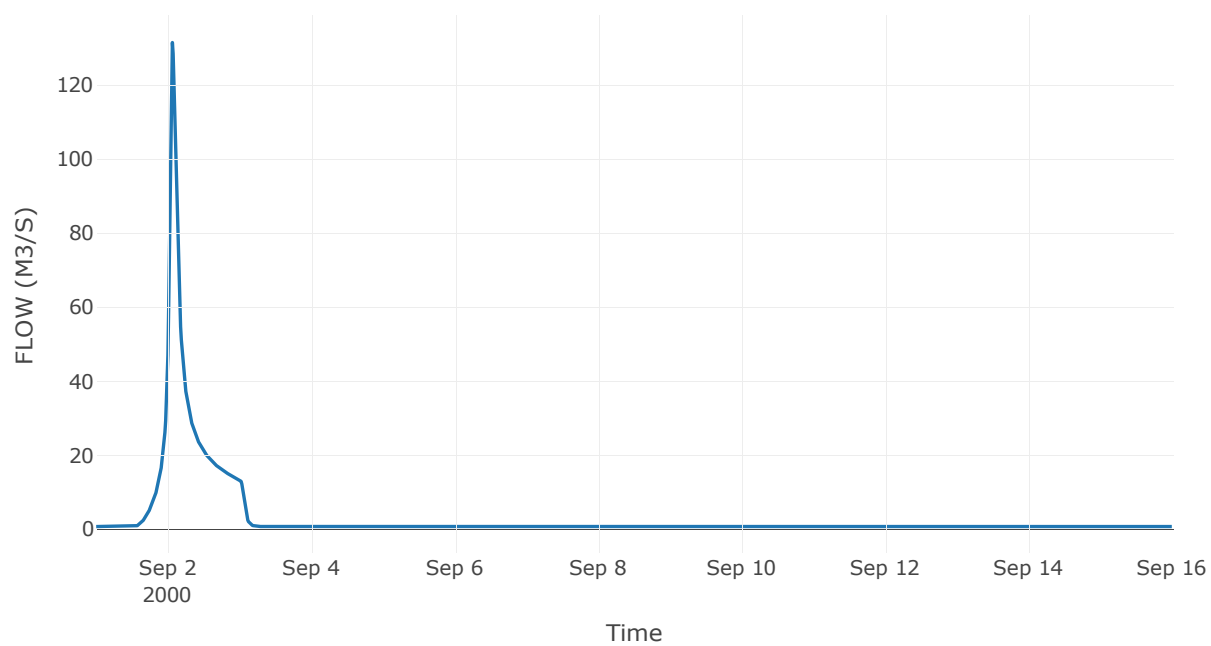
Κόμβος: J18

Κατάντη : R1810

Αποτελέσματα: J18

Παροχή Αιχμής(M3/S)	131.5
Χρονική στιγμή αιχμής	02Sep2000, 01:30
Όγκος(MM)	153.23

Απορροή



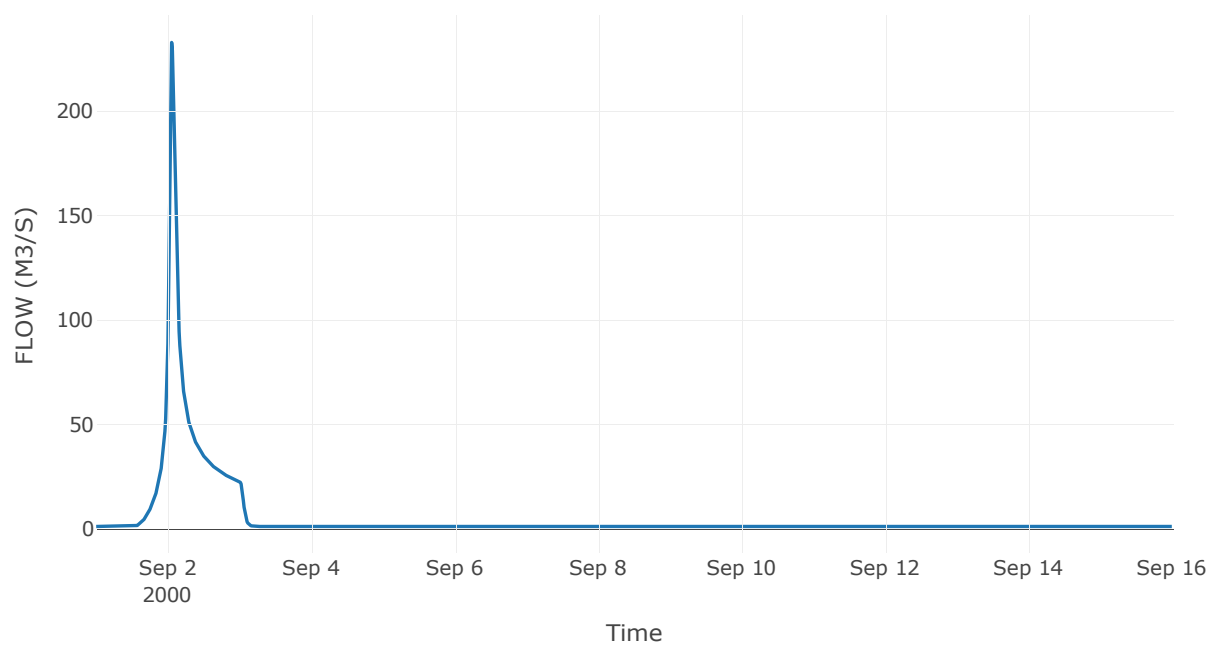
Κόμβος: J19

Κατάντη : R1910

Αποτελέσματα: J19

Παροχή Αιχμής(M3/S)	232.69
Χρονική στιγμή αιχμής	02Sep2000, 01:15
Όγκος(MM)	149.58

Απορροή



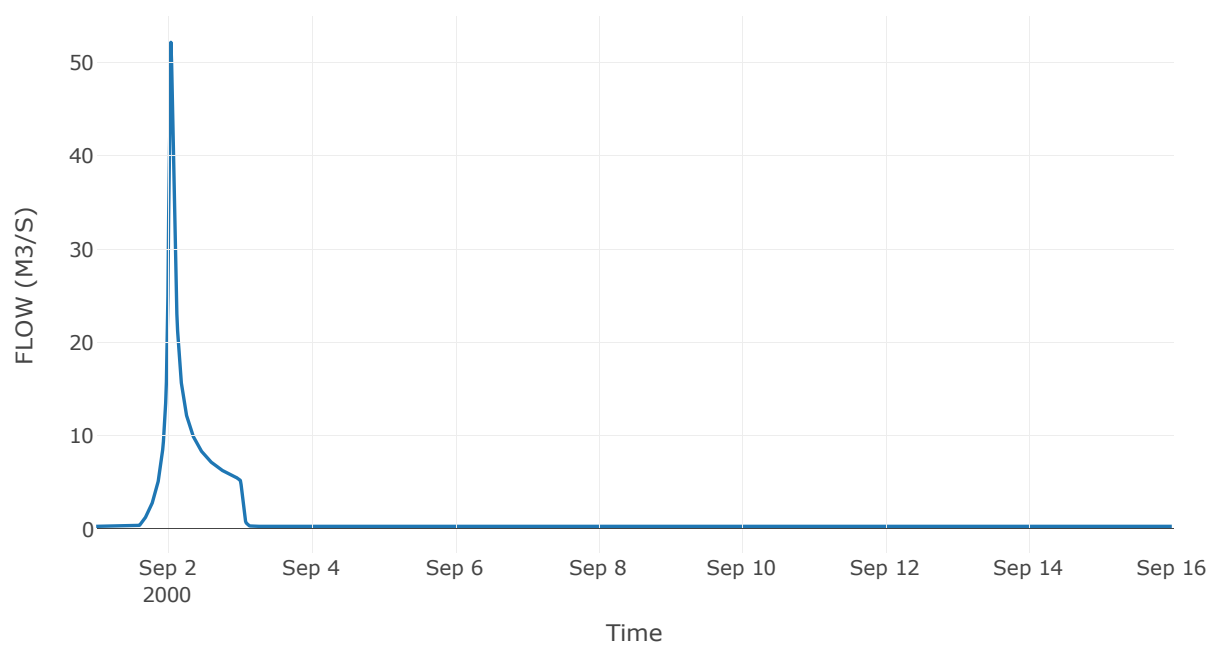
Κόμβος: J20

Κατάντη : R2011

Αποτελέσματα: J20

Παροχή Αιχμής(M3/S)	52.17
Χρονική στιγμή αιχμής	02Sep2000, 01:00
Όγκος(MM)	146.41

Απορροή



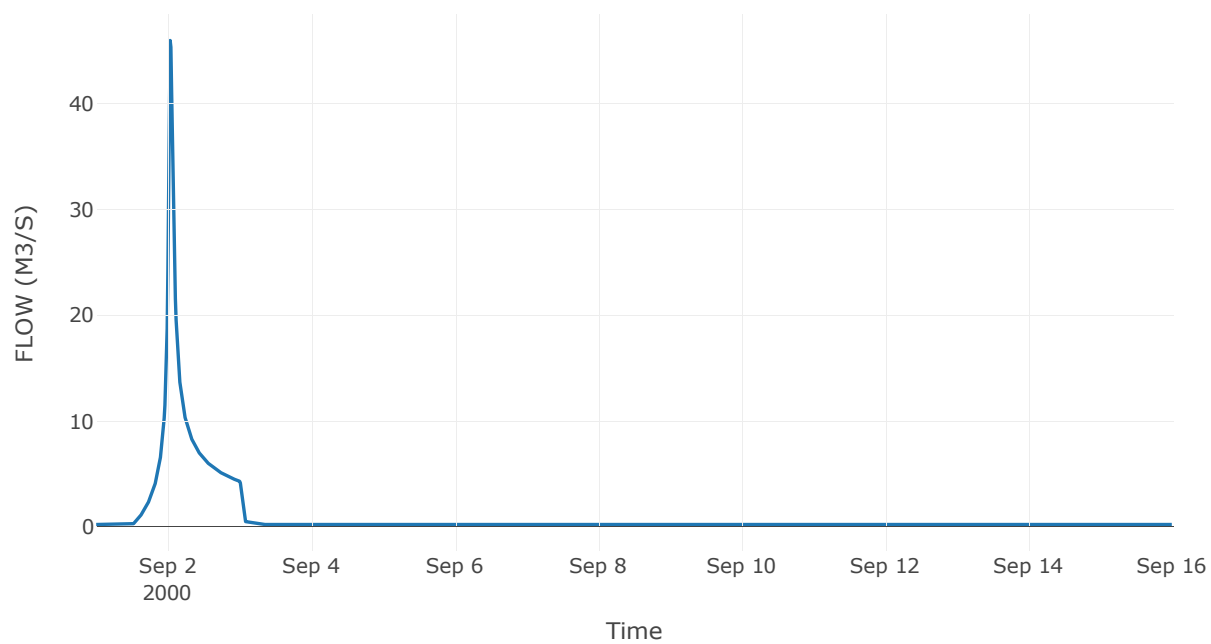
Κόμβος: J21

Κατάντη : R2117

Αποτελέσματα: J21

Παροχή Αιχμής(M3/S)	45.96
Χρονική στιγμή αιχμής	02Sep2000, 00:45
Όγκος(MM)	160.5

Απορροή



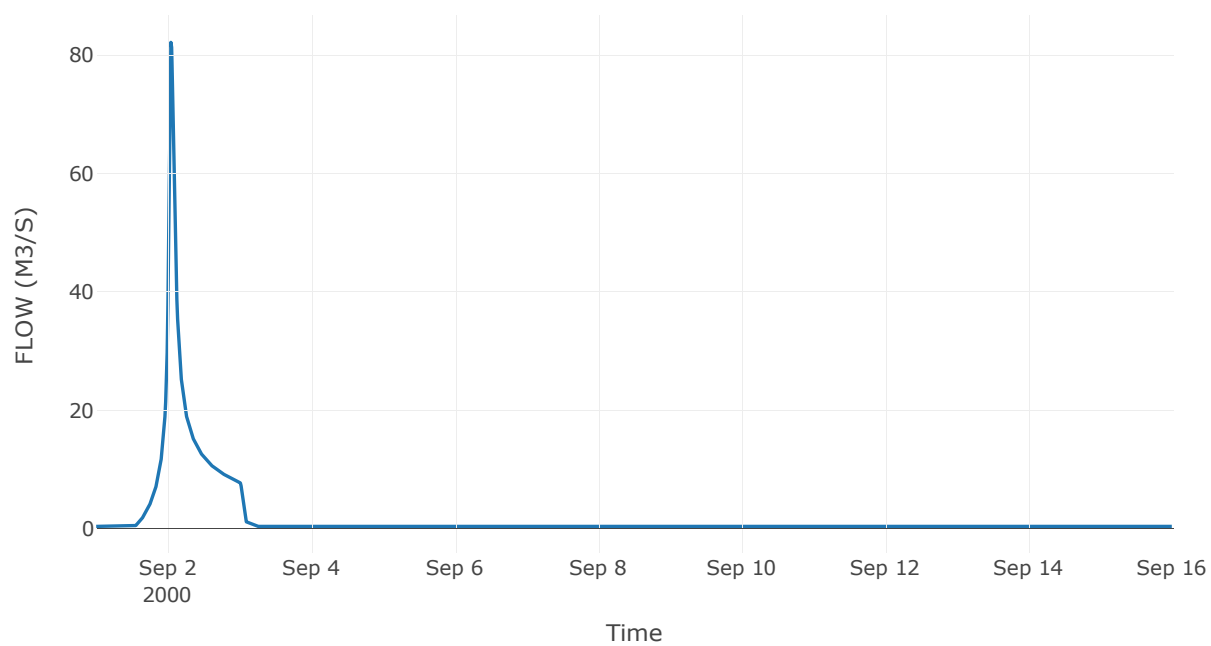
Κόμβος: J22

Κατάντη : R2218

Αποτελέσματα: J22

Παροχή Αιχμής(M3/S)	82.16
Χρονική στιγμή αιχμής	02Sep2000, 01:00
Όγκος(MM)	156.27

Απορροή



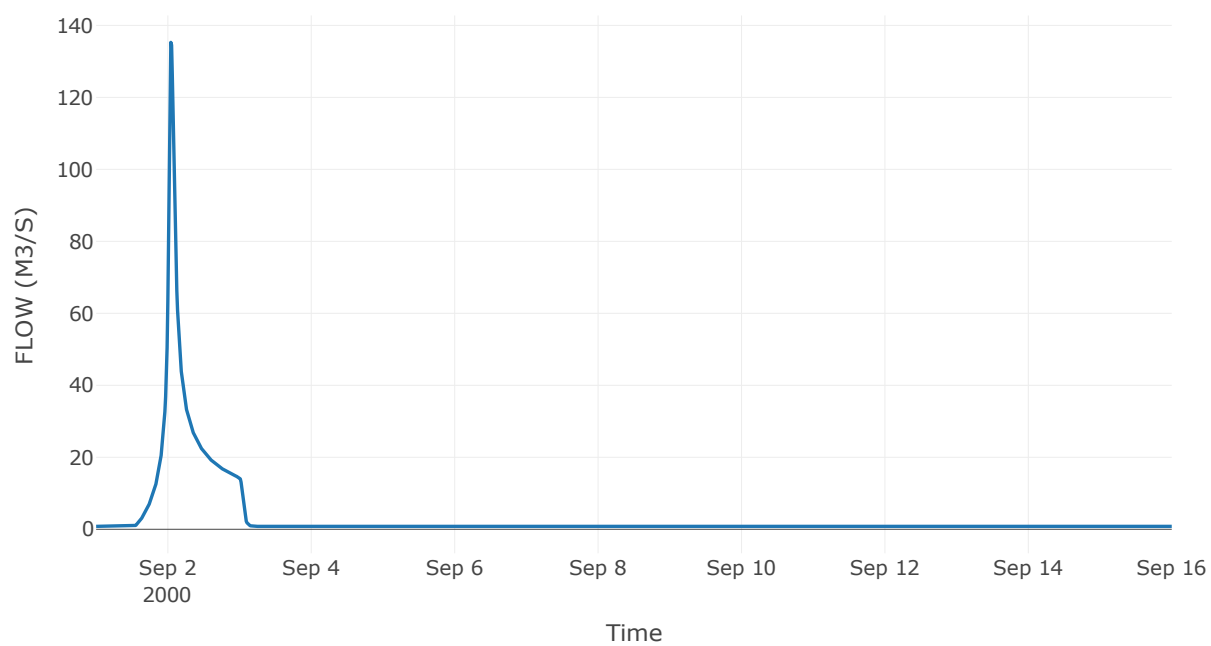
Κόμβος: J23

Κατάντη : R2319

Αποτελέσματα: J23

Παροχή Αιχμής(M3/S)	135.29
Χρονική στιγμή αιχμής	02Sep2000, 01:00
Όγκος(MM)	154.27

Απορροή



7. Δεδομένα εισόδου και αποτελέσματα υδρολογικού σεναρίου T=100U

7.1 Αποτελέσματα, υετογραφήματα και υδρογραφήματα σχεδιασμού υπολεκανών

Υπολεκάνη: EL0415FL5001

Έκταση (KM2) : 13.05

Κατάνη : J1

Μέθοδος Απωλειών: SCS

Ποσοστό αδιαπέρατης επιφάνειας	100
Αριθμός Καμπύλης Απορροής-CN	99
Αρχικές Απώλειες	0.09

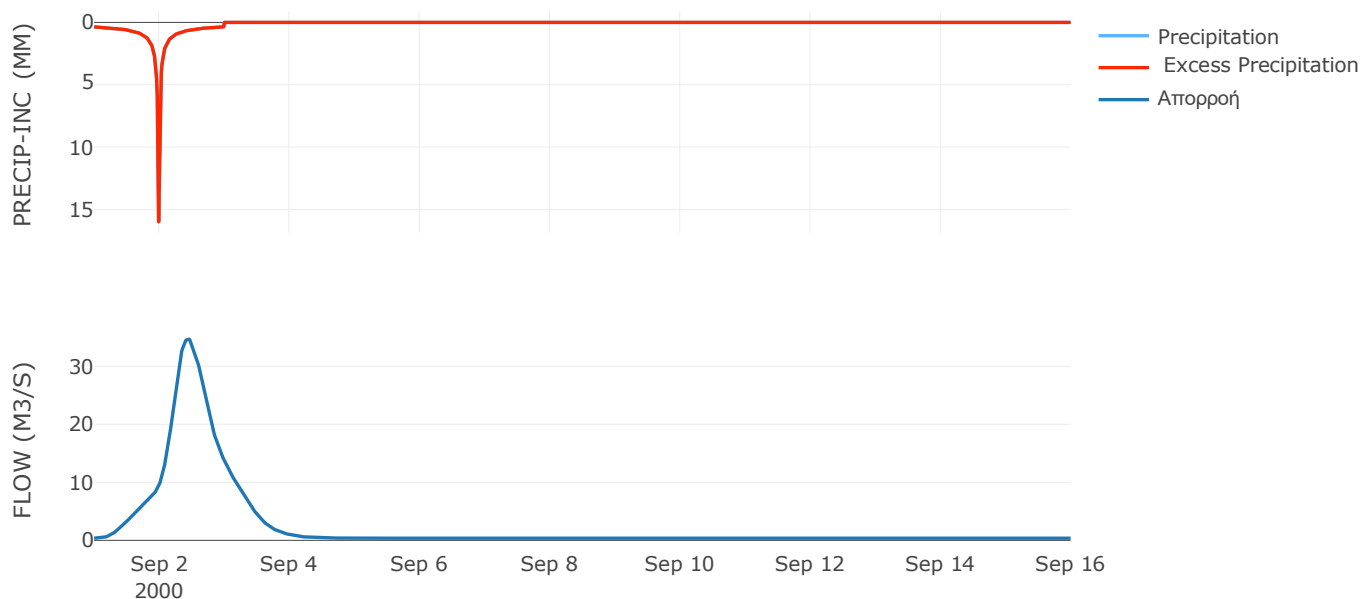
Μέθοδος
Μετασχηματισμού: SCS

Χρόνος Υστέρησης	621.99
------------------	--------

Αποτελέσματα:
EL0415FL5001

Παροχή αιχμής (M3/S)	34.71
Χρονική στιγμή αιχμής	02Sep2000, 10:45
Όγκος (MM)	247.97
Όγκος βροχόπτωσης (M3)	2.76E6
Όγκος απωλειών (M3)	0
Ενεργός Όγκος (M3)	2.76E6
Όγκος άμεσης απορροής (M3)	2.76E6
Όγκος βασικής απορροής (M3)	4.73E5

Βροχόπτωση και Απορροή



Υπολεκάνη: EL0415FL5002

Έκταση (KM2) : 107.53

Κατάντη : J6

Μέθοδος Απωλειών: SCS

Ποσοστό αδιαπέρατης επιφάνειας	0
Αριθμός Καμπύλης Απορροής-CN	90.67
Αρχικές Απώλειες	5.23

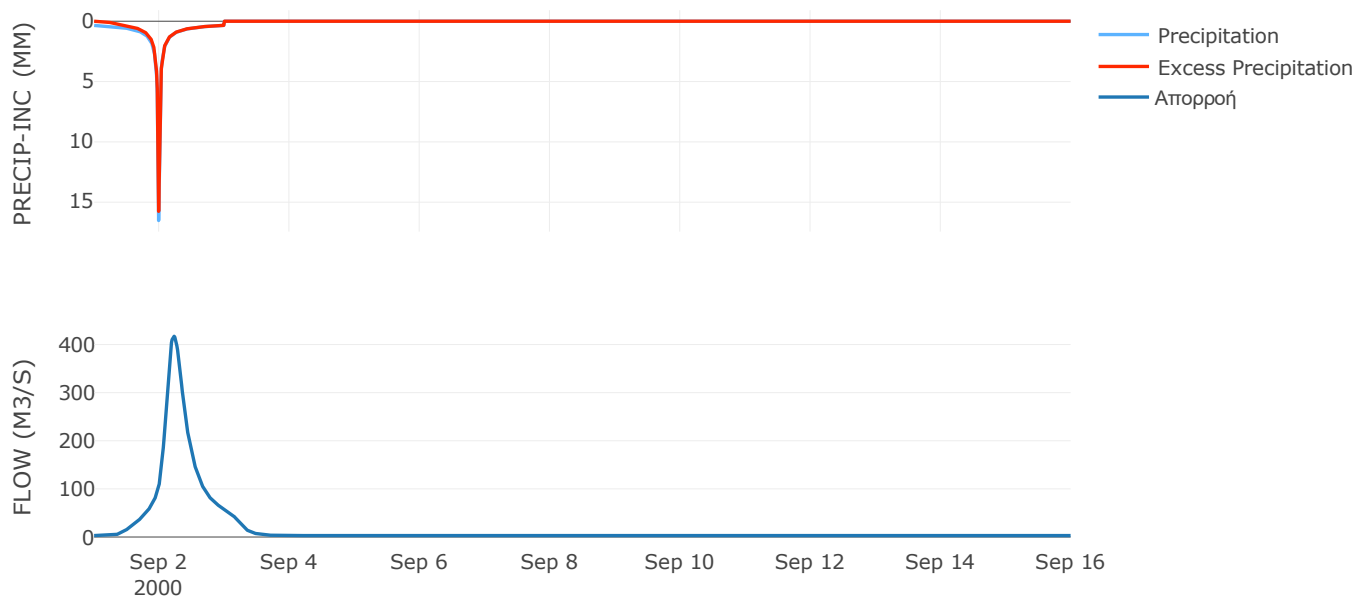
Μέθοδος
Μετασχηματισμού: SCS

Χρόνος Υστέρησης	311.03
------------------	--------

Αποτελέσματα:
EL0415FL5002

Παροχή αιχμής (M3/S)	417.12
Χρονική στιγμή αιχμής	02Sep2000, 05:30
Όγκος (MM)	218.49
Όγκος βροχόπτωσης (M3)	2.26E7
Όγκος απωλειών (M3)	3.06E6
Ενεργός Όγκος (M3)	1.96E7
Όγκος άμεσης απορροής (M3)	1.96E7
Όγκος βασικής απορροής (M3)	3.9E6

Βροχόπτωση και Απορροή



Υπολεκάνη: EL0415FL5003

Έκταση (KM2) : 28.37

Κατάντη : J2

Μέθοδος Απωλειών: SCS

Ποσοστό αδιαπέρατης επιφάνειας	0
Αριθμός Καμπύλης Απορροής-CN	91.55
Αρχικές Απώλειες	4.69

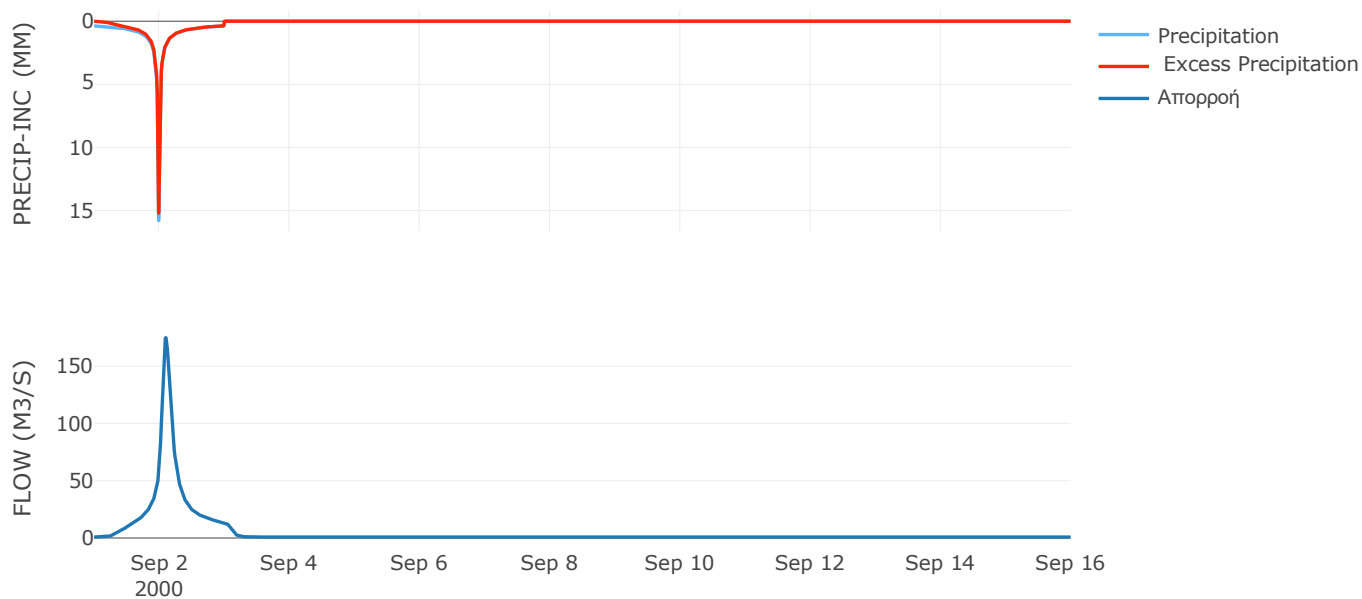
Μέθοδος
Μετασχηματισμού: SCS

Χρόνος Υστέρησης	139.35
------------------	--------

Αποτελέσματα:
EL0415FL5003

Παροχή αιχμής (M3/S)	174.73
Χρονική στιγμή αιχμής	02Sep2000, 02:30
Όγκος (MM)	225.58
Όγκος βροχόπτωσης (M3)	6.1E6
Όγκος απωλειών (M3)	7.31E5
Ενεργός Όγκος (M3)	5.37E6
Όγκος άμεσης απορροής (M3)	5.37E6
Όγκος βασικής απορροής (M3)	1.03E6

Βροχόπτωση και Απορροή



Υπολεκάνη: EL0415FL5004

Έκταση (KM2) : 30.04

Κατάντη : J3

Μέθοδος Απωλειών: SCS

Ποσοστό αδιαπέρατης επιφάνειας	0
Αριθμός Καμπύλης Απορροής-CN	88.33
Αρχικές Απώλειες	6.71

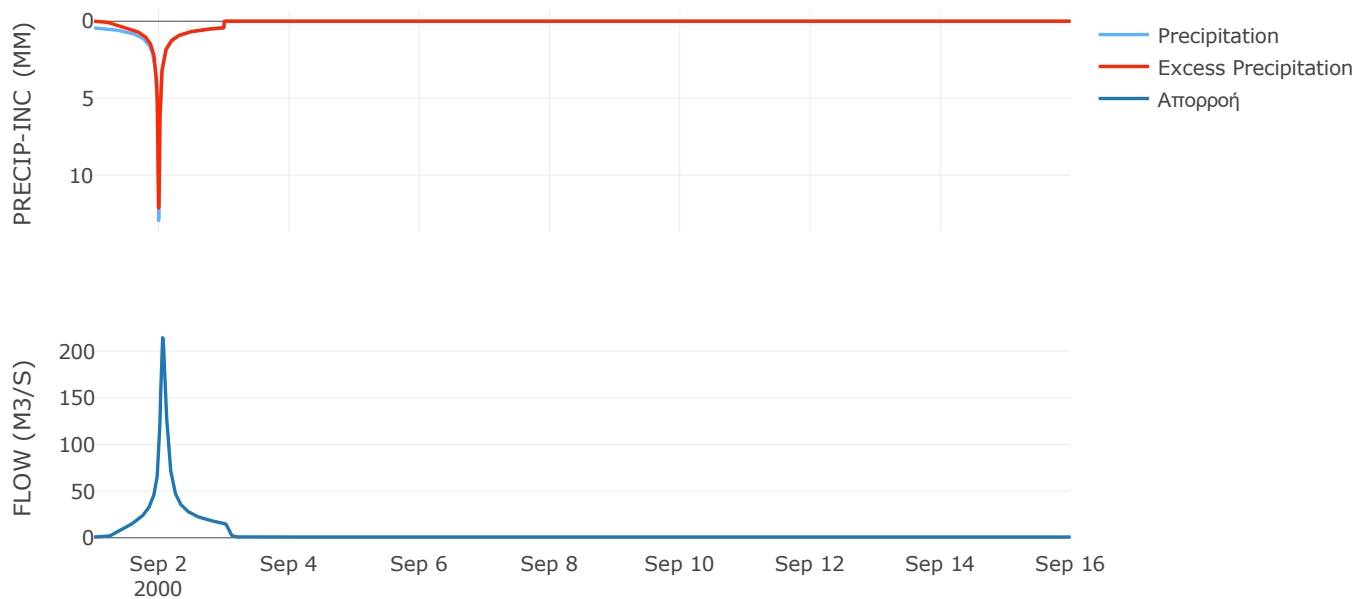
Μέθοδος
Μετασχηματισμού: SCS

Χρόνος Υστέρησης	76.76
------------------	-------

Αποτελέσματα:
EL0415FL5004

Παροχή αιχμής (M3/S)	214.41
Χρονική στιγμή αιχμής	02Sep2000, 01:15
Όγκος (MM)	221.47
Όγκος βροχόπτωσης (M3)	6.64E6
Όγκος απωλειών (M3)	1.07E6
Ενεργός Όγκος (M3)	5.56E6
Όγκος άμεσης απορροής (M3)	5.56E6
Όγκος βασικής απορροής (M3)	1.09E6

Βροχόπτωση και Απορροή



Υπολεκάνη: EL0415FL5005

Έκταση (KM2) : 15.38

Κατάντη : J5

Μέθοδος Απωλειών: SCS

Ποσοστό αδιαπέρατης επιφάνειας	0
Αριθμός Καμπύλης Απορροής-CN	90.44
Αρχικές Απώλειες	5.37

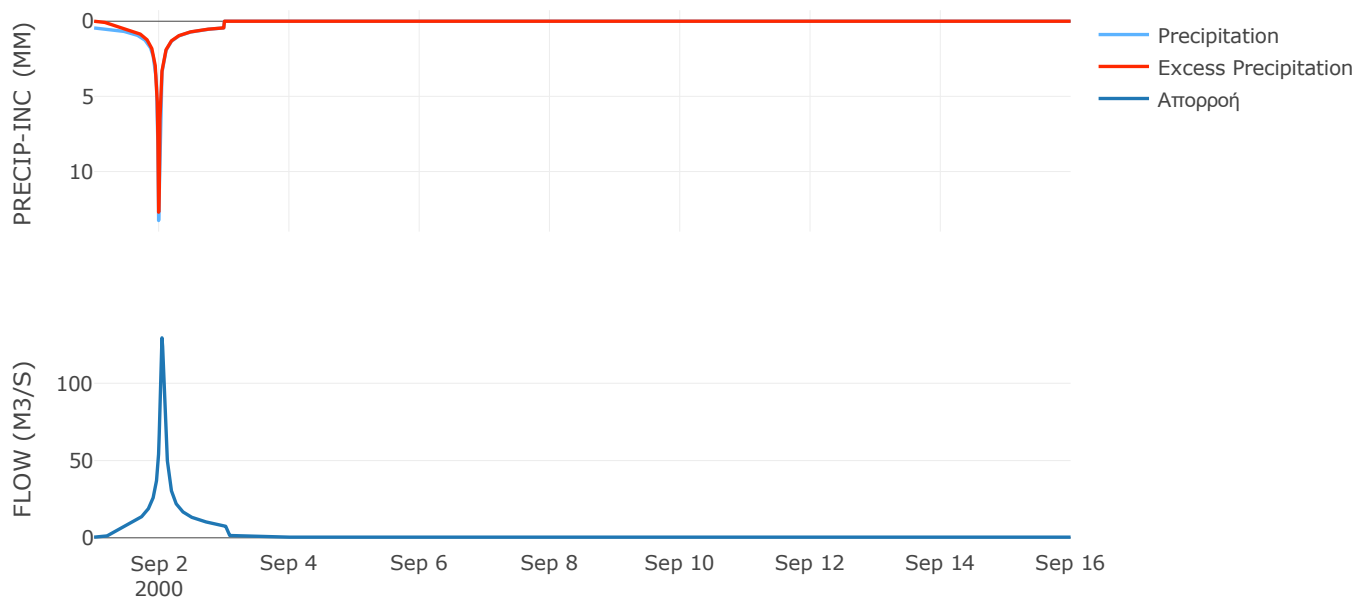
Μέθοδος
Μετασχηματισμού: SCS

Χρόνος Υστέρησης	57.75
------------------	-------

Αποτελέσματα:
EL0415FL5005

Παροχή αιχμής (M3/S)	129.4
Χρονική στιγμή αιχμής	02Sep2000, 01:00
Όγκος (MM)	234.28
Όγκος βροχόπτωσης (M3)	3.5E6
Όγκος απωλειών (M3)	4.51E5
Ενεργός Όγκος (M3)	3.05E6
Όγκος άμεσης απορροής (M3)	3.05E6
Όγκος βασικής απορροής (M3)	5.58E5

Βροχόπτωση και Απορροή



Υπολεκάνη: EL0415FL5006

Έκταση (KM2) : 8.04

Κατάντη : J4

Μέθοδος Απωλειών: SCS

Ποσοστό αδιαπέρατης επιφάνειας	0
Αριθμός Καμπύλης Απορροής-CN	90.48
Αρχικές Απώλειες	5.34

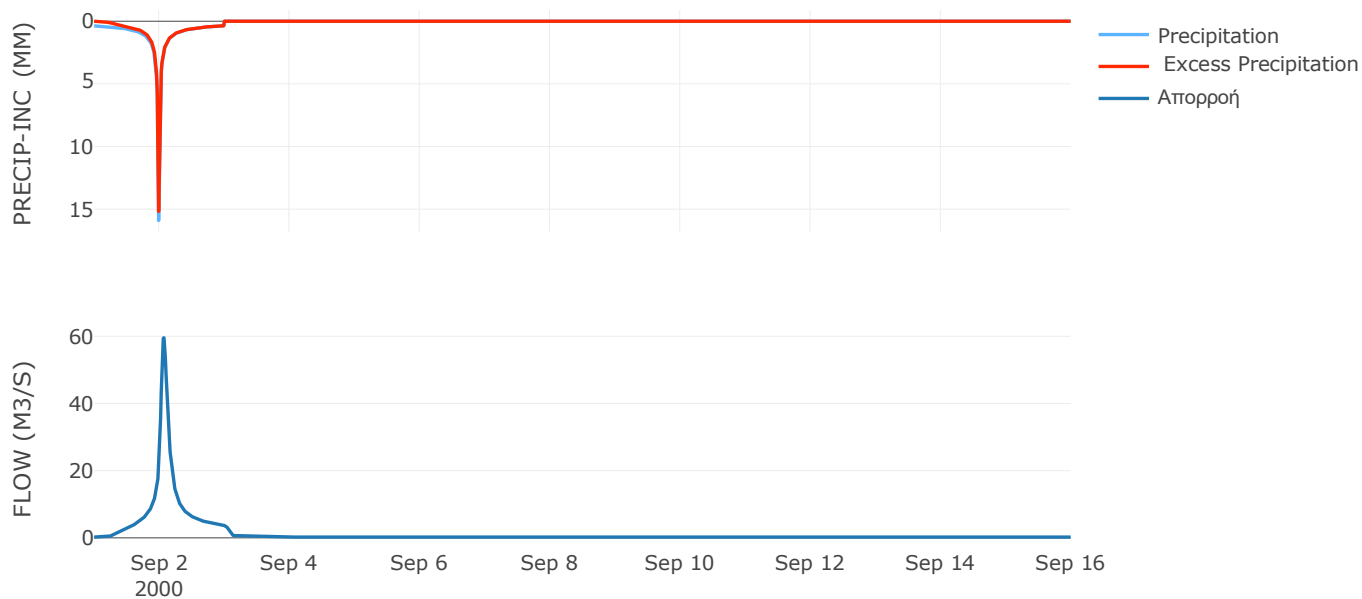
Μέθοδος
Μετασχηματισμού: SCS

Χρόνος Υστέρησης	95.79
------------------	-------

Αποτελέσματα:
EL0415FL5006

Παροχή αιχμής (M3/S)	59.56
Χρονική στιγμή αιχμής	02Sep2000, 01:45
Όγκος (MM)	222.47
Όγκος βροχόπτωσης (M3)	1.73E6
Όγκος απωλειών (M3)	2.34E5
Ενεργός Όγκος (M3)	1.5E6
Όγκος άμεσης απορροής (M3)	1.5E6
Όγκος βασικής απορροής (M3)	2.92E5

Βροχόπτωση και Απορροή



Υπολεκάνη: EL0415FL5007

Έκταση (KM2) : 40.81

Κατάντη : J5

Μέθοδος Απωλειών: SCS

Ποσοστό αδιαπέρατης επιφάνειας	0
Αριθμός Καμπύλης Απορροής-CN	90.3
Αρχικές Απώλειες	5.45

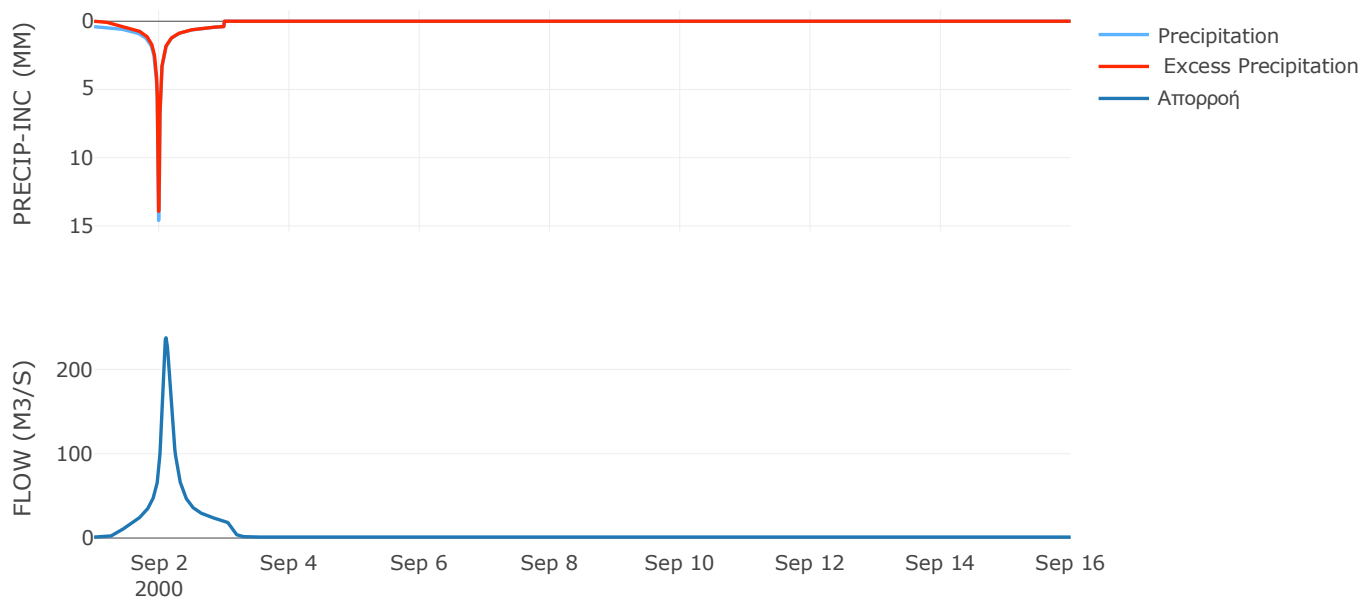
Μέθοδος
Μετασχηματισμού: SCS

Χρόνος Υστέρησης	142.31
------------------	--------

Αποτελέσματα:
EL0415FL5007

Παροχή αιχμής (M3/S)	237.6
Χρονική στιγμή αιχμής	02Sep2000, 02:30
Όγκος (MM)	224.85
Όγκος βροχόπτωσης (M3)	8.91E6
Όγκος απωλειών (M3)	1.21E6
Ενεργός Όγκος (M3)	7.7E6
Όγκος άμεσης απορροής (M3)	7.7E6
Όγκος βασικής απορροής (M3)	1.48E6

Βροχόπτωση και Απορροή



Υπολεκάνη: EL0415FL5008

Έκταση (KM2) : 90.43

Κατάντη : J7

Μέθοδος Απωλειών: SCS

Ποσοστό αδιαπέρατης επιφάνειας	0
Αριθμός Καμπύλης Απορροής-CN	87.11
Αρχικές Απώλειες	7.52

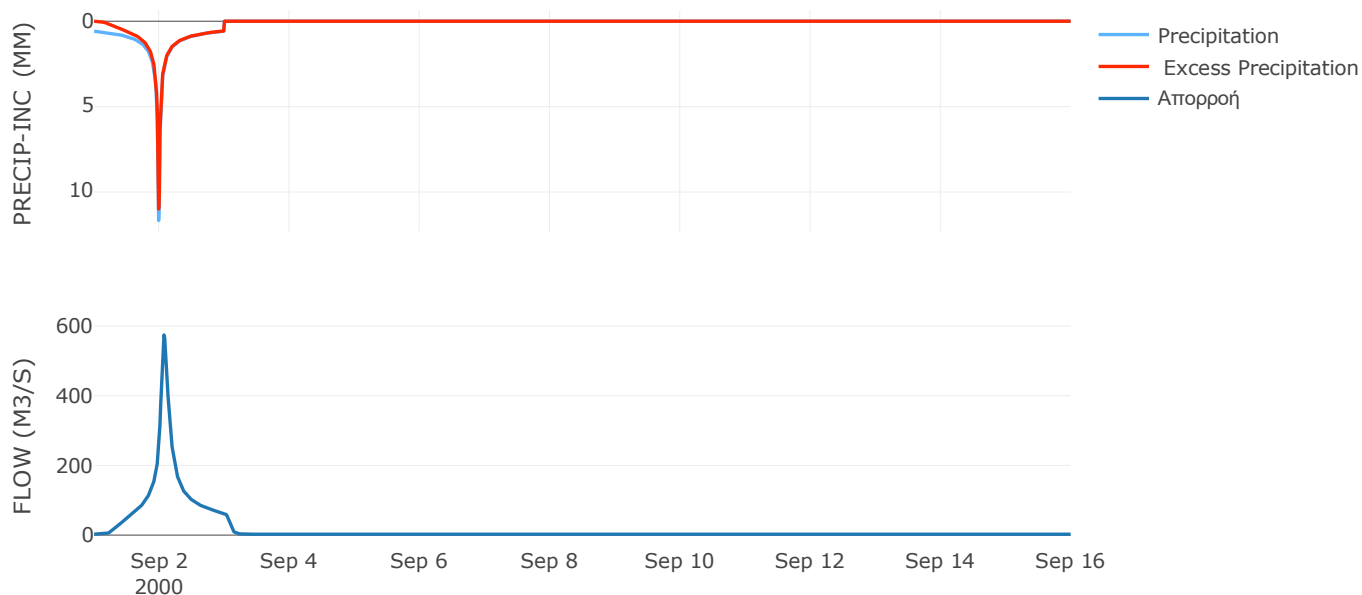
Μέθοδος
Μετασχηματισμού: SCS

Χρόνος Υστέρησης	101.09
------------------	--------

Αποτελέσματα:
EL0415FL5008

Παροχή αιχμής (M3/S)	574.44
Χρονική στιγμή αιχμής	02Sep2000, 01:45
Όγκος (MM)	254.47
Όγκος βροχόπτωσης (M3)	2.34E7
Όγκος απωλειών (M3)	3.64E6
Ενεργός Όγκος (M3)	1.97E7
Όγκος άμεσης απορροής (M3)	1.97E7
Όγκος βασικής απορροής (M3)	3.28E6

Βροχόπτωση και Απορροή



Υπολεκάνη: EL0415FL5009

Έκταση (KM2) : 11.22

Κατάντη : J20

Μέθοδος Απωλειών: SCS

Ποσοστό αδιαπέρατης επιφάνειας	0
Αριθμός Καμπύλης Απορροής-CN	89.16
Αρχικές Απώλειες	6.18

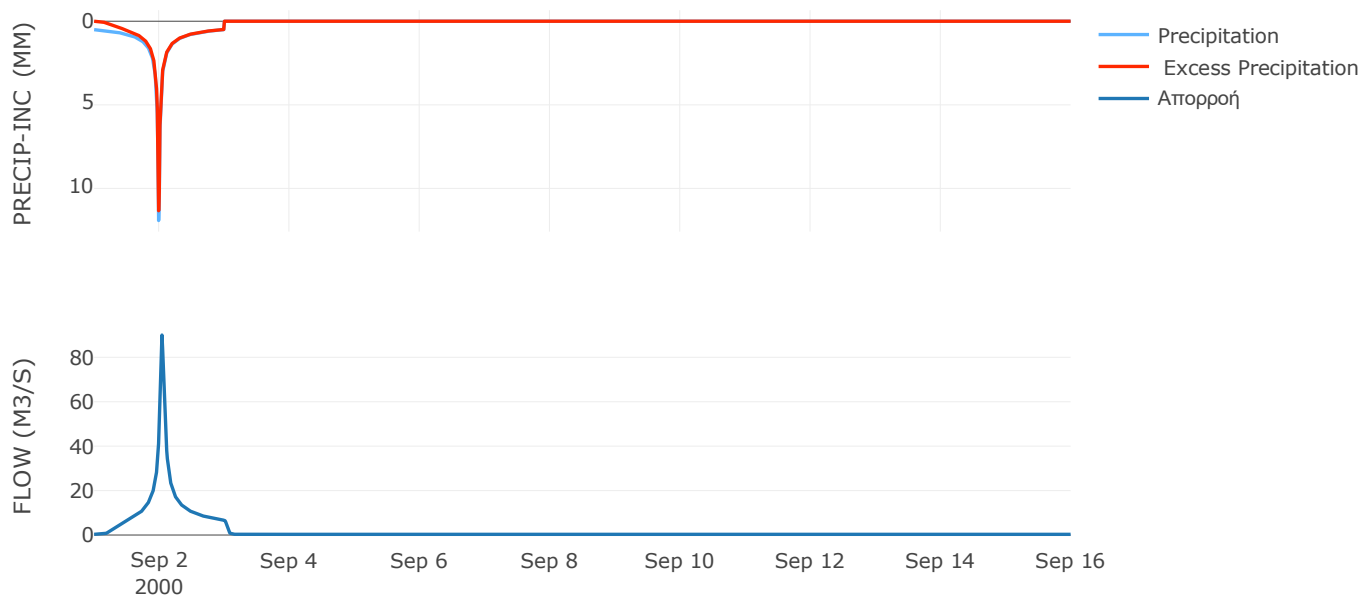
Μέθοδος
Μετασχηματισμού: SCS

Χρόνος Υστέρησης	52.62
------------------	-------

Αποτελέσματα:
EL0415FL5009

Παροχή αιχμής (M3/S)	90.03
Χρονική στιγμή αιχμής	02Sep2000, 01:00
Όγκος (MM)	238.93
Όγκος βροχόπτωσης (M3)	2.65E6
Όγκος απωλειών (M3)	3.75E5
Ενεργός Όγκος (M3)	2.27E6
Όγκος άμεσης απορροής (M3)	2.27E6
Όγκος βασικής απορροής (M3)	4.07E5

Βροχόπτωση και Απορροή



Υπολεκάνη: EL0415FL5010

Έκταση (KM2) : 96.52

Κατάντη : J10

Μέθοδος Απωλειών: SCS

Ποσοστό αδιαπέρατης επιφάνειας	100
Αριθμός Καμπύλης Απορροής-CN	99
Αρχικές Απώλειες	0.02

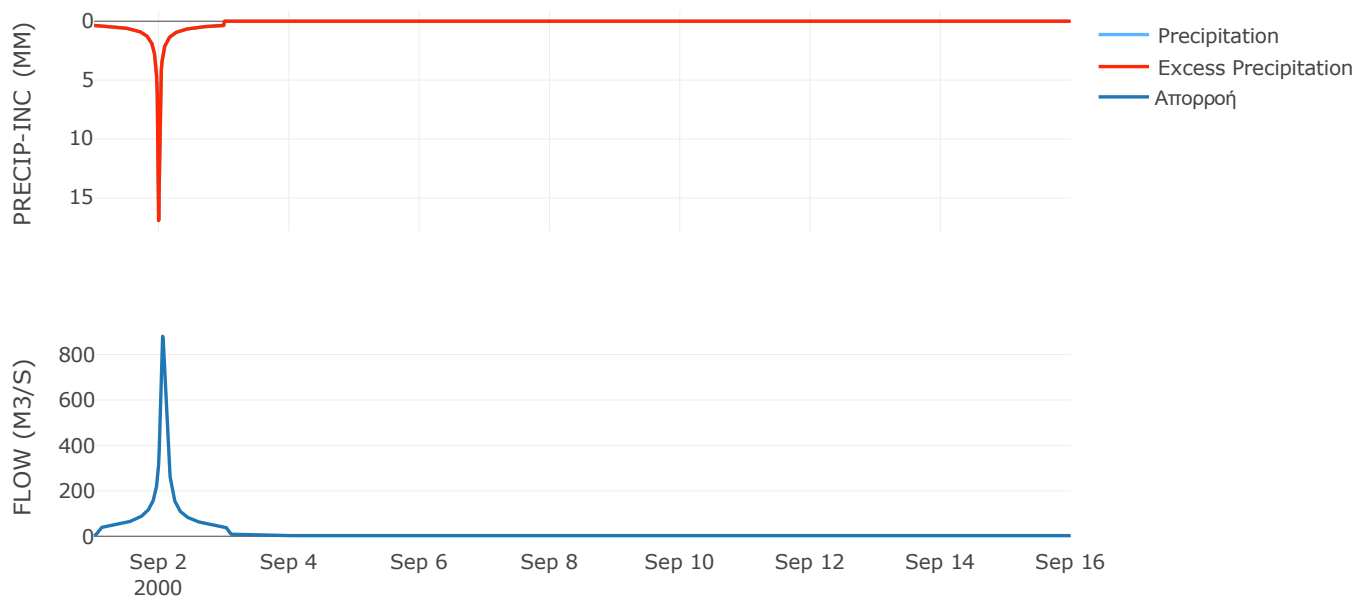
Μέθοδος
Μετασχηματισμού: SCS

Χρόνος Υστέρησης	75.79
------------------	-------

Αποτελέσματα:
EL0415FL5010

Παροχή αιχμής (M3/S)	879.92
Χρονική στιγμή αιχμής	02Sep2000, 01:15
Όγκος (MM)	252.83
Όγκος βροχόπτωσης (M3)	2.09E7
Όγκος απωλειών (M3)	0
Ενεργός Όγκος (M3)	2.09E7
Όγκος άμεσης απορροής (M3)	2.09E7
Όγκος βασικής απορροής (M3)	3.5E6

Βροχόπτωση και Απορροή



Υπολεκάνη: EL0415FL00013

Έκταση (KM2) : 20.4

Κατάντη : J8

Μέθοδος Απωλειών: SCS

Ποσοστό αδιαπέρατης επιφάνειας	0
Αριθμός Καμπύλης Απορροής-CN	90.62
Αρχικές Απώλειες	5.26

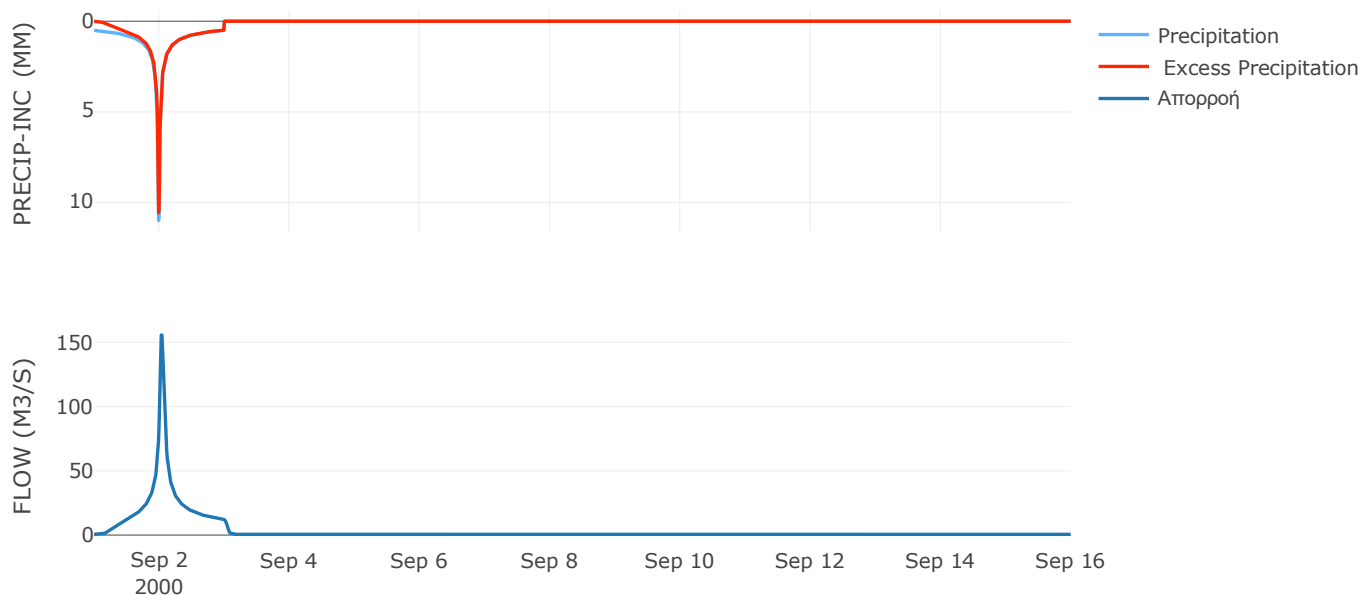
Μέθοδος
Μετασχηματισμού: SCS

Χρόνος Υστέρησης	51.06
------------------	-------

Αποτελέσματα:
EL0415FL00013

Παροχή αιχμής (M3/S)	155.69
Χρονική στιγμή αιχμής	02Sep2000, 00:45
Όγκος (MM)	236.69
Όγκος βροχόπτωσης (M3)	4.68E6
Όγκος απωλειών (M3)	5.87E5
Ενεργός Όγκος (M3)	4.09E6
Όγκος άμεσης απορροής (M3)	4.09E6
Όγκος βασικής απορροής (M3)	7.4E5

Βροχόπτωση και Απορροή



Υπολεκάνη: EL0415FL00014

Έκταση (KM2) : 28.81

Κατάντη : J23

Μέθοδος Απωλειών: SCS

Ποσοστό αδιαπέρατης επιφάνειας	0
Αριθμός Καμπύλης Απορροής-CN	90.51
Αρχικές Απώλειες	5.33

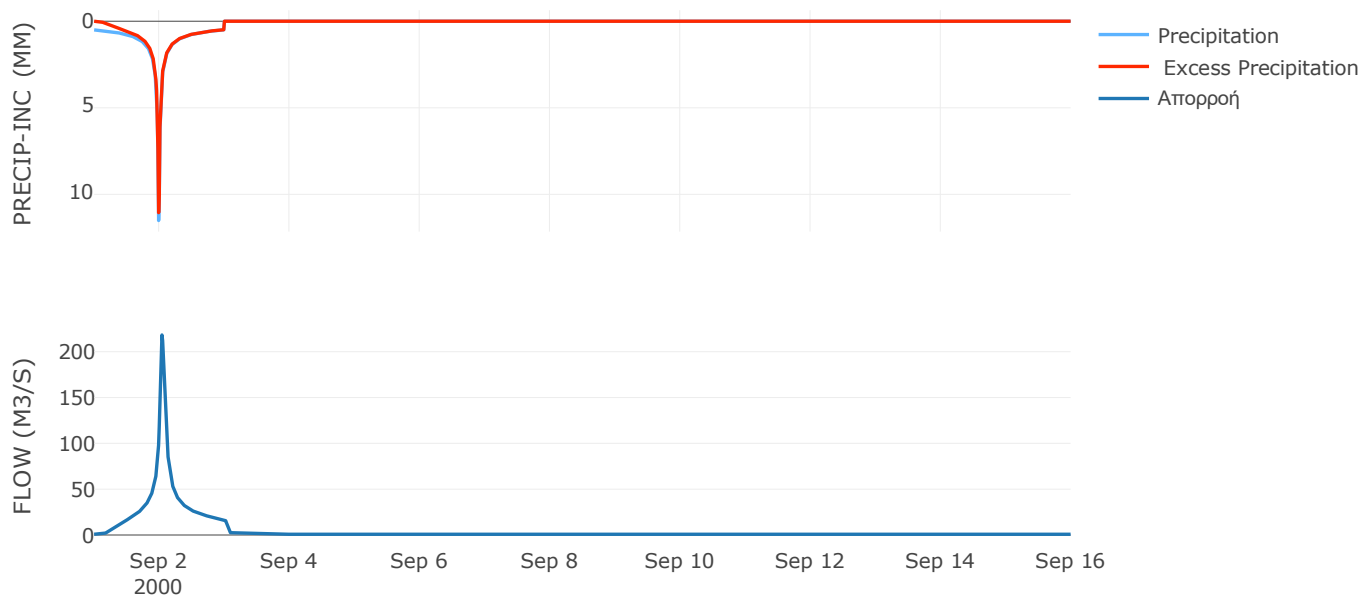
Μέθοδος
Μετασχηματισμού: SCS

Χρόνος Υστέρησης	60.03
------------------	-------

Αποτελέσματα:
EL0415FL00014

Παροχή αιχμής (M3/S)	218.25
Χρονική στιγμή αιχμής	02Sep2000, 01:00
Όγκος (MM)	239.15
Όγκος βροχόπτωσης (M3)	6.68E6
Όγκος απωλειών (M3)	8.4E5
Ενεργός Όγκος (M3)	5.84E6
Όγκος άμεσης απορροής (M3)	5.84E6
Όγκος βασικής απορροής (M3)	1.05E6

Βροχόπτωση και Απορροή



Υπολεκάνη: EL0415FL00016

Έκταση (KM2) : 24.49

Κατάντη : J14

Μέθοδος Απωλειών: SCS

Ποσοστό αδιαπέρατης επιφάνειας	0
Αριθμός Καμπύλης Απορροής-CN	72.24
Αρχικές Απώλειες	19.52

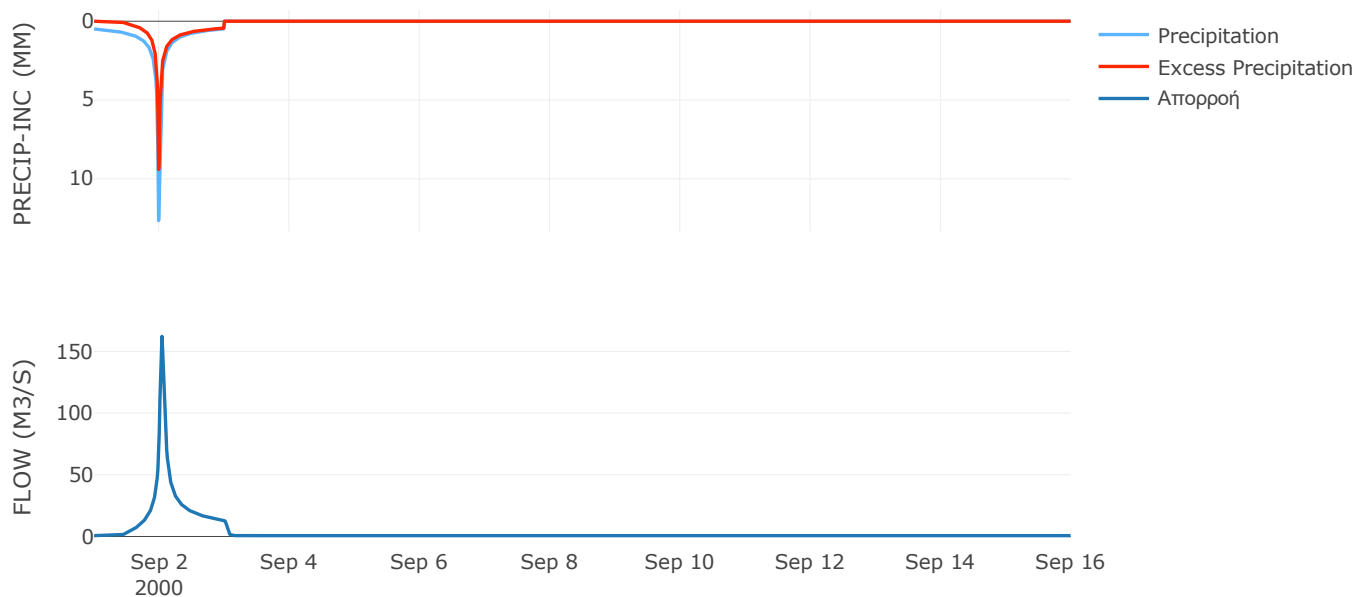
Μέθοδος
Μετασχηματισμού: SCS

Χρόνος Υστέρησης	51.54
------------------	-------

Αποτελέσματα:
EL0415FL00016

Παροχή αιχμής (M3/S)	162.21
Χρονική στιγμή αιχμής	02Sep2000, 01:00
Όγκος (MM)	185.84
Όγκος βροχόπτωσης (M3)	5.79E6
Όγκος απωλειών (M3)	2.13E6
Ενεργός Όγκος (M3)	3.66E6
Όγκος άμεσης απορροής (M3)	3.66E6
Όγκος βασικής απορροής (M3)	8.89E5

Βροχόπτωση και Απορροή



Υπολεκάνη: EL0415FL00017

Έκταση (KM2) : 11.25

Κατάντη : J15

Μέθοδος Απωλειών: SCS

Ποσοστό αδιαπέρατης επιφάνειας	0
Αριθμός Καμπύλης Απορροής-CN	74.1
Αρχικές Απώλειες	17.75

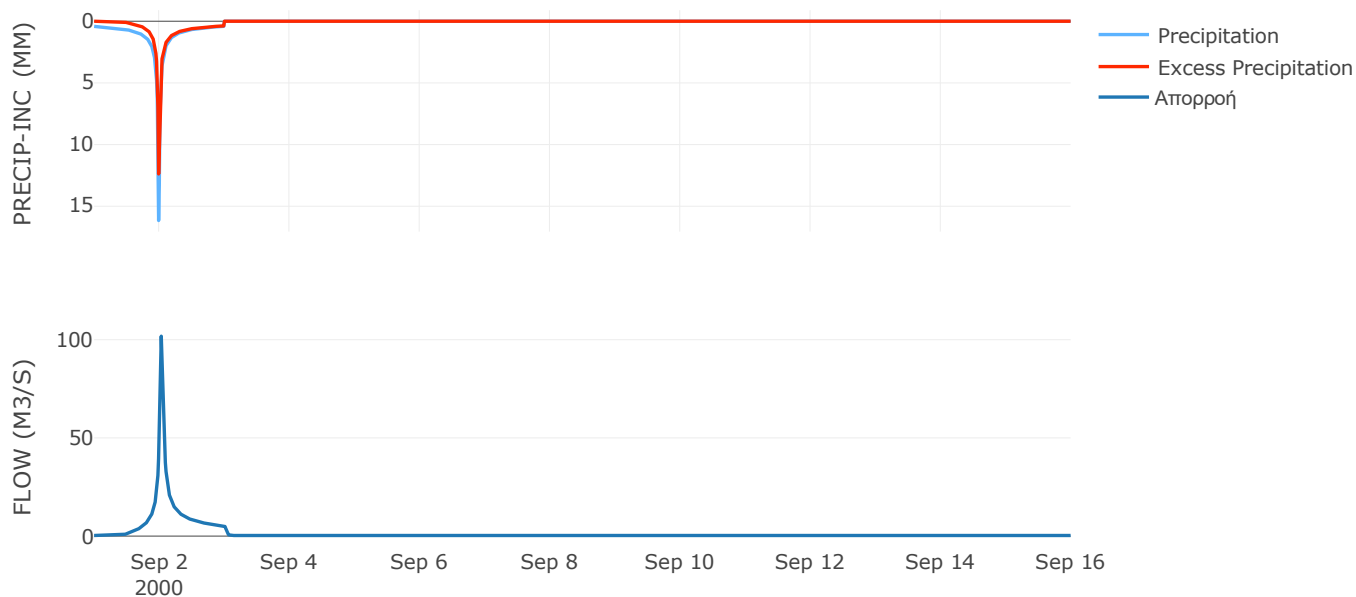
Μέθοδος
Μετασχηματισμού: SCS

Χρόνος Υστέρησης	38.07
------------------	-------

Αποτελέσματα:
EL0415FL00017

Παροχή αιχμής (M3/S)	101.79
Χρονική στιγμή αιχμής	02Sep2000, 00:45
Όγκος (MM)	189.31
Όγκος βροχόπτωσης (M3)	2.63E6
Όγκος απωλειών (M3)	9.08E5
Ενεργός Όγκος (M3)	1.72E6
Όγκος άμεσης απορροής (M3)	1.72E6
Όγκος βασικής απορροής (M3)	4.08E5

Βροχόπτωση και Απορροή



Υπολεκάνη: EL0415FL00018

Έκταση (KM2) : 25.29

Κατάντη : J15

Μέθοδος Απωλειών: SCS

Ποσοστό αδιαπέρατης επιφάνειας	0
Αριθμός Καμπύλης Απορροής-CN	77.68
Αρχικές Απώλειες	14.6

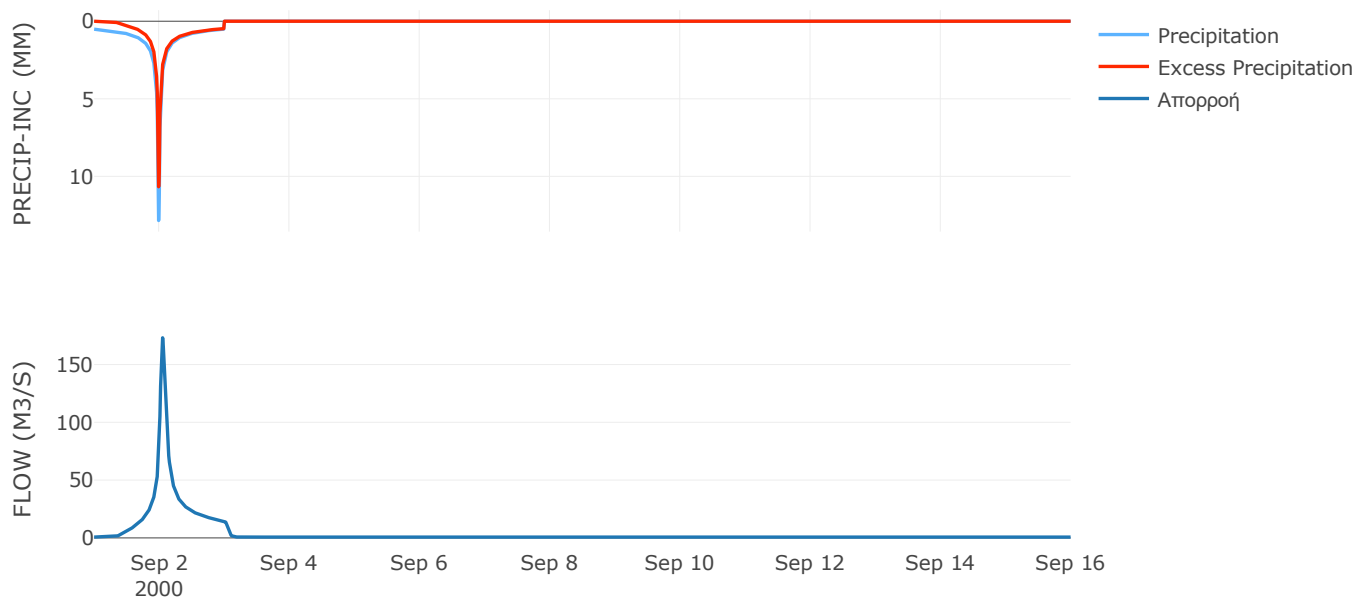
Μέθοδος
Μετασχηματισμού: SCS

Χρόνος Υστέρησης	67.54
------------------	-------

Αποτελέσματα:
EL0415FL00018

Παροχή αιχμής (M3/S)	173.11
Χρονική στιγμή αιχμής	02Sep2000, 01:15
Όγκος (MM)	211.1
Όγκος βροχόπτωσης (M3)	6.19E6
Όγκος απωλειών (M3)	1.77E6
Ενεργός Όγκος (M3)	4.42E6
Όγκος άμεσης απορροής (M3)	4.42E6
Όγκος βασικής απορροής (M3)	9.18E5

Βροχόπτωση και Απορροή



Υπολεκάνη: EL0415FL00019

Έκταση (KM2) : 41.83

Κατάντη : J16

Μέθοδος Απωλειών: SCS

Ποσοστό αδιαπέρατης επιφάνειας	0
Αριθμός Καμπύλης Απορροής-CN	82.22
Αρχικές Απώλειες	10.98

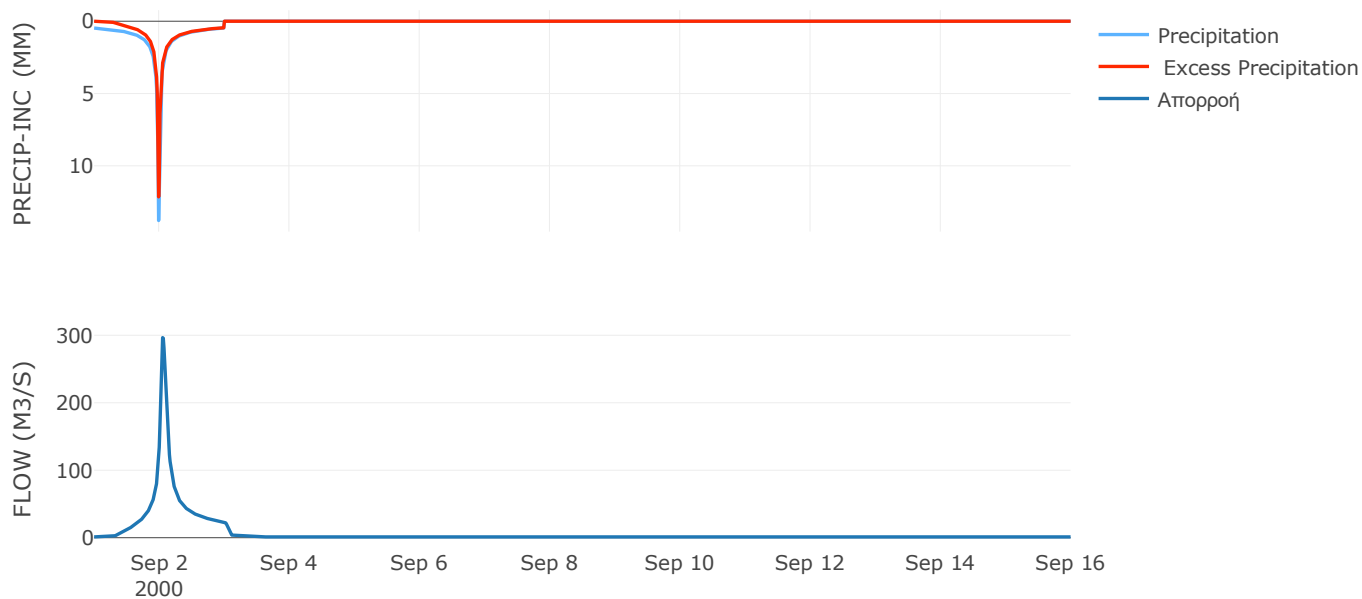
Μέθοδος
Μετασχηματισμού: SCS

Χρόνος Υστέρησης	78.22
------------------	-------

Αποτελέσματα:
EL0415FL00019

Παροχή αιχμής (M3/S)	296.57
Χρονική στιγμή αιχμής	02Sep2000, 01:15
Όγκος (MM)	219.3
Όγκος βροχόπτωσης (M3)	9.97E6
Όγκος απωλειών (M3)	2.31E6
Ενεργός Όγκος (M3)	7.66E6
Όγκος άμεσης απορροής (M3)	7.66E6
Όγκος βασικής απορροής (M3)	1.52E6

Βροχόπτωση και Απορροή



Υπολεκάνη: EL0415FL00020

Έκταση (KM2) : 8.47

Κατάντη : J21

Μέθοδος Απωλειών: SCS

Ποσοστό αδιαπέρατης επιφάνειας	0
Αριθμός Καμπύλης Απορροής-CN	90.85
Αρχικές Απώλειες	5.12

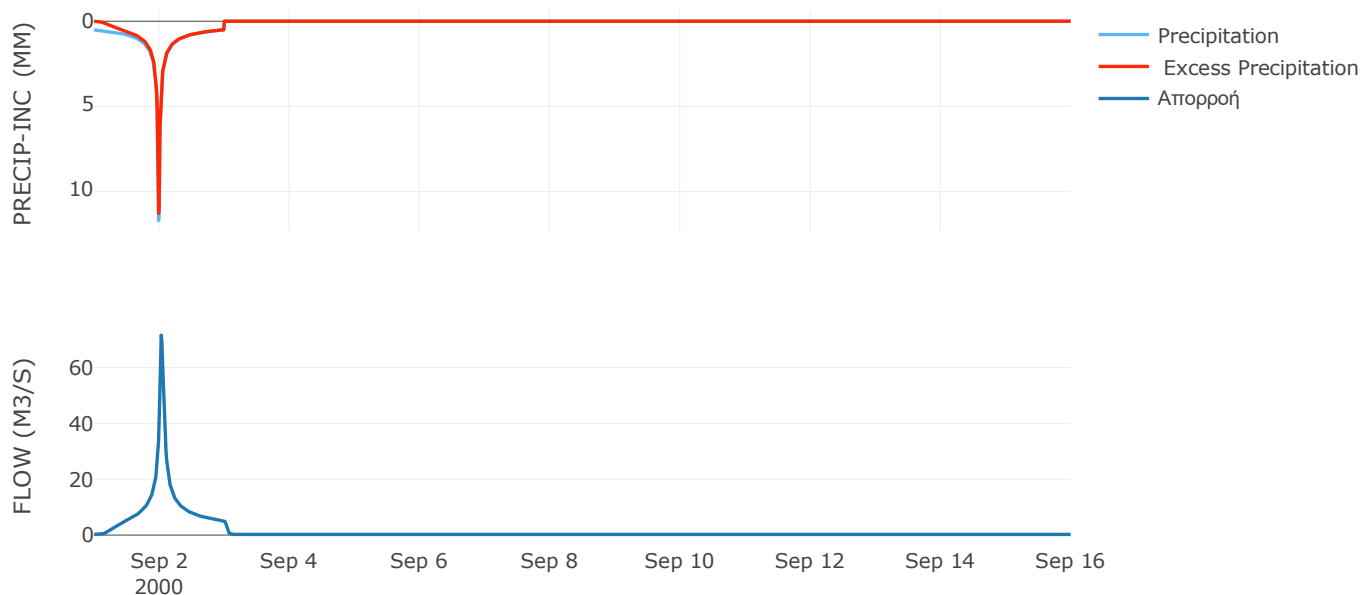
Μέθοδος
Μετασχηματισμού: SCS

Χρόνος Υστέρησης	46.03
------------------	-------

Αποτελέσματα:
EL0415FL00020

Παροχή αιχμής (M3/S)	71.61
Χρονική στιγμή αιχμής	02Sep2000, 00:45
Όγκος (MM)	244.06
Όγκος βροχόπτωσης (M3)	2E6
Όγκος απωλειών (M3)	2.38E5
Ενεργός Όγκος (M3)	1.76E6
Όγκος άμεσης απορροής (M3)	1.76E6
Όγκος βασικής απορροής (M3)	3.07E5

Βροχόπτωση και Απορροή



Υπολεκάνη: EL0415FL00021

Έκταση (KM2) : 11.07

Κατάντη : J17

Μέθοδος Απωλειών: SCS

Ποσοστό αδιαπέρατης επιφάνειας	0
Αριθμός Καμπύλης Απορροής-CN	87.57
Αρχικές Απώλειες	7.21

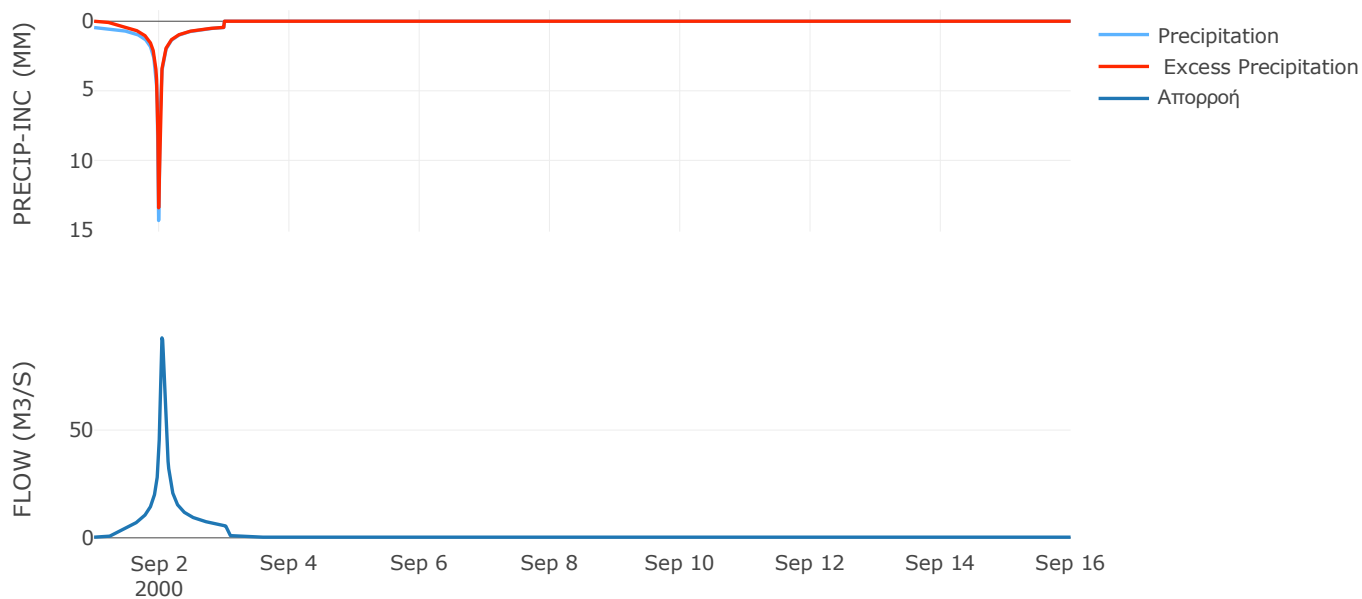
Μέθοδος
Μετασχηματισμού: SCS

Χρόνος Υστέρησης	63.79
------------------	-------

Αποτελέσματα:
EL0415FL00021

Παροχή αιχμής (M3/S)	92.78
Χρονική στιγμή αιχμής	02Sep2000, 01:00
Όγκος (MM)	233.08
Όγκος βροχόπτωσης (M3)	2.6E6
Όγκος απωλειών (M3)	4.25E5
Ενεργός Όγκος (M3)	2.18E6
Όγκος άμεσης απορροής (M3)	2.18E6
Όγκος βασικής απορροής (M3)	4.02E5

Βροχόπτωση και Απορροή



Υπολεκάνη: EL0415FL00022

Έκταση (KM2) : 12.41

Κατάντη : J18

Μέθοδος Απωλειών: SCS

Ποσοστό αδιαπέρατης επιφάνειας	0
Αριθμός Καμπύλης Απορροής-CN	90.27
Αρχικές Απώλειες	5.47

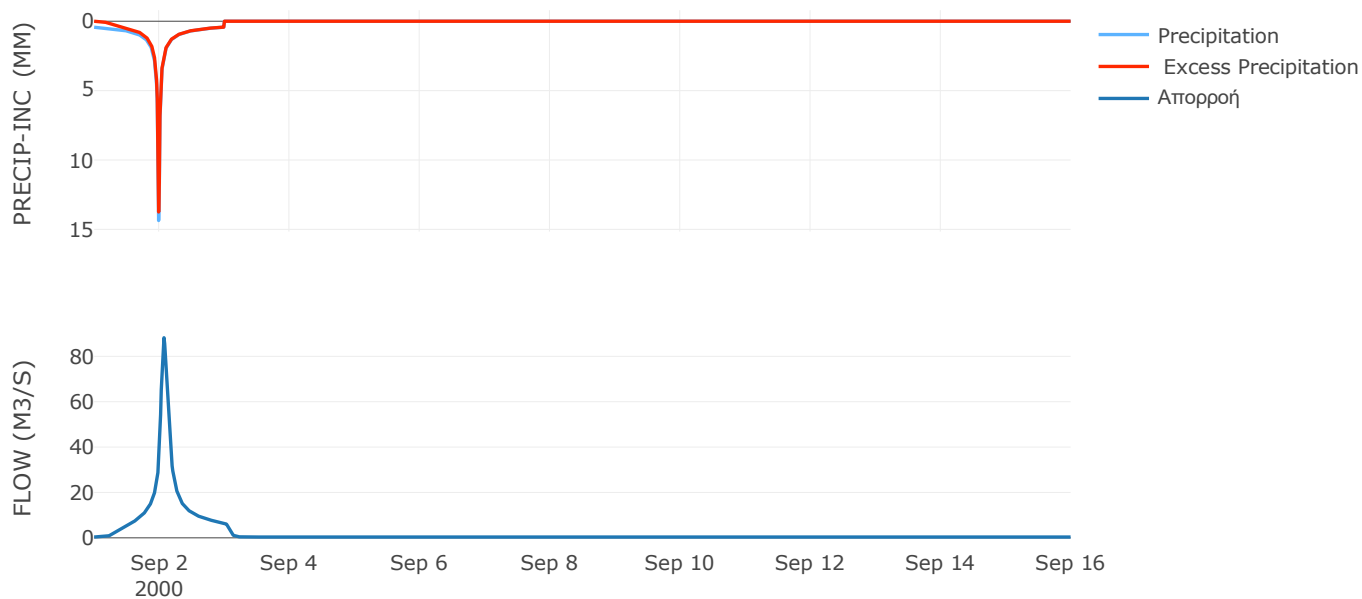
Μέθοδος
Μετασχηματισμού: SCS

Χρόνος Υστέρησης	96.84
------------------	-------

Αποτελέσματα:
EL0415FL00022

Παροχή αιχμής (M3/S)	88.2
Χρονική στιγμή αιχμής	02Sep2000, 01:45
Όγκος (MM)	234.71
Όγκος βροχόπτωσης (M3)	2.83E6
Όγκος απωλειών (M3)	3.71E5
Ενεργός Όγκος (M3)	2.46E6
Όγκος άμεσης απορροής (M3)	2.46E6
Όγκος βασικής απορροής (M3)	4.5E5

Βροχόπτωση και Απορροή



Υπολεκάνη: EL0415FL00023

Έκταση (KM2) : 16.4

Κατάντη : J22

Μέθοδος Απωλειών: SCS

Ποσοστό αδιαπέρατης επιφάνειας	0
Αριθμός Καμπύλης Απορροής-CN	90.72
Αρχικές Απώλειες	5.2

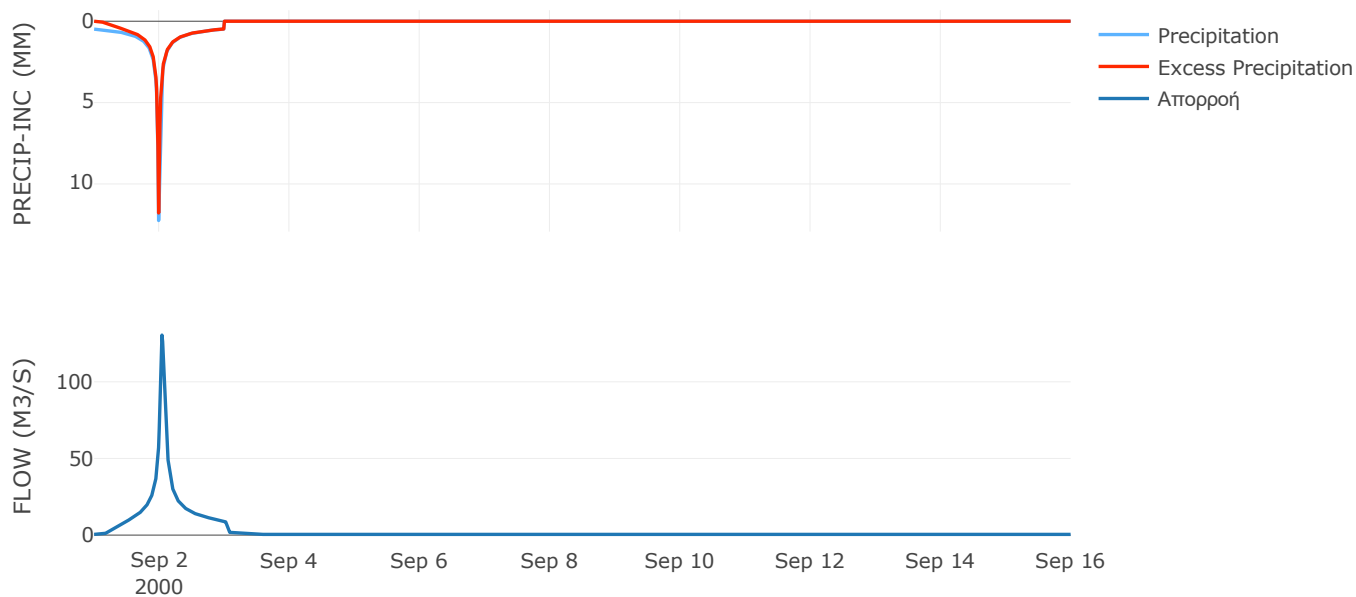
Μέθοδος
Μετασχηματισμού: SCS

Χρόνος Υστέρησης	59.45
------------------	-------

Αποτελέσματα:
EL0415FL00023

Παροχή αιχμής (M3/S)	130.47
Χρονική στιγμή αιχμής	02Sep2000, 01:00
Όγκος (MM)	239.99
Όγκος βροχόπτωσης (M3)	3.81E6
Όγκος απωλειών (M3)	4.67E5
Ενεργός Όγκος (M3)	3.34E6
Όγκος άμεσης απορροής (M3)	3.34E6
Όγκος βασικής απορροής (M3)	5.95E5

Βροχόπτωση και Απορροή



Υπολεκάνη: EL0415FL00024

Έκταση (KM2) : 20.38

Κατάντη : J19

Μέθοδος Απωλειών: SCS

Ποσοστό αδιαπέρατης επιφάνειας	0
Αριθμός Καμπύλης Απορροής-CN	89.98
Αρχικές Απώλειες	5.66

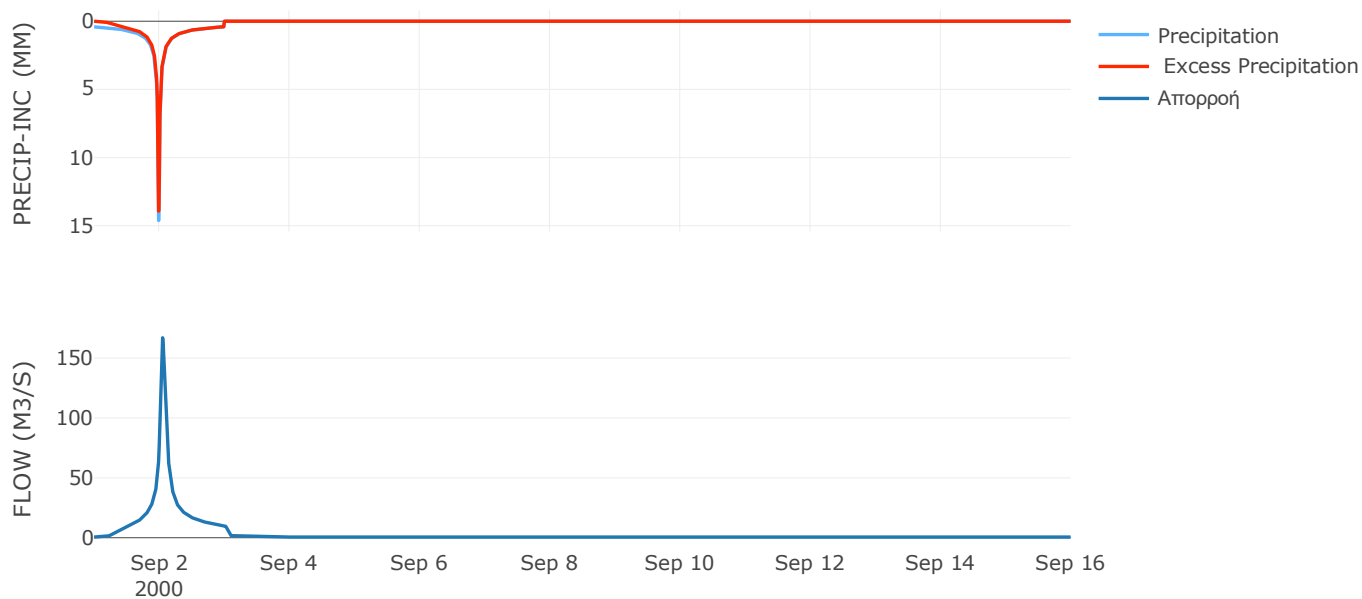
Μέθοδος
Μετασχηματισμού: SCS

Χρόνος Υστέρησης	70.63
------------------	-------

Αποτελέσματα:
EL0415FL00024

Παροχή αιχμής (M3/S)	166.92
Χρονική στιγμή αιχμής	02Sep2000, 01:15
Όγκος (MM)	229.05
Όγκος βροχόπτωσης (M3)	4.55E6
Όγκος απωλειών (M3)	6.25E5
Ενεργός Όγκος (M3)	3.93E6
Όγκος άμεσης απορροής (M3)	3.93E6
Όγκος βασικής απορροής (M3)	7.4E5

Βροχόπτωση και Απορροή



Υπολεκάνη: EL0415FL00025

Έκταση (KM2) : 32.02

Κατάντη : J13

Μέθοδος Απωλειών: SCS

Ποσοστό αδιαπέρατης επιφάνειας	0
Αριθμός Καμπύλης Απορροής-CN	70.61
Αρχικές Απώλειες	21.14

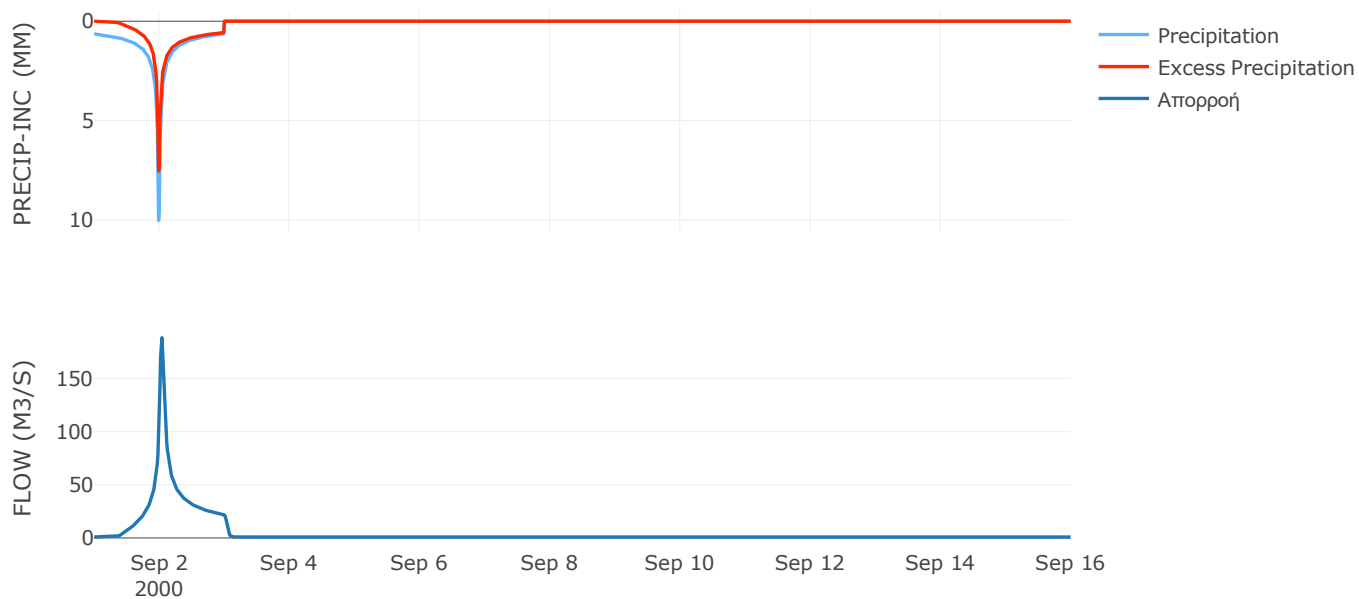
Μέθοδος
Μετασχηματισμού: SCS

Χρόνος Υστέρησης	48.98
------------------	-------

Αποτελέσματα:
EL0415FL00025

Παροχή αιχμής (M3/S)	188.35
Χρονική στιγμή αιχμής	02Sep2000, 01:00
Όγκος (MM)	202.41
Όγκος βροχόπτωσης (M3)	8.34E6
Όγκος απωλειών (M3)	3.02E6
Ενεργός Όγκος (M3)	5.32E6
Όγκος άμεσης απορροής (M3)	5.32E6
Όγκος βασικής απορροής (M3)	1.16E6

Βροχόπτωση και Απορροή



Υπολεκάνη: EL0415FL00026

Έκταση (KM2) : 30.03

Κατάντη : J12

Μέθοδος Απωλειών: SCS

Ποσοστό αδιαπέρατης επιφάνειας	0
Αριθμός Καμπύλης Απορροής-CN	83.22
Αρχικές Απώλειες	10.24

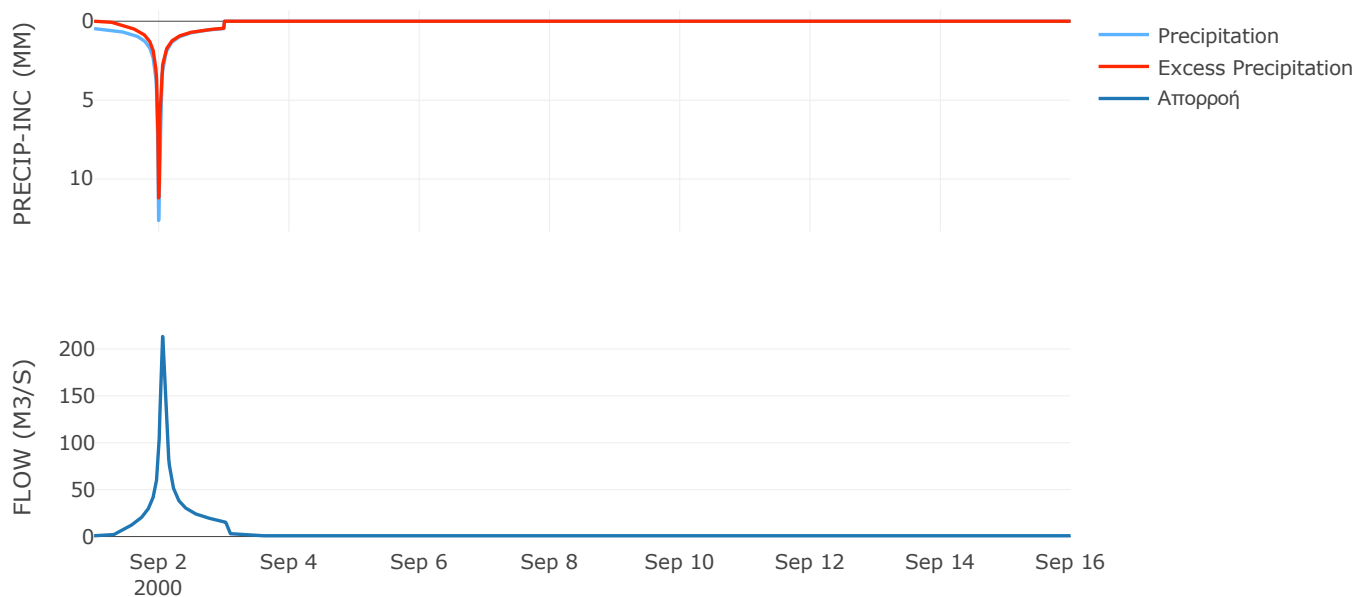
Μέθοδος
Μετασχηματισμού: SCS

Χρόνος Υστέρησης	66.22
------------------	-------

Αποτελέσματα:
EL0415FL00026

Παροχή αιχμής (M3/S)	213.38
Χρονική στιγμή αιχμής	02Sep2000, 01:15
Όγκος (MM)	213.86
Όγκος βροχόπτωσης (M3)	6.89E6
Όγκος απωλειών (M3)	1.55E6
Ενεργός Όγκος (M3)	5.33E6
Όγκος άμεσης απορροής (M3)	5.33E6
Όγκος βασικής απορροής (M3)	1.09E6

Βροχόπτωση και Απορροή



Υπολεκάνη: EL0415FL00027

Έκταση (KM2) : 3.34

Κατάνη : J11

Μέθοδος Απωλειών: SCS

Ποσοστό αδιαπέρατης επιφάνειας	0
Αριθμός Καμπύλης Απορροής-CN	90.03
Αρχικές Απώλειες	5.63

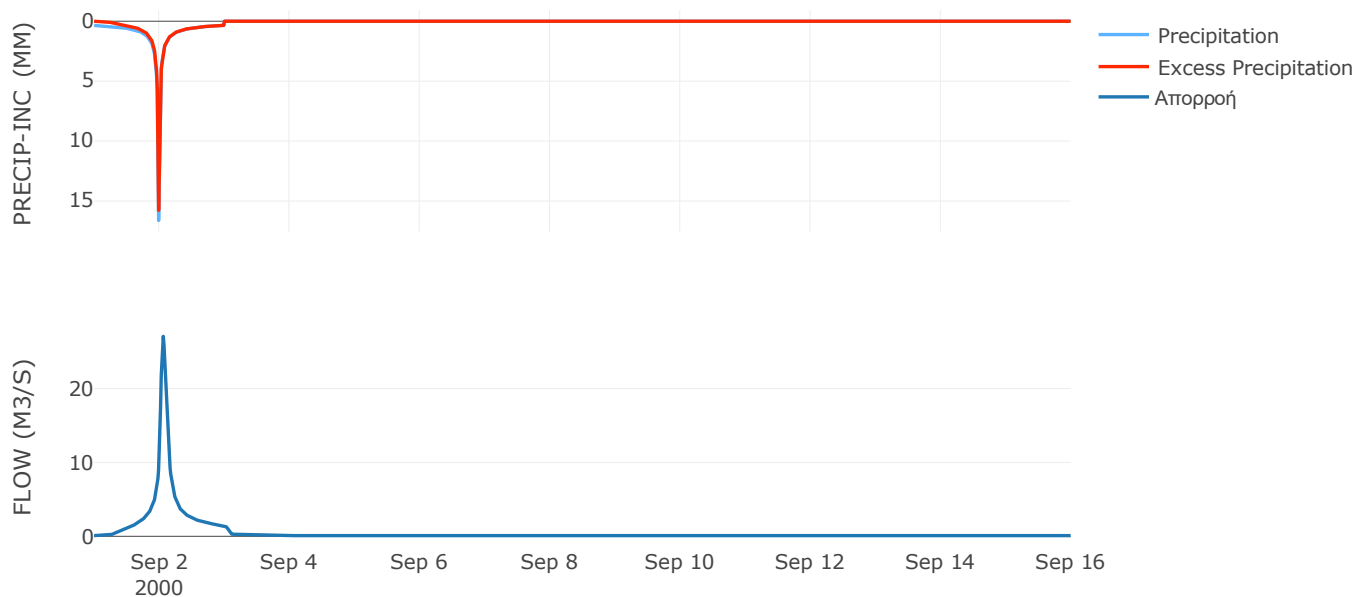
Μέθοδος
Μετασχηματισμού: SCS

Χρόνος Υστέρησης	82.27
------------------	-------

Αποτελέσματα:
EL0415FL00027

Παροχή αιχμής (M3/S)	27.08
Χρονική στιγμή αιχμής	02Sep2000, 01:30
Όγκος (MM)	217.93
Όγκος βροχόπτωσης (M3)	7.08E5
Όγκος απωλειών (M3)	1.01E5
Ενεργός Όγκος (M3)	6.07E5
Όγκος άμεσης απορροής (M3)	6.07E5
Όγκος βασικής απορροής (M3)	1.21E5

Βροχόπτωση και Απορροή



Δεδομένα και υδρογραφήματα σχεδιασμού Κλάδων υδρογραφικού δικτύου

Κλάδος: R21

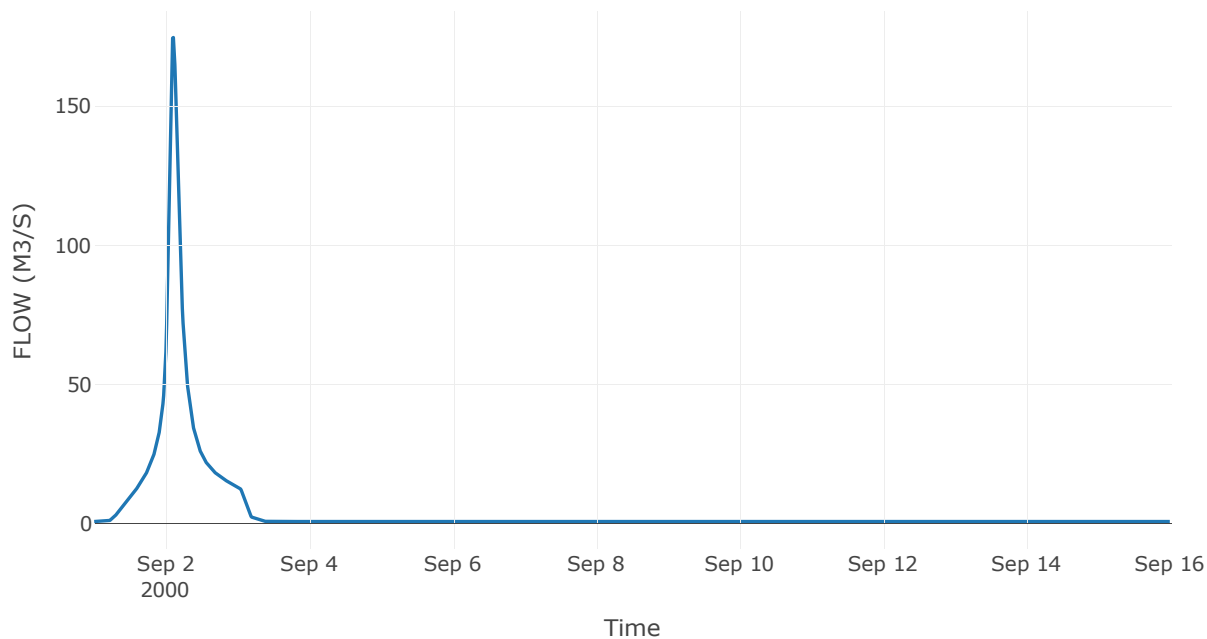
Κατάντη : J1

Μέθοδος Διόδευσης	Χρόνος
Αρχική Μεταβλητή	Combined Inflow
Χρόνος Υστέρησης	0

Αποτελέσματα: R21

Παροχή Αιχμής(M3/S)	174.73
Χρονική στιγμή αιχμής	02Sep2000, 02:30
Όγκος(MM)	225.58
Παροχή Αιχμής Εισόδου (M3/S)	174.73
Όγκος Εισροής(M3)	6.4E6

Απορροή



Κλάδος: R31

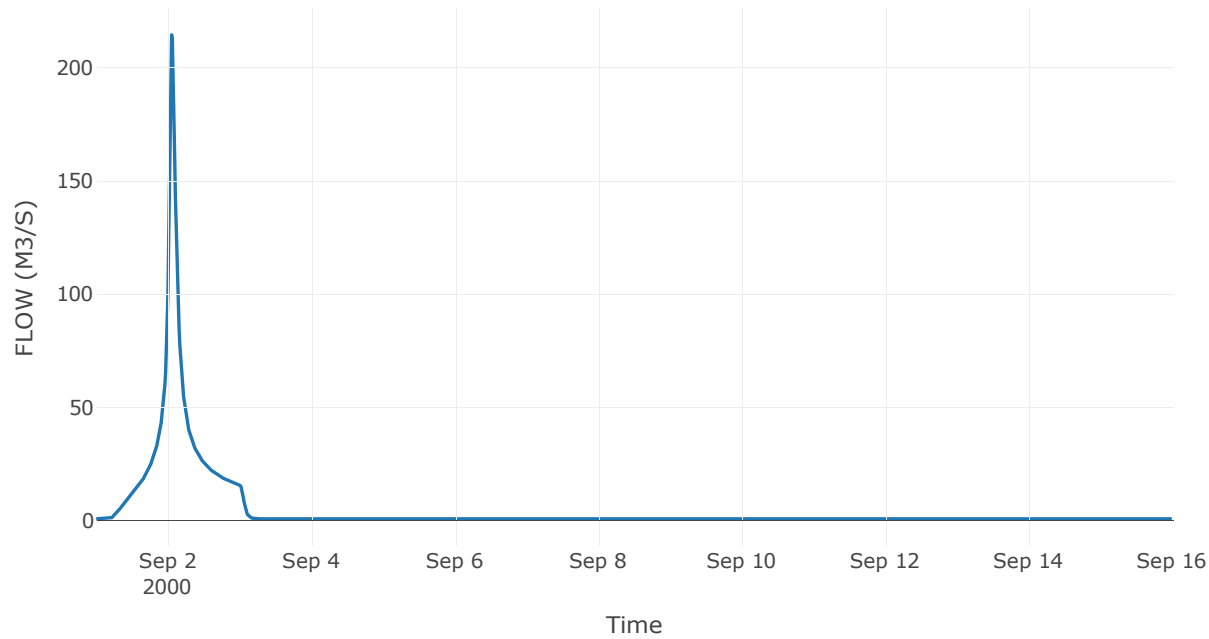
Κατάντη : J1

Μέθοδος Διόδευσης	Χρόνος
Αρχική Μεταβλητή	Combined Inflow
Χρόνος Υστέρησης	0

Αποτελέσματα: R31

Παροχή Αιχμής(M3/S)	214.41
Χρονική στιγμή αιχμής	02Sep2000, 01:15
Όγκος(MM)	221.47
Παροχή Αιχμής Εισόδου (M3/S)	214.41
Όγκος Εισροής(M3)	6.65E6

Απορροή



Κλάδος: R41

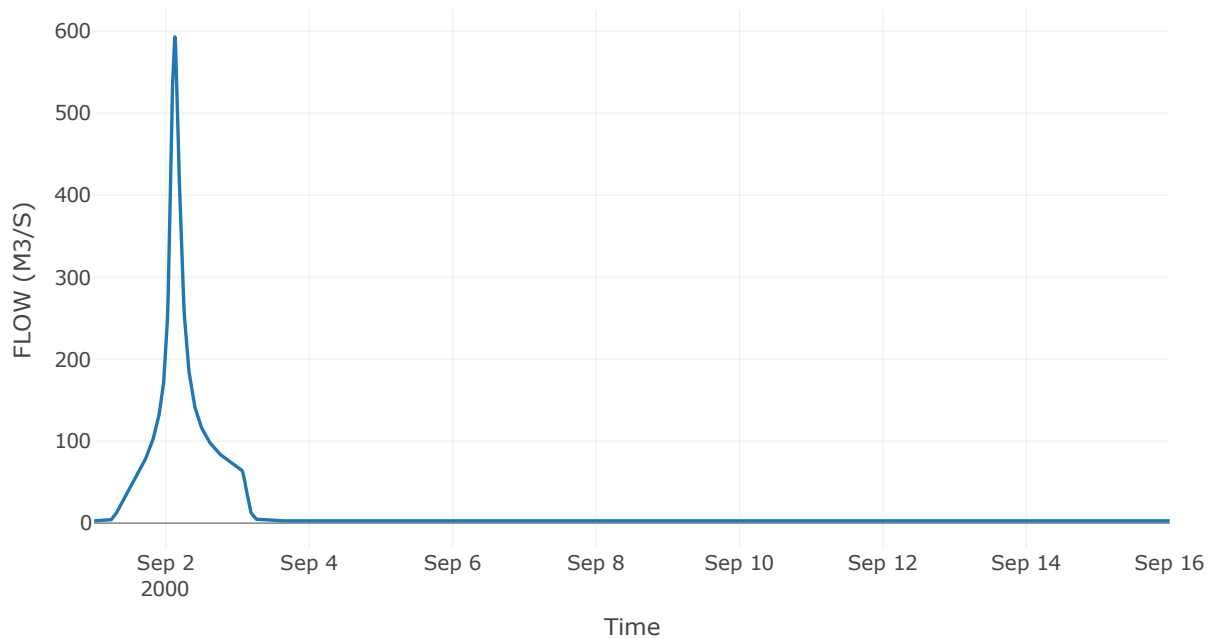
Κατάντη : J1

Μέθοδος Διόδευσης	Χρόνος
Αρχική Μεταβλητή	Combined Inflow
Χρόνος Υστέρησης	0

Αποτελέσματα: R41

Παροχή Αιχμής(M3/S)	593.18
Χρονική στιγμή αιχμής	02Sep2000, 03:00
Όγκος(MM)	251.86
Παροχή Αιχμής Εισόδου (M3/S)	593.18
Όγκος Εισροής(M3)	2.48E7

Απορροή



Κλάδος: R51

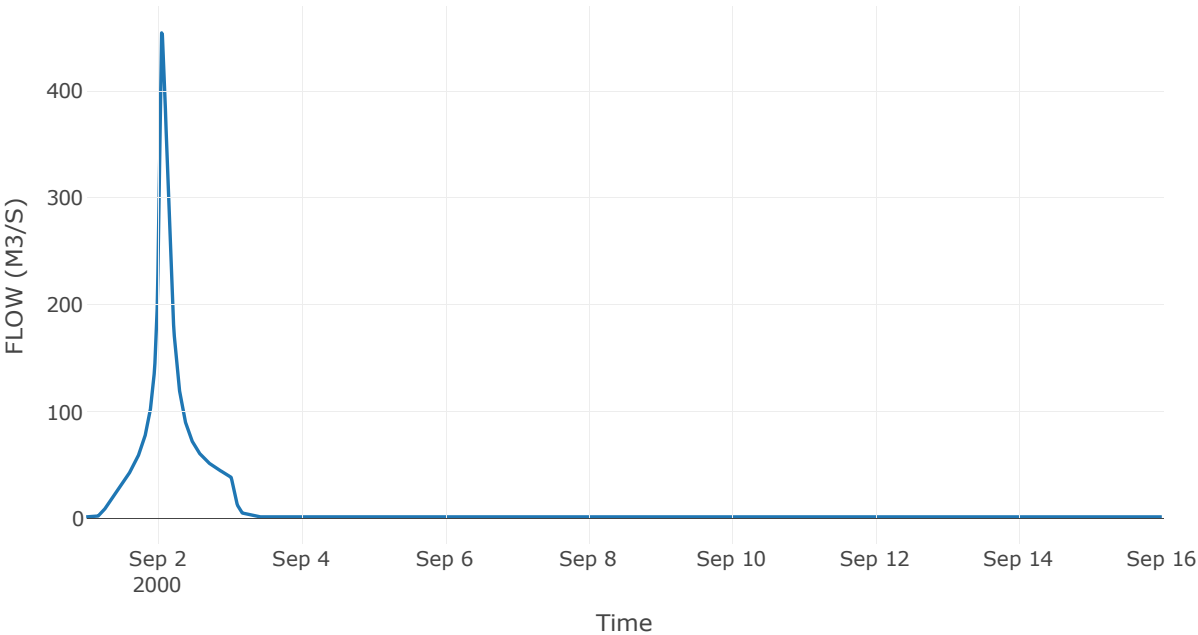
Κατάντη : J1

Μέθοδος Διόδευσης	Χρόνος
Αρχική Μεταβλητή	Combined Inflow
Χρόνος Υστέρησης	0

Αποτελέσματα: R51

Παροχή Αιχμής(M3/S)	454.27
Χρονική στιγμή αιχμής	02Sep2000, 01:15
Όγκος(MM)	229.9
Παροχή Αιχμής Εισόδου (M3/S)	454.27
Όγκος Εισροής(M3)	1.76E7

Απορροή



Κλάδος: R1110

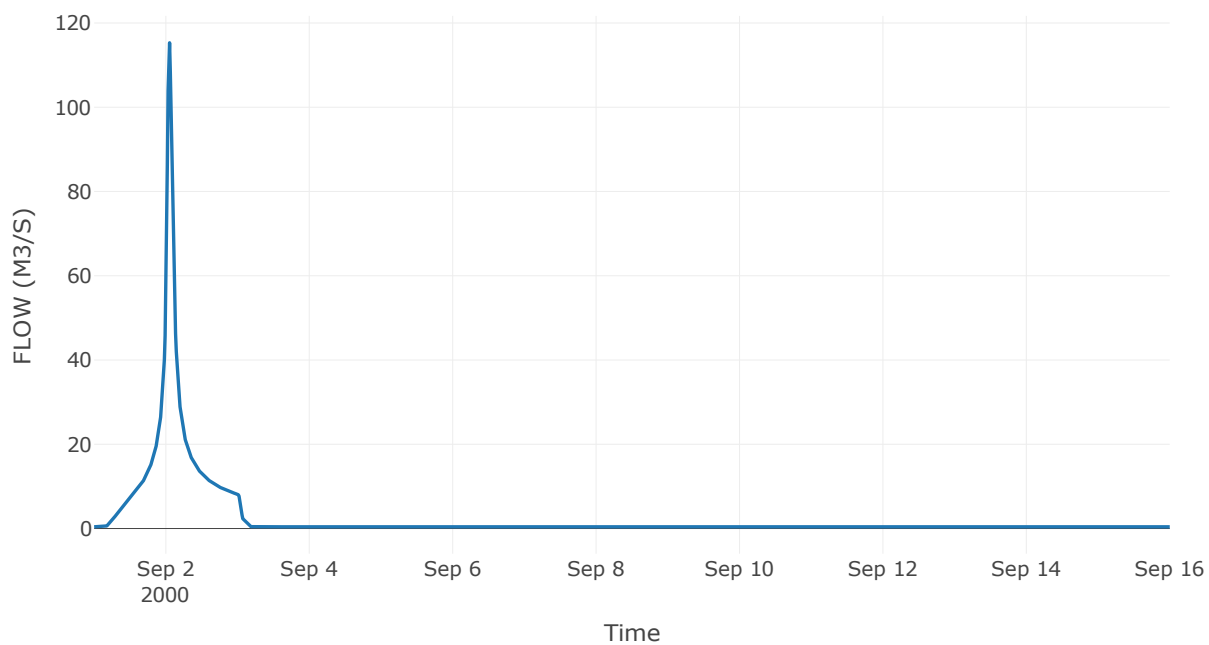
Κατάντη : J10

Μέθοδος Διόδευσης	Χρόνος
Αρχική Μεταβλητή	Combined Inflow
Χρόνος Υστέρησης	0

Αποτελέσματα: R1110

Παροχή Αιχμής(M3/S)	115.3
Χρονική στιγμή αιχμής	02Sep2000, 01:15
Όγκος(MM)	234.11
Παροχή Αιχμής Εισόδου (M3/S)	115.3
Όγκος Εισροής(M3)	3.41E6

Απορροή



Κλάδος: R1210

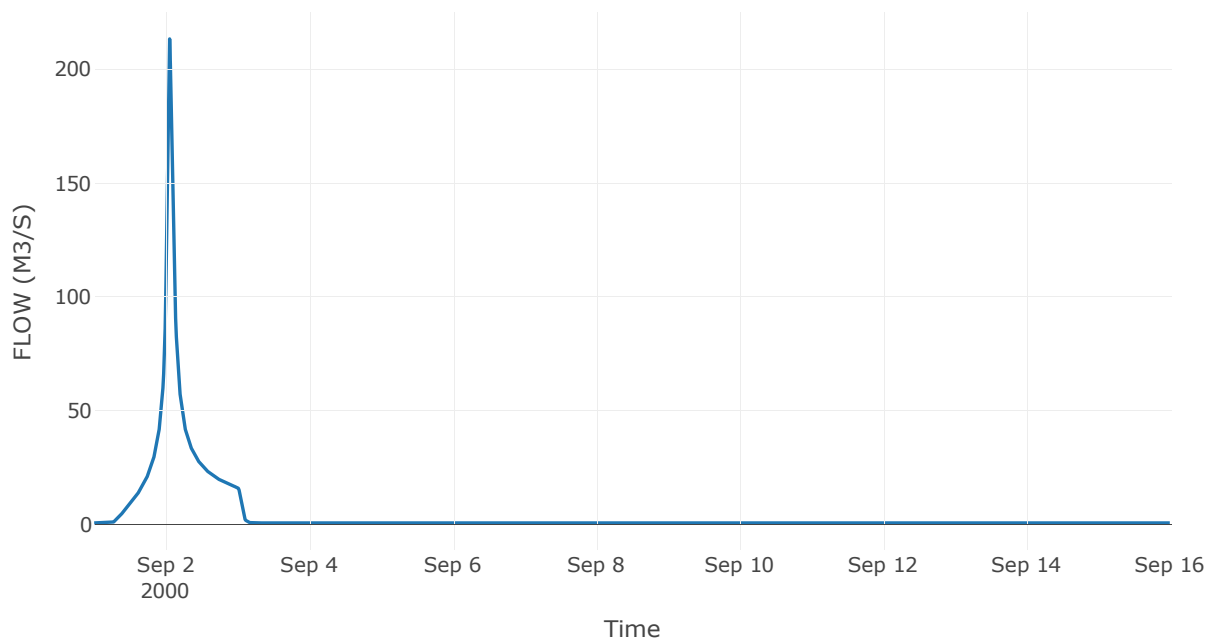
Κατάντη : J10

Μέθοδος Διόδευσης	Χρόνος
Αρχική Μεταβλητή	Combined Inflow
Χρόνος Υστέρησης	0

Αποτελέσματα: R1210

Παροχή Αιχμής(M3/S)	213.38
Χρονική στιγμή αιχμής	02Sep2000, 01:15
Όγκος(MM)	213.86
Παροχή Αιχμής Εισόδου (M3/S)	213.38
Όγκος Εισροής(M3)	6.42E6

Απορροή



Κλάδος: R1310

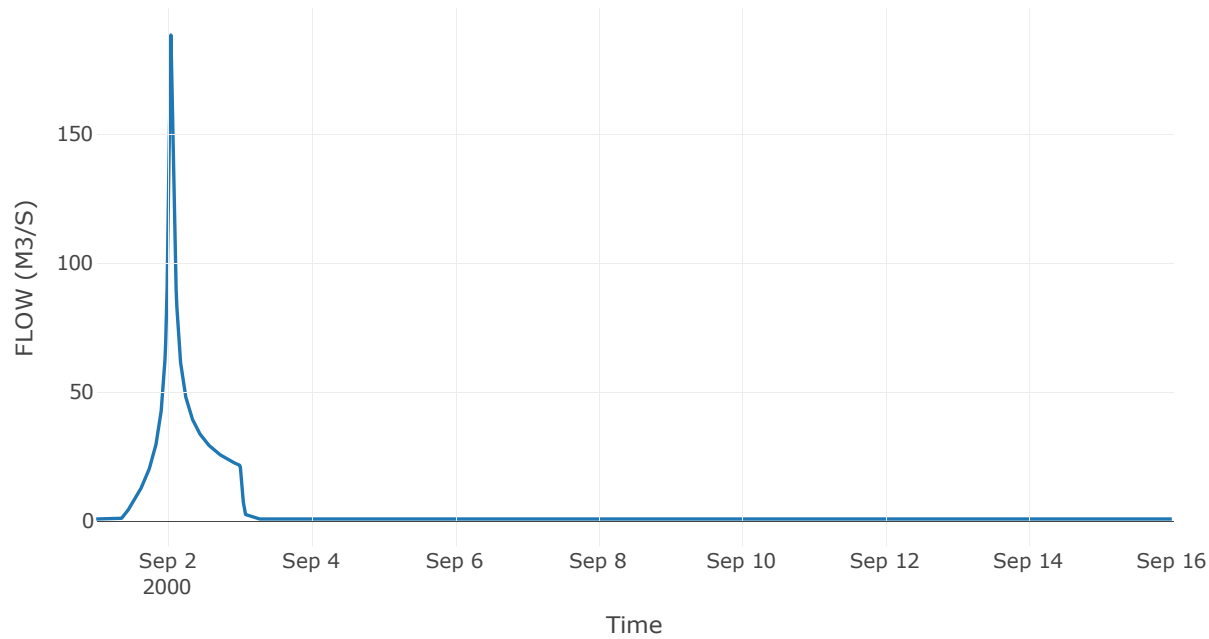
Κατάντη : J10

Μέθοδος Διόδευσης	Χρόνος
Αρχική Μεταβλητή	Combined Inflow
Χρόνος Υστέρησης	0

Αποτελέσματα: R1310

Παροχή Αιχμής(M3/S)	188.35
Χρονική στιγμή αιχμής	02Sep2000, 01:00
Όγκος(MM)	202.41
Παροχή Αιχμής Εισόδου (M3/S)	188.35
Όγκος Εισροής(M3)	6.48E6

Απορροή



Κλάδος: R1410

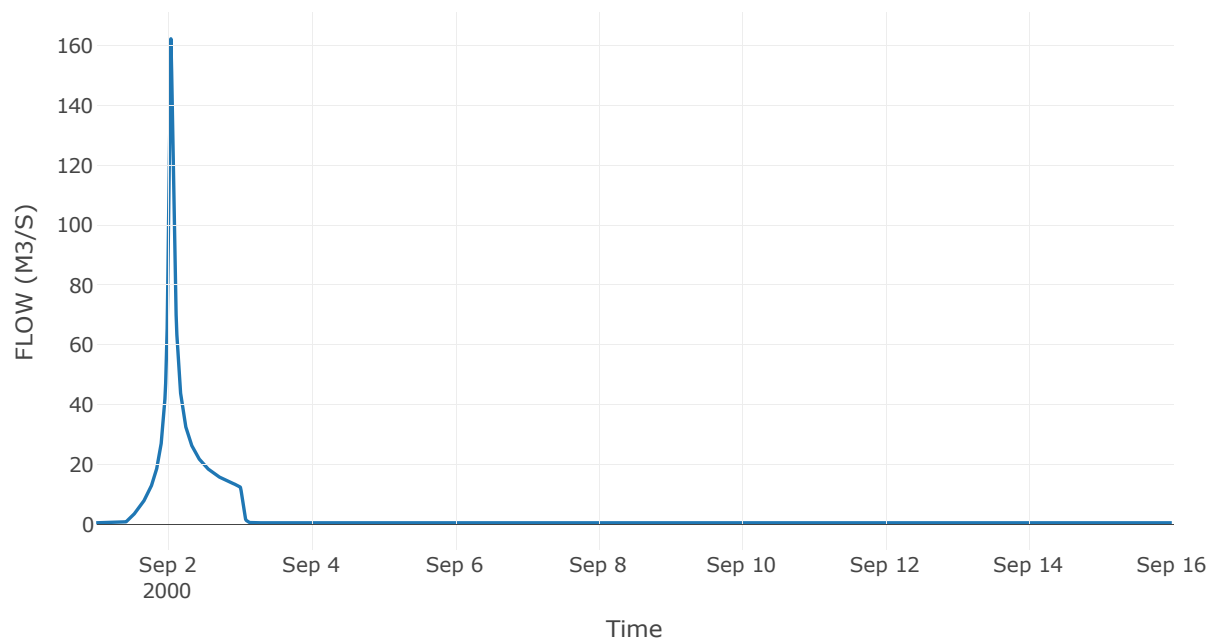
Κατάντη : J10

Μέθοδος Διόδευσης	Χρόνος
Αρχική Μεταβλητή	Combined Inflow
Χρόνος Υστέρησης	0

Αποτελέσματα: R1410

Παροχή Αιχμής(M3/S)	162.21
Χρονική στιγμή αιχμής	02Sep2000, 01:00
Όγκος(MM)	185.84
Παροχή Αιχμής Εισόδου (M3/S)	162.21
Όγκος Εισροής(M3)	4.55E6

Απορροή



Κλάδος: R1510

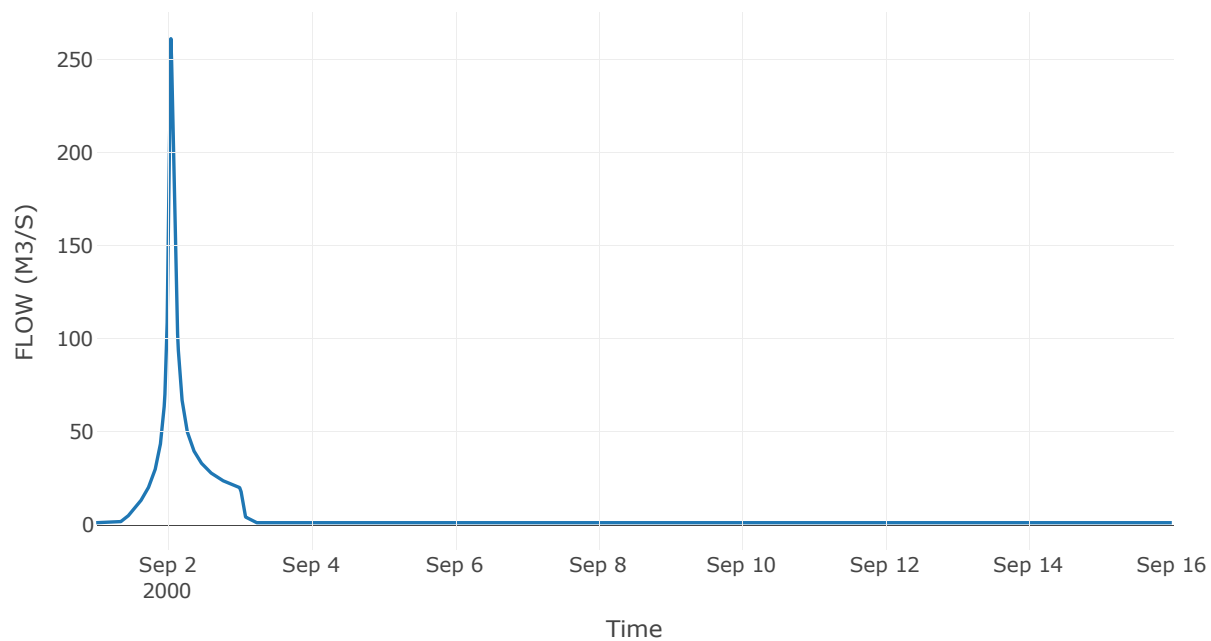
Κατάντη : J10

Μέθοδος Διόδευσης	Χρόνος
Αρχική Μεταβλητή	Combined Inflow
Χρόνος Υστέρησης	0

Αποτελέσματα: R1510

Παροχή Αιχμής(M3/S)	261.03
Χρονική στιγμή αιχμής	02Sep2000, 01:00
Όγκος(MM)	204.39
Παροχή Αιχμής Εισόδου (M3/S)	261.03
Όγκος Εισροής(M3)	7.47E6

Απορροή



Κλάδος: R1610

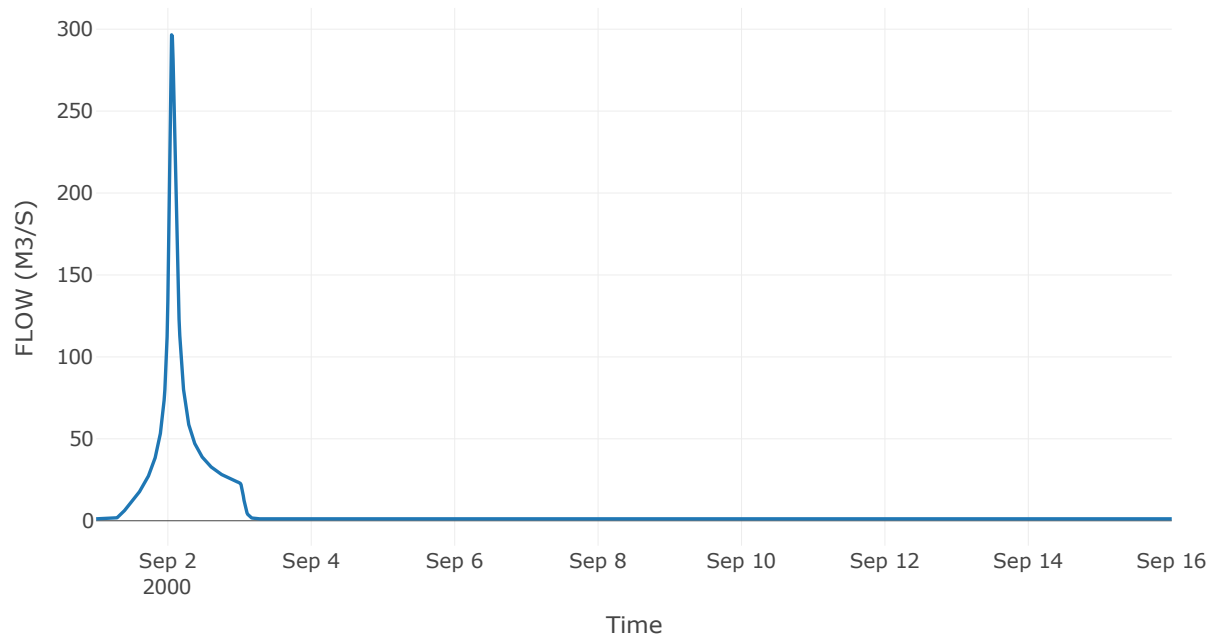
Κατάντη : J10

Μέθοδος Διόδευσης	Χρόνος
Αρχική Μεταβλητή	Combined Inflow
Χρόνος Υστέρησης	0

Αποτελέσματα: R1610

Παροχή Αιχμής(M3/S)	296.57
Χρονική στιγμή αιχμής	02Sep2000, 01:15
Όγκος(MM)	219.3
Παροχή Αιχμής Εισόδου (M3/S)	296.57
Όγκος Εισροής(M3)	9.17E6

Απορροή



Κλάδος: R1710

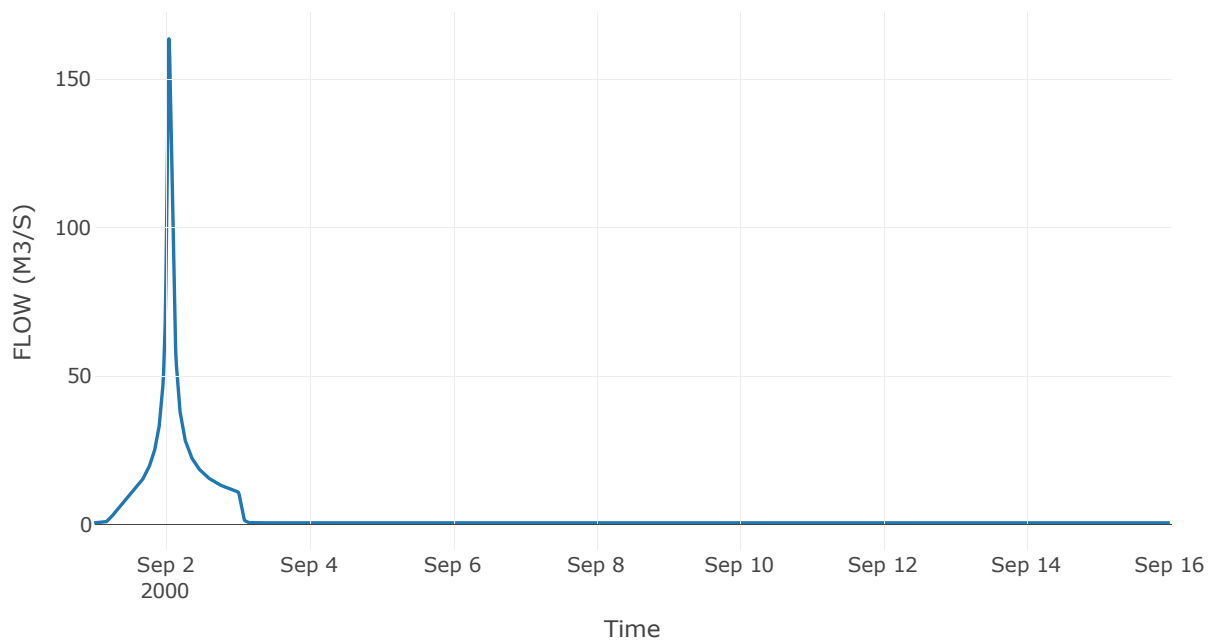
Κατάντη : J10

Μέθοδος Διόδευσης	Χρόνος
Αρχική Μεταβλητή	Combined Inflow
Χρόνος Υστέρησης	0

Αποτελέσματα: R1710

Παροχή Αιχμής(M3/S)	163.51
Χρονική στιγμή αιχμής	02Sep2000, 01:00
Όγκος(MM)	237.84
Παροχή Αιχμής Εισόδου (M3/S)	163.51
Όγκος Εισροής(M3)	4.65E6

Απορροή



Κλάδος: R1810

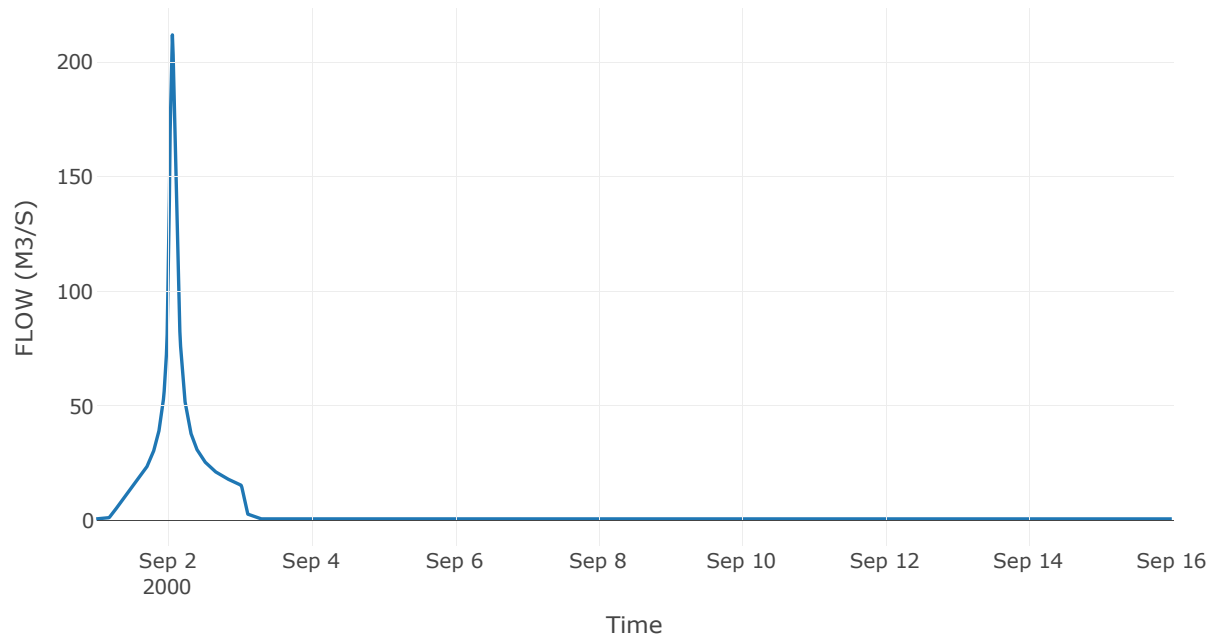
Κατάντη : J10

Μέθοδος Διόδευσης	Χρόνος
Αρχική Μεταβλητή	Combined Inflow
Χρόνος Υστέρησης	0

Αποτελέσματα: R1810

Παροχή Αιχμής(M3/S)	211.94
Χρονική στιγμή αιχμής	02Sep2000, 01:30
Όγκος(MM)	237.72
Παροχή Αιχμής Εισόδου (M3/S)	211.94
Όγκος Εισροής(M3)	6.85E6

Απορροή



Κλάδος: R1910

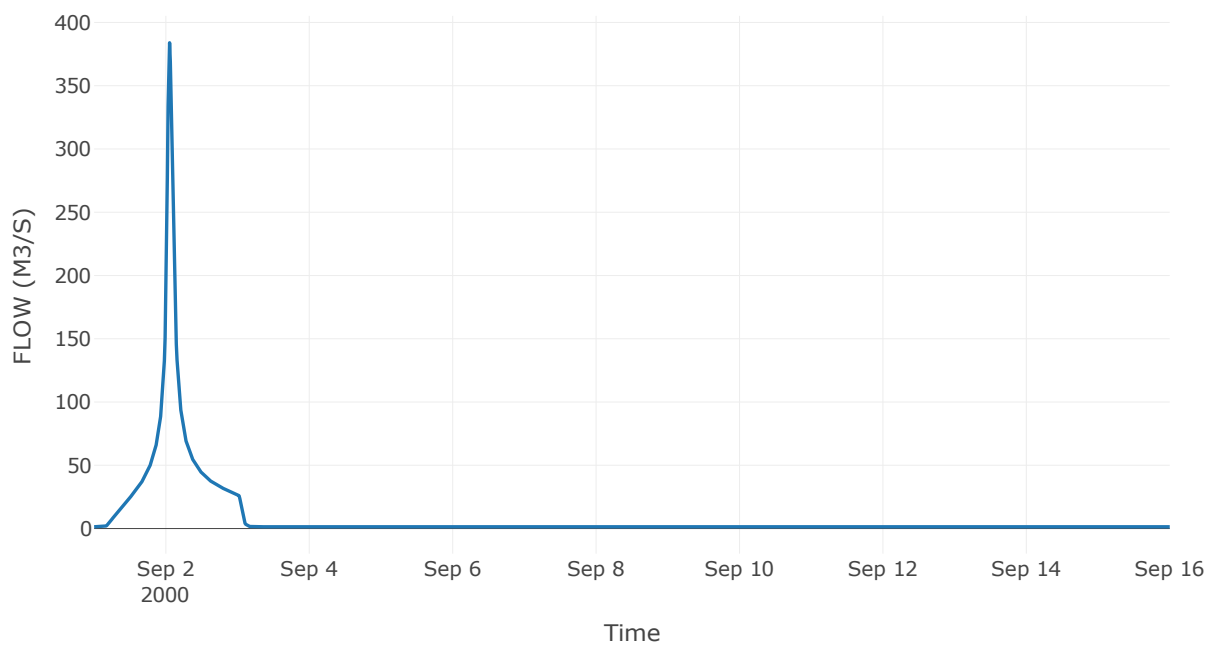
Κατάντη : J10

Μέθοδος Διόδευσης	Χρόνος
Αρχική Μεταβλητή	Combined Inflow
Χρόνος Υστέρησης	0

Αποτελέσματα: R1910

Παροχή Αιχμής(M3/S)	383.96
Χρονική στιγμή αιχμής	02Sep2000, 01:15
Όγκος(MM)	234.97
Παροχή Αιχμής Εισόδου (M3/S)	383.96
Όγκος Εισροής(M3)	1.16E7

Απορροή



Κλάδος: R16

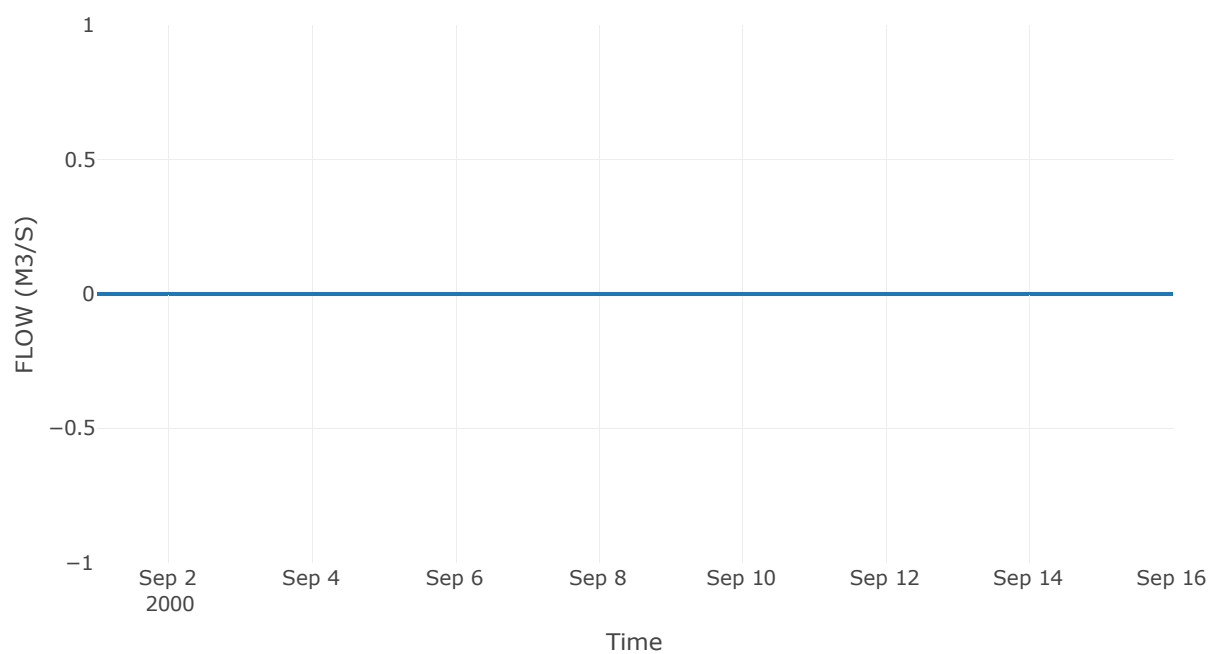
Κατάντη : J6

Μέθοδος Διόδευσης	Muskingum
Αρχική Μεταβλητή	Combined Inflow
Χρόνος Ροής Κ	12.92
Συντελεστής βάρους x	0.2
Πλήθος Υποκλάδων	59

Αποτελέσματα: R16

Παροχή Αιχμής(M3/S)	0
Χρονική στιγμή αιχμής	31Aug2000, 24:00
Εισροή Αιχμής(M3/S)	0
Όγκος Εισροής (M3)	0

Απορροή



Κλάδος: R74

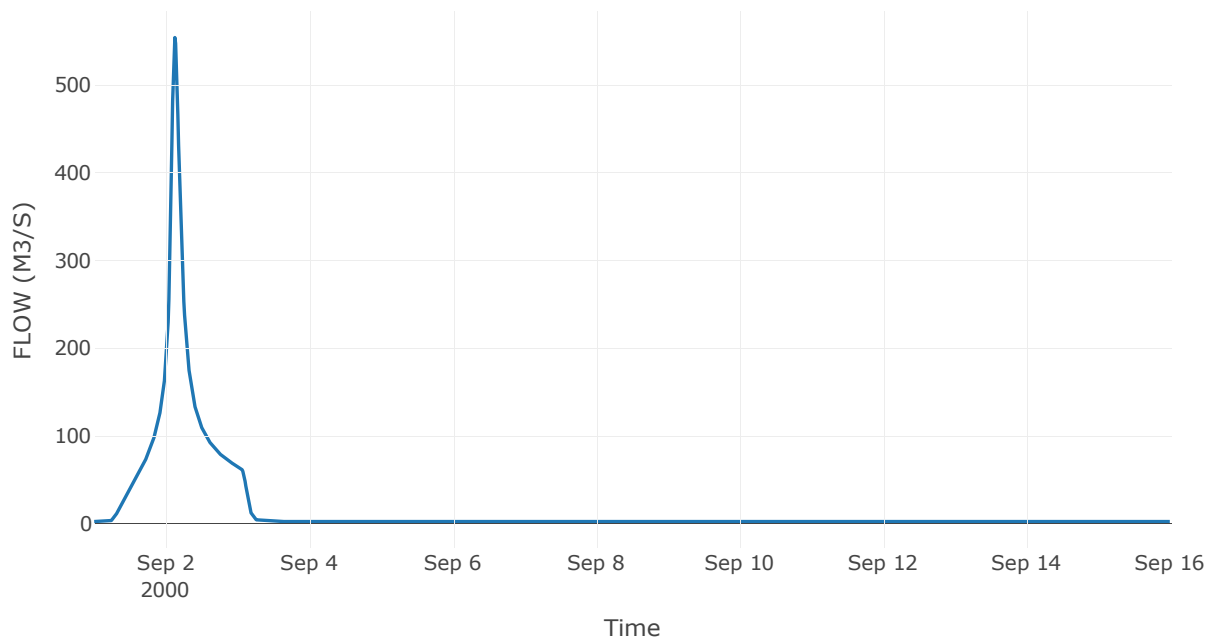
Κατάντη : J4

Μέθοδος Διόδευσης	Muskingum
Αρχική Μεταβλητή	Combined Inflow
Χρόνος Ροής K	1.22
Συντελεστής βάρους x	0.2
Πλήθος Υποκλάδων	6

Αποτελέσματα: R74

Παροχή Αιχμής(M3/S)	554.21
Χρονική στιγμή αιχμής	02Sep2000, 03:00
Όγκος(MM)	254.47
Παροχή Αιχμής Εισόδου (M3/S)	574.44
Όγκος Εισροής(M3)	2.3E7

Απορροή



Κλάδος: R85

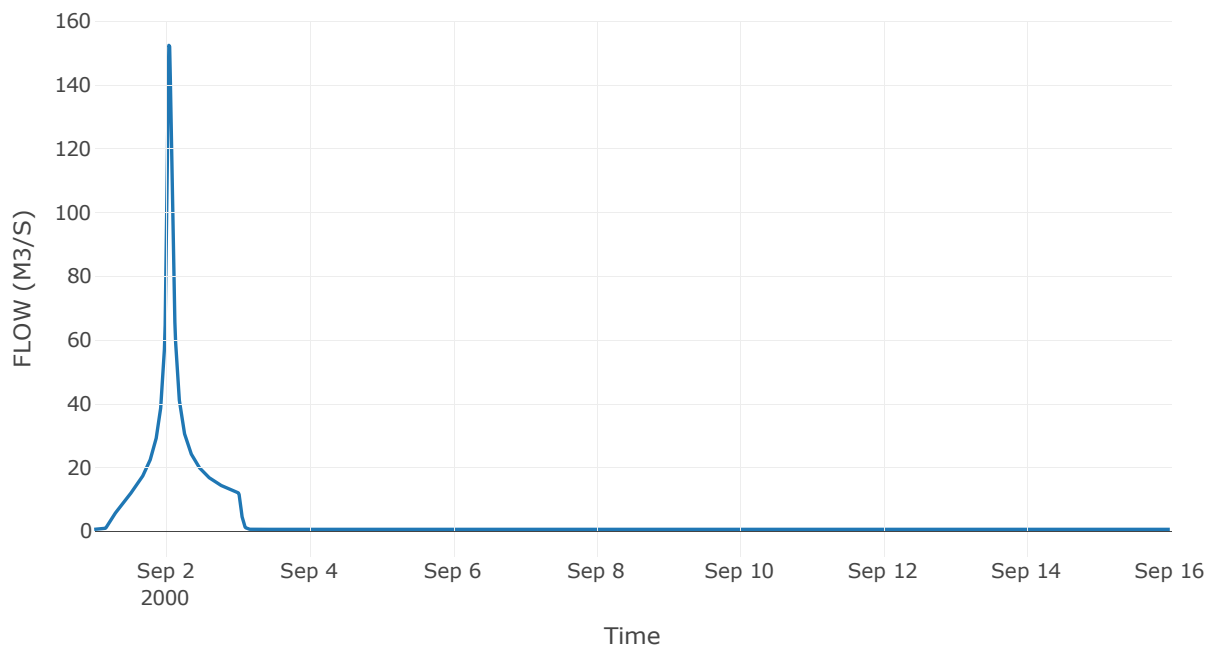
Κατάντη : J5

Μέθοδ	Muskingum
Αρχική Μεταβλητή	Combined Inflow
Χρόνος	0.24
Συντελεστής βάρους x	0.2
Πλήθος	1

Αποτελέσματα: R85

Παροχή Αιχμής(M3/S)	152.38
Χρονική στιγμή αιχμής	02Sep2000, 01:00
Όγκος(MM)	236.69
Παροχή Αιχμής Εισόδου (M3/S)	155.69
Όγκος	4.83E6

Απορροή



Κλάδος: R95

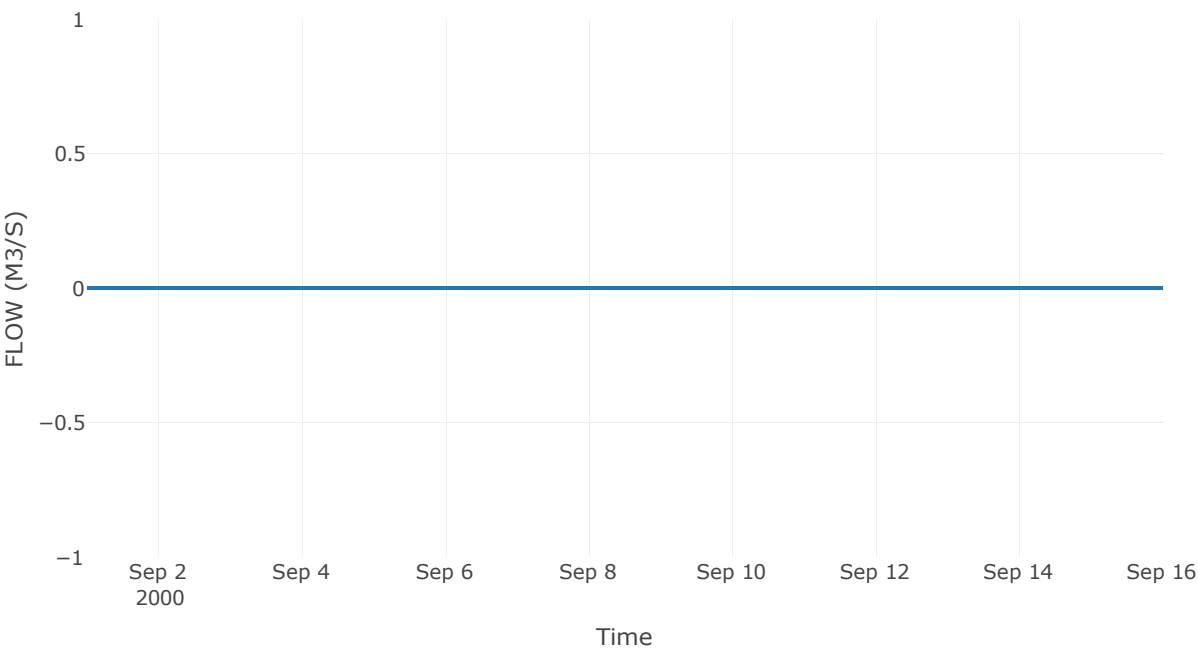
Κατάντη : J5

Μέθοδος Διόδευσης	Χρόνος
Αρχική Μεταβλητή	Combined Inflow
Χρόνος Υστέρησης	76.75

Αποτελέσματα: R95

Παροχή Αιχμής(M3/S)	0
Χρονική στιγμή αιχμής	31Aug2000, 24:00
Εισροή Αιχμής(M3/S)	0
Όγκος Εισροής (M3)	0

Απορροή



Κλάδος: R2011

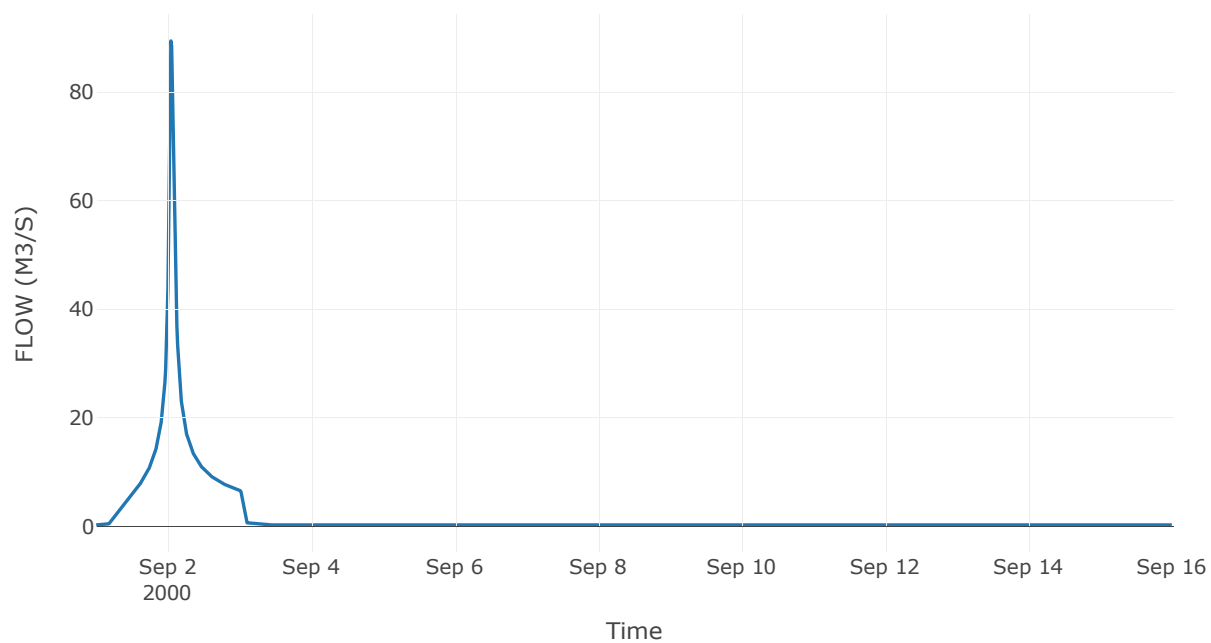
Κατάντη : J11

Μέθοδος Διόδευσης	Χρόνος
Αρχική Μεταβλητή	Combined Inflow
Χρόνος Υστέρησης	11.53

Αποτελέσματα: R2011

Παροχή Αιχμής(M3/S)	89.39
Χρονική στιγμή αιχμής	02Sep2000, 01:00
Όγκος(MM)	238.93
Παροχή Αιχμής Εισόδου (M3/S)	90.03
Όγκος Εισροής(M3)	2.68E6

Απορροή



Κλάδος: R2117

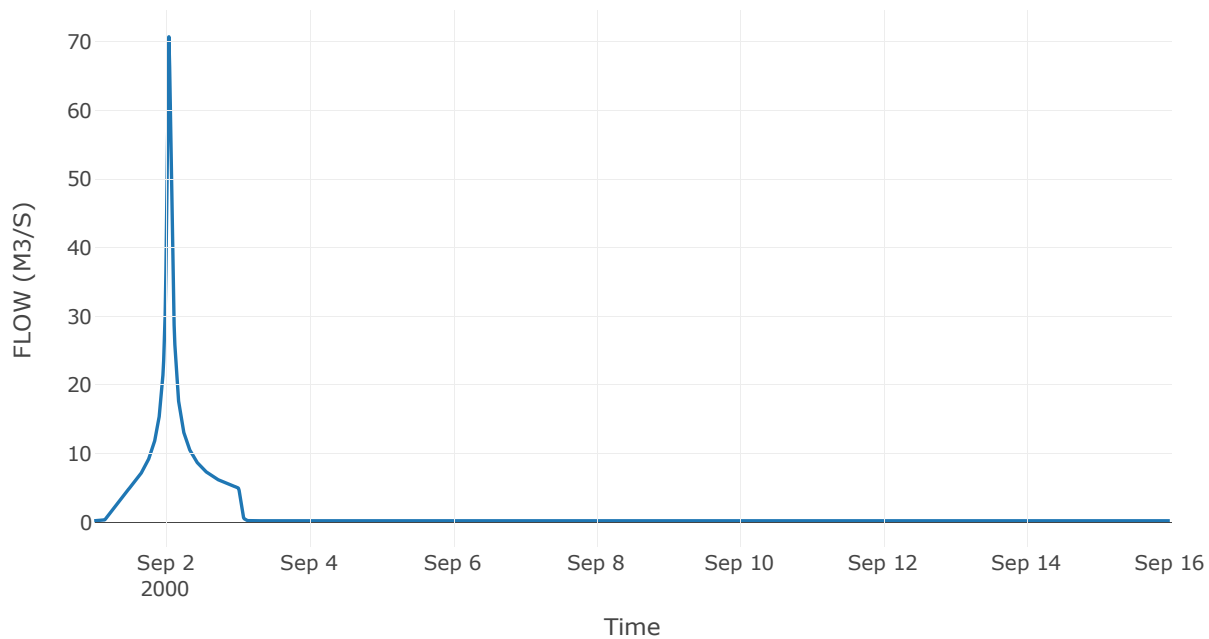
Κατάντη : J17

Μέθοδος Διόδευσης	Χρόνος
Αρχική Μεταβλητή	Combined Inflow
Χρόνος Υστέρησης	10.82

Αποτελέσματα: R2117

Παροχή Αιχμής(M3/S)	70.73
Χρονική στιγμή αιχμής	02Sep2000, 01:00
Όγκος(MM)	244.06
Παροχή Αιχμής Εισόδου (M3/S)	71.61
Όγκος Εισροής(M3)	2.07E6

Απορροή



Κλάδος: R2218

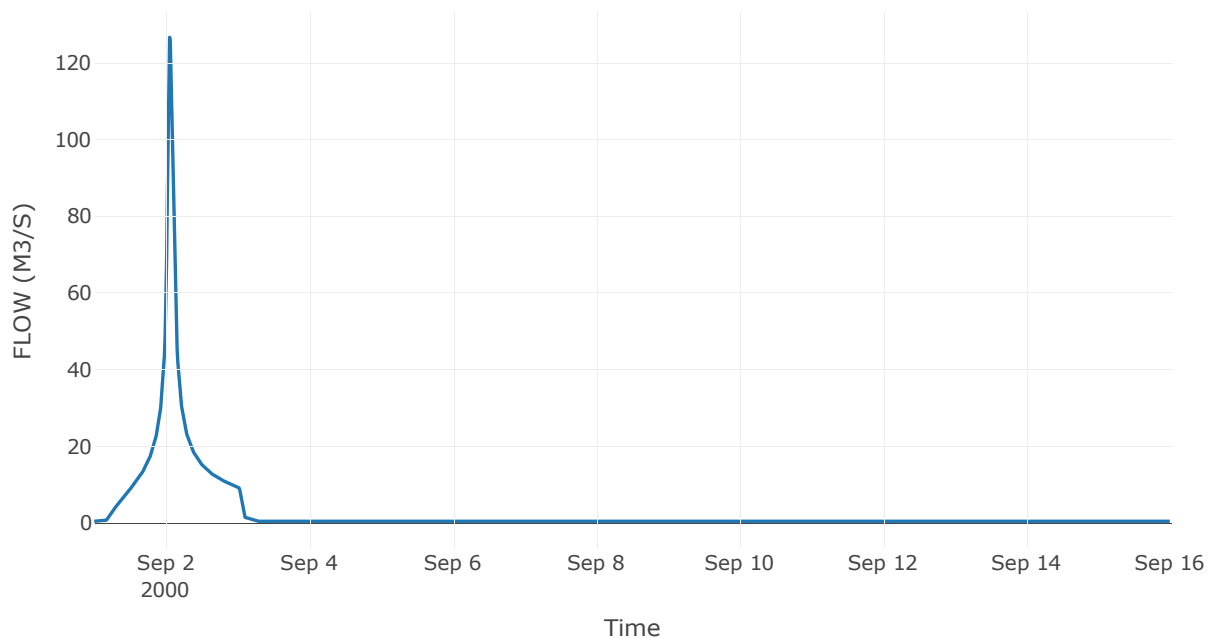
Κατάντη : J18

Μέθοδος Διόδευσης	Muskingum
Αρχική Μεταβλητή	Combined Inflow
Χρόνος Ροής Κ	0.28
Συντελεστής βάρους α	0.2
Πλήθος Υποκλάδων	1

Αποτελέσματα: R2218

Παροχή Αιχμής(M3/S)	126.6
Χρονική στιγμή αιχμής	02Sep2000, 01:15
Όγκος(MM)	239.99
Παροχή Αιχμής Εισόδου (M3/S)	130.47
Όγκος Εισροής(M3)	3.94E6

Απορροή



Κλάδος: R2319

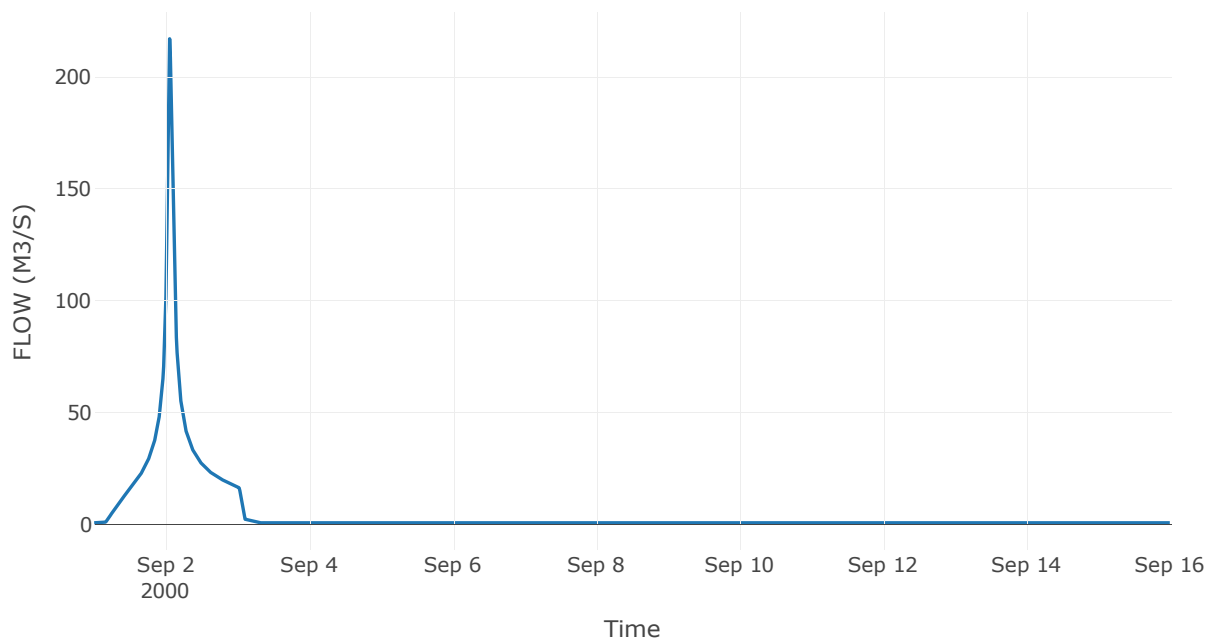
Κατάντη : J19

Μέθοδος Διόδευσης	Χρόνος
Αρχική Μεταβλητή	Combined Inflow
Χρόνος Υστέρησης	12.96

Αποτελέσματα: R2319

Παροχή Αιχμής(M3/S)	217.04
Χρονική στιγμή αιχμής	02Sep2000, 01:15
Όγκος(MM)	239.15
Παροχή Αιχμής Εισόδου (M3/S)	218.25
Όγκος Εισροής(M3)	6.89E6

Απορροή



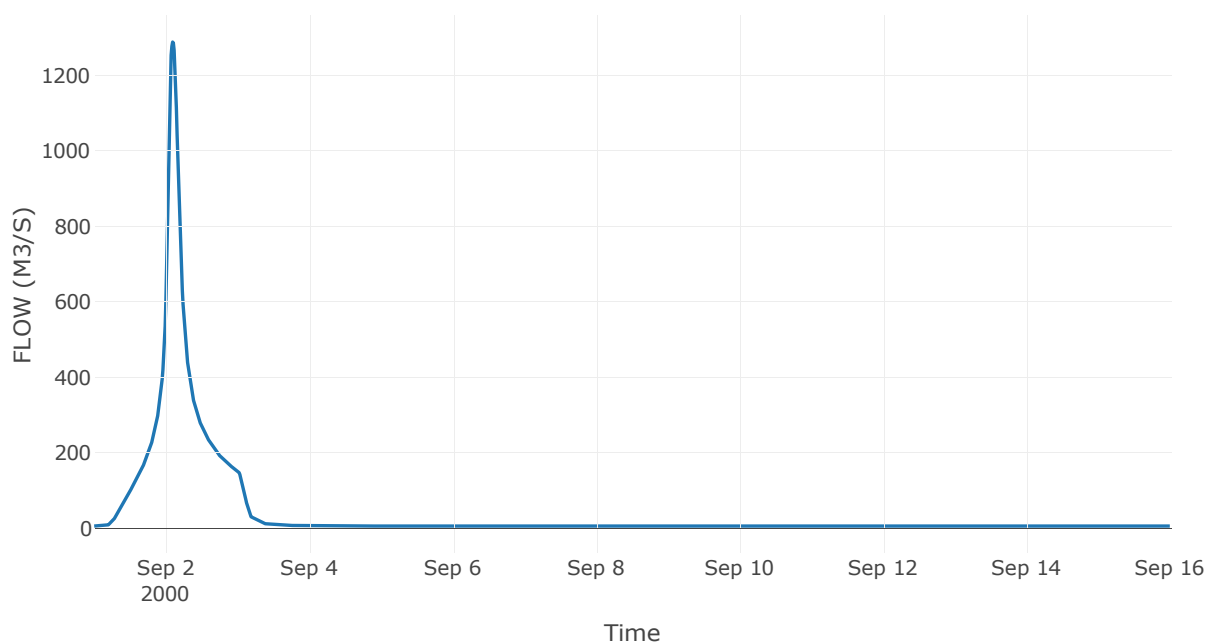
Δεδομένα και υδρογραφήματα σχεδιασμού Κόμβων υδρογραφικού δικτύου

Κόμβος εξόδου: J1

Αποτέλεσμα
τα: J1

Παροχή αιχμής (M3/S)	1288.19
Χρονική στιγμή αιχμής	02Sep2000, 02:15
Όγκος (MM)	238.1

Απορροή



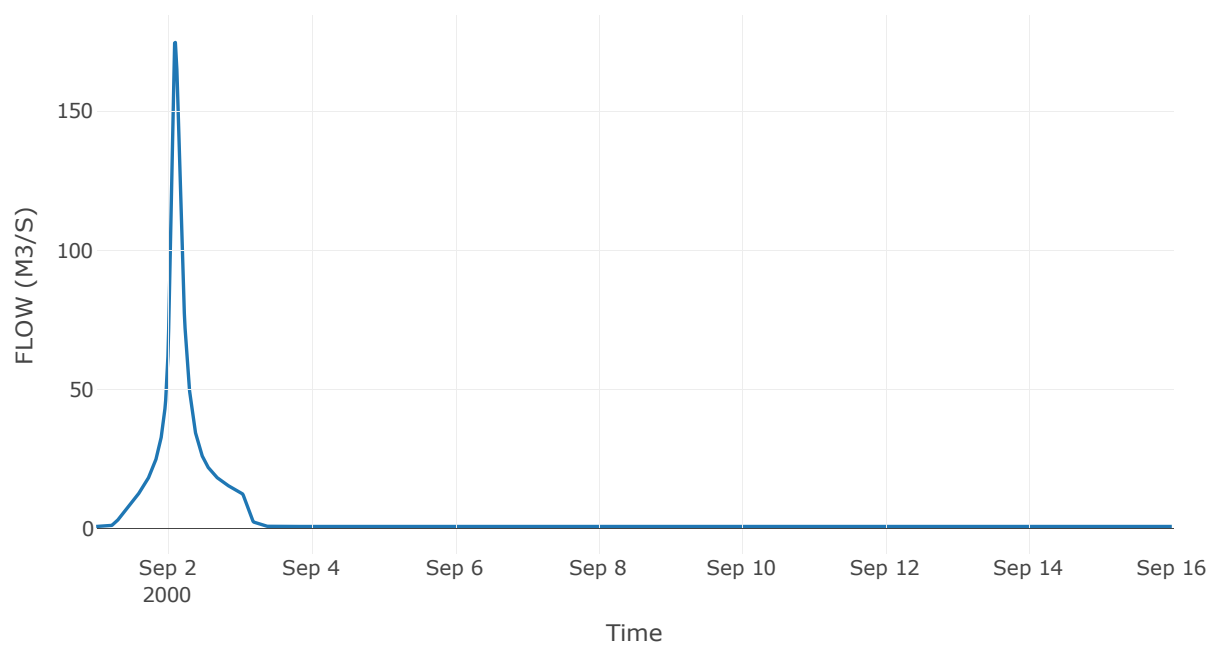
Κόμβος: J2

Κατάντη : R21

Αποτελέσματα: J2

Παροχή Αιχμής(M3/S)	174.73
Χρονική στιγμή αιχμής	02Sep2000, 02:30
Όγκος(MM)	225.58

Απορροή



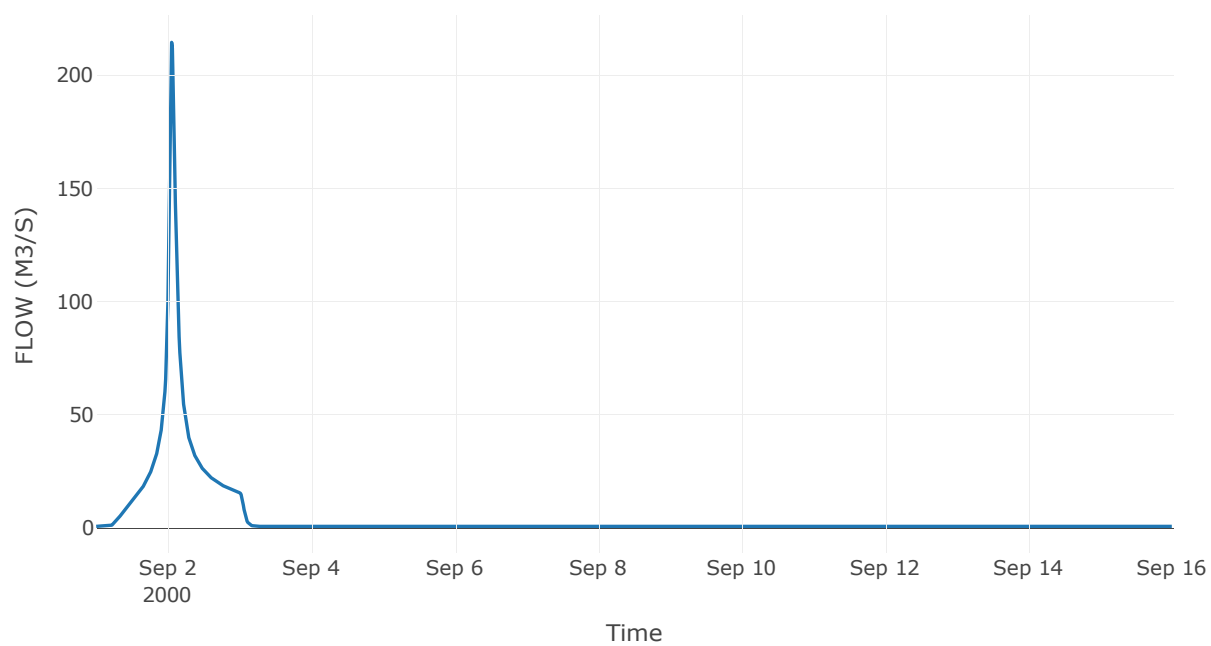
Κόμβος: J3

Κατάντη : R31

Αποτελέσματα: J3

Παροχή Αιχμής(M3/S)	214.41
Χρονική στιγμή αιχμής	02Sep2000, 01:15
Όγκος(MM)	221.47

Απορροή



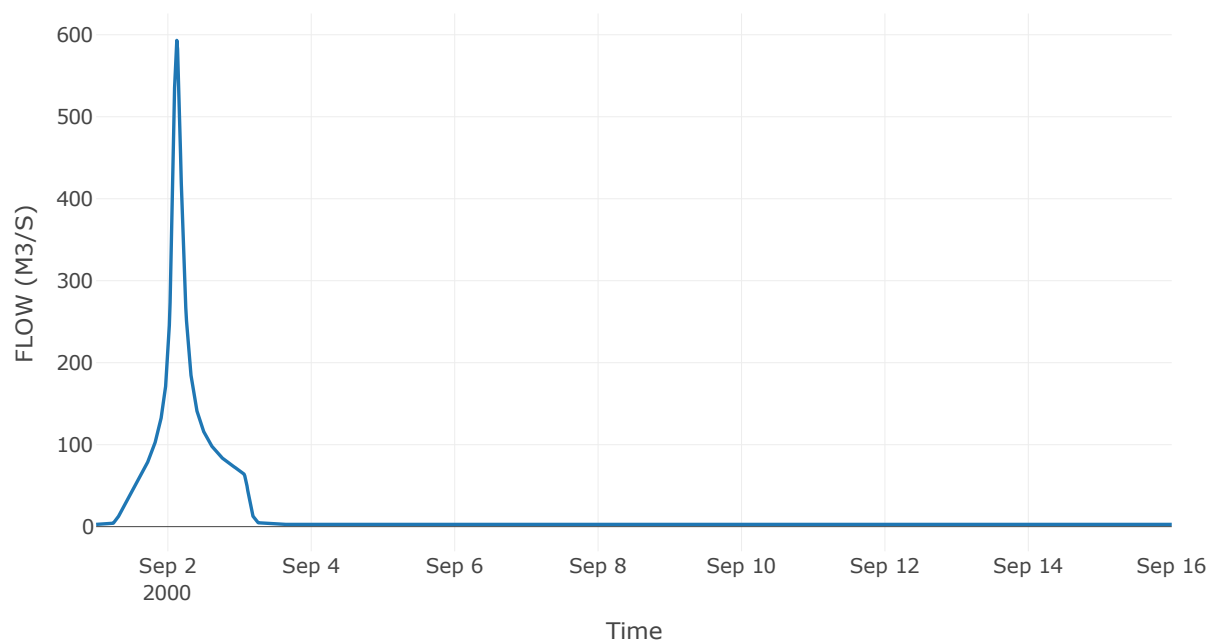
Κόμβος: J4

Κατάντη : R41

Αποτελέσματα: J4

Παροχή Αιχμής(M3/S)	593.18
Χρονική στιγμή αιχμής	02Sep2000, 03:00
Όγκος(MM)	251.86

Απορροή



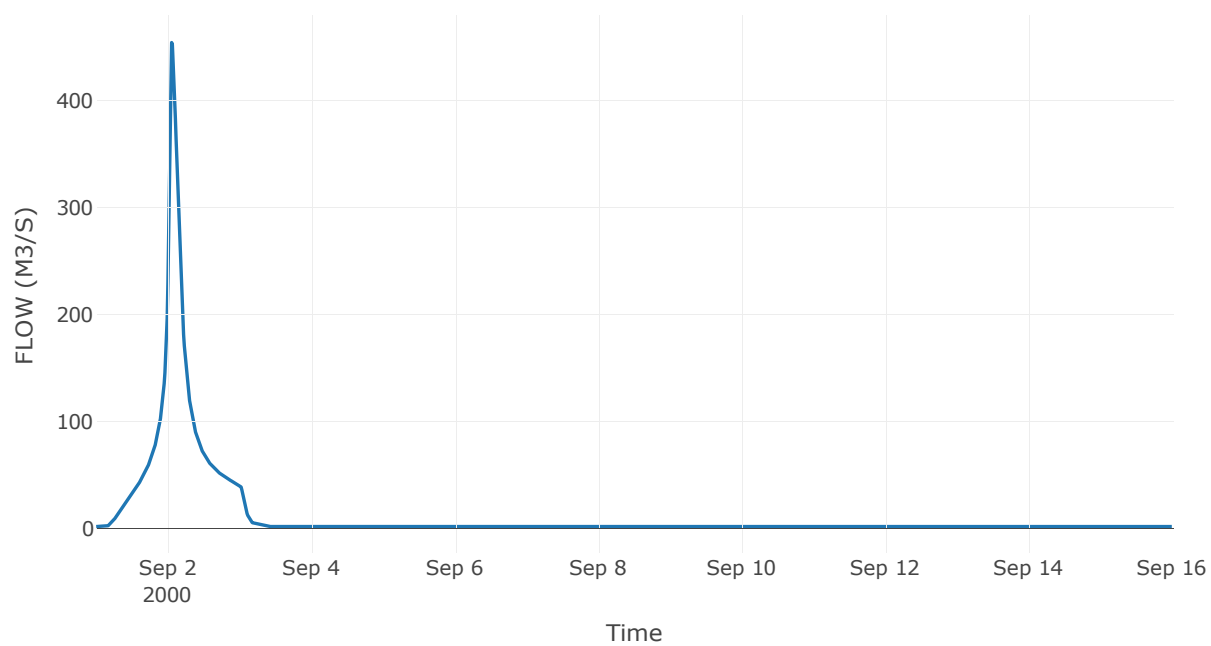
Κόμβος: J5

Κατάντη : R51

Αποτελέσματα: J5

Παροχή Αιχμής(M3/S)	454.27
Χρονική στιγμή αιχμής	02Sep2000, 01:15
Όγκος(MM)	229.9

Απορροή

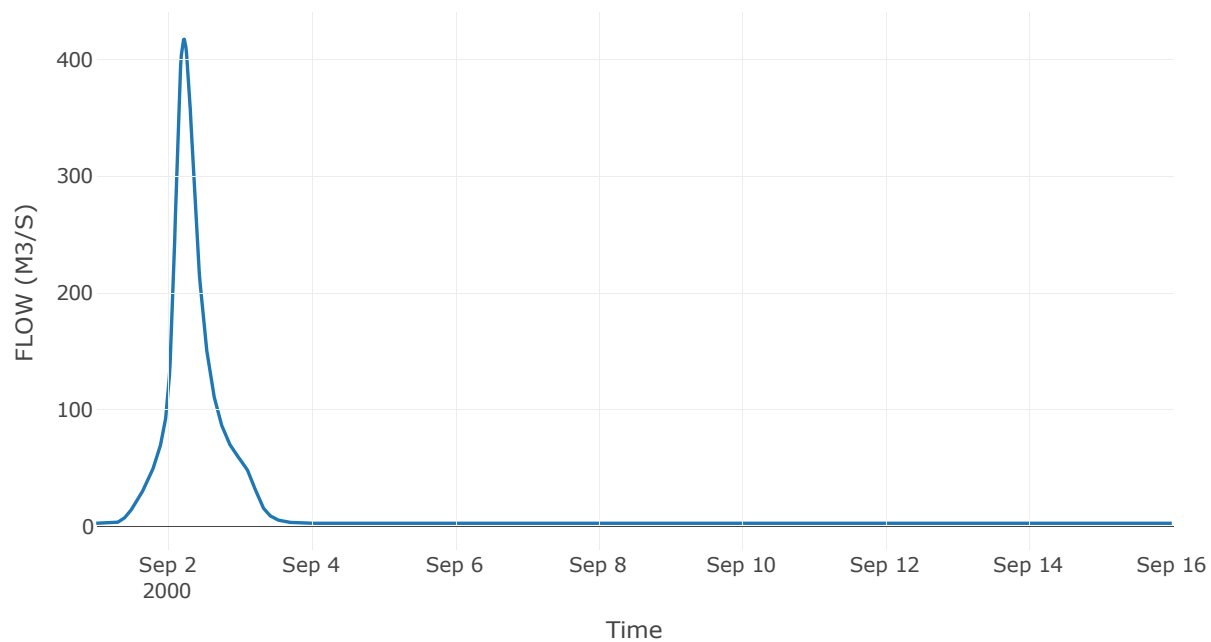


Κόμβος εξόδου: J6

Αποτελέσμα
α: J6

Παροχή αιχμής (M3/S)	417.12
Χρονική στιγμή αιχμής	02Sep2000, 05:30
Όγκος (MM)	218.49

Απορροή



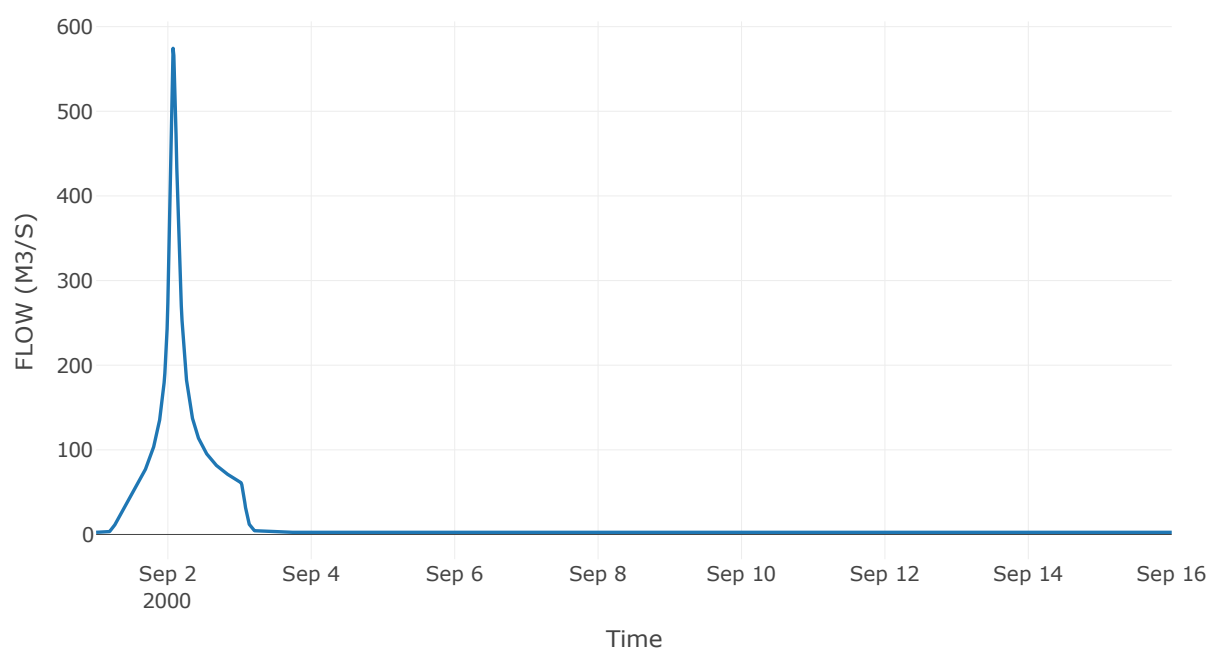
Κόμβος: J7

Κατάντη : R74

Αποτελέσματα: J7

Παροχή Αιχμής(M3/S)	574.44
Χρονική στιγμή αιχμής	02Sep2000, 01:45
Όγκος(MM)	254.47

Απορροή



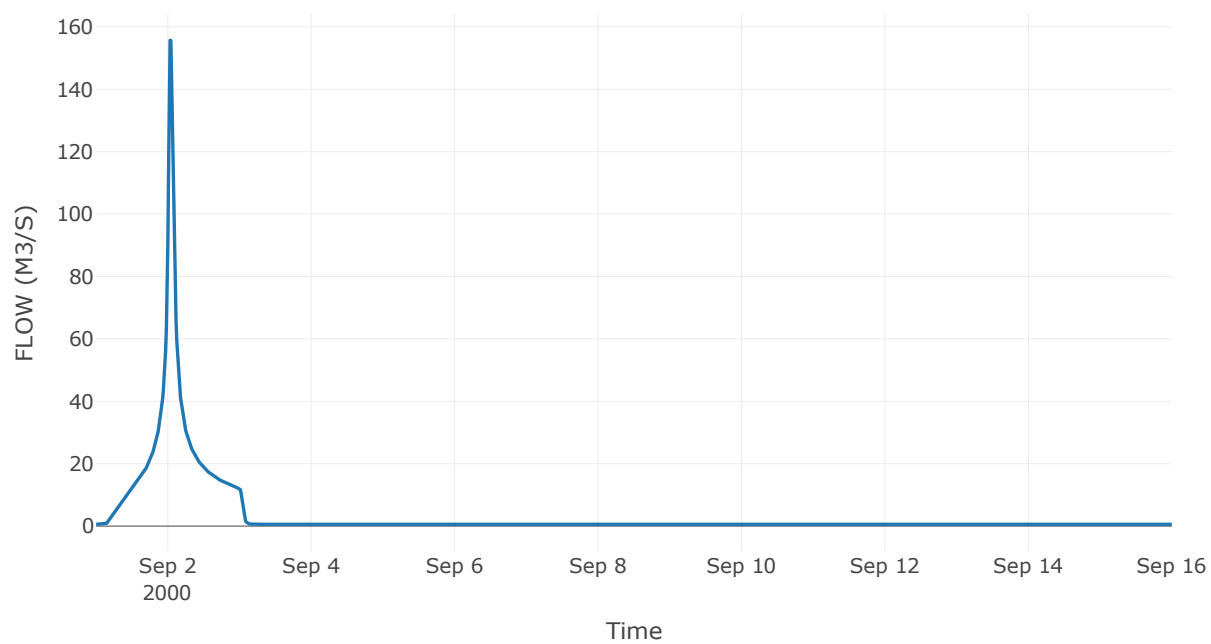
Κόμβος: J8

Κατάντη : R85

Αποτελέσματα: J8

Παροχή Αιχμής(M3/S)	155.69
Χρονική στιγμή αιχμής	02Sep2000, 00:45
Όγκος(MM)	236.69

Απορροή



Κόμβος: J9

Κατάντη : R95

Αποτελέσματα: J9

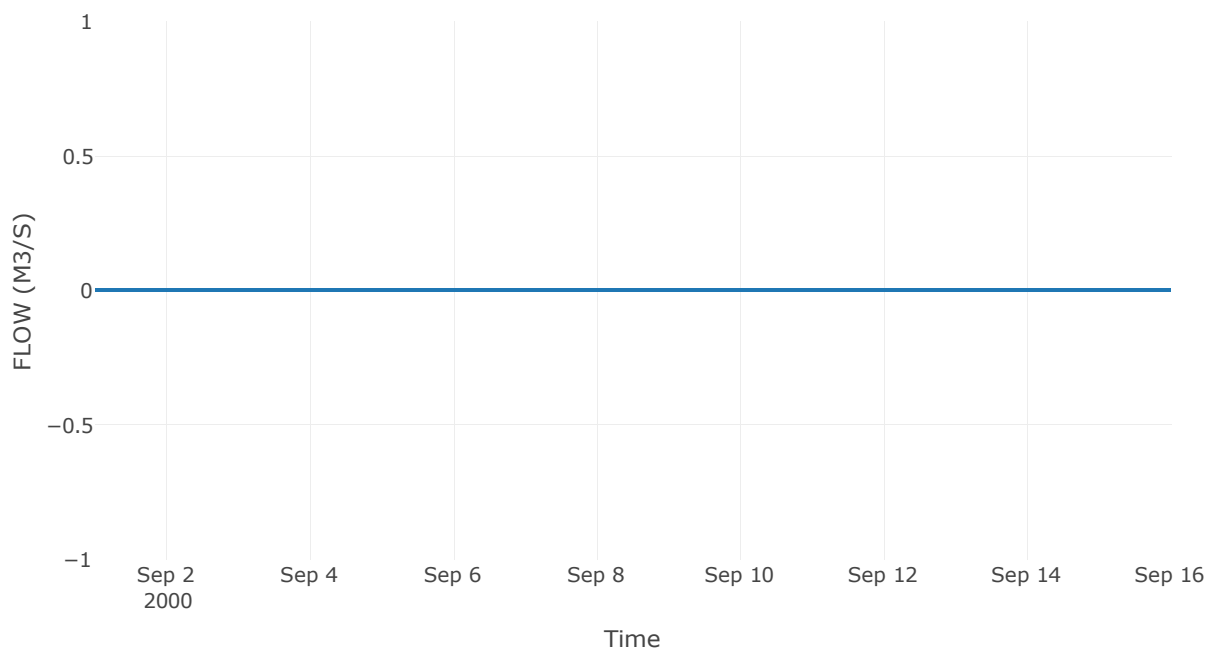
Παροχή Αιχμής(M3/S)

0

Χρονική στιγμή αιχμής

31Aug2000, 24:00

Απορροή

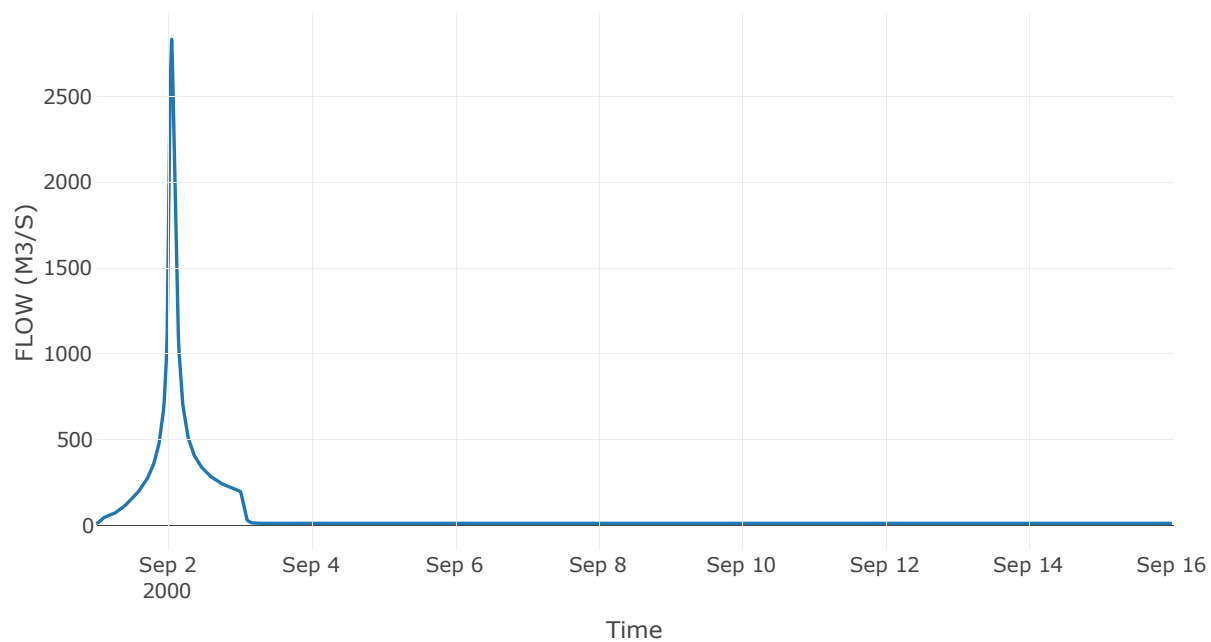


Κόμβος εξόδου: J10

Αποτελέσματ
α: J10

Παροχή αιχμής (M3/S)	2832.65
Χρονική στιγμή αιχμής	02Sep2000, 01:15
Όγκος (MM)	227.46

Απορροή



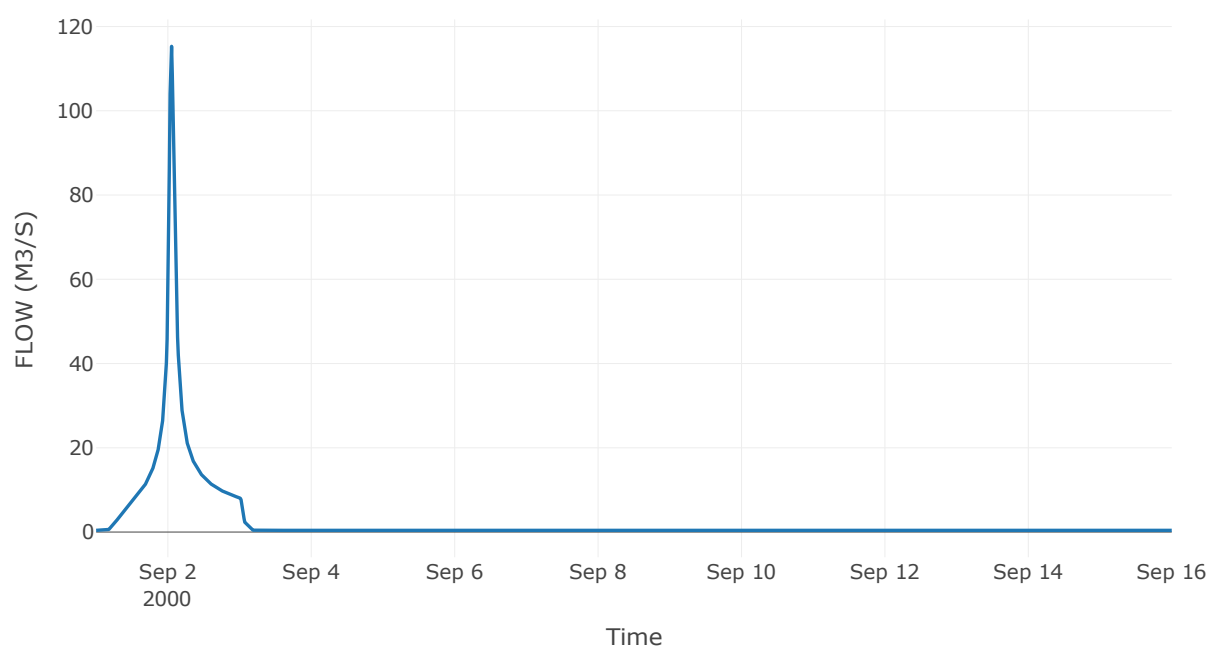
Κόμβος: J11

Κατάντη : R1110

Αποτελέσματα: J11

Παροχή Αιχμής(M3/S)	115.3
Χρονική στιγμή αιχμής	02Sep2000, 01:15
Όγκος(MM)	234.11

Απορροή



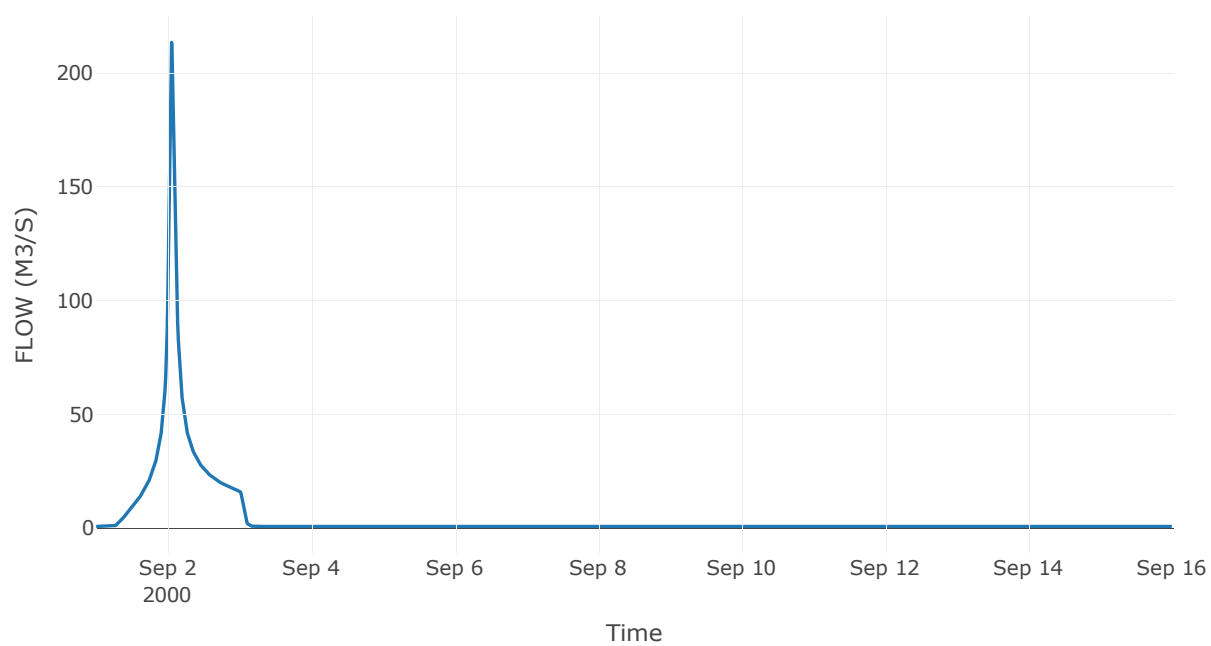
Κόμβος: J12

Κατάντη : R1210

Αποτελέσματα: J12

Παροχή Αιχμής(M3/S)	213.38
Χρονική στιγμή αιχμής	02Sep2000, 01:15
Όγκος(MM)	213.86

Απορροή



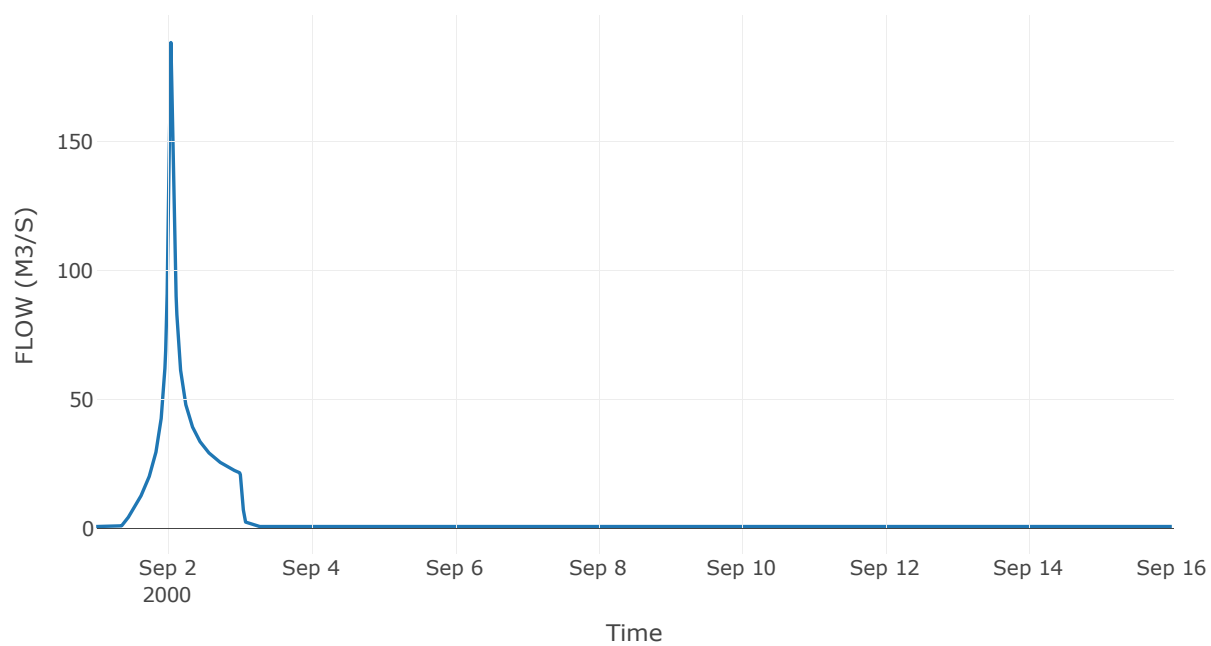
Κόμβος: J13

Κατάντη : R1310

Αποτελέσματα: J13

Παροχή Αιχμής(M3/S)	188.35
Χρονική στιγμή αιχμής	02Sep2000, 01:00
Όγκος(MM)	202.41

Απορροή



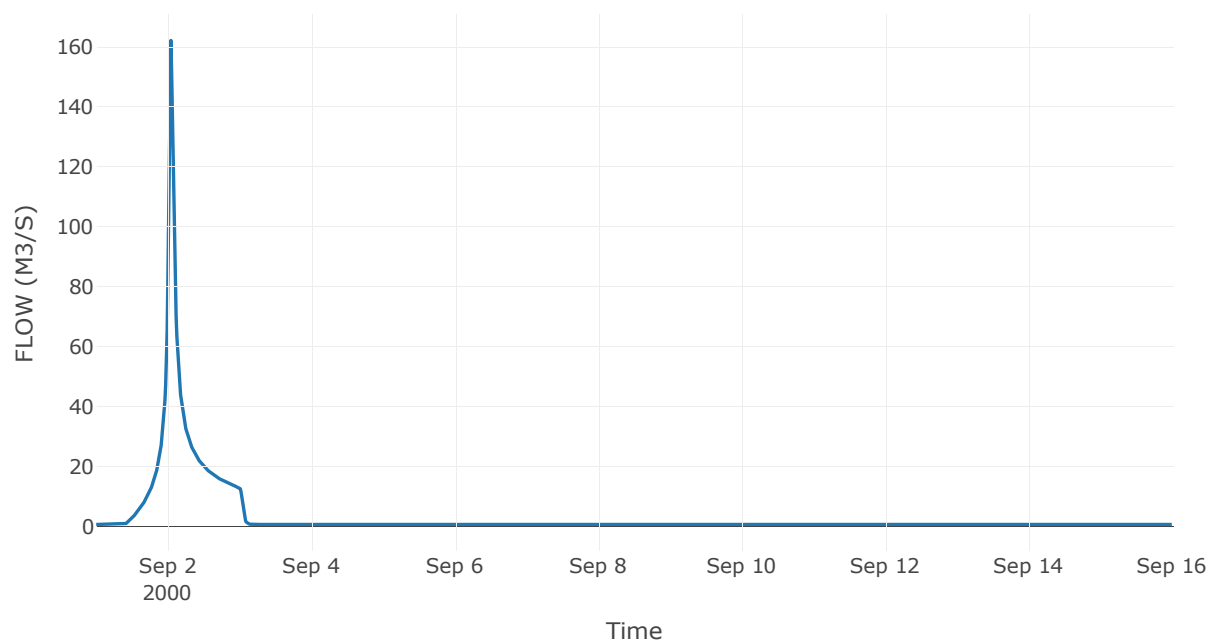
Κόμβος: J14

Κατάντη : R1410

Αποτελέσματα: J14

Παροχή Αιχμής(M3/S)	162.21
Χρονική στιγμή αιχμής	02Sep2000, 01:00
Όγκος(MM)	185.84

Απορροή



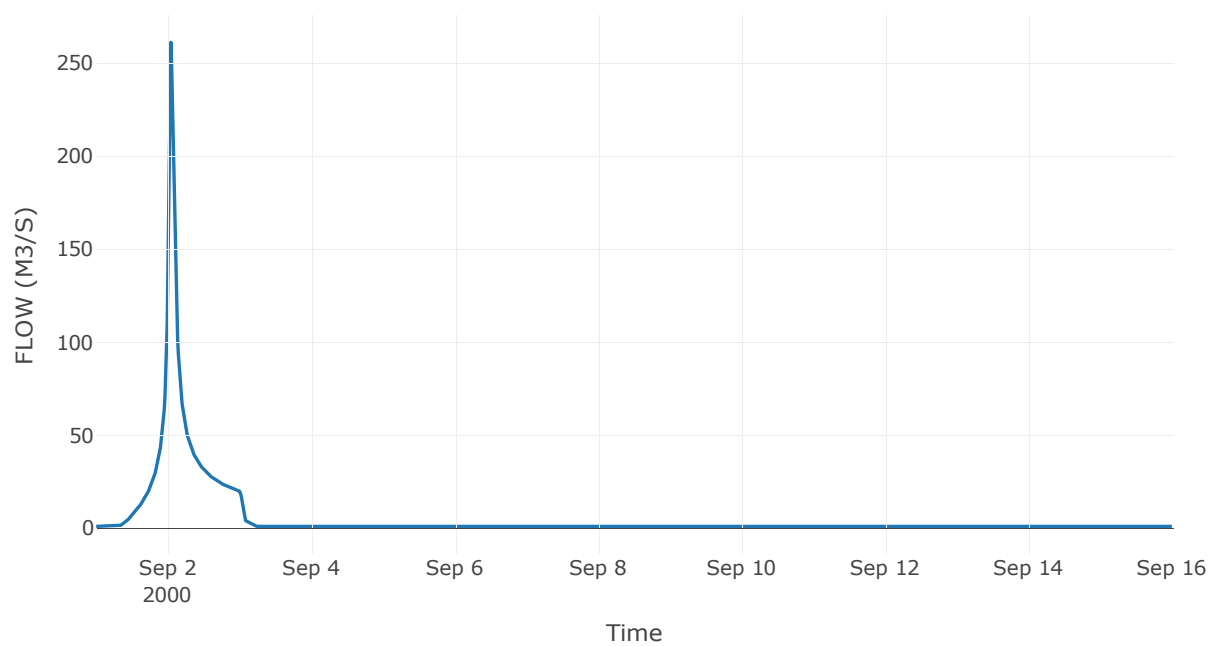
Κόμβος: J15

Κατάντη : R1510

Αποτελέσματα: J15

Παροχή Αιχμής(M3/S)	261.03
Χρονική στιγμή αιχμής	02Sep2000, 01:00
Όγκος(MM)	204.39

Απορροή



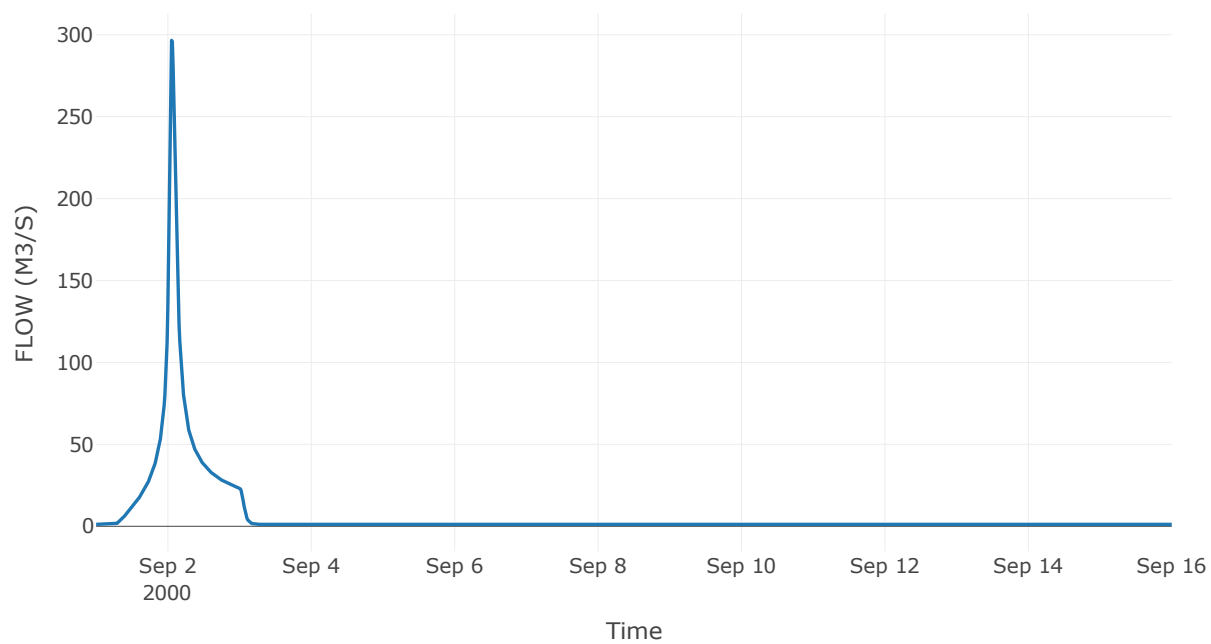
Κόμβος: J16

Κατάντη : R1610

Αποτελέσματα: J16

Παροχή Αιχμής(M3/S)	296.57
Χρονική στιγμή αιχμής	02Sep2000, 01:15
Όγκος(MM)	219.3

Απορροή



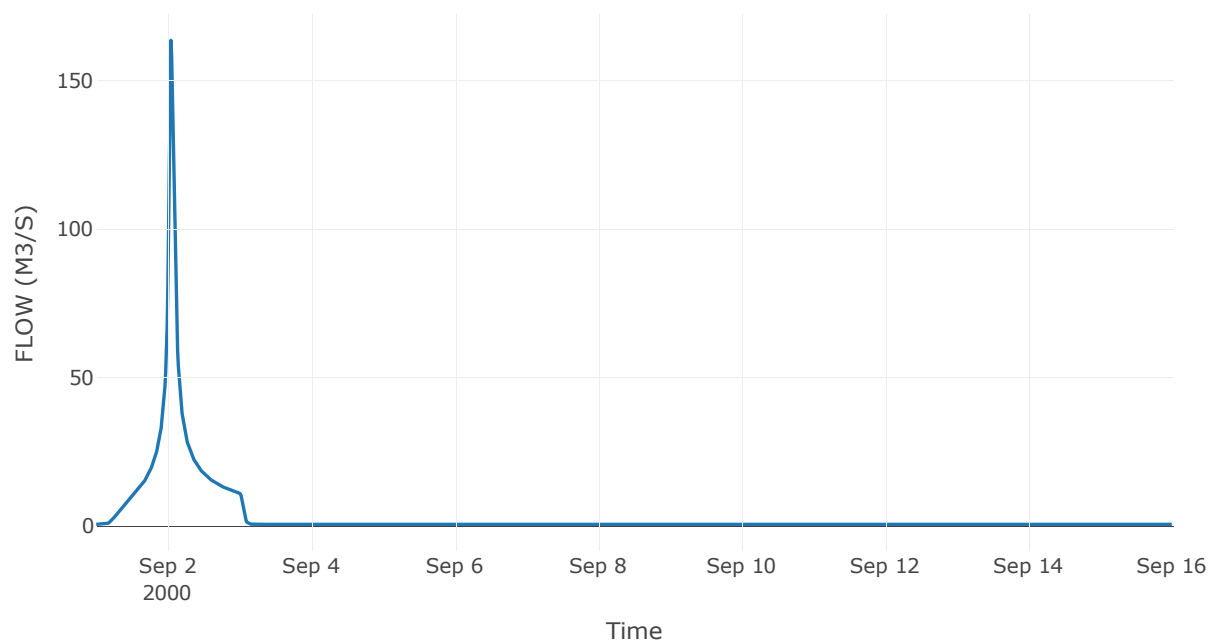
Κόμβος: J17

Κατάντη : R1710

Αποτελέσματα: J17

Παροχή Αιχμής(M3/S)	163.51
Χρονική στιγμή αιχμής	02Sep2000, 01:00
Όγκος(MM)	237.84

Απορροή



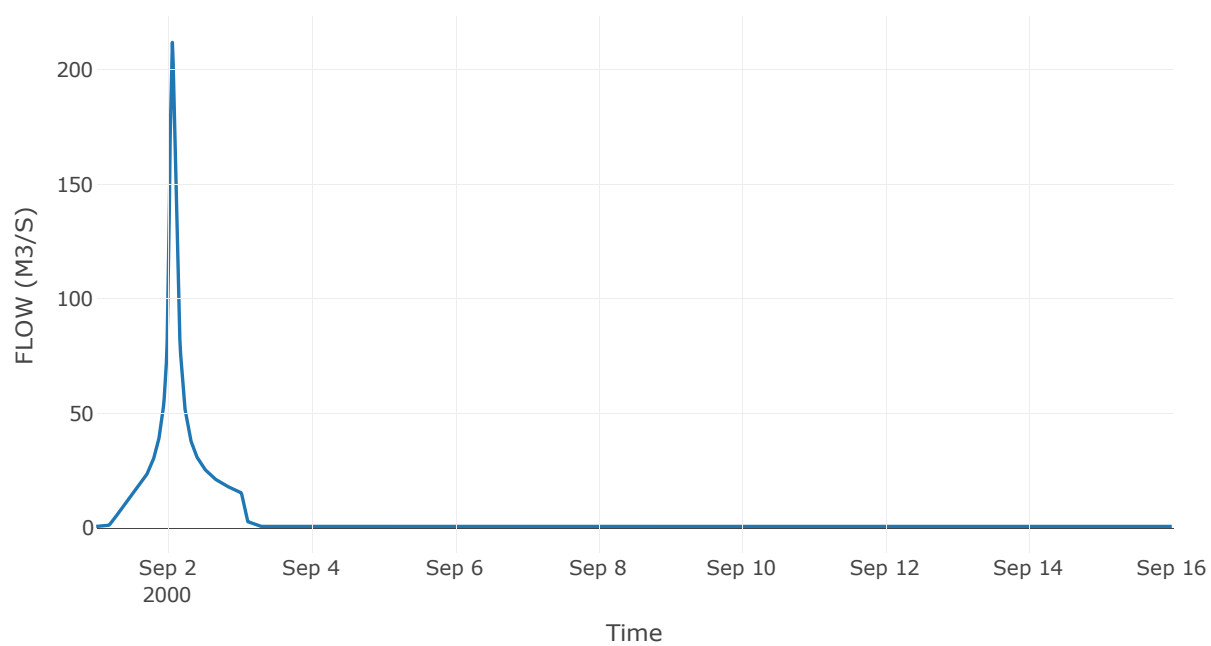
Κόμβος: J18

Κατάντη : R1810

Αποτελέσματα: J18

Παροχή Αιχμής(M3/S)	211.94
Χρονική στιγμή αιχμής	02Sep2000, 01:30
Όγκος(MM)	237.72

Απορροή



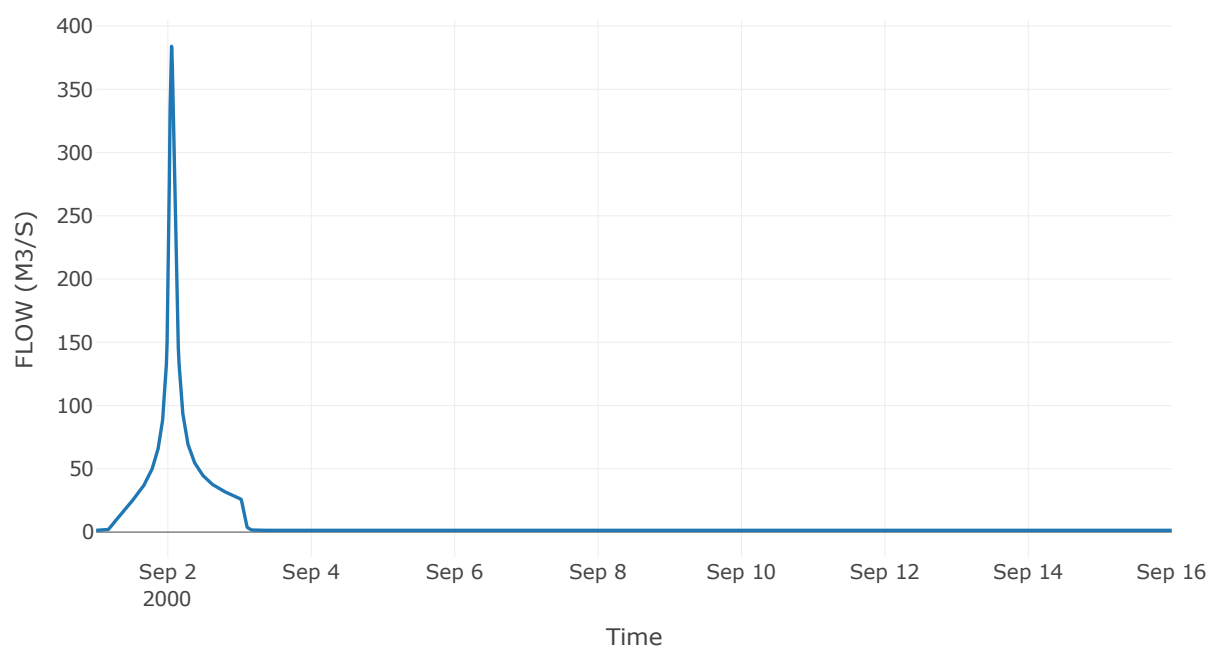
Κόμβος: J19

Κατάντη : R1910

Αποτελέσματα: J19

Παροχή Αιχμής(M3/S)	383.96
Χρονική στιγμή αιχμής	02Sep2000, 01:15
Όγκος(MM)	234.97

Απορροή



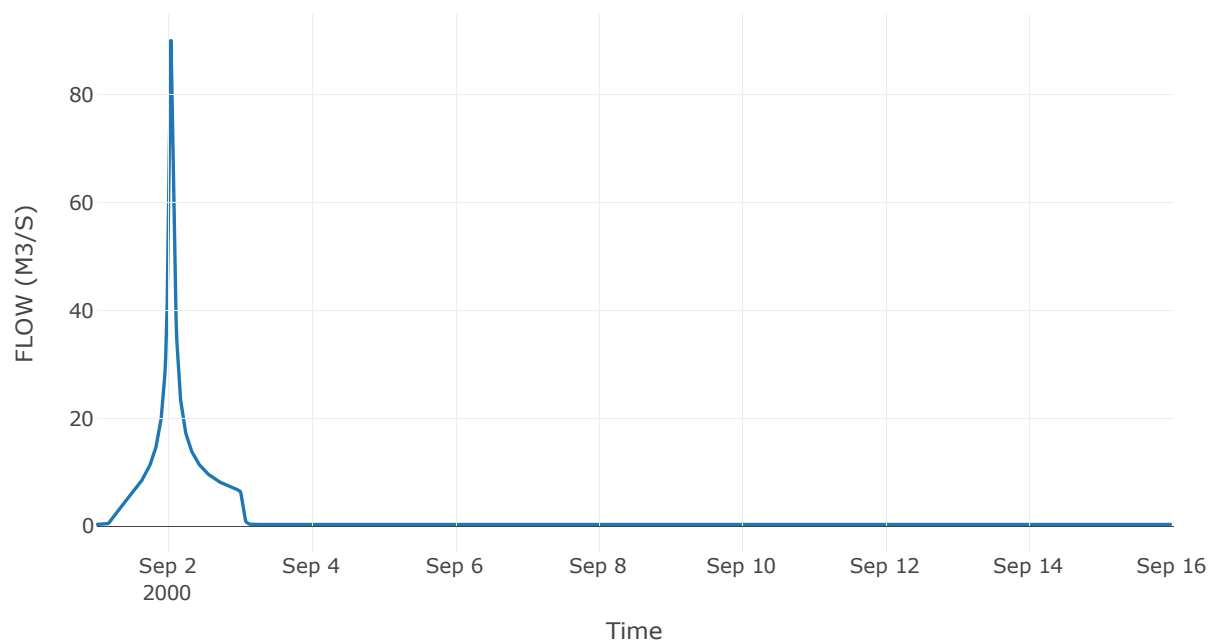
Κόμβος: J20

Κατάντη : R2011

Αποτελέσματα: J20

Παροχή Αιχμής(M3/S)	90.03
Χρονική στιγμή αιχμής	02Sep2000, 01:00
Όγκος(MM)	238.93

Απορροή



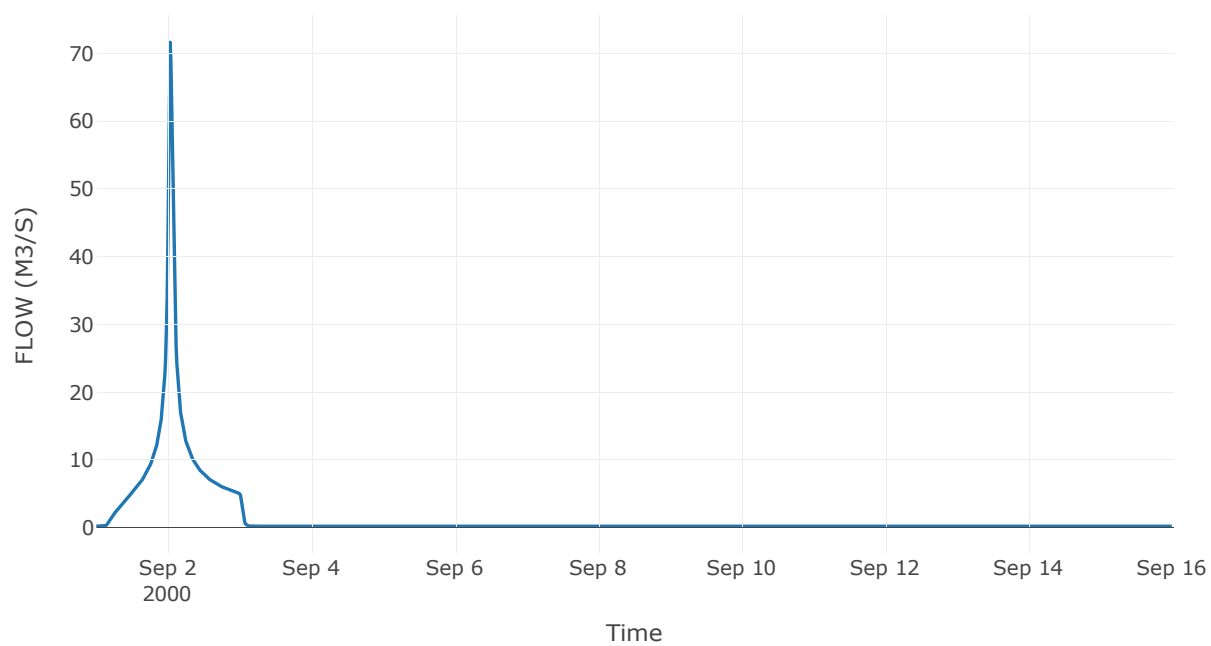
Κόμβος: J21

Κατάντη : R2117

Αποτελέσματα: J21

Παροχή Αιχμής(M3/S)	71.61
Χρονική στιγμή αιχμής	02Sep2000, 00:45
Όγκος(MM)	244.06

Απορροή



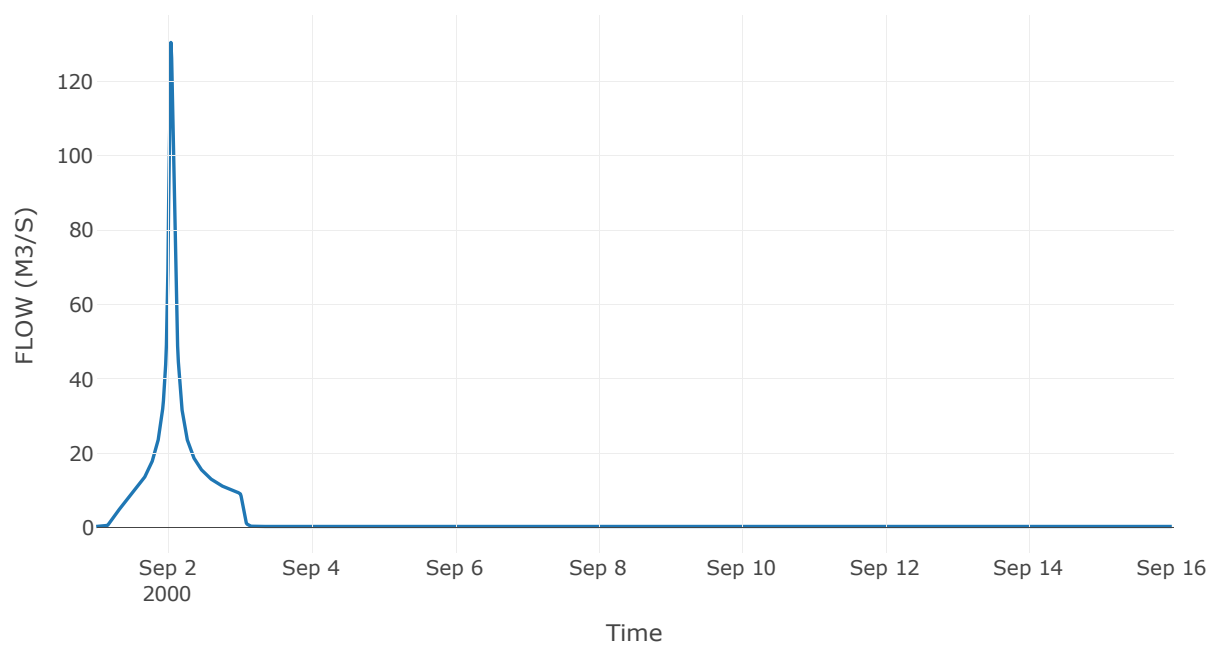
Κόμβος: J22

Κατάντη : R2218

Αποτελέσματα: J22

Παροχή Αιχμής(M3/S)	130.47
Χρονική στιγμή αιχμής	02Sep2000, 01:00
Όγκος(MM)	239.99

Απορροή



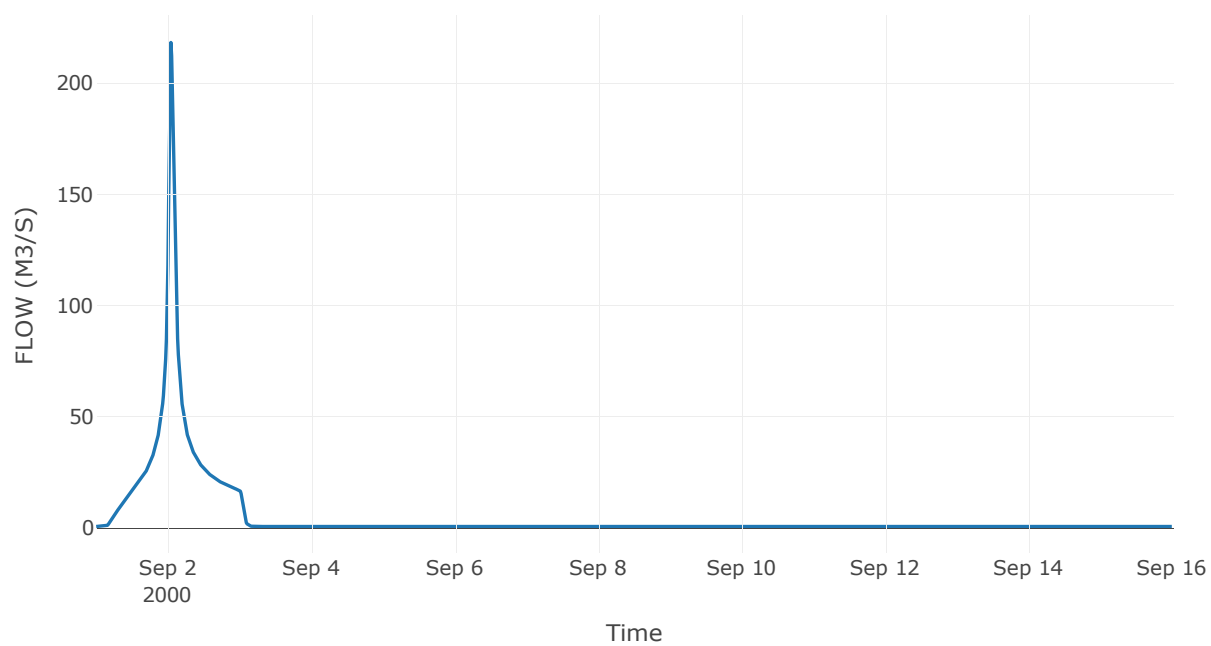
Κόμβος: J23

Κατάντη : R2319

Αποτελέσματα: J23

Παροχή Αιχμής(M3/S)	218.25
Χρονική στιγμή αιχμής	02Sep2000, 01:00
Όγκος(MM)	239.15

Απορροή



8. Δεδομένα εισόδου και αποτελέσματα υδρολογικού σεναρίου T=1000

8.1 Αποτελέσματα, υετογραφήματα και υδρογραφήματα σχεδιασμού υπολεκανών

Υπολεκάνη: EL0415FL5001

Έκταση (KM2) : 13.05

Κατάνη : J1

Μέθοδος Απωλειών: SCS

Ποσοστό αδιαπέρατης επιφάνειας	100
Αριθμός Καμπύλης Απορροής-CN	99
Αρχικές Απώλειες	0.51

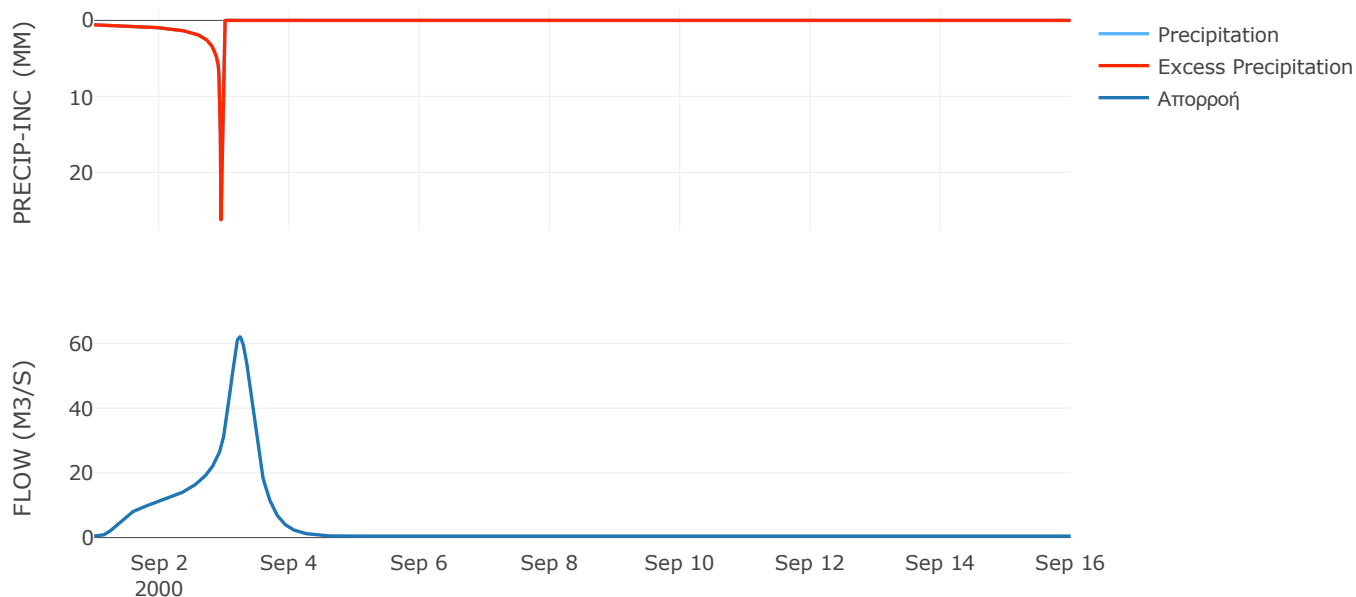
Μέθοδος
Μετασχηματισμού: SCS

Χρόνος Υστέρησης	485.6
------------------	-------

Αποτελέσματα:
EL0415FL5001

Παροχή αιχμής (M3/S)	62.03
Χρονική στιγμή αιχμής	03Sep2000, 05:45
Όγκος (MM)	392.64
Όγκος βροχόπτωσης (M3)	4.53E6
Όγκος απωλειών (M3)	0
Ενεργός Όγκος (M3)	4.53E6
Όγκος άμεσης απορροής (M3)	4.53E6
Όγκος βασικής απορροής (M3)	5.92E5

Βροχόπτωση και Απορροή



Υπολεκάνη: EL0415FL5002

Έκταση (KM2) : 107.53

Κατάντη : J6

Μέθοδος Απωλειών: SCS

Ποσοστό αδιαπέρατης επιφάνειας	0
Αριθμός Καμπύλης Απορροής-CN	80.86
Αρχικές Απώλειες	12.03

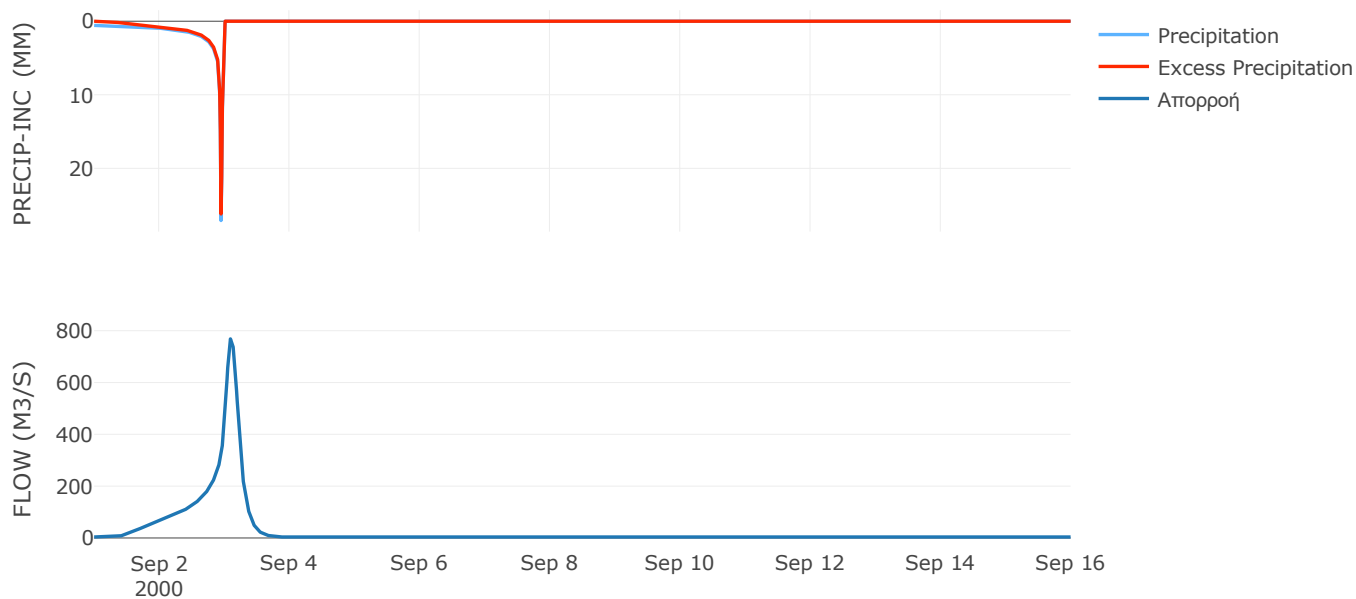
Μέθοδος
Μετασχηματισμού: SCS

Χρόνος Υστέρησης	242.85
------------------	--------

Αποτελέσματα:
EL0415FL5002

Παροχή αιχμής (M3/S)	773.02
Χρονική στιγμή αιχμής	03Sep2000, 02:30
Όγκος (MM)	327.88
Όγκος βροχόπτωσης (M3)	3.71E7
Όγκος απωλειών (M3)	6.77E6
Ενεργός Όγκος (M3)	3.04E7
Όγκος άμεσης απορροής (M3)	3.04E7
Όγκος βασικής απορροής (M3)	4.88E6

Βροχόπτωση και Απορροή



Υπολεκάνη: EL0415FL5003

Έκταση (KM2) : 28.37

Κατάντη : J2

Μέθοδος Απωλειών: SCS

Ποσοστό αδιαπέρατης επιφάνειας	0
Αριθμός Καμπύλης Απορροής-CN	82.49
Αρχικές Απώλειες	10.78

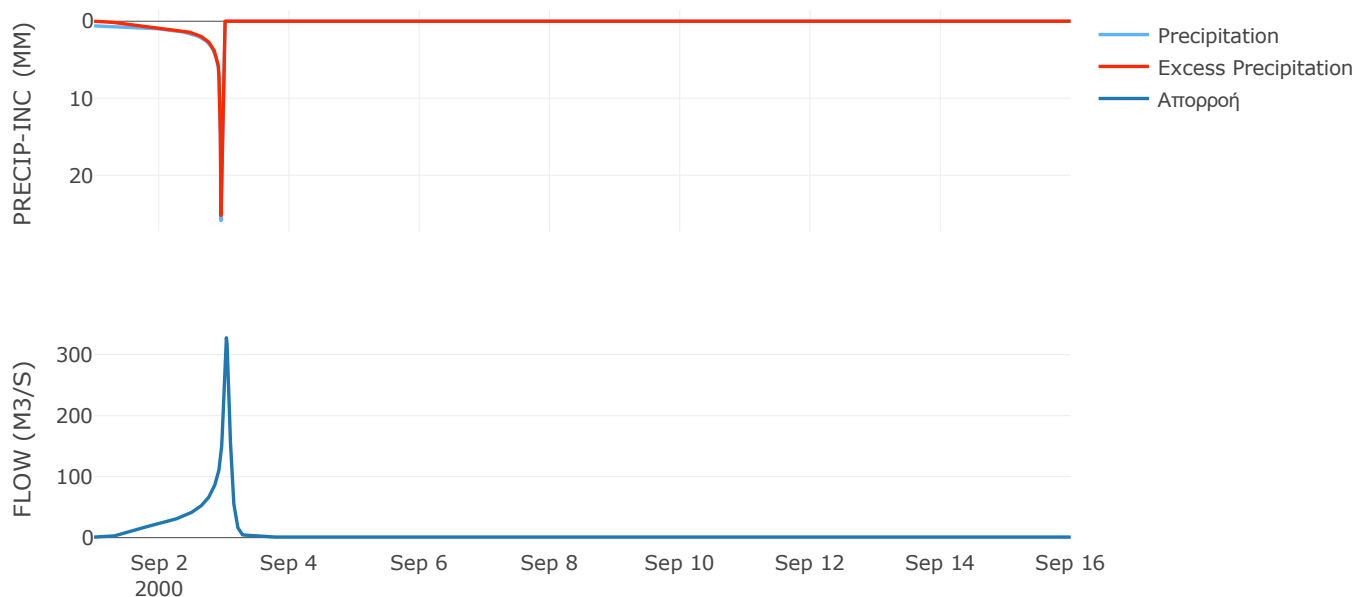
Μέθοδος
Μετασχηματισμού: SCS

Χρόνος Υστέρησης	108.83
------------------	--------

Αποτελέσματα:
EL0415FL5003

Παροχή αιχμής (M3/S)	327.67
Χρονική στιγμή αιχμής	03Sep2000, 00:45
Όγκος (MM)	340.62
Όγκος βροχόπτωσης (M3)	1E7
Όγκος απωλειών (M3)	1.63E6
Ενεργός Όγκος (M3)	8.38E6
Όγκος άμεσης απορροής (M3)	8.38E6
Όγκος βασικής απορροής (M3)	1.29E6

Βροχόπτωση και Απορροή



Υπολεκάνη: EL0415FL5004

Έκταση (KM2) : 30.04

Κατάντη : J3

Μέθοδος Απωλειών: SCS

Ποσοστό αδιαπέρατης επιφάνειας	0
Αριθμός Καμπύλης Απορροής-CN	76.69
Αρχικές Απώλειες	15.44

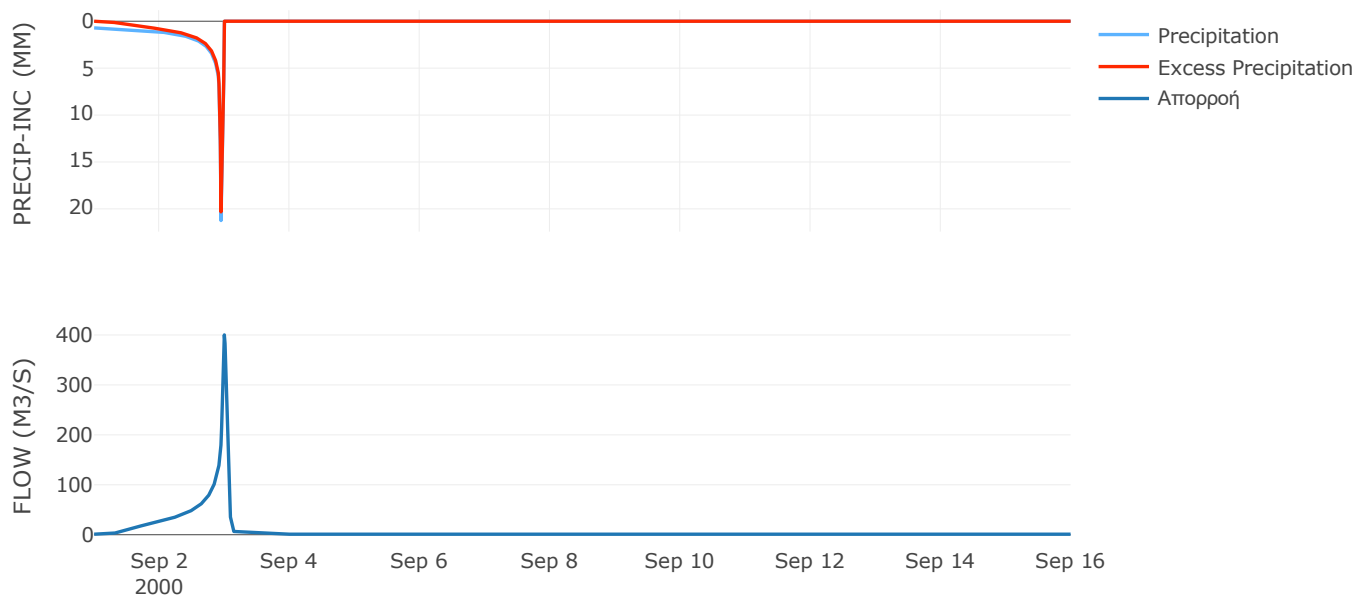
Μέθοδος
Μετασχηματισμού: SCS

Χρόνος Υστέρησης	59.92
------------------	-------

Αποτελέσματα:
EL0415FL5004

Παροχή αιχμής (M3/S)	400.12
Χρονική στιγμή αιχμής	02Sep2000, 24:00
Όγκος (MM)	329.3
Όγκος βροχόπτωσης (M3)	1.09E7
Όγκος απωλειών (M3)	2.36E6
Ενεργός Όγκος (M3)	8.53E6
Όγκος άμεσης απορροής (M3)	8.53E6
Όγκος βασικής απορροής (M3)	1.36E6

Βροχόπτωση και Απορροή



Υπολεκάνη: EL0415FL5005

Έκταση (KM2) : 15.38

Κατάντη : J5

Μέθοδος Απωλειών: SCS

Ποσοστό αδιαπέρατης επιφάνειας	0
Αριθμός Καμπύλης Απορροής-CN	80.44
Αρχικές Απώλειες	12.35

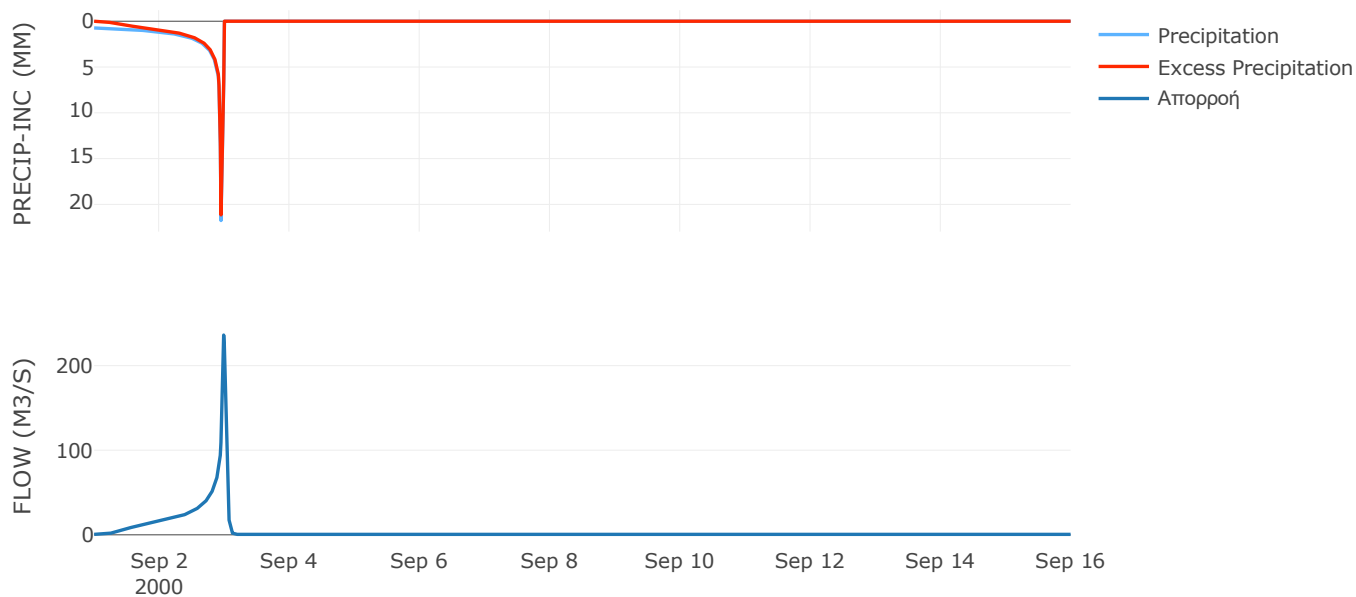
Μέθοδος
Μετασχηματισμού: SCS

Χρόνος Υστέρησης	45.08
------------------	-------

Αποτελέσματα:
EL0415FL5005

Παροχή αιχμής (M3/S)	236.13
Χρονική στιγμή αιχμής	02Sep2000, 23:45
Όγκος (MM)	353.32
Όγκος βροχόπτωσης (M3)	5.74E6
Όγκος απωλειών (M3)	1E6
Ενεργός Όγκος (M3)	4.74E6
Όγκος άμεσης απορροής (M3)	4.74E6
Όγκος βασικής απορροής (M3)	6.98E5

Βροχόπτωση και Απορροή



Υπολεκάνη: EL0415FL5006

Έκταση (KM2) : 8.04

Κατάντη : J4

Μέθοδος Απωλειών: SCS

Ποσοστό αδιαπέρατης επιφάνειας	0
Αριθμός Καμπύλης Απορροής-CN	80.52
Αρχικές Απώλειες	12.29

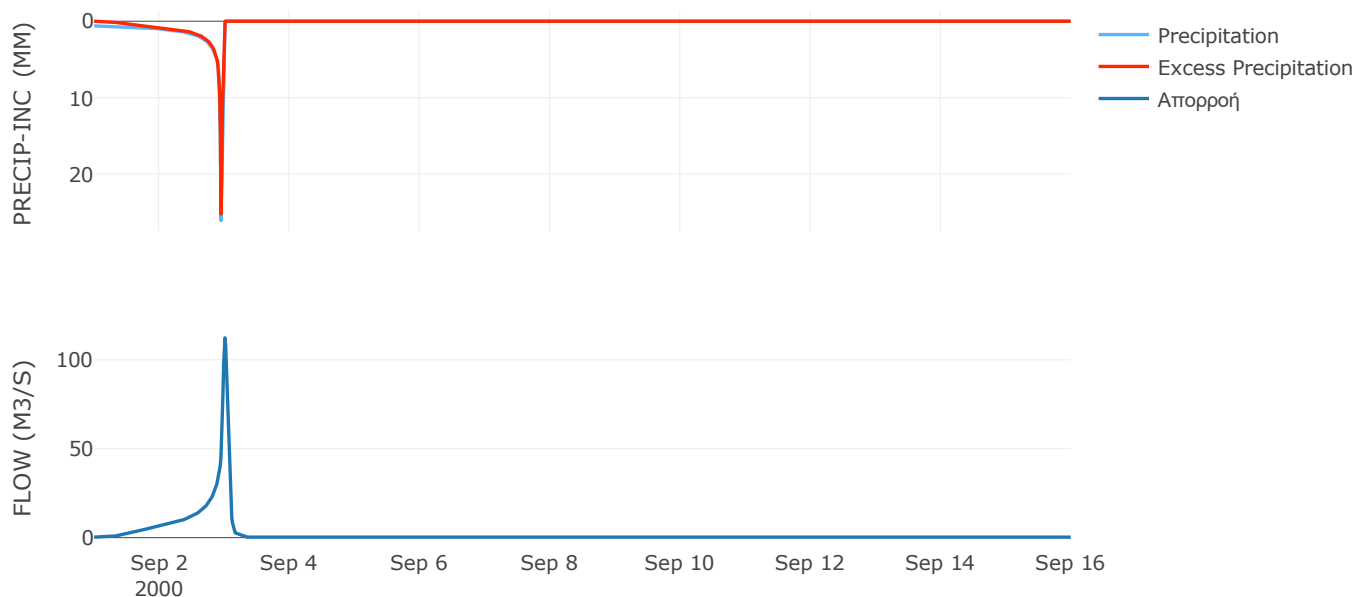
Μέθοδος
Μετασχηματισμού: SCS

Χρόνος Υστέρησης	74.81
------------------	-------

Αποτελέσματα:
EL0415FL5006

Παροχή αιχμής (M3/S)	112.34
Χρονική στιγμή αιχμής	03Sep2000, 00:15
Όγκος (MM)	333.92
Όγκος βροχόπτωσης (M3)	2.84E6
Όγκος απωλειών (M3)	5.17E5
Ενεργός Όγκος (M3)	2.32E6
Όγκος άμεσης απορροής (M3)	2.32E6
Όγκος βασικής απορροής (M3)	3.65E5

Βροχόπτωση και Απορροή



Υπολεκάνη: EL0415FL5007

Έκταση (KM2) : 40.81

Κατάντη : J5

Μέθοδος Απωλειών: SCS

Ποσοστό αδιαπέρατης επιφάνειας	0
Αριθμός Καμπύλης Απορροής-CN	80.19
Αρχικές Απώλειες	12.55

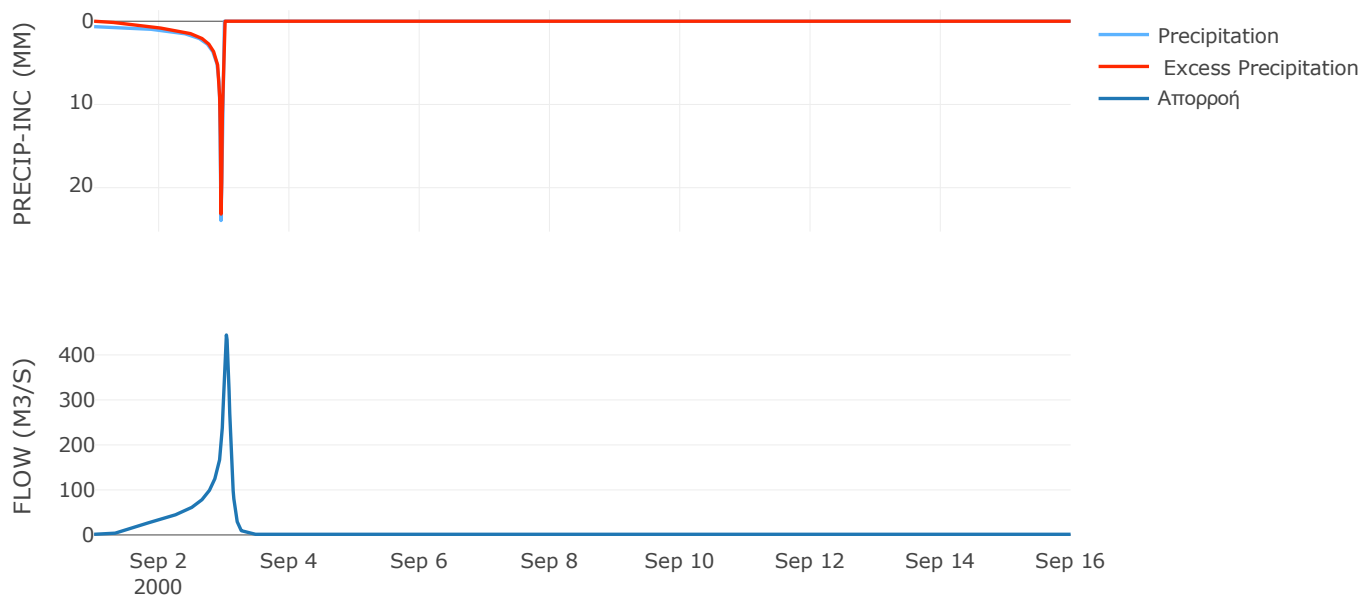
Μέθοδος
Μετασχηματισμού: SCS

Χρόνος Υστέρησης	111.14
------------------	--------

Αποτελέσματα:
EL0415FL5007

Παροχή αιχμής (M3/S)	444.29
Χρονική στιγμή αιχμής	03Sep2000, 00:45
Όγκος (MM)	337.48
Όγκος βροχόπτωσης (M3)	1.46E7
Όγκος απωλειών (M3)	2.68E6
Ενεργός Όγκος (M3)	1.19E7
Όγκος άμεσης απορροής (M3)	1.19E7
Όγκος βασικής απορροής (M3)	1.85E6

Βροχόπτωση και Απορροή



Υπολεκάνη: EL0415FL5008

Έκταση (KM2) : 90.43

Κατάντη : J7

Μέθοδος Απωλειών: SCS

Ποσοστό αδιαπέρατης επιφάνειας	0
Αριθμός Καμπύλης Απορροής-CN	74.6
Αρχικές Απώλειες	17.29

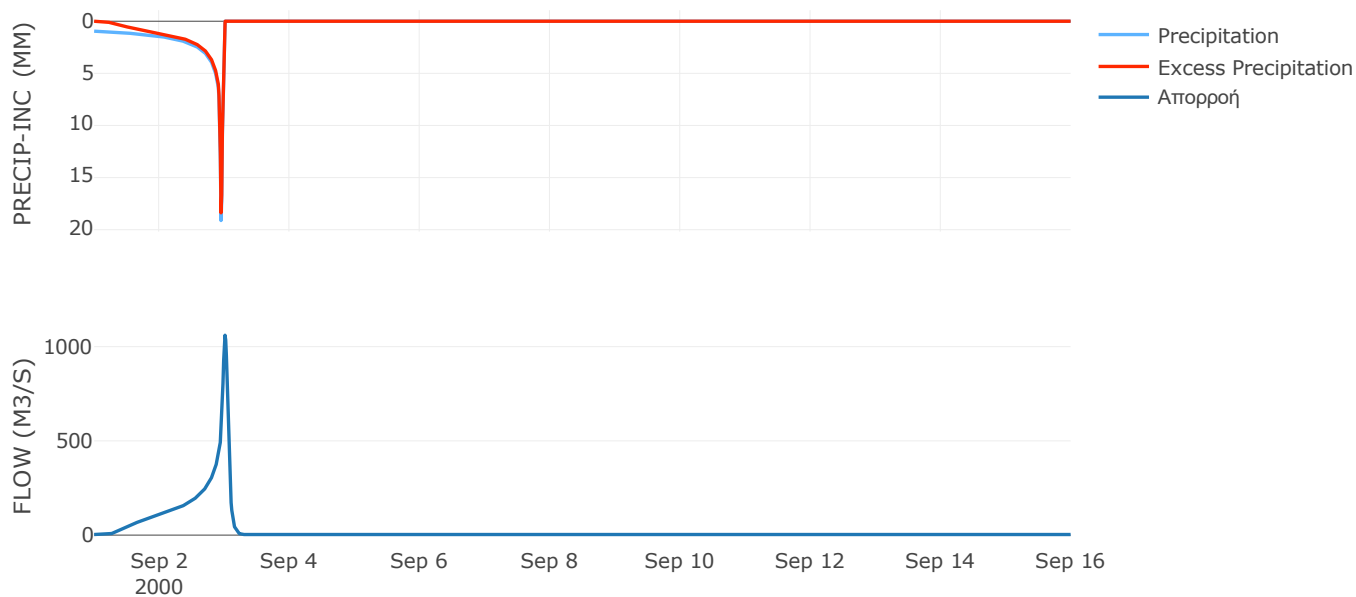
Μέθοδος
Μετασχηματισμού: SCS

Χρόνος Υστέρησης	78.98
------------------	-------

Αποτελέσματα:
EL0415FL5008

Παροχή αιχμής (M3/S)	1060.87
Χρονική στιγμή αιχμής	03Sep2000, 00:15
Όγκος (MM)	380.13
Όγκος βροχόπτωσης (M3)	3.83E7
Όγκος απωλειών (M3)	8.01E6
Ενεργός Όγκος (M3)	3.03E7
Όγκος άμεσης απορροής (M3)	3.03E7
Όγκος βασικής απορροής (M3)	4.1E6

Βροχόπτωση και Απορροή



Υπολεκάνη: EL0415FL5009

Έκταση (KM2) : 11.22

Κατάντη : J20

Μέθοδος Απωλειών: SCS

Ποσοστό αδιαπέρατης επιφάνειας	0
Αριθμός Καμπύλης Απορροής-CN	78.15
Αρχικές Απώλειες	14.21

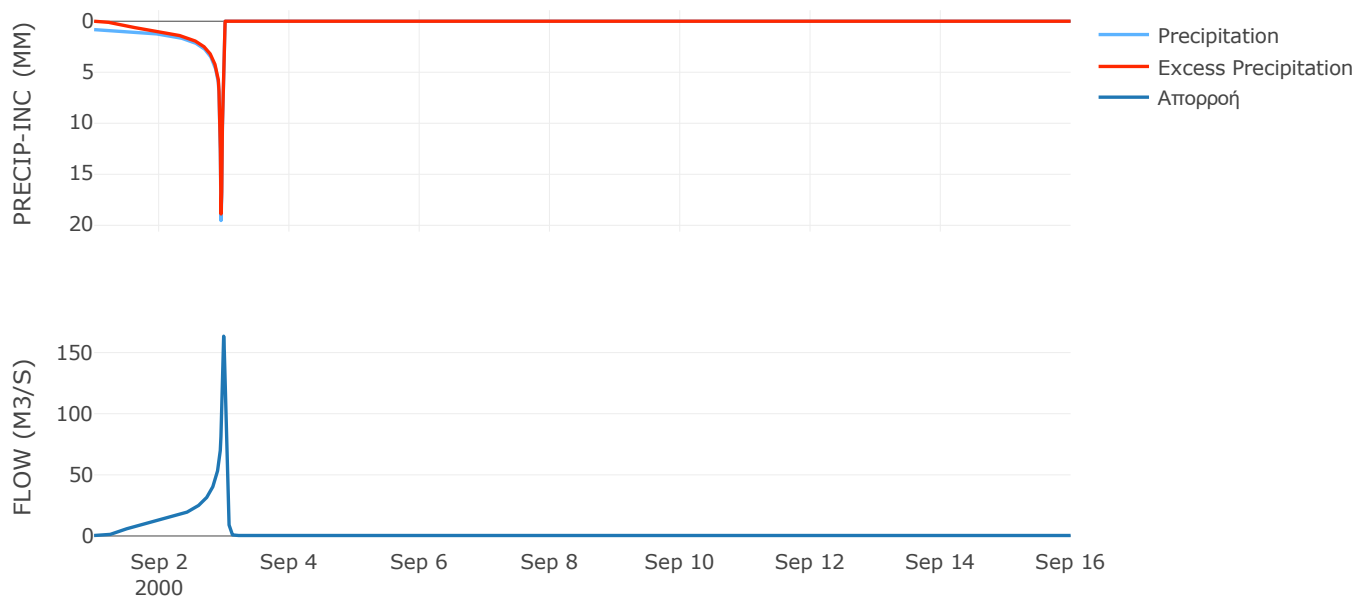
Μέθοδος
Μετασχηματισμού: SCS

Χρόνος Υστέρησης	41.11
------------------	-------

Αποτελέσματα:
EL0415FL5009

Παροχή αιχμής (M3/S)	163.4
Χρονική στιγμή αιχμής	02Sep2000, 23:45
Όγκος (MM)	358.26
Όγκος βροχόπτωσης (M3)	4.34E6
Όγκος απωλειών (M3)	8.29E5
Ενεργός Όγκος (M3)	3.51E6
Όγκος άμεσης απορροής (M3)	3.51E6
Όγκος βασικής απορροής (M3)	5.09E5

Βροχόπτωση και Απορροή



Υπολεκάνη: EL0415FL5010

Έκταση (KM2) : 96.52

Κατάντη : J10

Μέθοδος Απωλειών: SCS

Ποσοστό αδιαπέρατης επιφάνειας	100
Αριθμός Καμπύλης Απορροής-CN	99
Αρχικές Απώλειες	0.51

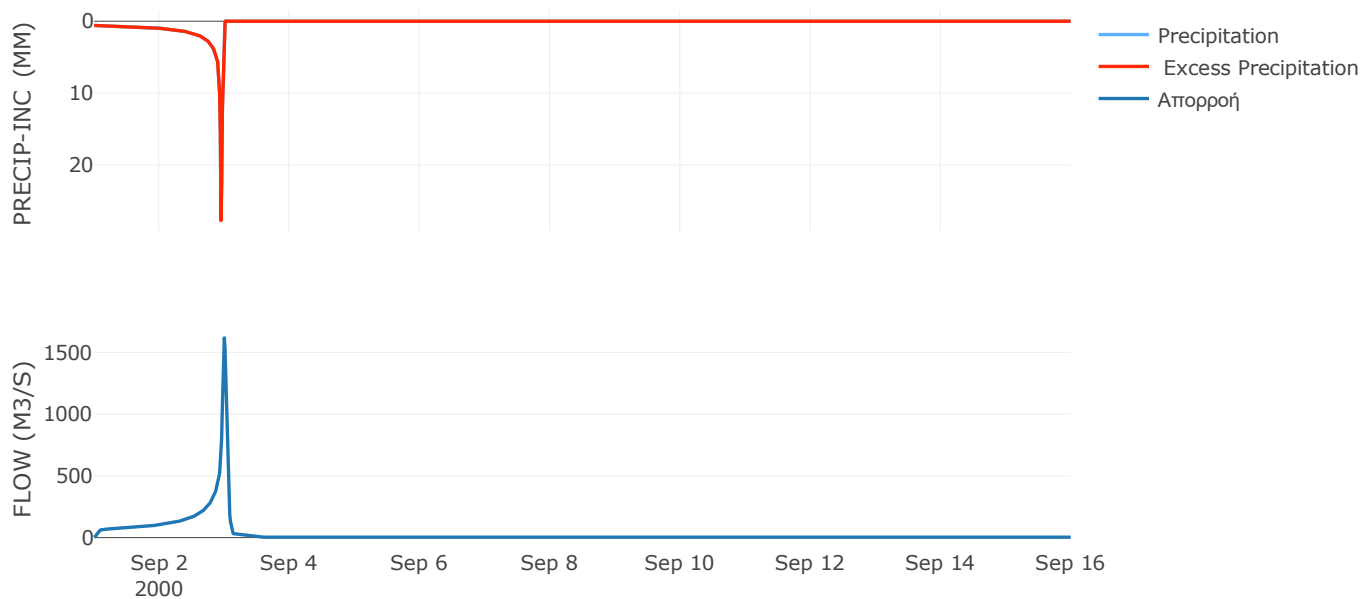
Μέθοδος
Μετασχηματισμού: SCS

Χρόνος Υστέρησης	59.19
------------------	-------

Αποτελέσματα:
EL0415FL5010

Παροχή αιχμής (M3/S)	1617.56
Χρονική στιγμή αιχμής	02Sep2000, 24:00
Όγκος (MM)	400.37
Όγκος βροχόπτωσης (M3)	3.43E7
Όγκος απωλειών (M3)	0
Ενεργός Όγκος (M3)	3.43E7
Όγκος άμεσης απορροής (M3)	3.43E7
Όγκος βασικής απορροής (M3)	4.38E6

Βροχόπτωση και Απορροή



Υπολεκάνη: EL0415FL00013

Έκταση (KM2) : 20.4

Κατάντη : J8

Μέθοδος Απωλειών: SCS

Ποσοστό αδιαπέρατης επιφάνειας	0
Αριθμός Καμπύλης Απορροής-CN	80.77
Αρχικές Απώλειες	12.1

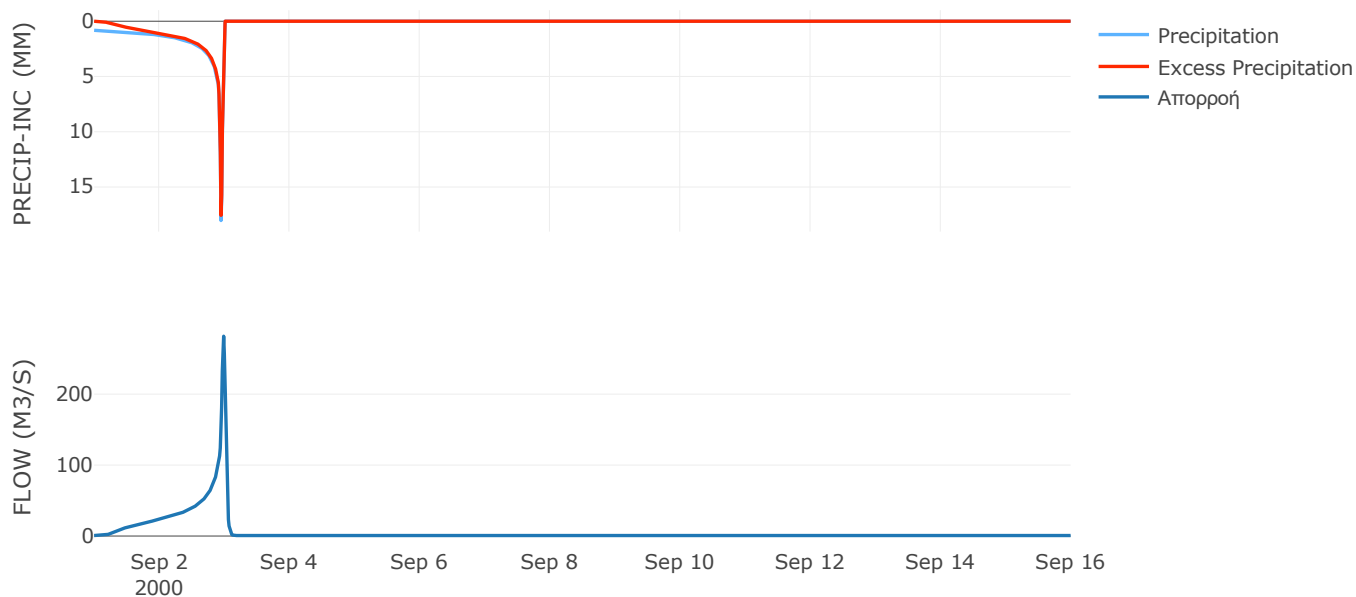
Μέθοδος
Μετασχηματισμού: SCS

Χρόνος Υστέρησης	39.86
------------------	-------

Αποτελέσματα:
EL0415FL00013

Παροχή αιχμής (M3/S)	281.59
Χρονική στιγμή αιχμής	02Sep2000, 23:45
Όγκος (MM)	357.5
Όγκος βροχόπτωσης (M3)	7.67E6
Όγκος απωλειών (M3)	1.3E6
Ενεργός Όγκος (M3)	6.37E6
Όγκος άμεσης απορροής (M3)	6.37E6
Όγκος βασικής απορροής (M3)	9.25E5

Βροχόπτωση και Απορροή



Υπολεκάνη: EL0415FL00014

Έκταση (KM2) : 28.81

Κατάντη : J23

Μέθοδος Απωλειών: SCS

Ποσοστό αδιαπέρατης επιφάνειας	0
Αριθμός Καμπύλης Απορροής-CN	80.56
Αρχικές Απώλειες	12.26

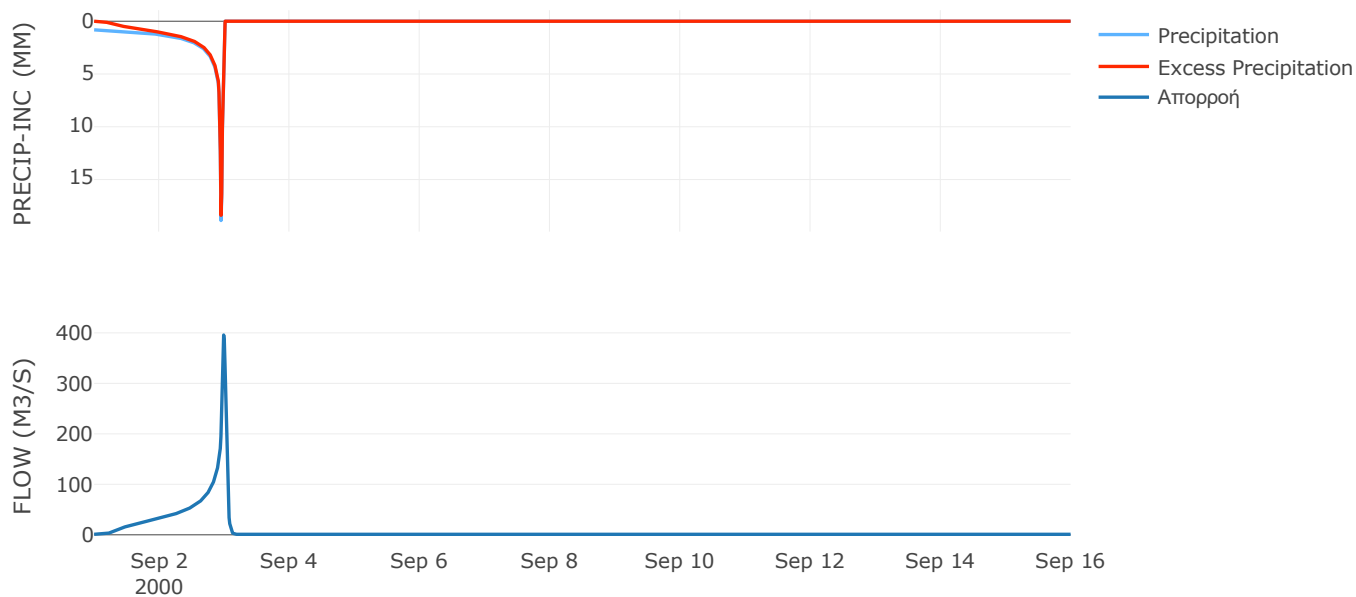
Μέθοδος
Μετασχηματισμού: SCS

Χρόνος Υστέρησης	46.87
------------------	-------

Αποτελέσματα:
EL0415FL00014

Παροχή αιχμής (M3/S)	395.81
Χρονική στιγμή αιχμής	02Sep2000, 23:45
Όγκος (MM)	361.2
Όγκος βροχόπτωσης (M3)	1.1E7
Όγκος απωλειών (M3)	1.87E6
Ενεργός Όγκος (M3)	9.1E6
Όγκος άμεσης απορροής (M3)	9.1E6
Όγκος βασικής απορροής (M3)	1.31E6

Βροχόπτωση και Απορροή



Υπολεκάνη: EL0415FL00016

Έκταση (KM2) : 24.49

Κατάντη : J14

Μέθοδος Απωλειών: SCS

Ποσοστό αδιαπέρατης επιφάνειας	0
Αριθμός Καμπύλης Απορροής-CN	53.08
Αρχικές Απώλειες	44.9

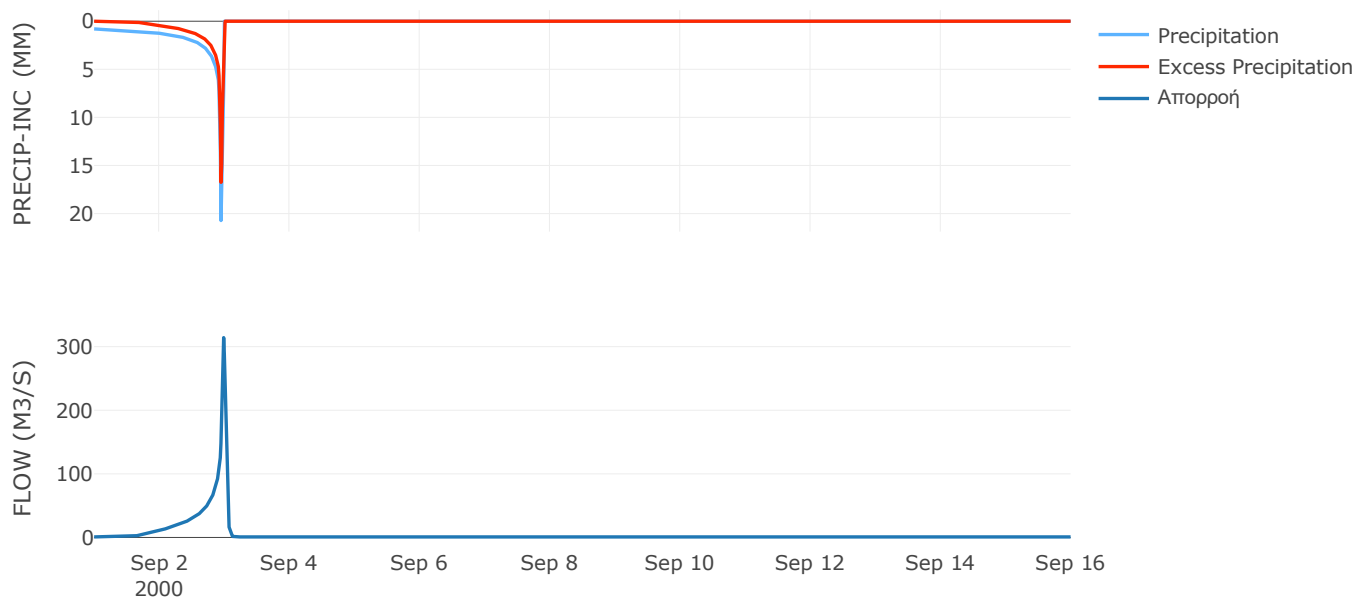
Μέθοδος
Μετασχηματισμού: SCS

Χρόνος Υστέρησης	40.26
------------------	-------

Αποτελέσματα:
EL0415FL00016

Παροχή αιχμής (M3/S)	314.2
Χρονική στιγμή αιχμής	02Sep2000, 23:45
Όγκος (MM)	252.29
Όγκος βροχόπτωσης (M3)	9.49E6
Όγκος απωλειών (M3)	4.42E6
Ενεργός Όγκος (M3)	5.07E6
Όγκος άμεσης απορροής (M3)	5.07E6
Όγκος βασικής απορροής (M3)	1.11E6

Βροχόπτωση και Απορροή



Υπολεκάνη: EL0415FL00017

Έκταση (KM2) : 11.25

Κατάντη : J15

Μέθοδος Απωλειών: SCS

Ποσοστό αδιαπέρατης επιφάνειας	0
Αριθμός Καμπύλης Απορροής-CN	55.44
Αρχικές Απώλειες	40.83

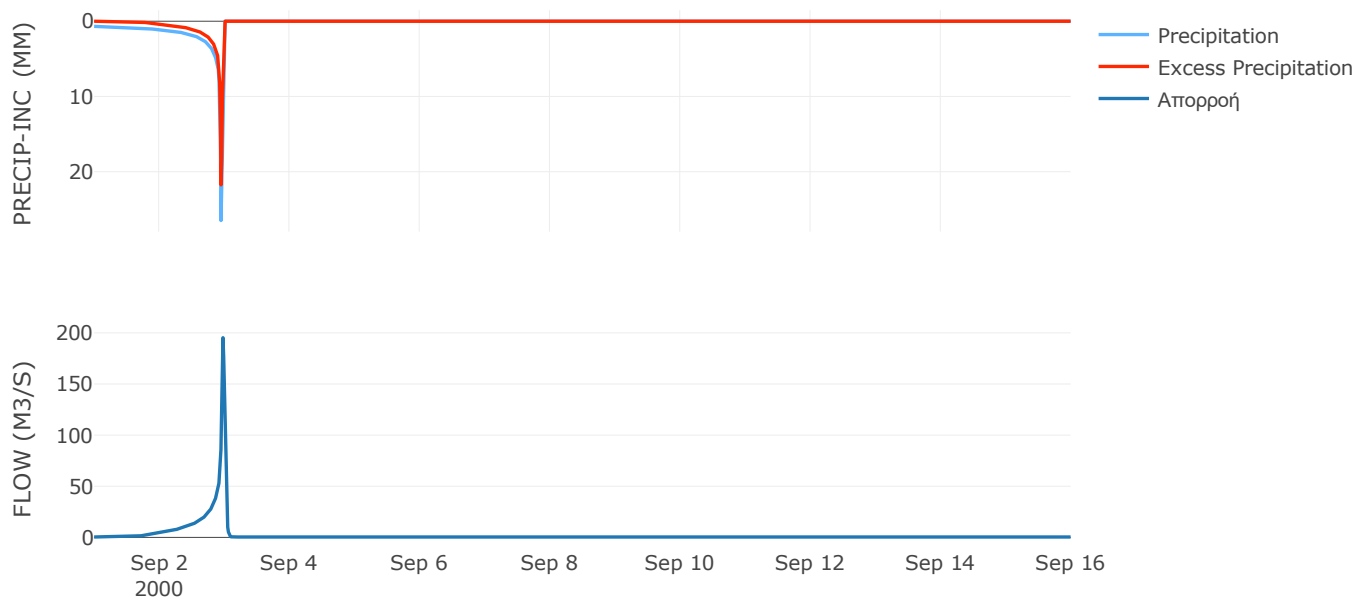
Μέθοδος
Μετασχηματισμού: SCS

Χρόνος Υστέρησης	29.73
------------------	-------

Αποτελέσματα:
EL0415FL00017

Παροχή αιχμής (M3/S)	195.29
Χρονική στιγμή αιχμής	02Sep2000, 23:30
Όγκος (MM)	259.72
Όγκος βροχόπτωσης (M3)	4.31E6
Όγκος απωλειών (M3)	1.9E6
Ενεργός Όγκος (M3)	2.41E6
Όγκος άμεσης απορροής (M3)	2.41E6
Όγκος βασικής απορροής (M3)	5.1E5

Βροχόπτωση και Απορροή



Υπολεκάνη: EL0415FL00018

Έκταση (KM2) : 25.29

Κατάντη : J15

Μέθοδος Απωλειών: SCS

Ποσοστό αδιαπέρατης επιφάνειας	0
Αριθμός Καμπύλης Απορροής-CN	60.21
Αρχικές Απώλειες	33.57

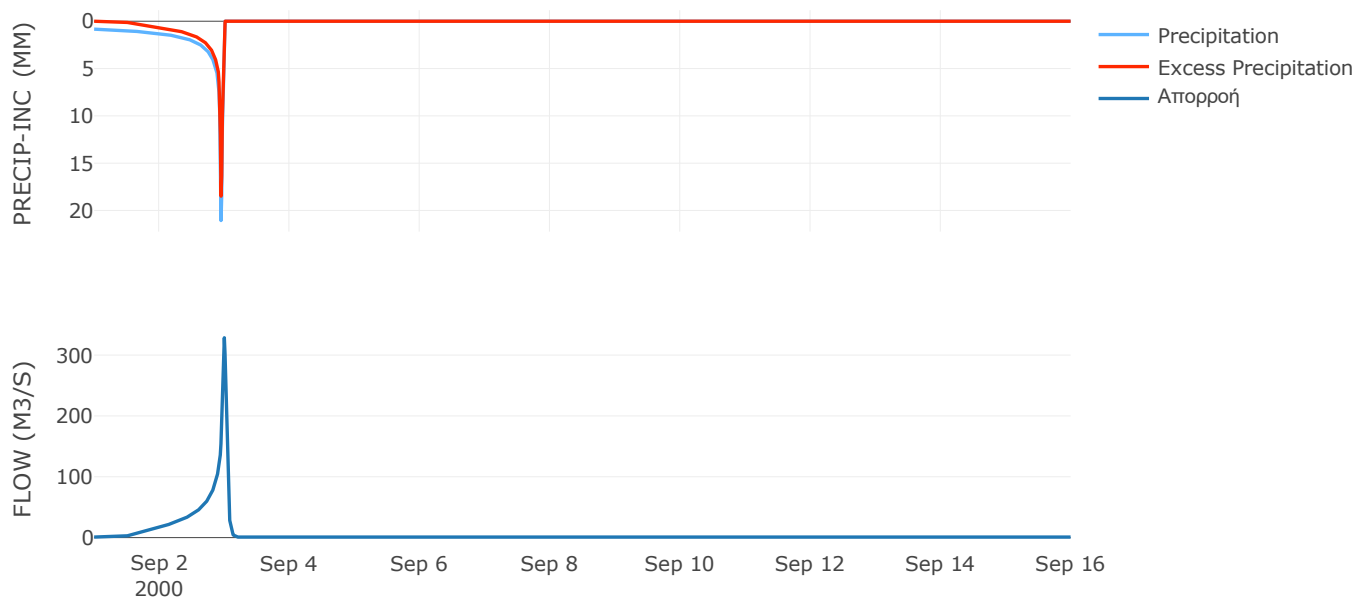
Μέθοδος
Μετασχηματισμού: SCS

Χρόνος Υστέρησης	52.76
------------------	-------

Αποτελέσματα:
EL0415FL00018

Παροχή αιχμής (M3/S)	328.43
Χρονική στιγμή αιχμής	02Sep2000, 24:00
Όγκος (MM)	297.85
Όγκος βροχόπτωσης (M3)	1.01E7
Όγκος απωλειών (M3)	3.76E6
Ενεργός Όγκος (M3)	6.39E6
Όγκος άμεσης απορροής (M3)	6.39E6
Όγκος βασικής απορροής (M3)	1.15E6

Βροχόπτωση και Απορροή



Υπολεκάνη: EL0415FL00019

Έκταση (KM2) : 41.83

Κατάντη : J16

Μέθοδος Απωλειών: SCS

Ποσοστό αδιαπέρατης επιφάνειας	0
Αριθμός Καμπύλης Απορροής-CN	66.79
Αρχικές Απώλειες	25.26

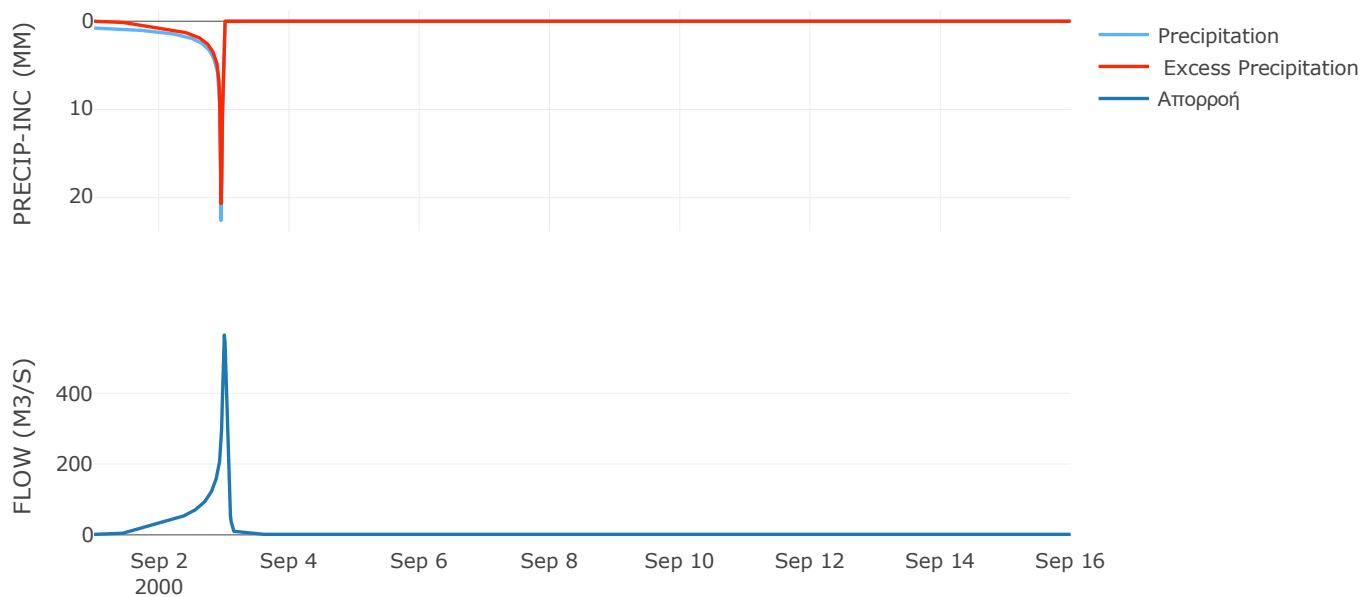
Μέθοδος
Μετασχηματισμού: SCS

Χρόνος Υστέρησης	61.11
------------------	-------

Αποτελέσματα:
EL0415FL00019

Παροχή αιχμής (M3/S)	564.25
Χρονική στιγμή αιχμής	02Sep2000, 24:00
Όγκος (MM)	316.55
Όγκος βροχόπτωσης (M3)	1.63E7
Όγκος απωλειών (M3)	4.98E6
Ενεργός Όγκος (M3)	1.13E7
Όγκος άμεσης απορροής (M3)	1.13E7
Όγκος βασικής απορροής (M3)	1.9E6

Βροχόπτωση και Απορροή



Υπολεκάνη: EL0415FL00020

Έκταση (KM2) : 8.47

Κατάντη : J21

Μέθοδος Απωλειών: SCS

Ποσοστό αδιαπέρατης επιφάνειας	0
Αριθμός Καμπύλης Απορροής-CN	81.19
Αρχικές Απώλειες	11.77

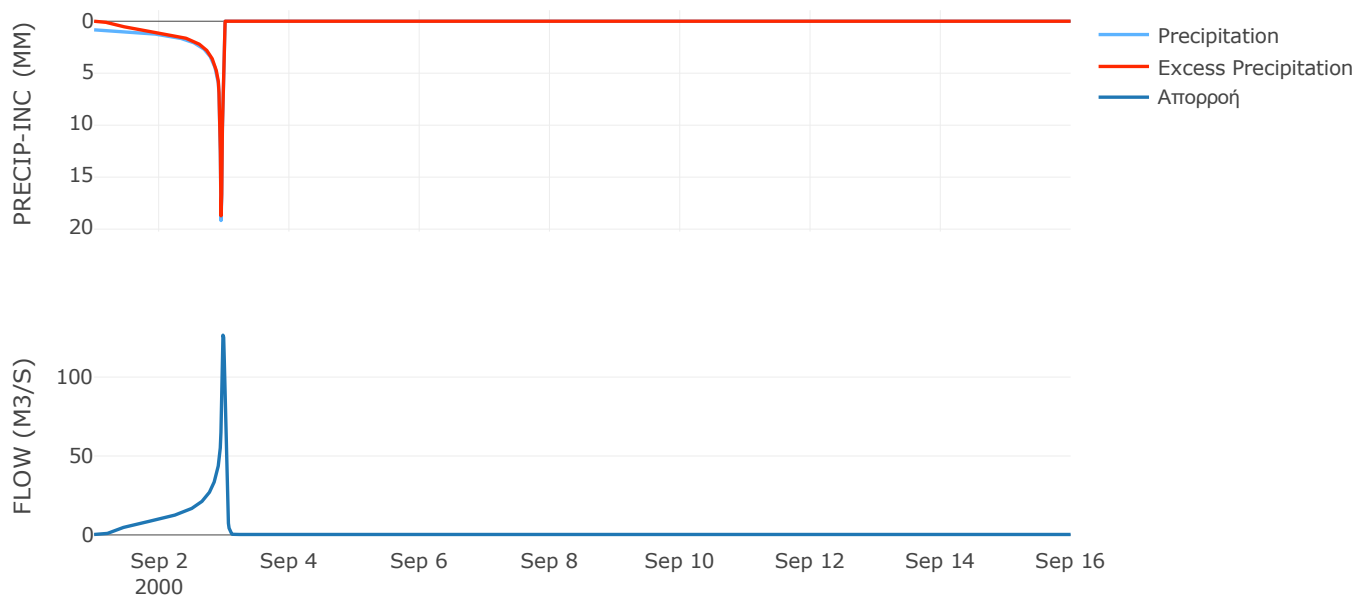
Μέθοδος
Μετασχηματισμού: SCS

Χρόνος Υστέρησης	35.95
------------------	-------

Αποτελέσματα:
EL0415FL00020

Παροχή αιχμής (M3/S)	126.55
Χρονική στιγμή αιχμής	02Sep2000, 23:30
Όγκος (MM)	369.56
Όγκος βροχόπτωσης (M3)	3.28E6
Όγκος απωλειών (M3)	5.3E5
Ενεργός Όγκος (M3)	2.75E6
Όγκος άμεσης απορροής (M3)	2.75E6
Όγκος βασικής απορροής (M3)	3.84E5

Βροχόπτωση και Απορροή



Υπολεκάνη: EL0415FL00021

Έκταση (KM2) : 11.07

Κατάνη : J17

Μέθοδος Απωλειών: SCS

Ποσοστό αδιαπέρατης επιφάνειας	0
Αριθμός Καμπύλης Απορροής-CN	75.38
Αρχικές Απώλειες	16.59

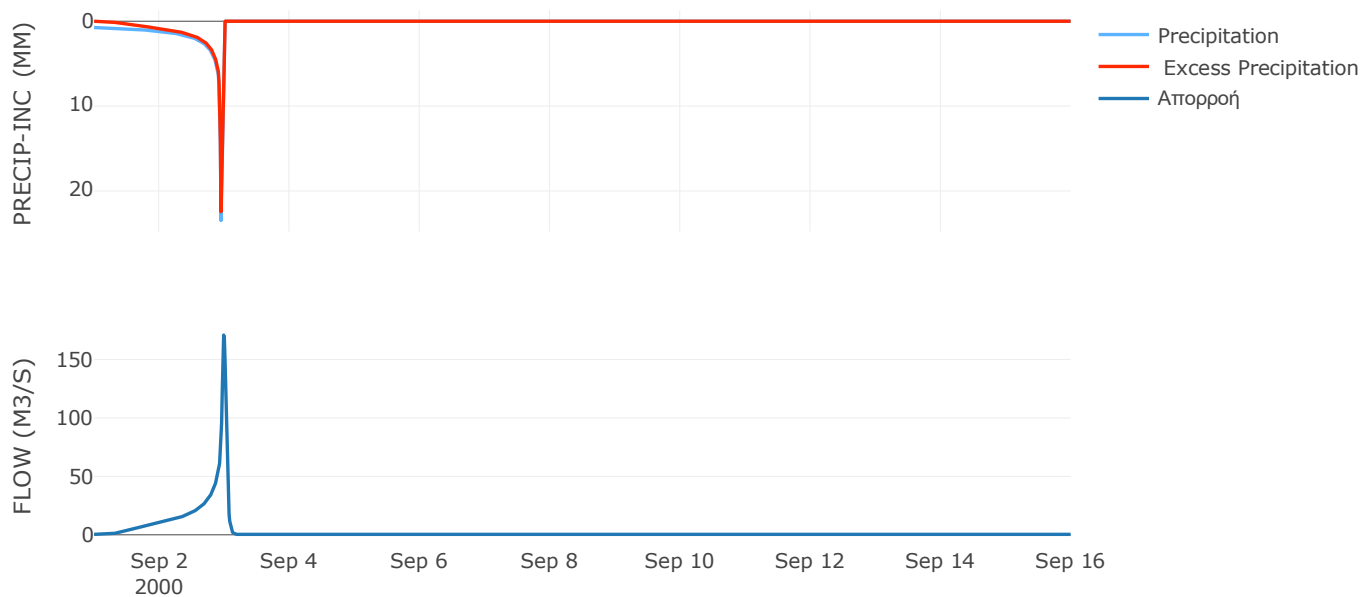
Μέθοδος
Μετασχηματισμού: SCS

Χρόνος Υστέρησης	49.82
------------------	-------

Αποτελέσματα:
EL0415FL00021

Παροχή αιχμής (M3/S)	170.96
Χρονική στιγμή αιχμής	02Sep2000, 23:45
Όγκος (MM)	346.54
Όγκος βροχόπτωσης (M3)	4.27E6
Όγκος απωλειών (M3)	9.34E5
Ενεργός Όγκος (M3)	3.34E6
Όγκος άμεσης απορροής (M3)	3.34E6
Όγκος βασικής απορροής (M3)	5.02E5

Βροχόπτωση και Απορροή



Υπολεκάνη: EL0415FL00022

Έκταση (KM2) : 12.41

Κατάντη : J18

Μέθοδος Απωλειών: SCS

Ποσοστό αδιαπέρατης επιφάνειας	0
Αριθμός Καμπύλης Απορροής-CN	80.14
Αρχικές Απώλειες	12.59

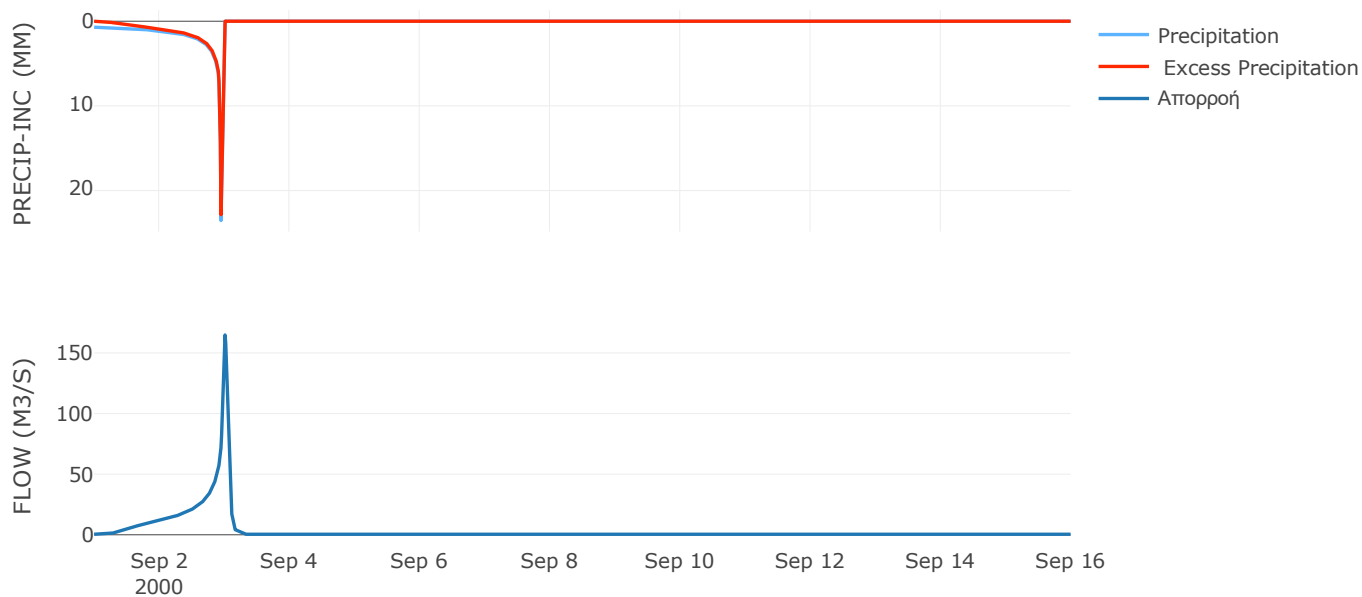
Μέθοδος
Μετασχηματισμού: SCS

Χρόνος Υστέρησης	75.64
------------------	-------

Αποτελέσματα:
EL0415FL00022

Παροχή αιχμής (M3/S)	164.83
Χρονική στιγμή αιχμής	03Sep2000, 00:15
Όγκος (MM)	353.33
Όγκος βροχόπτωσης (M3)	4.64E6
Όγκος απωλειών (M3)	8.22E5
Ενεργός Όγκος (M3)	3.82E6
Όγκος άμεσης απορροής (M3)	3.82E6
Όγκος βασικής απορροής (M3)	5.63E5

Βροχόπτωση και Απορροή



Υπολεκάνη: EL0415FL00023

Έκταση (KM2) : 16.4

Κατάντη : J22

Μέθοδος Απωλειών: SCS

Ποσοστό αδιαπέρατης επιφάνειας	0
Αριθμός Καμπύλης Απορροής-CN	80.96
Αρχικές Απώλειες	11.95

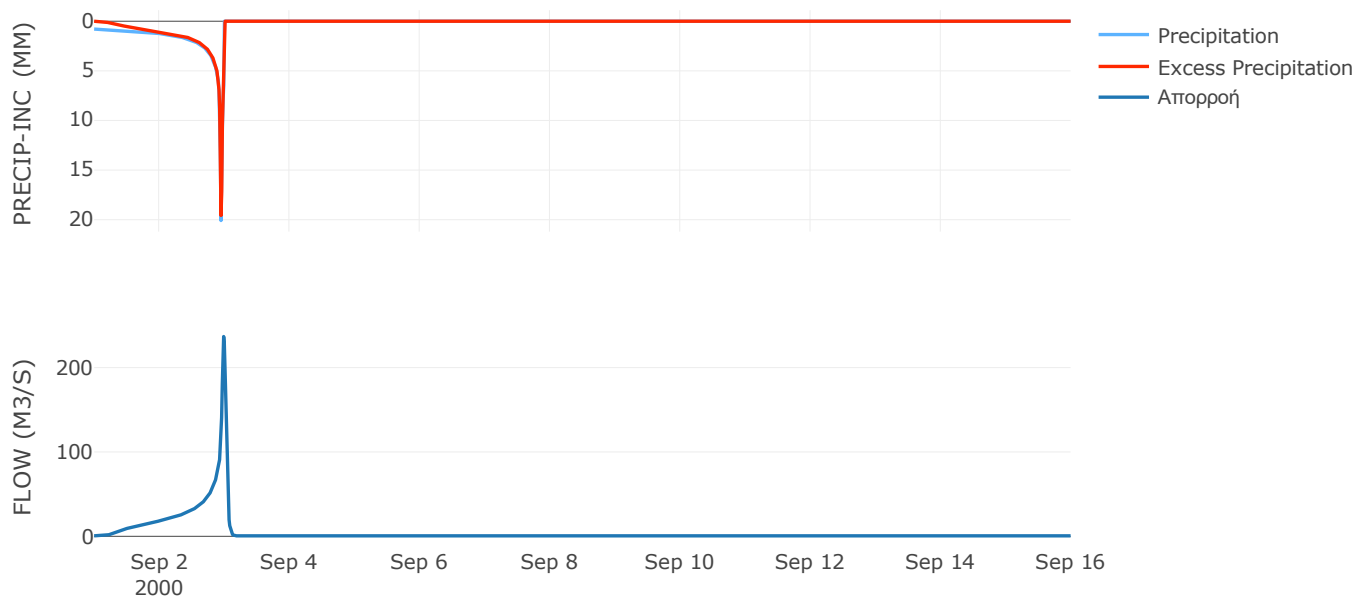
Μέθοδος
Μετασχηματισμού: SCS

Χρόνος Υστέρησης	46.43
------------------	-------

Αποτελέσματα:
EL0415FL00023

Παροχή αιχμής (M3/S)	236.83
Χρονική στιγμή αιχμής	02Sep2000, 23:45
Όγκος (MM)	362.73
Όγκος βροχόπτωσης (M3)	6.24E6
Όγκος απωλειών (M3)	1.04E6
Ενεργός Όγκος (M3)	5.2E6
Όγκος άμεσης απορροής (M3)	5.2E6
Όγκος βασικής απορροής (M3)	7.44E5

Βροχόπτωση και Απορροή



Υπολεκάνη: EL0415FL00024

Έκταση (KM2) : 20.38

Κατάντη : J19

Μέθοδος Απωλειών: SCS

Ποσοστό αδιαπέρατης επιφάνειας	0
Αριθμός Καμπύλης Απορροής-CN	79.61
Αρχικές Απώλειες	13.01

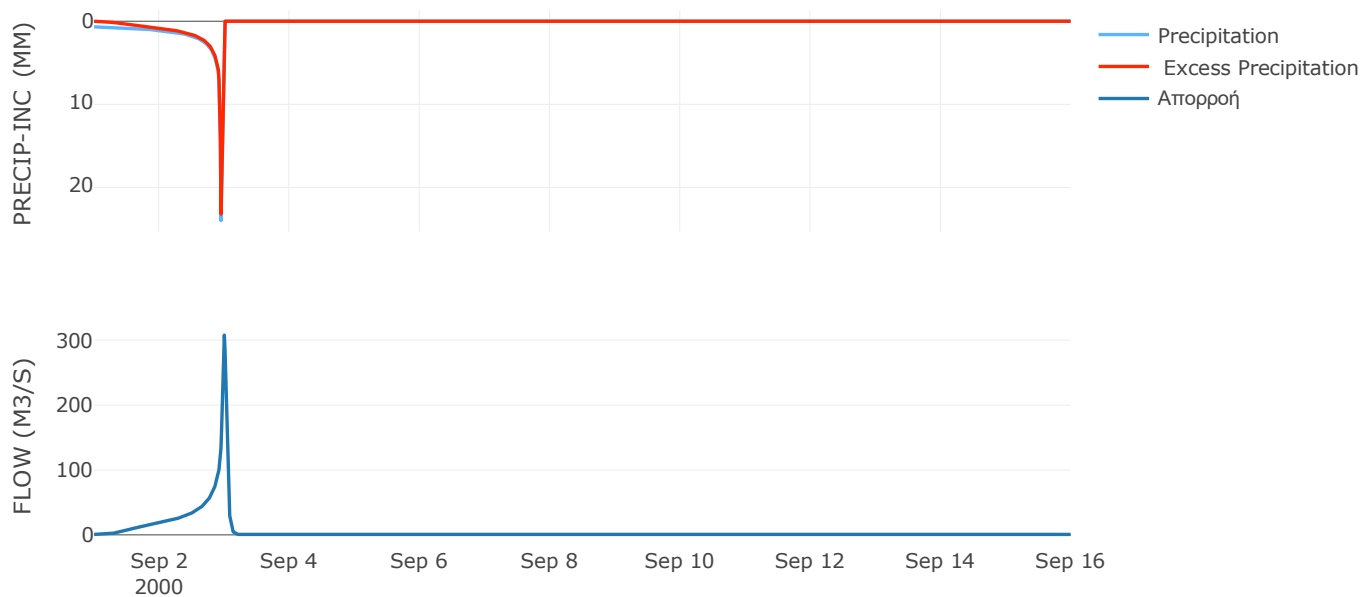
Μέθοδος
Μετασχηματισμού: SCS

Χρόνος Υστέρησης	55.15
------------------	-------

Αποτελέσματα:
EL0415FL00024

Παροχή αιχμής (M3/S)	307.86
Χρονική στιγμή αιχμής	02Sep2000, 24:00
Όγκος (MM)	343.87
Όγκος βροχόπτωσης (M3)	7.47E6
Όγκος απωλειών (M3)	1.38E6
Ενεργός Όγκος (M3)	6.08E6
Όγκος άμεσης απορροής (M3)	6.08E6
Όγκος βασικής απορροής (M3)	9.24E5

Βροχόπτωση και Απορροή



Υπολεκάνη: EL0415FL00025

Έκταση (KM2) : 32.02

Κατάντη : J13

Μέθοδος Απωλειών: SCS

Ποσοστό αδιαπέρατης επιφάνειας	0
Αριθμός Καμπύλης Απορροής-CN	51.09
Αρχικές Απώλειες	48.62

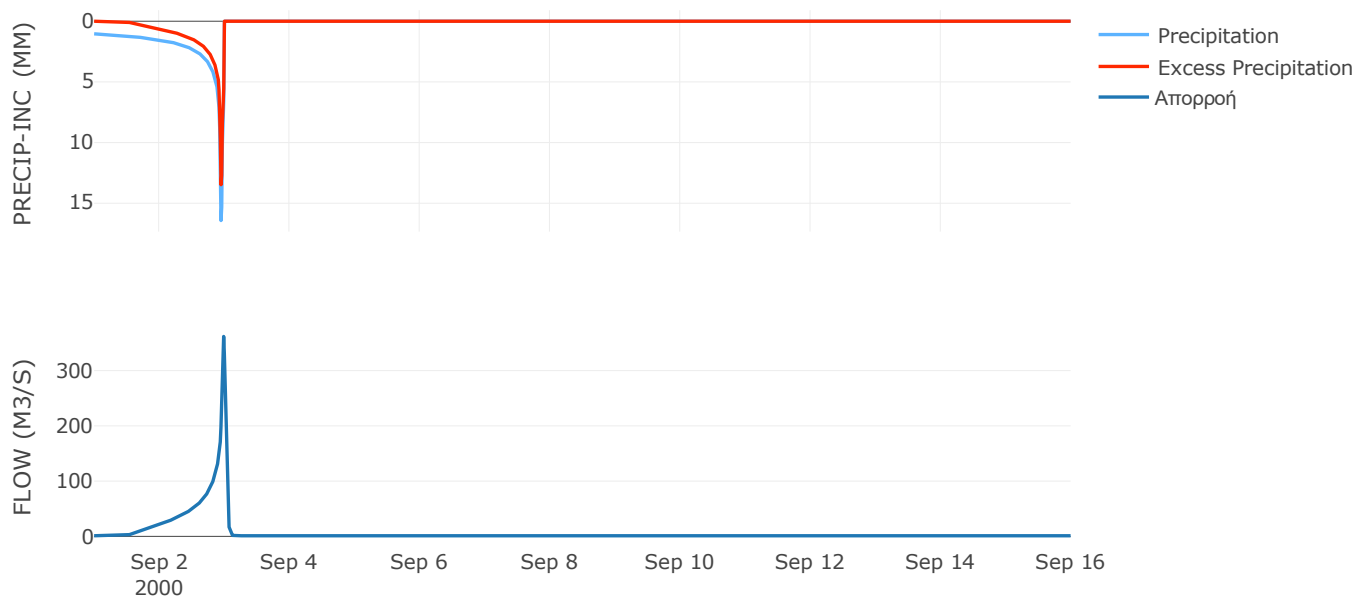
Μέθοδος
Μετασχηματισμού: SCS

Χρόνος Υστέρησης	38.27
------------------	-------

Αποτελέσματα:
EL0415FL00025

Παροχή αιχμής (M3/S)	361.73
Χρονική στιγμή αιχμής	02Sep2000, 23:45
Όγκος (MM)	275.76
Όγκος βροχόπτωσης (M3)	1.37E7
Όγκος απωλειών (M3)	6.3E6
Ενεργός Όγκος (M3)	7.38E6
Όγκος άμεσης απορροής (M3)	7.38E6
Όγκος βασικής απορροής (M3)	1.45E6

Βροχόπτωση και Απορροή



Υπολεκάνη: EL0415FL00026

Έκταση (KM2) : 30.03

Κατάντη : J12

Μέθοδος Απωλειών: SCS

Ποσοστό αδιαπέρατης επιφάνειας	0
Αριθμός Καμπύλης Απορροής-CN	68.31
Αρχικές Απώλειες	23.56

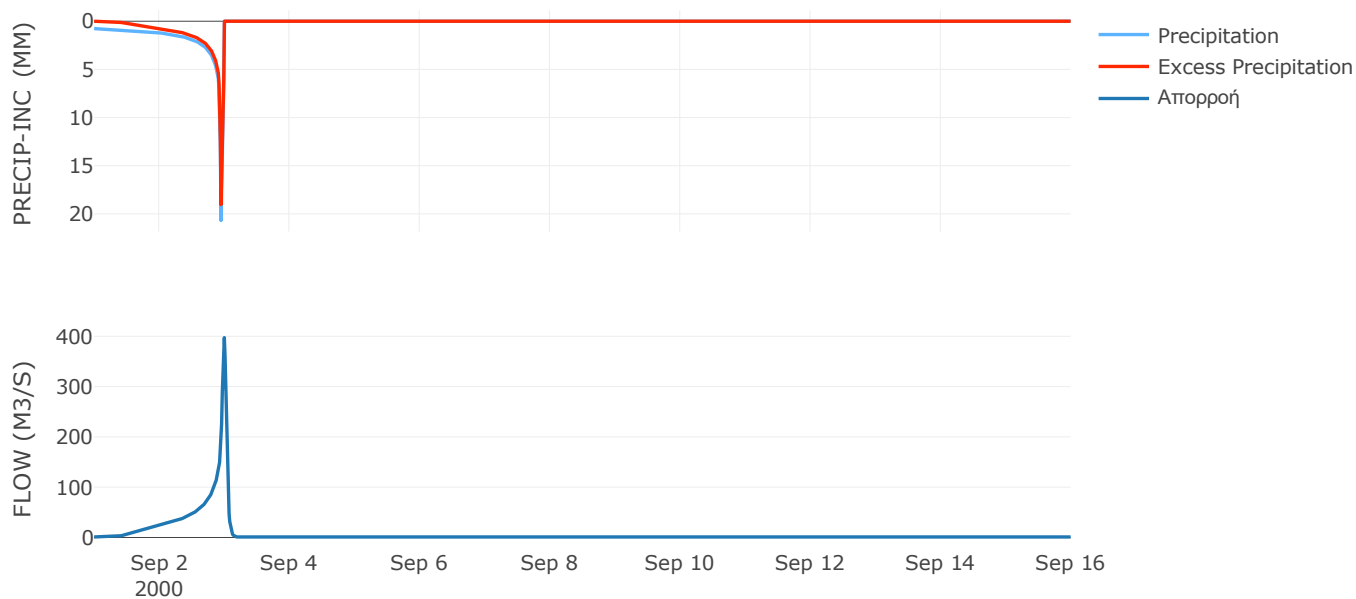
Μέθοδος
Μετασχηματισμού: SCS

Χρόνος Υστέρησης	51.73
------------------	-------

Αποτελέσματα:
EL0415FL00026

Παροχή αιχμής (M3/S)	397.25
Χρονική στιγμή αιχμής	02Sep2000, 24:00
Όγκος (MM)	309.34
Όγκος βροχόπτωσης (M3)	1.13E7
Όγκος απωλειών (M3)	3.36E6
Ενεργός Όγκος (M3)	7.93E6
Όγκος άμεσης απορροής (M3)	7.93E6
Όγκος βασικής απορροής (M3)	1.36E6

Βροχόπτωση και Απορροή



Υπολεκάνη: EL0415FL00027

Έκταση (KM2) : 3.34

Κατάνη : J11

Μέθοδος Απωλειών: SCS

Ποσοστό αδιαπέρατης επιφάνειας	0
Αριθμός Καμπύλης Απορροής-CN	79.69
Αρχικές Απώλειες	12.94

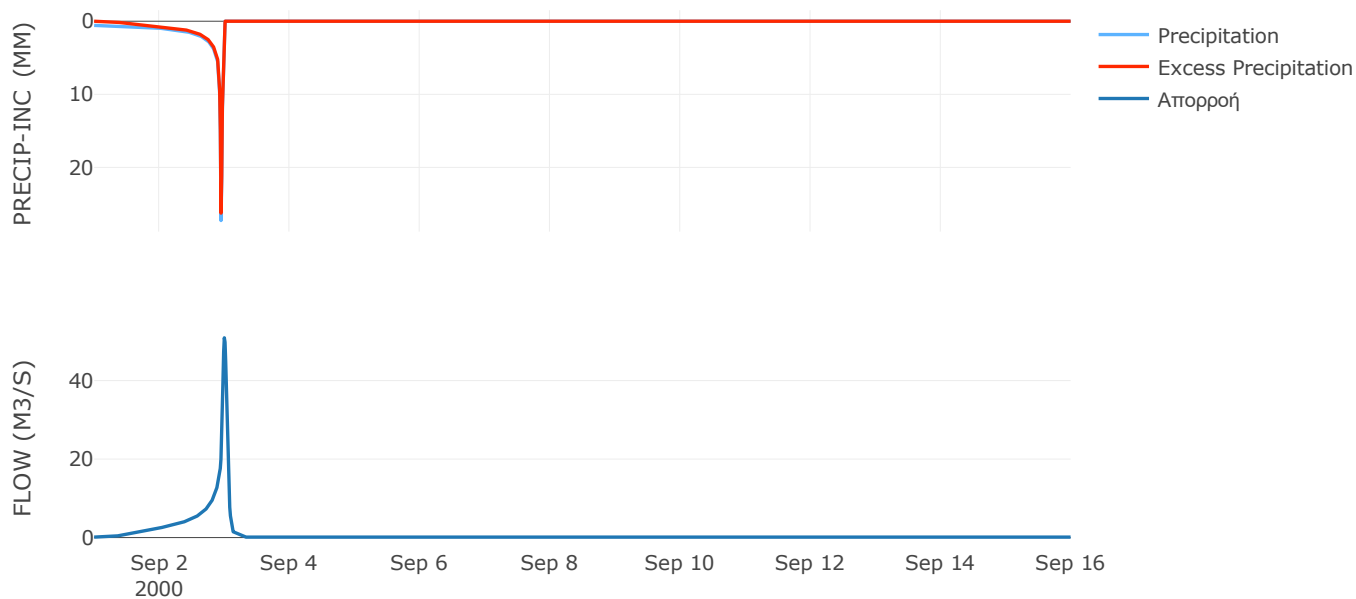
Μέθοδος
Μετασχηματισμού: SCS

Χρόνος Υστέρησης	64.25
------------------	-------

Αποτελέσματα:
EL0415FL00027

Παροχή αιχμής (M3/S)	50.89
Χρονική στιγμή αιχμής	02Sep2000, 24:00
Όγκος (MM)	325.8
Όγκος βροχόπτωσης (M3)	1.16E6
Όγκος απωλειών (M3)	2.24E5
Ενεργός Όγκος (M3)	9.36E5
Όγκος άμεσης απορροής (M3)	9.36E5
Όγκος βασικής απορροής (M3)	1.51E5

Βροχόπτωση και Απορροή



Δεδομένα και υδρογραφήματα σχεδιασμού Κλάδων υδρογραφικού δικτύου

Κλάδος: R21

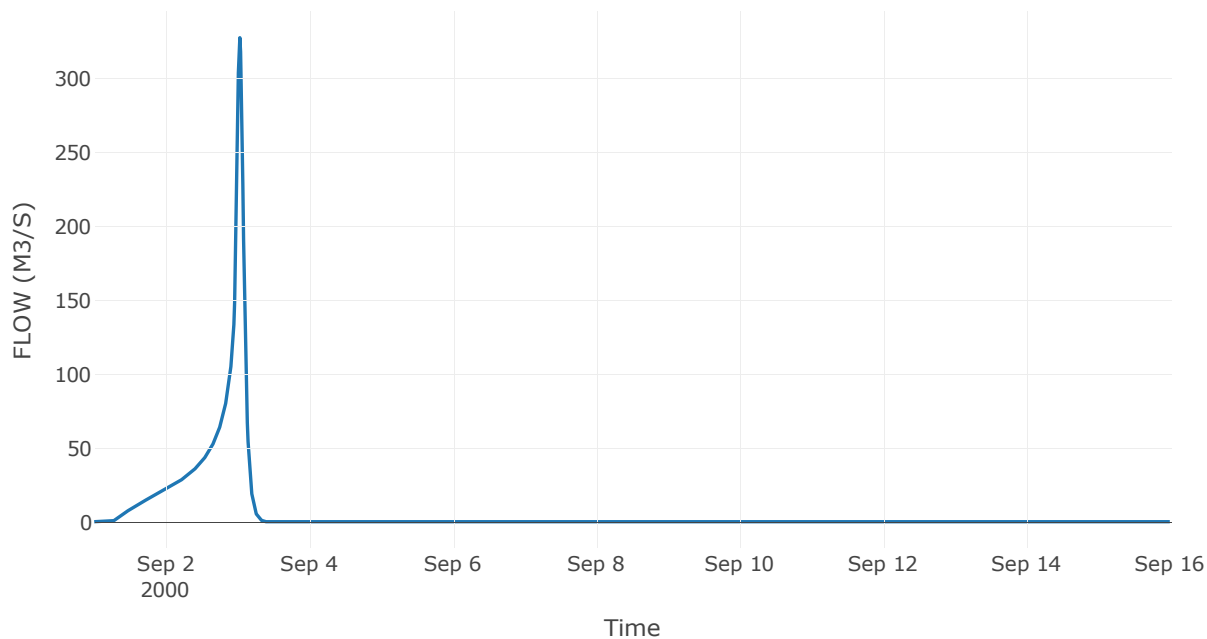
Κατάντη : J1

Μέθοδος Διόδευσης	Χρόνος
Αρχική Μεταβλητή	Combined Inflow
Χρόνος Υστέρησης	0

Αποτελέσματα: R21

Παροχή Αιχμής(M3/S)	327.67
Χρονική στιγμή αιχμής	03Sep2000, 00:45
Όγκος(MM)	340.62
Παροχή Αιχμής Εισόδου (M3/S)	327.67
Όγκος Εισροής(M3)	9.66E6

Απορροή



Κλάδος: R31

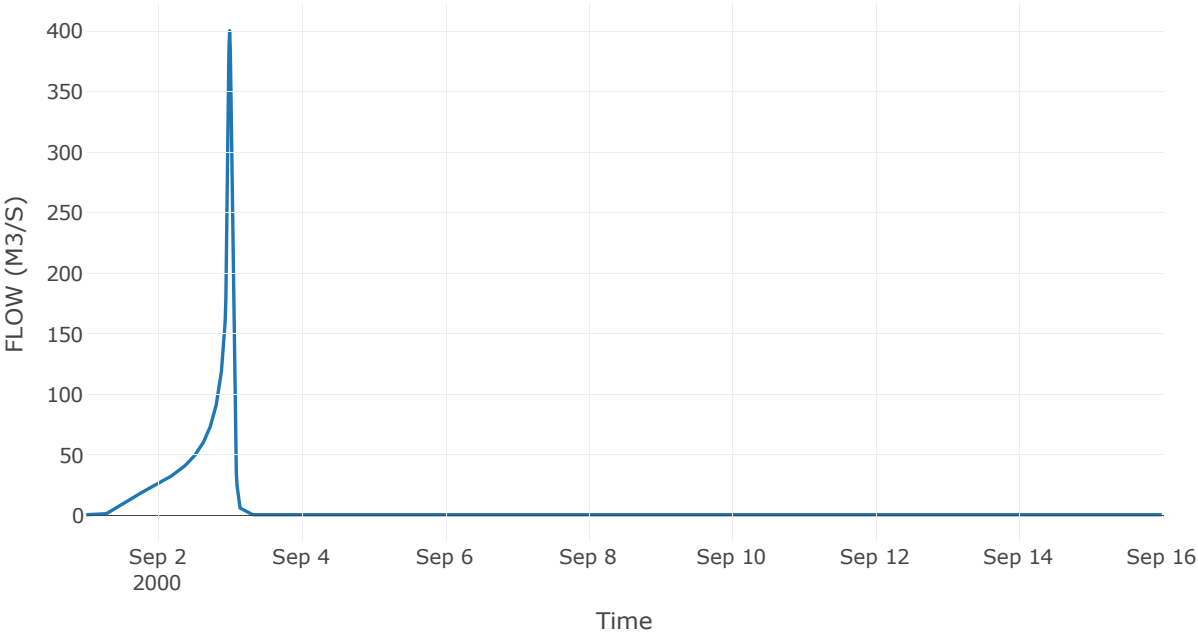
Κατάντη : J1

Μέθοδος Διόδευσης	Χρόνος
Αρχική Μεταβλητή	Combined Inflow
Χρόνος Υστέρησης	0

Αποτελέσματα: R31

Παροχή Αιχμής(M3/S)	400.12
Χρονική στιγμή αιχμής	02Sep2000, 24:00
Όγκος(MM)	329.3
Παροχή Αιχμής Εισόδου (M3/S)	400.12
Όγκος Εισροής(M3)	9.89E6

Απορροή



Κλάδος: R41

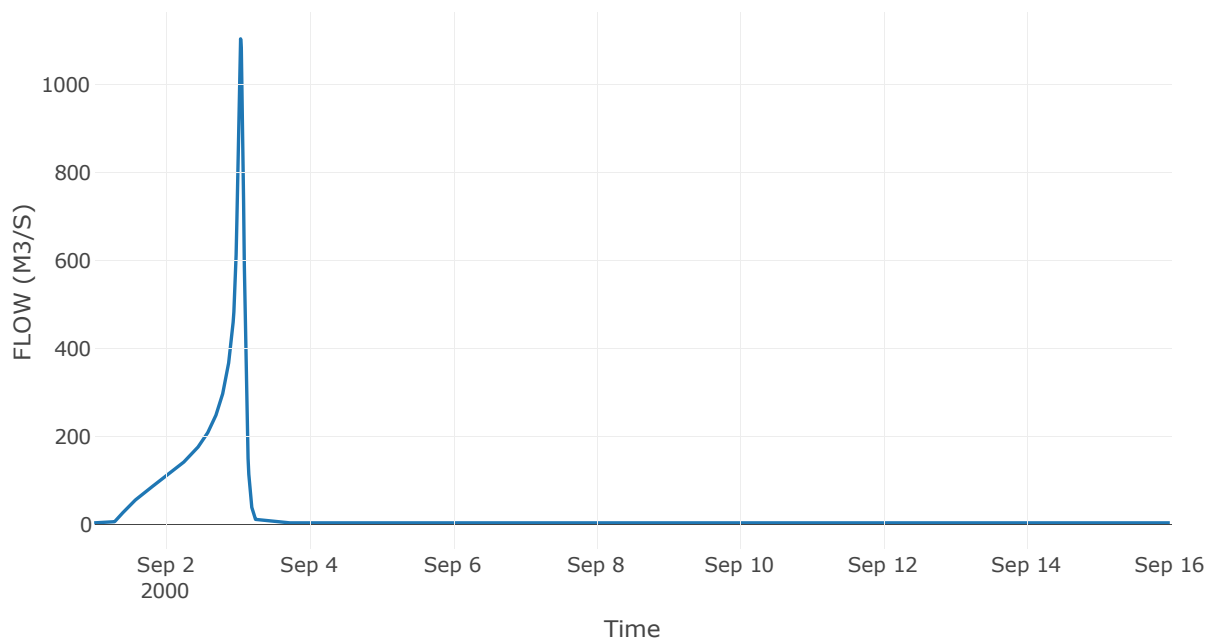
Κατάντη : J1

Μέθοδος Διόδευσης	Χρόνος
Αρχική Μεταβλητή	Combined Inflow
Χρόνος Υστέρησης	0

Αποτελέσματα: R41

Παροχή Αιχμής(M3/S)	1104.12
Χρονική στιγμή αιχμής	03Sep2000, 01:00
Όγκος(MM)	376.36
Παροχή Αιχμής Εισόδου (M3/S)	1104.12
Όγκος Εισροής(M3)	3.71E7

Απορροή



Κλάδος: R51

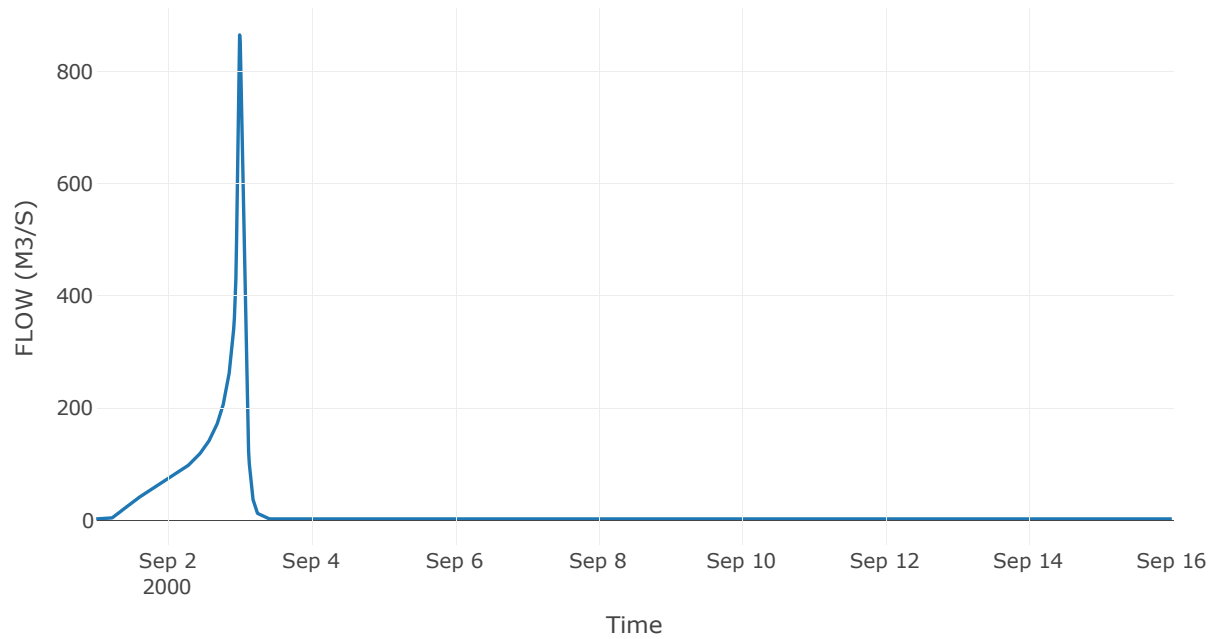
Κατάντη : J1

Μέθοδος Διόδευσης	Χρόνος
Αρχική Μεταβλητή	Combined Inflow
Χρόνος Υστέρησης	0

Αποτελέσματα: R51

Παροχή Αιχμής(M3/S)	865.18
Χρονική στιγμή αιχμής	02Sep2000, 24:00
Όγκος(MM)	345.99
Παροχή Αιχμής Εισόδου (M3/S)	865.18
Όγκος Εισροής(M3)	2.65E7

Απορροή



Κλάδος: R1110

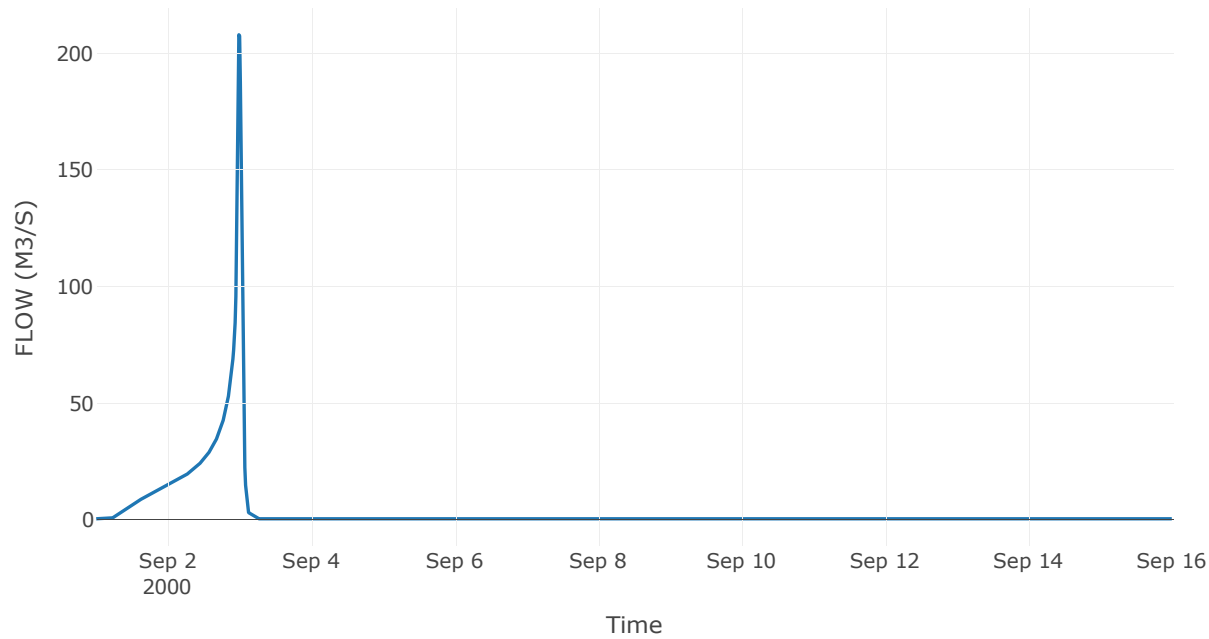
Κατάντη : J10

Μέθοδος Διόδευσης	Χρόνος
Αρχική Μεταβλητή	Combined Inflow
Χρόνος Υστέρησης	0

Αποτελέσματα: R1110

Παροχή Αιχμής(M3/S)	207.97
Χρονική στιγμή αιχμής	02Sep2000, 23:45
Όγκος(MM)	350.82
Παροχή Αιχμής Εισόδου (M3/S)	207.97
Όγκος Εισροής(M3)	5.11E6

Απορροή



Κλάδος: R1210

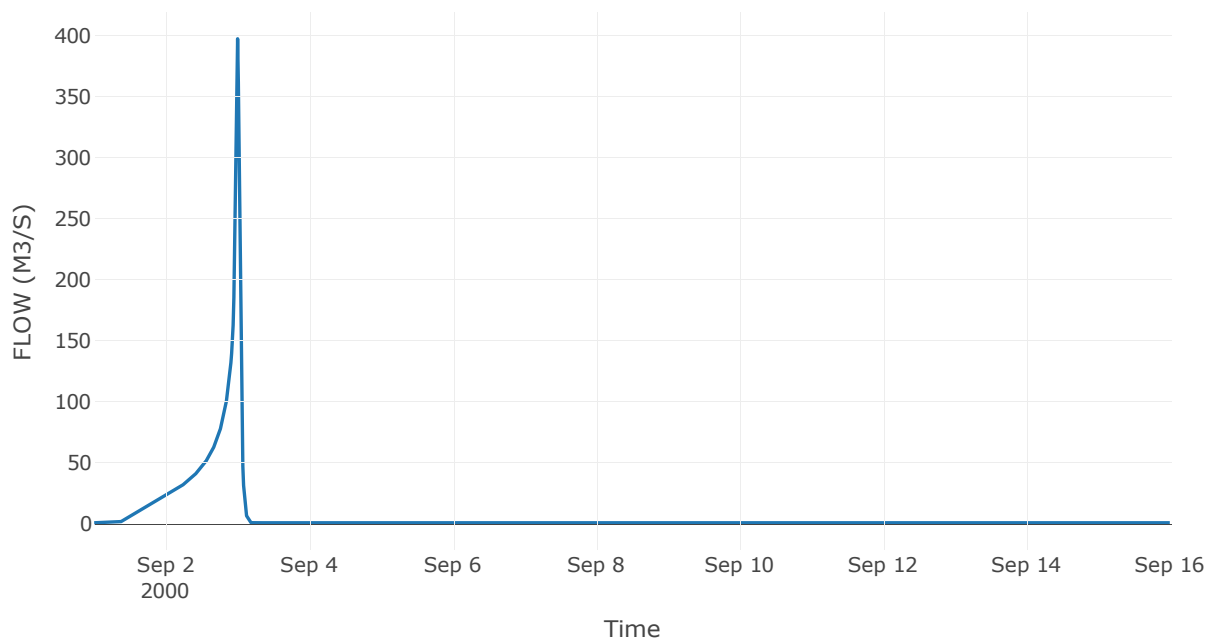
Κατάντη : J10

Μέθοδος Διόδευσης	Χρόνος
Αρχική Μεταβλητή	Combined Inflow
Χρόνος Υστέρησης	0

Αποτελέσματα: R1210

Παροχή Αιχμής(M3/S)	397.25
Χρονική στιγμή αιχμής	02Sep2000, 24:00
Όγκος(MM)	309.34
Παροχή Αιχμής Εισόδου (M3/S)	397.25
Όγκος Εισροής(M3)	9.29E6

Απορροή



Κλάδος: R1310

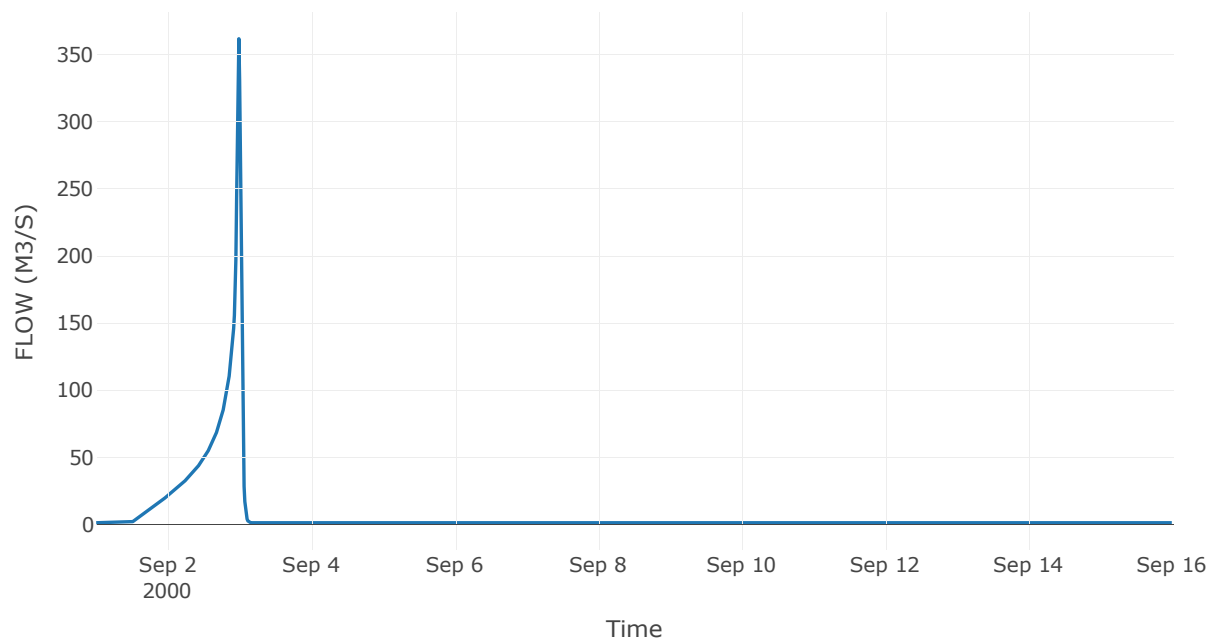
Κατάντη : J10

Μέθοδος Διόδευσης	Χρόνος
Αρχική Μεταβλητή	Combined Inflow
Χρόνος Υστέρησης	0

Αποτελέσματα: R1310

Παροχή Αιχμής(M3/S)	361.73
Χρονική στιγμή αιχμής	02Sep2000, 23:45
Όγκος(MM)	275.76
Παροχή Αιχμής Εισόδου (M3/S)	361.73
Όγκος Εισροής(M3)	8.83E6

Απορροή



Κλάδος: R1410

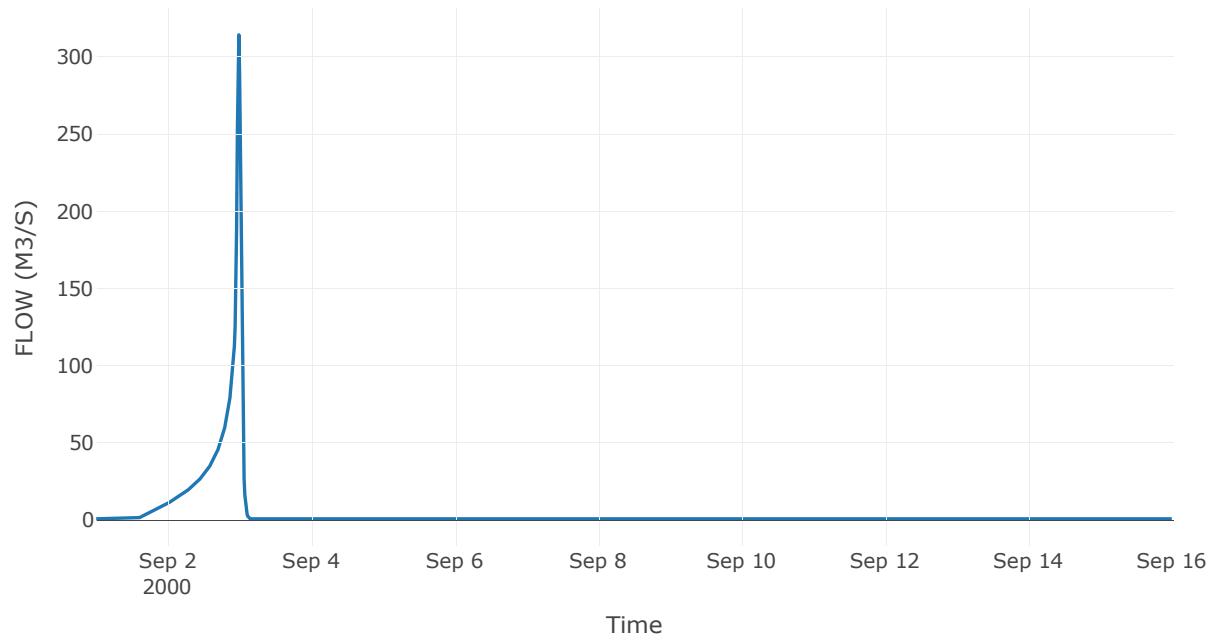
Κατάντη : J10

Μέθοδος Διόδευσης	Χρόνος
Αρχική Μεταβλητή	Combined Inflow
Χρόνος Υστέρησης	0

Αποτελέσματα: R1410

Παροχή Αιχμής(M3/S)	314.2
Χρονική στιγμή αιχμής	02Sep2000, 23:45
Όγκος(MM)	252.29
Παροχή Αιχμής Εισόδου (M3/S)	314.2
Όγκος Εισροής(M3)	6.18E6

Απορροή



Κλάδος: R1510

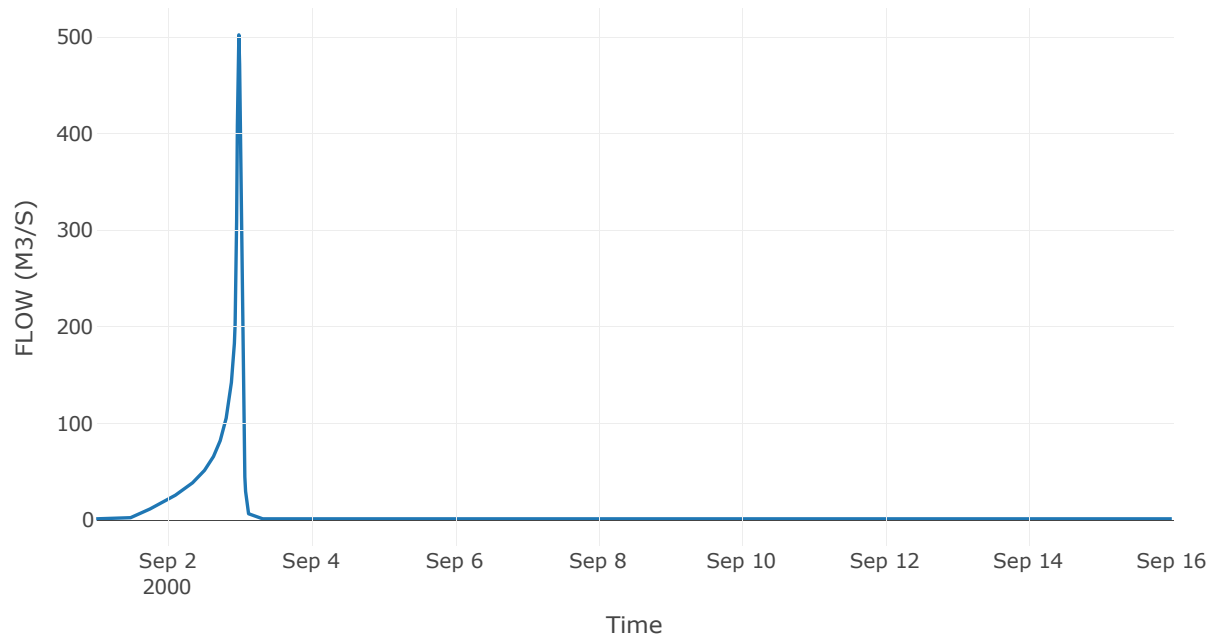
Κατάντη : J10

Μέθοδος Διόδευσης	Χρόνος
Αρχική Μεταβλητή	Combined Inflow
Χρόνος Υστέρησης	0

Αποτελέσματα: R1510

Παροχή Αιχμής(M3/S)	502.28
Χρονική στιγμή αιχμής	02Sep2000, 23:45
Όγκος(MM)	286.11
Παροχή Αιχμής Εισόδου (M3/S)	502.28
Όγκος Εισροής(M3)	1.05E7

Απορροή



Κλάδος: R1610

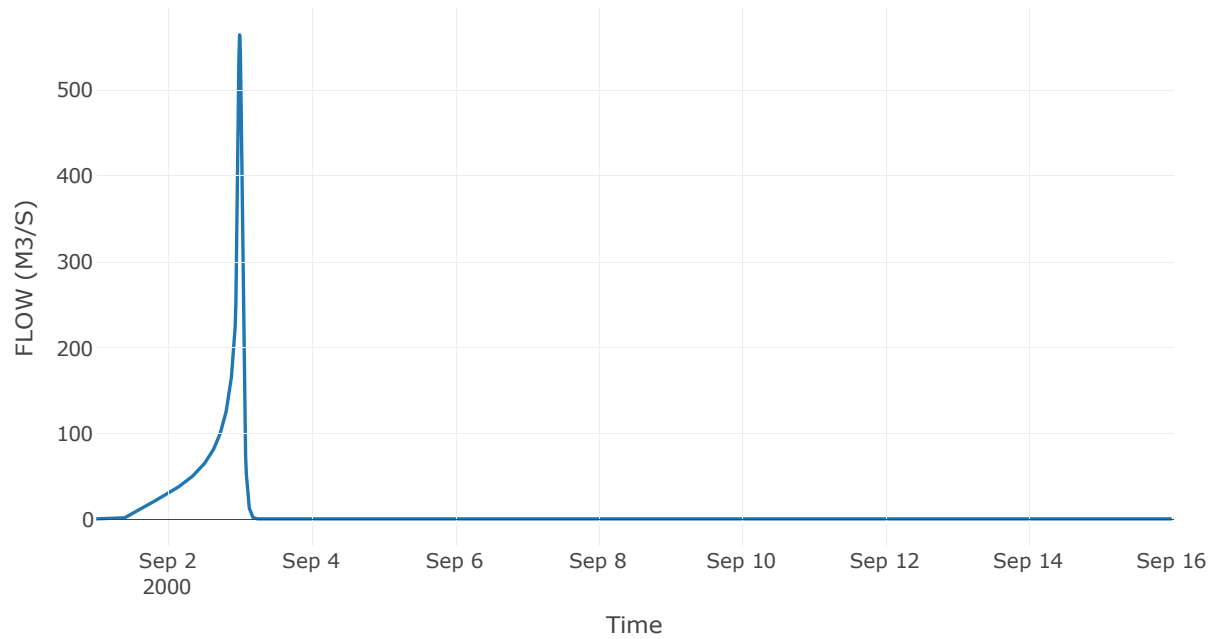
Κατάντη : J10

Μέθοδος Διόδευσης	Χρόνος
Αρχική Μεταβλητή	Combined Inflow
Χρόνος Υστέρησης	0

Αποτελέσματα: R1610

Παροχή Αιχμής(M3/S)	564.25
Χρονική στιγμή αιχμής	02Sep2000, 24:00
Όγκος(MM)	316.55
Παροχή Αιχμής Εισόδου (M3/S)	564.25
Όγκος Εισροής(M3)	1.32E7

Απορροή



Κλάδος: R1710

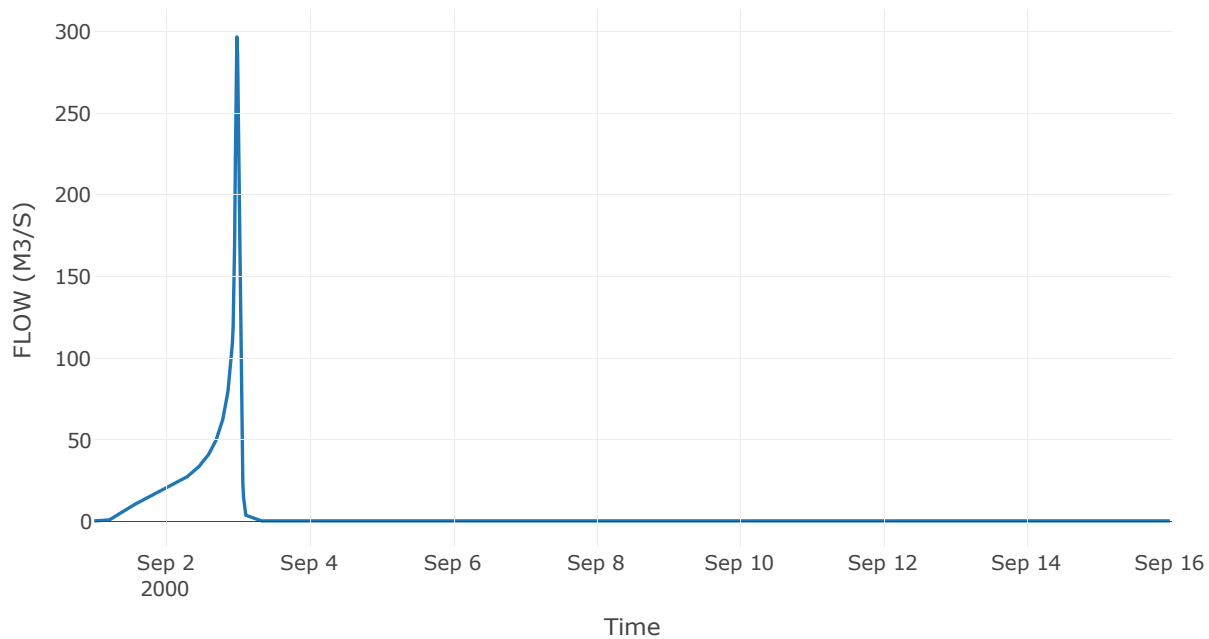
Κατάντη : J10

Μέθοδος Διόδευσης	Χρόνος
Αρχική Μεταβλητή	Combined Inflow
Χρόνος Υστέρησης	0

Αποτελέσματα: R1710

Παροχή Αιχμής(M3/S)	296.81
Χρονική στιγμή αιχμής	02Sep2000, 23:45
Όγκος(MM)	356.51
Παροχή Αιχμής Εισόδου (M3/S)	296.81
Όγκος Εισροής(M3)	6.97E6

Απορροή



Κλάδος: R1810

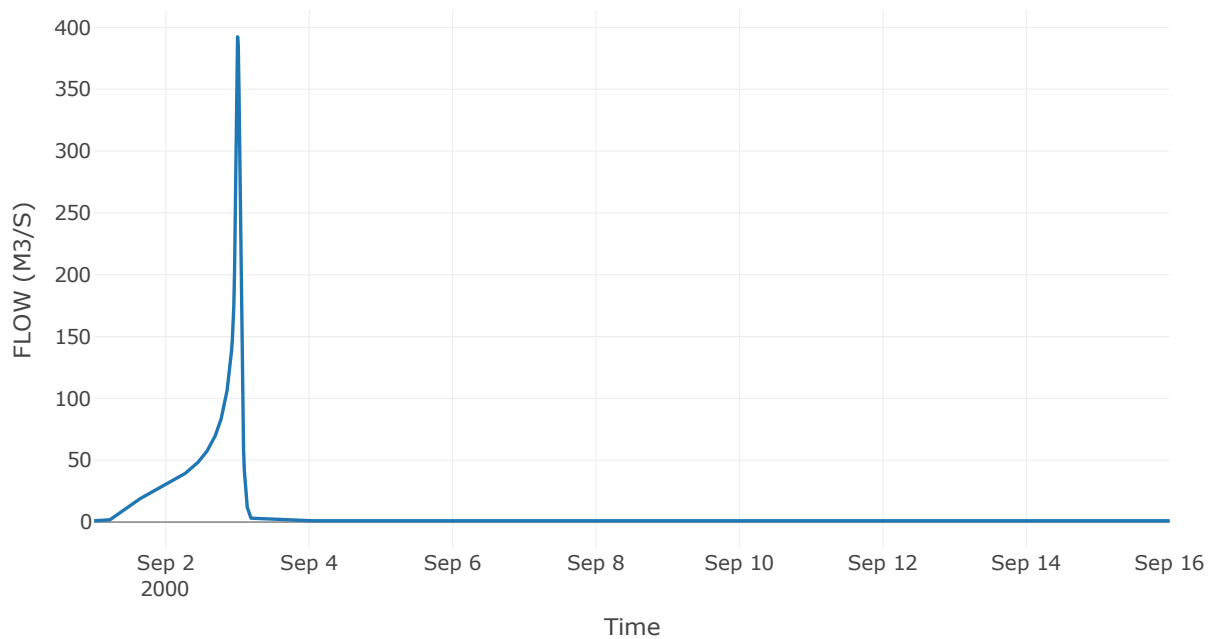
Κατάντη : J10

Μέθοδος Διόδευσης	Χρόνος
Αρχική Μεταβλητή	Combined Inflow
Χρόνος Υστέρησης	0

Αποτελέσματα: R1810

Παροχή Αιχμής(M3/S)	392.4
Χρονική στιγμή αιχμής	02Sep2000, 24:00
Όγκος(MM)	358.68
Παροχή Αιχμής Εισόδου (M3/S)	392.4
Όγκος Εισροής(M3)	1.03E7

Απορροή



Κλάδος: R1910

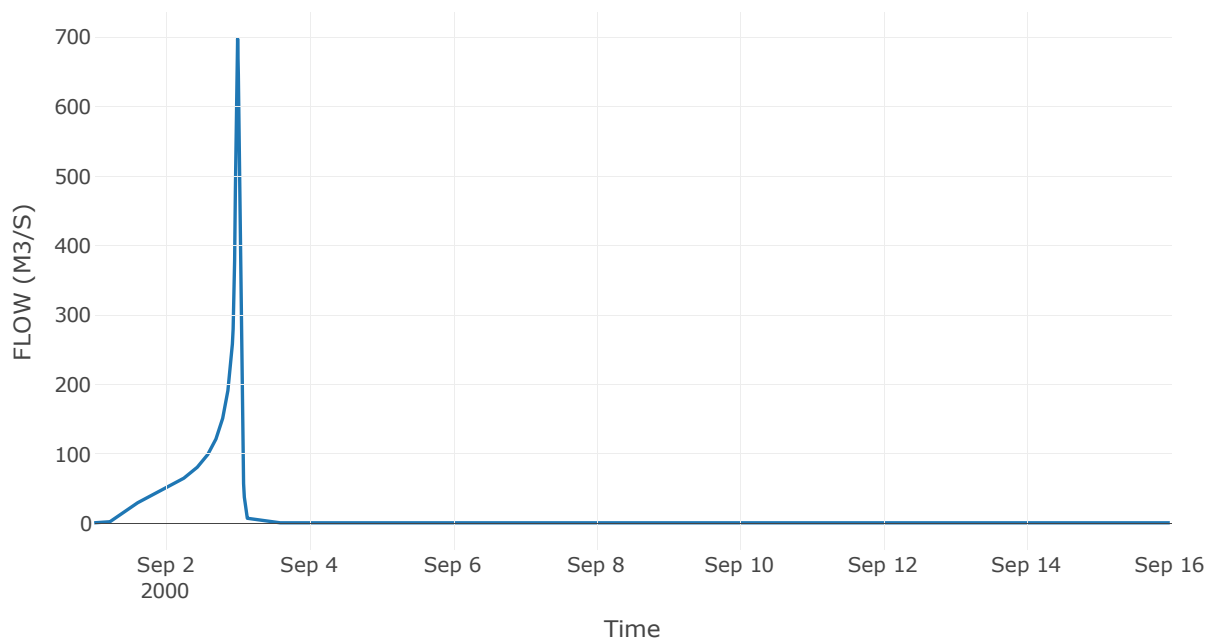
Κατάντη : J10

Μέθοδος Διόδευσης	Χρόνος
Αρχική Μεταβλητή	Combined Inflow
Χρόνος Υστέρησης	0

Αποτελέσματα: R1910

Παροχή Αιχμής(M3/S)	697.54
Χρονική στιγμή αιχμής	02Sep2000, 24:00
Όγκος(MM)	354.02
Παροχή Αιχμής Εισόδου (M3/S)	697.54
Όγκος Εισροής(M3)	1.74E7

Απορροή



Κλάδος: R16

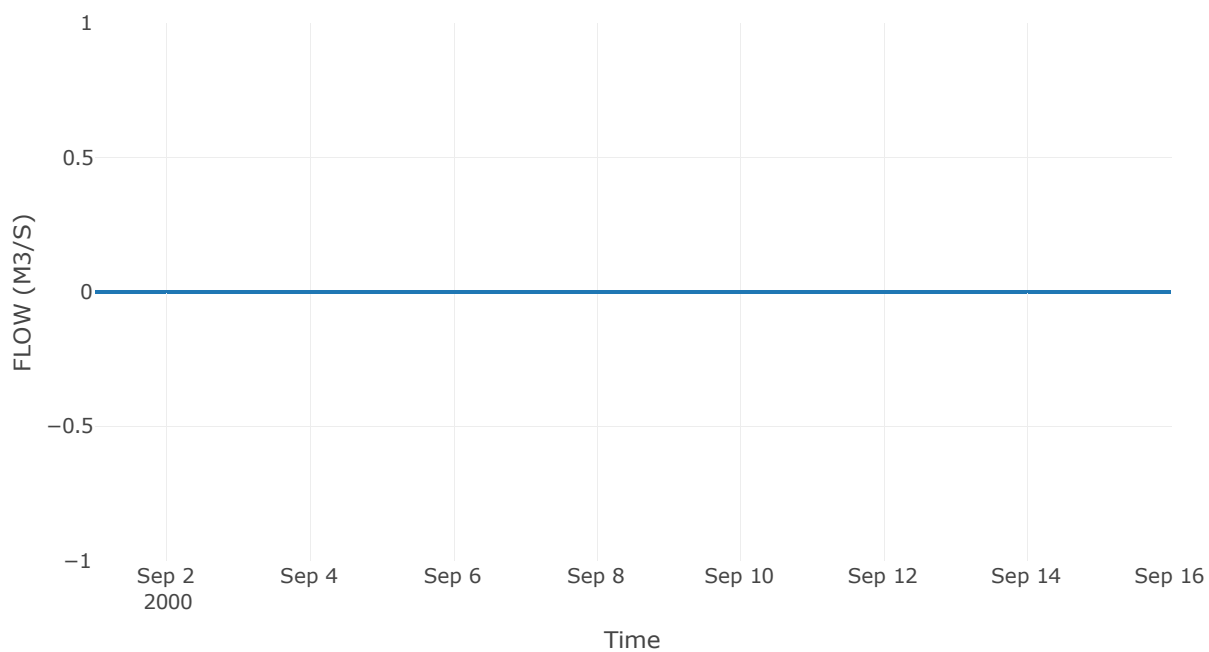
Κατάντη : J6

Μέθοδος Διόδευσης	Muskingum
Αρχική Μεταβλητή	Combined Inflow
Χρόνος Ροής Κ	8.55
Συντελεστής βάρους x	0.2
Πλήθος Υποκλάδων	59

Αποτελέσματα: R16

Παροχή Αιχμής(M3/S)	0
Χρονική στιγμή αιχμής	31Aug2000, 24:00
Εισροή Αιχμής(M3/S)	0
Όγκος Εισροής (M3)	0

Απορροή



Κλάδος: R74

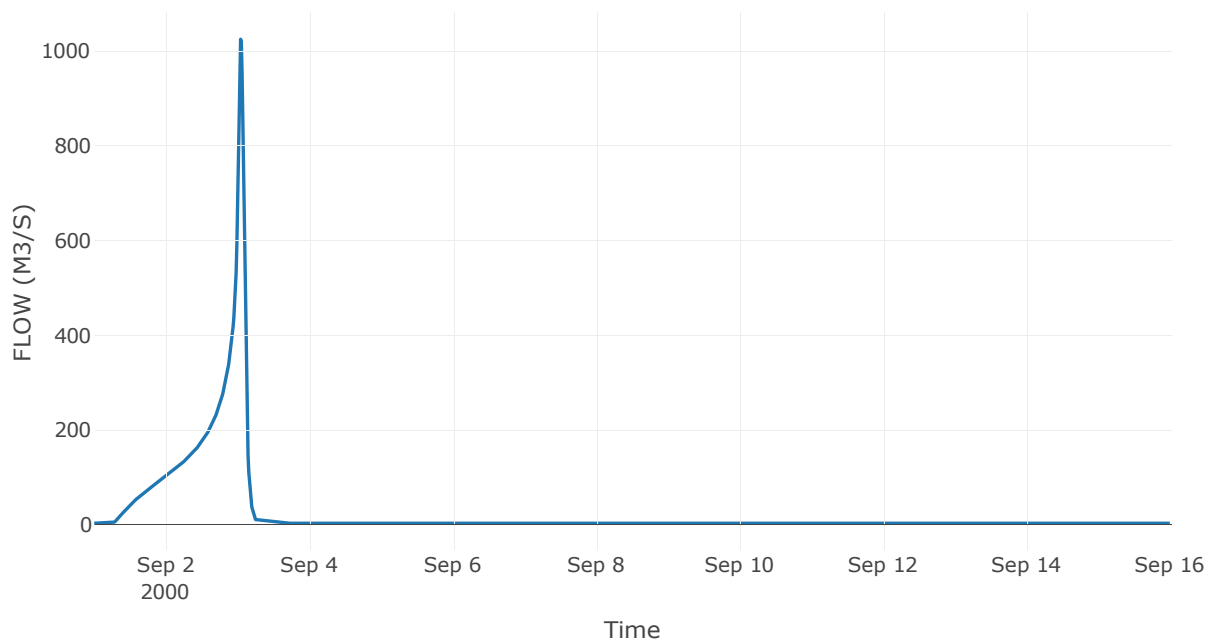
Κατάντη : J4

Μέθοδος Διόδευσης	Muskingum
Αρχική Μεταβλητή	Combined Inflow
Χρόνος Ροής Κ	0.81
Συντελεστής βάρους α	0.2
Πλήθος Υποκλάδων	6

Αποτελέσματα: R74

Παροχή Αιχμής(M3/S)	1024.48
Χρονική στιγμή αιχμής	03Sep2000, 01:00
Όγκος(MM)	380.13
Παροχή Αιχμής Εισόδου (M3/S)	1060.87
Όγκος Εισροής(M3)	3.44E7

Απορροή



Κλάδος: R85

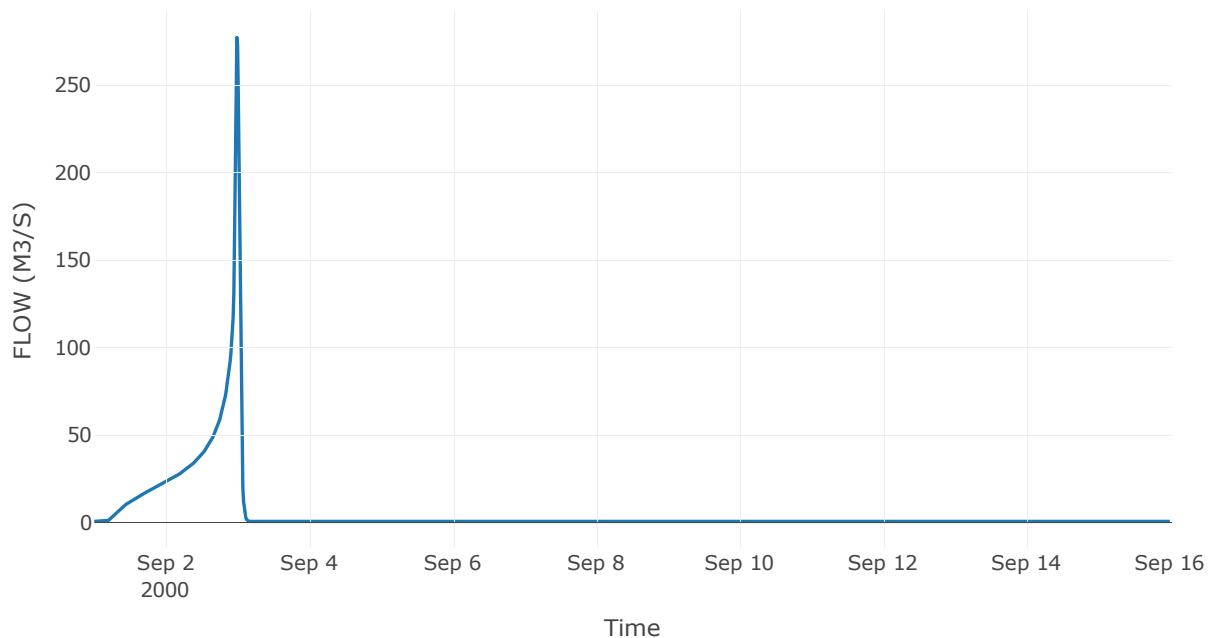
Κατάντη : J5

Μέθοδος Διόδευσης	Muskingum
Αρχική Μεταβλητή	Combined Inflow
Χρόνος Ροής Κ	0.16
Συντελεστής βάρους α	0.2
Πλήθος Υποκλάδων	1

Αποτελέσματα: R85

Παροχή Αιχμής(M3/S)	277.09
Χρονική στιγμή αιχμής	02Sep2000, 23:45
Όγκος(MM)	357.5
Παροχή Αιχμής Εισόδου (M3/S)	281.59
Όγκος Εισροής(M3)	7.29E6

Απορροή



Κλάδος: R95

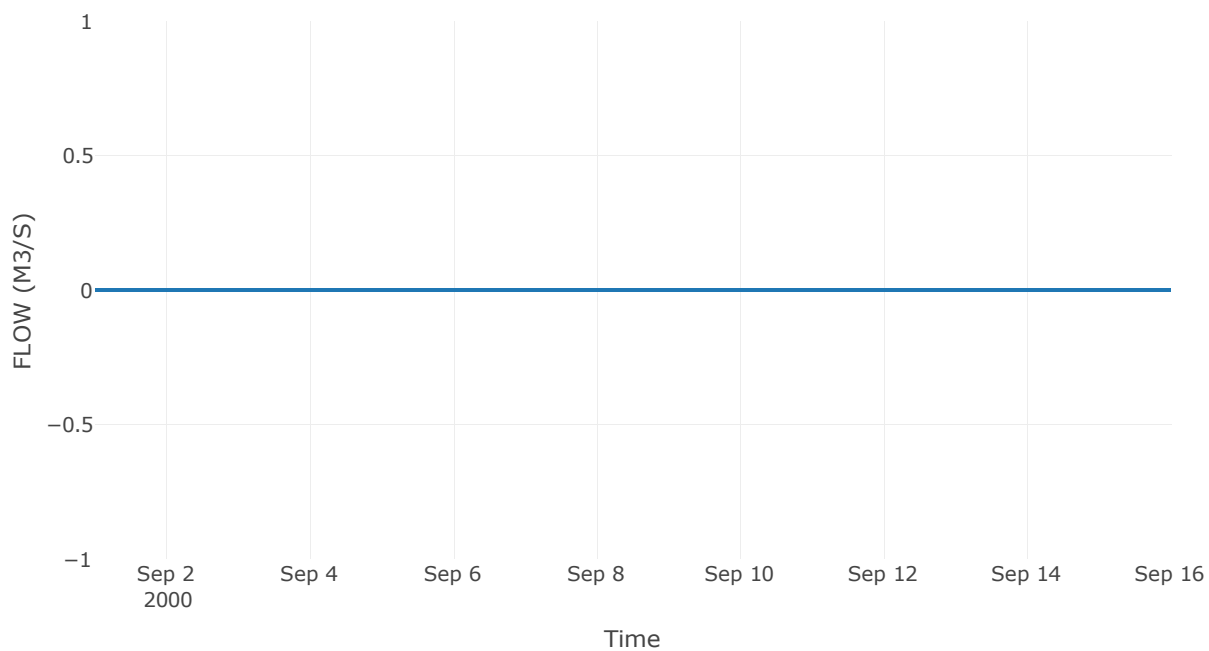
Κατάντη : J5

Μέθοδος Διόδευσης	Χρόνος
Αρχική Μεταβλητή	Combined Inflow
Χρόνος Υστέρησης	50.76

Αποτελέσματα: R95

Παροχή Αιχμής(M3/S)	0
Χρονική στιγμή αιχμής	31Aug2000, 24:00
Εισροή Αιχμής(M3/S)	0
Όγκος Εισροής (M3)	0

Απορροή



Κλάδος: R2011

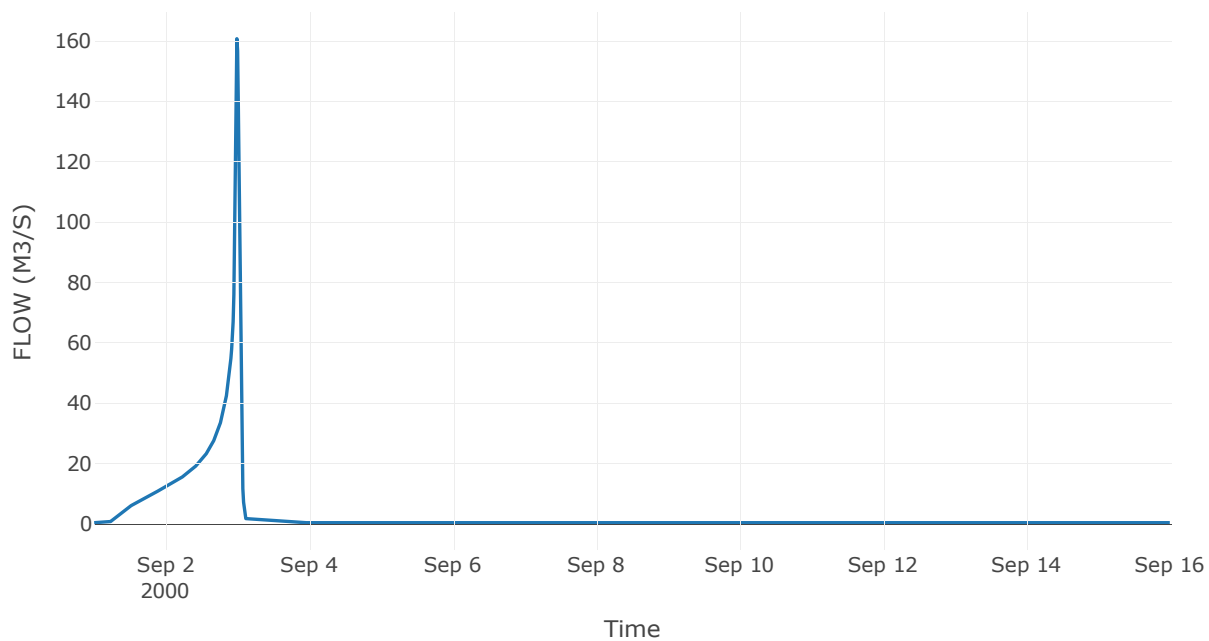
Κατάντη : J11

Μέθοδος Διόδευσης	Χρόνος
Αρχική Μεταβλητή	Combined Inflow
Χρόνος Υστέρησης	7.62

Αποτελέσματα: R2011

Παροχή Αιχμής(M3/S)	160.61
Χρονική στιγμή αιχμής	02Sep2000, 23:45
Όγκος(MM)	358.26
Παροχή Αιχμής Εισόδου (M3/S)	163.4
Όγκος Εισροής(M3)	4.02E6

Απορροή



Κλάδος: R2117

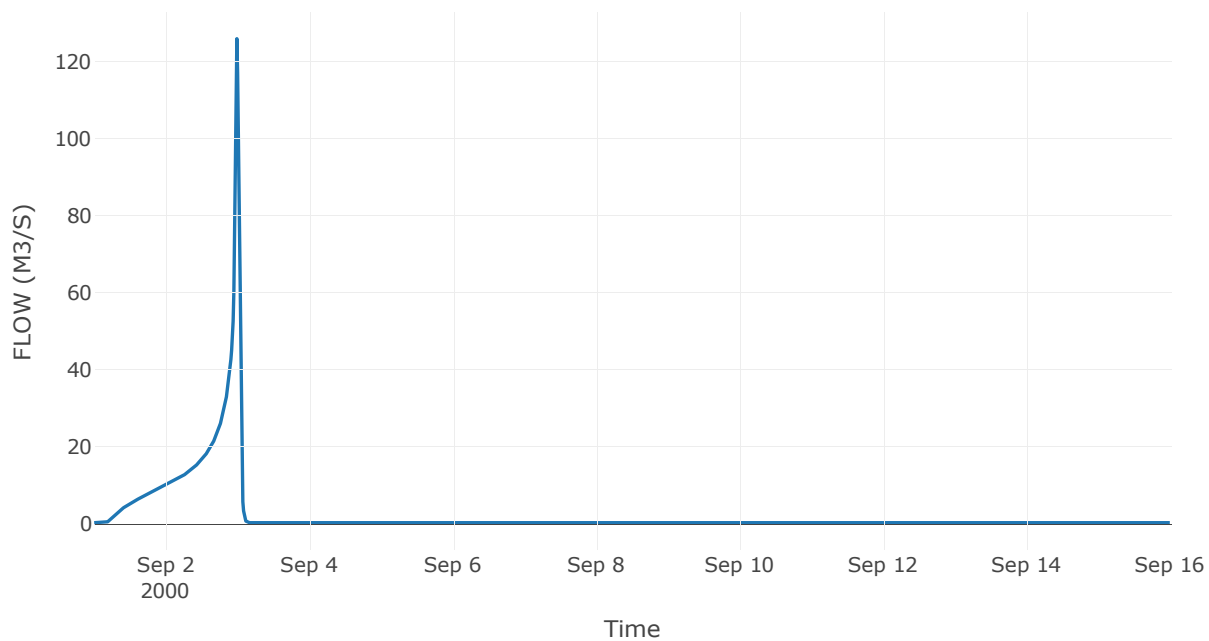
Κατάντη : J17

Μέθοδος Διόδευσης	Χρόνος
Αρχική Μεταβλητή	Combined Inflow
Χρόνος Υστέρησης	7.15

Αποτελέσματα: R2117

Παροχή Αιχμής(M3/S)	125.85
Χρονική στιγμή αιχμής	02Sep2000, 23:45
Όγκος(MM)	369.56
Παροχή Αιχμής Εισόδου (M3/S)	126.55
Όγκος Εισροής(M3)	3.13E6

Απορροή



Κλάδος: R2218

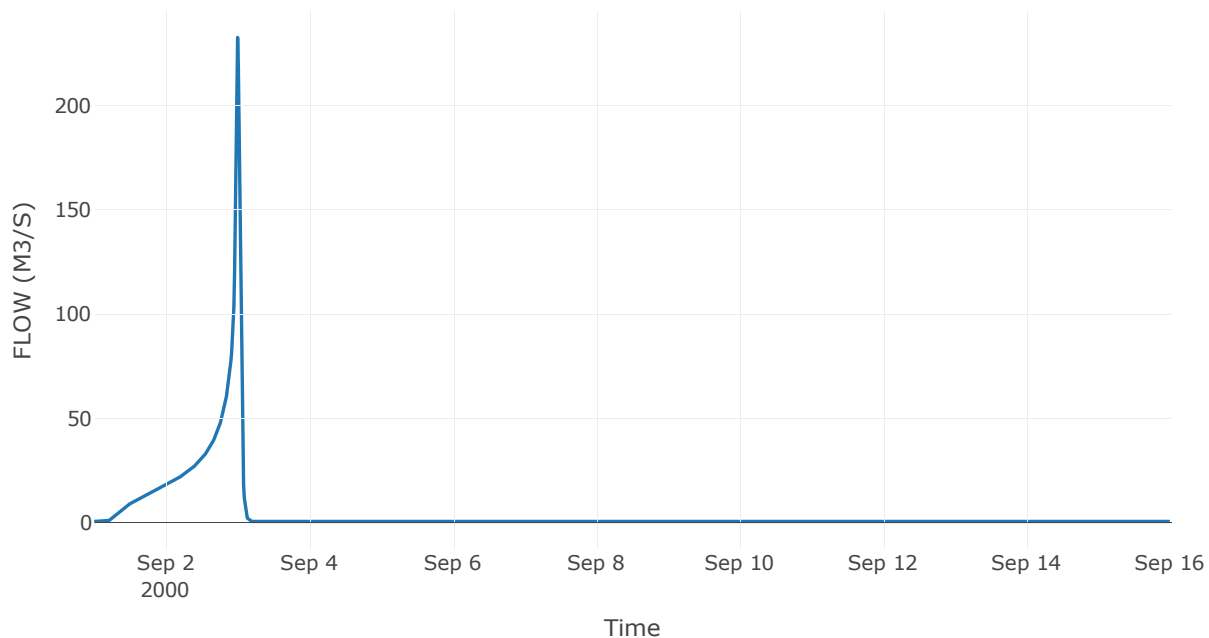
Κατάντη : J18

Μέθοδος Διόδευσης	Muskingum
Αρχική Μεταβλητή	Combined Inflow
Χρόνος Ροής Κ	0.19
Συντελεστής βάρους x	0.2
Πλήθος Υποκλάδων	1

Αποτελέσματα: R2218

Παροχή Αιχμής(M3/S)	232.63
Χρονική στιγμή αιχμής	02Sep2000, 24:00
Όγκος(MM)	362.73
Παροχή Αιχμής Εισόδου (M3/S)	236.83
Όγκος Εισροής(M3)	5.95E6

Απορροή



Κλάδος: R2319

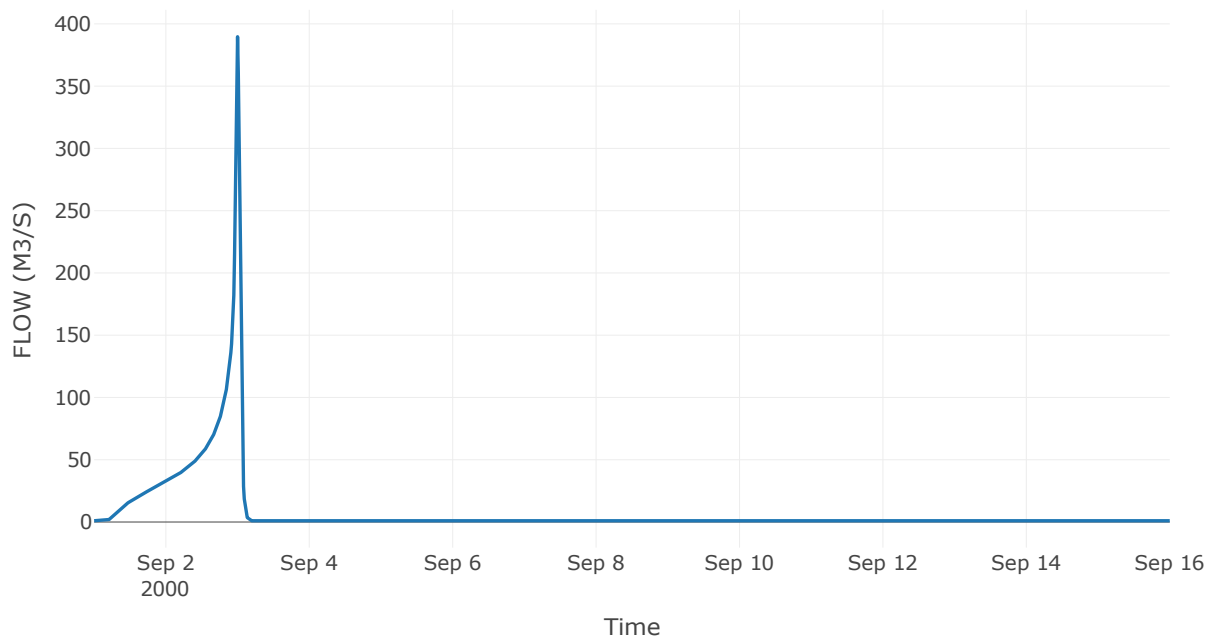
Κατάντη : J19

Μέθοδος Διόδευσης	Χρόνος
Αρχική Μεταβλητή	Combined Inflow
Χρόνος Υστέρησης	8.57

Αποτελέσματα: R2319

Παροχή Αιχμής(M3/S)	389.68
Χρονική στιγμή αιχμής	02Sep2000, 24:00
Όγκος(MM)	361.2
Παροχή Αιχμής Εισόδου (M3/S)	395.81
Όγκος Εισροής(M3)	1.04E7

Απορροή



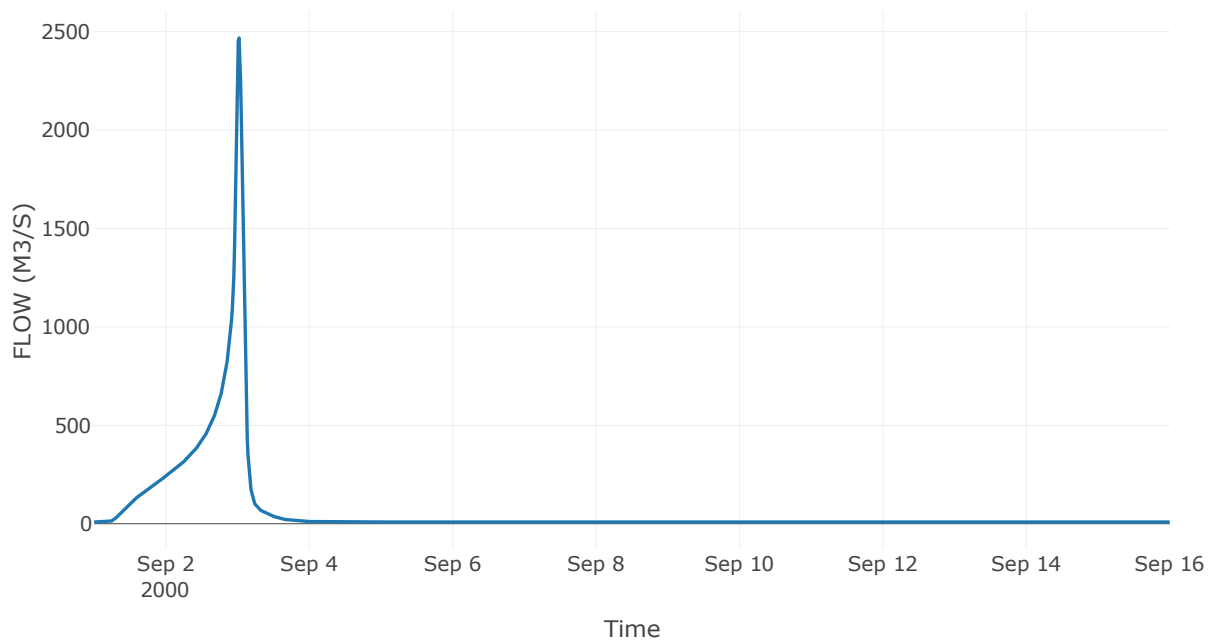
Δεδομένα και υδρογραφήματα σχεδιασμού Κόμβων υδρογραφικού δικτύου

Κόμβος εξόδου: J1

Αποτέλεσμα
τα: J1

Παροχή αιχμής (M3/S)	2467.29
Χρονική στιγμή αιχμής	03Sep2000, 00:30
Όγκος (MM)	357.94

Απορροή



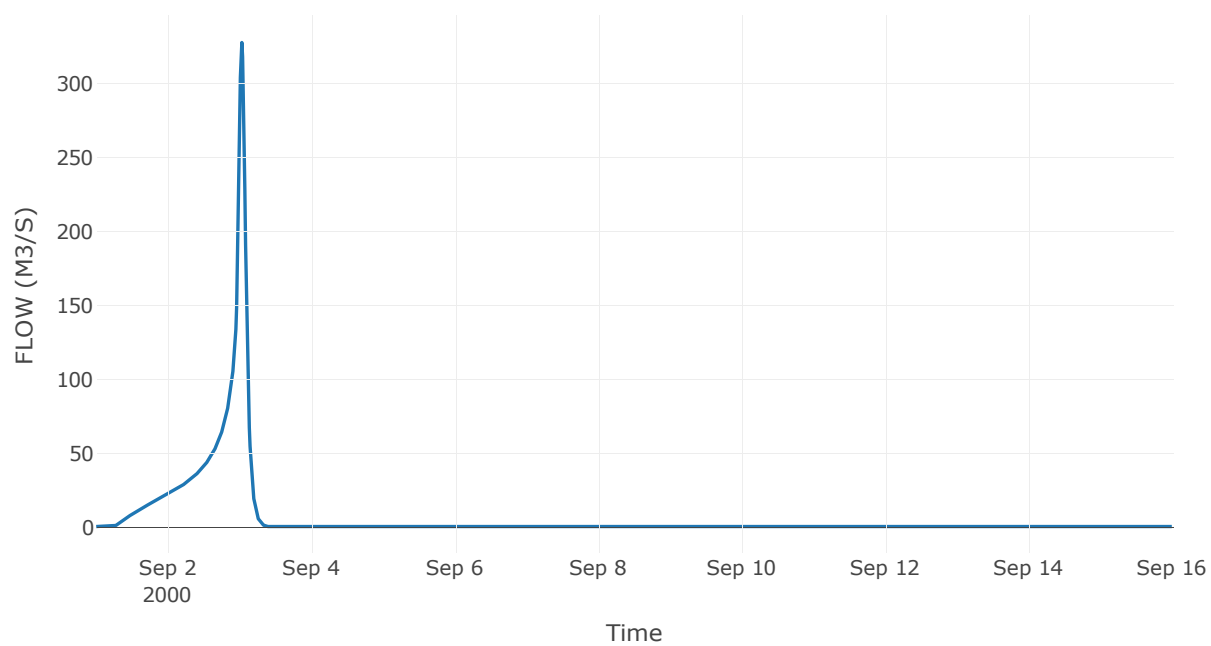
Κόμβος: J2

Κατάντη : R21

Αποτελέσματα: J2

Παροχή Αιχμής(M3/S)	327.67
Χρονική στιγμή αιχμής	03Sep2000, 00:45
Όγκος(MM)	340.62

Απορροή



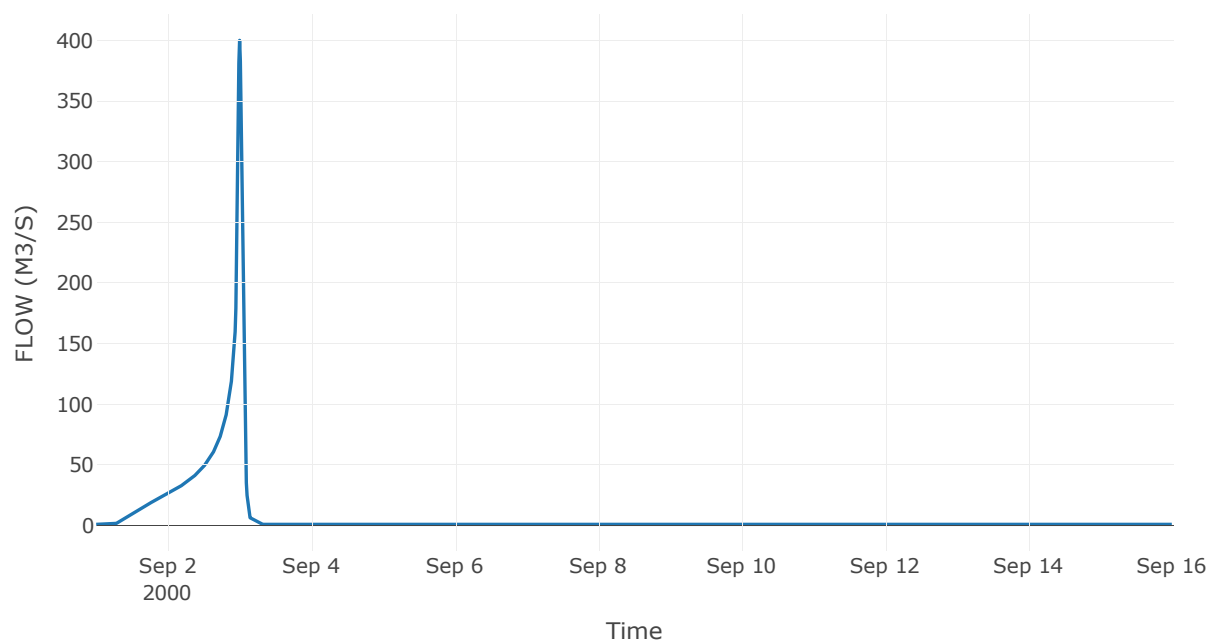
Κόμβος: J3

Κατάντη : R31

Αποτελέσματα: J3

Παροχή Αιχμής(M3/S)	400.12
Χρονική στιγμή αιχμής	02Sep2000, 24:00
Όγκος(MM)	329.3

Απορροή



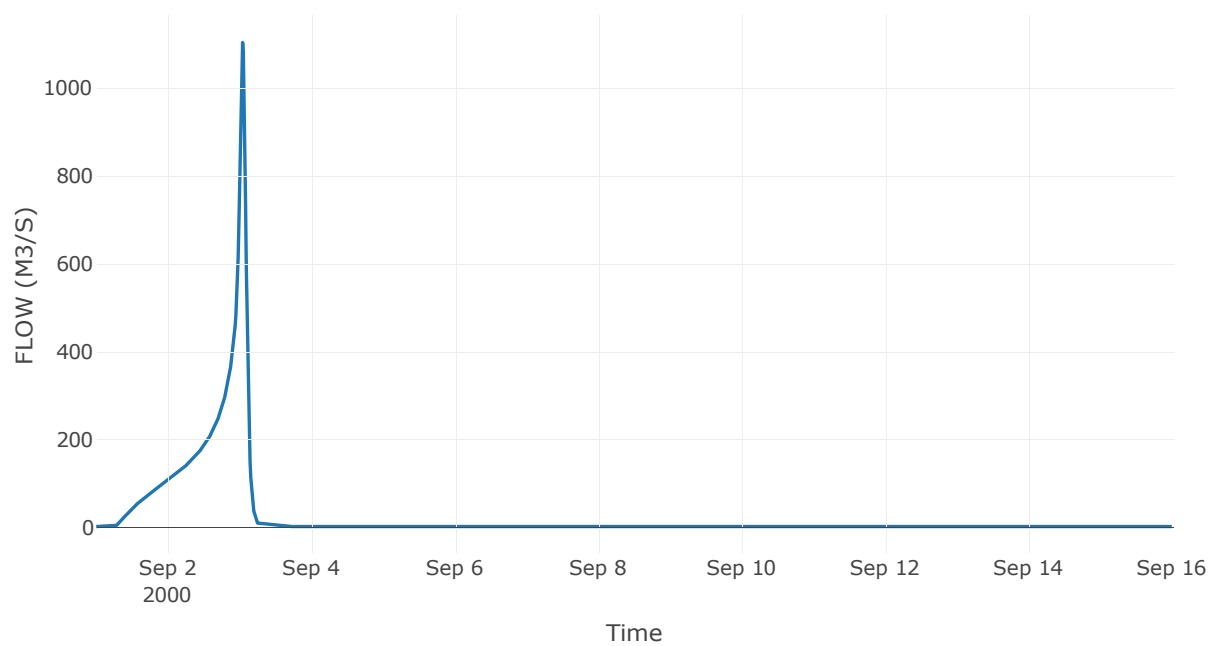
Κόμβος: J4

Κατάντη : R41

Αποτελέσματα: J4

Παροχή Αιχμής(M3/S)	1104.12
Χρονική στιγμή αιχμής	03Sep2000, 01:00
Όγκος(MM)	376.36

Απορροή



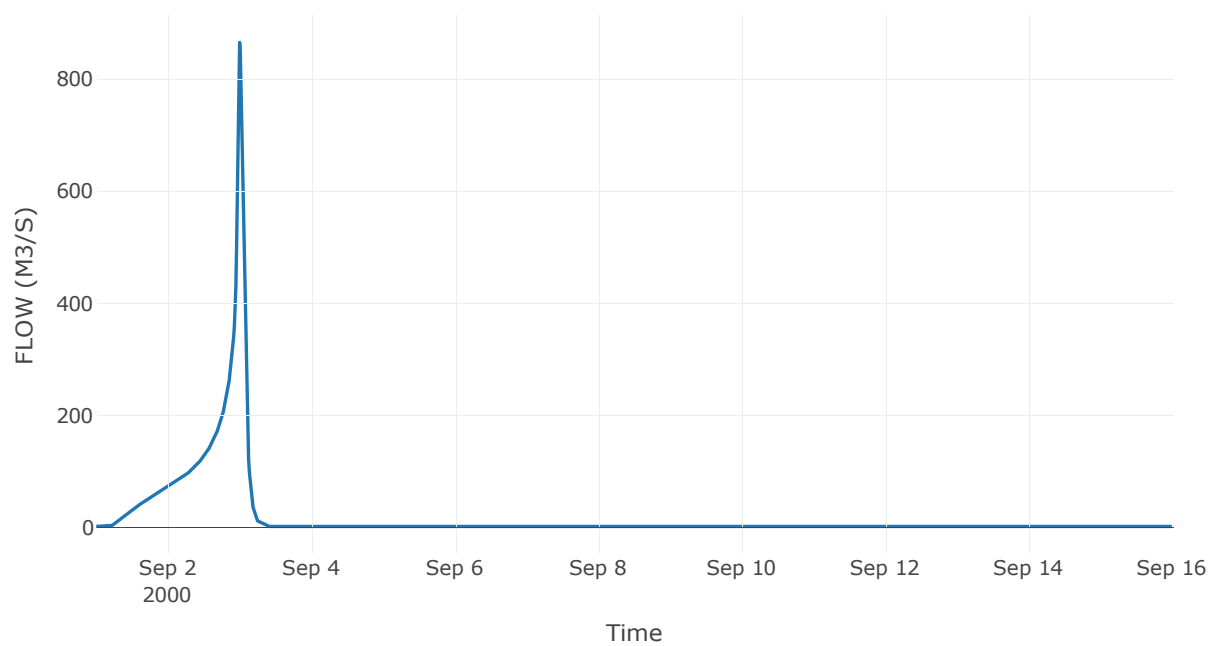
Κόμβος: J5

Κατάντη : R51

Αποτελέσματα: J5

Παροχή Αιχμής(M3/S)	865.18
Χρονική στιγμή αιχμής	02Sep2000, 24:00
Όγκος(MM)	345.99

Απορροή

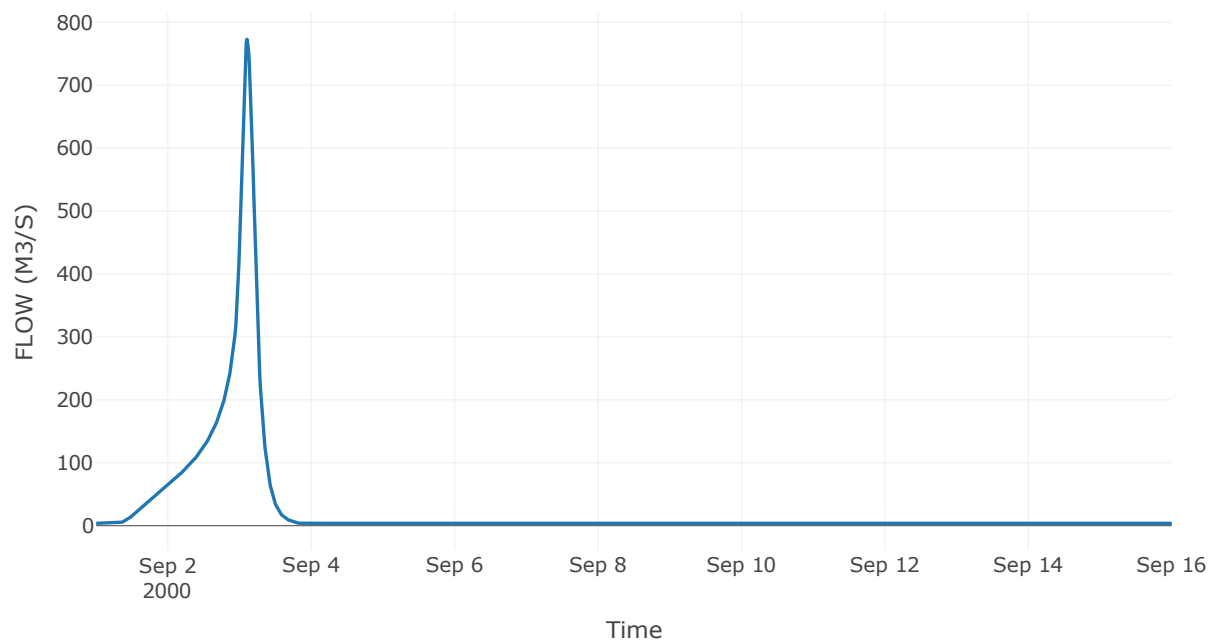


Κόμβος εξόδου: J6

Αποτελέσματ
α: J6

Παροχή αιχμής (M3/S)	773.02
Χρονική στιγμή αιχμής	03Sep2000, 02:30
Όγκος (MM)	327.88

Απορροή



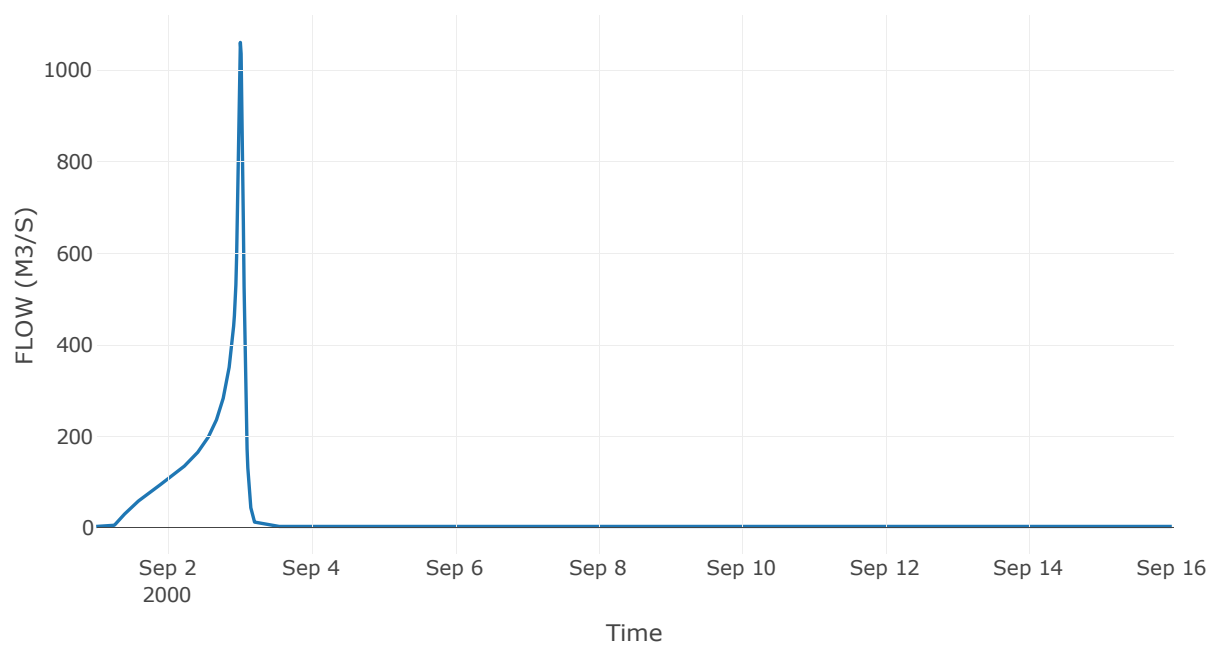
Κόμβος: J7

Κατάντη : R74

Αποτελέσματα: J7

Παροχή Αιχμής(M3/S)	1060.87
Χρονική στιγμή αιχμής	03Sep2000, 00:15
Όγκος(MM)	380.13

Απορροή



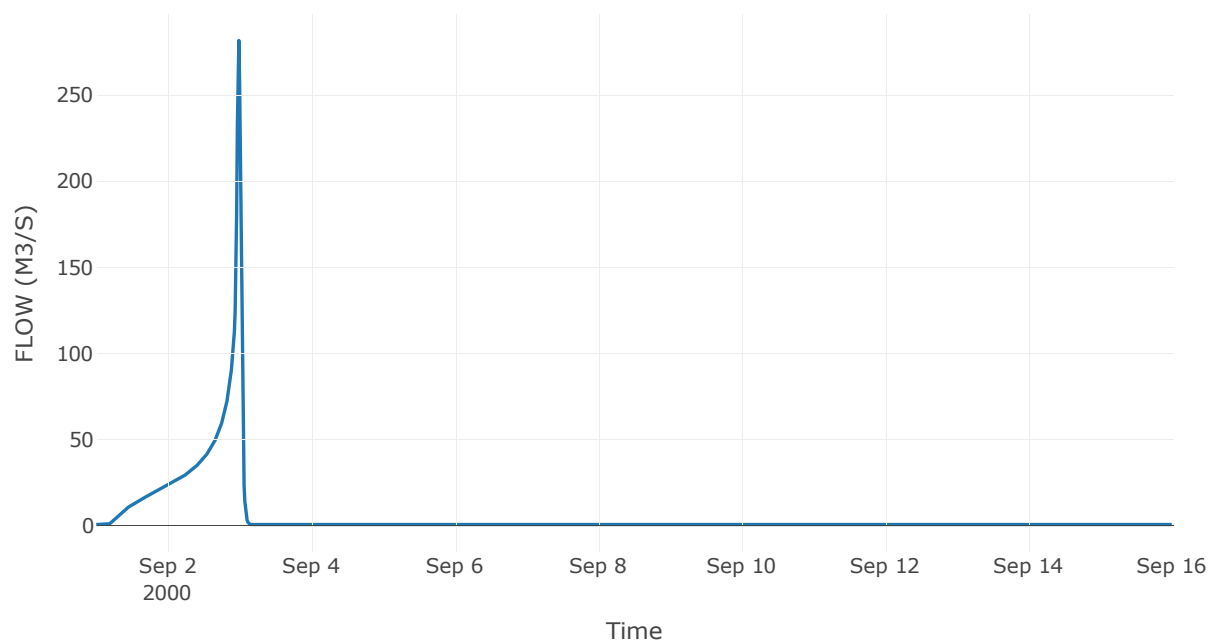
Κόμβος: J8

Κατάντη : R85

Αποτελέσματα: J8

Παροχή Αιχμής(M3/S)	281.59
Χρονική στιγμή αιχμής	02Sep2000, 23:45
Όγκος(MM)	357.5

Απορροή



Κόμβος: J9

Κατάντη : R95

Αποτελέσματα: J9

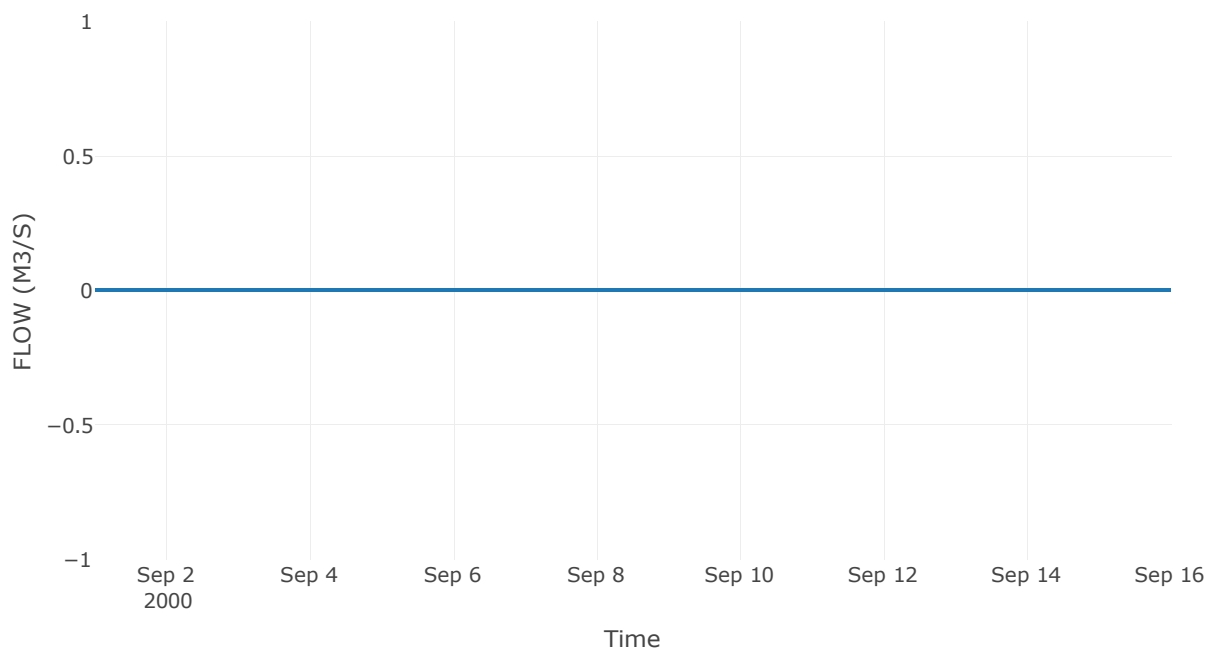
Παροχή Αιχμής(M3/S)

0

Χρονική στιγμή αιχμής

31Aug2000, 24:00

Απορροή

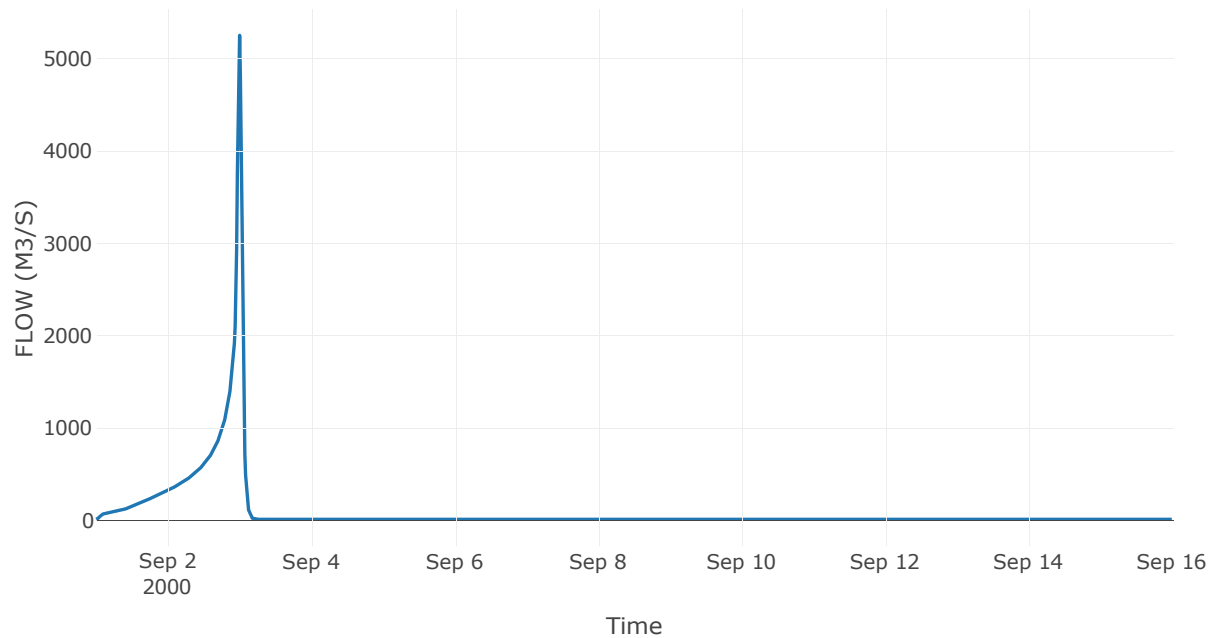


Κόμβος εξόδου: J10

Αποτελέσματ
α: J10

Παροχή αιχμής (M3/S)	5253.03
Χρονική στιγμή αιχμής	02Sep2000, 24:00
Όγκος (MM)	338.55

Απορροή



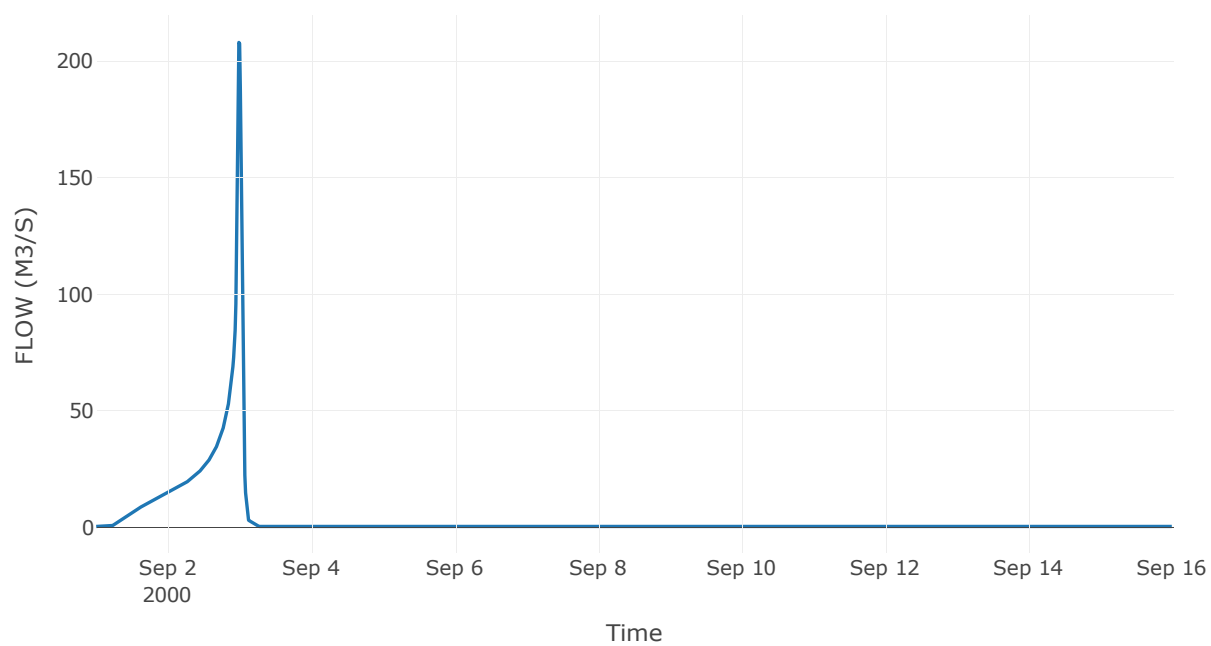
Κόμβος: J11

Κατάντη : R1110

Αποτελέσματα: J11

Παροχή Αιχμής(M3/S)	207.97
Χρονική στιγμή αιχμής	02Sep2000, 23:45
Όγκος(MM)	350.82

Απορροή



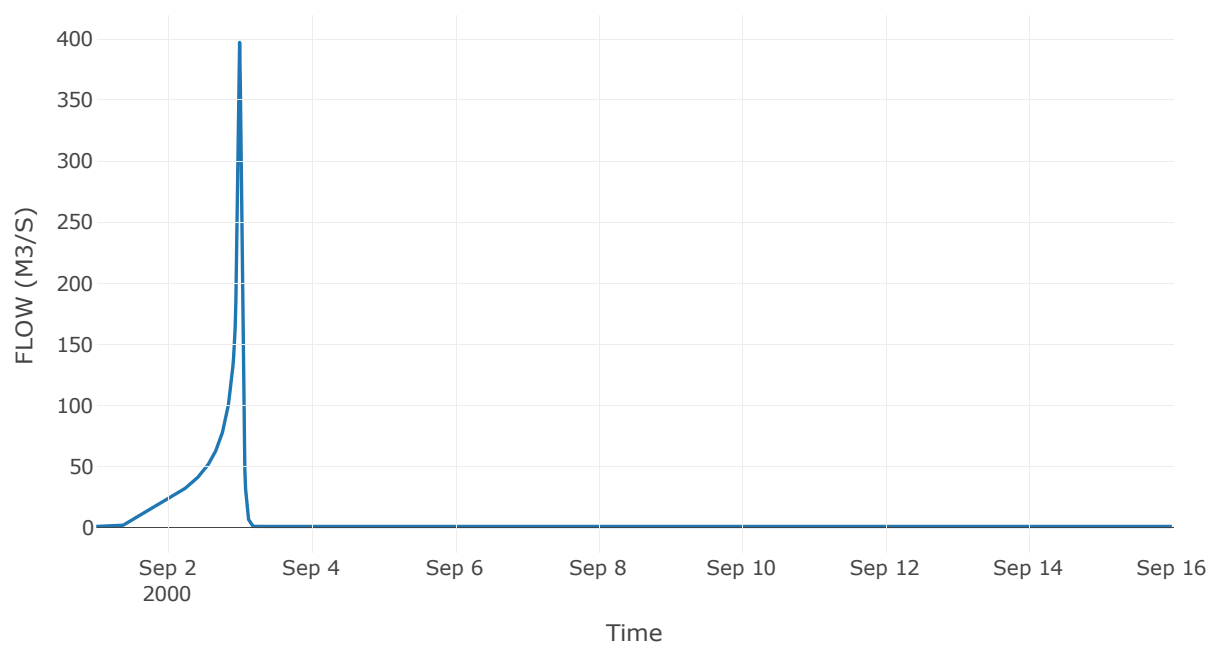
Κόμβος: J12

Κατάντη : R1210

Αποτελέσματα: J12

Παροχή Αιχμής(M3/S)	397.25
Χρονική στιγμή αιχμής	02Sep2000, 24:00
Όγκος(MM)	309.34

Απορροή



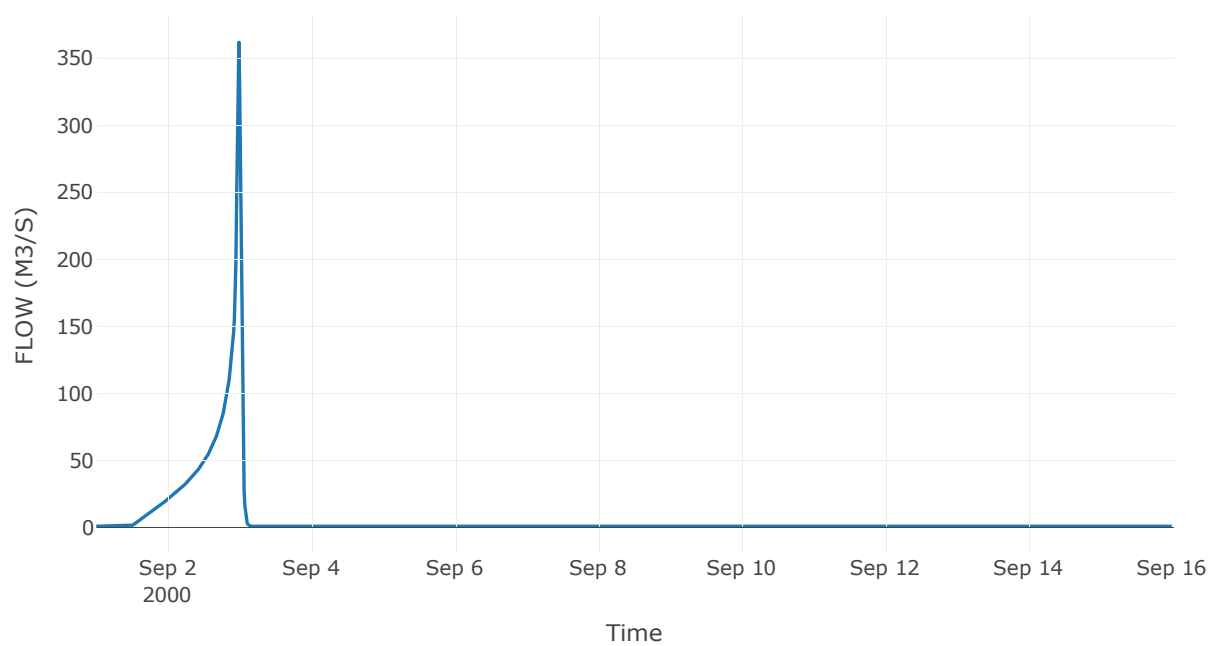
Κόμβος: J13

Κατάντη : R1310

Αποτελέσματα: J13

Παροχή Αιχμής(M3/S)	361.73
Χρονική στιγμή αιχμής	02Sep2000, 23:45
Όγκος(MM)	275.76

Απορροή



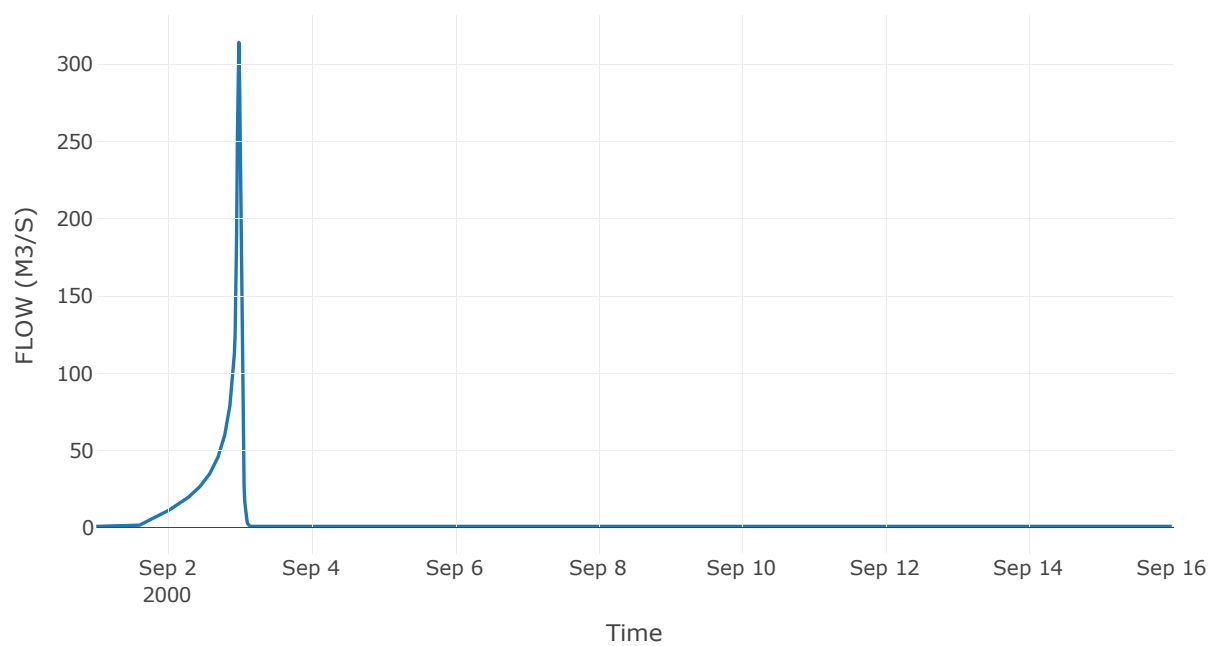
Κόμβος: J14

Κατάντη : R1410

Αποτελέσματα: J14

Παροχή Αιχμής(M3/S)	314.2
Χρονική στιγμή αιχμής	02Sep2000, 23:45
Όγκος(MM)	252.29

Απορροή



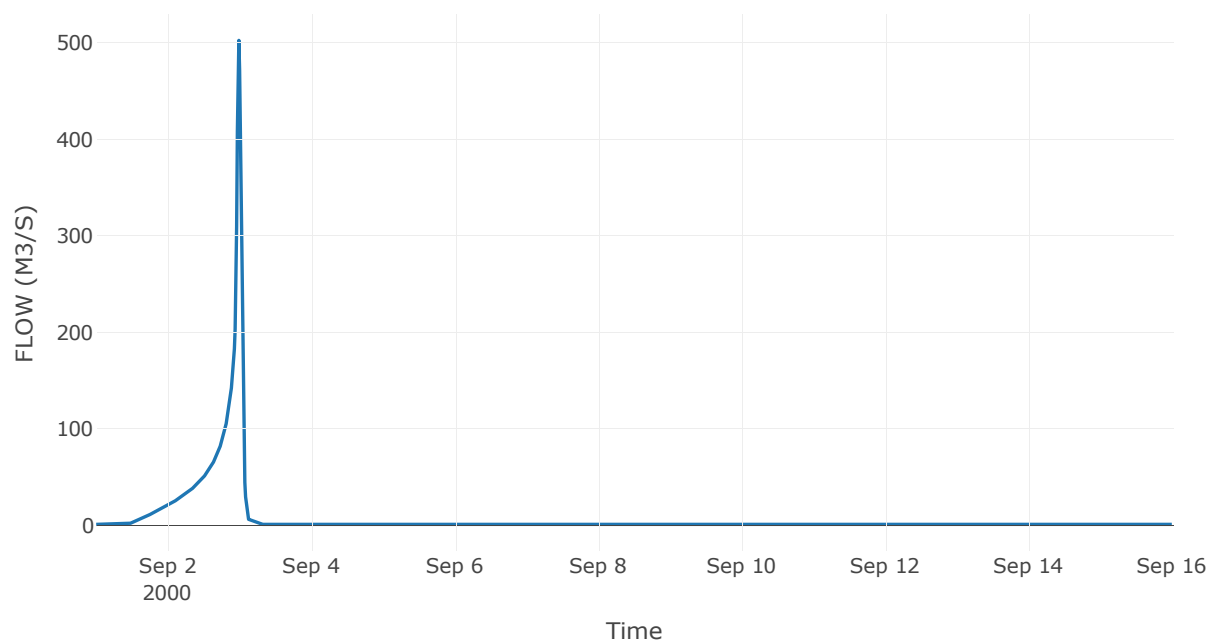
Κόμβος: J15

Κατάντη : R1510

Αποτελέσματα: J15

Παροχή Αιχμής(M3/S)	502.28
Χρονική στιγμή αιχμής	02Sep2000, 23:45
Όγκος(MM)	286.11

Απορροή



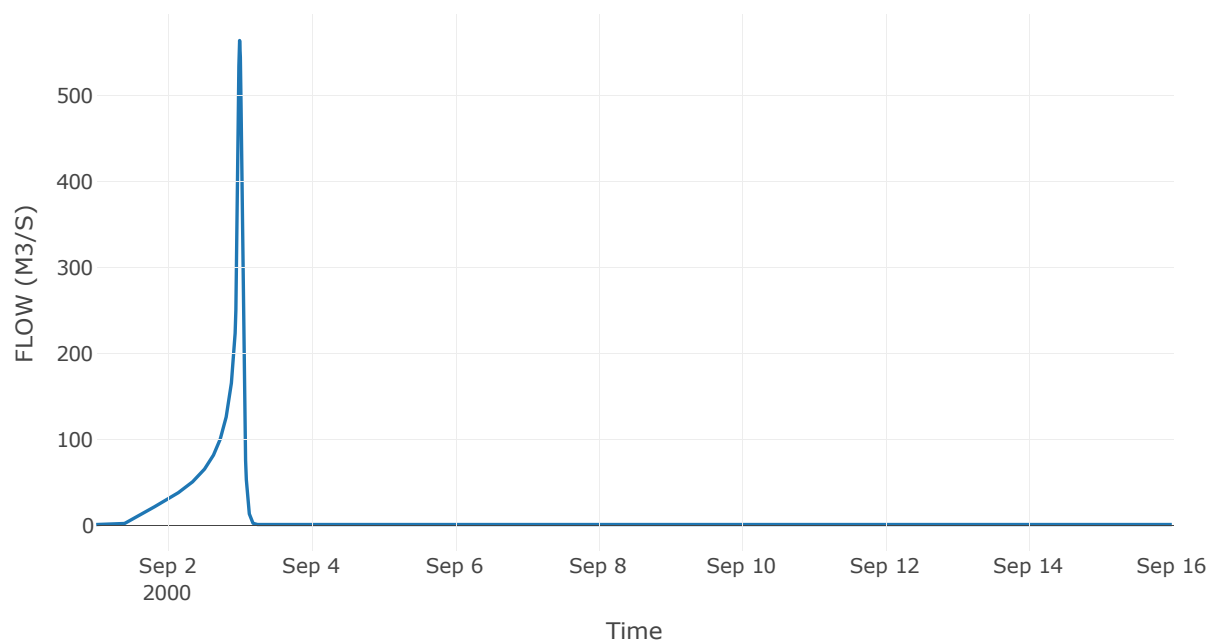
Κόμβος: J16

Κατάντη : R1610

Αποτελέσματα: J16

Παροχή Αιχμής(M3/S)	564.25
Χρονική στιγμή αιχμής	02Sep2000, 24:00
Όγκος(MM)	316.55

Απορροή



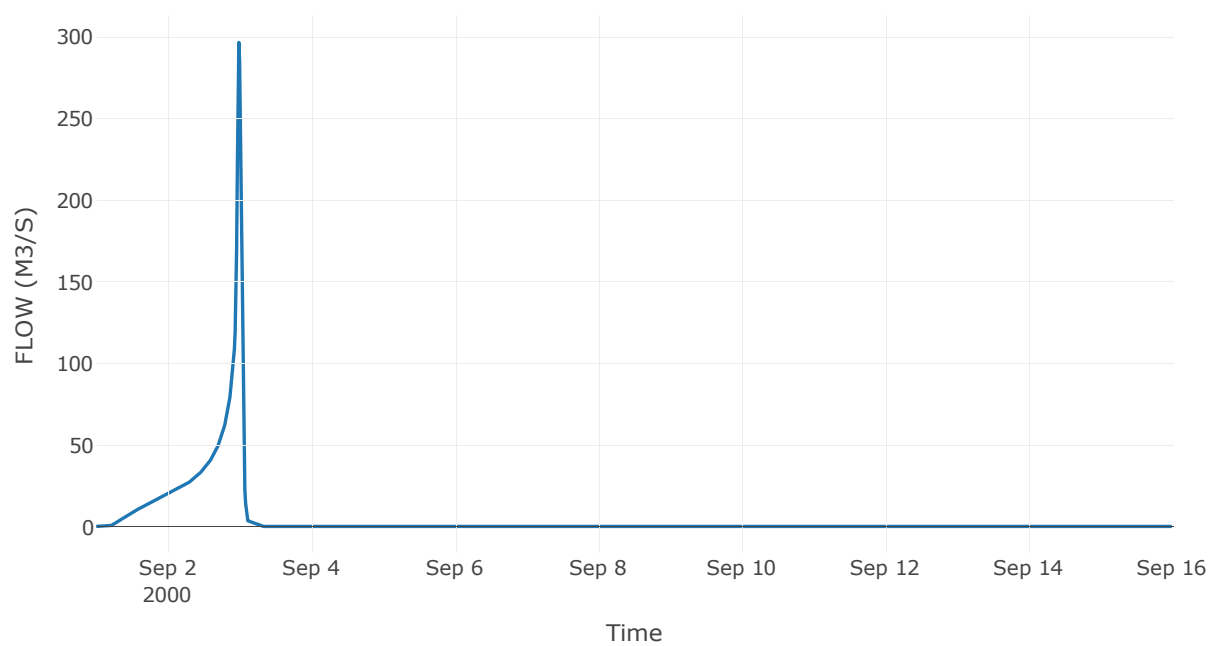
Κόμβος: J17

Κατάντη : R1710

Αποτελέσματα: J17

Παροχή Αιχμής(M3/S)	296.81
Χρονική στιγμή αιχμής	02Sep2000, 23:45
Όγκος(MM)	356.51

Απορροή



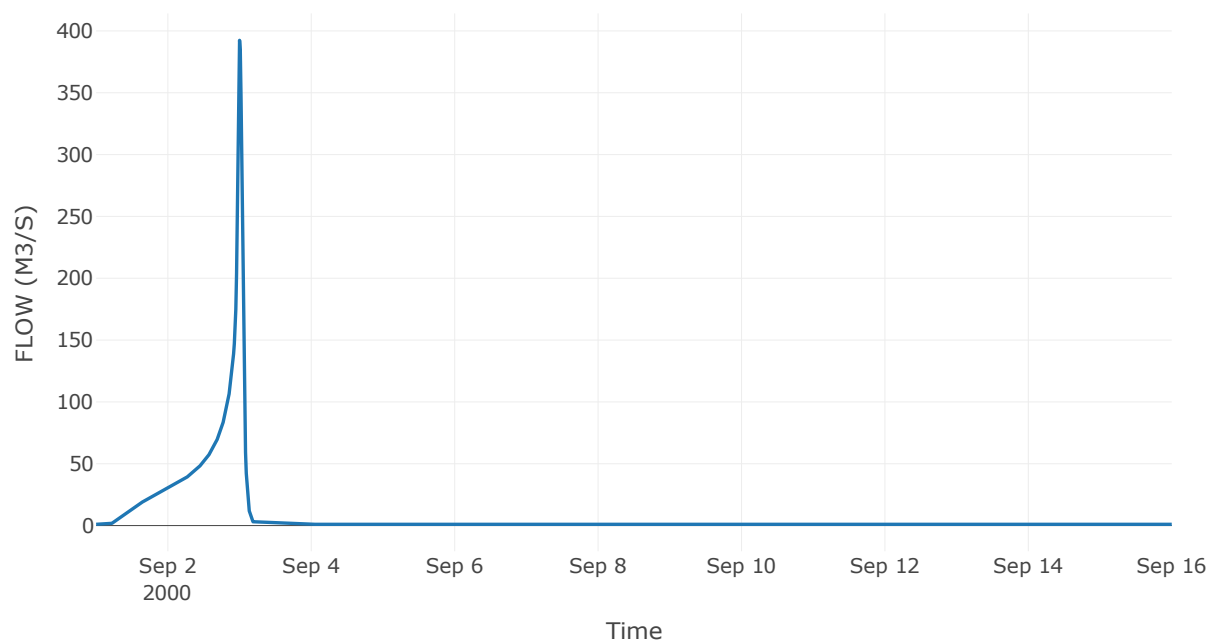
Κόμβος: J18

Κατάντη : R1810

Αποτελέσματα: J18

Παροχή Αιχμής(M3/S)	392.4
Χρονική στιγμή αιχμής	02Sep2000, 24:00
Όγκος(MM)	358.68

Απορροή



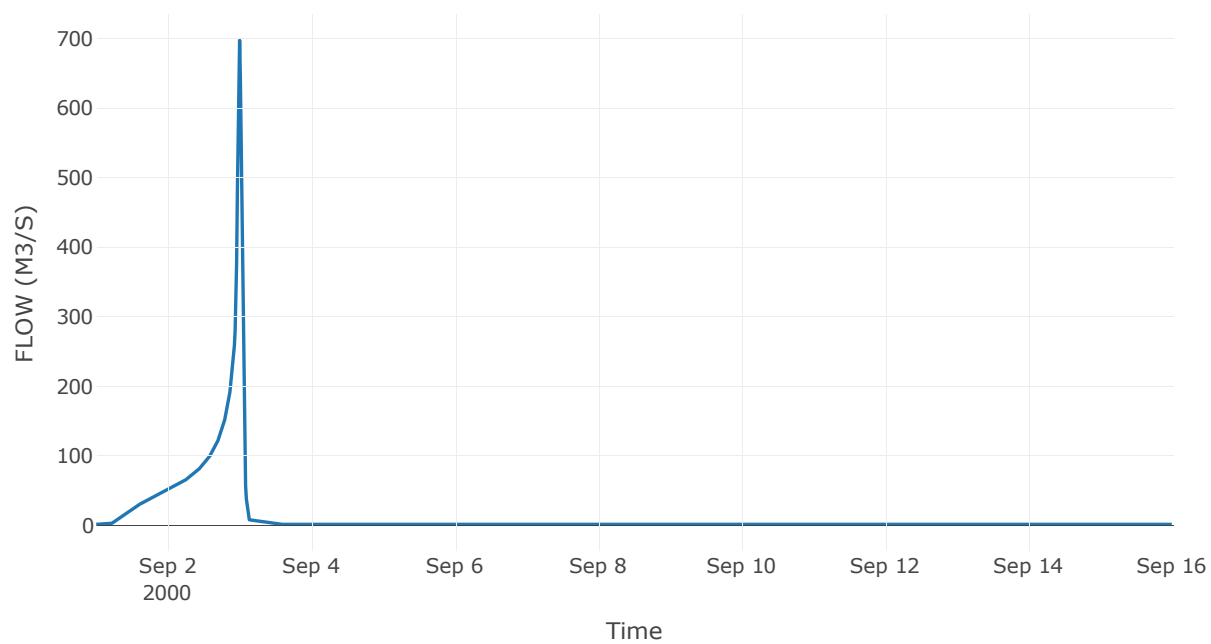
Κόμβος: J19

Κατάντη : R1910

Αποτελέσματα: J19

Παροχή Αιχμής(M3/S)	697.54
Χρονική στιγμή αιχμής	02Sep2000, 24:00
Όγκος(MM)	354.02

Απορροή



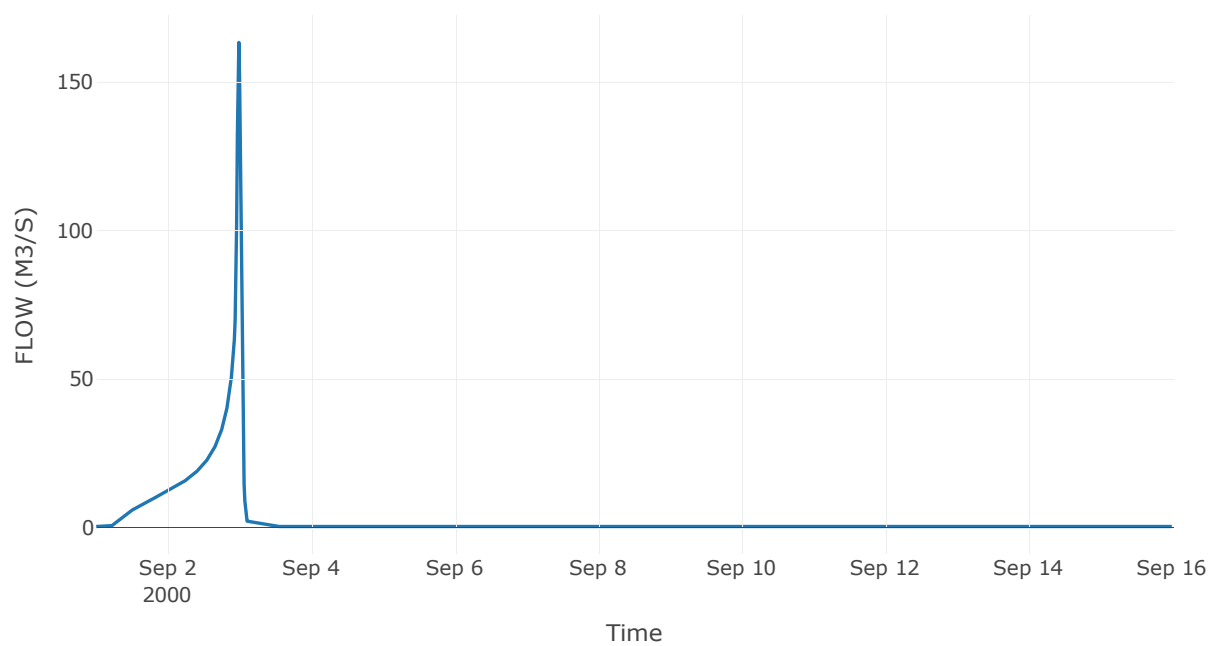
Κόμβος: J20

Κατάντη : R2011

Αποτελέσματα: J20

Παροχή Αιχμής(M3/S)	163.4
Χρονική στιγμή αιχμής	02Sep2000, 23:45
Όγκος(MM)	358.26

Απορροή



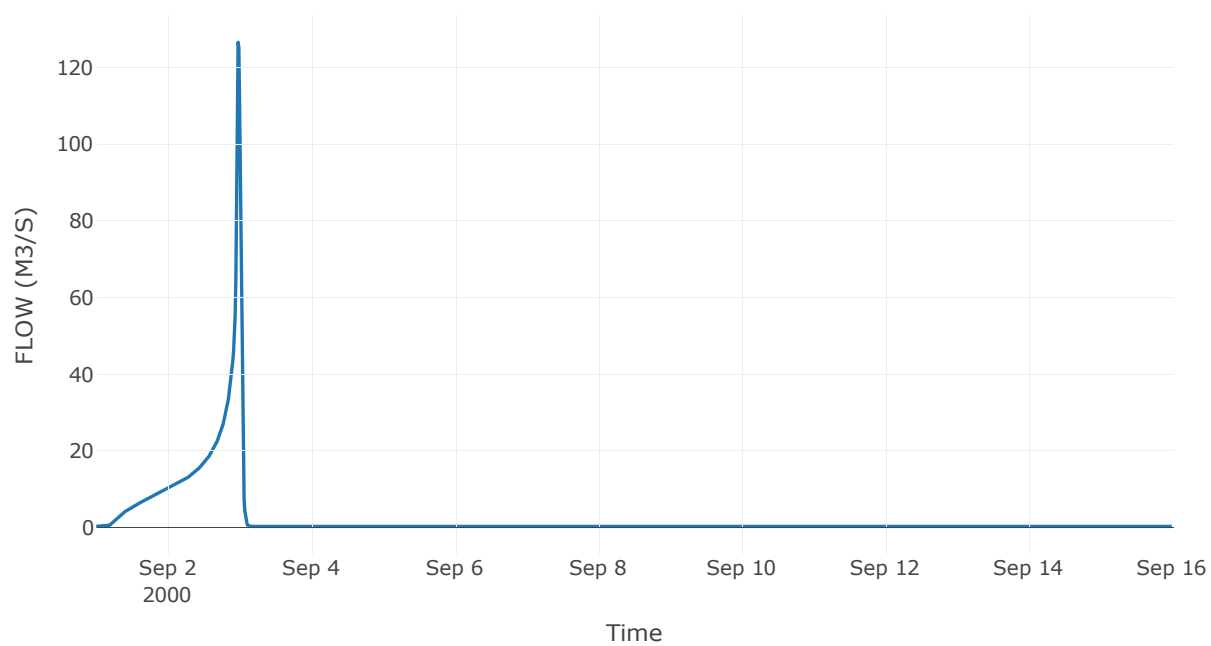
Κόμβος: J21

Κατάντη : R2117

Αποτελέσματα: J21

Παροχή Αιχμής(M3/S)	126.55
Χρονική στιγμή αιχμής	02Sep2000, 23:30
Όγκος(MM)	369.56

Απορροή



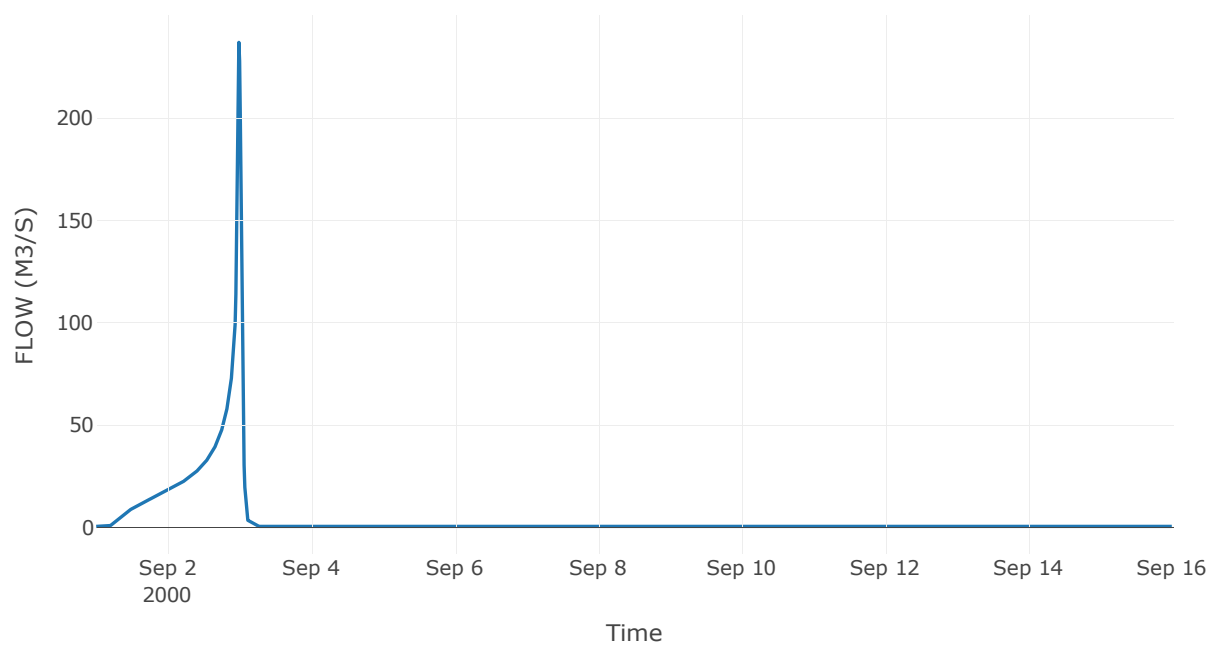
Κόμβος: J22

Κατάντη : R2218

Αποτελέσματα: J22

Παροχή Αιχμής(M3/S)	236.83
Χρονική στιγμή αιχμής	02Sep2000, 23:45
Όγκος(MM)	362.73

Απορροή



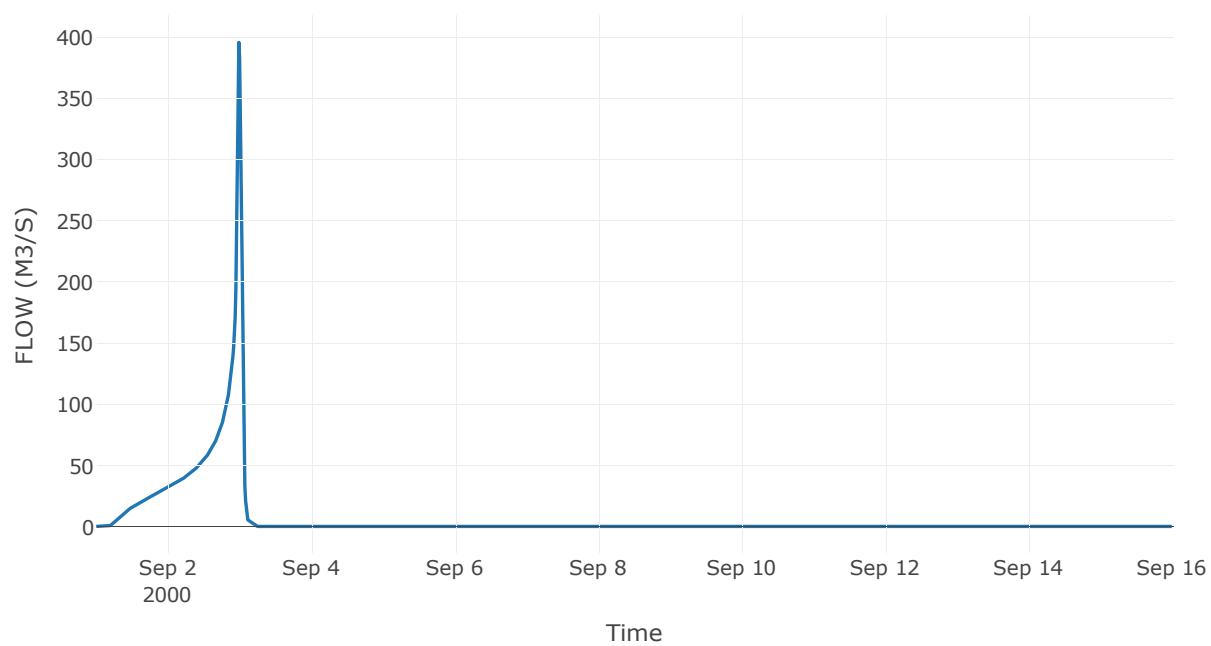
Κόμβος: J23

Κατάντη : R2319

Αποτελέσματα: J23

Παροχή Αιχμής(M3/S)	395.81
Χρονική στιγμή αιχμής	02Sep2000, 23:45
Όγκος(MM)	361.2

Απορροή



9. Δεδομένα εισόδου και αποτελέσματα υδρολογικού σεναρίου T=1000L

9.1 Αποτελέσματα, υετογραφήματα και υδρογραφήματα σχεδιασμού υπολεκανών

Υπολεκάνη: EL0415FL5001

Έκταση (KM2) : 13.05

Κατάνη : J1

Μέθοδος Απωλειών: SCS

Ποσοστό αδιαπέρατης επιφάνειας	100
Αριθμός Καμπύλης Απορροής-CN	99
Αρχικές Απώλειες	0.48

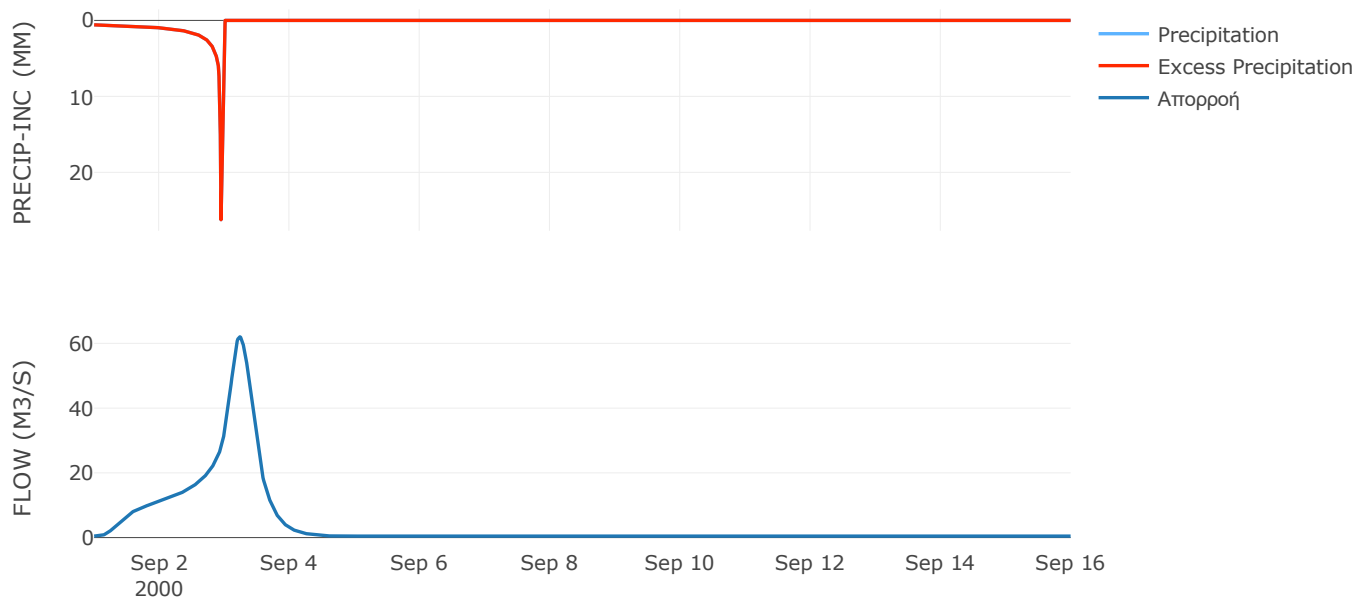
Μέθοδος
Μετασχηματισμού: SCS

Χρόνος Υστέρησης	485.6
------------------	-------

Αποτελέσματα:
EL0415FL5001

Παροχή αιχμής (M3/S)	62.03
Χρονική στιγμή αιχμής	03Sep2000, 05:45
Όγκος (MM)	392.64
Όγκος βροχόπτωσης (M3)	4.53E6
Όγκος απωλειών (M3)	0
Ενεργός Όγκος (M3)	4.53E6
Όγκος άμεσης απορροής (M3)	4.53E6
Όγκος βασικής απορροής (M3)	5.92E5

Βροχόπτωση και Απορροή



Υπολεκάνη: EL0415FL5002

Έκταση (KM2) : 107.53

Κατάντη : J6

Μέθοδος Απωλειών: SCS

Ποσοστό αδιαπέρατης επιφάνειας	0
Αριθμός Καμπύλης Απορροής-CN	63.95
Αρχικές Απώλειες	28.63

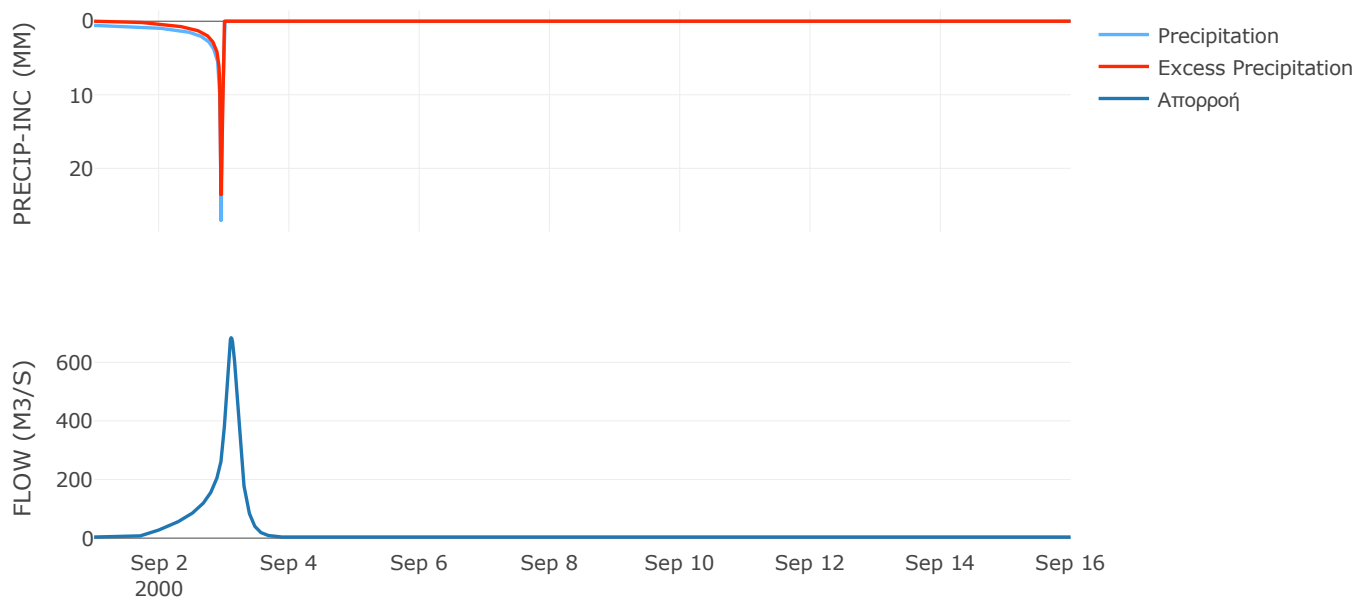
Μέθοδος
Μετασχηματισμού: SCS

Χρόνος Υστέρησης	242.85
------------------	--------

Αποτελέσματα:
EL0415FL5002

Παροχή αιχμής (M3/S)	684.13
Χρονική στιγμή αιχμής	03Sep2000, 02:30
Όγκος (MM)	263.61
Όγκος βροχόπτωσης (M3)	3.71E7
Όγκος απωλειών (M3)	1.37E7
Ενεργός Όγκος (M3)	2.35E7
Όγκος άμεσης απορροής (M3)	2.35E7
Όγκος βασικής απορροής (M3)	4.88E6

Βροχόπτωση και Απορροή



Υπολεκάνη: EL0415FL5003

Έκταση (KM2) : 28.37

Κατάντη : J2

Μέθοδος Απωλειών: SCS

Ποσοστό αδιαπέρατης επιφάνειας	0
Αριθμός Καμπύλης Απορροής-CN	66.43
Αρχικές Απώλειες	25.67

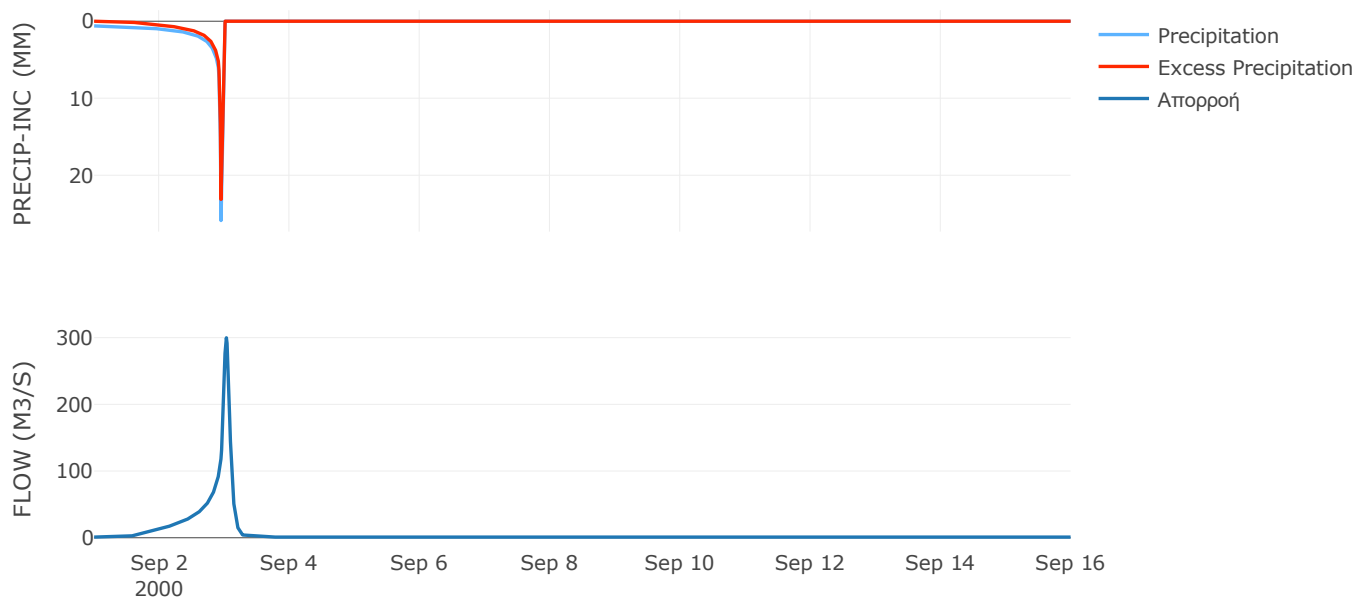
Μέθοδος
Μετασχηματισμού: SCS

Χρόνος Υστέρησης	108.83
------------------	--------

Αποτελέσματα:
EL0415FL5003

Παροχή αιχμής (M3/S)	299.77
Χρονική στιγμή αιχμής	03Sep2000, 00:45
Όγκος (MM)	280.13
Όγκος βροχόπτωσης (M3)	1E7
Όγκος απωλειών (M3)	3.34E6
Ενεργός Όγκος (M3)	6.66E6
Όγκος άμεσης απορροής (M3)	6.66E6
Όγκος βασικής απορροής (M3)	1.29E6

Βροχόπτωση και Απορροή



Υπολεκάνη: EL0415FL5004

Έκταση (KM2) : 30.04

Κατάντη : J3

Μέθοδος Απωλειών: SCS

Ποσοστό αδιαπέρατης επιφάνειας	0
Αριθμός Καμπύλης Απορροής-CN	58.02
Αρχικές Απώλειες	36.76

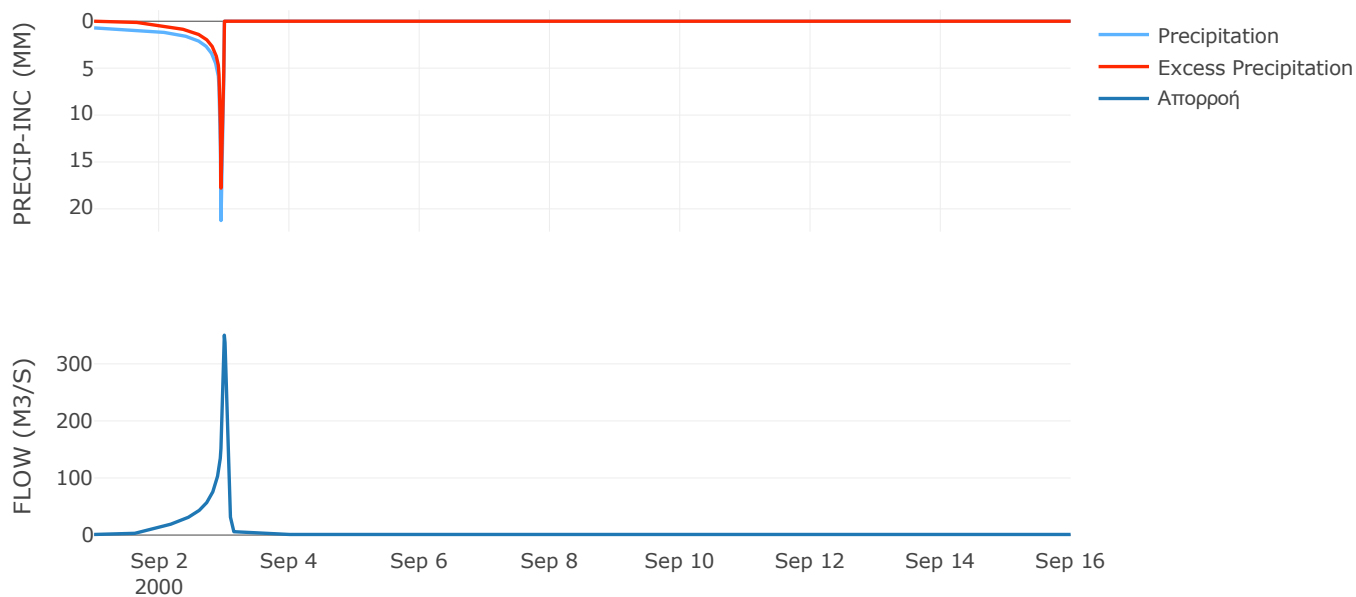
Μέθοδος
Μετασχηματισμού: SCS

Χρόνος Υστέρησης	59.92
------------------	-------

Αποτελέσματα:
EL0415FL5004

Παροχή αιχμής (M3/S)	350.24
Χρονική στιγμή αιχμής	02Sep2000, 24:00
Όγκος (MM)	253.63
Όγκος βροχόπτωσης (M3)	1.09E7
Όγκος απωλειών (M3)	4.63E6
Ενεργός Όγκος (M3)	6.26E6
Όγκος άμεσης απορροής (M3)	6.26E6
Όγκος βασικής απορροής (M3)	1.36E6

Βροχόπτωση και Απορροή



Υπολεκάνη: EL0415FL5005

Έκταση (KM2) : 15.38

Κατάντη : J5

Μέθοδος Απωλειών: SCS

Ποσοστό αδιαπέρατης επιφάνειας	0
Αριθμός Καμπύλης Απορροής-CN	63.33
Αρχικές Απώλειες	29.41

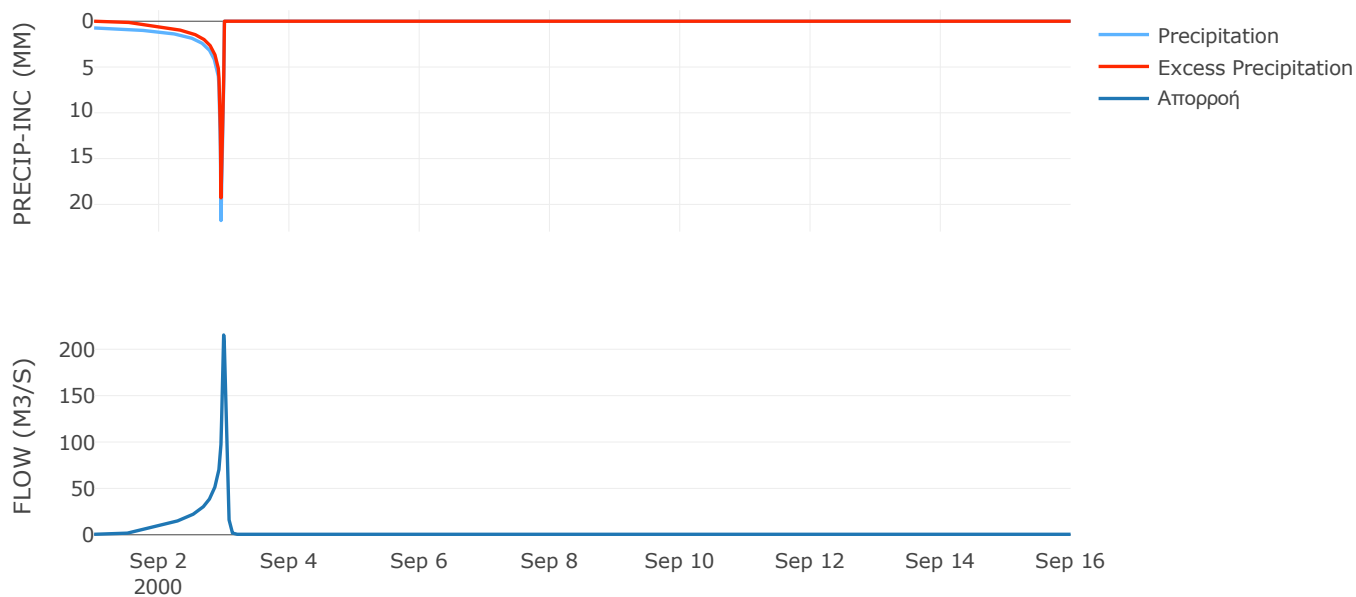
Μέθοδος
Μετασχηματισμού: SCS

Χρόνος Υστέρησης	45.08
------------------	-------

Αποτελέσματα:
EL0415FL5005

Παροχή αιχμής (M3/S)	215.38
Χρονική στιγμή αιχμής	02Sep2000, 23:45
Όγκος (MM)	286.01
Όγκος βροχόπτωσης (M3)	5.74E6
Όγκος απωλειών (M3)	2.04E6
Ενεργός Όγκος (M3)	3.7E6
Όγκος άμεσης απορροής (M3)	3.7E6
Όγκος βασικής απορροής (M3)	6.98E5

Βροχόπτωση και Απορροή



Υπολεκάνη: EL0415FL5006

Έκταση (KM2) : 8.04

Κατάντη : J4

Μέθοδος Απωλειών: SCS

Ποσοστό αδιαπέρατης επιφάνειας	0
Αριθμός Καμπύλης Απορροής-CN	63.45
Αρχικές Απώλειες	29.26

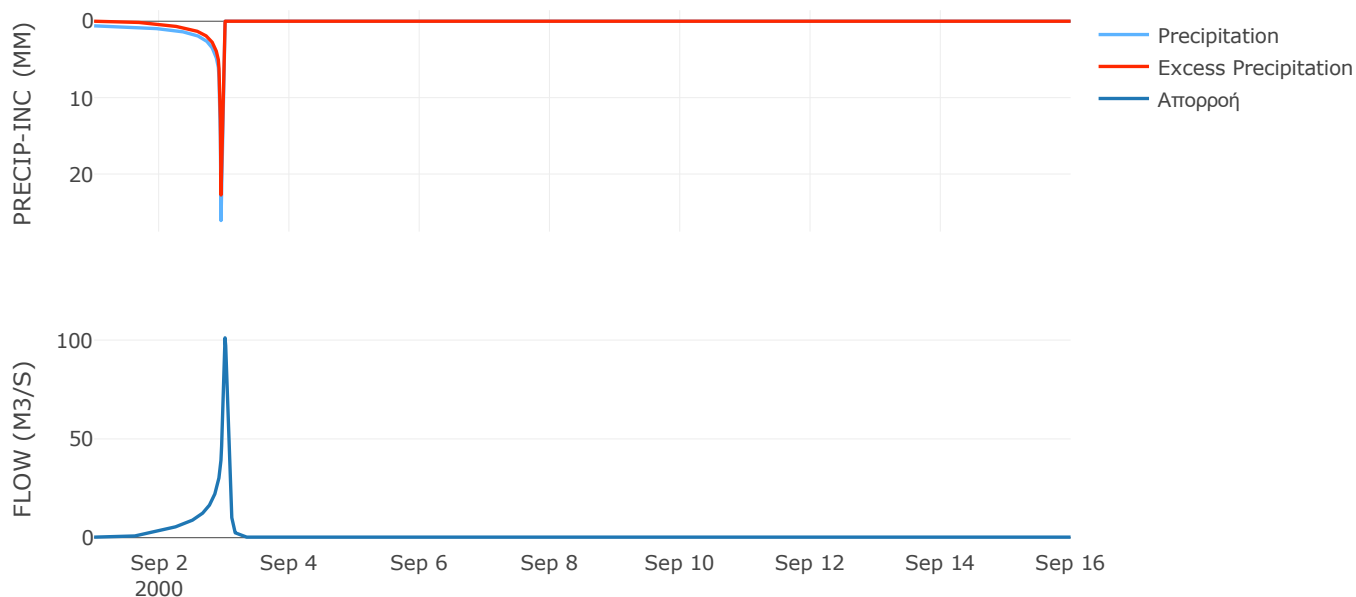
Μέθοδος
Μετασχηματισμού: SCS

Χρόνος Υστέρησης	74.81
------------------	-------

Αποτελέσματα:
EL0415FL5006

Παροχή αιχμής (M3/S)	101.16
Χρονική στιγμή αιχμής	03Sep2000, 00:15
Όγκος (MM)	268.25
Όγκος βροχόπτωσης (M3)	2.84E6
Όγκος απωλειών (M3)	1.05E6
Ενεργός Όγκος (M3)	1.79E6
Όγκος άμεσης απορροής (M3)	1.79E6
Όγκος βασικής απορροής (M3)	3.65E5

Βροχόπτωση και Απορροή



Υπολεκάνη: EL0415FL5007

Έκταση (KM2) : 40.81

Κατάντη : J5

Μέθοδος Απωλειών: SCS

Ποσοστό αδιαπέρατης επιφάνειας	0
Αριθμός Καμπύλης Απορροής-CN	62.97
Αρχικές Απώλειες	29.87

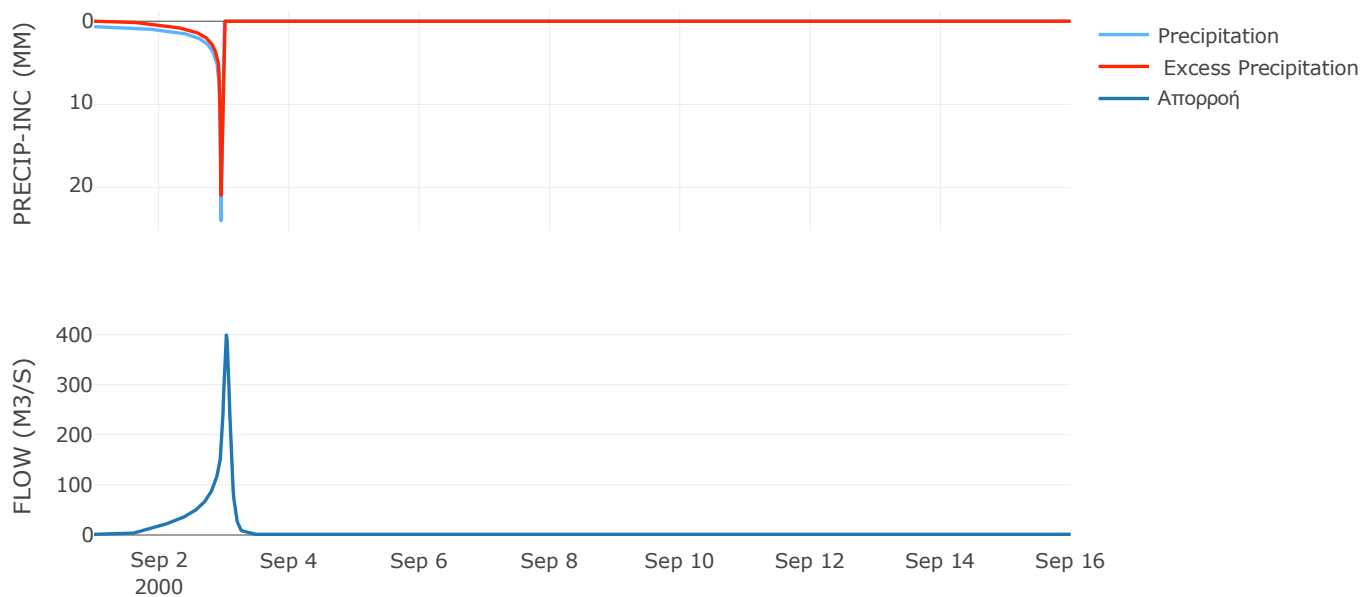
Μέθοδος
Μετασχηματισμού: SCS

Χρόνος Υστέρησης	111.14
------------------	--------

Αποτελέσματα:
EL0415FL5007

Παροχή αιχμής (M3/S)	399.08
Χρονική στιγμή αιχμής	03Sep2000, 00:45
Όγκος (MM)	270.62
Όγκος βροχόπτωσης (M3)	1.46E7
Όγκος απωλειών (M3)	5.41E6
Ενεργός Όγκος (M3)	9.19E6
Όγκος άμεσης απορροής (M3)	9.19E6
Όγκος βασικής απορροής (M3)	1.85E6

Βροχόπτωση και Απορροή



Υπολεκάνη: EL0415FL5008

Έκταση (KM2) : 90.43

Κατάντη : J7

Μέθοδος Απωλειών: SCS

Ποσοστό αδιαπέρατης επιφάνειας	0
Αριθμός Καμπύλης Απορροής-CN	55.23
Αρχικές Απώλειες	41.17

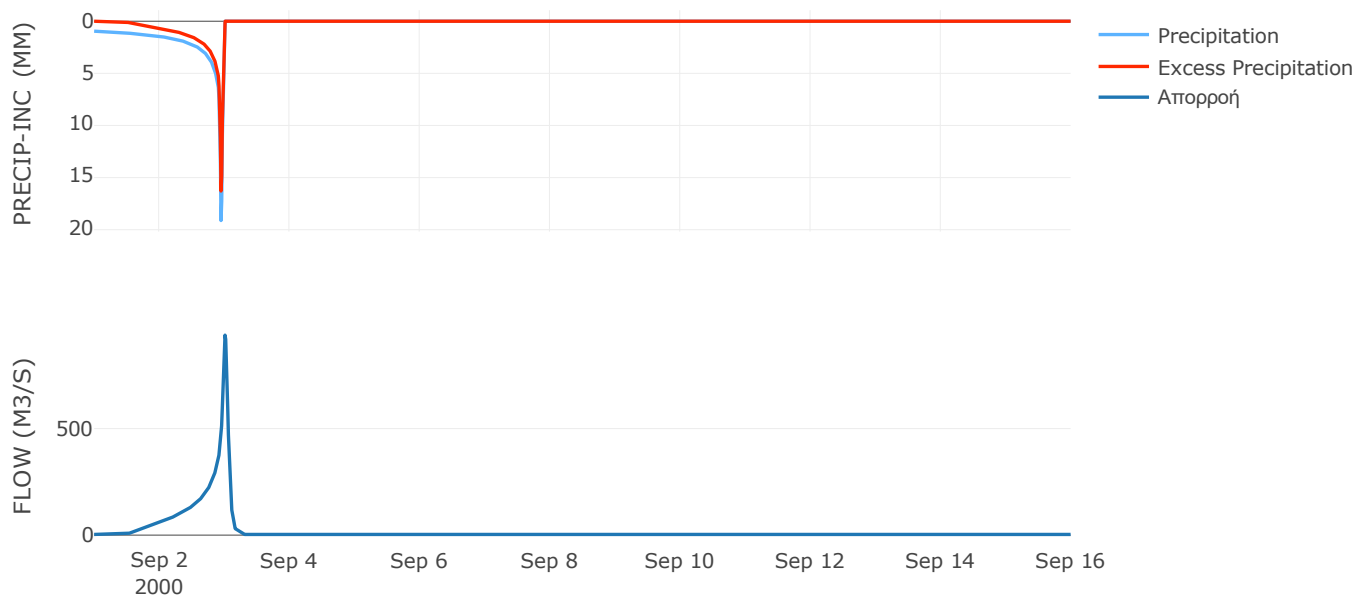
Μέθοδος
Μετασχηματισμού: SCS

Χρόνος Υστέρησης	78.98
------------------	-------

Αποτελέσματα:
EL0415FL5008

Παροχή αιχμής (M3/S)	938.26
Χρονική στιγμή αιχμής	03Sep2000, 00:15
Όγκος (MM)	293.74
Όγκος βροχόπτωσης (M3)	3.83E7
Όγκος απωλειών (M3)	1.58E7
Ενεργός Όγκος (M3)	2.25E7
Όγκος άμεσης απορροής (M3)	2.25E7
Όγκος βασικής απορροής (M3)	4.1E6

Βροχόπτωση και Απορροή



Υπολεκάνη: EL0415FL5009

Έκταση (KM2) : 11.22

Κατάντη : J20

Μέθοδος Απωλειών: SCS

Ποσοστό αδιαπέρατης επιφάνειας	0
Αριθμός Καμπύλης Απορροής-CN	60.03
Αρχικές Απώλειες	33.82

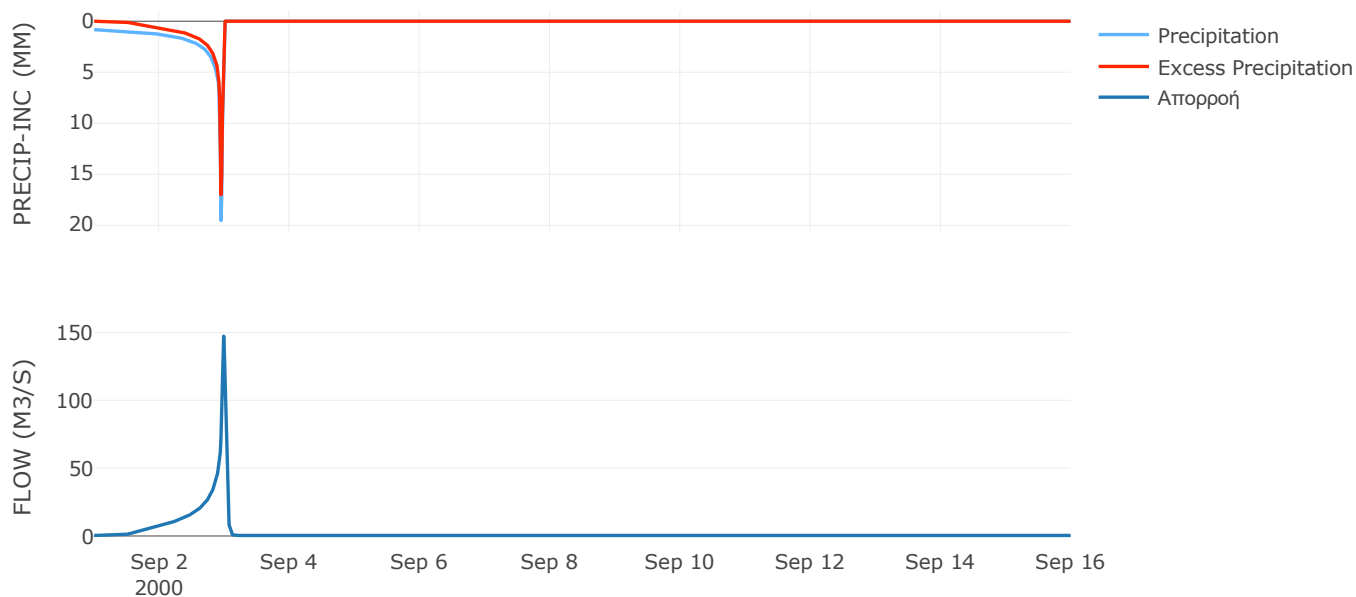
Μέθοδος
Μετασχηματισμού: SCS

Χρόνος Υστέρησης	41.11
------------------	-------

Αποτελέσματα:
EL0415FL5009

Παροχή αιχμής (M3/S)	147.32
Χρονική στιγμή αιχμής	02Sep2000, 23:45
Όγκος (MM)	283.97
Όγκος βροχόπτωσης (M3)	4.34E6
Όγκος απωλειών (M3)	1.66E6
Ενεργός Όγκος (M3)	2.68E6
Όγκος άμεσης απορροής (M3)	2.68E6
Όγκος βασικής απορροής (M3)	5.09E5

Βροχόπτωση και Απορροή



Υπολεκάνη: EL0415FL5010

Έκταση (KM2) : 96.52

Κατάντη : J10

Μέθοδος Απωλειών: SCS

Ποσοστό αδιαπέρατης επιφάνειας	100
Αριθμός Καμπύλης Απορροής-CN	99
Αρχικές Απώλειες	0.11

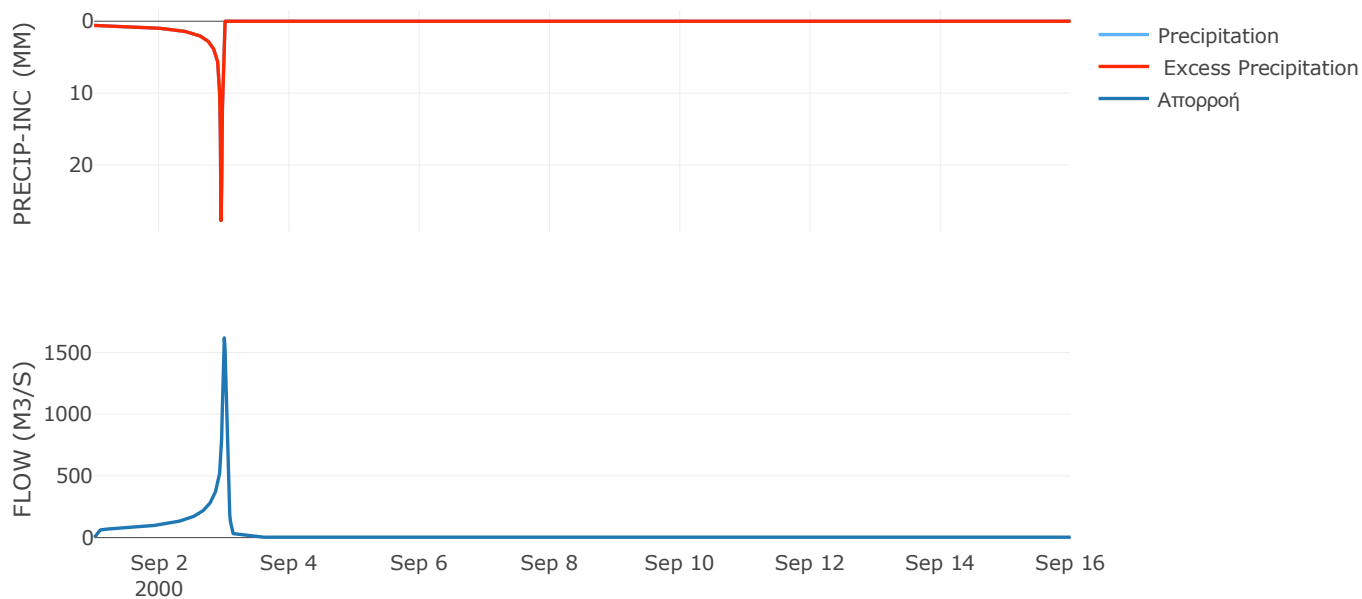
Μέθοδος
Μετασχηματισμού: SCS

Χρόνος Υστέρησης	59.19
------------------	-------

Αποτελέσματα:
EL0415FL5010

Παροχή αιχμής (M3/S)	1617.56
Χρονική στιγμή αιχμής	02Sep2000, 24:00
Όγκος (MM)	400.37
Όγκος βροχόπτωσης (M3)	3.43E7
Όγκος απωλειών (M3)	0
Ενεργός Όγκος (M3)	3.43E7
Όγκος άμεσης απορροής (M3)	3.43E7
Όγκος βασικής απορροής (M3)	4.38E6

Βροχόπτωση και Απορροή



Υπολεκάνη: EL0415FL00013

Έκταση (KM2) : 20.4

Κατάντη : J8

Μέθοδος Απωλειών: SCS

Ποσοστό αδιαπέρατης επιφάνειας	0
Αριθμός Καμπύλης Απορροής-CN	63.82
Αρχικές Απώλειες	28.8

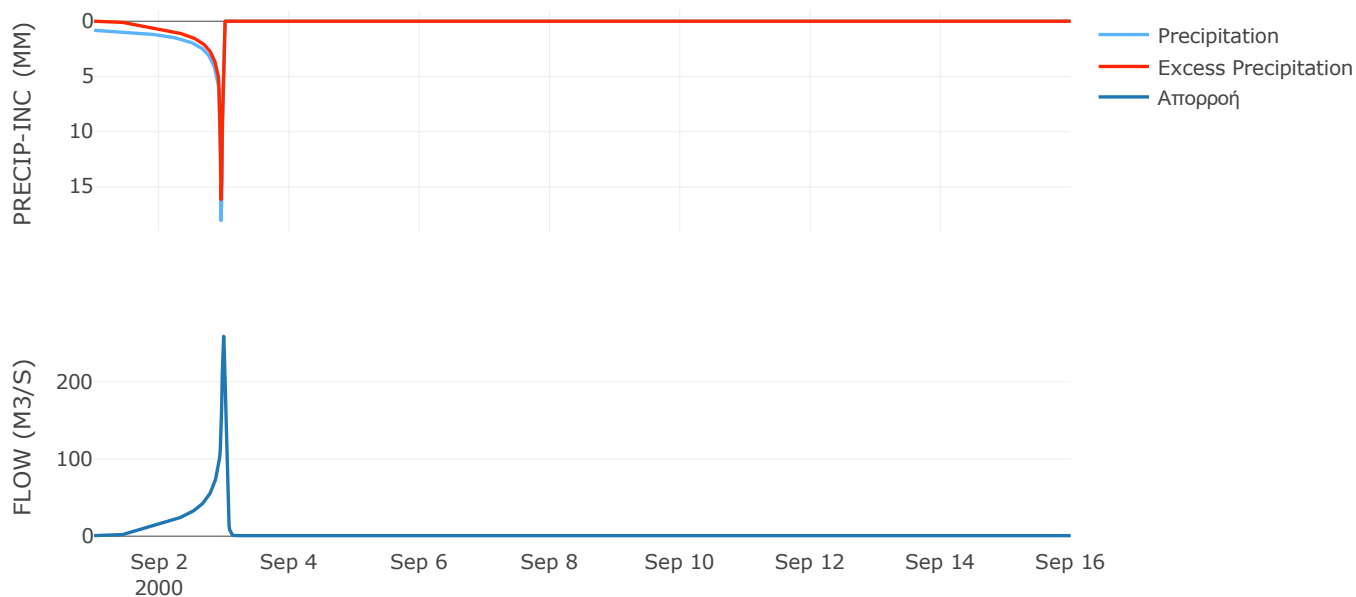
Μέθοδος
Μετασχηματισμού: SCS

Χρόνος Υστέρησης	39.86
------------------	-------

Αποτελέσματα:
EL0415FL00013

Παροχή αιχμής (M3/S)	258.87
Χρονική στιγμή αιχμής	02Sep2000, 23:45
Όγκος (MM)	290.87
Όγκος βροχόπτωσης (M3)	7.67E6
Όγκος απωλειών (M3)	2.66E6
Ενεργός Όγκος (M3)	5.01E6
Όγκος άμεσης απορροής (M3)	5.01E6
Όγκος βασικής απορροής (M3)	9.25E5

Βροχόπτωση και Απορροή



Υπολεκάνη: EL0415FL00014

Έκταση (KM2) : 28.81

Κατάντη : J23

Μέθοδος Απωλειών: SCS

Ποσοστό αδιαπέρατης επιφάνειας	0
Αριθμός Καμπύλης Απορροής-CN	63.51
Αρχικές Απώλειες	29.18

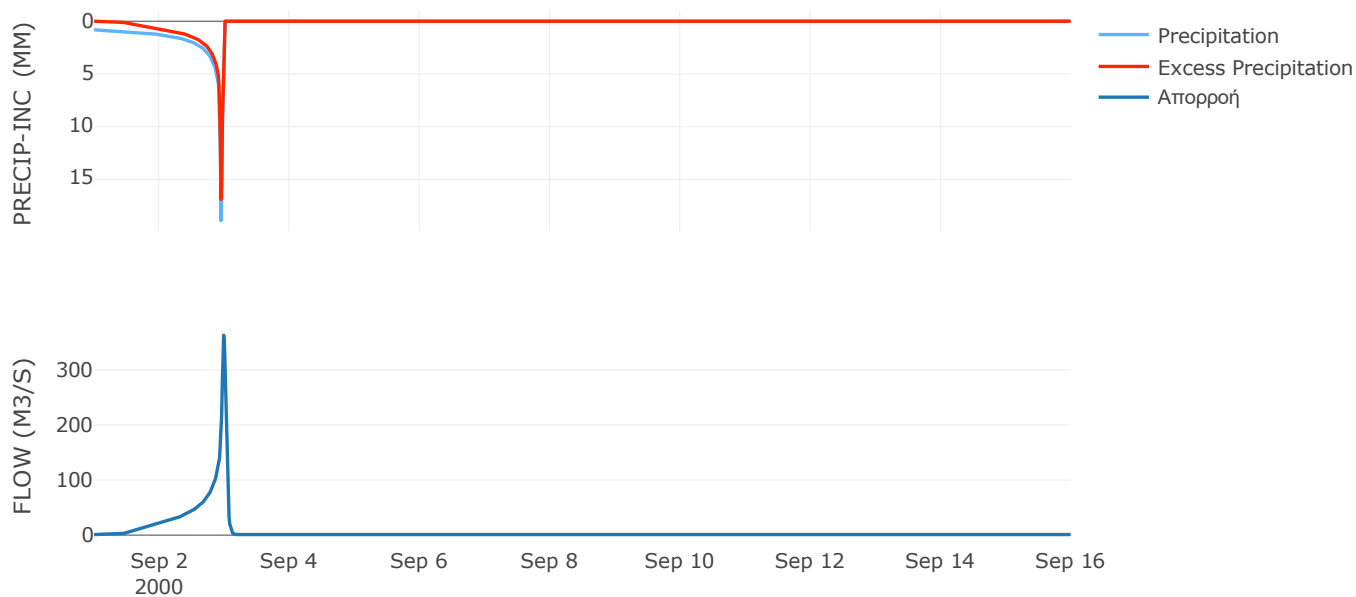
Μέθοδος
Μετασχηματισμού: SCS

Χρόνος Υστέρησης	46.87
------------------	-------

Αποτελέσματα:
EL0415FL00014

Παροχή αιχμής (M3/S)	363.01
Χρονική στιγμή αιχμής	02Sep2000, 23:45
Όγκος (MM)	293.71
Όγκος βροχόπτωσης (M3)	1.1E7
Όγκος απωλειών (M3)	3.81E6
Ενεργός Όγκος (M3)	7.15E6
Όγκος άμεσης απορροής (M3)	7.15E6
Όγκος βασικής απορροής (M3)	1.31E6

Βροχόπτωση και Απορροή



Υπολεκάνη: EL0415FL00016

Έκταση (KM2) : 24.49

Κατάντη : J14

Μέθοδος Απωλειών: SCS

Ποσοστό αδιαπέρατης επιφάνειας	0
Αριθμός Καμπύλης Απορροής-CN	32.21
Αρχικές Απώλειες	106.9

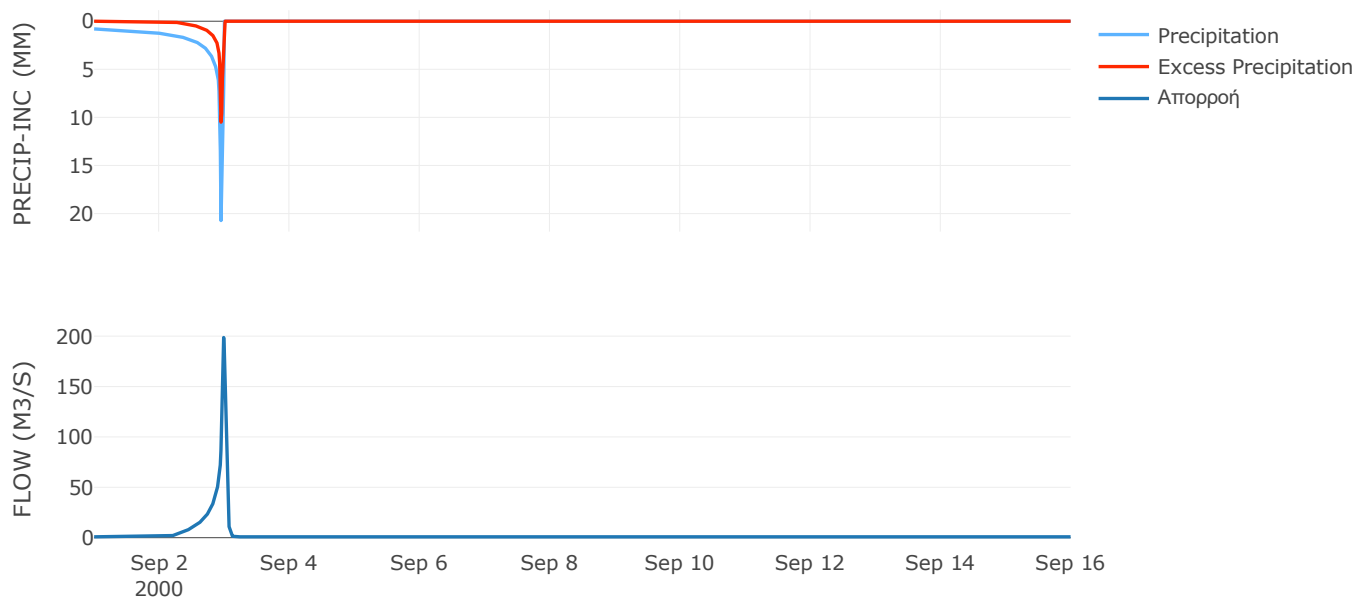
Μέθοδος
Μετασχηματισμού: SCS

Χρόνος Υστέρησης	40.26
------------------	-------

Αποτελέσματα:
EL0415FL00016

Παροχή αιχμής (M3/S)	198.66
Χρονική στιγμή αιχμής	02Sep2000, 23:45
Όγκος (MM)	141.92
Όγκος βροχόπτωσης (M3)	9.49E6
Όγκος απωλειών (M3)	7.12E6
Ενεργός Όγκος (M3)	2.36E6
Όγκος άμεσης απορροής (M3)	2.36E6
Όγκος βασικής απορροής (M3)	1.11E6

Βροχόπτωση και Απορροή



Υπολεκάνη: EL0415FL00017

Έκταση (KM2) : 11.25

Κατάνη : J15

Μέθοδος Απωλειών: SCS

Ποσοστό αδιαπέρατης επιφάνειας	0
Αριθμός Καμπύλης Απορροής-CN	34.32
Αρχικές Απώλειες	97.22

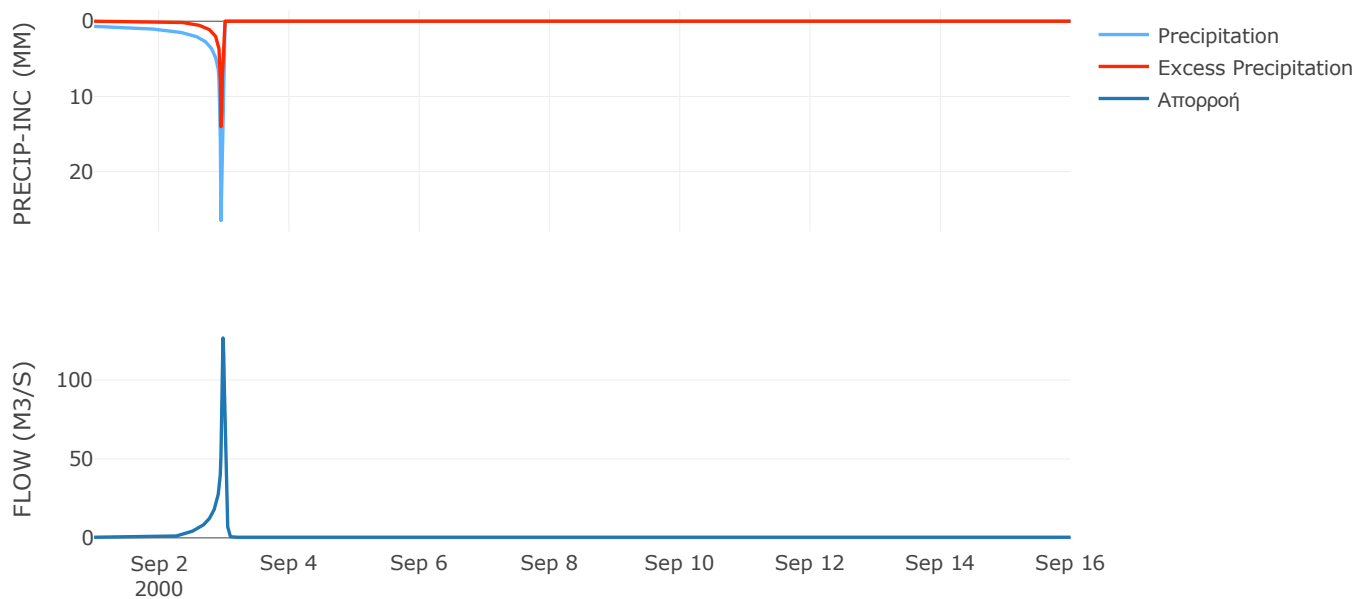
Μέθοδος
Μετασχηματισμού: SCS

Χρόνος Υστέρησης	29.73
------------------	-------

Αποτελέσματα:
EL0415FL00017

Παροχή αιχμής (M3/S)	126.72
Χρονική στιγμή αιχμής	02Sep2000, 23:30
Όγκος (MM)	151.21
Όγκος βροχόπτωσης (M3)	4.31E6
Όγκος απωλειών (M3)	3.12E6
Ενεργός Όγκος (M3)	1.19E6
Όγκος άμεσης απορροής (M3)	1.19E6
Όγκος βασικής απορροής (M3)	5.1E5

Βροχόπτωση και Απορροή



Υπολεκάνη: EL0415FL00018

Έκταση (KM2) : 25.29

Κατάντη : J15

Μέθοδος Απωλειών: SCS

Ποσοστό αδιαπέρατης επιφάνειας	0
Αριθμός Καμπύλης Απορροής-CN	38.86
Αρχικές Απώλειες	79.94

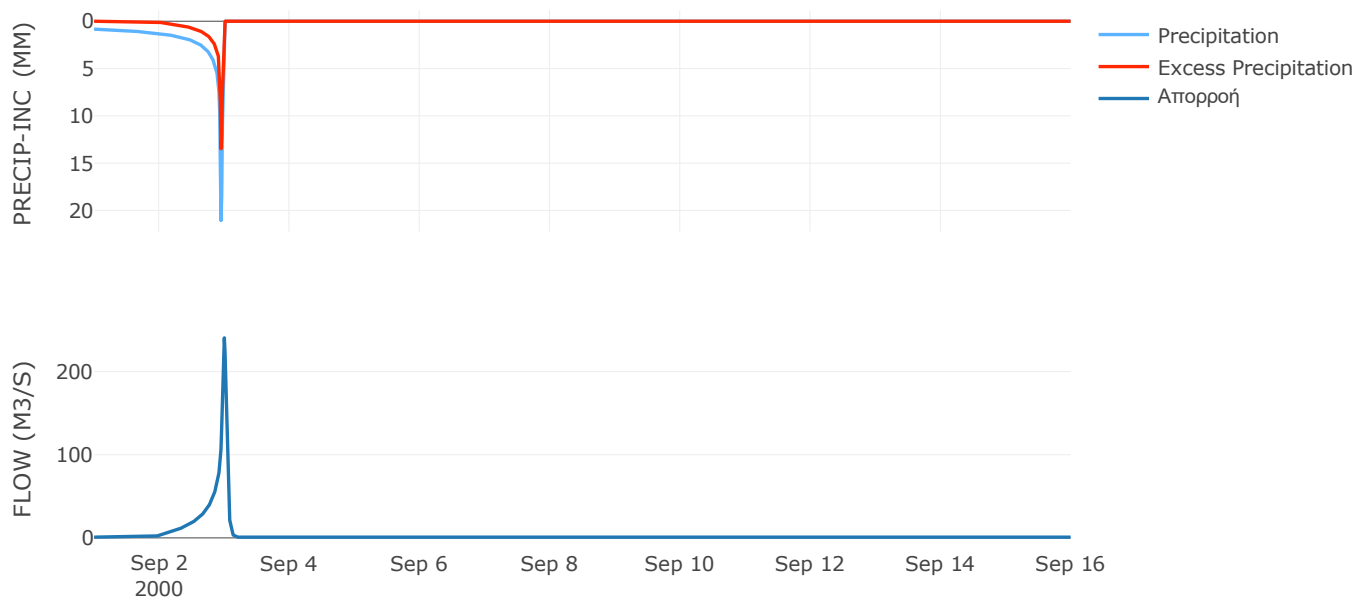
Μέθοδος
Μετασχηματισμού: SCS

Χρόνος Υστέρησης	52.76
------------------	-------

Αποτελέσματα:
EL0415FL00018

Παροχή αιχμής (M3/S)	240.65
Χρονική στιγμή αιχμής	02Sep2000, 24:00
Όγκος (MM)	188.6
Όγκος βροχόπτωσης (M3)	1.01E7
Όγκος απωλειών (M3)	6.53E6
Ενεργός Όγκος (M3)	3.62E6
Όγκος άμεσης απορροής (M3)	3.62E6
Όγκος βασικής απορροής (M3)	1.15E6

Βροχόπτωση και Απορροή



Υπολεκάνη: EL0415FL00019

Έκταση (KM2) : 41.83

Κατάντη : J16

Μέθοδος Απωλειών: SCS

Ποσοστό αδιαπέρατης επιφάνειας	0
Αριθμός Καμπύλης Απορροής-CN	45.78
Αρχικές Απώλειες	60.15

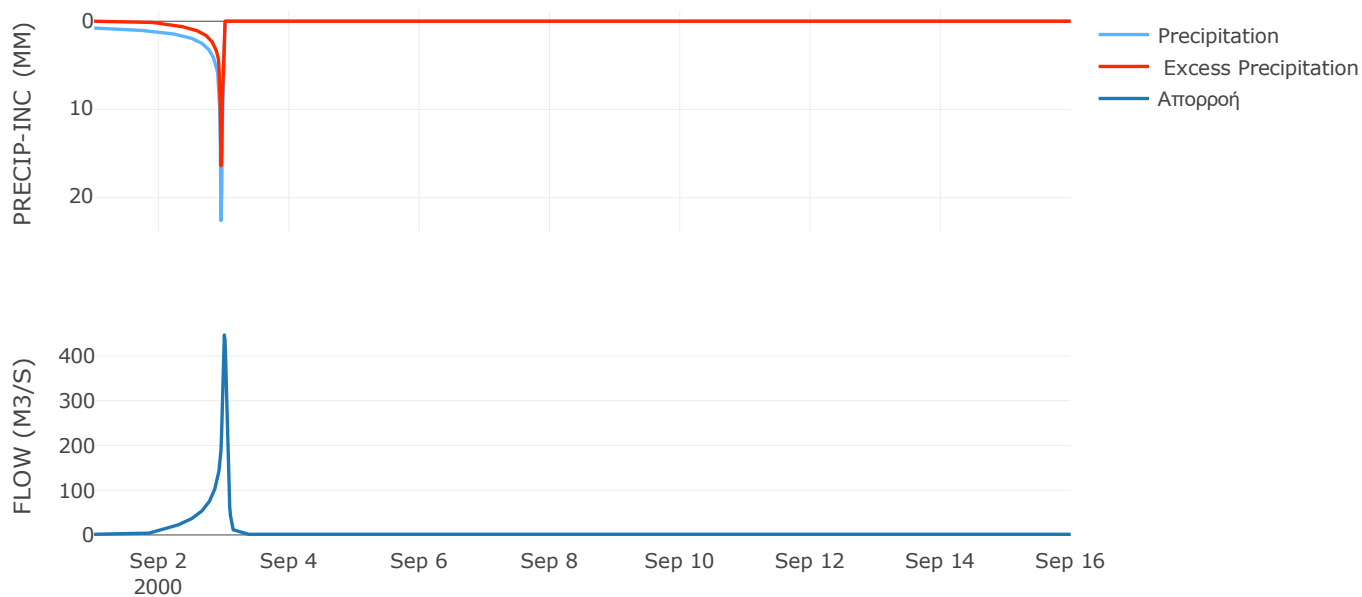
Μέθοδος
Μετασχηματισμού: SCS

Χρόνος Υστέρησης	61.11
------------------	-------

Αποτελέσματα:
EL0415FL00019

Παροχή αιχμής (M3/S)	446.8
Χρονική στιγμή αιχμής	02Sep2000, 24:00
Όγκος (MM)	218.12
Όγκος βροχόπτωσης (M3)	1.63E7
Όγκος απωλειών (M3)	9.1E6
Ενεργός Όγκος (M3)	7.23E6
Όγκος άμεσης απορροής (M3)	7.23E6
Όγκος βασικής απορροής (M3)	1.9E6

Βροχόπτωση και Απορροή



Υπολεκάνη: EL0415FL00020

Έκταση (KM2) : 8.47

Κατάντη : J21

Μέθοδος Απωλειών: SCS

Ποσοστό αδιαπέρατης επιφάνειας	0
Αριθμός Καμπύλης Απορροής-CN	64.45
Αρχικές Απώλειες	28.02

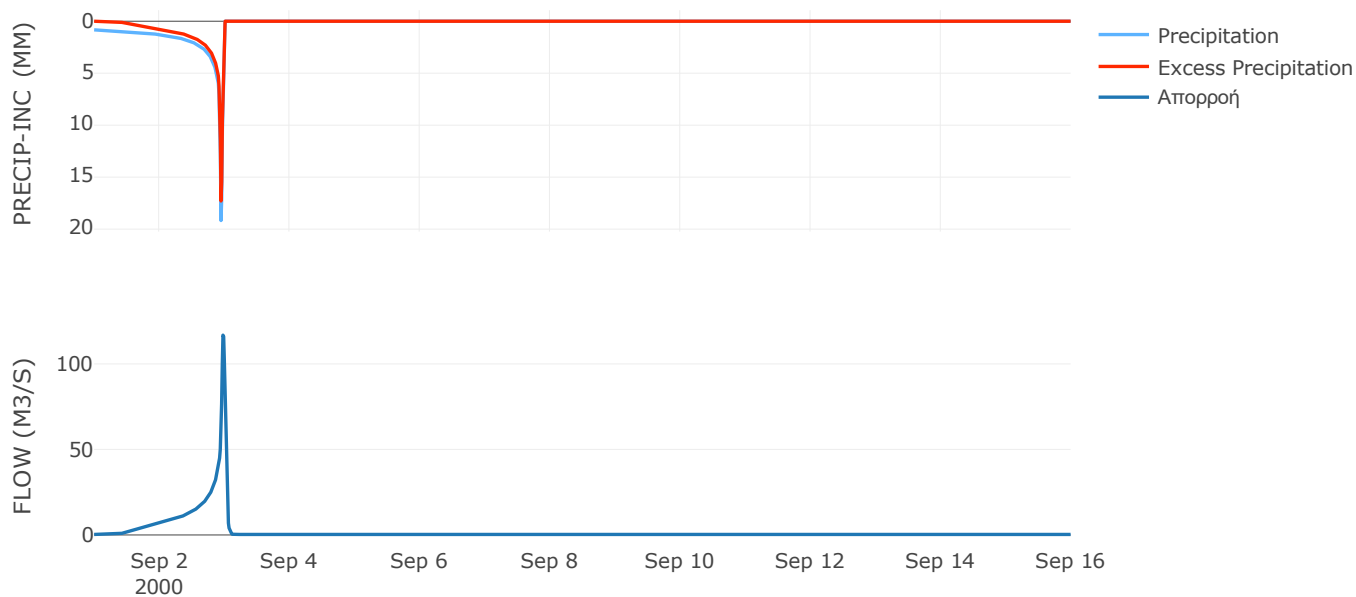
Μέθοδος
Μετασχηματισμού: SCS

Χρόνος Υστέρησης	35.95
------------------	-------

Αποτελέσματα:
EL0415FL00020

Παροχή αιχμής (M3/S)	116.82
Χρονική στιγμή αιχμής	02Sep2000, 23:30
Όγκος (MM)	303.42
Όγκος βροχόπτωσης (M3)	3.28E6
Όγκος απωλειών (M3)	1.09E6
Ενεργός Όγκος (M3)	2.19E6
Όγκος άμεσης απορροής (M3)	2.19E6
Όγκος βασικής απορροής (M3)	3.84E5

Βροχόπτωση και Απορροή



Υπολεκάνη: EL0415FL00021

Έκταση (KM2) : 11.07

Κατάνη : J17

Μέθοδος Απωλειών: SCS

Ποσοστό αδιαπέρατης επιφάνειας	0
Αριθμός Καμπύλης Απορροής-CN	56.26
Αρχικές Απώλειες	39.5

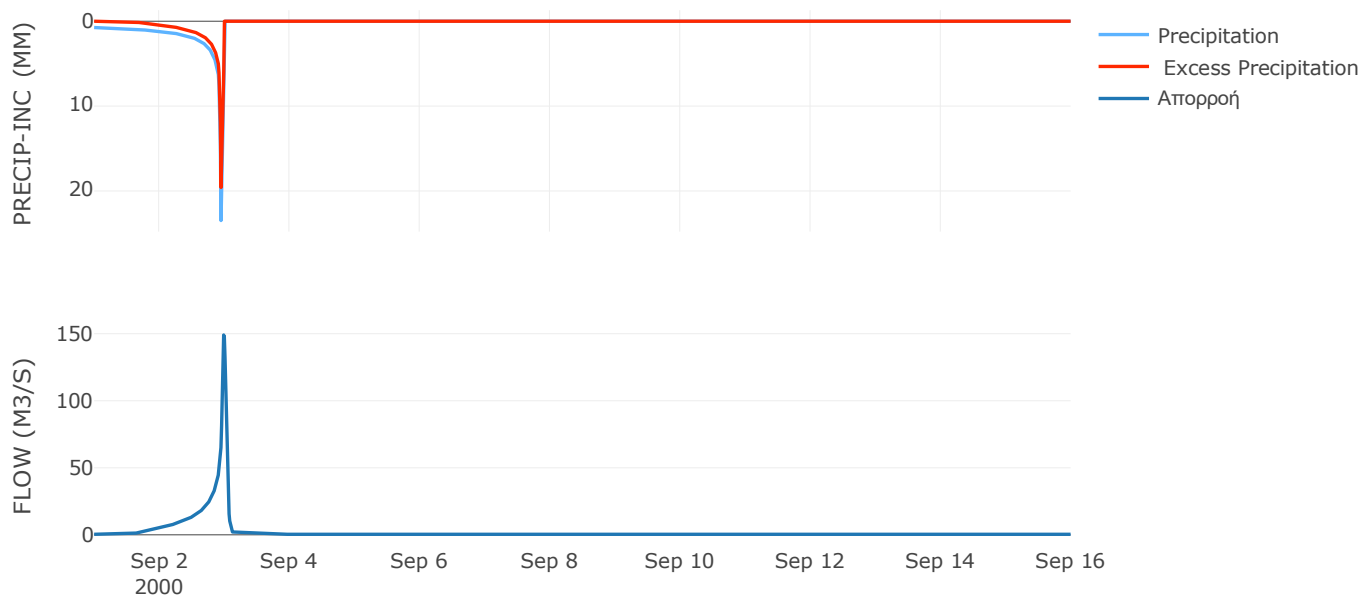
Μέθοδος
Μετασχηματισμού: SCS

Χρόνος Υστέρησης	49.82
------------------	-------

Αποτελέσματα:
EL0415FL00021

Παροχή αιχμής (M3/S)	149.04
Χρονική στιγμή αιχμής	02Sep2000, 23:45
Όγκος (MM)	265.62
Όγκος βροχόπτωσης (M3)	4.27E6
Όγκος απωλειών (M3)	1.83E6
Ενεργός Όγκος (M3)	2.44E6
Όγκος άμεσης απορροής (M3)	2.44E6
Όγκος βασικής απορροής (M3)	5.02E5

Βροχόπτωση και Απορροή



Υπολεκάνη: EL0415FL00022

Έκταση (KM2) : 12.41

Κατάντη : J18

Μέθοδος Απωλειών: SCS

Ποσοστό αδιαπέρατης επιφάνειας	0
Αριθμός Καμπύλης Απορροής-CN	62.88
Αρχικές Απώλειες	29.98

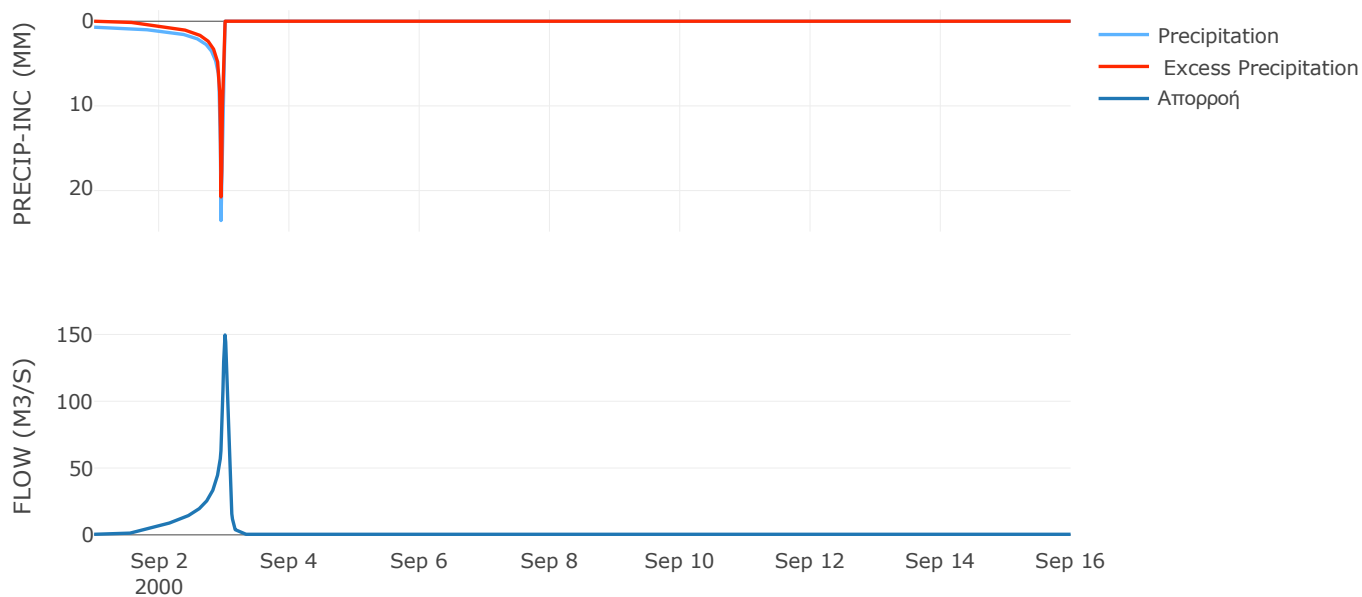
Μέθοδος
Μετασχηματισμού: SCS

Χρόνος Υστέρησης	75.64
------------------	-------

Αποτελέσματα:
EL0415FL00022

Παροχή αιχμής (M3/S)	149.6
Χρονική στιγμή αιχμής	03Sep2000, 00:15
Όγκος (MM)	285.13
Όγκος βροχόπτωσης (M3)	4.64E6
Όγκος απωλειών (M3)	1.67E6
Ενεργός Όγκος (M3)	2.98E6
Όγκος άμεσης απορροής (M3)	2.98E6
Όγκος βασικής απορροής (M3)	5.63E5

Βροχόπτωση και Απορροή



Υπολεκάνη: EL0415FL00023

Έκταση (KM2) : 16.4

Κατάντη : J22

Μέθοδος Απωλειών: SCS

Ποσοστό αδιαπέρατης επιφάνειας	0
Αριθμός Καμπύλης Απορροής-CN	64.1
Αρχικές Απώλειες	28.45

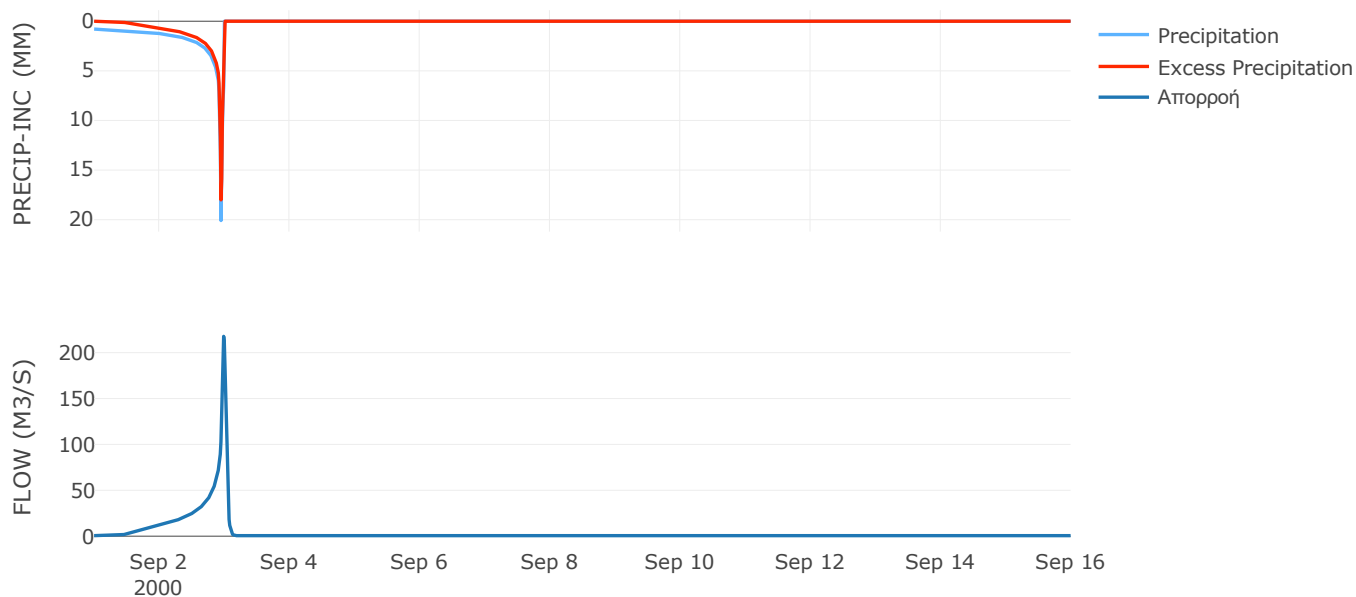
Μέθοδος
Μετασχηματισμού: SCS

Χρόνος Υστέρησης	46.43
------------------	-------

Αποτελέσματα:
EL0415FL00023

Παροχή αιχμής (M3/S)	217.77
Χρονική στιγμή αιχμής	02Sep2000, 23:45
Όγκος (MM)	296.31
Όγκος βροχόπτωσης (M3)	6.24E6
Όγκος απωλειών (M3)	2.13E6
Ενεργός Όγκος (M3)	4.12E6
Όγκος άμεσης απορροής (M3)	4.12E6
Όγκος βασικής απορροής (M3)	7.44E5

Βροχόπτωση και Απορροή



Υπολεκάνη: EL0415FL00024

Έκταση (KM2) : 20.38

Κατάντη : J19

Μέθοδος Απωλειών: SCS

Ποσοστό αδιαπέρατης επιφάνειας	0
Αριθμός Καμπύλης Απορροής-CN	62.12
Αρχικές Απώλειες	30.97

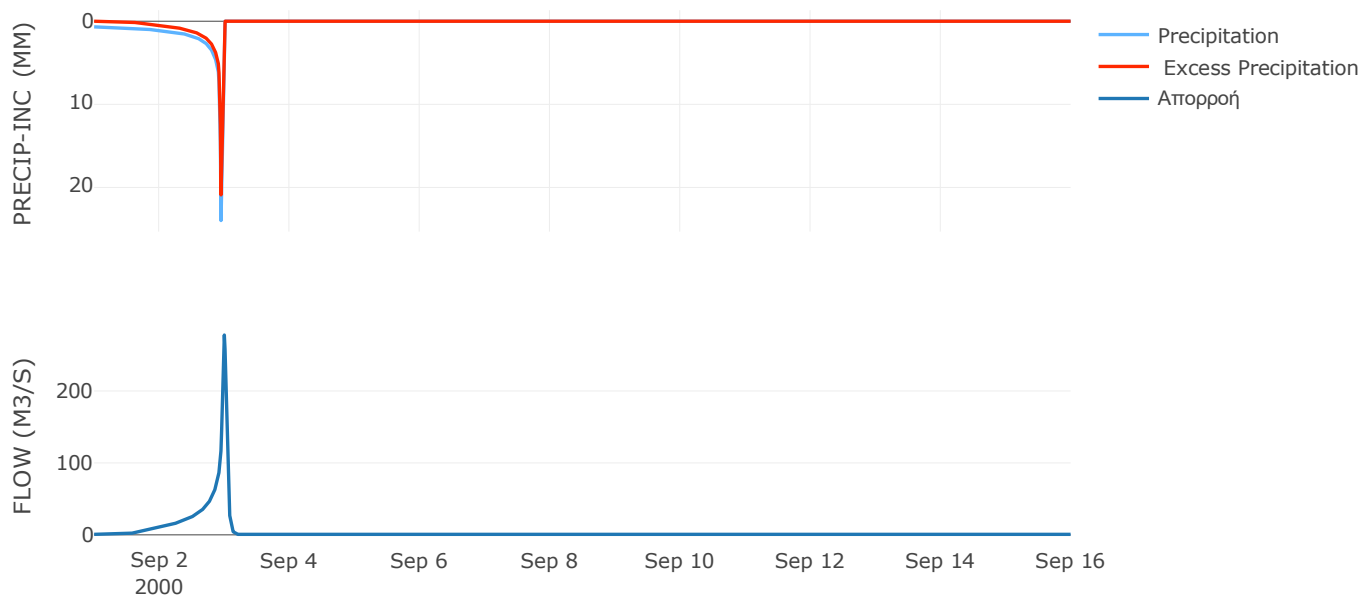
Μέθοδος
Μετασχηματισμού: SCS

Χρόνος Υστέρησης	55.15
------------------	-------

Αποτελέσματα:
EL0415FL00024

Παροχή αιχμής (M3/S)	277.72
Χρονική στιγμή αιχμής	02Sep2000, 24:00
Όγκος (MM)	274.88
Όγκος βροχόπτωσης (M3)	7.47E6
Όγκος απωλειών (M3)	2.79E6
Ενεργός Όγκος (M3)	4.68E6
Όγκος άμεσης απορροής (M3)	4.68E6
Όγκος βασικής απορροής (M3)	9.24E5

Βροχόπτωση και Απορροή



Υπολεκάνη: EL0415FL00025

Έκταση (KM2) : 32.02

Κατάντη : J13

Μέθοδος Απωλειών: SCS

Ποσοστό αδιαπέρατης επιφάνειας	0
Αριθμός Καμπύλης Απορροής-CN	30.5
Αρχικές Απώλειες	115.77

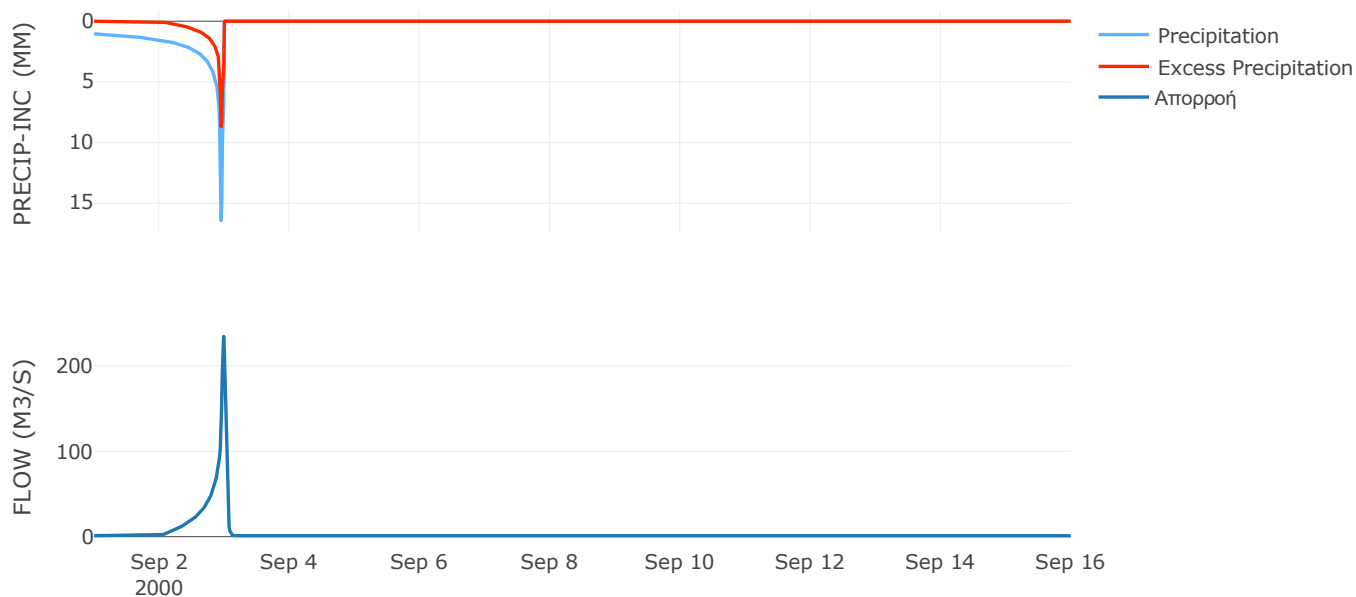
Μέθοδος
Μετασχηματισμού: SCS

Χρόνος Υστέρησης	38.27
------------------	-------

Αποτελέσματα:
EL0415FL00025

Παροχή αιχμής (M3/S)	234.58
Χρονική στιγμή αιχμής	02Sep2000, 23:45
Όγκος (MM)	154.22
Όγκος βροχόπτωσης (M3)	1.37E7
Όγκος απωλειών (M3)	1.02E7
Ενεργός Όγκος (M3)	3.49E6
Όγκος άμεσης απορροής (M3)	3.49E6
Όγκος βασικής απορροής (M3)	1.45E6

Βροχόπτωση και Απορροή



Υπολεκάνη: EL0415FL00026

Έκταση (KM2) : 30.03

Κατάντη : J12

Μέθοδος Απωλειών: SCS

Ποσοστό αδιαπέρατης επιφάνειας	0
Αριθμός Καμπύλης Απορροής-CN	47.52
Αρχικές Απώλειες	56.1

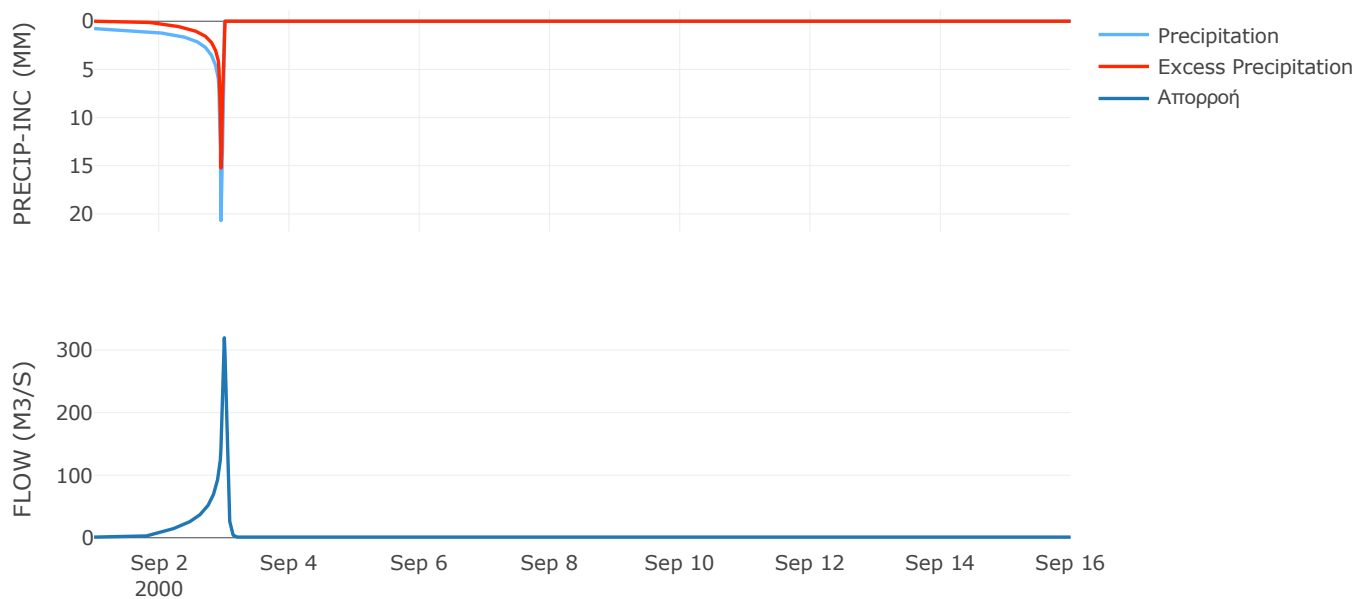
Μέθοδος
Μετασχηματισμού: SCS

Χρόνος Υστέρησης	51.73
------------------	-------

Αποτελέσματα:
EL0415FL00026

Παροχή αιχμής (M3/S)	319.63
Χρονική στιγμή αιχμής	02Sep2000, 24:00
Όγκος (MM)	215.67
Όγκος βροχόπτωσης (M3)	1.13E7
Όγκος απωλειών (M3)	6.17E6
Ενεργός Όγκος (M3)	5.11E6
Όγκος άμεσης απορροής (M3)	5.11E6
Όγκος βασικής απορροής (M3)	1.36E6

Βροχόπτωση και Απορροή



Υπολεκάνη: EL0415FL00027

Έκταση (KM2) : 3.34

Κατάνη : J11

Μέθοδος Απωλειών: SCS

Ποσοστό αδιαπέρατης επιφάνειας	0
Αριθμός Καμπύλης Απορροής-CN	62.24
Αρχικές Απώλειες	30.82

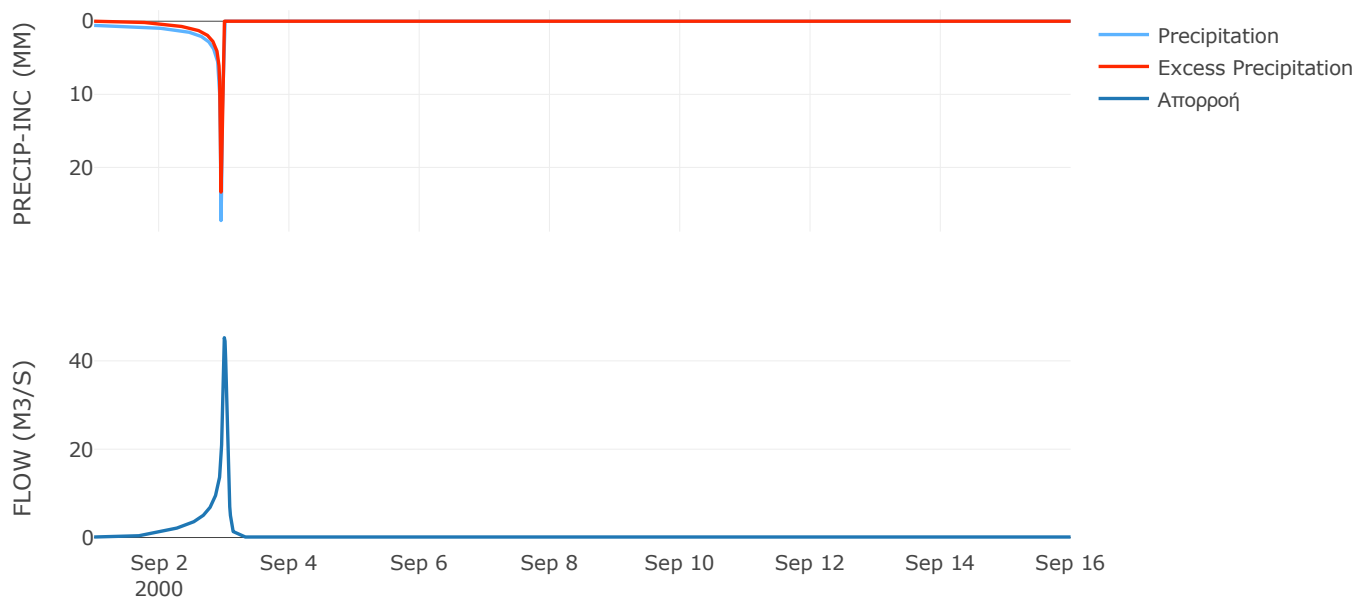
Μέθοδος
Μετασχηματισμού: SCS

Χρόνος Υστέρησης	64.25
------------------	-------

Αποτελέσματα:
EL0415FL00027

Παροχή αιχμής (M3/S)	45.24
Χρονική στιγμή αιχμής	02Sep2000, 24:00
Όγκος (MM)	258.49
Όγκος βροχόπτωσης (M3)	1.16E6
Όγκος απωλειών (M3)	4.49E5
Ενεργός Όγκος (M3)	7.12E5
Όγκος άμεσης απορροής (M3)	7.12E5
Όγκος βασικής απορροής (M3)	1.51E5

Βροχόπτωση και Απορροή



Δεδομένα και υδρογραφήματα σχεδιασμού Κλάδων υδρογραφικού δικτύου

Κλάδος: R21

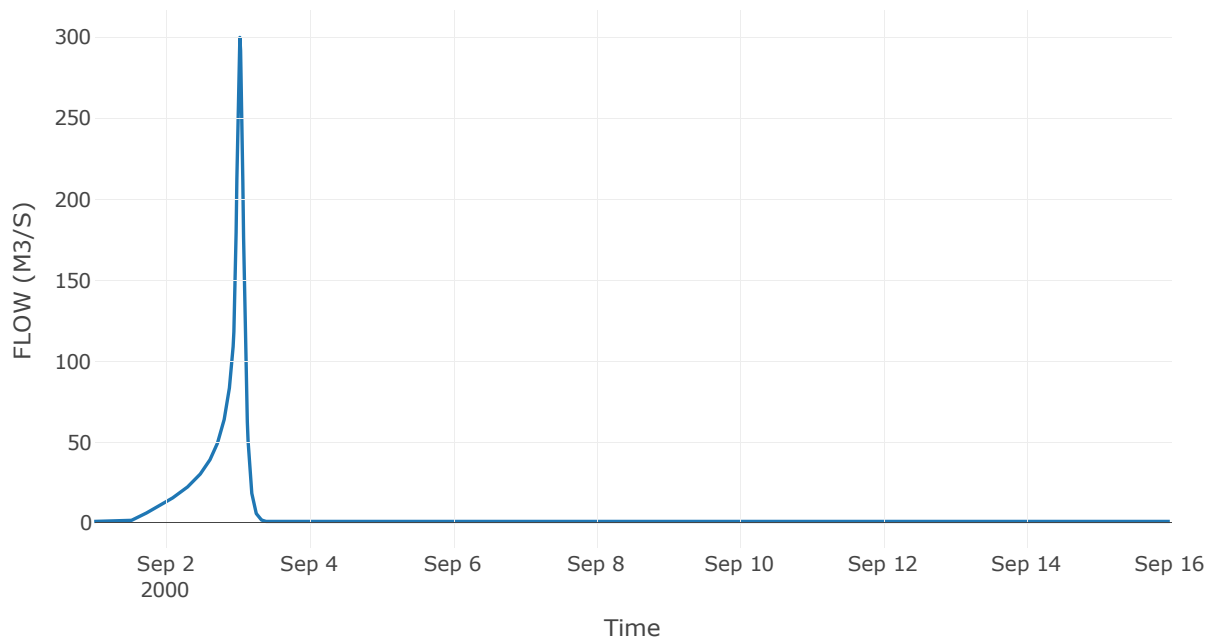
Κατάντη : J1

Μέθοδος Διόδευσης	Χρόνος
Αρχική Μεταβλητή	Combined Inflow
Χρόνος Υστέρησης	0

Αποτελέσματα: R21

Παροχή Αιχμής(M3/S)	299.77
Χρονική στιγμή αιχμής	03Sep2000, 00:45
Όγκος(MM)	280.13
Παροχή Αιχμής Εισόδου (M3/S)	299.77
Όγκος Εισροής(M3)	7.95E6

Απορροή



Κλάδος: R31

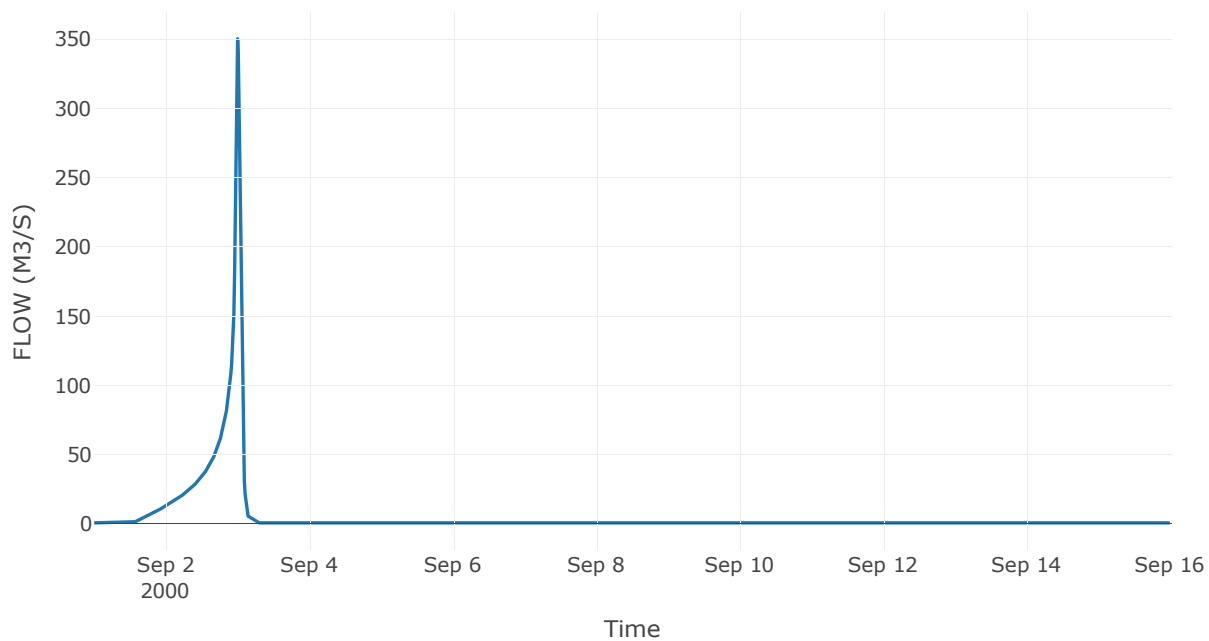
Κατάντη : J1

Μέθοδος Διόδευσης	Χρόνος
Αρχική Μεταβλητή	Combined Inflow
Χρόνος Υστέρησης	0

Αποτελέσματα: R31

Παροχή Αιχμής(M3/S)	350.24
Χρονική στιγμή αιχμής	02Sep2000, 24:00
Όγκος(MM)	253.63
Παροχή Αιχμής Εισόδου (M3/S)	350.24
Όγκος Εισροής(M3)	7.62E6

Απορροή



Κλάδος: R41

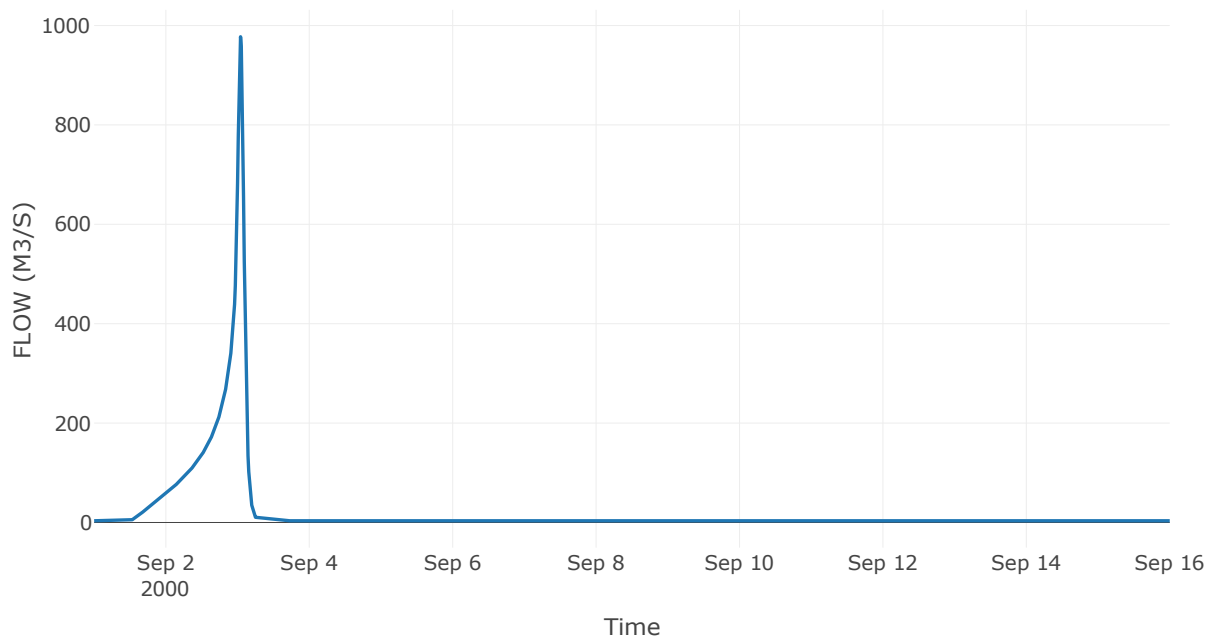
Κατάντη : J1

Μέθοδος Διόδευσης	Χρόνος
Αρχική Μεταβλητή	Combined Inflow
Χρόνος Υστέρησης	0

Αποτελέσματα: R41

Παροχή Αιχμής(M3/S)	977.34
Χρονική στιγμή αιχμής	03Sep2000, 01:00
Όγκος(MM)	291.66
Παροχή Αιχμής Εισόδου (M3/S)	977.34
Όγκος Εισροής(M3)	2.87E7

Απορροή



Κλάδος: R51

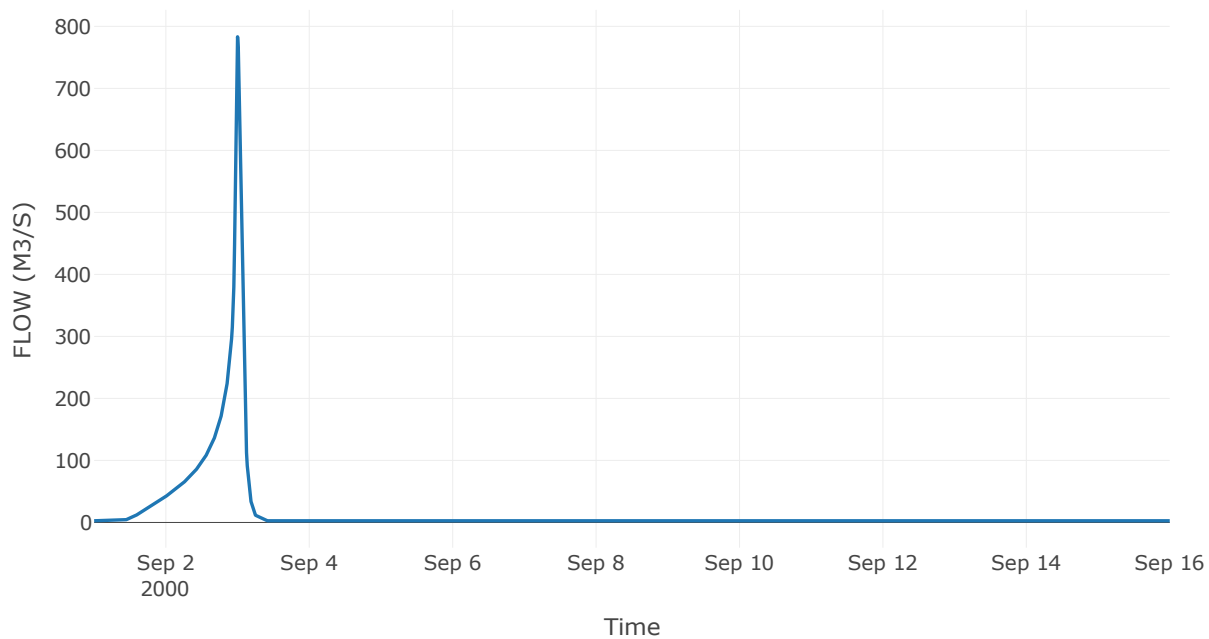
Κατάντη : J1

Μέθοδος Διόδευσης	Χρόνος
Αρχική Μεταβλητή	Combined Inflow
Χρόνος Υστέρησης	0

Αποτελέσματα: R51

Παροχή Αιχμής(M3/S)	783.26
Χρονική στιγμή αιχμής	02Sep2000, 24:00
Όγκος(MM)	279.1
Παροχή Αιχμής Εισόδου (M3/S)	783.26
Όγκος Εισροής(M3)	2.14E7

Απορροή



Κλάδος: R1110

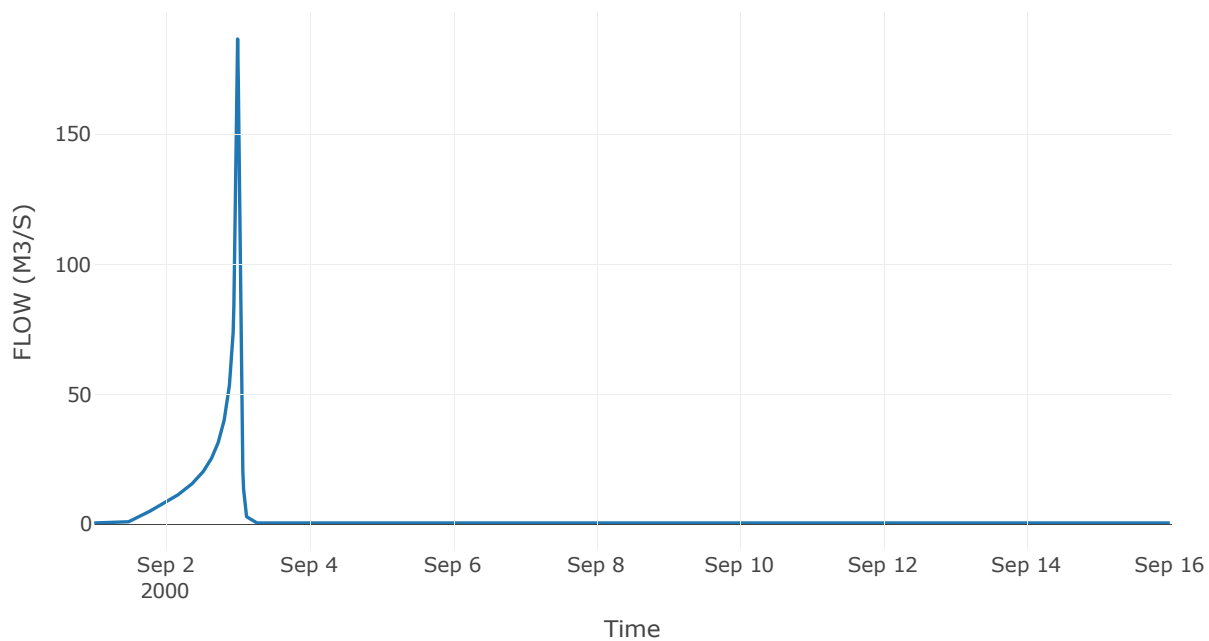
Κατάντη : J10

Μέθοδος Διόδευσης	Χρόνος
Αρχική Μεταβλητή	Combined Inflow
Χρόνος Υστέρησης	0

Αποτελέσματα: R1110

Παροχή Αιχμής(M3/S)	186.71
Χρονική στιγμή αιχμής	02Sep2000, 24:00
Όγκος(MM)	278.13
Παροχή Αιχμής Εισόδου (M3/S)	186.71
Όγκος Εισροής(M3)	4.05E6

Απορροή



Κλάδος: R1210

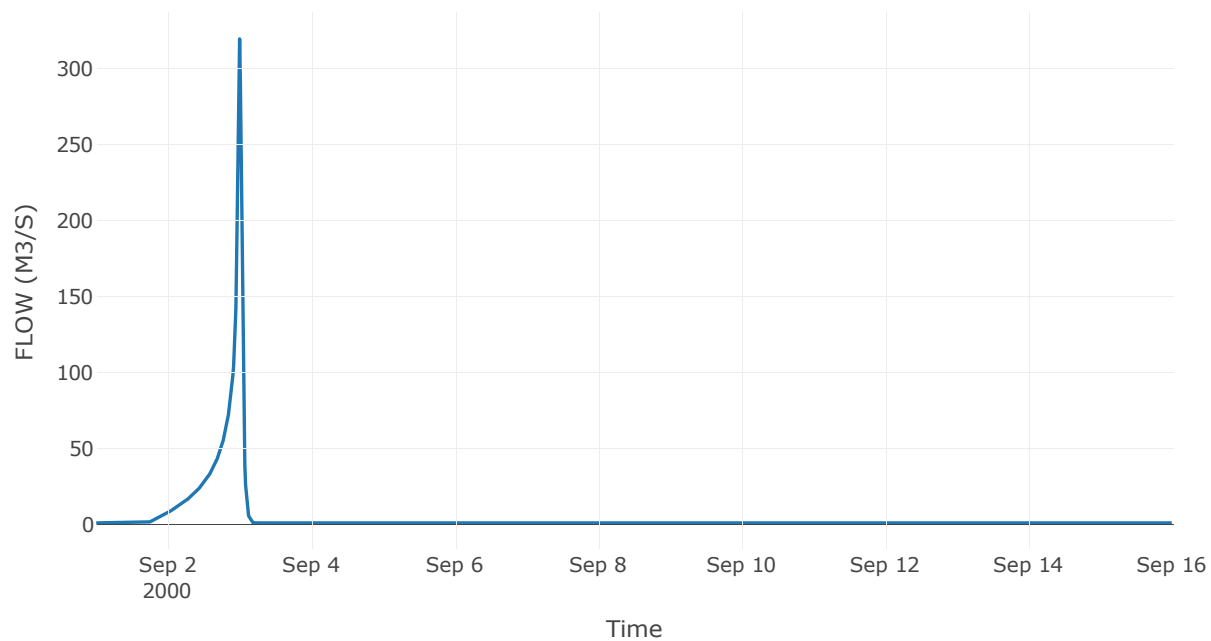
Κατάντη : J10

Μέθοδος Διόδευσης	Χρόνος
Αρχική Μεταβλητή	Combined Inflow
Χρόνος Υστέρησης	0

Αποτελέσματα: R1210

Παροχή Αιχμής(M3/S)	319.63
Χρονική στιγμή αιχμής	02Sep2000, 24:00
Όγκος(MM)	215.67
Παροχή Αιχμής Εισόδου (M3/S)	319.63
Όγκος Εισροής(M3)	6.48E6

Απορροή



Κλάδος: R1310

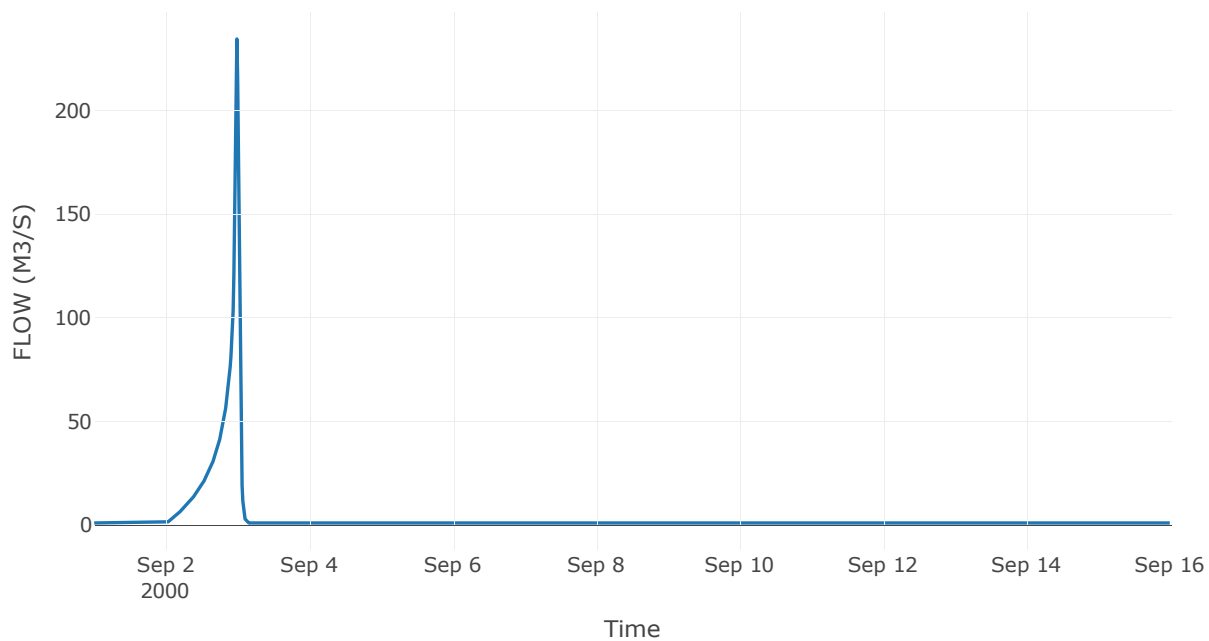
Κατάντη : J10

Μέθοδος Διόδευσης	Χρόνος
Αρχική Μεταβλητή	Combined Inflow
Χρόνος Υστέρησης	0

Αποτελέσματα: R1310

Παροχή Αιχμής(M3/S)	234.58
Χρονική στιγμή αιχμής	02Sep2000, 23:45
Όγκος(MM)	154.22
Παροχή Αιχμής Εισόδου (M3/S)	234.58
Όγκος Εισροής(M3)	4.94E6

Απορροή



Κλάδος: R1410

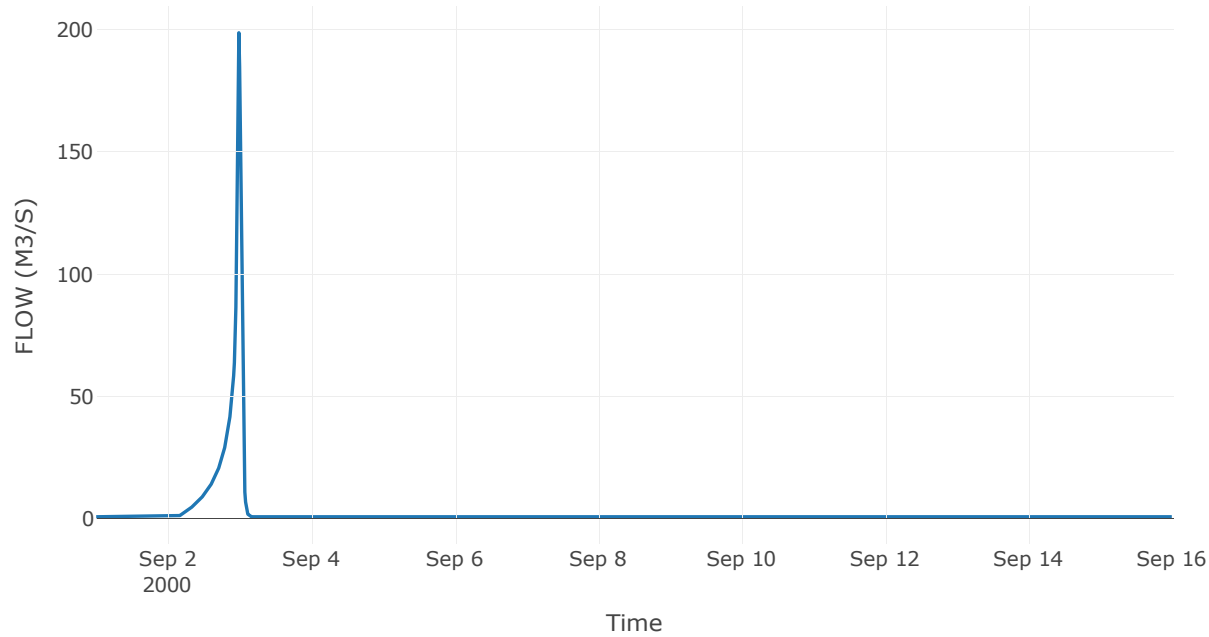
Κατάντη : J10

Μέθοδος Διόδευσης	Χρόνος
Αρχική Μεταβλητή	Combined Inflow
Χρόνος Υστέρησης	0

Αποτελέσματα: R1410

Παροχή Αιχμής(M3/S)	198.66
Χρονική στιγμή αιχμής	02Sep2000, 23:45
Όγκος(MM)	141.92
Παροχή Αιχμής Εισόδου (M3/S)	198.66
Όγκος Εισροής(M3)	3.48E6

Απορροή



Κλάδος: R1510

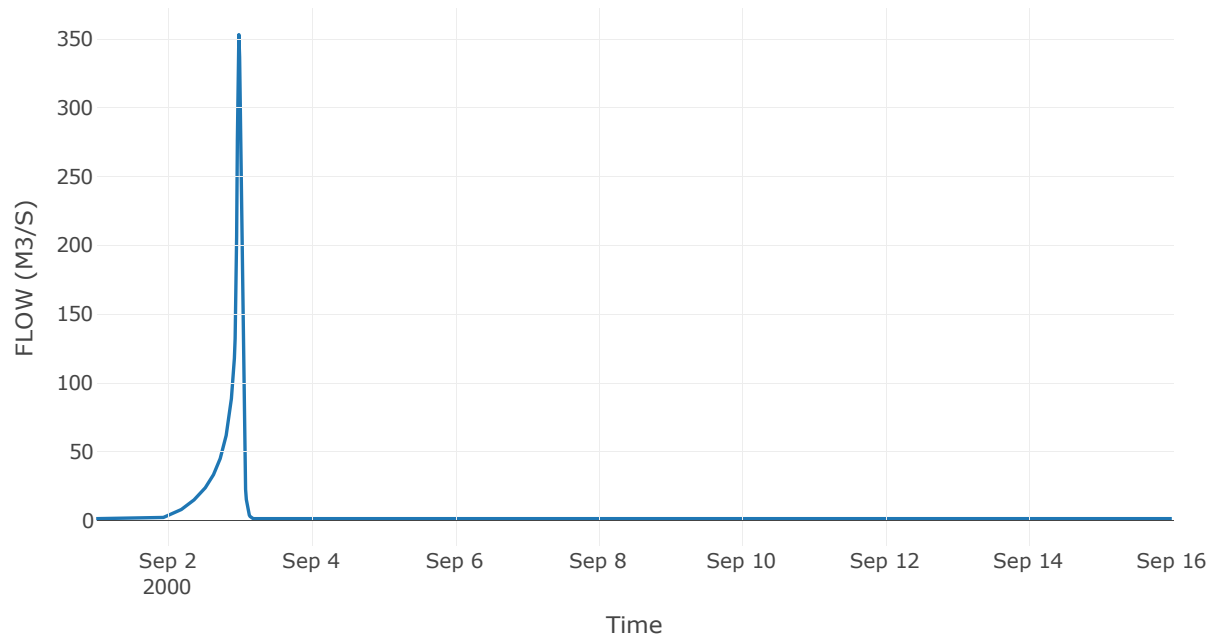
Κατάντη : J10

Μέθοδος Διόδευσης	Χρόνος
Αρχική Μεταβλητή	Combined Inflow
Χρόνος Υστέρησης	0

Αποτελέσματα: R1510

Παροχή Αιχμής(M3/S)	352.99
Χρονική στιγμή αιχμής	02Sep2000, 23:45
Όγκος(MM)	177.08
Παροχή Αιχμής Εισόδου (M3/S)	352.99
Όγκος Εισροής(M3)	6.47E6

Απορροή



Κλάδος: R1610

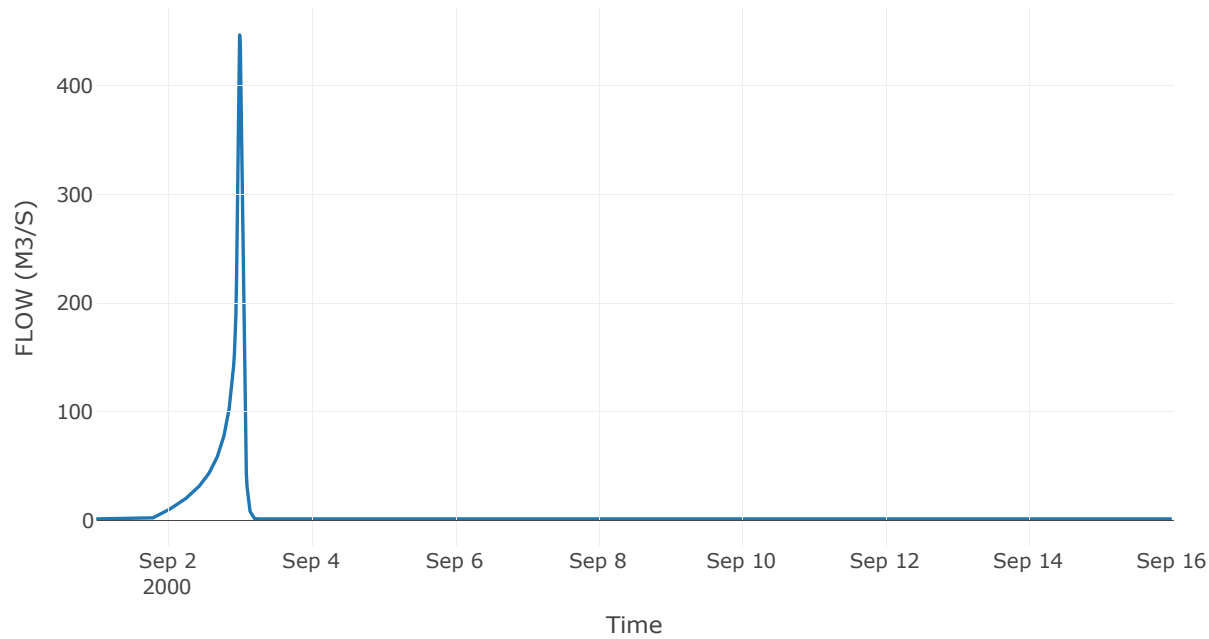
Κατάντη : J10

Μέθοδος Διόδευσης	Χρόνος
Αρχική Μεταβλητή	Combined Inflow
Χρόνος Υστέρησης	0

Αποτελέσματα: R1610

Παροχή Αιχμής(M3/S)	446.8
Χρονική στιγμή αιχμής	02Sep2000, 24:00
Όγκος(MM)	218.12
Παροχή Αιχμής Εισόδου (M3/S)	446.8
Όγκος Εισροής(M3)	9.12E6

Απορροή



Κλάδος: R1710

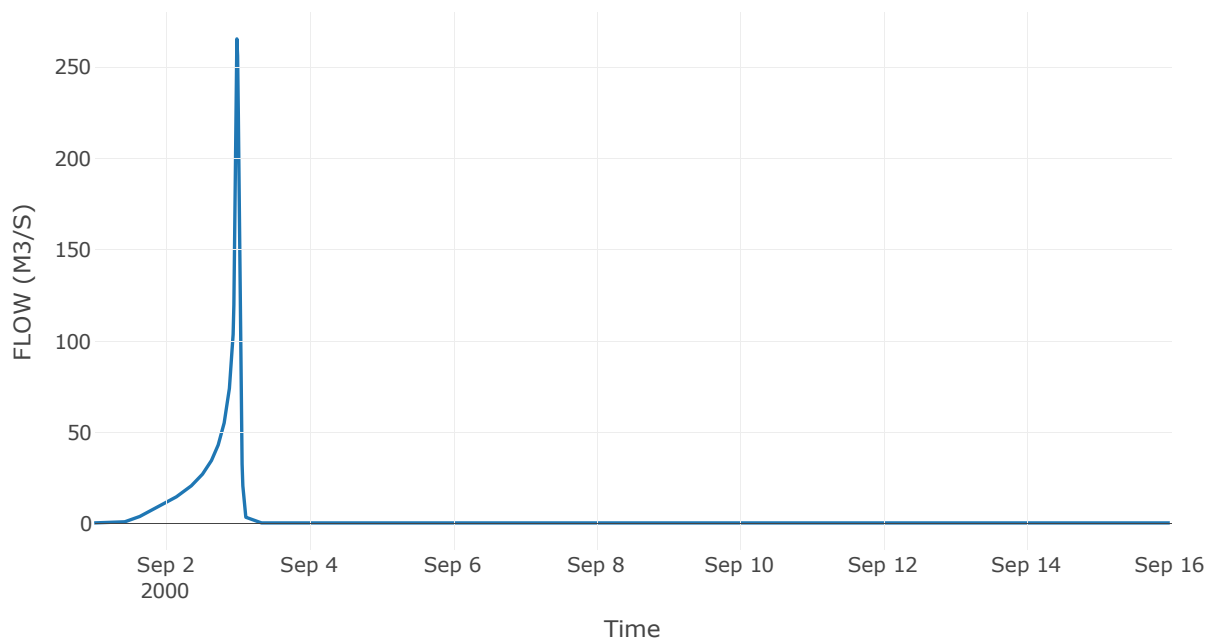
Κατάντη : J10

Μέθοδος Διόδευσης	Χρόνος
Αρχική Μεταβλητή	Combined Inflow
Χρόνος Υστέρησης	0

Αποτελέσματα: R1710

Παροχή Αιχμής(M3/S)	265.41
Χρονική στιγμή αιχμής	02Sep2000, 23:45
Όγκος(MM)	282
Παροχή Αιχμής Εισόδου (M3/S)	265.41
Όγκος Εισροής(M3)	5.51E6

Απορροή



Κλάδος: R1810

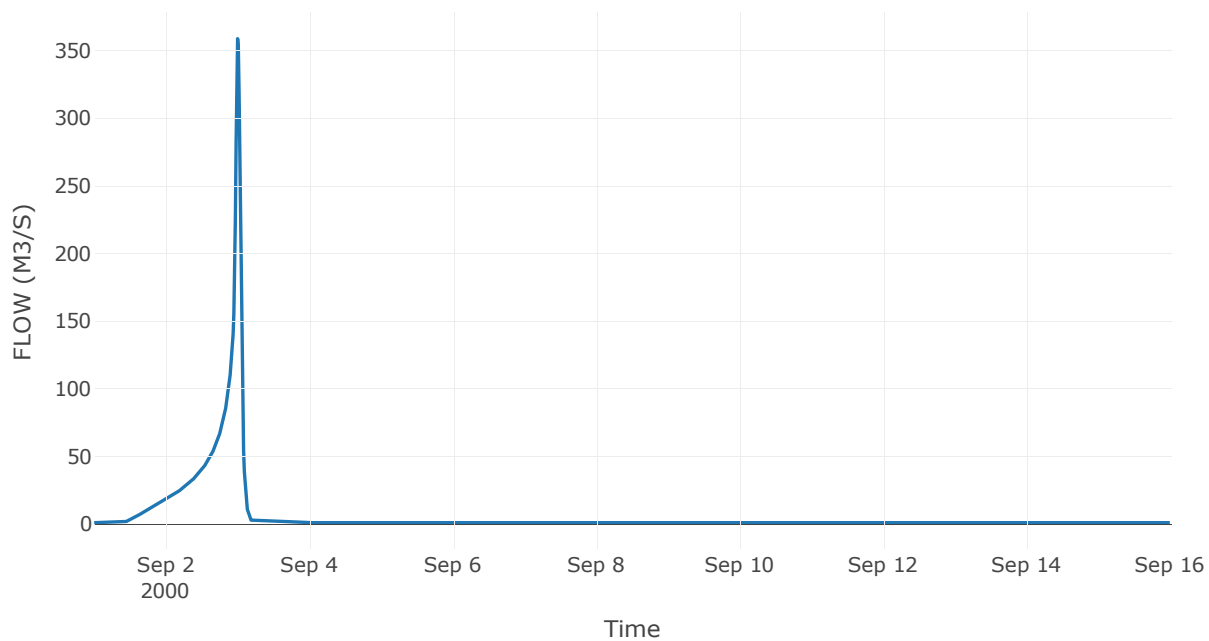
Κατάντη : J10

Μέθοδος Διόδευσης	Χρόνος
Αρχική Μεταβλητή	Combined Inflow
Χρόνος Υστέρησης	0

Αποτελέσματα: R1810

Παροχή Αιχμής(M3/S)	358.57
Χρονική στιγμή αιχμής	02Sep2000, 24:00
Όγκος(MM)	291.49
Παροχή Αιχμής Εισόδου (M3/S)	358.57
Όγκος Εισροής(M3)	8.4E6

Απορροή



Κλάδος: R1910

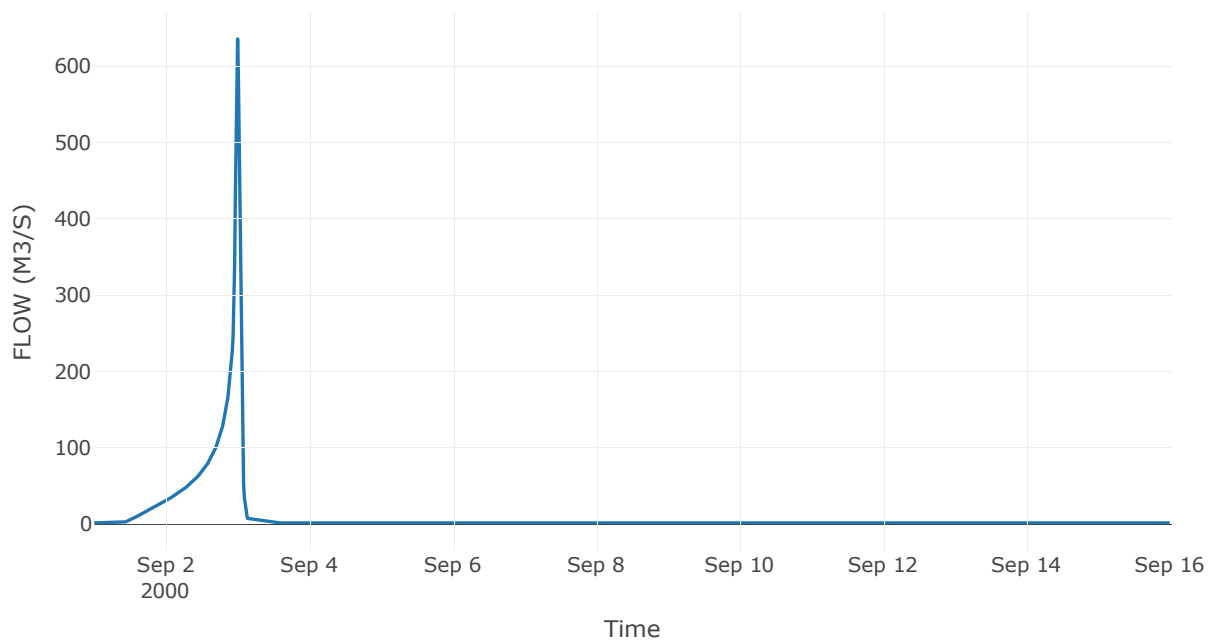
Κατάντη : J10

Μέθοδος Διόδευσης	Χρόνος
Αρχική Μεταβλητή	Combined Inflow
Χρόνος Υστέρησης	0

Αποτελέσματα: R1910

Παροχή Αιχμής(M3/S)	635.62
Χρονική στιγμή αιχμής	02Sep2000, 24:00
Όγκος(MM)	285.91
Παροχή Αιχμής Εισόδου (M3/S)	635.62
Όγκος Εισροής(M3)	1.41E7

Απορροή



Κλάδος: R16

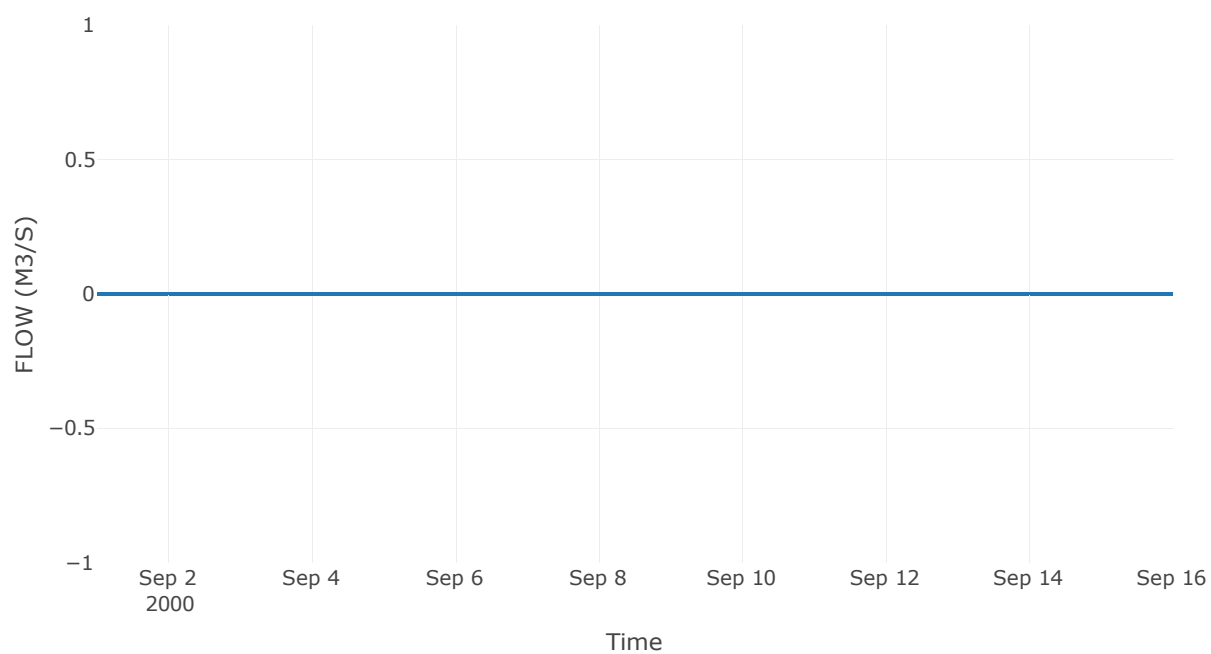
Κατάντη : J6

Μέθοδος Διόδευσης	Muskingum
Αρχική Μεταβλητή	Combined Inflow
Χρόνος Ροής Κ	8.55
Συντελεστής βάρους x	0.2
Πλήθος Υποκλάδων	59

Αποτελέσματα: R16

Παροχή Αιχμής(M3/S)	0
Χρονική στιγμή αιχμής	31Aug2000, 24:00
Εισροή Αιχμής(M3/S)	0
Όγκος Εισροής (M3)	0

Απορροή



Κλάδος: R74

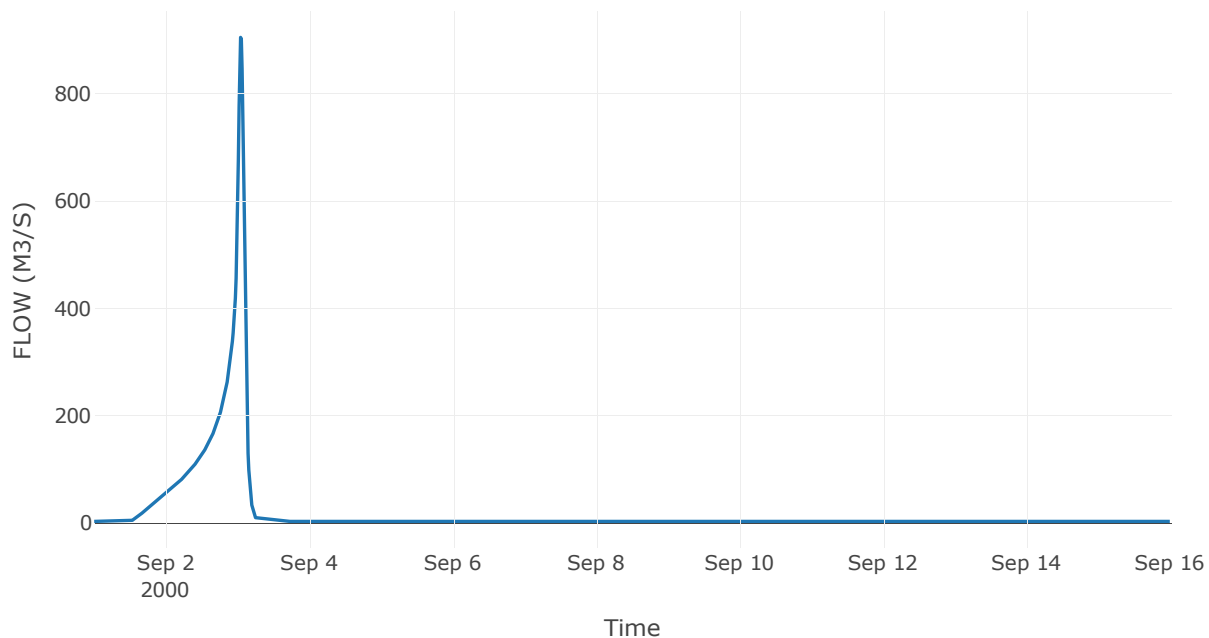
Κατάντη : J4

Μέθοδος Διόδευσης	Muskingum
Αρχική Μεταβλητή	Combined Inflow
Χρόνος Ροής Κ	0.81
Συντελεστής βάρους α	0.2
Πλήθος Υποκλάδων	6

Αποτελέσματα: R74

Παροχή Αιχμής(M3/S)	905.08
Χρονική στιγμή αιχμής	03Sep2000, 01:00
Όγκος(MM)	293.74
Παροχή Αιχμής Εισόδου (M3/S)	938.26
Όγκος Εισροής(M3)	2.66E7

Απορροή



Κλάδος: R85

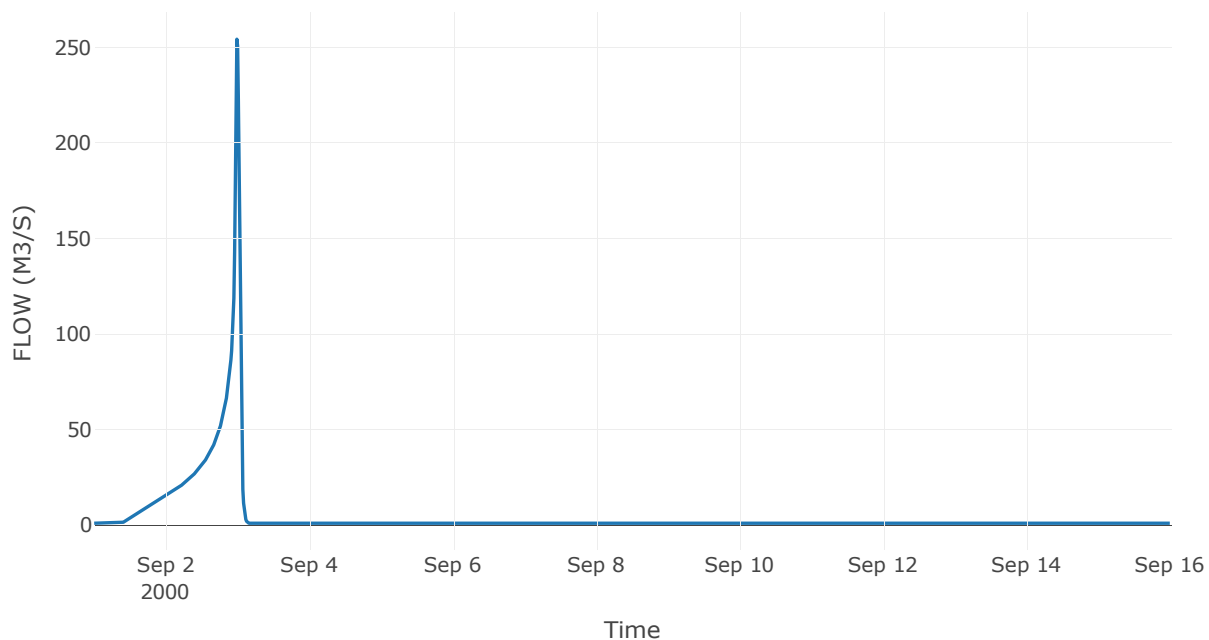
Κατάντη : J5

Μέθοδος Διόδευσης	Muskingum
Αρχική Μεταβλητή	Combined Inflow
Χρόνος Ροής Κ	0.16
Συντελεστής βάρους α	0.2
Πλήθος Υποκλάδων	1

Αποτελέσματα: R85

Παροχή Αιχμής(M3/S)	254.18
Χρονική στιγμή αιχμής	02Sep2000, 23:45
Όγκος(MM)	290.87
Παροχή Αιχμής Εισόδου (M3/S)	258.87
Όγκος Εισροής(M3)	5.93E6

Απορροή



Κλάδος: R95

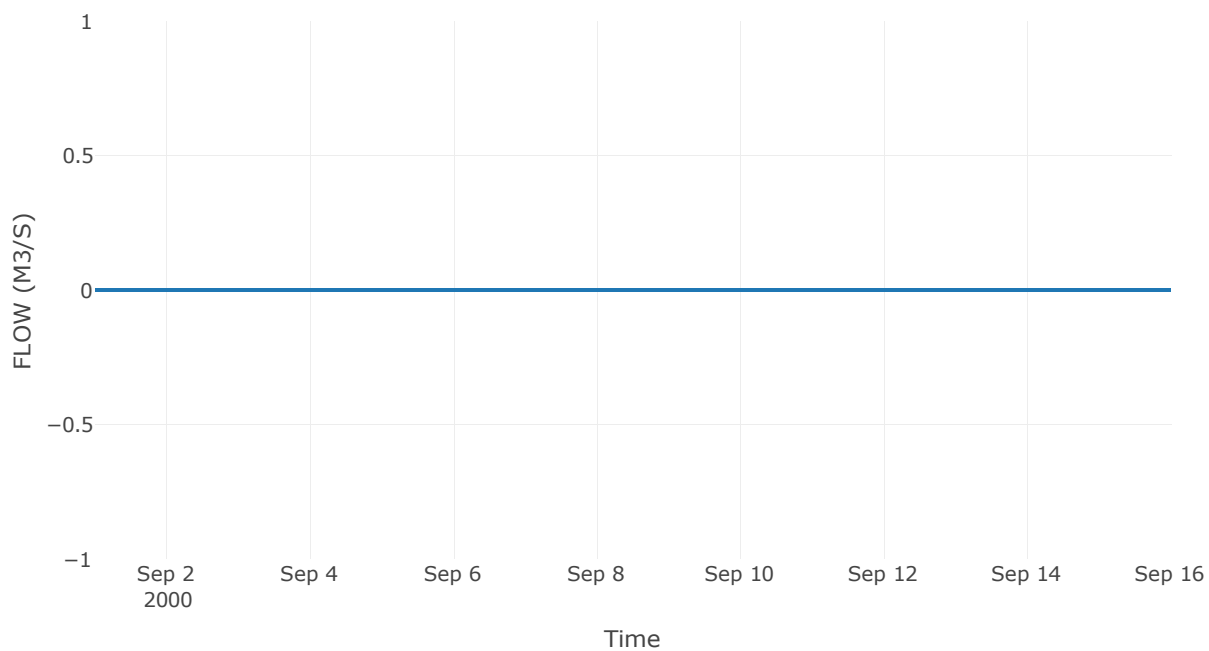
Κατάντη : J5

Μέθοδος Διόδευσης	Χρόνος
Αρχική Μεταβλητή	Combined Inflow
Χρόνος Υστέρησης	50.76

Αποτελέσματα: R95

Παροχή Αιχμής(M3/S)	0
Χρονική στιγμή αιχμής	31Aug2000, 24:00
Εισροή Αιχμής(M3/S)	0
Όγκος Εισροής (M3)	0

Απορροή



Κλάδος: R2011

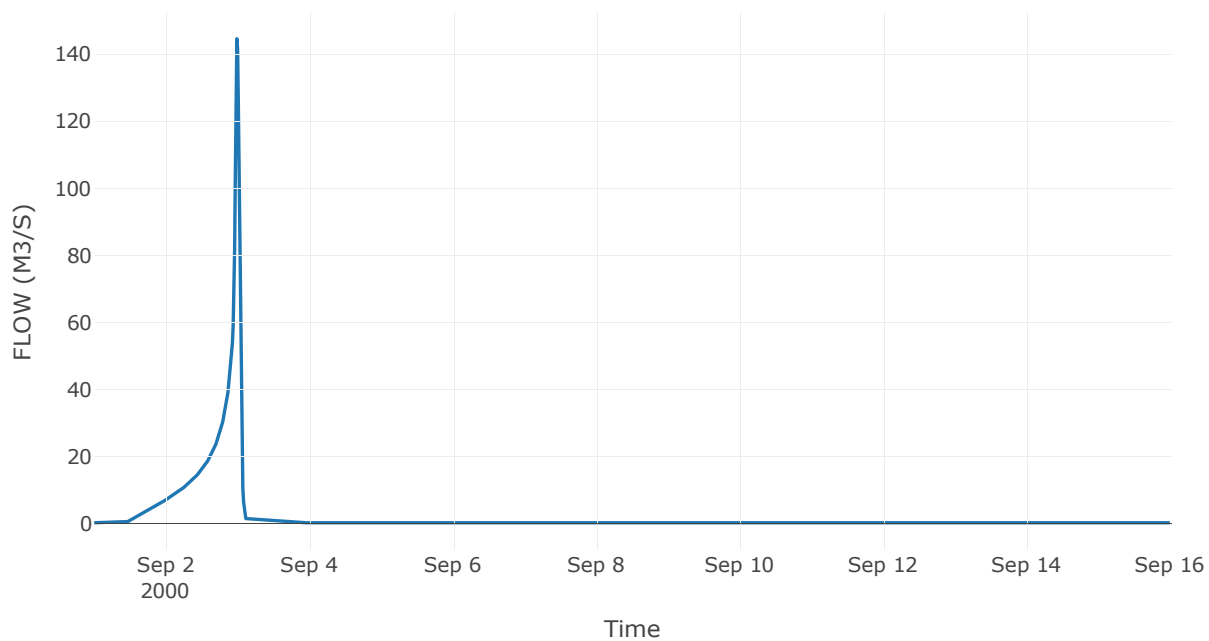
Κατάντη : J11

Μέθοδος Διόδευσης	Χρόνος
Αρχική Μεταβλητή	Combined Inflow
Χρόνος Υστέρησης	7.62

Αποτελέσματα: R2011

Παροχή Αιχμής(M3/S)	144.52
Χρονική στιγμή αιχμής	02Sep2000, 23:45
Όγκος(MM)	283.97
Παροχή Αιχμής Εισόδου (M3/S)	147.32
Όγκος Εισροής(M3)	3.19E6

Απορροή



Κλάδος: R2117

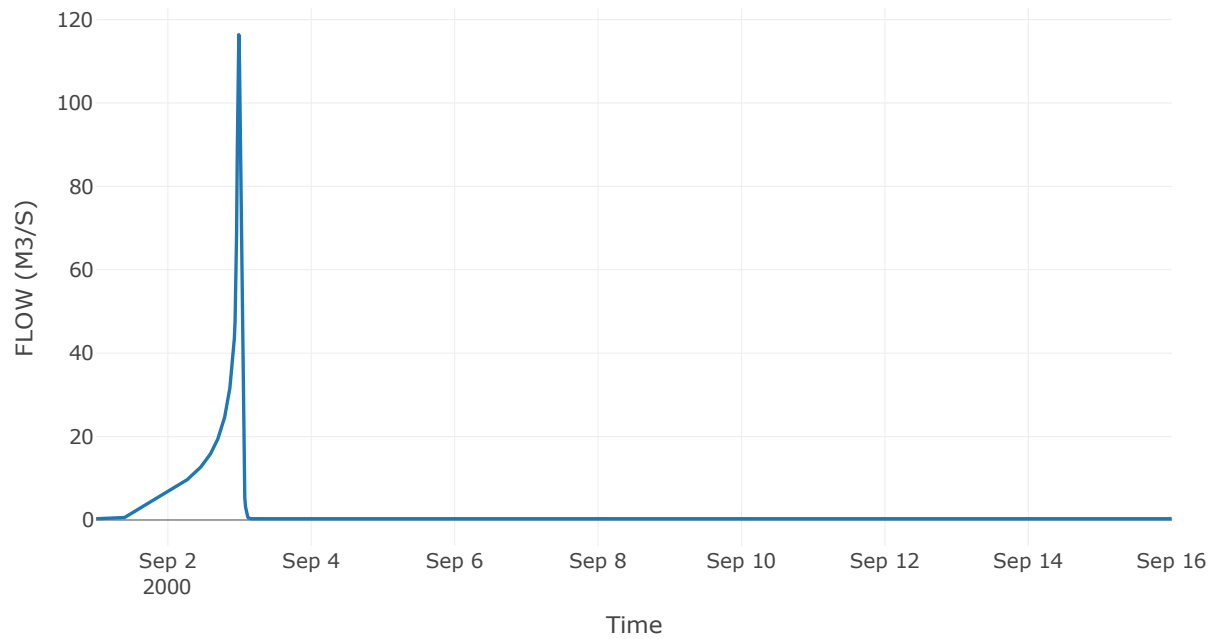
Κατάντη : J17

Μέθοδος Διόδευσης	Χρόνος
Αρχική Μεταβλητή	Combined Inflow
Χρόνος Υστέρησης	7.15

Αποτελέσματα: R2117

Παροχή Αιχμής(M3/S)	116.38
Χρονική στιγμή αιχμής	02Sep2000, 23:45
Όγκος(MM)	303.42
Παροχή Αιχμής Εισόδου (M3/S)	116.82
Όγκος Εισροής(M3)	2.57E6

Απορροή



Κλάδος: R2218

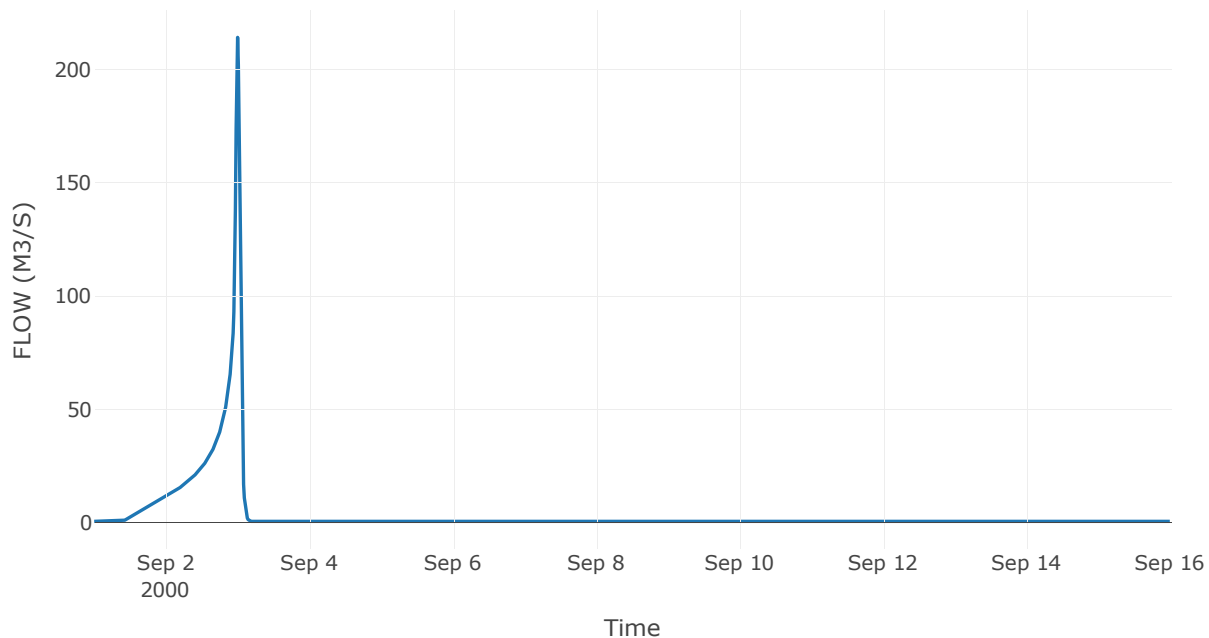
Κατάντη : J18

Μέθοδος Διόδευσης	Muskingum
Αρχική Μεταβλητή	Combined Inflow
Χρόνος Ροής Κ	0.19
Συντελεστής βάρους x	0.2
Πλήθος Υποκλάδων	1

Αποτελέσματα: R2218

Παροχή Αιχμής(M3/S)	214.07
Χρονική στιγμή αιχμής	02Sep2000, 24:00
Όγκος(MM)	296.31
Παροχή Αιχμής Εισόδου (M3/S)	217.77
Όγκος Εισροής(M3)	4.86E6

Απορροή



Κλάδος: R2319

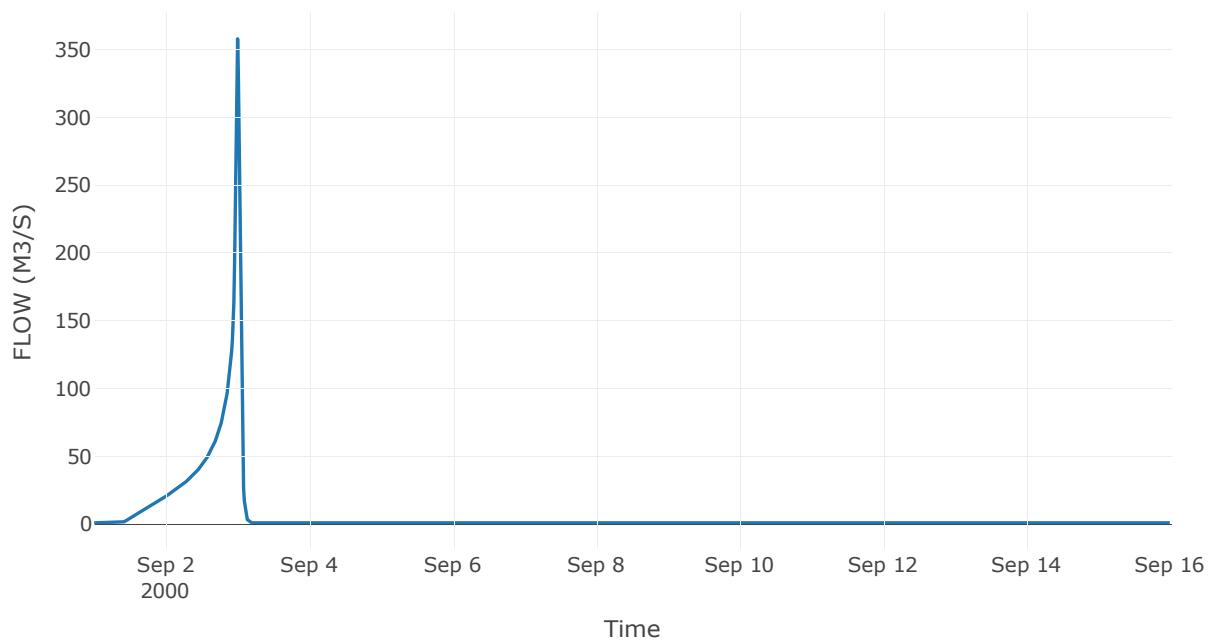
Κατάντη : J19

Μέθοδος Διόδευσης	Χρόνος
Αρχική Μεταβλητή	Combined Inflow
Χρόνος Υστέρησης	8.57

Αποτελέσματα: R2319

Παροχή Αιχμής(M3/S)	357.9
Χρονική στιγμή αιχμής	02Sep2000, 24:00
Όγκος(MM)	293.71
Παροχή Αιχμής Εισόδου (M3/S)	363.01
Όγκος Εισροής(M3)	8.46E6

Απορροή



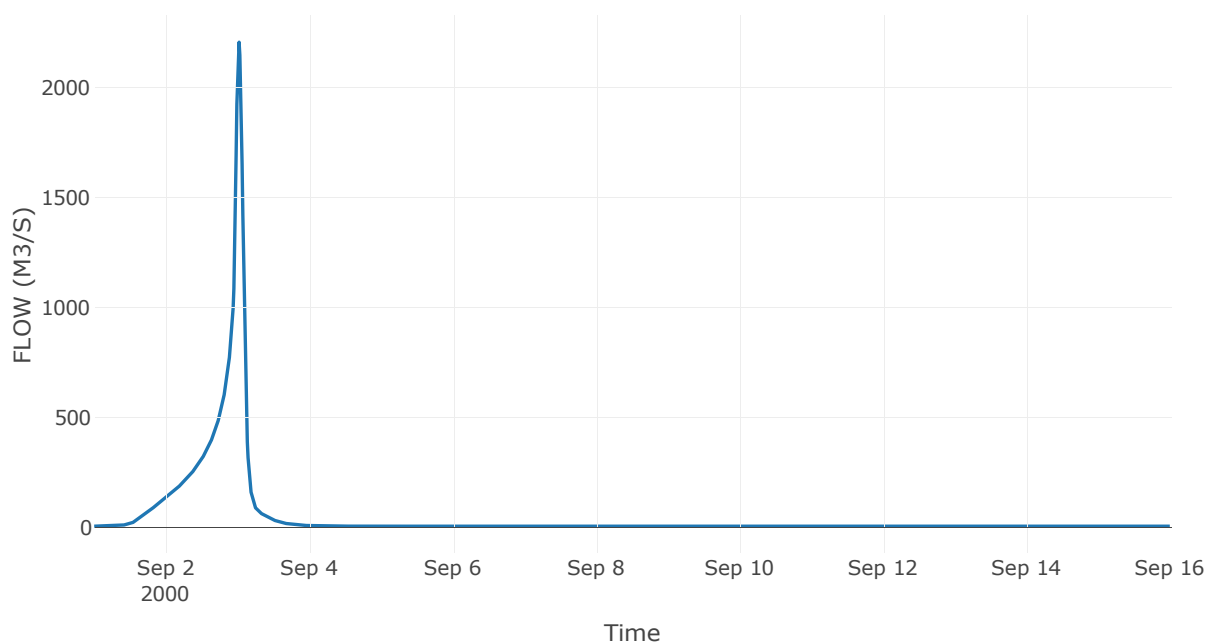
Δεδομένα και υδρογραφήματα σχεδιασμού Κόμβων υδρογραφικού δικτύου

Κόμβος εξόδου: J1

Αποτέλεσμα
τα: J1

Παροχή αιχμής (M3/S)	2207.58
Χρονική στιγμή αιχμής	03Sep2000, 00:30
Όγκος (MM)	287.14

Απορροή



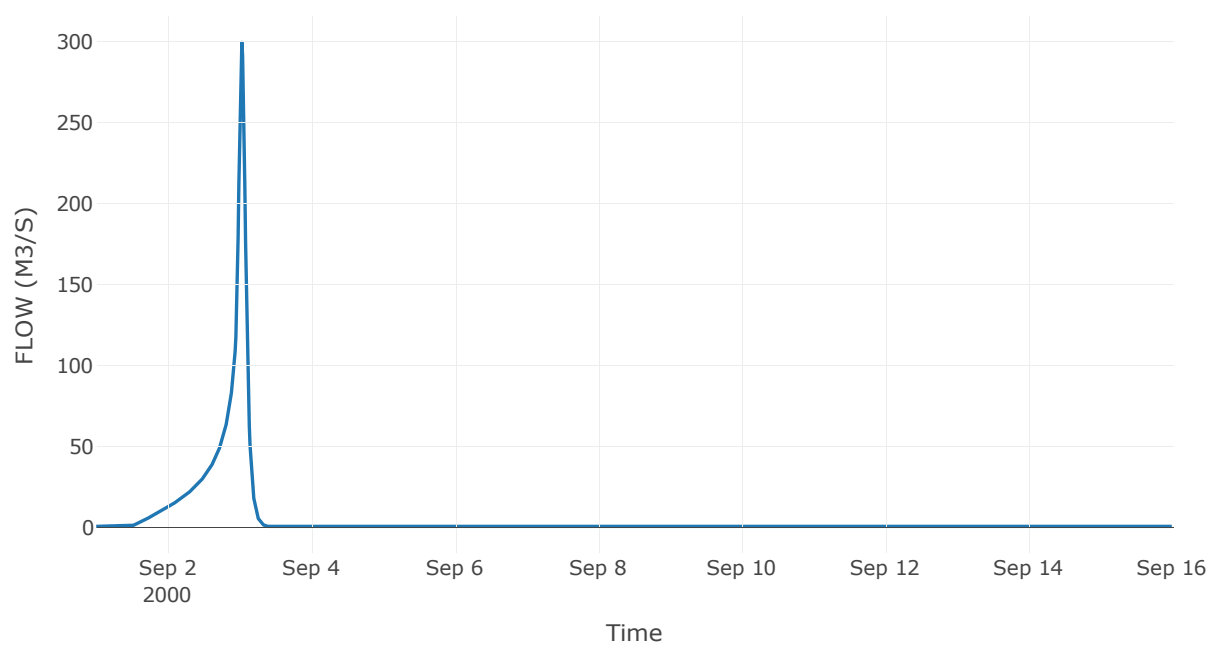
Κόμβος: J2

Κατάντη : R21

Αποτελέσματα: J2

Παροχή Αιχμής(M3/S)	299.77
Χρονική στιγμή αιχμής	03Sep2000, 00:45
Όγκος(MM)	280.13

Απορροή



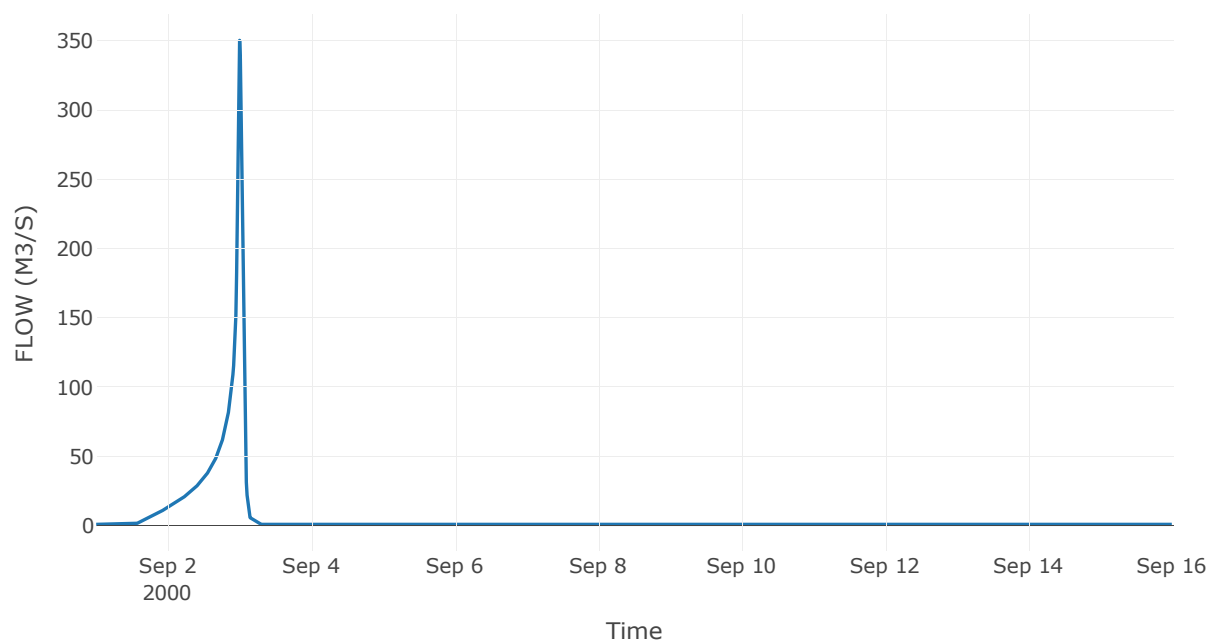
Κόμβος: J3

Κατάντη : R31

Αποτελέσματα: J3

Παροχή Αιχμής(M3/S)	350.24
Χρονική στιγμή αιχμής	02Sep2000, 24:00
Όγκος(MM)	253.63

Απορροή



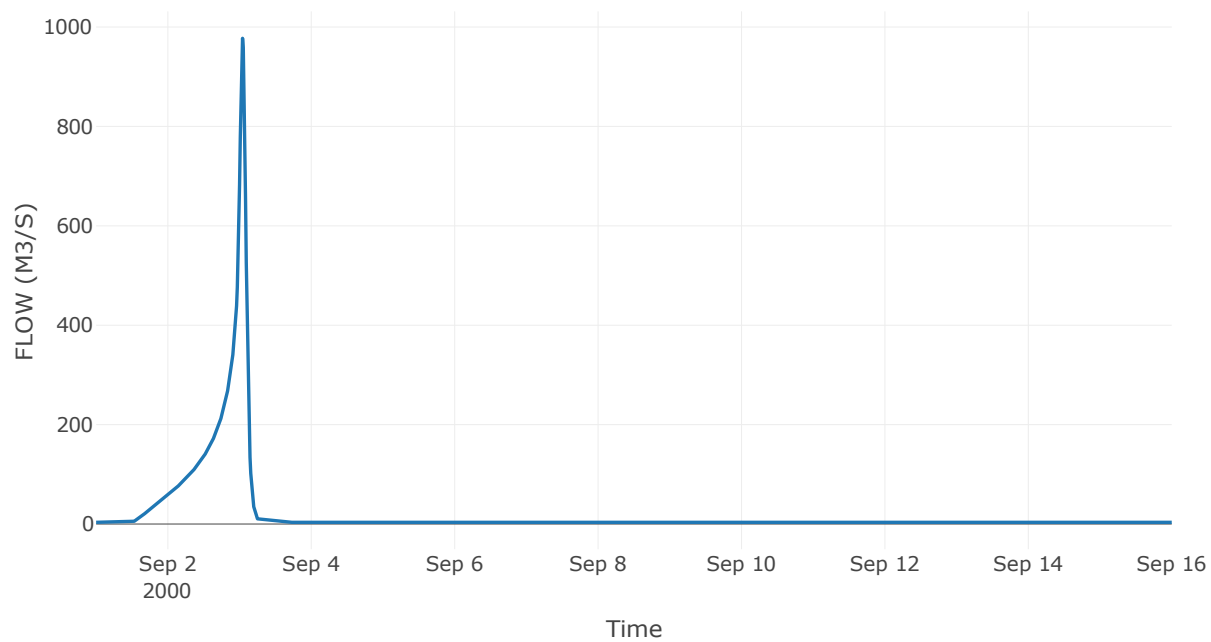
Κόμβος: J4

Κατάντη : R41

Αποτελέσματα: J4

Παροχή Αιχμής(M3/S)	977.34
Χρονική στιγμή αιχμής	03Sep2000, 01:00
Όγκος(MM)	291.66

Απορροή



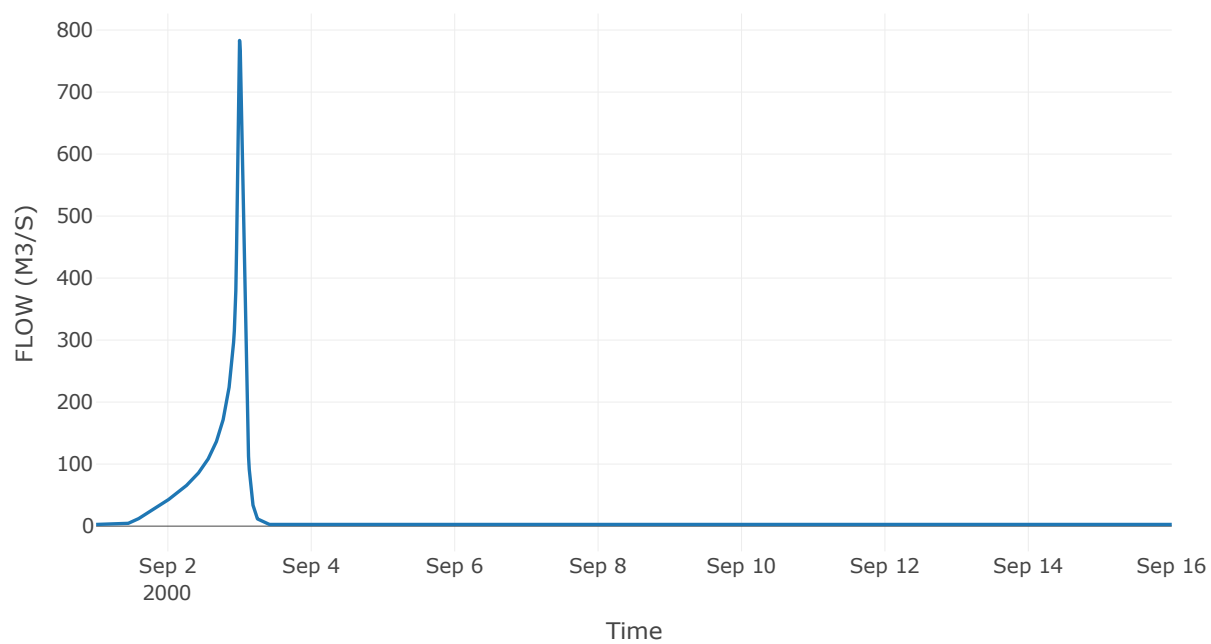
Κόμβος: J5

Κατάντη : R51

Αποτελέσματα: J5

Παροχή Αιχμής(M3/S)	783.26
Χρονική στιγμή αιχμής	02Sep2000, 24:00
Όγκος(MM)	279.1

Απορροή

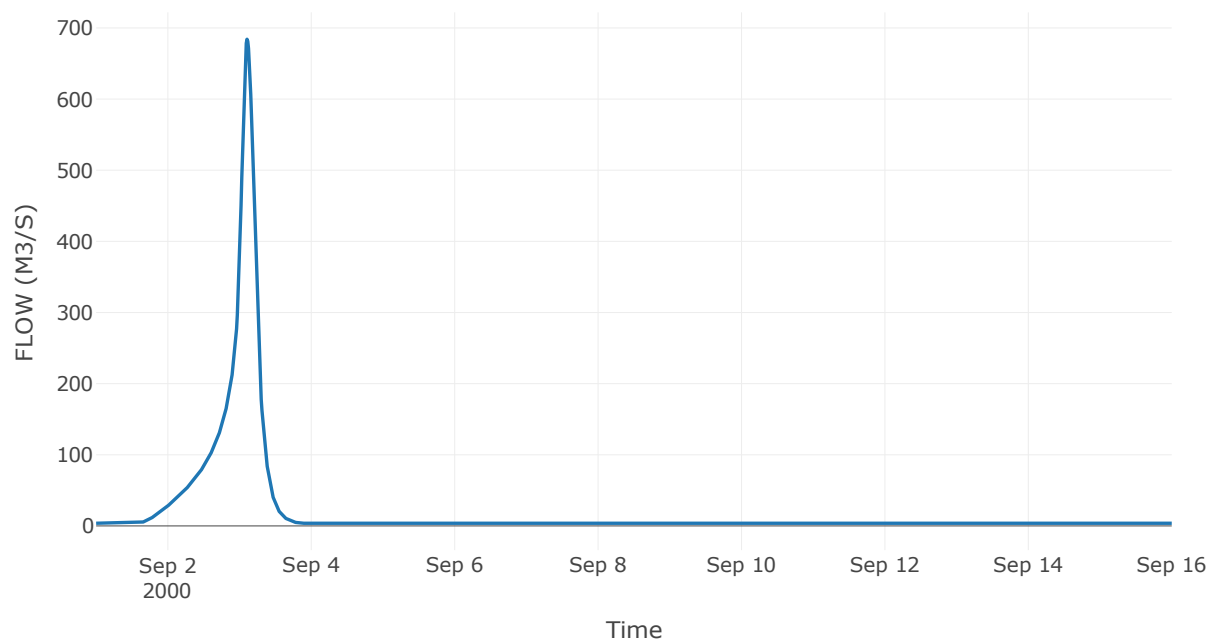


Κόμβος εξόδου: J6

Αποτελέσμα
α: J6

Παροχή αιχμής (M3/S)	684.13
Χρονική στιγμή αιχμής	03Sep2000, 02:30
Όγκος (MM)	263.61

Απορροή



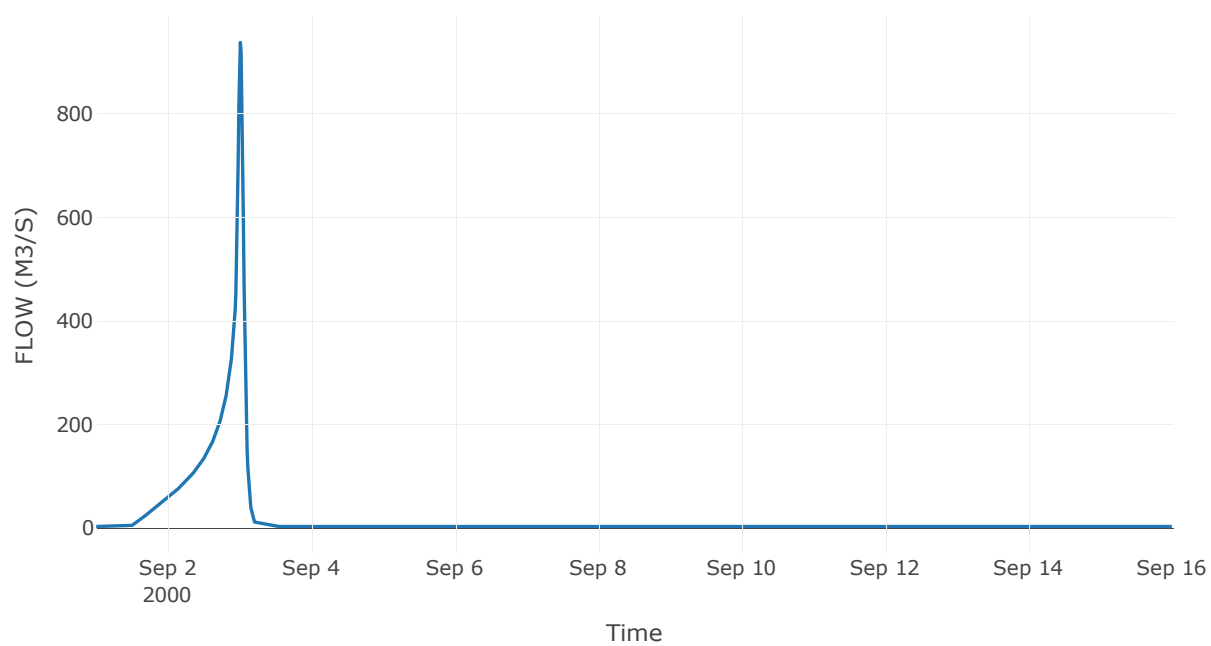
Κόμβος: J7

Κατάντη : R74

Αποτελέσματα: J7

Παροχή Αιχμής(M3/S)	938.26
Χρονική στιγμή αιχμής	03Sep2000, 00:15
Όγκος(MM)	293.74

Απορροή



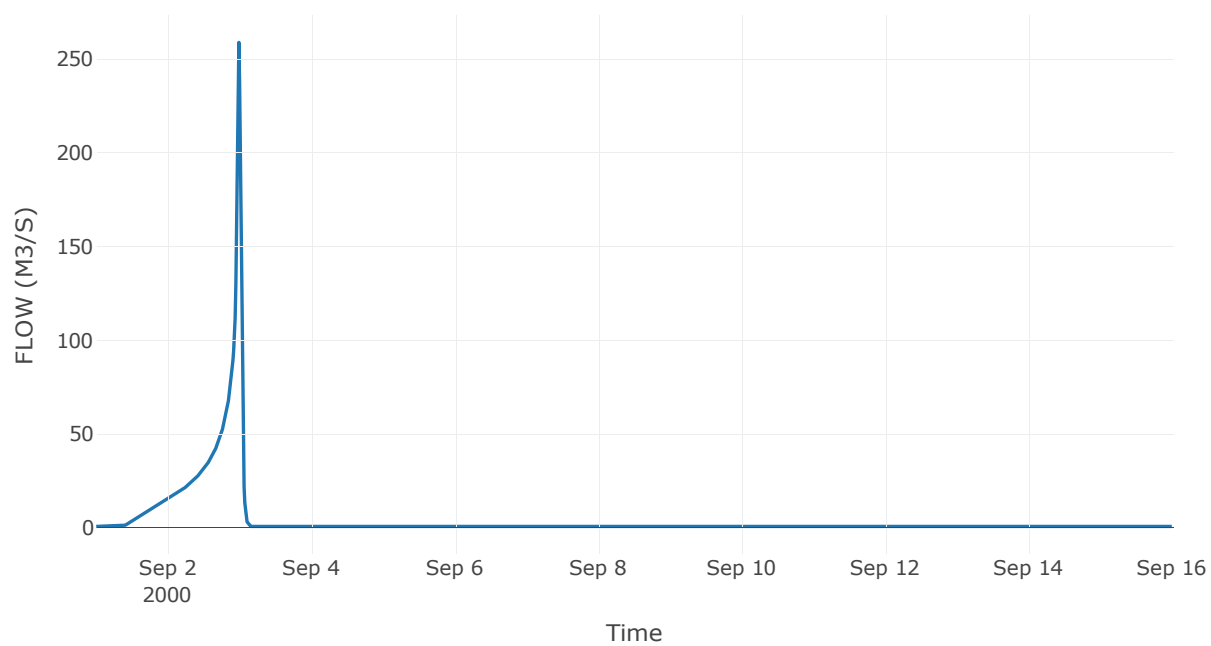
Κόμβος: J8

Κατάντη : R85

Αποτελέσματα: J8

Παροχή Αιχμής(M3/S)	258.87
Χρονική στιγμή αιχμής	02Sep2000, 23:45
Όγκος(MM)	290.87

Απορροή



Κόμβος: J9

Κατάντη : R95

Αποτελέσματα: J9

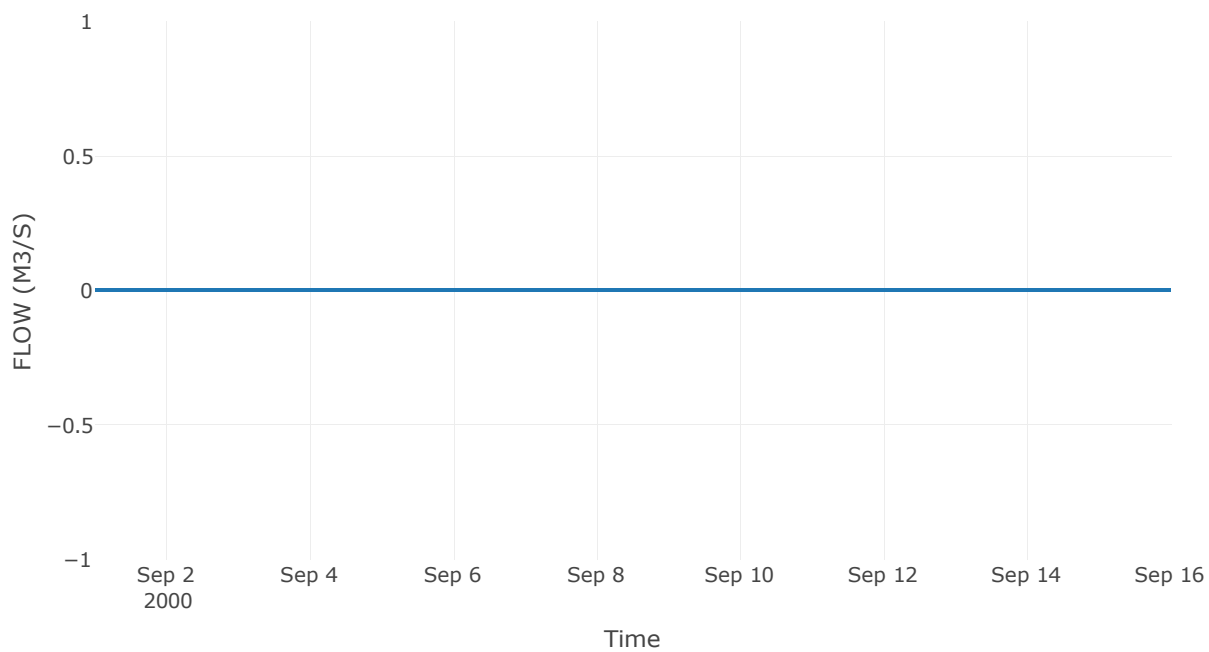
Παροχή Αιχμής(M3/S)

0

Χρονική στιγμή αιχμής

31Aug2000, 24:00

Απορροή

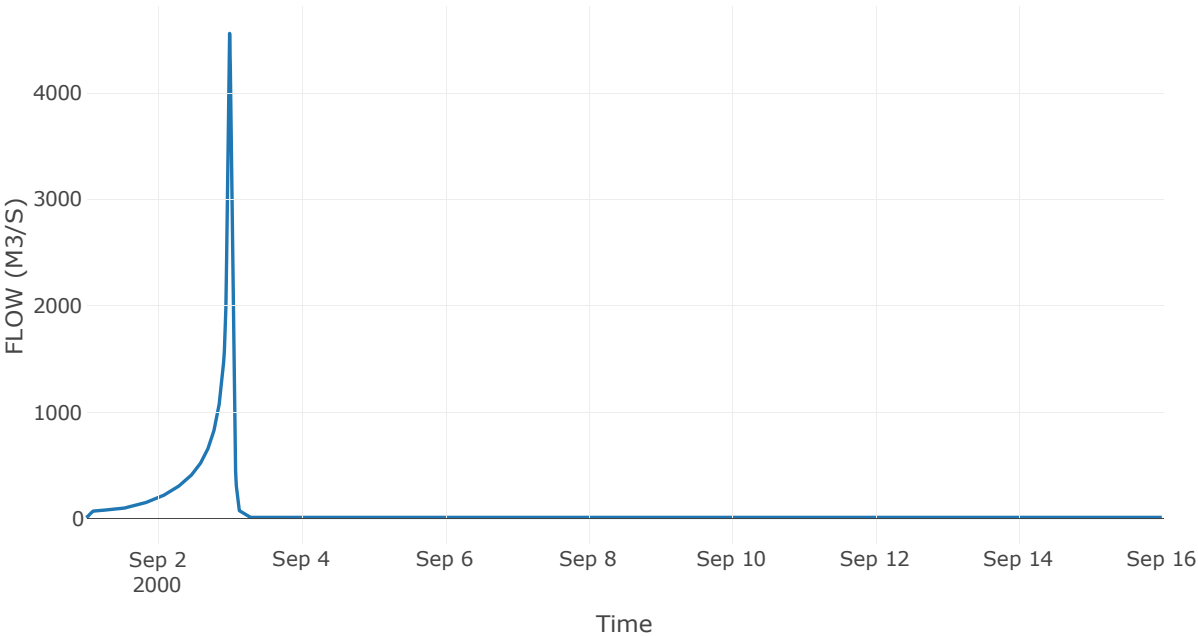


Κόμβος εξόδου: J10

Αποτελέσματ
α: J10

Παροχή αιχμής (M3/S)	4559.76
Χρονική στιγμή αιχμής	02Sep2000, 24:00
Όγκος (MM)	270.79

Απορροή



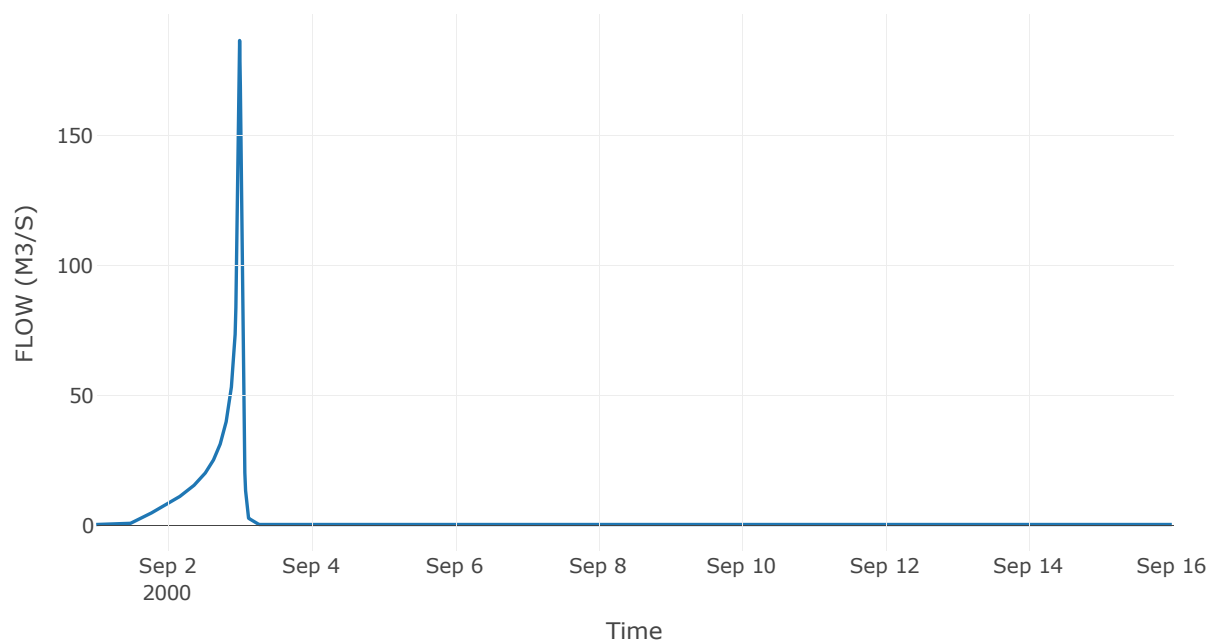
Κόμβος: J11

Κατάντη : R1110

Αποτελέσματα: J11

Παροχή Αιχμής(M3/S)	186.71
Χρονική στιγμή αιχμής	02Sep2000, 24:00
Όγκος(MM)	278.13

Απορροή



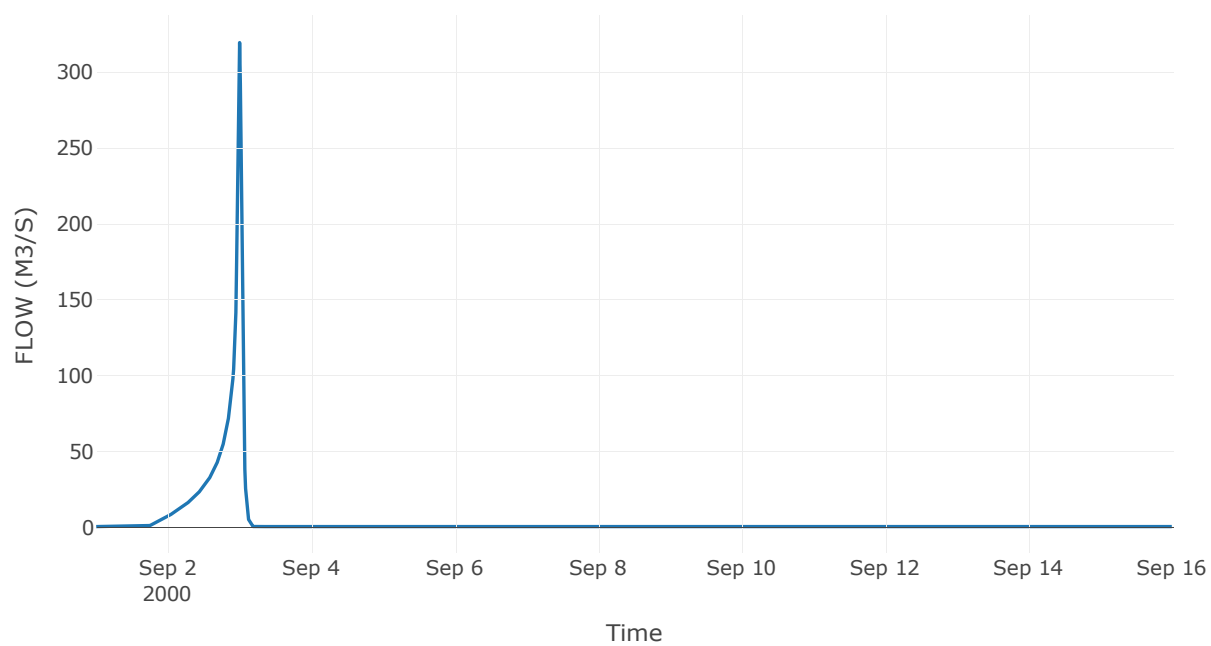
Κόμβος: J12

Κατάντη : R1210

Αποτελέσματα: J12

Παροχή Αιχμής(M3/S)	319.63
Χρονική στιγμή αιχμής	02Sep2000, 24:00
Όγκος(MM)	215.67

Απορροή



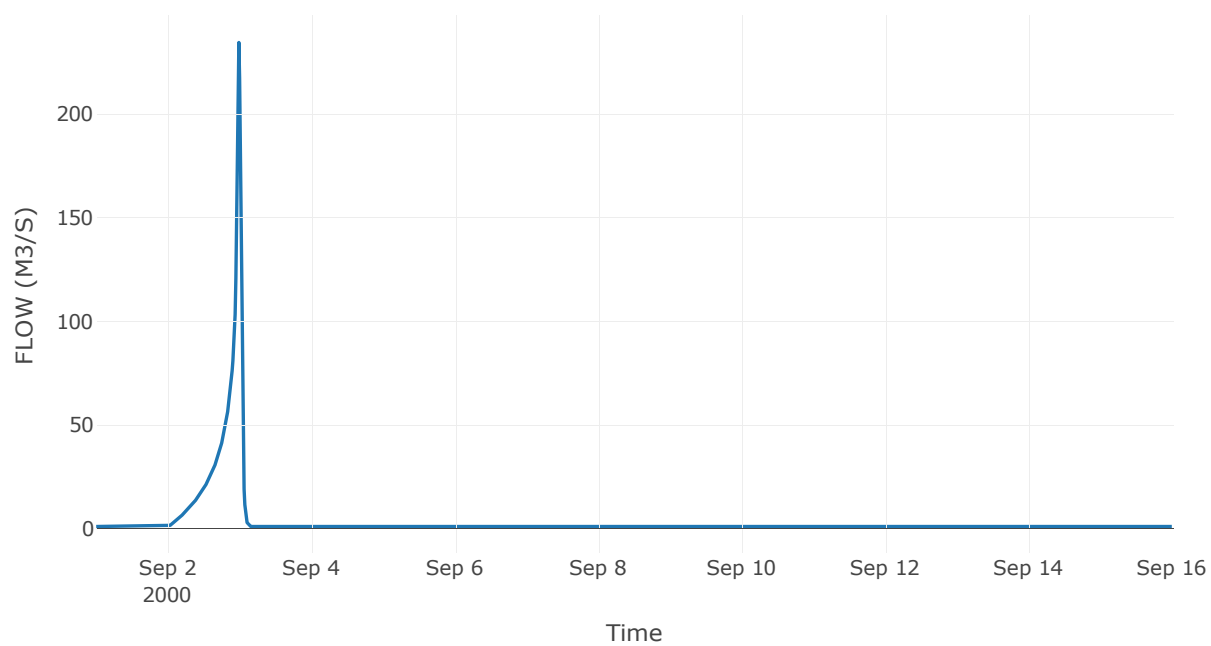
Κόμβος: J13

Κατάντη : R1310

Αποτελέσματα: J13

Παροχή Αιχμής(M3/S)	234.58
Χρονική στιγμή αιχμής	02Sep2000, 23:45
Όγκος(MM)	154.22

Απορροή



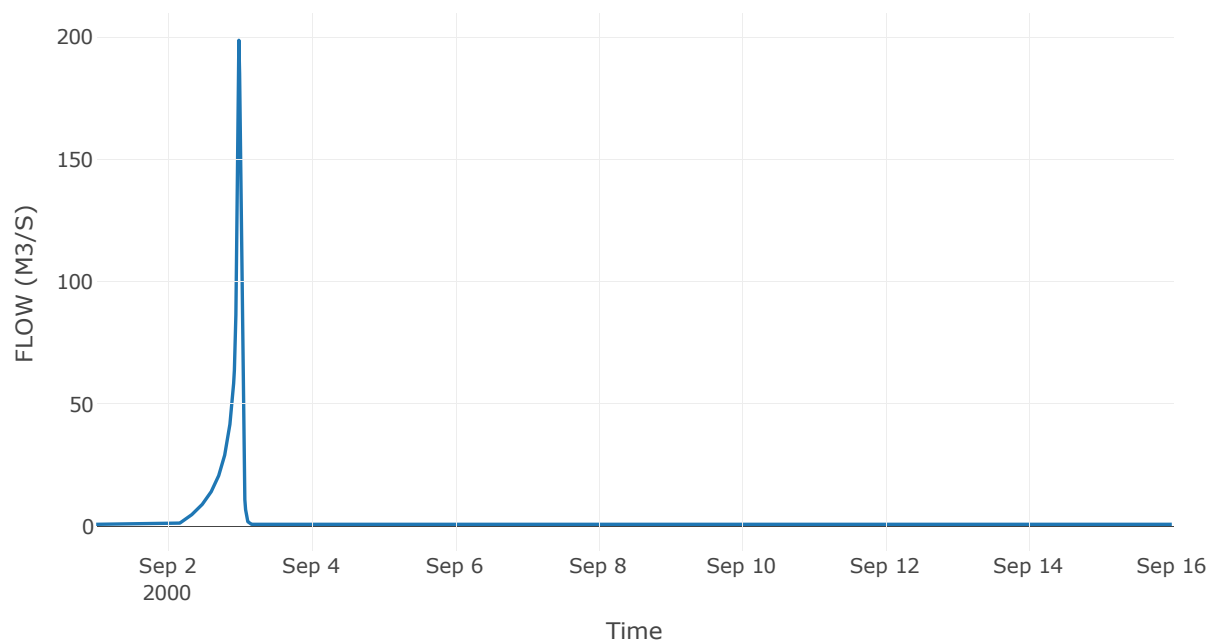
Κόμβος: J14

Κατάντη : R1410

Αποτελέσματα: J14

Παροχή Αιχμής(M3/S)	198.66
Χρονική στιγμή αιχμής	02Sep2000, 23:45
Όγκος(MM)	141.92

Απορροή



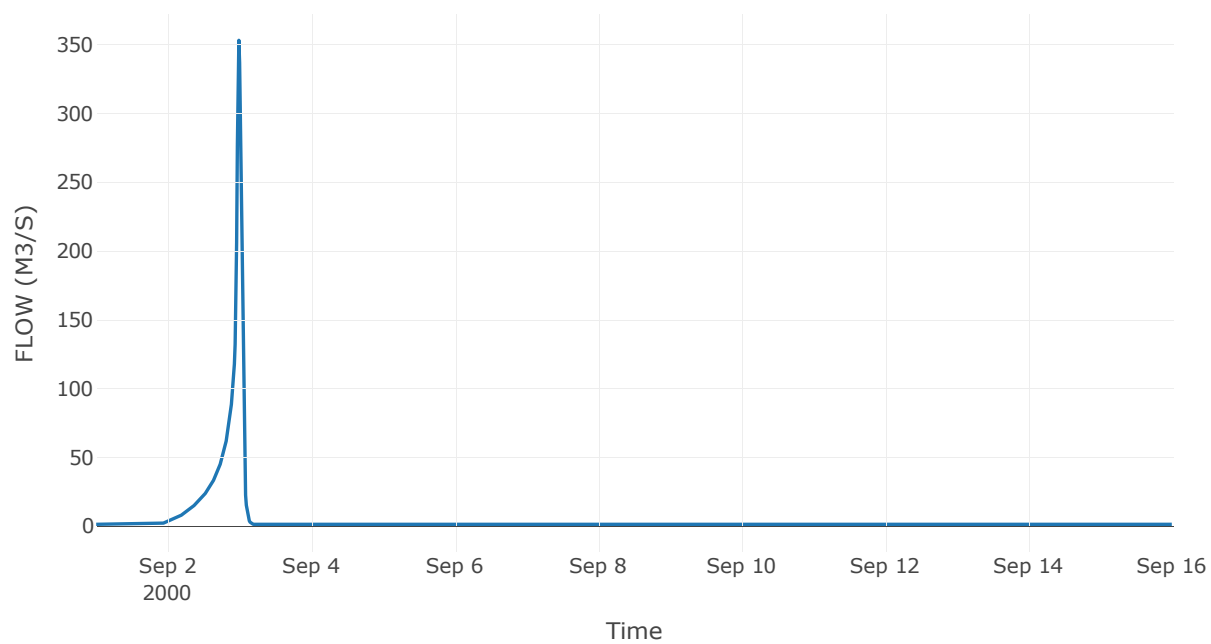
Κόμβος: J15

Κατάντη : R1510

Αποτελέσματα: J15

Παροχή Αιχμής(M3/S)	352.99
Χρονική στιγμή αιχμής	02Sep2000, 23:45
Όγκος(MM)	177.08

Απορροή



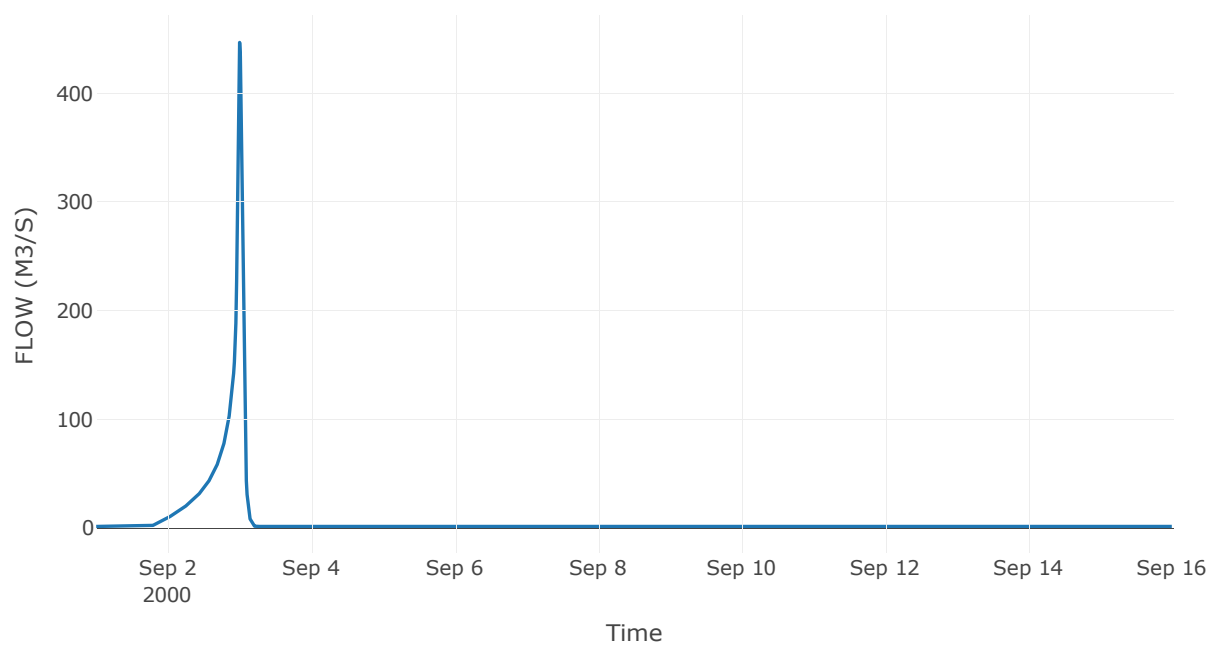
Κόμβος: J16

Κατάντη : R1610

Αποτελέσματα: J16

Παροχή Αιχμής(M3/S)	446.8
Χρονική στιγμή αιχμής	02Sep2000, 24:00
Όγκος(MM)	218.12

Απορροή



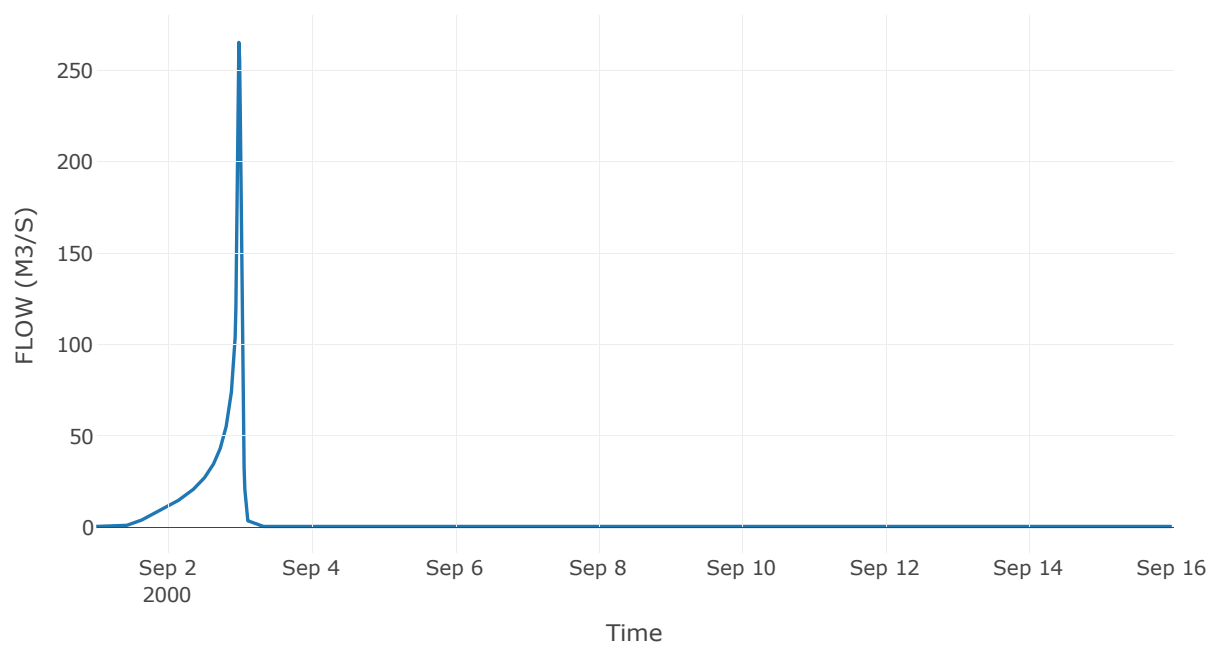
Κόμβος: J17

Κατάντη : R1710

Αποτελέσματα: J17

Παροχή Αιχμής(M3/S)	265.41
Χρονική στιγμή αιχμής	02Sep2000, 23:45
Όγκος(MM)	282

Απορροή



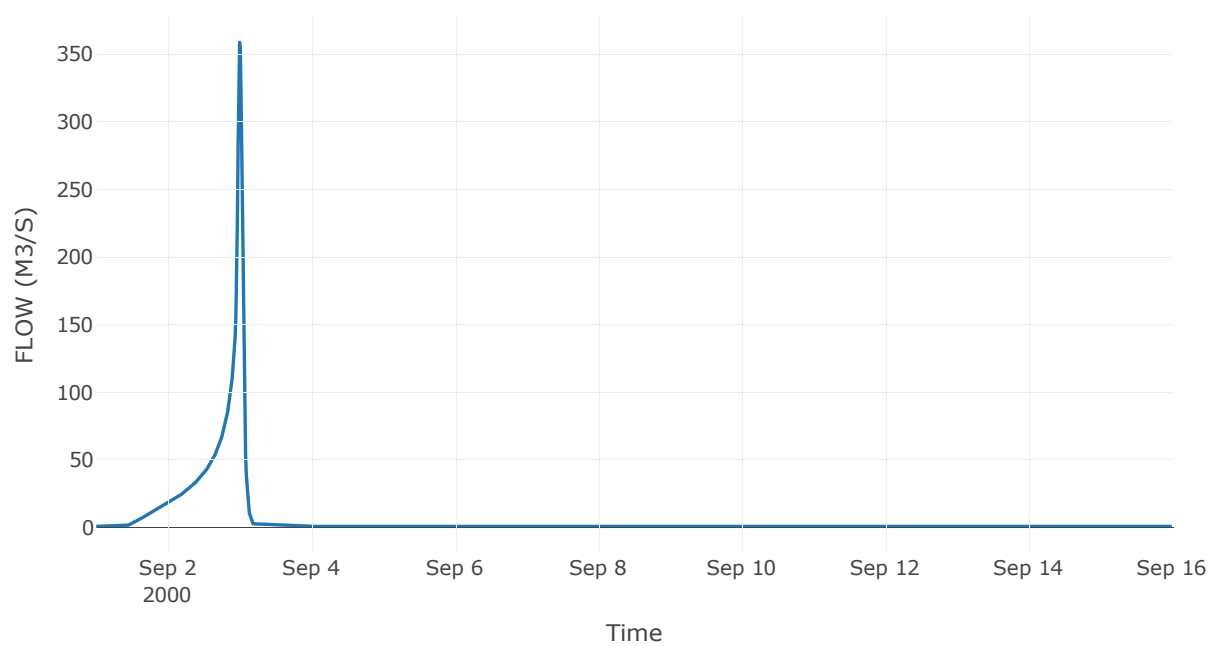
Κόμβος: J18

Κατάντη : R1810

Αποτελέσματα: J18

Παροχή Αιχμής(M3/S)	358.57
Χρονική στιγμή αιχμής	02Sep2000, 24:00
Όγκος(MM)	291.49

Απορροή



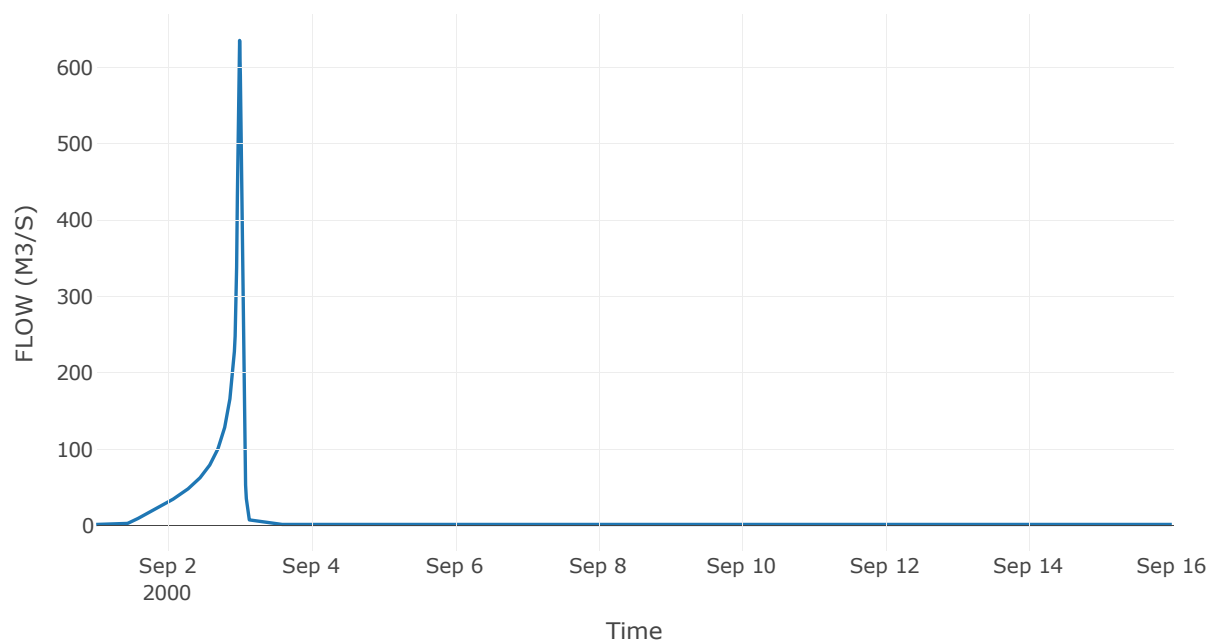
Κόμβος: J19

Κατάντη : R1910

Αποτελέσματα: J19

Παροχή Αιχμής(M3/S)	635.62
Χρονική στιγμή αιχμής	02Sep2000, 24:00
Όγκος(MM)	285.91

Απορροή



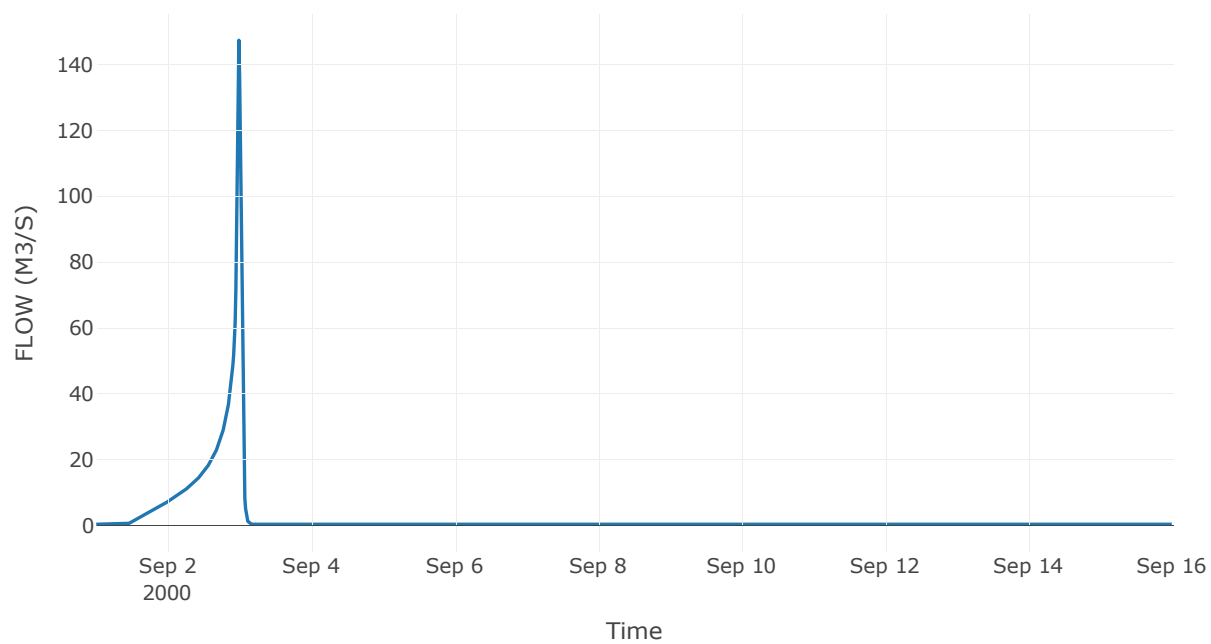
Κόμβος: J20

Κατάντη : R2011

Αποτελέσματα: J20

Παροχή Αιχμής(M3/S)	147.32
Χρονική στιγμή αιχμής	02Sep2000, 23:45
Όγκος(MM)	283.97

Απορροή



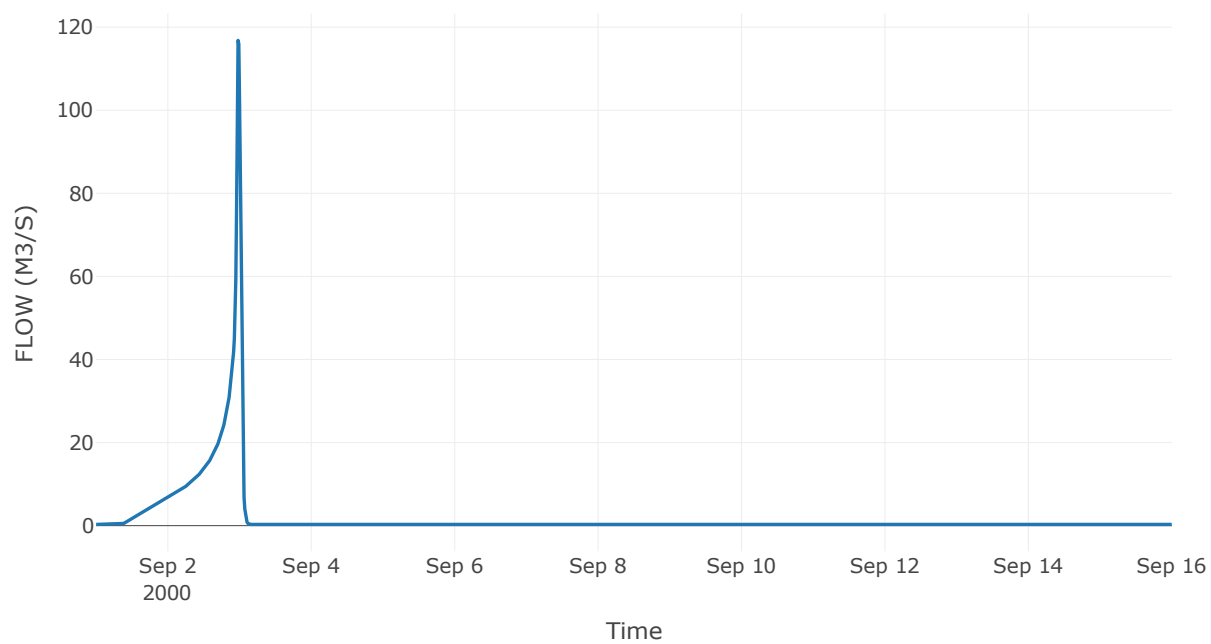
Κόμβος: J21

Κατάντη : R2117

Αποτελέσματα: J21

Παροχή Αιχμής(M3/S)	116.82
Χρονική στιγμή αιχμής	02Sep2000, 23:30
Όγκος(MM)	303.42

Απορροή



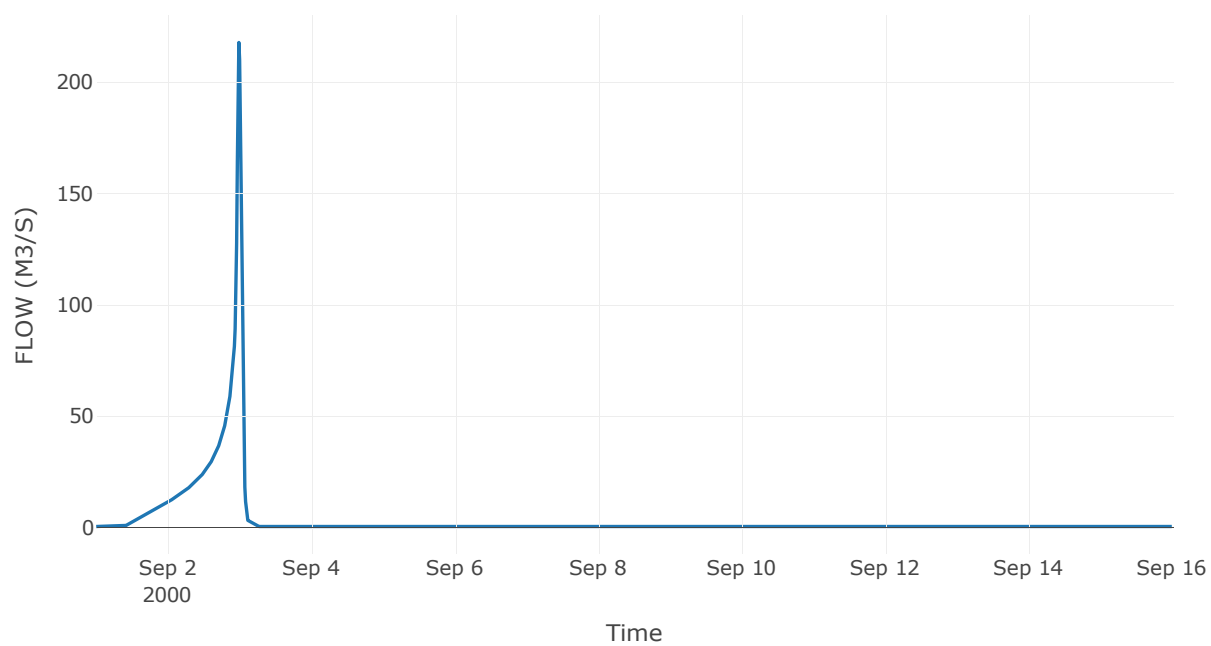
Κόμβος: J22

Κατάντη : R2218

Αποτελέσματα: J22

Παροχή Αιχμής(M3/S)	217.77
Χρονική στιγμή αιχμής	02Sep2000, 23:45
Όγκος(MM)	296.31

Απορροή



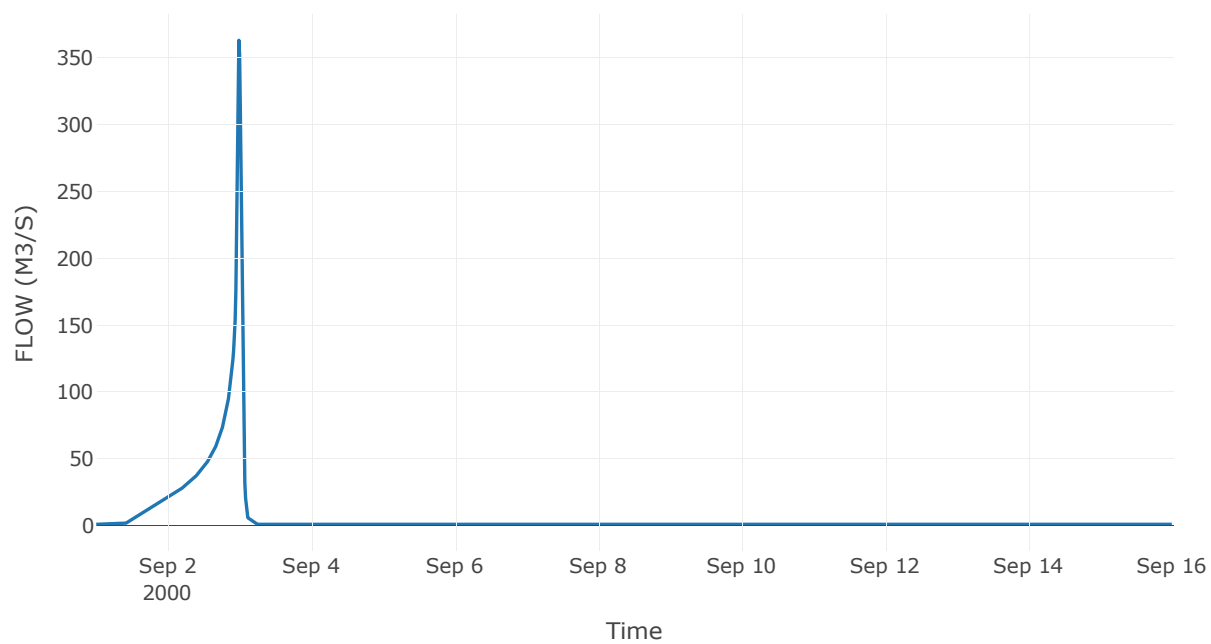
Κόμβος: J23

Κατάντη : R2319

Αποτελέσματα: J23

Παροχή Αιχμής(M3/S)	363.01
Χρονική στιγμή αιχμής	02Sep2000, 23:45
Όγκος(MM)	293.71

Απορροή



10. Δεδομένα εισόδου και αποτελέσματα υδρολογικού σεναρίου $T=1000U$

10.1 Αποτελέσματα, υετογραφήματα και υδρογραφήματα σχεδιασμού υπολεκανών

Υπολεκάνη: EL0415FL5001

Έκταση (KM2) : 13.05

Κατάνη : J1

Μέθοδος Απωλειών: SCS

Ποσοστό αδιαπέρατης επιφάνειας	100
Αριθμός Καμπύλης Απορροής-CN	99
Αρχικές Απώλειες	0.09

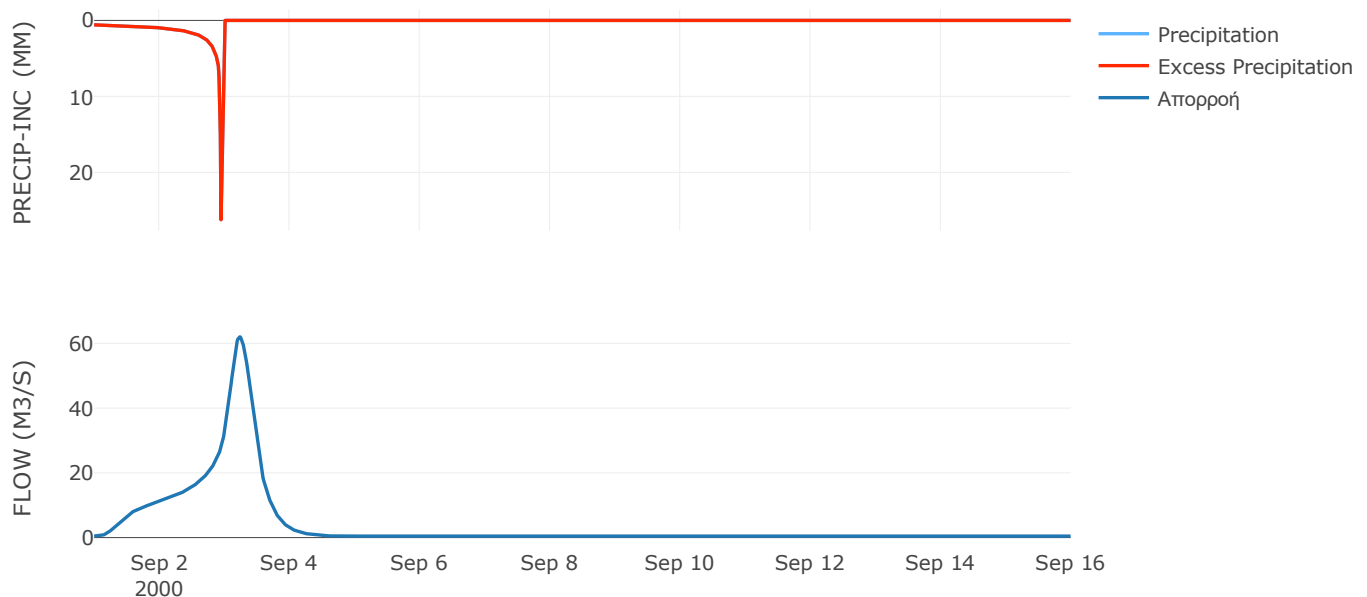
Μέθοδος
Μετασχηματισμού: SCS

Χρόνος Υστέρησης	485.6
------------------	-------

Αποτελέσματα:
EL0415FL5001

Παροχή αιχμής (M3/S)	62.03
Χρονική στιγμή αιχμής	03Sep2000, 05:45
Όγκος (MM)	392.64
Όγκος βροχόπτωσης (M3)	4.53E6
Όγκος απωλειών (M3)	0
Ενεργός Όγκος (M3)	4.53E6
Όγκος άμεσης απορροής (M3)	4.53E6
Όγκος βασικής απορροής (M3)	5.92E5

Βροχόπτωση και Απορροή



Υπολεκάνη: EL0415FL5002

Έκταση (KM2) : 107.53

Κατάντη : J6

Μέθοδος Απωλειών: SCS

Ποσοστό αδιαπέρατης επιφάνειας	0
Αριθμός Καμπύλης Απορροής-CN	90.67
Αρχικές Απώλειες	5.23

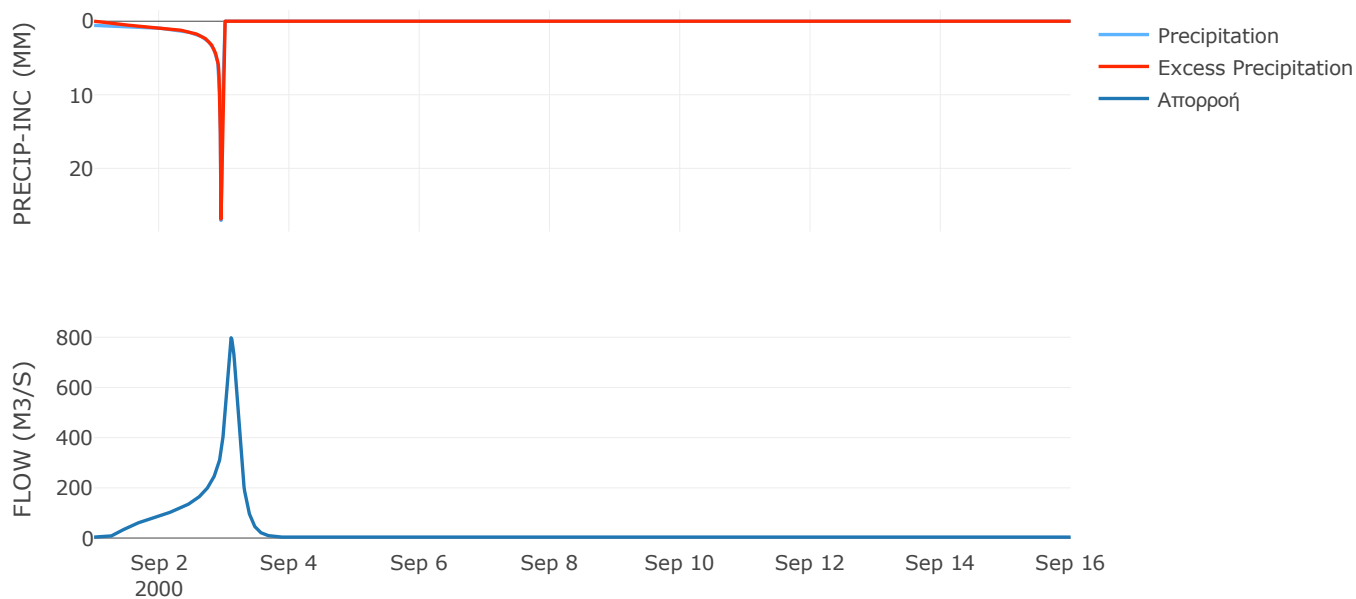
Μέθοδος
Μετασχηματισμού: SCS

Χρόνος Υστέρησης	242.85
------------------	--------

Αποτελέσματα:
EL0415FL5002

Παροχή αιχμής (M3/S)	797.92
Χρονική στιγμή αιχμής	03Sep2000, 02:30
Όγκος (MM)	361.34
Όγκος βροχόπτωσης (M3)	3.71E7
Όγκος απωλειών (M3)	3.17E6
Ενεργός Όγκος (M3)	3.4E7
Όγκος άμεσης απορροής (M3)	3.4E7
Όγκος βασικής απορροής (M3)	4.88E6

Βροχόπτωση και Απορροή



Υπολεκάνη: EL0415FL5003

Έκταση (KM2) : 28.37

Κατάντη : J2

Μέθοδος Απωλειών: SCS

Ποσοστό αδιαπέρατης επιφάνειας	0
Αριθμός Καμπύλης Απορροής-CN	91.55
Αρχικές Απώλειες	4.69

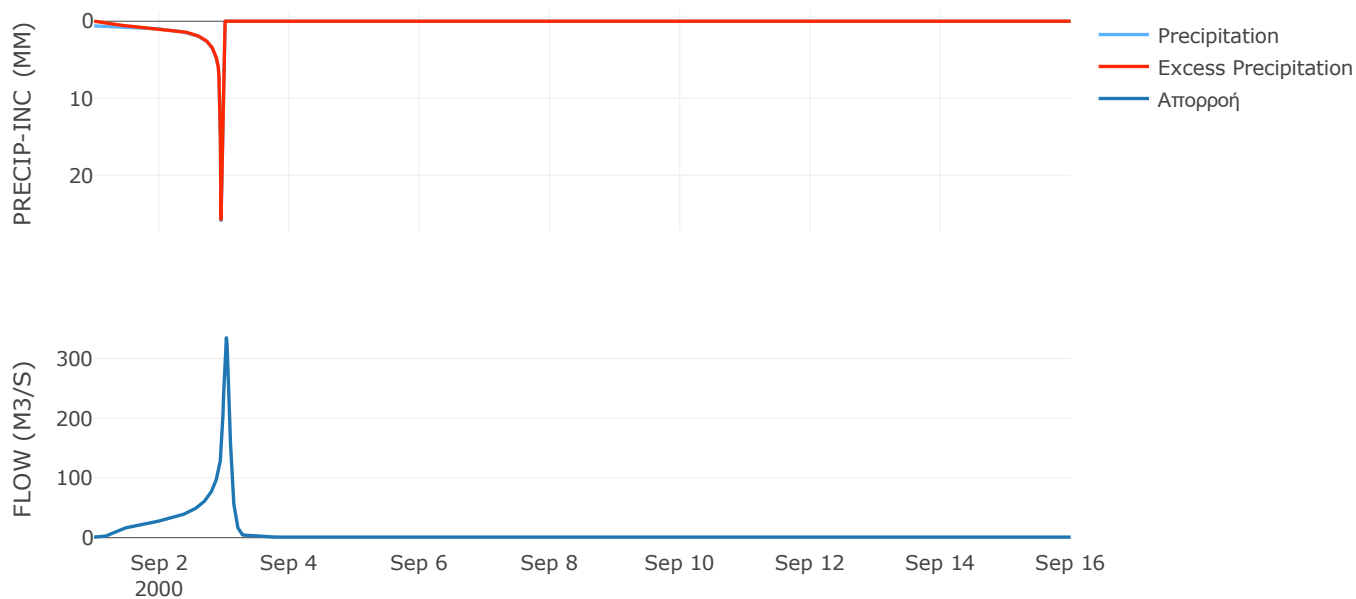
Μέθοδος
Μετασχηματισμού: SCS

Χρόνος Υστέρησης	108.83
------------------	--------

Αποτελέσματα:
EL0415FL5003

Παροχή αιχμής (M3/S)	334.84
Χρονική στιγμή αιχμής	03Sep2000, 00:45
Όγκος (MM)	371.32
Όγκος βροχόπτωσης (M3)	1E7
Όγκος απωλειών (M3)	7.56E5
Ενεργός Όγκος (M3)	9.25E6
Όγκος άμεσης απορροής (M3)	9.25E6
Όγκος βασικής απορροής (M3)	1.29E6

Βροχόπτωση και Απορροή



Υπολεκάνη: EL0415FL5004

Έκταση (KM2) : 30.04

Κατάντη : J3

Μέθοδος Απωλειών: SCS

Ποσοστό αδιαπέρατης επιφάνειας	0
Αριθμός Καμπύλης Απορροής-CN	88.33
Αρχικές Απώλειες	6.71

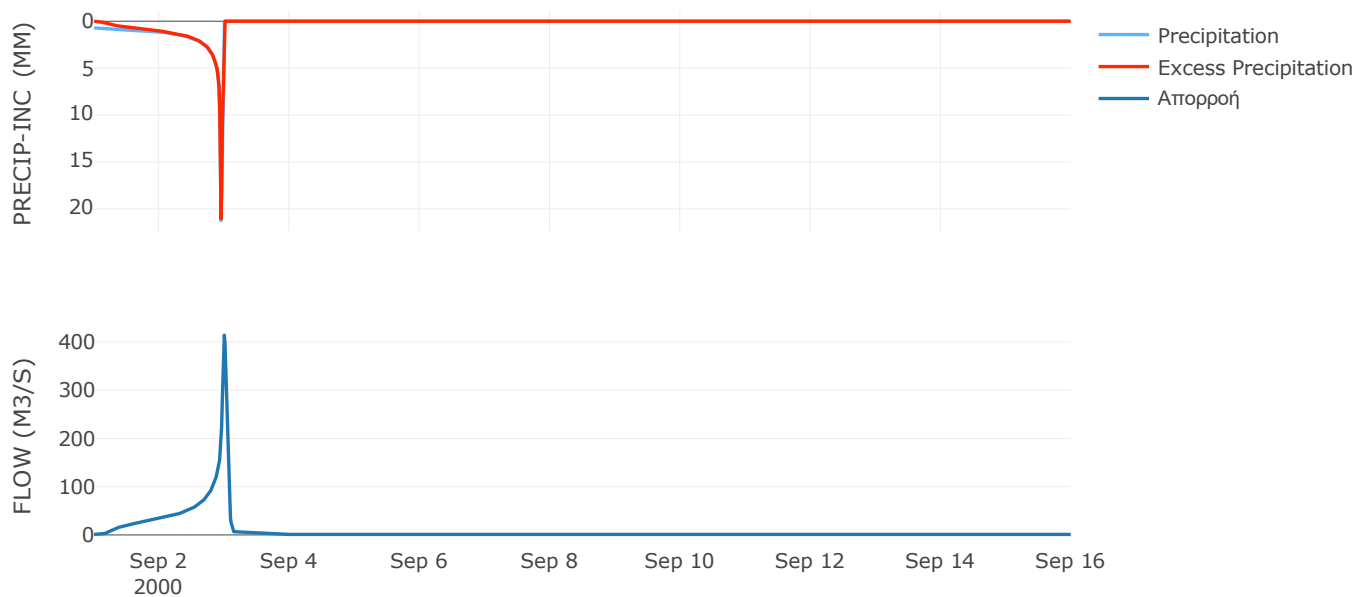
Μέθοδος
Μετασχηματισμού: SCS

Χρόνος Υστέρησης	59.92
------------------	-------

Αποτελέσματα:
EL0415FL5004

Παροχή αιχμής (M3/S)	414.16
Χρονική στιγμή αιχμής	02Sep2000, 24:00
Όγκος (MM)	370.5
Όγκος βροχόπτωσης (M3)	1.09E7
Όγκος απωλειών (M3)	1.12E6
Ενεργός Όγκος (M3)	9.77E6
Όγκος άμεσης απορροής (M3)	9.77E6
Όγκος βασικής απορροής (M3)	1.36E6

Βροχόπτωση και Απορροή



Υπολεκάνη: EL0415FL5005

Έκταση (KM2) : 15.38

Κατάντη : J5

Μέθοδος Απωλειών: SCS

Ποσοστό αδιαπέρατης επιφάνειας	0
Αριθμός Καμπύλης Απορροής-CN	90.44
Αρχικές Απώλειες	5.37

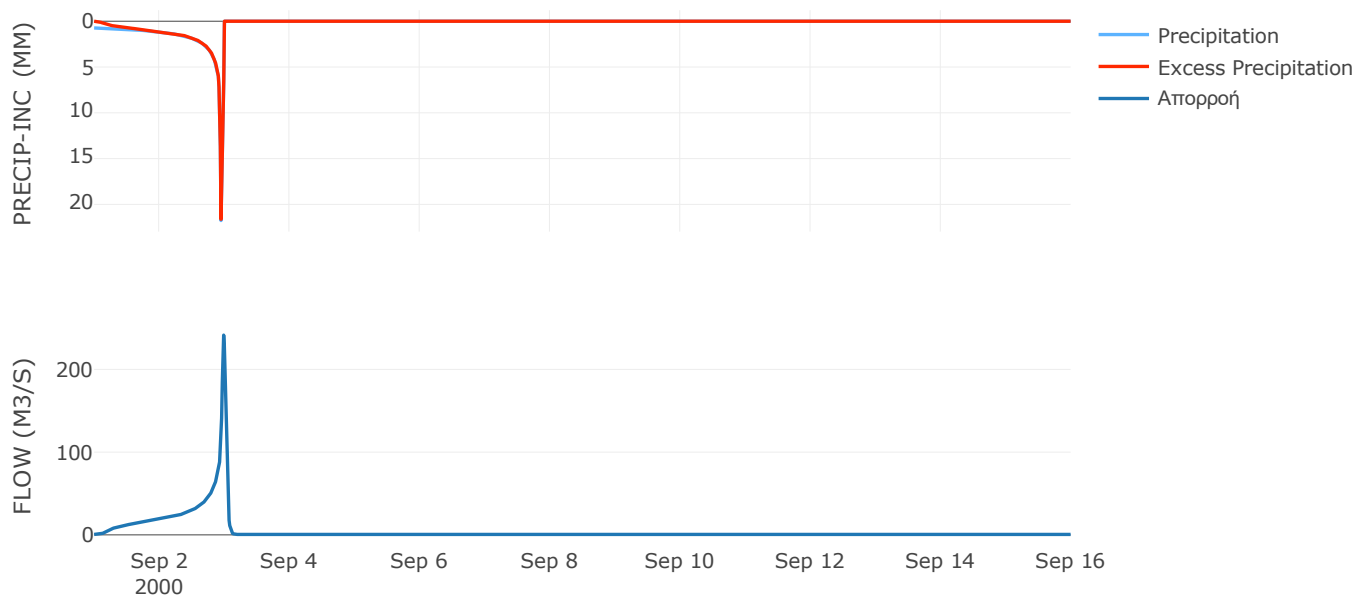
Μέθοδος
Μετασχηματισμού: SCS

Χρόνος Υστέρησης	45.08
------------------	-------

Αποτελέσματα:
EL0415FL5005

Παροχή αιχμής (M3/S)	241.47
Χρονική στιγμή αιχμής	02Sep2000, 23:45
Όγκος (MM)	388.01
Όγκος βροχόπτωσης (M3)	5.74E6
Όγκος απωλειών (M3)	4.68E5
Ενεργός Όγκος (M3)	5.27E6
Όγκος άμεσης απορροής (M3)	5.27E6
Όγκος βασικής απορροής (M3)	6.98E5

Βροχόπτωση και Απορροή



Υπολεκάνη: EL0415FL5006

Έκταση (KM2) : 8.04

Κατάντη : J4

Μέθοδος Απωλειών: SCS

Ποσοστό αδιαπέρατης επιφάνειας	0
Αριθμός Καμπύλης Απορροής-CN	90.48
Αρχικές Απώλειες	5.34

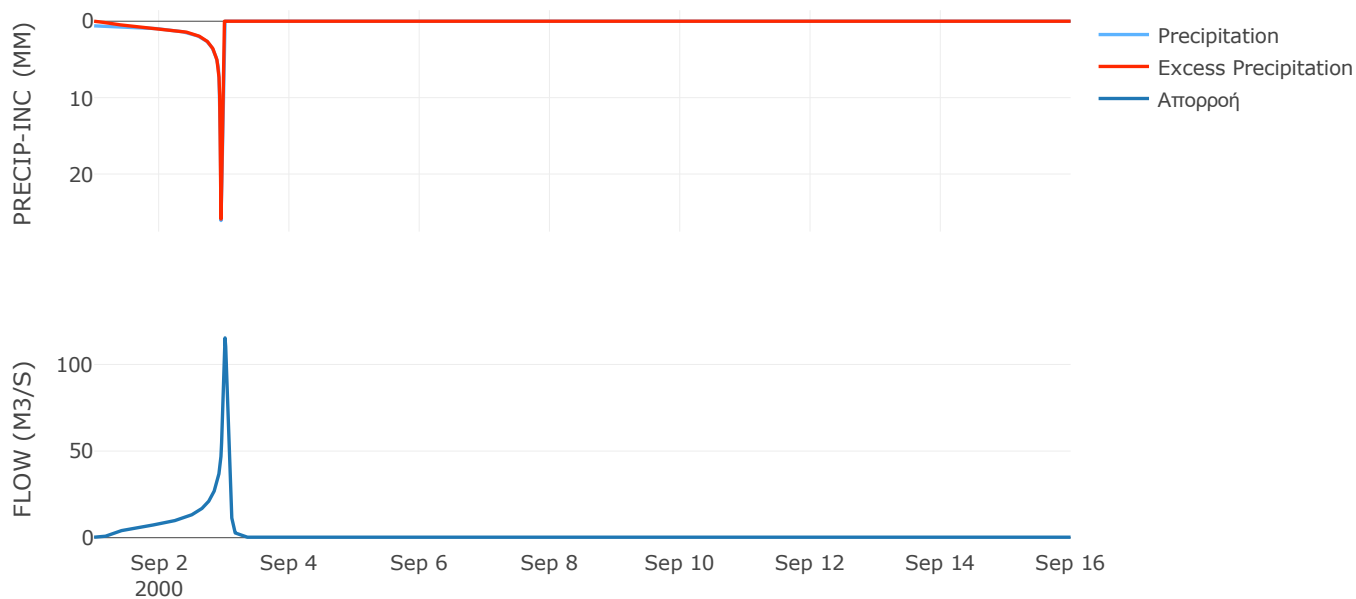
Μέθοδος
Μετασχηματισμού: SCS

Χρόνος Υστέρησης	74.81
------------------	-------

Αποτελέσματα:
EL0415FL5006

Παροχή αιχμής (M3/S)	115.31
Χρονική στιγμή αιχμής	03Sep2000, 00:15
Όγκος (MM)	368.11
Όγκος βροχόπτωσης (M3)	2.84E6
Όγκος απωλειών (M3)	2.42E5
Ενεργός Όγκος (M3)	2.6E6
Όγκος άμεσης απορροής (M3)	2.6E6
Όγκος βασικής απορροής (M3)	3.65E5

Βροχόπτωση και Απορροή



Υπολεκάνη: EL0415FL5007

Έκταση (KM2) : 40.81

Κατάντη : J5

Μέθοδος Απωλειών: SCS

Ποσοστό αδιαπέρατης επιφάνειας	0
Αριθμός Καμπύλης Απορροής-CN	90.3
Αρχικές Απώλειες	5.45

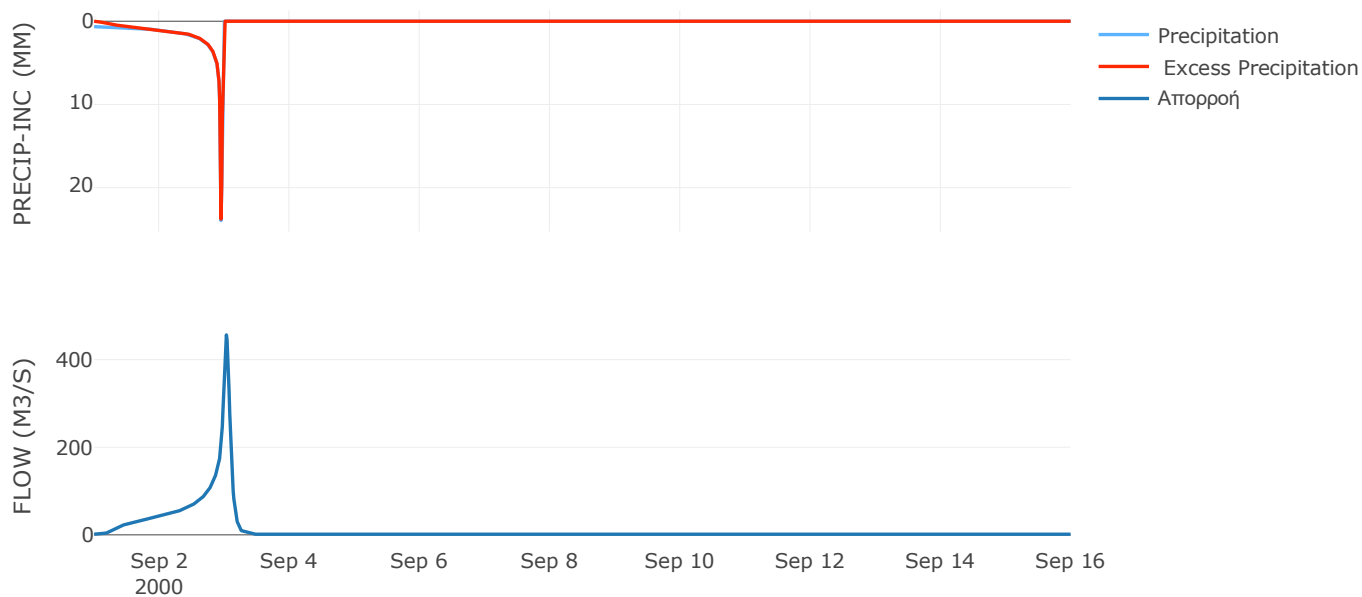
Μέθοδος
Μετασχηματισμού: SCS

Χρόνος Υστέρησης	111.14
------------------	--------

Αποτελέσματα:
EL0415FL5007

Παροχή αιχμής (M3/S)	456.4
Χρονική στιγμή αιχμής	03Sep2000, 00:45
Όγκος (MM)	372.34
Όγκος βροχόπτωσης (M3)	1.46E7
Όγκος απωλειών (M3)	1.26E6
Ενεργός Όγκος (M3)	1.33E7
Όγκος άμεσης απορροής (M3)	1.33E7
Όγκος βασικής απορροής (M3)	1.85E6

Βροχόπτωση και Απορροή



Υπολεκάνη: EL0415FL5008

Έκταση (KM2) : 90.43

Κατάντη : J7

Μέθοδος Απωλειών: SCS

Ποσοστό αδιαπέρατης επιφάνειας	0
Αριθμός Καμπύλης Απορροής-CN	87.11
Αρχικές Απώλειες	7.52

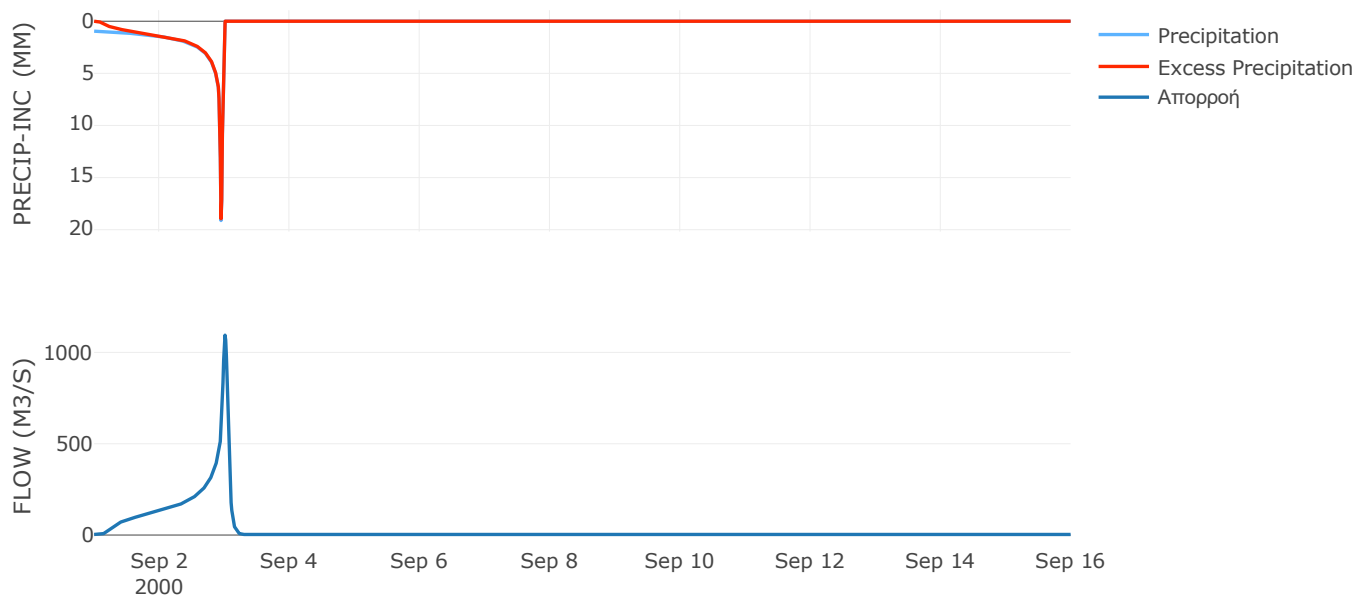
Μέθοδος
Μετασχηματισμού: SCS

Χρόνος Υστέρησης	78.98
------------------	-------

Αποτελέσματα:
EL0415FL5008

Παροχή αιχμής (M3/S)	1094.66
Χρονική στιγμή αιχμής	03Sep2000, 00:15
Όγκος (MM)	426.72
Όγκος βροχόπτωσης (M3)	3.83E7
Όγκος απωλειών (M3)	3.8E6
Ενεργός Όγκος (M3)	3.45E7
Όγκος άμεσης απορροής (M3)	3.45E7
Όγκος βασικής απορροής (M3)	4.1E6

Βροχόπτωση και Απορροή



Υπολεκάνη: EL0415FL5009

Έκταση (KM2) : 11.22

Κατάντη : J20

Μέθοδος Απωλειών: SCS

Ποσοστό αδιαπέρατης επιφάνειας	0
Αριθμός Καμπύλης Απορροής-CN	89.16
Αρχικές Απώλειες	6.18

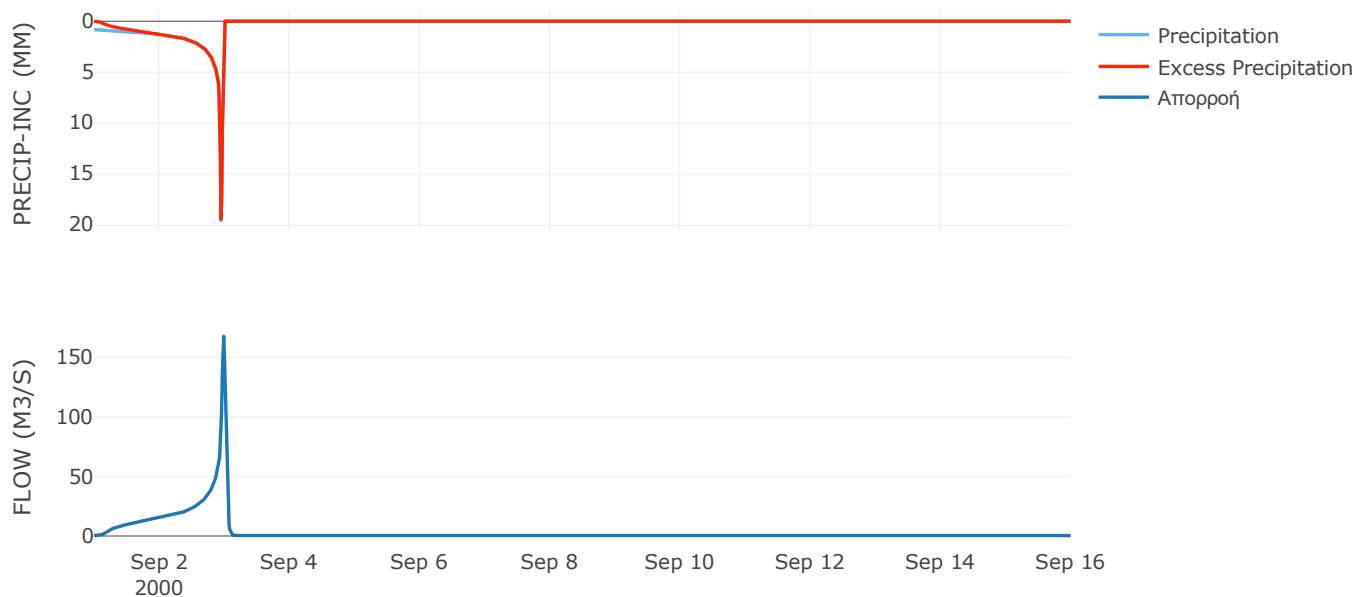
Μέθοδος
Μετασχηματισμού: SCS

Χρόνος Υστέρησης	41.11
------------------	-------

Αποτελέσματα:
EL0415FL5009

Παροχή αιχμής (M3/S)	167.65
Χρονική στιγμή αιχμής	02Sep2000, 23:45
Όγκος (MM)	397.38
Όγκος βροχόπτωσης (M3)	4.34E6
Όγκος απωλειών (M3)	3.9E5
Ενεργός Όγκος (M3)	3.95E6
Όγκος άμεσης απορροής (M3)	3.95E6
Όγκος βασικής απορροής (M3)	5.09E5

Βροχόπτωση και Απορροή



Υπολεκάνη: EL0415FL5010

Έκταση (KM2) : 96.52

Κατάντη : J10

Μέθοδος Απωλειών: SCS

Ποσοστό αδιαπέρατης επιφάνειας	100
Αριθμός Καμπύλης Απορροής-CN	99
Αρχικές Απώλειες	0.02

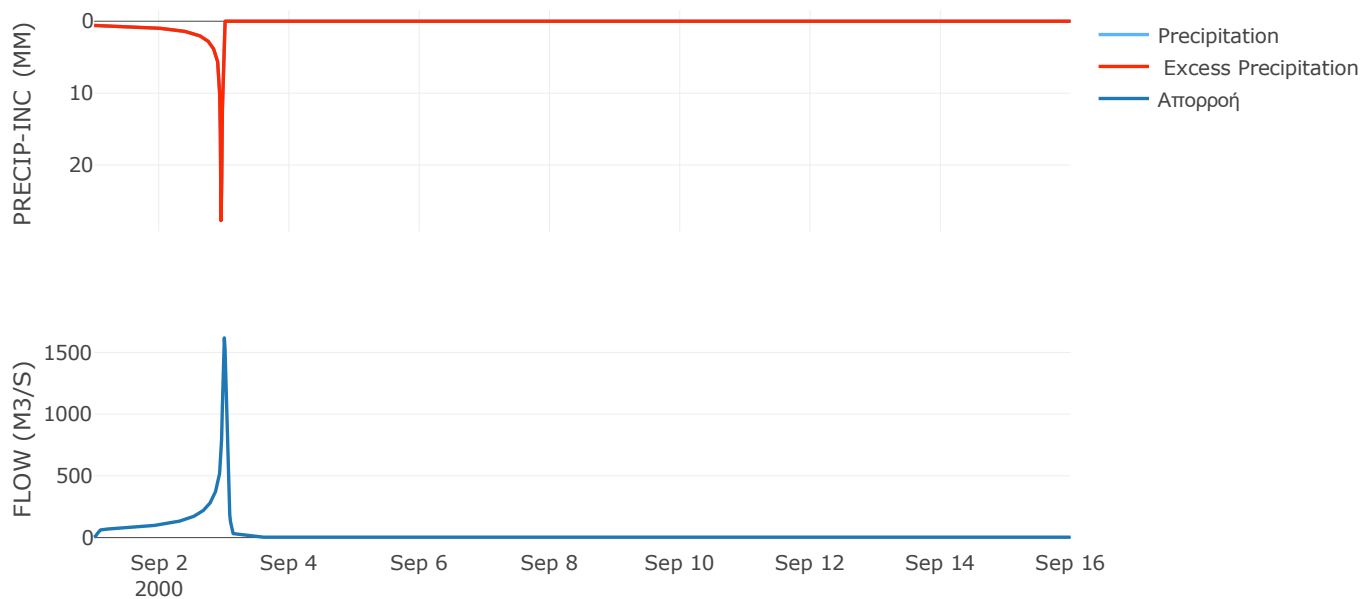
Μέθοδος
Μετασχηματισμού: SCS

Χρόνος Υστέρησης	59.19
------------------	-------

Αποτελέσματα:
EL0415FL5010

Παροχή αιχμής (M3/S)	1617.56
Χρονική στιγμή αιχμής	02Sep2000, 24:00
Όγκος (MM)	400.37
Όγκος βροχόπτωσης (M3)	3.43E7
Όγκος απωλειών (M3)	0
Ενεργός Όγκος (M3)	3.43E7
Όγκος άμεσης απορροής (M3)	3.43E7
Όγκος βασικής απορροής (M3)	4.38E6

Βροχόπτωση και Απορροή



Υπολεκάνη: EL0415FL00013

Έκταση (KM2) : 20.4

Κατάντη : J8

Μέθοδος Απωλειών: SCS

Ποσοστό αδιαπέρατης επιφάνειας	0
Αριθμός Καμπύλης Απορροής-CN	90.62
Αρχικές Απώλειες	5.26

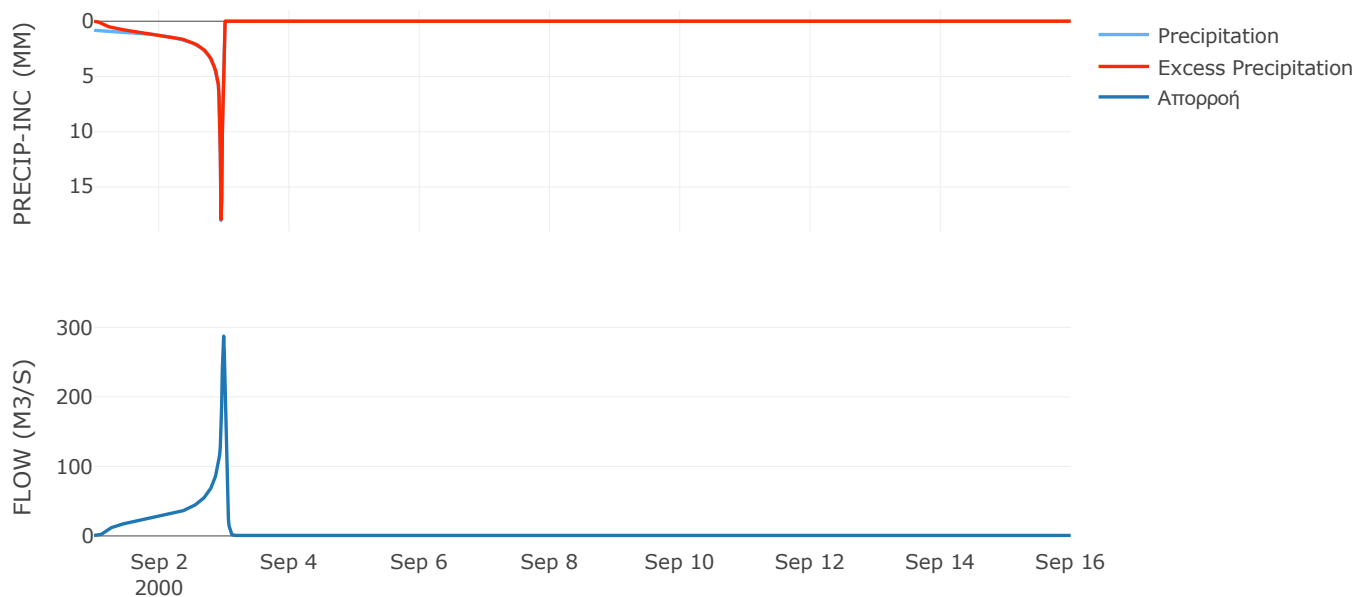
Μέθοδος
Μετασχηματισμού: SCS

Χρόνος Υστέρησης	39.86
------------------	-------

Αποτελέσματα:
EL0415FL00013

Παροχή αιχμής (M3/S)	287.32
Χρονική στιγμή αιχμής	02Sep2000, 23:45
Όγκος (MM)	391.64
Όγκος βροχόπτωσης (M3)	7.67E6
Όγκος απωλειών (M3)	6.08E5
Ενεργός Όγκος (M3)	7.06E6
Όγκος άμεσης απορροής (M3)	7.06E6
Όγκος βασικής απορροής (M3)	9.25E5

Βροχόπτωση και Απορροή



Υπολεκάνη: EL0415FL00014

Έκταση (KM2) : 28.81

Κατάντη : J23

Μέθοδος Απωλειών: SCS

Ποσοστό αδιαπέρατης επιφάνειας	0
Αριθμός Καμπύλης Απορροής-CN	90.51
Αρχικές Απώλειες	5.33

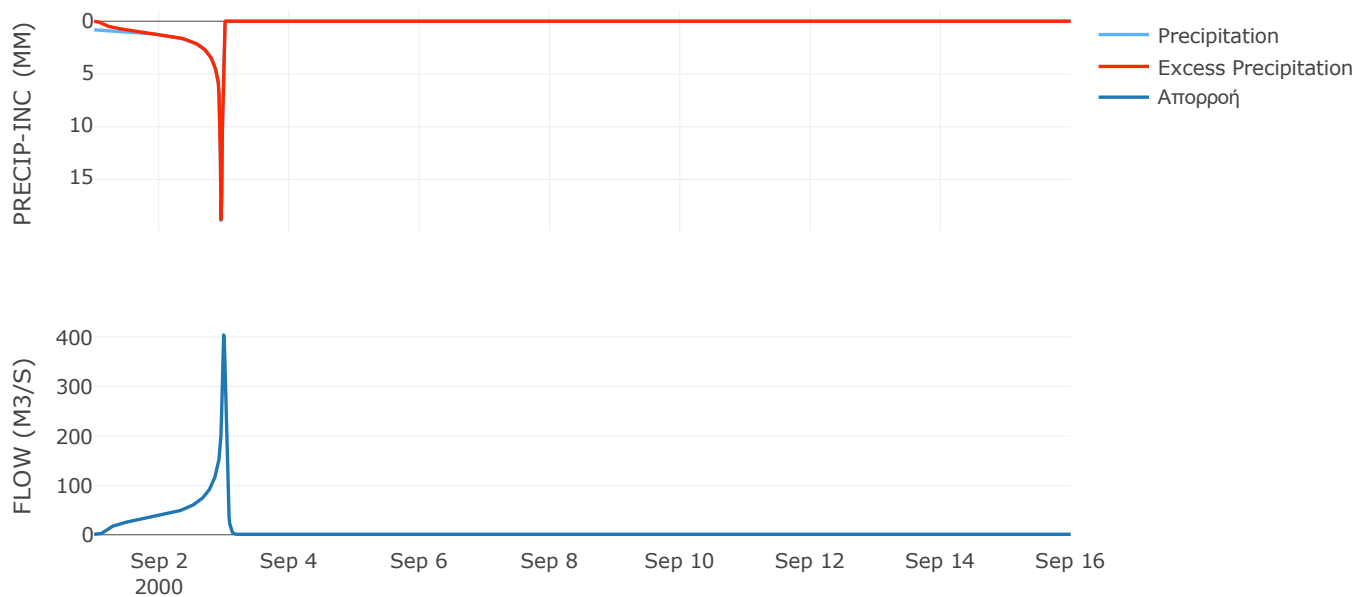
Μέθοδος
Μετασχηματισμού: SCS

Χρόνος Υστέρησης	46.87
------------------	-------

Αποτελέσματα:
EL0415FL00014

Παροχή αιχμής (M3/S)	404.14
Χρονική στιγμή αιχμής	02Sep2000, 23:45
Όγκος (MM)	395.79
Όγκος βροχόπτωσης (M3)	1.1E7
Όγκος απωλειών (M3)	8.7E5
Ενεργός Όγκος (M3)	1.01E7
Όγκος άμεσης απορροής (M3)	1.01E7
Όγκος βασικής απορροής (M3)	1.31E6

Βροχόπτωση και Απορροή



Υπολεκάνη: EL0415FL00016

Έκταση (KM2) : 24.49

Κατάντη : J14

Μέθοδος Απωλειών: SCS

Ποσοστό αδιαπέρατης επιφάνειας	0
Αριθμός Καμπύλης Απορροής-CN	72.24
Αρχικές Απώλειες	19.52

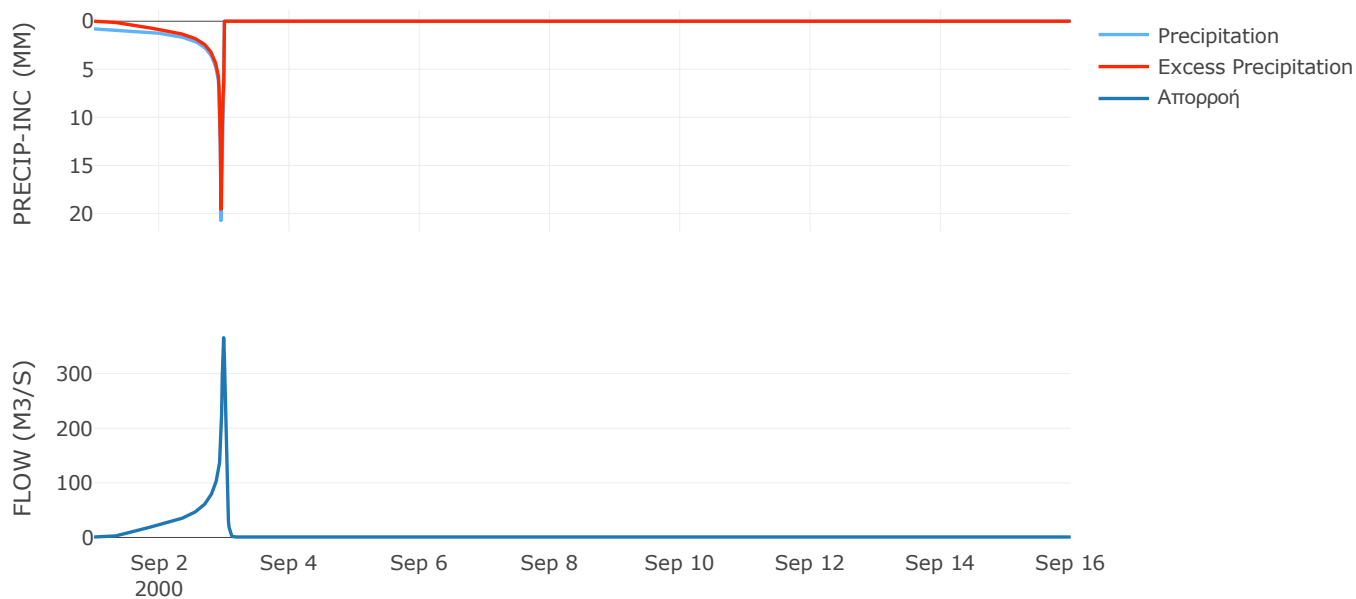
Μέθοδος
Μετασχηματισμού: SCS

Χρόνος Υστέρησης	40.26
------------------	-------

Αποτελέσματα:
EL0415FL00016

Παροχή αιχμής (M3/S)	365.72
Χρονική στιγμή αιχμής	02Sep2000, 23:45
Όγκος (MM)	336.14
Όγκος βροχόπτωσης (M3)	9.49E6
Όγκος απωλειών (M3)	2.37E6
Ενεργός Όγκος (M3)	7.12E6
Όγκος άμεσης απορροής (M3)	7.12E6
Όγκος βασικής απορροής (M3)	1.11E6

Βροχόπτωση και Απορροή



Υπολεκάνη: EL0415FL00017

Έκταση (KM2) : 11.25

Κατάντη : J15

Μέθοδος Απωλειών: SCS

Ποσοστό αδιαπέρατης επιφάνειας	0
Αριθμός Καμπύλης Απορροής-CN	74.1
Αρχικές Απώλειες	17.75

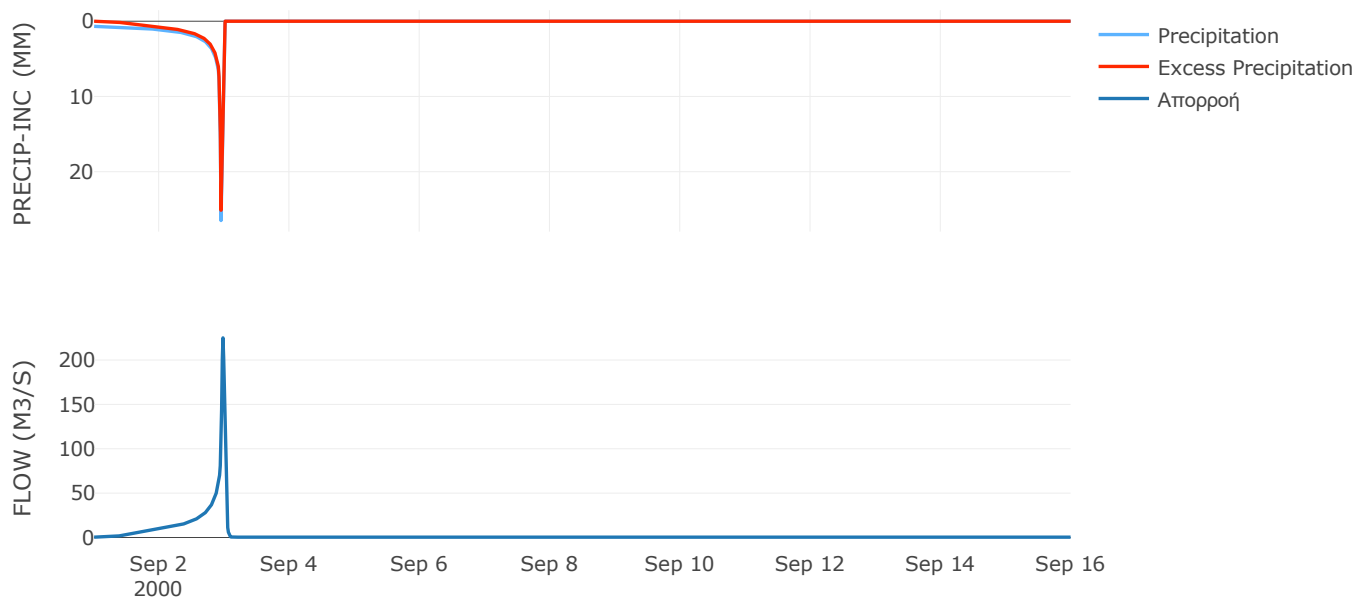
Μέθοδος
Μετασχηματισμού: SCS

Χρόνος Υστέρησης	29.73
------------------	-------

Αποτελέσματα:
EL0415FL00017

Παροχή αιχμής (M3/S)	225.03
Χρονική στιγμή αιχμής	02Sep2000, 23:30
Όγκος (MM)	339.26
Όγκος βροχόπτωσης (M3)	4.31E6
Όγκος απωλειών (M3)	1E6
Ενεργός Όγκος (M3)	3.31E6
Όγκος άμεσης απορροής (M3)	3.31E6
Όγκος βασικής απορροής (M3)	5.1E5

Βροχόπτωση και Απορροή



Υπολεκάνη: EL0415FL00018

Έκταση (KM2) : 25.29

Κατάντη : J15

Μέθοδος Απωλειών: SCS

Ποσοστό αδιαπέρατης επιφάνειας	0
Αριθμός Καμπύλης Απορροής-CN	77.68
Αρχικές Απώλειες	14.6

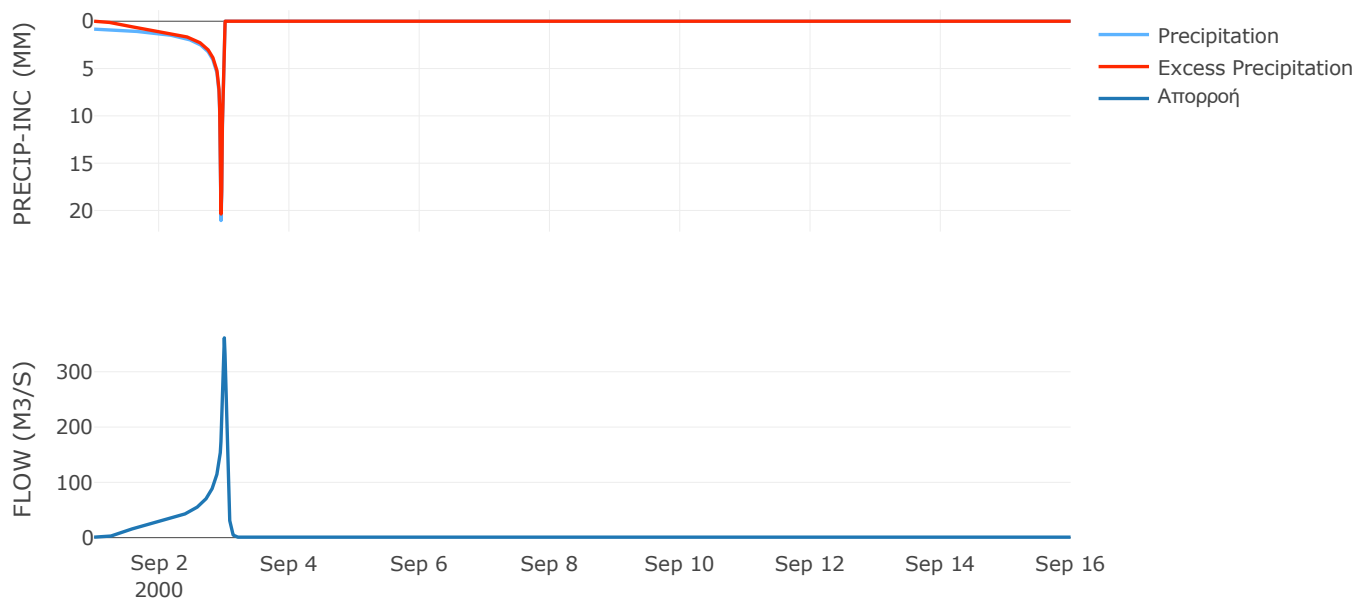
Μέθοδος
Μετασχηματισμού: SCS

Χρόνος Υστέρησης	52.76
------------------	-------

Αποτελέσματα:
EL0415FL00018

Παροχή αιχμής (M3/S)	361.34
Χρονική στιγμή αιχμής	02Sep2000, 24:00
Όγκος (MM)	370.68
Όγκος βροχόπτωσης (M3)	1.01E7
Όγκος απωλειών (M3)	1.92E6
Ενεργός Όγκος (M3)	8.23E6
Όγκος άμεσης απορροής (M3)	8.23E6
Όγκος βασικής απορροής (M3)	1.15E6

Βροχόπτωση και Απορροή



Υπολεκάνη: EL0415FL00019

Έκταση (KM2) : 41.83

Κατάντη : J16

Μέθοδος Απωλειών: SCS

Ποσοστό αδιαπέρατης επιφάνειας	0
Αριθμός Καμπύλης Απορροής-CN	82.22
Αρχικές Απώλειες	10.98

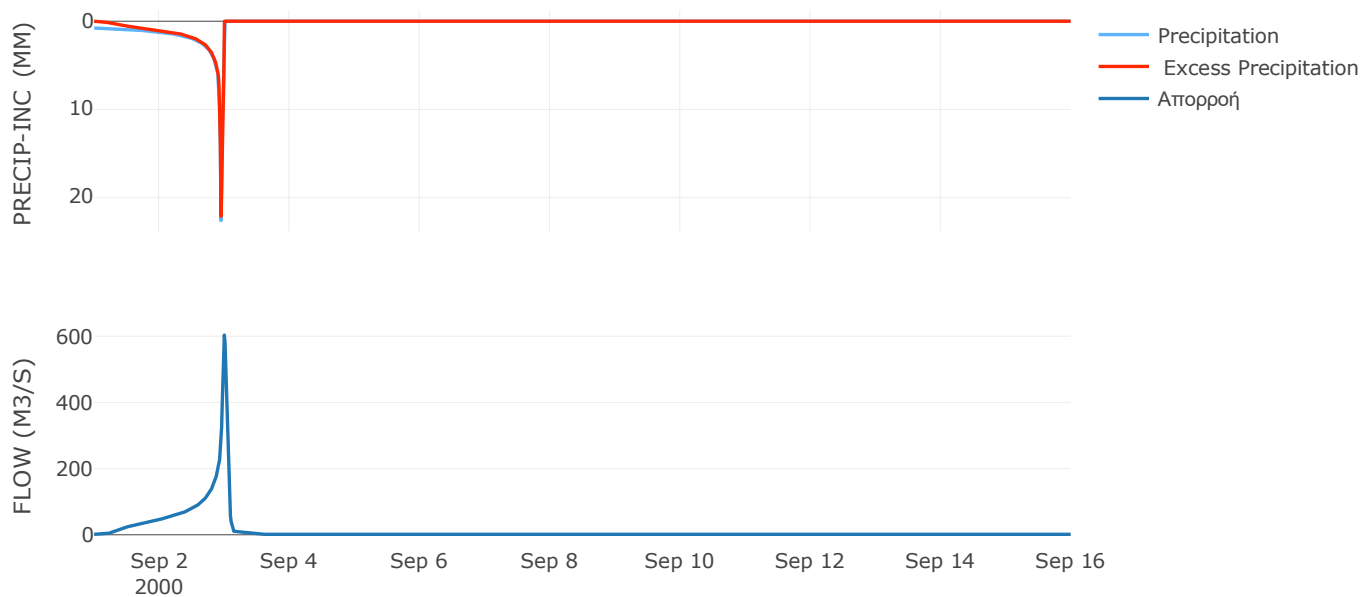
Μέθοδος
Μετασχηματισμού: SCS

Χρόνος Υστέρησης	61.11
------------------	-------

Αποτελέσματα:
EL0415FL00019

Παροχή αιχμής (M3/S)	603.67
Χρονική στιγμή αιχμής	02Sep2000, 24:00
Όγκος (MM)	376.7
Όγκος βροχόπτωσης (M3)	1.63E7
Όγκος απωλειών (M3)	2.47E6
Ενεργός Όγκος (M3)	1.39E7
Όγκος άμεσης απορροής (M3)	1.39E7
Όγκος βασικής απορροής (M3)	1.9E6

Βροχόπτωση και Απορροή



Υπολεκάνη: EL0415FL00020

Έκταση (KM2) : 8.47

Κατάντη : J21

Μέθοδος Απωλειών: SCS

Ποσοστό αδιαπέρατης επιφάνειας	0
Αριθμός Καμπύλης Απορροής-CN	90.85
Αρχικές Απώλειες	5.12

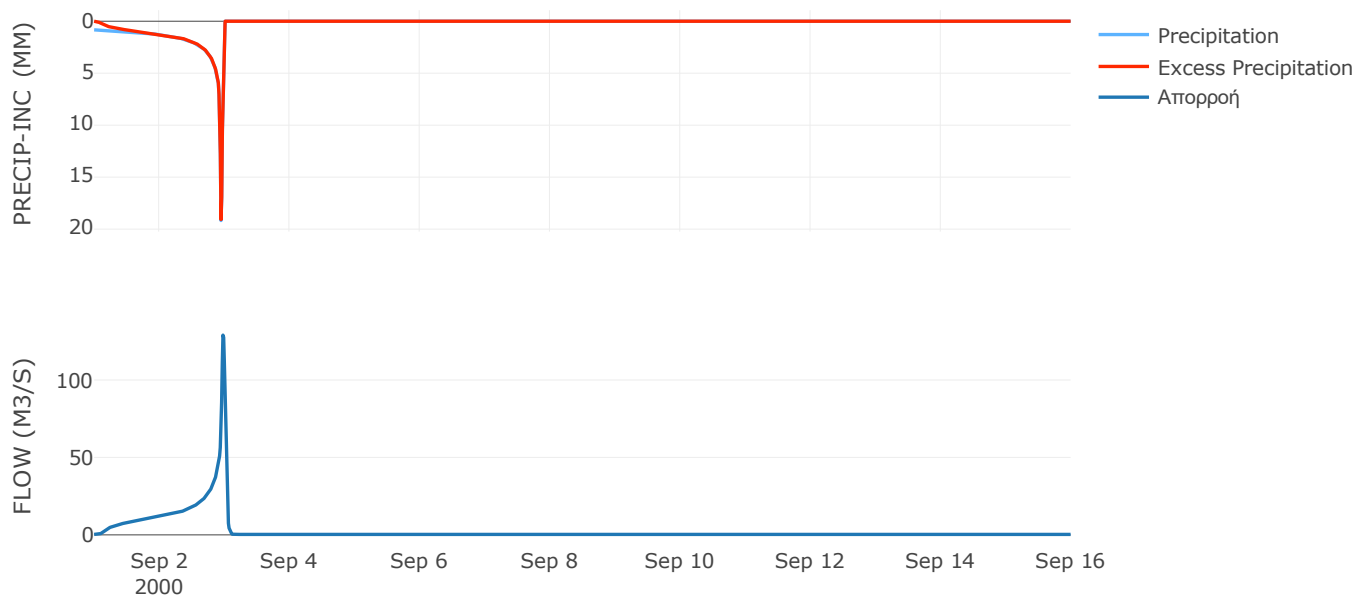
Μέθοδος
Μετασχηματισμού: SCS

Χρόνος Υστέρησης	35.95
------------------	-------

Αποτελέσματα:
EL0415FL00020

Παροχή αιχμής (M3/S)	128.98
Χρονική στιγμή αιχμής	02Sep2000, 23:30
Όγκος (MM)	403.09
Όγκος βροχόπτωσης (M3)	3.28E6
Όγκος απωλειών (M3)	2.46E5
Ενεργός Όγκος (M3)	3.03E6
Όγκος άμεσης απορροής (M3)	3.03E6
Όγκος βασικής απορροής (M3)	3.84E5

Βροχόπτωση και Απορροή



Υπολεκάνη: EL0415FL00021

Έκταση (KM2) : 11.07

Κατάντη : J17

Μέθοδος Απωλειών: SCS

Ποσοστό αδιαπέρατης επιφάνειας	0
Αριθμός Καμπύλης Απορροής-CN	87.57
Αρχικές Απώλειες	7.21

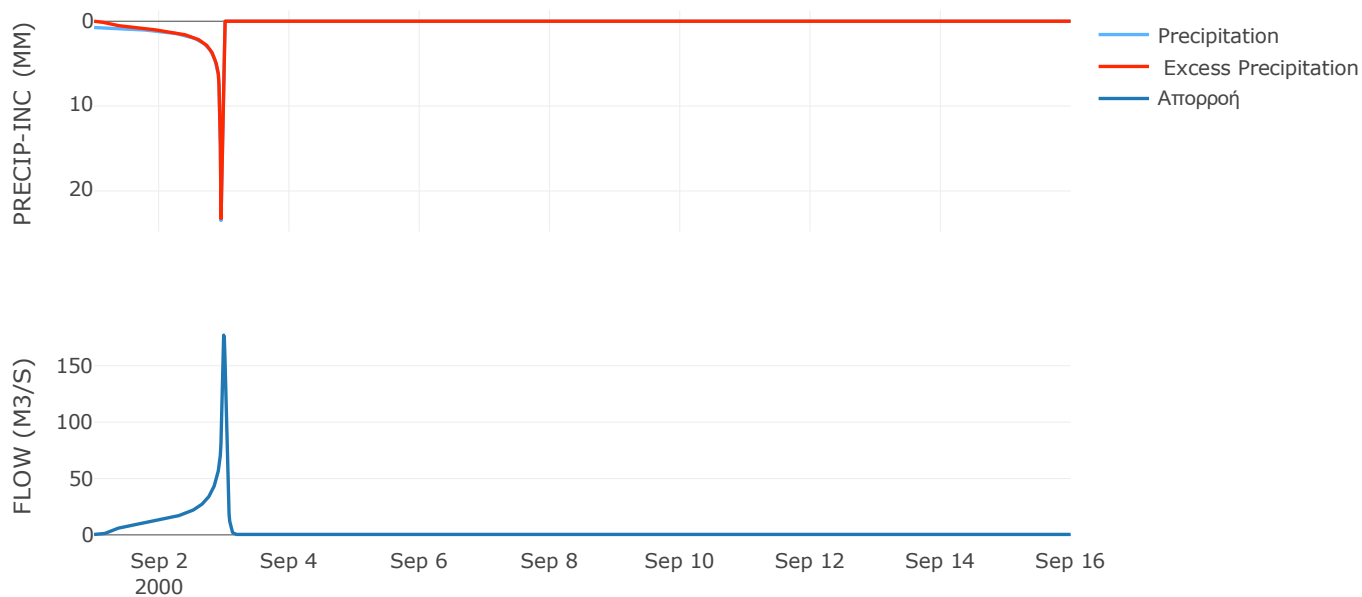
Μέθοδος
Μετασχηματισμού: SCS

Χρόνος Υστέρησης	49.82
------------------	-------

Αποτελέσματα:
EL0415FL00021

Παροχή αιχμής (M3/S)	177.18
Χρονική στιγμή αιχμής	02Sep2000, 23:45
Όγκος (MM)	390.71
Όγκος βροχόπτωσης (M3)	4.27E6
Όγκος απωλειών (M3)	4.45E5
Ενεργός Όγκος (M3)	3.82E6
Όγκος άμεσης απορροής (M3)	3.82E6
Όγκος βασικής απορροής (M3)	5.02E5

Βροχόπτωση και Απορροή



Υπολεκάνη: EL0415FL00022

Έκταση (KM2) : 12.41

Κατάντη : J18

Μέθοδος Απωλειών: SCS

Ποσοστό αδιαπέρατης επιφάνειας	0
Αριθμός Καμπύλης Απορροής-CN	90.27
Αρχικές Απώλειες	5.47

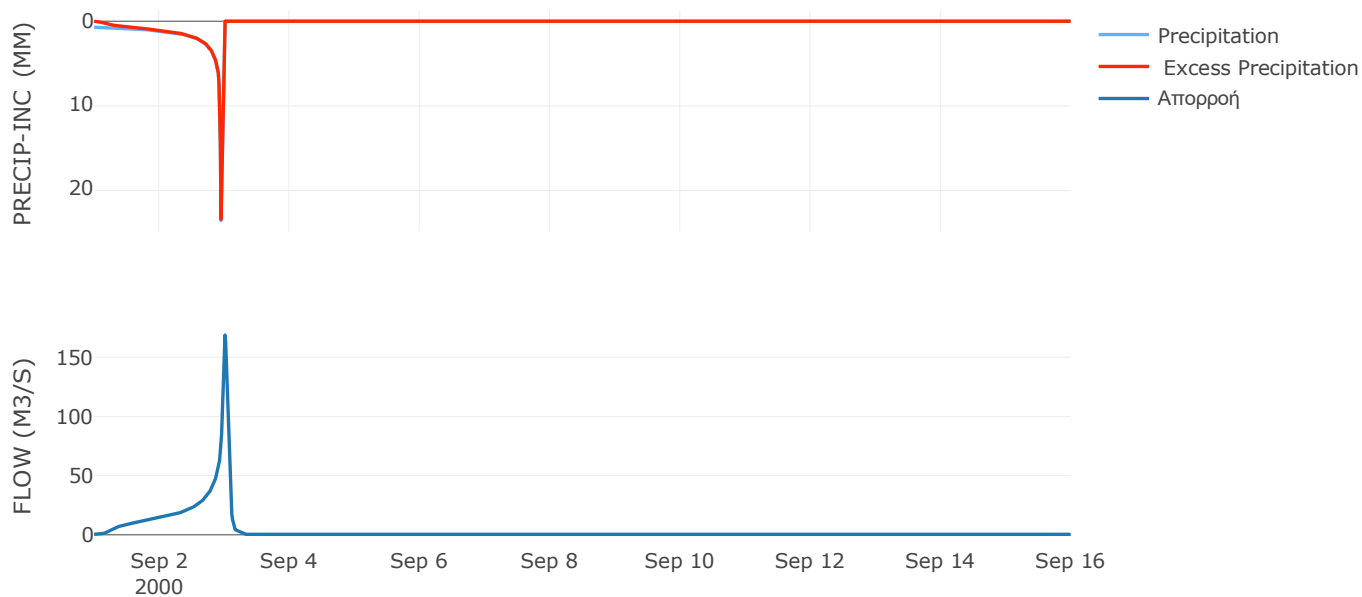
Μέθοδος
Μετασχηματισμού: SCS

Χρόνος Υστέρησης	75.64
------------------	-------

Αποτελέσματα:
EL0415FL00022

Παροχή αιχμής (M3/S)	168.8
Χρονική στιγμή αιχμής	03Sep2000, 00:15
Όγκος (MM)	388.59
Όγκος βροχόπτωσης (M3)	4.64E6
Όγκος απωλειών (M3)	3.84E5
Ενεργός Όγκος (M3)	4.26E6
Όγκος άμεσης απορροής (M3)	4.26E6
Όγκος βασικής απορροής (M3)	5.63E5

Βροχόπτωση και Απορροή



Υπολεκάνη: EL0415FL00023

Έκταση (KM2) : 16.4

Κατάντη : J22

Μέθοδος Απωλειών: SCS

Ποσοστό αδιαπέρατης επιφάνειας	0
Αριθμός Καμπύλης Απορροής-CN	90.72
Αρχικές Απώλειες	5.2

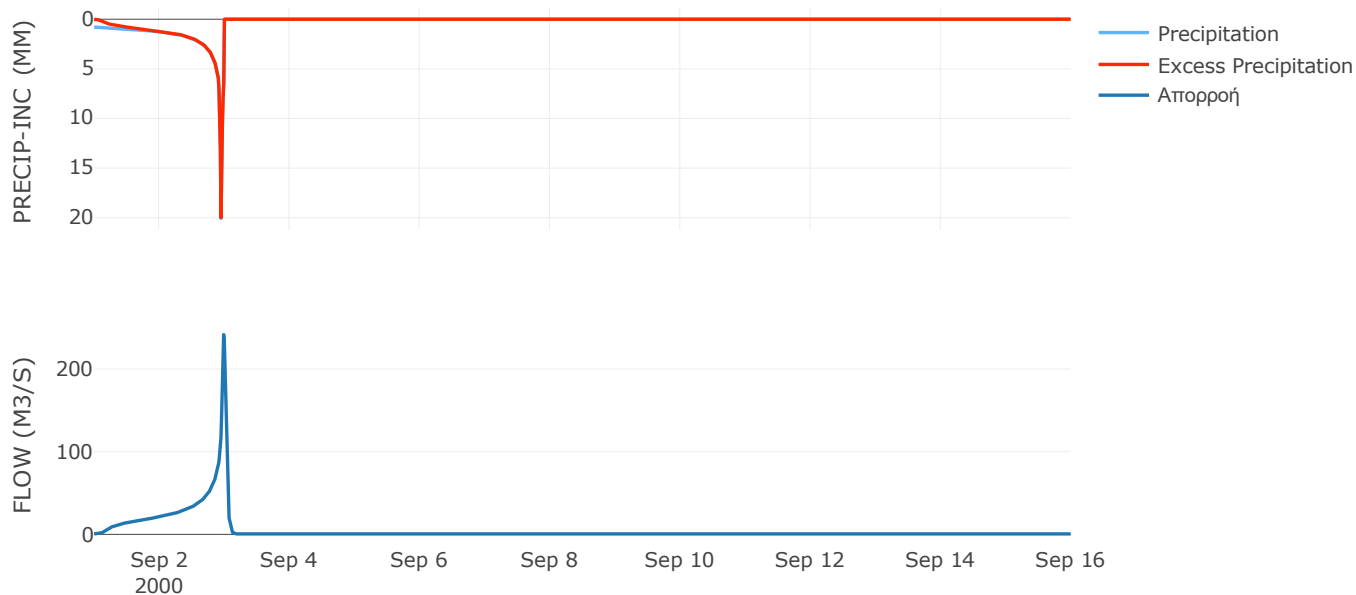
Μέθοδος
Μετασχηματισμού: SCS

Χρόνος Υστέρησης	46.43
------------------	-------

Αποτελέσματα:
EL0415FL00023

Παροχή αιχμής (M3/S)	241.64
Χρονική στιγμή αιχμής	02Sep2000, 23:45
Όγκος (MM)	396.6
Όγκος βροχόπτωσης (M3)	6.24E6
Όγκος απωλειών (M3)	4.84E5
Ενεργός Όγκος (M3)	5.76E6
Όγκος άμεσης απορροής (M3)	5.76E6
Όγκος βασικής απορροής (M3)	7.44E5

Βροχόπτωση και Απορροή



Υπολεκάνη: EL0415FL00024

Έκταση (KM2) : 20.38

Κατάντη : J19

Μέθοδος Απωλειών: SCS

Ποσοστό αδιαπέρατης επιφάνειας	0
Αριθμός Καμπύλης Απορροής-CN	89.98
Αρχικές Απώλειες	5.66

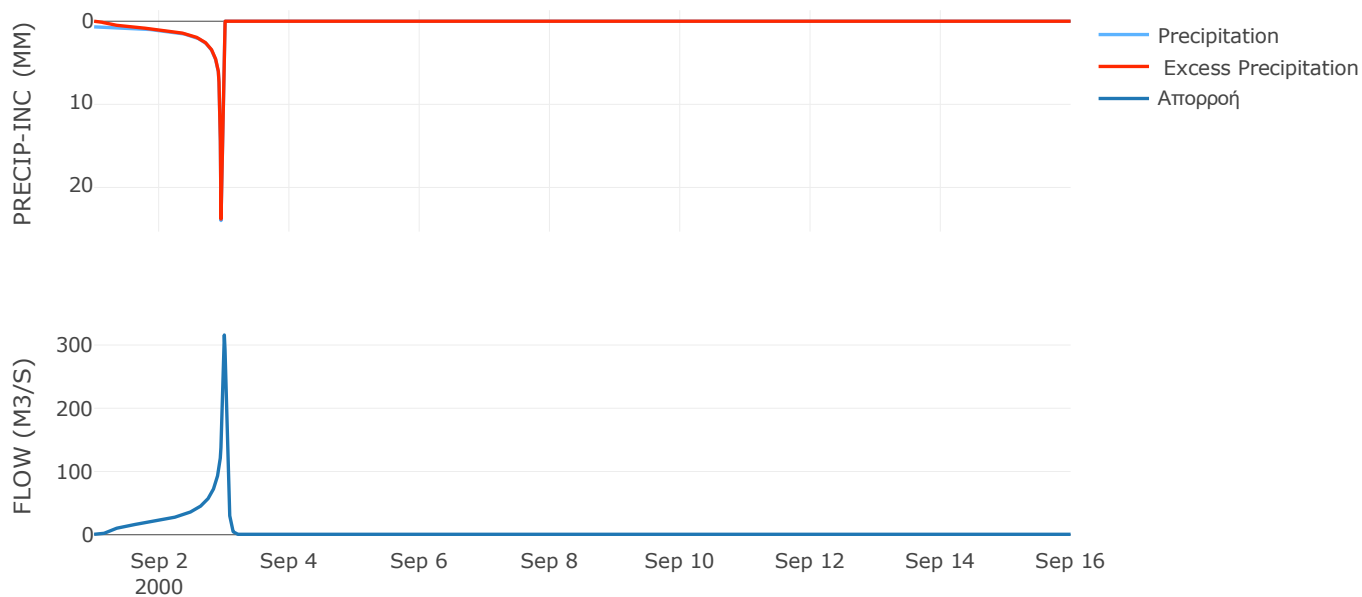
Μέθοδος
Μετασχηματισμού: SCS

Χρόνος Υστέρησης	55.15
------------------	-------

Αποτελέσματα:
EL0415FL00024

Παροχή αιχμής (M3/S)	315.83
Χρονική στιγμή αιχμής	02Sep2000, 24:00
Όγκος (MM)	379.93
Όγκος βροχόπτωσης (M3)	7.47E6
Όγκος απωλειών (M3)	6.5E5
Ενεργός Όγκος (M3)	6.82E6
Όγκος άμεσης απορροής (M3)	6.82E6
Όγκος βασικής απορροής (M3)	9.24E5

Βροχόπτωση και Απορροή



Υπολεκάνη: EL0415FL00025

Έκταση (KM2) : 32.02

Κατάντη : J13

Μέθοδος Απωλειών: SCS

Ποσοστό αδιαπέρατης επιφάνειας	0
Αριθμός Καμπύλης Απορροής-CN	70.61
Αρχικές Απώλειες	21.14

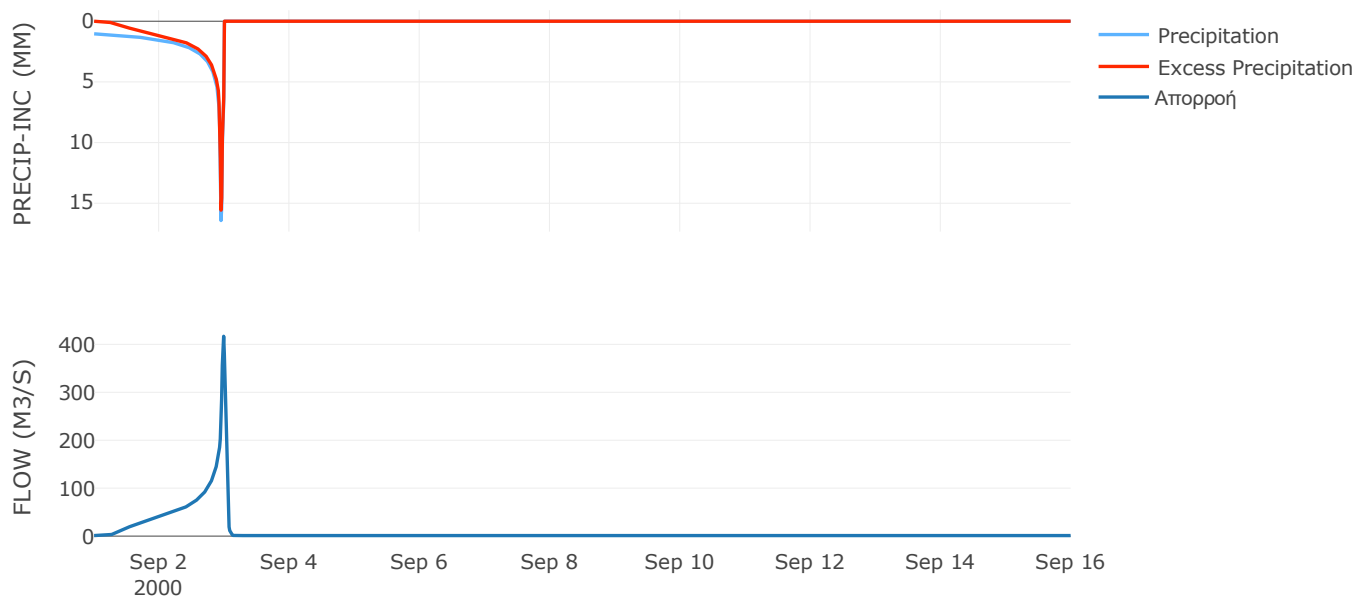
Μέθοδος
Μετασχηματισμού: SCS

Χρόνος Υστέρησης	38.27
------------------	-------

Αποτελέσματα:
EL0415FL00025

Παροχή αιχμής (M3/S)	416.88
Χρονική στιγμή αιχμής	02Sep2000, 23:45
Όγκος (MM)	367.4
Όγκος βροχόπτωσης (M3)	1.37E7
Όγκος απωλειών (M3)	3.36E6
Ενεργός Όγκος (M3)	1.03E7
Όγκος άμεσης απορροής (M3)	1.03E7
Όγκος βασικής απορροής (M3)	1.45E6

Βροχόπτωση και Απορροή



Υπολεκάνη: EL0415FL00026

Έκταση (KM2) : 30.03

Κατάντη : J12

Μέθοδος Απωλειών: SCS

Ποσοστό αδιαπέρατης επιφάνειας	0
Αριθμός Καμπύλης Απορροής-CN	83.22
Αρχικές Απώλειες	10.24

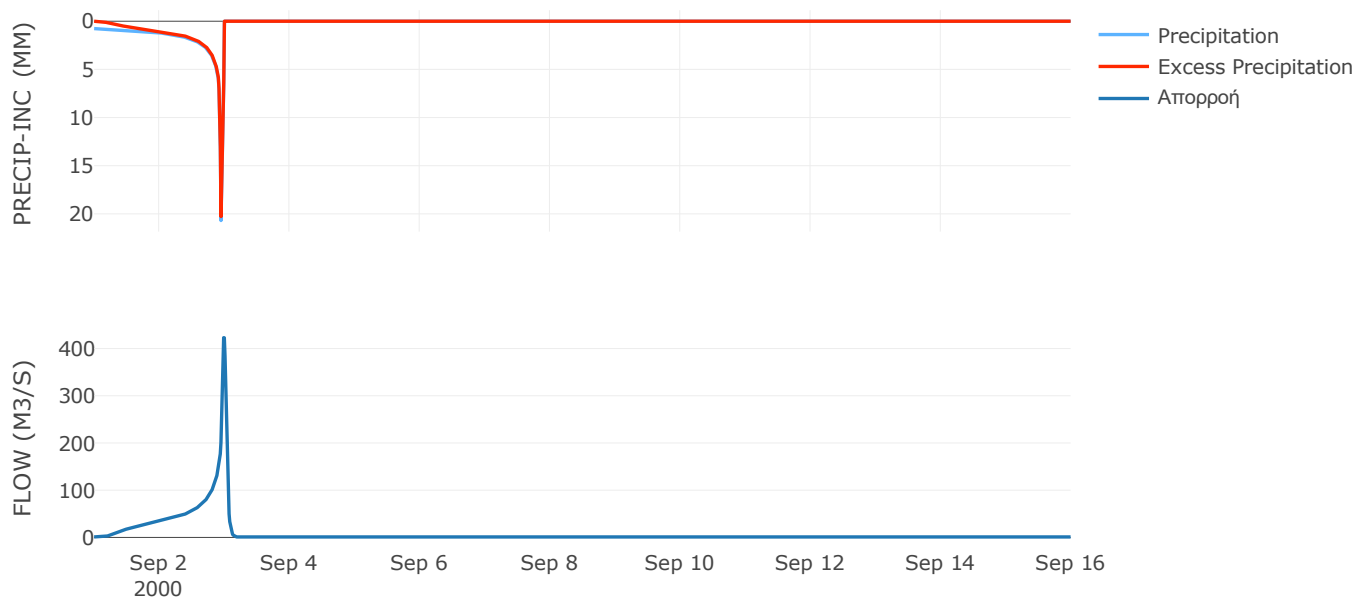
Μέθοδος
Μετασχηματισμού: SCS

Χρόνος Υστέρησης	51.73
------------------	-------

Αποτελέσματα:
EL0415FL00026

Παροχή αιχμής (M3/S)	423.08
Χρονική στιγμή αιχμής	02Sep2000, 23:45
Όγκος (MM)	366.01
Όγκος βροχόπτωσης (M3)	1.13E7
Όγκος απωλειών (M3)	1.66E6
Ενεργός Όγκος (M3)	9.63E6
Όγκος άμεσης απορροής (M3)	9.63E6
Όγκος βασικής απορροής (M3)	1.36E6

Βροχόπτωση και Απορροή



Υπολεκάνη: EL0415FL00027

Έκταση (KM2) : 3.34

Κατάντη : J11

Μέθοδος Απωλειών: SCS

Ποσοστό αδιαπέρατης επιφάνειας	0
Αριθμός Καμπύλης Απορροής-CN	90.03
Αρχικές Απώλειες	5.63

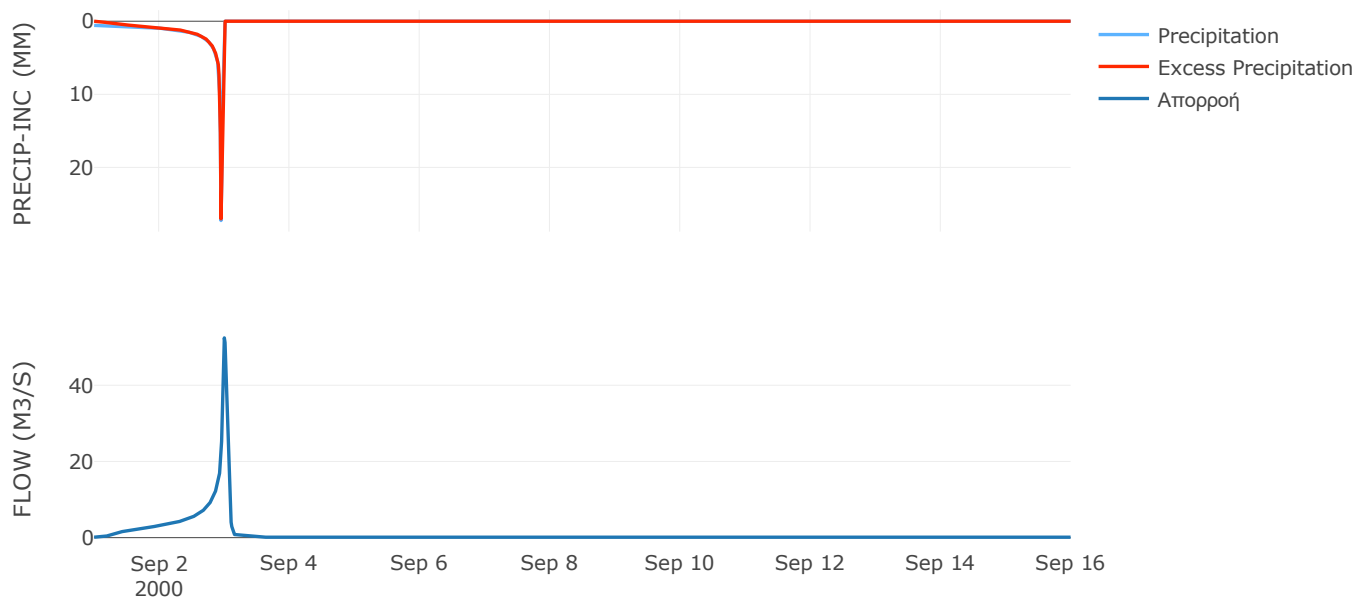
Μέθοδος
Μετασχηματισμού: SCS

Χρόνος Υστέρησης	64.25
------------------	-------

Αποτελέσματα:
EL0415FL00027

Παροχή αιχμής (M3/S)	52.43
Χρονική στιγμή αιχμής	02Sep2000, 24:00
Όγκος (MM)	361.35
Όγκος βροχόπτωσης (M3)	1.16E6
Όγκος απωλειών (M3)	1.06E5
Ενεργός Όγκος (M3)	1.06E6
Όγκος άμεσης απορροής (M3)	1.06E6
Όγκος βασικής απορροής (M3)	1.51E5

Βροχόπτωση και Απορροή



Δεδομένα και υδρογραφήματα σχεδιασμού Κλάδων υδρογραφικού δικτύου

Κλάδος: R21

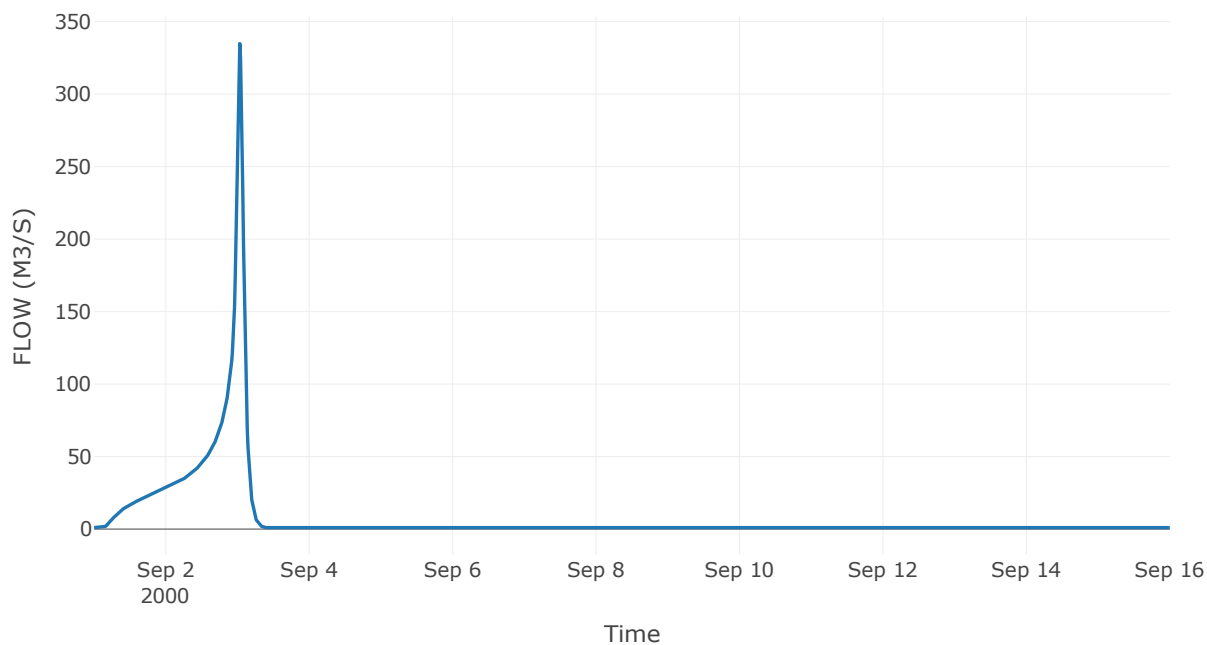
Κατάντη : J1

Μέθοδος Διόδευσης	Χρόνος
Αρχική Μεταβλητή	Combined Inflow
Χρόνος Υστέρησης	0

Αποτελέσματα: R21

Παροχή Αιχμής(M3/S)	334.84
Χρονική στιγμή αιχμής	03Sep2000, 00:45
Όγκος(MM)	371.32
Παροχή Αιχμής Εισόδου (M3/S)	334.84
Όγκος Εισροής(M3)	1.05E7

Απορροή



Κλάδος: R31

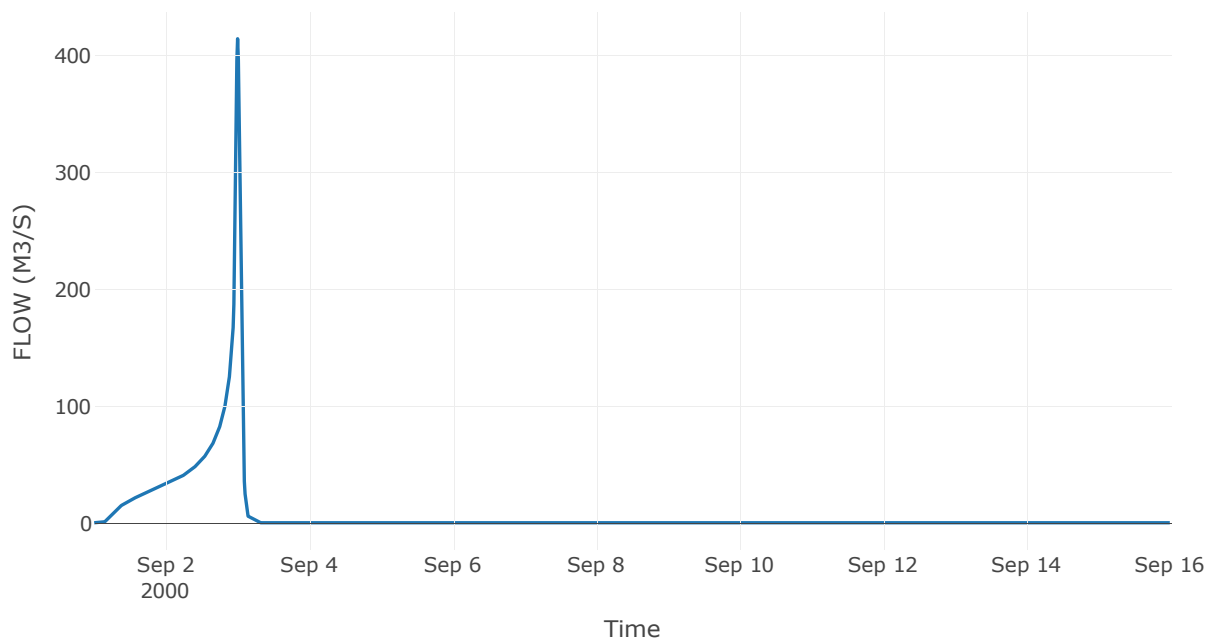
Κατάντη : J1

Μέθοδος Διόδευσης	Χρόνος
Αρχική Μεταβλητή	Combined Inflow
Χρόνος Υστέρησης	0

Αποτελέσματα: R31

Παροχή Αιχμής(M3/S)	414.16
Χρονική στιγμή αιχμής	02Sep2000, 24:00
Όγκος(MM)	370.5
Παροχή Αιχμής Εισόδου (M3/S)	414.16
Όγκος Εισροής(M3)	1.11E7

Απορροή



Κλάδος: R41

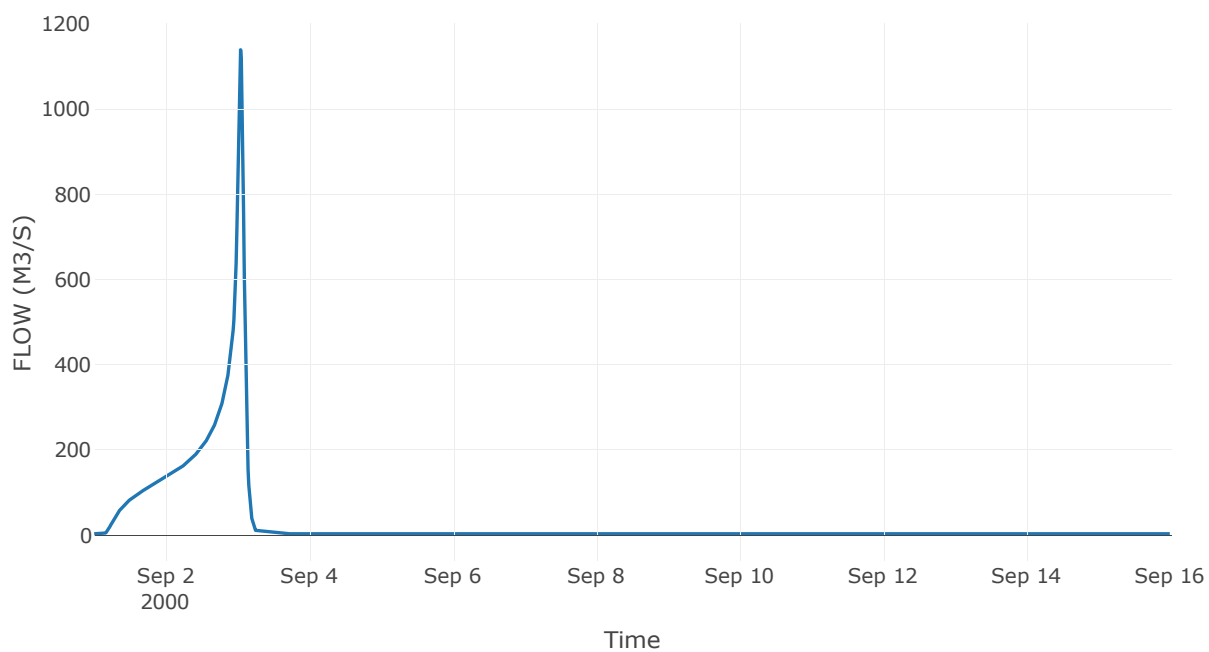
Κατάντη : J1

Μέθοδος Διόδευσης	Χρόνος
Αρχική Μεταβλητή	Combined Inflow
Χρόνος Υστέρησης	0

Αποτελέσματα: R41

Παροχή Αιχμής(M3/S)	1139.04
Χρονική στιγμή αιχμής	03Sep2000, 01:00
Όγκος(MM)	421.93
Παροχή Αιχμής Εισόδου (M3/S)	1139.04
Όγκος Εισροής(M3)	4.15E7

Απορροή



Κλάδος: R51

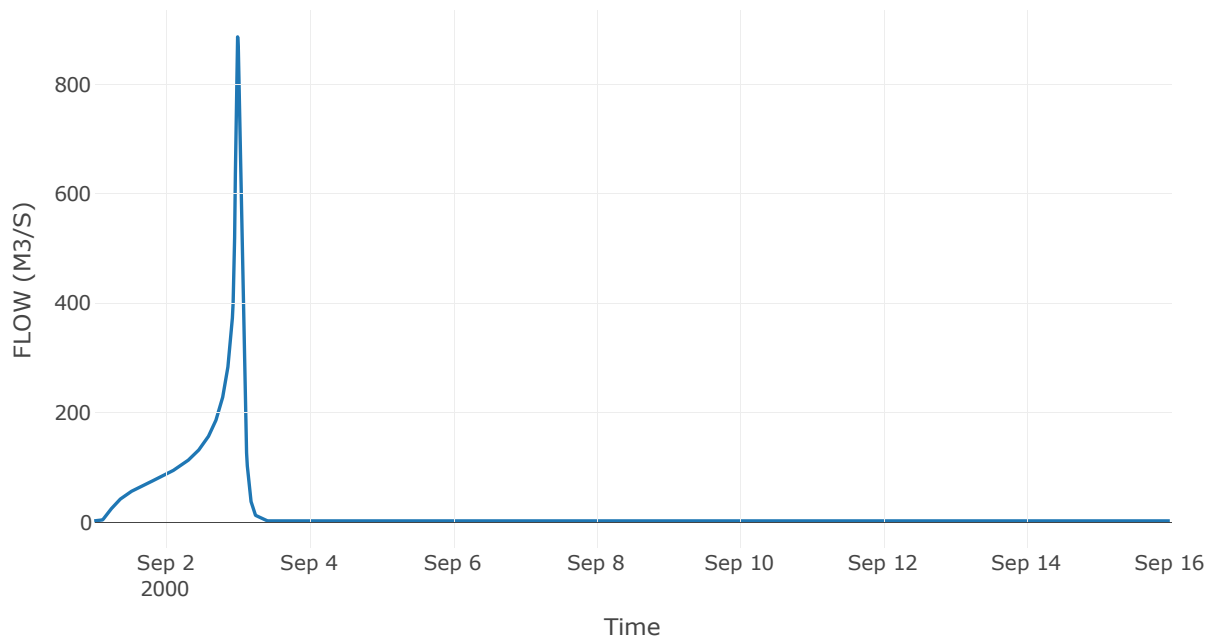
Κατάντη : J1

Μέθοδος Διόδευσης	Χρόνος
Αρχική Μεταβλητή	Combined Inflow
Χρόνος Υστέρησης	0

Αποτελέσματα: R51

Παροχή Αιχμής(M3/S)	886.81
Χρονική στιγμή αιχμής	02Sep2000, 24:00
Όγκος(MM)	380.63
Παροχή Αιχμής Εισόδου (M3/S)	886.81
Όγκος Εισροής(M3)	2.92E7

Απορροή



Κλάδος: R1110

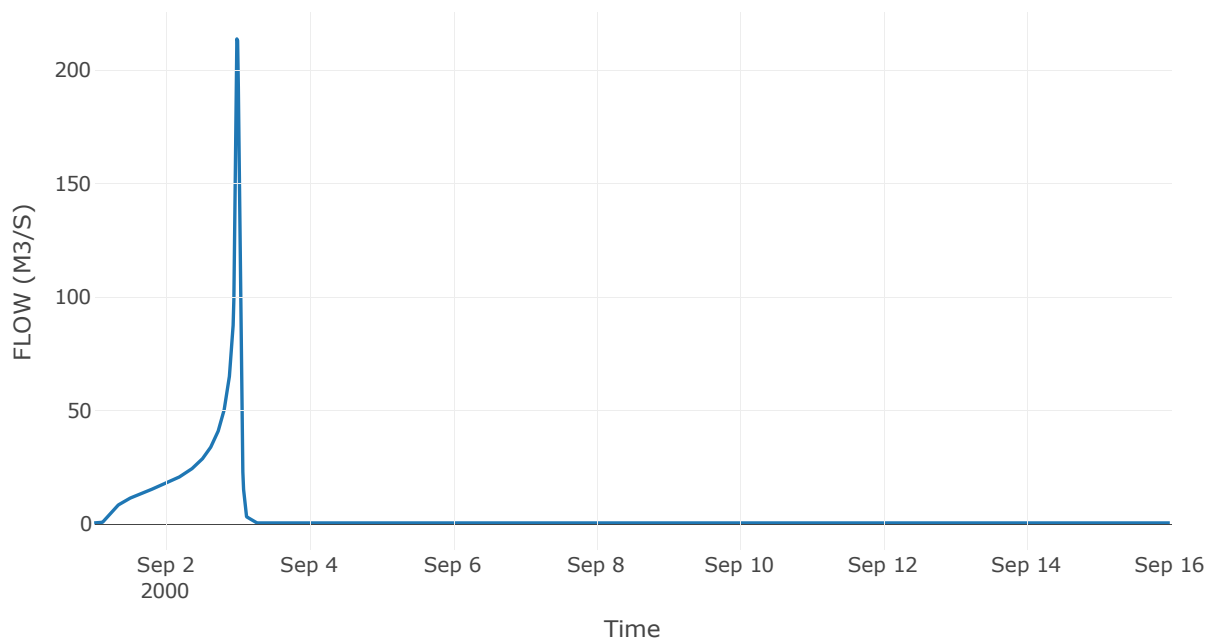
Κατάντη : J10

Μέθοδος Διόδευσης	Χρόνος
Αρχική Μεταβλητή	Combined Inflow
Χρόνος Υστέρησης	0

Αποτελέσματα: R1110

Παροχή Αιχμής(M3/S)	213.76
Χρονική στιγμή αιχμής	02Sep2000, 23:45
Όγκος(MM)	389.12
Παροχή Αιχμής Εισόδου (M3/S)	213.76
Όγκος Εισροής(M3)	5.66E6

Απορροή



Κλάδος: R1210

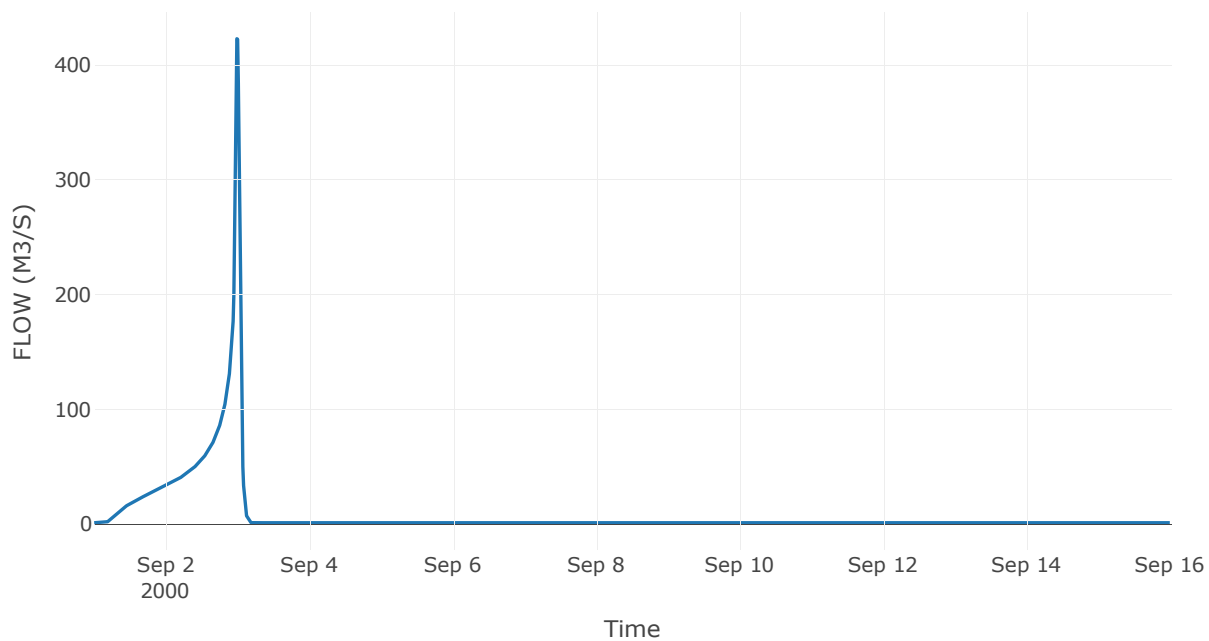
Κατάντη : J10

Μέθοδος Διόδευσης	Χρόνος
Αρχική Μεταβλητή	Combined Inflow
Χρόνος Υστέρησης	0

Αποτελέσματα: R1210

Παροχή Αιχμής(M3/S)	423.08
Χρονική στιγμή αιχμής	02Sep2000, 23:45
Όγκος(MM)	366.01
Παροχή Αιχμής Εισόδου (M3/S)	423.08
Όγκος Εισροής(M3)	1.1E7

Απορροή



Κλάδος: R1310

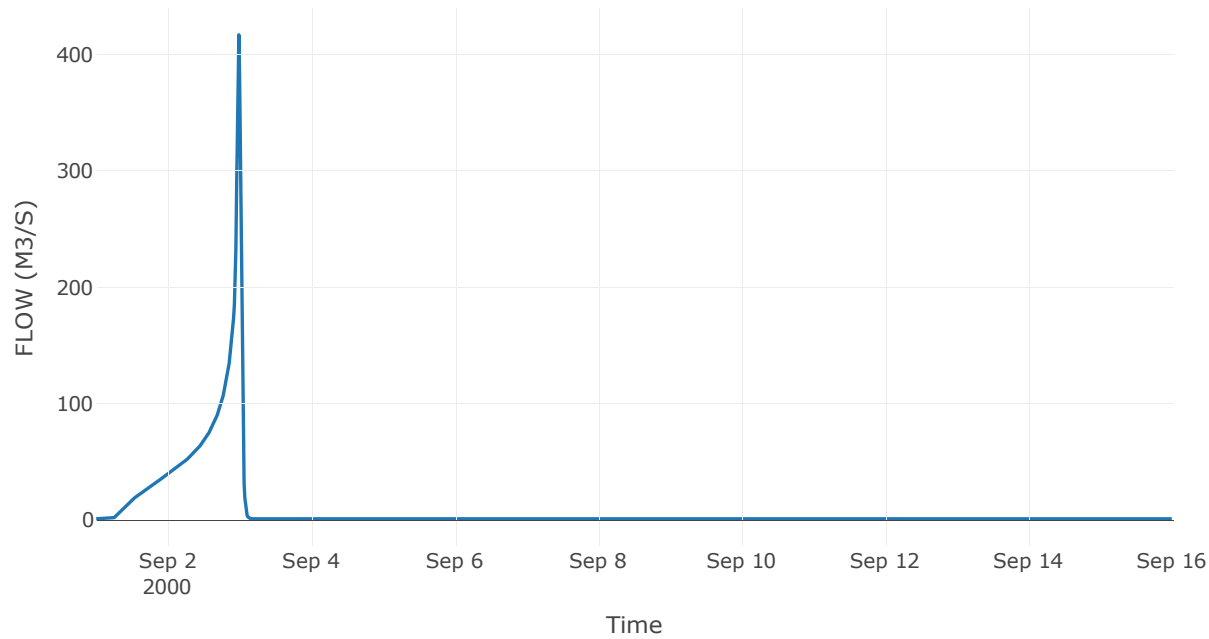
Κατάντη : J10

Μέθοδος Διόδευσης	Χρόνος
Αρχική Μεταβλητή	Combined Inflow
Χρόνος Υστέρησης	0

Αποτελέσματα: R1310

Παροχή Αιχμής(M3/S)	416.88
Χρονική στιγμή αιχμής	02Sep2000, 23:45
Όγκος(MM)	367.4
Παροχή Αιχμής Εισόδου (M3/S)	416.88
Όγκος Εισροής(M3)	1.18E7

Απορροή



Κλάδος: R1410

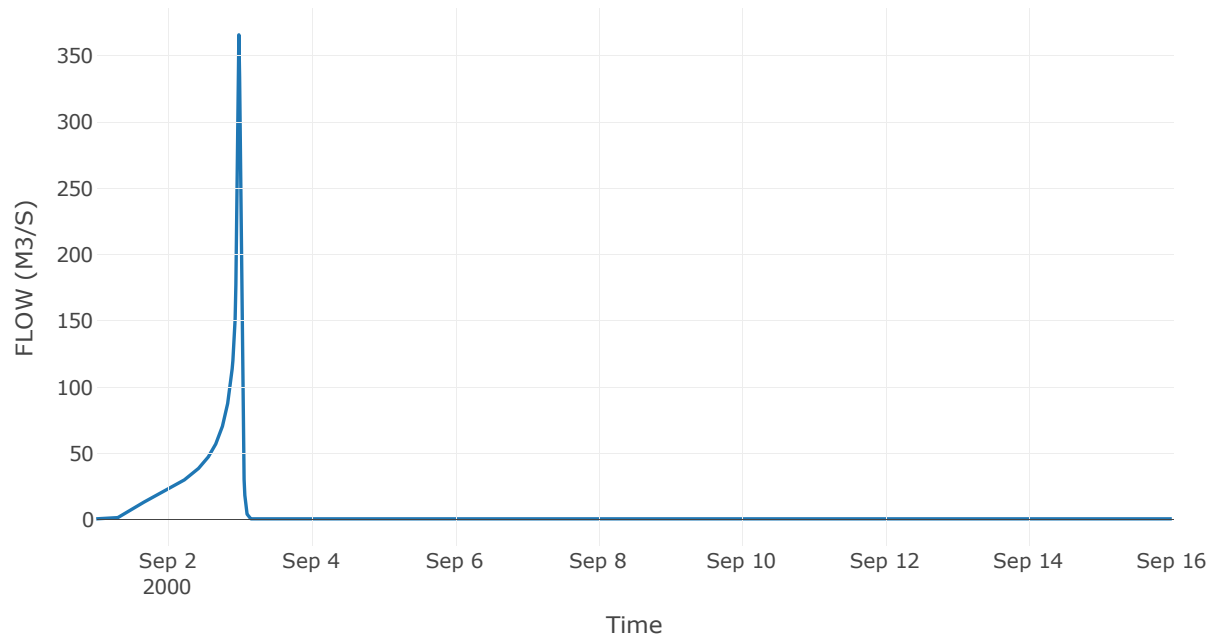
Κατάντη : J10

Μέθοδος Διόδευσης	Χρόνος
Αρχική Μεταβλητή	Combined Inflow
Χρόνος Υστέρησης	0

Αποτελέσματα: R1410

Παροχή Αιχμής(M3/S)	365.72
Χρονική στιγμή αιχμής	02Sep2000, 23:45
Όγκος(MM)	336.14
Παροχή Αιχμής Εισόδου (M3/S)	365.72
Όγκος Εισροής(M3)	8.23E6

Απορροή



Κλάδος: R1510

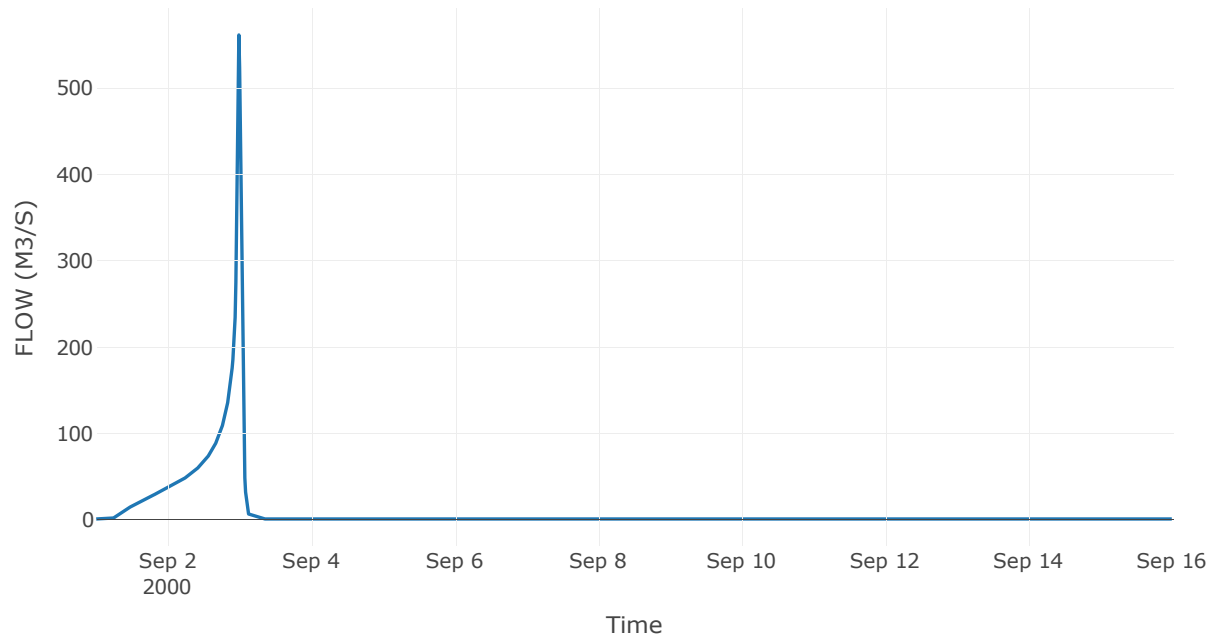
Κατάντη : J10

Μέθοδος Διόδευσης	Χρόνος
Αρχική Μεταβλητή	Combined Inflow
Χρόνος Υστέρησης	0

Αποτελέσματα: R1510

Παροχή Αιχμής(M3/S)	561.71
Χρονική στιγμή αιχμής	02Sep2000, 23:45
Όγκος(MM)	361.01
Παροχή Αιχμής Εισόδου (M3/S)	561.71
Όγκος Εισροής(M3)	1.32E7

Απορροή



Κλάδος: R1610

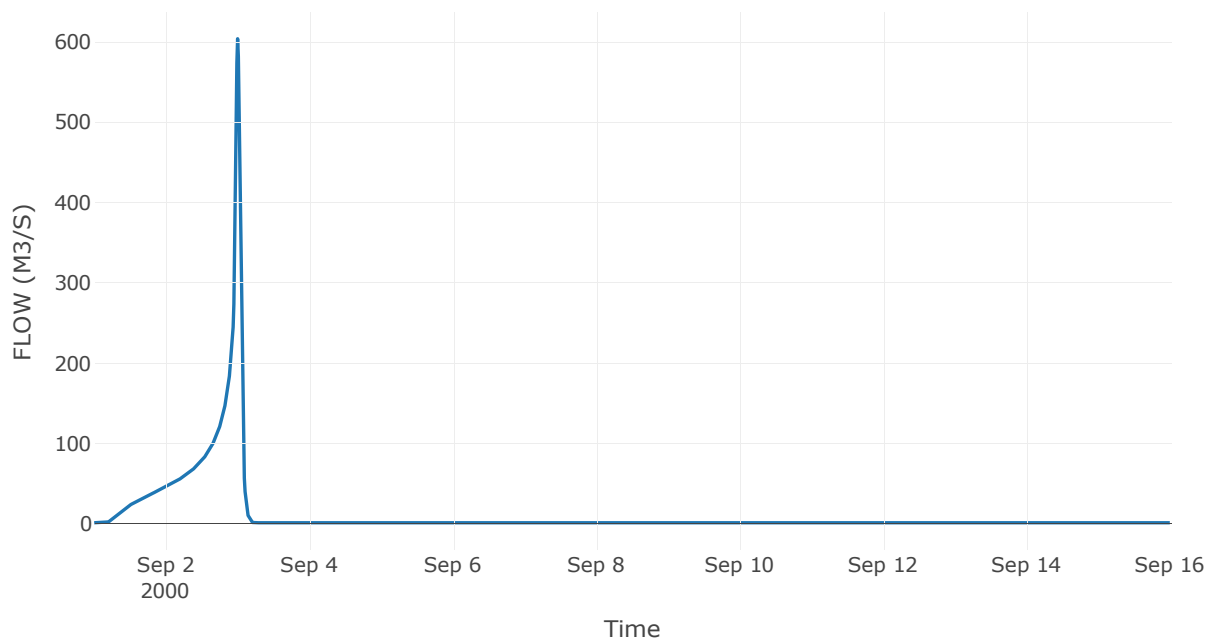
Κατάντη : J10

Μέθοδος Διόδευσης	Χρόνος
Αρχική Μεταβλητή	Combined Inflow
Χρόνος Υστέρησης	0

Αποτελέσματα: R1610

Παροχή Αιχμής(M3/S)	603.67
Χρονική στιγμή αιχμής	02Sep2000, 24:00
Όγκος(MM)	376.7
Παροχή Αιχμής Εισόδου (M3/S)	603.67
Όγκος Εισροής(M3)	1.58E7

Απορροή



Κλάδος: R1710

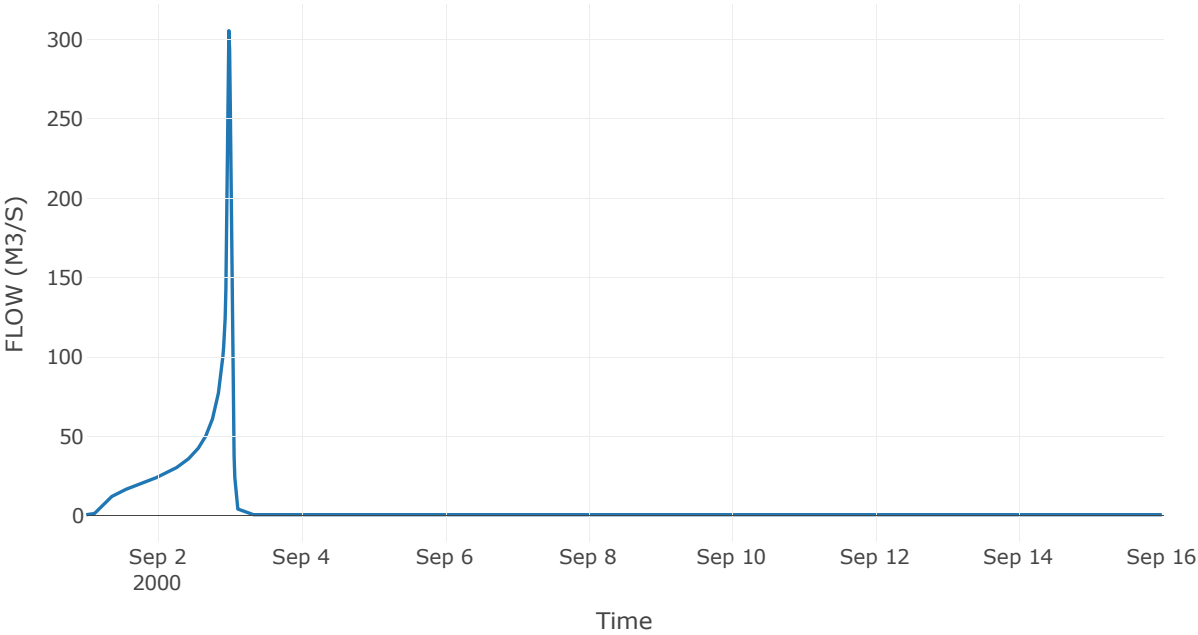
Κατάντη : J10

Μέθοδος Διόδευσης	Χρόνος
Αρχική Μεταβλητή	Combined Inflow
Χρόνος Υστέρησης	0

Αποτελέσματα: R1710

Παροχή Αιχμής(M3/S)	305.38
Χρονική στιγμή αιχμής	02Sep2000, 23:45
Όγκος(MM)	396.08
Παροχή Αιχμής Εισόδου (M3/S)	305.38
Όγκος Εισροής(M3)	7.74E6

Απορροή



Κλάδος: R1810

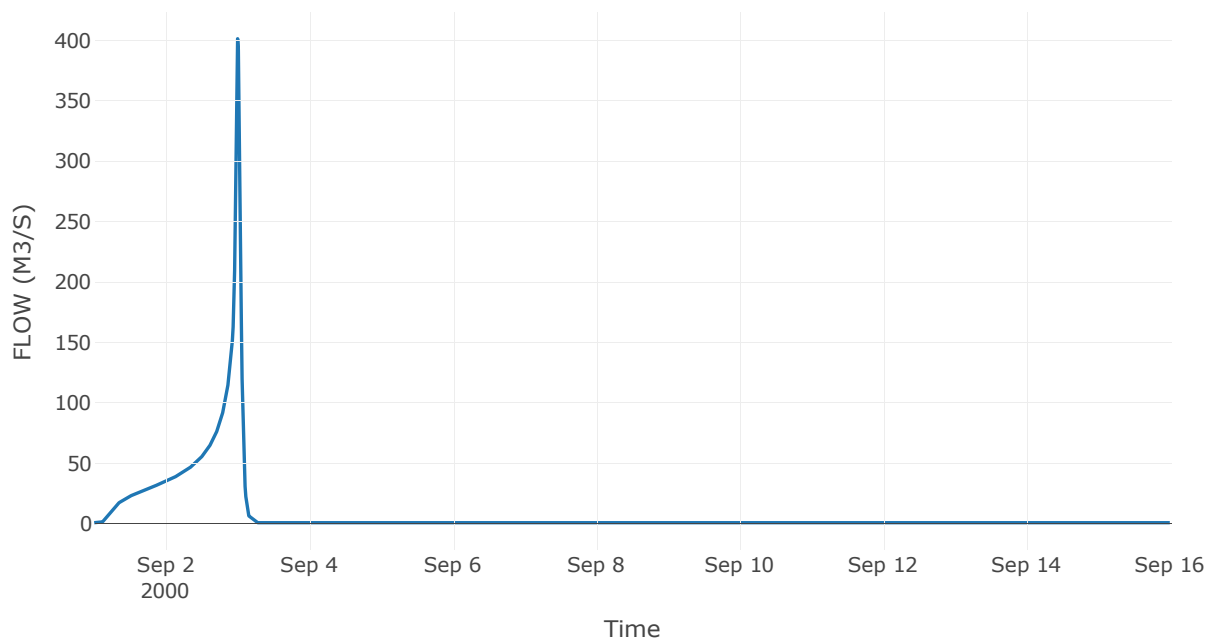
Κατάντη : J10

Μέθοδος Διόδευσης	Χρόνος
Αρχική Μεταβλητή	Combined Inflow
Χρόνος Υστέρησης	0

Αποτελέσματα: R1810

Παροχή Αιχμής(M3/S)	401.09
Χρονική στιγμή αιχμής	02Sep2000, 24:00
Όγκος(MM)	393.15
Παροχή Αιχμής Εισόδου (M3/S)	401.09
Όγκος Εισροής(M3)	1.13E7

Απορροή



Κλάδος: R1910

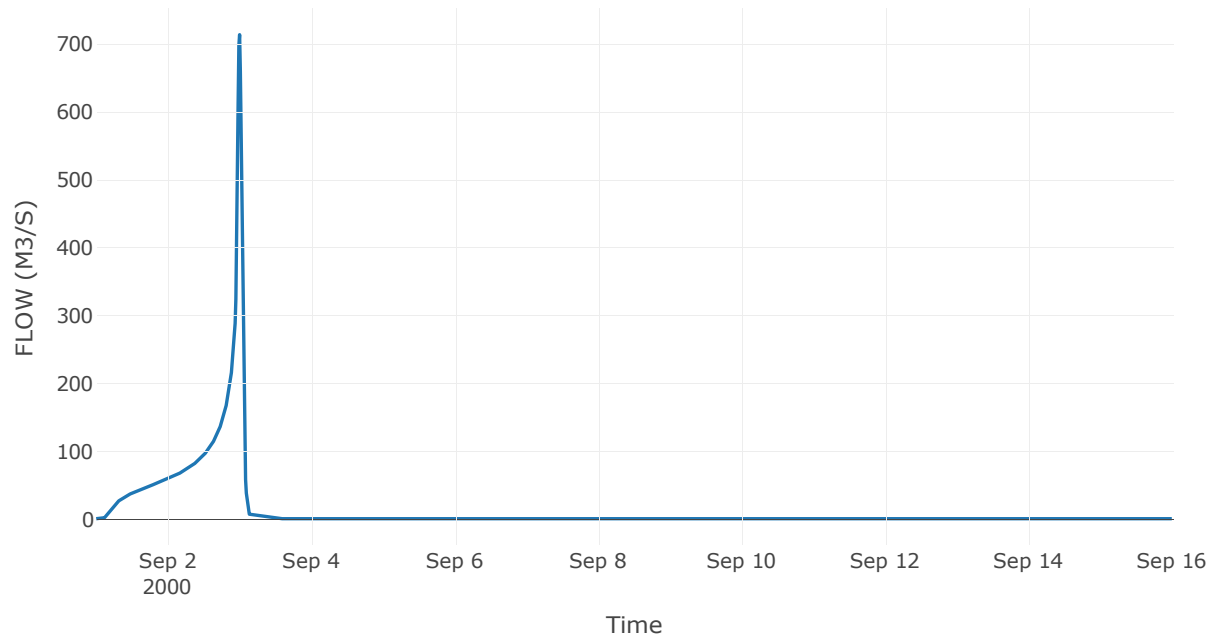
Κατάντη : J10

Μέθοδος Διόδευσης	Χρόνος
Αρχική Μεταβλητή	Combined Inflow
Χρόνος Υστέρησης	0

Αποτελέσματα: R1910

Παροχή Αιχμής(M3/S)	713.55
Χρονική στιγμή αιχμής	02Sep2000, 24:00
Όγκος(MM)	389.22
Παροχή Αιχμής Εισόδου (M3/S)	713.55
Όγκος Εισροής(M3)	1.91E7

Απορροή



Κλάδος: R16

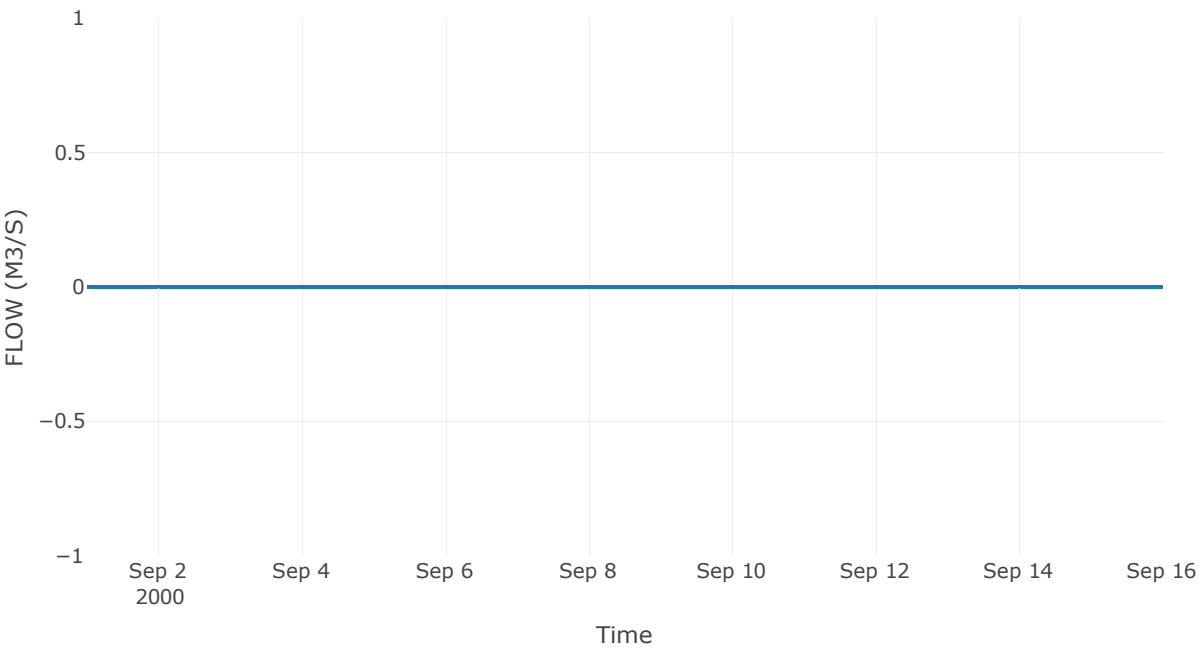
Κατάντη : J6

Μέθοδος Διόδευσης	Muskingum
Αρχική Μεταβλητή	Combined Inflow
Χρόνος Ροής K	8.55
Συντελεστής βάρους x	0.2
Πλήθος Υποκλάδων	59

Αποτελέσματα: R16

Παροχή Αιχμής(M3/S)	0
Χρονική στιγμή αιχμής	31Aug2000, 24:00
Εισροή Αιχμής(M3/S)	0
Όγκος Εισροής (M3)	0

Απορροή



Κλάδος: R74

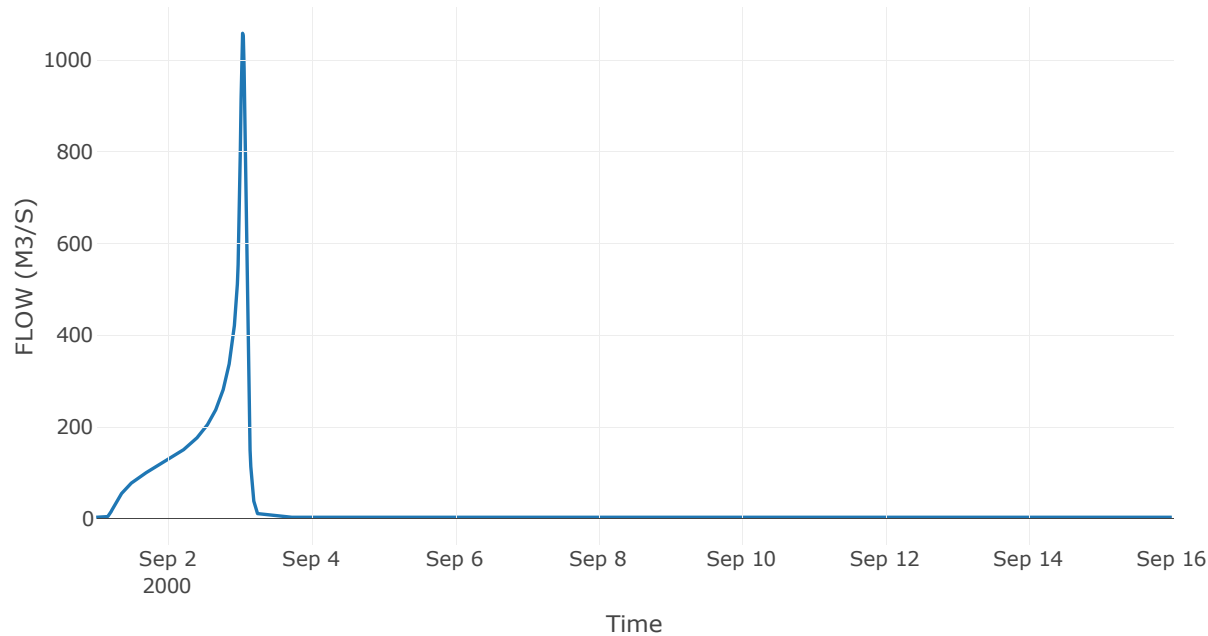
Κατάντη : J4

Μέθοδος Διόδευσης	Muskingum
Αρχική Μεταβλητή	Combined Inflow
Χρόνος Ροής Κ	0.81
Συντελεστής βάρους x	0.2
Πλήθος Υποκλάδων	6

Αποτελέσματα: R74

Παροχή Αιχμής(M3/S)	1057.48
Χρονική στιγμή αιχμής	03Sep2000, 01:00
Όγκος(MM)	426.72
Παροχή Αιχμής Εισόδου (M3/S)	1094.66
Όγκος Εισροής(M3)	3.86E7

Απορροή



Κλάδος: R85

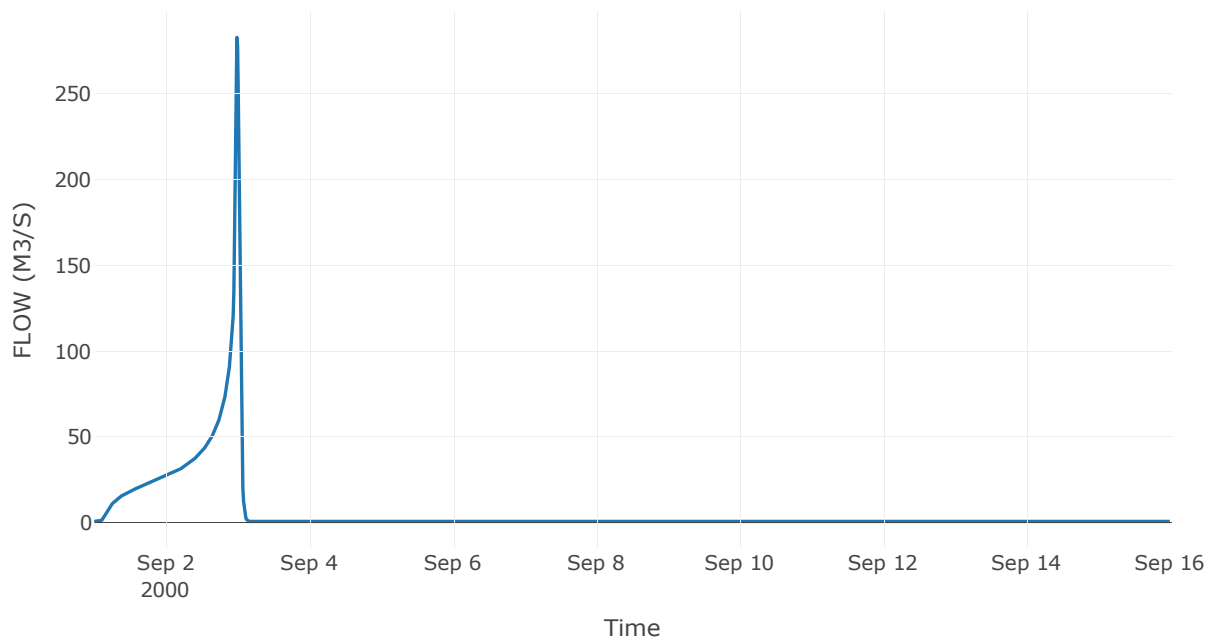
Κατάντη : J5

Μέθοδος Διόδευσης	Muskingum
Αρχική Μεταβλητή	Combined Inflow
Χρόνος Ροής Κ	0.16
Συντελεστής βάρους x	0.2
Πλήθος Υποκλάδων	1

Αποτελέσματα: R85

Παροχή Αιχμής(M3/S)	282.9
Χρονική στιγμή αιχμής	02Sep2000, 23:45
Όγκος(MM)	391.64
Παροχή Αιχμής Εισόδου (M3/S)	287.32
Όγκος Εισροής(M3)	7.99E6

Απορροή



Κλάδος: R95

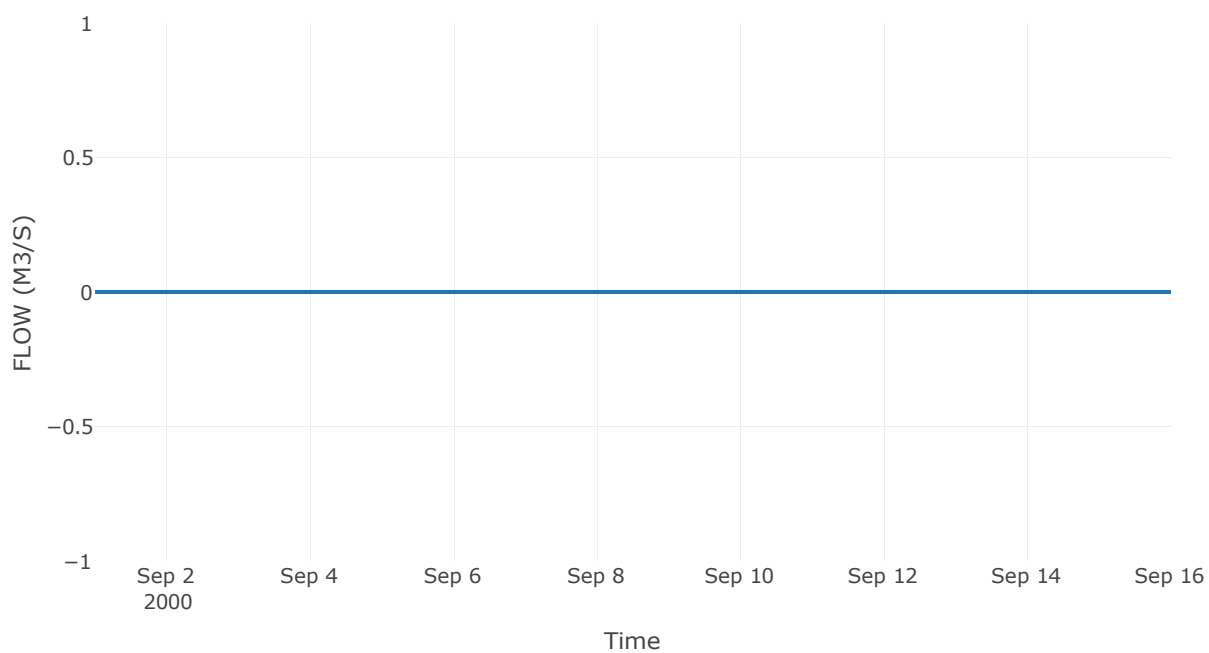
Κατάντη : J5

Μέθοδος Διόδευσης	Χρόνος
Αρχική Μεταβλητή	Combined Inflow
Χρόνος Υστέρησης	50.76

Αποτελέσματα: R95

Παροχή Αιχμής(M3/S)	0
Χρονική στιγμή αιχμής	31Aug2000, 24:00
Εισροή Αιχμής(M3/S)	0
Όγκος Εισροής (M3)	0

Απορροή



Κλάδος: R2011

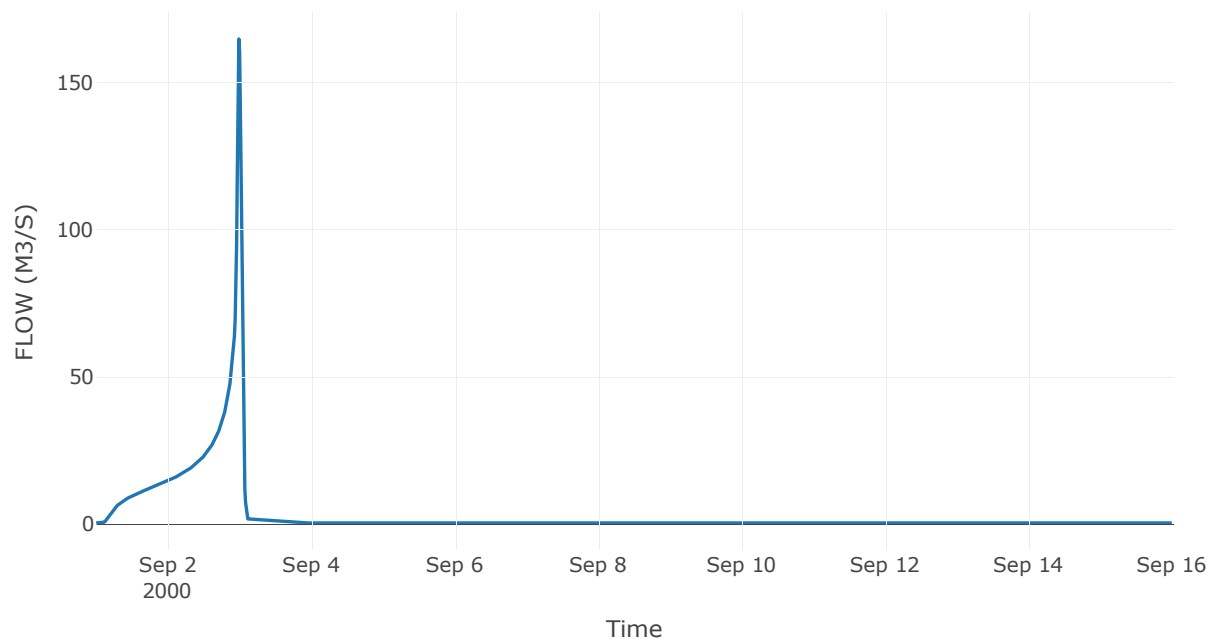
Κατάντη : J11

Μέθοδος Διόδευσης	Χρόνος
Αρχική Μεταβλητή	Combined Inflow
Χρόνος Υστέρησης	7.62

Αποτελέσματα: R2011

Παροχή Αιχμής(M3/S)	164.88
Χρονική στιγμή αιχμής	02Sep2000, 23:45
Όγκος(MM)	397.38
Παροχή Αιχμής Εισόδου (M3/S)	167.65
Όγκος Εισροής(M3)	4.46E6

Απορροή



Κλάδος: R2117

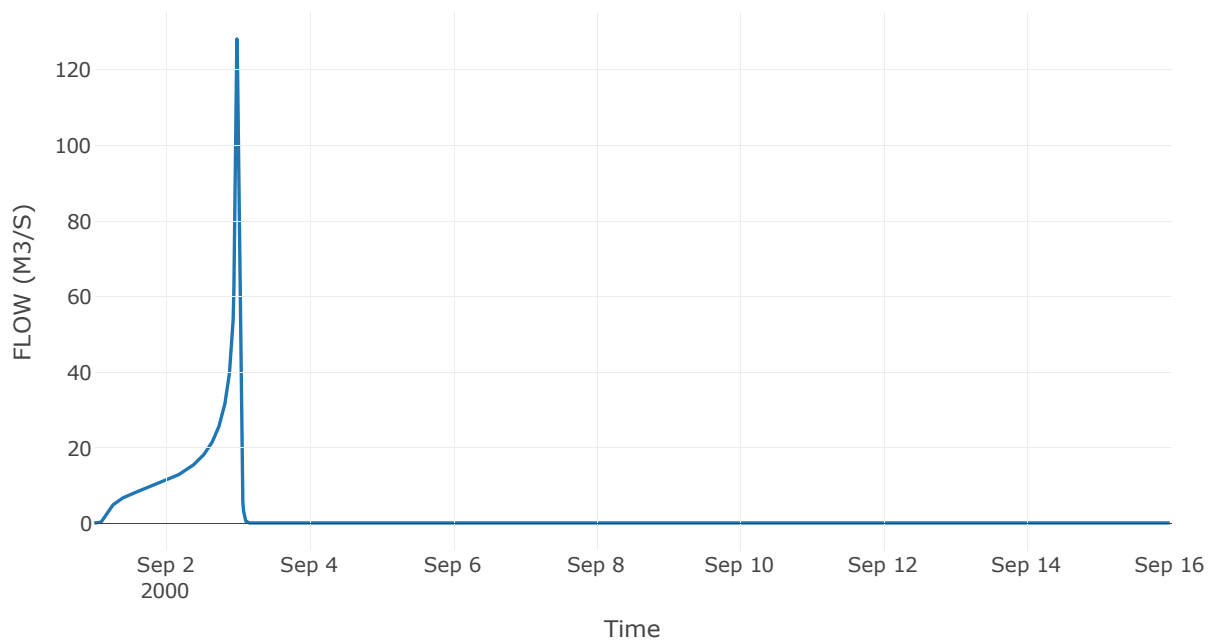
Κατάντη : J17

Μέθοδος Διόδευσης	Χρόνος
Αρχική Μεταβλητή	Combined Inflow
Χρόνος Υστέρησης	7.15

Αποτελέσματα: R2117

Παροχή Αιχμής(M3/S)	128.2
Χρονική στιγμή αιχμής	02Sep2000, 23:45
Όγκος(MM)	403.09
Παροχή Αιχμής Εισόδου (M3/S)	128.98
Όγκος Εισροής(M3)	3.41E6

Απορροή



Κλάδος: R2218

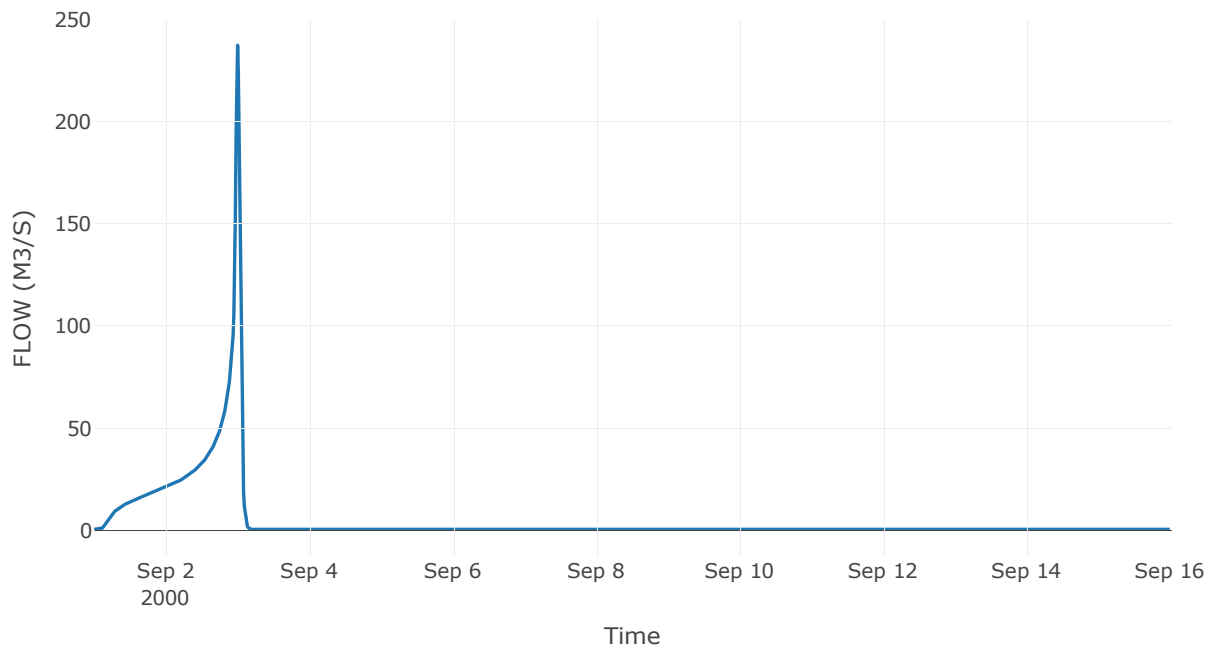
Κατάντη : J18

Μέθοδος Διόδευσης	Muskingum
Αρχική Μεταβλητή	Combined Inflow
Χρόνος Ροής Κ	0.19
Συντελεστής βάρους α	0.2
Πλήθος Υποκλάδων	1

Αποτελέσματα: R2218

Παροχή Αιχμής(M3/S)	237.3
Χρονική στιγμή αιχμής	02Sep2000, 24:00
Όγκος(MM)	396.6
Παροχή Αιχμής Εισόδου (M3/S)	241.64
Όγκος Εισροής(M3)	6.5E6

Απορροή



Κλάδος: R2319

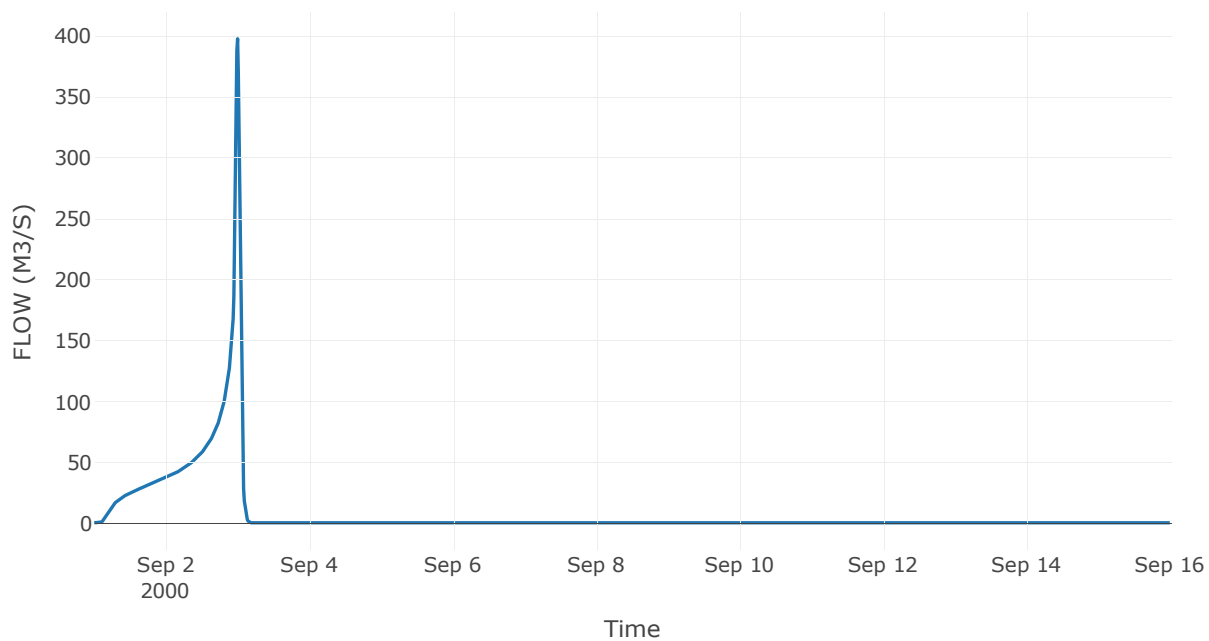
Κατάντη : J19

Μέθοδος Διόδευσης	Χρόνος
Αρχική Μεταβλητή	Combined Inflow
Χρόνος Υστέρησης	8.57

Αποτελέσματα: R2319

Παροχή Αιχμής(M3/S)	397.72
Χρονική στιγμή αιχμής	02Sep2000, 24:00
Όγκος(MM)	395.79
Παροχή Αιχμής Εισόδου (M3/S)	404.14
Όγκος Εισροής(M3)	1.14E7

Απορροή



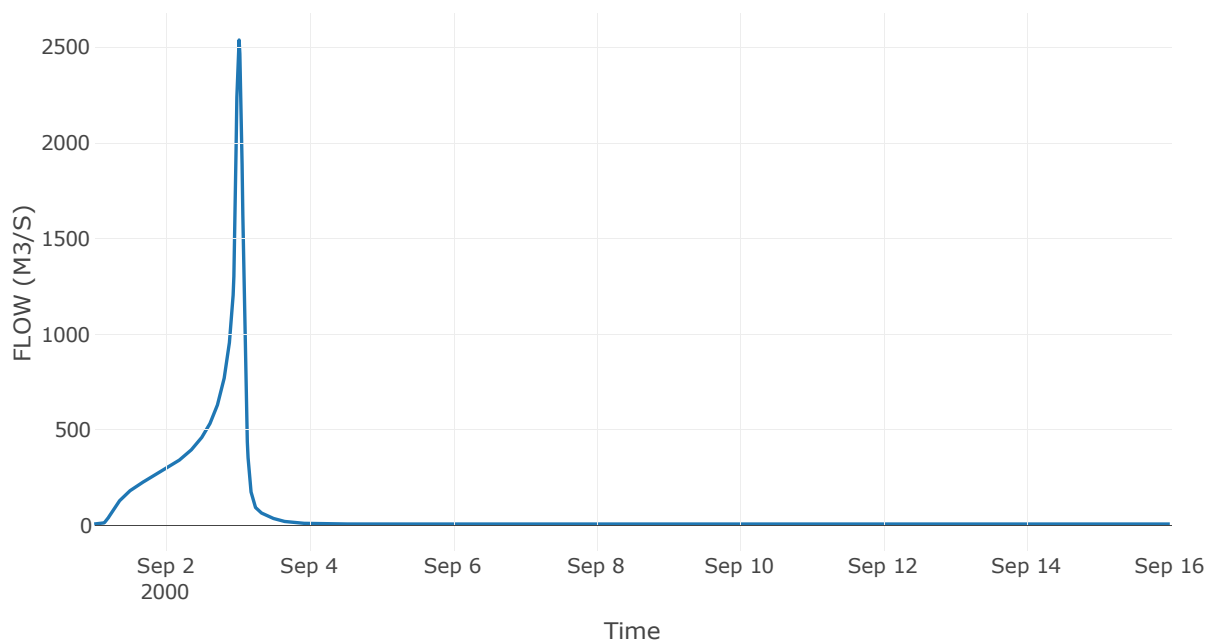
Δεδομένα και υδρογραφήματα σχεδιασμού Κόμβων υδρογραφικού δικτύου

Κόμβος εξόδου: J1

Αποτελέσμα
τα: J1

Παροχή αιχμής (M3/S)	2537.94
Χρονική στιγμή αιχμής	03Sep2000, 00:30
Όγκος (MM)	395.46

Απορροή



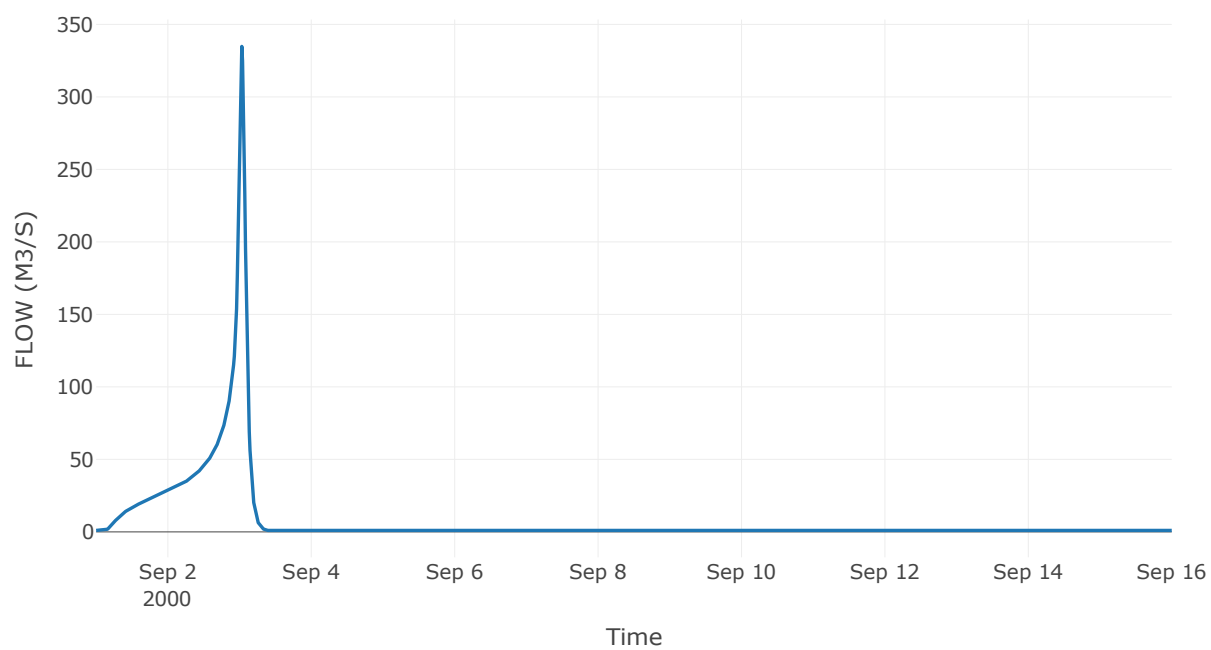
Κόμβος: J2

Κατάντη : R21

Αποτελέσματα: J2

Παροχή Αιχμής(M3/S)	334.84
Χρονική στιγμή αιχμής	03Sep2000, 00:45
Όγκος(MM)	371.32

Απορροή



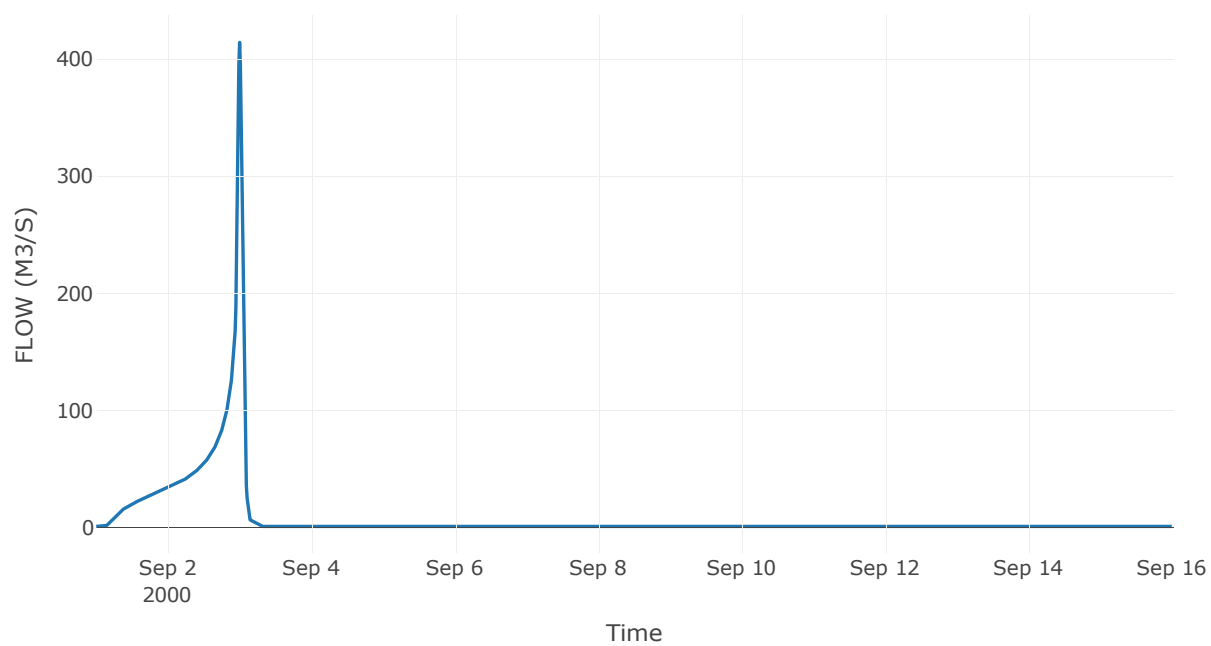
Κόμβος: J3

Κατάντη : R31

Αποτελέσματα: J3

Παροχή Αιχμής(M3/S)	414.16
Χρονική στιγμή αιχμής	02Sep2000, 24:00
Όγκος(MM)	370.5

Απορροή



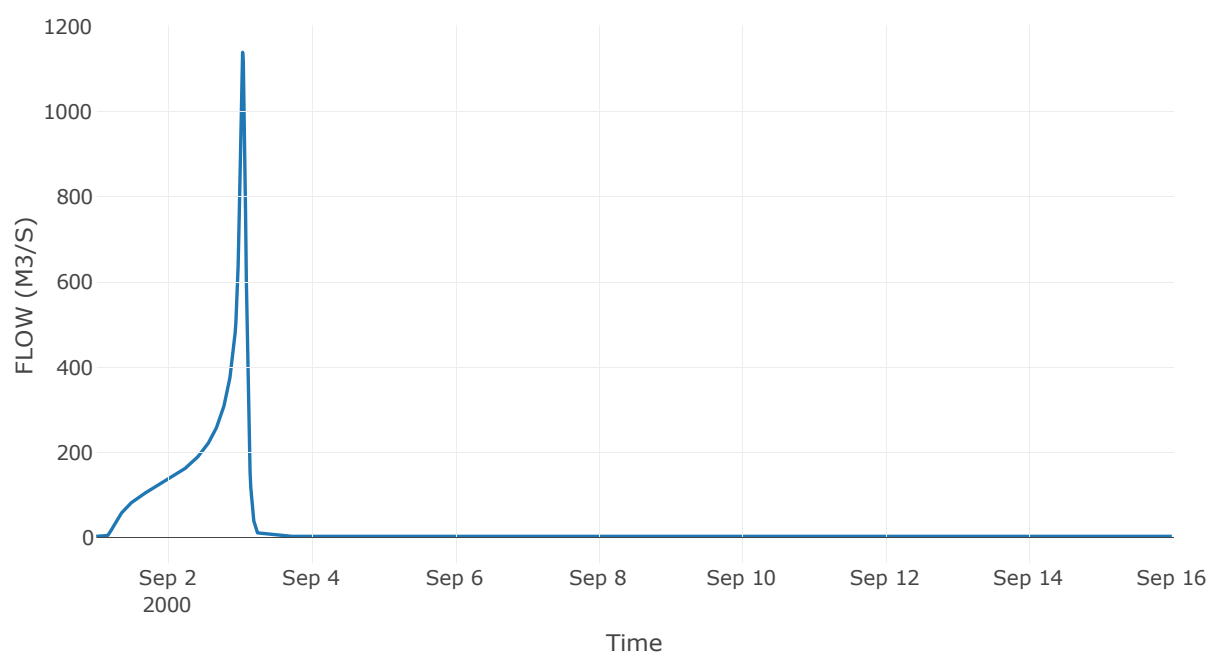
Κόμβος: J4

Κατάντη : R41

Αποτελέσματα: J4

Παροχή Αιχμής(M3/S)	1139.04
Χρονική στιγμή αιχμής	03Sep2000, 01:00
Όγκος(MM)	421.93

Απορροή



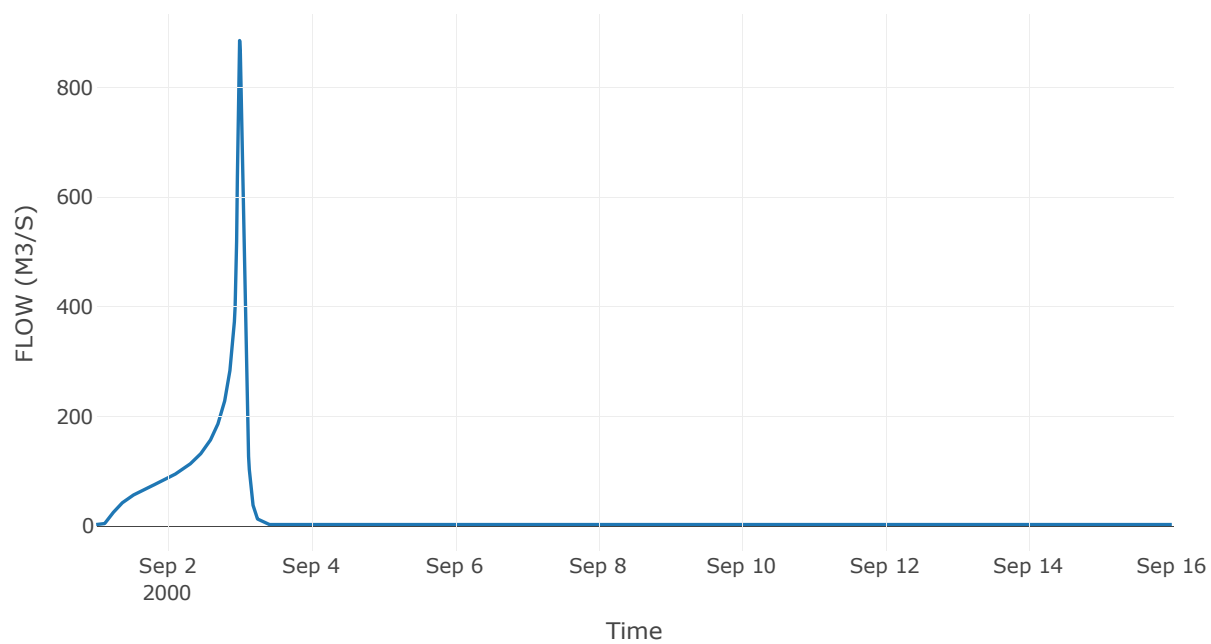
Κόμβος: J5

Κατάντη : R51

Αποτελέσματα: J5

Παροχή Αιχμής(M3/S)	886.81
Χρονική στιγμή αιχμής	02Sep2000, 24:00
Όγκος(MM)	380.63

Απορροή

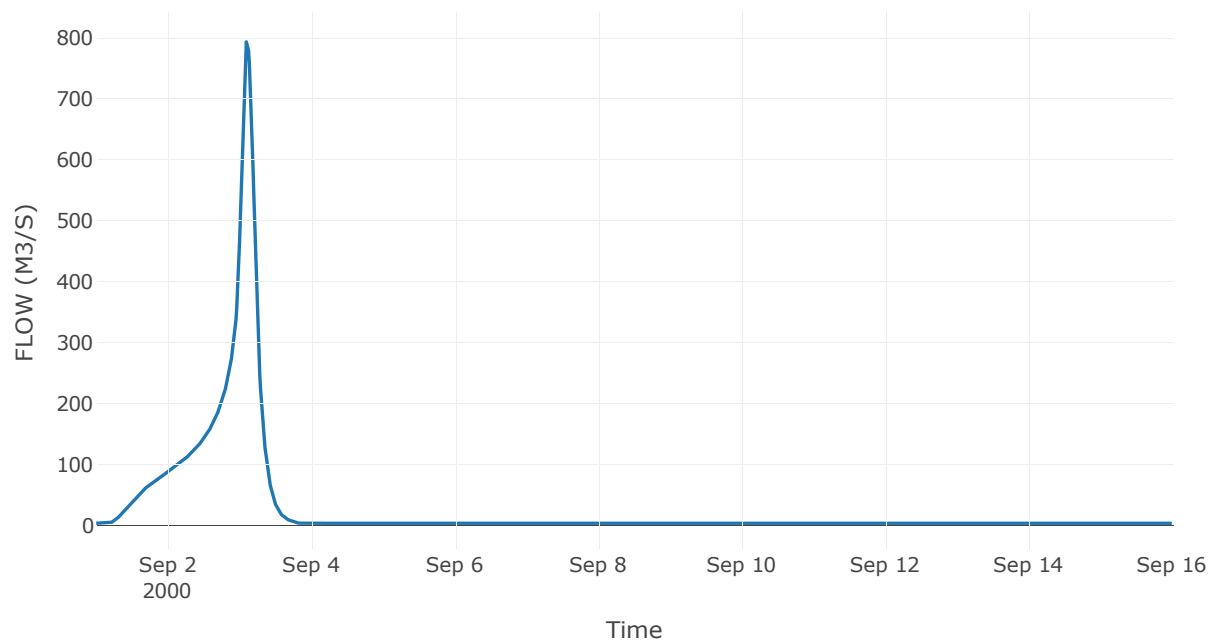


Κόμβος εξόδου: J6

Αποτελέσμα
α: J6

Παροχή αιχμής (M3/S)	797.92
Χρονική στιγμή αιχμής	03Sep2000, 02:30
Όγκος (MM)	361.34

Απορροή



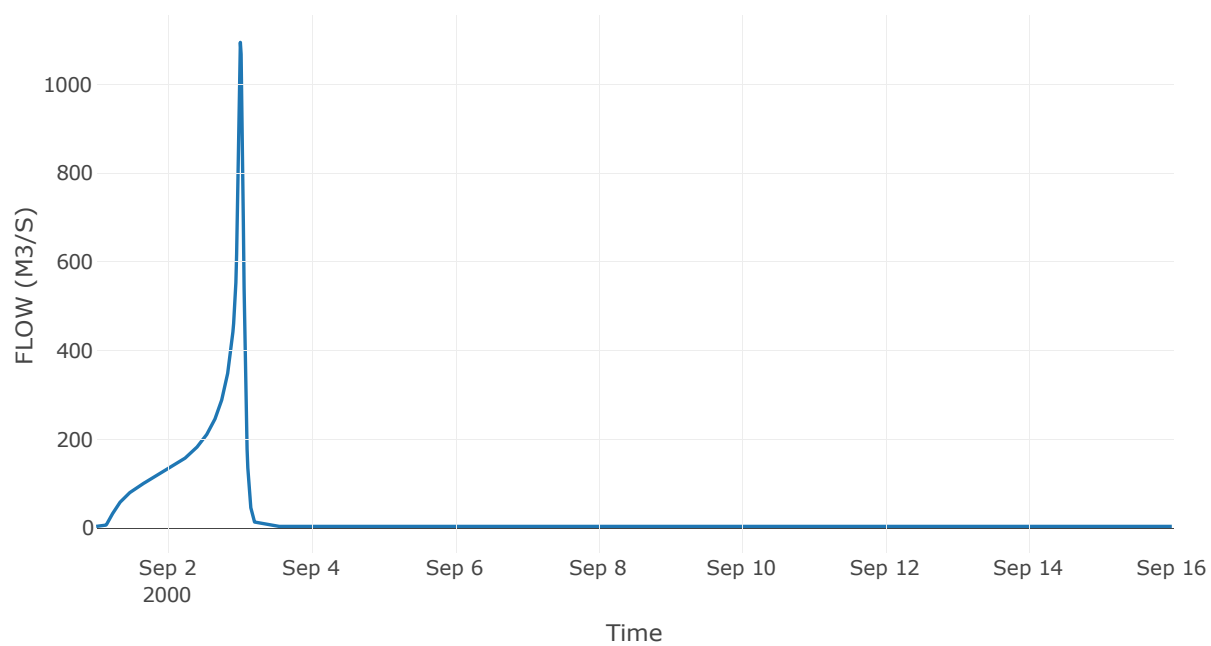
Κόμβος: J7

Κατάντη : R74

Αποτελέσματα: J7

Παροχή Αιχμής(M3/S)	1094.66
Χρονική στιγμή αιχμής	03Sep2000, 00:15
Όγκος(MM)	426.72

Απορροή



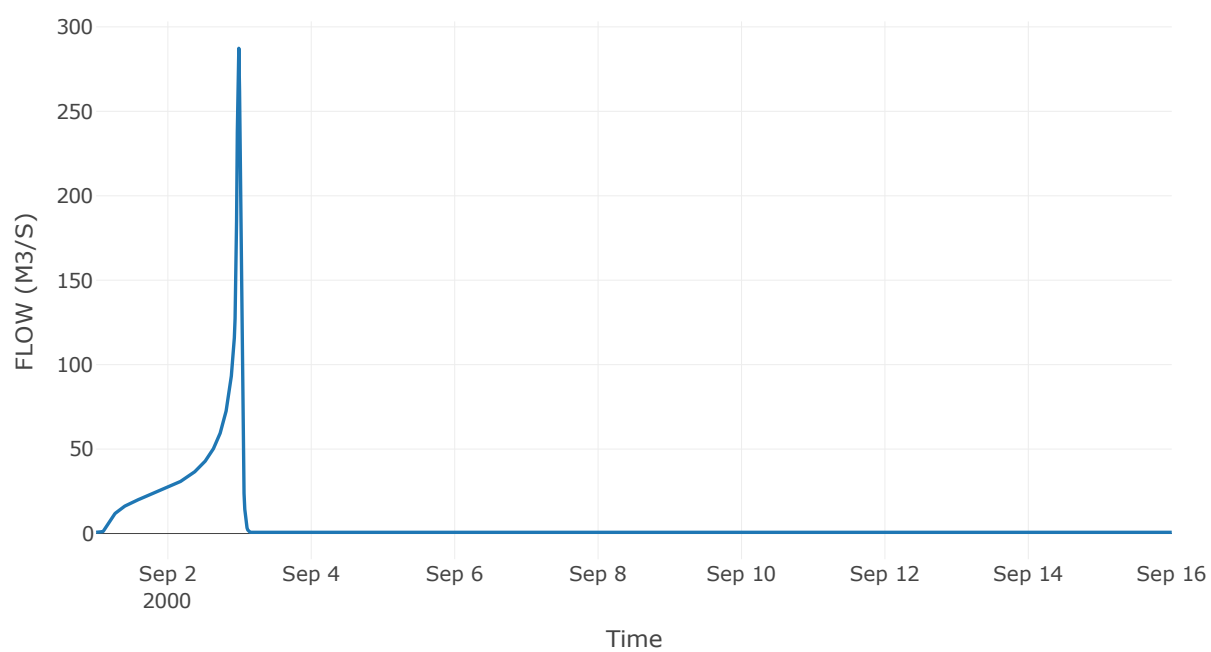
Κόμβος: J8

Κατάντη : R85

Αποτελέσματα: J8

Παροχή Αιχμής(M3/S)	287.32
Χρονική στιγμή αιχμής	02Sep2000, 23:45
Όγκος(MM)	391.64

Απορροή



Κόμβος: J9

Κατάντη : R95

Αποτελέσματα: J9

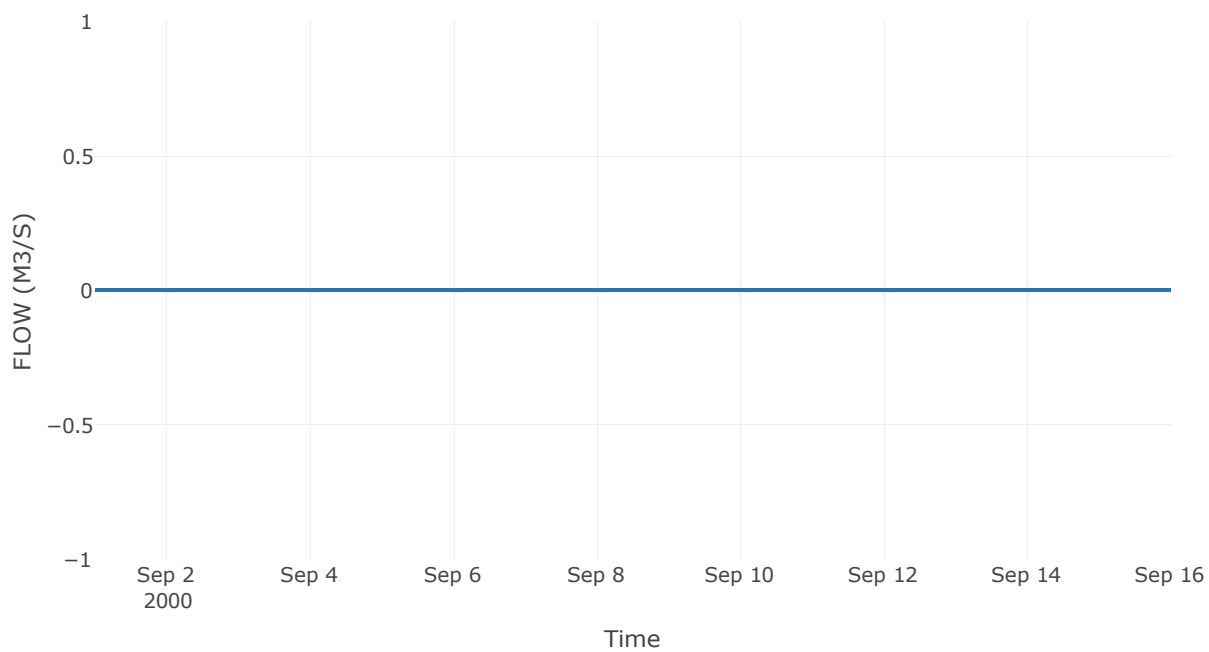
Παροχή Αιχμής(M3/S)

0

Χρονική στιγμή αιχμής

31Aug2000, 24:00

Απορροή

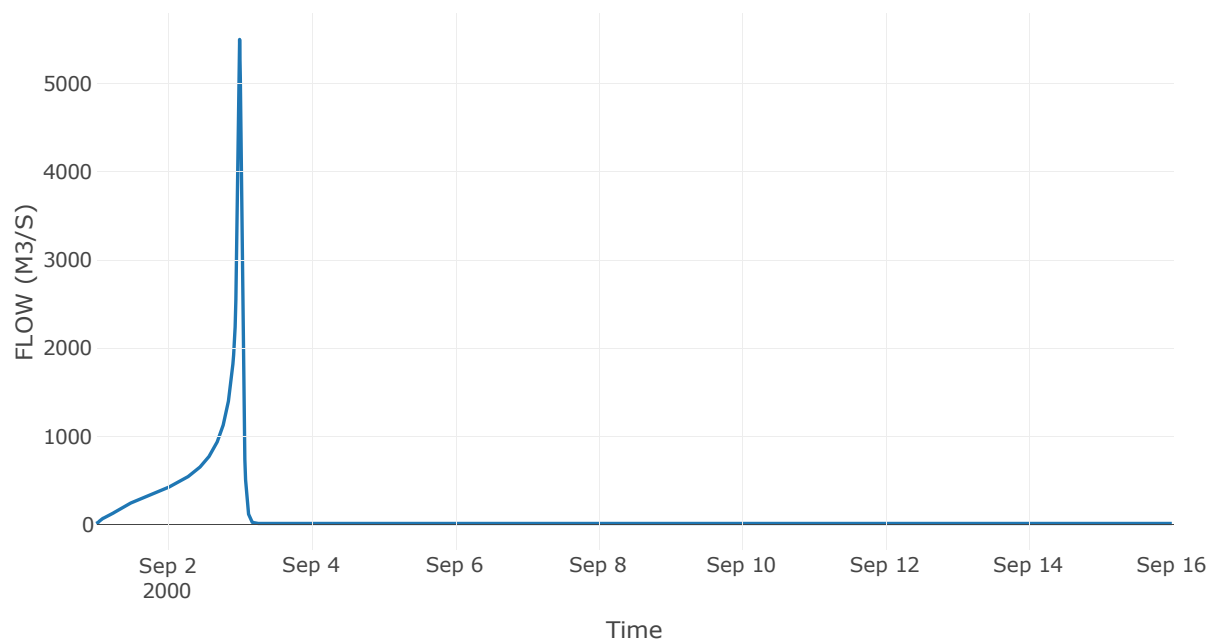


Κόμβος εξόδου: J10

Αποτελέσματ
α: J10

Παροχή αιχμής (M3/S)	5502.93
Χρονική στιγμή αιχμής	02Sep2000, 24:00
Όγκος (MM)	381.38

Απορροή



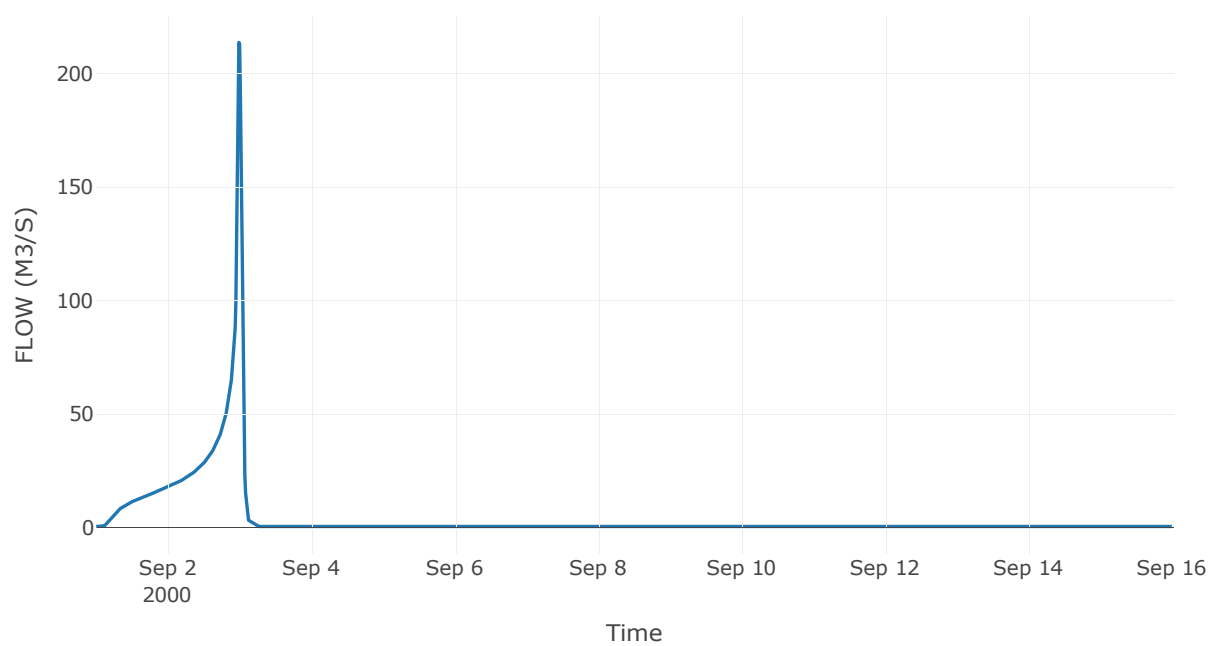
Κόμβος: J11

Κατάντη : R1110

Αποτελέσματα: J11

Παροχή Αιχμής(M3/S)	213.76
Χρονική στιγμή αιχμής	02Sep2000, 23:45
Όγκος(MM)	389.12

Απορροή



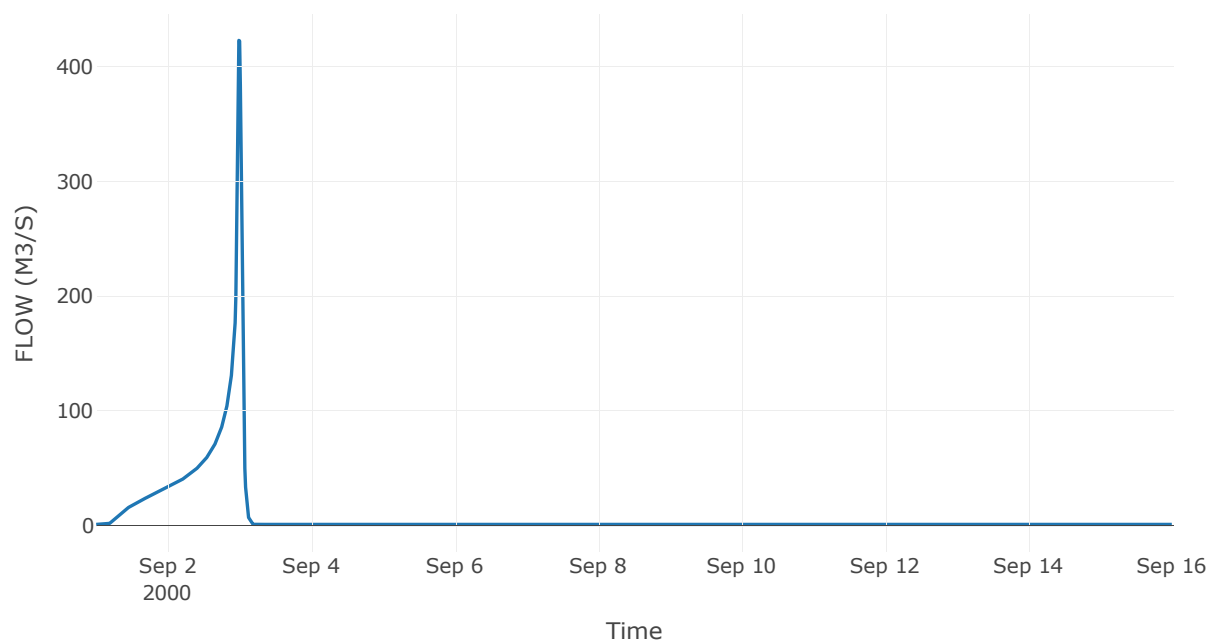
Κόμβος: J12

Κατάντη : R1210

Αποτελέσματα: J12

Παροχή Αιχμής(M3/S)	423.08
Χρονική στιγμή αιχμής	02Sep2000, 23:45
Όγκος(MM)	366.01

Απορροή



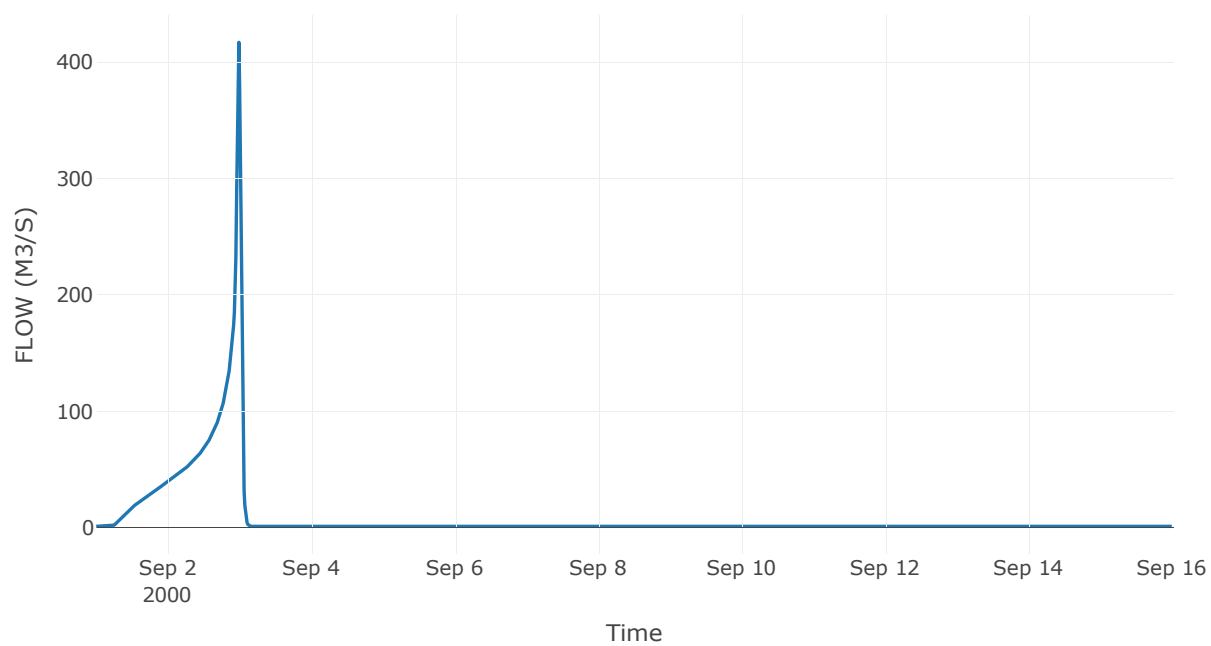
Κόμβος: J13

Κατάντη : R1310

Αποτελέσματα: J13

Παροχή Αιχμής(M3/S)	416.88
Χρονική στιγμή αιχμής	02Sep2000, 23:45
Όγκος(MM)	367.4

Απορροή



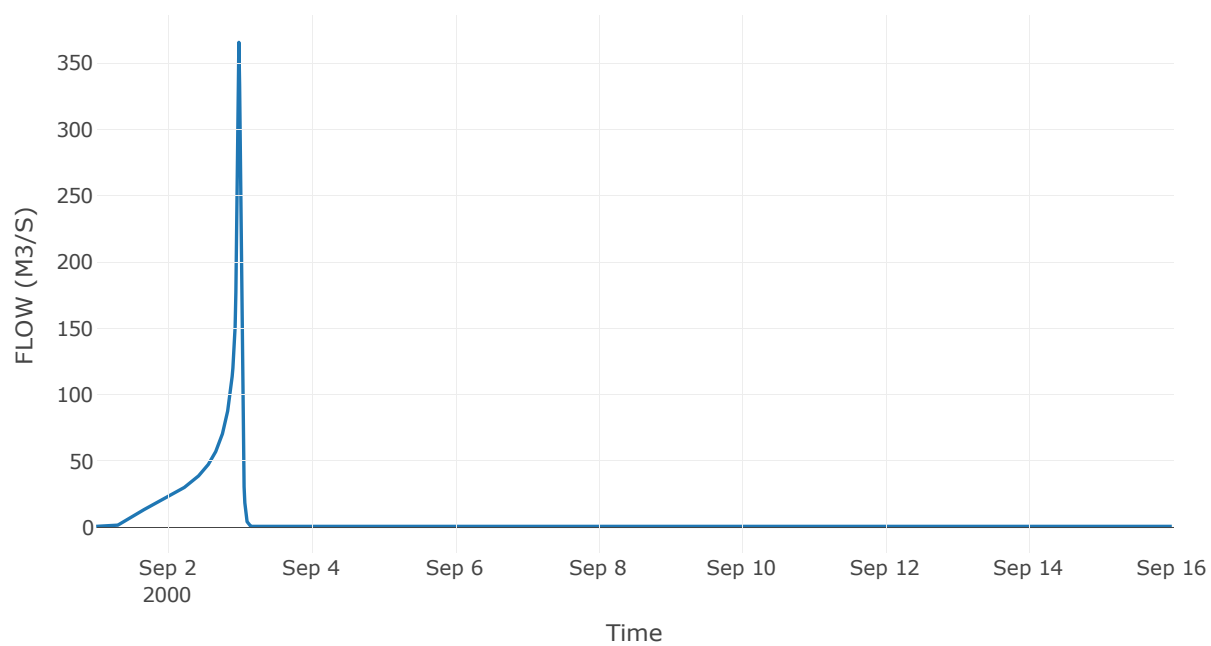
Κόμβος: J14

Κατάντη : R1410

Αποτελέσματα: J14

Παροχή Αιχμής(M3/S)	365.72
Χρονική στιγμή αιχμής	02Sep2000, 23:45
Όγκος(MM)	336.14

Απορροή



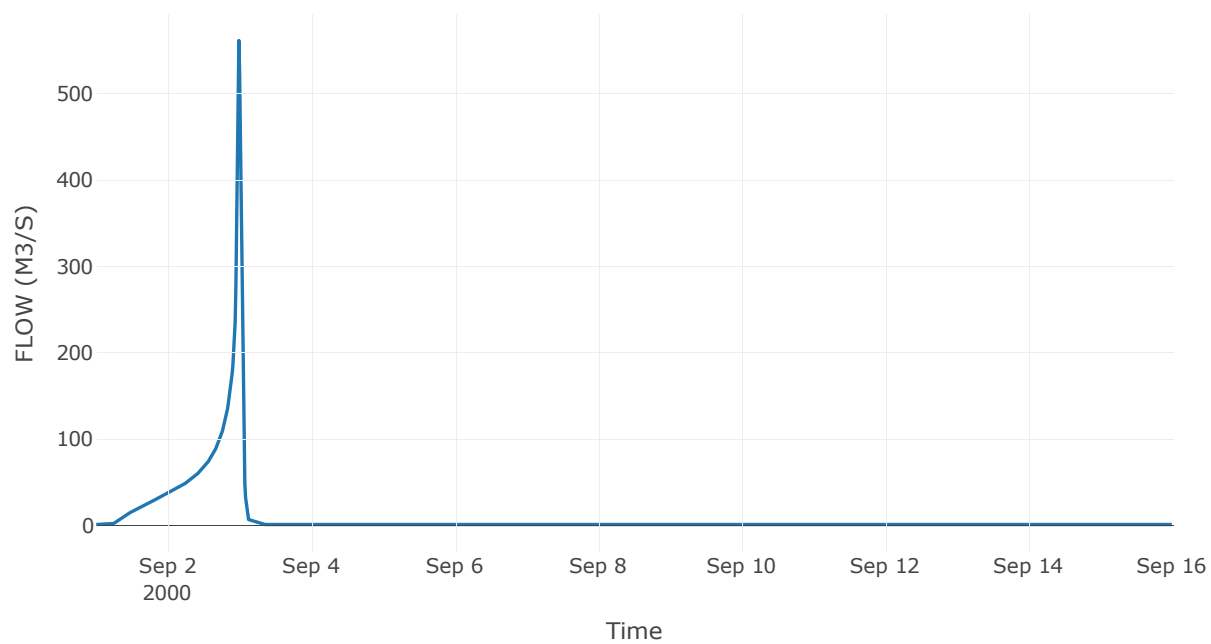
Κόμβος: J15

Κατάντη : R1510

Αποτελέσματα: J15

Παροχή Αιχμής(M3/S)	561.71
Χρονική στιγμή αιχμής	02Sep2000, 23:45
Όγκος(MM)	361.01

Απορροή



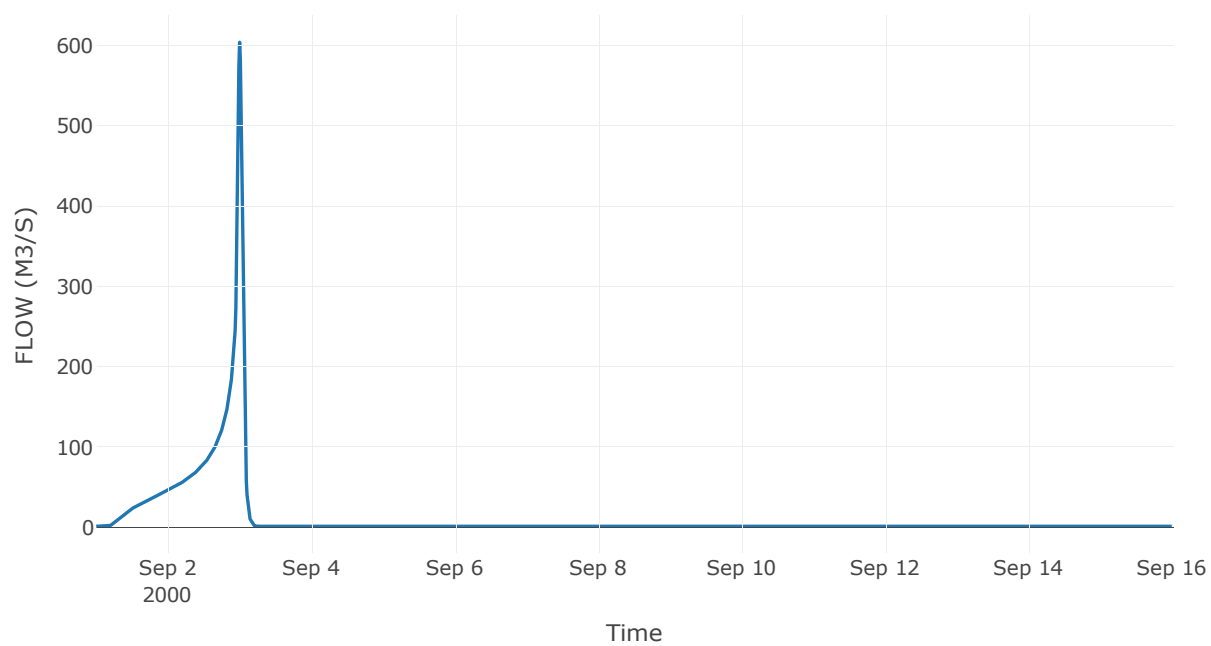
Κόμβος: J16

Κατάντη : R1610

Αποτελέσματα: J16

Παροχή Αιχμής(M3/S)	603.67
Χρονική στιγμή αιχμής	02Sep2000, 24:00
Όγκος(MM)	376.7

Απορροή



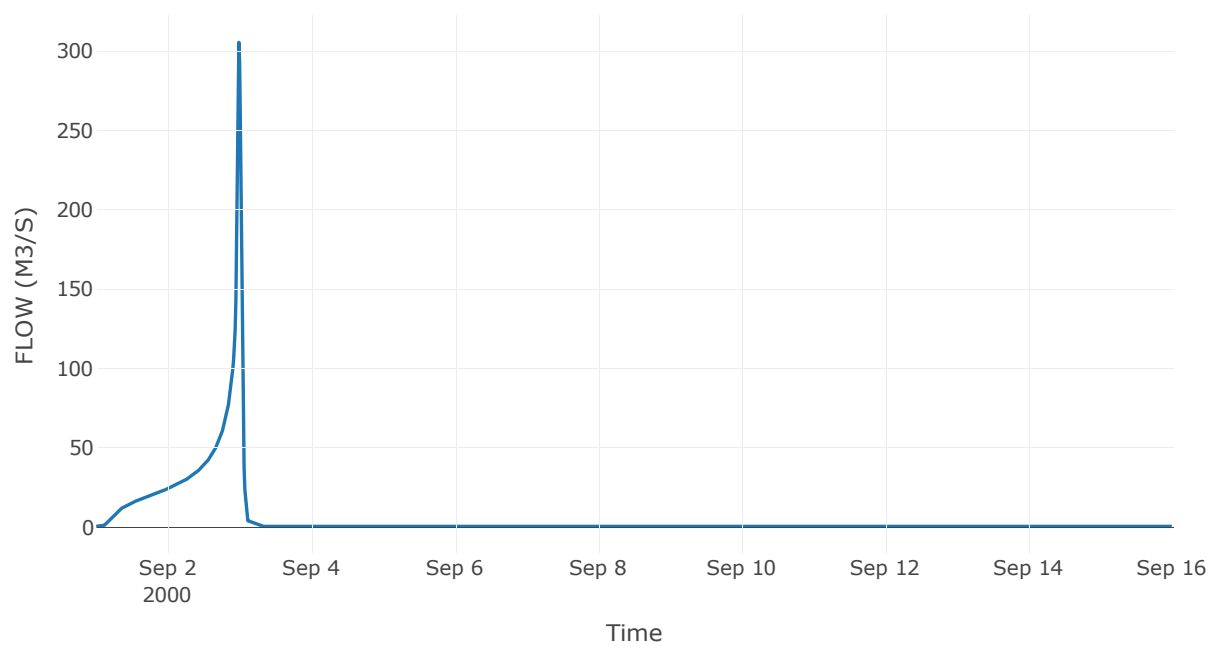
Κόμβος: J17

Κατάντη : R1710

Αποτελέσματα: J17

Παροχή Αιχμής(M3/S)	305.38
Χρονική στιγμή αιχμής	02Sep2000, 23:45
Όγκος(MM)	396.08

Απορροή



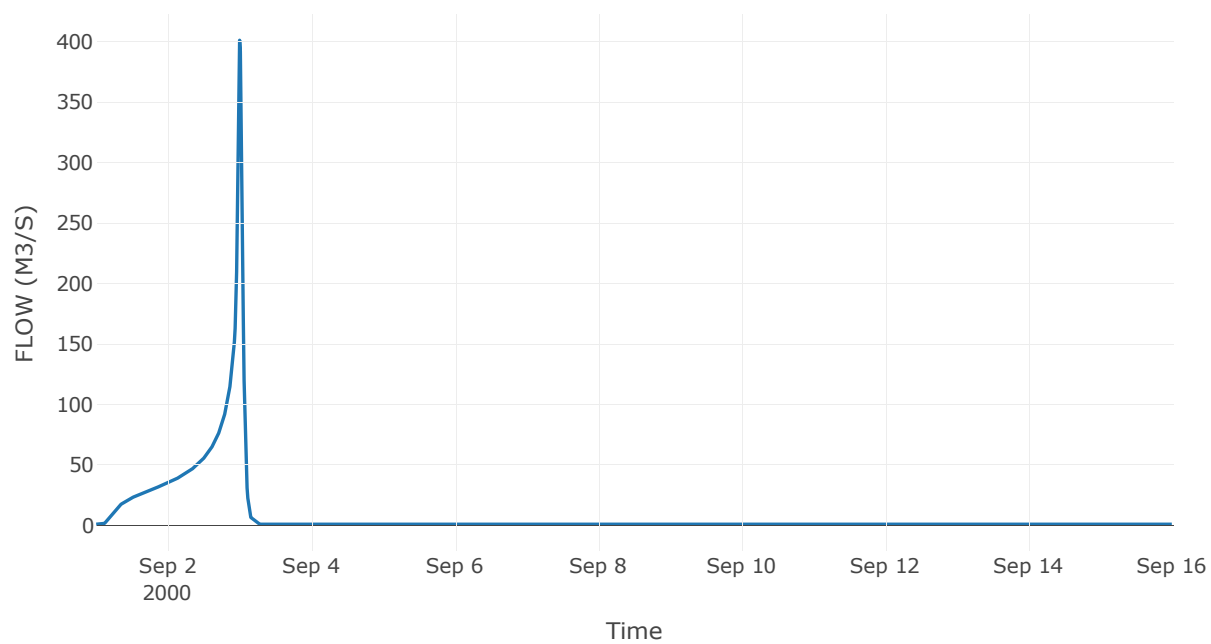
Κόμβος: J18

Κατάντη : R1810

Αποτελέσματα: J18

Παροχή Αιχμής(M3/S)	401.09
Χρονική στιγμή αιχμής	02Sep2000, 24:00
Όγκος(MM)	393.15

Απορροή



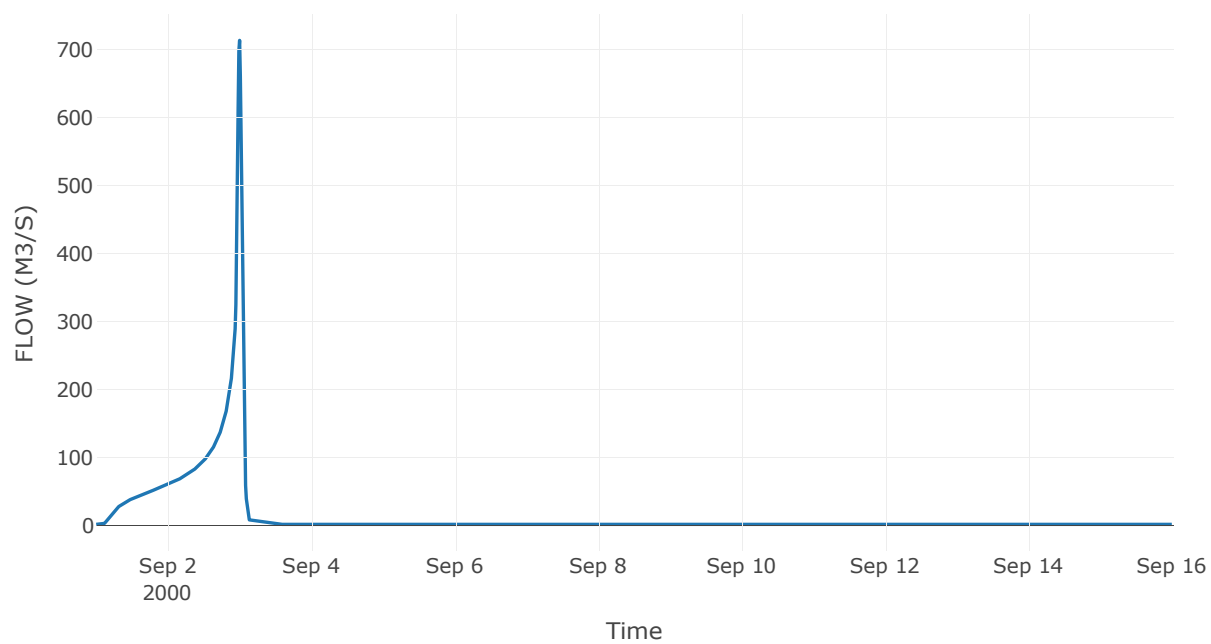
Κόμβος: J19

Κατάντη : R1910

Αποτελέσματα: J19

Παροχή Αιχμής(M3/S)	713.55
Χρονική στιγμή αιχμής	02Sep2000, 24:00
Όγκος(MM)	389.22

Απορροή



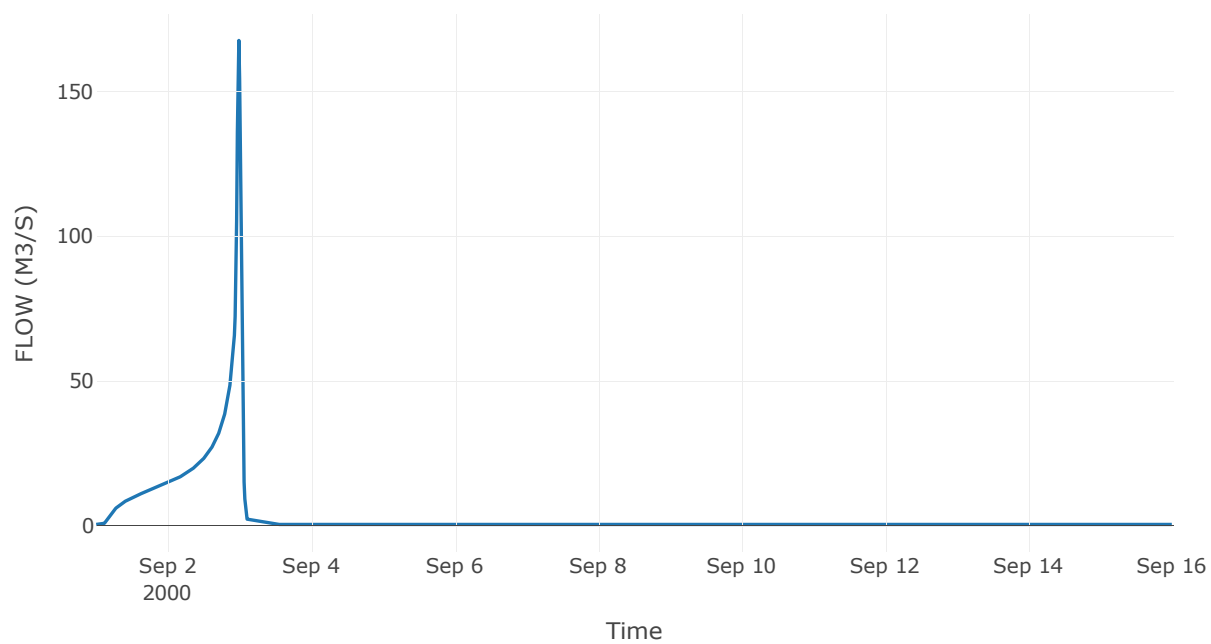
Κόμβος: J20

Κατάντη : R2011

Αποτελέσματα: J20

Παροχή Αιχμής(M3/S)	167.65
Χρονική στιγμή αιχμής	02Sep2000, 23:45
Όγκος(MM)	397.38

Απορροή



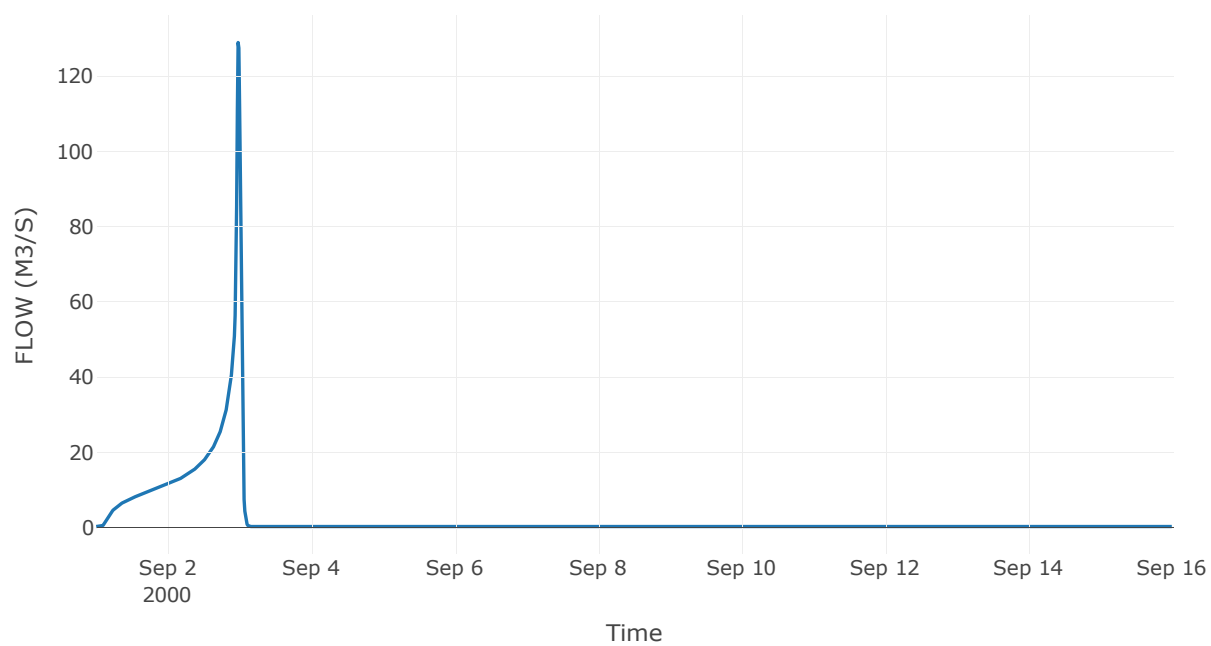
Κόμβος: J21

Κατάντη : R2117

Αποτελέσματα: J21

Παροχή Αιχμής(M3/S)	128.98
Χρονική στιγμή αιχμής	02Sep2000, 23:30
Όγκος(MM)	403.09

Απορροή



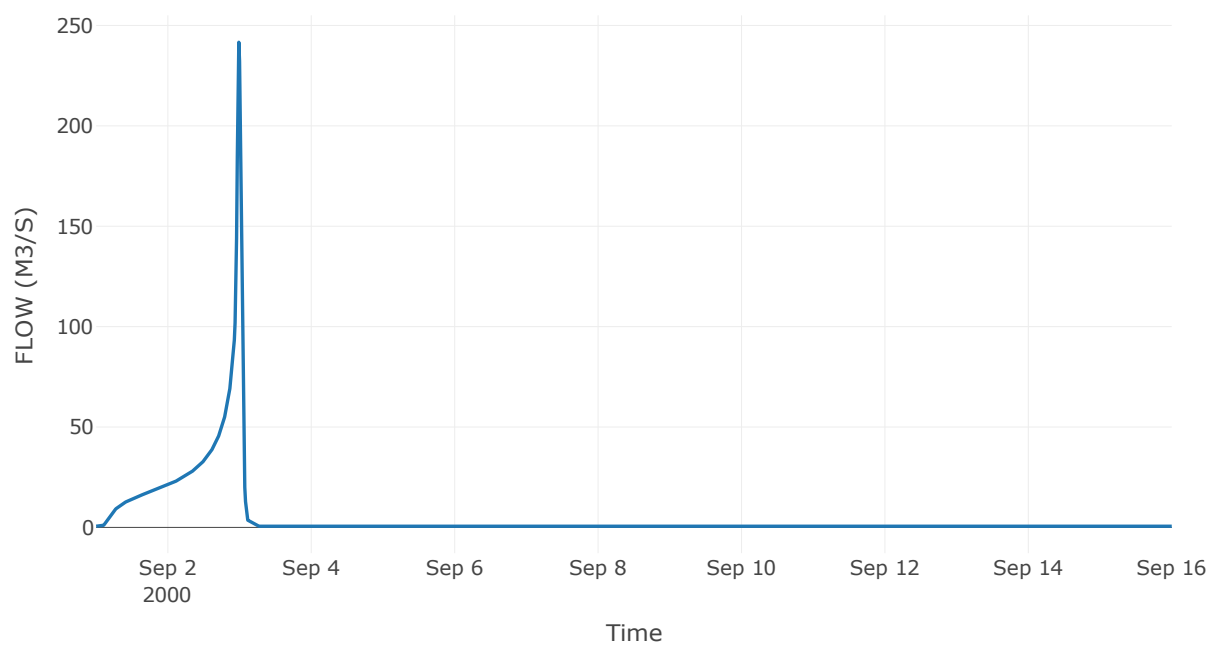
Κόμβος: J22

Κατάντη : R2218

Αποτελέσματα: J22

Παροχή Αιχμής(M3/S)	241.64
Χρονική στιγμή αιχμής	02Sep2000, 23:45
Όγκος(MM)	396.6

Απορροή



Κόμβος: J23

Κατάντη : R2319

Αποτελέσματα: J23

Παροχή Αιχμής(M3/S)	404.14
Χρονική στιγμή αιχμής	02Sep2000, 23:45
Όγκος(MM)	395.79

Απορροή

